

























506.45  
A176

653  
n. m.

# ATTI

DELLA

R. ACCADEMIA DELLE SCIENZE

DI TORINO

PUBBLICATI

DAGLI ACCADEMICI SEGRETARI DELLE DUE CLASSI

35

VOLUME TRENTACINQUESIMO

1899-900

Classe di Scienze Fisiche, Matematiche e Naturali.

TORINO

CARLO CLAUSEN

Libraio della R. Accademia delle Scienze

1900



ATTI

DELLA

R. ACCADEMIA DELLE SCIENZE

DI TORINO

PUBBLICATA

---

PROPRIETÀ LETTERARIA

---

VOLUME TRENTAQUATTESIMO

1898-99

Classe di Scienze Fisiche, Matematiche e Naturali.

TORINO

CARLO OLIVIERI

---

Torino — VINCENZO BONA, Tipografo di S. M. e de' RR. Principi.



# ELENCO

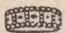
DEGLI

## ACCADEMICI RESIDENTI, NAZIONALI NON RESIDENTI STRANIERI E CORRISPONDENTI

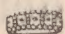
AL 19 NOVEMBRE MDCCCXCIX..

---

### PRESIDENTE

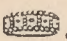
CARLE (Giuseppe), Senatore del Regno, Dottore aggregato alla Facoltà di Giurisprudenza e Professore di Filosofia del Diritto nella R. Università di Torino, Socio Nazionale della R. Accademia dei Lincei, \*, Comm. .

### VICE-PRESIDENTE

COSSA (Alfonso), Dottore in Medicina, Direttore della Regia Scuola d'Applicazione degli Ingegneri in Torino, Professore di Chimica docimastica nella medesima Scuola e di Chimica minerale presso il R. Museo Industriale Italiano, Socio Nazionale della R. Accademia dei Lincei, Uno dei XL della Società Italiana delle Scienze, Corrispondente del R. Istituto Lombardo di Scienze e Lettere, del R. Istituto Veneto di Scienze, Lettere ed Arti, dell'Accademia delle Scienze dell'Istituto di Bologna e della R. Accademia delle Scienze di Napoli, Socio Corrispondente della R. Accademia delle Scienze di Berlino, Socio ordinario non residente dell'Istituto d'Incoraggiamento alle Scienze naturali di Napoli, Socio della Reale Accademia di Agricoltura di Torino e Socio dell'Accademia Gioenia di Catania, Socio onorario dell'Accademia Olimpica di Vicenza, Socio corrispondente della Società di scienze naturali di Cherbourg, Socio effettivo della Società Imperiale Mineralogica di Pietroburgo, Comm. \*, , e dell'O. d'Is. Catt. di Sp.

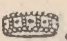


## TESORIERE

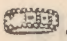
D'OVIDIO (Enrico), Dottore in Matematica, Professore ordinario di Algebra e Geometria analitica, incaricato di Analisi superiore e Preside della Facoltà di Scienze fisiche, matematiche e naturali nella R. Università di Torino; Uno dei XL della Società Italiana delle Scienze, Socio Nazionale della R. Accademia dei Lincei, Corrispondente della R. Accademia delle Scienze di Napoli e del R. Istituto Lombardo di Scienze e Lettere, onorario della R. Accademia di Scienze, Lettere ed Arti di Modena, Socio dell'Accademia Pontaniana, delle Società matematiche di Parigi e Praga, ecc., Uffiz. \*, Comm. .

## CLASSE DI SCIENZE FISICHE, MATEMATICHE E NATURALI

*Direttore*

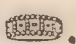
BIZZOZERO (Giulio), Senatore del Regno, Professore e Direttore del Laboratorio di Patologia generale nella R. Università di Torino, Socio Nazionale della R. Accademia dei Lincei e delle RR. Accademie di Medicina e di Agricoltura di Torino, Socio Straniero dell'*Academia Caesarea Leopoldino-Carolina Germanica Naturae Curiosorum*, Socio Corrispondente del R. Istituto Lombardo di Scienze e Lettere, del R. Istituto Veneto di Scienze, Lettere ed Arti, dell'Accademia delle Scienze dell'Istituto di Bologna, Membro del Consiglio Superiore di Sanità, ecc., Comm. \* e Gr. Uffiz. .

*Segretario*


NACCARI (Andrea), Dottore in Matematica, Professore di Fisica sperimentale nella R. Università di Torino, Uno dei XL della Società Italiana delle Scienze, Socio Corrispondente del R. Istituto Veneto di Scienze, Lettere ed Arti, della R. Accademia dei Lincei, dell'Accademia Gioenia di Scienze naturali di Catania e dell'Accademia Pontaniana, Uffiz. \*, .



## ACCADEMICI RESIDENTI

SALVADORI (Conte Tommaso), Dottore in Medicina e Chirurgia, Vice-Direttore del Museo Zoologico della R. Università di Torino, Professore di Storia naturale nel R. Liceo *Cavour* di Torino, Socio della R. Accademia di Agricoltura di Torino, della Società Italiana di Scienze Naturali, dell'Accademia Gioenia di Catania, Membro Corrispondente della Società Zoologica di Londra, dell'Accademia delle Scienze di Nuova York, della Società dei Naturalisti in Modena, della Società Reale delle Scienze di Liegi, della Reale Società delle Scienze Naturali delle Indie Neerlandesi e del R. Istituto Veneto di Scienze, Lettere ed Arti, Membro effettivo della Società Imperiale dei Naturalisti di Mosca, Socio Straniero della *British Ornithological Union*, Socio Straniero onorario del *Nuttall Ornithological Club*, Socio Straniero dell'*American Ornithologist's Union*, e Membro onorario della Società Ornitologica di Vienna, Membro ordinario della Società Ornitologica tedesca, Uffiz. , Cav. dell'O. di S. Giacomo del merito scientifico, letterario ed artistico (Portogallo).

COSSA (Alfonso), *predetto*.

BERRUTI (Giacinto), Direttore del R. Museo Industriale Italiano e dell'Officina governativa delle Carte-Valori, Socio della R. Accademia di Agricoltura di Torino, Gr. Uffiz. ; Comm. \*, dell'O. di Francesco Giuseppe d'Austria, della L. d'O. di Francia, e della Repubblica di S. Marino.


D'OVIDIO (Enrico), *predetto*.


BIZZOZERO (Giulio), *predetto*.

NACCARI (Andrea), *predetto*.


Mosso (Angelo), Dottore in Medicina e Chirurgia, Professore di Fisiologia e Rettore della R. Università di Torino, Socio Nazionale della R. Accademia dei Lincei, Socio corrispondente dell'Istituto di Francia (Accademia delle Scienze), della R. Accademia di



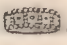
Medicina di Torino, Uno dei XL della Società italiana delle Scienze, Socio onorario della R. Accademia medica di Roma, dell'Accademia Gioenia di Scienze naturali di Catania, della R. Accademia medica di Genova, Socio dell'Accademia delle Scienze dell'Istituto di Bologna, Socio Corrispondente del R. Istituto Lombardo di Scienze e Lettere e del R. Istituto Veneto di Scienze, Lettere ed Arti, dell'*Academia Caesarea Leopoldino-Carolina Germanica Naturae Curiosorum*, della Società Reale di Scienze mediche e naturali di Bruxelles, della Società fisico-medica di Erlangen, Socio straniero della R. Accademia delle Scienze di Svezia, Socio corrispondente della Società Reale di Napoli, Socio corrispondente della Società di Biologia di Parigi, ecc. ecc., \*, Comm. .

SPEZIA (Giorgio), Ingegnere, Professore di Mineralogia e Direttore del Museo mineralogico della Regia Università di Torino, .

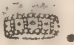
CAMERANO (Lorenzo), Dottore aggregato alla Facoltà di Scienze fisiche, matematiche e naturali, Professore di Anatomia comparata e di Zoologia e Direttore dei Musei relativi nella R. Università di Torino, Socio della R. Accademia di Agricoltura di Torino, Socio corrispondente del R. Istituto Veneto di Scienze, Lettere ed Arti, Membro della Società Zoologica di Francia, Membro corrispondente della Società Scientifica del Cile e della Società Zoologica di Londra.


SEGRE (Corrado), Dottore in Matematica, Professore di Geometria superiore nella R. Università di Torino, Corrispondente della R. Accademia dei Lincei e del R. Istituto Lombardo di Scienze e Lettere, Uno dei XL della Società Italiana delle Scienze, .

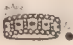
PEANO (Giuseppe), Dottore in Matematica, Professore di Calcolo infinitesimale nella R. Università di Torino, Socio della "*Sociedad Científica* „ del Messico, Socio del Circolo Matematico di Palermo.


VOLTERRA (Vito), Dottore in Fisica, Professore di Meccanica razionale nella R. Università di Torino, .




JADANZA (Nicodemo), Dottore in Matematica, Professore di Geodesia teoretica nella R. Università di Torino e di Geometria pratica nella R. Scuola d'Applicazione per gl'Ingegneri, Socio dell'Accademia Pontaniana di Napoli e della Società degli Ingegneri Civili di Lisbona, Uff. .

FOÀ (Pio), Dottore in Medicina e Chirurgia, Professore di Anatomia Patologica nella R. Università di Torino, Socio Nazionale della R. Accademia dei Lincei, Comm. .

GUARESCHI (Icilio), Dottore in Scienze Naturali, Professore e Direttore dell'Istituto di Chimica Farmaceutica e Tossicologica nella R. Università di Torino, Direttore della Scuola di Farmacia, Socio della R. Accademia di Medicina di Torino, Socio della R. Accademia dei Fisiocritici di Siena, Membro della Società Chimica di Berlino, ecc., .

GUIDI (Camillo), Ingegnere, Professore di Statica grafica e scienza delle costruzioni nella R. Scuola di Applicazione per gl'Ingegneri in Torino, .


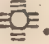
FILETI (Michele), Dottore in Chimica, Professore ordinario di Chimica generale nella R. Università di Torino, .

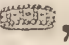

PARONA (Carlo Fabrizio), Dottore in Scienze naturali, Professore e Direttore del Museo di Geologia della R. Università di Torino, Socio residente della R. Accademia di Agricoltura di Torino, Socio corrispondente del R. Istituto Lombardo di Scienze e Lettere e del R. Istituto veneto di Scienze, Lettere ed Arti e Corrispondente dell'I. R. Istituto Geologico di Vienna.

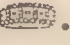
---



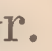


## ACCADEMICI NAZIONALI NON RESIDENTI




CANNIZZARO (Stanislao), Senatore del Regno, Professore di Chimica generale nella R. Università di Roma, Uno dei XL della Società Italiana delle Scienze, Socio Nazionale della R. Accademia dei Lincei e della Società Reale di Napoli, Socio Corrispondente del R. Istituto Lombardo di Scienze e Lettere e del R. Istituto Veneto di Scienze, Lettere ed Arti, Socio Corrispondente dell'Istituto di Francia, Socio Corrispondente dell'Accademia delle Scienze di Berlino, di Vienna e di Pietroburgo, Socio Straniero della R. Accademia delle Scienze di Baviera, della Società Reale di Londra, della Società Reale di Edimburgo e della Società letteraria e filosofica di Manchester, Socio onorario della Società chimica tedesca, di Londra e Americana, Comm. ✱, Gr. Uffiz. , .

SCHIAPARELLI (Giovanni), Direttore del R. Osservatorio astronomico di Milano, Uno dei XL della Società Italiana delle Scienze, Socio del R. Istituto Lombardo di Scienze e Lettere, della R. Accademia dei Lincei, dell'Accademia Reale di Napoli e dell'Accademia delle Scienze dell'Istituto di Bologna, Socio Corrispondente dell'Istituto di Francia (Accademia delle Scienze, Sezione di Astronomia), delle Accademie di Monaco, di Vienna, di Berlino, di Pietroburgo, di Stockolma, di Upsala, di Cracovia, della Società de' Naturalisti di Mosca, della Società Reale e della Società astronomica di Londra, Gr. Cord. , Comm. ✱; .

SIACCI (Francesco), Senatore del Regno, Colonnello d'Artiglieria nella Riserva, Professore onorario della R. Università di Torino, Professore ordinario di Meccanica razionale ed Incaricato della Meccanica superiore nella R. Università di Napoli, Uno dei XL della Società Italiana delle Scienze, Socio Nazionale della R. Accademia dei Lincei, della R. Accademia delle Scienze Fisiche e Matematiche di Napoli, e dell'Accademia Pontaniana, Corrispondente del R. Istituto Lombardo di Scienze e Lettere e dell'Accademia delle Scienze dell'Istituto di Bologna, Uff. ✱, Comm. .

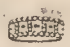



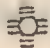
CREMONA (Luigi), Senatore del Regno, Professore di Matematica superiore nella R. Università di Roma, Direttore della Scuola d'Applicazione per gli Ingegneri, Presidente della Società Italiana delle Scienze (detta dei XL), Socio Nazionale della R. Accademia dei Lincei, Socio del R. Istituto Lombardo, del R. Istituto d'Incoraggiamento di Napoli, dell'Accademia delle Scienze dell'Istituto di Bologna, delle Società Reali di Londra, di Edimburgo, di Gottinga, di Praga, di Liegi e di Copenaghen, delle Società matematiche di Londra, di Praga e di Parigi, delle Reali Accademie di Napoli, di Dublino, di Amsterdam e di Monaco, Membro onorario dell'Insigne Accademia romana di Belle Arti detta di San Luca, della Società Fisico-medica di Erlangen, della Società Filosofica di Cambridge e dell'Associazione britannica pel progresso delle Scienze, Membro Straniero della Società delle Scienze di Harlem, Socio Corrispondente dell'Istituto di Francia (Accademia delle Scienze), dell'Imperiale Accademia di Vienna, delle Reali Accademie di Berlino e di Lisbona, e dell'Accademia Pontaniana in Napoli, Dottore (LL. D.) dell'Università di Edimburgo, Dottore (D. Sc.) dell'Università di Dublino, Professore emerito nell'Università di Bologna, Gr. Uffiz. , Gr. Cord. , Cav. e Cons. .


BELTRAMI (Eugenio), Senatore del Regno, Professore di Fisica matematica nella R. Università di Roma, Presidente della R. Accademia dei Lincei, Uno dei XL della Società Italiana delle Scienze, Socio effettivo del R. Istituto Lombardo e della R. Accademia delle Scienze dell'Istituto di Bologna, Socio estero della R. Accademia di Gottinga, Socio Corrispondente della R. Accademia di Berlino, della Società Reale di Napoli, dell'Istituto di Francia (Accademia delle Scienze, Sezione di Meccanica), della Società Matematica di Londra, della Reale Accademia di Bruxelles, della R. Accademia delle Scienze di Monaco (Baviera), Gr. Uffiz. ; , .


FERGOLA (Emanuele), Professore di Astronomia nella R. Università di Napoli, Socio ordinario residente della R. Accademia delle scienze fisiche e matematiche di Napoli, Membro della Società italiana dei XL, Socio della R. Accademia dei Lincei, Socio residente dell'Accademia Pontaniana, Socio ordinario del



R. Istituto d'incoraggiamento alle Scienze naturali, Socio Corrispondente del R. Istituto Veneto, Comm. ✱, .

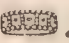
FELICI (Riccardo), Professore Emerito della R. Università di Pisa, Socio ordinario della Società italiana delle Scienze detta dei XL e della R. Accademia dei Lincei, Presidente onorario della Società di Fisica Italiana, Socio Corrispondente della Società Fisico-medica di Würzburg, Socio onorario della Società Fisica di Londra, del R. Istituto Veneto di scienze, lettere ed arti, del R. Istituto Lombardo di scienze e lettere in Milano, della R. Accademia Lucchese di scienze, lettere ed arti, della R. Accademia delle scienze dell'Istituto di Bologna, ✱, Gr. Uff. , .

BIANCHI (Luigi), Professore di Geometria analitica nella R. Università di Pisa, Socio ordinario della R. Accademia dei Lincei e della Società Italiana delle Scienze, detta dei XL; Socio Corrispondente dell'Accademia delle Scienze fisiche e matematiche di Napoli e del R. Istituto Lombardo di scienze e lettere in Milano, ✱, .

DINI (Ulisse), Senatore del Règno, Professore di Analisi Superiore nella R. Università di Pisa, Membro del Consiglio Superiore dell'Istruzione Pubblica, Socio della R. Accademia dei Lincei e della Società Italiana detta dei XL, Corrispondente della R. Società delle Scienze di Gottinga, Uff. ✱, Cav. .

GOLGI (Camillo), Membro del Consiglio superiore della Pubblica Istruzione, Socio nazionale della R. Accademia dei Lincei di Roma, Dottore in Scienze *ad honorem* dell'Università di Cambridge, uno dei XL della Società italiana delle scienze, Membro della Società per la medicina interna di Berlino, Membro onorario della Imp. Accademia Medica di Pietroburgo, Socio corrispondente onorario della *Neurological Society* di Londra, Membro corrispondente della *Société de Biologie* di Parigi, Membro dell'*Academia Caesarea Leopoldino-Carolina*, Socio della R. Società delle Scienze di Gottinga e delle Società Fisico-Mediche di Würzburg e di Erlangen, Membro della Società Anatomica della Germania, Socio nazionale della R. Accademia delle Scienze di Bologna, Socio corrispondente dell'Accademia di medicina di



Torino, Socio onorario della R. Accademia di scienze, lettere ed arti di Padova, Socio corrispondente dell'Accademia Medico-Fisica Fiorentina, della Società Medico-Chirurgica di Bologna, Socio onorario della R. Accademia Medica di Roma, Socio onorario della R. Accademia Medico-chirurgica di Genova, Socio corrispondente dell'Accademia Fisiocritica di Siena, dell'Accademia Medico-Chirurgica di Perugia, della *Societas medicorum Svecana* di Stoccolma, Membro onorario dell'*American Neurological Association* di New York, Socio onorario della *Royal microscopical Society* di Londra, Membro corrispondente della R. Accademia di medicina del Belgio, Membro onorario della Società freniatria italiana e dell'Associazione Medico-Lombarda, Socio onorario del Comizio agrario di Pavia, Professore ordinario di Patologia generale e di Istologia nella R. Università di Pavia, Cav. ✱, Comm. .

## ACCADEMICI STRANIERI

HERMITE (Carlo), Professore nella Facoltà di Scienze, Parigi.

KELVIN (Guglielmo Thomson, Lord), Professore nell'Università di Glasgow.

GEGENBAUR (Carlo), Professore nell'Università di Heidelberg.

VIRCHOW (Rodolfo), Professore nell'Università di Berlino.

KOELLIKER (Alberto von), Professore nell'Università di Würzburg.

BERTRAND (Giuseppe Luigi), Professore nel Collegio di Francia, membro dell'Istituto, Parigi.

KLEIN (Felice), Professore nell'Università di Gottinga.

HAECKEL (Ernesto), Professore nella Università di Jena.

BERTHELOT (Marcellino), Professore nel Collegio di Francia, Membro dell'Istituto, Parigi.

---



# CORRISPONDENTI

---

## SEZIONE

### DI MATEMATICHE PURE

TARDY (Placido), Professore emerito della R. Università di Genova . . . . .	<i>Firenze</i>
CANTOR (Maurizio), Professore nell'Univer- sità di . . . . .	<i>Heidelberg</i>
SCHWARZ (Ermanno A.), Professore nella Università di . . . . .	<i>Berlino</i>
BERTINI (Eugenio), Professore nella Regia Università di . . . . .	<i>Pisa</i>
DARBOUX (G. Gastone), dell'Istituto di Francia	<i>Parigi</i>
POINCARÉ (G. Enrico), dell'Istituto di Francia	<i>Parigi</i>
NOETHER (Massimiliano), Professore nell'Uni- versità di . . . . .	<i>Erlangen</i>
JORDAN (Camillo), Professore nel Collegio di Francia, Membro dell'Istituto . . . . .	<i>Parigi</i>
MITTAG-LEFFLER (Gustavo), Professore a .	<i>Stoccolma</i>
PICARD (Emilio), Professore alla Sorbonne, Membro dell'Istituto di Francia . . . . .	<i>Parigi</i>
CESÀRO (Ernesto), Professore nella R. Uni- versità di . . . . .	<i>Napoli</i>



CASTELNUOVO (Guido), Professore nella R. Università di . . . . . *Roma*

VERONESE (Giuseppe), Professore nella Regia Università di . . . . . *Padova*

## SEZIONE

### DI MATEMATICHE APPLICATE, ASTRONOMIA E SCIENZA DELL'INGEGNERE CIVILE E MILITARE

TACCHINI (Pietro), Direttore dell'Osservatorio del Collegio Romano . . . . . *Roma*

FASELLA (Felice) . . . . . *Torino*

ZEUNER (Gustavo), Professore nel Politecnico di . . . . . *Dresda*

EWING (Giovanni Alfredo), Professore nell'Università di . . . . . *Cambridge*

LORENZONI (Giuseppe), Professore nella Regia Università di . . . . . *Padova*

CELORIA (Giovanni), Astronomo all'Osservatorio di . . . . . *Milano*

HELMERT (F. Roberto), Direttore del R. Istituto Geodetico di Prussia . . . . . *Potsdam*

FIORINI (Matteo), Professore della R. Università di . . . . . *Bologna*

FAVERO (Giambattista), Professore nella R. Scuola di Applicazione degli Ingegneri in . *Roma*



## SEZIONE

## DI FISICA GENERALE E SPERIMENTALE

- BLASERNA (Pietro), Professore di Fisica sperimentale nella R. Università di . . . . . *Roma*
- KOHLRAUSCH (Federico), Presidente dell'Istituto Fisico-Tecnico in . . . . . *Charlottenburg*
- CORNU (Maria Alfredo), dell'Istituto di Francia *Parigi*
- VILLARI (Emilio), Professore nella R. Università di . . . . . *Napoli*
- ROITI (Antonio), Professore nell'Istituto di Studi superiori pratici e di perfezionamento in *Firenze*
- RIGHI (Augusto), Professore di Fisica sperimentale nella R. Università di . . . . . *Bologna*
- LIPPMANN (Gabriele), dell'Istituto di Francia *Parigi*
- RAYLEIGH (Lord Giovanni Guglielmo), Professore nella " *Royal Institution* „ di . . . . *Londra*
- THOMSON (Giuseppe Giovanni), Professore nell'Università di . . . . . *Cambridge*
- BOLTZMANN (Luigi), Professore nell'Università di . . . . . *Vienna*
- MASCART (Eleuterio), Professore nel Collegio di Francia, Membro dell'Istituto . . . . *Parigi*
- PACINOTTI (Antonio), Professore nella Regia Università di . . . . . *Pisa*
- STOKES (Giorgio Gabriele), Professore nella Università di . . . . . *Cambridge*



## SEZIONE

## DI CHIMICA GENERALE ED APPLICATA

- PATERNÒ (Emanuele), Professore di Chimica applicata nella R. Università di . . . . . *Roma*
- KÖRNER (Guglielmo), Professore di Chimica organica nella R. Scuola superiore d'Agricoltura in *Milano*
- BAEYER (Adolfo von), Professore nell'Università di . . . . . *Monaco (Baviera)*
- WILLIAMSON (Alessandro Guglielmo), della R. Società di . . . . . *Londra*
- THOMSEN (Giulio), Professore nell'Università di . . . . . *Copenhagen*
- LIEBEN (Adolfo), Professore nell'Università di *Vienna*
- MENDELEJEFF (Demetrio), Professore nell'Università di . . . . . *Pietroburgo*
- HOFF (Giacomo Enrico van't), Professore nell'Università di . . . . . *Berlino*
- FISCHER (Emilio), Professore nell'Università di . . . . . *Berlino*
- RAMSAY (Guglielmo), Professore nell'Università di . . . . . *Londra*

## SEZIONE

## DI MINERALOGIA, GEOLOGIA E PALEONTOLOGIA

- STRÜVER (Giovanni), Professore di Mineralogia nella R. Università di . . . . . *Roma*
- ROSENBUSCH (Enrico), Professore nell'Università di . . . . . *Heidelberg*



NORDENSKIÖLD (Adolfo Enrico), della R. Accademia delle Scienze di . . . . . *Stoccolma*

ZIRKEL (Ferdinando), Professore nell'Università di . . . . . *Lipsia*

CAPELLINI (Giovanni), Professore nella Regia Università di . . . . . *Bologna*

TSCHERMAK (Gustavo), Professore nell'Università di . . . . . *Vienna*

KLEIN (Carlo), Professore nell'Università di *Berlino*

GEIKIE (Arcibaldo), Direttore del Museo di Geologia pratica . . . . . *Londra*

FOUQUÉ (Ferdinando Andrea), Professore nel Collegio di Francia, membro dell'Istituto . . *Parigi*

RAMMELSBERG (Carlo Federico), Professore nell'Università di . . . . . *Berlino*

DAMOUR (Agostino Alessio), Professore nella Scuola Nazionale Superiore delle Miniere, Membro dell'Istituto di Francia . . . . . *Parigi*

GEMMELLARO (Gaetano Giorgio), Professore nella R. Università di . . . . . *Palermo*

GROTH (Paolo Enrico), Professore nell'Università di . . . . . *Monaco*

## SEZIONE

### DI BOTANICA E FISIOLOGIA VEGETALE

ARDISSONE (Francesco), Professore di Botanica nella R. Scuola superiore d'Agricoltura in *Milano*

SACCARDO (Andrea), Professore di Botanica nella R. Università di . . . . . *Padova*



HOOKEK (Giuseppe DALTON), Direttore del  
Giardino Reale di Kew . . . . . *Londra*

DELPINO (Federico), Professore nella R. Uni-  
versità di . . . . . *Napoli*

PIROTTA (Romualdo), Professore nella Regia  
Università di . . . . . *Roma*

STRASBURGER (Edoardo), Professore nell'Uni-  
versità di . . . . . *Bonn*

MATTIROLO (Oreste), Professore di Botanica  
nell'Istituto di Studi superiori pratici e di per-  
fezionamento . . . . . *Firenze*

GOEBEL (Carlo), Professore nell'Università di *Monaco*

PENZIG (Ottone), Professore nell'Università di *Genova*

SCHWENDENER (Simone), Professore nell'Uni-  
versità di . . . . . *Berlino*

## SEZIONE

### DI ZOOLOGIA, ANATOMIA E FISIOLOGIA COMPARATA

DE SELYS LONGCHAMPS (Edmondo) . . . . *Liegi*

PHILIPPI (Rodolfo Armando) . . . . . *Santiago (Chili)*

SCLATER (Filippo LUTLEY), Segretario della  
Società Zoologica di . . . . . *Londra*

FATIO (Vittore), Dottore . . . . . *Ginevra*

KOVALEWSKI (Alessandro), Professore nel-  
l'Università di . . . . . *Pietroburgo*



LOCARD (Arnould), dell' Accademia delle  
Scienze di . . . . . *Lione*

CHAUVEAU (G. B. Augusto), Membro dell'Isti-  
tuto di Francia, Professore alla Scuola di Medi-  
cina di . . . . . *Parigi*

FOSTER (Michele), Professore nell' Univer-  
sità di . . . . . *Cambridge*

WALDEYER (Guglielmo), Professore nell'Uni-  
versità di . . . . . *Berlino*

GUENTHER (Alberto) . . . . . *Londra*

FLOWER (Guglielmo Enrico), Direttore del  
Museo di Storia naturale . . . . . *Londra*

EDWARDS (Alfonso Milne), Membro dell'Isti-  
tuto di Francia . . . . . *Parigi*

ROUX (Guglielmo), Professore nella Uni-  
versità di . . . . . *Monaco* (Baviera)

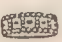
---



## CLASSE DI SCIENZE MORALI, STORICHE E FILOLOGICHE

---

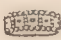
### *Direttore*

CLARETTA (Barone Gaudenzio), Dottore in Leggi, Socio e Segretario della Regia Deputazione sovra gli studi di Storia patria, Presidente della Società di Archeologia e Belle Arti per la Provincia di Torino, Membro della Commissione conservatrice dei monumenti di antichità e belle arti della Provincia ecc., Comm. ✱, Gr. Uffiz. .

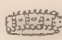
### *Segretario*

N. N.

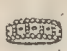
### ACCADEMICI RESIDENTI


PEYRON (Bernardino), Professore di Lettere, Bibliotecario Onorario della Biblioteca Nazionale di Torino, Socio Corrispondente del R. Istituto Veneto di Scienze, Lettere ed Arti, Gr. Uffiz. ✱, Uffiz. .


CLARETTA (Barone Gaudenzio), *predetto*.

ROSSI (Francesco), Dottore in Filosofia, Professore d'Egitto-  
logia nella R. Università di Torino, Socio Corrispondente della R. Accademia dei Lincei e della Società per gli Studi biblici in Roma, .




MANNO (Barone D. Antonio), Membro e Segretario della R. Deputazione sovra gli studi di Storia patria, Membro del Consiglio degli Archivi e dell'Istituto storico italiano, Commissario di S. M. presso la Consulta araldica, Dottore *honoris causa* della R. Università di Tübingen, Gr. Uffiz. \* e , Cav. d'on. e devoz. del S. M. O. di Malta.

BOLLATI DI SAINT-PIERRE (Barone Federigo Emanuele), Dottore in Leggi, Soprintendente agli Archivi Piemontesi e Direttore dell'Archivio di Stato in Torino, Membro del Consiglio d'Amministrazione presso il R. Econmato generale delle antiche Province, Corrispondente della Consulta araldica, Vice-Presidente della Commissione araldica per il Piemonte, Membro della R. Deputazione sopra gli studi di storia patria per le Antiche Province e la Lombardia e della Società Accademica d'Aosta, Socio corrispondente della Società Ligure di Storia patria, del R. Istituto Veneto di Scienze, Lettere ed Arti, della R. Accademia di Scienze, Lettere ed Arti di Padova, della Società Colombaria Fiorentina, della R. Deputazione di Storia patria per le Province della Romagna, della nuova Società per la Storia di Sicilia e della Società di Storia e di Archeologia di Ginevra, Membro onorario della Società di Storia della Svizzera Romanza, dell'Accademia del Chablais, e della Società Savoina di Storia e di Archeologia ecc., Uffiz. \*, Comm. .


PEZZI (Domenico), Dottore aggregato alla Facoltà di Lettere e Filosofia, Professore di Storia comparata delle lingue classiche e neo-latine nella R. Università di Torino, .


FERRERO (Ermanno), Dottore in Giurisprudenza, Dottore aggregato alla Facoltà di Lettere e Filosofia e Professore di Archeologia nella R. Università di Torino, Professore di Storia dell'arte militare nell'Accademia Militare, R. Ispettore per gli scavi e le scoperte di antichità nel Circondario di Torino, Membro della Regia Deputazione sovra gli studi di Storia patria per le antiche Province e la Lombardia, Membro e Segretario della Società di Archeologia e Belle Arti per la Provincia di Torino, Socio Corrispondente straniero onorario della Società Nazionale degli Antiquarii della Francia, Socio corrispondente della R. Depu-




tazione di Storia patria per le Province di Romagna e dell'Imp. Istituto Archeologico Germanico, fregiato della Medaglia del merito civile di 1<sup>a</sup> cl. della Repubblica di S. Marino, ✱, .

CARLE (Giuseppe), *predetto*.


COGNETTI DE MARTIIS (Salvatore), Professore ordinario di Economia politica nella R. Università di Torino, Incaricato per l'Economia e Legislazione industriale nel Museo Industriale Italiano, Socio Corrispondente della R. Accademia dei Lincei, della R. Accademia dei Georgofili e della Società Reale di Napoli (Accademia di Scienze morali e politiche), ✱, Comm. .


GRAF (Arturo), Professore di Letteratura italiana nella R. Università di Torino, Membro della Società romana di Storia patria, Uffiz. ✱ e .


BOSELLI (Paolo), Dottore aggregato alla Facoltà di Giurisprudenza della R. Università di Genova, già Professore nella R. Università di Roma, Professore Onorario della R. Università di Bologna, Vice-Presidente della R. Deputazione di Storia Patria per le Antiche Province e la Lombardia, Socio Corrispondente dell'Accademia dei Georgofili, Presidente della Società di Storia patria di Savona, Socio onorario della Società Ligure di Storia Patria, Socio onorario dell'Accademia di Massa, Socio della R. Accademia di Agricoltura, Deputato al Parlamento nazionale, Presidente del Consiglio provinciale di Torino, Gr. Uffiz. ✱, Gr. Cord. , Gr. Cord. dell'Aquila Rossa di Prussia, dell'Ordine di Alberto di Sassonia, dell'Ord. di Bertoldo I di Zähringen (Baden), e dell'Ordine del Sole Levante del Giappone, Gr. Uffiz. O. di Leopoldo del Belgio, Uffiz. della Cor. di Pr., della L. d'O. di Francia, e C. O. della Concezione del Portogallo, Ministro del Tesoro del Regno d'Italia.


CIPOLLA (Conte Carlo), Dottore in Filosofia, Professore di Storia moderna nella R. Università di Torino, Membro della R. Deputazione sovra gli studi di Storia patria per le Antiche Province e la Lombardia, Socio effettivo della R. Deputazione Veneta di Storia patria, Socio Nazionale della R. Accademia




dei Lincei, Socio Corrispondente dell'Accademia delle Scienze di Monaco (Baviera), e del R. Istituto Veneto di Scienze, Lettere ed Arti, Uffiz. .

BRUSA (Emilio), Dottore in Leggi, Professore di Diritto e Procedura Penale nella R. Università di Torino, Consigliere superiore della Pubblica Istruzione, Membro della Commissione per la Statistica giudiziaria e della Commissione per la riforma del Codice di procedura penale, Socio Corrispondente dell'Accademia di Legislazione di Tolosa (Francia), ed effettivo dell'Istituto di Diritto internazionale, Socio Onorario della Società dei Giuristi Svizzeri e Corrispondente della R. Accademia di Giurisprudenza e Legislazione di Madrid, di quella di Barcellona, della Società Generale delle Prigioni di Francia, di quella di Spagna, della R. Accademia Peloritana, della R. Accademia di Scienze Morali e Politiche di Napoli, del R. Istituto Lombardo di Scienze e Lettere e di altre, Comm.  e dell'Ordine di San Stanislao di Russia, *Officier d'Académie* della Repubblica francese, \*.



ALLIEVO (Giuseppe), Dottore in Filosofia, Professore di Pedagogia e Antropologia nella R. Università di Torino, Socio Onorario della R. Accademia delle Scienze di Palermo, dell'Accademia di S. Anselmo di Aosta, dell'Accademia Dafnica di Acireale, della Regia Imperiale Accademia degli Agiati di Rovereto, dell'Arcadia, dell'Accademia degli Zelanti di Acireale e dell'Accademia cattolica panormitana, Comm. , \*.

RENIER (Rodolfo), Dottore in Lettere ed in Filosofia, Professore di Storia comparata delle Letterature neo-latine nella R. Università di Torino, Socio attivo della R. Commissione dei testi di lingua, Socio corrispondente della R. Deputazione di Storia patria per le Marche e della Società storica abruzzese, Membro della Società storica lombarda e della Società Dantesca italiana, Socio onorario dell'Accademia Etrusca di Cortona, dell'Accademia Cosentina e dell'Accademia Dafnica di Acireale, Uffiz. \*, .



PIZZI (Nobile Italo), Dottore in Lettere, Professore nel Persiano e Sanscrito nella R. Università di Torino, Socio corrispondente della Società Colombaria, Dottore onorario della Università di Lovanio, Socio corrispondente dell'Ateneo Veneto, \*, .



## ACCADEMICI NAZIONALI NON RESIDENTI



CARUTTI DI CANTOGNO (Barone Domenico), Senatore del Regno, Presidente della R. Deputazione sovra gli studi di Storia patria per le Antiche Provincie e Lombardia, Socio Nazionale della R. Accademia dei Lincei, Membro dell'Istituto Storico Italiano, Socio Straniero della R. Accademia delle Scienze Neerlandese, e della Savoia, Socio Corrispondente della R. Accademia delle Scienze di Monaco in Baviera, ecc. ecc., Gr. Uffiz. \* e , Cav. e Cons. , Gr. Cord. dell'O. del Leone Neerlandese e dell'O. d'Is. la Catt. di Spagna, ecc.


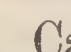
REYMOND (Gian Giacomo), già Professore di Economia politica nella Regia Università di Torino, \*.


CANONICO (Tancredi), Senatore del Regno, Professore emerito, Presidente di Sezione della Corte di Cassazione di Roma, Socio Corrispondente della R. Accademia dei Lincei, Socio della R. Accad. delle Scienze del Belgio, di quella di Palermo, della Società Generale delle Carceri di Parigi, Consigliere del Contenzioso Diplomatico, Comm. \*, e Gr. Croce , Cav.: , Comm. dell'Ord. di Carlo III di Spagna, Gr. Uffiz. dell'Ord. di Sant'Olaf di Norvegia, Gr. Cord. dell'O. di S. Stanislao di Russia.

VILLARI (Pasquale), Senatore del Regno, Vice Presidente del Consiglio superiore della Pubblica Istruzione, Presidente dell'Istituto storico di Roma, Professore di Storia moderna e Presidente della Sezione di Filosofia e Lettere nell'Istituto di Studi superiori, pratici e di perfezionamento in Firenze, Socio residente della R. Accademia della Crusca, Nazionale della R. Accademia dei Lincei, della R. Accademia di Napoli, della R. Accademia dei Georgofili, Presidente della R. Deputazione di Storia Patria per la Toscana, l'Umbria e le Marche, Socio di quella per le provincie di Romagna, Socio Straordinario della R. Accademia di Baviera, Socio Straniero dell'Accademia di Scienze di Gottinga, della R. Accademia Ungherese, Dott. On. in Legge della Università di Edimburgo, di Halle, Dott. On. in




Filosofia dell'Università di Budapest, Professore emerito della R. Università di Pisa, Gr. Uffiz. ✱ e , Cav. , Cav. del Merito di Prussia, ecc.

COMPARETTI (Domenico), Senatore del Regno, Professore emerito dell'Università di Pisa e dell'Istituto di Studi superiori, pratici e di perfezionamento in Firenze, Socio Nazionale della R. Accademia dei Lincei, della R. Accademia delle Scienze di Napoli, Socio corrispondente dell'Accademia della Crusca, del R. Istituto Lombardo e del R. Istituto Veneto, Membro della Società Reale dei testi di lingua, Socio straniero dell'Istituto di Francia (Accademia delle Iscrizioni e Belle Lettere) e corrispondente della R. Accademia delle Scienze di Monaco, di Vienna, di Copenhagen, Uff. ✱, Comm. , Cav. .

D'ANCONA (Alessandro), Professore di Letteratura italiana nella R. Università e Direttore della Scuola normale superiore in Pisa, Membro della Deputazione di Storia patria per la Toscana, Socio nazionale della R. Accademia dei Lincei, Socio della R. Accademia di Copenhagen; Socio corrispondente dell'Accademia della Crusca, del R. Istituto Lombardo di Scienze e Lettere, del R. Istituto Veneto e della R. Accademia di Lucca. Gr. Uff. ✱, Uff. .

ASCOLI (Graziadio), Senatore del Regno, Socio nazionale della R. Accademia dei Lincei, della Società Reale di Napoli e del R. Istituto Lombardo di Scienze e Lettere, Membro straniero dell'Istituto di Francia e della Società Reale svedese di Scienze e Lettere in Gotemburgo, Accademico della Crusca, Membro d'onore dell'Accademia delle Scienze di Vienna, Membro corrispondente delle Accademie delle Scienze di Belgrado, Berlino, Budapest, Copenaga, Pietroburgo, della Società orientale americana ecc.; Socio onorario delle Accademie delle Scienze d'Irlanda e di Rumania, della R. Accademia di Scienze, Lettere ed Arti di Padova, della Società asiatica italiana, dell'Ateneo di Brescia, dell'Accademia di Udine, del Circolo filologico di Milano, della Lega nazionale per l'unità di cultura tra i Rumeni e dell'Associazione Americana per le lingue moderne; Dottore in filosofia per diploma d'onore dell'Università di Wirzburgo, Pro-



fessore ordinario di Storia comparata delle lingue classiche e neolatine nella R. Accademia scientifico-letteraria di Milano; Cav. dell'Ord. Civile di Savoia, Gr. Cord. , Comm. della Legion d'Onore.

---

## ACCADEMICI STRANIERI

MOMMSEN (Teodoro), Professore nella Regia Università di Berlino.

MÜLLER (Massimiliano), Professore nell'Università di Oxford.

MEYER (Paolo), Professore nel Collegio di Francia, Direttore dell' "*École des Chartes* ", Parigi.

PARIS (Gastone), Professore nel Collegio di Francia, Parigi.

BÖHTLINGK (Ottone), Professore nell'Università di Lipsia.

TOBLER (Adolfo), Professore nell'Università di Berlino.

MASPERO (Gastone), Professore nel Collegio di Francia, Parigi.

WALLON (Enrico Alessandro), Segretario perpetuo dell'Istituto di Francia (Accademia delle Iscrizioni e Belle Lettere).

BRUGMANN (Carlo), Professore nell'Università di Lipsia.

---



## CORRISPONDENTI

---

### SEZIONE

#### DI SCIENZE FILOSOFICHE

RENDU (Eugenio) . . . . . *Brécourt*

BONATELLI (Francesco), Professore nella  
Regia Università di . . . . . *Padova*

PINLOCHE (Augusto), Professore nel Liceo  
Carlomagno di . . . . . *Parigi*

Tocco (Felice), Professore nel R. Istituto di  
Studi Superiori pratici e di perfezionamento di *Firenze*

CANTONI (Carlo), Professore nella R. Uni-  
versità di . . . . . *Pavia*

CHIAPPELLI (Alessandro), Professore nella  
R. Università di . . . . . *Napoli*

### SEZIONE

#### DI SCIENZE GIURIDICHE E SOCIALI

LAMPERTICO (Fedele), Senatore del Regno . *Vicenza*

SERPA PIMENTEL (Antonio di), Consigliere  
di Stato . . . . . *Lisbona*

RODRIGUEZ DE BERLANGA (Manuel) . . . *Malaga*



SCHUPFER (Francesco), Professore nella Regia  
Università di . . . . . *Roma*

GABBA (Carlo Francesco), Professore nella  
R. Università di . . . . . *Pisa*

BUONAMICI (Francesco), Professore nella  
R. Università di . . . . . *Pisa*

DARESTE (Rodolfo), dell'Istituto di Francia *Parigi*

## SEZIONE

### DI SCIENZE STORICHE

ADRIANI (P. Giambattista), della R. Depu-  
tazione sovra gli studi di Storia Patria . . . *Cherasco*

PERRENS (Francesco), dell'Istituto di Francia *Parigi*

BIRCH (Walter de GRAY), del Museo Bri-  
tannico di . . . . . *Londra*

CAPASSO (Bartolomeo), Sovrintendente degli  
Archivi Napoletani . . . . . *Napoli*

CHEVALIER (Canonico Ulisse) . . . . . *Romans*

DUCHESNE (Luigi), Direttore della Scuola  
Francese in . . . . . *Roma*

BRYCE (Giacomo) . . . . . *Londra*

PATETTA (Federico), Professore nella R. Uni-  
versità di . . . . . *Siena*



## SEZIONE DI ARCHEOLOGIA

PALMA di CESNOLA (Conte Luigi), Direttore  
del Museo Metropolitano di Arti a . . . . *New-York*

LATTES (Elia), Membro del R. Istituto Lom-  
bardo di Scienze e Lettere . . . . . *Milano*

POGGI (Vittorio), Bibliotecario e Archivista  
civico a . . . . . *Savona*

PLEYTE (Guglielmo), Conservatore del Museo  
Egizio a . . . . . *Leida*

PALMA DI CESNOLA (Cav. Alessandro), Membro  
della Società degli Antiquarii di Londra . . *Firenze*

MOWAT (Roberto), Membro della Società  
degli Antiquari di Francia . . . . . *Parigi*

NADAILLAC (Marchese I. F. Alberto de) . *Parigi*

BRIZIO (Eduardo), Professore nell'Univer-  
sità di . . . . . *Bologna*

BARNABEI (Felice), Direttore del Museo  
Nazionale Romano . . . . . *Roma*

GATTI (Giuseppe) . . . . . *Roma*

## SEZIONE DI GEOGRAFIA ED ETNOGRAFIA

PIGORINI (Luigi), Professore nella R. Uni-  
versità di . . . . . *Roma*



DALLA VEDOVA (Giuseppe), Professore nella  
R. Università di . . . . . *Roma*

MARINELLI (Giovanni), Professore nel R. Isti-  
tuto di Studi superiori pratici e di perfeziona-  
mento in . . . . . *Firenze*

## SEZIONE

### DI LINGUISTICA E FILOLOGIA ORIENTALE

KREHL (Ludolfo), Professore nell'Univer-  
sità di . . . . . *Dresda*

SOURINDRO MOHUN TAGORE . . . . . *Calcutta*

WEBER (Alberto), Professore nell'Univer-  
sità di . . . . . *Berlino*

KERBAKER (Michele), Professore nella R. Uni-  
versità di . . . . . *Napoli*

MARRE (Aristide) . . . . . *Vaucresson*  
(Francia)

OPPERT (Giulio), Professore nel Collegio di  
Francia . . . . . *Parigi*

GUIDI (Ignazio), Professore nella R. Uni-  
versità di . . . . . *Roma*

AMELINEAU (Emilio), Professore nella " *École*  
*des Hautes Études* „ di . . . . . *Parigi*

FOERSTER (Wendelin), Professore nell'Uni-  
versità di . . . . . *Bonn*



## SEZIONE

## DI FILOLOGIA, STORIA LETTERARIA E BIBLIOGRAFIA

BRÉAL (Michele), Professore nel Collegio di  
Francia . . . . . *Parigi*

NIGRA (S. E. Conte Costantino), Ambascia-  
tore d'Italia a . . . . . *Vienna*

RAJNA (Pio), Professore nell'Istituto di Studi  
superiori pratici e di perfezionamento in . . . *Firenze*

DEL LUNGO (Isidoro), Socio residente della  
R. Accademia della Crusca . . . . . *Firenze*

---



# MUTAZIONI

AVVENUTE

*nel Corpo Accademico dal 13 Novembre 1898  
al 19 Novembre 1899*

---

## ELEZIONI

---

SOCI

RENIER (Rodolfo), Professore nella R. Università di Torino, eletto Socio residente della Classe di scienze morali, storiche e filologiche nell'adunanza dell'8 gennaio 1899 e approvato con R. Decreto del 22 gennaio 1899.

PIZZI (Italo), Professore nella R. Università di Torino, id. id.

PARONA (Carlo Fabrizio), Professore nella R. Università di Torino, eletto Socio residente della Classe di scienze fisiche, matematiche e naturali nell'adunanza del 15 gennaio 1899 ed approvato con R. Decreto del 22 gennaio 1899.

---



## MORTI

4 Dicembre 1898.

CARUEL (Teodoro), Socio corrispondente della Classe di scienze fisiche, matematiche e naturali (Sezione di botanica e fisiologia vegetale).

18 Febbraio 1899.

LIE (Sophus), Socio corrispondente della Classe di scienze fisiche, matematiche e naturali (Sezione di matematiche pure).

24 Marzo 1899.

WIEDEMANN (Gustavo), Socio corrispondente della Classe di Scienze fisiche, matematiche e naturali (Sezione di fisica generale e sperimentale).

19 Aprile 1899.

FRIEDEL (Carlo), Socio corrispondente della Classe di scienze fisiche, matematiche e naturali (Sezione di chimica generale ed applicata).

21 Aprile 1899.

KIEPERT (Enrico), Socio corrispondente della Classe di scienze morali, storiche e filologiche (Sezione di geografia ed etnografia).

2 Giugno 1899.

NANI (Cesare), Socio e Segretario della Classe di scienze morali, storiche e filologiche.

29 Giugno 1899.

DESIMONI (Cornelio), Socio corrispondente della Classe di scienze morali, storiche e filologiche (Sezione di Scienze storiche).

16 Agosto 1899.

BUNSEN (Roberto Guglielmo), Socio straniero della Classe di scienze fisiche, matematiche e naturali.

20 Ottobre 1899.

PERRERO (Domenico), Socio residente della Classe di scienze morali, storiche e filologiche.

---



---

# PUBBLICAZIONI RICEVUTE DALL'ACCADEMIA

Dal 18 Giugno al 19 Novembre 1899.

---

## Classe di Scienze Fisiche, Matematiche e Naturali.

---

NB. Le pubblicazioni notate con \* si hanno in cambio;  
quelle notate con \*\* si comprano; e le altre senza asterisco si ricevono in dono.

---

- \*\* **Abhandlungen** der k. Preussischen geologischen Landesanstalt. N. F., Heft 29. Berlin, 1899; 8°, 4°.
- \* **Abhandlungen** herausg. von der Senckenbergischen Naturforschenden Gesellschaft. Bd. XXI, 4 Heft. Frankfurt a. M., 1899; 4°.
- \* **Abhandlungen** der mathem.-physischen Classe der k. Sächsischen Gesellschaft der Wissenschaften. Bd. XXV, N. 3. Leipzig, 1899; 8°.
- \* **Abhandlungen** der mathem.-physischen Classe der k. bayerischen Akademie der Wissenschaften, Bd. XIX, 3 Abth., XX, 1. München, 1899; 4°.
- \* **Académie R. des Sciences, des Lettres et des Beaux-Arts de Belgique.** *Tables générales des Mémoires (1772-1897). Tables générales du recueil des Bulletins. 3<sup>me</sup> série. T. I-XXX (1881 à 1885). Bruxelles, 1898; 2 vol. 8°.*
- \* **American Chemical Journal.** Vol. XX, Nos. 8-10; XXI, Nos. 1-5. Baltimore, 1898-99; 8° (*dall'Università John Hopkins di Baltimora*).
- \* **American Journal of Mathem.** Vol. XX, Nos. 4; XXI, Nos. 1, 2. Baltimore, 1898-99; 4° (*Id.*).
- \* **Anales del Museo Nacional de Buenos Aires.** 2<sup>a</sup> Ser., t. III. Buenos Aires, 1899; 8°.
- \* **Anales de la Sociedad Científica Argentina.** Entrega VI, t. XLVII; I-IV, t. XLVIII. Buenos Aires, 1899; 8°.
- \* **Anales del Museo Nacional de Montevideo,** t. II, fasc. 11. 1899; 4°.
- \* **Annales de la Société Entomologique de Belgique.** T. 42<sup>me</sup>. Bruxelles, 1898; 8°.
- \* **Annales de la Société royale Malacologique de Belgique.** Mémoires, T. XXXII et XXXIV (solo 16 pag.). Bruxelles, 1899; 8°.
- \* **Annales de la Société belge de microscopie.** T. XXIII. Bruxelles, 1899; 8°.
- \* **Annales de la Société géologique de Belgique.** T. XXIV, 3<sup>e</sup> livr.; XXV, 2<sup>e</sup>; XXVI, 1<sup>e</sup>-3<sup>e</sup>. Liège, 1898-99; 8°.



- \* **Annales** de la Société d'Agriculture, Sciences et Industrie de Lyon. 7<sup>e</sup> série, t. V, 1898. Lyon, 1898; 8°.
- \* **Annales** de la Société Linnéenne de Lyon. Nouvelle série, t. 45<sup>e</sup>. Lyon, 1899; 8°.
- \* **Annales** de l'Université de Lyon; Nouvelle série, I, Sciences; Médecine, fasc. 1<sup>r</sup> et 2<sup>e</sup>. Lyon, 1899; 8°.
- \* **Annales** des Mines. 9<sup>me</sup> série, t. XV, livrs. 4-6. Paris, 1898; 8°.
- \* **Annales** de la Faculté des Sciences de Toulouse. Deuxième série, T. I, 1<sup>r</sup> fasc. (1899). Toulouse; 4°.
- \* **Annali** della R. Scuola Normale superiore di Pisa. Scienze fisiche e matematiche. Vol. XXI. Pisa, 1899; 8°.
- \* **Annali** della R. Accad. d'Agricoltura di Torino, vol. 41°. Torino, 1899; 8°.
- \* **Annals** of the New York Academy of Sciences; XI, part III; XII, part I. New York, 1898; 8°.
- \* **Annuaire** de l'Académie des Sciences, des Lettres et des Beaux-Arts de Belgique 1898 et 1899. Bruxelles; 2 vol. 16°.
- \* **Archives** du Musée Teyler, série II, vol. VI, 3<sup>e</sup> partie. Haarlem, 1899; 8°.
- \* **Archives** (Nouvelles) du Muséum d'histoire naturelle. III<sup>e</sup> sér., t. 10<sup>e</sup>, fasc. 1<sup>r</sup> et 2<sup>d</sup>. Paris, 1899; 4°.
- \* **Astronomical** and Meteorological Observations made at the Radcliffe Observatory Oxford in the Years 1890-91 (Vol. XLVII). Oxford, 1899; 8°.
- \* **Atti** della R. Accademia economico-agraria dei Georgofili di Firenze, 4<sup>a</sup> serie, vol. XXII, disp. 1<sup>a</sup>-2<sup>a</sup>, 1899; 8°.
- \* **Atti** della Società Italiana di scienze naturali, vol. XXXVIII, fasc. 3°. Milano, 1899; 8°.
- \* **Atti** della Società dei Naturalisti di Modena. Serie III, vol. XVI, fasc. 3°. Modena, 1899; 8°.
- \* **Atti** della R. Accademia dei Lincei. Rendiconto dell'Adunanza solenne del 4 giugno 1899; 4°.
- \* **Atti** dell'Accademia pontificia dei Nuovi Lincei. Anno LII, sess. V<sup>a</sup>-VII<sup>a</sup>, 1899. Roma; 4°.
- \* **Atti** del R. Istituto Veneto di Scienze, Lettere ed Arti. T. LVIII, disp. 3<sup>a</sup>, 4<sup>a</sup>. Venezia, 1899; 8°.
- Australian Museum.** Report of Trustees for the year 1898. Sydney, 1899; 4°.
- \* **Berichte** über die Verhandlungen der k. Sächsischen Gesellschaft der Wissenschaften zu Leipzig. Mathem.-Phys. Classe. 1899, IV. Leipzig; 8°.
- \* **Bihang** till Kongl. Svenska- Ventenskaps- Akademiens Handlingar. Bd. 24. Afdelning I-IV. Stockholm, 1899; 8°.
- Boletim** do Museu Paranense de historia natural e ethnographia. Vol. II. No. 1-4 (1897-98). Parà-Brazil, 1897-98; 8°.
- Boletin** de la Academia Nacional de Ciencias en Cordoba. T. XVI, entr. 1<sup>a</sup> y 3<sup>a</sup>. Buenos-Aires, 1899; 8°.
- \* **Bollettino** del R. Orto Botanico di Palermo. Anno II, fasc. III-IV, 1899; 8°.
- \* **Bollettino** del R. Comitato Geolog. d'Italia. Anno 1898, n. 4; 1899, n. 1, 2. Roma, 1899; 8°.
- \* **Bollettino** del Club Alpino Italiano pel 1898. Vol. XXXII. N. 65. Torino, 1899; 8°.



\* **British-Museum** (Natural History):

A Hand-List of the genera and species of Birds. 'By R. B. Sharpe. Vol. 1°.

List of the genera and species of Blastoidea.

Catalogue of the African Plants collected by Dr. Fried. Welwitsch in 1853-61, Vol. II. Part 1. London, 1899; 8°.

\* **Buletinul** Societații de Științe din București-Romania. Anul VIII. No. 1 și 2, 3. București, 1899; 8°.

\* **Bulletin** of the Johns Hopkins Hospital, vol. IX, Nos. 93-97. Baltimore, 1898-99; 4°.

\* **Bulletin** de la Société Belge de Géologie, de Paléontologie et d'Hydrologie. Tom. XII, fasc. 1; 1898. Bruxelles, 1899; 8°.

\* **Bulletin** de la Société Belge de Microscopie. XXIV<sup>e</sup> an. 1897-98; N. 10, XXV<sup>e</sup>, an. 1898-1899. Bruxelles; 8°.

\* **Bulletin** mensuel de magnétisme terrestre de l'Observatoire R. de Bruxelles. Avril-Juin, 1899. Bruxelles; 8°.

\* **Bulletin** of the Museum of Comparative Zoology at Harvard College. Vol. XXXII, No. 10; XXXIII; XXXV, No. 1, 2. Cambridge, Mass., 1899; 8°.

\* **Bulletin** de l'Académie Royale des sciences et des lettres de Danemark. 1899, n. 2, 3. Copenhague; 8°.

\* **Bulletin** of the Scientific Laboratories of Denison University. Vol. XI, 4-8. Granville, Ohio, 1897-98; 8°.

\* **Bulletin** de la Société des Sciences naturelles de l'Ouest de la France. T. VIII, 3<sup>e</sup> et 4<sup>e</sup> trimestre, 1898, IX, 1<sup>er</sup> trim. 1899. Nantes; 8°.

\* **Bulletin** de la Société Géologique de France. 3<sup>e</sup> série, t. XXVI, n. 6, 1898; XXVII, 1899, n. 1. Paris, 1899; 8°.

\* **Bulletin** de la Société de Géographie. 7<sup>me</sup> série, T. XX, 3<sup>me</sup> trimestre 1899. Paris; 8°.

\* **Bulletin** de la Société Mathématique de France. T. XXVII, fasc. 1-3. Paris, 1899; 8°.

\* **Bulletin** du Muséum d'histoire naturelle. Année 1898, Nos. 7-8; 1899, Nos. 1, 2. Paris, 1898-99; 8°.

**Bulletin** de la Société Philomatique de Paris. 9<sup>e</sup> série, t. I, n. 1, 2, 1898-99. Paris; 8°.

\* **Bulletin** de la Société Zoologique de France pour l'année 1898. T. XXIII. Paris; 8°.

**Bulletin** (Treasury Department. Office of the Coast and Geodetic Survey). No. 37-40. Washington, 1899; 8°.

\* **Bulletin** on the United States National Museum, n. 47, Part II, III. Washington, 1898; 8° (*dalla Smithsonian Institution*).

\* **Bulletins** de l'Académie Royale des Sciences, des Lettres et de Beaux-Arts de Belgique. 3<sup>e</sup> série, t. XXXIV-XXXVI. Bruxelles, 1897-98; 8°.

\* **Bulletins** des séances de la Société Malacologique de Belgique. Vol. XXXIV, 5<sup>e</sup> foli. Bruxelles, 1899; 8°.

\* **Bullettino** della Società veneto-trentina di scienze naturali. T. VI, n. 4. Padova, 1899.

\* **Bullettino** dell'Istituto di Diritto Romano. A. XI, fasc. 2°. Roma, 1899; 8°.



- \* **Canadian Journal** (The) of Sciences, Literature and History. Vol. XV. N. S. No. V. Toronto, 1877; 8°.
- Catalogue** de la bibliothèque et des collections de feu Crosse. Paris, 1899; 8° (*dall'edit. sig. Deyrolle*).
- \* **Ceská Akademie Císare Frantiska Josefa** pro vědy, slovesnost a Umění. III. Bulletin international. Résumé des travaux présentés. V. Sciences mathématiques et naturelles; V. Médecine, 1898; 8°.  
Rozpravy. Třída II (Mathematiko-Přírodnická). Ročník, VII (1898); 8°.  
Věstník. Ročník VII. Číslo 1-9. 1898; 8°.
- Chicago** (The) **Academy** of Sciences.  
Bulletin No. II of the Geological and Natural History Survey.  
Fortieth Annual Report for the year 1897. Chicago, 1898; 8°.
- \* **Comune di Torino**. Ufficio d'Igiene. Relazione per l'anno 1896. Torino, 1899; 8°.
- Comunicaciones** del Museo Nacional de Buenos Aires. Tomo I, n. 3, 4. Buenos Aires, 1899, 8° (*dal Direttore del Museo Dr. Prof. C. BERG*).
- \* **Denkschriften** der medicinisch-naturwissenschaftlichen Gesellschaft zu Jena; vol. IV, 2 Lief.; VI, 2 Lief.; VII, 2 Lief. Jena, 1898-99; 4°.
- \*\* **Erläuterungen** zur geologischen Specialkarte von Preussen und den Thuringischen Staaten. Lief. 76. No. 32, 33, 52-54, 58-60. Berlin, 1899. Testo in-8° e Atl. in-f°.
- \* **Field Columbian Museum**. Report Series, vol. I, No. 4. Geological series. Vol. I, Nos. 3-6. Zoological series. Vol. I, Nos. 11-15. Chicago, 1898-99; 8°.
- \*\* **Fortschritte** der Physik im Jahre 1892, Bd. LIV. 1 Abt. Braunschweig, 1899; 8°.
- \* **General Report** on the work carried on by the Geological Survey of India for the period from 1st April 1898 to the 31st March 1899. Calcutta, 1899; 8°.
- \* **Giornale** della R. Accademia di Medicina. A. LXII, n. 6-8. Torino, 1899; 8°.
- \* **Istituto** (R.) Botanico di Palermo: Contribuzioni alla Biologia vegetale edite da ANTONIO BORZI. Vol. II, fasc. 3°. Palermo, 1899; 8°.
- \* **Jahrbuch** über die Fortschritte der Mathematik. Bd. XXVIII, Heft 1, 2. Berlin, 1899; 8°.
- \* **Jahrbuch** der k. k. geologischen Reichsanstalt zu Wien. Jahr. 1898, XLVIII, 3 u. 4 Heft; XLIX, 1-2 Heft. Wien, 1899; 8°.
- Jahresbericht** des Direktors des k. Geodätische Instituts für die Zeit von April 1898 bis April 1899. Potsdam, 1899; 8° (*dal sig. Dr. Helmert Direttore dell'Istituto*).
- \* **Jahres-Berichte** der Naturwissenschaftlichen Vereins zu Elberfeld, IX. Heft. Elberfeld, 1899; 8°.
- \* **Jahreshefte** des Vereins für vaterländische Naturkunde in Württemberg. 55 Jahrgang. Stuttgart, 1899; 8°.
- \* **Jenaische Zeitschrift** für Naturwissenschaft herausg. von der medicinisch-naturwissenschaftlichen Gesellschaft zu Jena. *Namen- und Sachregister* zu den Band. 1-30. Leipzig, 1899; 8°.
- \* **Johns Hopkins Hospital**: Reports. Vol. VII, No. 4; VIII, No. 1-2. Baltimore, 1899; 8°.



- \* **Journal** of Morphology. Edited by C. O. Whitman, ....with the co-operation of Ed. Ph. Allis. Vol. XIV, No. 3; XV, No. 2. Boston, 1898; 8°.
- \* **Journal** of the Asiatic Society of Bengal. Vol. LXVIII, Part II, No. 1, 1899, Natural science. Vol. LXVIII, Part III, No. 1, Anthropology and Cognate Subjects. P. III, No. 1 (1899). Calcutta, 1898; 8°.
- \* **Journal** of the Linnean Society. Botany, vol. XXXIII, No. 234; XXXIV, Nos. 235-239; Zoology, vol. XXVI, No. 172; XXVII, Nos. 173-176. London, 1898-99; 8°.
- \* **Journal** of the R. Microscopical Society, 1899, part. 4, 5. London; 8°.
- \* **Journal** of the Academy of Natural sciences of Philadelphia. Second series, vol. XI, p. 2. Philadelphia, 1899; 4°.
- \* **Journal** and **Proceedings** of the R. Society of New South Wales. Vol. XXXII, 1899. Sydney, 1899; 8°.
- \* **Journal** of the College of Science Imperial University Japan. Vol. XI, part III. Tokio, 1899; 4°.
- \* **Kansas University Quarterly**. Ser. A: science and mathematics. Vol. VIII, No. 2. Lawrence, 1899.
- \* **Kongliga-Svenska Vetenskaps-Akademiens**. Handlingar Ny Följd. Bd. 31. Stockholm, 1898-99; 4°.
- \* **List** of Linnean Society of London, 1898-99. London, 1898; 8°.
- \* **List** (A) of the Fellows and honorary, foreign, and corresponding Members and Medallist of the Zoological Society of London. London, 1899; 8°.
- \* **List** of the Geological Society of London. November 1st, 1899; 8°.
- \* **Magnetische** und Meteorologische Beobachtungen an der k. k. Sternwarte zu Prag im Jahre 1898. Prag, 1899; 4°.
- \* **Mémoires** de l'Académie Royale des Sciences, des Lettres et des Beaux-Arts de Belgique. T. LIII. Bruxelles, 1898; 4°.
- \* **Mémoires Couronnés** et mémoires des savants étrangers publiés par l'Académie Royale des Sciences, des Lettres et des Beaux-Arts de Belgique. T. LV, LVI. Bruxelles, 1896-1898; 4°.
- \* **Mémoires Couronnés** et autres mémoires publiés par l'Académie Royale des Sciences, des Lettres et des Beaux-Arts de Belgique. Collection in-8°, t. LV et LVII. Bruxelles, 1898; 8°.
- \* **Mémoires** de l'Académie des Sciences et des Lettres de Danemark. 6° sér. Section des sciences, t. IX, n. 1, 2; X, n. 1. Copenhague, 1899; 4°.
- \* **Mémoires** de la Société de Physique et d'Histoire naturelle de Genève. Tom. XXXIII, 1<sup>e</sup> partie, 1898; 4°.
- \* **Mémoires** de la Société Royale des Sciences de Liège. 3<sup>me</sup> série, t. I. Bruxelles, 1899; 8°.
- \* **Mémoires** de l'Académie des sciences, arts et belles-lettres de Lyon. Sciences et Lettres, 3<sup>ème</sup> série, t. V. Lyon, 1898; 8°.
- \* **Mémoires** de la Société zoologique de France pour l'année 1898. Tome XI. Paris, 1898; 8°.
- \* **Memoirs** of the Boston Society of Natural history. Vol. V, nos 4-5. Boston, 1899; 4°.
- \* **Memoirs** of the R. Astronomical Society. Vol. LII, LIII. London, 1899. 2 vol. 4°.



- \* **Memoirs** of the National Academy of Sciences. Vol. VIII [2 fasc.]. Washington, 1898; 4°.
- \* **Memorias y Revista de la Sociedad Científica** " Antonio Alzate „. T. XII (1898-99), N. 1-6. Mexico, 1898-99; 8°.
- \* **Memorie** del R. Istituto Lombardo di scienze e lettere. Classe di scienze matematiche e naturali. XVIII, fasc. VIII. Milano, 1899; 4°.
- \* **Memorie** del R. Istituto Veneto di scienze, lettere ed arti. Vol. XXVI, N. 5. Venezia, 1899; 4°.
- \* **Missouri Botanical Garden**. Tenth annual Report. St. Louis, Mo., 1899; 8°.
- \* **Monthly Notices** of the Royal Astronomical Society. Vol. LIX, No. 9, 10. London, 1899; 8°.
- \* **Nachrichten** von der königl. Gesellschaft der Wissenschaften zu Göttingen. Geschäftliche Mittheilungen, 1899, Heft 1. Göttingen; 8°.
- \* **Natuurkundig Tijdschrift** voor Nederlandsch-Indië uitgegeven door de k. Natuurkundige vereeniging in Nederl.-Indië. Deel LVIII. Tiende serie Deel II. Batavia, 1899; 8°.
- \* **Nieuw Archief** voor Wiskunde. Tweede Reeks. Deel IV. Tweede, Derde Stuck. Amsterdam, 1899; 8°.
- \* **Nieuwe Opgaven**. Deel VIII, N. 53-71.
- North American Fauna**. N° 15. Revision of the Jumping Mice of the genus *Zapus* by Ed. A. Preble. Washington, 1899; 8° (*dall' U. S. Department of Agriculture, Divis. of Biological Survey*).
- \* **Nova Acta** Regiae Societatis Scientiarum Upsaliensis. Seriei tertiae, vol. XVIII, fasc. 1, 1899; 4°.
- Observaciones** meteorológicas practicadas en el Observatorio Astronómico nacional de Tacubaya... durante el año de 1895,... por M. Moreno y Anda. Mexico, 1897; 4°.
- Observations et Mesures** de la Suède. III. Upsala, 1899; 4° (*dal Direttore dell' Osservatorio Meteorologico di Upsala*).
- Peabody Institute**, of the city of Baltimore. Thirty-second Annual Report. June 1, 1899. Baltimore; 8°.
- \* **Philosophical Transactions** of the Royal Society of London, 1897. Ser. A, vol. 191; ser. B, vol. 190. London, 1898; 4°.
- \* **Proceedings** of the American Academy of Arts and Sciences. Vol. XXXIV, Nos. 8-20. Boston, 1899; 8°.
- \* **Proceedings** of the Boston Society of Natural history. Vol. XXVIII, Nos. 13-16. Boston, 1898-99; 8°.
- \* **Proceedings** of the Asiatic Society of Bengal. Nos. IV-VII (1899). Calcutta; 8°.
- \* **Proceedings** of the Cambridge philosophical Society. Vol. X, Part III. Cambridge, 1899; 8°.
- Proceedings and Transactions** of the Nova Scotian Institute of Science. Session of 1896-97, 2<sup>e</sup> series, vol. II, part 4<sup>a</sup>. Halifax N. S., 1898; 8°.
- \* **Proceedings** of the Royal Society. LXV. No. 416-419. London, 1899; 8°.
- \* **Proceedings** of the Linnean Society of London. From November 1897 to June 1898. From November 1898 to June 1899. London, 1898; 8°.



- \* **Proceedings** of the Zoological Society of London for the year 1899.  
Part II, III. London, 1899; 8°.
- Proceedings** of the Royal Institution of Great Britain. Vol. XV, Part III.  
London, 1899; 8°.
- \* **Proceedings** of the Canadian Institute. Toronto, N. S., vol. I, No. 1, 3; II,  
1, 2; Third series, vol. III, 1. N. S., vol. I, Part 2; vol. II, Part 2,  
1882-1884, 1885, 1899; 8°.
- \* **Proceedings** of the Academy of Natural Sciences of Philadelphia. 1898.  
Part III; 1899, Part I. Philadelphia, 1899; 8°.
- \* **Proceedings** of the American Philosophical Society held at Philadelphia.  
Vol. XXXVII. No. 158. Philadelphia, 1898; 8°.
- \* **Proceedings** of the California Academy of Sciences. 3. Ser., Botany  
vol. I, Nos. 3-5; Geology I, No. 4; Zoology I, Nos. 6-10; Math-Phys. vol. I,  
Nos. 1-4. San Francisco, 1898; 8°.
- Proceedings** of the United States National Museum. Vol. XVIII (1895), XX;  
Washington, 1896, 1898; 8° (*dalla Smithsonian Institution*).
- Pubblicazioni** del R<sup>o</sup> Istituto di studi superiori pratici e di perfeziona-  
mento in Firenze. Sez. di scienze fisiche e naturali. R<sup>o</sup> Osservatorio di  
Arcetri, fasc. 1-10. Firenze, 1896-99; 8° (*dono del R. Istituto*).
- \* **Quarterly Journal** of Geological Society. Vol. LV, Part 3, 4, Nos. 219, 220.  
London, 1899; 8°.
- \* **Rapport** annuel de la Commission de Géologie du Canada (Nouvelle  
Série). Vol. IX, 1896. Ottawa, 1898; 8°.
- \* **Rendiconti** del Circolo matematico di Palermo. Tom. XIII, fasc. 5.  
Palermo, 1899; 8°.
- \* **Rendiconti** del R. Istituto Lombardo di scienze e lettere. Vol. XXXII,  
fasc. 15. Milano, 1899; 8°.
- \* **Rendiconto** delle Sessioni della R. Accademia delle Scienze dell'Istituto  
di Bologna. N. S. vol. III (1898-99), fasc. 1-4. 1899; 8°.
- \* **Rendiconto** dell'Accademia delle Scienze fisiche e matematiche di Napoli.  
Serie 3<sup>a</sup>, vol. V, fasc. 6<sup>o</sup>, 7<sup>o</sup>. Napoli, 1899; 8°.
- \* **Report** (Annual) of the Assistant in charge of the Museum of compara-  
tive Zoology at Harvard College to the President and Fellows of Har-  
vard College for 1898-99. Cambridge, u. s. a. 1899; 8°.
- Report** for the Year 1897-98, presented by the Board of Managers of the  
Observatory of Yale Univers. to the President and Fellows. New-Haven;  
1899; 8°.
- Report** of the Seventh Meeting of the Australasian Association for the  
advancement of science, held at Sydney, 1898. Sydney, 1898; 8°.
- Report** (Eighteenth Annual) of the United States Geological Survey to  
the Secretary of the Interior 1896-97. Ch. D. Walcott Director. In five  
parts. Part. I. Director's report, including triangulation and spirit le-  
veling. II. Papers chiefly of a theoretic nature. III. Economic Geology.  
IV. Hydrography. V. Mineral resources of the U. S. 1896. Metallic  
products and Coal. Nonmetallic products except Coal. In 2 vol. Wa-  
shington, 1896-97, 6 vol.; 4°.
- \* **Report** (Annual) of the Board of Regents of the Smithsonian Institu-



- tion, etc.... June, 30, 1896. Report of the U. S. National Museum. 1894. Washington, 1898; 8°.
- Résumé météorologique de l'année 1897 (et 1898) pour Genève et le Grand Saint-Bernard** par le prof. R. Gautier. Genève, 1898, 1899; 8°, 2 fasc.
- \* **Skrifter** udgivne af Videnskabselskabet i Christiania 1899, No. 2-4, 6, 7. I Mathematisk naturvidenskabelig Klasse. Kristiania, 1899; 8°.
- \* **Sitzungsberichte** der K. Preuss. Akademie der Wissenschaften zu Berlin. (4 Mai) XXIII (27 Juli 1899) XXXVIII. Berlin, 1899; 8°.
- \* **Sitzungsberichte** der mathematisch-physikalischen Classe der k. b. Akademie der Wissenschaften zu München. 1899. Heft II. München; 8°.
- Spelunca**. Bulletin de la Société de Spéléologie. 4<sup>e</sup> année, T. IV, n. 15, 16. Paris, 1897: 8°.
- \* **Thätigkeit** der Physikalisch-Technischen Reichsanstalt in der Zeit vom 1 Februar 1898 bis 31 Januar 1899. Berlin; 4° (*dall'Istituto Fisico-Tecnico in Charlottenburg*).
- \* **The Royal Society**. 30th. November 1898; 4° (Elenco dei Soci).
- Transactions of the Edinburgh Geological Society**. Vol. VII, pt. IV. Edinburgh, 1899; 8°.
- \* **Transactions of the Linnean Society of London**. Botany, vol. V, p. 9, 10. — Zoology, vol. VII, 5-8. London, 1898-99; 4°.
- \* **Transactions of the Zoological Society of London**. Vol. XV, part 2, 3. 1899; 4°.
- \* **Transactions of the Manchester Geological Society**. Vol. XXVI, Nos. IV-VI, 1899; 8°.
- Transactions of the Connecticut Academy of Art and Sciences**. Vol. X, P. 1. New Haven, 1899; 8°.
- \* **Travaux et Mémoires du Bureaux international des Poids et Mesures**. T. IX. Paris, 1898; 4°.
- Verhandlungen der 1898 in Stuttgart abgehaltenen zwölften allgemeinen Conferenz der Internationalen Erdmessung mit den hierzu gehörigen Spezialberichten**. Berlin, 1899; 4° (*dal sig. Dr. Helmert Direttore del Centralbureau der Intern. Erdmessung in Potsdam*).
- \* **Verhandlungen** des naturhistorisch-medicinischen Vereins zu Heidelberg. N. F. VI Bd., 2 Heft. 1898; 8°.
- \* **Verhandlungen** der k. k. geologischen Reichsanstalt. N. 9-10, 1899. Wien; 8°.
- \* **Wiskundige Opgaven met de Oplossingen**, door de leden van het Wiskundig Genootschap, ter sepreuke voerende: VII Dl. 7<sup>de</sup> Stuk; VIII 1<sup>ste</sup> Stuk. Amsterdam, 1899; 8°.
- \* **Wissenschaftliche Meersuntersuchungen** herausg. von der Kommission zur wissenschaftlichen Untersuchungen der deutschen Meere in Kiel und der biologischen Anstalt auf Helgoland. N. F. Dritter Bd., Abt. Helgoland, Heft 1. Vierter Bd., Abt. Kiel. Kiel und Leipzig, 1899; 4°.
- \* **Wissenschaftliche Veröffentlichungen des Vereins für Erdkunde zu Leipzig**. 4 Bd. Leipzig, 1899; 8°.
- \* **Year-Book of the Royal Society**. 1899, No. 3. London; 8°.
- \* **Журналъ русскаго физико-химическаго Общества при Императорскомъ С. Петербургскомъ Университетѣ**; т. XXXI, n. 4-6. 1899; 8°.



\* *Dall' Università di California:*

- Agricultural** experiment Station; Bulletin N° 120, 121. Berkeley, 1898; 8°.
- Bulletin** of the Department of Geology. Vol. II, N° 4. Berkeley, 1898; 8°.
- Hirst** (H.H.). Adjustment of Engineering Field Instruments. Berkeley, 1898; 8°.
- Report** (Partial) of Work Agricultural experiment Stations of the Univ. of California for the years 1895-96; 1896-97. Berkeley, 1898; 8°.
- Wadsworth** (M. E.). The elective system as adopted in the Michigan Mining School. Houghton, Mich. 1895; 8°.
- *Zirkelite*: A question of Priority; 1898; 8°.
- Some methods of determining the positive or negative character of mineral plates in converging polarized light with the petrographical Microscope. Houghton, Mich, 1898; 8°.
- Editors Journal of Geology; Houghton, Mich, 1897; 8°.
- Some Statistics of Engineering Education. Houghton, 1897; 8°.
- The Michigan College of Mines. Houghton, 1897; 8°.
- The Origin and Mode of Occurrence of the Lake Superior Copper-Deposits. Houghton, 1897; 8°.
- The Elective System in Engineering Colleges. Buffalo, 1896; 8° (*dalla Università di California*).

\* *Dall' Università di Erlangen:*

- Barthel** (T.). Ueber den Bakteriengehalt der Luftwege. Jena, 1898; 8°.
- Beermann** (H.). Kritische Studien über die neueren quantitativen Bestimmungsmethoden der Borsäure mit Einschluss der Turmalinanalyse. Berlin, 1898; 8°.
- Bode** (K.). Beitrag zur Statistik der radikalen Herniotomie. Hildesheim, 1899; 8°.
- Boetticher** (T. v.). Ein Beitrag zur amyotrophischen Lateralsklerose. Erlangen, 1899; 8°.
- Bolkenius** (W.). Ueber die Therapie des Empyems der Kieferhöhle. Marburg, 1898; 8°.
- Braun** (H.). Beiträge zur Milchfrage mit besonderer Berücksichtigung der Erlanger Markt-Milch. Berlin, 1898; 8°.
- Breitenbach** (P.). Ueber die innere Reibung der Gase und deren Aenderung mit der Temperatur. Leipzig, 1898; 8°.
- Brodnitz** (H.). Ueber den Einfluss saurerer Nährböden auf die Entwicklung einiger Bakterienarten. Erlangen, 1898; 8°.
- Brodtmann** (F.). Ueber die Funktion der mechanischen Elemente beim Farnsporangium und bei der Anthere. Erlangen, 1898; 8°.
- Bründelmayer** (J. A.). Ueber bromierte Säuren des Strychnins. Erlangen, 1899; 8°.
- Brünings** (W.). Zur Physiologie des Kreislaufes der Fische. Altenburg, 1899; 8°.



- Bürkel** (K. v.). Ueber chronische Milzschwellungen im Kindesalter. München, 1898; 8°.
- Busse** (O.). Ein Beitrag zur Coxa vara. Erlangen, 1899; 8°.
- Cohn** (F.). Untersuchungen über die Durchgängigkeit des Cervikalkanals bei Erstgeschwängerten am Ende der Schwangerschaft. Erlangen, 1898; 8°.
- Colloseus** (H.). Ueber die Einwirkung von Aldehyden und Ketonen auf Thiosemicarbazide und Thioharnstoffe. Erlangen, 1899; 8°.
- Dennhardt** (R.). Ueber Beziehungen zwischen Fluidität und electrolytischer Leitfähigkeit von Salzlösungen etc. Leipzig, 1898; 8°.
- Deussen** (F. J. P. E.). Ueber die Absorption der Uranylsalze. Leipzig, 1898; 8°.
- Dreverhoff** (P.). Ueber die Einwirkung von Phosphorpentachlorid auf N-alkyl- $\alpha$ -Toluchinolone. Erlangen, 1898; 8°.
- Ebeling** (F.). Ein Fall von primärem Sarkom des Peritoneums. Erlangen, 1898; 8°.
- Ebest** (G.). Ueber Riesenzellensarcome. Erlangen, 1899; 8°.
- Eller** (H.). Ueber die Dauererfolge der Totalexstirpation bei Carcinoma uteri. Erlangen, 1898; 8°.
- Evens** (A.). Ueber die Anwendung der Schlund- und Magenschlauchsonde, etc. Erlangen, 1899; 8°.
- Fischer** (G.). Beitrag zur vergleichenden Anatomie der Blätter der Compositen. Erlangen, 1898; 8°.
- Gartzen** (P. v.). Einwirkung von Phosgen auf acetylierte aromatische Basen. Berlin, 1898; 8°.
- Glauning** (W.). Ueber die conservative und operative Behandlung der Myopie. Erlangen, 1896; 8°.
- Gossmann** (H.). Ueber die anorganischen Bestandteile der Bauchspeicheldrüse (Pancreas) und der Niere. München, 1898; 8°.
- Grosse** (F. E.). Beiträge zur vergleichenden Anatomie der Onagraccen einschliesslich besonderer Berücksichtigung der Entwicklung und des anatomischen Baues der Vegetationsorgane von Trapa Natans. Dresden, 1895; 8°.
- Gundling** (X.). Ueber Gewichtsverhältnisse der Neugeborenen in den ersten Lebenstagen und die Ursachen der Gewichtsabnahme. Ellwangen, 1898; 8°.
- Gutbier** (A.). Beiträge zur Kenntnis der Isorosinduline. Erlangen, 1899; 8°.
- Hagenmeyer** (H.). Ueber die nervösen Nachkrankheiten der Diphtherie mit besonderer Berücksichtigung der postdiphtherischen Ataxie. Freiburg i. Br., 1898; 8°.
- Hapel** (M.). Studien über einige Hydroxylaminderivate. Erlangen, 1898; 8°.
- Hardt** (C.). Ueber die Einwirkung von Alkyljodiden auf die Kaliumsalze der Amidosäuren. Erlangen, 1899; 8°.
- Haueisen** (E.). Ueber Azinscharlach und seine Derivate. Erlangen, 1898; 8°.
- Hayler** (M.). Décollement de la peau et des couches sous jacentes. Erlangen, 1898; 8°.
- Hederich** (R.). Goethe und die physikalische Geographie. München, 1898; 8°.
- Hennig** (H.). Ein Fall von papillomatösem Krebs des Rectum mit Durchbruch in Blase und Bauchhöhle. Erlangen, 1898; 8°.



- Hohberg** (H.). Ueber Wirkungen der Phenylmethyipyrazolonsulfosäure. Erlangen, 1899; 8°.
- Hoppe** (A.). Ueber einige Eruptivgesteine aus dem mexicanischen Staat Puebla. Leipzig, 1899; 8°.
- Hörger** (W.). Ueber die Einwirkung von Phosphorpentachlorid auf N-Alkyl- $\alpha$ -Pyridone. Erlangen, 1899; 8°.
- Ihl** (O.). Ueber einige Wirkungen des Phenylthiobiazolinsulfhydrat. Erlangen, 1897; 8°.
- Jacob** (A.). Ueber einen Fall von Hysterie im Kindesalter mit Mutismus, Blepharospasmus und Astasie-Abasie. Erlangen, 1899; 8°.
- Jakob** (B.). Ueber infektiöse Embolie im Wochenbett. Erlangen, 1898; 8°.
- Ilse** (P.). Röntgenstrahlen: Frakturen und Luxationen. Erlangen, 1898; 8°.
- Kaliski** (J.). Ueber den sogenannten Roseschen Kopftetanus. Breslau, 1898; 8°.
- Kinscher** (H.). Zur Kasuistik des Oesophagusdrüsenkrebses. Erlangen, 1899; 8°.
- Klenker** (O.). Studien über Antimonpentasulfid. Leipzig, 1899; 8°.
- Koch** (K.). Ueber einen Fall von Epignathus. Erlangen, 1899; 8°.
- Köpp** (A.). Ueber Carvonpinakon und Fenchonpinakon. Leipzig, 1899; 8°.
- Krecke** (F.). Beiträge zur Kenntnis der Dihydrochinazoline. Wiesbaden, 1899; 8°.
- Krey** (C.). Ueber die Einwirkung von Aldehyden und Ketonen auf die Thiosemicarbazide. Erlangen, 1899; 8°.
- Lahner** (L.). Statistische Beiträge zu Ileus. Erlangen, 1899; 8°.
- Loewenthal** (W.). Untersuchungen über das Verhalten der quergestreiften Muskulatur bei atrophischen Zuständen. Leipzig, 1898; 8°.
- Löscher** (P.). Ueber N-Alkyl-Aldoxime und deren Spaltungsprodukte. Leipzig, 1899; 8°.
- Löscher** (W.). Ueber die in den letzten Jahren in der Erlanger chirurgischen Klinik zur Beobachtung gelangten Fälle von Schilddrüsengeschwülsten. Erlangen, 1898; 8°.
- Lusch** (O.). Ueber die Constitution der Einwirkungsprodukte der salpetrigen Säure auf Thiosemicarbazide. Erlangen, 1899; 8°.
- Maaz** (P.). Betrachtungen über den desinficierenden Wert der heutigen Waschmethoden mit specieller Berücksichtigung der Wollwäsche. Erlangen, 1898; 8°.
- Merkel** (H.). Beitrag zur Kenntniss der sog. embryonalen Drüsengeschwülste der Niere. Naumburg a. S., 1898; 8°.
- Monheim** (J.). Beitrag zur Kenntnis des Tannenhonigs. Erlangen, 1899; 8°.
- Müller** (L. R.). Untersuchungen über der Anatomie und Pathologie des untersten Rückenmarksabschnittes. Leipzig, 1898; 8°.
- Müller** (F.). Beitrag zur Kenntniss der Isorosindulinfarbstoffe. Erlangen, 1899; 8°.
- Nacke** (W.). Symptomatologie der Lungensyphilis auf anatomischer Grundlage. Erlangen, 1898; 8°.
- Obermiller** (G.). Ueber Einwirkung von Aminbasen auf Disulfide etc. Erlangen, 1899; 8°.
- Petersen** (O.). Ueber Paralyse der Placentarinsertionsstelle. Erlangen, 1898; 8°.



- Petri (I.).** Inconstanz des Erstarrungspunktes hochschmelzender Körper und Beiträge zur Kenntniss des Schwefels. Berlin, 1898; 8°.
- Poetzsch (C.).** Ueber das Auftreten von Fibrin in tuberkulösen Lymphdrüsen. Erlangen, 1898; 8°.
- Purpus (E.).** Untersuchungen über die Ausscheidung verschiedener Arzneimittel etc. Ansbach, 1898; 8°.
- Rabenhorst (W.).** Die Wanderung des Kalkoxalats in der Pflanze. Siegen, 1898; 8°.
- Ratz (K.).** Ein Beitrag zur Casuistik der congenitalen Okklusionen des Dünndarmes. Erlangen, 1899; 8°.
- Roe (E. D.).** Die Entwicklung der Sylvester'schen Determinante nach Normal-Formen. Leipzig, 1898; 8°.
- Ronge (C.).** Beitrag zur Petrographie des Fichtelgebirges. Breslau, 1897; 8°.
- Roscher (A.).** Ein Fall von juveniler progressiver spinaler Muskelatrophie. Erlangen, 1898; 8°.
- Roth (A.).** Myositis ossificans multiplex progressiva. München, 1898; 8°.
- Rousseau (P.).** Beiträge zur Kenntniss der Lues Spinalis. Berlin, 1899; 8°.
- Rühlmann (F.).** Die Folgen der Brüche und Verrenkungen des Schlüsselbeines hinsichtlich der Erwerbsfähigkeit. Erlangen, 1899; 8°.
- Ruoff (F.).** Beitrag zur Lehre vom Tetanus. Erlangen, 1898; 8°.
- Saulmann (F.).** Ueber einige Thiazoline und Oxazoline. Berlin, 1899; 8°.
- Schall (M.).** Ueber cyklische Harnstoffe und Guanidinderivate des Diacetaminamins. Berlin, 1899; 8°.
- Schilling (T.).** Klinische Beiträge zur Lehre von der Parotitis epidemica. Erlangen, 1898; 8°.
- Schmidt (H. R.).** Ueber verschimmelte Tapeten. Erlangen, 1899; 8°.
- Schoonjans (A.).** Ueber einige Benzoyl- und Anisoyl-Acetessigesterderivate. Erlangen, 1897; 8°.
- Schröder (H.).** Die künstliche Deformation des Gebisses. Berlin, 1898; 8°.
- Schwan (O.).** Ueber das Vorkommen von Wurzelbakterien in abnorm verdickten Wurzeln von Phaseolus multiflorus. Erlangen, 1898; 8°.
- Simon (J.).** Ueber Bakterien am und im Kuh-Euter. Erlangen, 1898; 8°.
- Stadler (H.).** Ueber den Einfluss von Harnstoffsalicylat auf Harnsäureausscheidung und Diurese. Erlangen, 1899; 8°.
- Steidle (A.).** Ueber Encephalopathia saturnina. Erlangen, 1898; 8°.
- Stern (H.).** Ueber Isomerie in der  $\gamma$  Diketonreihe. Berlin, 1898; 8°.
- Steuert (L.).** Embryonale Metamorphosen der Knorpel- und Deckknochen des Rinderschädels. Langensalza, 1899; 8°.
- Stich (R.).** Aneurysma der Arteria axillaris dextra, Hirnembolie, Nachblutung, Heilung. München, 1899; 8°.
- Stüber (W.).** Ueber Produkte der alkalischen Hydrolyse des Eieralbumins. Erlangen, 1898; 8°.
- Syrée (G.).** Ueber den Konkurrenzkampf der Kulturhefe Froberg mit Saccharomyces Pastorianus III unter verschiedenen Bedingungen. Jena, 1898; 8°.
- Tendering (K.).** Ein kasuistischer Beitrag zur Lehre von der Hornhaut-Sklerose. Erlangen, 1898; 8°.



- Wegener** (K.). Ueber Cysten an der menschlichen Nachgebur. Osnabrück, 1899; 8°.
- Weirauch** (C.). Ein Beitrag zur Casuistik der Leuchtgasvergiftungen. Amberg, 1899; 8°.
- Wicke** (G.). Beitrag zur Kenntniss des Pulegons und Menthons. Erlangen, 1898; 8°.
- Wigger** (F.). Ueber Achylia gastrica. Erlangen, 1899; 8°.
- Wohlbold** (H.). Die Kraniologie ihre Geschichte und ihre Bedeutung für die Classification der Menschheit. Nürnberg, 1899; 8°.
- Wolff** (S.). Beitrag zur Kenntniss des Pfahls und seiner Nebengesteine. Neisse, 1898; 8°.
- Wolpert** (E.). Ueber die Einwirkung von Senföl auf Sulfo-Carbazinsäuren. Erlangen, 1899; 8°.
- Zeltner** (E.). Ein Fall von Beckenenchondrom. Erlangen, 1898; 8°.
- Zimmermann** (H.). Studien über Entwicklung und Exkretion von Pilzmycelien. Erlangen, 1898; 8°.
- Zühl** (E.). Beitrag zur Kenntniss der Albuminpeptone und ihrer Chlorhydrate. Erlangen, 1898; 8°.

\* *Dall' Università di Giessen:*

- Alexander** (E.). Reaktionen von Salzen in Aethylacetat. Giessen, 1899; 8°.
- Baas** (A.). Ueber die Keratitis dendritica und ihre Beziehungen zum Herpes corneae. Giessen, 1899; 8°.
- Bentrup** (C.). Ueber die Embolie der Arteria centralis retinae. Giessen, 1898; 8°.
- Beutel** (E.). Ueber die Toluylbiquanide und das Benzylbiquanid. Leipzig, 1899; 8°.
- Busch** (C. H.). Beitrag zur Kenntniss der Gaumenbildung bei den Reptilien. Jena, 1898; 8°.
- Blaess** (Ph.). Zur Casuistik der Nierengeschwülste. Giessen, 1898; 8°.
- Creutz** (H.). Ueber einen Fall von Resection der Harnblase mit Verlagerung des Ureters. Eupen, 1898; 8°.
- Dauids** (H.). Ueber die sog. Aktinomykosis musculorum suis. Giessen, 1898; 8°.
- De Jong** (D. A.). Untersuchungen über Botryomyces. Leiden, 1899; 8°.
- Dieffenbach** (O.). Versuche zur Dissociation von Salzen der Ammoniakbasen in wässriger Lösung. Giessen, 1898; 8°.
- Eisenhuth** (E.). Bericht über die bei Contusionsverletzungen des Auges beobachteten Veränderungen des Uvealtrakts. Giessen, 1899; 8°.
- Ermert** (A.). Zur Casuistik der inneren Darmincarcerationen. Giessen, 1899; 8°.
- Fenner** (K.). Ueber Hinterscheitelbeineinstellung. Münster i. W., 1898; 8°.
- Frick** (H.). Ueber einen Fall von isolirter Luxation des Os naviculare. Amvenburg, 1898; 8°.
- Friedrich** (H.). Ueber den Heilerfolg der operativen Behandlung des chronischen Glaukoms. Giessen, 1898; 8°.



- Gähtgens** (R.). Die membranöse Einhüllung von Embryonen als Ursache von Missbildungen. Giessen, 1898; 8°.
- Gleim** (L.). Ueber die Ätiologie, Therapie und Prognose der Katarakta traumatica. Giessen, 1898; 8°.
- Hock** (J.). Untersuchungen über den Uebergang der Magen- in die Darm-schleimhaut mit besonderer Berücksichtigung der Lieberkühn'schen Krypten und Brunner'schen Drüsen bei den Haus-Säugetieren. Giessen, 1899; 8°.
- Illig** (R. K.). Oxydationsversuche mit überschwefelsaurem Ammonium. Giessen, 1898; 8°.
- Joeckel** (O.). 25 Fälle von " Placenta praevia „. Giessen, 1898; 8°.
- Kantorowicz** (L.). Zur Histologie des Pancreas. Berlin, 1899; 8°.
- Kozielski** (W.). Ueber die Lipome des Darmes. Giessen, 1899; 8°.
- Lutz** (A.). Beiträge zur Kenntniss der Drüsen des dritten Augenlids. Jena, 1898; 8°.
- Maeusel** (S.). Zur Casuistik der Riesenzellensarcome der Mamma. Giessen, 1898; 8°.
- May** (E.). Bericht über die vom Jahre 1890-1898 behandelten Fälle von Kalkverletzung des Auges. Giessen, 1899; 8°.
- Mayer** (Q.). Ueber multiple Polypenbildung im Darm und deren Beziehung zur Krebsentwicklung. Giessen, 1898; 8°.
- Michel** (O.). Ein Fall von Choledochusdrainage wegen infektiöser Cholangitis. Giessen, 1899; 8°.
- Remmlinger** (H.). Zur Casuistik der Tuberkulose der Bindehaut. Giessen, 1898; 8°.
- Richter** (L.). Das Hygrom der Dura mater. Giessen, 1899; 8°.
- Riegel** (F.). Ueber Arrhythmie des Herzens. Giessen, 1898; 4°.
- Schäfer** (G.). Ueber die Untersuchung auf Anisocorie ohne Pupillenstarre. Altona, 1899; 8°.
- Schaefer** (H.). Ueber die Trichiasisoperation mittelst gestielter Läppchen aus der Lidhaut. Giessen, 1899; 8°.
- Schlinck** (J.). Zur Kenntnis des Pyrrolidins. Mannheim, 1899; 8°.
- Schmutzer** (R.). Ueber das sogenannte " Luftblasengekröse „ der Schweine. Giessen, 1898; 8°.
- Scholl** (H.). Ueber Veränderungen von Jodsilber im Licht und den Daguerre'schen Process. Leipzig, 1899; 8°.
- Schön** (F.). Ein Beitrag zur Symptomatologie und Differentialdiagnose der hallucinatorischen Verwirrtheit. Giessen, 1899; 8°.
- Schriever** (O.). Die Darmzotten der Haussäugetiere. Beitrag zu deren vergleichenden Anatomie, Histologie und Topographie. Giessen, 1899; 8°.
- Spengel** (J. W.). Zweckmässigkeit und Anpassung. Giessen, 1898; 4°.
- Versluys** (J.). Die mittlere und äussere Ohrsphäre der Lacertilia und Rhynchocephalia. Jena, 1898; 8°.
- Volk** (J.). Zur Statistik der Augenverletzungen mit besonderer Berücksichtigung der Fremdkörperverletzungen. Giessen, 1898; 8°.
- Wagner** (H.). Ein Beitrag zur Frage der Heilserumtherapie bei der Conjunctivitis diphtherica. Giessen, 1898; 8°.



**Wallbott** (H.). Die Phasenänderung des Lichtes bei der Reflexion an Quecksilber. Leipzig, 1899; 8°.

**Weifenbach** (F.). Ueber die Verletzungen des Auges durch glühende Metalle mit besonderer Berücksichtigung Verletzungen durch glühendes Eisen und Schlacke. Grünberg, 1899; 8°.

**Zechlin** (P.). Ueber die elektrolytische Reduktion der Salpetrigen Säure. Berlin, 1899; 8°.

\* *Dalla 'Bibliothek der Grossh. Technischen Hochschule zu Karlsruhe':*

**Die Grossherzogliche Technische Hochschule** Festschrift zur Einweihung der Neubauten im Mai 1899. Karlsruhe; 4°.

**Escherich** (K.). Zur Anatomie und Biologie von *Paussus turcicus* FRIV. Jena, 1898; 8°.

**Mie** (G.). Entwurf einer allgemeinen Theorie der Energieübertragung. Wien, 1898; 8°.

**Programm** der Grossherzoglich Badischen Technischen Hochschule zu Karlsruhe für das Studienjahr 1899/1900; 8°.

**Teichmüller** (J.). Die elektrischen Gleichstromleitungen mit Rücksicht auf ihre Elastizität. Stuttgart, 1898; 8°.

**Weber** (A.). Untersuchungen über die Verbrennungsproducte von Leuchtfammen und über die Verbrennung des Leuchtgases an gekühlten Flächen und in Gasmotoren. München, 1897; 8°.

\* *Dalla Biblioteca dell'Università di Upsala:*

**Bergstrand** (C. Ö. E.). Undersökningar öfver stellarfotografiens användning vid bestämningen af fixstjärnornas årliga parallaxer. Upsala, 1899; 8°.

**Fries** (T. M.). Caroli Linnæi Hortus Uplandicus med inledning och förklaringar. Upsala, 1899; 8°.

— Bidrag till en lefnadsteckning öfver Carl von Linné. 8. Upsala, 1898.

**Guinchard** (A. J.). Beiträge zur Kenntniss labiler Atomgruppierungen und ihrer Umlagerung. Upsala, 1899; 8°.

**Heuman** (C. A.). Operationsteoretisk framställning af teorien för finita förflyttningar. Stockholm, 1899; 8°.

**Hulth** (J. M.). Ueber einige Kalktuffe aus Westergötland. Upsala, 1899; 8°.

**Nilsson** (G. L.). Sur les équations fonctionnelles, particulièrement les équations fonctionnelles généralisant les équations différentielles linéaires et homogènes. Upsala, 1899; 4°.

**Strömholm** (D.). Om sulfin- och tetinföreningar. Upsala, 1899; 8°.

**Svensson** (A. V.). Zur Kenntniss des ventilirten Psychrometers. Mit einer Tafel. Stockholm, 1898; 8°.

---



**Arcidiacono** (S.). Principali fenomeni eruttivi avvenuti in Sicilia e nelle isole adiacenti nel semestre luglio-dicembre 1898. Modena, 1899; 8° (*dall' A.*).

— Sui terremoti del 3 maggio 1899. Catania, 1899; 8° (*Id.*).

**Arrigoni degli Oddi** (E.). Relazione sul IV Congresso internazionale di Zoologia tenutosi in Cambridge nell'Agosto 1898. Venezia, 1899; 8° (*Id.*).

**Baccarini** (P.). I caratteri e la storia della flora Mediterranea. Discorso. Catania, 1899; 8° (*Id.*).

— e **Cannarella** (P.). Primo contributo alla struttura ed alla biologia del *Cynomorium Coccineum*. Catania, 1899; 4° (*dagli A.*).

**Beaupin** (I.). Sur un développement de l'intégrale elliptique de première espèce en série trigonométrique; 8° (*dall' A.*).

\* **Bolton** (H. C.). A select bibliography of Chemistry 1492-1827. First suppl. Washington, 1899; 8° (*dalla Smithsonian Institution*).

**Cauchy** (A.). Œuvres complètes, publiées sous la direction de l'Académie des Sciences et sous les auspices de M. le Ministre de l'Instruction Publique. 1<sup>e</sup> série, t. XI. Paris, 1899; 4° (*dono del Governo francese*).

**Eredia** (F.). Temperature di Catania e dell'Etna ottenute col metodo delle differenze. Catania, 1899; 8° (*dall' A.*).

**Ferrero** (Général A.). Rapport sur les triangulations présenté à la douzième Conférence Générale à Stuttgart en 1898. Tome II des Comptes-Rendus de la Conférence de Stuttgart. Florence, 1899; 4° (*dal Central-bureau der International Erdmessung in Potsdam*).

**Fiorini** (M.). Sfere terrestri e celesti di autore italiano oppure fatte o conservate in Italia. Roma, 1898; 8° (*dall' A.*).

**Gablenz** (R.). Die Electricität im Weltraume, Lemberg, 1899; 8° (*dall' A.*).

\* **Goebel** (K.). Ueber Studium und Auffassung der Anpassungserscheinungen bei Pflanzen. München, 1898; 4° (*dalla R. Accad. delle Scienze di Monaco di Baviera*).

**Gordon** (A. de). Consideraciones sobre la voz humana. Habana, 1899; 8° (*dall' A.*).

**Gould** (B. A.). Cordoba Photographs. Photographic observations of Stellar-Clusters. Lynn, Mass., 1897; 4° (*dal Ministero della Pubblica Istruzione della Repubblica Argentina*).

**Guarini-Foresio** (E.). Transmission de l'énergie électrique par un fil et sans fil. Liège, 1899; 8° (*dall' A.*).

— Télégraphie électrique sans fil. — Répétiteurs. Liège, 1899; 8° (*Id.*).

— Répétiteur Guarini pour la télégraphie sans fil. Liège, 1899 (*Id.*).

**Günther** (S.). Handbuch der Geophysik. II. Bd. 12. Liefg. Stuttgart, 1899; 8° (*Id.*) (*Compimento dell'opera presentata pel premio Bressa*).

**Haeckel** (E.). Die Welträthsel. Gemeinverständliche Studien über monistische Philosophie. Bonn, 1899; 8° (*Id.*).

**Harlé** (É.). Nouvelles pièces de dryopithèque et quelques coquilles, de Saint-Gaudens (Haute-Garonne). Paris, 1899; 8° (*Id.*).

— Gros cailloux de la Garonne en aval du confluent du Tarn. Paris, 1899; 8° (*Id.*).



- \* **Huygens** (Christiaan). Œuvres complètes publiées par la Société hollandaise des Sciences. Tome huitième. Correspondance 1676-1684. La Haye, 1899; 4° (*dall'Accad. R. delle scienze di Amsterdam*).
- \* **Lindemann** (F.). Gedächtnissrede auf Philipp Ludwig von Seidel. München, 1898; 4° (*dalla R. Accademia delle scienze di Monaco di Baviera*).
- Mascari** (A.). Sulla frequenza e distribuzione in latitudine delle macchie solari osservate al R. Osservatorio astronomico di Catania nel 1898. Catania, 1899; 4° (*dall'A.*).
- Sulle protuberanze solari osservate nel 1898. Catania, 1899; 4° (*Id.*).
- Minucci** (Fr.). Analisi chimica (Appunti). Napoli, 1899; 8° (*Id.*).
- Nuvoli** (R.). Relazione all'On. Amministrazione Comunale sugli ammorbamenti dell'aria in città. Torino, 1899; 4° (*dono del Municipio di Torino*).
- Perrini** (C.). L'Uomo e la Scienza, seguito del volume "Il mondo e l'uomo". Studi. Trani, 1899; 8° (*dall'A. per il premio Vallauri*).
- Portal** (E.). Les origines de la vie et la paléontologie. Paris, 1898; 8°.
- Reina** (V.). Determinazioni di latitudine e di azimut eseguite nel 1898 nei punti Monte Mario — Monte Cavo — Fiumicino. Firenze, 1899; 4° (*dalla Commissione Geodetica italiana*).
- Riccò** (A.). Terremoto di Grecia del 22 gennaio 1899. Catania, 1899; 8° (*dall'A.*).
- Riassunto della sismografia del terremoto Calabro Siculo del 16 novembre 1894. Roma, 1899; 8° (*Id.*).
- Ricco, Zona e Saija**. Circolo preliminare della differenza di longitudine tra Catania e Palermo e determinazione delle anomalie di gravità in Catania. Catania, 1899; 4° (*dagli A.*).
- Righi** (A.). Sull'assorbimento della luce per parte di un gas posto nel campo magnetico. Bologna, 1899; 8° (*dall'A.*).
- Roiti** (A.). Elementi di Fisica. Vol. I, parte 2ª. Firenze, 1899; 8° (*Id.*).
- Sars** (G. O.). An account of the Crustacea of Norway. Vol. II. Isopoda. Part XIII, XIV. Bergen, 1899; 8° (*Id.*).
- Stossich** (M.). Strongylidae. Trieste, 1899; 8° (*Id.*).
- Lo smembramento dei Brachycoelium. Trieste, 1899; 8° (*Id.*).
- La sezione degli Echinostomi. Trieste, 1899; 8° (*Id.*).
- Appunti di Elmintologia. Trieste, 1899; 8° (*Id.*).
- Tommasina** (Th.). Sur la nature et la cause du phénomène des cohérents. Paris, 1899; 4° (*Id.*).
- Recherches sur les variations de conductibilité électrique dans les limailles métalliques. Genève, 1899; 8° (*Id.*).
- Vinci** (Leonardo da). Il Codice atlantico; fasc. XVI. Milano, 1899; in-f°.
- Volante** (A.). Al Polo. Discorso. Torino, 1899; 4° (*Id.*).
- Zeuner** (G.). Vorlesungen über Theorie der Turbinen. Leipzig, 1899; 8° (*Id.*).



## Classe di Scienze Morali, Storiche e Filologiche

---

Dal 25 Giugno al 26 Novembre 1899.

---

- \* **Abhandlungen** der philologisch-historischen Classe der k. Sächsischen Gesellschaft der Wissenschaft. Bd. XVIII, N. 5. Leipzig, 1899; 8°.
- \* **Abhandlungen** der philosophisch-philologischen Classe der k. bayerischen Akademie des Wissenschaften. Bd. XXI, 2 Abth. München, 1899; 4°.
- \* **Accessions-Katalog**. 13, 1898. Stockholm, 1899; 8° (*dall'Accad. R. delle Scienze*).
- \*\* **Allgemeine Deutsche Biographie**. Bd. XLV, Lfg. 222-223. Leipzig, 1899; 8°.
- \* **American Journal of Philology**. Vol. XIX, Nos. 2-4. Baltimore, 1898; 8° (*dall'Università John Hopkins di Baltimora*).
- \* **Analecta Bollandiana**. T. XVIII, fasc. I-II. Bruxelles, 1899; 8°.
- \* **Annales de la Société d'Archéologie de Bruxelles**. T. XIII, livs. II. Bruxelles, 1899; 8°.
- \* **Annales de l'Université de Lyon: Nouvelle Série; II. Droit, Lettres**. Fasc. 1<sup>er</sup> et 2°. Lyon, 1899; 8°.
- \* **Annales du Musée Guimet**.  
Revue de l'Histoire des Religions. Tome XXXVIII, Nos. 2-3. Paris, 1898; 8°.
- \* **Annales du Midi**. Revue archéologique, historique et philologique de la France méridionale, N. 41, 1899; 8° (*dall'Université de Toulouse*).
- Annali di statistica**. — Ruoli organici delle amministrazioni e dei corpi civili e militari dello Stato al 1° luglio 1898 confrontati con quelli in vigore al 1° luglio 1891. Roma, 1899; 8° (*Dal Ministero di Agricoltura, Industria e Commercio*).
- \* **Annuaire de la Société d'Archéologie de Bruxelles**, 1899, t. X°. Bruxelles, 1899; 8°.
- Annuaire statistique de la ville de Buenos-Ayres**. VIII<sup>e</sup> année, 1898. Buenos-Ayres, 1899; 8° (*dalla Direzione Gen. di Statistica municipale*).
- \* **Atti della R. Accademia di Archeologia**. Lettere e Belle Arti della Società Reale di Napoli; vol. XX, 1898-99. Napoli; 4°.



- \* **Atti** della Reale Accademia di Scienze morali e politiche della Società Reale di Napoli; vol. 30°. Napoli, 1899; 8°.
- \* **Atti** della R. Accademia dei Lincei. Classe di Scienze morali, storiche e filolog.; serie V, vol. VII. Notizie degli Scavi: febbraio-maggio 1899. Roma; 4°.
- \* **Berichte** über die Verhandlungen der k. Sächsischen Gesellschaft der Wissenschaften zu Leipzig (Philolog.-hist. Classe), 1899, I-III. Leipzig, 1899; 8°.
- \* **Biographie Nationale** publiée par l'Académie Royale des Sciences, des Lettres et des Beaux-Arts de Belgique. T. XIV, 2<sup>e</sup> fasc.; XV, 1<sup>er</sup> fasc. Bruxelles, 1897-98; 8°.
- \* **Biblioteca** della Società storica subalpina. Diretta da Ferd. Gabotto. Vol. I. Studi Pinerolesi (Memorie, I). II. Gabotto (F.), Cartario di Pinerolo fino all'anno 1300; Cipolla (C.), Il gruppo dei diplomi Adelaidini a favore dell'Abbazia di Pinerolo (Cartario, I). Alessandria, Pinerolo, 1899; 2 vol. 8° (*dal Municipio di Pinerolo*).
- \*\* **Bibliotheca** Philologica Classica. Vol. XXVI, 1899. Trimestre secundum. Berlin, 1899; 8°.
- \* **Bibliotheca** Indica: A Collection of Oriental Works published by the Asiatic Society of Bengal. New series, Nos. 932-948. Calcutta, 1898-1899; 8°.
- \* **Boletin** de la Real Academia de la historia; t. XXXV, cuad. I-V. Madrid, 1899; 8°.
- \* **Bollettino** della Società Umbra di Storia Patria. Anno V, fasc. II, III. Perugia, 1899; 8°.
- \* **Bulletin** de la Société d'Études des Hautes-Alpes. 17<sup>ème</sup> année, II<sup>e</sup> série, N. 27; 18<sup>ème</sup> année, N. 29. Gap, 1898-99; 8°.
- \* **Bulletin** de la Société Nationale des Antiquaires de France, 1898. Paris, 8°.
- \* **Bulletin** de la Société de Géographie, etc.; 7<sup>e</sup> sér., t. XVIII, 4<sup>e</sup> trim. 1897; t. XX, 2<sup>e</sup> trim. 1899. Paris, 1899; 8°.
- Bulletin** de la Société pour la conservation des monuments historiques d'Alsace. II sér., t. XIX, livr. 2<sup>me</sup>. Strassbourg, 1899; 8°.
- \* **Bulletin** de l'Université de Toulouse. Fasc. 7-9. Toulouse, 1899; 8°.
- Catalogue** des Thèses et Écrits académiques. Tom. 1<sup>er</sup> et 2<sup>e</sup>, fasc. 1-10. Années scolaires 1884-89, 1889-94; 8°.
- Catalogue** des Thèses et Écrits académiques. Années scolaires 1884-1885 à 1897-98. 14<sup>e</sup> fasc. Paris, 1885-1898; 8° et 4° (*dalla Bibliothèque de l'Université de Paris*).
- \* **Česká Akademie Císarě Frantiska Josefa** pro vědy, Slovesnost a Umění. Almanach. Ročník IX (1899).  
Historický Archiv. Číslo 13-15. 1898-99; 8°.  
Rozpravy. Třída I (Pro vědy filosofické právní a historické). Ročník VI, 1897; 8°.  
Sbírka pramenův ku poznání literárního života v Čechách, na Moravě a v Slezsku. Skupina II. Číslo 4. 1898; 8°.



- Spisy Jana Amosa Komenského. Číslo 1. Korrespondence. 1898.  
 Soustavný úvod ve studium nového řízení soudního. Díl. I. Část  
 všcibecná. Podává Dr. E. Ott. 1898; 8°.  
 Památník na oslavu stýck narozenin Františka Palackého etc. 1898; 8°.  
 Památník na oslavu padesátiletého panovnického Jubilea jeho veli-  
 censtua Císaře a Krále Františka Josefa I. 1848-1898. 1898; 4°.
- \* **Comptes-rendus** de l'Athénée Louisianais. 6<sup>me</sup> série. Tom. 3<sup>me</sup>, livr. 5<sup>ème</sup>.  
 Nouvelle-Orléans, 1899; 8°.
- Congrès** (XII<sup>me</sup>) international des Orientalistes. Bulletins N. 3. Roma,  
 1899; 8°.
- \* **Eranos**. Acta philologica Suecana. Edenda curavit Vilelmus Lundström.  
 Vol. III, fasc. 2-3, 1898-99. Upsaliae; 8°.
- \* **Forhandlinger** i Videnskabs-selskabet i Christiania Aar 1899, No. 1. Chri-  
 stiania, 1899; 8°.
- \* **Giornale** della Società di letture e conversazioni scientifiche di Genova.  
 Anno XXI, fasc. III. Genova, 1899; 8°.
- \* **Institut de France**:  
 Notices et Extraits des manuscrits de la Bibliothèque Nationale et  
 autres bibliothèques publiés par l'Académie des Inscriptions et  
 Belles-Lettres. T. 36<sup>me</sup>, 1<sup>ère</sup> partie. Paris, 1899; 4°.  
 Corpus inscriptionum Semiticarum ab Academia Inscriptionum et Lit-  
 terarum humaniorum conditum atque digestum. Pars prima, in-  
 scriptiones Phoenicias continens. T. II, fasc. secundus. Testo e Atl.  
 Parisiis, 1899; 2 fasc. in fol°.
- Inventaire** sommaire des Archives Départementales antérieures à 1790.  
*Bouche-du-Rhône*. Sér. L. Documents de la période révolutionnaire. Tome  
 deuxième.  
*Calvados*. Archives civiles, Sér. E, Suppl. Tome 1<sup>er</sup>. Arrondissement de  
 Caen.  
*Creuse*. Sér. H, Suppl. (Archives des Hospices).  
*Dordogne*. Archives civiles, Sér. B. Tome II.  
*Maine-et-Loire*. Archives civiles, Sér. E. Tome III. Suppl. (suite). Archives  
 Ecclésiastiques, Sér. H. Clergé régulier. T. I.  
*Puy-de-Dôme*. Archives civiles. Sér. C. T. II.  
*Yonne*. Archives Ecclésiastiques, Sér. H. Suppl. T. IV.  
 Auxerre, Clermont-Ferraud, Auger, Péregueux, Guéret, Caen, Mar-  
 seille, 1898-99; 4° (*dal Governo della Rep. Francese*).
- \* **Johns Hopkins University Studies** in Historical and Political Science.  
 Ser. XVI, Nos. 7-12; XVII, Nos. 1-5. Baltimore, 1898-99; 8°.
- \* **Journal** of the Asiatic Society of Bengal. History, Literature etc. Vol. LXVIII,  
 P. I, No. 1 (1899); Part I, Extra. No. 1. Calcutta, 1899; 8°.
- \* **Jugoslavenska Akademija** Znanosti i Umjetnosti. Ljetopis. Godinu 1898.  
 Rad, Knjiga 138; Stari pisci hrvatski Knjiga XXI; Zbornik za na-  
 rodni život i običaje južnih slavena. Svezak IV., I. Polovina. Zagrebu,  
 1899; 16°, 8°.
- \* **Kansas University Quaterly**. Ser. B. Philology and history. Vol. VIII.  
 Nos 1. Lawrence, Kans. 1899; 8°.



- \* **Mémoires couronnés** et autres mémoires publiés par l'Académie Royale des Sciences, des Lettres et des Beaux-Arts de Belgique. Collection in-8°. Lettres, vol. II. Bruxelles, 1898; 8°.
- \* **Mémoires** de l'Académie des Sciences, Belles-Lettres et Arts de Savoie. 4<sup>e</sup> série, t. VII. Chambéry, 1899; 8°.
- \* **Mémoires et Documents** publiés par la Société Savoisienne d'Histoire et d'Archéologie, t. XXXVII. Chambéry, 1898; 8°.
- \* **Mémoires** de l'Académie des Sciences et des Lettres de Danemark. 6<sup>e</sup> sér. Section des lettres; t. IV, n. 6. Copenhague, 1899; 4°.
- \* **Mémoires** de l'Académie des sciences, arts et belles-lettres de Dijon. 4<sup>ème</sup> série, t. VI, a. 1897-98. Dijon, 1898; 8°.
- \* **Mémoires** de la Société Nationale des Antiquaires de France. 6<sup>me</sup> série, T. 8<sup>me</sup>. Paris, 1899; 8°.
- \* **Mémoires et Documents** publiés par l'Académie Chablaisienne fondée à Thonon le 7 décembre 1886. Tome XI. Thonon-les-Bains, 1897; 8°.
- \* **Memorie** del R. Istituto Lombardo di scienze e lettere. Classe di lettere, scienze storiche e morali. Vol. XXI, fasc. 1°. Milano, 1899; 4°.
- \* **Memorie** della R. Accademia di scienze, lettere ed arti in Modena. Ser. III. Vol. I. Modena, 1898; 4°.
- \* **Mitteilungen** des Vereins für Erdkunde zu Leipzig, 1898. Leipzig, 1899; 8°.
- \* **Monumenta Boica**. Vol. XLV. Monachii, MDCCCXC; 4° (*dalla R. Accad. delle scienze di Monaco di Baviera*).
- \* **Monumenta Tridentina**. Beiträge zur Geschichte des Concils von Trient begonnen von A. von Druffel fortgesetzt von K. Brandi. Heft IV, V. München, 1897, 1899; 4° (*dalla R. Accademia delle scienze di Monaco di Baviera*).
- Movimento** commerciale del Regno d'Italia nell'anno 1898. Roma, 1899; 4° (*dal Ministero delle Finanze, Direzione generale delle Gabelle*).
- Movimento** della navigazione del 1898. Roma, 1899; 4° (*dal Ministero delle Finanze, Direzione generale delle Gabelle*).
- Notizie** complementari alle statistiche giudiziarie penali degli anni 1890-95. Roma, 1899; 8° (*dal Ministero di Agricoltura, Industria e Commercio, Direzione generale della Statistica*).
- \* **Notulen** van de Algemeene en Bestuurs-Vergaderingen van het Bataviaasch Genootschap van Kunsten en Wetenschappen. Deel XXXV. Afl. 3, 4 (1897); XXXVI. Afl. 1-2, 4 (1898). Batavia, 1896-97; 8°.
- \*\* **Petermanns** Mitteilungen aus Justus Perthes' Geographischer Anstalt. Ergänzungsheft N. 129, 130. Gotha, 1899; 8°.
- \* **Publications** de l'École des Lettres d'Alger. Bulletin de Correspondance Africaine. XXII, fasc. II, III. Paris, 1899; 8°.
- \* **Raccolta** degli Atti Parlamentari della 2<sup>a</sup> sessione della Legislazione 20<sup>a</sup> (1898-99). Disegni di Legge e Relazioni Vol. I-IV, dal N. 1-218. Documenti Vol. unico, dal N. I al N. XIX. Discussioni Vol. I-IV, dal 26 novembre 1898 al 30 giugno 1899. 9 vol. in-4°.
- \*\* **Raccolta** ufficiale delle Leggi e dei Decreti del Regno d'Italia. Vol. I pp. 1-976. 1899; 8°.



- \* **Record** (The) of the Royal Society, 1897. N. 1. London, 1897, 8°.
- \* **Rendiconto** delle Tornate e dei Lavori dell'Accademia di Archeologia, Lettere e Belle Arti della Società Reale di Napoli. N. S., Anno XIII, gennaio-febbraio 1899. Napoli; 8°.
- \* **Rendiconto** delle Tornate e dei Lavori dell'Accademia di Scienze morali e politiche della Società R. di Napoli. Anno 37°. Napoli, 1898; 8°.
- \* **Report** of the R. Society of Literature, and List of Fellows 1899. London, 8°.
- \* **Resoconto** morale della Civica Biblioteca di Verona per l'anno 1898 Verona, 1899; 4°.
- \* **Sitzungsberichte** der philosophisch-philologischen und der historischen Klasse der k. b. Akademie der Wissenschaften zu München 1899. Heft II-III. München, 1899; 8°.
- Statistica** giudiziaria penale per l'anno 1897. Roma, 1899; 8° (*dal Ministero di Agricoltura, Industria e Commercio, Direz. gen. della Statistica*).
- Statuto** della Cassa cooperativa di risparmio e di previdenza fra Impiegati, Professionisti e Negozianti sede in Torino. Torino, 1899; 8°.
- \* **Tijdschrift** voor Indische Taal-, Land- en Volkenkunde, uitgegeven door het Bataviaasch Genootschap van Kunsten en Wetenschappen etc.; Deel XL, Aflev. 3, 4; XLI, Aflev. 1, 4. Batavia, 1898-99; 8°.
- \* **Transactions** of the Royal Society of Literature. Second series, vol. XX, part IV. London, 1899; 8°.
- \* **Verhandelingen** van het Bataviaasch Genootschap van Kunsten en Wetenschappen. Deel LI, Stuck 1°. Batavia, 1898; 8°.
- \* **Vierzigste** Plenarversammlung historischen Kommission bei der kgl. bayer. Akademie der Wissenschaften. München; 4°.
- \* **Vjestnik** kr. Hrvatsko-Slavonsko-Dalmatinskog Zemaljskog Arkiva. Godina I. Svezak 3, 4. Zagreb, 1899; 8°.
- \* **Wissenschaftliche** Veröffentlichungen des Vereins für Erdkunde zu Leipzig. III Bd., 3 Heft. Leipzig, 1899; 8°.

\* *Dall' Università di California.*

- Report** (Biennial) of the President of the University on behalf on the Board of Regents to his Ex. the Governor of the State 1896-1898. Berkeley. 1898; 8°.
- Report** (Annual) of the Secretary to the Board of Regents of the University of California, for the years June 30, 1897; June 30, 1898. Berkeley, 1898; 2 vol. 8°.
- The University chronicle** an Official record, Vol. I, No. 2-6. Berkeley, 1898; 8°.
- University of California.** Register, 1897-98; Berkeley, 1898; 8°.
- McGilvary** (E. B.). The principle and the Methode of the Hegellian Dialectic a defence of the dialectic against its critic etc. Part I and II. Berkeley, 1897, 2 fasc. 8°.
- Waymire** (J. A.). Utily of University Education. Berkeley, 1898; 8°.
- Green** (Ch. S.). The University of California a birdseye of recent progress-Sacramento, 1898; 8°.



\* *Dall'Università di Erlangen.*

- Albers** (C.). Bedingungen der Strafbarkeit und Prozesz Voraussetzungen. Erlangen, 1898; 8°.
- Altsch** (F.). Der gesetzliche Nieszbrauch des Ehemanns nach dem System der Verwaltungsgemeinschaft... Erlangen, 1898; 8°.
- Arnoldi** (Fr.). Der Einfluss der Ablehnung einer Operation seitens des körperlich Verletzten auf die civilrechtliche Haftung des Delinquenten... Erlangen, 1899; 8°.
- Bartel** (E.). Der mittelbarer Besitz und die *rei vindicatio* gegen den mittelbaren Besitzer. Erlangen, 1899; 8°.
- Basedow** (H.). Die strafrechtliche Verschuldung, etc... Hamburg, 1898; 8°.
- Beckmann** (F.). Das deutsche Lagerrecht. Münster i. W., 1898; 8°.
- Bellebaum** (H.). Hauberge und Haubergs Genossenschaften des Siegerlandes. Siegen, 1899; 8°.
- Billmann** (W.). Die Vertragsstrafe im deutschen bürgerlichen Gesetzbuch. Recklinghausen, 1899; 8°.
- Böckelmann** (O.). Ueber die Stellung des bürgerlichen Gesetzbuches für das deutsche Reich zur der Frage des Selbstkontrahierens des Stellvertreters im Vergleich zum römischen und gemeinen Recht. Magdeburg, 1898; 8°.
- Bocksch** (H.). Die rechtliche Natur der gemeinrechtlichen Schmerzensgeldklage. Bromberg, 1898; 8°.
- Brandau** (M.). Der unregelmäßige Verwahrungsvertrag. Schleswig, 1899; 8°.
- Brandis** (B.). Die rechtliche Behandlung des Zufalls bei der Werkverdingung nach gemeinem Recht und nach dem neuen bürgerlichen Gesetzbuch. Köln, 1898; 8°.
- Brasack** (F.). Die Entwendung von Elektrizität. Naumburg a. S., 1898; 8°.
- Brünell** (A.). Gehören die actiones quod iussu, institoria und exercitoria noch dem heutigen Rechte an? Breslau, 1898; 8°.
- Brunabend** (J.). Ein Beitrag zur Lotterie. Münster, 1899; 8°.
- Budde** (E.). Die Beweise für das Dasein Gottes von Anselm von Canterbury bis zu Renatus Descartes. Erlangen, 1898; 8°.
- Busch** (P.). Gefahrtragung bei Sachenmiete und Pacht unter Berücksichtigung des bürgerlichen Gesetzbuches. Erlangen, 1898; 8°.
- Buscher** (F.). Die Realkonkurrenz nach § 74 des Strafgesetzbuches für das deutsche Reich. Krefeld, 1898; 8°.
- Canetta** (V.). Zur Lehre von den sogenannten alternativen Obligationen nach gemeinem Rechte und nach dem bürgerlichen Gesetzbuche. Köln a. Rh., 1898; 8°.
- Caspari** (W.). Ueber den protestantischen Religionsunterricht an den höheren Klassen der deutschen Gymnasien. Erlangen, 1898; 4°.
- Cohn** (N.). Die Vorschriften betreffend die Zarâath nach dem Kitâb al-kâfi. Kirchhain, N.L., 1898; 8°.
- Conrad** (G.). Beiträge zur Lehre von der Bodmerei nach norwegischem Recht. Berlin, 1899; 8°.



- Cramm** (B. v.). Dürfen nach Aufhebung des deutschen Jesuitengesetzes vom 4. Juli 1872 die Einzelstaaten Jesuitenverbote erlassen? Erlangen, 1898; 8°.
- Daesler** (E.). Zur Lehre von den Voraussetzungen der handelsrechtlichen Rügepflicht nach Artikel 347 des Handelsgesetzbuches. Schweidnitz, 1899; 8°.
- Dirksen** (B.). Ein Beitrag zur Lehre des Rechts von der Firma. Berlin, 1898; 8°.
- Eckstein** (W.). Die Übertragbarkeit der Forderungen nach künftigem deutschen Reichsrecht. München, 1898, 8°.
- Ehlers** (H.). Inwieweit haftet derjenige, der aus einer Sache eine neue verfertigt, dem Eigentümer? Glückstadt, 1898; 8°.
- Ellinger** (M.). Der Verweis im deutschen Reichsstrafrecht. München, 1899; 8°.
- Engeling** (P.). Ist die "Einigung" des bürgerlichen Gesetzbuches ein Vertrag im Sinne des gemeinen Rechts und im Sinne des bürgerlichen Gesetzbuches? Leipzig, 1898; 8°.
- Erdmann** (O.). Das Miterbenverhältnis im bürgerlichen Gesetzbuch verglichen mit dem des gemeinen Rechts. Hannover, 1899; 8°.
- Eversheim** (L.). Bedeutung der die Schenkung beschränkenden Formvorschriften nach gemeinem Recht und bürgerlichem Gesetzbuch. Bonn, 1899; 8°.
- Fabian** (A.). Die Gewährleistungspflicht des Schenkers. Königsberg, 1899; 8°.
- Favreau** (P.). Ueber die Confusio von Bürgschaft und Hauptschuld nach gemeinem Recht und bürgerlichem Gesetzbuch. Magdeburg, 1898; 8°.
- Fester** (R.). Festrede zur Säcularfeier der Regierung der wittelsbachischen Linie Zweibrücken-Birkenfeld... Erlangen, 1899; 4°.
- Feigel** (A.). Die Auflage nach dem bürgerlichen Gesetzbuche. Ansbach, 1898; 8°.
- Feuchtwanger** (M.). Das Recht der Selbstverteidigung nach dem deutschen bürgerlichen Gesetzbuch. München, 1898; 8°.
- Fiegen** (F.). Der Verzicht auf die Kompensationsbefugnis. Bonn, 1896; 8°.
- Fischer** (H.). Die Lehre vom Verschwender nach gemeinem Recht, Altpreuss. und Französ. Recht unter Berücksichtigung des bürgerlichen Gesetzbuches. Düsseldorf, 1898; 8°.
- Frankfurter** (R.). Wann ist eine Sache mittels einer strafbaren Handlung erlangt? Dessau, 1899; 8°.
- Friedeberg** (M.). Der Einfluss eines den Parteien unbekannten rechtskräftigen Urteils auf die Gültigkeit eines Vergleichs nach gemeinem Recht und bürgerlichem Gesetzbuch. Magdeburg, 1898; 8°.
- Friederici** (O.). Wie gestaltet sich die Rechtsstellung des Agenten einer Versicherungs-Gesellschaft auf Aktien unter dem Einflusse des Handelsgesetzbuches vom 10. Mai 1897? Bonn, 1898; 8°.
- Fröhlich** (H.). Worin liegt das Eigentümliche der Aufrechnung-Compensation im Vergleich zu den übrigen Arten der Befriedigung des Gläubigers und welche Wirkungen ergeben sich aus dieser Eigentümlichkeit? Köln a. R., 1897; 8°.
- Frommel** (O.). Das Verhältnis von mechanischer und teleologischer Naturerklärung bei Kant und Lotze. Erlangen, 1898; 8°.



- Gaubatz** (G.). Die Entstehung der Aktien-Gesellschaft. Pirmasens, 1899; 8°.
- Geub** (J.). Ueber die Vereinigung zu einzelnen Handelsgeschäften (Handels-gesetzbuch Artikel 266-270), insbesondere im Vergleich mit der römischen societas und mit der offenen Handelsgesellschaft. Spandau, 1899; 8°.
- Glaser** (M.). Die zusammengesetzten Nomina bei Pindar. Amberg, 1898; 8°.
- Goertz** (O.). Zur Auslegung des Artikels 171 des Einführungsgesetzes zum bürgerlichen Gesetzbuche. Köln a. Rh., 1898; 8°.
- Grote** (H.). Die Unterscheidung von nothwendigen und nützlichen Geschäften bei der freiwilligen Geschäftsführung. Erlangen, 1899; 8°.
- Grotefendt** (E.). Vollkaufmann und Minderkaufmann nach dem Handels-gesetzbuche vom 10. Mai 1897. Breslau, 1899; 8°.
- Grouven** (F. C. O.). Die Wirkung der Resolutivbedingung bei Begründung dinglicher Rechte. Bonn, 1898; 8°.
- Günther** (W. W.). Begriff und Bedeutung der Gebietshoheit. Heildelberg, 1899; 8°.
- Haas** (W.). Die Stellung des Gewohnheitsrechts in der katholischen Kirche. Mannheim, 1898; 8°.
- Hahn** (L.). Die Sprache der sogenannten *Expositio totius mundi et gentium*. Bayreuth, 1898; 8°.
- Hampel** (E.). Untersuchungen über das lateinische Patriarchat von Jerusalem von Eroberung der heiligen Stadt bis zum Tode des Patriarchen Arnulf (1099 bis 1118). Breslau, 1899; 8°.
- Heiliger** (W.). Die Tragung der Gefahr bei gegenseitigen Verträgen nach gemeinem Recht und nach bürgerlichem Gesetzbuch. Düsseldorf, 1899; 8°.
- Heuser** (C.). Das ausbedungene Rücktrittsrecht beim Kaufvertrage (*lex commissoria*) im gemeinen Recht und bürgerlichen Gesetzbuche. Köln, 1899; 8°.
- Hirschfeld** (G.). Ueber Wettrennen und Rennwetten, ein Beitrag zur Lehre von Spiel und Wette. Bremen, 1899; 8°.
- Hodermann** (M.). *Quaestionum oeconomicarum specimen*. Berolini, 1898; 8°.
- Hoengen** (F.). Welche Wirkung hat die nachfolgende Genehmigung auf das Verhältniß zwischen Geschäftsherrn und Geschäftsführer? Aachen, 1898; 8°.
- Hoffsümmer** (C.). Haftung eines Korrealschuldners für culpa und mora des Anderen. Köln, 1898; 8°.
- Honig** (L.). Die Strafrechtlichen Bestimmungen des Bankdepotsgesetzes vom 5 Juli 1896. Nürnberg, 1898; 8°.
- Höpker** (H.). Die Anwendung des § 51 R. St. G. auf die in sinnloser Trunkenheit begangenen dolosen Verbrechen. Berlin, 1899; 8°.
- Jacobi** (G. I.). Die Rechtsnatur des Illationsvertrages bei der Aktiengesellschaft. Königsberg i. Pr., 1898; 8°.
- Jahr** (C.). Ist die actio de dolo subsidiär und wann beginnt im Falle einer subsidiären Anwendung die Verjährung? Kiel, 1898; 8°.
- Igen** (R.). Rechtliche Stellung des Finders und dessen Erben in Beziehung auf die Fundsache. Berlin, 1898; 8°.
- Joski** (S.). Die Einwilligung des Verletzten. Bernburg, 1899; 8°.



- Kahane** (M.). Rechtsgrundsätze über Gebietsveränderungen nach preussischem und deutschem Reichsstaatsrecht etc. Danzig, 1899; 8°.
- Kähler** (O.). Gründe und Umfang der Haftung des bösgläubigen Besitzers betreffend die vindicierte Sache. Altona, 1898; 8°.
- Kallfelz** (H.). Eigentumsübergang behufs Vergemeinschaftung zwischen Gesellschaftern nach gemeinem Recht und nach dem bürgerlichen Gesetzbuch. Coblenz, 1898; 8°.
- Kahn** (M.). Der Lieferungsvertrag nach gemeinem Recht. Frankfurt a. M., 1899; 8°.
- Katz** (I.). Verschollenheit und Todeserklärung nach dem bürgerlichen Gesetzbuche. München, 1899; 8°.
- Katzenstein** (S.). "Kauf bricht nicht Miethe", Ein Beitrag zur Lehre des Miethrechtes nach dem bürgerl. Gesetzbuche für das deutsche Reich. Würzburg, 1899; 8°.
- Kayser** (F.). Staatsamt und Staatsdienst nach dem bürgerlichen Gesetzbuch. Regensburg, 1899; 8°.
- Kemmerich** (G.). Die Gewährleistungspflicht des Verkäufers wegen Mängel der Sache nach gemeinem Recht und dem B. G. B. Erlangen, 1899; 8°.
- Keutner** (Ph.). Die rechtliche Natur der gegenseitigen Verträge im bürgerlichen Gesetzbuch. Wiesbaden, 1899; 8°.
- Klawki** (K.). Der Ersatzanspruch aus der auftraglosen Führung fremder Geschäfte mit besonderer Berücksichtigung des Verbots des Geschäftsherrn nach gemeinem Recht und neueren Gesetzgebungen. Braunsberg, 1898; 8°.
- Kleinau** (J.). Die offene Handelsgesellschaft im Prozess. Halle a. S., 1898; 8°.
- Kley** (J.). Ueber den Beginn der Verjährung der Strafverfolgung. Mannheim, 1899; 8°.
- Kopenhagen** (M.). Die Immunität der deutschen Reichstags- und Landtags-Abgeordneten gegen Strafverfolgung und Verhaftung. Breslau, 1899; 8°.
- Kratzsch** (G.). Der Selbsteintritt des Kommissionärs nach dem Handelsgesetzbuche. Dresden, 1899; 8°.
- Krauseneck** (W.). Inwiefern ist ein Vergleich wegen Irrtums anfechtbar? Gumbinnen, 1899; 8°.
- Kräusslich** (F.). Die Geschäftsfähigkeit der Minderjährigen etc. Wiesbaden, 1898; 8°.
- Krettner** (A.). Die Schuldübernahme nach dem bürgerlichen Gesetzbuche vom 18. August 1896 mit Berücksichtigung des gegenwärtig geltenden Rechtes und der bisherigen Rechtsentwicklung. München, 1899; 8°.
- Kretzmann** (F. K.). Die Bedeutung der ehedemigen Prozessfähigkeit des § 51 C. P. O.... Bonn, 1898; 8°.
- Krohne** (R.). Die Anwendbarkeit des Gewohnheitsrechts im früheren gemeinen und heutigen deutschen Strafrecht. Berlin, 1898; 8°.
- Kronberger** (C.). Die Ansprüche des Eigentümers nach bürgerlichem Gesetzbuch im Vergleich zum bisherigen gemeinen Recht. München, 1898; 8°.
- Krumm** (P.). I. Verhältnis des § 685 Abs. 1 bürgerlichen Gesetzbuchs: "Dem Geschäftsführer steht ein Anspruch nicht zu, wenn er nicht die Absicht hatte, von dem Geschäftsherrn Ersatz zu verlangen", zu dem bisherigen



gemeinrechtlichen Rechtszustände. II. Verhältnis des § 687 bürgerlichen Gesetzbuchs zu dem bisherigen gemeinrechtlichen Rechtszustände. Bonn, 1898; 8°.

**Kückhoven** (F.). Die römisch-rechtlichen Grundsätze der legitimatio per subsequens matrimonium und ihre Anwendbarkeit im heutigen gemeinen Recht und im bürgerlichen Gesetzbuche für das deutsche Reich. Düren, 1898; 8°.

**Küppers** (H.). Die Grundsätze des gemeinen und preussischen Rechts sowie insbesondere des neuen bürgerlichen Gesetzbuchs über die Todeserklärung. Krefeld, 1898; 8°.

**Küster** (C.). Wie verhält sich das Wucherergänzungsgesetz vom 19. Juni 1893 zu den Vorschriften über laesio enormis? Bonn, 1898; 8°.

**Labowsky** (N.). Eigenes Verschulden bei Schadensersatz-Ansprüchen nach gemeinem Recht und bürgerlichem Gesetzbuch. Berlin, 1898; 8°.

**Laue** (F.). Haftung für Hauseinsturz. Berlin, 1899; 8°.

**Lax** (E.). Die Vollmacht nach dem bürgerlichen Gesetzbuch. Minden i Westf., 1899; 8°.

**Lind** (G.). Die Lehre von der Rückwirkung der erfüllten Resolutivbedingung mit Rücksicht auf das bürgerliche Gesetzbuch. Hamburg, 1898; 8°.

**Linde** (F.). Die Haftung des Rheders aus fremdem Verschulden nach römischem Recht, nach den Quellen des Mittelalters und nach dem Handelsgesetzbuch. Berlin, 1898; 8°.

**Linden** (W.). Ist der Papst Souverän? Neuss a. Rhein, 1898; 8°.

**Lochner** (A.). Der Specificationskauf. Aachen, 1898; 8°.

**Löwenthal** (S.). Das Firmenrecht nach dem neuen Handelsgesetzbuche. Heiligenstadt, 1899; 8°.

**Luck und Witten** (W. v.). Das Recht auf Sand und Steine in öffentlichen Flüssen nach gemeinem und preussischem Recht. Berlin, 1899; 8°.

**Mahnkopf** (A.). Die Rechtsverhältnisse zwischen der offenen Handelsgesellschaft und dem einzelnen Gesellschafter nach dem geltenden und dem neuen Handelsgesetzbuch. Berlin, 1898; 8°.

**Mangels** (G.). Die utile Berechnung der Zeit insbesondere bei den ädilitischen Klagen. Erlangen, 1899; 8°.

**Maret** (B.). Die Acquisitiv-Verjährung von Grunddienstbarkeiten nach gemeinem Recht und dem Rechte des bürgerlichen Gesetzbuches. Trier, 1899; 8°.

**Martius** (A.). Irrtum in den Beweggründen bei letztwilligen Verfügungen nach römischem und nach neuem deutschen bürgerlichen Recht. Berlin, 1898; 8°.

**Matthaei** (H.). Die Totenmahldarstellungen in der altchristlichen Kunst. Magdeburg, 1899; 8°.

**Maurer** (E.). Die Ministerverantwortlichkeit in konstitutionellen Monarchien. Karlsruhe, 1899; 8°.

**Mechau** (M.). Schleiermachers Auffassung vom Wesen der Religion in seinen "Reden über die Religion". Halle a. S., 1899; 8°.

**Meermann** (G.). Die Stellung des Frachtführers nach dem neuen Handels-



- gesetzbuch und dem Reichsgesetz betreffend die privatrechtlichen Verhältnisse der Binnenschifffahrt vom 15. Juni 1895. Berlin, 1897; 8°.
- Mittweg** (C.). Die unerlaubten Handlungen nach bürgerlichem Gesetzbuch. Trier, 1899; 8°.
- Müller** (W.). Zur Lehre vom Schatz nach römischem Recht und nach dem Recht des bürgerlichen Gesetzbuchs für das deutsche Reich. Köln, 1898; 8°.
- Murray** (O.). Die Operationspflicht. Neustadt a. Rbge., 1899; 8°.
- Müsch** (A.). Wie unterscheidet sich der Genuskauf vom Spezieskauf? Aachen, 1898; 8°.
- Muus** (H. G.). Der Klagegrund der *actio negatoria*. Leipzig-Reudnitz, 1899; 8°.
- Nägelsbach** (L.). Die einseitigen Willenserklärungen und ihre Geltung im bürgerlichen Gesetzbuch. Erlangen, 1898; 8°.
- Naumann** (K.). Ueber die Bedeutung und Wirkung der naturalis obligatio des Haussohnes aus einem Darlehen. Berlin, 1899; 8°.
- Nessler** (G.). Untersuchungen über die wichtigsten Versuche einer Metaphysik des Sittlichen. Berlin, 1898; 8°.
- Neumann** (A.). Auslegung der Stelle Cels. 1. 71 § 1. 2 Dig. de sol. 46, 3. Breslau, 1898; 8°.
- Neumann** (S.). Die Unbrauchbarmachung im § 41 des Reichsstrafgesetzbuchs. Breslau, 1899; 8°.
- Neu** (P.). Der Ususfructus nominis, nach gemeinem Recht und bürgerlichem Gesetzbuch. Köln, 1897; 8°.
- Nusselt** (E.). Das Lykurgproblem. Erlangen, 1898; 8°.
- Ortloff** (E.). Die Voraussetzungen des Eviktionsanspruchs. Eisenach, 1898; 8°.
- Pape** (G.). Lotzes Religiöse Weltanschauung. Berlin, 1899; 8°.
- Petersen** (W.). Das Discontgeschäft. Kiel, 1898; 8°.
- Philipp** (M.). Inwieweit unterscheidet sich die Cession dinglicher Ansprüche von derjenigen persönlicher Ansprüche? Altona, 1899; 8°.
- Plassmann** (C.). Ueber die reinvindicatio utilis. Krefeld, 1898; 8°.
- Priem** (A.). Giebt es eine Mittelstufe zwischen Nichtigkeit und Anfechtbarkeit? Bonn, 1899; 8°.
- Promnitz** (O.). Ueber die Haftung des Kommanditisten nach deutschem Handelsgesetzbuch. Breslau, 1898; 8°.
- Purpus** (W.). Die Anschauungen des Porphyrius über die Tierseele. Ansbach, 1899; 8°.
- Raabe** (H.). Ueber die Bedeutung der Verkaufsfaktura als Beweismittel und Verpflichtungsgrund im kaufmännischen Verkehr. Rheinbach, 1898; 8°.
- Rackl** (J.). Die Reisen des Venetianers Alvise da Cà da Mosto an der Westküste Afrikas (1455 u. 1456). Nürnberg, 1898; 8°.
- Rehn** (F.). Die Entwicklung des Wucherrechts im deutschen Recht mit Berücksichtigung der wuchergesetzlichen Bestimmungen im bürgerlichen Gesetzbuch. Cottbus, 1898; 8°.
- Rein** (P.). Die Bestimmungen des bürgerlichen Gesetzbuches über die Gewährleistung bei Viehveräußerungen etc. München, 1899; 8°.



- Riemschneider** (E.). Das formelle und Materielle Noterbrecht des Vaters und die Wirkung der Codicillar-Klausel in einem Testamente, in welchem dem Vater der Pflichtteil „vermacht „ worden ist. Berlin, 1898; 8°.
- Ribbentrop** (F.). Begriff der Frucht nach römischem Recht und nach dem bürgerlichen Gesetzbuch. Magdeburg, 1899; 8°.
- Riede** (K.). Der Begriff der Gewalt im Reichsstrafgesetzbuch. Erlangen, 1899; 8°.
- Ritter** (P.). Die Sonderrechte der deutschen Staaten und die Reichsverfassung. Königsberg, 1899; 8°.
- Romatzeck** (W.). Die Zwangs-Hypothek nach der Novelle zur Subhastationsordnung für Bayern vom 29 Mai 1886 und der Einfluss der neuesten Reichs-Gesetzgebung auf dieselbe. Fürth, 1898; 8°.
- Römpler** (E.). Studie über die Darstellung der Persönlichkeit in den Geschichtswerken des Thukydides und Xenophon. Erlangen, 1898; 8°.
- Rosencrantz** (O.). Die staatsrechtliche Stellung von Elsass-Lothringen. Insterburg, 1899; 8°.
- Rosendorff** (R.). Das Wechselblanket. Berlin, 1899; 8°.
- Rossi** (O.). Die Haftung für heimliche Mängel der Kaufsache. München, 1898; 8°.
- Rossteutscher** (E.). Die Passivlegitimation bei rei vindicatio, Publiciana und hereditatis petitio. Coburg, 1899; 8°.
- Roth** (C.). Sonn- und Festtagsfeier in Bayern. Erlangen, 1899; 8°.
- Roth** (K.). Die erzählenden Zeitformen bei Dionysius von Halikarnass. Bayreuth, 1898; 8°.
- Sander** (E.). Ein Beitrag zur Lehre von der diligentia quam suis. Berlin, 1898; 8°.
- Saran** (W.). Der grobe Unfug insbesondere der sogenannte Pressunfug. Bromberg, 1898; 8°.
- Schanzenbach** (C.). Gibt es oder in wie weit gibt es in gegenseitigen Verträgen eine Pflicht zur Annahme der Gegenleistung? Bonn, 1898; 8°.
- Schauer** (A.). Behandlung der Eigentümer-Hypothek nach römischem Recht. Coburg, 1898; 8°.
- Schierholz** (A. v.). Deutsche Erbpacht und preussische Rentengüter. Arnstadt, 1898; 8°.
- Schingnitz** (P.). Inwieweit ist zur Erfüllung einer Obligation die Mitwirkung des Gläubigers erforderlich? Coburg, 1899; 8°.
- Schipmann** (J.). Die rechtliche Behandlung des Zwanges bei Testamenten. Berlin, 1898; 8°.
- Schippers** (W. A.). In wie weit ist der Erbe befugt Erbschaftssachen zu vindizieren, ... Leipzig-Reudnitz, 1898; 8°.
- Schlegel** (E.). Die Zurücknahme einer Kreditusage wegen Gefährdung des Gegenanspruchs, ... Freienwalde a. O., 1898; 8°.
- Schleipen** (A.). Die Konventionalstrafe nach gemeinem Recht verglichen mit der Vertragsstrafe des deutschen bürgerlichen Gesetzbuchs. Köln, 1898; 8°.
- Schlotter** (P.). Die unbestellte Ware. Schleiz, 1899; 8°.



- Schmitz** (C.). Ueber den Bereicherungsanspruch des nach § 690 C. P. O. widerspruchsberechtigten Eigentümers gegen den Pfandgläubiger nach beendeter Mobiliarzwangsvollstreckung. Köln, 1899; 8°.
- Schumtz** (F.). Die Entwicklung des Elsass-Lothringischen Gefängniswesens seit der Annexion. Strassburg i. E., 1899; 8°.
- Schneider** (P.). Depositum und Mandat. Essen, 1899; 8°.
- Schnütgen** (R.). Das Differenzgeschäft seine geschichtliche Entwicklung und Klagbarkeit, etc. ... Düsseldorf, 1899; 8°.
- Schöntag** (K.). Ueber die Vertragsstrafe nach dem bürgerlichen Gesetzbuche. Regensburg, 1898; 8°.
- Schreher** (H.). Der Nachlass an Mieth- und Pachtzinsen nach gemeinem Recht und dem bürgerlichen Gesetzbuch für das deutsche Reich. Viesbaden, 1898; 8°.
- Schrömbgens** (H.). Das Kaufmännische Zurückbehaltungsrecht, verglichen mit der Kompensationsbefugnis und dem Pfandrechte. Kaldenkirchen, 1899; 8°.
- Schultz** (A.). Die Konvaleszenz im bürgerlichen Gesetzbuch. Münster i. W., 1899; 8°.
- Schultze** (R.). Kritik der Religionstheorie Rauwenhoff's. Berlin, 1898; 8°.
- Schurr** (F.). Xenophon quo consilio commentariorum Socraticorum prioribus libris tribus adiecerit quartum et qua ratione ipsius libri quarti argumentorum ordinem excogitaverit. Mergentheimi, 1897; 8°.
- Schwanenberg** (P.). Die Verantwortlichkeit des Mieters eines Hauses für eine darin entstandene Feuersbrunst. Bonn, 1898; 8°.
- Schwarz** (E.). Haftet der ehemalige Besitzer einer fremden Sache, welcher sie gegen Entgelt veräußert hat, dem Eigenthümer derselben auf Herausgabe des Kaufpreises? Breslau, 1898; 8°.
- Schwarz** (G.). Der Vertragsschluss nach dem bürgerlichen Gesetzbuche und dem Handelsgesetzbuche vom 10 Mai 1897. Bamberg, 1899; 8°.
- Schwartz** (O.). Der Eigentumserwerb nach dem preussischen Gesetze vom 5 Mai 1872 und seine Anfechtbarkeit wegen Irrthums. Stargard i. P., 1898; 8°.
- Sellmann** (A.). Caspar Dornau, ein pädagogischer Neuerer im Anfang des siebzehnten Jahrhunderts. Langensalza, 1898; 8°.
- Sempell** (O.). Gemeinrechtliche Streitfragen auf dem Gebiete der Werkverdingung und ihre Entscheidung durch das bürgerliche Gesetzbuch. M. Gladbach, 1899; 8°.
- Sobtzick** (F.). Die bedingte und die befristete Obligation. Breslau, 1898; 8°.
- Sommer** (E.). Wird eine Schuld getilgt, wenn ein Dritter zahlte, der sich irrtümlich für den wahren Schuldner hielt? Halle a. S., 1899; 8°.
- Sonntag** (A.). Das simulierte Rechtsgeschäft. Gera, 1899; 8°.
- Steinbach** (B.). Das Schicksal des Vermögens einer untergegangenen juristischen Person nach dem bürgerlichen Gesetzbuch. Erlangen, 1898; 8°.
- Strauss** (S.). Eigentumserwerb durch Specification nach dem bürgerlichen Gesetzbuche für das deutsche Reich. Bamberg, 1899; 8°.
- Strousberg** (H.). Die rechtswidrige Aneignung des elektrischen Stromes. Berlin, 1898; 8°.



- Stubenrauch** (W. v.). Verwaltung und Nutzniessung des Ehemannes am eingebrachten Gute der Ehefrau nach dem bürgerlichen Gesetzbuche. ... München, 1898; 8°.
- Süssheim** (M.). Die Begünstigung. München, 1898, 8°.
- Tenbrieg** (H.). Das Pfändungs-Pfandrecht in seiner materiell rechtlichen Bedeutung. Rheydt, 1898; 8°.
- Thomer** (E.). Die Rechtsstellung der Handlungsagenten nach dem zur Zeit geltenden Recht und nach dem am 1. Januar 1900 in Kraft tretenden Handelsgesetzbuch (I. Buch, 7. Abschnitt). Köln, 1898; 8°.
- Tolkiemit** (R.). Einziehung nach § 40 des Reichsstrafgesetzbuches. Beuthen O.-S., 1898; 8°.
- Trappenberg** (E.). Die rechtliche Bedeutung der Kündigung. Barmen; 1899; 8°.
- Trappenberg** (W.). Kann der delegierte Schenker dem Delegatar gegenüber das *beneficium competentiae* geltend machen? Herford, 1898; 8°.
- Traumann** (F.). Wirkungen des Erwerbs im guten Glauben nach gemeinem Recht und bürgerlichem Gesetzbuch. Bonn, 1898; 8°.
- Treskow** (W. v.). Ueber das Erfordernis eines in Gelde schätzbaren Interesses für die Klagbarkeit von Obligationen. Gotha, 1899; 8°.
- Tretzel** (H.). Der Gesetzesbegriff bei Kreittmayr. Rothenburg o. Tbr., 1899; 8°.
- Uebersicht* des Personal-Standes bei der kgl. bay. Friedrich-Alexanders-Universität Erlangen nebst dem Verzeichnisse der Studierenden im Winter-Semester 1898-99, u. Sommer-Semester 1899; 8°.
- Varnhagen** (H.). Editionis criticae vetustissimi quod sermone anglico conscriptum est dramatis pars prior. Erlangae, 1898; 4°.
- Verzeichniss* der Vorlesungen, welche an der K. Bayerischen Friedrich-Alexanders-Universität Erlangen im Winter-Semester 1898-99; Sommer-Semester 1899; 8°.
- Vosberg** (H.). Ueber die Rückwirkung des Strafgesetzes nach gemeinem deutschen Strafrecht, dem preussischen und dem deutschen Reichsstrafgesetzbuche. Breslau, 1898; 8°.
- Wanninger** (F. X.). Die Abänderungen des Eisenbahnfrachtrechtes durch das neue Handelsgesetzbuch. Passau, 1898; 8°.
- Waubke** (H.). Ueber die Haftung des verkaufenden Pfandgläubigers für rechtliche und thatsächliche Mängel. Elberfeld, 1898; 8°.
- Weber** (F.). Platonische Notizen über Orpheus. München, 1899; 8°.
- Weerts** (J. H. T.). Vergleichende Untersuchung der Religionsphilosophie Kants und Fichtes. Norden, 1898; 8°.
- Wendel** (P. J.). Die Rechtsstellung der Komplementare und Kommanditisten gegenüber der Kommanditgesellschaft und deren Gläubiger während Bestehens und im Konkurs der Gesellschaft. Bonn, 1899; 8°.
- Wenderoth** (E.). Die sogenannte Chikane nach römischem Recht und dem bürgerlichen Gesetzbuche. St. Johann a. d. Saar, 1898; 8°.
- Wentrup** (A.). Der Gläubigerverzug im bürgerlichen Gesetzbuch. Lingen, 1899; 8°.
- Wiegand** (W.). Die Verrechnung von Zahlungen nach gemeinem Rechte. Wiesbaden, 1898; 8°.



- Wilde** (L.). Die rechtliche Natur des beschränkt generellen Kaufs. Krefeld, 1899; 8°.
- Wildt** (F.). Unter welchen Voraussetzungen wird die Inhabung im gemeinen Recht und im bürgerlichen Gesetzbuche geschützt? Köln, 1898; 8°.
- Whilhelm** (F.). Das ist Rechtsirrtum und ist er entschuldbar? Erlangen, 1898; 8°.
- Wilke** (G.). Die Hauptberührungs- und Unterscheidungspunkte der Erziehungsgedanken John Locke's und Jean Jacques Rousseau's. Scheinfeld, 1898; 8°.
- Willenbücher** (H.). J. M. Guyaus Prinzip des Schönen und der Kunst. Giessen, 1899; 8°.
- Witzleben** (M. v.). Ausserkontrakliche Haftung für blosse Erteilung einer Auskunft oder eines Rates, etc. ... Cöthen, 1898; 8°.
- Wirtz** (E.). Die rechtlichen Wirkungen der Delegation und Expromission auf eine Nichtschuld nach römischem und neuerem Recht. Münstereifel, 1898; 8°.
- Wirtz** (H.). Ueber die Rechte an einer zwei Häusern gemeinsamen Scheidemauer nach römischem Recht, unter besonderer Berücksichtigung der Partikulargesetzgebung und des neuen bürgerlichen Gesetzbuches. Coblenz, 1898; 8°.
- Wrede** (F.). Giebt es im gemeinen Recht einen Selbsthülfeverkauf? Köln, 1898; 8°.
- Zagel** (G.). Die Gegenreformation im Bistum Bamberg unter Fürstbischof Neithard von Thüngen 1591-98. Bayreuth, 1898; 8°.
- Zitelmann** (F. C.). Die Voraussetzungen für das Recht und die Pflicht des Käufers, dem Verkäufer die Ware zur Verfügung zu stellen. Erlangen, 1899; 8°.

\* *Dall' Università di Giessen:*

- Becker** (C.). Ueber den Einfluss der internationalen Getreidekonkurrenz auf die jährlichen Schwankungen der landwirtschaftlichen Gelderträge und auf die Anbauflächen im Grossherzogtum Hessen. Giessen, 1898; 8°.
- Becker** (W.). Die Initiative bei der Stiftung des Rheinischen Bundes 1254. Giessen, 1899; 8°.
- Dippel** (R.). Quae ratio intercedat inter Xenophontis historiam Graecam et Plutarchi vitas quaeritur. Gissae, 1898; 8°.
- Guthmann** (I.). Die negativen Bedingungen in ihren Beziehungen zu den unechten Unterlassungsdelikten. Breslau, 1898; 8°.
- Hansult** (G. M.). Das Patronat in der evangelischen Landeskirche des Grossherzogtums Hessen. Friedberg, 1898; 8°.
- Helm** (K.). Untersuchungen über Heinrich Helsingers Evangelium Nicodemi. Halle a. S., 1899; 8°.
- Hildesheimer** (M.). Des Samaritaners Marqah Buch der Wunder. Berlin, 1898; 8°.



**Kinkel** (W.). Beiträge zur Theorie des Urteils und des Schlusses. Giessen, 1898; 8°.

**Kornemann** (E.). Zur Stadtentstehung in den ehemals keltischen und germanischen Gebieten des Römerreichs. Giessen, 1898; 8°.

*Personal-Bestand* der Grossherzoglich Hessischen Ludwigs-Universität zu Giessen. Winterhalbjahr 1898/99. Sommerhalbjahr, 1899; 8°.

**Reuter** (R.). Der Raufhandel im deutschen Reichsstrafgesetzbuch. Breslau, 1899; 8°.

**Simon** (C.). Das Wechselblankett nach deutschem Recht unter Berücksichtigung des französischen und englischen Rechts. Darmstadt, 1898; 8°.

**Swrakoff** (K. D.). Der Einfluss der zeitgenössischen Philosophie auf Basedows Pädagogik. Giessen, 1898; 8°.

*Vorlesungsverzeichniss* der Grossherzoglich Hessischen Ludwigs-Universität zu Giessen. Sommerhalbjahr 1899; Winterhalbjahr, 1899-1900; 8°.

**Weinel** (H.). Die Wirkungen des Geistes und der Geister im nachapostolischen Zeitalter bis auf Irenäus. Tübingen, 1898; 8°.

\* *Dalla Biblioteca dell'Università di Upsala:*

**Ahlström** (A.). Étude sur la langue de Flaubert. Macon, 1899; 8°.

**Alstermark** (B. J.). De religiöstsvärmiska rörelserna i Norrland 1750-1800. 1. Herjeådalén och Helsingland. Strengnäs, 1898; 8°.

**Annerstedt** (C.). Bref af Olof Rudbeck d. ä. rörande Upsala universitet. Utgifna med inledning. Upsala, 1899; 8°.

**Arrskrift**. Upsala Universitets. 1898. Upsala, 1898; 8°.

**Beckman** (K. F. N.). Språkpsykologi och modersmålsundervisning. Lund, 1899; 8°.

**Bensow** (J. O.). Till läran om Bibelns normativa auktoritet. Stockholm, 1899; 8°.

**Edén** (N.). Om centralregeringens organisation under den äldre Vasatiden 1523-1594. Upsala, 1899; 8°.

**Föreläsningar** och öfningar vid Kongl. Universitetet i Upsala höst-terminen 1898. Upsala, 1898; 8°.

— vår-terminen. Upsala, 1899; 8°.

**Girgensohn** (P. G.). Die skandinavische Politik der Hansa 1375-95. Upsala, 1898; 8°.

**Gustafsson** (P. J.). Den lutherska konfirmationens väsen och liturgiska anordning. Upsala, 1899; 8°.

**Hall** (M. P. F.). Bidrag till kännedomen om Cistercienserorden i Sverige. 1. Munkklostren. Geffe, 1899; 4°.

**Helander** (P. J.). Haquin Spegel Hans lif och gärning intill år 1693. Upsala, 1899; 8°.

**Johansson** (J.). Profeten Hosea. Öfversättning och utläggning. Upsala, 1899; 8°.

**Lené** (G. A.). Les substantifs postverbaux dans la langue française. Upsala, 1899; 8°.

**Ljunggren** (S. A.). De gente patricia Claudiorum nonnulla. 1. Per spatium liberæ civitatis. Upsala, 1898; 8°.



- Magnusson** (A. M.). Nicolaus Olai Botniensis. Upsala, 1898; 8°.
- Nilsson** (J. W.). De diplomatiska förbindelserna mellan Sverige och Frankrike under Gustaf IV Adolf. Upsala, 1899; 8°.
- Östberg** (H. O.). Les voyelles vélaires accentuées, la diphtongue au et la désinence -avus dans quelques noms de lieux de la France du Nord. Upsala, 1899; 8°.
- Samuelsson** (J.). Studia in Valerium Flaccum. Upsala, 1899; 8°.
- Sjögreen** (N. E. K. M.). Jahjâ Bin 'Abd El-M'tî Ez-Zâwawî's Kitâb El-Fusûl. Kap. 1-2. Leipzig, 1899; 8°.
- Wahlström** (L. K.). Sverges förhållande till Danmark 1788-89. Upsala, 1898; 8°.
- Westholm** (A.). Étude historique sur la construction du type " Li filz le rei „ en français. Vesterås, 1899, 4°.

- Albertotti** (G.). Scritti inediti di Giulio Cesare Cordara e documenti relativi. Modena, 1899; 4° (*dall'A.*).
- Arnò** (C.). Cesare Nani. Modena, 1899; 8° (*Id.*).
- Calmo** (A.). Le lettere..... riprodotte sulle stampe migliori con introduzione ed illustrazioni di V. Rossi. Torino, 1888; 8° (*dono del Prof. V. Rossi.*).
- \* **Chijs** (J. A. van der). Dagb-Register gehouden int Casteel Batavia vant passerende daer ter plaetse als over geheel Nederlandts-India anno 1670-71. Uitgegeven door het Bataviaasch Genootschap van Kunsten en Wetenschappen met medewerking van de Nederlandsch-Indische Regeering en onder toezicht. Batavia, s' Hage, 1898; 8° (*dalla Società di arti e scienze di Batavia.*).
- Centi** (P. A.). Cenni storici di Moneglia. Genova, 1899; 8° (*dall'A.*).
- \* **Colenbrander** (H. T.). Dagb-Register gehouden int Casteel Batavia vant passerende daer ter plaetse als over geheel Nederlandes-India anno 1631-1634. Uitgegeven door het Departement van Koloniën onder toezicht. S' Gravenhage, 1898; 8° (*Id.*).
- Compagnoni-Natali** (G. B.). Cenni di Paleoantropologia ovvero dall'Archeologia alla Paletnologia in ordine all'antichità e all'evoluzione dell'uomo. Montegiorgio, 1899; 8° (*inviato dall'A. per il premio Vallauri.*).
- \*\* **Croiset** (A. et M.). Histoire de la littérature grecque. Tome cinquième. Paris, 1899; 8°.
- De-Bottazzi** (G.). Italiani in Germania. Torino, 1895; 8° (*dall'A.*).
- Neue theoretisch-praktische Grammatik der italienischen Sprache für deutsche Schulen und zum Selbstunterricht. Stuttgart, 1898; 8° (*Id.*).
- Ferrari** (A.). Il fondamento della morale. Studi. Alessandria, 1899; 8° (*dall'A. per il premio Gautieri di filosofia.*).
- Ferrero** (E.). Vincenzo De-Wit. Berlin, 1899; (*dall'A.*).
- Giuseppe Müller. Berlin, 1899 (*Id.*).
- Foras** (A. de). Girard du Pas abbé d'Abbondance, etc. et les anniversaires de Ripaille. Annecy, 1899; 8° (*Id.*).
- Cartulaire concernant l'ancien Prieuré de Saint-Paul. Redigé de 1270 à 1280. Annecy, 1899; 8° (*Id.*).



**Giorcelli** (G.). Storia della lunga contesa fra i marchesi Moscheni di Bergamasco ed i marchesi Faà di Bruno nell'acquese. Alessandria, 1899; 4° (*dall'A.*).

\* **Hacklin** (A.). Olavus Laurelius. Hans lif och verksamhet (1585-1670). 1896; 8° (*dalla Biblioteca Universitaria di Upsala*).

\* **Hodgkin** (Th.). Italy and Her invaders. 744-814. Vol. VII-VIII. Oxford, 1899; 8°.

**Mancini** (C.). Il linguaggio simbolico della regina delle epigrafi Osche scoperto ed interpretato. Napoli, 1899; 4° (*dall'A.*).

**Maspero** (G.). Histoire ancienne des peuples de l'Orient classique. Les Empires. Paris, 1899; 8° (*Id.*).

**Nadaillaie** (de). L'Amérique préhistorique d'après un livre nouveau du professeur Cyrus Thomas. Paris, 1899; 8° (*dall'A.*).

— La Chine du XX siècle. Paris, 1899; 8° (*Id.*).

— Les progrès des États-Unis. Arras, Paris. 1899; 8° (*Id.*).

*Pio ricordo* di Cesare Pomba. Torino, 1899; 8° (*dalla signora Rosa Bellono vedova Pomba*).

**Poggi** (V.). Miscellanee savonesi. Opere del Bernini in Savona. — Un vescovo di Savona barone del Primo Impero. — Scoperte archeologiche. — Contributo al regesto di papa Sisto IV. Savona, 1899; 8° (*dall'A.*).

— Bronzi votivi di Vado. 1 f. v.

**Rogadeo** (E.). Gli ordinamenti marittimi di Trani. Trani, 1899; 8° (*dall'A.*).

**Rossi** (F.). Manoscritti Copti esistenti nel Museo Egizio e nella Biblioteca Nazionale di Torino raccolti da B. Drovetti. Firenze, 1899; 8° (*Id.*).

**Rossi** (V.). Francesco Gonzaga prigioniero dei Veneziani (Agosto 1509). Sonetti pubblicati da V. R. Venezia, 1889; 8° (*Id.*).

— Un elefante famoso. Alessandria, 1890; 8° (*Id.*).

— Pasquinate di Pietro Aretino ed Anonime per il conclave e l'elezione di Adriano VI pubblicate ed illustrate. Palermo, 1891; 16° (*Id.*).

— Dialoghi in sonetti pubblicati da V. R. Livorno, 1892; 8° (*Id.*).

— La guerra dei Veneziani contro Ferrara nel 1509. Poemetto storico contemporaneo. Venezia, 1892; 8° (*Id.*).

— Jacopo D'Albizzotto Guidi e il suo inedito poema su Venezia. Venezia, 1893; 8° (*Id.*).

— *Caio Caloria Ponzio* e la poesia volgare, letteratura di Sicilia nel secolo XV. Palermo, 1893; 8° (*Id.*).

— Il canzoniere inedito di Andrea Michieli detto Squarzòla o Strazzòla. Torino, 1895; 8° (*Id.*).

— Un ballo a Firenze nel 1459. Bergamo, 1895; 8° (*Id.*).

— Due sonetti di Lorenzo Moschi. Pubblicati da V. R. Bergamo, 1896; 8° (*Id.*).

\*\* **Sanuto** (M.). I Diarii. T. LIV, fasc. 230, 231; LV, 232.

**Vismara** (A.). Rime e sciolti. Milano, 1899; 12° (*dall'A.*).

\*\* **Vivaldi** (V.). Storia delle controversie intorno alla nostra lingua. Vol. 3°. Catanzaro, 1898; 8°.

**Wiese** (B.) u. **Percopo** (E.). Geschichte der italienischen Litteratur. Leipzig u. Wien, 1899; 8° (*dal Bibliographisches Institut*).



## Classe di Scienze Fisiche, Matematiche e Naturali.

Dal 19 Novembre al 3 Dicembre 1899.

- \* **Atti** dell'Accademia Gioenia di scienze naturali in Catania. An. LXXVI, 1898; ser. 4<sup>a</sup>, vol. XII. Catania, 1899; 4°.
- Atti** del Collegio degli ingegneri e degli architetti in Palermo. 1899, gennaio-giugno. Palermo; 8°.
- \* **Atti** del R. Istituto Veneto di Scienze, Lettere ed Arti; t. LVIII, disp. 5<sup>a</sup>, Venezia, 1899; 8°.
- \* **Beiträge** zur Geologie der Schweiz. Geotechnische Serie, I. Lieferung. Bern, 1899; 4° (*dalla Commissione Geologica svizzera*).
- \* **Bergens Museum Aarbog** for 1899. Bergen, 1899; 4°.
- \* **Bulletin** mensuel du magnétisme terrestre de l'Observatoire Royal de Bruxelles par L. NIESTEN. Janvier, février, mars et juillet 1899. Bruxelles; 16°.
- \* **Comptes-rendus** de l'Académie des Sciences de Cracovie. Juin-juillet 1899; 8°.
- \* **Prace** matematyczno-fizyczne. T. X. Warszawa, 1899-900; 8° (*dalla Società di scienze matematiche e fisiche*).
- Primera Reunión** del Congreso científico latino americano celebrada en Buenos Aires del 10 al 20 de Abril de 1898, por iniciativa de la Sociedad Científica Argentina ecc.
  - I. Organización y Resultados generales del Congreso.
  - IV. Trabajos de la 3<sup>a</sup> Sección (Ciencias médicas). Buenos Aires, 1898; 2 vol. 8° (*dalla Biblioteca Nacional*).
- \* **Proceedings** of the Royal Irish Academy. Third series, vol. V, No. 3. Dublin, 1899; 8°.
- Publicationen** für die Internationale Erdmessung. Die astronomisch-geodätischen Arbeiten des k. und k. militär-geographischen Institutes in Wien. XIII, XIV u. XV Bd. Wien, 1899; 4°.
- \* **Rendiconti** del R. Istituto Lombardo di scienze e lettere. Vol. XXXII, fasc. 16°. Milano, 1899; 8°.
- Report** on the Madras Observatory for 1898-99. Calcutta; 4°.
- \* **Transactions** of the Manchester Geological Society. Vol. XXVI, Part IX, 1899; 8°.
- \* **Журналъ** русскаго физико-химическаго Общества при Императорскомъ С. Петербургскомъ Университетѣ. Т. XXXI, n. 7. 1899; 8°.



- Franchi** (S.). Sull'età mesozoica della zona delle pietre verdi nelle Alpi occidentali. Roma, 1899; 8° (*dall'A.*).
- Haeckel** (E.). Kunst-Formen der Natur. III Liefg. Leipzig u. Wien, 1899; 4° (*Id.*).
- Hulth** (J. M.). Öfversikt af faunistiskt och biologiskt viktigare litteratur rörande nordens fåglar. Stockholm, 1899; 4° (*Id.*).
- Marron** (M. M. Miranda y). El catorce de noviembre. Mexico, 1899; 8° (*dalla Biblioteca Nazionale del Messico*).
- Novarese** (V.). Le Alpi piemontesi. Roma, 1899; 8° (*dall'A.*).
- Pascal** (G.). Repertorio di matematiche superiori (Definizioni, Formole, Teoremi, Cenni biografici). II. Geometria. Milano, 1900; 16° (*Id.*).
- Die Variationsrechnung. Autorisierte deutsche Aufgabe von A. Schepp. Leipzig, 1899; 8° (*Id.*).
- \*\* Reichenbach** (L.) et (H. G.). Icones florae Germanicae et Helveticae simul terrarum adjacentium ergo Mediae Europae. Tomo 23. Decas 13/14. Lipsiae, 1899; 4°.
- Vincenti** (G.). Fonografia-Filologica. Relazione circa l'istituzione di una sezione speciale di Fonografia universale a mano presso gl'Istituti scientifici del Regno. Torino, 1895; 8°.
- La Fonografia universale Michela e la Fono-Telegrafia universale Vincenti. Torino, 1893; 4° obl. (*dal Prof. G. Vincenti*).

## Classe di Scienze Morali, Storiche e Filologiche.

Dal 26 Novembre al 10 Dicembre 1899.

- \* **Abhandlungen** der Königl. Gesellschaft der Wissenschaften zu Göttingen Historisch-philologische Klasse. N. F., Bd. III, No. 1. Berlin, 1899; 4°.
- \* **Atti** della R. Accademia dei Lincei. Classe di Scienze morali, storiche e filolog., Serie V, vol. VI. Notizie degli Scavi: giugno 1899. Roma; 4°.
- Legge**, decreti, rescritti, ministeriali e regolamenti pel grande Archivio del Regno e per gli Archivi provinciali. Napoli, 1847; 8° (*dalla Direzione dell'Archivio di Stato in Napoli*).
- \* **Monumenta Palaeographica Sacra**. Atlante paleografico-artistico compilato sui manoscritti esposti in Torino alla mostra d'arte sacra nel M. DCCC XCVIII e pubblicato dalla R. Deputazione di Storia patria delle antiche provincie e della Lombardia per cura di F. CARTA, C. CIPOLLA e C. FRATI. Torino, Frat. Bocca, 1899; in-f°.
- \* **Nachrichten** von der K. Gesellschaft der Wissenschaften zu Göttingen. Philologisch-historische Klasse, 1899, Heft 2, 3. Göttingen; 8°.
- \*\* Pompei**. Nuovi scavi. Casa dei Vettii. Napoli, 1899. Testo e Atl. in-f°.



- \* **Publications** de l'École des Lettres d'Alger. Bulletin de Correspondance Africaine. Histoire de la conquête de l'Abyssinie (XVI<sup>e</sup> siècle). Texte arabe, fasc. III-IV; Traduction française et notes, fasc. II-III.
- Sanskrit Critical Journal** of the Oriental Nobility Institute; Vol. XXVIII, No. 4-9, 1899; Woking, England; 8°.
- Uebersicht** der Akademischen Behörden, Professoren, Privatdocenten, Lehrer Beamten etc. an der k. k. Leopold-Franzens-Universität zu Innsbruck für das Studienjahr 1899-900; 8°.
- 

- Bigoni** (G.). Quattro documenti genovesi sulle contese d'Oltremare nel secolo XIII. Firenze, 1899; 8° (*dall'A.*).
- Carutti** (D.). Bibliografia Carloalbertina. Pel cinquantesimo anniversario della morte del Re Magnanimo. Torino, 1899; 4° (*dalla R. Deputazione sovra gli Studii di Storia Patria per le Antiche provincie e la Lombardia*).
- Siri** (Antonietta). Francesco Crispi e l'Italia. Firenze, 1899; 8° (*dall'A.*).
- 

## Classe di Scienze Fisiche, Matematiche e Naturali.

---

Dal 3 al 17 Dicembre 1899.

---

- \* **Abhandlungen** der naturhistorischen Gesellschaft zu Nürnberg. XII Bd., 1899; 8°.
- \* **Anales** de la Sociedad Científica Argentina. Entr. 5<sup>a</sup>, t. XLVIII. Buenos Aires, 1899; 8°.
- \* **Annales** des Mines. 9<sup>me</sup> série, t. XVI, livrs. 7, 8. Paris, 1899; 8°.
- \* **Buletinul** Societății de Științe din Bucuresci-Romania. Anul VIII. No. 4 si 5. Bucuresci, 1899; 8°.
- \* **Communications** de la Société mathématique de Kharkow. 2<sup>e</sup> Sér., t. VI, Nos. 5 et 6. Kharkow, 1898; 8°.
- \* **Journal** of the Linnean Society. Botany. Vol. XXVI, No. 178. London, 1899; 8°.
- \* **Memorie** della R. Accademia delle Scienze dell'Istituto di Bologna. Serie V, tomo VII, fasc. 3, 4, 1898-99; 4°.
- \* **Nachrichten** von der k. Gesellschaft der Wissenschaften zu Göttingen. Mathematisch-physik. Klasse. 1899. Heft 2, Göttingen, 1899; 8°.
- \* **Proceedings and Transactions** of the R. Society of Canada. Second Ser., vol. 4<sup>o</sup>. Ottawa, 1898; 8°.
- \* **Proceedings** of the Royal Society. Vol. LXV, No. 421. London, 1899; 8°.
- Publicationen** für die Internationale Erdmessung. Die astronomisch-geodätischen Arbeiten des k. und k. militär-geographischen Institutes in Wien, XVI Bd. Wien, 1899; 4°.



- \* **Rendiconti** del R. Istituto Lombardo di Scienze e Lettere. Vol. XXXII, fasc. XVII. Milano, 1899; 8°.
- \* **Rendiconti** del Circolo matematico di Palermo. Tom. XIII, fasc. 6. Palermo, 1899; 8°.

***Dal Ministero dell'Interno:***

- Atti** della settima adunanza degli scienziati italiani tenuta in Napoli dal 20 settembre al 5 ottobre 1845: Parte seconda. Napoli, 1846; in-4°.
- Giornale** Sanitario sovranamente disposto contenente le principali notizie, le decisioni di massima emanate dal Supremo Magistrato di Salute di Napoli, e gli ordini superiori dettati onde garantire questi reali dominii al Cholera-Morbus. Napoli, 1831; 4°.
- Notizie**, memorie ed istruzioni riguardanti il Cholera-Morbus. Napoli, 1831; 8°.
- Regolamenti** Sanitarii per lo Regno delle Due Sicilie sanzionati da Sua Maestà in conseguenza della legge de' 20 ottobre 1819. Napoli, 1831; 4°.
- Id. Id. Napoli, 1847; 4°.
- Regolamento** pel servizio interno del Grande Archivio di Napoli; approvato con Dicasteriale determinazione del 30 luglio 1861. Napoli, 1861; 8°.
- Relazione** dei tremuoti di Basilicata del 1851. Napoli, 1853; 4°.
- 

- \*\* **Barrande** (G.). Système Silurien du centre de la Bohême. 1<sup>ère</sup> partie: Recherches Paléontologiques. Vol. VII. Classe des Échinodermes. Fam. des Crinoïdes. Prague, 1899; 4°.
- Cantor** (M.). Vorlesungen über Geschichte der Mathematik. II Bd., 2 Halbbd. von 1550-1668. Leipzig, 1900; 8° (*dall'A.*).
- Galilei** (G.). Le opere. Vol. IX. Firenze, 1898; 4° (*dal Ministero dell'Istruzione Pubblica*).
- Raspail** (X.). A propos d'un projet de réforme à la nomenclature des êtres organisés et des corps inorganiques. Mexico, 1899; 8° (*dall'A.*).
- 

Classe di Scienze Morali, Storiche e Filologiche.

---

Dal 10 al 24 Dicembre 1899.

---

- \* **Almanach** der k. Akademie der Wissenschaften. Wien, 1897; 8°.
- \* **Analecta** Bollandiana. T. XVIII, fasc. III. Bruxelles, 1899; 8°.
- \* **Annali** di Statistica. Atti della Commissione per la statistica giudiziaria civile e penale. Sessione del luglio 1898. Roma, 1899; 8° (*dal Ministero di Agricoltura, Industria e Commercio*).



- \* **Archiv für österreichische Geschichte.** Herausg. von der zur Pflege vaterländischer Geschichte aufgestellten Commission der k. Akad. der Wissenschaften. Bd. 85, 86. Wien, 1898-99; 2 vol. 8°.
- \* **Atti e Rendiconti** dell'Accademia di scienze, lettere e arti dei Zelanti di Acireale. Nuova serie, vol. IX. Acireale, 1899; 8°.
- \* **Atti** della R. Accademia dei Lincei. Serie V. Classe di Sc. mor., stor. e filol., ser. V, vol. VII. Notizie degli Scavi: Luglio 1899. Roma; 4°.
- Atti** della Società di Archeologia e Belle Arti per la provincia di Torino. Vol. VII, fasc. 2. Torino, 1900; 8°.
- \*\* **Bibliotheca Philologica Classica.** Vol. XXVI, 1899. Trimestre tertium. Lipsiae, 1899; 8°.
- \* **Boletín** de la Real Academia de la historia; t. XXXV, cuad. VI. Madrid, 1899; 8°.
- \* **Fontes rerum austriacarum.** Österreichische Geschichts-Quellen. Herausg. von der Commission der k. Akad. der Wissenschaften in Wien. 50 Bd., II Abth. Wien, 1898; 8°.
- \* **Giornale** della Società di letture e conversazioni scientifiche di Genova. Anno XX, fasc. IV. Genova, 1899; 8°.
- \* **Jaarboek** van de k. Akad. van Wetenschappen gevestigd te Amsterdam. Amsterdam, 1899; 8°.
- Inauguration** (Die Feierliche) des Rectors der Leopold-Franzens-Universität zu Innsbruck für das Studienjahr 1899/1900 am 30 October 1899. Innsbruck, 1899; 8°.
- \* **Prijsvers.** Pater ad Filium, carmen praemio aureo ornatum in certamine poetico Hoeufftiano. Accedunt quatuor poemata laudata. Amstelodami, 1899; 8° (*dall'Accad. R. delle Scienze di Amsterdam*).
- \* **Sitzungsberichte** der philosophisch-philologischen und der historischen Klasse der k. b. Akademie der Wissenschaften zu München, 1899. Bd. II, Heft 1. München, 1899; 8°.
- \* **Sitzungsberichte** der k. Akademie der Wissenschaften. Philosophisch-historische Classe. 138, 139, 140 Bd., Jahr. 1897-98. Wien, 1898; 3 vol. 8°.
- Statistica** giudiziaria civile e commerciale e statistica notarile per l'anno 1897; Parte I. Statistica giudiziaria civile e commerciale. Roma, 1899; 8° (*dal Ministero di Agricoltura, Industria e Commercio*).
- \* **Transactions** of the Royal Society of Literature. 2. Series, vol. XXI, part I. London, 1899; 8°.

\* *Dall'Università di Strassburg i. E.:*

- Asp** (T.). Die Geschichte des finländischen Bank- und Münzwesens bis 1865. Strassburg, 1898; 8°.
- Dennig** (E.). Der Hausierhandel in Baden insbesondere in Bezug auf die Hausindustrie. Karlsruhe, 1899; 8°.
- Feilchenfeld** (L.). Rabbi Josel von Rosheim, ein Beitrag zur Geschichte der Juden in Deutschland im Reformationszeitalter. Strassburg, 1898; 8°.



- Gerken (H.).** Die Sprache des Bischofs Douglas von Dunkeld (Vocalismus und Consonantismus der Reimwörter) nebst Anhang: Zur Echtheitsfrage des "King Hart". Strassburg, 1898; 8°.
- Goette (A.).** Der Ehrenbrief des Jakob Püterich von Reichertshausen an die Erzherzogin Mechthild. Strassburg, 1899; 8°.
- Heer (F. J.).** Die historischen und geographischen Quellen in Jāqūt's Geographischem Wörterbuch. Strassburg, 1898; 8°.
- Henczynski (R.).** Das Leben des heiligen Alexius von Konrad von Würzburg. Berlin, 1898; 8°.
- Hertling (C.).** Quaestiones mimicae. Argentorati, 1899; 8°.
- Hund (A.).** Colmar vor und während seiner Entwicklung zur Reichsstadt. Strassburg, 1899; 8°.
- Kanner (S.).** Das Lotto in Oesterreich. Ein Beitrag zur Finanzgeschichte Oesterreichs. Strassburg, 1898; 8°.
- Karst (J.).** Aussprache und Vokalismus des Kilikisch-Armenischen. Strassburg, 1899; 8°.
- Kisch (W.).** Begriff und Wirkungen der besonderen Streitgenossenschaft. Strassburg, 1899; 8°.
- Kistiakowski (T.).** Gesellschaft und Einzelwesen. Berlin, 1899; 8°.
- Lühe (W.).** Hugo von Die und Lyon Legat von Gallien. Breslau, 1898; 8°.
- Maurer (T.).** Die Religionslehre Spinozas im theologisch-politischen Traktat. Strassburg, 1898; 8°.
- Mayer (M. E.).** Der Causalzusammenhang zwischen Handlung und Erfolg im Strafrecht. Strassburg, 1899; 8°.
- Nuglisch (A.).** Das Finanzwesen des Deutschen Reiches unter Kaiser Karl IV. Strassburg, 1899; 8°.
- Piatt (H.).** Neuter il in Old French. Strassburg, 1898; 8°.
- Petri (E.).** Die Gewährleistung für Mängel im Recht beim Sachkauf nach B. G. B. Strassburg, 1899; 8°.
- Riber (J.).** Das jugendliche Alter als Grund der Strafflosigkeit im römischen Recht. Strassburg, 1898; 8°.
- Rohrbach (P.).** Die Berichte über die Auferstehung Jesu. Strassburg, 1898; 8°.
- Sandbach (F. E.).** Handschriftliche Untersuchungen über Otto von Diemeringen's Deutsche Bearbeitung der Reisebeschreibung Mandeville's. Strassburg, 1899; 8°.
- Schlapp (O.).** Die Anfänge von Kants Kritik des Geschmacks und des Genies, 1764 bis 1775. Göttingen, 1899; 8°.
- Schoembs (J.).** Ariosts Orlando Furioso in der englischen Litteratur des Zeitalters der Elisabeth. Soden a T., 1898; 8°.
- Stieve (A.).** Der Gegenstand des Bereicherungsanspruch nach dem bürgerlichen Gesetzbuche. Strassburg, 1899; 8°.
- Tokiwai (Tsuru-Matsu)** Studien zum Sumāgadhāvadāna. Darmstadt, 1898; 8°.
- Uhl (A.).** Quaestiones criticae in L. Annaei Senecae dialogos. Strassburg, 1899; 8°.
- Uhry (L.).** Die Scholien des Gregorius Abulfarag Barhebraeus zur Genesis Capitel 21 bis 50. Leipzig, 1898; 8°.



**Vopel** (H.). Die Altchristlichen Goldgläser. Stuttgart, 1898; 8°.

**Wirtz** (P.). De Theophrasti Eresii libris phytologicis. Argentorati, 1898; 8°.

**Bonghi** (R.). Pensieri inediti con ricordi biografici per Francesco CRISPI. Lucera, 1899; 8° (*dal Sindaco di Lucera*).

**Burnouf** (E.). Le Bhâgavata Purāṇa ou histoire poétique de Kṛichna traduit et publié par E. BURNOUF. Tom. V. Paris, Impr. Nationale, 1898; in-f° (*dal Ministero di Grazia, Giustizia e dei Culti del Governo Francese*).

**De-Filippi** (F.). La spedizione di S. A. R. il Principe Luigi Amedeo di Savoia Duca degli Abruzzi al Monte Sant'Elia (Alaska), 1897. Milano, 1900; 8° (*dono di S. A. R. il Duca degli Abruzzi*).

**Manfroni** (G.). Storia della marina italiana dalle invasioni barbariche al trattato di Ninfeo. Livorno, 1899; 8° (*dall'A.*).

**Mazzarella** (G.). La condizione giuridica del marito nella famiglia matriarcale. Contributo alla giurisprudenza etnologica. Catania, 1899; 8° (*Id.*).

## Classe di Scienze Fisiche, Matematiche e Naturali

Dal 17 al 31 Dicembre 1899.

\* **Accademia** Reale delle Scienze di Amsterdam: Verhandelingen. Afd. Natuurkunde 1<sup>e</sup> Sectie Dl. VI, N. 6-7; 2<sup>e</sup> Sectie Dl. VI, N. 3-8. Zittingsverslagen. Afd. Natuurkunde Année 1898/99 Dl. VII; Proceedings (Section of Science). Vol. I; 8°.

\* **Annales** de la Société belge de microscopie. T. XXIV. Bruxelles, 1899; 8°.

**Annuario** publicado pelo Observatorio do Rio de Janeiro para o anno de 1899. Rio de Janeiro, 1899; 8°.

\* **Archives** Néerlandaises des sciences exactes et naturelles. Sér. II, t. III, 2<sup>e</sup> livr. La Haye, 1899; 8°.

\* **Berichte** über die Verhandlungen der k. Sächsischen Gesellschaft der Wissenschaften zu Leipzig. Mathem.-Phys. Classe, 1899, V. Leipzig; 8°.

\* **Bollettino** del R. Comitato Geologico d'Italia. Anno 1899, n. 3. Roma; 8°.

\* **Bulletin** de la Société Belge de Géologie, de Paléontologie et d'Hydrologie. Tom. X, fasc. IV; 1896. Bruxelles, 1899; 8°.

\* **Bulletin** de l'Académie Royale des sciences et des lettres de Danemark. 1899, Nos 4, 5. Copenhague; 8°.

**Bulletin** of the Agricultural Experiment Station of Nebraska. Vol. X, n. 55-59. Lincoln Nebraska, 1898; 8° (*dall' Univ. di Nebraska*).



- \* **Denkschriften** der k. Akademie der Wissenschaften. Mathem.-naturwissenschaftliche Classe. Bd. 65; 67, I-II Theil; 66. Wien, 1898-99; 4° vol. 4°.
- \* **Documents et Rapports** de la Société Paléontologique et Archéologique de l'Arrondissement judiciaire de Charleroi. T. XXIII. Charleroi, 1899; 8°.
- \* **Festschrift** zur Feier ihres Fünfzigjährigen Bestehens herausg. von der physikalisch-medizinischen Gesellschaft zu Würzburg. Würzburg, 1899; 8°.
- \*\* **Fortschritte** der Physik im Jahre 1898, Bd. LIV. 2 Abt. Braunschweig, 1899; 8°.
- \* **Giornale** della R. Accademia di Medicina. A. LXII, n. 9-11. Torino, 1899; 8°.
- \* **Kansas University Quarterly**. Ser. A: science and mathematics. Vol. VIII, No. 3. Lawrence, 1899.
- \* **Memorias y Revista** de la Sociedad Científica "Antonio Alzate", T. XII (1898-99), N. 7-8. Mexico; 8°.
- \* **Monthly Notices** of the Royal Astronomical Society. Vol. LX, No. 1. London, 1899; 8°.
- Primera Reunión** del Congreso científico latino americano celebrada en Buenos Aires del 10 al 20 de Abril de 1898, por iniciativa de la Sociedad Científica Argentina ecc.  
II. Trabajos de la 1ª Sección (Ciencias exactas é ingeniería). Buenos Aires, 1898; 8° (*dalla Biblioteca Nacional*).
- \* **Proceedings** of the American Academy of Arts and Sciences. Vol. XXXIV, Nos. 21-23. Boston, 1899; 8°.
- \* **Proceedings** of the American Philosophical Society held at Philadelphia. Vol. XXXVIII, No. 159. 1899; 8°.
- \* **Report** of the Survey Botanical series. III. Minnesota Plant Life by Conway Mac Millan. Minneapolis, Minn. 1899; 8° (*dal Geological and Natural History Survey of Minnesota*).
- Report** (Nineteenth Annual) of the United States Geological Survey to the Secretary of the Interior 1897-98. Ch. D. Walcott Director. In Six Parts.  
I. Director's report, including-triangulation and spirit levelling. IV. Hydrography. VI. Mineral resources of the United States, 1897, etc. Washington, 1898, 4 vol.; 4°.
- Report** of the Superintendent of the U. S. Coast and Geodetic Survey showing the progress of the Work during the fiscal Year ending with June, 1897. Washington, 1898; 4°.
- \* **Sitzungsberichte** der K. Akademie der Wissenschaften. Mathem.-naturwissenschaftlichen Classe. 1898, CVII Bd., Abth. I, VI-X Heft; CVII Bd., Abth. II a, III-X Heft; CVII Bd., Abth. II b, IV-X Heft; CVII Bd., Abth. III, I-X Heft. Wien, 1898; 8°.
- \* **Smithsonian Institution**. Smithsonian miscellaneous collections 1171. Index to the literature of Tellurium 1861-1896. By Martha Doan. Washington, 1899; 8°.
- \* **Transactions** of the Academy of Science of St-Louis. Vol. VIII, n. 8-12; IX, 1-7. 1898-99; 8°.



*\* Dall'Università di Strassburg i. E.:*

- Amson** (A.). Ueber das Ausreissen grösserer Aeste der Arteria axillaris bei Verrenkung des Oberarms. Strassburg, 1898; 8°.
- Bamler** (K.). Strassburger Temperaturmittel nach 100jährigen Beobachtungen. Barmen, 1899; 8°.
- Bartholdy** (K.). Beiträge zur Anatomie der Nähte des Schädeldaches. Strassburg, 1899; 8°.
- Baur** (P.). Ueber die im Gefolge von Hautkrankheiten auftretenden Epidermiscysten unter besonderer Berücksichtigung der bullösen Erkrankungen. Strassburg, 1899; 8°.
- Bethe** (A.). Ueber die Primitivfibrillen in den Ganglienzellen vom Menschen und anderen Wirbelthieren. Jena, 1898; 8°.
- Boeglin** (H.). Ueber Hauttuberculose insbesondere Tuberculosis cutis propria. Strassburg, 1898; 8°.
- Borstelmann** (P.). Ueber zwei isomere Aethylcrotonsäuren. Strassburg, 1898; 8°.
- Breithaupt** (G.). Ueber das optische Verhalten eingebrannter Gold- und Platinschichten. Strassburg, 1898; 8°.
- Brion** (A.). Ueber die Oxidation der Stereoisomeren Weinsäuren im thierischen Organismus. Strassburg, 1898; 8°.
- Camerer** (W.). Die Behandlung der Inguinalbubonen nach Erfahrungen im Hamburger Freimaurerkrankenhaus. Strassburg, 1898; 8°.
- Conradi** (H.). Zur Frage der Toxinbildung bei den Milzbrandbakterien. Leipzig, 1899; 8°.
- Deetz** (E.). Ein Beitrag zur Pathogenese der Cysten in den langen Röhrenknochen. Strassburg, 1898; 8°.
- Delunsch** (V.). Ueber spontane Zerreiassungen der Nabelschnur und ihrer Gefässe bei der Geburt. Strassburg, 1899; 8°.
- Engel** (H.). Ueber die Incubationsdauer des Typhus abdominalis. Strassburg, 1899; 8°.
- Faust** (E. S.). Ueber das Glutolin, ein Albuminoid des Blutserums. Leipzig, 1898; 8°.
- Fleurent** (H.). Ein Beitrag zur Kenntniss der Resultate der Behandlung der Prostatahypertrophie mit Resection der Vasa deferentia. Strassburg, 1898; 8°.
- Frédéric** (J.). Beiträge zur Anatomie und Entwicklungsgeschichte der Aeste der Aorta descendens beim Menschen. Jena, 1898; 8°.
- Gerst** (P.). Ueber Neuralgien im Diabetes. Strassburg, 1898; 8°.
- Goldschmidt** (F.). Ueber die Einwirkung von Säuren auf Eiweissstoffe. Strassburg, 1898; 8°.
- Gross** (A.). Zur Kenntniss des Ovovitellins. Strassburg, 1899; 8°.
- Gumpper** (E.). Ueber die Heilbarkeit der sympathischen Iridocyclitis. Strassburg, 1898; 8°.
- Guthrie** (T.). Ueber einige neue Ketodilactone. Strassburg, 1898; 8°.



- Hannig** (E.). Ueber die Staubgrübchen an den Stämmen und Blattstielen der Cyathaeaceen und Marattiaceen. Leipzig, 1898; 4°.
- Haven-Boyd** (H. de). Ueber Methylallylmilchsäure und ihre Umlagerung in Dimethylhydrofurancarbonsäure. Strassburg, 1898; 8°.
- Heimann** (S.). Einige Fälle von Steinen in der Urethra. Strassburg, 1898; 8°.
- Hirsch** (S.). Ueber einen Fall von Ruptura recto-vaginalis bei spontaner Geburt. Strassburg, 1899; 8°.
- Hoffmann** (A.). Beitrag zur Lehre von der Tabaksamblyopie. Strassburg, 1898; 8°.
- Holtzmann** (A.). Ueber die Varicen der unteren Extremitäten und ihre operative Behandlung nebst Mitteilung einer neuen Modification der bisherigen Behandlungsmethoden. Strassburg, 1898; 8°.
- Holzhäuser** (K.). Blasensteine mit Seidenfäden. Strassburg, 1898; 8°.
- Homburger** (A.). Ueber die Beziehungen des Morbus Basedowii zu Psychosen und Psychoneurosen. Strassburg, 1899; 8°.
- Horber** (T.). Ueber das Mundbodenkarzinom. Strassburg, 1898; 8°.
- Hügel** (G.). Ueber Acanthosis nigricans im Anschluss an einen neuen Fall aus der dermatologischen Universitätsklinik der Herrn Prof. Dr. Wolff. Strassburg, 1898; 8°.
- Hynitzsch** (J.). Anatomische Untersuchungen über die Hypertrophie der Pharynxtonsille. Wiesbaden, 1899; 8°.
- Iuga** (G.). Die cyklischen Minimalflächen. Strassburg, 1898; 8°.
- Jaeger** (E.). Ein weiterer Beitrag zur Casuistik der Spina bifida occulta mit localer Hypertrichosis. Strassburg, 1899; 8°.
- Janes** (C.). Ueber Nabelschnurtorsion. Strassburg, 1899; 8°.
- Kahn-Hut** (D.). Die Operation des grauen Staar's in geschlossener Kapsel. Strassburg, 1898; 8°.
- Kornemann** (H.). Ueber Ankylose des Steissbeins und die dadurch hervorgerufenen geburtshülflichen Störungen. Strassburg, 1899; 8°.
- Krapf** (H.). Ueber den Knochenabscess. Strassburg, 1898; 8°.
- Kreyenberg** (M.). Ueber Jodoformexantheme. Naumburg a. S., 1898; 8°.
- Krieger** (H. T.). Ueber die Darstellung krystallinischer tierischer Eiweissstoffe. Strassburg, 1899; 8°.
- Kuhn** (A.). Die relativen Indicationen zum Kaiserschnitt. Strassburg, 1898; 8°.
- Kunlin** (J.). Ueber eine merkwürdige Umwandlung einer  $\alpha$ -Ketonsäure in die zugehörige  $\alpha$ -Amidosäure. Strassburg, 1899; 8°.
- Lachner-Sandoval** (V.). Ueber Strahlenpilze. Bonn, 1898; 8°.
- Lentze** (W.). Beiträge zur Prognose der Retinitis albuminurica. Strassburg, 1899; 8°.
- Levy** (S.). Ein Beitrag zur Aetiologie der Uterusmyome. Strassburg, 1898; 8°.
- Loeb** (R.). Der Milzbrand in Elsass-Lothringen. Strassburg, 1898; 8°.
- Lux** (M.). Ueber Keto- und Hydroxylactone. Strassburg, 1898; 8°.
- Maas** (O.). Ueber die Pigmentierungen der Leber, besonders über die Haemochromatose. Strassburg, 1898; 8°.
- Marx** (H.). Ueber die klinische Bedeutung des Digitoxinum crystallisatum. Strassburg, 1898; 8°.



- Matsuyama** (Y.). Zwei Fälle von acuter käsiger Pneumonie. Strassburg, 1898; 8°.
- Mauch** (R.). Ueber physikalisch-chemische Eigenschaften des Chloralhydrats und deren Verwertung in pharmaceutisch-chemischer Richtung. Strassburg, 1898; 8°.
- Mély** (G.). Ueber Vorkommen von Bauchbrüchen bei Neugeborenen und ihre geburtshülfliche Bedeutung. Strassburg, 1898; 8°.
- Moennichs** (G.). Robert Boyle als Geophysiker. München, 1899; 8°.
- Mühlenbein** (L.). Klinische Betrachtung der in der Strassburger gynaecologischen Klinik seit dem Jahre 1888 beobachteten Dermoidcysten. Strassburg, 1898; 8°.
- Nöldeke** (E.). Experimenteller Beitrag über die Bedeutung des Diplokokkus lanceolatus Fraenkel in der Pathologie des Auges. Strassburg, 1899; 8°.
- Partenheimer** (A.). Ueber Schussverletzungen der Milz. Strassburg, 1898; 8°.
- Prestinary** (T. H.). Statistisches über Behandlung der Gonorrhoe. Strassburg, 1899; 8°.
- Presuhn** (V.). Zur Frage der bakteriologischen Fleischschau. Strassburg, 1898; 8°.
- Rath** (D.). Ueber Kopftrauma und Ohrerkrankung. Strassburg, 1898; 8°.
- Roth** (E.). Ueber die Einwirkung von Essigsäureanhydrid auf tricarballylsaures Natrium. Strassburg, 1898; 8°.
- Salomon** (H.). Ueber die Einwirkung von Benzoessäureanhydrid auf tricarballylsaures Natrium. Strassburg, 1899; 8°.
- Scheib** (J.). Nachbehandlung der wegen Hydrocele Operierten mit Hülfe der Hautfaltennaht. Strassburg, 1898; 8°.
- Schierbel** (A.). Welche diagnostische Schwierigkeiten bieten Mesenterialcysten? Strassburg, 1899; 8°.
- Schmidt** (A.). Ueber Pemphigus traumaticus und die bei bullösen Erkrankungen der Haut überhaupt vorkommenden Veränderungen des Blutes im Anschluss an zwei Fälle aus der dermatologischen Klinik der Herrn Prof. Dr. Wolff. Strassburg, 1899; 8°.
- Schmidt** (C.). Ueber die Verletzungen des Zwerchfells mit scharfen Instrumenten. Lahr, 1898; 8°.
- Schwellenbach** (A.). Zwei Fälle von Aphasie mit besonderer Berücksichtigung der Amusie. Strassburg, 1898; 8°.
- Stadler** (E.). Ueber die Einwirkung von Kochsalz auf Bakterien, die bei den sog. Fleischvergiftungen eine Rolle spielen. München, 1899; 8°.
- Steingiesser** (F.). Ueber Sitz, Häufigkeit und Prognose der Halswirbelfrakturen. Buhl, 1899; 8°.
- Sternberg** (W.). Ueber die Einwirkung von Benzaldehyd auf tricarballylsaures Natrium bei Gegenwart von Essigsäureanhydrid. Strassburg, 1899; 8°.
- Suren** (J.). Kritische Geschichte der Lehre von der Extrauterinschwangerschaft mit vorzüglicher Berücksichtigung der Aetiologie und Pathologie. Strassburg, 1899; 8°.
- Throu** (H.). Beiträge zur Kenntniss der Isopropylisoparaconsäure. Strassburg, 1899; 8°.



- Weber** (R. H.). Ueber die Anwendung der Dämpfung durch Inductionsströme zur Bestimmung der Leitfähigkeiten von Legirungen. Leipzig, 1899; 8°.
- Weidenreich** (F.). Zur Anatomie der centralen Kleinhirnkerne der Säuger. Stuttgart, 1899; 8°.
- Weil** (J.). Ueber Frühdiagnose bei progressiver Paralyse. Strassburg, 1899; 8°.
- Weinreich** (H.). Ueber kongenitale Defektbildung des Oberschenkels. Potsdam, 1898; 8°.
- Will** (G.). Zur Casuistik der seltenen Urinfisteln der Weiber. Strassburg, 1899; 8°.
- Woehrlin** (A.). Ueber Verletzungen und traumatische Aneurysmen der Arteria Maxillaris interna. Tübingen, 1898; 8°.
- Würtz** (A.). Ein Beitrag zur Posttyphösen Periostitis im Kindesalter. Leipzig, 1898; 8°.
- Zimmermann** (A.). Tabische Gelenk- und Knochenerkrankungen. Strassburg, 1899; 8°.
- 

- De Acosta** (A. de Gordon y). Declaremo en Caba, guerra a la Tuberculosis. Habana, 1899; 8° (*dall'A.*).
- Delpino** (F.). Gaetano Licopoli, parole commemorative. Napoli, 1898; 8° (*Id.*).
- Nuove specie Mirmicofile fornite di nettarii estraneuziali. Napoli, 1898; 8° (*Id.*).
- (F.). Questioni di Biologia vegetale. Chiavari, 1898; 8° (*Id.*).
- Parere sulla " Relazione e voto della Società Africana d'Italia sull'opportunità d'impiantare giardini sperimentali di colture tropicali nell'Eritrea „. Napoli, 1898; 8° (*Id.*).
- Rapporti tra la evoluzione e la distribuzione geografica delle *Ranunculacee*. Bologna, 1899; 4° (*Id.*).
- Note di biologia vegetale. Apparecchio sotterratore dei semi. Como, 1899; 8° (*Id.*).
- \*\* Geikie** (J.). Earth Sculpture or the origin of Land-Forms. London, 1898; 8°.
- \*\* Haddon** (A. C.). The Study of Man. London, 1898; 8°.
- Lanciai** (G. B.). Elementi di fisica ad uso dei Licei e degli Istituti Tecnici. 1° vol. Torino, 1899; 8° (*dall'A.*).
- Peano** (G.). Formulaire de mathématiques publié par la Revue de mathématiques. Turin, 1896-1899; 8° (*Id.*).
- Troncone** (A.). Calcolo grafico del  $\pi$ . Maracaibo (Venezuela), 1899; 8° (*Id.*).
-



## Classe di Scienze Morali, Storiche e Filologiche

Dal 24 Dicembre 1899 al 7 Gennaio 1900.

- \*\* **Antologia** (Nuova). Rivista di Scienze, Lettere ed Arti. Roma, 1899; 8°.
- \*\* **Archivio** storico italiano. Firenze, 1899; 8°.
- \* **Archivio** storico lombardo. Milano, 1899; 8°.
- \* **Ateneo** veneto. — Rivista mensile di scienze, lettere ed arti, 1899. Vol. 22°. Venezia; 8°.
- \* **Atti** del R. Istituto Veneto di Scienze, Lettere ed Arti; t. LIX, disp. 1<sup>a</sup>. Venezia, 1899; 8°.
- \*\* **Berliner** philologische Wochenschrift. 1899; 8°.
- \*\* **Bibliografia** italiana. Bollettino delle pubblicazioni italiane ricevute per diritto di stampa. Vol. 33. N. 12-24. Milano, 1899; 8°.
- \*\* **Bibliothèque** de l'École des Chartes; Revue d'érudition consacrée spécialement à l'étude du moyen âge, etc. Vol. 60. Paris, 1899; 8°.
- \*\* **Bibliothèque** universelle et Revue suisse. Lausanne, 1899; 8°.
- \*\* **Bollettino** ufficiale del Ministero dell'Istr. pubbl. Roma, 1899; 8°.
- \* **Bulletin** of the New York Public Library Astor Lenox and Tilden Foundations. Vol. III. No. 7-12, 1899; 8°.
- \* **Bulletin** d'Histoire ecclésiastique et d'Archéologie religieuse des Diocèses de Valence, Gap, Grenoble et Viviers. XIX<sup>e</sup> année, 1899. Romans; 8°.
- \* **Bollettino** di Archeologia e Storia dalmata. Spalato, 1899; 8°.
- \*\* **Bollettino** (Nuovo) di Archeologia Cristiana. Roma, 1899. N. 1-2; 8°.
- Dictionary** of the Lepcha-Language compiled by the late General G. B. Mainwaring revised and completed by Albert Grünwedel, Berlin. Berlin, 1898; 8° (*Dono: of Majesty's Secretary of State for India in Council*).
- \* **Gazzetta** Ufficiale del Regno. Roma, 1899; 4°.
- \*\* **Giornale di Erudizione**; Corrispondenza letteraria, ecc. Vol. 1-8. Firenze, 1899.
- \*\* **Giornale storico** della Letteratura italiana. Vol. 33, suppl. 2°; 34, fasc. 1-3. Torino, 1899; 8°.
- \* **Historische** Zeitschrift. Bd. 83, 84, Heft 1, München, 1899; 8°.
- \*\* **Journal Asiatique**, ou Recueil de Mémoires, d'Extraits et de Notices relatifs à l'histoire, à la philosophie, aux langues et à la littérature des peuples orientaux. Vol. 13; 14, fasc. 1-2. Paris, 1899; 8°.
- \*\* **Journal** des Savants. Paris, 1899; 8°.
- Mélanges** de littérature et d'histoire religieuse publiés à l'occasion du jubilé épiscopal de Mgr. de Cabrières, évêque de Montpellier 1874-99. Paris, 1899, 2 vol. 8° (*dono di Mons. Vescovo de Cabrières*).
- \*\* **Moyen (Le) Age**; Bulletin mensuel d'histoire et de philologie. Paris, 1899; 8°.



- \*\* **Petermanns** Mitteilungen aus Justus Perthe's Geographischer Anstalt. Bd. 45. Gotha, 1899; 8°.
- \* **Rendiconti** della R. Accademia dei Lincei — Classe di Scienze morali, storiche e filologiche. 1899. Vol. 8°, fasc. 1-8. Roma; 8°.
- \*\* **Revue** archéologique. Vol. 34. Paris, 1899; 8°.
- \*\* **Revue** de Linguistique et de Philologie comparée. Vol. 32°. Paris, 1899; 8°.
- \* **Revue** de l'Université de Bruxelles. (1898-99) IV<sup>e</sup> année, Nos. 1-10; V (1899-900), Nos. 1-3. Bruxelles, 1898-900; 8°.
- \*\* **Revue** des deux Mondes. Paris, 1899; 8°.
- \* **Revue** géographique internationale. Paris, 1899; 4°.
- \*\* **Revue** numismatique. IV<sup>e</sup> série, T. III<sup>e</sup>. Paris, 1899; 8°.
- \*\* **Rivista** di filologia e d'istruzione classica. Vol. 27. Torino, 1899; 8°.
- \* **Rivista** di Sociologia. An. IV, fasc. 1-7. Roma, 1899; 8°.
- \* **Rivista** internazionale di scienze sociali e discipline ausiliarie. Roma, 1899; 8°.
- \* **Rivista** italiana di Sociologia. Anno III, fasc. 1-5. 1899. Roma; 8°.
- \*\* **Rivista storica** italiana; pubblicazione bimestrale. Anno XVI. Torino, 1899; 8°.
- \*\* **Séances et Travaux** de l'Académie des Sciences morales et politiques. Compte rendu. Paris, 1899; 8°.
- Stampa** (La). Gazzetta Piemontese. Torino, 1899; f°.

---

**Boselli** (P.). Esposizione finanziaria del Ministro del Tesoro fatta alla Camera dei Deputati nella seduta del 28 novembre 1899. Roma 1899; 8° (*dall'A.*).

**Crescimanno** (G.). Figure dantesche. Venezia, 1893; 8° (*Id.*).

**De-Bottazzi** (G.). Barone Federico Leutrum secondo documenti ufficiali inediti. Torino, 1899; 8° (*Id.*).

**Perrens** (F. T.). Les libertins en France au XVII<sup>e</sup> siècle. Nouvelle édition. Paris, 1899; 8° (*Id.*).

**Renier** (R.). Un poema sconosciuto degli ultimi anni del sec. XIV (*Fimeroida* di Jacopo Del Pecora) analizzato ed illustrato. Bologna, 1882; 8° (*Id.*).

— Tarocchi di Matteo Maria Boiardo. Bologna, 1884; 8° (*Id.*).

— La discesa di Ugo d'Alvernia allo inferno secondo il codice franco-italiano della Nazionale di Torino. Bologna, 1883; 8° (*Id.*).

— Il tipo estetico della donna nel Medioevo, appunti ed osservazioni. Ancona, 1885; 8° (*Id.*).

— Un nuovo documento di Uberto Foglietta. Genova, 1888; 8° (*Id.*).

**Renier** (R.). Dalla corrispondenza di Guido Postumo Silvestri. Spigolature. Bergamo, 1894; 8° (*dall'A.*).

— Appunti sul contrasto fra la madre e la figliuola bramata di marito. Bergamo, 1897; 8° (*Id.*).

— Un codicetto di dedica ignoto del rimatore Gaspare Visconti. Bergamo, 1895; 8° (*Id.*).

— L'erba prodigiosa di San Giovanni. Palermo, 1891; 8° (*Id.*).



- Valdarnini (A.).** Principio, intendimento e storia della classificazione delle umane conoscenze secondo Francesco Bacone. Firenze, 1880; 8°.
- **Andrea Cesalpino,** filosofo. Discorso. Firenze, 1882; 8°.
- **Saggi di filosofia sociale.** Torino, 1890; 8°.
- **Il metodo sperimentale di Aristotile e Galileo.** Torino, 1898; 8°.
- **Saggi di filosofia speculativa.** 2<sup>a</sup> ediz. Bologna, 1899; 8°.
- **La Scuola in Italia.** Asti, 1899; 8° (*Inviati in dono dall'A. per il premio di Filosofia di Fondazione Gautieri*).

---

## Classe di Scienze Fisiche, Matematiche e Naturali.

---

Dal 31 Dicembre 1899 al 14 Gennaio 1900.

---

- \* **Abhandlungen** der mathem.-physischen Classe der k. Sächsischen Gesellschaft der Wissenschaften. Bd. XXV, N. 4, 5. Leipzig, 1899; 8°.
- \* **Acta mathematica.** Zeitschrift herausg. von G. Mittag-Leffler. 1898. Stockholm, 1899; 4°.
- \* **American Journal** of Science. Editor Edward S. DANA. New-Haven, 1899; 8°.
- \*\* **Annalen** der Physik und Chemie. Leipzig, 1899; 8°.
- \*\* **Annales** de Chimie et de Physique. Paris, 1899; 8°.
- \*\* **Annals** of Mathematics, second series. Vol. 1°. Charlottesville; 4°.
- \* **Annals** and Magazine of Natural History. VII Ser. Vol. 3°, 4°. London, 1899; 8°.
- \*\* **Archiv** für Entwicklungsmechanik der Organismen. Bd. 8, 9. Leipzig, 1899; 8°.
- \*\* **Archives** des Sciences physiques et naturelles, etc. Genève, 1899; 8°.
- \*\* **Archives** italiennes de Biologie... sous la direction de A. Mosso. Vol. 32°. Turin, 1899; 8°.
- \*\* **Archivio** per le Scienze mediche, diretto da G. Bizzozero, Vol. 23. Torino, 1899; 8°.
- \* **Atti** della R. Accademia dei Lincei. Rendiconti della Classe di scienze fisiche, matematiche e naturali. Serie V<sup>a</sup>. Vol. 7°, 8°. Roma, 1899; 8°.
- \*\* **Annuaire** pour l'an 1900, publié par le Bureau des Longitudes. Paris; 18°.
- \*\* **Beiblätter** zu den Annalen der Physik und Chemie. Leipzig, 1899; 8°.
- \* **Bibliotheca mathematica;** Zeitschrift für Geschichte der Mathematik herausg. von G. ERNESTRÖM. Stockholm, 1899; 8°.
- \* **Bulletin** of the Museum of Comparative Zoology at Harvard College. Vol. XXXV, No. 7. Cambridge, 1899; 8°.
- \*\* **Bulletins** de la Société anatomique de Paris, etc. Paris, 1899; 8°.
- \* **Cimento** (Il nuovo). Pisa, 1899; 8°.



- \* **Comptes-rendus** hebdomadaires des séances de l'Académie des Sciences. Vol. 128, 129. Paris, 1899; 8°.
- Den Norske Nordhavs-Expedition**, 1876-1878. XXV. Zoologi: Thalamophora, XXV. Hydroida. Christiania, 1899; 2 fasc. in-4° (*dono del Governo Norvegese*).
- \* **Elettricista** (L'). Rivista mensile di elettrotecnica. Roma, 1899; 4°.
- \* **Gazzetta** chimica italiana. Roma, 1899; 8°.
- Gazzetta** delle Campagne, ecc. Direttore Enrico BARBERO. Torino, 1899; 4°
- \* **Giornale** del Genio civile. Roma, 1899; 8°.
- \* **Giornale** scientifico di Palermo. Palermo, 1899; 4°.
- \* **Jornal** de ciencias Mathematicas e Astronomicas. Publicado pelo Dr. F. Gomes Teixeira. Vol. 13°. Coimbra, 1899; 8°.
- \*\* **Journal** für die reine u. angewandte Mathematik. Berlin, 1899; 4°.
- \* **Journal** of Comparative Neurology. Granville, Ohio, 1899; 8°.
- \* **Journal** of Physical Chemistry. Ithaca N. Y., 1899; 8°.
- \* **Journal** of the Chemical Society. Vol. 77 e 78. London, 1900; 8°.
- \* **Journal** of the R. Microscopical Society, 1899, part 6. London, 1899; 8°.
- \*\* **Journal** de Conchyliologie, comprenant l'étude des mollusques vivants et fossiles. Paris, 1899; 8°.
- \*\* **Journal** de Mathématiques pures et appliquées. Paris, 1899; 4°.
- \* **Katalog** der Bibliothek der k. Leopoldinisch-Carolinischen Deutschen Akad. der Naturforscher. Bd. II. 6. Halle, 1899; 8°.
- \* **Mémoires** de l'Acad. Roy. des Sciences et des Lettres de Danemark, 6<sup>me</sup> sér. Sect. des Sciences, t. IX, n. 3. Copenhague, 1899; 4°.
- \* **Monatshefte** für Mathematik und Physik. Wien, 1899; 8°.
- Morphologisches Jahrbuch**. Herausg. v. C. GEGENBAUR. Leipzig, 1899; 8°.
- \*\* **Nature**, a Weekly illustrated Journal of Science. London, 1899; 8°.
- \*\* **Neues Jahrbuch** für Mineralogie, Geologie und Palaeontologie, etc. Stuttgart, 1899; 8°.
- \* **Nova Acta** Academiae Caesareae Leopoldino-Carolinae Germanicae Naturae curiosorum. Tomus LXXII, LXXIV. Halle, 1899; 4°.
- \*\* **Philosophische Studien**. Leipzig, 1899; 8°.
- \* **Physical Review**; a journal of experimental and theoretical physics.... Published for Cornell University. New York, 1899; 8°.
- \* **Proceedings** of the Chemical Society of London. Vol. 15°. No 216. London, 1899; 8°.
- \* **Proceedings** of the Canadian Institute. New Series. No. 3, vol. 1. Toronto, 1899; 8°.
- \*\* **Quarterly Journal** of pure and applied Mathematics. London, 1899; 8°.
- \* **Rendiconti** del R. Istituto Lombardo di scienze e lettere. Vol. XXXII, fasc. 18. Milano, 1899; 8°.
- \*\* **Repertorium** zu den Acta und Nova Acta der K. Leopoldino-Carolinischen Deutschen Akad. der Naturforscher v. Dr. Arnim Graesel. II. Bd. Nova Acta Bd. IX-LXIII. Halle a. S., 1899; 4°.
- \* **Revue** semestrielle des publications mathématiques. Amsterdam, 1899; 8°.
- \*\* **Revue** générale des sciences pures et appliquées. Paris, 1899; 8°.
- \* **Rivista** di Artiglieria e Genio. Roma, 1899; 8°.



**Rivista di Topografia e Catasto** pubblicata per cura di N. Jadanza. Torino, 1899; 8° (*dono del socio Jadanza*).

\* **Science Abstracts.** Physics and Electrical Engineering. London, 1899; 8°.

\* **Settimana (La) medica dello Sperimentale**, organo dell'Accademia medico-fisica fiorentina. Firenze, 1899; 8°.

\* **Sperimentale (Lo).** Archivio di Biologia. Firenze, 1899; 8°.

\* **Transactions of the Royal Scottish Society of Arts.** Vol. XV, part 1<sup>a</sup>. Edinburgh, 1899; 8°.

\* **Transactions of the Zoological Society of London.** Vol. XV, part 4. 1899; 4°.

\* **Zeitschrift für mathematischen und naturwissenschaftl. Unterricht**, herausg. v. J. C. HOFFMANN. Leipzig, 1899; 8°.

\*\* **Zeitschrift für physikalische Chemie.** Leipzig, 1899; 8°.

\*\* **Zoologischer Anzeiger**, herausg. von Prof. J. VICTOR CARUS in Leipzig. 1899; 8°.

\* *Dall'Università di Heidelberg:*

**Allendorff (P.).** Zur Kenntniss aromatischer Ketone. Schönebeck a. Elbe. 1898; 8°.

**Alffers (F.).** Quantitative Trennungen im Bromstrome mit Hydroxylamin und Wasserstoffsuperoxyd. Heidelberg, 1898; 8°.

**Amberg (S.).** Ein Beitrag zur Lehre von den Gynatresieen. Heidelberg, 1899; 8°.

**Anger (A.).** Ueber den Umsatz und Ansatz der Aschenbestandtheile, vornehmlich von Kalk, Magnesia, Kali u. Phosphorsäure, bei Milchkühen. Bonn, 1898; 8°.

**Assmy (P.).** Ueber den Einfluss der Durchtrennung motorischer Nerven auf die Narbenbildung bei extramedianen Bauchschnitten. Tübingen, 1899; 8°.

**Baeumges (M.).** Ueber traumatische Lähmungen nach Chloroformnarkose. Heidelberg; 8°.

**Bamberg (F.).** I. Ueber Triphenyl-methyl-methan. II. Zur Kenntniss der aromatischen Sulfinsäuren und Thiophenole. Heidelberg, 1898; 8°.

**Bandke (E.).** Ueber Gleichgewichte in basischen Lösungsmitteln. Berlin, 1898; 8°.

**Bartels (A.).** I. Ueber Einwirkung von Aethylengas auf Pseudocumol bei Gegenwart von Aluminiumchlorid. II. Eine neue Methode zur Darstellung hoch-alkylierter Kohlenwasserstoffe. III. Ueber Hexaäthylbenzol. Heidelberg, 1899; 8°.

**Berchermann (W.).** Eine Synthese aromatischer Aldehyde. Heidelberg, 1898; 8°.

**Berendes (R.).** Zur Kenntniss der aromatischen Sulfinsäuren. Halle a. S., 1898; 8°.

**Betteridge (F. H.).** I. Zur Kenntniss alkylirter Bernstein- und Glutarsäuren. II. Ueber das kryoskopische Verhalten substituierter Oxyketone in Naphthalin. Breslau, 1898; 8°.



- Blos (E.).** Ueber tuberkulöse Lymphome und ihr Verhältniss zur Lungentuberkulose. Jena, 1899; 8°.
- Boetzelen (E.).** Ueber das Hydrazid der Phenyllessigsäure. Heidelberg, 1898; 8°.
- Burguy (F.).** Ueber die Bodenverhältnisse des norddeutschen Flachlandes in ihrer Beziehung zum geologischen Aufbau desselben. Berlin, 1899; 8°.
- Cohnheim (O.).** Ueber die Resorption im Dünndarm und der Bauchhöhle. München, 1898; 8°.
- Deibel (L.).** Kann Phthise als Indication zur Einleitung der Früh-resp. Fehlgeburt gelten? Heidelberg, 1899; 8°.
- Dohrn (M.).** Kryoskopische Untersuchungen. Heidelberg, 1899; 8°.
- Droop (H.).** Untersuchungen über das Wesen und Wirken der Brache. Heidelberg, 1898; 8°.
- Eicken (C. v.).** Ueber die Desinfektion inficierter Wunden. Tübingen, 1899, 8°.
- Emanuel (E.).** Ein Fall von Angioma arteriale racemosum des Gehirns nebst Bemerkungen zur Frage von dem Bau und der Genese der Hirnsandbildungen. Leipzig, 1899; 8°.
- Engelken (H.).** Metastasirende embryonale Drüsengeschwulst der Nieregegend im Kindesalter. Jena, 1899; 8°.
- Epple (H.).** Ueber Hydrate des Natriumcarbonats. Heidelberg, 1899; 8°.
- Feldbausch (F.).** Der Einfluss verschiedener Stoffe auf die rothen Blutkörperchen und die Bedeutung der letzteren für die Gerinnung. Berlin, 1899; 8°.
- Frenzel (C.).** I. Ueber das Auftreten von Sauerstoff bei Reduktionsprozessen. II. Zur Synthese aromatischer Aldehyde. Heidelberg, 1899; 8°.
- Friedemann (W. H.).** I. Zur Kenntniss der Tetrachlorterephtalsäure. II. Ueber die Einwirkung von Oximen auf Diazokörper. Münster i. W., 1899; 8°.
- Fries (A.).** Synthesen in der Pyridinreihe. Heidelberg, 1898; 8°.
- Fritzweiler (R.).** Ueber die Methylaethylbernsteinsäuren. Neustadt a. Haardt, 1898; 8°.
- Geissmar (F.).** Zur Kasuistik der kongenitalen Liddefekte. Hamburg, 1898, 8°.
- Glück (H.).** Entwurf zu einer vergleichenden Morphologie der Flechten-Spermogonien. Heidelberg, 1899; 8°.
- Goldsmith (J. N.).** Ueber Derivate des Methyl-1-phenyl-3-cyclohexenon-5. Heidelberg, 1898; 8°.
- Graf (W.).** Ein Beitrag zur Kenntniss der aromatischen Aldehyde. Heidelberg, 1899; 8°.
- Gronover (A.).** Beiträge zur Kenntniss der Hexaalkyldiarsoniumverbindungen. Bonn, 1899; 8°.
- Grünhagen (C.).** Ueber Condensationsproducte des Citrals und Citronellals mit Malonsäureester. Wiesbaden, 1898; 8°.
- Gunzert (L.).** Beitrag zur Statistik der Epulis. Berlin, 1898; 8°.
- Haberland (K. R.).** Die Löslichkeit von Salzhydraten bei Gegenwart von Nichtelectrolyten und gleichjonigen Electrolyten. Wiesbaden, 1898; 8°.
- Hähnle (O.).** Ein Beitrag zur Kenntniss des Mesitoltribromids. Ulm a. D., 1899; 8°.



- Hampe (W.).** " Untersuchungen über das Pentabromid des *as m*-Xylenols „ Leipzig-R, 1899; 8°.
- Heyer H.,** Ueber einen Fall von Ohrcarcinom, behandelt mit Resection des Felsenbeins. Leipzig, 1899; 8°.
- Herz (N.).** Kritische Beiträge zur Lehre von der Lymphbewegung. Heidelberg, 1899; 8°.
- Hinrichsen (W.).** I. Ueber Condensationen aromatischer Dibromide durch metallisches Natrium. II. Derivate des *o*-Jodphenetols. Berlin, 1899; 8°.
- Hoeren (L.).** Ueber Regelmässigkeiten bei der Krystallisation concentrirter Salzlösungen. Heidelberg, 1898; 8°.
- Hofmann (W.).** Ein Beitrag zur Kenntniss colloidaler Metallhydroxyde. Heidelberg, 1898; 8°.
- Hatzler (R.).** Ueber die Frage der Umwandlung von Buttersäure in Isobuttersäure. Heidelberg, 1898; 8°.
- Jameson (H. L.).** Contributions to the Anatomy and Histology of *Thalassema neptuni* Gaertner. Jena, 1899; 8°.
- Imass (A.).** I. Direkte Bestimmung des Randwinkel von wässrigen Salzlösungen Capillarröhren aus verschiedenen Glassorten. II. Ueber die Ausbreitung von wässrigen Salzlösungen an der Oberfläche fester Körper unter Wasser. Heidelberg, 1899; 8°.
- Jordan (H.).** Ueber das Hydrazid und Azid der Phenylpropionsäure. Bonn, 1899; 8°.
- Joukowsky (D.).** Beiträge zur Frage nach den Bedingungen der Vermehrung und des Eintritts der Konjugation bei den Ciliaten. Heidelberg, 1898; 8°.
- Kaufmann (F.).** Ueber einen Fall von Wundscharlach. Frankenthal, 1899; 8°.
- Kaufmann (R.).** Ueber die Aufnahme von Erdalkalien durch Cholerabacillen. Berlin, 1898; 8°.
- Kehrer (F. A.).** Ueber die Vorgänge bei der Wundheilung. Heidelberg, 1898; 4°.
- Koebner (M.).** Zur Kenntniss der aromatischen Aldehyde. Berlin, 1899; 8°.
- Krause (M.).** I. Ueber einige Derivate des *m*-Oxybenzaldehydes. II. Ueber einige neue Oxyazokörper. Heidelberg, 1898; 8°.
- Lewin (I.).** Beiträge zur Kenntniss der Isomerie der Formylverbindungen. Heidelberg, 1898; 8°.
- Lewin (M.).** Ueber die Prinzipien von Hamilton und Maupertuis. Leipzig, 1898; 8°.
- Lipstein (A.).** Beiträge zur Casuistik der Leberchirurgie. Leipzig, 1899; 8°.
- Loeb (A.).** Beitrag zur Lehre vom Meningotyphus. Naumburg a. S., 1898; 8°.
- Lossen (W.).** Beiträge zur Kenntniss der desinfizierenden Wirkung des Chloforms, namentlich im gasförmigen Zustand. Heidelberg, 1899; 8°.
- Lotmar (H.).** Teilungsverhältnis und Löslichkeit. Göttingen, 1899; 8°.
- Löwy (E.).** Zur Synthese aromatischer Aldehyde. Heidelberg, 1898; 8°.
- Mannheimer (N.).** Untersuchungen über die Möglichkeit algebraischer Differentialgleichungen für additiv und multiplicatorisch-periodische Functionen zweiter Gattung. Leipzig, 1898; 8°.
- Manz (R.).** Beiträge zur Kenntniss der Möller (Barlow'schen) Krankheit. Heidelberg, 1899; 8°.



- Mayer** (J.). Ueber Metalltrennungen in alkalischer Lösung durch Wasserstoffsperoxyd und durch Hydroxylamin. Karlsruhe, 1898; 8°.
- Meyer** (E. A.). Casuistischer Beitrag zur Lehre von der Chorea chronica progressiva (Huntingtons Chorea, Chorea hereditaria). Heidelberg, 1899; 8°.
- Michaëlis** (W.). Ueber die Verseifungsgeschwindigkeit aromatischer Aethyl-ester und den Einfluss des Katalysators auf die Grenze der Esterbildung. Heidelberg, 1899; 8°.
- Naab** (J. P.). Die chirurgische Behandlung der Nasenrachenfibrome. Tübingen, 1898; 8°.
- Naphtali** (M.). I. Beiträge zur Friedel-Crafts'schen Reaction. II. Ueber Orthophenetidin und seine Derivate. Berlin, 1899; 8°.
- Narraway** (F. W.). Ueber die Reaction zwischen Bibromyden und alkoholischem Kali, insbesondere über das Decylen und seine Derivate. Heidelberg, 1899; 8°.
- Osann** (F.). Ueber die allgemeine Reaktion bei Kindern nach Injektionen mit Koch'scher Lymphe. Karlsruhe; 8°.
- Pip** (W.). I. Ueber die electrische Leitfähigkeit einiger aromatischer Säuren. II. Ueber die Farbstoffbildung aus Diazobenzolsulfosäure und salzsaurem Monoäthyl-*p*-toluidin. Heidelberg, 1898; 8°.
- Preuner** (G.). Ueber die Bedeutung colloidaler Salze für den Färbeprozess. Heidelberg, 1898; 8°.
- Quosig** (K.). Ueber Gastrostomieen. Strassburg i. E., 1898; 8°.
- Reinecke** (E.). Ueber Polymerisation hydroaromatischer Ketone. Braunschweig, 1899; 8°.
- Rösch** (F.). Ueber die Irreduktibilität der partiellen Differentialgleichung  $a(x, y) \frac{\partial z}{\partial x} + b(x, y) \frac{\partial z}{\partial y} + c(x, y)z = 0$ . Heidelberg, 1899; 8°.
- Roth** (J.). Ueber die Variabilität der Gasbildung bei dem Bacterium Coli commune. Berlin, 1898; 8°.
- Rovaart** (H. van de). Ueber Bromderivate des as. *o*-Xylenols. Heidelberg, 1898; 8°.
- Schieffer** (H.). Beitrag zur Kenntniss des Indens und des  $\beta$ -Hydrindons. Bonn, 1898; 8°.
- Schmidt** (O.). Zur Kenntnis der Einwirkung von Phosphorpentachlorid auf Salicylsäure. Heidelberg, 1898; 8°.
- Schmitt** (F.). Ueber Metalltrennungen in einem Chlorwasserstoffstrome. Heidelberg, 1899; 8°.
- Schnitzspahn** (K.). Ueber die Konstitution des Cyanwasserstoffsesquichlorhydrates und dessen synthetische Verwendung. Heidelberg, 1898; 8°.
- Schwabacher** (F.). Einwirkung von Monochloressigsäure auf Oxyazoverbindungen. Heidelberg, 1899; 8°.
- Seckelson** (E.). Bestimmung der Dimagnetisirungsconstante (Susceptibilität) einiger Metalle. Berlin, 1898; 8°.
- Sello** (H.). Mittheilungen über die ungewöhnlichen Ausgänge und die Complicationen der genuinen fibrinösen Pneumonie. Berlin, 1898; 8°.



- Sieglitz** (G.). Ein Fall von angeborenem Tumor coccygeus. Heidelberg, 1899; 8°.
- Smith** (H. M.). Kryoskopische Untersuchungen. Heidelberg, 1898; 8°.
- Sohn** (K. B.). Untersuchungen über einige beiderseitig orthoständig substituirte Benzolderivate. Bonn, 1898; 8°.
- Sondheimer** (A.). Ueber: I. Indazole und Isindazole. II. Die Bildung eines achthgliedrigen Ringes. Heidelberg 1899; 8°.
- Stang** (A.). I. Ueber Citrylidenbisacetessigester. II. Beiträge zur kondensierenden Wirkung des Ammoniaks und der Amine. Heidelberg, 1898, 8°.
- Stollé** (R.). Studien mit Hydrazin. Heidelberg, 1899; 8°.
- Sundheimer** (H.). Ueber Polyphenylensulfid ( $C_6H_4 \cdot S \cdot C_6H_4 \cdot S$ )<sub>4</sub>. Heidelberg, 1899; 8°.
- Vogt** (H.). Ueber einen Fall von Weil'scher Krankheit. München, 1898; 8°.
- Vogt** (H.). Die Paralyse des Nervus facialis im Anschlusse an Otitis media acuta. S. a. l.; 8°.
- Völtz** (W.). Zur Kenntniss des Futterwertes der Abdeckereiprodukte (Kadavermehle). Berlin, 1899; 8°.
- Voss** (G. v.). Ueber die Schwankungen der geistigen Arbeitsleistung. Leipzig, 1898; 8°.
- Wachs** (C.). Ueber Anilidbildung. Leipzig, 1899; 8°.
- Walker** (A. J.). Ueber Konstitution und kryoskopisches Verhalten von o-Cyanphenolen. Heidelberg, 1899; 8°.
- Wehr** (O.). Ueber die Einwirkungsprodukte von Basen auf das Tribromid des Pseudocumenols. Heidelberg, 1899; 8°.
- Weiss** (R.). I. Zur Synthese hydroaromatischer Verbindungen. II. Beitrag zur Kenntniss des Benzamarons. Heidelberg, 1898; 8°.
- Welde** (R.). Zur Kenntniss des Bromhydrats des Dibromanhydro-*p*-oxypseudocumylalkohols und seiner Umwandlungsprodukte. Heidelberg, 1899; 8°.
- Willms** (F.). Ein Beitrag zur Ureterentransplantation. Heidelberg, 1898; 8°.
- Wolf** (F.). Weitgehende Besserungen bezw. Genesungen von Geisteskranken unter specieller Bezugnahme auf § 1569 bürgerlichen Gesetzbuches. Pforzheim, 1899; 8°.
- Zinn** (C.). Beitrag zur Kenntniss der Verbreitungsweise des Echinococcus multilocularis und der bei demselben auftretenden Riesenzellen. Heidelberg, 1899; 8°.

- 
- Kestel** (R. W. O.). Radiant Energy a Working Power in the Mechanism of the Universe. Port Adelaide, 1898; 8° (*dall'A.*).
- Lussana** (S.). Influenza della pressione sulla resistenza elettrica dei metalli. Pisa, 1899; 8° (*Id.*).
- Alessandro Volta e la pila nel secolo decimonono. Discorso. Siena, 1899; 8° (*Id.*).
- Tommasina** (T.). Sur la constatation de la fluorescence de l'aluminum et du magnésium dans l'eau et dans l'alcool sous l'action des courants de la bobine d'induction. Paris, 1899; 4° (*Id.*).



**Vecchi** (S.). Sulle figure complete determinate da un numero qualunque di punti o da un numero qualunque di tangenti di una conica e sulle loro correlative nello spazio. Parma, 1899; 4° (*dall'A.*).

— Saggio di un disegno polarimetrico. Parma, 1899; 4° (*Id.*).

\*\* **Vinci** (Leonardo da). Il Codice Atlantico; fasc. XVII. Milano, 1899; 8°.

---

## Classe di Scienze Morali, Storiche e Filologiche

---

Dal 7 al 21 Gennaio 1900.

---

\* **Atti** della R. Accademia dei Lincei. Serie V. Classe di Sc. mor., stor. e filol., vol. VII. Notizie degli Scavi; agosto, 1899; 4°.

\* **Bibliotheca Indica**: A Collection of Oriental Works published by the Asiatic Society of Bengal. New series, Nos. 931, 951-955. Calcutta, 1899; 8°.

**Bulletin** de l'Institut International de Statistique. T. XI. Première livr. Rome, 1899; 8°.

\* **Catalogue** printed Books and Manuscripts in Sanskrit belonging to the Oriental Library of the Asiatic Society of Bengal. Fasc. I. Calcutta, 1899; 4°.

\* **Consiglio** Comunale di Torino. Sedute dal 21 luglio al 29 dicembre 1899; dal N° XXII al XXXVI. Torino, 1889; 4°.

\* **Notulen** van de Algemeene en Bestuurs-Vergaderingen van het Bataviaasch Genootschap van Kunsten en Wetenschappen. Deel XXXVII. Afl. 3. Batavia, 1899; 8°.

\*\* **Raccolta** ufficiale delle Leggi e dei Decreti del Regno d'Italia. 1899; 8°.

**Rosario** (Il) e la Nuova Pompei. Anno XVI, quad. 6-12. Valle di Pompei, 1899; 8°.

**Statistica** dei Monti di Pietà nell'anno 1896. Roma, 1899; 8° (*dal Ministero di Agricoltura, Industria e Commercio*).

\* **Tijdschrift** voor Indische Taal-, Land- en Volkenkunde, uitgegeven door het Bataviaasch Genootschap van Kunsten en Wetenschappen etc.; Deel XLI, Afl. 5, 6; XLI, Batavia, 1899; 8°.

**Valle di Pompei**; Anno IX. Maggio 1899; 8°.

\* *Dall'Università di Basilea:*

**Bericht** über das Gymnasium in Basel. Schuljahr 1898-1899. Basel, 1899; 4°.

**Blocher** (H.). Der gegenwärtige Stand der Hypothekar-Statistik. Basel, 1898; 8°.



**Bruckner** (W.). Charakteristik der germanischen Elemente im italienischen. Basel, 1899; 4°.

\* **Catalogue** des Écrits académiques suisses 1898-99. Basel, 1899; 8°.

**Fueter** (E.). Der Anteil der Eidgenossenschaft an der Wahl Karls V. Basel, 1899; 8°.

**Kretzschmer** (W.). Ueber den Richard Cantillon zugeschriebenen "Essai sur la nature du commerce en général", mit besonderer Berücksichtigung der Lehren von Otto Effertz. Liestal, 1899; 8°.

**Oeri** (A.). De Herodoti fonte Delphico. Basileae, 1899; 8°.

**Overbeck** (F.). Die Bischofslisten und die apostolische Nachfolge in der Kirchengeschichte des Eusebius. Basel, 1898; 4°.

*Personal-Verzeichnis* der Universität Basel für das Wintersemester 1898/99. Sommersemester 1899. Basel, 1899; 8°.

*Verzeichnis* der Vorlesungen and der Universität Basel im Sommer-Semester 1899; Winter-Semester 1899-1900. Basel, 1899; 4°.

\* *Dall' Università di Heidelberg:*

*Anzeige* der Vorlesungen, welche in Sommer-Halbjahr 1899; Winter-Halbjahr 1899-1900 aus der Grossh. Badischen Ruprecht-Karls-Universität zu Heidelberg gehalten werden sollen. 1899; 8°.

**Buttenwieser** (E. C.). Studien über die Verfasserschaft des Andreas. Heidelberg, 1899; 8°.

**Cartellieri** (A.). Philipp August und Graf Philipp von Flandern 1180-1186. Leipzig, 1899; 8°.

**Denio** (E. H.). Nicolas Poussins Leben und Werke. Leipzig, 1898; 8°.

**Ginzberg** (L.). Die Haggada bei den Kirchenvätern. Amsterdam, 1899; 8°.

**Goldschmidt** (S.). Die Landarbeiter in der Provinz Sachsen sowie den Herzogtümern Braunschweig und Anhalt, dargestellt nach den Erhebungen des Evangelisch-Sozialen Kongresses. Tübingen, 1899; 8°.

**Grunenberg** (A.). Die Landarbeiter in den Provinzen Schleswig-Holstein und Hannover östlich der Weser, sowie in dem Gebiete des Fürstentums Lübeck und der freien Städte Bremen, Hamburg und Lübeck. Tübingen, 1899; 8°.

**Hatschek** (J.). Die Selbstverwaltung in politischer und juristischer Bedeutung. Leipzig, 1898; 8°.

**Hoff** (H. P.). Die Passionsdarstellungen Albrecht Dürers. Heidelberg, 1898; 8°.

**Hohenemser** (P.). Kritik der Quellen zur Schlacht bei Hochkirch (14 Oktober 1758). Frankfurt A. M., 1899; 8°.

**Jäger** (J.). Zur Kritik von Amyots Uebersetzung der Moralia Plutarchs. Bühl, 1899; 8°.

**Krasinski** (A.). Geschichtliche Darstellung der Bauern-Verhältnisse in Polen und der wirtschaftlich-rechtlichen Reformen im ersten Decennium der Regierung Stanislaus Augustus (1764-1774). I e II Teil. Krakau, 1898. 2 fasc.; 8°.



- Küffner** (G. M.). Die Deutschen im Sprichwort. Ludwigshafen am Rhein, 1899; 8°.
- Marriage** (M. E.). Poetische Beziehungen des Menschen zur Pflanzen- und Tierwelt im heutigen Volkslied auf hochdeutschem Boden. Bonn, 1898; 8°.
- Marx** (N.). Die Tabaksteuer und die Entwicklung der Tabakbesteuerung in Deutschland. Mannheim, 1898; 8°.
- Moriz-Eichborn** (K.). Der Skulpturencyklus in der Vorhalle des Münsters zu Freiburg im Breisgau. Strassburg, 1898; 8°.
- Oliver** (T. E.). Jacques Milet's Drama, "*La Destruction de Troye la Grant* „. Its Principal Source; — Its Dramatic Structure. Heidelberg, 1899; 8°.
- Popp** (J.). Die Metrik und Rhythmik Thomas Murners. Halle a. S., 1898; 8°.
- Rabbiner** (Z.). Beiträge zur hebräischen Synonymik in Talmud und Midrasch. Berlin, 1899; 8°.
- Scheibe** (A. F.). Die séance royale vom 23 Juni 1789. Eine kritische Studie. Berlin, 1899; 8°.
- Schlesing** (E.). Der Verhältnis zwischen Leidenschaften und Freiheit in der Lehre des Spinoza. Heidelberg, 1899; 8°.
- Schweitzer** (H.). Die mittelalterlichen Grabdenkmäler mit figürlichen Darstellungen in den Neckargegenden von Heidelberg bis Heilbronn. Strassburg, 1898; 8°.
- Sexauer** (H.). Der Sprachgebrauch des Romanschriftstellers Achilles Tatius. Karlsruhe, 1899; 8°.
- Somborn** (A.). Die Elfenbein- und Beinschnitzerei unter besonderer Berücksichtigung ihrer Lage in Erbach i. O. und in Geislingen a. Steig. Heidelberg, 1899; 8°.
- Urban** (E.). Owenus und die deutschen Epigrammatiker des XVII. Jahrhunderts. Berlin, 1899; 8°.
- Walther** (M.). Malory's Einfluss auf Spenser's Faerie Queene. Eisleben; 8°.
- Weydmann** (E.). Geschichte der ehemaligen gräflich sponheimischen Gebiete. Konstanz, 1899; 8°.
- Wick** (A.). Tobias in der dramatischen Literatur Deutschlands. Heidelberg, 1899; 8°.
- Wielenga** (B.). Spinozas "*Cogitata Metaphysica* „ als Anhang zu seiner Darstellung der cartesianischen Prinzipienlehre. Heidelberg, 1899; 8°.
- Żmigrodzki** (M. v.). Geschichte der Baukunst der Araber und der Bauweise der Mauren in Spanien. Krakau, 1899; 8°.

- 
- Bollack** (L.). Grammaire abrégée de la Langue Bleue - Bolak - Langue internationale pratique. Paris, 1899; 8° (*dall'A.*).
- Carle** (G.). Provvedimenti di polizia ferroviaria riguardanti i ritardi dei treni. Discorso pronunciato in Senato nella tornata del 13 dicembre 1899. Roma, 1899; 8° (*Id.*).
- Halbherr** (F.). Lavori eseguiti in Creta dalla Missione archeologica italiana



dal 9 giugno al 9 novembre 1899. Roma, 1899; 8° (*dal Prof. Luigi Pigorini, Presidente della Scuola Archeologica Italiana*).

**Mestre** (A.). Les personnes morales et le problème de leur responsabilité pénale. Paris, 1899; 8° (*dall'A.*).

**Orano** (G.). Note su la estensione della legge penale più mite alle condanne irrevocabili. 8° (*Id.*).

— Les récidivistes doivent-ils être soumis à un régime disciplinaire plus sévère que les condamnés qui subissent une première peine et en quoi cette aggravation du régime doit-elle consister? 8° (*Id.*).

\*\* **Sanuto** (M.). I Diarii. T. LV, fasc. 233-236. Venezia, 1899; 4°.

---

## Classe di Scienze Fisiche, Matematiche e Naturali.

---

Dal 14 al 28 Gennaio 1900.

---

\* **Acta Societatis scientiarum Fennicae**. T. XXIV. Helsingforsiae, 1899; 4°.

\* **Anales de la Sociedad Científica Argentina**. Entrega VI, T. XLVIII. Buenos Aires, 1899; 8°.

\* **Anales del Museo Nacional de Montevideo**, t. II, fasc. 12. 1899; 4°.

\* **Annales de la Faculté des Sciences de Toulouse**. Deuxième série, T. I, 2°, 3° fasc. (1899). Toulouse; 4°.

**Annali delle Università toscane**. T. XXII. Pisa, 1899; 4°.

**Annuario storico meteorologico italiano**, redatto dal P. Giuseppe BOFFITO barnabita. Vol. II, 1899. Torino, 1900; 8°.

**Atti del Collegio degli Ingegneri e degli Architetti nella provincia di Novara**. Vol. I. Anni 1898-1899. Novara, 1899; 8°.

\* **Bidrag till Kännedom af Finlands Natur och Folck**. Utgifna Finska Vetenskaps- Societen, n. 57. Helsingfors, 1898; 8°.

**Bollettino quindicinale della Società degli Agricoltori italiani**. Anno IV (1899), n. 14-24. Roma; 8°.

\* **Bulletin de la Société d'études scientifiques d'Angers**. XXVIII<sup>e</sup> année, 1898. Angers, 1899; 8°.

\* **Bulletin de la Société géologique de France**. 3<sup>e</sup> série, XXVII, 1899. N. 1-2. Paris, 1899; 8°.

\* **Bulletin de la Société Mathématique de France**. T. XXVII, fasc. 4. Paris, 1899; 8°.

\* **Bulletin de la Société des Sciences naturelles de l'Ouest de la France**. T. IX, 2<sup>me</sup> et 3<sup>me</sup> trim. 1899. Nantes; 8°.

\* **Bulletin du Muséum d'histoire naturelle**. Année 1899, N<sup>os</sup> 4-5. Paris, 1899; 8°.



- \* **Bulletin** of the Illinois State Laboratory of Natural history. Vol. V, Art. IX. Urbana, Illn., 1899; 8°.
- \* **Denkschriften** der medicinisch-naturwissenschaftlichen Gesellschaft zu Jena; vol. VI, 3 Lief. Jena, 1899; 4°.
- \* **Field Columbian Museum**. Botanical series. Vol. I, No. 5. Chicago, 1899; 8°.
- \* **Földtani Közlöny** kiadja a Magyarhoni Földtani Társulat. Vol. XIX, n. 5-7. Budapest, 1899; 8°.
- \* **Giornale** della R. Accademia di Medicina. A. LXII, n. 12. Torino, 1899; 8°.
- \* **Journal** of Morphology. Edited by C. O. Whitman, ....with the co-operation of Ed. Ph. Allis. XV, No. 3. Boston, 1899; 8°.
- \* **Journal** of the Linnean Society. Zoology, vol. XXVII, No. 177. London, 1899; 8°.
- \* **List** of Linnean Society of London, 1899-900. London, 1899; 8°.
- \* **Mémoires** de l'Académie des sciences et lettres de Montpellier: Section des sciences, 2<sup>e</sup> sér., t. II, n. 5. Section de Médecine, 2<sup>e</sup> série, t. 1<sup>r</sup>, n. 2, 3. Montpellier, 1899; 8°.
- \* **Monthly Notices** of the Royal Astronomical Society. Vol. LX, No. 2. London, 1899; 8°.
- \* **Proceedings** of the Cambridge philosophical Society. Vol. X, Part IV. Cambridge, 1900; 8°.
- \* **Proceedings** of the Royal Irish Academy. Ser. II, vol. IV, Nos. 1-5. Dublin, 1884-1886.
- \* **Proceedings** of the Royal Society. Vol. LXV, No. 422. London, 1900; 8°.
- \* **Rendiconto** dell'Accademia delle Scienze fisiche e matematiche. Ser. 3<sup>a</sup>, vol. V, fasc. 8° a 12°. Napoli, 1899; 8°.
- Report** of the Superintendent of the U. S. Naval Observatory for the ending June 30, 1899. Washington, 1899; 8°.
- \* **Rivista** mensile del Club alpino italiano. Vol. XVII, n. 7-12. Torino, 1899; 8°.
- \* **Stazioni** sperimentali agrarie italiane. Vol. XXXI, fasc. 3-6. Modena, 1899; 8°.
- \*\* **Verhandlungen** der Physikalischen Gesellschaft zu Berlin. Jahrg. 1, Nr. 8-15. 1899; 8°.

\* *Dall'Università di Basilea:*

- Betsch** (G.). Ueber Paradiaminochinon. Basel, 1899; 8°.
- Bierbrauer** (K.). Ueber Verbindungen der Oxalsäure und ihrer Alkalisalze mit Arsen-, Antimon- und Wismuttrioxyd. Berlin, 1898; 8°.
- Bollag** (M.). Ueber den Einfluss der Witterung auf Morbidität und Mortalität der Diphtherie. Bern, 1899; 4°.
- Braun** (A.). I. Weitere Untersuchungen über die Bildung von Indazolen. II. Ueber einige Derivate des Acetophenons. Basel, 1899; 8°.
- Burri** (R.). Wirkung subconjunctivaler Kochsalzinjectionen bei Chorioiditis in macula. Berlin, 1899; 8°.
- Elmiger** (J.). Ist die progressive Paralyse eine specifische Erkrankung des centralen Nervensystems? Zürich, 1899; 8°.



- Feilmam** (E.). Beiträge zur Kenntniss der Metabrom- $\beta$ -phenylhydroxylamins. Basel, 1898; 8°.
- Föhrenbach** (W.). Ueber Condensationen von Aminen, Phenolen und Alkoholen mit Dinitrometadichlorbenzol. Basel, 1899; 8°.
- Frank-Kamenetzky** (A.). Bromide des Isopentans. Karlsruhe, 1899; 8°.
- Geese** (W.). Ueber die Oxydationsprodukte des Dichinoyltetroxims und einige Derivate des Tetraamidophenols. Braunschweig, 1898; 8°.
- Gerngross** (L.). Ueber die Einwirkung von Cuminol auf Benzylidenanilin und von Benzaldehyd auf Cumylidenanilin bei Gegenwart von Cyankalium. München, 1899; 8°.
- Grosheintz** (A.). Ueber die Beziehungen der Hypsistaphylie zur Leptoprosopie. Berlin, 1898; 8°.
- Haag** (H.). Ueber Gesichtsschädelform, Aetiologie und Therapie der angeborenen Choanalatresie. Berlin, 1899; 8°.
- Hagmann** (G.). Die diluviale Wirbeltierfauna von Vöcklinshofen (Ober-Elsass). Strassburg, 1899; 8°.
- Heberlein** (K. B.). Beiträge zur Kenntniss des Tellur's. Strassburg, 1898; 8°.
- Immermann** (F.). Ueber Doppel Eier beim Huhn. Basel, 1899; 8°.
- Isler** (J.). Ueber Glioma retinae. Basel, 1899; 8°.
- Köhler** (R.). Untersuchungen über die  $\alpha$ -Phenyl-*p*-Methylcinchoninsäure sowie  $\alpha$ -Methyl-*p*-Methylcinchoninsäure und deren Derivate. Basel, 1898; 8°.
- Kollegorsky** (W.). Ueber Abkömmlinge des Benzylidenmethyllamins. Basel, 1899; 8°.
- Koller** (A.). Ein Fall von Situs viscerum inversus totalis und seine Deutung. Basel, 1899; 8°.
- Krafft** (A.). Ueber Vinylessigsäure. Basel, 1899; 8°.
- Kries** (O.). Die Entwicklung und Rückbildung des Corpus luteum spurium beim Menschen. Berlin, 1899; 8°.
- Kuhn** (J.). Beiträge zur klinischen Thorakographie. Stuttgart, 1899; 4°.
- Labhardt** (A.). Ueber traumatische Tuberculosen in der Chirurgie. Aarau, 1899; 8°.
- Meisser** (B.). Chamaeprosopie. Ein aetiologisches Moment für manifeste Ozaena (Rhinitis atrophica foetida). Berlin, 1898; 8°.
- Noerr** (W.). I. Die Einwirkung von Chlormonoxyd auf Benzol. II. Ueber die Einwirkung von Bromcyan und Aluminiumchlorid auf Benzolkohlenwasserstoffe und von Bromcyan allein auf Dimethyl- und Diaethylanilin. München, 1899; 8°.
- Polis** (P.). Die Strömungen der Luft in den barometrischen Minima und Maxima, ein Beitrag zur Theorie der Cyklonen und Anticyklonen. Hamburg, 1899; 4°.
- Pourtalés** (A. de). Untersuchungen über die puerperale Wundinfection. Berlin, 1898; 8°.
- Pröscher** (F.). Ein Beitrag zur Erforschung der Constitution des Eiweissmoleküls. Darmstadt, 1899; 8°.
- Röser** (P.). Zur Kenntniss des Pleistocän im südlichen Schwarzwald. Basel, 1899; 8°.



- Ruedi** (T.). Anatomisch-physiologische Befunde bei Mikrotie mit Atresia auris congenita. Wiesbaden, 1899; 8°.
- Samtleben** (A.). Zur Kenntniss einiger Perhaloide. Leipzig, 1899; 8°.
- Schrader** (W.). Ueber zwei neue Nitrotoluidin-Sulfosäuren und einige Derivate derselben. Braunschweig, 1898; 8°.
- Schwendener** (B.). Untersuchungen über Chondrodystrophia Foetalis. Schaffhausen, 1899; 8°.
- Senn** (G.). Ueber einige coloniebildende einzellige Algen. Basel, 1899; 4°.
- Surbeck** (G.). Die Molluskenfauna des Vierwaldstättersees. Genève, 1899; 8°.
- Tobler** (T.). Experimentelle Untersuchungen ueber die Wirkung der hinteren Sclerotomie. Wiesbaden, 1898; 8°.
- Troller** (J.). Ueber Stichkanalinfektionen bei Hautnähten und ihre Beziehungen zur Art des Nahtmaterials. Tübingen, 1898; 8°.
- Weil** (A. O.). Zur Kenntniss des Pinakolinnitrimins. Strassburg i/E., 1898; 8°.
- Weiss** (R.). Ueber die Bakterienflora der sauern Gährung einiger Nahrungs- und Genussmittel. Karlsruhe, 1899; 8°.
- Weltert** (J.). 23 Fälle von Antrumempyem mit consecutiver Orbitalphlegmone. Zürich, 1899; 8°.
- Weth** (R.). Ueber eine Verallgemeinerung der Gauss'schen Differentialgleichung. Zurich, 1899; 4°.
- Wikander** (E. Hjalmar). Beiträge zur Kenntniss der Jodoso-Jodo- und Jodoniumverbindungen des *m*-Jodnitrobenzols und des *m*-Jodacetanilids. Freiburg i. Br., 1899; 8°.

- Böckh** (H.). Die geologischen Verhältnisse der Umgebung von Nagy-Maros. Budapest, 1899; 8° (*dall' A.*).
- Cauchy** (A.). Œuvres complètes, publiées sous la direction de l'Académie des Sciences et sous les auspices de M. le Ministre de l'Instruction Publique. II<sup>e</sup> série, T. VI. Paris, 1899; 4° (*dono del Governo francese*).
- Rossetti** (G.). La scienza pratica ossia la vera sorgente della febbre, della tubercolosi, del tifo ecc. Torino, 1899; 8° (*dall' A.*).

## Classe di Scienze Morali, Storiche e Filologiche.

Dal 21 Gennaio al 4 Febbraio 1900.

\* **Annales du Musée Guimet.**

Revue de l'Histoire des Religions. Tome XXXIX, Nos. 1, 2. Paris, 1899; 8°.

\* **Annales du Midi.** Revue archéologique, historique et philologique de la France méridionale, N. 42, 43. Toulouse, 1899; 8° (*dall' Università di Tolosa*).



- \* **Atti** della R. Accademia dei Lincei. Classe di Scienze morali, storiche e filolog.; serie V, vol. VII. Notizie degli Scavi: settembre 1899. Roma; 4°.
- \* **Atti** del R. Istituto Veneto di Scienze, Lettere ed Arti. T. LIX, disp. 2<sup>a</sup> Venezia, 1900; 8°.
- \* **Berichte** über die Verhandlungen der k. Sächsischen Gesellschaft der Wissenschaften zu Leipzig (Philolog.-hist. Classe), 1899, IV. Leipzig, 1899; 8°.
- \* **Boletin** de la Real Academia de la historia; t. XXXVI, cuad. I. Madrid, 1899; 8°.
- \* **Bulletin** de la Société d'Études des Hautes-Alpes. 18<sup>ème</sup> année, II<sup>e</sup> série, N. 30, 31. Gap, 1899; 8°.
- \* **Bulletin** de la Société de Géographie, etc.; 7<sup>me</sup> série, t. XX, 4<sup>e</sup> trim. 1899. Paris, 1899; 8°.
- Calendario** del Santuario di Pompei per l'anno 1900. Valle di Pompei; 16°.
- \* **Comptes-rendus** de l'Académie des Sciences de Cracovie, octobre-novembre 1899; 8°.
- \* **Comptes-rendus** des séances de la Société de Géographie; Nos. 5-7, mai-décembre 1899. Paris; 8°.
- \* **Géographie** (La). Bulletin de la Société de Géographie. N. 1, 15 Janvier, 1900. Paris; 8°.
- Inventaire** sommaire des Archives Départementales antérieures à 1790.  
*Eure.* Archives civiles. Sér. E. Evreux, 1899.  
*Hautes-Alpes.* Tome 5<sup>ème</sup>, Sér. H. Tome 1<sup>er</sup>. Hospices de Briançon, d'Embrun et de Gap. Gap, 1899.  
*Haute-Vienne.* Archives civiles, Sér. B. Tome I. Sénéchaussées de Bellac, Le Dorat, Saint-Yrieix. Limoges, 1899: 3 vol. in-4° (*dal Governo della Rep. Francese*).
- \* **Mémoires** de la section des lettres de l'Académie des sciences et lettres de Montpellier. 2<sup>ème</sup> série, t. II, n. 2. Montpellier, 1899; 8°.
- \* **Mémoires** de l'Académie de Stanislas. 5<sup>me</sup> série, t. XVI. Nancy, 1899; 8°.
- \*\* **Monumenta Germaniae historica.** Epistolarum tomi V, pars posterior Karolini aevi III. Berolini, 1899; 4°.
- \* **Transactions** of the Royal Society of Literature, 2<sup>d</sup> series. Vol. XXI, Part II. London, 1899: 8°.
- \* **Vjestnik** kr. Hrvatsko-Slavonsko-Dalmatinskog Zemaljskog Arkiva. Godina II. Svezak 1. Zagreb, 1900; 8°.

---

**Amryc** (C.). Pantheism, the light and hope of modern reason. Copyrighted, 1898; 8° (*dal sig. C. Mayo di Chicago*).

**Cipolla** (C.). Pubblicazioni sulla storia medioevale italiana (1896). Venezia, 1899; 8° (*dall'A.*).

**De Feis** (L.). Le antichità di Cipro ed i fratelli Luigi ed Alessandro Palma di Cesnola. Roma, 1890; 8° (*Id.*).

**Fraccaroli** (G.). Il metodo critico del Prof. Girolamo Vitelli. Torino, 1899; 8° (*Id.*).



**Gambarotta** (G.). L'adulterio e la teorica dei diritti necessari. Torino, 1898; 8° (*dall'A. per il premio di filosofia Gautieri*).

**Gizzi** (G. G.). Sensazione, sentimento, emozione, commozione, affetto e passione. Firenze, 1899; 8° (*Id.*).

— Il fenomeno di sostituzione, contributo alla teoria della conoscenza. Roma, 1899; 8° (*Id.*).

**Hess** (B.). Posing tot Misdriif volgens het italiaansche Recht. Groningen 1898; 8° (*dall'A.*).

**Villa** (G.). La Psicologia contemporanea. Torino, 1899; 8° (*Id.*).

## Classe di Scienze Fisiche, Matematiche e Naturali.

Dal 28 Gennaio all'11 Febbraio 1900.

\* **Abhandlungen** der mathem.-physischen Classe der k. Sächsischen Gesellschaft der Wissenschaften, Bd. XXV, N. 6, 7. Leipzig, 1900; 8°.

**Abhandlungen** der k. k. geographischen Gesellschaft in Wien. I Bd. 1-5 Heft. Wien, 1899; 8°.

\* **Annales des Mines**. 9<sup>me</sup> série, t. XVI, livrs. 9 10. Paris, 1899; 8°.

\* **Annuario** della R. Accademia dei Lincei, 1900. Roma; 16°.

\* **Atti** della Società toscana di Scienze naturali. Processi verbali. Vol. XI, adunanza del 2 luglio 1899; XII, adunanza del 19 novembre 1899. Pisa, 1899-1900; 8°.

**Bollettino** della Associazione " *Mathesis* „ fra gl'Insegnanti di Matematica delle Scuole Medie. Anno IV, n. 2-4. Torino, 1899-900; 8°.

\* **Buletinul** Societații de Științe din Bucuresci-Romania. Anul VIII. No. 6. Bucuresci, 1899; 8°.

\* **Bulletin** mensuel de magnétisme terrestre de l'Observatoire Royal de Bruxelles par L. NIESTEN. Août 1899. Bruxelles; 16°.

\* **Carte géologique** de la Suisse. Notice explicative de la feuille XVI 2<sup>de</sup> ed.) au 1:100.000 par E. RENEVIER et H. SCHARDT. Berne, 1899; 8° 1 fol. (*dalla Commissione geologica della Società elvetica di scienze naturali*).

\* **Jahrbuch** über die Fortschritte der Mathematik. Bd. XXVIII, Heft 3. Berlin, 1900; 8°.

\* **Jahrbuch** der k. k. geologischen Reichsanstalt zu Wien. Jahr. 1899, XLIX Bd., 3 Heft. Wien; 8°.

\* **Journal** of the Chemical Society. Vol. 77 e 78. February, 1900. London; 8°.

\* **Proceedings** of the Chemical Society of London. Vol. 16°. No. 217. London, 1900; 8°.



- \* **Rendiconti** del R. Istituto Lombardo di Scienze e Lettere. Vol. XXXII, fasc. XIX e XX. Milano, 1900; 8°.
- Revue de Mathématique** publiée par G. PEANO. Tomo VI. Torino, 1896-99; 8° (*dal Socio G. Peano*).
- \* **Sitzungsberichte** der k. Preuss. Akademie der Wissenschaften zu Berlin. 19 October XXXIX (21 December), LIII. Berlin, 1898; 8°.
- \* **Verhandlungen** der k. k. geologischen Reichsanstalt. N. 11-16, 1899. Wien; 8°.
- \* **Журналъ** русскаго физико-химическаго Общества при Императорскомъ С. Петербургскомъ Университетѣ; т. XXXI, н. 8. 1899; 8°.

- 
- Fatio (V.)**. Faune des Vertébrés de la Suisse. Vol. II. Histoire naturelle des Oiseaux. 1<sup>ère</sup> partie. Genève et Bâle, 1899; 8° (*dall' A.*).
  - Guarini-Foresio (E.)**. Transmission de l'électricité sans fil. 2<sup>me</sup> édit. Liège, 1900; 8° (*Id.*).
  - Helmert (F. R.)**. Neuere Fortschritte in der Erkenntnis der mathematischen Erdgestalt. Leipzig, 1900; 8° (*Id.*).
  - Penzig (O.)**. Flora popolare Ligure. Primo contributo allo studio dei nomi volgari delle piante in Liguria. Genova, 1897; 8°.
  - Onoranze a Marcello Malpighi. Genova, 1898; 8°.
  - Anallospora, nuovo genere di tuberculariee. Genova, 1898; 8°.
  - Prodotti vegetali del mercato di Breitenzorg (Giava). Genova, 1898; 8°.
  - Ueber javanische Phalloideen. Leide, 1898; 8°.
  - Sopra una nuova specie di Prosopis dell'America meridionale. Genova, 1899; 8° (*Id.*).
  - Penzig (O.) et Saccardo (P. A.)**. Diagnoses Fungorum novorum in insula Java collectorum. Series prima et secunda. Genova, 1897; 2 fasc. 8° (*da O. Penzig*).
  - Pirotta (R.) e Albini (A.)**. Osservazioni sulla biologia del tartufo giallo (Terfezia Leonis Tul.). Rouen, 1900; 8° (*dal Socio Pirotta*).
  - Rosenbusch (H.)**. Studien im Gneissgebirge des Schwarzwaldes. Heidelberg, 1899; 8° (*dall' A.*).
  - Romiti (G.)**. Necrologia di Giovanni Zoia. Firenze, 1900; 8°.
  - Sull'anatomia dell'utero gravido. Firenze, 1900; 8°.
  - Sul distacco della placenta nella donna. Pisa, 1899; 8° (*Id.*).
  - Ruffini (F. P.)**. Linee radicali e punti radicali. Bologna, 1900; 8° (*Id.*).
  - Sars (G. O.)**. An account of the Crustacea of Norway. Vol. III. Cumacea. Part I et II, Cumidae, Lampropidae (part). Bergen, 1899; 8° (*dal Museo di Bergen, Norvegia*).
-



## Classe di Scienze Morali, Storiche e Filologiche

---

Dal 4 al 18 Febbraio 1900.

---

\* **Berichte** über die Verhandlungen der k. Sächsischen Gesellschaft der Wissenschaften zu Leipzig (Philolog.-Hist. Classe), 1899, V; 8°.

**Relazione** sull'amministrazione delle Gabelle per l'esercizio 1898-99. Roma, 1900; 4° (*dal Ministero delle Finanze*).

---

**Boffito** (G.). Perchè fu condannato al fuoco l'astrologo Cecco d'Ascoli. Roma, 1900; 4° (*dall'A.*).

**Boselli** (P.). Risposta del Ministro del Tesoro (P. Boselli) all'interpellanza dell'on. Senatore P. Vacchelli. Roma, 1900; 8° (*Id.*).

**Cosentini** (F.). La sociologia e G. B. Vico. Savona, 1899; 8° (*dall'A. per i. premio di Filosofia Gautieri*).

**Gentile** (G.). Rosmini e Gioberti. Pisa, 1898; 8° (*Id.*).

**Marre** (A.). Heureux son sort! [Canzone musicata]. Paris, f° (*dall'A.*).

\*\* **Mazzatinti** (G.). Inventari dei manoscritti delle biblioteche d'Italia. Vol. IX. Forlì, 1899; 8°.

**Morando** (G.). Corso elementare di Filosofia. Milano, 1898-99, 3 vol.; 8° (*dall'A. per il premio di Filosofia Gautieri*).

**Paoli** (A.). La Scuola di Galileo nella Storia della filosofia. Pisa, 1899; 4° (*Id.*).

---

## Classe di Scienze Fisiche, Matematiche e Naturali.

---

Dall'11 al 25 Febbraio 1900.

---

\* **Anales** de la Sociedad Científica Argentina. Entr. 1ª, t. XLIX. Buenos Aires, 1900; 8°.

**Anuario** del Observatorio astronomico nacional de Tacubaya para el año de 1900. Año XX. Mexico, 1899; 8°.

**Atti** del Collegio degli ingegneri e degli architetti in Palermo, 1899, luglio-dicembre. Palermo; 8°.

\* **Atti** dell'Accademia pontificia dei Nuovi Lincei. Anno LIII, sessione 1ª. Roma, 1900; 4°.



**Bollettino** dei Musei di Zoologia e Anatomia comparata della R. Università di Torino. Vol. XIV, 1899, n. 354-366. Torino; 8°.

**Bulletin** de la Société Philomatique de Paris, 1898-1899, N. 3; (1899); 8°.

**Comunicaciones** del Museo Nacional de Buenos Aires. Tomo I, n. 5. Buenos Aires, 1899, 8° (*dal Direttore del Museo Dr. Prof. C. BERG*).

**\*\* Erläuterungen** zur geologischen Specialkarte von Preussen und den Thuringischen Staaten. Lief. 67. No. 31-33, 37-39. Berlin, 1899. Testo in-8° e Atl. in-f°.

**Giornale** di scienze naturali ed economiche pubblicato per cura della Società di Scienze naturali ed economiche di Palermo. Vol. XXII, 1899. Palermo; 4°.

\* **Memoirs** of the Royal Society of South Australia. Vol. I, Part I. Adelaide, 1899; 4°.

\* **Memorie** della Pontificia Accad. dei Nuovi Lincei. Vol. XV, XVI. Roma, 1897-98; 4°.

\* **Proceedings** of the Royal Society. Vol. LXVI, No. 424. London, 1900; 8°.

\* **Quarterly Journal** of Geological Society. Vol. LVI, Part. 1. No. 221. London, 1900; 8°.

\* **Rendiconti** del R. Istituto Lombardo di Scienze e Lettere. Vol. XXXIII, fasc. 1°. Milano, 1900; 8°.

**Report** of the Sixty-Ninth Meeting of the British Association for the advancement of Science, held at Dover in September 1899. London, 1900; 8°.

\* **Transactions** of the R. Society of South Australia. Vol. XXIII, Part 1<sup>a</sup>, 2<sup>a</sup>. Adelaide, 1899; 8°.

\* **Transactions** of the Manchester Geological Society. Vol. XXVI, Nos. X-XII. Manchester, 1900; 8°.

---

**Sars** (G. O.). An account of the Crustacea of Norway. Vol. III. Cumacea. Part III et IV, Cumidae, Lampropidae (part). Bergen, 1900; 8° (*dal Museo di Bergen, Norvegia*).

**Tietze** (F.). Contributo all'Acarologia d'Italia. Osservazioni sull'Acarofauna del litorale di Malamocco. Padova, 1899; 8° (*dall'A.*).

— Due crani scafoidei. Idee sulla scafocefalia. Padova, 1899 (*Id.*).

---

## Classe di Scienze Morali, Storiche e Filologiche.

---

Dal 18 Febbraio al 4 Marzo 1900.

---

\* **Abhandlungen** der philologisch-historischen Classe der k. Sächsischen Gesellschaft der Wissenschaft. Bd. XX, N. 1. Leipzig, 1900; 8°.

**Annali** di Statistica. Atti della Commissione per la statistica giudiziaria civile e penale. Sessione del dicembre 1898. Roma, 1899; 8° (*dal Ministero di Agricoltura, Industria e Commercio*).



\* **Boletin** de la Real Academia de la Historia. T. XXXVI, cuad. II. Madrid, 1900; 8°.

**Bollettino** di Legislazione e Statistica doganale e commerciale. Anno XVI, dall'aprile a tutto dicembre 1899. Roma, 1899; 8° (*dal Ministero delle Finanze*).

\* **Commentari** dell'Ateneo di Brescia per l'anno 1899. Brescia, 1899; 8°.

\* **Géographie** (La). Bulletin de la Société de Géographie. N. 2, 15 février, 1900. Paris; 8°.

\* **Mémoires et Documents** publiés par la Société Savoisienne d'Histoire et d'Archéologie, t. XXXVIII. Chambéry, 1899; 8°.

**Statistica** del commercio speciale di importazione e di esportazione, da maggio a dicembre 1899. Roma, 1899; 8° (*dal Ministero delle Finanze*).

\* **Studi** e Documenti di storia e diritto. Anno XX, fasc. 3°, 4°. Roma, 1898; 4° (*dall'Accademia di Conferenze storico-giuridiche*).

\* **Tijdschrift** voor Indische Taal-, Land- en Volkenkunde, uitgegeven door het Bataviaasch Genootschap van Kunsten en Wetenschappen etc.; Deel XLII, Afl. 1. Batavia, 1899; 8°.

**Vorlese-Ordnung** an der k. k. Leopold-Franzens-Universität zu Innsbruck im Sommer-Semester 1900; 8° (*dall'Università di Innsbruck*).

---

**Ambrosi** (L.). La psicologia dell'immaginazione nella storia della filosofia. Roma, 1898; 8°.

— Che cos'è la materia? Roma, 1899; 8° (*Inviati dall'A. per il premio di filosofia di Fondazione Gautieri*).

**Colonna** (F.). Scoperte di antichità in Napoli dal 1876 a tutto il 1897 con notizie delle scoperte anteriori ecc. Napoli, 1898; 8° (*dall'A.*).

**Gerini** (G. B.). Paolo Mattia Doria, filosofo e pedagogista. Asti, 1899; 8° (*Id.*).

**Pulciano** (L.). Relazione statistica sulla amministrazione della Giustizia nel distretto della Corte d'Appello di Torino nell'anno 1899. Torino, 1900; 8° (*dal Procuratore Generale del Re della Corte d'Appello di Torino*).

**Zuccante** (G.). Intorno alle origini della morale utilitaria dello Stuart Mill. Milano, 1897; 8°.

— Ancora intorno alle origini della morale utilitaria dello Stuart Mill. I precursori dello Stuart Mill in Inghilterra. Milano, 1898; 8°.

— La morale utilitaria dello Stuart Mill. Esposizione della dottrina. Milano, 1899; 8° (*dall'A.*).

---



## Classe di Scienze Fisiche, Matematiche e Naturali.

Dal 25 Febbraio all'11 Marzo 1900.

- \* **Abhandlungen** der mathem.-physischen Classe der k. Sächsischen Gesellschaft der Wissenschaften, Bd. XXVI, N. 1. Leipzig, 1900; 8°.
- \* **Berichte** über die Verhandlungen der k. Sächsischen Gesellschaft der Wissenschaften zu Leipzig. Mathem.-Phys. Classe, 1899. Mathem. Th. VI; Naturwissenschaftlicher Th.; Allgemeine Th. (51° Bd), 1899. Leipzig; 8°.
- Boletín** demográfico Argentino. Publicación de la Oficina Demográfica nacional. Año I. Agosto 1899. No. 1. Buenos Aires, 1899; 8°.
- Boletín** del Observatorio Astronómico Nacional de Tacubaya. Tom. II, n. 5. Mexico, 1899; 4°.
- Boletín** mensual del Observatorio Meteorológico Central de Mexico; marzo-agosto 1899. Mexico, 1899; 4°.
- \* **Bollettino** delle sedute dell'Accademia Gioenia di scienze naturali in Catania; fasc. LX (1899); 8°.
- \* **Bollettino** dei Musei di Zoologia ed Anatomia comparata della R. Università di Genova. N. 79-89. Genova, 1899; 8°.
- Bollettino** statistico mensile della Città di Milano. Anno XV, giugno-dicembre 1899; 4°.
- \* **Bollettino** demografico della Città di Torino. Anno XXVIII, n. 16-36, 1899; 4°.
- Bulletin** mensuel de Statistique Municipale de la ville de Buenos-Ayres. XIII<sup>e</sup> année, n. 6, 12; (1899); 4°.
- \* **Comptes-rendus** de l'Académie des Sciences de Cracovie. Décembre. Cracovie, 1899; 8°.
- \* **Contributions** to Canadian Palaeontology. Vol. IV. Part I. Ottawa, 1899; 8°.
- \* **Denkschriften** der medicinisch-naturwissenschaftlichen Gesellschaft zu Jena. Bd. VIII. Liefg. V. Jena, 1900; 4°.
- \* **Giornale** della R. Accademia di Medicina. A. LXIII, n. 1. Torino, 1900; 8°.
- \* **Göteborgs** Kungl. Vetenskaps- och Vilterhets- Samhälles. Handlingar. Fjärde följdén II. Göteborgs, 1899; 8°.
- \* **Journal** of the Chemical Society. Vols. LIII-LXXVI, (1888-1899); 77 e 78, fasc. di March, 1900. London; 8°.
- \* **Journal** of the Microscopical Society, 1900, part 1. London; 8°.
- \* **Journal** of the College of Science Imperial University of Tōkyō Japan. Vol. XI, part IV. Tokio, 1899; 4°.
- \* **John Hopkins** University Circulars. Vol. XVIII, No. 141. Baltimore, 1899; 4°.



- \* **Memorie** della Società degli Spettroscopisti italiani. Vol. XXVIII, disp. 5<sup>a</sup>-12<sup>a</sup> (1899). Roma, 1899-1900; 4°.
  - \* **Monthly Notices** of the Royal Astronomical Society. Vol. LX, No. 3. London, 1900; 8°.
  - \* **Observations** faites à l'Observatoire météorologique de l'Université Impériale de Mouscou. Décembre 1898, janvier-août 1899; 8°.
  - \* **Observations** météorologiques suédoises publiées par l'Acad. R. des Sciences de Suède. Vol. 36 (1894). Stockholm, 1899; 4°.
  - \* **Proceedings** of the Royal Physical Society. Session 1898-99. Edinburgh, 1900; 8°.
  - \* **Proceedings** of the Chemical Society of London. Vol. 16°. No. 218-220. London, 1900; 8°.
  - \* **Proceedings** of the R. Society. Vol. LXVI, No. 425. London, 1900; 8°.
  - \* **Rendiconti** del R. Istituto Lombardo di scienze e lettere. Vol. XXXIII, fasc. 2-4. Milano, 1900; 8°.
  - Rendiconto** dell'Ufficio d'Igiene della Città di Torino per l'anno 1899. N<sup>i</sup> 6-12 (anno XVIII). 1899; 4°.
  - \*\* **Scientia**. Exposé et développement des Questions scientifiques à l'ordre du jour. N° 2-6.
    - Le magnétisme du fer par CH. MAURIN.
    - La Stéréochimie par P. FREUNDLER.
    - Les Mouvements de roulement en dynamique par P. APPELL.
    - Le phénomène de Zeeman par A. COTTON.
    - Groupements cristallins par F. Wallerant. Paris, 1899; 8°.
  - \* **Transactions** of the Kansas Academy of Science (1897-98). Vol. XVI. Topeka, 1899; 8°.
  - \*\* **Verhandlungen** der Physikalischen Gesellschaft zu Berlin. Jahrg. 2, Nr. 1-3. 1900; 8°.
  - \* **Verhandlungen** der k. k. geologischen Reichsanstalt. N. 17-18. 1899. Wien; 8°.
  - \* **Year-Book** of the Royal Society. 1900. No. 4. London; 8°.
- 

**Caracciolo** (R.). L'evoluzione nella affinità chimica. Roma, 1900; 8° (*dall'A.*).  
**Koelliker** (A.). Sur l'entrecroisement des pyramides chez les Marsupiaux et les Monotrèmes. Paris; 8° (*dall'A.*).  
**Schiaparelli** (G. V.). Osservazioni astronomiche e fisiche sulla topografia e costituzione del pianeta Marte ecc. Memoria sesta. Roma, 1899; 8° (*Id.*).  
**Tommasina** (T.). Sur la cristallisation métallique par transport électrique de certains métaux dans l'eau distillée. Paris, 1900; 8° (*dall'A.*).

---



## Classe di Scienze Morali, Storiche e Filologiche.

---

Dal 4 al 18 Marzo 1900.

---

- \* **Annali** dell'Università di Perugia. Pubblicazioni periodiche della Facoltà di Giurisprudenza. N. S. Vol. VIII, fasc. 3°-4°; IX, 1°-3°. Perugia, 1898-99; 8°.
  - \* **Annuario** della Società Reale di Napoli, 1900; 8°.
  - \* **Atti** dell'Accademia Pontaniana. Vol. XXIX. Napoli, 1899; 8°.
  - \* **Atti** della R. Accademia dei Lincei. Serie V. Classe di Sc. mor., stor. e filol., ser. V. vol. VII. Notizie degli Scavi: Ottobre 1899. Roma; 4°.
  - \* **Atti e Memorie** della R. Accademia di scienze, lettere ed arti in Padova. Anno CCCLVIII, 1898-99, N. S., vol. XV. Padova, 1899; 8°.
  - Mittheilungen** der k. k. geographischen Gesellschaft in Wien. 1899. XLII Bd. Wien, 1899; 8°.
  - \* **Rendiconto** delle Tornate e dei Lavori dell'Accademia di Archeologia, Lettere e Belle Arti della Società Reale di Napoli. N. S., Anno XIII, marzo-dicembre 1899. Napoli; 8°.
- 

- Bonanni** (G.), Ortona resiste ai francesi, 1798-1799. Lanciano, 1900; 8° (*dall'A.*).
- Boselli** (P.), Sul bilancio dell'Entrata. Discorso del Ministro del Tesoro (P. Boselli) alla Camera dei Deputati nella tornata del 20 febbraio 1900. Roma, 1900; 8° (*Id.*).
- Franchi** (F.), Notizie storiche e statistiche della Cassa di Risparmio di Torino dalla fondazione al 1900, ecc. Torino, 1900; in-f° (*dono della Cassa di Risparmio*).
- Martini** (A.), Il metodo in generale: l'analisi e la sintesi. Ascoli Piceno, 1899; 8° (*dall'A. per il premio di filosofia di fondazione Gautieri*).
- Paoli** (G. C.), Fisiocosmos o saggio di una scienza universale della natura delle cose. Sassari, 1900; 2 vol. in-8° (*dall'A.*).
- Puccini** (R.), Il progresso morale e le sue leggi. Siena, 1899; 8° (*Id.*).
- Rossi** (G.), La funzione storica dell'idealissimo morale nel pensiero moderno. Livorno, 1898; 8° (*Id.*).
- Sangiorgio** (G.), I primi contorni di una storia commerciale del Mediterraneo. Roma, 1900; 8° (*dall'A.*).
-



## Classe di Scienze Fisiche, Matematiche e Naturali.

---

Dall'11 al 25 Marzo 1900.

---

- \* **Anales** de la Sociedad Científica Argentina. Entrega II, t. XLIX. Buenos Aires, 1900; 8°.
- \* **Annales** des Mines. 9<sup>me</sup> série, t. XVI, livr. 11<sup>me</sup> (1899). Paris; 8°.
- \* **Atti** dell'Accademia pontificia dei Nuovi Lincei. Anno LIII, sess. II. Roma, 1900; 4°.
- \* **Atti** dell'Accademia Olimpica di Vicenza. Vol. XXX, XXXI, 1896-98; 8°.
- \* **Boletin** del Instituto Geológico de México. N. 12, El Real del Monte. México, 1899; 4°.
- \* **Bollettino** delle sedute dell'Accademia Gioenia di scienze naturali in Catania. 1899, fasc. XLI. Catania, 1900; 8°.
- \* **Bulletin** mensuel de magnétisme terrestre de l'Observatoire Royal de Bruxelles par L. NIESTEN. Septembre 1899; janvier 1900. Bruxelles, 1900; 16°.
- \* **Comptes-rendus** de l'Académie des Sciences de Cracovie. Janvier, 1900; 8°.
- \* **Jahrbuch** des Norwegischen meteorologischen Instituts für 1898. Christiania, 1899; 4°.
- \* **Rendiconti** del R. Istituto Lombardo di scienze e lett. Ser. II, vol. XXXIII, fasc. V. Milano, 1900; 8°.
- \* **Sitzungs-Berichte** der Physikalisch-medicinischen Gesellschaft zu Würzburg; 1899. Nr. 6, 7; 8°.
- \* **Verhandlungen** Physik.-medic. Gesellschaft zu Würzburg, N. F. XXXIII Bd. Nr. 2, 3. Würzburg, 1899-1900; 8°.
- \*\* **Xenia Orchidacea**. Beiträge zur Kenntniss der Orchideen von H. G. Reichenbach Filetc... Bd. III, Heft 10. Leipzig, 1900; 4°.

---

**Albrecht** (Th.). Bericht über den Stand der Erforschung der Breitenvariation am Schlusse des Jahres 1899. Berlin, 1900; 4° (*dall'A.*).

**Cassani** (P.). Parole commemorative in omaggio all'illustre prof. Senatore Eugenio Beltrami. Venezia, 1900; 8°.

**Sergi** (G.). Specie e varietà umane. Saggio di una sistematica antropologia ecc. Torino, 1900; 8° (*dall'A.*).

---



## Classe di Scienze Morali, Storiche e Filologiche.

---

Dal 18 Marzo al 1° Aprile 1900.

---

- \*\* **Allgemeine Deutsche Biographie.** Bd. XLV, Lfg. 224-225. Leipzig, 1900; 8°.
- \* **Analecta Bollandiana.** T. XVIII, fasc. IV. Bruxelles, 1899; 8°.
- \* **Annales de la Société d'Archéologie de Bruxelles.** T. XIII, livs. III et IV. Bruxelles, 1899; 8°.
- Annuario Accademico della R. Università degli studî di Siena per l'anno 1899-1900;** 8°.
- Annuario della R. Università degli studi di Torino per l'anno accademico 1899-1900.** Torino, 1900; 8°.
- Atti del Consiglio Provinciale di Torino.** Anno 1899. Torino, 1900; 8°.
- \* **Atti del R. Istituto Veneto di Scienze, Lettere ed Arti.** T. LIX, disp. 3<sup>a</sup> e 4<sup>a</sup>. Venezia, 1900; 8°.
- \* **Bibliotheca Hagiographica latina antiquae et mediae aetatis ediderunt Socii Bollandiani.** Fasc. I-III, A—Iwius. Bruxelles, 1899; 8°.
- \* **Boletin de la Real Academia de la Historia.** T. XXXVI, cuad. III. Madrid, 1900; 8°.
- \* **Bollettino della Società Umbra di Storia Patria.** Anno VI, fasc. I. Perugia, 1900; 8°.
- \* **Consiglio Comunale di Torino.** Sessione straordinaria: gennaio-febbraio 1900. Torino; 4°.
- Documente privitoare la Istoria Românilor.** Vol. IX, part 2<sup>a</sup> (1751-1796), Suppl. II, vol. III, fasciôra (1641-1703). Bucuresci, 1899-1900; f° (*dal Ministero dell'Istruzione pubblica di Rumenia*).
- \* **Eranos.** Acta philologica Suecana. Edenda curavit Vilelmus Lundström. Vol. III, fasc. 4; IV, fasc. 1, 1899-1900. Upsaliae; 8°.
- Fondazione Villari.* Firenze, 1900; 8° (*dal Comitato promotore*).
- \* **Géographie (La).** Bulletin de la Société de Géographie. N. 3, 15 mars, 1900. Paris; 8°.
- \* **Transactions of the Royal Society of Literature.** 2. Series, vol. XXI, part II. London, 1900; 8°.

- 
- Bobba (M.).** Verso l'ideale. Appello ai giovani. Torino, 1900 (*dall'Autrice*).
  - Hurmuzaki (L. de).** Fragmente din istoria Românilor. T. II. Traducere făcută de Joan Slavici. Bucuresci, 1900; 8° (*dal Ministero dell'Istruzione pubblica di Rumenia*).
  - Jorga (N.).** Acte et fragments relatifs à l'histoire des Roumains rassemblés dans les dépôts de manuscrit de l'Occident. I. Bucarest, 1895 (*Id.*).
-



## Classe di Scienze Fisiche, Matematiche e Naturali

Dal 25 Marzo all'8 Aprile 1900.

- \* **Abhandlungen** der mathem.-physischen Classe der k. Sächsischen Gesellschaft der Wissenschaften, Bd. XXVI, N. 2. Leipzig, 1909; 8°.
- \* **Archives** du Musée Teyler, série II, vol. VI, 4<sup>e</sup> partie. Haarlem, 1899; 8°.
- \* **Atti** della Società Italiana di scienze naturali, vol. XXXVIII, fasc. 4°. Milano, 1900; 8°.
- \* **Atti** della Società dei Naturalisti di Modena. Serie IV, vol. I, (1899). Modena, 1900; 8°.
- \* **Atti** del Reale Istituto d'Incoragg. di Napoli. 5<sup>a</sup> serie, vol. 1°. 1899; 4°.
- \* **Atti** della Società Veneto-Trentina di Scienze naturali residente in Padova. Serie II, vol. IV, fasc. 1°, anno 1899. Padova, 1900; 8°.
- \* **Atti** della Società degli Ingegneri e degli Architetti in Torino. A. XXXIII, fasc. 1°, 2°. 1899. Torino; 4°.
- \* **Boletin** del Instituto Geológico de México. N. 13, Geologia de los Alrededores de Orizaba ecc. México, 1899; 4°.
- \* **Bulletin** of the Museum of Comparative Zoology at Harvard College. Vol. XXXIV; XXXV, Nos. 3-6. Cambridge, Mass., 1899; 8°.
- \* **Bulletin** de l'Académie Royale des sciences et des lettres de Danemark. 1899, No. 6; 1900, No. 1. Copenhague; 8°.
- \* **Compte-rendu** des travaux présenté à la 80<sup>me</sup> et 81<sup>me</sup> session de la Société Helvétique des sciences naturelles réunie à Engelberg les 13, 14 et 15 septembre 1897 (80<sup>me</sup>); — idem, réunie à Bern du 31 juillet au 3 août 1898 (81<sup>me</sup>). Genève, 1897-98; 8°.
- \*\* **Fortschritte** der Physik im Jahre 1898. Bd. LIV, 3 Abth. Braunschweig, 1900; 8°.
- \* **Giornale** della R. Accademia di Medicina. A. LXIII, n. 2. Torino, 1900; 8°.
- \* **Jahresbericht** der Ornithologischen Vereins München für 1897 und 1898. München, 1899; 8°.
- \* **Journal** of the Asiatic Society of Bengal. Vol. LXVIII, Part II, Natural science, Nos 2-3. Calcutta, 1899; 8°.
- \* **Memorias y Revista** de la Sociedad Científica "Antonio Alzate", T. XII (1898-99), N. 9 y 10. Mexico; 8°.
- \* **Mitteilungen** der Naturforschenden Gesellschaft in Bern aus dem Jahre 1897, Nr. 1436-1450. Bern, 1898; 8°.
- \* **Monthly Notices** of the Royal Astronomical Society. Vol. LX, Nos 4, 5. London, 1900; 8°.
- \* **Occasional Papers** of the California Academy of Sciences, VI. San Francisco, 1899; 8°.
- Osservazioni** meteorologiche eseguite nell'anno 1899, col riassunto composto sulle medesime da E. Pini. Milano, 1899; 4° (*dal R. Osserv. Astronomico di Brera*).



- \* **Proceedings** of the American Academy of Arts and Sciences. Vol. XXXV, Nos 1-3. Boston, 1899; 8°.
- \* **Proceedings** of the Asiatic Society of Bengal. Nos VIII-XI (1900). Calcutta; 8°.
- \* **Proceedings** of the Royal Society. Vol. LXVI, No. 426. London, 1900; 8°.
- \* **Proceedings** of the Chemical Society of London. Vol. XV, Nos 202-216 (January-December, 1899). Vol. XVI, No. 221. London, 1900; 8°.
- \* **Proceedings** of the Academy of Natural Sciences of Philadelphia. 1899. Part II. Philadelphia, 1899; 8°.
- \* **Proceedings** of the California Academy of Sciences. 3. Ser., Botany vol. I, Nos. 6-9; Geology I, Nos 5-6; Zoology I, Nos 11-12. San Francisco, 1898-1899; 8°.
- \* **Proceedings** of the United States National Museum. Vol. XXI. Washington, 1899; 8° (*dalla Smithsonian Institution*).
- \* **Rad** jugoslavenske Akademije znanosti i umjetnosti. Knjiga 141. Razredi Matematičko-prirodoslovni. 28. Zagrebu, 1899; 8°.
- \* **Rendiconto** dell'Accademia delle Scienze fisiche e matematiche di Napoli. Serie 3<sup>a</sup>, vol. VI, fasc. 1° e 2°. Napoli, 1900; 8°.
- \* **Rozprawy** Akademii Umiejętności wydział Matematyczno-Przyrodniczy. Ser. II, t. XIV, XVI. Krakowie, 1899; 8°.
- \* **Sitzungsberichte** der mathematisch-physikalischen Classe der k. b. Akademie der Wissenschaften zu München. 1899. Heft III. München, 1900; 8°.
- \* **Transactions** of the Wisconsin Academy of sciences, arts, and lettres. Vol. XII, Part 1 (1898). Madison, Wisc.; 8°.
- \* **Verhandlungen** der k. k. geologischen Reichsanstalt. Sitzung. N. 1, 2, 1900. Wien; 8°.
- \* **Verhandlungen** der Schweizerischen Naturforschenden Gesellschaft bei ihrer Versammlung zu Engelberg den 13. 14. und 15. September 1897. 80. Jahresversammlung. Luzern, 1898; 8°.
- — Versammlung zu Bern den 1. 2. und 3. August 1898. 81. Jahresversammlung. Bern, 1898; 8°.

---

**Carruccio** (A.). Per la inaugurazione della Società Zoologica italiana nella R. Università di Roma. Roma, 1900; 8° (*dall'A.*).

\* **Cory** (Ch. B.). The Birds of Eastern North America-Water Birds (Part I). Key to the families and species. Chicago, 1899; 4° (*dal Field Columbian Museum*).

**Folgheraiter**. Ricerche sulle cause delle azioni magnetiche locali in regioni giudicate per la costituzione geologica non perturbate. Roma, 1900; 8° (*dall'A.*).

**Pirotta** (R.) e **Longo** (B.). Osservazioni e ricerche sul *Cynomorium coccineum* L. Roma, 1900; 8° (*dal Socio corrisp. Pirotta*).

**Righi** (A.). Volta e la Pila. Milano, 1900; 8°.

— Sul fenomeno di Zeeman nel caso generale d'un raggio luminoso comunque inclinato sulla direzione della forza magnetica. Bologna, 1900; 8° (*dall'A.*)

---



## Classe di Scienze Morali, Storiche e Filologiche

Dal 1° al 22 Aprile 1900.

- Annali** di Statistica. — Statistica industriale. Lombardia, Roma, 1900; 8° (*dal Ministero di Agricoltura, Industria e Commercio*).
- Annali** di Statistica. — Statistica industriale. Fasc. VI, A. Notizie sulle condizioni industriali della provincia di Lucca (2<sup>a</sup> ed.). Ser. IV, n. 13 bis. Roma, 1900; 8° (*Id.*).
- Anuario** Estadístico de la República Oriental del Uruguay. Año 1898. Montevideo, 1900; 8° (*dalla Direccion General de Estadística de la Rep.*).
- Assemblea** Generale ordinaria della Società Anonima Canavese per la strada ferrata Torino-Ciriè-Lanzo, 31 marzo 1900. Torino; 8°.
- \* **Atti** della R. Accademia della Crusca. Adunanza pubblica del dì 7 gennaio 1900. Firenze; 8°.
- \* **Atti** della Società Ligure di Storia patria. Vol. IX, fasc. 3 e 4. Genova, 1877-78; 8°.
- \*\* **Bibliotheca** Philologica Classica. Vol. XXVI, 1899. Trimestre quartum. Lipsiae, 1899; 8°.
- Campagne** del Principe Eugenio di Savoia. Vol. XII, XIII e XIV e Atlanti. Torino, 1898-1900; 3 vol. in-8° e 3 Atl. in-f° (*Dono di S. M. IL RE D'ITALIA*).
- \* **Géographie** (La). Bulletin de la Société de Géographie. N. 4. 15 avril. Paris, 1900; 8°.
- Geschichte** der königl. preussischen Akademie der Wissenschaften zu Berlin. Im Auftrage der Akademie Bearbeitet von Adolf Harnak. Berlin, 1900; 3 vol. divisi in 4; in-8° (*dono della R. Accad. delle Scienze di Berlino*).
- Indice** sommario delle serie dei documenti del R. Archivio di Stato in Siena al 1° gennaio 1900. Siena, 1900; 8° (*dal Dirett. del R. Archivio*).
- \* **Jugoslavenska Akademija** Znanosti i Umjetnosti. Monumenta historico-juridica Slavorum meridionalium. Vol. VII, Sveska I; Rad, Knjiga 140; Rječnik hrvatskoga ili srpskoga jezika..... Svezak 19. Gradja za povjest književnosti hrvatske. Knjiga 2; Zbornik za narodni život i običaje južnih Slavena, Svezak IV., 2. Polovina. Zagrebu, 1899; 8°.
- \* **Memorie** del R. Istituto Lombardo di Scienze e Lettere. Classe di lettere, scienze storiche e morali. Vol. XXI, fasc. 2°. Milano, 1900; 4°.
- \* **Rivista** Ligure di scienze, lettere ed arti. Organo della Società di letture e conversazioni scientifiche. Anno XXII, fasc. 1. Genova, 1900; 8°.
- \* **Rozprawy** Akademii Umiejętności wydział Filologiczny. Ser. II, t. XIV. Historyczno-Filozoficzny. Ser. II, t. XII, XIII. Krakowie, 1899; 8°.
- \* **Sitzungsberichte** der philosophisch-philologischen und der historischen



Klasse der k. b. Akademie der Wissenschaften zu München, 1899. Bd. II, Heft II, III. München, 1900; 8°.

**Tabella** indicante i valori delle merci nell'anno 1899 per le statistiche commerciali. Roma, 1900; 8° (*dal Ministero delle Finanze*).

\* **Tridentum**. Rivista mensile di studi scientifici. Anno III, fasc. 1°. Trento, 1900; 8°.

**Amelli** (D. A.). Paolo Diacono, Carlo Magno e Paolino d'Aquileja in un epigramma inedito intorno al canto Gregoriano e Ambrosiano estratto da un codice di Montecassino. Montecassino, 1899; 4° (*dall'A.*).

\*\* **Baglioni** (B.). La personalità umana teoricamente e socialmente considerata ecc. Perugia, 1898; 8°.

**Billia** (L. M.). Max Muller e la scienza del pensiero. Venezia, 1890; 8°.

— Della legge suprema dell'educazione e di alcune applicazioni di essa. Torino, 1891; 8°.

— Sul principio di divisione della scienza dell'educazione. Alessandria, 1892; 8°.

— Difendiamo la famiglia. Saggio contro il divorzio e specialmente contro la proposta di introdurlo in Italia. Torino, 1893; 8°.

— Il divorzio in Italia. Conferenza. Parma, 1894; 8°.

— La logica di Antonio Rosmini e un suo critico recente. Osservazioni. Parma, 1894; 8°.

— La storia della Chiesa. Parma, 1894; 8°.

— La crisi del positivismo. Parma, 1895; 8°.

— Cesare Cantù, la sua opera, il suo carattere. Milano, 1895; 8°.

— L'unità dello scibile e la filosofia della morale. Prelezione. Torino, 1896; 8°.

— Lo Stato al suo posto, ossia delle opinioni di Raffaele Mariano intorno all'Economia politica e alla libertà. Milano, 1896; 8°.

— Che cosa è l'educazione. Torino, 1896; 8°.

— Il carattere morale di Antonio Rosmini. Milano, 1897; 4°.

— Sull'ipotesi dell'evoluzione. Torino, 1897; 8°.

— Lezioni di filosofia della morale. Torino, 1897; 8°.

— Perchè il dazio sul grano? Conferenza. Torino, 1899; 8°.

— Sulle dottrine psicofisiche di Platone. Modena, 1898; 8°.

— L'Esiglio di S. Agostino. Note sulle contraddizioni di un sistema di filosofia per decreto. Torino, 1899; 8°.

— La religione nell'educazione. Discorso. Torino, 1900; 8°.

— L'objet de la connaissance humaine; réponse à quelques critiques. Paris, 1900; 8°.

— Ernesto Naville ed il libero arbitrio. Torino, 1900; 8°.

— Un moralista americano. Milano; 8°.

— Filosofia di Max Müller nelle più recenti sue letture sulla scienza del linguaggio. Milano; 8° (*dall'A.*).

**Comparetti** (D.). Iscrizione arcaica del Foro romano. Firenze-Roma, 1900; 4° (*dall'A.*).



- Credaro** (L.). La pedagogia di G. F. Herbart. Roma, 1900; 8° (*dall'A.*).
- \*\* **Mieskowsky** (A. v.). Neuestes Russisch-Deutsches Taschenwörterbuch etc. Leipzig; 32°.
- Pasolini** (P. D.). Caterina Sforza. Roma, 1893. 3 vol. 8° (*dall'A.*).
- Caterina Sforza. Nuovi documenti. Bologna, 1897; 8° (*Id.*).
- Paulus Diaconus**. Ars Donati quam Paulus Diaconus exposuit nunc primum ex cod. Vaticano Palatino 1746 Monachi Archicoenobij Montis Casini in lucem proferunt. Montis Casini, 1899; 4° (*dall'Archivio della Badia*).
- \*\* **Vidari** (G.). Rosmini e Spencer. Studio espositivo-critico di filosofia morale. Milano, 1899; 8°.
- \*\* — L'etica di Guglielmo Wundt. Studio espositivo-critico. Sondrio, 1899; 8°.

---

## Classe di Scienze Fisiche, Matematiche e Naturali.

---

Dall'8 al 29 Aprile 1900.

---

- \* **Abhandlungen** herausg. von der Senckenbergischen Naturforschenden Gesellschaft. XX Bd., 2 Heft; XXVI, 1 Heft. Frankfurt a. M., 1899; 4°.
- \* **Annali** della R. Accad. d'Agricoltura di Torino, vol. 42°. Torino, 1900; 8°.
- \* **Atti** dell'Accademia pontificia dei Nuovi Lincei. Anno LIII, (1899-1900), sess. III. Roma, 1900; 4°.
- \* **Atti** della R. Accademia dei Fisiocritici in Siena. Serie IV, vol. XI, n. 4-10 (1899); XII, n. 1 (1900). Siena; 8°.
- \* **Bericht** über die Senckenbergische naturforschende Gesellschaft in Frankfurt am Mein, 1899; 8°.
- \* **Berichte** über die Verhandlungen der k. Sächsischen Gesellschaft der Wissenschaften zu Leipzig. Mathem.-Phys. Classe. 1900, I. Leipzig; 8°.
- Boletín** demográfico argentino. Año I, Enero 1900, n. II. Buenos Aires, 1900; 4° (*dal Ministero dell'Interno della Repubblica Argentina*).
- \* **Bollettino** del R. Orto Botanico di Palermo. Anno III, fasc. I-IV. Palermo, 1899; 8°.
- \* **Buletinul** Societatii de Sciinte din Bucuresci-Romania. Anul IX. No. 1. Bucuresci, 1900; 8°.
- \* **Bulletin** of the American Mathematical Society. 2nd Ser., Vol. V; VI, Nos. 1-6. Lancaster, Pa., and New York, 1898-1900; 8°.
- \* **Bulletin** mensuel de l'Observatoire météorologique de l'Université d'Upsal. Vol. XXXI, an. 1899; 4°.
- \* **Bulletin** of the Illinois State Laboratory of Natural history. Vol. V, Art. X. Urbana, Illn., 1900; 8°.
- \* **Bulletin** of the Philosophical Society of Washington. Vol. 12 (1892-1894). Washington, 1895; 8°.



- \* **Charter**, Order of Court, Constitution and By-Laws and List of Members of the New York Academy of Sciences. 1899; 8°.
- \* **Field Columbian Museum**. Zoology Series. Vol. I, Nos. 16-17. Chicago, U. S. A., 1899; 8°.
- \* **Giornale** della R. Accademia di Medicina. A. LXIII, n. 3. Torino, 1900; 8°.
- \* **Journal** of Morphology. Edited by C. O. Whitman, ....with the co-operation of Ed. Ph. Allis. Vol. XV, Suppl. Boston, 1899; 8°.
- \* **Journal** of the Chemical Society. Vol. 77 e 78. April, 1900. London; 8°.
- \* **List** (A) of the Officers and Fellows of the Chemical Society. London, 1900; 8°.
- \* **Memoirs** of Geological Survey of India. Palaeontologica Indica, Ser. XV, vol. I, Part 2. New Series. Vol. I: 1. The Cambrian Fauna of the Eastern Salt-Rauge by K. Redlich; 2. Notes on the Morphology of the Pelecypoda. Calcutta, 1899; 4°.
- \* **Memoirs** of the Geological Survey of India. Vol. XXVIII, Part 1. Calcutta, 1898; 8°.
- \* **Memoirs** of the Museum of Comparative Zoology at Harward College. Vol. XXIII, No. 2; XXIV Text and Plates; 2 vol. Cambridge U. S. A., 1899; 4°.
- \* **Memorie** del R. Istituto Lombardo di scienze e lettere. Classe di scienze matematiche e naturali. XVIII, fasc. IX. Milano, 1900; 4°.
- \* **Memorias y Revista** de la Sociedad Científica " Antonio Alzate „. T. XII (1898-99), N. 11 y 12. Mexico; 8°.
- \* **Monthly Notices** of the Royal Astronomical Society. Vol. LX, No. 6. London, 1900; 8°.
- \* **Proceedings** of the American Academy of Arts and Sciences. Vol. XXXV, Nos. 4-7. Boston, 1899; 8°.
- \* **Proceedings** of the Boston Society of Natural history. Vol. XXIX, Nos. 1-8. Boston, 1899; 8°.
- \* **Proceedings** of the Royal Society. LXVI. Nos. 427, 428. London, 1900; 8°.
- \* **Proceedings** of the Chemical Society of London. Vol. 16°. No. 222. London, 1900; 8°.
- \* **Rendiconti** del R. Istituto Lombardo di scienze e lettere. Vol. XXXIII, fasc. 6°-8°. Milano, 1900; 8°.
- \* **Rendiconti** del Circolo Matematico di Palermo. Tomo XIV, fasc. I e II (1900). Palermo; 8°.
- Results** of observations of the fixed stars made with the meridian cercle made with the Madras unter the direction of the late N. R. Pogson by C. M. Smith. Vol. IX. General Catalogue. Madras, 1899; 4°.
- \* **Smithsonian Institution**.  
Smithsonian Miscellaneous Collections. No. 1173. Index to the literature of Zirconium, by A. C. Langmuir, and Ch. Barkerville. Washington City, 1899; 8°.
- \* **The International competition** for the Phoebe A. Hearst architectural plan for the University of California. S. l. d. in 4° obl. (*dall' Università di California*).



- \* **Transactions** of the American Mathematical Society. Vol. I, No. 1. January, 1900. Lancaster, Pa., and New York, 1900; 4°.
  - \* **Transactions** of the American Philosophical Society held at Philadelphia. Vol. XX, N. S., Part I, 1899; 4°.
  - \*\* **Verhandlungen** der deutschen physikalischen Gesellschaft zu Berlin. Jahrg. 2, Nr 4-7. 1899; 8°.
  - Veröffentlichung** des K. preussischen geodätischen Institutes (Neue Folge, No. 1). Die Polhöhe von Potsdam; II Heft. Berlin, 1900; 4°.
  - \* **Wissenschaftliche Meersuntersuchungen** herausg. von der Kommission zur wissenschaftlichen Untersuchungen der deutschen Meere in Kiel und der biologischen Anstalt auf Helgoland. N. F. V Bd., Heft 1. Abt. Kiel. Kiel und Leipzig, 1899; 4°.
  - \* **Журналъ русскаго физико-химическаго Общества при Императорскомъ С. Петербургскомъ Университетѣ**. Т. XXXII, n. 1. 1900; 8°.
- 

- \* **Cory** (Ch. B.). The Birds of Eastern North America. Land Birds (Part II). Key to the families and species. Special edition. Chicago, Ill., 1899; 4° (*dal Field Columbian Museum*).
  - Klein** (C.). Das Krystallpolymeter, ein Instrument für kristallographisch-optische Untersuchungen. Berlin, 1900; 8° (*dall'A.*).
  - \*\* **Laurent** (H.). Élimination. Paris, 1900; 8°.
- 

## Classe di Scienze Morali, Storiche e Filologiche.

---

Dal 22 Aprile al 6 Maggio 1900.

---

- \* **Annuario** della R. Università di Pisa per l'anno accademico 1899-1900. Pisa, 1900; 8°.
- \* **Annuario** del Ministero della Pubblica Istruzione, 1900. Roma; 8°.
- \* **Atti** della R. Accademia dei Lincei. Classe di Scienze morali, storiche e filolog., ser. V, vol. VII. Notizie degli Scavi: novembre 1899. Roma; 4°.
- \* **Berichte** über die Verhandlungen der k. Sächsischen Gesellschaft der Wissenschaften zu Leipzig (Philolog.-hist. Classe), 1900, I. Leipzig; 8°.
- \* **Boletín** de la Real Academia de la historia; t. XXXVI, cuad. IV. Madrid, 1900; 8°.
- \* **Notulen** van den Algemeene en Directievergaderingen van het Bataviaasch Genootschap van Kunsten en Wetenschappen. Deel XXXVII. Afl. 1-2. Batavia, 1899; 8°.
- Relatorio** da Directoria do Gabinete portuguez de leitura no Rio de Janeiro. 1895-1898. Rio de Janeiro, 1899; 8°.



**Resoconto** della Cassa di Risparmio di Torino dell'anno 1899. Torino, 1900; 4°.

\* **Rozprawy Akademii Umiejętności** wydział filologiczny. Ser. II. Tome VII. Krakowie, 1895; 8°.

\* **Vjestnik** kr. Hrvatsko-Slavonsko-Dalmatinskog Zemaljskog Arkiva. Godina II. Svezak 2. Zagreb, 1900; 8°.

**Anfosso** (L.). La litigiosità in Italia, in Francia e nel Belgio. Studi e confronti. Torino, 1900; 8° (*dall'A.*).

— L'arte nei delinquenti. Messina, 1899; 8° (*Id.*).

**Chijs** (J. A. van der). Register op de Notulen der Vergaderingen van het Bataviaasch Genootschap van Kunsten en Wetenschappen over de Jaren 1889 t/m 1898. Batavia, 1899; 8° (*dalla Bataviaasch Genootschap van Kunsten en Wetenschappen*).

— Dagh-Register gehouden int Casteel Batavia vant passerende daer ter plaetse als over geheel Nederlandts-India. Anno 1672. Batavia, 1899; 8° (*Id.*).

**Colenbrander** (H. T.). Dagh-Register gehouden int Casteel Batavia vant passerende daer ter plaetse als over geheel Nederlandts-India Anno 1636. S. Gravenhage, 1899; 8° (*dono del Departement van Koloniën*).

**Corsi** (A.). La questione finlandese in un libro recente. Roma, 1900; 8°.

— La conferenza diplomatica di La Aja e le onoranze ad Ugo Grozio. Pisa, 1900; 8° (*dall'A.*).

\*\* **Nicolosi** (G.). La psicologia nel Monismo. Parte I. Vittoria (Sicilia). 1899; 8°.

**Poggi** (V.). L'atto di fondazione del Monastero di S. Quintino di Spigno. Torino, 1900; 8° (*Id.*).

## Classe di Scienze Fisiche, Matematiche e Naturali.

Dal 29 Aprile al 13 Maggio 1900.

\* **Anales** de la Sociedad Científica Argentina. Entrega III, t. XLIX. Buenos Aires, 1900; 8°.

\* **Annuario** del Circolo Matematico di Palermo. 1900; 8°.

\* **Archives Néerlandaises** des sciences exactes et naturelles, publiées par la Société hollandaise des sciences à Harlem. Sér. II, t. III, 3° et 4° livrs. La Haye, 1900; 8°.

**Atti** della Associazione elettrotecnica italiana sede centrale (Como, 18-23 settembre 1899). Vol. III, fasc. unico. Dicembre 1899. Milano, 1900; 8° (*dono della Presidenza dell'A. E. I.*).



- \* **Atti** dell'Accademia pontificia dei Nuovi Lincei. Anno LIII, sess. IV. Roma, 1900; 4°.
- \* **Bollettino** mensile della Società meteorologica italiana. Serie 2<sup>a</sup>, v. XIX, n. 6-12. Torino, 1899-1900.
- \* **Bulletin** mensuel de magnétisme terrestre de l'Observatoire Royal de Bruxelles par L. NIESTEN. Octobre 1899-janvier 1900. Bruxelles, 1900; 16°.
- \* **Bulletin** de la Société Mathématique de France. T. XXVIII, fasc. 1°. Paris, 1900; 8°.
- \* **Journal** of the Chemical Society. Vol. 77 e 78. May, 1900. London; 8°.
- \* **Journal** of the Linnean Society. Zoology. Vol. XXVII, No. 178. London, 1900; 8°.
- \* **Journal** of the R. Microscopical Society, 1900, part 2. London; 8°.
- \* **Öfversigt** of Kongl. Vetenskaps Akademiens Förhandlingar. Vol. 56, 1899. Stockholm, 1900; 8°.
- \* **Proceedings** of the Royal Irish Academy. Third Ser., vol. V, No. 4. Dublin, 1900.
- \* **Proceedings** of the Zoological Society of London for the year 1899. Part IV. London, 1900; 8°.
- Relazione** sui servizi d'Igiene e Sanità nel Comune di Milano nel biennio 1896-97 del Prof. Guido BORDONI-UFFREDUZZI Medico Capo-Ufficiale Sanitario. Milano, 1899; 4° (*dal Municipio della Città di Milano*).
- \* **Relazione** sul progetto dell'acquidotto pugliese presentato dal R. Ufficio speciale del Genio Civile. Roma, 1900; 4°; Testo e tav. (*dal Ministero dei Lavori Pubblici*).
- \* **Rendiconti** del R. Istituto Lombardo di scienze e lettere. Ser. II, vol. XXXIII, fasc. 9°.
- Transactions** of the Manchester Geological Society. Vol. XXVI, Part XIII 1899-1900: 8°.
- \* **Verhandlungen** der Naturforschenden Gesellschaft in Basel. Bd. 12, Heft 2 e Complemento. Basel, 1900; 8°.

---

**Fiorini** (M.). Proiezioni cartografiche cicloidali. Firenze, 1900; 8° (*dall'A.*).

**Haeckel** (E.). Intorno allo stato attuale delle nostre conoscenze sull'origine dell'uomo. Milano, 1899; 8°.

— Metagenesis und Hypogenesis von Aurelia Aurita. Jena, 1881; 4°.

— Kunst-Formen der Natur. 4 Liefg. Leipzig u. Wien, 1900; 4° (*dall'A.*).

**Harlé** (Ed.). Rochers creusés par des Colimaçons à Salies-du-Salat (Haute Garonne). Toulouse, 1900; 8° (*Id.*).

**Lindman** (C. A. M.). Vegetationen i Rio Grande do Sul (Sydbrasilien). Stockholm, 1900; 8° (*dalla R. Accademia delle scienze di Stoccolma*).

**Noether** (M.). Sophus Lie. Leipzig, 1900; 8° (*dall'A.*).

**Romiti** (G.). Di alcune particolarità fibrose e muscolari nella " fascia transversalis „ alcune delle quali notate ancora sul vivente. Roma, 1900; 8° (*Id.*).

**Tommasina** (Th.). Sur l'auto-decohération du charbon, et sur l'application de cette découverte aux appareils téléphoniques pour recevoir les signaux de la Télégraphie sans fils. Paris, 1900; 4° (*Id.*).



**Vallot (J.) et Vallot (H.).** Chemin de fer des Houches au sommet du Mont Blanc. Projet Saturnin Fabres. Études préliminaires et avant-projet. Paris, 1899; 4° (*dagli AA.*).

## Classe di Scienze Morali, Storiche e Filologiche

**Dal 6 al 20 Maggio 1900.**

\* **Atti** del R. Istituto Veneto di Scienze, Lettere ed Arti. T. LIX, disp. 5<sup>a</sup> e 6<sup>a</sup>. Venezia, 1900; 8°.

\*\* **Calendario** generale del Regno d'Italia pel 1900. Roma; 8°.

\* **Géographie** (La), Bulletin de la Société de Géographie. An. 1900. N. 5. 15 Mai. Paris; 8°.

\*\* **Jahresberichte** der Geschichtswissenschaft im Auftrage der historischen Gesellschaft zu Berlin herausgegeben von E. BERNER. XXI Jahrgang 1898. Berlin, 1900; 8°.

\* **Nachrichten** von der K. Gesellschaft der Wissenschaften zu Göttingen. Philologisch-historische Klasse, 1899, Heft 4. Göttingen, 1900; 8°.

**Popolazione.** Movimento dello Stato civile. Anno 1898. Roma, 1900; 8° (*dal Ministero di Agric., Ind. e Comm.*).

\* **Rendiconto** delle Tornate e dei Lavori dell'Accademia di Archeologia, Lettere e Belle Arti della Società Reale di Napoli. N. S., Anno XIV. Gennaio-aprile 1900. Napoli, 1900; 8°.

**Statistica** delle cause di morte nell'anno 1898. Roma, 1900; 8° (*Id.*).

\* **Vjesnik** hrvatskoga Arheološkoga Društva. Organ arheološkoga odjela narodnoga muzeja u Zagrebu. N. S. Sveska IV, 1899-1900. Zagrebu, 1900; 8°.

**Ciardulli (O.).** Gli epitalami e i versi fescennini di Claudio Claudiano. Ariano, 1900; 8° (*dono del Socio R. Renier*).

**Consoli (S.).** Il neologismo negli scritti di Plinio il giovane. Palermo, 1900; 8° (*dall'A.*).

**Hildebrand (K.).** Urkunder till Stockholms Historia med understöd af standes medel utgifna af K. Humanistiska Vetenskaps-Samfundet. I. Stockholms Stads Privilegiebref 1423-1700. Första Häftet. Upsala, 1900; 8° (*dalla R. Università di Upsala*).

**Prever (G.).** Ambiente sociale del Buddismo primitivo. Parte 1<sup>a</sup>. Evoluzione delle caste. Savigliano, 1900; 8° (*dono del Socio R. Renier*).

**Tagore (S. M.).** Abhra, or a few notes on Talc, compiled and translated into English from various sanskrit Works. Calcutta, 1899; 8° (*dall'A.*).

— Our indian Horse: or a few notes on the animal, compiled and translated from the ancien medical and other Works of the Hindus. Calcutta, 1899; 16° (*Id.*).



## Classe di Scienze Fisiche, Matematiche e Naturali.

Dal 13 al 27 Maggio 1900.

- \* **Annales** des Mines. 9<sup>me</sup> série, t. XVI, livr. 12<sup>e</sup>, 1899; XVII, livr. 1<sup>e</sup>, 1900. Paris; 8°.
- \* **Archives** Néerlandaises des sciences exactes et naturelles, publiées par la Société hollandaise des sciences à Harlem. Sér. II, t. III, 5<sup>e</sup> livr. La Haye, 1900; 8°.
- \* **Atti** della R. Accademia economico-agraria dei Georgofili di Firenze, 4<sup>a</sup> serie, vol. XXII, disp. 3<sup>a</sup>-4<sup>a</sup>, 1899; 8°.
- \* **Atti** della R. Accademia dei Fisiocritici in Siena. Vol. XII, N. 2, 3. Siena, 1900; 8°.
- \* **Bollettino** della Società dei naturalisti in Napoli. Ser. I, vol. XIII, 1899. Napoli, 1900; 8°.
- Bulletin** (Treasury Department. Office of the Coast and Geodetic Survey). No. 40. Second edition. With additions and changes. Washington, 1900; 8°.
- \* **Földtani** Közlöny havi Folyóirat kiadja a Magyarhoni Földtani Társulat. Vol. XXIX, 1-4, 8-12 Füzet. Budapest, 1899; 8°.
- \* **Geological Survey of Canada**. Preliminary Report on the Klondike Gold Field Yukon district, Canada by R. G. McConnell. Ottava, 1900; 8°. Descriptive note on the Sydney Coal Field Cape Breton, Nova Scotia to accompany a revised edition of the Geological Maps of the Coal Field etc. by Hugh Fletcher. Ottawa, 1900; 8°.
- \* **Mittheilungen** aus dem Jahrbuche der kön. ungar. geologischen Anstalt. XIII Bd., 2 Heft. Budapest, 1899; 8°.
- \* **Mittheilungen** aus der medicinischen Facultät der k. japanischen Universität zu Tokio. Bd. IV, No. VI. Tokio, 1899; 4°.
- \* **Nachrichten** von der königl. Gesellschaft der Wissenschaften zu Göttingen. Mathematisch-physik. Klasse, 1899, Heft 3. Göttingen; 8°.
- \* **Proceedings** of the Royal Society. LXVI, No. 429. London, 1900; 8°.
- \* **Proceedings** of the Chemical Society of London. Vol. 16. No. 223. London, 1900; 8°.
- \* **Rendiconto** dell'Accademia delle Scienze fisiche e matematiche della Società Reale di Napoli. Serie 3<sup>a</sup>, vol. VI, fasc. 3<sup>o</sup> e 4<sup>o</sup>. Napoli, 1900; 8°.
- \* **Schriften** der Physikalisch-Oekonomischen Gesellschaft zu Königsberg in Pr., XL Jahrg., 1899. Königsberg; 4°.
- \* **Skrifter** utgifna af kongl. humanistika Vetenskaps-samfundet i Upsala. Band III (1892-1900), VI (1897). Upsala, 1897-1900; 8°.
- \* **Transactions** of the American Mathematical Society. Vol. I, No. 2. January, 1900. Lancaster, Pa., and New York, 1900; 4°.



- \* **Verhandlungen** der k. k. geologischen Reichsanstalt. Nos. 4, 5, 1900. Wien; 8°.
- \* **Журналъ** русскаго физико-химическаго Общества при Императорскомъ С. Петербургскомъ Университетѣ; t. XXXII, n. 2. 1900; 8°.

---

**Philippi** (R. A.). *Las Tortugas chilenas*. Santiago de Chile, 1899; 8°.  
 — *Sobre las Serpientes de Chile*. Santiago de Chile, 1899; 8° (*dall'A.*).

---

## Classe di Scienze Morali, Storiche e Filologiche.

---

Dal 20 Maggio al 10 Giugno 1900.

---

- \* **Annales** du Midi. Revue archéologique, historique et philologique de la France méridionale, N. 44. Toulouse, 1899; 8° (*dall'Università di Tolosa*).
- \* **Annales** du Musée Guimet.  
 Revue de l'Histoire des Religions. Tome XXXIX, No. 3; XL, Nos. 1, 2. Paris, 1899; 8°.
- \* **Atti** della Reale Accademia lucchese di scienze, lettere ed arti. T. XXX. Lucca, 1900; 8°.
- \* **Atti** della R. Accademia dei Lincei. Serie V. Classe di Scienze morali, storiche e filolog.; vol. VII. Notizie degli Scavi: Dicembre 1899, Gennaio e Febbraio 1900. Roma; 4°.
- \* **Atti** della Commissione centrale permanente per l'esame preventivo delle domande di derivazione delle acque pubbliche istituita con R. Decreto 11 giugno 1899. An. 1899. Roma, 1900; 8° (*dal Ministero dei Lavori Pubblici*).
- \* **Berichte** über die Verhandlungen der k. Sachsischen Gesellschaft der Wissenschaften zu Leipzig (Philolog.-hist. Classe), 1900, II. Leipzig; 8°.
- \*\* **Bibliographie** der deutschen Zeitschriften Litteratur. Bd. I-V (1896-99). Leipzig, 1899; 4°.
- \* **Bibliotheca Indica**: A Collection of Oriental Works published by the Asiatic Society of Bengal. New series, Nos. 950, 957-963. Calcutta, 1899; 8°.
- \* **Boletín** de la Real Academia de la Historia. Tomo XXXVI. Cuad. V. Madrid, 1900; 8°.
- \* **Catalogue** of printed Books and Manuscripts in Sanskrit belonging to the Oriental Library of the Asiatic Society of Bengal. Fasc. II. Calcutta, 1900; 4°.
- \*\* **Dictionnaire** bibliographique international des Folkloristes contemporains etc. Fasc. 1 à XI (Vol. I, 1<sup>ère</sup> partie). Paris; 8°.



- \*\* Dictionnaire** bibliographique des membres des Sociétés savantes etc. Vol. I. Paris; 8°.
- Documente** privitoare la Istoria Românilor. Vol. XI (1517-1612). Bucuresci, 1900; f° (*dal Ministero dell'Istruzione pubblica di Rumenia*).
- Esposizione-Fiera** annuale in Torino. Relazione della Commissione provvisoria esecutiva. Torino, 1900; 4° obl.
- \* **Giornale** storico e letterario della Liguria diretto da Achille NERI e da Ubaldo MAZZINI, n° 1-6. Spezia, 1900; 8°.
- \* **Hand Book** to the New York Public Library, Astor Lenox and Tilden Foundations. New York, 1900; 16°.
- \* **Mitteilungen** des Vereins für Erdkunde zu Leipzig, 1899. Leipzig, 1900; 8°.
- \* **Pubblicazioni** del R. Istituto di Studi superiori pratici e di perfezionamento in Firenze. Sezione di filosofia e filologia. Firenze, 1875-1899; 8°.
- Amari* (M.). Illustrazione di due iscrizioni arabe.
- Pullé* (F. L.). L'Inno dell'Atarvaveda alla Terra.
- Bartoli* (A.). L'Evoluzione del Rinascimento.
- Ugdulena* (G.). Corso di letteratura greca.
- Fossati* (C.). Il tumulto dei Ciompi.
- Comparetti* (D.). Sull'autenticità dell'Epistola ovidiana di Saffo a Faone.
- Vitelli* (H.). In Hegesippi oratione de Halonneso.
- Puini* (C.). Enciclopedia Sinico-Giapponese.
- Milani*. (L. A.). Sei Tavole cerate.
- Vitelli* (G.). Miscellanea.
- Intorno ad alcuni luoghi della Ifigenia in Aulide di Euripide.
- Paoli* (C.). Del Papiro specialmente considerato come materia che ha servito alla scrittura.
- Milani* (L. A.). Il Mito di Filottete nella letteratura classica e nell'arte figurata.
- Chiappelli* (A.). Della interpretazione panteistica di Platone.
- Morosi* (G.). L'invito di Eudossia a Genserico.
- Scaduto* (F.). Stato e Chiesa negli scritti politici.
- Rondoni* (G.). I più antichi frammenti del Costituto Fiorentino.
- Del Vecchio* (A.). Le seconde nozze del coniuge superstite.
- Donati* (G.). Maestri e scolari nell'India Brahmanica.
- Tocco* (F.). Le opere latine di Giordano Bruno.
- Faggi* (A.). La filosofia dell'incosciente, Metafisica e Morale.
- Martinati* (C.). Notizie storico-biografiche intorno al conte Baldassare Castiglioni.
- Sabbadini* (R.). Studi sul Panormita e sul Valla. — *Barozzi* (L.). Cronologia della Vita del Panormita e del Valla.
- Casanova* (E.). La carta nautica di Conte di Ottomanno Freducci d'Ancona.
- Marzi* (D.). La questione della riforma del Calendario nel quinto Concilio Lateranense (1512-1517).
- Coli* (E.). Il Paradiso terrestre dantesco.
- Festa* (M.). Theodori Ducae Lascaris Epistulae CCXVII.
- Lemmi* (F.). Nelson e Caracciolo e la Repubblica Napoletana (1799).



*Gabrieli* (G.). I Tempi, la Vita e il Canzoniere della poetessa araba al Hansa.

*Salvemini* (G.). Magnati e Popolani fiorentini dal 1280 al 1295.

\* **Report** of the R. Society of Literature, and List of Fellows 1900. London; 8°.

\* **Rivista Ligure** di scienze, lettere ed arti. Organo della Società di letture e conversazioni scientifiche. Anno XXII, fasc. 2. Genova, 1900; 8°.

**Carle** (G.). Sulle derivazioni di acque pubbliche, modificazioni ed aggiunte alla legge 10 agosto 1884. Discorsi pronunciati nelle tornate del 30 aprile e 1 e 2 maggio del Senato del Regno. Roma, 1900; 8° (*dall'A.*).

— Disposizioni contro i matrimoni illegali. Discorsi pronunciati in Senato nelle tornate dell'8, 11 e 12 maggio 1900. Roma, 1900; 8° (*Id.*).

**Nadaillac** (de). Les trépanations préhistoriques. Louvain, 1900; 8° (*Id.*).

**Pascal** (C.). Studi sugli scrittori latini. Torino, 1900; 8° (*Id.*).

**Volante** (A.). Amor di patria! Al Polo nord. Torino, 1900; 8° (*Id.*).

## Classe di Scienze Fisiche, Matematiche e Naturali.

Dal 27 Maggio al 17 Giugno 1900.

\*\* **Abhandlungen** der k. Preussischen geologischen Landesanstalt. N. F., Heft 31 und Atl., 33. Berlin, 1900; 8°, 4°.

\* **Anales** de la Sociedad Científica Argentina. Entrega IV, V, T. XLIX. Buenos Aires, 1900; 8°.

\* **Annales** de la Faculté des Sciences de Marseille. T. X. Paris, 1900; 4°.

\* **Annali** della Facoltà di Medicina dell'Università di Perugia e Memorie dell'Accademia medico-chirurgica di Perugia. Vol. XI, fasc. 2°-4°. Perugia, 1899; 8°.

\* **Anales** del Museo Nacional de Montevideo, t. II, fasc. 13. 1900; 4°.

**Annales** de l'Observatoire National d'Athènes. Athènes, 1900; 4°.

**Annuario** della R. Scuola Navale Superiore di Genova. Anno scolastico 1899-1900; 8°.

\* **Archives** du Musée Teyler, série II, vol. VI, 5<sup>e</sup> partie. Haarlem, 1900; 8°.

\* **Atti** della Società Toscana di Scienze naturali. Processi verbali. Vol. XII, adunanza del 28 gennaio e 4 marzo 1900. Pisa, 1900; 8°.

\* **Atti** della Società Italiana di scienze naturali, vol. XXXIX, fasc. 1-5. Milano, 1899; 8°.

\* **Atti** della R. Accademia dei Fisiocritici in Siena. Serie IV, vol. XII, n. 4 (1900). Siena; 8°.

\* **Bergens Museum Aarbog** for 1899, 2det hefte. Bergen, 1899; 4°.



- \* **Bergens Museum.** Aarsberetning for 1899. Beretninger afgivne til general-forsamlingen den 6<sup>te</sup> marts 1900. Bergen, 1900; 8°.
- \* **Berichte** über die Verhandlungen der k. Sächsischen Gesellschaft der Wissensch. zu Leipzig. Mathem.-Physische Classe, 1900, II. Leipzig, 8°.
- \* **Bidrag** till Kännedom af Finlands Natur och Folck. Utgifna Finska Vetenskaps-Societen. N. 58. Helsingfors, 1900; 8°.
- Boletim** do Museu Paranense de historia natural e ethnographia. Vol. III. No. 1. Parà-Brazil, 1900; 8°.
- Boletim** mensal do Observatorio do Rio de Janeiro. Janeiro, Março, 1900; 8°.
- Boletín** mensual del Observatorio Meteorológico Central de Mexico; septiembre-octubre 1899. Mexico, 1900; 4°.
- \* **Bollettino** delle sedute dell'Accademia Gioenia di scienze naturali in Catania, 1900, fasc. LXII, LXIII. Catania, 1900; 8°.
- Bollettino** dell'Associazione " Mathesis „ fra gl'Insegnanti di matematica, delle scuole medie. Anno IV, n. 5-6. Livorno, 1900; 8°.
- Bollettino** statistico mensile della Città di Milano. A. XVI, gennaio-maggio 1900; 4°.
- \* **Bollettino** del R. Comitato Geologico d'Italia. Anno 1899, n. 4. Roma, 8°.
- Bollettino** quindicinale della Società degli Agricoltori italiani. Anno V (1900), n. 1-12. Roma; 8°.
- \* **Bollettino** demografico della Città di Torino. Anno XXIX, n. 1-13, 1900; e Rendiconto dell'anno 1899 e dei mesi di Gennaio-Aprile 1900; 4°.
- \* **Buletinul** Societății de Științe din Bucuresci-Romania. Anul IX. No. 1 și 3. Bucuresci, 1900; 8°.
- Bulletin** mensuel de Statistique Municipale de la ville de Buenos-Ayres. XIV<sup>e</sup> année (1900), 1-4; 4°.
- \* **Bulletin** of the Museum of Comparative Zoology at Harvard College. Vol. XXXV, No. 8. Cambridge, 1898; 8°.
- \* **Bulletin** of the American Mathematical Society. 2nd Ser. Vol. VI, No. 8, 9. Lancaster, Pa., and New-York, 1900; 8°.
- Bulletin** de la Société Philomatique de Paris. 9<sup>e</sup> série, t. I, n. 4, 1898-99. Paris; 8°.
- \* **Bulletin** de la Société Géologique de France. 3<sup>e</sup> série, t. XXVII, 1899. N. 4. Paris; 8°.
- \* **Bulletin** de l'Université de Toulouse. Fasc. 10. Toulouse, 1899; 8°.
- \* **Bulletin** de l'Académie Royale des sciences et des lettres de Danemark. 1899, No. 6; 1900, No. 2, 3. Copenhagen; 8°.
- \* **Bulletin** of the Illinois State Laboratory of Natural history. Vol. V, Art. XI. Urbana, Illn., 1900; 8°.
- Bulletin** No. 12. U. S. Department of Agriculture... Legislation for the protection of Birds etc... by T. S. Palmer. Washington, 1900; 8°.
- \* **Comptes-rendus** de l'Académie des Sciences de Cracovie, février et mars, 1900; 8°.
- Den Norske Nordhavs-Expedition**, 1876-1878. XXVII. Zoologi: Polyzoa. Christiania, 1900 (*dono del Governo Norvegese*).
- \* **Geological** Literature added to the Geological Society's Library during the Year ended December 31st. 1899. London, 1900; 8°.



- \* **Giornale** della R. Accademia di Medicina. A. LXIII, n. 4. Torino, 1900; 8°.
- \* **Glasnik** hrvatskoga naravoslovnoga Drutštva. Godina XI, Broj 1-6. Zagreb, 1900; 8° (*Società historico-naturalis Croatica*).
- \* **Journal** of the Chemical Society. Vol. 77 e 78. June, July 1900. London; 8°.
- \* **Journal** of the R. Microscopical Society, 1900, part 3. London; 8°.
- \* **Kongliga-Svenska** Vetenskaps-Akademiens. Handlingar Ny Följd. Bd. 32. Stockholm, 1899-1900; 4°.
- \* **Magnetische** und Meteorologische Beobachtungen an der k. k. Sterwarte zu Prag im Jahre 1899, 60. Jahrgang. Prag, 1900; 4°.
- \* **Mémoires** de l'Acad. Roy. des Sciences et des Lettres de Danemark. 6<sup>me</sup> sér. Sect. des Sciences, t. IX, n. 4-6. Copenhague, 1900; 4°.
- \* **Mémoires** de la Société des sciences physiques et naturelles de Bordeaux. 5<sup>e</sup> série, t. III, 2<sup>e</sup> cahier; V, 1<sup>r</sup> cahier et Observations pluviométriques et thermométriques faites dans le département de la Gironde, juin 1898-mai 1899. Bordeaux, 1899; 8°.
- \* **Memoirs** of the National Academy of Sciences. Vol. VIII [Fourth Memoir]. Washington, 1899; 4°.
- \* **Memorie** del R. Istituto Lombardo di scienze e lettere. Classe di scienze matematiche e naturali. XVIII, fasc. X. Milano, 1900; 4°.
- \* **Memorie** della Società degli Spettroscopisti italiani. Vol. XXIX, disp. 1-3. Roma, 1900; 4°.
- \* **Monthly Notices** of the Royal Astronomical Society. Vol. LX, No. 7. London, 1900; 8°.
- North American Fauna.** N° 17. Revision of American Voles of the genus *Microtus* by Vernon Bailey. Washington, 1900 (*dall'U. S. Department of Agriculture*).
- Notizie** Storiche e descrittive dei RR. Osservatorii di Catania e dell'Etna fino a tutto il 1899. Catania, 1900; 8°.
- Observations** made at the Royal magnetical and meteorological Observatory at Batavia. Vol. XXI, 1898. A supplement to vol. XXI of the "Observations „. Batavia, 1899; f° (*Dono del Government of Netherlands India*).
- \* **Öfversigt** af Finska Vetenskaps-Societetens Förhandlingar, XLI, 1898-99. Helsingfors, 1900; 8°.
- \* **Proceedings** of the Zoological Society of London for the year 1900. Part I. London; 8°.
- \* **Proceedings** of the American Academy of Arts and Sciences. Vol. XXXV. Nos. 8, 9. Boston, 1899; 8°.
- \* **Proceedings** of the Cambridge philosophical Society; vol. X, P. 5<sup>a</sup>, 1900.
- \* **Proceedings** of the Royal Society. Vol. LXVI, No. 430. London, 1900; 8°.
- \* **Proceedings** of the Chemical Society of London. Vol. 16°. No 224-226. London, 1900; 8°.
- \* **Procès-Verbaux** des Séances de la Société des Sciences physiques et naturelles de Bordeaux. An. 1898-99. Bordeaux; 8°.
- \* **Pubblicazioni** del R. Istituto di studi superiori pratici e di perfezionamento in Firenze. Sez. di scienze fisiche e naturali. R. Osservatorio di Arcetri, fasc. 11, 12. Firenze, 1900; 8°.



- \* **Quarterly Journal of the Geological Society.** Vol. LVI, Part. 2, No. 222. London, 1900; 8°.
  - Regenwaarnemingen** in Nederlandsch-Indië. Twingtigste Jaargang. 1898. Batavia, 1899; 8° (*dal Gouvernement of Netherlands India*).
  - \* **Relazione** sull'andamento dei servizi dal 1° luglio 1898 al 31 dicembre 1899. Roma, 1900; 4° (*dal Ministero dei Lavori Pubblici*).
  - \* **Rendiconti** del R. Istituto Lombardo di scienze e lettere. Vol. XXXIII, fasc. 10°-13°. Milano, 1900; 8°.
  - \* **Rendiconti** del Circolo matematico di Palermo. Tom. XIV, fasc. III e IV (1900). Palermo; 8°.
  - Report** (Nineteenth Annual) of the United States Geological Survey to the Secretary of the Interior 1897-98. Ch. D. Walcott Director. Part II. Papers Chiefly of theoretic nature. Washington, 1899; 4°.
  - Report** (Twentieth Annual) of the United States Geological Survey to the Secretary of the Interior 1898-99. Ch. D. Walcott Director. Part VI. Mineral resources of the United States, 1898. Metallic products, Coal, and Coke. Nonmetallic products, except Coal and Coke. Washington, 1899: 2 vol. 4°.
  - \* **Report** (Annual) of the Board of Regents of the Smithsonian Institution etc..... June, 30, 1897. Report of the U. S. National Museum. Part 1. Washington, 1899; 8°.
  - \* **Reports** from the Laboratory of the R. College of Physicians Edinburgh. Vol. VII. Edinburgh, 1900; 8°.
  - \* **Rivista** mensile del Club alpino italiano. Vol. XIX, n. 1-5. Torino, 1900; 8°.
  - \* **Sitzungsberichte** der K. Preuss. Akademie der Wissenschaften zu Berlin. I-XXII (11 Januar-19 April 1900). Berlin, 1900; 8°.
  - \* **Sitzungsberichte** der mathematisch-physikalischen Classe der k. b. Akademie der Wissenschaften zu München. 1900, Heft I; 8°.
  - Spelunca.** Bulletin de la Société de Spéléologie. 4° année, T. V, n. 17-20. Paris, 1899; 8°.
  - \* **Stazioni** sperimentali agrarie italiane. Vol. XXXIII, fasc. 1, 3. Modena, 1900; 8°.
  - \* **Transactions** of the Cambridge philosophical Society. Vol. XVIII, XIX, Part I. Cambridge, 1900; 8°.
  - \*\* **Verhandlungen** der deutschen physikalischen Gesellschaft zu Berlin. Jahrg. 2, Nr 8, 9. 1900; 8°.
  - \* **Verhandlungen** des naturhistorisch-medicinischen Vereins zu Heidelberg. N. F. VI Bd., 3 Heft. 1899; 8°.
  - \* Журнадъ русскаго физико-химическаго Общества при Императорскомъ С. Петербургскомъ Университетѣ. Т. XXXII, n. 3 (Journal de la Société physico-chimique russe). 1900; 8°.
- 
- Arcidiacono** (S.). L'esplosione centrale dell'Etna il 19 luglio 1899. Modena, 1899; 8° (*dall'A.*).
- Sul periodo eruttivo dell'Etna dal 19 luglio al 5 agosto 1899. Catania, 1899: 4° (*Id.*).



- Martini** (T.). Nuove ricerche intorno al fenomeno del Pouillet. Venezia, 1900, 8°; (*Id.*).
- Mascari** (A.). Il cratere dell'Etna dopo l'esplosione del 19 e 25 luglio 1899. Modena, 1899 (*Id.*).
- Sulle protuberanze solari osservate al R. Osservatorio di Catania nell'anno 1899. Catania, 1900; 4° (*Id.*).
- Mazzarella** (U.). Una immagine del Globo solare per A. Schmidt. Catania, 1899; 4° (*dall'A.*).
- Sulle grandi protuberanze solari. Catania, 1900; 4° (*Id.*).
- Raoult** (F. M.). Tonométrie. Paris, 1900; 8°.
- Reier** (Ed.). Esperimenti di Geologia e di Geografia. Fasc. III, Rotture; fasc. IV, Metodi ed apparecchi. Traduz. sulla prima ediz. tedesca del Dr. Francesco VIRGILIO. Torino, 1900; 8° (*dono del traduttore*).
- Riccò** (A.). Osservazioni delle filanti della metà di novembre 1899, fatte al R. Osservatorio di Catania. Catania, 1899; 8° (*dall'A.*).
- Eclisse parziale di luna del 16-17 dicembre 1899; 4° (*Id.*).
- Terremoto Etneo del 14 maggio 1898. Modena, 1900; 8° (*Id.*).
- Riccò** (A.) e **Saija** (G.). Osservazioni di temperatura eseguite nel Jonio e nell'Adriatico dagli ufficiali del piroscafo "Aspromonte", durante l'annata agosto 1897-luglio 1898. Roma, 1900; 4° (*dagli AA.*).
- Saija** (G.). Sulle variazioni della rifrazione atmosferica. Catania, 1900; 4° (*dall'A.*).
- Saija** (G.) e **Tredia** (F.). Risultati delle osservazioni meteorologiche del 1899 fatte nel R. Osservatorio di Catania. Catania, 1900; 4° (*dagli AA.*).
- Stiattesi** (D. R.). Spoglio delle osservazioni sismiche dal 1° novembre 1898 al 3 ottobre 1899, fatte all'Osservatorio di Quarto (Firenze). Borgo S. Lorenzo, 1900; 8° (*dall'A.*).
- Stossich** (M.). Contributo allo studio degli Elminti. Trieste, 1900; 8° (*Id.*).
- Tommasina** (T.). Sur l'auto-décohération du charbon et sur l'application de cette découverte aux appareils téléphoniques... Genève, 1900; 8° (*Id.*).
- \*\* Vinci** (Leonardo da). Il Codice Atlantico; fasc. XVIII. Milano, 1900; f°.
- Virgilio** (F.). Geomorfogenia della prov. di Bari. Trani, 1900; f°.

---

## Classe di Scienze Morali, Storiche e Filologiche.

---

Dal 10 al 24 Giugno 1900.

---

- \*\* Allgemeine Deutsche Biographie.** Bd. XLVI, Lfg. 226. Leipzig, 1900; 8°.
- \* Atti della Reale Accademia dei Lincei.** Serie V. Classe di scienze morali, storiche e filolog. Vol. VIII. Notizie degli scavi; marzo 1900. Roma; 4°.
- \* Atti del Reale Istituto Veneto di scienze, lettere ed arti.** T. LIX, disp. 7<sup>a</sup>. Venezia, 1900; 8°.



- \* **Berichte** über den der k. Sachs. Gesellschaft der Wissenschaften zu Leipzig. Philol.-historisc. Classe. 1900, III. Leipzig; 8°.
- \* **Biblioteca** storica italiana pubblicata per cura della R. Deputazione di Storia Patria. V. Illustrazioni della spedizione in Oriente di Amedeo VI (Il Conte Verde) per F. BOLLATI DI SAINT-PIERRE. Torino, 1900; 8°.
- \*\* **Bibliotheca** Philologica Classica. Vol. XXVII. 1900. Trimestre primum. Lipsiae, 1900; 8°.
- \* **Boletín** de la Real Academia de la Historia. T. XXXVI, cuad. VI, 1900. Madrid; 8°.
- Bollettino** di legislazione e statistica doganale e commerciale. Indice generale delle materie contenute nei dieci volumi dal 1894 al 1898. Roma, 1900; 8° (*dal Ministero delle Finanze*).
- \* **Bulletin** of the New York Public Library Astor Lenox and Tilden Foundations. Vol. IV. Nos. 1-5, 1900; 8°.
- Bulletin** de l'Institut International de Statistique. T. XI. Deuxième et dernière livr. Rome, 1899; 8° (*dal Ministero di Agricoltura, Industria e Commercio*).
- Bulletin** de la Société pour la conservation des monuments historiques d'Alsace. II sér., t. XX, livr. 1<sup>ère</sup>. Strassbourg, 1899; 8°.
- \* **Comptes-rendus** de l'Athénée Louisianais. 7<sup>me</sup> série. Tome I, livr. 2<sup>me</sup>. Nouvelle-Orléans, 1900; 8°.
- \* **Consiglio** Comunale di Torino. Sessione ordinaria e straordinaria 1900. Torino; 4°.
- \* **Géographie** (La). Bulletin de la Société de Géographie. N. 6, 15 juin 1900. Paris; 8°.
- \* **Mémoires** de l'Académie des sciences et des lettres de Danemark. 6<sup>me</sup> série, Section des lettres, t. VI, n. 1. Copenhague, 1900; 4°.
- Memorias** do Museu Paraense de Historia Natural e Ethnographia. I. Excavações archeologicas em 1895... 1<sup>a</sup> Parte. Parà-Brazil, 1900; 4°.
- Preisschriften** gekrönt und herausgegeben von der Fürstlich Jablonowskischen Gesellschaft zu Leipzig. H. Schurtz, Das afrikanische Gewerbe (Nr. XXII d. hist.-nat.-ökr. Sect.). Leipzig, 1900; 8°.
- \* **Publications** de l'École de Lettres d'Alger. Bulletin de Correspondance Africaine. T. XVI. Études sur les langues du Haut-Zambèze etc. par É. Jacottet; XXIII, La domination espagnole à Oran sous le gouvernement du comte D'Alcandete 1534-1538 etc....., par P. RUFF. Paris, 1899-1900; 8°.
- Report** (Fifth Annual). The John Crerar library. For the Year 1899. Chicago, 1900; 8°.
- Rosario** (Il) e la Nuova Pompei. Anno XVII, quad. 1-6. Valle di Pompei, 1900; 8°.
- Sanskrit Critical Journal** of the Oriental Nobility Institute; Vol. XXVIII, Nos. 10-12, 1899. Woking, England; 8°.
- \* **Sitzungsberichte** der philosophisch-philologischen und der historischen Classe der k. b. Akad. der Wissens. zu München. 1899, II Bd. Heft IV; 1900, Heft I. München, 1900; 8°.



**Statistica** del commercio speciale di importazione e di esportazione, dal 1° gennaio al 31 maggio 1900. Roma, 5 fasc.; 8° (*dal Ministero delle Finanze*).

**Statistica** degli scioperi avvenuti nell'Industria e nell'Agricoltura durante l'anno 1898. Roma, 1900; 8° (*dal Ministero di Agricoltura, Industria e Commercio*).

\* **Tridentum**. Rivista mensile di studi scientifici. Anno III, fasc. II. Trento, 1900; 8°.

**Valle di Pompei**. Anno X. Maggio, 1900; 8°.

---

**Maltese (F.)**. Pro Patria. Vittoria (Sicilia), 1900; 8° (*dall'A.*).

**Allievi (Tito)**. Scene. Torino, 1900; 8° (*dall'A. per il premio di Letteratura Gautieri*).

---











---

---

CLASSE

DI

SCIENZE FISICHE, MATEMATICHE E NATURALI

---

Adunanza del 19 Novembre 1899.

PRESIDENZA DEL SOCIO PROF. ALFONSO COSSA

VICE-PRESIDENTE DELL'ACCADEMIA

---

Sono presenti i Soci: D'OVIDIO, MOSSO, CAMERANO, SEGRE, PEANO, VOLTERRA, JADANZA, FOÀ, GUARESCHI, GUIDI, FILETI, PARONA e NACCARI Segretario.

Il Presidente dà il benvenuto ai Soci ed invita il Segretario a leggere l'atto verbale dell'ultima seduta. Questo viene letto ed approvato.

Il Presidente comunica la morte del Socio straniero BUNSEN, e ne ricorda brevemente i grandi meriti scientifici. Egli cita in ispecie gli studi sulla serie del cacodile e sopra la composizione dei gas emessi dai Geysers di Islanda, l'invenzione di metodi eudiometrici e calorimetrici, le analisi d'acque minerali, gli studi di ottica chimica fatti col Roscoe e finalmente i classici lavori di analisi spettrale fatti col Kirchhoff.

Il Socio SEGRE presenta a nome del Prof. PASCAL di Pavia due opere, delle quali il Prof. Pascal medesimo è autore. L'una è la parte seconda del *Repertorio di matematiche superiori*, l'altra



è la traduzione tedesca del *Calcolo delle variazioni*. Rispetto alla prima di queste opere il Socio SEGRE mette in luce la grande copia di cognizioni relative alle diverse parti della Geometria, che vengono fornite da quel Repertorio e lo renderanno utilissimo agli studiosi.

Il Segretario presenta le opere seguenti inviate da Soci:

*Die Welträthsel*, Bonn, 1899, del Socio straniero HAECKEL.

*Sfere terrestri e celesti di autore italiano oppure fatte e conservate in Italia*, Roma, 1899, del Socio corrispondente FIORINI.

*Sull'assorbimento della luce per parte di un gas posto nel campo magnetico*, del Socio corrispondente RIGHI.

*Elementi di Fisica*, vol. 1°, parte II, Firenze, 1899; del Socio corrispondente RÒITI.

*Vorlesungen über Theorie der Turbinen*, del Socio corrispondente ZEUNER.

Il Segretario comunica che il Comitato internazionale per un Congresso di Fisica da tenersi in Parigi nell'agosto 1900 invitò l'Accademia a prendere in considerazione tale Congresso e a dar notizia dell'intervento dei Soci qualora questo sia probabile.

Il Presidente legge la commemorazione del Socio corrispondente FRIEDEL, della quale era stato incaricato in una seduta precedente.

Il Socio SEGRE presenta una nota del sig. Carlo ROSATI, *Sulle superficie di Veronese e di Steiner*, e un'altra del Dott. Beppo LEVI, *Sulla trasformazione dell'intorno di un punto per una corrispondenza birazionale fra due spazi*.

Il Socio VOLTERRA presenta una nota del sig. Domenico DE FRANCESCO, *Sul moto spontaneo d'un corpo rigido in uno spazio di curvatura costante*, e un'altra del Dr. E. ALMANZI, *Sulla torsione dei cilindri cavi a spessore piccolissimo*.

Il Socio PEANO presenta una nota del Prof. Mathias LERCH di Fribourg intitolata: *Nouvelles formules pour la différentiation d'une certaine classe de séries trigonométriques*.



Il Socio PARONA presenta due note, l'una del Prof. Federico SACCO, *Sull'età di alcuni terreni terziarii dell'Appennino*, l'altra del sig. CAPEDER intitolata: *Contribuzione allo studio degli entomostraci pliocenici del Piemonte e della Liguria*.

Tutte queste note verranno pubblicate negli *Atti*.

Il Socio NACCARI presenta una memoria: *Sulle anomalie termiche dei climi di Torino, Milano e Venezia*. La Classe delibera con votazione segreta che questa memoria venga inserita nei volumi accademici.

---



## LETTURE

---

### **CARLO FRIEDEL**

Commemorazione letta dal Socio ALFONSO COSSA.

---

Ben a ragione la Classe delle Scienze fisiche e matematiche della nostra Accademia fu dolorosamente commossa all'annuncio della morte, che nel giorno 20 aprile 1899 ci tolse inaspettatamente CARLO FRIEDEL, il quale fino dall'anno 1882 era annoverato tra i suoi soci corrispondenti. La perdita che abbiamo fatto è veramente grave, perchè per la vastità del campo in cui si è esercitato il moltiforme suo ingegno e per la straordinaria attività colla quale attese tanto a ricerche originali, quanto all'insegnamento nella cattedra e nel laboratorio, FRIEDEL deve essere considerato tra gli scienziati più eminenti del nostro tempo.

Nato a Strasburgo il 12 marzo 1832, dopo aver compiuti gli studi nella patria Università, dove ebbe la fortuna di poter udire le lezioni di Pasteur, Daubrée e Bertin, nel 1852 FRIEDEL passò a Parigi e vi seguì i corsi del Collegio di Francia. — Sulla proposta di Sénarmont nel 1856 fu aggregato alla Scuola delle miniere come Conservatore della Collezione mineralogica, ma pur attendendo al diligente disimpegno di questa carica frequentò come allievo il laboratorio di Wurtz, di cui divenne ben presto il prediletto collaboratore. — Da Sénarmont apprese FRIEDEL i buoni metodi di ricerca e la larghezza di vedute nello studio della mineralogia; Wurtz lo iniziò a quelle ricerche di chimica organica, che lo distinsero tra i chimici contemporanei. — Nel 1876 occupò la cattedra di mineralogia alla Facoltà di



Scienze resa libera per la morte di Delafosse, e la tenne fino all'anno 1884, in cui successe al suo maestro Wurtz in quella di chimica organica. — Ma FRIEDEL fino a pochi mesi prima della sua morte conservò sempre l'amore agli studi mineralogici, avvicinandoli assiduamente con le ricerche di chimica organica, e con tale risultato da renderci dubbiosi se il suo nome debba essere annoverato tra quelli dei chimici o non piuttosto dei mineralisti più insigni.

Nel primo ventennio della sua carriera scientifica (1856-1876) FRIEDEL soleva lavorare di preferenza in un piccolo laboratorio privato, che gli fu concesso presso la collezione di mineralogia della scuola delle miniere. Fu là che io ebbi la fortuna di vederlo per la prima volta e di contrarre con lui una cordiale amicizia della quale mi terrò sempre onorato e riconoscente. — Attendeva egli allora ad una di quelle ricerche di sintesi dei composti del carbonio che contribuirono maggiormente a procacciargli fama di chimico eminente. Mi offersi di preparargli del cloruro anidro di glucinio, perchè potesse sperimentare se questo composto agisse nello stesso modo del cloruro di alluminio. Il risultato fu negativo, ma esso contribuisce a differenziare i due metalli ed a mantenere il glucinio nel posto che gli fu assegnato nella classificazione di Mendelejeff. — Questo piccolo servizio mi fu compensato alcuni anni dopo a misura di carbone, poichè FRIEDEL volle occuparsi dell'esame cristallografico dei molibdati di didimio e di piombo da me preparati (1) e confermò così l'isomorfismo di alcuni composti dei metalli della cerite, con quelli omologhi di metalli divalenti; isomorfismo preventivamente accertato nei tungstati degli stessi metalli per le determinazioni delle forme cristalline eseguite da Q. Sella, e che unitamente ai risultati delle determinazioni della caloricità specifica molecolare fatte dall'egregio collega ed amico A. Naccari, mi incoraggiarono a rimanere con quei chimici che ancora sostengono la bivalenza dei metalli della cerite. — Ho evocato questo ricordo non già per associare il mio piccolo nome a quello d'un grande; ma perchè è solo l'amicizia che mi legava a CARLO FRIEDEL, che può giustificare i miei colleghi di avermi conferito

---

(1) " C. R. ", t. 96°, pag. 990.



e me di avere accettato l'incarico di ricordare negli Atti dell'Accademia l'opera scientifica del compianto collega.

Purtroppo poco versato negli studi di chimica organica, devo limitare il compito che mi sono prefisso, ricordando le ricerche più importanti che FRIEDEL ha fatto nel campo della chimica inorganica e della mineralogia.

La serie degli importanti lavori che FRIEDEL pubblicò sui composti organici del silicio, prima colla collaborazione di Crafts e poi con quella di Ladenburg, entrano nel dominio comune alla chimica organica ed inorganica. Il merito principale di queste ricerche consiste nell'avere con esse dimostrato sperimentalmente, in modo ingegnoso e convincente, l'analogia completa tra le combinazioni del carbonio e quelle corrispondenti del silicio. Così ricevette una nuova conferma la tetravalenza del silicio, che era già stata annunciata molti anni prima da Cannizzaro. L'illustre chimico italiano indipendentemente dagli argomenti desunti dalla densità di vapore, e dall'isomorfismo dei fluosilicati coi fluostannati, dedusse dal modo diverso di comportarsi del cloruro di boro e di silicio sugli alcoli, che al cloruro di silicio spetta la formola  $\text{Si Cl}_4$  (1).

Partendo da studi iniziati da Ebelmen, FRIEDEL intraprese colla collaborazione di Guérin importanti ricerche sulle combinazioni del titanio; trovò nuovi composti di questo metallo, e ridusse tutte le sue combinazioni ai tre tipi  $\text{TiCl}_4$ ,  $\text{TiCl}_2$  e  $\text{Ti}_2\text{Cl}_6$ , dimostrando la rimarchevole analogia di proprietà ed il frequente isomorfismo delle combinazioni appartenenti all'ultimo tipo con le combinazioni ferriche corrispondenti. Ideò inoltre un nuovo metodo di separazione del titanio dal ferro.

A FRIEDEL si deve la scoperta di una nuova serie ben definita di sali ottenuti scaldando in tubi chiusi zolfo (o selenio) con fosforo ed alcuni metalli. Sono questi i selenio ed i tioipofosfati aventi una composizione corrispondente alla formola generale  $\text{Ph}_2\text{S}_6\text{M}''_2$ .

FRIEDEL fu valente e coscienzioso nell'analisi chimica, e lo dimostrò specialmente nelle sue ricerche sulla composizione di

---

(1) "Nuovo Cimento", vol. VII, pag. 375. Pisa, 1858.



minerali nuovi e di minerali già conosciuti. — Le specie mineralogiche nuove studiate da FRIEDEL sono: 1° L' *Adamite* (arseniato di zinco). 2° La *Wurtzite* (solfuro di zinco esagonale) chiamato col nome dell'illustre suo maestro, come testimonio di riconoscenza personale, e colla convinzione che i lavori di questo gran chimico, che hanno grandemente contribuito ai progressi della chimica organica, troveranno un qualche giorno la loro applicazione nella chimica minerale e nella mineralogia. Forse il FRIEDEL alludeva alla teoria degli acidi polisilicici, nella speranza, che noi tutti dividiamo, che la teoria del grande chimico alsaziano possa guidarci nel districare l'imbrogliata matassa della costituzione molecolare dei silicati naturali. 3° La *Delafoosite*, combinazione di ossido ferrico ed ossido ramoso. 4° La *Carnotite* (vanadato di uranio e di potassio), la cui descrizione formò oggetto dell'ultima della numerosa serie di pubblicazioni scientifiche di FRIEDEL. — Tra i lavori che si riferiscono a minerali già conosciuti, meritano di essere ricordati: l'analisi della Dawsonite trovata nelle marne che involgono i depositi di cinabro del Siele, e quella della brucite, che raramente riscontrasi a Cogne in Val d'Aosta. — Con ricerche sintetiche stabilì che la Hopeite, è realmente costituita da fosfato idrato di zinco. — Nel 1894 aveva ripetutamente asserito che le apofilliti non contengono fluoro; ma nell'anno successivo spontaneamente si ricredette, facendo conoscere che il risultato negativo delle sue prime ricerche doveva ascriversi al difetto del metodo da lui seguito.

Le belle esperienze di FRIEDEL sulla produzione artificiale di alcuni minerali possono essere distinte in tre gruppi secondo il metodo seguito per ottenerli.

1° Colla diffusione lenta di soluzioni opportunamente scelte attraverso una fessura estremamente capillare, egli ottenne la percyllite e la mellite. La produzione artificiale di questo secondo minerale è rimarchevole, perchè è una conseguenza della scoperta da lui fatta di un nuovo metodo di sintesi organica. Ossidando con permanganato potassico l'exametilbenzina ottenne l'acido mellitico. Ora una soluzione del sale potassico di questo acido diffondendosi in una soluzione neutra di cloruro d'alluminio dà origine alla formazione di cristalli di mellite, identici in tutte le loro proprietà a quelli naturali.



2° Le esperienze fatte da FRIEDEL con Sarazin consistono nel riscaldare in un tubo chiuso di acciaio rivestito internamente di platino i componenti amorfi dei minerali in presenza d'acqua, ad una temperatura variabile a seconda delle circostanze da 180° a 500°. In questo modo ottenne: l'analcimo, l'albite, il quarzo, la leadhillite e la fosgenite. Un risultato interessante di queste ricerche fu anche la riproduzione della calcite cristallizzata, ottenuta scaldando per dieci ore a 500° il carbonato calcico amorfo in presenza di una soluzione concentrata di cloruro di calcio. La calcite non era accompagnata da alcuna traccia di aragonite; il che è notevole perchè infirma l'opinione più comunemente accettata sull'influenza della temperatura nella formazione dell'una piuttosto che l'altra delle due forme cristalline caratteristiche per il carbonato di calcio.

3° Nell'anno 1890 e nel seguente, associandosi il proprio figlio Giorgio, FRIEDEL diede un nuovo e più originale indirizzo ai suoi studi di sintesi mineralogica, cercando di ottenere la riproduzione di alcuni minerali come effetto dell'azione di agenti chimici sopra altri minerali, che costituiscono i componenti essenziali delle rocce. Con ciò egli portò un forte contributo allo studio del metamorfismo. — Le ricerche iniziate con questo indirizzo razionale, facendo agire in svariate condizioni di temperatura e di pressione gli alcali, le terre alcaline ed i silicati alcalini sulla mica, ebbero per risultato la produzione artificiale della nefelina, della sodalite, dell'anfigeno, dell'ortosio e della noseana. Tutti questi minerali furono identificati colle determinazioni cristallografiche e coll'analisi chimica. — I cultori della chimica mineralogica si augurano che il giovane ingegnere delle miniere Giorgio Friedel, che si è già distinto coi suoi importanti e lodati lavori sul gruppo dei zeoliti, continui nella via additatagli dal suo illustre genitore a contribuire ai progressi della mineralogia sperimentale, che deve essere considerata la base più sicura per le teorie geologiche.

*Ricerche di cristallografia.* — Il primo della numerosa serie dei lavori pubblicati da FRIEDEL riflette la determinazione di un esatetraedro emitropo di diamante, che fu inserito nella seconda edizione del trattato di mineralogia di Dufrenoy (1856). In seguito descrisse una nuova geminazione nel quarzo; determinò



le forme cristalline non conosciute del fluosilicato di magnesio del selenito di rame, dell'azotito di bario e della gneiarite (solfo-antimonite di rame). Descrisse una deformazione speciale della magnetite e una nuova forma (romboedrica) nello zolfo che si depone dall'iposolfito di sodio per l'azione dell'acido cloridrico. Provò la pseudoisomorfia del nitrato sodico colla calcite, avendo osservato che un cristallo di questo minerale non può indurre la cristallizzazione in una soluzione soprasatura del sale sodico.

Dal 1860 al 1885 FRIEDEL si occupò ripetutamente dei fenomeni elettrici causati dal calore nei cristalli, studiandoli specialmente nel quarzo, nella blenda, nella scolecite, nel topazio ed in alcuni solfuri metallici.

I risultati di queste sue ricerche si possono così riassumere:

1° Ideò ingegnosamente un metodo preciso e sensibile, per scoprire la piroelettricità polare anche nelle faccie emiedriche a faccie inclinate.

2° Spiegò come in alcuni casi speciali lo sviluppo di elettricità per l'azione del calore dipende da compressioni ineguali, e così aprì la via alla scoperta della piezoelettricità fatta da G. e P. Curie, che furono suoi allievi e collaboratori in queste ricerche.

3° Contrariamente alle asserzioni di Riess e di Rose, negò l'esistenza in certi cristalli di poli centrali di piroelettricità, spiegando la divergenza di opinione colle geminazioni frequenti in questi cristalli.

4° Dimostrò come nella boracite cessano affatto le manifestazioni piroelettriche quando viene raggiunta la temperatura di 265°, alla quale questo minerale diviene *perfettamente* cubico; e pertanto confermò la pseudo simmetria cubica alle ordinarie temperature di questo minerale, che era stata preventivamente annunciata da Mallard in base allo studio delle proprietà ottiche.

5° Scoperse che i fenomeni piroelettrici si osservano anche in cristalli buoni conduttori (panabase, calcopirite).

6° È noto che Marbach osservò il fatto curioso che la pirite e la cobaltite, sperimentati isolatamente con conduttori di platino aventi temperatura diversa, si mostrano ora positivi, ora negativi, in modo che con essi si può costruire una pila termoelettrica, superiore per forza elettromotrice alla coppia classica bismuto-antimonio. Ora FRIEDEL ripetè, confermandole,



queste esperienze, ma non riuscì a trovare una relazione tra l'emiedria a faccie parallele di questi minerali, e l'esistenza di due varietà aventi segni termoelettrici differenti.

CARLO FRIEDEL fu un insegnante molto efficace. Nove anni dopo d'aver cessato di professare mineralogia, pubblicò il corso delle sue lezioni col titolo *Trattato di mineralogia generale* e rese con ciò un grande servizio agli studiosi. Questo trattato è un modello di perspicua chiarezza; esso ha una speciale impronta di originalità e contiene l'esposizione dei migliori metodi che si possono desumere dalla geometria, dalla fisica e dalla chimica per la cognizione completa dei minerali. Comprese gli inconvenienti che derivano da una soverchia trattazione di una parte della scienza a detrimento delle altre. I progressi fatti ultimamente nelle varie parti della mineralogia hanno contribuito ad una specializzazione soverchia, la quale se da un lato ci acconsente d'esplorare a fondo una data parte della scienza, dall'altra disabitua la mente degli studiosi dalle grandi e feconde concezioni sintetiche.

Come scrittore FRIEDEL ebbe il senso della giusta misura; rifuggì dalla soverchia aridità di stile che rende inviluppate e difficilmente comprensibili le cose esposte e della quale molti pare che si compiacciano, quasichè nello scrivere di argomenti scientifici si debba assolutamente bandire ogni vestigio di genialità. Nè incagliò nell'eccesso opposto di coloro che diluiscono i loro concetti in un oceano di frasi e invece di conseguire la desiderata chiarezza vengono a trovarsi di fronte la peggiore nemica d'ogni scrittura: la noia. — Scrisse magistrevolmente le biografie di Wurtz, Silva, Salet, Schutzenberger e Combes. Non si nota in esse lo stile smagliante e la squisita forma letteraria degli elogi storici scritti da Arago e da Dumas; ma lo studioso della storia della chimica, vi trova ordinati e rettamente interpretati tutti i documenti di cui ha bisogno; e si accorge con compiacenza che nello descrivere la vita del maestro e dei colleghi, alla mente dello scrittore fu compagno il cuore.

Oltrechè nella cattedra e nel laboratorio FRIEDEL esplicò in altri modi la sua prodigiosa attività a vantaggio dei progressi della scienza. Fu uno dei fondatori della società chimica di Pa-



rigi della quale fu eletto quattro volte presidente. Frequentò assiduamente le adunanze della società mineralogica di Francia; collaborò prima e diresse poi la pubblicazione del dizionario di chimica del Wurtz; presiedette la commissione internazionale per la modificazione della nomenclatura dei composti organici. Finalmente promosse e diresse la istituzione del corso triennale di chimica applicata presso la facoltà di scienze, ammettendo razionalmente come principio direttivo di questa nuova istituzione che l'insegnamento delle applicazioni deve essere fondato sopra la completa cognizione della chimica generale, ed ebbe la consolazione di vedere i primi trenta allievi usciti alla fine dello scorso anno da questo istituto impiegati in diverse officine di industrie chimiche.

L'opera del FRIEDEL fu meritamente apprezzata; l'Istituto di Francia gli conferì due premi; la Società reale di Londra la gran medaglia Davy. Gli onori, non guastarono il carattere mite, modesto, integerrimo di FRIEDEL, che anche per le doti del suo animo seppe procacciarsi la stima di tutti, e l'affetto di quanti ebbero la fortuna di conoscerlo.

Il nome di CARLO FRIEDEL è ricordato in un nuovo minerale (la friedelite, clorosilicato di manganese) dedicatogli da Bertrand; la sua memoria vivrà benedetta nella storia delle scienze al cui progresso egli ha validamente contribuito.

---



## *Sulle superficie di Veronese e di Steiner;*

Nota del Dott. CARLO ROSATI.

È dovuto al Lie (\*) il teorema: “ *Il luogo dei poli di un piano arbitrario rispetto alle coniche di una superficie di Steiner è una seconda superficie di Steiner* „. Fu poi notato e dimostrato (\*\*) che analoga proprietà sussiste per la superficie di Veronese, ma non fu osservato che di qui, per semplice proiezione, nasce una proprietà più generale di quella di Lie, cioè che *il luogo dei poli delle corde di una curva di 4° ordine (gobba o piana) di una superficie di Steiner rispetto alle coniche della medesima passanti per i loro punti d'appoggio è una nuova superficie di Steiner; e che se la curva di 4° ordine è assintotica, la nuova superficie di Steiner coincide colla prima*. Queste ed altre proprietà si espongono nella presente Nota con procedimento semplice ed uniforme fondato sopra la notissima rappresentazione in  $S_5$  della geometria delle coniche di un piano (\*\*).

---

(\*) Cfr. LIE, *Petite contribution à la théorie de la surface steinérianne*, “ Archiv for Mathematik og Naturvidenskab „, Christiania, vol. 3°, 1878. — KOENIGS, *L'è lieu des pôles d'un plan*, “ Bulletin de la Société mathématique de France „, vol. 16°, 1888. — BRAMBILLA, *Intorno alla superficie di Steiner*, “ Rendiconti della R. Acc. delle Scienze fisiche e matematiche di Napoli „, fasc. 1°, gennaio 1898. — MONTESANO, *La superficie romana di Steiner*, Rendiconti citati, fasc. 4°, gennaio 1899.

(\*\*) Cfr. BRAMBILLA, *Estensione di una proprietà della superficie di Steiner*, Rendiconti citati, fasc. 6°-7°, giugno-luglio 1898 (L'estensione, secondo avverte il sig. BRAMBILLA, gli fu comunicata dal sig. BERZOLARI).

(\*\*\*) Cfr. VERONESE, *La superficie omoloide normale a due dimensioni e del quarto ordine dello spazio a cinque dimensioni ecc.*, “ Memorie della R. Acc. dei Lincei „, 1883-84. — SEGRE, *Considerazioni intorno alla geometria delle coniche di un piano ecc.*, “ Atti della R. Acc. delle Scienze di Torino „, 1885.



## § 1.

1. — *In uno spazio a cinque dimensioni il luogo dei poli di un iperpiano rispetto alle coniche di una superficie di Veronese, è una nuova superficie di Veronese.*

Si ricorra alla rappresentazione piana della superficie di Veronese  $F_2^4$ , immaginando l' $S_5$  nel quale è immersa come lo spazio di coniche di un piano  $\pi$ ; e si chiami  $\gamma$  la conica di  $\pi$  immagine della  $C_1^4$  sezione di essa con un iperpiano  $\rho$ . Un  $S_2$  di prima specie della ipersuperficie  $M_4^3$ , relativa alla  $F_2^4$ , interseca  $\rho$  in un  $S_1$  che, nella rappresentazione della  $M_4^3$  nella totalità delle coppie di punti di  $\pi$ , ha per immagine una involuzione, sopra una retta, di punti coniugati rispetto alla conica  $\gamma$ . Il polo di questo  $S_1$  rispetto alla conica di  $F_2^4$  contenuta nell'  $S_2$  considerato è rappresentato dalla coppia di punti doppi di questa involuzione, pensata come unico elemento. Dunque il luogo dei poli di  $\rho$  rispetto alle coniche della  $F_2^4$  è una superficie esistente nella  $M_4^3$ , ed i cui punti, nella rappresentazione della  $M_4^3$ , hanno per immagine le coppie di punti della conica  $\gamma$ . Questa superficie è del quart'ordine, perchè un sistema lineare  $\infty^3$  di coniche inviluppo di  $\pi$  (immagine di un  $S_3$  di  $S_5$ ), ammette quattro coniche degeneri in coppie di punti di  $\gamma$  (\*); appartiene ad  $S_5$ , perchè la completa intersezione di essa coll' iperpiano  $\rho$  è la curva  $C_1^4$  appartenente a  $\rho$ ; inoltre non è rigata, perchè non esistono in  $\pi$  schiere di coniche tutte degeneri in coppie di punti della conica  $\gamma$ ; quindi (\*\*) è una superficie di Veronese.

Si indicherà con  $F_2'^4$  questa superficie, e con  $M_4'^3$ ,  $\varphi_2'^4$  e  $\mu_4'^3$  le varietà ad essa coordinate.

2. — Se  $\rho$  appartiene alla  $\mu_4'^3$ , cioè è tangente in un punto  $N$  alla  $F_2^4$ , dalla  $F_2'^4$  si staccano i due  $S_2$  che contengono le co-

---

(\*) Infatti, nella trasformazione quadratica involutoria dei punti coniugati rispetto a tutte le coniche del fascio associato, la conica  $\gamma$  si trasforma in una curva del quart'ordine che ha con essa otto punti comuni, distribuiti in quattro coppie di punti coniugati.

(\*\*) Cfr. DEL PEZZO, *Sulle superficie d'ordine  $n$  immerse nello spazio di  $n+1$  dimensioni*, " Rendiconti della R. Acc. di Napoli „, 1885.



niche  $C$  e  $C'$  sezioni dell'iperpiano colla  $F_2^4$ : rimane quindi del luogo una quadrica  $V_2^2$ . L' $S_3$  in cui essa è contenuta è l'intersezione dei due iperpiani tangenti doppi alla  $F_2^4$  lungo le coniche  $C$  e  $C'$ . Esso contiene l' $S_2$  tangente in  $N$  a questa superficie, dimodochè tale  $S_2$  e la quadrica  $V_2^2$  costituiscono la sua completa intersezione colla  $M_4^3$ . Quell' $S_2$  è pure tangente in  $N$  alla quadrica, e le due generatrici della medesima in esso contenute sono le tangenti in  $N$  alle coniche  $C$  e  $C'$ . Ciò risulta con facilità sia per via diretta, sia ricorrendo alla rappresentazione piana, osservando che in questo caso la conica  $\gamma$  è degenerare in una coppia di rette.

Se  $\rho$  è tangente doppio della  $F_2^4$ , cioè appartiene alla  $\varphi_2^4$ , il luogo  $F_2^4$  si riduce all' $S_2$  della conica di contatto contato quattro volte.

3. — Ritornando al teorema del n° 1, si osservi che fra le due superficie  $F_2^4$  ed  $F_2^{4'}$  viene stabilita una corrispondenza biunivoca, se nelle loro rappresentazioni in  $\pi$  si eseguisce un *principio di trasporto*, mediante il quale si fa corrispondere ad un punto del piano, la coppia dei punti di contatto delle due tangenti condotte da esso alla conica  $\gamma$ . Questa corrispondenza è un'omologia che ha per iperpiano di elementi uniti l'iperpiano  $\rho$  considerato, il suo polo rispetto alla  $\mu_4^3$  per centro, e -2 per rapporto anarmonico caratteristico.

Infatti un punto di  $\pi$  (considerato come conica inviluppo degenerare), la coppia dei punti di contatto delle tangenti condotte da esso a  $\gamma$ , la conica  $\gamma$ , appartengono alla stessa schiera e il rapporto anarmonico che formano nella schiera queste tre coniche con l'armonica di  $\gamma$  è  $= -2$  (\*). È dimostrato dunque che, in quella corrispondenza biunivoca, due punti corrispondenti sono allineati col polo  $R$  di  $\rho$  rispetto alla  $\mu_4^3$ , e che, insieme ad esso e all'intersezione della loro congiungente con  $\rho$ , formano un rapporto anarmonico  $= -2$ .

---

(\*) Rappresentando infatti con  $x_1^2 x_2 = 0$  una forma binaria cubica con un punto doppio, il gruppo polare del prim'ordine di un elemento  $\frac{y_1}{y_2}$  è dato da  $\frac{-y_1}{2y_2}$ , e il rapporto anarmonico domandato è quindi:

$$\left( \frac{y_1}{y_2}, 0, \frac{-y_1}{2y_2}, \infty \right) = -2.$$



Ne discende il teorema:

“ Se da un punto  $R$  di  $S_5$  si proiettano i punti di una superficie di Veronese, le ulteriori intersezioni delle rette proiettanti colla  $M_4^3$  relativa ad essa formano una seconda superficie di Veronese. Essa è anche il luogo dei poli, rispetto alle coniche della prima superficie, dell'iperpiano  $\rho$  polare del punto  $R$  rispetto alla  $\mu_4^3$  „ (\*).

4. — L'iperpiano  $\rho$  sega la  $F_2^4$  in una  $C_1^4$ , la quale, essendo di punti uniti nell'omologia considerata, sarà contenuta anche nella  $F_2'^4$ , come abbiamo già osservato al n° 1.

Analogamente, gli iperpiani tangenti doppi della  $F_2^4$  passanti per  $R$ , che costituiscono una  $\Sigma_1^4$ , essendo uniti nell'omologia, saranno tangenti doppi anche per  $F_2'^4$ .

Il sig. Montesano (l. c. § 1, n° 3) ha osservato che dati tre elementi  $ABC$  di una forma elementare, se di un quarto elemento  $R$  si prendono i coniugati armonici  $A'B'C'$  rispetto alle coppie  $BC$ ,  $CA$ ,  $AB$ , le coppie  $AA'$ ,  $BB'$ ,  $CC'$  sono di punti corrispondenti in una proiettività, nella quale sono uniti l'elemento  $R$  e l'elemento  $T$ , gruppo polare di prim'ordine di  $R$  rispetto alla terna  $ABC$ ; e di cui il rapporto anarmonico caratteristico è  $(SATA') = -\frac{1}{2}$ . Ci sarà utile questa osservazione per studiare le relazioni fra le altre varietà associate alle due superficie  $F_2^4$  ed  $F_2'^4$ .

Sia la forma elementare considerata un  $S_1$  per  $R$ , e siano gli elementi  $ABC$  le sue intersezioni colla  $M_4'^3$ ; il punto  $T$  in cui interseca  $\rho$  sarà il gruppo polare del prim'ordine di  $R$  rispetto alla terna  $ABC$  (perchè  $R$  e  $\rho$ , essendo uniti nell'omologia, sono polo e iperpiano polare anche rispetto alla  $M_4'^3$ ); e gli elementi  $A'B'C'$ , dovendo esser tali da produrre  $(RATA') = -\frac{1}{2}$  e quindi  $(RA'TA) = -2$ , apparterranno alla  $M_4^3$ . Dunque: “ La

---

(\*) Il prof. Segre mi ha fatto notare che si potrebbe partire da questa proposizione e dedurre con facilità l'altra del n° 1. Egli mi ha comunicato anche la seguente generalizzazione, suscettibile forse di altre applicazioni:

“ Se una  $M_{r-1}^v$  di  $S_r$  contiene una varietà  $F$  di punti  $v-1$ -pli, la proiezione  $F'$  di  $F$  su  $M_{r-1}^v$  da un punto qualunque  $R$  corrisponde ad  $F$  in un'omologia che ha  $R$  per centro, l'iperpiano polare di  $R$  rispetto alla  $M_{r-1}^v$  per iperpiano di elementi uniti, e  $1-v$  per rapporto anarmonico caratteristico.



ipersuperficie  $M_4^3$  è il luogo dei coniugati armonici del punto  $R$  rispetto alle coppie dei punti d'intersezione degli  $S_1$  passanti per esso colla  $M_4'^3$  „.

Ora si osservi che se  $A \equiv B$ ; anche  $A' \equiv B'$  e  $C' \equiv A \equiv B$ , dunque:

“ Le dueipersuperficie  $M_4^3$  ed  $M_4'^3$  sono inscritte nello stesso cono di vertice  $R$ , e la prima contiene la varietà di contatto di questo cono colla seconda, cioè la  $V_3^6$  intersezione della  $M_4'^3$  colla quadrica polare di  $R$  rispetto ad essa „.

È noto che questa  $V_3^6$  è costituita da  $S_2$  di prima specie della  $M_4'^3$ ; si dimostri che essi sono di seconda specie per la  $M_4^3$ , e precisamente sono tangenti alla  $F_2^4$  nei punti della  $C_1^4$ . Infatti gli iperpiani tangenti doppi alla  $F_2'^4$  lungo le coniche situate in questi  $S_2$ , passando per  $R$ , sono uniti nell'omologia, e quindi sono tangenti doppi anche della  $F_2^4$ . Le coniche di contatto con questa superficie avranno per immagine, nella rappresentazione piana, le rette tangenti a  $\gamma$ ; allora le coniche di contatto colla  $F_2'^4$ , dovendo essere le trasformate di quelle nell'omologia, saranno rappresentate, sulla conica  $\gamma$ , da involuzioni degeneri con un unico punto doppio, e quindi sono contenute negli  $S_2$  tangenti ad  $F_2^4$  nei punti della  $C_1^4$ .

Se poi la forma elementare è un fascio di iperpiani il cui  $S_3$  base giace in  $\rho$ , e la terna è costituita dai tre iperpiani  $\alpha\beta\gamma$  della  $\mu_4^3$  passanti per questo  $S_3$ , l'iperpiano  $\tau$  del fascio passante per  $R$  sarà il gruppo polare del prim'ordine di  $\rho$  rispetto ad  $\alpha\beta\gamma$ , e gli elementi  $\alpha'\beta'\gamma'$ , dovendo essere tali che  $(\rho\alpha\tau\alpha') = -\frac{1}{2}$  e quindi  $(\tau\alpha\alpha') = -2$ , apparterranno alla  $\mu_4'^3$ . Dunque: “ La  $\mu_4'^3$  è costituita dagl'iperpiani coniugati armonici di  $\rho$  rispetto alle coppie di iperpiani della  $\mu_4^3$  che con  $\rho$  formano fascio „.

Le due varietà  $\mu_4^3$  e  $\mu_4'^3$  hanno comune una  $\Sigma_3^9$ . Gli iperpiani tangenti alla  $F_2^4$  passanti per  $R$ , i quali costituiscono una  $\Sigma_3^3$ , essendo uniti nell'omologia, sono pure tangenti alla  $F_2'^4$ ; rimane dunque della  $\Sigma_3^9$  comune una  $\Sigma_3^6$ , la quale è costituita dagl'iperpiani tangenti alla  $F_2^4$  nei punti della  $C_1^4$ . Questi iperpiani, infatti, contenendo un  $S_2$  di prima specie della  $M_4'^3$ , sono pure tangenti alla  $F_2'^4$ ; e costituiscono una  $\Sigma_3^3$ , perchè un  $S_2$  arbitrario incontra la  $V_3^6$  in sei punti, per ciascuno dei quali passa un  $S_2$  di questa varietà, che, insieme all' $S_2$  considerato, determina un iperpiano tangente.



Infine, osservando che fra gli iperpiani che toccano la  $F_2^4$  nei punti della  $C_1^4$ , ci sono quelli tangenti doppî della medesima superficie, possiamo enunciare:

“ *Gli iperpiani tangenti doppî della prima superficie di Veronese, sono tangenti semplici della seconda, cioè, la  $\varphi_2^4$  è contenuta nella  $\mu_4'^3$  „.*

## § II.

5. — Proiettando ora da un  $S_1$  di  $S_5$  sopra un  $S_3$  duale le due superficie di Veronese  $F_2^4$  ed  $F_2'^4$ , si otterranno due superficie di Steiner  $\sigma$  e  $\sigma'$ ; la  $C_1^4$  viene a proiettarsi in una curva gobba di quart'ordine (e di seconda specie) della superficie  $\sigma$ ; le corde di essa saranno le proiezioni degli  $S_1$  nei quali  $\rho$  interseca gli  $S_2$  di prima specie della  $M_4^3$ ; si ha quindi il teorema:

“ *Il luogo dei poli delle corde di una curva gobba di quart'ordine di una superficie di Steiner, rispetto alle coniche della medesima passanti per i loro punti di appoggio è una seconda superficie di Steiner.*

*Se la quartica si scinde in due coniche, il luogo si spezza nei loro piani e in una quadrica tangente alla superficie nel loro punto comune. Le due generatrici della quadrica situate nel piano tangente in quel punto, sono le tangenti in essa alle due coniche „.*

Se l' $S_1$  da cui si fa la proiezione giace nell'iperpiano  $\rho$ , la  $C_1^4$  si proietta in una sezione piana della superficie  $\sigma$ , e ne consegue il citato teorema di Lie.

Se il detto  $S_1$  passa per il punto  $R$ , la  $C_1^4$  si proietta in una assintotica (\*) della superficie  $\sigma$ , e la  $F_2'^4$  ha per proiezione la stessa superficie  $\sigma$ , perchè ogni  $S_2$  proiettante, passando per il centro  $R$  dell'omologia, proietta tanto un punto della  $F_2^4$  che il suo corrispondente della  $F_2'^4$ . Dunque:

“ *Il luogo dei poli delle corde di una assintotica di una superficie di Steiner rispetto alle coniche di essa passanti per i loro punti di appoggio, è la medesima superficie di Steiner „.*

A questo teorema si può dare un'altra forma. Una conica

---

(\*) Ciò risulta dalla rappresentazione piana della superficie di Steiner, perchè le coniche involuppo aderenti alle immagini delle assintotiche, rappresentano i punti dell' $S_1$  da cui è fatta la proiezione.



della superficie si appoggia in due punti a ciascuna assintotica; il polo, rispetto alla conica medesima, della corda comune, dovendo essere un punto della superficie, sarà situato sull'altra conica in cui il piano della prima interseca ulteriormente la superficie. Dunque:

*“ In una superficie di Steiner, le corde che una conica ha comuni colle assintotiche, inviluppano una seconda conica, che è la polare reciproca, rispetto alla prima, di quella nella quale il suo piano interseca ulteriormente la superficie „.*

6. — Ritornando al caso in cui la curva del quart'ordine non è assintotica, si osservi che le due superficie  $\sigma$  e  $\sigma'$  hanno comune la curva del quart'ordine considerata, e che i piani tangenti alla prima superficie nei punti di quella curva sono tangenti (altrove) anche alla seconda.

Ciò è reso manifesto dal fatto che l'iperpiano proiettante un  $S_2$  tangente a  $F_2^4$  in un punto della  $C_1^4$ , è tangente anche a  $F_2'^4$ .

Inoltre, poichè la  $M_4'^3$  contiene la  $\varphi_2^4$ , i quattro iperpiani tangenti doppî alla  $F_2^4$  passanti per l' $S_1$  da cui è fatta la proiezione, saranno tangenti semplici della  $F_2'^4$ . Dunque:

*“ I piani tangenti doppî della superficie  $\sigma$  sono tangenti semplici a  $\sigma'$  „.*

7. — Alcune altre conseguenze notevoli si ottengono collocando l' $S_1$  da cui si fa la proiezione in posizione particolare rispetto alle due superficie  $F_2^4$  ed  $F_2'^4$ .

Se il detto  $S_1$  si appoggia in un punto  $M$  alla  $F_2'^4$ , la proiezione  $\sigma'$  è una superficie gobba del terzo grado (\*) e la  $C_1^4$  si proietta in una quartica di  $\sigma$  passante per i punti cuspidali di una sua retta doppia; perchè, essendo  $M$  della superficie  $F_2'^4$ , i due punti in cui la  $C_1^4$  si appoggia alla conica di  $F_2^4$  situata nel-

---

(\*) Non è da pensare che del luogo faccia pure parte un piano, perchè se consideriamo questo caso particolare come limite del generale, facendo avvicinare indefinitamente ai due punti cuspidali di una direttrice doppia i suoi due punti di appoggio colla quartica, il punto del luogo corrispondente a quella retta doppia (considerata come conica della superficie), è un punto sempre perfettamente determinato che tenderà verso una posizione limite.



$l'S_2$  di prima specie passante per  $M$ , saranno i punti di contatto delle tangenti condotte ad essa dal punto  $M$ . Avremo dunque il teorema:

*“ Se la curva del quart'ordine della superficie  $\sigma$  passa pei due punti cuspidali di una sua retta doppia, il luogo dei poli è una superficie gobba del terzo grado „.*

Analogamente:

*“ Se la curva del quart'ordine della superficie  $\sigma$  passa pei punti cuspidali di due sue rette doppie, il luogo dei poli si riduce ad una quadrica „.*

Facendo appoggiare  $l'S_1$  in un punto alla  $F_2^4$ , questa si proietta in una superficie gobba del terzo grado, e la  $C_1^4$  in una sua quartica di 2<sup>a</sup> specie del sistema  $\infty^5$  che ammette le generatrici per corde; quindi:

*“ In una superficie gobba del 3° grado, il luogo dei poli delle corde di una quartica di 2<sup>a</sup> specie (del sistema che ammette le generatrici come bisecanti) rispetto alle coniche della superficie passanti pei loro punti di appoggio, è una superficie di Steiner „.*

Proiettando da un  $S_1$  appoggiato in un punto a ciascuna superficie di Veronese, si ha il teorema:

*“ Se la curva del quart'ordine della superficie gobba del terzo grado passa dei punti cuspidali della sua direttrice doppia, il luogo dei poli è pure una superficie gobba del terzo grado „.*

In particolare la  $C_1^4$  si proietta in un'assintotica della prima superficie, se  $l'S_1$  passa per  $R$ ; allora le due superficie di Veronese hanno la stessa proiezione, dunque:

*“ Se la curva del quart'ordine è un'assintotica della superficie del terzo grado, il luogo dei poli è la superficie medesima „.*

Da cui discende la proprietà;

*“ Le corde che una conica di una superficie gobba di terzo grado ha comuni colle assintotiche, inviluppano un punto, che è il polo rispetto alla conica medesima della generatrice della superficie esistente nel suo piano „.*



*Sulla trasformazione dell'intorno di un punto  
per una corrispondenza birazionale fra due spazi;*

Nota di BEPPO LEVI, a Torino.

Nel dicembre 1897 l'Accademia accoglieva nei suoi *Atti* (vol. 33) una mia nota in cui davo la *Risoluzione delle singolarità puntuali delle superficie algebriche*, ed in cui enunciavo al n° 1 una proposizione, fondamentale pel seguito del lavoro, relativa al modo di trasformarsi dell'intorno di un punto per effetto di una trasformazione birazionale dello spazio. Quanto alla dimostrazione della medesima, io la riservavo ad altra occasione, e mi limitavo a dare in nota alcuni cenni i quali indicassero una via che si può tenere per detta dimostrazione <sup>(1)</sup> e, quanto meno, dessero l'intuizione della proposizione medesima. Ciò nondimeno la mancata prova può menomare, agli occhi del lettore, l'attendibilità dei risultati. Ragion per cui porgerò qui il necessario complemento. Ragionerò costantemente, per fissare le idee, di spazi a tre dimensioni; ma i fatti medesimi, colle stesse dimostrazioni, si estendono, fatte le necessarie modificazioni, a trasformazioni fra spazi ad un numero qualunque di dimensioni.

1. — Due spazi  $\Sigma$  e  $\Sigma'$  siano riferiti fra loro per mezzo di una trasformazione birazionale  $\Theta$ . Siano  $x_1 x_2 x_3 x_4$  le coordinate omogenee di un punto  $x$  di  $\Sigma$ ,  $x'_1 x'_2 x'_3 x'_4$  quelle del punto  $x'$  di  $\Sigma'$  corrispondente ad  $x$ : la trasformazione è rappresentata analiticamente dalle equazioni:

$$\begin{array}{ll} (1) & \rho x_i = f_i(x'_j) \\ (1') & \sigma x'_j = \varphi_j(x_i) \end{array} \quad \left( \begin{array}{l} i \\ j \end{array} = 1, 2, 3, 4 \right)$$

<sup>(1)</sup> Cfr. particolarmente la nota 2<sup>a</sup> a pag. 6.



dove  $f_i, \varphi_j$  sono (convenienti) funzioni algebriche razionali omogenee delle rispettive variabili.

Si diranno *regolari* per la trasformazione  $\Theta$  quelle coppie di punti corrispondenti  $(x, x')$  per cui non sono nulli nè tutti i membri a destra delle equazioni del sistema (1), nè tutti quelli delle equazioni del sistema (1'). *Ciascuno dei punti di una coppia regolare è individuato dall'altro punto della coppia medesima*: i due punti si diranno essi medesimi *regolari*. Reciprocamente, *se una coppia di punti  $(x, x')$  è tale che ciascuno di essi individua l'altro come suo corrispondente, la coppia medesima è regolare*. Infatti si assumano come coordinate non omogenee in  $\Sigma$  e  $\Sigma'$  rispettivamente i rapporti  $\frac{x_k}{x_4}, \frac{x'_h}{x'_4}$  ( $k, h = 1, 2, 3$ ) e si supponga che, per una coppia  $(x, x')$  di punti corrispondenti, si annullino tutte le  $f$  (o tutte le  $\varphi$ ). Per un noto teorema del Weierstrass <sup>(1)</sup>, uno qualunque dei rapporti  $\frac{x_k}{x_4} \left( \text{o } \frac{x'_h}{x'_4} \right)$  può assumere un valore arbitrariamente fissato a priori <sup>(2)</sup> quando si facciano tendere secondo una legge (cammino) conveniente le  $x'_i$  (o le  $x_i$ ) al valore che esse hanno in  $x'$  (o in  $x$ ). Al punto  $x'$  (o al punto  $x$ ) corrispondono quindi, se la coppia non è regolare, infiniti punti nell'altro spazio.

*Condizione necessaria e sufficiente perchè una coppia di punti sia regolare per una data trasformazione birazionale è che essi vi si corrispondano biunivocamente.*

<sup>(1)</sup> *Einige auf der Th. d. analytischen Functionen mehrerer Veränderlichen sich beziehende Sätze.* " Abh. aus d. Functionenlehre „, Berlin, 1886, p. 130-31 (oppure " Mathematische Werke „, vol. 2°).

<sup>(2)</sup> Non si può invece fare assumere valori arbitrari insieme a tutti i rapporti  $\frac{x_k}{x_4} \left( \text{o } \frac{x'_h}{x'_4} \right)$  (V. AUTONNE, *Sur les pôles des fonctions uniformes à plusieurs variables indépendantes*, " Acta math. „, 21, 1897 e " Comptes rendus „, CXXIII, 1896 (p. 139-142) e *Sur les expressions  $\frac{0}{0}$  etc.* " Nouvelles Annales „, 1897). Questo fatto è evidente a chi ricordi che, nei casi più semplici di trasformazioni birazionali (p. e. quadratiche) il sistema delle  $\frac{x_k}{x_4}$  prende al più  $\infty^2$  valori, e precisamente raggiunge gli  $\infty^2$  quando il punto  $x'$  è fondamentale isolato (cfr. n° 4).



2. — Se la coppia  $(x x')$  di punti non è regolare per la trasformazione, il punto  $x$  o il punto  $x'$  si dirà *fondamentale* pel suo spazio a seconda che sono nulle tutte le  $\varphi(x_i)$  o tutte le  $f(x'_j)$ . Tutti e soli i punti fondamentali di uno spazio sono punti base del sistema omoloidico dello spazio medesimo che definisce la trasformazione. Se tutti i punti di una linea sono fondamentali, la linea medesima si dirà *linea fondamentale*.

Ad ogni punto fondamentale corrisponde una varietà infinità di punti che costituisce un sistema di linee e di superficie. La determinazione di queste varietà fu trattata a più riprese dal sig. Autonne<sup>(1)</sup>. Per quanto segue essa non ha interesse.

3. — Il punto  $x'$  sia fondamentale per  $\Sigma'$ ; le coordinate d'ogni altro punto dello spazio si possono rappresentare con  $x'_h + \xi_h$  ( $h = 1, 2, 3$ ),  $x'_4$ . Le  $\xi_h$  possono allora assumersi come coordinate omogenee (nella stella) della retta o direzione  $\xi$  che congiunge  $x'$  col punto considerato: preferirò la denominazione di direzione quando le  $\xi_h$  sono infinitesime.

Si ha, per ipotesi,  $f_i(x'_j) = 0$  ( $i, j = 1, \dots, 4$ ); si supponga che siano inoltre nulle in  $x'$  tutte le derivate parziali delle  $f_i$  d'ordine  $\leq v - 1$  e non tutte quelle d'ordine  $v$ .

Ponendo, come d'uso:

$$\Delta = \frac{\partial}{\partial x'_1} \xi_1 + \frac{\partial}{\partial x'_2} \xi_2 + \frac{\partial}{\partial x'_3} \xi_3,$$

si avrà:

$$(2) \quad \rho x_i = \frac{1}{v!} \Delta^v f_i(x'_j) + \frac{1}{(v+1)!} \Delta^{v+1} f_i(x'_j) + \dots$$

dove  $\Delta^v f_i(x'_j)$  non sarà identicamente nullo per ogni  $i$ .

Si facciano tendere le  $\xi_h$  a 0 in un modo qualsiasi, purchè tale che gli ordini infinitesimali delle  $\Delta^v f_i(x'_j)$  rispetto a  $\sqrt{\xi_1^2 + \xi_2^2 + \xi_3^2}$  non risultino tutti  $> v$ , cioè purchè il limite verso

---

<sup>(1)</sup> Ll. cc. Inoltre: *Sur les variétés unicursales à trois dimensions*, "Comptes rendus", 1895 (9 e 30 dic.), t. 121, e, per le trasformazioni fra varietà a due dimensioni, *Sur les pôles des fonctions uniformes à deux variables indépendantes* ("Rend. Circ. Mat. Palermo", X, 1896). — Vuolsi pure ricordare la memoria del sig. NOETHER, *Zur Theorie des eindeutigen Entsprechens algebraischer Gebilde von beliebig vielen Dimensionen* ("Math. Ann.", 2, p. 293) dove la ricerca è però poco approfondita, essendo diverso l'oggetto principale.



cui tende la direzione  $\xi$  non appartenga a tutti i coni  $\Delta_v f_i(x'_j)=0$ ; si potrà allora, al limite, sostituire al sistema (2) il sistema

$$(3) \quad \rho x_i = \Delta_v f_i(x'_j) \quad (i, j = 1, \dots, 4)$$

ove  $\rho$  ha valore diverso dal precedente. E poichè, per ipotesi, non tutte le equazioni (3) hanno il secondo membro nullo per le  $\xi$  considerate, *a ciascuna di queste corrisponde un punto  $x$  unico e determinato.*

4. — Per determinati valori delle  $x_i$  le 4 equazioni (3) (in tre sole incognite non omogenee) sono incompatibili, oppure una di esse è conseguenza delle rimanenti tre. Si supponga che sia la quarta conseguenza delle prime tre e si consideri il sistema:

$$(3') \quad \rho x_k = \Delta_v f_k(x'_j) \quad (k = 1, 2, 3).$$

Si indichi con  $M$  la matrice dei coefficienti dei secondi membri delle (3'): possono presentarsi tre casi:

1° Per ogni sistema generico di valori delle  $x_k$  ( $k = 1, 2, 3$ ) le (3') sono compatibili e fra loro indipendenti, cioè non è nullo identicamente il jacobiano dei secondi membri delle (3') rispetto alle  $\xi_k$  <sup>(1)</sup> e non è quindi nullo per valori generici delle  $\xi_k$  (corrispondenti a valori generici delle  $x_k$ ).

*A ogni sistema generico di valori delle  $x_k$  corrisponde quindi almeno una direzione  $\xi$  uscente da  $x'$  e, per la birazionalità e la continuità della corrispondenza, una sola; e reciprocamente ad ogni direzione generica  $\xi$  corrisponde un unico valore delle  $\rho x_k$ , anzi delle  $\rho x_i$ . Il luogo dei punti  $x$  corrispondenti alle direzioni uscenti da  $x'$  è quindi una superficie. Il punto  $x'$  si dirà *fondamentale isolato* <sup>(2)</sup>.*

---

<sup>(1)</sup> Per la condizione necessaria e sufficiente perchè il jacobiano di tre curve si annulli vedi LEVI ALBERTO, *Sulle singolarità della jacobiana di quattro superficie*, "Giornale di Battaglini", (2), 3, n° 2.

<sup>(2)</sup> Secondo il sig. Autonne "zenit". Lo chiamo fondamentale isolato perchè il suo caso tipico è quello di un punto base isolato del sistema omaloidico. La presenza di un tal punto sopra una linea fondamentale può considerarsi come accidentale.



Sono eccezionali le direzioni per cui è nullo il jacobiano delle  $\Delta' f_k(x'_j)$  (fra cui sono comprese quelle per cui sono nulli i secondi membri delle (3')) e i punti  $x$  corrispondenti: le direzioni eccezionali formano quindi una semplice infinità.

5. — 2° È identicamente nullo il jacobiano delle (3') rispetto alle  $\xi_h$ : per valori arbitrari dati alle  $x_k$  le (3') sono incompatibili, ovvero una di esse è conseguenza delle rimanenti due: in quest'ultima ipotesi anche la 4<sup>a</sup> delle (3) è conseguenza delle stesse due, per un'ipotesi precedente. Quindi il sistema (3) si riduce al sistema di al più due equazioni, che si possono supporre le prime due. Precisamente queste due equazioni saranno indipendenti se non sono nulli tutti i determinanti del secondo ordine tratti da M (formati colle sue prime due linee). Eliminando  $\rho$  fra le due equazioni si ha allora:

$$(3'') \quad x_2 \Delta' f_1(x'_j) - x_1 \Delta' f_2(x'_j) = 0 \quad (j = 1, \dots, 4).$$

Quindi, mentre ad ogni direzione  $\xi$  per cui  $\Delta' f_i(x'_j) \neq 0$  corrisponde un unico punto  $x$ , a un dato valore di  $\frac{x_1}{x_2}$  corrisponde tutto un cono di direzioni appartenente al fascio (3'') (ove  $x_1, x_2$  sono parametri) alle quali le (3) fanno corrispondere uno stesso punto. I punti  $x$  corrispondenti alle direzioni uscenti da  $x'$  costituiscono quindi una linea (razionale) proiettivamente riferita al fascio (3'').

Sono eccezionali, in quanto non hanno un unico punto corrispondente, le direzioni base del fascio, perchè per esse si annullano tutte le  $\Delta' f_i(x'_j)$  (cfr. n° 3): per la stessa ragione può ancora esistere un cono di direzioni eccezionali, il cono che eventualmente fosse comune a tutte le  $\Delta' f_i(x'_j) = 0$ .

Il punto  $x'$  si dirà *punto di linea fondamentale* <sup>(1)</sup>.

---

(<sup>1</sup>) Adotto questa denominazione perchè il caso tipico di un punto di questa specie è quello di un punto generico di una linea fondamentale: però esistono punti di questa natura che non appartengono ad alcuna linea fondamentale, e non sono difficili a costruirsi. Il punto apparterrà certamente ad una linea fondamentale se, ripetendo il procedimento indicato al n° 7 si cadrà sempre in questo 2° caso. Seguendo il sig. Autonne il



6. — 3° Sono nulli tutti i suddeterminanti estratti da M. Quando, per date  $x_i$ , le equazioni (3) sono compatibili, si riducono ad una sola, che si può supporre la prima:

$$(3''') \quad \rho x_1 = \Delta^v f_1(x'_j).$$

I rapporti delle  $x_i$  sono allora indipendenti dalle  $\xi_h$ ; a tutte le direzioni per cui non è nullo il secondo membro della (3''') corrisponde un unico punto  $x$ . Il cono  $\Delta^v f_1(x'_j) = 0$  è cono di direzioni eccezionali, per cui sono nulle tutte le  $\Delta^v f_i(x'_j)$ . Il punto  $x'$  si dirà *fondamentale del 3° tipo*.

7. — In ogni caso, corrispondentemente a quelle direzioni eccezionali per cui si annullano tutte le  $\Delta^v f_i(x'_j)$ , si potrà operare sul sistema (2), in cui si considerino le  $x'$  come costanti e le  $\xi$  come variabili, come si è operato sul sistema (1). Dette  $\xi_h^0$  le coordinate di una determinata di dette direzioni, si porrà cioè in (2)  $\xi_h = \theta(\xi_h^0 + \xi_h)$  ( $h = 1, 2, 3$ ;  $\theta$  coefficiente di proporzionalità che si dovrà rendere infinitesimo) e si svilupperà  $\rho x_i$  in funzione delle  $x'_j$  e delle  $\xi_h^0$ , costanti, e delle  $\xi_h$ , nuove variabili. Si otterrà un nuovo sistema (4) analogo a (2) e da questo, al limite per  $\xi_h = 0$ , un sistema (5) analogo a (3) <sup>(1)</sup>. Su (5) si ripeteranno considerazioni analoghe alle precedenti dei n° 4, 5, 6, e così di seguito.

Ma, senza ricorrere a questa via analitica, si potrà ricondurre lo studio delle direzioni eccezionali a quello dei punti fondamentali per mezzo di trasformazioni semplici, p. e. quadrate, dello spazio. Di questo secondo metodo farò maggior cenno al n° 14.

---

punto  $x'$  si direbbe allora un "nadir", e si potrebbe enunciare che non esistono nadir isolati.

<sup>(1)</sup> Questo sistema dovrà possedere, come il sistema (3), 4 sole variabili omogenee, mentre qui ne compaiono apparentemente 5:  $\rho \theta \xi_1 \xi_2 \xi_3$ : egli è che, a causa dell'annullarsi delle  $\Delta^v f_i(x'_j)$ , si può sostituire alle  $\xi_h$  le

$$\theta_2 = \xi_1 \xi_2 - \xi_2 \xi_1, \quad \theta_3 = \xi_1 \xi_3 - \xi_3 \xi_1$$

e le equazioni (5) risultano omogenee in  $\theta \theta_2 \theta_3$  e in un coefficiente di proporzionalità per le  $x_i$  che si potrà ancora indicare con  $\rho$ .



\*  
\* \*

Studierò ora il modo di operare della trasformazione  $\Theta$  riguardo all'intorno di un punto sopra una varietà (curva o superficie) quando il punto appartiene ad una coppia regolare e quando è fondamentale.

8. — *Due varietà trasformate l'una nell'altra dalla trasformazione  $\Theta$  hanno le stesse molteplicità in una coppia di punti corrispondenti regolare per la medesima.*

Siano  $A$  ed  $A'$  i due punti considerati, rispettivamente in  $\Sigma$  e  $\Sigma'$ ;  $\Gamma$  e  $\Gamma'$ ,  $F$  e  $F'$  una coppia di curve e una coppia di superficie corrispondentisi rispettivamente per  $\Theta$  e passanti per  $A$  e per  $A'$ . Si supponga che  $\Gamma$  e  $F$  non si tocchino in  $A$  e vi abbiano rispettivamente le molteplicità  $\sigma$  e  $s$ : si faccia subire a  $\Gamma$  uno spostamento infinitesimo conducendola in  $\Gamma_1$ , non passante per  $A$ .  $\Gamma_1$  e  $F$  avranno comuni fuori di  $A$ , ma infinitamente prossimi ad  $A$ ,  $s\sigma$  punti semplici per entrambe, in cui non si toccano; quindi hanno infinitamente prossime ad  $A$   $s\sigma$  intersezioni. Altrettante ne avranno  $\Gamma'_1$  (corrispondente per  $\Theta$  a  $\Gamma_1$ ) e  $F'$ , infinitamente prossime ad  $A'$ .

Se ora si fa di nuovo tendere  $\Gamma_1$  a  $\Gamma$ , gli  $s\sigma$  punti comuni a  $F$  e  $\Gamma_1$  tendono ad  $A$ , e, essendo regolare la coppia  $A A'$ , gli  $s\sigma$  punti corrispondenti comuni a  $\Gamma'_1$  e a  $F'$  tenderanno ad  $A'$ , mentre  $\Gamma'_1$  tende a  $\Gamma'$ . La molteplicità d'intersezione di  $\Gamma'$  e  $F'$  in  $A'$  è quindi  $s\sigma$  <sup>(1)</sup>.

Ciò posto: 1° Sia  $s = 1$ ,  $\sigma = 1$ ;  $s\sigma = 1$ ; quindi  $A'$  è anch'esso semplice su  $F'$  e su  $\Gamma'$  e le due varietà non vi si toccano.

2° Sia  $s = 1$ ,  $\sigma$  qualunque;  $F'$  avrà in  $A'$  punto semplice,  $\Gamma'$  punto  $\sigma'$ -plo essendo  $\sigma' \leq \sigma$  (se fosse  $\sigma < \sigma$ ,  $\Gamma'$  e  $F'$  dovrebbero essere tangenti in  $A'$ ). Ma scambiando le lettere cogli

---

(1) Si potrebbe temere che gli  $s\sigma$  punti comuni a  $\Gamma'_1$  e a  $F'$  infinitamente prossimi ad  $A'$  fossero multipli per la loro intersezione: allora la molteplicità d'intersezione di  $\Gamma'$  e  $F'$  in  $A'$  sarebbe  $i' > s\sigma$ ; ma nello stesso modo, scambiando le funzioni dei due spazi  $\Sigma$  e  $\Sigma'$  si ottiene, per la molteplicità d'intersezione di  $\Gamma$  e  $F$  in  $A$ :  $i = s\sigma \geq i'$ ; quindi  $i = i' = s\sigma$ , e gli  $s\sigma$  punti comuni a  $\Gamma'_1$  e  $F'$  sono semplici.



apici e quelle senza si ha parimenti  $\sigma \leq \sigma'$  (poichè si può sempre determinare una superficie  $F'_1$  passante per  $A'$  con punto semplice e non tangente ivi a  $\Gamma'$ ); quindi  $\sigma = \sigma'$  ed  $F'$  e  $\Gamma'$  non si toccano in  $A'$ .

3° Sia  $s$  qualunque,  $\sigma = 1$ ; come in 2°, scambiandovi  $s$  e  $\sigma$ ,  $F$  e  $\Gamma$ ,  $F'$  e  $\Gamma'$ , si otterrà che  $F'$  ha in  $A'$  punto  $s$ -plo e non vi è tangente a  $\Gamma'$ .

4°  $s$  e  $\sigma$  siano ora qualunque;  $F'$  e  $\Gamma'$ , avendo in  $A'$  riunite  $s\sigma$  intersezioni, ed avendovi molteplicità rispettivamente  $s$  e  $\sigma$  (2° e 3°), non vi si toccano; reciprocamente se non si toccano in  $A'$   $F'$  e  $\Gamma'$ ,  $F$  e  $\Gamma$  non potranno toccarsi in  $A$  cosicchè *la corrispondenza fra i punti  $A$  e  $A'$  è tale che le direzioni uscenti da essi si corrispondono biunivocamente — senza elementi eccezionali e quindi in una proiettività non degenerare: se una varietà di  $\Sigma$  passa per  $A$  essendo tangente ad una data direzione, la varietà corrispondente in  $\Sigma'$  passa per  $A'$  essendo tangente alla direzione a questa corrispondente* (1).

9. — Si assoggetti  $\Sigma$  ad una trasformazione quadratica  $T$  avente in  $A$  il suo punto fondamentale isolato e di cui si chiami  $C$  il cono fondamentale; sia  $\Sigma_1$  lo spazio trasformato,  $\omega_1$  il suo piano fondamentale,  $c_1$  la conica fondamentale. Si assoggetti similmente  $\Sigma'$  ad una trasformazione quadratica  $T'$  avente in  $A'$  il suo punto fondamentale isolato e di cui il cono fondamentale  $C'$  sia il cono delle direzioni della stella  $A'$  corrispondenti alle direzioni delle generatrici di  $C$  a causa di  $\Theta$ . Siano  $\Sigma'_1$  lo spazio trasformato,  $\omega'_1$  il suo piano fondamentale,  $c'_1$  la conica fondamentale.

Si chiamino corrispondenti due punti di  $\Sigma_1$  e  $\Sigma'_1$  che siano trasformati rispettivamente di punti o direzioni di  $\Sigma$  e di  $\Sigma'$  corrispondenti. Ad un punto di  $\omega_1$  fuori di  $c_1$  corrisponde birazionalmente (proiettivamente) per  $T$  una direzione della stella  $A$  non appartenente a  $C$ ; a tale direzione corrisponde per  $\Theta$  biunivocamente una direzione della stella  $A'$  non appartenente a  $C'$  (n° 8), e a quest'ultima per  $T'$  un punto di  $\omega'_1$  fuori di  $c'_1$ .

---

(1) Teorema valido, com'è noto, per trasformazioni assai più generali. Cfr., per le trasformazioni  $(n, 1)$ , REYE: *Ueber Coordinaten-Transformationen n<sup>ten</sup> Grades*, "Crelle's Journal", t. 94, pag. 312 e seg. (precisamente pag. 314)



I punti di  $\omega_1$  e  $\omega'_1$  (fuori di  $c_1$  e  $c'_1$ ) sono adunque regolari per la corrispondenza fra  $\Sigma_1$  e  $\Sigma'_1$  (n° 1) ed hanno in varietà corrispondenti pari molteplicità. Su una coppia di questi punti corrispondenti si operi come or ora su  $A$  e  $A'$  e così si prosegua; si otterrà che *se due varietà sono trasformate l'una nell'altra per una corrispondenza birazionale dello spazio, punti corrispondenti regolari, hanno sulle due varietà e lungo rami corrispondenti gli stessi caratteri di composizione* <sup>(1)</sup>.

10. — I ragionamenti dei n° 8 e 9 si possono ripetere invariati per un punto  $A$  fondamentale del terzo tipo (n° 6), quando si supponga che il punto  $A'$  corrispondente non sia fondamentale oppure sia esso pure fondamentale del terzo tipo e quando si considerino quelle sole coppie di direzioni corrispondenti in cui ne l'una nè l'altra direzione è eccezionale. Si ha quindi che *allora la corrispondenza fra i punti  $A$  e  $A'$  è tale che fra le due stelle di direzioni uscenti da questi punti è definita una corrispondenza biunivoca, i cui elementi fondamentali cadono in direzioni eccezionali: se una varietà di  $\Sigma$  passa per  $A$  con una direzione non eccezionale, nè corrispondente, nel detto riferimento, ad una direzione eccezionale uscente da  $A'$ , la varietà corrispondente passa per  $A'$  colla direzione a quella corrispondente; e le due varietà hanno, su rami corrispondenti aventi quelle direzioni, gli stessi caratteri di composizione.*

11. — Si supponga ora il punto  $A$  fondamentale isolato per  $\Theta$ ; sia  $\omega'$  la superficie di  $\Sigma'$  luogo dei punti corrispondenti alle direzioni generiche della stella  $A$  (n° 4) e sia  $c'$  l'insieme

---

<sup>(1)</sup> Cfr. la precedente mia nota in questi "Atti", vol. 33, n° 1, 1°.

Evidentemente le stesse dimostrazioni si applicano al piano. A questo proposito e in connessione con una postilla al detto n° 1, 1°, osserverò che da questa invarianza dei caratteri di composizione si deduce l'invarianza dell'influenza del punto nell'abbassamento della classe e del genere: è però chiaro che essa non è condizione necessaria per quest'ultima: e questa, per quanto riguarda il genere, fu già provata dal sig. De Franchis al n° 10 della sua memoria: *Sopra una teoria geometrica delle singolarità di una curva algebrica piana* ("Rend. Circ. Mat. Palermo", XI, 1897).



dei punti e linee di  $\omega'$  che corrispondono a direzioni eccezionali di questa stella, o che sono fondamentali per lo spazio  $\Sigma'$  <sup>(1)</sup>.

Si assoggetti  $\Sigma$  ad una nuova trasformazione  $T$  avente in  $A$  punto fondamentale isolato e che, per fissare le idee, supporrò quadratica, e sia  $\Sigma_1$  lo spazio trasformato: sia  $\omega_1$  il suo piano fondamentale e  $c_1$  la conica fondamentale.  $\Sigma_1$  e  $\Sigma'$  sono riferiti birazionalmente, se si fanno corrispondere punti che siano trasformati per  $T$  e per  $\Theta$  di uno stesso punto di  $\Sigma$ .

Ad un punto di  $\omega'$  che non appartenga a  $c'$  corrisponde per  $\Theta$  il punto  $A$  e una direzione ben determinata uscente da esso; fra queste direzioni ve ne è al più una semplice infinità appartenenti al cono fondamentale  $C$  di  $T$  in  $\Sigma$ ; sia  $c^*$  la varietà (al più semplicemente infinita) dei punti di  $\omega'$  corrispondenti a queste particolari direzioni. Se il punto di  $\omega'$  che si considera non appartiene nemmeno a  $c^*$ , della direzione corrispondente uscente da  $A$  è trasformato per  $T$  un punto ben determinato di  $\omega_1$ , fuori di  $c_1$ ; questo punto corrisponderà nel riferimento fra  $\Sigma'$  e  $\Sigma_1$  al punto considerato di  $\omega'$ . Reciprocamente ad un punto di  $\omega_1$ , fuori di  $c_1$  e della varietà  $c^*_1$  (al più semplicemente infinita) dei punti a cui corrispondono direzioni per  $A$  eccezionali o corrispondenti a punti fondamentali di  $\Sigma'$  su  $\omega'$  (per  $\Theta$ ), corrisponde un punto unico e determinato di  $\omega'$  fuori di  $c'$  e di  $c^*$ .

Per la corrispondenza considerata fra  $\Sigma_1$  e  $\Sigma'$ ,  $\omega'$  e  $\omega_1$  sono superficie trasformate l'una dell'altra, ed i loro punti, fuori di  $c_1$  e di  $c^*_1$  e fuori di  $c'$  e di  $c^*$  rispettivamente, sono regolari. Due qualunque varietà corrispondenti hanno quindi in punti generici corrispondenti di  $\omega'$  e  $\omega$ , la stessa molteplicità e lungo rami corrispondenti per essi la stessa composizione (n° 9): riferendoci allo spazio  $\Sigma$ : ogni varietà  $F$  passante per  $A$  è trasformata per  $\Theta$  in una varietà  $F'$ ; e a ogni ramo su  $F$ , per  $A$ , non tangente alle direzioni eccezionali e alle direzioni cui corrispondono in  $\omega'$  punti fondamentali di  $\Sigma'$  corrisponde un ramo su  $F'$ , sopra il quale i caratteri di composizione di  $F'$  sono uguali a quelli di  $F$  sul ramo corrispondente, ove si sia soppresso il primo <sup>(2)</sup>; essi non dipen-

<sup>(1)</sup> Non possono tutti i secondi membri delle (1) annullarsi in tutti i punti di una superficie  $\Omega = 0$ , perchè dovrebbero in tale ipotesi tutte le  $f_i$  avere a fattor comune  $\Omega$ . Questo fattor comune dovrebbe allora sopprimersi inglobandolo nel  $p$ . I punti fondamentali costituiscono quindi, al più, una varietà semplicemente infinita.

<sup>(2)</sup> Cfr. la precedente nota già citata n° 1, 2°.



dono quindi dalla particolar trasformazione  $\Theta$ , ma solo dal fatto che  $\Theta$  ha punto fondamentale isolato in  $A$  e non ha la direzione del ramo come eccezionale nè corrispondente a punti fondamentali. In particolare i caratteri di composizione sono indipendenti dalle particolari trasformazioni quadratiche che servono a definirli.

12. — Il punto  $A$  sia infine punto di linea fondamentale per la trasformazione  $\Theta$ . Sia  $w'$  la linea corrispondente di  $\Sigma'$  e si supponga che non tutti i punti di  $w'$  siano fondamentali in  $\Sigma'$  <sup>(1)</sup>. Si assoggetti  $\Sigma'$  ad una nuova trasformazione  $T$  avente  $w'$  come linea fondamentale ordinaria, cioè semplice per le superficie del sistema omaloidico e a piani tangenti alle medesime in ogni punto, variabili (p. e., ad un'ordinaria trasformazione monoidale <sup>(2)</sup>). Sia  $\Sigma''$  lo spazio trasformato. Ogni punto di  $w'$  si trasforma in una linea di  $\Sigma''$  e l'insieme di tutte queste linee è un sistema  $\infty^1$  (razionale)  $\phi''$  in una superficie  $w''$ : sola direzione eccezionale per ciascun punto di  $w'$  è la tangente ad  $w'$ . Il prodotto  $\Theta T$  riferisce birazionalmente fra loro i due spazi  $\Sigma$  e  $\Sigma''$  per modo che alle direzioni generiche uscenti da  $A$  corrispondono i punti di  $w''$  <sup>(3)</sup>. Il punto  $A$  è dunque fondamentale isolato per questa trasformazione; ed il suo fascio di direzioni  $\Phi$  analogo a (3'') si trasforma per essa nel fascio di curve  $\phi''$ .

Si fissi un punto  $P'$  generico di  $w'$ , il quale cioè non sia fondamentale in  $\Sigma'$  per la trasformazione  $\Theta$ ; sia  $\Pi$  il cono di direzioni del fascio  $\Phi$  che gli corrisponde,  $p''$  la curva corrispondente del fascio  $\phi''$ . Nella stella  $P'$  è definito un fascio analogo a (3'') relativo alla trasformazione  $T$ : poichè, per ipo-

---

<sup>(1)</sup> Con che si esclude che il punto appartenga ad una linea fondamentale del tipo p. e. di quelle della trasformazione cubica a tetraedro fondamentale (linea fondamentale di 2<sup>a</sup> specie (*Art*) secondo il sig. Kantor. Cfr. "Acta Mathematica", t. 21).

<sup>(2)</sup> V. DE PAOLIS, *Sopra un sistema omaloidico formato di superficie di ordine  $n$  con un punto  $(n-1)plo$* , "Giornale di Battaglini", 13, 1875, pag. 226 e 282).

<sup>(3)</sup> Qui è essenziale la condizione che non tutti i punti di  $w'$  siano fondamentali per  $\Theta$  poichè solo allora si può affermare che tutti i punti di una curva generica di  $\phi''$  corrispondono all'unico punto  $A$ ; e quindi corrispondono ad  $A$  tutti i punti generici di  $w''$ .



tesi  $w'$  è linea fondamentale per  $T$ , questo fascio sarà quello dei piani tangenti in  $P'$  a  $w'$  <sup>(1)</sup>. Ad ogni piano del fascio corrisponde un punto di  $p''$  (n° 5); d'altra parte ad ogni punto generico di  $p''$  corrisponde una direzione unica e determinata di  $\Pi$ , poichè  $A$  è fondamentale isolato nella trasformazione di  $\Sigma$  in  $\Sigma''$  (n° 4): ne segue che per la trasformazione  $\Theta$  ad ogni direzione non eccezionale appartenente ad un cono del fascio  $\Phi$  (cui non corrisponda in  $\Sigma'$  un punto fondamentale), corrisponde una giacitura (insieme delle direzioni di un fascio) uscente dal punto di  $w'$  corrispondente a quel cono, ed appartenente ad un piano tangente ad  $w'$  in questo punto; e reciprocamente. Le giaciture cui corrispondono direzioni eccezionali formano una semplice infinità <sup>(2)</sup>: corrispondono alle direzioni eccezionali tutte le loro direzioni.

13. — Si assoggetti  $\Sigma$  ad una nuova trasformazione  $\Theta_1$  per cui  $A$  sia punto di linea fondamentale ed in cui, a meno di eventuali coni fissi, il fascio analogo a  $(3'')$  sia il medesimo che per la trasformazione  $\Theta$ . Sia  $\Sigma'_1$  il nuovo spazio trasformato,  $w'_1$  la sua linea corrispondente ad  $A$  ed ancora non tutti i suoi punti siano fondamentali per  $\Theta_1$ . Applicando il teorema precedente si vede che nella corrispondenza fra  $\Sigma'$  e  $\Sigma'_1$  definita dal corrispondersi punti omologhi ad uno stesso punto di  $\Sigma$ , le due linee  $w'$  e  $w'_1$  sono fra loro corrispondenti; e la corrispondenza fra i loro punti, considerati in quanto appartengono a  $\Sigma'$  e  $\Sigma'_1$  <sup>(3)</sup> è biunivoca, se si fa astrazione da quelle coppie di cui un punto è fondamentale rispettivamente per  $\Theta$  o per  $\Theta_1$ , e, per le coppie generiche, da quelle direzioni che corrispondono alle direzioni eccezionali della stella  $A$  (n° 12). I punti generici di  $w'$  e  $w'_1$  sono adunque, per la corrispondenza fra  $\Sigma'$  e  $\Sigma'_1$ , o punti regolari, ovvero fondamentali del 3° tipo: in ogni caso due varietà corrispondenti hanno su rami corrispondenti aventi le origini in questi punti e non tangenti alle direzioni eccezionali per essi, la stessa composizione (n° 9 e 10). Si può trasportare la proposizione nello spazio  $\Sigma$  dicendo che tutte le trasformazioni per cui  $A$  è punto di linea fondamentale, colle restrizioni imposte a  $\Theta$  e  $\Theta_1$

<sup>(1)</sup> I coni  $\Delta^i f_i(x'_j) = 0$  essendo allora fasci di piani tangenti in  $P'$  a  $w'$ .

<sup>(2)</sup> Corrispondente alla semplice infinità di punti di  $w''$  corrispondenti alle direzioni eccezionali di  $A$ .

<sup>(3)</sup> (Non solo in quanto appartengono a  $w'$  e a  $w'_1$ ).



*trasformano una stessa varietà in varietà che hanno la stessa composizione sui rami trasformati di rami non aventi direzione eccezionale o direzione cui corrisponda un punto fondamentale* <sup>(1)</sup>.

Può avvenire che le restrizioni fatte in questi enunciati siano eccessive: accadrà questo evidentemente quando, nella corrispondenza sopra stabilita fra  $\Sigma'$  e  $\Sigma'_1$ , i punti generici di  $\omega'$  e  $\omega'_1$  siano regolari; cadrà infatti allora la riserva fatta pei rami di direzione eccezionale. Si presenta questo caso ogni volta che  $A$  è punto generico di una linea, fondamentale tanto per  $\Theta$  quanto per  $\Theta_1$  <sup>(2)</sup>. A questa linea corrispondono infatti in  $\Sigma'$  ed in  $\Sigma'_1$  due superficie, luoghi delle linee trasformate de' suoi punti, le quali, nel riferimento fra  $\Sigma'$  e  $\Sigma'_1$  si corrispondono biunivocamente: e in questa corrispondenza i loro punti generici sono regolari perchè non possono essere fondamentali tutti i punti di una superficie (cfr. una nota al n° 11).

\*  
\* \*

14. — Per quanto riguarda la trasformazione dei rami aventi direzioni eccezionali nulla ci dicono i n° 10-13. Come abbiamo annunciato al n° 7 possiamo ancora qui valerci di trasformazioni semplici, in particolare, quadratiche.

Ad una direzione eccezionale  $d$  uscente da  $A$  corrispondano per  $\Theta$  infiniti punti di  $\Sigma'$ . Si applichi a  $\Sigma$  una trasformazione quadratica avente punto fondamentale in  $A$  e di cui il cono fondamentale non contenga  $d$ : sia  $\Sigma_1$  lo spazio trasformato,  $\omega_1$  il suo piano fondamentale e sia  $D_1$  il punto di  $\omega_1$  corrispondente a  $d$ . Fra  $\Sigma_1$  e  $\Sigma'$  risulta stabilita una corrispondenza birazionale in cui sono riferiti due punti quando corrispondono allo stesso punto di  $\Sigma$ : in esso  $D_1$  sarà punto fondamentale, perchè gli corrispondono infiniti punti di  $\Sigma'$ .

Si potranno quindi applicare le precedenti proposizioni e solo si dovrà osservare che, nel ritornare allo spazio primitivo

---

<sup>(1)</sup> Ricorrendo ad una locuzione introdotta nella mia nota cui questa fa seguito:  $\Theta$  e  $\Theta_1$  sono simili rispetto a tutti i rami non aventi direzione eccezionale o direzione cui corrisponda un punto fondamentale.

<sup>(2)</sup> Cfr. la Nota già citata n° 1, 3°.



$\Sigma$ , alle direzioni uscenti da  $D_1$  corrispondono le *osculazioni* aventi la comune direzione  $d$ .

Le direzioni eccezionali uscenti da  $D_1$  dànno luogo ad *osculazioni eccezionali* aventi la direzione  $d$ . Con una nuova trasformazione quadratica di punto fondamentale  $D_1$  si potrà studiare una qualunque di quelle direzioni e quindi queste osculazioni e così via.

Analogamente si tratterebbe il caso in cui ad una infinità di direzioni uscenti da  $A$  corrispondesse per  $\Theta$  un unico punto di  $\Sigma'$ ; nella corrispondenza fra  $\Sigma'$  e  $\Sigma_1$  sarebbe allora questo, anzichè  $D_1$ , punto fondamentale <sup>(1)</sup>.

---

(1) Il fondamento di questo modo di analizzare le direzioni eccezionali si deve ricercare nel modo analogo di studiare le singolarità delle varietà, in particolare delle superficie algebriche. Di fatto i punti fondamentali di  $\Theta$  p. e. in  $\Sigma'$  sono, come si è osservato (n° 2), i punti base del sistema omaloidico di  $\Theta$  in  $\Sigma'$ : le direzioni per cui  $\Delta' f_i(x'_j) = 0$  sono direzioni comuni a tutte le superficie del sistema, e così via: Considerando come un'unica superficie l'insieme di quattro superficie linearmente indipendenti del sistema, si potrà cercare di risolvere, con trasformazioni semplici, le singolarità della superficie provenienti dall'intersezione delle 4 componenti: se in questo si riesce si sarà ridotto lo studio di  $\Theta$  nell'intorno dei punti fondamentali a quello di una successione di trasformazioni più semplici. Semplicissime sono le trasformazioni quadratiche, ma, come mostrai altrove (" Annali di Matematica „, (2) 26 e (3) 2) non si può per mezzo di tali trasformazioni risolvere ogni punto singolare di una superficie. Trasportate queste conclusioni ai sistemi omaloidici, si avrà che con sole trasformazioni quadratiche, non si può in generale effettuare lo studio completo di un punto fondamentale della trasformazione, in quanto può avvenire che, per quanto si prosegua nelle trasformazioni stesse (lungo convenienti itinerari) si ottengano sempre punti trasformati fondamentali: si otterrà invece la completa riduzione ricorrendo anche alle trasformazioni a linea fondamentale (ordinaria); p. e. a trasformazioni monoidali (V. la mia nota precedente, più volte citata).



*Sul moto spontaneo  
di un corpo rigido in uno spazio di curvatura costante;*

Nota di DOMENICO DE FRANCESCO.

Il Sig. Heath nella sua Memoria *On the Dynamics of a Rigid Body in Elliptic Space* (\*) ha stabilito le seguenti formole differenziali:

$$\begin{aligned}
 (1) \quad & A \frac{d\omega_1}{dt} - (B - H)\omega_2\omega_6 - (G - C)\omega_5\omega_3 = Q_1, \\
 & B \frac{d\omega_2}{dt} - (H - A)\omega_6\omega_1 - (C - F)\omega_3\omega_4 = Q_2, \\
 & C \frac{d\omega_3}{dt} - (A - G)\omega_1\omega_5 - (F - B)\omega_4\omega_2 = Q_3, \\
 & F \frac{d\omega_4}{dt} - (B - C)\omega_2\omega_3 - (G - C)\omega_5\omega_6 = Q_4, \\
 & G \frac{d\omega_5}{dt} - (C - A)\omega_3\omega_1 - (H - F)\omega_6\omega_4 = Q_5, \\
 & H \frac{d\omega_6}{dt} - (A - B)\omega_1\omega_2 - (F - G)\omega_4\omega_5 = Q_6,
 \end{aligned}$$

nelle quali le  $\omega$  sono le sei velocità angolari del corpo rispetto ai sei spigoli di un tetraedro legato invariabilmente al corpo, le  $Q$  sono i sei momenti delle forze applicate, rispetto agli stessi spigoli, ed  $A, B, C, F, G, H$ , coefficienti dipendenti dalla distribuzione della massa del corpo, fra i quali sussistono le relazioni:

$$(2) \quad A + F = B + G = C + H = M,$$

$M$  essendo la massa del corpo.

---

(\*) *On the Dynamics of a Rigid Body in Elliptic Space*. By R. S. HEATH. Communicated by Professor Cayley in "Philosophical Transactions of the Royal Society of London", for the year MDCCCLXXXIV, Vol. 175, part I, p. 316.



Nel caso di un corpo non sollecitato da forze, cioè nel caso che le  $Q$  siano tutte nulle, il Sig. Heath ha trovato tre integrali quadratici delle suddette equazioni, cioè:

$$(3) \quad A\omega_1^2 + B\omega_2^2 + C\omega_3^2 + F\omega_4^2 + G\omega_5^2 + H\omega_6^2 = 2T = \text{cost.}$$

$$(4) \quad A^2\omega_1^2 + B^2\omega_2^2 + C^2\omega_3^2 + F^2\omega_4^2 + G^2\omega_5^2 + H^2\omega_6^2 = K^2 = \text{cost.}$$

$$(5) \quad \frac{a^2\omega_1^2}{1-b^2-c^2} + \frac{b^2\omega_2^2}{1-c^2-a^2} + \frac{c^2\omega_3^2}{1-a^2-b^2} = \text{cost.}$$

avendo posto  $A = Ma^2$ ,  $B = Mb^2$ ,  $C = Mc^2$ .

Il Sig. Heath ha dato anche una soluzione delle equazioni differenziali in termini di funzioni  $\vartheta$  di due variabili, una delle quali è una funzione lineare del tempo; ma, come egli stesso ha osservato, la soluzione non è completa, per difetto del numero delle costanti arbitrarie: essa infatti contiene solo quattro costanti arbitrarie invece di sei.

---

Vi è un quarto integrale non notato dal Sig. Heath, col quale e mediante un teorema dovuto al Prof. Volterra sulla integrazione delle equazioni dei moti spontanei a caratteristiche indipendenti (\*), si può ottenere la soluzione completa.

Il nuovo integrale è il seguente:

$$(6) \quad AF\omega_1\omega_4 + BG\omega_2\omega_5 + CH\omega_3\omega_6 = \text{cost.},$$

che si ottiene sommando le sei equazioni dopo averle ordinatamente moltiplicate per

$$F\omega_4, G\omega_5, H\omega_6, A\omega_1, B\omega_2, C\omega_3.$$

Il teorema del Prof. Volterra, supposto che il numero delle caratteristiche sia  $\nu$ , è il seguente:

---

(\*) VOLTERRA, *Sopra una classe di equazioni dinamiche*. "Atti della R. Acc. delle Scienze di Torino, Vol. XXXIII, Disp. 8<sup>a</sup>, 1897-98, p. 474-475.



*Se, oltre all'integrale delle forze vive, si conoscono  $v - 3$  integrali indipendenti dal tempo delle equazioni d'un moto spontaneo a caratteristiche indipendenti d'ordine  $v$ , ed uno di essi è un integrale di secondo grado (la cui equazione determinante abbia radici diseguali), la determinazione delle caratteristiche si riduce alle quadrature.*

Nel nostro caso il numero delle caratteristiche (le  $w$ ) è 6, ed abbiamo oltre all'integrale delle forze vive (3), altri tre integrali (4), (5) e (6).

Se i prodotti  $AF$ ,  $BG$ ,  $CH$  sono diseguali, sono diseguali, come mostreremo in seguito, anche le radici dell'equazione determinante della (6), epperò in virtù del teorema ricordato, l'integrazione delle (1) si riduce, nel caso generale, alle quadrature.

L'equazione determinante di una funzione  $\varphi$ , omogenea di 2° grado, è l'equazione in  $\lambda$  che risulta ponendo eguale a zero il discriminante della forma quadratica  $\varphi + \lambda T$  (\*). Prendendo per  $\varphi$  la (4), si ha:

$$(2A + \lambda)(2B + \lambda) \dots (2H + \lambda) = 0,$$

la quale ha radici eguali quando due qualunque dei coefficienti  $A, B, C, \dots H$  sono eguali. Se invece si prende per  $\varphi$  la funzione (6), l'equazione determinante è:

$$\begin{vmatrix} A\lambda & 0 & 0 & AF & 0 & 0 \\ 0 & B\lambda & 0 & 0 & BG & 0 \\ 0 & 0 & C\lambda & 0 & 0 & CH \\ AF & 0 & 0 & F\lambda & 0 & 0 \\ 0 & BG & 0 & 0 & G\lambda & 0 \\ 0 & 0 & CH & 0 & 0 & H\lambda \end{vmatrix} = 0,$$

che si riduce a:

$$(\lambda^2 - AF)(\lambda^2 - BG)(\lambda^2 - CH) = 0,$$

---

(\*) VOLTERRA, mem. cit., p. 471.



la quale dimostra quanto abbiamo innanzi asserito, e cioè che per l'applicabilità del teorema con l'integrale (6), basta che i tre prodotti  $AF$ ,  $BG$ ,  $CH$  siano diseguali, pur essendo  $A = F$ , o  $B = G$ , o  $C = H$ .

Se due dei tre prodotti, per esempio  $AF$  e  $BG$  fossero eguali, ne verrebbe per conseguenza, in virtù delle (2):

$$A = B, F = G, \text{ oppure } A = G, B = F,$$

ed in tal caso il teorema non è applicabile, nè coll'integrale (4), nè coll'integrale (6).

Ma anche in tal caso l'integrazione delle (1) si può ridurre del pari alle quadrature, poichè se  $A = B$ , ed  $F = G$ , la sesta delle (1) dà l'integrale  $\omega_6 = \text{cost.}$ ; e se  $A = G$ , e  $B = F$  la terza delle (1) dà  $\omega_3 = \text{cost.}$  Avendosi così cinque integrali delle (1) indipendenti dal tempo, l'equazione del tempo si otterrà con una quadratura.

L'equazioni dei moti spontanei a caratteristiche indipendenti sono state messe dal Prof. Volterra sotto la forma:

$$\frac{dp_s}{dt} = \sum_{kr} e_{skr} \frac{d(T, \varphi)}{d(p_k, p_r)},$$

dove  $T$  è la forza viva,  $\varphi$  è un altro integrale di secondo grado, che ha la proprietà enunciata nel teorema, ed  $e_{skr}$  sono coefficienti costanti che cambiano di segno invertendo due indici.

L'equazioni (1) possono mettersi sotto la stessa forma, sostituendo primieramente:

$$\begin{array}{ll} p_1, p_2, \dots p_6 & \text{ad } \omega_1, \omega_2, \dots \omega_6, \\ A_1, A_2, \dots A_6 & \text{ad } A, B, C, F, G, H; \end{array}$$

e poi mettendo al posto della funzione  $\varphi$  o l'integrale (4), o l'integrale (6). Nel primo caso tutti i coefficienti  $e_{skr}$  sono nulli, tranne:

$$e_{162} = \frac{1}{2A_1A_6A_2}, \quad e_{135} = \frac{1}{2A_1A_3A_5}, \quad e_{243} = \frac{1}{2A_2A_4A_3}, \quad e_{465} = \frac{1}{2A_4A_6A_5}.$$



Nel secondo caso i coefficienti non nulli sono:

$$e_{132} = \frac{1}{A_1 A_3 A_2}, \quad e_{165} = \frac{1}{A_1 A_6 A_5}, \quad e_{246} = \frac{1}{A_2 A_4 A_6}, \quad e_{354} = \frac{1}{A_3 A_5 A_4}.$$


---

Le caratteristiche si riducono a tre, e le equazioni (1) si riducono a quelle di Eulero pel moto spontaneo di rotazione in uno spazio euclideo, in questi due casi: 1° quando il corpo ha un punto fisso; 2° quando sono nulli i valori iniziali di  $\omega_1, \omega_5, \omega_6$ , o di  $\omega_2, \omega_6, \omega_4$ , o di  $\omega_3, \omega_4, \omega_5$ . Nel primo caso il moto è un moto di Poincot. Nel secondo caso si dimostra che, se una di quelle terne, per esempio  $\omega_1, \omega_5, \omega_6$  è inizialmente nulla, essa rimane nulla in tutto il corso del moto, osservando che le equazioni (1) dànno anche nulle, nel primo istante,  $\frac{d\omega_1}{dt}, \frac{d\omega_5}{dt}, \frac{d\omega_6}{dt}$ . Se adunque, al tempo  $t$ ,  $\omega_1, \omega_5, \omega_6$  sono nulle, esse sono nulle anche al tempo  $t + dt$ . In questo secondo caso le equazioni s'integrano con funzioni ellittiche, come nel primo, ma il moto è ben diverso da quello di Poincot, specialmente nel caso di uno spazio iperbolico.

È quasi superfluo notare che, passando da uno spazio ellittico ad uno spazio iperbolico, le equazioni (1), e tutte le susseguenti mantengono la stessa forma.

---



*Sulla torsione dei cilindri cavi a spessore piccolissimo;*

Nota del Dott. EMILIO ALMANSI.

1. — Abbiassi un cilindro elastico ed isotropo, limitato da due sezioni normali alle generatrici della sua superficie laterale.

Riferiamo i suoi punti ad un sistema di assi ortogonali  $O(x y z)$ , prendendo l'asse  $Oz$  parallelo alle dette generatrici. Sia  $S$  l'intersezione del cilindro con un piano normale a quest'asse.

Consideriamo una funzione  $u$ , delle variabili  $x, y$ , regolare in tutta l'area  $S$ , insieme alle sue derivate di qualunque ordine, che soddisfi all'equazione differenziale:

$$(1) \quad \frac{\partial^2 u}{\partial x^2} + \frac{\partial^2 u}{\partial y^2} = 0,$$

e tale, inoltre, che sul contorno di  $S$  si abbia:

$$(2) \quad \left( \frac{\partial u}{\partial x} - y \right) dy - \left( \frac{\partial u}{\partial y} + x \right) dx = 0,$$

essendo  $dx, dy$ , le proiezioni, sugli assi  $Ox, Oy$ , dell'elemento di contorno attiguo al punto  $(x y)$ .

Poniamo ora:

$$(3) \quad \tau_x = G\theta \left( \frac{\partial u}{\partial x} - y \right), \quad \tau_y = G\theta \left( \frac{\partial u}{\partial y} + x \right),$$

ove  $G$  rappresenti il *modulo di Elasticità tangenziale*, e  $\theta$  un'altra costante.

Se si suppone che sulla base del cilindro rivolta verso la direzione positiva dell'asse  $Oz$ , agisca, nel punto di coordinate  $x, y$ , una tensione tangenziale  $\tau$ , di cui  $\tau_x$  e  $\tau_y$  sieno le componenti secondo gli assi  $Ox, Oy$ ; che sull'altra base agisca, nei



punti corrispondenti, una tensione uguale e contraria; e finalmente che la superficie laterale del cilindro non sia soggetta ad alcuna tensione, si dimostra che su tutte le sezioni del cilindro parallele alle basi si sviluppa una tensione tangenziale distribuita come sulle basi, avente cioè per componenti  $\tau_x$  e  $\tau_y$ , ovvero  $-\tau_x$  e  $-\tau_y$ , secondochè della sezione stessa si considera la faccia rivolta verso la direzione positiva o negativa dell'asse  $Oz$ .

La risultante delle forze infinitesime  $\tau_x dS$ ,  $\tau_y dS$ , applicate agli elementi di una sezione  $S$  (di cui d'ora in avanti supporremo sempre di considerare la faccia rivolta verso la direzione positiva dell'asse  $Oz$ ) è una coppia, o *momento torcente*. Chiamandolo  $M$ , si ha:

$$(4) \quad M = \int_S (x\tau_y - y\tau_x) dS.$$

Un cilindro in tali condizioni si dice soggetto a *sforzo di torsione*. La costante  $\theta$  rappresenta l'*angolo di torsione*, vale a dire l'angolo di cui ruotano, una rispetto all'altra, due sezioni trasversali, distanti tra loro dell'unità di lunghezza (\*).

---

(\*) Sulla Torsione dei cilindri si veda, p. es., A. CASTIGLIANO, *Théorie de l'Équilibre des Systèmes Élastiques et ses applications*, I<sup>e</sup> partie, chap. III, § 17 e seg. — Le formule (1), (2) e (3) di questa mia Nota, si ottengono dalle (52), (53) e (51) del Castigliano (pag. 89), facendo in esse  $F_2 = F_3 = G$ , e inoltre sostituendo  $y$  e  $z$  con  $x$  e  $y$ ,  $p_{xy}$  e  $p_{zx}$  con  $\tau_x$  e  $\tau_y$ ,  $u$  con  $\theta u$ .

Per chi volesse verificare direttamente le formule (1), (2) e (3), da cui parto, ricorderò quelle che esprimono la deformazione del cilindro. Indicando con  $\xi$ ,  $\eta$ ,  $\zeta$ , le componenti, secondo gli assi coordinati, dello spostamento di un punto  $(x y z)$ , dalla posizione iniziale, si ha:

$$\xi = -\theta yz, \quad \eta = \theta xz, \quad \zeta = \theta u.$$

Si dimostra facilmente che le funzioni  $\xi$ ,  $\eta$ ,  $\zeta$ , soddisfano alle equazioni generali dell'Elasticità, e, per conseguenza, corrispondono ad una deformazione possibile del solido, purchè la funzione  $u$ , delle sole variabili  $x$ ,  $y$ , verifichi l'equazione (1). Calcolando poi le sei *tensioni principali unitarie*, si trova che sono tutte nulle, tranne due, la  $\tau_x$  e la  $\tau_y$ ; e queste son date appunto dalle formule (3).

Finalmente la formula (2) esprime la condizione che sulla superficie laterale del cilindro non agisce alcuna tensione.



Si avverta che tutto ciò vale, a rigore, nel solo caso che la tensione, sulle basi del cilindro, sia distribuita secondo la legge espressa dalle formule (3). Tuttavia si può ritenere che la distribuzione della tensione, dovuta al momento torcente, per le sezioni abbastanza lontane dalle basi, non dipenda dal modo con cui le basi stesse sono sollecitate. Potremo dunque ammettere che, per tali sezioni, le componenti  $\tau_x$  e  $\tau_y$  della tensione siano sempre date dalle formule (3).

È da notarsi che la distribuzione della tensione  $\tau$ , quale si ottiene da queste formule, è indipendente dalla posizione che occupa l'origine delle coordinate, e dall'orientamento degli assi  $Ox$ ,  $Oy$ .

2. — Dalle cose dette risulta che il problema di trovare come è distribuita la tensione tangenziale sopra ciascuna sezione trasversale  $S$  di un cilindro soggetto a torsione, si riduce a determinare la funzione  $u$ , *armonica* nell'area  $S$ , e che verifica al contorno l'equazione (2). Si dimostra che una tal funzione esiste sempre, ed è determinata a meno di una costante, che però non ha influenza, giacchè nelle formule (3) compariscono soltanto le sue derivate.

Quando si sia ottenuta la funzione  $u$ , se è dato l'angolo di torsione  $\theta$ , avremo immediatamente le componenti  $\tau_x$ ,  $\tau_y$  della tensione, dalle formule (3). Se invece è dato il momento torcente  $M$ , ricorreremo alla formula (4), che in virtù delle (3) può scriversi:

$$M = G\theta \int_S \left( x \frac{\partial u}{\partial y} - y \frac{\partial u}{\partial x} + x^2 + y^2 \right) dS.$$

Posto:

$$(5) \quad I = \int_S \left( x \frac{\partial u}{\partial y} - y \frac{\partial u}{\partial x} + x^2 + y^2 \right) dS,$$

sarà:

$$(6) \quad M = G\theta I,$$

dalla qual formula, noto  $M$ , e calcolata la costante  $I$ , ricaveremo  $\theta$ .

Per determinare la funzione  $u$ , l'Analisi fornisce varii metodi, cosicchè dal punto di vista puramente teorico, il problema



della torsione dei cilindri può dirsi risoluto. Non così dal punto di vista pratico, giacchè l'uso di quei metodi, nella massima parte dei casi, richiede calcoli oltremodo laboriosi.

Si può invece risolvere un problema inverso, rispetto a quello di determinare la funzione  $u$ , data l'area  $S$ : si può cioè partire da una funzione  $u$ , che soddisfi l'equazione (1), e sia regolare (essa e le sue derivate) almeno in una certa regione del piano; e cercare la linea su cui è soddisfatta l'equazione (2), ossia integrare questa equazione differenziale, *ciò che è sempre possibile*. Se si ottiene una linea chiusa, e se l'area che essa racchiude appartiene alla regione del piano in cui la  $u$  è regolare, avremo risoluto il problema della torsione per un cilindro, la cui sezione ha per contorno la linea trovata.

Per fare un esempio, consideriamo il caso più semplice. Sia

$$u = \text{cost.}^e$$

Una tal funzione soddisfa evidentemente l'equazione (1), ed è regolare in tutto il piano.

L'equazione (2) diventerà:

$$x dx + y dy = 0,$$

da cui integrando si ricava:

$$x^2 + y^2 = R^2,$$

ove  $R^2$  è una costante positiva. Ma questa è l'equazione di un cerchio, riferito ad un sistema di assi  $Ox$ ,  $Oy$ , coll'origine  $O$  nel centro: per un cilindro a sezione circolare il problema della torsione è dunque risoluto. Le componenti, secondo gli assi, della tensione tangenziale che agisce sopra una sezione trasversale qualunque, nel punto di coordinate  $x$ ,  $y$ , si otterranno dalle formule (3), sostituendo ad  $u$  il suo valore. Resterà:

$$\tau_x = -G\theta x, \quad \tau_y = G\theta y.$$

Queste formule dicono che in un punto  $P$  della sezione, situato alla distanza  $r$  dal centro  $O$ , la tensione vale  $G\theta r$ , ed è diretta normalmente al raggio  $OP$ .



La relazione tra il momento torcente e l'angolo di torsione è data dalla formula (6). La costante  $I$  che vi comparisce si ottiene dall'equazione (5), la quale nel nostro caso diventa:

$$I = \int_S (x^2 + y^2) dS;$$

ossia la costante  $I$  rappresenta il momento d'inerzia polare del cerchio  $S$  rispetto al suo centro.

Si ritrovano così le note formule relative alla torsione dei cilindri circolari.

Per le sezioni a contorno ellittico il problema della torsione si risolve ponendo:

$$u = Axy,$$

ove  $A$  è una costante, che dipende dal rapporto tra i semiassi. Partendo da altre funzioni armoniche assai semplici, si può risolvere lo stesso problema per sezioni di forme svariatissime.

**3.** — Vediamo ora come la legge, secondo cui è distribuita la tensione tangenziale, sopra una sezione  $S$ , si possa esprimere in modo del tutto differente da quello sopra esposto.

Sia  $s$  una linea chiusa, tracciata sulla sezione  $S$ ,  $ds$  un suo elemento. Sarà evidentemente:

$$\int_s \frac{du}{ds} ds = 0,$$

ossia:

$$(7) \quad \int_s \left( \frac{du}{dx} dx + \frac{du}{dy} dy \right) = 0.$$

Ma dalle formule (3) si ricava:

$$(8) \quad \left. \begin{aligned} G\theta \frac{du}{dx} &= \tau_x + G\theta y, \\ G\theta \frac{du}{dy} &= \tau_y - G\theta x. \end{aligned} \right\}$$



Se dunque moltiplichiamo il primo membro dell'equazione (7) per  $G\theta$ , ed a  $G\theta \frac{du}{dx}$ ,  $G\theta \frac{du}{dy}$  sostituiamo questi loro valori, otterremo:

$$\int_s \{ (\tau_x + G\theta y) dx + (\tau_y - G\theta x) dy \} = 0,$$

ovvero:

$$\int_s (\tau_x dx + \tau_y dy) = G\theta \int_s (x dy - y dx).$$

Ora, detti  $\alpha$ ,  $\beta$  gli angoli che la tangente alla linea  $s$  nel punto  $x$ ,  $y$ , forma cogli assi, avremo:

$$(9) \quad dx = ds \cos \alpha, \quad dy = ds \cos \beta;$$

e chiamando  $\sigma$  l'area racchiusa dalla linea  $s$ :

$$\int_s (x dy - y dx) = 2\sigma.$$

Perciò l'equazione precedente potrà scriversi:

$$\int_s (\tau_x \cos \alpha + \tau_y \cos \beta) ds = 2G\theta \sigma.$$

Posto

$$\tau_x \cos \alpha + \tau_y \cos \beta = \tau',$$

sarà:

$$(10) \quad \int_s \tau' ds = 2G\theta \sigma.$$

La quantità  $\tau'$  rappresenta la componente della tensione  $\tau$  secondo la tangente alla linea  $s$ . Abbiamo così, espressa dalla formula (10), una notevole proprietà relativa alla distribuzione della tensione  $\tau$ , lungo una linea chiusa.

4. — Un'altra formula, dello stesso tipo della (10), può ottenersi nel modo seguente.

Ricordiamo una proprietà fondamentale delle funzioni armoniche. Se la funzione  $u$  è armonica nell'area  $S$ , ed  $S'$  è un'area



che appartiene interamente ad  $S$ , si ha, chiamando  $s'$  il contorno di  $S'$ :

$$(11) \quad \int_{s'} \left( \frac{du}{dx} dy - \frac{du}{dy} dx \right) = 0.$$

Potrà darsi che il contorno  $s'$  sia costituito da una sola linea chiusa, ovvero che esso sia formato da più linee chiuse. La formula (11) vale in generale, purchè in questo secondo caso nell'eseguire l'integrazione, si percorrano le diverse linee chiuse, in modo da aver sempre l'area  $S'$  alla destra o alla sinistra.

Sia ora  $s$  una linea chiusa tracciata nell'area  $S$ , sezione di un cilindro soggetto a torsione, ed  $u$  quella particolare funzione armonica, che compare nelle formule (3). Dico che è sempre soddisfatta la equazione:

$$(12) \quad \int_s \left( \frac{du}{dx} dy - \frac{du}{dy} dx \right) = 0.$$

Occorre distinguere due casi. Se il contorno dell'area  $S$  è costituito da una sola linea  $c$  (fig. I), l'area racchiusa da  $s$  apparterrà interamente ad  $S$ . Potremo perciò assumere come area  $S'$  quella compresa entro  $s$ : il suo contorno è appunto  $s$ , ed applicando a questa linea l'equazione (11), otterremo la (12).

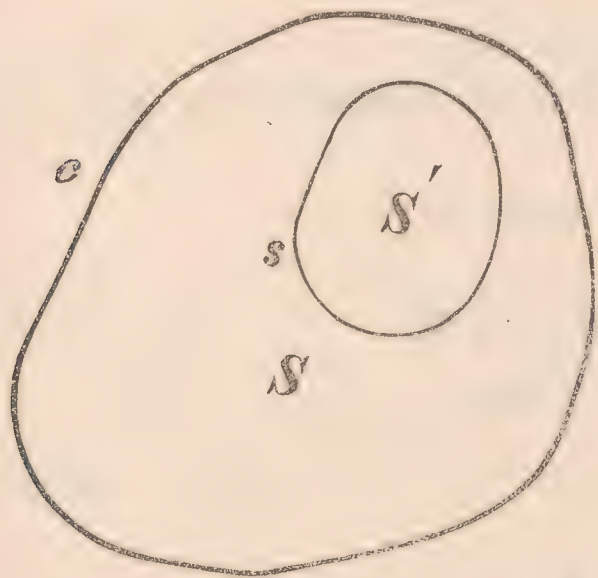


Fig. I.

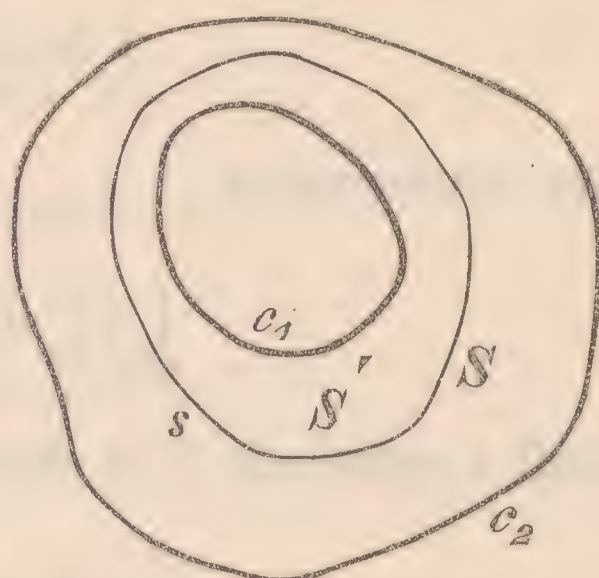


Fig. II.

Ora invece supponiamo che il contorno dell'area  $S$  sia costituito da più linee chiuse, per esempio due,  $c_1$  e  $c_2$ ; in altre parole sia  $S$  la sezione di un cilindro cavo. In questo caso l'area racchiusa entro una linea chiusa  $s$ , potrà non appartenere interamente ad  $S$  (fig. II): ed allora non potremo applicare a questa



linea l'equazione (11). Potremo invece applicarla al complesso delle due linee  $s$  e  $c_1$ , giacchè l'area  $S'$  che esse racchiudono appartiene per intero ad  $S$ . Otterremo così:

$$(13) \quad \int_s \left( \frac{du}{dx} dy - \frac{du}{dy} dx \right) + \int_{c_1} \left( \frac{du}{dx} dy - \frac{du}{dy} dx \right) = 0.$$

Si tratta di dimostrare che l'integrale esteso a  $c_1$  è nullo.

Perciò ricordiamo che sul contorno dell'area  $S$  è verificata l'equazione (2), che scriveremo:

$$\frac{du}{dx} dy - \frac{du}{dy} dx = xdx + ydy.$$

In particolare questa equazione sarà verificata sulla linea  $c_1$ . Onde avremo:

$$\int_{c_1} \left( \frac{du}{dx} dy - \frac{du}{dy} dx \right) = \int_{c_1} (xdx + ydy).$$

Ma  $xdx + ydy$  è il differenziale della funzione  $\frac{1}{2} (x^2 + y^2)$ . Si avrà dunque, poichè  $c_1$  è una linea chiusa, e la funzione  $\frac{1}{2} (x^2 + y^2)$  ha in ogni punto un sol valore:

$$\int_{c_1} (xdx + ydy) = 0;$$

e per conseguenza:

$$\int_{c_1} \left( \frac{du}{dx} dy - \frac{du}{dy} dx \right) = 0.$$

Quindi l'equazione (13) diventerà:

$$\int_s \left( \frac{du}{dx} dy - \frac{du}{dy} dx \right) = 0.$$

Il ragionamento vale evidentemente qualunque sia il numero delle linee chiuse  $c_1, c_2, \dots, c_n$ , che costituiscono il contorno dell'area  $S$ . Se infatti  $s$  è una linea chiusa tracciata nell'area  $S$ , si potrà sempre considerare un'area  $S'$ , che appartenga interamente ad  $S$ , e il cui contorno  $s'$  sia sostituito dalla linea  $s$ , e



da alcune delle linee  $c_1, c_2, \dots c_n$ . Per il complesso di queste linee sarà verificata l'equazione (11). Ma per una qualunque  $c_i$ , di quelle che appartengono al contorno di  $S$ , essendo verificata sopra i suoi punti l'equazione (2), si avrà:

$$\int_{c_i} \left( \frac{du}{dx} dy - \frac{du}{dy} dx \right) = 0.$$

Per conseguenza l'equazione (11) si ridurrà anche in questo caso alla (12), che resta così dimostrata in generale.

Operiamo ora sull'equazione (12) come abbiamo operato sulla (7): moltiplichiamo cioè il suo primo membro per  $G\theta$ , e sostituiamo a  $G\theta \frac{du}{dx}$ ,  $G\theta \frac{du}{dy}$ , i loro valori dati dalle formule (8). Otterremo:

$$\int_s \{(\tau_x + G\theta y) dy - (\tau_y - G\theta x) dx\} = 0,$$

ossia:

$$\int_s (\tau_x dy - \tau_y dx) = -G\theta \int_s (x dx + y dy);$$

e poichè l'integrale del secondo membro è identicamente nullo:

$$\int_s (\tau_x dy - \tau_y dx) = 0;$$

od anche, ricordando le formule (9):

$$\int_s (\tau_x \cos \beta - \tau_y \cos \alpha) ds = 0.$$

Posto:

$$\tau_x \cos \beta - \tau_y \cos \alpha = \tau'',$$

avremo:

$$(14) \quad \int_s \tau'' ds = 0.$$

La quantità  $\tau''$  rappresenta la componente della tensione  $\tau$  secondo la normale alla linea  $s$ . Si è così ottenuta la formula che cercavamo. Essa vale, come la (10), per qualunque linea chiusa  $s$ , e ci fornisce una seconda proprietà relativa alla distribuzione della tensione  $\tau$ .



5. — Un'ultima proprietà, per i punti del contorno, ci è fornita dall'equazione (2). Essa, tenendo conto delle (3), può scriversi:

$$\tau_x dy - \tau_y dx = 0,$$

od anche, se  $\alpha$ ,  $\beta$  sono gli angoli che la tangente al contorno fa cogli assi:

$$(15) \quad \tau_x \cos \beta - \tau_y \cos \alpha = 0.$$

Questa formula dice che nei punti del contorno la componente della tensione secondo la normale è nulla.

La tensione  $\tau$  possiamo considerarla come un *vettore* parallelo al piano  $(xy)$ , definito in tutti i punti dell'area  $S$ . Adoperando le espressioni in uso, potremo allora enunciare nel modo seguente le proprietà espresse dalle formule (10), (14) e (15):

a) *L'integrale del vettore  $\tau$  lungo una linea chiusa è proporzionale all'area racchiusa da questa linea: il coefficiente di proporzionalità è  $2G\theta$ .*

b) *Il flusso del vettore  $\tau$  uscente da una linea chiusa è nullo.*

c) *Il contorno della sezione è una linea di flusso, o è costituito da più linee di flusso.*

Queste proprietà, come sarebbe facile dimostrare, determinano completamente il vettore  $\tau$ .

Di esse ci varremo per studiare la torsione dei cilindri cavi, a spessore piccolissimo.

6. — Sia  $ab$  (fig. III) un segmento che si muove in un piano, variando di lunghezza, ma conservandosi normale alla linea chiusa  $s$ , descritta dal suo punto di mezzo. La lunghezza del segmento la supporremo sempre piccolissima di fronte a quella della linea  $s$ .

Considerando l'area  $S$  che descrive il segmento  $ab$ , come la sezione trasversale di un cilindro elastico, vogliamo vedere come si comporta questo cilindro, quando venga assoggettato a sforzo di torsione.

Faremo questa ricerca in via d'approssimazione, tenendo conto della piccolezza del segmento  $ab$ .

Sia perciò  $a_0b_0$  una determinata posizione di questo segmento.



Diciamo  $\varphi$  il flusso di tensione che attraversa  $ab$ , nel verso assunto come positivo per la linea  $s$ ,  $\varphi_0$  il flusso che attraversa  $a_0b_0$ ; ed esprimiamo la condizione che il flusso uscente dalla linea chiusa  $abb_0a_0$  deve esser nullo.

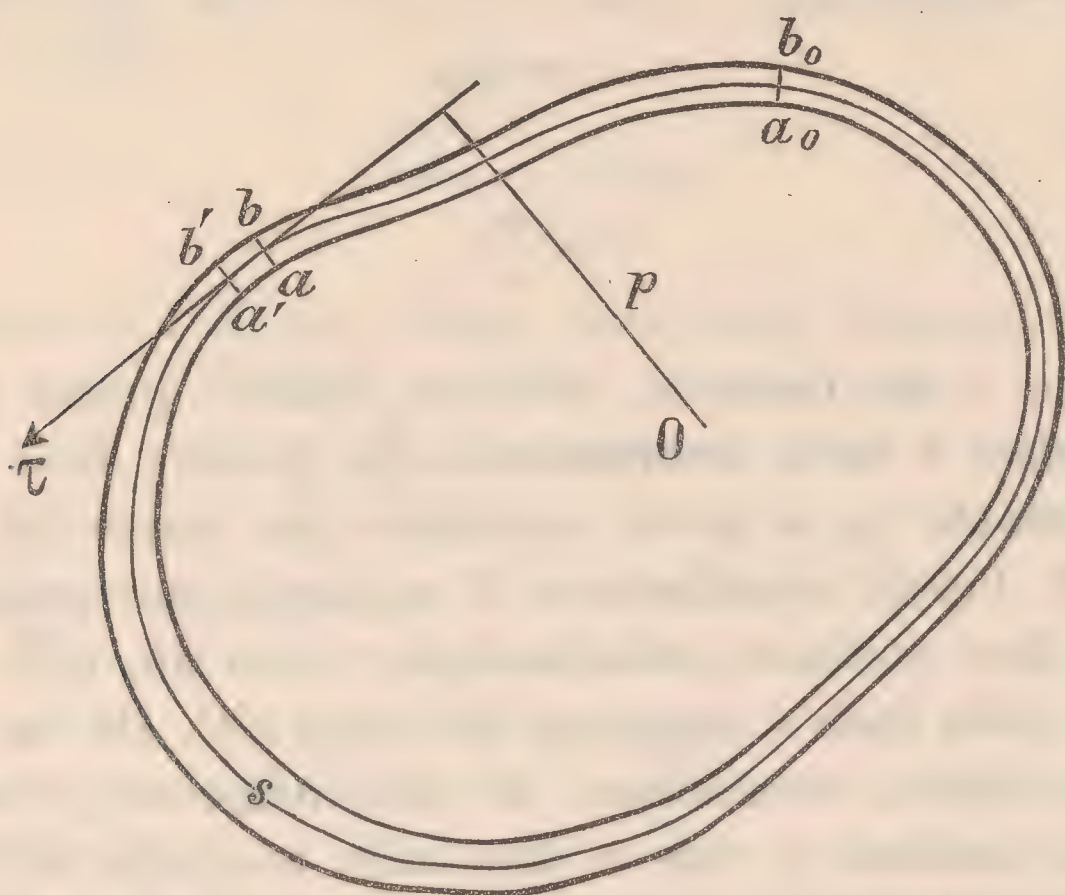


Fig. III.

I due tratti  $aa_0$ ,  $bb_0$  appartengono al contorno della sezione, che è costituito, come sappiamo, da linee di flusso: il flusso uscente da essi è dunque nullo. Il flusso che esce da  $ab$  è  $\varphi$ , quello che esce da  $a_0b_0$  è  $-\varphi_0$ . Onde avremo:

$$\varphi - \varphi_0 = 0,$$

ossia

$$\varphi = \varphi_0.$$

Se ora diciamo  $\tau$  la tensione nel punto di mezzo del segmento  $ab$ , e la larghezza di questo segmento, potremo ritenere

$$(16) \quad \varphi = \tau \cdot e.$$

Infatti in  $a$  la tensione è diretta secondo la tangente al contorno della sezione, vale a dire alla linea descritta dallo stesso punto  $a$ ; in  $b$  è tangente alla linea descritta dal punto  $b$ . Dovendo essa, lungo il segmento  $ab$  variare con continuità, in grandezza e direzione, possiamo ammettere che nel punto di mezzo sia diretta secondo la tangente alla linea descritta da



questo punto, vale a dire sia normale ad  $ab$ ; e che inoltre il suo valore, ossia  $\tau$ , rappresenti la media dei valori che ha, lungo il segmento  $ab$ , la componente della tensione normale ad esso. Queste ipotesi conducono precisamente alla formula (16).

Sarà allora:

$$\tau \cdot e = \varphi_0,$$

od anche:

$$(17) \quad \tau = \frac{\varphi_0}{e}.$$

E poichè  $\varphi_0$  è una costante, abbiamo intanto questa proprietà, che *la tensione  $\tau$  varia inversamente allo spessore della sezione.*

La costante  $\varphi_0$  si potrà esprimere per mezzo del momento torcente  $M$ . Perciò consideriamo il segmento che genera la sezione, in due posizioni infinitamente vicine  $ab$ ,  $a'b'$ : e sia  $ds$  l'elemento della linea  $s$  compreso tra  $ab$  ed  $a'b'$ . Da un punto  $O$ , scelto ad arbitrio, abbassiamo la perpendicolare  $p$  sulla direzione della tensione  $\tau$ , vale a dire sulla tangente ad  $s$ , in corrispondenza dell'elemento  $ds$ . Il momento, rispetto ad  $O$ , della tensione che agisce sull'elemento d'area compresa tra  $ab$  ed  $a'b'$ , potremo rappresentarlo, commettendo un errore piccolissimo, con  $\tau \cdot eds \cdot p$ . Per conseguenza sarà:

$$M = \int_s \tau e \cdot p ds.$$

Ma il prodotto  $\tau e$  non è altro che la costante  $\varphi_0$ . Quindi avremo:

$$M = \varphi_0 \int_s p ds,$$

ovvero:

$$M = \varphi_0 \cdot 2\sigma$$

se con  $\sigma$  indichiamo l'area racchiusa dalla linea  $s$ . Di qui ricaviamo:

$$\varphi_0 = \frac{M}{2\sigma},$$

e sostituendo nella formula (17):

$$(18) \quad \tau = \frac{M}{2\sigma e}.$$



Questa formula ci dà, in ogni punto di  $s$ , la tensione  $\tau$ , espressa mediante il momento torcente.

La relazione che lega il momento torcente all'angolo di torsione si ottiene ricorrendo alla proposizione  $a)$  del § 5, di cui non abbiamo ancora tenuto conto. Applicandola alla linea chiusa  $s$ , avremo:

$$\int_s \tau ds = 2 G \theta \sigma,$$

e sostituendo a  $\tau$  il suo valore, dato dalla formula (18):

$$\int_s \frac{M}{2\sigma e} ds = 2 G \theta \sigma;$$

e poichè  $\frac{M}{2\sigma}$  è costante

$$\frac{M}{2\sigma} \int_s \frac{ds}{e} = 2 G \theta \sigma.$$

Poniamo:

$$\int_s \frac{ds}{e} = \frac{s}{\epsilon},$$

ovvero:

$$(19) \quad \epsilon = \frac{s}{\int_s \frac{ds}{e}},$$

ove con  $s$  indichiamo la lunghezza totale della linea  $s$ . La quantità  $\epsilon$  ci rappresenta un valore medio dello spessore  $e$ , che in generale supponiamo variabile. Se esso è costante sarà evidentemente  $\epsilon = e$ .

Avremo dunque:

$$\frac{Ms}{2\sigma\epsilon} = 2 G \theta \sigma,$$

e risolvendo rispetto a  $\theta$ :

$$(20) \quad \theta = \frac{Ms}{4 G \sigma^2 \epsilon}.$$

Questa formula, e l'altra:

$$\tau = \frac{M}{2\sigma e},$$



la quale, in via d'approssimazione possiamo ritenere che rappresenti la tensione lungo tutto lo spessore  $e$ , risolvono il problema della torsione, per i cilindri cavi, a spessore piccolissimo. Esse sarebbero rigorose se lo spessore si considerasse infinitesimo.

7. — La formula (20), posto

$$\frac{M}{\theta} = \rho,$$

può anche scriversi

$$\rho = 4G \frac{\sigma^2 \epsilon}{s}.$$

Il rapporto  $\rho$  fra il momento torcente, e l'angolo di torsione, possiamo chiamarlo *resistenza del cilindro alla torsione*. Abbiamo così il teorema che “ *in un cilindro cavo, a spessore piccolissimo, la resistenza alla torsione è direttamente proporzionale allo spessore medio, e al quadrato dell'area interna, e inversamente proporzionale alla lunghezza del perimetro* „, chiamando *spessore medio* quello definito dalla formula (19), *perimetro* la linea a cui possiamo supporre ridotta la sezione, ed *area interna* quella che essa racchiude.

Per fare un esempio, supponiamo che il cerchio  $s_1$ , e la linea sinusoidale  $s_2$ , entro cui è racchiusa una stessa area (fig. IV),

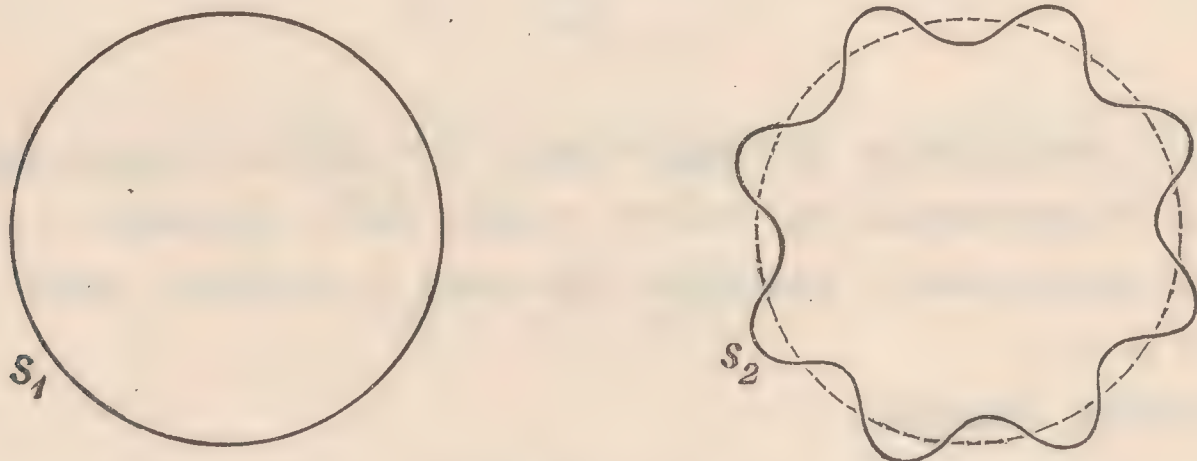


Fig. IV.

rappresentino le sezioni di due cilindri cavi, costituiti della stessa materia, ed aventi lo stesso spessore medio, o, come caso particolare, uno stesso spessore costante.

Il primo cilindro, la cui sezione ha un perimetro minore, avrà una resistenza alla torsione maggiore del secondo; e si otterrà il rapporto tra le resistenze, prendendo l'inversa del rapporto tra i perimetri.



Ora invece confrontiamo tra loro le resistenze alla torsione dei cilindri cavi, a spessore medio uguale, le cui sezioni sono rappresentate dalle linee  $s, s', s'', s'''$  (fig. V), di ugual lunghezza,

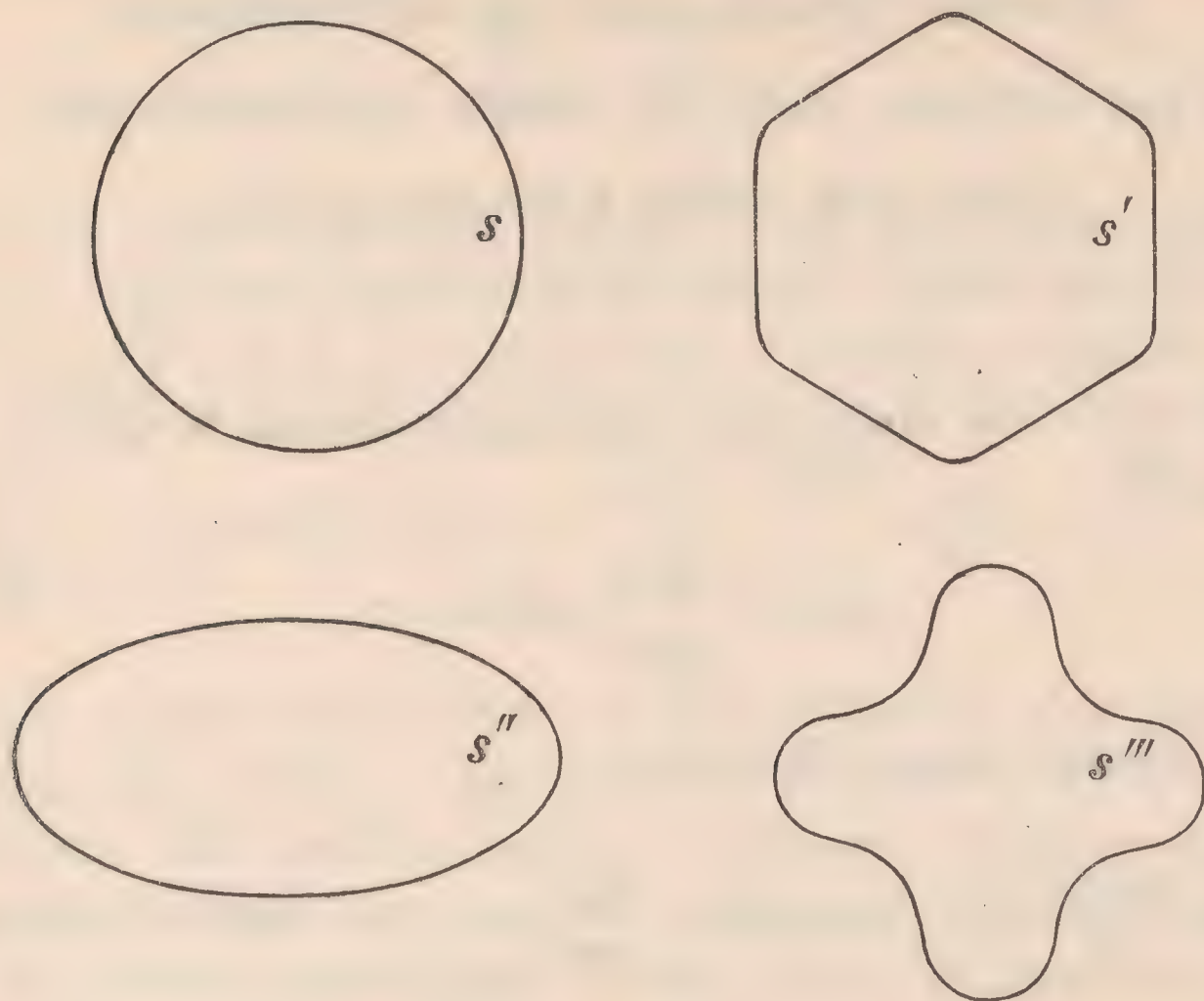


Fig. V.

ma delle quali la prima, che è un circolo, racchiude nel suo interno un'area maggiore delle altre. La resistenza alla torsione sarà massima, anche in questo caso, per il cilindro a sezione circolare; e i rapporti tra le resistenze dei diversi cilindri si otterranno prendendo i rapporti tra i quadrati delle relative aree interne.

Indicando, per semplicità, con 1 la resistenza del primo cilindro, e chiamando  $\rho', \rho'', \rho'''$  le resistenze degli altri tre, si troverà all'incirca:

$$\rho' = 0,87, \quad \rho'' = 0,70, \quad \rho''' = 0,46.$$

Sarebbe facile verificare coll'esperienza l'esattezza di questi risultati, i quali del resto appaiono in piena armonia con quello che il semplice criterio fa prevedere.



*Nouvelle formule pour la différentiation  
d'une certaine classe de séries trigonométriques;*

Note de M. LERCH à Fribourg (Suisse).

---

En 1894 j'ai donné une règle pour obtenir la dérivée de la fonction (\*)

$$f(x) = \sum_{v=1}^{\infty} \frac{c_v}{v} \sin 2v x \pi$$

et qui consiste dans l'équation

$$f'(x) \cdot \frac{\sin x \pi}{\pi} = -c_1 \sin x \pi + \sum_1^{\infty} (c_v - c_{v+1}) \sin(2v + 1) x \pi.$$

Bien que les conditions sous lesquelles cette relation a lieu, sont satisfaites dans plusieurs cas qui se présentent naturellement et appartiennent donc à une classe de problèmes qu'on appelle utiles, ces résultats et les autres analogues établis dans les notes citées ne s'appliquent pas au cas où les quantités  $c_v$  ont des signes différents.

Sous ce point de vue il peut avoir quelque intérêt, si j'établirai une règle permettant d'obtenir la dérivée de la fonction  $f(x)$  sous l'hypothèse que les sommes

$$c_1 + c_2 + \dots + c_n$$

tendent vers  $m$  limites différentes pour  $n$  indéfiniment croissant, de manière que la limite sera déterminée en faisant parcourir  $n$  une série arithmétique de module  $m$ .

Je vais d'abord établir un lemme qui nous sera indispen-

---

(\*) " Comptes rendus de Paris „, 2<sup>e</sup> sem. Un peu plus complètement dans les " Annales de l'École Normale Supérieure „, T. XII, 1895, et dans le " Bulletin général de l'Académie de Prague „, T. V.



sable dans la suite et qui présente d'ailleurs l'intérêt par son analogie avec une question traitée par Gauss. Il s'agit de prouver que la série

$$\sum_{v=0}^{\infty} \frac{e^{2x\pi i(w+v)}}{w+v}$$

s'exprime sous forme finie lorsque  $w$  est un nombre rationnel; j'ai développé les calculs dans un mémoire publié par l'Académie de Prague (\*) et je me borne donc à vérifier le résultat qui est

$$(1) \sum_{n=0}^{\infty} \frac{1}{\frac{a}{m} + n} e^{2x\pi i \left(\frac{a}{m} + n\right)} = - \sum_{\kappa=1}^m e^{-\frac{2\kappa a\pi i}{m}} \log \left(1 - e^{\frac{2\pi i}{m}(x+\kappa)}\right).$$

On suppose que l'entier  $m$  soit positif et plus grand que un, puis que l'entier  $a$  appartienne à la suite  $1, 2, 3, \dots, m$ ; le logarithme doit avoir sa partie imaginaire contenue entre  $-\pi$  et  $+\pi$ , et  $x$  peut être supposé réel, mais fractionnaire, sans quoi le résultat manquerait du bon sens, le premier membre étant divergent et le deuxième devenant infini.

Pour vérifier la formule (1) j'emploie la formule élémentaire pour le développement du  $\log(1+z)$  qui donne

$$-\log \left(1 - e^{\frac{2\pi i}{m}(x+\kappa)}\right) = \sum_{v=1}^{\infty} \frac{1}{v} e^{\frac{2v\pi i}{m}(x+\kappa)};$$

multiplions par  $e^{-\frac{2\kappa a\pi i}{m}}$  et ajoutons pour  $\kappa = 1, 2, \dots, m$ ; la somme ainsi formée  $S$  constitue le deuxième membre de la formule à vérifier, et peut s'écrire

$$S = \sum_{v=1}^{\infty} \frac{1}{v} e^{\frac{2v\pi i}{m}x} \sum_{\kappa=1}^m e^{\frac{(v-a)\pi i}{m}\kappa}.$$

Or la somme intérieure ne diffère de zéro que lorsque  $v-a$

---

(\*) " Různé výsledky v theorii funkce gamma „; Mémoires (rozpravy) de Prague, V<sup>e</sup> année, n<sup>o</sup> 14; 1896.



est un multiple de  $m$  et a pour valeur  $m$ ; on devra donc prendre  $v = a + mn$ , ( $n = 0, 1, 2, 3, \dots$ ) ce qui donne

$$S = m \sum_{n=0}^{\infty} \frac{1}{a + mn} e^{\frac{2x\pi i}{m}(a + mn)}$$

ce qui n'est autre chose que la série (1).

Cela étant, considérons la série trigonométrique

$$(2) \quad f(x) = \sum_{v=1}^{\infty} \frac{c_v}{v} e^{2vx\pi i},$$

et en posant

$$(3) \quad c_1 + c_2 + \dots + c_v = C_v,$$

employons l'identité bien connue d'Abel qui donne

$$\sum_1^{m.n+1} \frac{c_v}{v} e^{2vx\pi i} = \sum_{v=1}^{mn} C_v \left( \frac{e^{2vx\pi i}}{v} - \frac{e^{2(v+1)x\pi i}}{v+1} \right) + C_{mn+1} \frac{e^{2(mn+1)x\pi i}}{mn+1}.$$

Si l'on suppose que les limites

$$(4) \quad \lim_{\mu=\infty} C_{\rho+m\mu} = A_{\rho} \quad (\rho = 1, 2, 3, \dots m)$$

existent, les quantités  $C_v$  resteront au-dessous d'une limite indépendante de  $v$ , et le terme

$$C_{mn+1} \frac{e^{2(mn+1)x\pi i}}{mn+1}$$

disparaîtra pour  $n$  infini. Il s'ensuit

$$f(x) = \lim_{n=\infty} \sum_{v=1}^{mn} C_v \left( \frac{e^{2vx\pi i}}{v} - \frac{e^{2(v+1)x\pi i}}{v+1} \right).$$

Posons maintenant

$$(4^a) \quad C_{\rho+\mu m} = A_{\rho} + B_{\rho+\mu m}$$



de la sorte que les quantités  $B_n$  tendent vers zéro pour  $n$  infini, et écrivons l'équation précédente comme il suit :

$$f(x) = \lim_{n \rightarrow \infty} \sum_{v=1}^{mn} B_v \left( \frac{e^{2vx\pi i}}{v} - \frac{e^{2(v+1)x\pi i}}{v+1} \right) + \\ + \sum_{\varrho=1}^m A_{\varrho} \sum_{\mu=0}^{\infty} \left( \frac{e^{2x\pi i(\varrho+\mu m)}}{\varrho + \mu m} - \frac{e^{2x\pi i(\varrho+1+\mu m)}}{\varrho+1+\mu m} \right).$$

La fonction  $f(x)$  se compose donc de deux parties dont l'une est la limite

$$(5) \quad \Phi(x) = \lim_{n \rightarrow \infty} \sum_{v=1}^{mn} B_v \left( \frac{e^{2vx\pi i}}{v} - \frac{e^{2(v+1)x\pi i}}{v+1} \right)$$

et l'autre

$$(6) \quad \Psi(x) = \frac{1}{m} \sum_{\varrho=1}^m A_{\varrho} \sum_{\mu=0}^{\infty} \left( \frac{e^{2mx\pi i \left( \frac{\varrho}{m} + \mu \right)}}{\frac{\varrho}{m} + \mu} - \frac{e^{2mx\pi i \left( \frac{\varrho+1}{m} + \mu \right)}}{\frac{\varrho+1}{m} + \mu} \right)$$

est analytique et simple.

Ce point établi, supposons que la série

$$\sum_{v=1}^{\infty} B_v e^{2vx\pi i}$$

soit uniformément convergente dans un certain intervalle  $(x_0 \dots x_1)$  intérieur à l'intervalle  $(0 \dots 1)$ ; la série

$$\sum_1^{\infty} B_v (e^{2vx\pi i} - e^{2(v+1)x\pi i})$$

sera de même uniformément convergente et son intégration évidemment légitime prouve que l'on a

$$(7) \quad \Phi'(x) = 2\pi i (1 - e^{2x\pi i}) \sum_{v=1}^{\infty} B_v e^{2vx\pi i}.$$



Il ne reste qu'à différentier la fonction  $\Psi(x)$ . En changeant  $x$  en  $mx$  et  $a$  en  $\rho$  ou  $\rho + 1$  la formule (1) donne

$$\Psi_{\rho}(x) = \sum_{\mu=0}^{\infty} \frac{e^{2mx\pi i \left(\frac{\rho}{m} + \mu\right)}}{\frac{\rho}{m} + \mu} = - \sum_{\kappa=1}^m e^{-\frac{2\kappa\rho\pi i}{m}} \log \left( 1 - e^{2\pi i \left(x + \frac{\kappa}{m}\right)} \right),$$

puis la quantité

$$\Psi_{m+1}(x) = \sum_{\mu=0}^{\infty} \frac{e^{2mx\pi i \left(\frac{m+1}{m} + \mu\right)}}{\frac{m+1}{m} + \mu}$$

s'écrira sous la forme

$$\Psi_{m+1}(x) = \Psi_1(x) - me^{2x\pi i},$$

de sorte que

$$\begin{aligned} \Psi(x) = \frac{1}{m} \sum_{\rho=1}^{m-1} A_{\rho} (\Psi_{\rho}(x) - \Psi_{\rho+1}(x)) + \frac{1}{m} A_m (\Psi_m(x) - \Psi_1(x)) + \\ + A_m e^{2x\pi i}. \end{aligned}$$

Cela étant, on trouve aisément la formule

$$\Psi'_{\rho}(x) = 2m\pi i \frac{e^{2\rho x\pi i}}{1 - e^{2mx\pi i}},$$

d'où nous aurons

$$\begin{aligned} \Psi'(x) = 2\pi i \sum_{\rho=1}^{m-1} A_{\rho} \frac{e^{2\rho x\pi i} - e^{2(\rho+1)x\pi i}}{1 - e^{2mx\pi i}} + \\ + 2\pi i A_m \frac{e^{2mx\pi i} - e^{2x\pi i}}{1 - e^{2mx\pi i}} + 2\pi i A_m e^{2x\pi i} \end{aligned}$$

ou bien

$$\Psi'(x) = \frac{2\pi i (1 - e^{2x\pi i})}{1 - e^{2mx\pi i}} \sum_{\rho=1}^m A_{\rho} e^{2\rho x\pi i},$$



ce qu'on peut écrire

$$(8) \quad \Psi'(x) = 2\pi i \frac{\sin x\pi}{\sin mx\pi} \cdot \sum_{\varrho=1}^m A_{\varrho} e^{(2\varrho+1-m)x\pi i}.$$

On a donc le résultat suivant:

“ Si les quantités

$$c_1, c_2, c_3, \dots$$

sont telles que les sommes

$$C_v = c_1 + c_2 + c_3 \dots + c_v$$

engendrent des limites finies et déterminées

$$\lim C_{mn+1} = A_1, \lim C_{mn+2} = A_2, \dots \lim C_{mn} = A_m, (n = \infty),$$

et que les différences

$$C_{mn+\varrho} - A_{\varrho} = B_{mn+\varrho}$$

satisfont à la condition que la série

$$\sum_1^{\infty} B_v e^{2vx\pi i}$$

soit uniformément convergente dans un certain intervalle  $(x_0 \dots x_1)$ , tout intérieur à  $(0 \dots 1)$ , la dérivée de la fonction

$$f(x) = \sum_1^{\infty} \frac{c_v}{v} e^{2vx\pi i} \quad (x_0 \leq x \leq x_1)$$

aura pour valeur l'expression

$$f'(x) = \frac{\sin x\pi}{\sin mx\pi} \cdot 2\pi i \sum_{\varrho=1}^m A_{\varrho} e^{(2\varrho+1-m)x\pi i} + 4\pi \sin x\pi \sum_{v=1}^{\infty} B_v e^{(2v+1)x\pi i}.$$

On suppose en même temps que  $mx$  ne soit pas entier. Il est inutile d'énoncer les théorèmes qui en résultent en séparant les parties réelles et les parties imaginaires.



*Contribuzione allo studio degli Entomostraci  
dei terreni pliocenici del Piemonte e della Liguria;*

Nota del Dott. GIUSEPPE CAPEDER.

(Con una tavola).

L'ordine degli Entomostraci Ostracodi è ricco di molte famiglie, fra le quali quelle delle *Citeridi* e delle *Cipridi* acquistano nel terziario importante sviluppo e particolarmente i loro generi: *Cythere*, *Cythereis*, *Cytherella*, *Cytheropteron*, *Cypris*, *Bairdia*. Avendo avuto occasione di esaminare parecchie forme di questi Ostracodi appartenenti al pliocene ligure-piemontese e di scoprirne parecchie non ancora conosciute, trovo utile il farne argomento di breve nota, anche in considerazione della scarsità dei lavori che finora si possiedono su questo argomento in Italia(1). In tale ricerca mi furono di valido aiuto il Prof. PARONA, dandomi i mezzi ed i consigli necessari allo studio, ed il signor FORMA, fornendomi il materiale da lui stesso raccolto con solerte cura ed intelligenza; ai quali perciò mi è sommamente grato di rinnovare qui i miei più sentiti ringraziamenti. La maggior parte del materiale raccolto proviene dal *piacenziano* delle seguenti località: CRESCENTINO, PINO D'ASTI, ARIGNANO, VILLALVERNIA (Piemonte), BORDIGHERA, ALBENGA (Liguria): pochissime forme invece, ma in numerosi individui, furono riscontrate nell'*astiano* e queste tutte comuni col *piacenziano*. Per agevolare lo studio, ho figurato nella tavola tutti questi Ostracodi coll'ingrandimento di 22 diametri, talchè è possibile apprezzarne a colpo d'occhio le relative dimensioni; ciò che facilita d'assai la comparazione delle varie forme.

Dai risultati dello studio di questa faunula ho potuto dedurre come la più parte delle forme trovate appartengano al

---

(1) G. SEGUENZA, *Le formazioni terziarie di Reggio (Calabria)*, "Atti R. Acc. Lincei", serie III, vol. IV, 1880. — ID., *Il Quaternario di Rizzolo*, "Nat. Siciliano", anno 3°, 1883. — G. TERRIGI, *Il Calcare (Macco) di Palo e sua fauna microscopica*, "Atti R. Acc. Lincei", serie 4ª, vol. VI, 1889.



*piacenziano* ove abbonda il genere *Cythere*, mentre che nell'*astiano*, per quanto mi risulta finora, non riscontransi che i generi *Cytherella*, *Cypris* e *Bairdia*, dei quali abbondano gli individui ma scarseggiano le forme. Inoltre mi risulta che sette forme, le *Cythere cytheropteroides*, *emaciata*, *lauta*, *punctata*, *Stimpsoni*, *senilis* e la *Bairdia subdeltoidea*, vivono ancora nei mari attuali; che il *Cytheropteron triangulare*, la *Cypris longa* e la *Bairdia subdeltoidea*, datano la loro comparsa dal cretaceo; che infine soltanto le *Cythere emaciata*, *hystrix*, *cornuta*, *ceratoptera*, *punctata*, *senilis*, *compressa*, la *Bairdia arcuata* e *subdeltoidea*, fra le 30 forme da me riconosciute, erano finora note per i terreni pliocenici italiani.

## DESCRIZIONE DELLE FORME

### *Cythere H-scripta* n. f., fig. 1, a, b, c.

Questa forma ha qualche affinità colla *Cyt. multicostata* Bosq., colla *Cyt. vermiculata* Bosq., e colla *Cyt. rugosa* Terr.: però differisce da tutte per la disposizione delle 4 o 5 costole che si anastomizzano verso il centro della conchiglia, assumendo in quegli individui in cui le creste mediane si atrofizzano, l'apparenza di un H. Le valve sono ovali, con un becco nella parte posteriore; la loro superficie è rugosa, ed i margini sono percorsi da una rilevata cresta, che in corrispondenza del dente cardinale anteriore porta un tubercolo. — *Lungh.* mm. 0,8; *alt.* mm. 0,5. — Si trova questa *Cythere* nel *piacenziano* di VIL-LALVERNIA e di PINO D'ASTI.

### *Cythere cytheropteroides*, Brady, fig. 2, a, b, c.

1880. *Cyt. Cytherop.*, BRADY, *Report on the Ostracoda dredged by H. M. S. CHALLENGER*, *Zoology*, vol. 1°, pag. 78, tav. XV, fig. 5, a-d.

Valve ovali, a superficie liscia, anteriormente e posteriormente provviste di sporgenze dentiformi; margine dorsale leggermente incurvato con piccolo tubercolo cardinale. I miei esemplari differiscono dai tipici per avere la cresta mediana che termina con due denti invece che con uno solo, differenza che



non ho stimato sufficiente per distinguernela. — *Lungh.* mm. 0,7; *alt.* mm. 0,4. — Trovai questa specie solamente nel *piacenziano* del RIO TORSERO presso ALBENGA.

*Cythere clavigera*, n. f., fig. 3, a, b, c.

Le valve di questa *Cythere* sono quadrangolari, provviste nella parte anteriore di una serie di piccole sporgenze. La parte posteriore è priva di scabrosità, e la vòlta dorsale è percorsa da due carene ottuse di cui la posteriore è assai piccola. Tutta la superficie poi è seminata di punti incavati a forma di rombo e la regione anteriore porta un contorno sagittiforme, che termina posteriormente al tubercolo carenale. Questa specie potrebbe venir confusa colla *Cyt. senilis*, Jones, o colla *Cyt. lauta*, Brady, ma è facile lo scorgerne le differenze, perchè le *sucitate Cythere* offrono la carena mediana più sporgente della ventrale, ed inoltre la conchiglia ha forma più convessa. — *Lungh.* mm. 1; *alt.* mm. 0,55. — Trovasi nel *piacenziano* di ALBENGA (RIO TORSERO).

*Cythere costellata*, Roemer, fig. 4, a, b.

1838. *Cytherina cost.*, ROEMER, *Die Cytherin. des Molasse Gebirges*, "Neues Jahr. f. Min. G. u. P.", von Leonhard u. Bronn., pag. 517, tav. VI, fig. 24.  
 1852. *Cythere cost.*, BOSQUET, *Descrip. des Entomostr. foss. des terr. tert. de la France et de la Belgique*, "Mém. couronn. de l'Acad. de Belg.", Tome XXIV, pag. 58, tav. II, fig. 11.  
 1856. *Cythere cost.*, JONES, *A Monogr. of the Tert. Entomostr. of England*, "Palaeont. Soc.", pag. 32, tav. V, fig. 11.

Valve ovali, colla superficie ornata di 7 carene parallele, longitudinali, lisce e lucenti. Poco visibili i tubercoli cardinali. — *Lungh.* mm. 0,9; *alt.* mm. 0,5. Trovasi nel *piacenziano* di RIO TORSERO, di VILLALVERNIA, di CRESCENTINO.

*Cythere denticulata*, n. f., fig. 5; a, b, c.

Questa bella *Cythere* ha le valve a contorno subovale, ornate all'estremità anteriore da una serie di punte a clava. L'estremità posteriore termina con un lobo compresso munito di tre denti. Le valve portano fra la regione ventrale e l'asse lon-



gitudinale una carena composta da una serie di spine assai lunghe, informi, appiattite o bifide, di cui le più sviluppate sono le posteriori. Visibilissimo il tubercolo cardinale anteriore, che si trova in corrispondenza di due spine inserite sul margine dorsale. Sezione trasversale a forma subtriangolare, di cui due lati sono formati dalla carena. Questa specie ha qualche affinità colla *Cythere velivola* Brady; se ne distingue però nettamente pel margine relativamente liscio delle sue valve e per le dimensioni. *Lungh.* mm. 0,8; *alt.* mm. 0,5. — Trovasi nel *piacenziano* di ARIGNANO.

*Cythere Dumontiana*, Bosquet, fig. 6, a, b.

1852. *Cyt. Dum.*, BOSQUET, Op. cit., pag. 120, tav. VI, fig. 6, a-d.

Valve ovali, che posteriormente terminano con un lobo compresso, acuto, privo dei denti trovati dal BOSQUET nella propria specie. Nella regione pettorale si trova una potente carena che finisce in un orlo arrotondato: essa è percorsa ai lati da una serie di punti concavi. — *Lungh.* mm. 0,78; *alt.* mm. 0,4. — Trovasi nel *piacenziano* di PINO D'ASTI.

*Cythere emaciata*, Brady, fig. 7, a, b, c.

1866. *Cyt. em.*, BRADY, "Brit. Assoc. Report", pag. 210.

1870. *Cyt. em.*, BRADY, *A Mon. of the Recent British Ostracoda*, "The Trans. of the Linnean Soc. of London", vol. XXVI, pag. 414, tav. XXXI, fig. 31-37.

1874. *Cyt. em.*, BRADY, *A Monog. of the post-tertiary Entomostr. of Scotland*, "The Palaeont. Soc.", vol. XXVIII, pag. 161, tav. IX, fig. 14-17.

1880. *Cyt. em.*, SEGUENZA, *Le formazioni terziarie di Reggio (Calabria)*, "Atti R. Acc. Lincei", serie 3<sup>a</sup>, vol. VI, pag. 363.

Valve convesse, subquadrangolari, ad estremità anteriore obliquamente curva, posteriore tronca. La superficie è elegantemente ornata da 3 o 4 sporgenze longitudinali, da cui altre si dipartono seguendo varie direzioni. Lungo il margine anteriore le concavità assumono regolare forma quadrata e si dispongono parallelamente a detto margine. — *Lungh.* mm. 0,9; *alt.* mm. 0,5; — È abbondante nelle argille di CRESCENTINO, rara in quelle delle altre località.



*Cythere fimbriata*, Münster, fig. 8, a, b, c.

1830. *Cyt. fimb.*, MÜNSTER, "Neues Jahr. f. Min. u. G.", pag. 63.  
 1838. *Cyt. fimb.*, ROEMER, Op. cit., pag. 518, tav. VI, fig. 29.  
 1894. *Cyt. fimb.*, LIENENKLAUS, *Mon. d. Ostrac. d. nordwest. Tertiärs*, "Zeit. d. Deut. geol. Gesell.", pag. 216.  
 1897. *Cyt. fimb.*, LIENENKLAUS, *Die Ostrac. a. d. Miocaen v. Ortenburg in Nieder-Baiern*, "Sitz. d. math. phys. cl. d. k. b. Akad. d. Wiss. zu München", pag. 195.

Valve subtetragone, munite anteriormente e posteriormente di fini denticoli. Una cresta dorsale ed un'altra marginale si trovano sulla liscia loro superficie. — *Lungh.* mm. 0,85; *altezza* mm. 0,45. — Trovasi nel *piacenziano* di VILLALVERNIA, di PINO D'ASTI e di CRESCENTINO.

*Cythere Formae*, n. f., fig. 9, a, b.

Valve a contorno dentellato, terminate nella parte posteriore in un lobo acuto finiente in punta smussata. La superficie appare punteggiata per un gran numero di incavi rotondeggianti o grossolanamente esagonali, e la vòlta dorsale delle valve è separata dalla regione pettorale per una carena, che s'eleva con dolce pendenza dal lato dorsale e cade quasi perpendicolarmente sul margine anteriore dal lato ventrale. Questa forma si avvicina al *Cytheropteron triangulare* Jones, ma ne differisce evidentemente, oltrechè per le dimensioni, anche per l'ornamentazione della sua superficie. — *Lungh.* mm. 0,7; *alt.* mm. 0,45. — Trovasi nel *piacenziano* di PINO D'ASTI e nel RIO TORSERO presso ALBENGA.

*Cythere hystrix*, Reuss., fig. 10, a, b, c.

1850. *Cypridina hist.*, REUSS., *Die foss. Entomotr. des oesterr. Tertiärbeck*, "Haidinger Naturw. Abhandl.", pag. 74, tav. X, fig. 6.  
 1880. *Cyt. histr.*, SEGUENZA, Op. cit., pag. 124.

Valve ovali, a margini seghettati per una serie di fine sporgenze che pur coprono tutta la superficie della conchiglia. I miei esemplari corrispondono per la forma alla fig. e descrizione date dal REUSS, però le spine non sono tutte bifide come nei suoi,



ma bensì alcune si ramificano, altre rimangono semplici. — *Lungh.* mm. 1; *alt.* mm. 0,6. — Abbonda nel *piacenziano* di RIO TORSERO (ALBENGA).

*Cythere cornuta*, Roemer, *var. gibbosa*, fig. 11, a, b.

Ho chiamato così questa varietà perchè differisce dal tipo di ROEMER e dalle forme assai diverse riferite alla stessa specie da REUSS, BOSQUET, JONES, EGGER, SPEYER, LIENENKLAUS, SEGUENZA, per la gibbosità della carena, che termina in punta assai più breve e piccola. — *Lungh.* mm. 0,9; *alt.* mm. 0,45. — Trovasi rara al RIO TORSERO, abbondante ad ARIGNANO.

*Cythere Jonesii*, Baird, fig. 12, a, b, c.

1850. *Cythereis* Jon., BAIRD, pag. 175, tav. XX, fig. 1.  
 1863. *Cyt. subcoronata*, O. SPEYER, *Die Fossilen aus d. Casseler Tertiärbild.*, pag. 38, tav. IV, fig. 9, a-e; fig. 10.  
 1865. *Cythereis spectabilis*, SARS, *Overs Norges mar. Ostracod.*, pag. 46.  
 — *Cythereis subcoronata*, BRADY, "Trans. Zool. Soc.", vol. V, pag. 384, tav. IX, fig. 9, a-e.  
 1868. *Cyt. Jonesii*, BRADY, pag. 418, tav. XXX, fig. 13-16.  
 1874. *Cyt. Jon.*, BRADY, *Op. cit.*, pag. 171, tav. XII, fig. 4-6.

Questa forma venne stupendamente figurata dal BRADY, sicchè mi fu facile il riconoscere la perfetta identità della forma tipica cogli individui da me esaminati. Le valve sono subquadrangolari, con margine elevato, sporgente e spinoso, specialmente dal lato dorsale ove si rendono ben visibili le due orecchiette cardinali coi loro tubercoli. La vòlta delle valve è sormontata da una cresta asimmetrica assai spinosa, che termina con una lunga sporgenza a clava. — *Lungh.* mm. 1; *alt.* mm. 0,4. — Trovasi nel *piacenziano* di RIO TORSERO presso ALBENGA, di BORDIGHERA, di ARIGNANO.

*Cythere Jonesii*, *var. ceratoptera*, Bosquet, fig. 13.

1852. *Cyt. ceratoptera*, BOSQUET, *Op. cit.*, pag. 114, tav. VI, fig. 2.  
 1856. *Cyt. ceratoptera*, JONES, *Op. cit.*, pag. 39, tav. IV, fig. 1.  
 1863. *Cyt. monoceros*, O. SPEYER, *Op. cit.*, pag. 36, tav. IV, fig. 8, a-c,  
*Atti R. Accad. - Parte Fisica, ecc.* — Vol. XXXV. 5



1874. *Cyt. Jonesii*, var. *ceratop.*, BRADY, Op. cit., pag. 171, tav. XII, fig. 7.  
 1880. *Cyt. cerapt.*, SEGUENZA, Op. cit., pag. 125.  
 1894. *Cyt. fimbriata*, LIENENKLAUS, Op. cit., pag. 216.

Pure questa forma venne benissimo figurata e distinta dalla tipica *Cyt. Jonesii* dal Brady. Si distingue dalla forma tipica per non avere la sommità della carena, come pure i margini anteriore dorsale e posteriore, provvisti dei denticoli che molto sviluppati e sporgenti si trovano nella *Cyt. Jonesii*. — *Lungh.* mm. 0,9; *alt.* mm. 0,5. — Trovasi abbondante colla tipica *Jonesii* nel *piacenziano* di ARIGNANO e del RIO TORSERO presso ALBENGA.

***Cythere Jurinei*, Münster, fig. 14, a, b.**

1830. *Cyt. Jur.*, MÜNSTER, Op. cit., pag. 62.  
 1838. Id., RÖMER, Op. cit., pag. 516, tav. VI, fig. 12.  
 1852. Id., BOSQUET, Op. cit., pag. 56, tav. II, fig. 9, a-d.  
 1858. Id., var. *semiornata*, EGGER, *Die Ostracoden der Miocän Schichten bei Ortenburg in Nieder-Bayern*, pag. 418, tav. XVI, fig. 5, a-f.  
 1863. Id., O. SPEYER, Op. cit., pag. 15, tav. II, fig. 5. a-d.  
 1894. *Cyt. Jurin.*, LIENENKLAUS, Op. cit., pag. 175.  
 1897. *Cyt. Jurin.*, LIENENKLAUS, Op. cit., pag. 187.

Valve ovali, ornate da 4 o 5 solchi lisci e senza i punti incavati osservati dal BOSQUET nella forma da lui riferita a questa specie. — *Lungh.* mm. 0,95; *alt.* mm. 0,45. — Trovasi nel *piacenziano* di VILLALVERNIA e di CRESCENTINO.

***Cythere laticarina*, Brady, fig. 15, a, b.**

1868. *Cyt. latic.*, BRADY, Op. cit., pag. 412, tav. XXXI, fig. 1-4.  
 1874. Id., BRADY, Op. cit., pag. 158, tav. IX, fig. 23-26.

Valve subquadrangolari, a superficie segnata da solchi poliedrici, che si fanno più ampi nella regione anteriore e posteriore. Visibilissimo il tubercolo cardinale. — *Lungh.* mm. 0,95; *alt.* mm. 0,55. — Frequente nel *piacenziano* di RIO TORSERO presso Albenga, di CRESCENTINO, di VILLALVERNIA.



*Cythere villosa*, Sars., fig. 16, a, b.

1865. *Cythereis vill.*, Sars., Op. cit., pag. 42.

1868. *Cyt. vill.*, Brady, Op. cit., pag. 411, tav. XXIX, fig. 28-32.

1874. *Cyt. vill.*, Brady, Op. cit., pag. 157, tav. III, fig. 7-13.

Valve semilunari, a superficie coperta da cavità circolari, ellissoidali, che lungo i margini si allineano regolarmente. — *Lungh.* mm. 0,6; *alt.* mm. 0,45. — Trovasi nel piacentiano di CRESCENTINO.

*Cythere lauta*, Brady, fig. 17, a, b.

1880. *Cyt. lauta*, Brady, Op. cit., pag. 85, tav. XXI, fig. 4, a-d.

Valve subquadratiche, a margine anteriore e posteriore dentellato e percorso da una carena che termina all'orecchietta cardinale anteriore. Un'altra sinuosa carena percorre la vòlta delle valve obliquamente dirigendosi dal lato ventrale anteriore al lato dorsale posteriore. La superficie delle valve è ornata da molte concavità pentagone. — *Lungh.* mm. 0,85; *alt.* mm. 0,45. — Trovasi nel piacentiano di CRESCENTINO, di VILLALVERNIA, di PINO D'ASTI.

*Cythere mirabilis*, Brady, fig. 18, a, b.

1868. *Cyt. mirab.*, Brady, Op. cit., pag. 415, tav. XXIX, fig. 7-8.

1874. *Cyt. mirab.*, Brady, Op. cit., pag. 167, tav. VII, fig. 22-27 e tav. XV, fig. 13-16.

I miei esemplari sono più regolarmente quadrangolari, del resto concordano per gli altri caratteri colla tipica forma del BRADY. Ben visibile in tutti gli esemplari la serie di solchi concentrici sul margine ventrale ed anteriore, e le fossette poligonali della parte superiore della valva e del margine dorsale. — *Lunghezza* mm. 0,95; *alt.* mm. 0,5. — Trovasi nel piacentiano di CRESCENTINO e di VILLALVERNIA.

*Cythere pectinata*, Bosquet, fig. 19, a, b, c, d.

1852. *Cyt. pect.*, Bosquet, Op. cit., pag. 113, tav. VI, fig. 1, a-d.

Questa *Cythere* corrisponde alla figura del BOSQUET; però la carena finisce posteriormente con tre denti; inoltre le estremità



delle valve sono provviste di un margine elevato con una serie di 7 ad 8 spine anteriormente e 3 o 4 posteriormente. Questo per le specie provenienti dalle sabbie di CRESCENTINO. Gli esemplari di ARIGNANO sono alquanto più piccoli, più convessi, a cresta più tagliente, provvista di tre spine più acute. — *Lunghezza* mm. 0,8; *alt.* mm. 0,4. — Trovasi abbondante nel *piacenziano* di CRESCENTINO; più rara ad ARIGNANO.

*Cythere punctata*, Münster, fig. 20, a, b.

1830. *Cyt. punct.*, MÜNSTER, Op. cit., pag. 62.  
 1838. *Cytherina punct.*, ROEMER, Op. cit., pag. 515, tav. VI, fig. 2.  
 1850. *Cypridina punct.*, REUSS., Op. cit., pag. 68, tav. IX, fig. 24. — *Cyprid punctatella*, Id., pag. 65, tav. IX, fig. 15.  
 1850. *Cyt. convexa*, BAIRD, *Brit. Ent.*, pag. 174, tav. XXI, fig. 3.  
 1852. *Cyt. punctatella*, BOSQUET, Op. cit., pag. 75, tav. III, fig. 12.  
 1856. *Cyt. punct.*, JONES, Op. cit., pag. 24, tav. II, fig. 5, a-h.  
 1858. *Cyt. punct.*, EGGER, Op. cit., pag. 424, tav. XVII, fig. 5, a-d.  
 1863. *Cyt. ampli-punct.*, SPEYER, Op. cit., pag. 13, tav. II, fig. 3, a-e; fig. 4.  
 1870. *Cyt. convexa*, BRADY, Op. cit., pag. 401, tav. XXIX, fig. 19-27.  
 1880. *Cyt. punct.*, SEGUENZA, Op. cit., pag. 78, 124, 191, 288, 324 e *Cyt. convexa*, pag. 191, 288, 363.  
 1883. *Cyt. convexa*, SEGUENZA, *Il quaternario di Rizzolo*, pag. 20.  
 1889. *Cyt. punct.*, TERRIGI, *Il calcare (Macco) di Palo e sua fauna microscopica*, "Atti R. Acc. Lincei", vol. VI, serie 4<sup>a</sup>, pag. 99, tav. I, fig. 4-7.  
 1894. *Cyt. punct.*, LIENENKLAUS, Op. cit., pag. 193.  
 1897. *Cyt. punct.*, LIENENKLAUS, Op. cit., pag. 191.

Valve a contorno subovale, colla superficie ornata da una serie di cavità subesagonali concentriche. — *Lungh.* mm. 0,8; *alt.* mm. 0,5. — Assai abbondante nel *piacenziano* del RIO TORSETO presso ALBENGA e di VILLALVERNIA, di ARIGNANO, di PINO D'ASTI.

*Cythere spinosissima*, n. f., fig. 21, a, b.

Valve subtetragone, completamente coperte da sottilissimi aculei diritti e mai ramificati. Ben visibili le due orecchiette cardinali, di cui l'anteriore porta il solito tubercolo caratteristico. Ha questa forma una qualche somiglianza colla *Cypridina hystrix* Reuss e colla *Cypridina coelacantha* Reuss, ma differisce da entrambe per avere le spinosità semplici e mai perfo-



rate o ramificate all'apice; se ne stacca inoltre evidentemente per la forma esterna alquanto più depressa. — *Lungh.* mm. 0,7; *alt.* mm. 0,45. — Trovasi nel RIO TORSERO presso ALBENGA.

*Cythere Stimpsoni*, Brady, fig. 22, a, b.

1880. *Cyt. Stimp.*, BRADY, Op cit., pag. 85, tav. XXI, fig. 6, a-h.

1869. *Cyt. Stimp.*, BRADY, " Ann. and. Mag. Nat. Hist. „, serie 4<sup>a</sup>, vol. III, pag. 48, tav. VII, fig. 9-12.

Valve ovali, anteriormente e posteriormente denticolate, colla superficie ornata da numerose cavità irregolari e da sporgenze dirette longitudinalmente. — *Lungh.* mm. 0,8; *alt.* mm. 0,45. — Trovasi a CRESCENTINO ed a PINO D'ASTI.

*Cythere tricarenata*, n. f., fig. 23, a, b. c.

Le valve di questa *Cythere* sono percorse da tre sporgenze longitudinali, di cui la più potente si erge nella regione pettorale e termina con una punta; la seconda più bassa corre lungo l'asse longitudinale e termina pure con una breve punta; la terza è compresa fra i due tubercoli cardinali è poco sporgente, sprovvista di aculei. Le regioni anteriore e posteriore sono munite di denti clavati. Questa *Cythere* s'avvicina alla *Cyt. quadriaculeata* Brady, ma ne differisce per essere provvista della carena dorsale, dei denti alle estremità, oltrechè per le dimensioni. — *Lungh.* mm. 1; *alt.* mm. 0,5. — Trovasi nel piacentiano di ALBENGA (RIO TORSERO). È molto rara.

*Cythere secata*, n. f., fig. 24, a, b, c, d.

Questa *Cythere*, dalle valve subquadratiche, è sprovvista di aculei, ma munita di una serie di fossette quadrangolari che circondano specialmente il margine anteriore. La superficie è guernita di solchi longitudinali paralleli, bruscamente interrotti verso la regione mediana da un seno molto incavato. Il numero delle creste sporgenti è generalmente di tre o quattro, e queste sono contornate da incavi regolarmente disposti. Questa *Cythere* ha qualche rapporto con la *Cyt. multicostata* Bosq., *vermiculata*



Terrigi e *H. scripta*, n. f., ma ne differisce essenzialmente per avere le sporgenze longitudinali tronche verso il mezzo da un seno concavo e profondo. — *Lungh.* mm. 0,8; *alt.* mm. 0,5. — Trovasi nel *piacenziano* di VILLALVERNIA.

*Cythereis senilis*, Jones, fig. 25.

1856. *Cyt. senil.*, JONES, Op. cit., pag. 37, tav. III, fig. 8, a, b.

1880. *Cyt. senilis*, SEGUENZA, Op. cit., pag. 363.

Valve quadrangolari, allargate nella parte anteriore, tronche e dentellate nella posteriore. Due carene percorrono la loro superficie: una marginale ventrale, che s'incurva anteriormente e termina al tubercolo cardinale, l'altra posta lungo l'asse longitudinale. La cresta delle carene è provvista di tubercoli. — *Lungh.* mm. 0,7; *alt.* mm. 0,4. — È discretamente abbondante nel *piacenziano* di CRESCENTINO.

*Cytherella compressa*, Münster, fig. 26, a, b.

1830. *Cythere comp.*, MÜNSTER, Op. cit., pag. 64.

1838. *Cytherina comp.*, ROEMER, Op. cit., pag. 517, tav. VI, fig. 14. — *Cytherina aciculata*, pag. 517, tav. VI, fig. 21.

1850. *Cytherina comp.*, REUSS., Op. cit., pag. 14, tav. VIII, fig. 15, a-b.

1852. *Cytherella comp.*, BOSQUET, Op. cit., pag. 11, tav. I, fig. 1, a-f.

1856. *Cyt. comp.*, JONES, Op. cit., pag. 54, tav. V, fig. 21-23.

1858. *Cyt. comp.*, EGGER, Op. cit., pag. 404, tav. XV, fig. 2.

1863. *Cyt. Beyrichi*, SPEYER, Op. cit., pag. 54, tav. I, fig. 1.

1880. *Cyt. comp.*, SEGUENZA, Op. cit., pag. 78, 126, 194, 292.

1887. *Cyt. Beyrichi*, JONES, *On Tertiary Entomostraca*, "The Geol. Magaz.", sett.-ott., pag. 458, tav. XI, fig. 19.

1894. *Cyt. comp.*, LIENENKLAUS, Op. cit., pag. 266.

1897. *Cyt. comp.*, LIENENKLAUS, Op. cit., pag. 207.

Valve reniformi, a superficie liscia e lucente. Sezione trasversale a contorno di un ovale allungato. — *Lungh.* mm. 0,9; *alt.* mm. 0,5. — Trovasi nel *piacenziano* di RIO TORSERO, di CRESCENTINO, di ARIGNANO, di VILLALVERNIA. È pure assai comune nelle sabbie gialle *astiane* del Piemonte.



***Cytheropteron triangulare*, Reuss, fig. 27, a, b, c.**

1855. *Cythere triang.*, REUSS., "Zeit. Deut. geol. Gesell.", VIII, pag. 279, tav. X, fig. 3.  
 1856. *Cythere triang.*, JONES, Op. cit., pag. 25, tav. VII, fig. 5, a-g.  
 1865. *Cythere tenuicristata*, REUSS., Op. cit., pag. 23, fig. 12.  
 1880. *Cyt.<sup>on</sup> mucronalatum*, BRADY, Op. cit., pag. 140, tav. XXXIII, fig. 8. — *Cyt.<sup>on</sup> fenestratum*, pag. 139, tav. XXXIV, fig. 6.  
 1887. *Cyt.<sup>on</sup> triang.*, JONES, Op. cit., pag. 457, tav. XI, fig. 16.  
 1894. *Cythere triang.*, LIENENKLAUS, Op. cit., pag. 202.

Le valve sono ovali, con un sottilissimo orlo anteriore munito di numerosi denti acuti; esso è trasparente e lascia scorgere nel suo spessore linee divergenti dal centro. Sotto forte ingrandimento sulla liscia superficie si vedono numerosi punticini d'inserzione dei peli. Una cresta longitudinale spostata dall'asse verso la regione ventrale ne percorre la superficie, e questa porta qualche volta delle spine. — *Lungh.* mm. 1,35; *alt.* mm. 0,7; — È abbondante ad ARIGNANO, BORDIGHERA, ALBENGA; scarsa a CRESCENTINO, PINO D'ASTI, VILLALVERNIA.

***Cypris longa*, Reuss, fig. 28.**

1850. *Cyterina longa*, REUSS., Op. cit., pag. 53, t. XI, fig. 2.  
 1894. *Cytherella Beyrichi*, var. *elongata*; LIENENKLAUS, Op. cit., pag. 264.

Valve reniformi, ventralmente concave, molto convesse dorsalmente. La superficie lucida e liscia non lascia scorgere che una finissima punteggiatura al microscopio. — *Lungh.* mm. 0,9; *alt.* mm. 0,35. — Trovasi nel *piacenziano* di CRESCENTINO, VILLALVERNIA, BORDIGHERA; abbondante nell'*astiano* dell'ASTIGIANO.

***Bairdia arcuata*, Münster, fig. 29.**

1830. *Cyt. arc.*, MÜNSTER, Op. cit., pag. 63.  
 1838. *Cyterina arc.*, ROEMER, Op. cit., pag. 517, tav. VI, fig. 17.  
 1849. *Cyterina arc.*, ROEMER, pag. 11, tav. VIII, fig. 7, a, b. — 1849. *Bairdia siliqua*, JONES, *Mon. Ent. cret. form. Engl.*, pag. 25, tav. V, fig. 16, e-g.  
 1850. *Cyterina arc.*, REUSS., Op. cit., pag. 51, tav. VIII, fig. 7.  
 1852. *Bairdia arc.*, BOSQUET, Op. cit., pag. 32, tav. I, fig. 14, a-d.  
 1856. *Cytherideis flavida*, JONES, Op. cit., pag. 50, tav. IV, fig. 4, a-c.  
 1858. *Bairdia arc.*, EGGER, Op. cit., pag. 405, tav. XIV, fig. 2, a-e.  
 1863. *B. arc.*, SPEYER, Op. cit., pag. 41, tav. I, fig. 3.



1880. *B. arc.*, SEGUENZA, Op. cit., pag. 77.  
 1894. *B. arcuata*, LIENENKLAUS, Op. cit., pag. 169.  
 1997. *B. arc.*, LIENENKLAUS, Op. cit., pag. 187.

Valve ovali, arrotondate anteriormente, acuminate posteriormente. Il margine dorsale è arcuato, il ventrale leggermente concavo. Superficie convessa, lucente, con piccolissimi punticini d'inserzione di peli. — *Lungh.* mm. 1; *alt.* mm. 0,45. — Trovasi nel *piacenziano* di ALBENGA, CRESCENTINO, PINO D'ASTI.

*Bairdia subdeltoidea*, Münster, fig. 30.

1830. *Cythere subdel.*, MÜNSTER, Op. cit., pag. 64.  
 1835. Id., pag. 446.  
 1838. *Cytherina subdel.*, ROEMER, Op. cit., pag. 517, tav. VI, fig. 16.  
 1840. *Cyt. subdel.*, ROEMER, *Die Werst. d. nord. Kreid.*, pag. 105, tav. XVI, fig. 22.  
 1845. *Cyt. subdel.*, REUSS, *Die Werst. d. böhm. Kreid.*, pag. 16, tav. V, fig. 38.  
 1847. *Cyt. trigona*, BOSQUET, *Descr. d. Ent. foss. d. l. Craie d. Maestrich*, pag. 8, tav. 1, fig. 3, *a-e*.  
 1847. *Cyt. trigona*, BOSQUET, " *Mém. Soc. R. Sc. d. Liège* „, pag. 358, tav. I, fig. 3, *a-e*.  
 1849. *Baird. subd.*, JONES, Op. cit., pag. 23, tav. V, fig. 15, *a-f*.  
 1850. *Cyt. subdel.*, REUSS., Op. cit., pag. 9, tav. VIII, fig. 1, *a-b*.  
 1852. *Baird. subdel.*, BOSQUET, Op. cit., pag. 29, tav. I, fig. 13, *a-d*.  
 1856. *B. sub.*, JONES, Op. cit., pag. 52, tav. IV, fig. 2, *a-b* e tav. VI, fig. 1, *a, b, c*.  
 1858. *B. sub.*, EGGER, Op. cit., pag. 405, tav. XIV, fig. 1, *a-d*.  
 1863. *B. sub.*, SPEYER, Op. cit., pag. 43, tav. I, fig. 5, *a-c*.  
 1868. *B. inflata*, BRADY, Op. cit., pag. 388, tav. XXVII, fig. 9-17.  
 1874. *B. inflata*, BRADY, Op. cit., pag. 139, tav. XV, fig. 1-4.  
 1880. *B. sub.*, SEGUENZA, Op. cit., pag. 77, 191, 124, 288, 324, 362.  
 1883. *B. sub.*, SEGUENZA, Op. cit., p. 12.  
 1889. *B. sub.*, TERRIGI, Op. cit., pag. 98, tav. I, fig. 9.  
 1894. *B. sub.*, LIENENKLAUS, Op. cit., pag. 168.  
 1897. *B. sub.*, LIENENKLAUS, Op. cit., pag. 187.

Valve dorsalmente arrotondate, che finiscono posteriormente in punta spostata verso il lato ventrale. Il lato dorsale ha il contorno di un semiesagono regolare, il ventrale è leggermente concavo nella sua parte mediana. La superficie è liscia, ma vista sotto forte ingrandimento presenta numerosi punticini d'inserzione dei peli. Verso la metà delle valve, specialmente se ben pulite ed impregnate di un liquido rifrangente, scorgesi una macchia con punti più trasparenti, caratteristica per le Bairdie. — *Lungh.* mm. 1,37; *alt.* mm. 0,8. — Trovasi abbondante nel RIO TORSERO, a BORDIGHERA, ad ARIGNANO, CRESCENTINO, VILLALVERNIA.











## SPIEGAZIONE DELLA TAVOLA

*a*, valve viste dal di sopra; *b*, valve viste dal lato ventrale; *c*, valve viste dal di sotto: tutte all'ingrandimento di 22 diametri; *v. s.* valva sinistra; *v. d.* valva destra.

Fig. 1. *Cythere H-scripta* n. f. (v. s.).

- |   |     |   |  |
|---|-----|---|--|
| " | 2.  | " | <i>cytheropteroides</i> BRADY (v. s.).             |
| " | 3.  | " | <i>clavigera</i> n. f. (v. s.).                    |
| " | 4.  | " | <i>costellata</i> ROEMER (v. s.).                  |
| " | 5.  | " | <i>denticulata</i> n. f. (v. d.).                  |
| " | 6.  | " | <i>Dumontiana</i> BOSQUET (v. s.).                 |
| " | 7.  | " | <i>emaciata</i> BRADY (v. d.).                     |
| " | 8.  | " | <i>fimbriata</i> MÜNSTER (v. s.).                  |
| " | 9.  | " | <i>Formae</i> n. f. (v. d.).                       |
| " | 10. | " | <i>hystrix</i> REUSS (v. s.).                      |
| " | 11. | " | <i>cornuta</i> var. <i>gibbosa</i> ROEMER (v. s.). |
| " | 12. | " | <i>Jonesii</i> BAIRD (v. s.).                      |
| " | 13. | " | "      var. <i>ceratoptera</i> BOSQUET (v. s.).    |
| " | 14. | " | <i>Jurinei</i> MÜNSTER (v. s.).                    |
| " | 15. | " | <i>laticarina</i> BRADY (v. s.).                   |
| " | 16. | " | <i>villosa</i> SARS (v. s.).                       |
| " | 17. | " | <i>lauta</i> BRADY (v. s.).                        |
| " | 18. | " | <i>mirabilis</i> BRADY (v. s.).                    |
| " | 19. | " | <i>pectinata</i> BOSQUET (v. d.).                  |
| " | 20. | " | <i>punctata</i> MÜNSTER (v. s.).                   |
| " | 21. | " | <i>spinosissima</i> n. f. (v. s.).                 |
| " | 22. | " | <i>Stimpsoni</i> BRADY (v. s.).                    |
| " | 23. | " | <i>tricarenata</i> n. f. (v. d.).                  |
| " | 24. | " | <i>secata</i> n. f. (v. s.).                       |
| " | 25. | " | <i>senilis</i> JONES (v. s.).                      |
| " | 26. |   | <i>Cytherella compressa</i> MÜNSTER (v. s.).       |
| " | 27. |   | <i>Cytheropteron triangulare</i> REUSS (v. s.).    |
| " | 28. |   | <i>Cypris longa</i> REUSS (v. s.).                 |
| " | 29. |   | <i>Bairdia arcuata</i> MÜNSTER (v. s.).            |
| " | 30. | " | <i>subdeltoidea</i> MÜNSTER (v. s.).               |



*Sull'età di alcuni terreni terziarii  
dell'Appennino;*

Nota di FEDERICO SACCO.

---

Nello studio dell'Appennino italiano, specialmente di quella parte che si estende dall'Emilia alla Toscana ed all'Umbria, si va da alcuni anni accentuando attorno ad una importantissima formazione geologica un forte disaccordo fra quanto risulta al Geologo nel rilevamento in campagna e quanto conclude il Paleontologo dallo studio dei fossili.

Tale disaccordo, che già erasi iniziato oltre trent'anni fa, è diventato sempre più forte in questi ultimi anni coll'aumentare degli studi fatti in proposito, ed esso è tanto più deplorabile pel fatto che trattasi di una formazione che è una delle più estese e potenti nell'Appennino, cioè della formazione marnoso-arenacea nota generalmente col nome di *Macigno* con tutte le sue numerose modificazioni di *facies* e di costituzione più o meno marnosa o calcarea ecc.

Detta formazione dapprima ritenuta come molto antica, cioè come *terreno di transizione*, quindi confusa col Cretaceo, come è noto venne a poco a poco (verso la metà di questo secolo per opera di Pilla, Murchison, Savi, Meneghini, A. Sismonda, ecc.) staccata dal Cretaceo e invece riferita all'Eocene.

Fu il Bianconi che descrivendo le sue “ *Escursioni geologiche e mineralogiche nel territorio Porretano*, Bologna, 1867 „, ma specialmente in uno dei suoi ultimi lavori (*Considerazioni intorno alla formazione miocenica dell'Appennino*, 1877), facendo risaltare l'analogia di alcune impronte di *Cassidaria* del *Macigno* di Porretta con altre consimili del Miocene di M. Paderno presso Bologna cominciò ad emettere il dubbio che anche il *Macigno* fosse miocenico.

Tale concetto accennava pure poco dopo il De Stefani in alcune osservazioni inserite nei Proc. Verb. della Soc. tosc. di



Scienze Nat. del 1878; in seguito lo stesso De Stefani avendo studiato “ *I fossili di Dicomano in Toscana e della Porretta nel Bolognese*, 1880 „, collocava i terreni che li racchiudono nel *Miocene superiore* o nel *Sarmatiano*.

Poco dopo il medesimo autore nel suo lavoro intitolato “ *Il Tortoniano dell'alta Valle del Tevere*, 1880 „, avendo esaminato i fossili che si raccolgono in certe zone marnoso-arenaceo-calcaree che si sviluppano tra Umbertide e Borgo S. Sepolcro, nonchè nel Perugino, li attribuì pure al *Miocene superiore* o *Tortoniano*, indicando anzi che il Foresti, a cui egli aveva comunicato detti fossili, li riteneva *sarmatiani*. Nello stesso anno anche il Bosniaski collocava il *Macigno* della Porretta e di Dicomano nel *Tortoniano* inferiore.

Nel 1881 l'interpretazione cronologica sovraccennata venne sempre più largamente svolta e confermata.

Infatti il Manzoni svolgeva l'idea del Bianconi nel suo studio “ *Della Miocenità del Macigno e dell'unità dei terreni miocenici del Bolognese*, 1881 „, confortandola di numerosi dati paleontologici raccolti, oltre che a Porretta, in numerose altre località del Bolognese e della Toscana (Bacino del Mugello, Dicomano, S. Godenzo, ecc.).

Il De Stefani, di nuovo studiando “ *Il Macigno di Porretta ed i terreni corrispondenti*, 1881 „, riconfermava la sua precedente conclusione.

Il Capellini, che fu tra i primi ad enunciare la presenza di fossili nel *Macigno* di Porretta, quando li illustrò nel suo lavoro “ *Il Macigno di Porretta e le roccie a Globigerine dell'Appennino Bolognese*, 1881 „, ritenne conveniente raccordare l'arenaria a Bivalvi di Porretta e Monte Cavallo coll'orizzonte della Pietra Leccese, collocandola così nell'*Elveziano* o nel *Langhiano superiore*. Poco dopo a consimile conclusione giunse lo stesso autore nel suo studio sopra “ *I calcari a Bivalvi di Monte Cavallo, Stagno e Casola nell'Appennino Bolognese*, 1881 „.

In questo periodo di tempo anche il Verri (1881, 1882, 1883), il Cafici ed altri trattando più o meno accidentalmente del *Macigno* della Porretta e di consimili terreni della Toscana e dell'Umbria li collocarono nel *Miocene*.

Più tardi il Gioli nel suo minuto studio sulla “ *Lucina pomum Duj.*, 1887 „, attribuiva consimili formazioni, special-



mente dell'Appennino tosko-romagnolo, al Miocene medio, confondendovi però anche terreni ben più giovani cioè, a mio parere, *messiniani*.

Nella *Carta geologica d'Italia* del 1889 vediamo segnata come miocenica una immensa estensione di formazioni marnoso-arenacee (zona del *Macigno* l. s.) nell'Appennino tosko-romagnolo ed umbro.

Nel 1895 il Trabucco in una Nota intitolata “ *Il Langhiano della Provincia di Firenze* „ collocava nel Miocene medio, piano *Langhiano*, la potente formazione sovraccennata della Toscana e della Romagna Toscana (Bacino del Mugello, Dicomano, S. Sofia, ecc.), citandovi i soliti fossili (*Aturia*, *Lucina*, *Solenomya*, Pteropodi, ecc.) a *facies miocenica*.

Recentemente nel suo lavoro “ *Stratigrafia dei Terreni ed Elenco delle Rocce della Provincia di Firenze*, 1898 „, il Trabucco attribuì di nuovo al *Langhiano* le formazioni di Dicomano, Vicchio, S. Godenzo, ecc., cioè l'immensa formazione marnoso-arenacea in esame che costituisce la massima parte dell'Appennino tosko-romagnolo.

È poi notevole come il signor A. Silvestri abbia nel corrente anno segnalato “ *Una nuova località di Ellipsoidina ellipsoides*, A. R. A. L. 1899 „, in marne sabbiose a N.-E. di S. Sepolcro, indicandovi pure varii Foraminiferi, Ostracodi, Molluschi e Denti di Pesce, cioè tutta una Fauna marina che egli attribuisce al Pliocene, deducendone quindi che nell'epoca pliocenica l'alta Valle del Tevere era occupata da un braccio di mare. I miei sommarii studi su tale regione non mi segnarono quivi che *Villafranchiano* ed Eocene, dal quale ultimo terreno non stupirei derivasse detta fauna pseudopliocenica.

Infine nel recentissimo “ *Contributo allo studio del Miocene nell'Umbria*, 1899 „, dovuto al Verri ed al De Angelis, si riconferma l'età miocenica di ampie zone di terreni della Valdichiana, della Valle del Tevere, ecc. che credo collegate alla formazione del *Macigno* (*lato sensu*).

Ma se l'accordo era per tal modo quasi unanime fra coloro che studiarono i fossili del *Macigno* e dei terreni corrispondenti, collocando il tutto in un piano più o meno alto del Miocene, diversamente si andava formando l'opinione in coloro che intanto



si occupavano del rilevamento geologico delle regioni dove detti terreni si sviluppano.

Vediamo infatti che il Taramelli, pur avendo solo visto di passaggio il Macigno di Porretta, nelle sue “ *Osservazioni geologiche fatte nel raccogliere alcuni campioni di Serpentine*, 1882 „ lo ritiene spettante al *Liguriano*, cioè all'Eocene.

Poco dopo il Lotti, che è certamente tra i geologi che più minutamente studiarono l'Appennino Toscano, scrivendo “ *Sulla posizione stratigrafica del Macigno della Porretta*, 1883 „ ritenne ancora eocenico detto terreno.

Più tardi nei miei studi geologici sommari (accompagnati da Carte geologiche alla scala di 1 a 100.000) sopra “ *L'Appennino dell'Emilia*, 1892 „, “ *La Toscana*, 1895 „ ed ultimamente “ *L'Appennino della Romagna*, 1899 „, non dubitai di collocare nell'Eocene (*Parisiano*) il Macigno di Porretta ed i famosi giacimenti fossiliferi di Dicomano e del Bacino di Mugello, nonchè le analoghe estesissime e potentissime formazioni geologiche.

Recentemente ancora il Lotti nei suoi interessanti “ *Studi sull'Eocene dell'Appennino toscano*, 1898 „, riaffermò con nuovi ed estesi dati l'età eocenica delle formazioni in questione, idea nella quale sono con lui d'accordo, salvo però che io credo egli estenda troppo l'Eocene, sia in alto, inglobandovi terreni oligocenici (come l'arenaria di Bismantova, ecc.) sia in basso, attribuendogli gran parte dei terreni cretacei (così potenti formazioni di argille scagliose; estese zone di schisti, come quelli di Pontassieve, dei dintorni di Poppi, di Barigazzo, di S. Agata sopra Scarperia, ecc., ecc.).

---

Mentre che per tal modo in quest'ultimo trentennio si andò svolgendo detta dualità, direi, tra i Paleontologi ed i Geologi rispetto alla grande zona del Macigno e delle formazioni affini, qualche cosa di simile, ma in modo meno avvertito, si verificò riguardo ad alcuni terreni marnoso-calcarei che credo quasi contemporanei a quelli del Macigno; voglio con ciò alludere a quei terreni tanto sviluppati ad Est della grandiosa zona meozoica di M. Nerone — M. Catria — M. Pennino — M. Cavallo — Gran Sasso d'Italia, ecc., ma specialmente nelle Marche dove



sono conosciuti volgarmente col nome di *bisciario*, *genga*, ecc., e da qualche anno nella scienza col nome di *Schlier*, *Marne cineree*, ecc.

Infatti tali calcari più o meno marnosi, grigi o biancastri, fin quasi a trent'anni fa subirono a un dipresso la stessa sorte del *Macigno*, cioè furono attribuiti al Cretaceo od all'Eocene.

È solo nel 1875 che il Mantovani nelle sue Osservazioni “ *Sulla formazione geologica delle Colline presso Ancona* „ cominciò a riferire al Miocene le marne calcaree di Ancona.

Nel 1879 le idee del Mantovani vennero completamente confermate dagli studii paleontologici del Capellini che nella sua importante Memoria “ *Gli strati a Congerie e le marne compatte mioceniche dei dintorni di Ancona* „, attribuì detti terreni all'*Elveziano* indicandoli col nome di *Schlier*, uno di quei tanti nomi esotici che, come *Leithakalk*, *Flysch*, ecc., portati in Italia da regioni dove la serie terziaria era ed è tuttora incompletamente decifrata, riuscirono ad imbrogliare gli studi della nostra splendida, tipica serie terziaria italiana. Dopo d'allora l'appellativo di *Schlier*, che originalmente corrisponde solo ad una *facies* speciale, marnosa, di un orizzonte miocenico, venne largamente usato per designare queste marne calcaree, ritenute appunto mioceniche, dell'Anconitano e delle Marche in generale.

Nel 1880 vediamo anche il Bosniaski collocare le Marne di Ancona col *Macigno* di Porretta e di Dicomano nel *Tortoniano inferiore*.

La *Carta geologica d'Italia* del 1889 indica nelle Marche come mioceniche amplissime zone rappresentate dalle marne calcaree in questione.

Il Simonelli facendo uno studio “ *Sopra la Fauna del cosiddetto Schlier del Bolognese e dell'Anconitano*, 1891 „, ritenne anche quest'ultimo come appartenente ad una formazione di mare profondo non più antica dell'*Elveziano*.

Nella bella conca di Camerino il Canavari raccolse fra le marne calcaree grigie che s'appoggiano alla *scaglia rosea* del Cretaceo superiore varii fossili, specialmente Molluschi, che paralizzò con quelli del Miocene, ed Echinodermi studiati dal De Loriol (*Descript. Echin. env. Camerino*); in diversi lavori e specialmente nella “ *Notice terr. Bass. Camerino*, 1892 „ che forma appendice a detto lavoro del Loriol, il Canavari attribuì tali marne calcaree grigie scagliose al Miocene. Qualche cosa di



simile venne segnalato nelle affini e contemporanee marne calcaree dei bacini di Pergola, di Ascoli Piceno, di alcune regioni del gruppo del Gran Sasso d'Italia, ecc.

In questi ultimi anni tali formazioni calcareo-marnose, quantunque in generale povere di fossili, fornirono al Cardinali, al conte F. Parteguelfa, al dott. D. Pascucci, al Luzi, ecc. un materiale abbastanza copioso studiato dal De Angelis e dal Luzi e reso pubblico coi due lavori: “ *I fossili dello Schlier di S. Severino (Marche)*, 1897 „ e “ *Altri fossili dello Schlier delle Marche*, 1899 „. Da questi studii paleontologici risultò che i sovraccennati terreni si dovevano attribuire alla parte superiore del Miocene medio. A conclusioni simili, sembra per terreni consimili nell'Italia centrale e nella Sicilia, erano pur già pervenuti il Cafici ed altri.

Nelle marne calcaree di Cantiano e di Cagli il Morena raccolse in questi ultimi tempi una fauna abbastanza copiosa che volle gentilmente comunicarmi e che a primo tratto ricorda certamente quella miocenica, per cui detto autore credette poter segnare in dette regioni diversi piani miocenici, ciò che penso essere assolutamente inammissibile.

Nella recente “ *Monografia dei Pettini miocenici dell'Italia centrale*, 1899 „ del dott. R. Ugolini l'autore non dubita neppure di attribuire al Miocene una quantità di Pettini delle formazioni arenacee e marnose in questione.

Viceversa negli studi geologici che ebbi occasione di fare in questi due ultimi anni nell'Urbinate, nell'Anconitano, nel Marchigiano, nel Piceno, ecc., esaminando con special cura i famosi terreni fossiliferi, detti miocenici, di Pergola, di Cantiano, di Cagli, di S. Severino, di Camerino, di Ascoli Piceno, di Ancona, ecc., parvemi che detti terreni fossero piuttosto riferibili all'Eocene.

---

Eccoci quindi ora davanti all'interessante dilemma: le potenti ed estese formazioni marnoso-arenacee del *Macigno* (*lato sensu*) ed analoghe, e quelle marnoso-calcaree conosciute col nome di *Schlier*, *Bisciario*, *Genga*, ecc. dell'Anconitano e delle Marche in generale, del Piceno, ecc., sono riferibili al Miocene come risulterebbe dagli studi paleontologici od all'Eocene come indicherebbero gli studi geologici?



Come cultore e professore di Paleontologia dovrei inclinare ad accettare come giusti ed inappellabili i responsi di questa Scienza; ma dopo aver percorso in ogni senso e per varii anni le formazioni in questione nell'Appennino settentrionale e centrale sino al Grossetano, all'Umbria ed al Piceno, facendone il rilevamento geologico, per quanto sommario, propendo per la seconda opinione.

Sperai dapprima che si potessero conciliare le due idee interpretando i suddetti terreni fossiliferi, a fauna pseudomiocenica, come formazioni oligoceniche prese fra pieghe di terreni eoeceni oppure sparse in placche su questi in modo consimile, per esempio, a quanto osservai in alcuni punti dell'alta Val Marecchia, ma dovetti poscia convincermi che tale interpretazione non sembra conforme ai dati stratigrafici, almeno in generale.

Invece l'esame di dette formazioni mi fece conoscere che:

1° Le zone fossilifere in questione sono racchiuse in terreni che talora passano in basso graduatissimamente, sotto il punto di vista sia litologico sia tettonico, al Cretaceo superiore, senza che appaia esistervi *hyatus* o salto stratigrafico, per cui dette zone sembrano naturalmente riferibili all'Eocene medio-inferiore od inferiore (come per esempio a Cantiano, a Cagli, a S. Angelo in Vado, in diversi punti presso Camerino, presso Pergola, ecc., ecc.). Talora esse sono coperte dalla potentissima pila della formazione del *Macigno* (Cantiano, S. Angelo, ecc.) e quest'ultima talvolta sopporta discordanti placche di tipico *Tongriano* (come tra Sasso Simone e Belforte).

2° In dette zone fossilifere, od a poca distanza, si incontrano talora Nummuliti ed Orbitoidi nonchè Fucoidi di tipo eocenico.

3° I fossili di tali zone sono per lo più mal conservati, incompleti e quindi poco si prestano generalmente ad una precisa determinazione specifica (1).

Aggiungasi che molte forme si conservarono con poche mutazioni dall'Eocene al Miocene e quindi hanno poco valore stra-

---

(1) Ricordo ad esempio, come in uno dei lavori paleontologici sul cosiddetto *Schlier* sia determinata, specificamente, una forma sopra *un frammento di un cattivo modello interno!* come dichiara lo stesso autore della determinazione.



tigrafico, oppure le loro leggiere mutazioni sono solo riconoscibili negli esemplari perfettamente conservati; anzi certe forme inferiori mantennero i loro caratteri specifici dall'Eocene sino all'epoca attuale.

Devesi anche tener conto che i Paleontologi che si occuparono di detti fossili ebbero specialmente per confronto le faune mioceniche tanto tipiche e frequenti in Italia, ciò che potrebbe spiegare in essi Paleontologi una naturale tendenza a parallelizzare tali fossili con quelli miocenici che avevano più comunemente fra le mani. Ricordo in proposito come la famosa formazione eocenica di Gassino, in Piemonte, abbia subito una sorte consimile a quella dei terreni in questione; essa infatti, dopo esser stata anticamente interpretata come epicretacea dal Collegno, venne poi da Sismonda, Michelotti, Mayer, Fuchs, ecc. ritenuta appunto come miocenica od oligocenica, finchè recenti studi accurati di specialisti provarono che parte dei creduti fossili miocenici (per esempio i denti di Pesce) dovevansi invece riferire a specie tipicamente eoceniche, troncandosi in tal modo una lunga e disgustosa polemica. Così pure devesi probabilmente attribuire in parte alla cattiva conservazione del materiale (e quindi alla sua difficile determinazione) il fatto che un valente paleontologo, dopo minuti speciali studii, attribuì al *Tortoniano* i fossili della Verna che io ritengo essere invece *tongriani*.

Credo pure qui opportuno notare come analogo il fatto che anche in Lombardia alcune formazioni marnose eoceniche furono dapprima ritenute mioceniche; così la bella zona marnosa di Varano presso il Lago di Canobbio venne nel 1882 dal Salmoiraghi in “ *Alcune osservazioni geologiche sui dintorni del lago di Canobbio* „, e nel 1887 dal Mariani nel suo minuto studio paleontologico sopra “ *La Molassa miocenica di Varano* „, attribuita al Miocene e più precisamente al *Langhiano*, finchè nel 1892 studiando “ *L'Anfiteatro morenico del lago Maggiore* „, riconobbi trattarsi di una zona *bartoniana* compresa tra le formazioni nummulitiche del *Parisiano* e la tipica formazione della *Gonfolite*, ritenuta pure generalmente miocenica, ma che in detto lavoro riconobbi come *tongriana*, come finalmente lo provarono recentissime scoperte paleontologiche.

È interessante osservare che alcuni fra i Paleontologi che si occuparono dei terreni in questione nell'Appennino constata-



rono, come scrisse il Capellini sin dal 1879 (*Gli strati a Congerie*, ecc. p. 146), il miscuglio di specie relativamente recenti e perfino attuali con tipi che si crederebbero cretacei, come, per esempio, certi *Amussium*, *Pholadomia* (*Procardia*), *Pleurotomaria*, *Hemipneustes*, ecc. Nè sarebbe poi impossibile che tale miscuglio potesse in qualche caso, fosse pur raro, derivare dal fatto che i terreni messiniani fossiliferi spesso sovraincombono direttamente ai terreni marnoso-calcarei in questione (per esempio nella regione del Trave presso Ancona, nella conca di Camerino, ecc.) donde la possibilità di confusioni nel raccogliere i fossili o nell'interpretarne la giacitura.

D'altronde non sono sfuggite ad alcuni Paleontologi, come al Capellini, al Simonelli, ecc. le affinità che le faune della zona del *Macigno* e del cosiddetto *Schlier* delle Marche presentano con certe faune eoceniche, come quelle del Nizzardo, d'Egitto, di Corbières, di St. Avit, del cosiddetto *Liguriano* di Häring nel Tirolo, ecc.

Ricordo inoltre che certi fossili indicati quasi come caratteristici del Miocene, così i denti di *Carcharodon* (tipo *Ch. megalodon*), le grandi *Lucina* (tipo *L. pomum*), alcune *Pycnodonta* (tipo *P. cochlear*), certe piccole *Ostrea*, alcune forme di *Pholadomia* (tipo *Ph. Canavarii*), *Chlamys* (tipo *Ch. scabrella*), *Pecten*, *Amussium* (tipo *A. anconitanum*, *A. corneum*), *Solenomya*, *Acesta* (tipo *A. miocenica*), *Aturia* (tipo *A. Aturi*), *Cassidaria* (*Galeodea*) (tipo *C. echinophora*), *Cirsotrema*, *Tugurium*, *Xenophora*, varii Pteropodi, ecc., si presentano con forme di cui si può constatare lo sviluppo dall'Eocene al Miocene e spesso anche sino al giorno d'oggi, talora con minime variazioni, appena riconoscibili su esemplari perfetti.

Infine molte differenze litologico-faunistiche, specialmente le tre più conosciute, cioè: *Arenarie a Pettini*, *Arenarie più o meno marnose a Lucine*, *Marne compatte a Pteropodi*, diventate famose per varie località fossilifere dell'Appennino ed interpretate talora come cronologicamente diverse, corrispondono invece sovente a semplici differenze di ambiente verificatesi in uno stesso periodo geologico.

Da tuttociò ne consegue naturalmente come non sembrano ancora abbastanza convincenti i responsi della Paleontologia per ritenere miocenici sia il *Macigno* e le formazioni arenaceo-marnose analoghe e connesse, sia i cosiddetti *Bisciaro*, *Schlier*, *Marne*



*cineree, Genga* e simili delle Marche e di gran parte dell'Appennino centrale, terreni tutti che al geologo operatore sembrano piuttosto riferibili all'Eocene. Sono quindi desiderabili ulteriori accurati studi paleontologici su esemplari meglio conservati e con confronto anche di materiale proveniente da vari orizzonti eocenici di *facies* affine a quella delle sovraccennate formazioni appenniniche, e non già solo dall'Eocene subsalmastro del Bacino di Parigi o da certe famose ma troppo speciali zone subalpine del Veneto, come generalmente si usa; allora soltanto si potrà sciogliere il problema in questione e troncare in tal modo un increscioso disaccordo fra i Geologi ed i Paleontologi.

Per conto mio, fino a prove contrarie irrefutabili, ritengo dette formazioni in generale come eoceniche, e penso che i fossili pseudomiocenici che esse racchiudono rappresentano quella fauna marina, finora poco conosciuta, dalla quale in gran parte sarebbe derivata la tanto nota e sviluppata fauna neogenica che caratterizzò i depositi circum-mediterranei dal Miocene ad oggi.

---

*L'Accademico Segretario*

ANDREA NACCARI.







---

---

CLASSE

DI

SCIENZE FISICHE, MATEMATICHE E NATURALI

---

Adunanza del 3 Dicembre 1899.

PRESIDENZA DEL SOCIO SENATORE PROF. GIUSEPPE CARLE

PRESIDENTE DELL'ACCADEMIA

---

Sono presenti i Soci: COSSA, Vice Presidente dell'Accademia, BIZZOZERO, Direttore della Classe, BERRUTI, D'OVIDIO, SPEZIA, CAMERANO, SEGRE, VOLTERRA, JADANZA, FOÀ, GUARESCHI, GUIDI, FILETI, PARONA e NACCARI, Segretario.

Il Segretario legge l'atto verbale dell'adunanza precedente, che viene approvato.

Il Socio SPEZIA presenta una nota del Dr. Giuseppe PIOLTI sopra *Una macina romana in leucotefrite trovata nei dintorni di Rivoli.*

Il Socio BIZZOZERO, a nome del Socio Mosso presenta una nota del Dott. Pasquale SFAMENI intorno a *Speciali terminazioni nervose trovate nei piccoli rami di nervi periferici.*

Le due note saranno inserite negli *Atti.*



---

## LETTURE

---

*Sopra una macina Romana in leucotefrite  
trovata nei dintorni di Rivoli (Piemonte);*

Osservazioni del Dott. GIUSEPPE PIOLTI  
Assistente al Museo Mineralogico dell'Università di Torino.  
(Con una tavola).

---

Negli ultimi giorni dello scorso ottobre mio figlio Ugo, diciassettenne, trovava in un campo situato tra Rivoli e Villarbasse, una pietra circolare scavata ad imbuto da ambe le parti, che gli parve costituita dalla stessa roccia descritta non è gran tempo dal Dott. Colomba (1), e che aveva servito come rivestimento delle parti superiori di un pozzo.

Recatomi tosto sul luogo, riconobbi con piacere che mio figlio non s'era sbagliato: trattavasi realmente d'un leucitofiro.

Vista l'importanza del fatto, senz'altro acquistai la pietra.

Come scorgesi dalla qui unita tavola, trattasi d'una macina, ma di lavoro molto più finito di quello di altre macine di cui ebbi occasione di vedere i disegni, come per esempio quelle figurate dal Brayda (2) e trovate presso Corbiglia, borgata situata tra Rivoli e Villarbasse. La roccia di cui è costituita la macina è una vera *leucotefrite* ed ha i seguenti caratteri.

Rarissima la presenza di *leucite* appartenente alla massa fondamentale; mancanza di inclusioni simmetriche nella leucite porfirica, i cui cristalli sono talora orlati da una serie di minutissimi cristalli, ora d'oligoclasio ed ora di pirosseno. Nella leucite porfirica talora si incontrano inclusioni feldspatiche, talora

---

(1) *Su alcuni materiali da costruzione in leucotefrite del sottosuolo di Torino*, "Atti della R. Accademia delle Scienze di Torino", vol. XXXIV, adunanza del 14 maggio 1899.

(2) *Studii medioevali* di R. BRAYDA e F. RONDOLINO. Villarbasse. Torino, Camilla e Bertolero, 1887, pp. 12 e 13.



G. PIOLTI: Sopra una macina romana in leucotefite  
trovata nei dintorni di Rivoli.

Atti d. R. Accad. delle Scienze di Torino Vol. XXXV.



Stab. Eliot. Mollese — Torino.







pirosseniche. Il pirosseno è pleocroico, con tinte che vanno dal verde azzurrognolo al giallo a giallo-verde. L'angolo d'estinzione  $r:c$  oscilla da  $39^\circ$  a  $50^\circ$  ed osservai anche un minimo di  $34^\circ$ , per cui è lecito supporre, con tali valori angolari d'estinzione e col fatto del pleocroismo ben marcato, si tratti d'*augitgirina*. Questo pirosseno presenta spesso inclusioni di magnetite e non di rado trovasi semplicemente unito a cristalli del detto minerale.

La *sanidina*, ora in cristalli geminati secondo la legge di Karlsbad, ora in cristalli semplici, è rara. Talora la sanidina ingloba in parte la leucite, ciò che dipende dal fatto che l'ortosio è di formazione posteriore a quella della leucite.

Il *plagioclasio* porfirico è spesso zonato e nelle zone esterne le sezioni con estinzione simmetrica rispetto alla linea di geminazione, hanno un angolo d'estinzione che oscilla da  $4^\circ$  a  $5^\circ$ ; per le zone interne invece, nelle sezioni in cui l'estinzione ha luogo simmetricamente rispetto alla traccia del piano 010 di geminazione, l'angolo d'estinzione oscilla da  $24^\circ$  a  $37^\circ$ . Quindi è lecito conchiudere si tratti di un nucleo di feldspato molto basico, circondato da zone di feldspati a basicità sempre decrescente, fino a giungere all'oligoclasio.

Si trova anche plagioclasio non zonato, colla geminazione polisintetica e con un angolo d'estinzione oscillante da  $21^\circ$  a  $25^\circ$  e questi individui probabilmente sono costituiti da un feldspato intermedio fra l'andesite e la labradorite.

La massa fondamentale è costituita da un finissimo intreccio di aghi d'oligoclasio e di pirosseno; poi havvi *magnetite* e poca sostanza vetrosa.

Ora il complesso di questi caratteri collima perfettamente colla descrizione che il Colomba pubblicò della leucotefrite trovata nel sottosuolo di Torino: nella mia roccia manca il gesso, ma non devesi dare alcuna importanza a tale fatto, poichè evidentemente, come suppose anche il Colomba, il gesso può essere derivato da infiltrazioni di acque esterne possibili in un sito e non in un altro.

Vengo insomma alla conclusione che se i preparati microscopici del Colomba ed i miei non portassero un numero d'ordine inciso sul vetro col diamante, sarebbe impossibile il distinguerli gli uni dagli altri.



Ciò posto, se ad infirmare la grande importanza archeologica della scoperta di pezzi di leucotefrite nel sottosuolo di Torino, si sarebbe potuto (a torto secondo me) tirare in campo il proverbio che una rondine non fa primavera, ora detta importanza viene ad aumentarsi, poichè ci troviamo in presenza di due manufatti d'una pietra caratteristica delle regioni circostanti ai vulcani Cimini e quindi bisogna ammettere che quelli siano di là provenuti.

Inoltre sorge un'altra questione: se esiste una macina in leucotefrite è probabile che ve ne siano altre, perchè una macina è uno strumento di uso troppo comune. Mentre vi sarebbe una ragione di fare un sigillo od un cofanetto od altro oggetto qualunque d'ornamento con una pietra rara, non è ammissibile che si sia cercato di far venire dalla Campagna Romana proprio una leucotefrite per farne una macina. Invece se si ammette che nei dintorni dei Cimini vi fossero fabbriche di macine con materiali presi sul luogo, come è probabile pel fatto accennato dal Colomba che ancora adesso esistono cave di leucotefriti colà, la cosa si spiega benissimo.

Un'industria del genere di questa, per essere remuneratrice, dev'essere fatta in grande. Le macine di selce molare di La Ferté, in Francia, vengono usate non solo in Europa, ma in tutto il mondo (1). Il sig. Sydney B. J. Skertchly nel 1888 (2) annunciò la scoperta, fattasi a Cherokée, contea di Butte (California) di circa trecento mortai di pietra trovati in una sabbia sotto al basalto. So dal Prof. Spezia che nell'Isola di Rügen, sul mar Baltico, nei campi presso ad Arcona si trova una quantità enorme di selci lavorate ed altre solo sbazzate; ma lì vicino, nella creta, si trovano abbondanti i noduli di selce che venivano poi usufruiti. Voglio dire con questi esempi che mortai, macine ed altri strumenti di uso comune si devono fare con materiali che si trovino in abbondanza in date località. E quindi venne in me l'idea di esaminare diligentemente i resti d'antichità Romane esistenti nel R. Museo d'Antichità di Torino. Il

---

(1) RAOUL JAGNAUX, *Traité de minéralogie appliquée aux arts, à l'industrie, au commerce et à l'agriculture*. Paris, 1885, p. 277.

(2) *Matériaux pour l'histoire primitive et naturelle de l'homme*. Vol. XXII 3<sup>e</sup> série, tome V, 1888, p. 505.



Prof. Comm. Ernesto Schiaparelli, Direttore del detto Museo, mi indicò un manufatto portante per iscrizione quanto segue:  
“ macina da grano antica in pietra del peso di Kg. 377, dissep-  
“ pellita in Roma nell'anno 1873 — Scavi per il palazzo del  
“ Ministero delle Finanze „.

Questa macina ha la forma d'un mezzo ellissoide cavo, ossia la forma che si otterrebbe tagliando un ellissoide con un piano diametrale normale all'asse maggiore: nella parte più piccola havvi un buco. Orbene la roccia di cui è costituita questa macina è appunto una leucotefrite.

Dalla cortesia del Direttore summentovato ebbi il permesso di staccare qualche piccolo frammento nella parte più larga, già rotta; e così potei procedere ad un esame microscopico.

Tale esame mi dimostrò trattarsi della precisa ed identica roccia da cui fu ricavata la mia macina. Quindi ci troviamo in presenza di tre manufatti della stessa natura litologica. Puossi ammettere ciò accidentale, data la natura della roccia? Io non lo credo. Parmi quindi lecito poter dedurre dalle considerazioni suesposte che probabilmente nei dintorni dei vulcani Cimini vi erano fabbriche di macine in leucotefrite, che dovevano essere esportate anche in lontane regioni.

Perchè poi i Romani che rivestirono a Torino un pozzo con leucotefrite, si siano serviti di tale roccia (che doveva certamente costar loro molto cara) invece di adoperare una qualunque delle tante rocce che si trovano nelle valli prossime a detta città, io non saprei: agli archeologi l'ardua risposta.

---



*Speciali terminazioni nervose  
trovate nei piccoli rami dei nervi periferici;*

Nota del Dott. PASQUALE SFAMENI.

(Con una tavola).

La presenza di nervi negli involucri connettivali dei fasci nervosi fu per la prima volta dimostrata dal Sappey (1). Questo autore difatti in una memoria diretta all'Accademia delle scienze di Parigi nel 1876 disse di potersi con facilità dimostrare costantemente la esistenza di fili nervosi i quali si distribuiscono al nevrilemma. Egli propose di chiamarli *nervi nervorum* perchè stanno ai nervi come i *vasa vasorum* ai vasi sanguigni.

Questi *nervi nervorum*, secondo il Sappey, si trovano nelle guaine fibrose dei fasci nervosi primari, secondari e terziari, quantunque egli non li abbia potuto seguire che fino all'involucro dei fasci secondari soltanto. Essi diventano più esili e rari a misura che decresce la spessezza della guaina fibrosa. Non si estendono mai fino all'involucro dei fasci primitivi, involucro che va sotto il nome di perineurio (Robin).

Questi fili nervosi seguono generalmente le arterie e mandano nel loro cammino numerose divisioni, con cui si anastomizzano in modo da formare qua e colà piccoli plessi a maglie ineguali e irregolari.

I tubi, che rappresentano questi *nervi nervorum*, sono in special modo notevoli per la loro sottigliezza, quantunque siano ognora costituiti da un *involucro*, da uno *strato midollare* e dal *cilindrasse*.

Da quel che precede, è facile dedurre che il Sappey giunse a dimostrare chiaramente la esistenza di fibre nervose, le quali

---

(1) C. SAPPEY, *Recherches sur les nerfs du nevrilemme ou nervi nervorum*, "Comptes-rendus de l'Acad. des sciences", T. LXV, 1867, pag. 761.



si distribuiscono nel nevrilemma, ma non ha descritto il modo col quale esse si terminano.

Più tardi (1884) l'Horsley (1) in una brevissima nota dice di aver trovato nei tronchi nervosi veri nervi di senso, i quali finiscono come bulbi terminali nel perineurio. Questi nervi, che di solito nascono dai fasci primari delle fibre nervose, dapprima camminano ad angolo retto coi fasci primitivi e poi decorrono paralleli nel perineurio, come singole fibre di media grandezza, e terminano a foggia di bulbi terminali, simili a quelli osservati nella congiuntiva. Essi consistono di una capsula, la quale contiene una massa protoplasmatica alla base, due corpuscoli protoplasmatici nucleati alla estremità: in essi si può seguire il cilindrasse che sembra però non finisca ivi.

Nel 1886 il Prus (2) adoperando il bleu di metilene secondo il metodo di Erlich (iniezione endovenosa *intra vitam* di una soluzione acquosa) e il cloruro d'oro secondo il metodo di Cohnheim e secondo quello di Ranvier, in diversi animali (rane, cavie, conigli) potè constatare nella guaina dei nervi periferici fili nervosi finissimi, i quali decorrono ora obliquamente e ora parallelamente all'asse longitudinale del nervo e formano colle loro ramificazioni un sistema reticolato. Questi fili constano di una serie di granuli molto piccoli, disposti l'uno dopo l'altro, presentano qua e là ingrossamenti varicosi e terminano con un piccolo rigonfiamento. Alcune fibrille penetrano fino nell'endoneurio.

I detti fili nervosi nascono dal medesimo tronco, al quale si distribuiscono.

Il Prus li chiama *nervi nervorum periphericorum* e li ritiene quali nervi sensitivi, pur non escludendo la loro natura trofica.

Finalmente nel 1893 l'Askanazy (3) dimostrò nel tronco del nervo tibiale dell'uomo l'esistenza di numerosi corpuscoli di Pacini, situati nel perineurio e nei fasci connettivali dell'endoneurio.

(1) V. HORSLEY, *On the existence of sensory nerves in nerve trunk's (true nervi nervorum)*, "Brit. med. Journal", Vol. I, 1884, pag. 166.

(2) J. PRUS, *O nerwikach wykrytych w oslonce pni nerwowich*, "Przegląd lekarski", N° 30-33, 1886.

(3) M. ASKANAZY, *Vater-Pacini'sche Körperchen im Stamme des menschlichen Nervus tibialis*, "Anatomischer Anzeiger", 1893, pag. 423.



Queste le scarse notizie che ho potuto rintracciare intorno alle terminazioni nervose dei nervi periferici. Da esse si desume che il Sappey ha messo in rilievo soltanto la presenza di fibre nervee, che si distribuiscono ai tronchi nervosi; l'Horsley, il Prus e l'Askanazy hanno descritto realmente terminazioni nervose nei nervi periferici. Il primo vi ha riscontrato terminazioni in forma di bulbi terminali, simili alle clave di Krause della congiuntiva, i quali necessariamente devono essere ritenuti di natura sensitiva. Il secondo vi ha rinvenute terminazioni nervose in forma di esili fili granulosi, i quali portano un rigonfiamento alla estremità. Il Prus ritiene che questi fili siano di natura sensitiva, pur non escludendo quella trofica: però a me sembra più ragionevole di attribuire ad essi quest'ultimo significato. L'Askanazy poi ha dimostrato l'esistenza di corpuscoli di Pacini; i quali sono da ritenersi come terminazioni di senso.

---

Non è uno studio speciale, condotto a bella posta, sulla innervazione dei nervi periferici, quello ch'io ho in animo di presentare con questa breve nota. Il mio compito è semplicemente quello di descrivere alcune terminazioni nervose, che si riscontrano nel nevrilemma di piccoli tronchi nervosi visibili al microscopio (ed anche ad occhio nudo, quando però essi siano isolati perfettamente dal resto del tessuto) e residenti nel connettivo sottocutaneo dei polpastrelli del cane. Infatti io ebbi l'occasione di riscontrare questi fascetti di nervi, con speciale terminazione nervosa intorno, nello stesso tempo (quindi con lo stesso metodo del cloruro d'oro), in cui conducevo delle indagini comparative intorno agli organi nervosi terminali del Ruffini (1). Appare chiaro quindi che queste terminazioni nervose già per la piccolezza dei tronchicini nervei nei quali si distribuiscono e per la sede in cui questi ultimi si trovano, sono differenti da quelle descritte dagli autori sopracitati; poichè questi difatti parlano di terminazioni nervose di quei tronchi, che dall'anatomia descrittiva vengono designati col nome di *nervi periferici*.

I piccoli tronchi nervei, nei quali si riscontra la termina-

---

(1) P. SFAMENI, *Recherches comparatives sur les organes nerveux terminaux de Ruffini*, "Anatomischer Anzeiger", IX Bd., N° 22, 1894, pag. 671.



zione nervosa, che sarà più oltre descritta, non presentano nulla di particolare nella loro struttura: essi constano di un numero variabile, mai molto grande, di fibre nervose, le quali, disposte a fascetto, sono circondate da un involucro di tessuto fibroso (nevrilemma) costituito da diversi strati concentrici di fibre e cellule connettivali a decorso parallelo alle fibre nervose.

La fibra nervea che va a costituire la terminazione intorno al fascetto nervoso proviene sempre da quelle fibre, che costituiscono il fascetto medesimo. Essa si spoglia della mielina, presentando, in corrispondenza del punto in cui ciò avviene, una strozzatura simile a quella che si trova in diverse terminazioni nervose e designata dal Ruffini (1) col nome di *strozzamento preterminale*, e il cilindrasse si avvolge a spirale, ma in modo irregolare intorno alle fibre che compongono il piccolo tronco nervoso, formando di tratto in tratto dei cespugli, i quali di rado si trovano in mezzo ai diversi strati dell'involucro connettivale, d'ordinario sono collocati immediatamente sotto allo strato fibroso, come adagiati alla superficie delle fibre nervee o fra le medesime. Talora il filo cilindrasse si avvolge più volte nel medesimo punto intorno al fascetto delle fibre in maniera da costituire un vero anello (fig. I, *aa*).

I cespuglietti, formati dal cilindrasse nello stesso tempo che esso si aggira a spirale attorno al fascetto delle fibre nervee, sono costituiti da un intreccio a guisa di reticolo formato da tanti rigonfiamenti, irregolari per forma, collegati fra loro da fili esilissimi. Essi si riscontrano qua e là in diversi punti del fascetto nervoso, quantunque capiti talora di trovarli soltanto su di un lato di esso. Nei punti in cui questi cespuglietti si ritrovano, notasi che il nevrilemma decorre alquanto discosto dal fascetto delle fibre nervee, per modo che esso circonda in gran parte una cavità dentro la quale il cespuglio trovasi alloggiato. Si osserva inoltre che in detta cavità esiste una sostanza di aspetto finamente granuloso (fig. I e fig. III, *s. gr.*).

Non sempre la fibra nervosa perde la mielina prima di avvolgersi attorno al fascetto nervoso, per modo che, come già

---

(1) A. RUFFINI, *Sullo strozzamento preterminale nelle diverse forme di terminazioni nervose periferiche*, " *Monitore zoolog. italiano* „, Ann. VII, Fasc. 5°, 1896.



dissi, questi avvolgimenti siano formati dal nudo cilindrasse: ma talora essa, conservando tuttavia il suo rivestimento mielinico, si aggira a spirale attorno al fascetto nervoso, dividendosi nello stesso tempo in parecchi rami, i quali poi ad un tratto perdono la mielina (fig. III, *s. pr.*) e tosto danno origine ai cespuglietti sopra descritti (fig. III, *c. t.*).

La fibra nervea, che dà la terminazione, ramificandosi più e più volte, per ordinario si esaurisce intieramente per formare l'intreccio nervoso terminale già descritto, ma capita di constatare qualche volta che essa spicca uno o più rami, i quali formano la terminazione attorno al fascetto nervoso, mentre il tronco principale della fibra prosegue oltre lungo il fascio medesimo (fig. I, *f'. n'.*).

Simili terminazioni nervose non si trovano solo in quei piccoli tronchi dei nervi, che nullameno sono formati da un discreto numero di fibre nervee, ma si riscontrano pure in tronchicini costituiti appena di pochissime fibre (3-4-5). In questi casi però la terminazione non è così estesa e complicata come nei tronchi descritti precedentemente, ma si presenta assai limitata e per lo più costituita da un solo giro del cilindrasse con un piccolo cespuglio.

Per ultimo debbo notare un fatto che a me è accaduto di osservare soventi volte: l'esistenza cioè di terminazioni nervose dentro l'involucro connettivale (guaina di Henle) di una fibra nervea isolata. Si constata in questi casi che dal tubo mielinico decorrente al centro della fibra nervea si dipartono ad intervalli dei fili esili, privi di mielina, i quali camminano per un tragitto più o meno lungo accanto al tubo mielinico da cui hanno preso origine, quindi si arrestano, e si avvolgono in modo complicato intorno al tubo mielinico medesimo, in guisa da costituire un intreccio cilindrassile formato d'ingrossamenti e di fili esili che li congiungono (fig. IV, *i. t.*). In corrispondenza di questo intreccio cilindrassile la fibra nervea presenta un rigonfiamento, dovuto allo allontanarsi in quel punto della guaina di Henle dal tubo centrale: viene ad essere costituita così una cavità ripiena di sostanza finamente granulosa analoga a quella esistente nel resto della fibra nervea, e in mezzo alla quale trovasi posta l'espansione del cilindrasse.

È bene notare tosto che simili terminazioni si riscontrano



esclusivamente in quelle fibre che scorrono isolate nel tessuto, ma quando esse sono in grandissima vicinanza del punto in cui vanno a formare l'intreccio terminale di un organo nervoso periferico (per lo più organi nervosi terminali del Ruffini) (1).

---

Le terminazioni nervose che ho descritte sopra, sia per la forma che esse hanno come per la sede che occupano, secondo me, sono senza alcun dubbio da considerarsi quali terminazioni di natura sensitiva. Ritengo inoltre, fondandomi sulla conformazione dei cespuglietti (che rappresentano la parte propriamente finale) che ad esse non possa ragionevolmente attribuirsi alcun ufficio trofico. I nervi trofici sono rappresentati da esili fili formati di granuli disposti l'uno dopo l'altro, con piccolo rigonfiamento allo estremo, precisamente come i nervi descritti dal Prus sui tronchi nervosi periferici.

---

Se per le ricerche del Sappey potevasi solo affermare che i nervi periferici sono forniti di fibre nervose sensitive, per quelle ulteriori dell'Horsley, del Prus e dell'Askanazy veniva dimostrato il modo come i nervi sensitivi e trofici dei tronchi nervosi periferici hanno la loro terminazione. I miei ritrovati poi portano alla conclusione che terminazioni nervose si trovano non solo sui nervi periferici, riconoscibili macroscopicamente come tali, ma anche intorno ai tronchicini nervosi minimi, posti nelle parti più lontane dall'origine dei nervi. Dal che si desume che i nervi periferici posseggono terminazioni nervose dalla loro origine fino nelle parti più lontane nelle quali si distribuiscono.

Risulta inoltre che fino al presente sono state descritte quattro specie di terminazioni nervose nei nervi periferici: *a*) Bulbi terminali simili alle clave di Krause della congiuntiva (Horsley); *b*) Reticolo amielinico a larghe maglie formato di esili fili granulati con rigonfiamento all'apice (Prus); *c*) Corpuscoli di Pacini (Askanazy); *d*) Terminazioni in forma di spirali ed anelli con

---

(1) A. RUFFINI, *Di un nuovo organo nervoso terminale e sulla presenza di corpuscoli Golgi-Mazzoni nel connettivo sottocutaneo dei polpastrelli delle dita dell'uomo*, "Mem. dell'Acc. dei Lincei", Serie 4<sup>a</sup>, Vol. VII, 1893, pag. 403.



cespuglietti cilindrassili disposti qua e là lungo il fascetto nervoso, come sono state descritte nella presente nota.

Poichè, come più volte ho detto, i *nervi nervorum* descritti dal Prus, a mio credere, bisogna ritenerli di natura trofica, mentre i bulbi simiglianti a clave di Krause scoperti dall'Horsley e i corpuscoli di Pacini trovati nel tibiale dell'uomo dall'Askanazy, come pure le terminazioni da me descritte devono essere considerate di natura sensitiva, chiaramente risulta questo dato: i nervi periferici posseggono terminazioni nervose di natura trofica ed altre di natura sensitiva.

### SPIEGAZIONE DELLE FIGURE

Fig. I. — Piccolo fascio nervoso con estesa terminazione. La fibra nervea, che forma la terminazione nervosa, decorre quasi nella parte mediana del fascio: lungo il suo cammino manda dapprima un ramo (A) e dopo breve percorso un altro (B). Questi due rami poco dopo la loro origine perdono la mielina e cominciano ad avvolgersi intorno al fascio delle fibre nervee, formando di tratto in tratto dei cespuglietti cilindrassili. Il fascio nervoso ad un estremo si presenta suddiviso in due fasci più piccoli, e in uno di questi si vede continuarsi la fibra nervea, che coi suoi rami ha già dato luogo alla terminazione nervosa del fascio primario.

Oc. 3, Obb. 4, Koristka  $\times$  115.

Fig. II. — Terminazione nervosa estendentesi per un tratto non molto grande intorno ad un tronchicino nervoso. I cespuglietti formati dal cilindrassile si trovano quasi esclusivamente da un lato del fascio nervoso, e nel punto corrispondente si scorge il nevrilemma assai scostato dalle fibre nervee. La fibra nervea, destinata a formare la terminazione si trova situata un po' di lato nel fascio nervoso: in un dato punto (s. *pr.*) essa perde la mielina e il cilindrassile si divide poscia in due rami, i quali, aggirandosi ripetutamente intorno al fascio delle fibre nervee, formano dei cespuglietti in diversi punti. Dal luogo in cui i cespugli formati dal cilindrassile sono più numerosi e stipati si vede partire un piccolo fascio (C) di fibre pallide, le quali vanno ad accostarsi ad uno dei rami di suddivisione del fascio nervoso principale, ma non si può definire la destinazione di esse, perchè nel tratto ulteriore non si sono colorate.

Oc. 3, Obb. 4, Koristka  $\times$  115.



Fig. III. — Estesa terminazione intorno ad un fascio nervoso. La fibra nervea, che dà la terminazione, ancora rivestita dalla mielina, si avvolge attorno al fascetto nervoso, ramificandosi reiteratamente. I rami perdono la mielina (*s. pr.*) e formano dei cespuglietti.  
Oc. 3, Obb. 5, Koristka  $\times$  520.

Fig. IV. — Terminazione nervosa esistente dentro la guaina di Henle, in una fibra nervea isolata. Parallelamente a questa fibra ne decorre un'altra (*m*) della quale non è visibile la guaina di Henle.  
Oc. 3, Obb. 8\*, Koristka  $\times$  475.

## SIGNIFICAZIONE

### DELLE LETTERE ADOPERATE NELLE FIGURE

*n* — nevrilemma.

*c. t.* — cespuglietti terminali.

*s. pr.* — strozzamento preterminale.

*c. s.* — capillari sanguigni.

*f. n.* — fibra nervea destinata a formare la terminazione attorno al fascetto nervoso.

*f'. n'.* — fibra nervea, la quale, dopo di aver formato coi suoi rami, la terminazione, si continua in una delle suddivisioni del fascetto nervoso.

*s. gr.* — sostanza granulosa.

*a. a.* — avvolgimenti a guisa di anello, che il cilindrasse forma attorno alle fibre del fascetto nervoso.

*f. a.* — piccolo filo amielinico che abbandona il fascetto nervoso, supera il nevrilemma e s'inoltra nel tessuto vicino.

*i. t.* — intreccio terminale.

*f'. a'.* — esile filo amielinico che va a formare l'intreccio terminale dentro la fibra nervea.

*f''. a''.* — altro esile filo amielinico destinato a formare un altro intreccio terminale più oltre dentro la fibra medesima.

*g. H.* — guaina di Henle.

*n. g. H.* — nuclei della guaina di Henle.

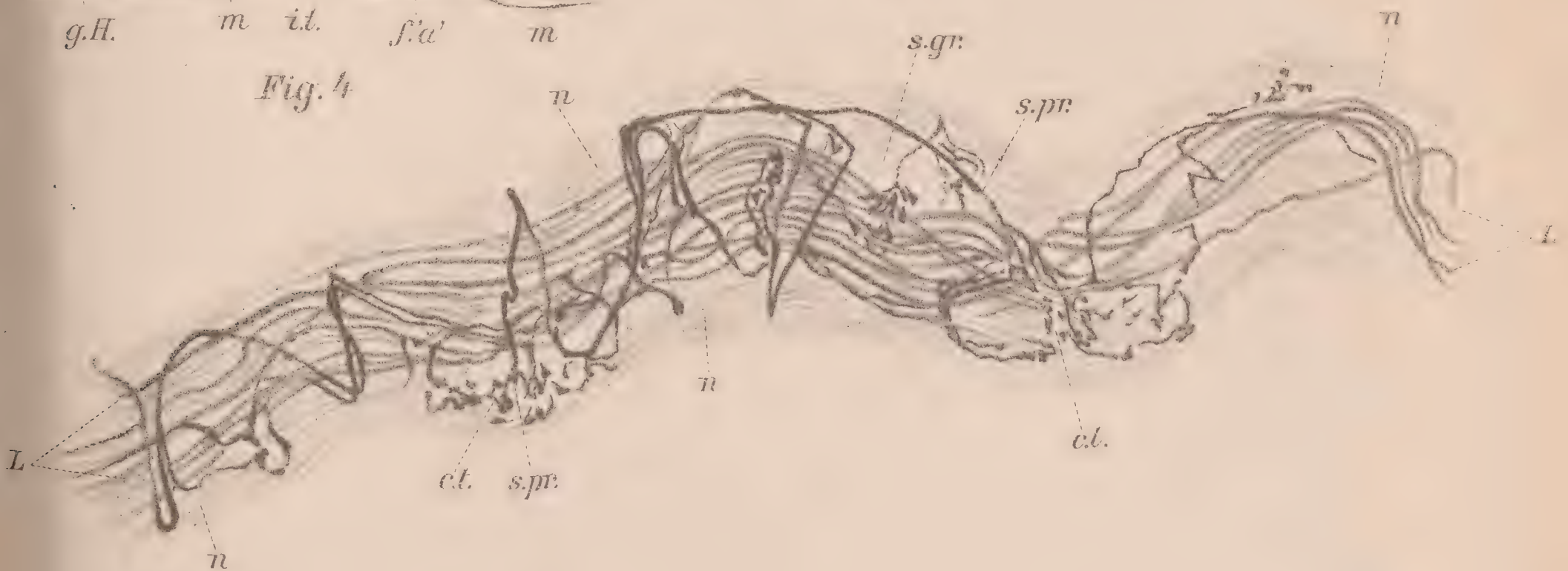
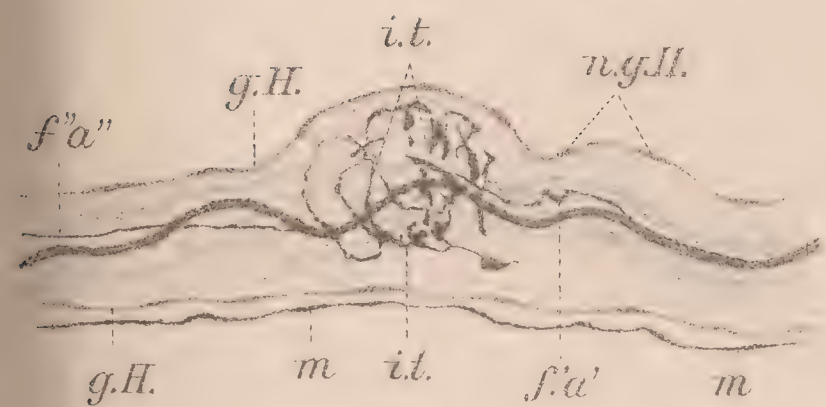
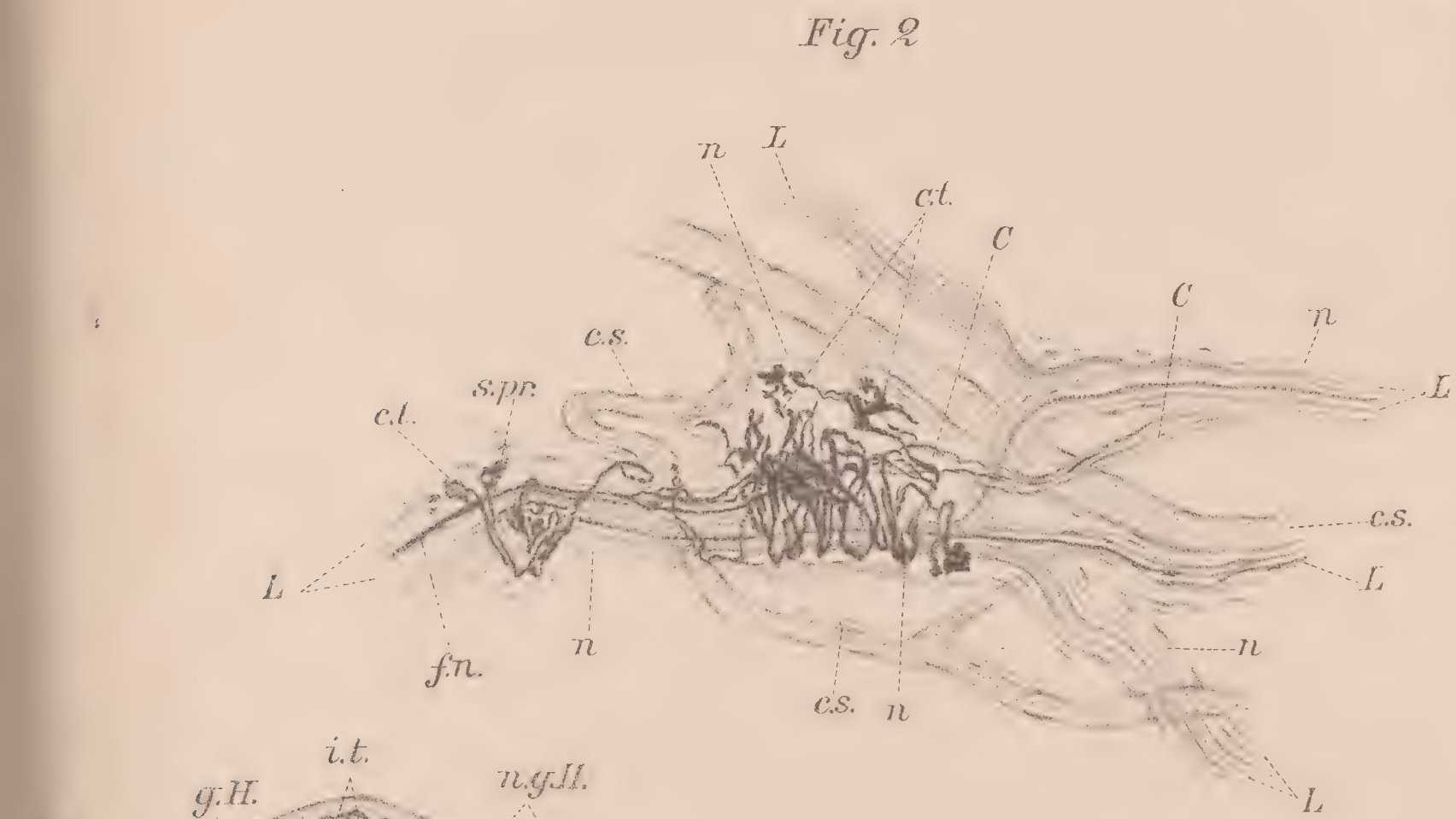
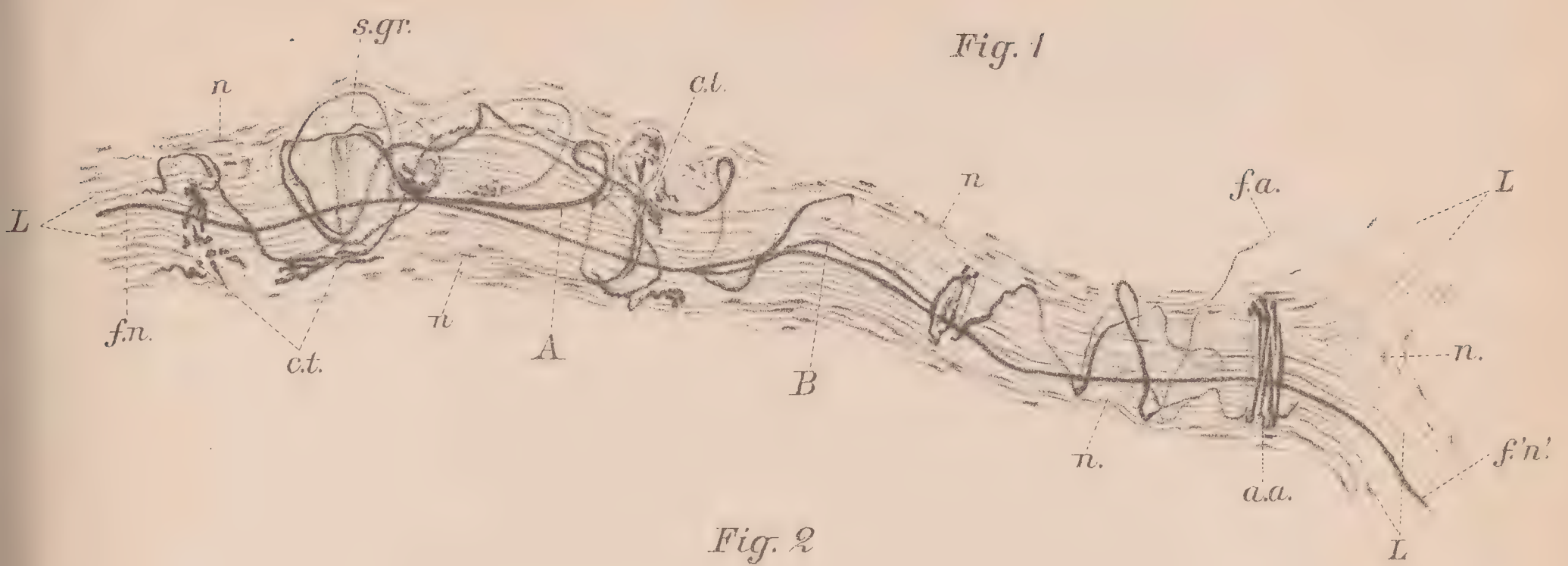
*L.* — fibre componenti il fascetto nervoso.

*L'Accademico Segretario*  
ANDREA NACCARI.















---

# CLASSE

DI

SCIENZE FISICHE, MATEMATICHE E NATURALI

---

Adunanza del 17 Dicembre 1899.

PRESIDENZA DEL SOCIO PROF. ALFONSO COSSA

VICE-PRESIDENTE DELL'ACCADEMIA

---

Sono presenti i Soci: BIZZOZERO, Direttore della Classe, SALVADORI, BERRUTI, D'OVIDIO, MOSSO, CAMERANO, SEGRE, PEANO, VOLTERRA, JADANZA, FOÀ, GUARESCHI, GUIDI, FILETI, PARONA e NACCARI Segretario.

Il Segretario legge l'atto verbale dell'adunanza precedente che viene approvato.

Il Presidente comunica alla Classe l'invito fatto dall'Accademia delle Scienze di Berlino a questa Accademia a prender parte alla festa del centesimo anniversario della sua fondazione. La festa si terrà nel marzo 1900. Questo invito fu già comunicato all'altra Classe, che deliberò di trattarne nella prossima adunanza a Classi Unite. La stessa deliberazione prende pure la Classe.

La Società di Biologia di Parigi invitò l'Accademia a prendere parte alla solennità del cinquantesimo anniversario della sua fondazione. La Classe pregherà il sig. Prof. Augusto CHAUVEAU Membro dell'Istituto di Francia, di rappresentarla in quella solennità.



Il Socio PEANO presenta in omaggio all'Accademia il secondo volume del suo: *Formulario di Matematica*. Il Presidente ringrazia.

Il Presidente presenta l'opera intitolata: *Spedizione di S. A. R. Luigi Amedeo di Savoia duca degli Abruzzi al Monte S. Elia Alaska 1897* (Milano, 1900). Essa fu inviata all'Accademia dall'autore Dott. Filippo DE FILIPPI a nome di S. A. R. Fu già ringraziato l'autore e verrà inviato speciale ringraziamento a S. A.

Il Segretario presenta un volume inviato dalla Società fisico-medica di Würzburg e intitolato: *Festschrift zur Feier ihres Fünfzigjährigen Bestehens*.

Vengono poi presentate e accolte per l'inserzione negli *Atti* le seguenti note:

- 1° *Di un nuovo flessimetro e sua applicazione*, del Socio GUIDI,
  - 2° *Sugli integrali lineari dei moti spontanei a caratteristiche indipendenti*, del Socio VOLTERRA,
  - 3° *Sulla metrica degli spazi a curvatura costante*, di Francesco GIUDICE, presentata dal Socio PEANO,
  - 4° *Sull'equilibrio delle membrane elastiche piane*, del dottor Tommaso BOGGIO, presentata dal Socio VOLTERRA.
-



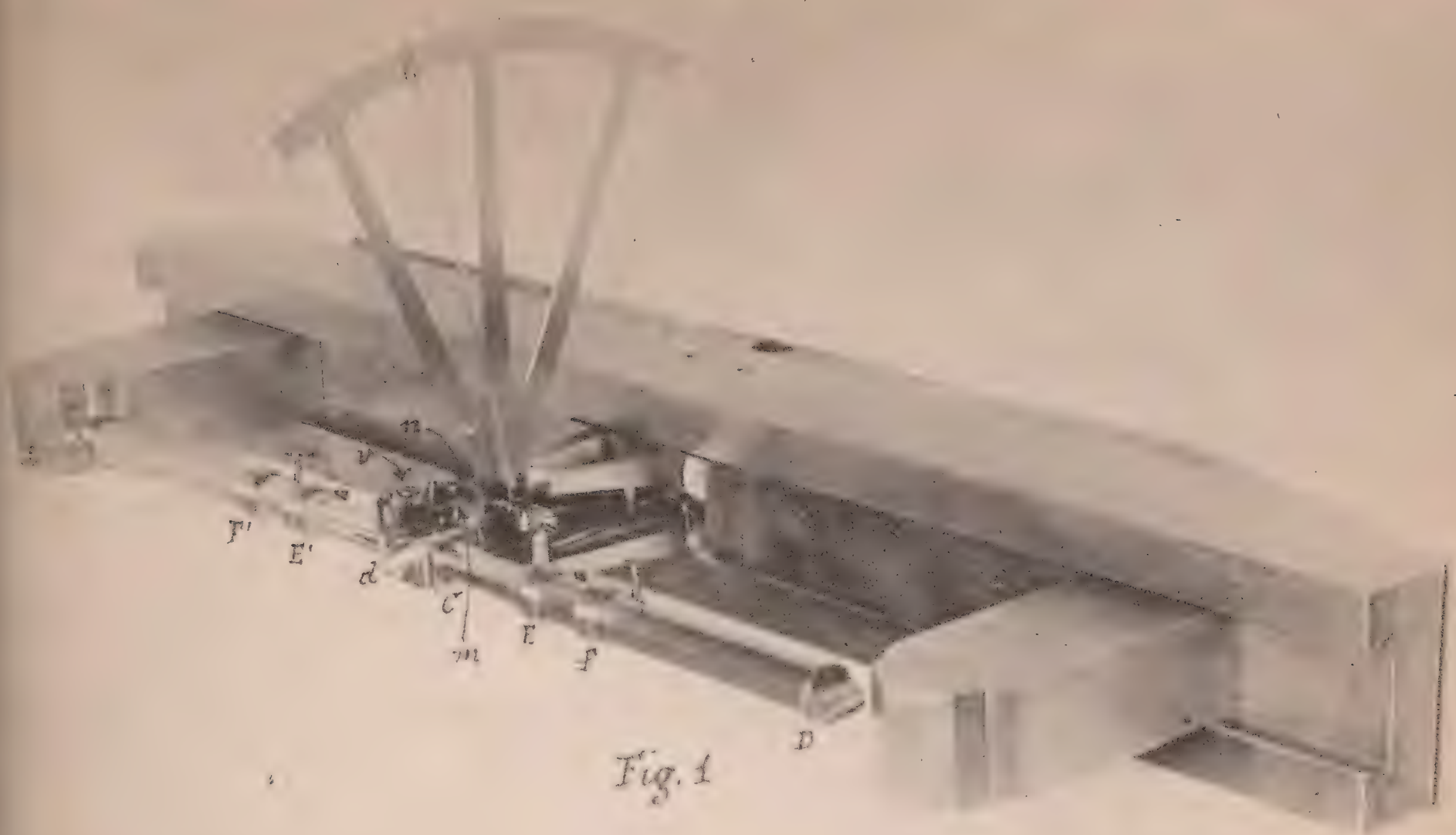


Fig. 1

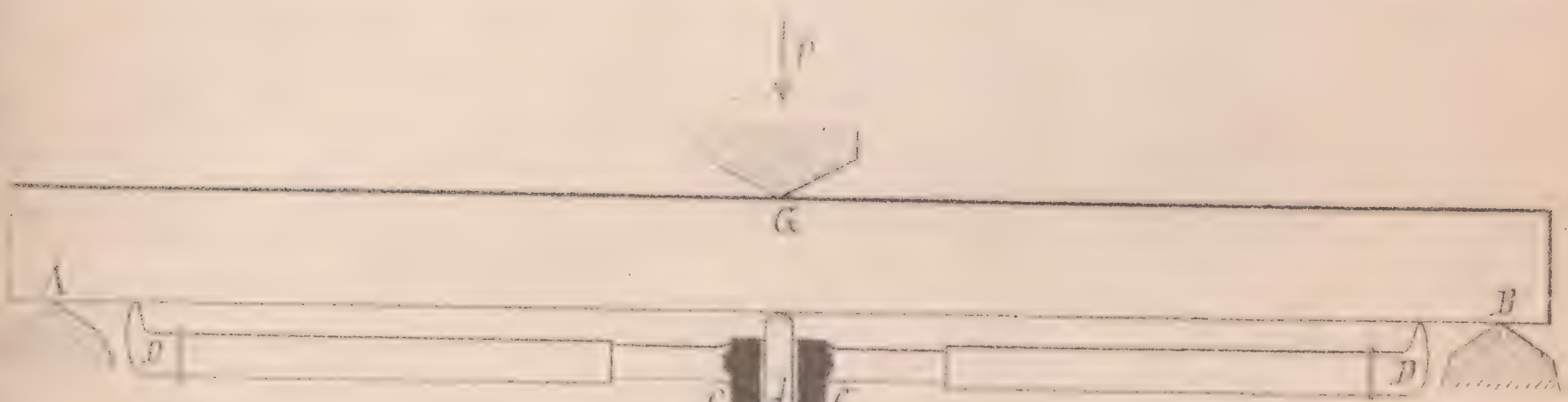


Fig. 2

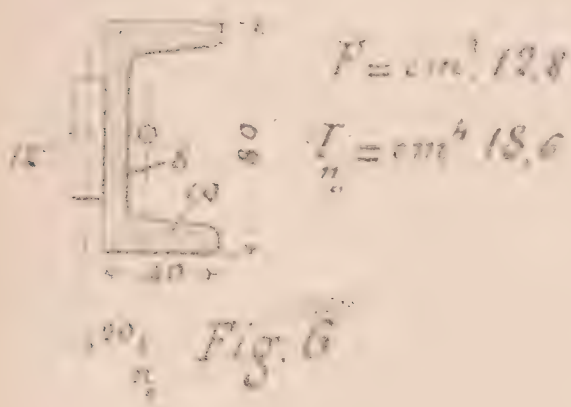


Fig. 3

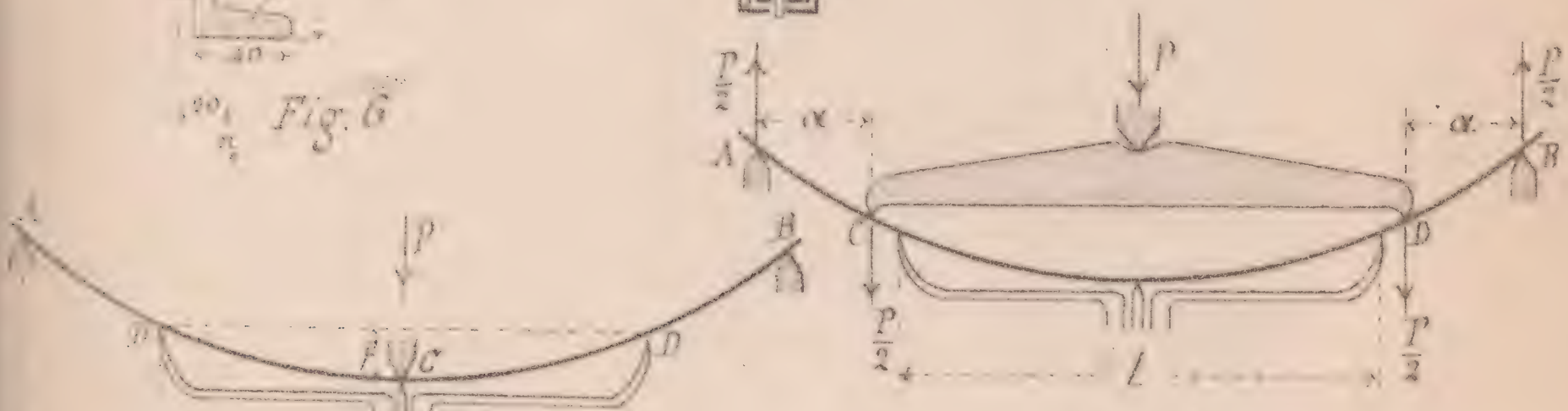


Fig. 4

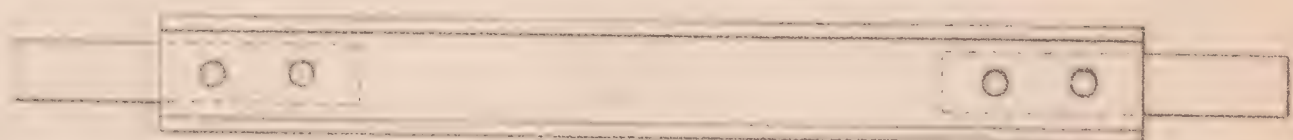


Fig. 5

*G. Guidi*







---

## LETTURE

---

### *Di un nuovo flessimetro e sue applicazioni;*

Nota del Socio CAMILLO GUIDI.

(Con una tavola).

---

Il Laboratorio sperimentale per i materiali da costruzione, annesso alla R. Scuola d'Applicazione per gl'Ingegneri di Torino, del quale ho dato già notizie in altre mie pubblicazioni (\*), mancava di un strumento di precisione per la misura delle frecce dei solidi inflessi, nè era possibile adattare alla grande macchina universale ivi esistente un flessimetro di tipo già noto, come ad esempio quello adottato dal prof. BAUSCHINGER per la macchina WERDER (\*\*). Ho dovuto quindi ideare un flessimetro di nuovo tipo, il quale potesse applicarsi convenientemente alla macchina di cui dispongo. Lo studio pratico dei particolari costruttivi dell'istrumento ed i relativi disegni furono accuratamente eseguiti dall'egregio ing. prof. A. GALASSINI. La costruzione venne affidata al sig. C. KLEBE, assistente del Laboratorio meccanico tecnico del Politecnico di Monaco (Baviera), costruttore rinomato di apparecchi di tal genere, il quale, salvo lievi modificazioni, si attenne ai disegni inviatigli.

Dopo aver constatato con parecchie esperienze che con tale istrumento è stato felicemente raggiunto lo scopo, mi propongo colla presente Nota di darne una succinta descrizione, riportando inoltre alcuni risultati sperimentali con esso ottenuti, ed accennando ad altre applicazioni che l'istrumento potrebbe avere fuori del Laboratorio, in special modo nel collaudo delle costruzioni metalliche.

---

(\*) Cfr. C. GUIDI, *Notizie sul Laboratorio per esperienze sui materiali da costruzione, ecc.* Roma, Centenari, 1895. — Id. "Atti R. Acc. Scienze di Torino", 1898-99.

(\*\*) *Maschine zum Prüfen der Festigkeit der Materialien construirt von Ludwig Werder, etc.* München, Wolf & Sohn, 1882.



Col flessimetro BAUSCHINGER si misura lo spostamento della sezione di mezzo di una trave inflessa, semplicemente appoggiata alle estremità, e gli spostamenti non trascurabili che soffrono le sezioni in corrispondenza degli appoggi, dopo di che si può dedurre la vera freccia della curva elastica della trave. Colla macchina di cui dispongo nel mio laboratorio, non essendo possibile una simile disposizione, ho reso indipendente dagli spostamenti delle sezioni in corrispondenza degli appoggi la determinazione della freccia d'incurvamento, la quale viene semplicemente fatta con una sola lettura e senza alcuna operazione di riduzione.

La fig. 1 dell'annessa tavola rappresenta l'istrumento già fissato contro la traversa che viene applicata alla macchina, quando si sperimenta alla flessione; nella fig. 2 esso è disegnato schematicamente parte in vista e parte in sezione, nell'atto di misurare la freccia d'incurvamento del solido  $AB$  semplicemente appoggiato in  $A$  e  $B$  e sollecitato, nel caso della figura, da un carico concentrato  $P$  applicato in  $G$ , in corrispondenza della sezione mediana.

Il flessimetro misura la freccia d'incurvamento che si verifica nella faccia opposta a quella cui è applicato il carico; con lieve modificazione costruttiva, sulla quale è inutile qui insistere, esso potrebbe, qualora si preferisse, misurare la freccia in corrispondenza del piano assiale del solido, normale al piano di sollecitazione.

Il mio flessimetro nelle sue parti essenziali risulta così formato:

Due braccia  $CD$ ,  $CD$  (fig. 2), rigidamente connesse ad un dado centrale  $CC$ , constano di una parte cilindrica solidale al dado e di un tubo il quale s'introduce a forza su di essa, ed alla medesima viene rigidamente fissato mediante collarini  $E$ ,  $E'$ ;  $F$ ,  $F'$  (fig. 1): di tali tubi esiste una coppia di ricambio per modo che la distanza fra le punte  $D$ ,  $D$  colle quali terminano le braccia del flessimetro può variare da cm. 45 a cm. 85.

Il dado presenta secondo l'asse normale alle braccia un foro cilindrico, nel quale si muove senza alcun giuoco laterale una spina  $d$ , che è costantemente spinta contro il saggio da inflettersi da una molla ad elica  $e$  che coll'intermediario di un tubo  $f$  trova appoggio contro il fondo di un astuccio cilindrico  $H$ .



Altra molla pure ad elica *e'* esistente nel medesimo astuccio spinge costantemente il dado e per conseguenza anche le braccia del flessimetro contro il saggio, in modo che le punte *D, D* sono sempre tenute a contatto col medesimo. Una piccola vite d'arresto e di guida impedisce che le parti che si muovono entro l'astuccio possano uscirne fuori, come pure che l'istrumento possa ruotare intorno all'asse dell'astuccio stesso.

Tale astuccio che, come si vede, porta tutto l'istrumento, è sorretto, in modo però da poter liberamente ruotare attorno ad un asse verticale, da un sostegno a quattro gambe (fig. 1) infisse in un blocco, che viene fissato, mediante due viti di richiamo, nella scanalatura a coda di rondine praticata nella faccia anteriore della traversa della macchina. Il flessimetro essendo girevole, come si è detto, intorno ad un asse verticale, le estremità *D, D* delle sue braccia possono mantenersi costantemente a contatto della faccia posteriore del saggio, ancorchè la sua flessione fosse alquanto dissimmetrica.

Da quanto si è detto emerge che lo spostamento relativo della spina *d* durante la flessione del saggio misura senz'altro la freccia d'incurvamento del medesimo nel tratto abbracciato dall'istrumento. Ora tale spostamento viene misurato nel modo che segue. Alla spina *d* è resa solidale, con una disposizione analoga a quella nota, adottata dal BAUSCHINGER nel suo *Spiegelapparat*, una linguetta *m* d'acciaio, disposta parallelamente all'asse della spina, rivestita di carta smerigliata finissima; essa, per giuoco di leva, è spinta contro un piccolo tamburo di ebanite *n* (fig. 1), portato da un alberino orizzontale normale all'asse della spina, girevole con minimo attrito fra due punte, tenute in posto da due montantini solidali al dado *C* dell'istrumento. Al medesimo dado è anche connesso un arco graduato sul quale scorre un indice equilibrato, che è solidale all'alberino anzidetto. Quando l'istrumento non deve funzionare, una piccola vite di pressione *v* permette di distaccare la linguetta dal tamburo di ebanite.

Con tale disposizione ogni spostamento della spina *d* è convertito senz'alcun passo morto in una rotazione del tamburo e, per conseguenza, dell'indice. L'arco è graduato sulle due faccie e l'estremità dell'indice è ripiegata sulla faccia posteriore dell'arco per modo che la lettura può farsi da ambedue le parti.



La circonferenza del tamburo di ebanite è di mm. 24,00 e le parti in cui è diviso l'arco sono  $\frac{1}{2400}$  dell'intera circonferenza, talchè ogni parte misura  $\frac{1}{100}$  mm. di spostamento della spina; si può ancora apprezzar bene ad occhio  $\frac{1}{5}$  di parte e quindi stimare la freccia d'incurvamento fino ai  $\frac{2}{1000}$  mm. Con più riprese il flessimetro può misurare una freccia massima di mm. 15.

Con tale strumento si possono valutare colla necessaria approssimazione le frecce corrispondenti alle deformazioni elastiche, come pure dedurre il limite di elasticità ed il modulo di elasticità del materiale. L'espressione analitica della freccia elastica misurata dal flessimetro si deduce nel seguente modo:

La freccia d'incurvamento  $f$  misurata dall'istrumento (fig. 3a) che è poi eguale allo spostamento relativo di ciascuno dei punti  $D$  rispetto alla tangente in  $C$  alla curva elastica, si ottiene semplicemente considerando, in grazia della simmetria, una metà della trave (fig. 3b) come incastrata rigidamente in  $C$  e sollecitata in  $A$  da una forza  $\frac{P}{2}$  ed in  $D$  da una forza ipotetica  $\mathcal{Q}$  (che poi si eguaglierà a zero) e scrivendo l'equazione dei lavori virtuali (\*). Si osservi inoltre che ciascuno degli integrali che entrano in tale equazione va scisso in due, dei quali quello relativo al tratto  $e$  è nullo, per essere nulle in quel tratto le derivate parziali  $\frac{\partial M}{\partial \mathcal{Q}}$ ,  $\frac{\partial T}{\partial \mathcal{Q}}$  del momento flettente e dello sforzo di taglio rispetto alla forza ideale  $\mathcal{Q}$ . Si ha quindi semplicemente, contando le  $x$  dal punto  $D$  verso destra ed adottando i soliti simboli (\*\*):

---

(\*) Cfr. C. GUIDI, *Lezioni sulla scienza delle costruzioni*. Parte II. Torino, Bertolero, 1899.

(\*\*)  $M$  = momento flettente.

$T$  = sforzo di taglio.

$F$  = area della sezione trasversale del solido.

$I$  = momento d'inerzia della medesima rispetto all'asse di flessione.

$E$  = modulo di elasticità normale.

$G$  = " " tangenziale.

$\chi$  = coefficiente numerico dipendente dalla forma della sezione trasversale del solido.



$$f = \int_0^{\frac{l}{2}} \frac{M}{EI} \frac{\partial M}{\partial \mathfrak{L}} dx + \int_0^{\frac{l}{2}} \chi \frac{T}{GF} \frac{\partial T}{\partial \mathfrak{L}} dx$$

nella quale:

$$M = \frac{P}{2} (e + x) + \mathfrak{L} x, \quad \frac{\partial M}{\partial \mathfrak{L}} = x,$$

$$T = \frac{P}{2} + \mathfrak{L}, \quad \frac{\partial T}{\partial \mathfrak{L}} = 1,$$

quindi:

$$f = \int_0^{\frac{l}{2}} \frac{\frac{P}{2} (e + x) + \mathfrak{L} x}{EI} x dx + \int_0^{\frac{l}{2}} \chi \frac{\frac{P}{2} + \mathfrak{L}}{GF} dx.$$

Supposta la trave omogenea e di sezione costante, si ottiene integrando:

$$f = \frac{1}{EI} \left[ \frac{P e l^2}{16} + \frac{\frac{P}{2} + \mathfrak{L}}{24} l^3 \right] + \frac{\chi}{GF} \left( \frac{P}{2} + \mathfrak{L} \right) \frac{l}{2},$$

e, facendo finalmente  $\mathfrak{L} = 0$  ed  $e = \frac{L}{2} - \frac{l}{2}$ :

$$(1) \quad f = \frac{Pl^2}{32EI} \left( L - \frac{l}{3} \right) + \chi \frac{Pl}{4GF}.$$

Se il solido è isotropo, potrà porsi  $\frac{E}{G} = \frac{5}{2}$ , e sostituendo inoltre  $\rho^2$  ad  $\frac{I}{F}$ , la (1) diviene:

$$(2) \quad f = \frac{PL^2}{96EI} \left[ 3 \frac{l}{L} - \left( \frac{l}{L} \right)^2 + 60 \chi \left( \frac{\rho}{L} \right)^2 \right].$$

La freccia d'incurvamento  $f_0$  relativa a tutta la lunghezza  $AB$  della trave si ottiene semplicemente dalla (2), facendovi  $l = L$  e cioè:

$$(3) \quad f_0 = \frac{PL^3}{48EI} \left[ 1 + 30 \chi \left( \frac{\rho}{L} \right)^2 \right].$$



Fra le due frecce passa quindi la relazione:

$$(4) \quad f_0 = f \frac{L}{l} \frac{2 + 60 \chi \left(\frac{\rho}{L}\right)^2}{3 \frac{l}{L} - \left(\frac{l}{L}\right)^2 + 60 \chi \left(\frac{\rho}{L}\right)^2}$$

la quale permette di dedurre, qualora si desiderasse, la  $f_0$  dalla  $f$  misurata dall'istrumento.

Facendo terminare le braccia del flessimetro e la spina  $d$  a forma di staffe in modo da abbracciare il solido, ed appuntandole in corrispondenza del piano assiale normale al piano di sollecitazione si avrebbe la possibilità di misurare la freccia elastica in corrispondenza dello strato neutro e di ottenere direttamente la  $f_0$ ; tuttavia ho preferito la disposizione sopra descritta, perchè costruttivamente molto più semplice.

Può interessare di esprimere la  $f$  in funzione della tensione unitaria massima  $\sigma'$  sopportata dal materiale, cioè dalla fibra che ha la massima distanza  $y'$  dallo strato neutro. Ciò si ottiene ponendo nella (2):

$$P = 4 \frac{\sigma' I}{L y'},$$

con che si ha:

$$(5) \quad f = \frac{1}{24} \frac{\sigma'}{E} \frac{L}{y'} l \left[ 3 \frac{l}{L} - \left(\frac{l}{L}\right)^2 + 60 \chi \left(\frac{\rho}{L}\right)^2 \right].$$

Per una sezione rettangolare di base  $b$  e di altezza  $h$  ( $b$  = lato parallelo all'asse neutro) si ha:

$$I = \frac{1}{12} b h^3, \quad \chi = \frac{6}{5}, \quad \rho^2 = \frac{1}{12} h^2, \quad y' = \frac{h}{2},$$

quindi le (2) e (5) divengono in tal caso:

$$(6) \quad f = \frac{P L^2}{8 E b h^3} \left[ 3 \frac{l}{L} - \left(\frac{l}{L}\right)^2 + 6 \left(\frac{h}{L}\right)^2 \right]$$

$$(7) \quad f = \frac{1}{12} \frac{\sigma'}{E} \frac{L}{h} l \left[ 3 \frac{l}{L} - \left(\frac{l}{L}\right)^2 + 6 \left(\frac{h}{L}\right)^2 \right].$$



Se scopo dell'esperienza è la ricerca del modulo di elasticità  $E$ , questo si deduce dalla freccia valutata col flessimetro, per mezzo della (2). Al medesimo scopo può con vantaggio utilizzarsi l'altro caso di flessione indicato dalla fig. 4, quello cioè di una trave appoggiata semplicemente alle estremità  $A$  e  $B$  e sollecitata da due forze eguali  $\frac{P}{2}$  applicate ad eguale distanza  $a$  dagli appoggi. La curva elastica del tratto  $CD$ , supposta sempre la trave prismatica ed omogenea, è, in tal caso, circolare, giacchè per quel tratto lo sforzo di taglio è nullo ed il momento è costantemente  $= \frac{P}{2} a$ ; quindi la freccia d'incurvamento  $f$  per il tratto  $l$  abbracciato dal flessimetro viene semplicemente espressa da (\*)

$$f = \frac{l^2}{8r}$$

se  $r$  è il raggio della curva elastica, ovvero essendo:

$$\frac{1}{r} = \frac{M}{EI} \quad \text{ed} \quad M = \frac{1}{2} Pa,$$

si ha anche:

$$(8) \quad f = \frac{Pal^2}{16EI}.$$

Dal confronto dei valori di  $E$  ricavati per un medesimo solido coll'un metodo o coll'altro, cioè per mezzo della (2) ovvero colla (8), si può avere una verifica della teoria della elasticità e resistenza dei materiali, per quanto riguarda le deformazioni prodotte dallo sforzo di taglio, delle quali si tiene conto nella (2) per mezzo dell'ultimo termine in parentesi, mentre non hanno luogo nel secondo metodo.

*Esempio:* Barra di acciaio fuso da utensili marca *Sheffield*, di sezione rettangolare di cm.  $4,0 \times$  cm.  $7,0$ .

1° caso. — La barra viene cimentata come nella fig. 2, disponendola di costa, cioè col lato maggiore della sezione pa-

---

(\*) Cfr. C. GUIDI, *Lezioni, ecc.*



parallelo al piano di sollecitazione, e facendo  $l = 50^{\text{cm}}$ ,  $L = 60^{\text{cm}}$ . Cimentata la barra fino allo sforzo  $P$  di t. 4,50, andando di  $1/2$  in  $1/2$  tonnellata, si è riscontrata molto bene la legge di Hooke, ossia della proporzionalità delle deformazioni alle sollecitazioni, e precisamente si è avuto un incremento medio di freccia di mm. 0,071 per mezza tonn. Dalla (6) si deduce pertanto:

$$E = \frac{0,50 \times 50 \times 60^3}{8 \times 4 \times 7^3 \times 0,0071} \left[ 3 \frac{5}{6} - \left( \frac{5}{6} \right)^2 + 6 \left( \frac{7}{60} \right)^2 \right] = 2180 \text{ t/cm}^2.$$

2° caso. — La stessa barra nelle stesse condizioni di posa e di sollecitazione, ma facendo  $l = 80^{\text{cm}}$ ,  $L = 90^{\text{cm}}$ , cimentata da 2 a 3 t. ha dato per ogni  $1/2$  t. come incremento di freccia mm. 0,26; e quindi dalla (6) si deduce:

$$E = \frac{0,50 \times 80 \times 90^3}{8 \times 4 \times 7^3 \times 0,026} \left[ 3 \frac{8}{9} - \left( \frac{8}{9} \right)^2 + 6 \left( \frac{7}{90} \right)^2 \right] = 2172 \text{ t/cm}^2.$$

3° caso. — La stessa barra nelle stesse condizioni di posa e di sollecitazione, ma posta di piatto, cioè col lato minore della sezione parallelo al piano di sollecitazione, cimentata da 1<sup>t</sup> a 2<sup>t</sup>,50 ha dato costantemente un incremento di mm. 0,21 di freccia per ogni mezza tonnellata. Dalla stessa (6) si deduce per questo caso:

$$E = \frac{0,50 \times 50 \times 60^3}{8 \times 7 \times 4^3 \times 0,021} \left[ 3 \frac{5}{6} - \left( \frac{5}{6} \right)^2 + 6 \left( \frac{4}{60} \right)^2 \right] = 2191 \text{ t/cm}^2.$$

4° caso. — La medesima barra nelle condizioni di carico e di posa indicate dalla fig. 4, posta di piatto, e facendo  $a = 20^{\text{cm}}$ , ha dato per incremento medio di freccia, corrispondente a t. 0,50, desunto da due esperienze, mm. 0,192. La (8) fornisce in tal caso:

$$E = \frac{0,50 \times 20 \times 50^3}{16 \times \frac{1}{12} 7 \times 4^3 \times 0,0192} = 2180 \text{ t/cm}^2.$$

La differenza relativamente piccola fra i valori di  $E$  ottenuti in questi quattro modi diversi, e la concordanza loro col noto valor medio di  $E$  per tal genere di materiale, è una prova dell'attendibilità delle indicazioni fornite dal flessimetro; d'altra



parte le piccole differenze sono spiegate dall'imperfetta isotropia della barra, dalla sua forma non esattamente prismatica (\*), dal grado di sensibilità del sistema di leve che misura lo sforzo prodotto. La sensibilità dell'istrumento si rende manifesta durante l'esperienza, giacchè alle minime oscillazioni della stadera corrispondono oscillazioni isocrone dell'indice del flessimetro.

Sembra che un istrumento di questo tipo potrebbe con vantaggio, in grazia della sua semplicità, essere impiegato anche fuori di Laboratorio, là dove occorre rilevare l'inflessione di qualche parte di una costruzione finita, ed in special modo nel collaudo delle costruzioni metalliche, per la determinazione della freccia d'incurvamento di un'asta o trave inflessa, la quale determinazione è in generale meno delicata che la misura della dilatazione elastica della fibra maggiormente tesa. Oltre di che, mentre risulta praticamente impossibile in molti casi applicare un misuratore d'allungamenti proprio lungo la fibra maggiormente sollecitata, è semplicissimo applicare il mio flessimetro contro il lembo maggiormente cimentato. Ed anzi in molti casi potrebbesi applicare l'istrumento così modificato che le sue braccia funzionassero da elettrocalamite; con ciò le estremità delle braccia e la spina centrale si attaccherebbero come ventose contro il lembo dell'asta di cui si vuol determinare l'inflessione, e l'istrumento agirebbe senza più bisogno di molle interne, nè di morsetti d'attacco, e potrebbe inoltre essere applicato anche da una certa distanza senza bisogno di palchi di servizio. Naturalmente il meccanismo per la misura della freccia dovrebbe essere eseguito in materiale diamagnetico.

Una tale applicazione avrebbe, secondo me, speciale interesse per la ricerca degli *sforzi secondari* nelle barre di una costruzione metallica reticolare, i quali in tanto esistono in quanto che appunto le dette barre s'inflettono. Per determinare la tensione unitaria massima prodotta da uno sforzo secondario il mio flessimetro è in generale più conveniente di un misuratore d'allungamenti, anche indipendentemente dalla sua più facile applicazione, della quale si è già detto.

---

(\*) La barra venne sperimentata come trovavasi in commercio, senza piallarne le faccie, le quali non erano esattamente piane.



Infatti, considerando la curva elastica come arco circolare, il che è in ogni caso permesso per il tratto di curva abbracciato dal flessimetro, si ha con tale strumento ed adottando i simboli già usati:

$$(9) \quad \sigma' = \frac{8Ey'f}{l^2},$$

mentre con un misuratore d'allungamenti, di lunghezza utile  $l_1$ , si deve ricavare  $\sigma'$  dalla:

$$(10) \quad \sigma' = E \frac{\Delta l_1}{l_1};$$

ammesso anche  $l_1 = l$ , e supposto  $\frac{l}{y} = 24 \sim$ , il che spesso si verificherà, si ottiene:

$$f = 3 \Delta l_1,$$

cioè le deformazioni da misurarsi col flessimetro sono tre volte quelle che converrebbe misurare coll'altro strumento.

Come prova della praticità di tale applicazione ho voluto fare la seguente esperienza: Ho preso un ferro a [ (fig. 5) delle dimensioni  $\frac{80 \times 40}{10 \times 8}$  (fig. 6) e dopo avervi inchiodate alle estremità, contro la faccia esterna dell'anima, due linguette in ferro piatto, l'ho assoggettato ad uno sforzo di trazione  $N$  di 3<sup>t</sup>, prendendo fra cunei le linguette suddette. Questo è un caso di sollecitazione eccentrica ben definito: lo sforzo di trazione agisce con una eccentricità di cm. 2 e provoca quindi al lembo delle ali del ferro a [ una tensione unitaria massima la quale vien data notoriamente (fig. 6) da:

$$(11) \quad \sigma_{\max} = N \left( \frac{1}{12,8} + \frac{2 \times 2,6}{18,6} \right) = (0,0781 + 0,2796) N = 0,3577N$$

e per  $N = 3^t$ :

$$\sigma_{\max} = 1,07 \text{ } ^t/\text{cm}^2.$$



Riguardando la curva elastica secondo cui si dispone il lembo delle ali del ferro a [ , per il tratto abbracciato dal flessimetro, che in tale esperienza era di cm. 45, come circolare, la tensione unitaria prodotta al lembo suddetto dal momento flettente è data secondo la (9) da

$$\sigma' = \frac{8 \times 2000 \times 2,6}{45^3} f = 20,54 f,$$

e quindi

$$\sigma_{\max} = 0,0781 N + 20,54 f$$

e per  $N = 3^t$

$$\sigma_{\max} = 0,23 + 20,54 f.$$

Ora in una prima prova, applicando il flessimetro prima contro il lembo di un'ala del [ e poi contro quello dell'altra, ho ottenuto lo stesso risultato e cioè  $f = \text{mm. } 0,40$ , e quindi:

$$\sigma_{\max} = 0,23 + 20,54 \times 0,04 = 1,05^t/\text{cm}^2.$$

Ripetendo una seconda volta l'esperienza ho ottenuto tanto per un'ala come per l'altra  $f = \text{mm. } 0,42$ , e però:

$$\sigma_{\max} = 0,23 + 20,54 \times 0,042 = 1,09^t/\text{cm}^2.$$

La media fra questi due valori, i quali del resto differiscono fra loro di una quantità praticamente insignificante, coincide perfettamente col valore teorico ricavato dalla (11); il che dimostra la bontà di questo metodo sperimentale per determinare lo sforzo prodotto dall'eccentricità dell'attacco.

Torino, dicembre 1899.



*Sugli integrali lineari dei moti spontanei  
a caratteristiche indipendenti;*

Nota del Socio VITO VOLTERRA.

1. — Nella mia Nota: *Sopra una classe di equazioni dinamiche* (\*) ho esposto (§ 8) la riduzione che si può operare nelle equazioni dei moti spontanei a caratteristiche indipendenti di ordine  $v$  allorchè esiste un certo numero di integrali lineari. Ora mi permetto di esporre un criterio onde riconoscere a priori dai valori dei coefficienti che compariscono nelle equazioni, la esistenza di  $v - 3$  integrali lineari.

Mi varrò di questo risultato per completare un teorema che ho dato nell'altra mia Nota: *Sulla integrazione di una classe di equazioni dinamiche* (\*\*). Ivi dimostro (§ 5) che se esiste un integrale quadratico la cui equazione caratteristica ha radici diseguali le  $v$  caratteristiche si esprimono come funzioni ellittiche del tempo quando si possono trovare  $v - 3$  integrali lineari indipendenti dal tempo.

D'altra parte in virtù del teorema del § 11 della prima delle due Note citate basterebbe conoscere  $v - 4$  integrali lineari indipendenti dal tempo, perchè il problema si potesse ridurre alle quadrature.

Questi due risultati si possono fondere insieme, osservando che se esistono  $v - 4$  integrali lineari deve sempre esistere un nuovo integrale lineare, e perciò basta provare l'esistenza di  $v - 4$  integrali lineari, perchè si sappia che la soluzione può ottenersi mediante funzioni ellittiche.

2. — Le equazioni dei moti spontanei a caratteristiche indipendenti  $p_1, p_2 \dots p_v$ , allorchè  $T$  è la forza viva e  $F = \text{cost}$

---

(\*) "Atti della R. Accademia delle Scienze di Torino", Vol. XXXIII. Adunanza del 27 marzo 1898.

(\*\*) Ibid. Adunanza del 27 marzo 1898.



rappresenta un integrale quadratico la cui equazione caratteristica ha radici diseguali possono scriversi (Vedi 1<sup>a</sup> Nota citata § 9)

$$(1) \quad p'_s = \sum_{r,k} e_{s,r,k} \frac{d(T, F)}{d(p_r, p_k)}$$

in cui le  $e_{s,r,k}$  sono coefficienti costanti che cambiano segno per una inversione degli indici.

Supponiamo ora che esistano  $\nu - 3$  integrali lineari indipendenti

$$G_i = \sum_1^{\nu} a_{is} p_s = \text{cost} \quad (i = 1, 2, \dots, \nu - 3)$$

Dovremo avere

$$\sum_1^{\nu} a_{is} p'_s = 0$$

$$\sum_1^{\nu} \frac{\partial T}{\partial p_s} p'_s = 0$$

$$\sum_1^{\nu} \frac{\partial F}{\partial p_s} p'_s = 0,$$

quindi

$$p'_s = (-1)^{s-1} C \frac{d(G_1, G_2 \dots G_{\nu-3}, T, F)}{d(p_1, p_2 \dots p_{s-1}, p_{s+1} \dots p_{\nu})}$$

in cui  $C$  rappresenta un coefficiente di proporzionalità indipendente dall'indice  $s$ .

Potremo dunque scrivere le equazioni

$$(-1)^{s-1} C \frac{d(G_1, G_2 \dots G_{\nu-3}, T, F)}{d(p_1, p_2 \dots p_{s-1}, p_{s+1} \dots p_{\nu})} = \sum_{r,k} e_{s,r,k} \frac{d(T, F)}{d(p_r, p_k)}.$$

Poniamo ora

$$E_{i_1, i_2, i_3} = \frac{d(G_1, G_2 \dots G_{\nu-3})}{d(p_{i_1}, p_{i_2}, \dots p_{i_3})} = \begin{vmatrix} a_{1,i_1} & a_{1,i_2} & \dots & a_{1,i_3} \\ a_{2,i_1} & a_{2,i_2} & \dots & a_{2,i_3} \\ \dots & \dots & \dots & \dots \\ a_{\nu-3,i_1} & a_{\nu-3,i_2} & \dots & a_{\nu-3,i_3} \end{vmatrix};$$



ove  $i_1, i_2 \dots i_v$  rappresenta una permutazione pari dei numeri  $1, 2 \dots v$ .

L'equazione precedente si scriverà

$$C \sum_{r,k} E_{s,r,k} \frac{d(T,F)}{d(p_r, p_k)} = \sum_{r,k} e_{s,r,k} \frac{d(T,F)}{d(p_r, p_k)}.$$

3. — Se le caratteristiche sono tali che si abbia

$$T = \frac{1}{2} \sum_1^v p_i^2, \quad F = \frac{1}{2} \sum_1^v \lambda_i p_i^2$$

in cui le  $\lambda_i$  sono diverse fra loro, le equazioni precedenti si scriveranno

$$(2) \quad C \sum_{r,k} E_{s,r,k} (\lambda_k - \lambda_r) p_r p_k = \sum_{r,k} e_{s,r,k} (\lambda_k - \lambda_r) p_r p_k.$$

Riguardo al coefficiente di proporzionalità  $C$  noi sappiamo solo che esso è indipendente dall'indice  $s$ .

Dimostriamo ora che esso è costante ed indipendente dai valori iniziali delle  $p_1, p_2 \dots p_v$ .

A tal fine osserviamo che se per  $t=0$ , prendiamo tutte le caratteristiche nulle eccettuate  $p_r$  e  $p_k$ , avremo dalla (2)

$$C E_{s,r,k} = e_{s,r,k}$$

ossia

$$C = \frac{e_{s,r,k}}{E_{s,r,k}}$$

e siccome  $C$  è indipendente da  $s$ , sarà

$$\frac{e_{s,r,k}}{E_{s,r,k}} = \frac{e_{s',r,k}}{E_{s',r,k}}, \quad (s' \geq s).$$

Ma invertendo gl'indici, tanto la  $e_{s',r,k}$  quanto la  $E_{s',r,k}$  cambiano segno, quindi

$$\frac{e_{s,r,k}}{E_{s,r,k}} = \frac{e_{s',r,k}}{E_{s',r,k}} = \frac{e_{r,s',k}}{E_{r,s',k}}$$



e poichè mutando il primo indice  $r$  nell'ultimo rapporto, esso non cambia, così sarà

$$\frac{e_{s,r,k}}{E_{s,r,k}} = \frac{e_{r',s',k}}{E_{r',s',k}}, \quad (r' \geq r).$$

In modo analogo si trova

$$\frac{e_{s,r,k}}{E_{s,r,k}} = \frac{e_{k',r',s'}}{E_{k',r',s'}} = \frac{e_{s',r',k'}}{E_{s',r',k'}}, \quad (k' \geq k)$$

il che mostra che le  $e$  e le  $E$  aventi gli stessi indici sono fra loro proporzionali, e siccome queste quantità sono costanti, così dalla (2) segue che anche  $C$  è una costante ed è indipendente dai valori iniziali delle caratteristiche.

4. — Osserviamo ora che moltiplicando una delle funzioni  $G_i$  per  $C$  si potrà sempre fare in modo che il rapporto di proporzionalità delle  $E$  e delle  $e$  si riduca eguale ad 1, onde potremo dire che queste sono eguali ai minori di ordine  $v-3$  di una matrice di  $v$  linee e di  $v-3$  colonne, tali essendo le  $E$ . Ma (Vedi 1<sup>a</sup> Nota citata § 9) eseguendo una sostituzione lineare a coefficienti costanti sulle caratteristiche

$$q_i = \sum_1^v A_{s,i} p_s,$$

in modo da passare dalle caratteristiche  $p_s$  alle  $q_i$ , le  $e_{s,r,k}$  si trasformano nelle

$$\sum_1^v \sum_1^v \sum_1^v e_{x,y,z} A_{x,s} A_{y,r} A_{z,k},$$

onde la proprietà di essere i minori d'ordine  $v-3$  di una matrice di  $v$  linee e di  $v-3$  colonne si conserva nei coefficienti delle equazioni differenziali a cui soddisfano le caratteristiche, allorchè si eseguisce una sostituzione lineare a coefficienti costanti sulle caratteristiche stesse.

Potremo dunque concludere che, quando esistono i  $v-3$  integrali lineari indipendenti, i coefficienti  $e_{s,r,k}$  saranno i minori di ordine  $v-3$  di una matrice con  $v$  linee e  $v-3$  colonne



qualunque sia la forma che hanno le funzioni quadratiche  $T$  ed  $F$ , purchè la equazione determinante abbia radici diseguali.

5. — Da un noto teorema sui minori delle matrici (\*) possiamo dedurre che quando le  $e_{s,r,k}$  sono i suddetti minori dovrà aversi

$$(3) \quad \sum_{k=1}^v e_{s,r,k} e_{s^1,r^1,k} = 0.$$

Le condizioni precedenti sono quindi necessarie per la esistenza dei  $v - 3$  integrali lineari.

Dimostriamo che esse sono anche sufficienti.

Infatti se le (3) sono verificate, potremo sempre porre

$$e_{i_1, i_2, i_3} = \begin{vmatrix} a_{1,i_4} & a_{1,i_5} & \dots & a_{1,v} \\ a_{2,i_4} & a_{2,i_5} & \dots & a_{2,v} \\ \cdot & \cdot & \cdot & \cdot \\ a_{v-3,i_4} & a_{v-3,i_5} & \dots & a_{v-3,v} \end{vmatrix}$$

essendo  $i_1, i_2, i_3 \dots i_v$  una permutazione pari dei numeri  $1, 2 \dots v$ , e le  $a_{h,k}$  ( $h = 1, 2 \dots v - 3$ ;  $k = 1, 2 \dots v$ ) quantità costanti.

Le (1) diverranno dunque

$$p'_s = (-1)^{s-1} \frac{d(G_1, G_2 \dots G_{v-3} T, F)}{d(p_1 \dots p_{s-1}, p_{s+1} \dots p_v)}$$

avendo posto

$$G_i = \sum_{s=1}^v a_{i,s} p_s \quad (i = 1, 2 \dots v - 3)$$

ciò che prova che

$$G_1 = \text{cost}, \quad G_2 = \text{cost}, \quad \dots \quad G_{v-3} = \text{cost}$$

sono integrali delle (1).

---

(\*) D'OVIDIO, *Ricerche sui sistemi indeterminati di equazioni lineari*. "Atti della R. Accademia delle Scienze di Torino", Vol. XII. — *Le funzioni metriche fondamentali negli spazi di quante si vogliano dimensioni e di curvatura costante*. "Mem. della R. Acc. dei Lincei" (Classe Sc. fis. mat. nat.), Vol. 1°, Serie 3<sup>a</sup>.



Possiamo per conseguenza enunciare il teorema seguente:

*La condizione necessaria e sufficiente affinchè le equazioni differenziali*

$$p'_s = \sum_{r,k} e_{s,r,k} \frac{d(T, F)}{d(p_r, p_k)}$$

*ammettano  $v - 3$  integrali lineari è che i coefficienti soddisfino alle equazioni*

$$\sum_k e_{s,r,k} e_{s',r',k} = 0.$$

*Se queste condizioni sono soddisfatte, le equazioni s'integrano con funzioni ellittiche.*

6. — Mediante la conoscenza di  $h$  integrali lineari delle (1), con un conveniente cambiamento di caratteristiche esse possono trasformarsi in  $v' = v - h$  equazioni differenziali dello stesso tipo

$$(4) \quad q'_i = \sum_{r,k} e_{i,r,k} \frac{d(T, F)}{d(q_r, q_k)}, \quad (i, r, k = 1, 2 \dots v')$$

in cui  $F$  è sempre un polinomio di secondo grado nelle  $q_1, q_2 \dots q_v$ , ma non più omogeneo.

Ripetendo un analogo ragionamento a quello fatto precedentemente si prova che *la condizione necessaria e sufficiente affinchè le (4) ammettano  $v' - 3$  nuovi integrali lineari indipendenti è che le  $e_{i,r,k}$  soddisfino le condizioni*

$$\sum_1^{v'} e_{i,r,k} e_{i',r',k} = 0.$$

7. — Supponiamo ora che le (1) abbiano  $v - 4$  integrali lineari, allora esse si ridurranno alle quattro equazioni differenziali

$$q'_i = \sum_{r,k} e_{i,r,k} \frac{d(T, F)}{d(q_r, q_k)} \quad (i, r, k = 1, 2, 3, 4).$$

Ma in questo caso saranno sempre soddisfatte le equazioni

$$\sum_1^4 e_{i,r,k} e_{i',r',k} = 0$$



come si verifica facilmente. Ne segue che esisterà sempre un altro integrale lineare.

Questo integrale si trova immediatamente: esso sarà

$$e_{2,3,4} q_1 + e_{3,4,1} q_2 + e_{4,1,2} q_3 + e_{1,2,3} q_4 = \text{cost.},$$

onde avremo il teorema

*Allorchè in un problema di moto spontaneo a caratteristiche indipendenti d'ordine  $\nu$ , esistono  $\nu - 4$  integrali lineari indipendenti dal tempo ed un integrale quadratico, la cui equazione caratteristica ha radici diseguali ed è pure indipendente dal tempo, le  $\nu$  caratteristiche si potranno esprimere come funzioni ellittiche del tempo.*

### ERRATA-CORRIGE ALLA NOTA:

*Sopra una classe di equazioni dinamiche* ("Atti della R. Accademia delle Scienze di Torino", Vol. XXXIII, 27 febbraio 1898).

Al principio del N° 4 del § 1 fino alle parole "... Tenendo presente la (5) otterremo", sostituire quanto segue:

4. Intenderemo con  $\delta p_1, \delta p_2, \dots, \delta p_\nu$  le  $\nu$  quantità definite dalle  $\nu$  relazioni

$$\sum_1^{3n} m_i \xi_{is} \delta \xi'_i = \sum_1^{3n} m_i \xi_{is} \frac{d}{dt} \delta \xi_i \quad (s = 1, 2 \dots \nu)$$

che in virtù delle (1) e (2) si scriveranno

$$\sum_1^{3n} m_i \xi_{is} \left( \sum_1^\nu \xi_{is} \delta p_s + \sum_1^\nu p_s \delta \xi_{is} \right) = \sum_1^{3n} m_i \xi_{is} \left( \sum_1^\nu \xi_{is} \frac{d\delta \omega_s}{dt} + \sum_1^\nu \delta \omega_s \frac{d\xi_{is}}{dt} \right).$$

Restando così giustificata la formula (B) che assumeremo nel § 3 per rappresentare il principio di Lagrange. Ma

$$\delta \xi_{is} = \sum_h^{3n} \frac{\partial \xi_{is}}{\partial \xi_h} \sum_r^\nu \xi_{hr} \delta \omega_r, \quad \frac{d\xi_{is}}{dt} = \sum_h^{3n} \frac{\partial \xi_{is}}{\partial \xi_h} \sum_r^\nu \xi_{hr} p_r$$

quindi la equazione precedente diverrà

$$\sum_1^{3n} m_i \xi_{is} \sum_1^\nu \xi_{is} \left( \delta p_s - \frac{d\delta \omega_s}{dt} \right) = \sum_1^{3n} m_i \xi_{is} \sum_h^{3n} \sum_s^\nu \sum_r^\nu \xi_{hr} \frac{\partial \xi_{is}}{\partial \xi_h} (p_r \delta \omega_s - p_s \delta \omega_r).$$

Tenendo presente la (5) otterremo.....



*Sulla metrica degli spazii a curvatura costante;*

Nota di FRANCESCO GIUDICE.

---

La lettura della Memoria di KLEIN del 1871 sulla cosiddetta geometria non euclidea m'indusse a stabilire chiaramente ed elementarmente alcuni principii, a dilucidazione della Memoria stessa. Parendomi che, pur tenendo conto delle successive Memorie di Klein del 1873 e del 1890, gli sviluppi da me dati a quei principii possano riuscir utili, per la loro semplicità, a chi voglia incominciare lo studio dell'accennata geometria, li espongo.

Considero specialmente il piano complesso: l'asse reale è così il luogo dei punti reali, e l'intero piano, dopo la separazione di quest'asse, è il luogo dei punti imaginari. In questo modo le considerazioni acquistano originalità ed ottengo qualche risultato, che può interessare anche chi è già iniziato nello studio della geometria generale e può suggerire ulteriori ricerche.

Mi limito a considerare la retta, per porre in chiaro quei principii fondamentali, che spesso si trovano appena accennati. Mi occupo però anche dell'interpretazione della teoria generale nel caso speciale della geometria ordinaria, affine di chiarire anche questo punto.

**1. Le tre geometrie.** — Se un punto si muove sopra una retta, nell'uno o nell'altro verso, devesi verificare uno di questi casi:

1° il punto, movendosi sempre nello stesso verso, finisce per riprendere la posizione di partenza;

2° il punto, sia che movasi sempre nell'uno e sia che si mova sempre nell'altro verso, tende ad uno stesso punto, che non può raggiungere, cosicchè questo è il solo punto inaccessibile della retta (punto all'infinito o *punto fondamentale* o *punto limite* o *confine*);



3° il punto tende ad uno o ad un altro punto, che non può raggiungere, secondo che movesi sempre nell'uno o sempre nell'altro verso, cosicchè questi due punti inaccessibili (punti all'infinito o punti fondamentali o punti limiti) separano i punti accessibili, dei quali quindi è riconosciuta l'esistenza, dagli altri punti della retta (*punti ideali*, che noi diremo *al transfinito*), che pur possono esistere, ma la cui esistenza non può essere riconosciuta.

Vediamo di chiarire questi tre casi mediante una linea chiusa.

CASO 1°. Supponiamo che un mobile, partendo da un punto qualunque, O, della linea e movendosi poi sempre nell'uno o sempre nell'altro verso, possa ritornare al punto O di partenza dopo d'aver percorsa l'intera linea. Per un tal mobile la linea è finita.

CASO 2°. Dividiamo la linea in due archi mediante i punti O e Q; sopra ciascuno dei due archi, partendo da O ed allontanandoci poi sempre da questo punto, segniamo una successione infinita di punti in modo che Q sia punto limite comune delle due successioni, in modo cioè che in ogni arco, che contenga Q nel suo interno, sianvi punti d'entrambe le successioni. I punti d'una successione siano

1   2   3   .   .   .

e quelli dell'altra siano

— 1   — 2   — 3   .   .   .

Supponiamo ora che un mobile parta da O e poi s'allontani sempre da questo punto; e supponiamo che i tempi, che il mobile impiegherà a percorrere successivamente i tratti in cui la linea è divisa dalle due successioni di punti non possano avere nè zero per limite inferiore nè infinito per limite superiore, cioè supponiamo che si possano fissare un tempo abbastanza piccolo  $t$  ed uno abbastanza grande  $\tau$  perchè ogni tratto fra due punti successivi sia percorso in un tempo maggiore di  $t$  e minore di  $\tau$  (\*). Il mobile allora, qualunque sia il verso in

---

(\*) V. F. GIUDICE, *Subfiniti e transfiniti dal punto di vista di CANTOR*, "Rendic. Circ. Mat. „; Verballi, adunanze 26 giugno e 10 luglio 1892.







della retta e ad intervalli finiti di tempo, non può dunque scaturire come necessità logica l'essenza della retta completa.

**2. Birapporti.** — Supponiamo che esista corrispondenza biunivoca continua tra un insieme di punti ed uno di numeri. Per quanto diremo non abbiamo affatto bisogno di sapere come siasi stabilita quella corrispondenza; ci basta di ammetterla, e l'ammettiamo: non abbiamo neppur bisogno di sapere come sia costituito l'insieme dei punti, nè se l'esistenza di questi sia concreta od ideale.

Diremo *precoordinata* d'un punto qualunque il numero corrispondente: e, se  $a, b, c, d$  sono le precoordinate dei punti A, B, C, D, diremo che

$$\frac{a-c}{b-c} : \frac{a-d}{b-d}$$

è il *rapporto anarmonico*, o birapporto, dei quattro numeri  $a, b, c, d$  nell'ordine in cui ora furon nominati, o dei quattro punti A, B, C, D nel sistema di precoordinate adottato; e, seguendo l'uso, l'indicheremo con  $(A, B, C, D)$ , o con  $(a, b, c, d)$ . Si riconosce immediatamente che i birapporti sono invarianti per le trasformazioni lineari, cioè che:

$$(abcd) = \left( \frac{ma+n}{pa+q} \frac{mb+n}{pb+q} \frac{mc+n}{pc+q} \frac{md+n}{pd+q} \right).$$

Se  $x$  è precoordinata di  $X$  ed  $x = x_1 : x_2$ , diremo che  $x_1$  ed  $x_2$ , o meglio  $px_1$  e  $px_2$  con  $p$  arbitraria, son *precoordinate omogenee* di  $X$ .

Siano ora  $U$  e  $V$  due punti distinti, cioè di precoordinate  $u$  e  $v$  differenti, cosicchè, se  $u = u_1 : u_2$  e  $v = v_1 : v_2$ ,  $u_1v_2 - u_2v_1 \neq 0$ . Se  $A$  è un altro punto dell'insieme ed  $a$  è la sua precoordinata ed

$$\begin{aligned} a &= a_1 : a_2 & \begin{aligned} a_1 &= u_1\alpha_1 + v_1\alpha_2 \\ a_2 &= u_2\alpha_1 + v_2\alpha_2 \end{aligned} & \alpha &= \alpha_1 : \alpha_2, \end{aligned}$$

il punto  $A$  è determinato dal valore di  $\alpha$  come da quello di  $a$ , perchè essendo conosciuti  $u_1, u_2, v_1$  e  $v_2$ , s'ottiene subito, e linearmente,  $\alpha$ , se è dato  $a$ , e viceversa. Diremo quindi che  $\alpha$  è



coordinata e  $\alpha_1, \alpha_2$  sono coordinate omogenee di  $A$ , relativamente ai punti base  $U, V$  ed all'assunto sistema di precoordinate. Le coordinate dei punti base  $U, V$  son quindi  $\infty, 0$ .

Dalle precedenti equazioni si rileva immediatamente che, se  $u_1, u_2, v_1, v_2$  sono reali,  $a$  ed  $\alpha$  sono od entrambi reali od immaginari entrambi; ed, in questo caso, la coordinata  $\alpha$ , se non diviene imaginaria, muta segno allora e solo allora che  $A$  passa da un lato all'altro d'uno dei due punti  $U$  e  $V$ , perchè

$$\alpha = \frac{v_2}{u_2} \frac{a - v}{u - a}.$$

E, perchè la relazione tra precoordinata e coordinata è lineare, si ha che: *Il rapporto anarmonico delle coordinate di quattro punti è uguale a quello delle precoordinate, per cui è indipendente dai punti base.*

Per maggior chiarezza abbiamo distinte le precoordinate dalle coordinate; ma un sistema di coordinate può, a sua volta, prendersi per sistema di precoordinate, e le precoordinate possono rendersi coordinate, mutando il sistema di precoordinate: perciò, nel seguito, conserveremo l'accennata distinzione solamente quando potrà ancora giovare alla chiarezza.

Se si considera uno spazio ad  $n - 1$  dimensioni e

$$z_1 = x_1 + \lambda y_1, \quad z_2 = x_2 + \lambda y_2, \quad \dots, \quad z_n = x_n + \lambda y_n,$$

allora per birapporto di quattro punti ( $Z$ ) della retta ( $xy$ ) si potrà intendere quello dei quattro corrispondenti valori del parametro  $\lambda$ .

Le precedenti formule di trasformazione si possono ancora considerare come quelle d'un movimento dell'insieme di punti, convenendo per es. che  $\alpha$  sia precoordinata del punto dove deve andare quello di precoordinata  $a$ .

**3. Misurazioni.** — Consideriamo il piano ed a sistema di precoordinate adottiamo quello di GAUSS; avremo così corrispondenza biunivoca tra i punti del piano ed i numeri complessi. Una trasformazione, che rimetta il piano su sè stesso, stabilisce una corrispondenza biunivoca tra i punti del piano, la quale consiste nella sovrapposizione dei punti corrispondenti; perciò



la trasformazione (se è algebrica, come supporremo) è lineare, per cui non altera i birapporti.

Supponiamo che, nel piano, sian dati due punti P ed M, cioè che ne sian date le precoordinate  $p$  ed  $m$ . Una relazione, che dipenda soltanto dalle posizioni relative di P ed M e quindi soltanto da quella di M dopo che sia fissata quella di P, cioè soltanto da  $m$  dopo che  $p$  sia data, sarà una funzione di  $m$ , dopo che sia data  $p$ ; ma, se sono fissati ancora i punti Q ed R, cioè sono date le loro precoordinate  $q$  ed  $r$ , ed

$$(m \ q \ p \ r) = k,$$

allora è indifferente dare  $m$  o  $k$ , perchè questi due numeri esprimonsi linearmente l'uno per mezzo dell'altro, per cui è ancora indifferente considerare le funzioni di  $m$  o quelle di  $k$ . Si ha dunque che: *Una relazione, che dipenda soltanto dalle posizioni relative di M e P, è funzione del birapporto della coppia M, P con una di punti fissi. E da quanto precede segue che, inversamente, siffatte funzioni non sono alterate dalle trasformazioni, che rimettono il piano su sè stesso, cioè che sono invarianti per le traslazioni, rotazioni e riflessioni del piano in sè.*

Le funzioni invarianti per le trasformazioni lineari, che non spostino i punti fondamentali (punti all'infinito), se sian relative ai punti P ed M, le diremo misurazioni della coppia di punti P, M, o semplicemente di PM.

Noi, ora, ci occuperemo delle misurazioni, che soddisfano la proprietà addittiva, di quelle cioè per le quali

$$\text{misuraz. LM} + \text{misuraz. MN} = \text{misuraz. LN},$$

da cui segue che

$$\text{misuraz. LN} - \text{misuraz. LM} = \text{misuraz. MN}.$$

Quelle misurazioni, continue, che soddisfano la proprietà addittiva, le diremo brevemente *misure*. Una misura di MN la indicheremo, generalmente, con (MN).

4. *Misure paraboliche, o speciali.* — Si ha che

$$(mqnr) = \frac{(m-n)(q-r)}{(q-n)(m-r)}, \quad (mq \infty r) = \frac{q-r}{m-r}, \quad (\infty qnr) = \frac{q-r}{q-n}.$$

Siano M, Q, N, R, W i punti di coordinate  $m, q, n, r, \infty$ ; siano



fissi  $Q$  ed  $R$ ; e si definisca una misurazione per mezzo dell'equazione

$$\text{misuraz. } MN = f\left(\frac{1}{q-r} (mqnr)\right),$$

che debba valere per qualsiasi coppia di punti  $MN$ . Si ha, allora che

$$\text{misuraz. } MN = f\left(\frac{m-n}{(q-n)(m-r)}\right)$$

$$\text{misuraz. } MW = f\left(\frac{1}{m-r}\right) \quad \text{misuraz. } WN = f\left(\frac{1}{q-n}\right).$$

Facciamo coincidere i punti fondamentali  $Q$  ed  $R$ ; e vediamo, poi, se sia possibile fissare la funzione  $f$  in modo d'avere una misura. Se

$$(MN) = f\left(\frac{n-m}{(m-r)(n-r)}\right),$$

per la proprietà addittiva delle misure, per cui  $(MW) + (WN) = (MN)$ , si ha che

$$f\left(\frac{1}{m-r}\right) + f\left(\frac{1}{r-n}\right) = f\left(\frac{n-m}{(m-r)(n-r)}\right).$$

La funzione  $f$  deve dunque soddisfare l'equazione funzionale

$$f(x) + f(y) = f(x + y).$$

Supponendo nullo  $y$ , si trova che

$$f(0) = 0, \quad \text{cioè} \quad (MM) = 0.$$

Ponendo prima  $x$  e poi  $(m-1)x$  in luogo di  $y$ , trovasi, per induzione, che

$$f(mx) = mf(x),$$

per cui

$$nf\left(\frac{m}{n}x\right) = f(mx) = mf(x),$$

da cui deducesi che

$$f\left(\frac{m}{n}x\right) = \frac{m}{n}f(x).$$



Se  $\alpha$  è un numero irrazionale, si può formare una successione di numeri razionali,  $a_1 a_2 \dots a_n, \dots$ , che tenda ad  $\alpha$ . Per ogni  $n$

$$f(a_n x) = a_n f(x),$$

epperò, per la continuità di  $f(x)$ ,

$$f(\alpha x) = \alpha f(x).$$

Questa relazione sussiste dunque per ogni valor reale di  $\alpha$ . Dividendo per  $\alpha x$  e ponendo poi  $y$  per  $\alpha x$ , trovasi che

$$\frac{f(y)}{y} = \frac{f(x)}{x} = \text{cost},$$

per cui

$$f(x) = ax.$$

La definizione generale dei sistemi di misura ad unico punto fondamentale è dunque data dall'equazione seguente:

$$(MN) = a \frac{n-m}{(n-r)(m-r)} = a \left( \frac{1}{m-r} - \frac{1}{n-r} \right),$$

dove  $r$  è coordinata del punto fondamentale ed  $a$  è costante arbitraria.

È facile riconoscere che  $\frac{1}{m-r} - \frac{1}{n-r}$  è effettivamente invariante per le trasformazioni lineari, che non spostano il punto fondamentale  $r$ , ciò che può già desumersi dal modo in cui si pervenne a quest'espressione e da quanto fu detto relativamente ai birapporti.

Se la trasformazione lineare, oppure movimento, ha per equazione

$$x' = \frac{dx + b}{cx + g},$$

allora

$$m' - r' = \frac{dm + b}{cm + g} - \frac{dr + b}{cr + g} = \frac{(dg - bc)(m - r)}{(cr + g)(cm + g)}, \quad n' - r' = \dots,$$

per cui

$$\frac{1}{m' - r'} - \frac{1}{n' - r'} = \frac{(cr + g)^2}{(dg - bc)} \frac{n - m}{(m - r)(n - r)}.$$

Ora, per la coincidenza ed invarianza dei punti fondamentali,

$$r' = r = \frac{dr + b}{cr + g}, \quad (d - g)^2 + 4bc = 0,$$



onde

$$r = \frac{d-g}{2c}, \quad \frac{(cr+g)^2}{dg-bc} = 1.$$

Resta così provato che

$$\frac{1}{m'-r'} - \frac{1}{n'-r'} = \frac{1}{m-r} - \frac{1}{n-r}.$$

Se la precedente espressione di misura fosse scomoda, per es. se  $r = \infty$ , si potrebbe rimediare facilmente mediante una trasformazione di coordinate. Si può anche ridurre l'espressione ad altra forma:

Fissando  $r_2$ , la qual cosa si può fare perchè il punto fondamentale non dev'essere spostato ed anche perchè una delle due coordinate omogenee si può fissare arbitrariamente, ed indicando con  $k$  la costante  $ar_2^2$ , si ha che:

$$(MN) = k \frac{n_1 m_2 - n_2 m_1}{(n_1 r_2 - n_2 r_1)(m_1 r_2 - m_2 r_1)},$$

per cui, se

$$r_x = r_2 x_1 - r_1 x_2 \quad s_x = s_2 x_1 - s_1 x_2$$

e le costanti  $s_1, s_2$  sono fissate in modo che

$$r_2 s_1 - r_1 s_2 = 1,$$

allora

$$(MN) = k \left( \frac{s_n}{r_n} - \frac{s_m}{r_m} \right).$$

Con procedimento già usato, si può vedere ancora che le trasformazioni lineari, che non spostano il punto fondamentale  $r_x = 0$ , non alterano la precedente espressione di  $(MN)$ , perchè, se trasformano  $r_x$  in  $\rho r_x$ , trasformano  $s_x$  in  $\rho s_x + \sigma r_x$ .

Si riconosce subito che

$$\frac{s_n}{r_n} = \left( \frac{n_1}{n_2}, \frac{s_1 - r_1}{s_2 - r_2}, \frac{s_1}{s_2}, \frac{r_1}{r_2} \right)$$

cioè che: La misura dal punto  $s_x = 0$  al punto  $n$ , cioè dal punto di coordinata soddisfacente l'equazione  $s_x = 0$  a quello di coordinata  $n$ , è il prodotto della costante  $k$  per il birapporto dei quattro punti  $n, s_x = r_x, s_x = 0, r_x = 0$ .



5. Misure ellittiche ed iperboliche, o generali. — Se

$$(MN) = f(mnrs),$$

si faccia una trasformazione lineare, che porti  $r$  ed  $s$  in  $\infty$  e  $0$ .  
Se  $\mu$ ,  $\nu$  sono le coordinate prese da  $M$  ed  $N$ ,

$$(MN) = f(\mu\nu \infty 0) = f\left(\frac{\nu}{\mu}\right),$$

e, per la proprietà addittiva, per cui  $(MN) + (NL) = (ML)$ ,

$$f\left(\frac{\nu}{\mu}\right) + f\left(\frac{\lambda}{\nu}\right) = f\left(\frac{\lambda}{\mu}\right).$$

La funzione  $f$  soddisfa dunque l'equazione funzionale

$$f(x) + f(y) = f(xy).$$

Ponendo  $1$  per  $y$ , si trova che

$$f(1) = 0, \text{ cioè che } (MM) = 0.$$

Ponendo prima  $x$  e poi  $x^{m-1}$  per  $y$ , trovasi con induzione, che

$$f(x^m) = mf(x),$$

per cui

$$nf\left(x^{\frac{m}{n}}\right) = f\left(x^{n\frac{m}{n}}\right) = f(x^m) = mf(x)$$

onde

$$f\left(x^{\frac{m}{n}}\right) = \frac{m}{n} f(x).$$

Se  $\alpha$  è un numero irrazionale ed  $a_1 a_2 \dots a_n \dots$  è una successione tendente ad  $\alpha$ , per la continuità  $f(\lim x^{a_n}) = \lim f(x^{a_n}) = \lim a_n f(x)$ ,  
cioè

$$f(x^\alpha) = \alpha f(x).$$

Questa relazione sussiste dunque per ogni valor reale di  $x$ , onde

$$x^{f(x^\alpha)} = x^{\alpha f(x)}.$$

Ponendo  $y$  per  $x^\alpha$ , si deduce che

$$x^{\frac{1}{f(x)}} = y^{\frac{1}{f(y)}} = \text{cost}$$

epperò

$$f(x) = {}^a\log x = k \log x.$$



La definizione generale dei sistemi di misura a due punti fondamentali è dunque data dall'equazione

$$(MN) = k \log(MNRS) = k \log \frac{(m-r)(n-s)}{(n-r)(m-s)};$$

dove  $k$  è costante arbitraria ed  $R, S$  sono i punti fondamentali: se questi hanno per coordinate  $\infty$  e  $0$  quando le coordinate di  $M$  ed  $N$  sono  $\mu$  e  $\nu$ , allora (v. num. 2)

$$(MN) = k \log \frac{\nu}{\mu}.$$

Se

$$\Omega xx = ax_1^2 + 2bx_1x_2 + cx_2^2 = x_2^2 \Omega(x),$$

e le coordinate dei punti fondamentali sono date dall'equazione

$$\Omega xx = 0,$$

allora, se si prendono per punti base  $M$  ed  $N$ , le coordinate dei punti fondamentali vengono ad esser radici dell'equazione  $a(u_1m_1 + u_2n_1)^2 + 2b(u_1m_1 + u_2n_1)(u_1m_2 + u_2n_2) + c(u_1m_2 + u_2n_2)^2 = 0$ , cioè di

$$\Omega_{mn}u^2 + 2\Omega_{mn}u + \Omega_{nn} = 0$$

dove

$$\Omega_{mn} = am_1n_1 + b(m_1n_2 + m_2n_1) + cm_2n_2.$$

Indicando dette radici con  $u'$  ed  $u''$ , si ha così (v. num. 2)

$$(MN) = k \log(\infty 0 u' u'') = k \log \frac{u''}{u'},$$

per cui, potendo fissar liberamente il segno del radicale, nelle radici, possiam porre che

$$(MN) = k \log \frac{\Omega_{mn} + \sqrt{\Omega_{mn}^2 - \Omega_{mm} \Omega_{nn}}}{\Omega_{mn} - \sqrt{\Omega_{mn}^2 - \Omega_{mm} \Omega_{nn}}}.$$

Se

$$\log a = 2i \arccos b,$$

allora

$$a = e^{2i \arccos b} = e^{i \arccos b} : e^{-i \arccos b} = \frac{b + i \sqrt{1-b^2}}{b - i \sqrt{1-b^2}},$$

per cui

$$b = (a + 1) : 2 \sqrt{a}.$$



Se  $a = (\alpha + \beta) : (\alpha - \beta)$ , si riconosce così che

$$\log \frac{\alpha + \beta}{\alpha - \beta} = 2i \arccos \frac{\alpha}{\sqrt{\alpha^2 - \beta^2}}.$$

Si ha per ciò che

$$(MN) = 2ki \arccos \frac{\Omega_{mn}}{\sqrt{\Omega_{mm} \Omega_{nn}}} = 2ki \operatorname{arctg} \frac{\sqrt{\Omega_{mm} \Omega_{nn} - \Omega_{mn}^2} (*)}{\Omega_{mn}}.$$

Si riconosce subito che la precedente espressione di (MN) è effettivamente invariante per le trasformazioni lineari, che non spostino i punti fondamentali. Se infatti una trasformazione lineare muta  $m, n, \Omega_{xx}$  in  $m', n', \rho \Omega_{x'x'}$ , dove  $\rho$  sia una costante, allora (v. num. 2, 3)

$$(MN)' = k \log \frac{\Omega_{m'n'} + \sqrt{\Omega_{m'n'}^2 - \Omega_{m'm'} \Omega_{n'n'}}}{\Omega_{m'n'} - \sqrt{\Omega_{m'n'}^2 - \Omega_{m'm'} \Omega_{n'n'}}} = (MNRS) = (MN).$$

**6. Metrica parabolica.** — Definiamo la misura con la formula del num. 4

$$(MN) = k \frac{n_1 m_2 - n_2 m_1}{(n_1 r_2 - n_2 r_1)(m_1 r_2 - m_2 r_1)}.$$

Se  $r \neq \infty$ , facendo  $r_2 = 1$ , si ha che

$$(MN) = k \frac{n - m}{(n - r)(m - r)} = k \left( \frac{1}{m - r} - \frac{1}{n - r} \right) :$$

se  $\rho$  e  $\sigma$  sono le lunghezze ordinarie dei segmenti RM, RN ed  $\alpha, \beta$  sono gli angoli, che i raggi RM, RN formano con la direzione positiva dell'asse delle  $x$ , allora

$$(MN) = k \left( \frac{1}{\rho} e^{-i\alpha} - \frac{1}{\sigma} e^{-i\beta} \right) = k \left[ \left( \frac{\cos \alpha}{\rho} - \frac{\cos \beta}{\sigma} \right) - i \left( \frac{\sin \alpha}{\rho} - \frac{\sin \beta}{\sigma} \right) \right].$$

Se la *costante metrica*  $k$  è reale, perchè sia reale (MN) è dunque necessario e sufficiente che sia nulla  $\frac{\sin \alpha}{\rho} - \frac{\sin \beta}{\sigma}$ , cioè che M ed N siano sopra una circonferenza tangente all'asse delle  $x$  nel punto fondamentale R.

Se  $r = \infty$ , cioè se  $r_2 = 0$ , si possono fare uguali ad  $1 r_1$ ,  $m_2$  ed  $n_2$ , e s'ha così

$$(MN) = k(m - n),$$

---

(\*) KLEIN deduce di qui la formula per la misura parabolica, ottenuta da noi direttamente al num. 4.



cosicchè, perchè (MN) sia reale, è necessario e sufficiente che sian uguali i termini immaginari di  $m$  ed  $n$ , cioè che la retta MN sia parallela, nel senso euclideo, all'asse reale, ossia che lo tocchi in R. Il caso di  $r$  infinito si poteva trascurare, perchè, mediante trasformazione lineare, si può sempre fare in modo che il punto fondamentale abbia coordinata finita.

Abbiamo così che: *La misura parabolica d'una coppia di punti è reale quando e solo quando i due punti sono sopra una circonferenza tangente all'asse delle  $x$  nel punto fondamentale*, ciò, ben inteso, nel caso che la metrica parabolica sia interpretata nel piano e come fu fatto qui.

**7. Metrica iperbolica.** — Se  $a, b, c$  sono reali e

$$b^2 - ac > 0,$$

e si definisce la misura con la formula del num. 5.

$$(MN) = k \log \frac{\Omega_{mn} + \sqrt{\Omega_{mn}^2 - \Omega_{mm} \Omega_{nn}}}{\Omega_{mn} - \sqrt{\Omega_{mn}^2 - \Omega_{mm} \Omega_{nn}}},$$

*i due punti fondamentali son reali* e la metrica si dice iperbolica. E, per quanto s'è detto al num. 5,

$$(MN) = k \log (MNRS) = k \log \left( \frac{\nu}{\mu} \right)_{r,s} = k \log \left( \frac{\sigma}{\rho} \right)_{m,n},$$

dove  $\left( \frac{\nu}{\mu} \right)_{r,s}$  indica il rapporto delle coordinate, che hanno N ed M quando son punti base R ed S, ed analogo significato ha  $\left( \frac{\rho}{\sigma} \right)_{m,n}$ .

Affinchè sian reali le misure delle coppie di punti reali accessibili, bisogna (v. num. 2) che *la costante metrica sia reale*: indichiamo dunque con  $c$  una costante reale e poniamo  $c$  per  $k$ .

Indicando con  $\rho, \sigma, \rho', \sigma'$  le lunghezze ordinarie dei segmenti RM, RN, SM, SN e con  $\alpha, \beta, \alpha', \beta'$  gli angoli, che i raggi RM, RN, SM, SN formano con la direzione positiva dell'asse reale, si ha che:

$$(MNRS) = \frac{\rho e^{i\alpha}}{\sigma e^{i\beta}} : \frac{\rho' e^{i\alpha'}}{\sigma' e^{i\beta'}},$$

per cui

$$(MN) = c \log \frac{\rho \sigma'}{\rho' \sigma} e^{i[(\alpha - \alpha') - (\beta - \beta')]}. \quad .$$



*Perchè (MN) sia reale è quindi necessario e sufficiente che siano uguali gli angoli RMS ed RNS, cioè che M ed N siano sopra un circolo passante pei punti fondamentali R, S e, su tal circolo, non sian separati da questi punti.*

8. **Metrica ellittica.** — Se  $a, b, c$  sono reali e

$$b^2 - ac < 0,$$

e si definisce la misura con la formula del num. 5 richiamata nel num. precedente, i punti fondamentali son numeri complessi coniugati, e la metrica dicesi ellittica. Affinchè sian reali le misure delle coppie di punti reali, bisogna che la costante metrica  $k$  sia imaginaria pura: Se  $c_1$  è costante reale e  $k = c_1 i$ , dalla formula (v. num. 7)

$$(MN) = c_1 i \log \frac{\rho \sigma'}{\rho' \sigma} e^{i(\alpha + \beta' - \alpha' - \beta)}$$

si riconosce che: *La misura ellittica d'una coppia di punti è reale quando e solo quando i due punti si trovano sopra uno stesso circolo d'APOLLONIO dei due punti fondamentali.*

I circoli d'Apollonio dei punti fondamentali, ed uno d'essi è l'asse reale, hanno tutti la stessa lunghezza finita  $2\pi c_1$ , nella considerata metrica ellittica, perchè (\*)

$$(MM) = c_1 i \log 1 \equiv 0 \pmod{2\pi c_1}.$$

9. **Curvatura.** — Si dice che due sistemi di misura, o sistemi metrici o metriche, hanno un contatto, od una tangenza, in M, se le misure della coppia MN di punti nelle due metriche tendono ad essere uguali col tendere di N ad M. Se due sistemi metrici sono fra loro tangenti in un punto ed uno è parabolico, seguendo sostanzialmente KLEIN, diremo misura della curvatura dell'altro sistema in tal punto il risultato, che s'ottiene, se si

---

(\*) La misura d'una coppia di punti è puramente imaginaria se i due punti, per metrica parabolica, sian su circolo tangente nel punto fondamentale a parallela all'asse imaginario; e sian su circolo d'APOLLONIO dei punti fondamentali per metrica iperbolica, e su arco circolare congiungente i punti fondamentali per metrica ellittica. Si può così dire che la moltiplicazione per  $i$  della costante scambia le metriche iperbolica ed ellittica, mentre lascia quale è la metrica parabolica.



calcolano le misure d'un segmento infinitesimo uscente dal punto di contatto, così nel sistema metrico parabolico come nell'altro sistema e dividesi il triplo della differenza delle due misure pel cubo della misura parabolica.

Con le precedenti notazioni, se  $\Delta = b^2 - ac$ , allora

$$\Omega_{mn}^2 - \Omega_{mm}\Omega_{nn} = \Delta(m_1n_2 - m_2n_1),$$

per cui

$$\begin{aligned} ((MN)) &= k \log \left[ \left( 1 + \frac{\sqrt{\Delta}}{\Omega(m, n)} (m - n) \right) : \left( 1 - \frac{\sqrt{\Delta}}{\Omega(m, n)} (m - n) \right) \right] = \\ &= k \left[ \frac{\sqrt{\Delta}}{\Omega(m, n)} (m - n) + \frac{1}{3} \left( \frac{\sqrt{\Delta}}{\Omega(m, n)} (m - n) \right)^3 + \dots \right] \end{aligned}$$

dove

$$\Omega(m, n) = amn + b(m + n) + c.$$

Si vede immediatamente che, se

$$(MN) = k \frac{\sqrt{\Delta}}{\Omega(m)} (m - n),$$

la misura iperbolica od ellittica,  $((MN))$  e la parabolica  $(MN)$  si riferiscono a metriche tangenti fra loro in M. Ora,

$$\lim_{N \sim M} 3 \frac{(MN) - ((MN))}{(MN)^3} = -\frac{1}{k^2} :$$

le curvature delle metriche iperboliche ed ellittiche son quindi, rispettivamente,  $-\frac{1}{c^2}$  ed  $\frac{1}{c_1^2}$ : e la curvatura della metrica parabolica è nulla, per la definizione data di curvatura (\*).

I sistemi metrici iperbolico, parabolico ed ellittico sono dunque a curvatura costante: e la curvatura è negativa, nulla o positiva secondo che il sistema metrico è iperbolico, parabolico od ellittico.

Se  $r$  ed  $s$  sono radici dell'equazione  $\Omega(x) = 0$ ,  $r - s = 2\sqrt{\Delta} : a$ , per cui

$$(RS) = \frac{2k\Delta}{a\Omega(m)}.$$

---

(\*) KLEIN, dopo d'aver estese al piano le tre specie di metriche, dimostra la coincidenza della sua definizione di curvatura con quella di GAUSS (e quindi con quella di RIEMANN: V. p. es. BELTRAMI, "Ann. di Mat.", S. II, t. II, 1868-69, pag. 244).



Si ha quindi che

$$4k^2 = (RS)^2,$$

se  $\Omega(m) + \frac{\Delta}{a} = 0$ , cioè se

$$am^2 + 2bm + \frac{b^2}{a} = 0.$$

Di qui si ricava

$$m = -\frac{b}{a} = \frac{r+s}{2}.$$

In questo caso, il punto di contatto,  $\frac{1}{2}(r+s)$ , ed il punto fondamentale,  $\infty$ , della metrica parabolica sono coniugati armonicamente rispetto ai punti fondamentali,  $r$  ed  $s$ , dell'altra metrica; e, quando ciò si verifichi, diremo che il contatto è centrale. Perciò, e perchè (v. num. 2) i birapporti sono invarianti per le trasformazioni lineari, si ha quindi che: Il prodotto di  $-1$  per la curvatura di un sistema metrico è inverso del quadrato della metà della distanza (misura) parabolica dei due punti fondamentali, quando il contatto è centrale. KLEIN non dà vera definizione della tangenza; considera caso speciale, tuttavia osserva che il punto di contatto forma (sempre) una divisione armonica coi punti fondamentali delle due metriche (v. traduz. francese della mem. del 1871, num. VII, pag. 26).

Da quanto fu detto qui si rileva che: quando sia stabilita una metrica iperbolica od ellittica, si può fissare un punto e stabilire una metrica parabolica in modo che in quel punto, su ogni retta, siavi contatto centrale delle due metriche. L'assoluto della metrica generale è allora una sfera della metrica speciale, con centro nel punto di contatto e la curvatura totale, cambiata di segno, di questa sfera è curvatura della metrica generale: ciò giustifica la denominazione di spazii di curvatura costante data alle tre specie di metriche considerate.

**10. Notizie e considerazioni.** — Con quanto precede ho inteso soltanto di chiarire alcuni punti fondamentali, che non sono svolti nè con sufficiente chiarezza nè completamente neppure nelle pubblicazioni di maggior mole o pregio; perciò credo opportune le seguenti indicazioni; i lavori indicati completeranno le notizie bibliografiche per coloro che volessero consul-



tare le memorie e le opere più importanti sulla geometria generale. Nella geometria elementare, *l'angolo di due rette è uguale al logaritmo moltiplicato per  $\frac{i}{2}$  del rapporto anarmonico che queste rette formano con le due, che dal punto d'intersezione delle due prime vanno ai punti ciclici imaginarii (\*)*: e la distanza di due punti A, B (presa in un senso conveniente) è uguale al rapporto anarmonico che formano, con questi punti, il punto all'infinito ed il punto distante 1 da B (\*\*).

Le specie di geometrie a curvatura costante, o ad infinito quadratico come le disse D'OVIDIO (\*\*\*), cioè le geometrie parabolica, ellittica ed iperbolica diconsi anche *geometria piana*, od a curvatura nulla, *geometria sferica*, od a curvatura positiva, e *geometria pseudosferica*, od a curvatura negativa. Il primo ad osservare che la geometria iperbolica ha una interpretazione elementare sulla pseudosfera fu BELTRAMI (\*\*\*\*). La geometria iperbolica può interpretarsi elementarmente anche su altre superficie, oltre che sulla pseudosfera (\*\*\*\*\*). Parimenti la geometria ellittica può avere diverse interpretazioni elementari: secondo KLEIN (\*\*\*\*\*) per es. la stella di raggi e piani ne è la più semplice interpretazione.

*La somma degli angoli d'un triangolo geodetico è maggiore, uguale o minore di due retti, secondo che la geometria è sferica, piana o pseudosferica (\*\*\*\*\*)*.

Per le formule trigonometriche, oltre delle considerazioni di KLEIN (traduz. francese della memoria del 1871, num. XII,

(\*) CLEBSCH-LINDEMANN, *Leçons sur la géométrie*, Paris 1879 (traduites par Benoist), pag. 185, tome premier.

(\*\*) CLEBSCH-LINDEMANN, l. c., pag. 187.

(\*\*\*) D'OVIDIO, *Le funzioni metriche fondamentali negli spazii di quante si vogliano dimensioni e di curvatura costante*, "Atti R. Acc. Lincei", Vol. I, serie 3<sup>a</sup>, 1877, pag. 950.

(\*\*\*\*) BELTRAMI, *Saggio d'interpretazione della geometria non euclidea*, "Giornale di BATTAGLINI", VI, 1868: V. anche "Ann. di Mat.", 2<sup>a</sup>, II pag. 253.

(\*\*\*\*\*) V. BIANCHI, *Geom. diff.*, pag. 184. — CESÀRO, *Geom. int.*, pag. 178.

(\*\*\*\*\* KLEIN, "Math. Ann.", VI, 1873, pag. 125 (*Ueber die sogennante Nicht-Euklidische Geometrie*).

(\*\*\*\*\*) V. BIANCHI, *Geom. diff.*, pag. 170. — CESÀRO, *Geom. int.*, pag. 169. — V. ancora BIANCHI, *Geom. diff.*, pag. 407. — GAUSS's Werke, IV Bd., pag. 246.



pag. 45), si può vedere per es. ROUCHÉ e COMBEROUSSE: *Traité de Géométrie*, II, 1891, pagg. 583-593.

Il prof. BELTRAMI dimostrò, la prima volta, nel 1866 (*Ann. di Mat.*, VII) che le superficie a geodetiche rappresentabili con equazioni lineari, mediante convenienti variabili, sono quelle a curvatura costante: più tardi (\*) giunse ad analogo risultato per spazii ad un qualsiasi numero di dimensioni.

Da quanto fu detto nel precedente numero s'intuisce già che la flessione non può modificare la curvatura: e sono, in vero, applicabili l'una sull'altra due superficie di curvatura uguale (\*\*).

Per l'intuizione geometrica è molto utile la considerazione dei movimenti (\*\*\*), che condusse a notevoli risultati per es. CLIFFORD e LIE.

Per la trattazione analitica della geometria proiettiva degli spazii di curvatura costante si può vedere, oltre dell'originale memoria di CAYLEY, la memoria del D'OVIDIO del 1877, già citata.

Per la trattazione differenziale, oltre della citata *Teoria fondamentale* del BELTRAMI, si possono vedere: GAUSS, *Disquisitiones generales circa superficies curvas*, Werke, IV, pag. 219-258; RIEMANN, *Ueber die hypothesen, welche der Geometrie zu grunde liegen*, Werke, pag. 272-286.

Per altre indicazioni bibliografiche si possono consultare le note pubblicazioni storico-bibliografiche ed i lavori speciali (\*\*\*\*).

(\*) BELTRAMI, *Teoria fondam. degli spazii di curvatura costante*, "Ann. di Mat.", serie II, tomo II, 1868-69, pag. 234.

(\*\*) V. p. es. BIANCHI, *Geom. diff.*, pag. 179; e "R. Acc. dei Lincei", 1898, CESÀRO, *Geom. intrinseca*, pag. 170 e 179. — GAUSS's Werke, IV, pag. 237.

(\*\*\*) V. p. es. KLEIN, *Consideraz. comparative intorno a ricerche geom. moderne: programma...*, "Ann. di Mat.", II, XVII, 1889-90; traduzione di G. Fano.

(\*\*\*\*) V. p. es. VERONESE, *Fondamenti di geometria*, e specialmente l'Appendice, pag. 565-625. Padova, Tip. del Sem., 1891. — LAUGEL, *Aggiunte alla traduz. del "The Evanston Colloquium"*, di Klein, Paris, edit. A. Hermann, 1898, pag. 121. — E. BONOLA, *Bibl. sui fondam. della geom. in relaz. alla geom. non euclidea*, "Boll. di Bibliografia e storia delle scienze mat.", pubblicato per cura di G. LORIA, edit. C. Clausen, gennaio-marzo 1899 (pag. 2 a 10). Vi è pure una recensione di G. FANO dell'*Einführung in die Grundlagen der geometrie* di KILLING; in quest'opera sono presi in considerazione tutti i più importanti lavori comparsi, anche recentemente, sulla geometria non euclidea.



La curvatura d'una varietà dipende dal concetto d'assoluto, cosicchè, idealmente, un qualsiasi spazio non è nè parabolico, nè ellittico, nè iperbolico: diverrà uno di questi spazii solo dopo l'attribuzione di precoordinate ai punti presi in considerazione e la fissazione d'assoluto quadratico, il quale limiterà la parte presa in considerazione, per cui la varietà intera potrà anche aver transfinito. Se per esempio si considerano un piano, una sfera ed una pseudosfera (o se ne considerano tre pezzi), si potranno stabilire corrispondenze biunivoche tra i punti di ognuna di tali superficie e quelli d'un medesimo pezzo di piano, il quale quindi potrà considerarsi come immagine del piano o della sfera o della pseudosfera, cosicchè potrà acquistarne le relative geometrie.

Generalmente, se  $S$  è uno spazio di  $n$  dimensioni, la sua geometria consiste nello studio di relazioni, che sono espresse da corrispondenti relazioni tra coordinate: essa geometria riducesi quindi allo studio d'un insieme di numeri  $n$ -arii, ogni punto essendo rappresentato dal complesso delle sue  $n$  coordinate; cosicchè se ne potrebbe fare una trattazione puramente analitica. Se, possibilmente, non si fa astrazione dello spazio, è per non rinunciare alla intuizione geometrica, che può riuscire di grande aiuto anche per lo sviluppo dei procedimenti analitici. Lo spazio  $S$  può quindi anche venir sostituito, astrattamente, da un altro spazio  $T$  qualsiasi, purchè questo e quello abbiano lo stesso numero di dimensioni: in questo caso infatti, come è noto per CANTOR e NETTO, si può stabilire una corrispondenza biunivoca tra i punti di  $S$  e quelli di  $T$ , la quale sia pure continua; per cui, attribuendo uguali coordinate ai punti corrispondenti, si potrà ottenere, che le geometrie di  $S$  e di  $T$  abbiano una comune trattazione analitica, consistente in un'unica geometria astratta, dove il punto non è che un complesso numerico. Le diversità si presentano però, e possono esser gravi, quando si passa dall'astratto al concreto, perchè i risultati analitici hanno un significato diverso per i due spazii concreti, cosicchè l'interpretazione dei medesimi può presentare per uno delle difficoltà molto maggiori, che non ne presenti per l'altro; ed appunto per questo la geometria d'uno spazio può talvolta semplificarsi mediante rappresentazione su d'un altro spazio, che sia di più facile intuizione.



Ed ora che abbiamo date le indicazioni, che ci parvero più adatte ad agevolare la via a chi voglia conoscere quanto si è fatto relativamente agli spazii di costante curvatura, passiamo a collegare le formule generali con quelle, che abbiamo date, in altri lavori, per la trattazione analitica della geometria ordinaria (\*).

**11. Misura di spazii generali.** — Consideriamo uno spazio di  $n - 1$  dimensioni ed indichiamo con  $x_1, \dots, x_n$  le coordinate del suo punto  $X$ , che indicheremo pure con  $(x_1, \dots, x_n)$  e, più semplicemente, con  $(x)$ . Se

$$\begin{vmatrix} x'_1 & \dots & x'_n \\ \cdot & \cdot & \cdot & \cdot & \cdot & \cdot \\ x_1^{(n-1)} & \dots & x_n^{(n-1)} \end{vmatrix} \neq 0,$$

si dice piano, determinato dagli  $n - 1$  punti  $(x'), \dots, (x^{(n-1)})$  il luogo dei punti di coordinate soddisfacenti l'equazione

$$\begin{vmatrix} x_1 & \dots & x_n \\ x'_1 & \dots & x'_n \\ \cdot & \cdot & \cdot & \cdot & \cdot & \cdot \\ x_1^{(n-1)} & \dots & x_n^{(n-1)} \end{vmatrix} = 0.$$

E se, sviluppando il determinante primo membro secondo gli elementi della prima orizzontale, quest'equazione diviene

$$v_1 x_1 + \dots + v_n x_n = 0,$$

allora si dice che  $v_1, \dots, v_n$  sono le coordinate omogenee del piano, che indicheremo con  $(v_1, \dots, v_n)$  o con  $(v)$  o con  $V$ .

Se  $f(x_1, \dots, x_n)$  ed  $F(v_1, \dots, v_n)$  sono due forme quadratiche reciproche,

$$f(x_1, \dots, x_n) = 0 \quad \text{ed} \quad F(v_1, \dots, v_n) = 0$$

---

(\*) V. *Introduzione alle coordinate triangolari e tetraedriche*, " Rend. Circ. Mat. di Palermo, 1898 (nel seguito sarà richiamata con l'indicazione I). — *Perpendicolarità e parallelismo in coordinate omogenee*, " R. Acc. delle Scienze di Torino „, 1899 (nel seguito sarà richiamata con l'indicazione II).



sono equazioni della stessa quadrica, come luogo di punti e come involuppo di piani. Prendiamo questa quadrica per assoluto. Per estendere le considerazioni precedenti, prendendo per punti (elementi) una volta i punti  $X$  ed una volta i piani  $V$ , convien porre queste definizioni: Si dice distanza di due punti  $X, Y$  il prodotto d'una costante per il logaritmo del rapporto anarmonico della coppia di punti  $X, Y$  con quella dei punti comuni all'assoluto,  $f(x) = 0$ , ed al bipunto  $(x) + \lambda(y)$ , o retta  $XY$ . Si dice distanza di due piani  $U, V$  il prodotto d'una costante per il logaritmo del rapporto anarmonico della coppia di piani  $U, V$  con quella dei piani comuni all'assoluto,  $F(v) = 0$ , ed al bipiano  $(u) + \lambda(v)$ , o fascio  $UV$ .

S'ottengono così, per il caso generale, le stesse formule, che s'ottennero per la retta. Affine di darle subito nella forma conveniente per il seguito, delle espressioni del num. 5 adotteremo le due contenenti  $\arctg$  ed  $\arccos$  per le due specie di distanze: avremo così che

$$XY = c \arccos \frac{\sqrt{f_{xx}f_{yy} - f_{xy}^2}}{f_{xy}}$$

$$\cos UV = c' \frac{F_{uv}}{\sqrt{F_{uu}F_{vv}}}$$

dove  $c, c'$  sono costanti ed

$$f_{xx} = f(x) = f(x_1, \dots, x_n) = \frac{1}{2} \sum x_r \frac{\partial f(x)}{\partial x_r},$$

$$f_{xy} = \frac{1}{2} \sum x_r \frac{\partial f(y)}{\partial y_r} = \frac{1}{2} \sum y_r \frac{\partial f(x)}{\partial x_r}, \text{ ecc.}$$

Se  $D_{rs}$  è il complemento algebrico dell'elemento comune all'orizzontale  $r^{ma}$  ed alla verticale  $s^{ra}$  del discriminante  $D$  di  $F(v)$ ; allora, quando  $D$  ha la caratteristica  $n - 1$ ,

$$f(x) = (\sqrt{D_{11}}x_1 + \dots + \sqrt{D_{nn}}x_n)^2.$$

**12. L'assoluto ordinario.** — Per la planimetria elementare si possono considerare come coordinate omogenee di punti e di piani (precisamente rette), le triangolari  $\sigma_1, \sigma_2, \sigma_3$  e le tripunte  $v_1, v_2, v_3$  (V. I, num. 24) (\*), e l'equazione dell'assoluto, involuppo (V. I, num. 17) è

$$\rho(v) = 0.$$

---

(\*) V. in fine del num. 10, a piè di pagina.



Si può quindi porre che

$$F(v) = 2\rho(v)$$

ed allora

$$D = \begin{vmatrix} 2a_1^2 & -a_1^2 - a_2^2 + a_3^2 & -a_1^2 + a_2^2 - a_3^2 \\ -a_1^2 - a_2^2 + a_3^2 & 2a_2^2 & a_1^2 - a_2^2 + a_3^2 \\ -a_1^2 + a_2^2 - a_3^2 & a_1^2 - a_2^2 - a_3^2 & 2a_3^2 \end{vmatrix}.$$

La caratteristica di questo determinante è 2 ed i suoi minori principali son tutti uguali a  $16\delta^2$ ; perciò

$$f(\sigma) = 4\delta(\sigma_1 + \sigma_2 + \sigma_3)^2.$$

L'assoluto dei punti, per la planimetria ordinaria, riducesi dunque alla retta all'infinito (V. II, num. 1) (\*) contata due volte.

L'assoluto  $\rho(v_1, v_2, v_3) = 0$  è coppia di punti; e da formule, che abbiamo date in altro lavoro (V. I, num. 26), si rileva immediatamente che questa coppia di punti è comune intersezione di tutte le circonferenze con la retta  $v_1 = v_2 = v_3$ , cioè con la retta all'infinito  $\sigma_1 + \sigma_2 + \sigma_3 = 0$ . *L'assoluto, ordinario, del piano è dunque la coppia dei punti d'intersezione d'una qualsiasi circonferenza con la retta all'infinito* (punti ciclici imaginari all'infinito). La sua equazione (V. II, num. 4) si può anche scrivere così

$$\begin{vmatrix} 1 & \cos A_3 & \frac{u_3 - u_1}{a_2} \\ \cos A_3 & 1 & \frac{u_3 - u_2}{a_1} \\ \frac{u_3 - u_1}{a_2} & \frac{u_3 - u_2}{a_1} & 0 \end{vmatrix} = 0.$$

Per la stereometria elementare si possono considerare come coordinate di punti e di piani le tetraedriche  $T_1, T_2, T_3, T_4$ , e le quadripunte  $v_1, v_2, v_3, v_4$  (V. I, num. 24); e l'equazione dell'assoluto, involuppo (V. I, num. 19), è

$$P(v_1, v_2, v_3, v_4) = 0.$$

---

(\*) V. come sopra.



Si può quindi porre che

$$F(v) = \frac{1}{16} P(v).$$

Se  $\frac{1}{2} \beta_{12}$  è il parallelogrammo, che ha per vertici i punti di mezzo dei quattro spigoli  $d_{13}, d_{14}, d_{23}, d_{24}$ , un *triangolo notevole* è quello di lati  $\beta_{12}, \alpha_1, \alpha_2$ ; ha gli angoli uguali a quelli che le facce  $\alpha_1, \alpha_2$  formano tra loro e con la giacitura determinata dagli spigoli opposti  $d_{12}, d_{34}$ ; ha le altezze uguali ai prodotti di  $\frac{1}{2}d_{34}$  per la minima distanza di questi spigoli opposti e per le altezze del tetraedro corrispondenti alle facce  $\alpha_1$  ed  $\alpha_2$ ; e la sua area è  $\frac{3}{4}$  del prodotto di  $d_{34}$  per il volume del tetraedro. Mediante questo triangolo si riconosce facilmente che (V. I, num. 19 e 8)

$$\begin{aligned} \frac{1}{16} P(v) &= \sum \frac{\alpha_1^2 + \alpha_2^2 - \beta_{12}^2}{2} (v_1 - v_2)^2 = \sum \alpha_1 \alpha_2 \cos d_{34} (v_1 - v_2)^2 = \\ &= \alpha_1^2 v_1^2 + \alpha_2^2 v_2^2 + \alpha_3^2 v_3^2 + \alpha_4^2 v_4^2 - 2\alpha_1 \alpha_2 \cos d_{34} \cdot v_1 v_2 - \\ &\quad - 2\alpha_2 \alpha_3 \cos d_{41} \cdot v_2 v_3 - 2\alpha_3 \alpha_1 \cos d_{24} \cdot v_3 v_1 - \\ &\quad - 2\alpha_1 \alpha_4 \cos d_{23} \cdot v_1 v_4 - 2\alpha_2 \alpha_4 \cos d_{13} \cdot v_2 v_4 - 2\alpha_3 \alpha_4 \cos d_{12} \cdot v_3 v_4, \end{aligned}$$

per cui:

$$D = \begin{vmatrix} \alpha_1^2 & -\alpha_1 \alpha_2 \cos d_{34} & -\alpha_1 \alpha_3 \cos d_{24} & -\alpha_1 \alpha_4 \cos d_{23} \\ -\alpha_1 \alpha_2 \cos d_{34} & \alpha_2^2 & -\alpha_2 \alpha_3 \cos d_{14} & -\alpha_2 \alpha_4 \cos d_{13} \\ -\alpha_1 \alpha_3 \cos d_{24} & -\alpha_2 \alpha_3 \cos d_{14} & \alpha_3^2 & -\alpha_3 \alpha_4 \cos d_{12} \\ -\alpha_1 \alpha_4 \cos d_{23} & -\alpha_2 \alpha_4 \cos d_{13} & -\alpha_3 \alpha_4 \cos d_{12} & \alpha_4^2 \end{vmatrix}.$$

La caratteristica di questo determinante è 3 ed i suoi minori principali sono tutti uguali ad  $\frac{81}{4} \Lambda^4$ ; per ciò

$$f(T) = \frac{9}{2} \Lambda^2 \cdot (T_1 + T_2 + T_3 + T_4)^2.$$

L'assoluto dei punti, per la stereometria ordinaria, riducesi dunque al piano all'infinito contato due volte (V. II, num. 1). L'assoluto  $P(v) = 0$  è un circolo e, dalle formule date nell'in-



troduzione alle coordinate triangolari e tetraedriche (V. I, n. 26), rilevasi immediatamente che questo circolo è comune intersezione di tutte le sfere col piano  $v_1 = v_2 = v_3 = v_4$ , cioè col piano all'infinito  $T_1 + T_2 + T_3 + T_4 = 0$ . *L'assoluto*, ordinario, dello spazio è dunque la circonferenza intersezione di una qualsiasi sfera col piano all'infinito (circolo immaginario all'infinito).

Se

$$v_4 - v_1 = x, \quad v_4 - v_2 = y, \quad v_4 - v_3 = z,$$

allora

$$\begin{aligned} \frac{1}{16} P(v) = & \alpha_1^2 x^2 + \alpha_2^2 y^2 + \alpha_3^2 z^2 - 2 \alpha_1 \alpha_2 xy \cos d_{31} - \\ & - 2 \alpha_2 \alpha_3 yz \cos d_{14} - 2 \alpha_3 \alpha_1 zx \cos d_{24}. \end{aligned}$$

**13. Misure ordinarie.** — Per la misura degli angoli non v'è nulla da dire. Basta infatti guardare le formule, che abbiamo date per il calcolo dell'angolo di due rette o di due piani (V. II, num. 3, formule (6) e (7)) per vedere che

$$\cos UV = c' \frac{F(u,v)}{\pm \sqrt{F_{uu} F_{vv}}}.$$

V'è solo da osservare che, nella geometria ordinaria,  $c' = 1$ . Si riconosce pure subito (V. II, num. 4, formule (9) e (10)) che, perchè due rette o due piani, siano perpendicolari fra loro è necessario e sufficiente che siano coniugati rispetto all'assoluto.

Per la distanza di due punti nel piano, si ha che

$$XY = c \operatorname{arctg} \frac{\sqrt{f_{xx} f_{yy} - f_{xy}^2}}{f_{xy}}.$$

L'equazione

$$f_{xx} f_{yy} - f_{xy}^2 = 0$$

esprime la condizione necessaria e sufficiente perchè la retta XY sia tangente all'assoluto. Osserviamo però che, quando la caratteristica del discriminante D della forma  $F(u)$  è  $n - 1$ , allora, essendo un quadrato  $f_{xx}$ ,  $f_{xx} f_{yy} - f_{xy}^2$  è identicamente nulla. Dei coefficienti di  $F(u)$ , coi quali esprimonsi anche quelli di  $f_{xx}$ , esprimiamone uno per mezzo dei rimanenti e del discriminante D: dopo ciò, perchè  $f_{xx} f_{yy} - f_{xy}^2$  è infinitesimo con D, s'avrà che

$$f_{xx} f_{yy} - f_{xy}^2 = D^h P_{xy}$$



dove  $h$  è una costante e  $P_{xy}$ , che non s'annulla più con  $D$ , è tale che il suo annullarsi è condizione necessaria e sufficiente perchè la retta  $XY$  sia tangente all'assoluto. Quando  $D$  sia infinitesimo potremo sostituire la tangente all'arco, cosicchè, incorporando  $\sqrt{D^h}$  con la costante, avremo allora che

$$XY = c \frac{\sqrt{P_{xy}}}{f_{xy}}.$$

Per la planimetria ordinaria, potendosi incorporare i fattori costanti con  $c$ , si ha quindi che

$$MN = c \frac{\sqrt{P_{\sigma\omega}}}{\sigma\omega}.$$

dove con  $M$  ed  $N$  si sono indicati i punti  $(\sigma)$ ,  $(\omega)$ , e  $P_{\sigma\omega}$  è tale espressione che il suo annullarsi è condizione necessaria e sufficiente perchè la retta  $MN$  sia tangente all'assoluto. Si potrà quindi ottenere  $P_{\sigma\omega}$  ponendo in  $\rho(v)$ , per  $v_1, v_2, v_3$ , le coordinate tri-punte della retta  $MN$ , che sono

$$\sigma_2\omega_3 - \sigma_3\omega_2, \quad \sigma_3\omega_1 - \sigma_1\omega_3, \quad \sigma_1\omega_2 - \sigma_2\omega_1.$$

Determinando poi la costante  $c$ , in modo per es. che la lunghezza di  $A_2A_3$  sia  $a_1$ , si giunge precisamente a formula, che abbiamo data per il calcolo della distanza di due punti (V. I, num. 27, formula (32)).

Si giunge alla stessa formula anche in questo modo. Le coordinate del punto all'infinito della retta  $MN$  (V. II, num. 5) sono

$$\sigma_1\omega - \sigma\omega_1, \quad \sigma_2\omega - \sigma\omega_2, \quad \sigma_3\omega - \sigma\omega_3:$$

perchè essa retta sia tangente all'assoluto è necessario e sufficiente che questo sia punto comune ad una circonferenza ed alla retta all'infinito, cioè che sia su d'una circonferenza, appartenendo già alla retta all'infinito. Ora, l'equazione per es. della circonferenza circoscritta al triangolo base (V. II, num. 8) è

$$a_1^2\sigma_2\sigma_3 + a_2^2\sigma_3\sigma_1 + a_3^2\sigma_1\sigma_2 = 0,$$

epperò si può porre che

$$P_{\sigma\omega} = a_1^2(\sigma_2\omega - \sigma\omega_2)(\sigma\omega_3 - \sigma_3\omega) + \dots$$



per cui

$$\overline{MN}^2 = c^2 \left[ a_1^2 \left( \frac{\sigma_2}{\sigma} - \frac{\omega_2}{\omega} \right) \left( \frac{\omega_3}{\omega} - \frac{\sigma_3}{\sigma} \right) + a_2^2 \left( \frac{\sigma_3}{\sigma} - \frac{\omega_3}{\omega} \right) \left( \frac{\omega_1}{\omega} - \frac{\sigma_1}{\sigma} \right) + \right. \\ \left. + a_3^2 \left( \frac{\sigma_1}{\sigma} - \frac{\omega_1}{\omega} \right) \left( \frac{\omega_2}{\omega} - \frac{\sigma_2}{\sigma} \right) \right].$$

Ne segue che

$$A_2 A_3^2 = c^2 a_1^2, \text{ quindi che } c^2 = 1.$$

Similmente per la stereometria ordinaria,

$$MN = c \frac{\sqrt{P_{T\Omega}}}{T\Omega},$$

dove con M ed N si sono indicati i punti (T) ed ( $\Omega$ ), e  $P_{T\Omega}$  è tale espressione che il suo annullarsi è condizione necessaria e sufficiente affinchè la retta MN sia tangente all'assoluto, cioè, nel caso attuale, incontri il piano all'infinito in un punto del circolo comune a tutte le sfere. Se s'osserva che il punto all'infinito della retta MN (V. II, num. 5) ha le coordinate

$$T_1\Omega - T\Omega_1, T_2\Omega - T\Omega_2, T_3\Omega - T\Omega_3, T_4\Omega - T\Omega_4$$

e che l'equazione della sfera circoscritta al tetraedro base (V. II, Num, 8) è

$$\sum d_{rs}^2 T_r T_s = 0,$$

per cui si può porre che

$$P_{T\Omega} = \sum d_{rs}^2 (T_r\Omega - T\Omega_r)(T\Omega_s - T_s\Omega),$$

si giunge così a formula, che abbiamo già data (V. I, Num. 28, formula (35)) per il calcolo della distanza ordinaria di due punti dello spazio.



*Sull'equilibrio delle membrane elastiche piane*

Nota del Dott. TOMMASO BOGGIO.

## I.

1. — In questa Nota studio la deformazione di una membrana isotropa, piana, elastica, sollecitata al contorno da forze agenti nel piano della membrana, supponendo di conoscere, per ogni punto del contorno, le componenti dello spostamento (\*).

Il metodo che esporrò permette di esprimere mediante *integrali definiti* le componenti dello spostamento di ogni punto della membrana, purchè di questa si possa fare la rappresentazione conforme su un cerchio mediante polinomi; tale metodo è analogo a quello seguito dal Dott. Almansi (\*\*) per integrare, nella medesima classe di aree, l'equazione differenziale  $\Delta^2 \Delta^2 = 0$  quando al contorno si conosca il valore della funzione e della sua derivata rispetto alla normale interna.

2. — Premettiamo il seguente lemma, che ci permetterà di risolvere la questione proposta.

Se  $v(x,y)$  è una funzione armonica, e  $p(x,y)$  è un polinomio armonico di grado  $m$ , si può sempre porre

$$\left\{ \begin{array}{l} p \frac{\partial v}{\partial x} = \frac{\partial w}{\partial x} + P + (r^2 - 1) W \\ p \frac{\partial v}{\partial y} = \frac{\partial w}{\partial y} + P_1 + (r^2 - 1) W_1 \end{array} \right. \quad (r^2 = x^2 + y^2)$$

ove  $w$  è una funzione armonica,  $P, P_1$  sono polinomi armonici

---

(\*) Nel caso del contorno circolare la questione è stata trattata dal Prof. G. LAURICELLA, "Nuovo Cimento", serie IV, tomo I.

(\*\*) ALMANSI, *Sulla ricerca delle funzioni poli-armoniche in un'area piana*, ecc. ("Rendiconti del Circolo Matematico di Palermo", a. 1899).



di grado  $m$ , e  $W, W_1$  sono due funzioni regolari in tutto il campo in cui sono tali  $\frac{\partial v}{\partial x}$  e  $\frac{\partial v}{\partial y}$ .

Infatti osserviamo intanto che le espressioni  $p \frac{\partial v}{\partial x}$ ,  $p \frac{\partial v}{\partial y}$  sono funzioni  $(m+1)$ -armoniche; poi introduciamo un nuovo polinomio armonico  $q_0$  legato al polinomio  $p$  dalla formola

$$2 \frac{\partial q_0}{\partial x} = p;$$

allora il polinomio  $q_0$ , che risulterà di grado  $m+1$ , sarà noto a meno di una funzione armonica della sola variabile  $y$ , ossia di una funzione lineare della  $y$ ; attribuiremo alle due costanti che vi compariscono valori arbitrari in modo che il polinomio  $q_0$  risulti completamente determinato.

Si potrà scrivere allora

$$\left\{ \begin{array}{l} p \frac{\partial v}{\partial x} = 2 \frac{\partial q_0}{\partial x} \frac{\partial v}{\partial x} = \frac{\partial q_0}{\partial x} \frac{\partial v}{\partial x} + \frac{\partial q_0}{\partial y} \frac{\partial v}{\partial y} + \left\{ \frac{\partial q_0}{\partial x} \frac{\partial v}{\partial x} - \frac{\partial q_0}{\partial y} \frac{\partial v}{\partial y} \right\} \\ p \frac{\partial v}{\partial y} = 2 \frac{\partial q_0}{\partial x} \frac{\partial v}{\partial y} = - \frac{\partial q_0}{\partial y} \frac{\partial v}{\partial x} + \frac{\partial q_0}{\partial x} \frac{\partial v}{\partial y} + \left\{ \frac{\partial q_0}{\partial y} \frac{\partial v}{\partial x} + \frac{\partial q_0}{\partial x} \frac{\partial v}{\partial y} \right\}. \end{array} \right.$$

Ora osserviamo che le quantità fra le parentesi  $\{\dots\}$  sono le derivate parziali di una stessa funzione armonica (\*) che chiameremo  $f$ ; e se inoltre, per abbreviare, poniamo in generale

$$\left\{ \begin{array}{l} (q_i, v_i) = \frac{\partial q_i}{\partial x} \frac{\partial v_i}{\partial x} + \frac{\partial q_i}{\partial y} \frac{\partial v_i}{\partial y} \\ [q_i, v_i] = - \frac{\partial q_i}{\partial y} \frac{\partial v_i}{\partial x} + \frac{\partial q_i}{\partial x} \frac{\partial v_i}{\partial y} \end{array} \right.$$

---

(\*) Infatti chiamando rispettivamente  $u_1, u_2$  quelle quantità fra parentesi  $\{\dots\}$  si hanno, come è facile verificare, le equazioni

$$\frac{\partial u_1}{\partial x} + \frac{\partial u_2}{\partial y} = 0, \quad \frac{\partial u_1}{\partial y} - \frac{\partial u_2}{\partial x} = 0,$$

ciò che permette di porre

$$u_1 = \frac{\partial f}{\partial x}, \quad u_2 = \frac{\partial f}{\partial y}.$$



si avrà ancora

$$(\alpha) \quad \begin{cases} p \frac{\partial v}{\partial x} = (q_0, v) + \frac{\partial f}{\partial x} \\ p \frac{\partial v}{\partial y} = [q_0, v] + \frac{\partial f}{\partial y} . \end{cases}$$

Le quantità  $(q_0, v)$ ,  $[q_0, v]$  sono funzioni  $(m+1)$ -armoniche che si tratta di trasformare; perciò osserviamo che è sempre possibile trovare una funzione armonica  $v_1$  ed un polinomio armonico  $q_1$ , che risulterà di grado  $m$ , in modo che si abbia (\*)

$$(1) \quad \begin{cases} \frac{\partial v}{\partial x} = x \frac{\partial v_1}{\partial x} + y \frac{\partial v_1}{\partial y} + h'_0 \\ \frac{\partial v}{\partial y} = -y \frac{\partial v_1}{\partial x} + x \frac{\partial v_1}{\partial y} + h''_0 \end{cases} \quad \begin{cases} \frac{\partial q_0}{\partial x} = x \frac{\partial q_1}{\partial x} + y \frac{\partial q_1}{\partial y} + c'_0 \\ \frac{\partial q_0}{\partial y} = -y \frac{\partial q_1}{\partial x} + x \frac{\partial q_1}{\partial y} + c''_0 \end{cases}$$

ove  $h'_0, h''_0, c'_0, c''_0$  sono delle costanti; e allora si avrà, come è facile vedere

$$\begin{cases} (q_0, v) = (r^2 - 1) (q_1, v_1) + (q_1, v_1) + \\ + \left\{ (c'_0 x - c''_0 y) \frac{\partial v_1}{\partial x} + (c'_0 y + c''_0 x) \frac{\partial v_1}{\partial y} \right\} + h'_0 \frac{\partial q_0}{\partial x} + h''_0 \frac{\partial q_0}{\partial y} \\ [q_0, v] = (r^2 - 1) [q_1, v_1] + [q_1, v_1] + \\ + \left\{ -(c'_0 y + c''_0 x) \frac{\partial v_1}{\partial x} + (c'_0 x - c''_0 y) \frac{\partial v_1}{\partial y} \right\} + h''_0 \frac{\partial q_0}{\partial x} - h'_0 \frac{\partial q_0}{\partial y} \end{cases}$$

anche qui le quantità fra le parentesi  $\{ \dots \}$  sono le derivate rispetto ad  $x$  ed  $y$  di una stessa funzione armonica, se la chiamiamo  $f_1$  potremo scrivere

$$(\beta) \quad \begin{cases} (q_0, v) = (r^2 - 1) (q_1, v_1) + (q_1, v_1) + \frac{\partial f_1}{\partial x} + h'_0 \frac{\partial q_0}{\partial x} + h''_0 \frac{\partial q_0}{\partial y} \\ [q_0, v] = (r^2 - 1) [q_1, v_1] + [q_1, v_1] + \frac{\partial f_1}{\partial y} + h''_0 \frac{\partial q_0}{\partial x} - h'_0 \frac{\partial q_0}{\partial y} . \end{cases}$$

(\*) ALMANZI, Memoria citata.



Le espressioni  $(q_1, v_1)$ ,  $[q_1, v_1]$  sono funzioni  $m$ -armoniche; possiamo trasformarle analogamente a quanto si è fatto per le espressioni  $(q_0, v)$ ,  $[q_0, v]$ ; applicheremo perciò le formole seguenti, analoghe alle (1)

$$(2) \quad \begin{cases} \frac{\partial v_1}{\partial x} = x \frac{\partial v_2}{\partial x} + y \frac{\partial v_2}{\partial y} + h'_1 \\ \frac{\partial v_1}{\partial y} = -y \frac{\partial v_1}{\partial x} + x \frac{\partial v_1}{\partial y} + h''_1 \end{cases} \quad \begin{cases} \frac{\partial q_1}{\partial x} = x \frac{\partial q_2}{\partial x} + y \frac{\partial q_2}{\partial y} + c'_1 \\ \frac{\partial q_2}{\partial y} = -y \frac{\partial q_2}{\partial x} + x \frac{\partial q_2}{\partial y} + c''_1 \end{cases}$$

ove  $v_2$  è una nuova funzione armonica,  $q_2$  un polinomio armonico, che risulterà di grado  $m - 1$ , ed  $h'_1, h''_1, c'_1, c''_1$  sono costanti, ed otterremo le formole seguenti, analoghe alle (β),

$$(r) \quad \begin{cases} (q_1, v_1) = (r^2 - 1)(q_2, v_2) + (q_2, v_2) + \frac{\partial f_2}{\partial x} + h'_1 \frac{\partial q_1}{\partial x} + h''_1 \frac{\partial q_1}{\partial y} \\ [q_1, v_1] = (r^2 - 1)[q_2, v_2] + [q_2, v_2] + \frac{\partial f_2}{\partial y} + h''_1 \frac{\partial q_1}{\partial x} - h'_1 \frac{\partial q_1}{\partial y} \end{cases}$$

ove  $f_2$  è una funzione armonica.

Le quantità  $(q_2, v_2)$ ,  $[q_2, v_2]$  sono funzioni  $(m - 1)$ -armoniche e potremo operare su esse come già si fece per le quantità  $(q_1, v_1)$ ,  $[q_1, v_1]$ , e così di seguito finchè arriveremo alle formole

$$\left\{ \begin{aligned} (q_{m-1}, v_{m-1}) &= (r^2 - 1)(q_m, v_m) + (q_m, v_m) + \\ &\quad + \frac{\partial f_m}{\partial x} + h'_{m-1} \frac{\partial q_{m-1}}{\partial x} + h''_{m-1} \frac{\partial q_{m-1}}{\partial y} \\ [q_{m-1}, v_{m-1}] &= (r^2 - 1)[q_m, v_m] + [q_m, v_m] + \\ &\quad + \frac{\partial f_m}{\partial y} + h''_{m-1} \frac{\partial q_{m-1}}{\partial x} - h'_{m-1} \frac{\partial q_{m-1}}{\partial y} \end{aligned} \right.$$

in cui  $q_m$  rappresenta un polinomio di 1° grado in  $x, y$ , e  $v_m$  una funzione armonica; ne segue che le espressioni  $(q_m, v_m)$ ,  $[q_m, v_m]$  sono funzioni armoniche; anzi sono le derivate rispetto ad  $x, y$  di una stessa funzione armonica che indicheremo con  $f_0$ , quindi le due formole precedenti diventano

$$(\lambda) \quad \begin{cases} (q_{m-1}, v_{m-1}) = (r^2 - 1)(q_m, v_m) + \frac{\partial(f_0 + f_m)}{\partial x} + h'_{m-1} \frac{\partial q_{m-1}}{\partial x} + h''_{m-1} \frac{\partial q_{m-1}}{\partial y} \\ [q_{m-1}, v_{m-1}] = (r^2 - 1)[q_m, v_m] + \frac{\partial(f_0 + f_m)}{\partial y} + h''_{m-1} \frac{\partial q_{m-1}}{\partial x} - h'_{m-1} \frac{\partial q_{m-1}}{\partial y} \end{cases}$$



Sommiamo ora le prime equazioni dei sistemi  $(\alpha)$ ,  $(\beta)$ ,  $(\gamma)$  ...  $(\lambda)$ , e lo stesso facciamo per le seconde equazioni, e poniamo inoltre

$$f + f_0 + f_1 + \dots + f_m = w.$$

Si otterranno allora espressioni della forma

$$(3) \quad \begin{cases} p \frac{\partial v}{\partial x} = \frac{\partial w}{\partial x} + \sum_0^{m-1} \left\{ h'_i \frac{\partial q_i}{\partial x} + h''_i \frac{\partial q_i}{\partial y} \right\} + (r^2 - 1) W \\ p \frac{\partial v}{\partial y} = \frac{\partial w}{\partial y} + \sum_0^{m-1} \left\{ h''_i \frac{\partial q_i}{\partial x} - h'_i \frac{\partial q_i}{\partial y} \right\} + (r^2 - 1) W_1 \end{cases}$$

che è quanto volevasi dimostrare.

**3.** — Cerchiamo ora il valore delle costanti  $h'_0, h''_0, h'_1, h''_1, \dots, h'_{m-1}, h''_{m-1}$ .

Le (1) mostrano che  $h'_0, h''_0$  sono rispettivamente i valori di  $\frac{\partial v}{\partial x}, \frac{\partial v}{\partial y}$  nell'origine delle coordinate; se li indichiamo con  $\left(\frac{\partial v}{\partial x}\right)_0, \left(\frac{\partial v}{\partial y}\right)_0$  si avrà

$$(a) \quad \begin{cases} h'_0 = \left(\frac{\partial v}{\partial x}\right)_0 \\ h''_0 = \left(\frac{\partial v}{\partial y}\right)_0 \end{cases}$$

Le (2) dànno analogamente

$$\begin{cases} h'_1 = \left(\frac{\partial v_1}{\partial x}\right)_0 \\ h''_1 = \left(\frac{\partial v_1}{\partial y}\right)_0 \end{cases}$$

od ancora, tenendo presente le (1),

$$(b) \quad \begin{cases} h'_1 = \left(\frac{\partial^2 v}{\partial x^2}\right)_0 \\ h''_1 = \left(\frac{\partial^2 v}{\partial x \partial y}\right)_0 \end{cases}$$



Analogamente si avrà:

$$(c) \quad \left\{ \begin{array}{l} h'_2 = \frac{1}{2!} \left( \frac{\partial^3 v}{\partial x^3} \right)_0 \\ h''_2 = \frac{1}{2!} \left( \frac{\partial^3 v}{\partial x^2 \partial y} \right)_0, \end{array} \right.$$

e così via; infine

$$(z) \quad \left\{ \begin{array}{l} h'_{m-1} = \frac{1}{(m-1)!} \left( \frac{\partial^m v}{\partial x^m} \right)_0 \\ h''_{m-1} = \frac{1}{(m-1)!} \left( \frac{\partial^m v}{\partial x^{m-1} \partial y} \right)_0. \end{array} \right.$$

## II.

4. — Consideriamo un'area piana  $\sigma'$  semplicemente connessa, i cui punti siano riferiti a un sistema di coordinate ortogonali  $x', y'$ . Supponiamo che di essa si possa fare la rappresentazione conforme su un cerchio  $\sigma$  di raggio 1, appartenente al piano  $xy$ , mediante le formole

$$(4) \quad \left\{ \begin{array}{l} x' = p(x, y) \\ y' = q(x, y) \end{array} \right.$$

ove  $p, q$  sono polinomi (armonici) di grado  $m$ , i quali verificheranno le equazioni

$$(5) \quad \left\{ \begin{array}{l} \frac{\partial p}{\partial x} = \frac{\partial q}{\partial y} \\ \frac{\partial p}{\partial y} = - \frac{\partial q}{\partial x} \end{array} \right.$$

Dovremo poi ancora supporre che il determinante funzionale

$$D' = \begin{vmatrix} \frac{\partial x'}{\partial x} & \frac{\partial x'}{\partial y} \\ \frac{\partial y'}{\partial x} & \frac{\partial y'}{\partial y} \end{vmatrix} = \left( \frac{\partial p}{\partial x} \right)^2 + \left( \frac{\partial p}{\partial y} \right)^2$$

sia diverso da zero anche sul contorno di  $\sigma'$ .



5. — Si voglia ora determinare la deformazione della membrana elastica isotropa  $\sigma'$ .

Chiamiamo  $\xi'$ ,  $\eta'$  le componenti dello spostamento di un punto dell'area  $\sigma'$ , componenti che si tratta di determinare sapendo che in ogni punto di  $\sigma'$  verificano le equazioni.

$$(6) \quad \begin{cases} \Delta^2 \xi' = k \frac{\partial \theta'}{\partial x'} \\ \Delta^2 \eta' = k \frac{\partial \theta'}{\partial y'} \end{cases}, \quad (7) \quad \theta' = \frac{\partial \xi'}{\partial x'} + \frac{\partial \eta'}{\partial y'}, \quad \left( k = \frac{-1}{1-2m} \right)$$

( $m$  = coefficiente di contrazione = costante)

e sapendo inoltre che sul contorno di  $\sigma'$  le funzioni  $\xi'$ ,  $\eta'$  assumono valori dati.

Faremo vedere come le funzioni  $\xi'$ ,  $\eta'$  possano sempre esprimersi mediante integrali definiti. Osserviamo perciò che si può porre

$$(8) \quad \begin{cases} \xi' = x' \frac{\partial \varphi'}{\partial x'} + \lambda' \\ \eta' = x' \frac{\partial \varphi'}{\partial y'} + \mu' \end{cases}$$

ove  $\varphi'$ ,  $\lambda'$ ,  $\mu'$  sono funzioni armoniche legate dalle equazioni

$$(9) \quad \begin{cases} c \frac{\partial \varphi'}{\partial x'} = \frac{\partial \lambda'}{\partial x'} + \frac{\partial \mu'}{\partial y'} \\ c \frac{\partial \varphi'}{\partial y'} = \frac{\partial \lambda'}{\partial y'} - \frac{\partial \mu'}{\partial x'} \end{cases}, \quad \left( c = \frac{2-k}{k} \right).$$

Sia infatti  $\varphi'$  una funzione armonica, legata alla  $\theta'$  dalla formola

$$(11) \quad 2 \frac{\partial \varphi'}{\partial x'} = k \theta';$$

prendendo il  $\Delta^2$  dalle (8) si ha

$$\begin{cases} \Delta^2 \xi' = \frac{\partial}{\partial x'} \left( 2 \frac{\partial \varphi'}{\partial x'} \right) + \Delta^2 \lambda' \\ \Delta^2 \eta' = \frac{\partial}{\partial y'} \left( 2 \frac{\partial \varphi'}{\partial x'} \right) + \Delta^2 \mu' \end{cases}$$



e confrontando colle (6) e colla (11) si deduce

$$\Delta^2 \lambda' = 0, \quad \Delta^2 \mu' = 0;$$

così intanto vediamo che anche le funzioni  $\lambda', \mu'$  devono essere armoniche.

Se ora nella formola (11) a  $\theta'$  si sostituisce il suo valore ricavato dalle (7) ed (8) si ha senz'altro la (9).

Per ottenere la (10) poniamo

$$(11') \quad c \frac{\partial \varphi'}{\partial y'} = \frac{\partial \lambda'}{\partial y'} - \frac{\partial \mu'}{\partial x'} + \alpha$$

ove  $\alpha$  è una funzione da determinarsi. Derivando la (9) rispetto ad  $y'$  e la (11') rispetto ad  $x'$  e sottraendo membro a membro si ricava  $\frac{\partial \alpha}{\partial x'} = 0$ . Derivando invece la (9) rispetto ad  $x'$  e la (11') rispetto a  $y'$  e sommando si ha  $\frac{\partial \alpha}{\partial y'} = 0$ . La  $\alpha$  è dunque una costante. Ma questa costante possiamo prenderla eguale a 0. Se infatti poniamo

$$\varphi' = \varphi_1 - \frac{\alpha}{1-c} y'$$

$$\mu' = \mu_1 + \frac{\alpha}{1-c} x'$$

ove  $\varphi_1$  e  $\mu_1$  sono nuove funzioni, anch'esse evidentemente armoniche, si vede subito che le equazioni (8), (9) ed (11) non mutano forma, mentre la (11') viene ad assumere la forma (10). Ciò equivale a supporre nella (11')  $\alpha = 0$ ; l'equazione (10) resta così verificata.

6. — Eseguiamo ora la trasformazione dell'area  $\sigma'$  sul cerchio  $\sigma$ , ciò che si fa mediante le (4); chiamiamo  $\xi, \eta, \lambda, \mu$  le funzioni  $\xi', \eta', \lambda', \mu'$  espresse mediante le variabili  $x, y$  ed osserviamo che le funzioni  $\frac{\partial \varphi'}{\partial x'}, \frac{\partial \varphi'}{\partial y'}$  possiamo considerarle come le



derivate rispetto ad  $x$  ed  $y$  di una stessa funzione armonica  $v$  (\*). Allora le (8) diventeranno

$$\begin{cases} \xi = p(x, y) \frac{\partial v}{\partial x} + \lambda \\ \eta = p(x, y) \frac{\partial v}{\partial y} + \mu. \end{cases}$$

Applicando le (3) avremo ancora

$$\begin{cases} \xi = \lambda + \frac{\partial w}{\partial x} + \sum_0^{m-1} \left\{ h'_i \frac{\partial q_i}{\partial x} + h''_i \frac{\partial q_i}{\partial y} \right\} + (r^2 - 1) W \\ \eta = \mu + \frac{\partial w}{\partial y} + \sum_0^{m-1} \left\{ h''_i \frac{\partial q_i}{\partial x} - h'_i \frac{\partial q_i}{\partial y} \right\} + (r^2 - 1) W_1. \end{cases}$$

Le funzioni  $\lambda$ ,  $\mu$  sono ancora armoniche; la funzione  $w$  è armonica, le quantità  $h'_i$ ,  $h''_i$  sono costanti incognite e  $q_i$  è un polinomio armonico (noto).

Supponiamo, per un istante, di aver già determinato le costanti  $h'_i$ ,  $h''_i$ .

Osserviamo che sul contorno di  $\sigma$ , cioè per  $r = 1$ , si conoscono i valori di  $\xi$ ,  $\eta$ , quindi le formole precedenti ci permettono di calcolare in ogni punto dell'area  $\sigma$  i valori delle funzioni armoniche

$$\begin{aligned} \lambda + \frac{\partial w}{\partial x} + \sum_0^{m-1} \left\{ h'_i \frac{\partial q_i}{\partial x} + h''_i \frac{\partial q_i}{\partial y} \right\}, \\ \mu + \frac{\partial w}{\partial y} + \sum_0^{m-1} \left\{ h''_i \frac{\partial q_i}{\partial x} - h'_i \frac{\partial q_i}{\partial y} \right\}; \end{aligned}$$

---

(\*) Infatti per mostrare che si può porre

$$\frac{\partial \varphi'}{\partial x'} = \frac{\partial v}{\partial x}, \quad \frac{\partial \varphi'}{\partial y'} = \frac{\partial v}{\partial y},$$

ove  $v$  è una funzione armonica, basta far vedere che

$$\begin{cases} \frac{\partial}{\partial x} \left( \frac{\partial \varphi'}{\partial x'} \right) + \frac{\partial}{\partial y} \left( \frac{\partial \varphi'}{\partial y'} \right) = 0 \\ \frac{\partial}{\partial y} \left( \frac{\partial \varphi'}{\partial x'} \right) - \frac{\partial}{\partial x} \left( \frac{\partial \varphi'}{\partial y'} \right) = 0 \end{cases}$$

la qual cosa si verifica senza difficoltà tenendo presente le (4) e le (5).



perciò se chiamiamo  $F, G$  le funzioni armoniche (note) che sul contorno di  $\sigma$  assumono gli stessi valori che  $\xi, \eta$  si potrà scrivere

$$\left\{ \begin{aligned} \lambda + \frac{\partial w}{\partial x} + \sum_0^{m-1} \left\{ h'_i \frac{\partial q_i}{\partial x} + h''_i \frac{\partial q_i}{\partial y} \right\} &= F \\ \mu + \frac{\partial w}{\partial y} + \sum_0^{m-1} \left\{ h''_i \frac{\partial q_i}{\partial x} - h'_i \frac{\partial q_i}{\partial y} \right\} &= G. \end{aligned} \right.$$

Ritorniamo ora alle variabili primitive  $x', y'$ .

Le funzioni  $\lambda, \mu$  diventano  $\lambda', \mu'$ ; chiamiamo  $F', G'$  ciò che diventano  $F, G$  e osserviamo, come sopra, che  $\frac{\partial w}{\partial x}, \frac{\partial w}{\partial y}$  diventeranno le derivate rispetto ad  $x', y'$  di una stessa funzione armonica  $u'$  e che  $\frac{\partial q_i}{\partial x}, \frac{\partial q_i}{\partial y}$  diventeranno a loro volta le derivate parziali di una stessa funzione armonica (nota)  $Q'_i$ ; allora potremo scrivere

$$\left\{ \begin{aligned} \lambda' + \frac{\partial u'}{\partial x'} + \sum_0^{m-1} \left\{ h'_i \frac{\partial Q'_i}{\partial x'} + h''_i \frac{\partial Q'_i}{\partial y'} \right\} &= F' \\ \mu' + \frac{\partial u'}{\partial y'} + \sum_0^{m-1} \left\{ h''_i \frac{\partial Q'_i}{\partial x'} - h'_i \frac{\partial Q'_i}{\partial y'} \right\} &= G'. \end{aligned} \right.$$

Se da queste equazioni si ricavano i valori di  $\lambda', \mu'$  e si sostituiscono nelle (9), (10) si ottengono, come è facile vedere, le equazioni

$$(12) \quad \left\{ \begin{aligned} c \frac{\partial \varphi'}{\partial x'} &= \frac{\partial F'}{\partial x'} + \frac{\partial G'}{\partial y'} - 2 \sum_0^{m-1} \frac{\partial}{\partial x'} \left( h'_i \frac{\partial Q'_i}{\partial x'} + h''_i \frac{\partial Q'_i}{\partial y'} \right) \\ c \frac{\partial \varphi'}{\partial y'} &= \frac{\partial F'}{\partial y'} - \frac{\partial G'}{\partial x'} - 2 \sum_0^{m-1} \frac{\partial}{\partial y'} \left( h'_i \frac{\partial Q'_i}{\partial x'} + h''_i \frac{\partial Q'_i}{\partial y'} \right) \end{aligned} \right.$$

le quali dànno  $\frac{\partial \varphi'}{\partial x'}, \frac{\partial \varphi'}{\partial y'}$ . Infine nelle (8) che possiamo scrivere

$$\left\{ \begin{aligned} \lambda' &= \xi' - x' \frac{\partial \varphi'}{\partial x'} \\ \mu' &= \eta' - x' \frac{\partial \varphi'}{\partial y'} \end{aligned} \right.$$



i secondi membri sono noti sul contorno di  $\sigma'$ : quindi da esse possiamo ricavare le funzioni  $\lambda', \mu'$  che sono armoniche nell'area  $\sigma'$ .

Così sono determinate le funzioni  $\frac{\partial \varphi'}{\partial x'}, \frac{\partial \varphi'}{\partial y'}, \lambda', \mu'$  che compaiono nelle (8), e il problema è risoluto.

7. — Rimangono però ancora a determinare le costanti  $h$  che compaiono nell'espressione

$$\sum_0^{m-1} \left( h'_i \frac{\partial Q'_i}{\partial x'} + h''_i \frac{\partial Q'_i}{\partial y'} \right),$$

e che sono  $2m$  in tutto.

Perciò riprendiamo le (12), che si possono anche scrivere così,

$$\begin{cases} c \frac{\partial v}{\partial x} = \frac{\partial F'}{\partial x'} + \frac{\partial G'}{\partial y'} - 2 \sum_0^{m-1} \frac{\partial}{\partial x'} \left( h'_i \frac{\partial Q'_i}{\partial x'} + h''_i \frac{\partial Q'_i}{\partial y'} \right) \\ c \frac{\partial v}{\partial y} = \frac{\partial F'}{\partial y'} - \frac{\partial G'}{\partial x'} - 2 \sum_0^{m-1} \frac{\partial}{\partial y'} \left( h'_i \frac{\partial Q'_i}{\partial x'} + h''_i \frac{\partial Q'_i}{\partial y'} \right); \end{cases}$$

e sostituiamo questi valori di  $\frac{\partial v}{\partial x}, \frac{\partial v}{\partial y}$  nelle equazioni (a), (b), ... (z); allora si ottengono  $2m$  equazioni lineari nelle  $2m$  incognite  $h'_0, h''_0, h'_1, h''_1, \dots, h'_{m-1}, h''_{m-1}$ ; ed è facile vedere che il determinante di queste equazioni, avendo la forma

$$\begin{vmatrix} \alpha_{11} + c & \alpha_{12} & . & . & . & . & . & \alpha_{1,2m} \\ \alpha_{21} & \alpha_{22} + c & . & . & . & . & . & \alpha_{2,2m} \\ . & . & . & . & . & . & . & . \\ . & . & . & . & . & . & . & . \\ \alpha_{2m,1} & \alpha_{2m,2} & . & . & . & . & . & \alpha_{2m,2m} + c \end{vmatrix}$$

è generalmente diverso da zero; perciò la risoluzione di quelle equazioni è generalmente possibile.



8. — Il procedimento esposto avanti per integrare le equazioni differenziali

$$\left\{ \begin{array}{l} \Delta^2 \xi' = k \frac{\partial \theta'}{\partial x'} \\ \Delta^2 \eta' = k \frac{\partial \theta'}{\partial y'} \end{array} \right.$$

ove

$$\theta' = \frac{\partial \xi'}{\partial x'} + \frac{\partial \eta'}{\partial y'}$$

dati al contorno i valori degli spostamenti  $\xi'$ ,  $\eta'$ , permette, come caso particolare, di determinare nell'area  $\sigma'$  una funzione bi-armonica  $U'$ , conoscendosi al contorno i valori delle sue derivate parziali rispetto ad  $x'$ ,  $y'$ .

Poniamo infatti

$$\left\{ \begin{array}{l} \frac{\partial U'}{\partial x'} = \xi' \\ \frac{\partial U'}{\partial y'} = \eta', \end{array} \right.$$

ponendo poi ancora

$$\theta' = \Delta^2 U' = \frac{\partial \xi'}{\partial x'} + \frac{\partial \eta'}{\partial y'}$$

sarà evidentemente

$$\left\{ \begin{array}{l} \Delta^2 \xi' = \frac{\partial \theta'}{\partial x'} \\ \Delta^2 \eta' = \frac{\partial \theta'}{\partial y'}, \end{array} \right.$$

le quali equazioni non sono altro che le (6) ove si supponga

$$k = 1.$$

La funzione  $U'$  risulta determinata a meno di una costante.

Se si aggiunge poi ancora la condizione che in un punto del contorno dell'area  $\sigma'$  la funzione  $U'$  assuma un valore dato,







ove  $n$  è un numero intero e positivo; allora è facile dedurne:

$$a < \frac{1}{n}.$$

Scelti per assi cartesiani  $OA$  e la perpendicolare ad essa in  $O$ , le componenti del segmento  $\overline{OM}$  rispetto a questi assi sono  $\cos \theta$ ,  $\sin \theta$ , e poichè è chiaro che  $\widehat{NMP} = (n-1)\theta$ , le componenti del segmento  $\overline{MP}$  valgono  $a \cos n\theta$ ,  $a \sin n\theta$ , quindi le componenti del segmento  $\overline{OP}$ , ossia le coordinate  $x'$ ,  $y'$  di  $P$  sono date dalle formole:

$$(13) \quad \begin{cases} x' = \cos \theta + a \cos n\theta \\ y' = \sin \theta + a \sin n\theta. \end{cases}$$

Il contorno dell'area  $\sigma'$  limitata dalla linea descritta da  $P$  si otterrà facendo variare in queste formole il parametro  $\theta$  fra  $0$  e  $2\pi$ .

Per avere la rappresentazione conforme dell'area  $\sigma'$  sul cerchio  $\sigma$  di raggio 1 appartenente al piano  $xy$  e col centro nell'origine delle coordinate basta porre:

$$(14) \quad \begin{cases} x' = x + aP_n \\ y' = y + aP'_n \end{cases}$$

ove  $P_n$ ,  $P'_n$  sono i due polinomi armonici, coniugati, omogenei, di grado  $n$ , il primo dei quali contiene  $x^n$ .

Infatti se si riferiscono i punti del cerchio  $\sigma$  alle coordinate polari  $r$ ,  $\theta$ , assumendo come polo il centro del cerchio e come asse polare l'asse  $x$ , si avrà:

$$x = r \cos \theta, \quad y = r \sin \theta$$

onde le (14) potremo scriverle,

$$\begin{cases} x' = r \cos \theta + ar^n \cos n\theta \\ y' = r \sin \theta + ar^n \sin n\theta. \end{cases}$$

Ponendo in queste formole  $r=1$  si hanno le (13) cioè alla circonferenza del cerchio  $\sigma$  corrisponde il contorno dell'area  $\sigma'$ .



Sono poi verificate le equazioni, analoghe alle (5),

$$\begin{cases} \frac{\partial x'}{\partial x} - \frac{\partial y'}{\partial y} = 0 \\ \frac{\partial x'}{\partial y} + \frac{\partial y'}{\partial x} = 0. \end{cases}$$

Infine il determinante funzionale  $D'$  vale, come è facile vedere,

$$[1 + n a r^{n-1} \cos (n - 1) \theta]^2 + [n a r^{n-1} \sin (n - 1) \theta]^2.$$

Ora il valor minimo che può assumere il 1° termine è:

$$[1 - n a]^2,$$

quantità che non è 0 perchè vedemmo che  $a < \frac{1}{n}$ ; così resta provato che  $D'$  non si annulla nel cerchio  $\sigma$  e neppure sul suo contorno.

Osserviamo infine che le epicicloidi date dalle (13) sono prive di nodi e di cuspidi.

#### IV.

10. — Per certe aree speciali, si può risolvere il problema trattato nel cap. II con un procedimento più semplice di quello esposto in generale; ciò si ottiene mediante un leggero cambiamento delle formole di partenza; come ora mostrerò per un'area particolare.

Consideriamo l'area  $\sigma'$  racchiusa dalla *Lumaca di Pascal* non passante pel suo polo; il contorno di quest'area, i cui punti supponiamo riferiti ad un sistema di coordinate ortogonali  $x', y'$ , si può ottenere facendo variare fra 0 e  $2\pi$  il parametro  $\theta$  nelle due equazioni:

$$\begin{cases} x' = \cos \theta + a \cos 2\theta \\ y' = \sin \theta + a \sin 2\theta \end{cases}$$

ove  $a$  è una costante positiva minore di  $\frac{1}{2}$ . Tale contorno si ottiene quindi ponendo  $n = 2$  nelle (13).



Per fare la rappresentazione conforme dell'area  $\sigma'$  sul cerchio  $\sigma$  di raggio 1, appartenente al piano  $xy$  basta porre:

$$(1) \quad \begin{cases} x' = r \cos \theta + ar^2 \cos 2\theta \\ y' = r \sin \theta + ar^2 \sin 2\theta, \end{cases} \quad \begin{cases} r = \sqrt{x^2 + y^2} \\ \theta = \operatorname{arctg} \frac{y}{x} \end{cases}$$

come si verifica immediatamente.

Dati sul contorno di  $\sigma'$  i valori degli spostamenti, che chiameremo  $\xi' \eta'$ , si tratta di determinarli in ogni punto dell'area  $\sigma'$ , sapendo che verificano le due equazioni:

$$(2) \quad \begin{cases} \Delta^2 \xi' = k \frac{\partial \Theta'}{\partial x'} \\ \Delta^2 \eta' = k \frac{\partial \Theta'}{\partial y'}, \end{cases} \quad \left( k = \frac{-1}{1-2m} \right)$$

ove

$$(3) \quad \Theta' = \frac{\partial \xi'}{\partial x'} + \frac{\partial \eta'}{\partial y'}, \quad (m = \text{coeff. di contraz.} = \text{costante}).$$

Osserviamo perciò che si può porre:

$$(4) \quad \begin{cases} \xi' = (r'^2 - a^2 - 1) \frac{\partial \varphi'}{\partial x'} + \lambda' \\ \eta' = (r'^2 - a^2 - 1) \frac{\partial \varphi'}{\partial y'} + \mu', \end{cases} \quad (r'^2 = x'^2 + y'^2)$$

ove  $\varphi', \lambda', \mu'$  sono funzioni armoniche legate dall'equazione:

$$(5) \quad cr' \frac{\partial \varphi'}{\partial r'} = \frac{\partial \lambda'}{\partial x'} + \frac{\partial \mu'}{\partial y'} - \Theta'_0 \quad (c = -6 + 8m),$$

essendo  $\Theta'_0$  la dilatazione nell'origine delle coordinate.

Sia infatti  $\varphi'$  una funzione armonica, legata alla  $\Theta'$  dalla formola:

$$(6) \quad 4r' \frac{\partial \varphi'}{\partial r'} = k(\Theta' - \Theta'_0).$$



Prendendo il  $\Delta^2$  dalle (4) si ha:

$$\left\{ \begin{aligned} \Delta^2 \xi' &= 4 \frac{\partial \varphi'}{\partial x'} + 4x' \frac{\partial^2 \varphi'}{\partial x'^2} + 4y' \frac{\partial^2 \varphi'}{\partial x' \partial y'} + \Delta^2 \lambda' = \\ &= \frac{\partial}{\partial x'} \left[ 4 \left( x' \frac{\partial \varphi'}{\partial x'} + y' \frac{\partial \varphi'}{\partial y'} \right) \right] + \Delta^2 \lambda' \\ \Delta^2 \eta' &= 4 \frac{\partial \varphi'}{\partial y'} + 4x' \frac{\partial^2 \varphi'}{\partial x' \partial y'} + 4y' \frac{\partial^2 \varphi'}{\partial y'^2} + \Delta^2 \mu' = \\ &= \frac{\partial}{\partial y'} \left[ 4 \left( x' \frac{\partial \varphi'}{\partial x'} + y' \frac{\partial \varphi'}{\partial y'} \right) \right] + \Delta^2 \mu' \end{aligned} \right.$$

e confrontando colle (2) e colla (6) si deduce:

$$\Delta^2 \lambda' = 0, \quad \Delta^2 \mu' = 0.$$

Così intanto vediamo che anche le funzioni  $\lambda'$ ,  $\mu'$  devono essere armoniche.

Se ora nella formola (6) a  $\Theta'$  si sostituisce il suo valore ricavato dalle (3) e (4) si ha senz'altro la (5).

11. — Facciamo ora la rappresentazione conforme dell'area  $\sigma'$  sul cerchio  $\sigma$ ; basta perciò ricorrere alle (1); osserviamo poi, al solito, che  $\frac{\partial \varphi'}{\partial x'}$ ,  $\frac{\partial \varphi'}{\partial y'}$  diventano con questa trasformazione le derivate rispetto ad  $x$ ,  $y$  di una stessa funzione armonica che chiameremo  $v$ ; e notiamo ancora che dalle (1) segue:

$$r'^2 = r^2 + a^2 r^4 + 2ar^2 x.$$

Ciò posto se diciamo  $\xi$ ,  $\eta$ ,  $\lambda$ ,  $\mu$  le funzioni  $\xi'$ ,  $\eta'$ ,  $\lambda'$ ,  $\mu'$  espresse mediante le variabili  $x$ ,  $y$  sarà:

$$\left\{ \begin{aligned} \xi &= (r^2 + a^2 r^4 + 2ar^2 x - a^2 - 1) \frac{\partial v}{\partial x} + \lambda \\ \eta &= (r^2 + a^2 r^4 + 2ar^2 x - a^2 - 1) \frac{\partial v}{\partial y} + \mu \end{aligned} \right.$$

od ancora

$$(7) \quad \left\{ \begin{aligned} \xi &= (r^2 - 1) \frac{\partial v}{\partial x} + a^2 (r^4 - 1) \frac{\partial v}{\partial x} + 2ax(r^2 - 1) \frac{\partial v}{\partial x} + 2ax \frac{\partial v}{\partial x} + \lambda \\ \eta &= (r^2 - 1) \frac{\partial v}{\partial y} + a^2 (r^4 - 1) \frac{\partial v}{\partial y} + 2ax(r^2 - 1) \frac{\partial v}{\partial y} + 2ax \frac{\partial v}{\partial y} + \mu \end{aligned} \right.$$

e le funzioni  $\lambda(x, y)$ ,  $\mu(x, y)$  saranno ancora armoniche.



Riduciamo ora le quantità  $2ax \frac{\partial v}{\partial x}$ ,  $2ax \frac{\partial v}{\partial y}$  alla forma:

$$(8) \quad (r^2 - 1) \frac{\partial v_1}{\partial x} + \frac{\partial w}{\partial x} + P, \quad (r^2 - 1) \frac{\partial v_1}{\partial y} + \frac{\partial w}{\partial y} + P_1$$

ove  $v_1, w$  sono funzioni armoniche, e  $P, P_1$  sono funzioni linear<sup>i</sup> di  $x, y$ . Basta perciò introdurre una nuova funzione armonica  $v_1$  e due costanti  $h_1, h_2$  in modo che sia:

$$(8') \quad \begin{cases} a \frac{\partial v}{\partial x} = x \frac{\partial v_1}{\partial x} + y \frac{\partial v_1}{\partial y} + h_1 \\ a \frac{\partial v}{\partial y} = -y \frac{\partial v_1}{\partial x} + x \frac{\partial v_1}{\partial y} + h_2, \end{cases}$$

ciò che può sempre farsi. Si otterrà:

$$\begin{cases} 2ax \frac{\partial v}{\partial x} = a \left( x \frac{\partial v}{\partial x} - y \frac{\partial v}{\partial y} \right) + a \left( x \frac{\partial v}{\partial x} + y \frac{\partial v}{\partial y} \right) = \\ = (r^2 - 1) \frac{\partial v_1}{\partial x} + \left[ \frac{\partial v_1}{\partial x} + ax \frac{\partial v}{\partial x} + ay \frac{\partial v}{\partial y} \right] + h_1 x - h_2 y \\ 2ax \frac{\partial v}{\partial y} = a \left( y \frac{\partial v}{\partial x} + x \frac{\partial v}{\partial y} \right) + a \left( -y \frac{\partial v}{\partial x} + x \frac{\partial v}{\partial y} \right) = \\ = (r^2 - 1) \frac{\partial v_1}{\partial y} + \left[ \frac{\partial v_1}{\partial y} - ay \frac{\partial v}{\partial x} + ax \frac{\partial v}{\partial y} \right] + h_2 x + h_1 y. \end{cases}$$

Le quantità fra le parentesi [...] sono (come è facile vedere) le derivate rispetto ad  $x, y$  di una stessa funzione armonica che diremo  $w$ ; perciò gli ultimi membri hanno la forma (8) come si voleva.

In conseguenza le (7) potranno anche porsi sotto la forma:

$$\begin{cases} \xi = \lambda + \frac{\partial w}{\partial x} + h_1 x - h_2 y + (r^2 - 1)W \\ \eta = \mu + \frac{\partial w}{\partial y} + h_2 x + h_1 y + (r^2 - 1)W_1. \end{cases}$$

Supponiamo, per poco, di aver già determinate le costanti  $h_1, h_2$ .



Osserviamo che sul contorno di  $\sigma$ , cioè per  $r=1$  si conoscono i valori di  $\xi, \eta$ , quindi le formole precedenti permettono di calcolare in ogni punto dell'area  $\sigma$  i valori delle funzioni armoniche:

$$\lambda + \frac{\partial w}{\partial x} + h_1 x - h_2 y, \quad \mu + \frac{\partial w}{\partial y} + h_2 x + h_1 y;$$

potremo perciò porre

$$\left\{ \begin{array}{l} \lambda + \frac{\partial w}{\partial x} + h_1 x - h_2 y = F \\ \mu + \frac{\partial w}{\partial y} + h_2 x + h_1 y = G \end{array} \right.$$

ove  $F, G$  sono le funzioni armoniche che sul contorno di  $\sigma$  assumono gli stessi valori che  $\xi, \eta$ .

Ritorniamo ora alle variabili primitive  $x', y'$ . Le funzioni  $\lambda, \mu$  diventano  $\lambda', \mu'$ ; chiamiamo poi  $F', G'$  ciò che diventano  $F, G$  e osserviamo, come dianzi, che  $\frac{\partial w}{\partial x}, \frac{\partial w}{\partial y}$  diventeranno le derivate rispetto ad  $x', y'$  di una stessa funzione armonica  $u'$ ; si avrà:

$$\left\{ \begin{array}{l} \lambda' + \frac{\partial u'}{\partial x'} + h_1 x - h_2 y = F' \\ \mu' + \frac{\partial u'}{\partial y'} + h_2 x + h_1 y = G'. \end{array} \right.$$

Sostituendo nella (5) otterremo l'equazione:

$$cr' \frac{\partial \varphi'}{\partial r'} = \frac{\partial F'}{\partial x'} + \frac{\partial G'}{\partial y'} - h_1 \left( \frac{\partial x}{\partial x'} + \frac{\partial y}{\partial y'} \right) - h_2 \left( \frac{\partial x}{\partial y'} - \frac{\partial y}{\partial x'} \right) - \Theta'_0.$$

In questa formola, come si vede, non comparisce più la funzione incognita  $u'$ ; così dunque conosciamo, a meno delle costanti  $h_1, h_2, \Theta'_0$  la quantità  $r' \frac{\partial \varphi'}{\partial r'}$  e quindi per la formola (6) la dilatazione  $\Theta' - \Theta'_0$ .



Per avere le derivate  $\frac{\partial \varphi'}{\partial x'}$ ,  $\frac{\partial \varphi'}{\partial y'}$  che compariscono nelle formole (4) deriviamo rispetto ad  $x'$ ,  $y'$  l'equazione precedente; ricordando che si ha  $r' \frac{\partial \varphi'}{\partial r'} = x' \frac{\partial \varphi'}{\partial x'} + y' \frac{\partial \varphi'}{\partial y'}$  otterremo:

$$\begin{aligned} (9) \quad & \left\{ \begin{aligned} c \left( \frac{\partial \varphi'}{\partial x'} + r' \frac{\partial}{\partial r'} \frac{\partial \varphi'}{\partial x'} \right) &= \frac{\partial^2 F'}{\partial x'^2} + \frac{\partial^2 G'}{\partial x' \partial y'} - \\ &- h_1 \left( \frac{\partial^2 x}{\partial x'^2} + \frac{\partial^2 y}{\partial x' \partial y'} \right) - h_2 \left( \frac{\partial^2 x}{\partial x' \partial y'} - \frac{\partial^2 y}{\partial x'^2} \right) \end{aligned} \right. \\ (10) \quad & \left\{ \begin{aligned} c \left( \frac{\partial \varphi'}{\partial y'} + r' \frac{\partial}{\partial r'} \frac{\partial \varphi'}{\partial y'} \right) &= \frac{\partial^2 F'}{\partial x' \partial y'} + \frac{\partial^2 G'}{\partial y'^2} - \\ &- h_1 \left( \frac{\partial^2 x}{\partial x' \partial y'} + \frac{\partial^2 y}{\partial y'^2} \right) - h_2 \left( \frac{\partial^2 x}{\partial y'^2} - \frac{\partial^2 y}{\partial x' \partial y'} \right); \end{aligned} \right. \end{aligned}$$

e se si chiamano, per brevità,  $\Phi'$ ,  $\Psi'$  i secondi membri, da queste equazioni si ottiene:

$$\frac{\partial \varphi'}{\partial x'} = \frac{1}{cr'} \int_0^{r'} \Phi' dr', \quad \frac{\partial \varphi'}{\partial y'} = \frac{1}{cr'} \int_0^{r'} \Psi' dr'$$

e poichè l'origine delle coordinate è in  $\sigma'$  queste formole danno le uniche funzioni armoniche nell'area  $\sigma'$  che verificano rispettivamente la (9) o la (10).

Infine nelle (4) che si possono scrivere così:

$$\left\{ \begin{aligned} \lambda' &= \xi' - (r'^2 - a^2 - 1) \frac{\partial \varphi'}{\partial x'} \\ \mu' &= \eta' - (r'^2 - a^2 - 1) \frac{\partial \varphi'}{\partial y'} \end{aligned} \right.$$

i secondi membri sono noti sul contorno di  $\sigma'$ , quindi da esse possiamo ricavare le funzioni  $\lambda'$ ,  $\mu'$  che sono armoniche nell'area  $\sigma'$ .

Così son determinate le funzioni  $\frac{\partial \varphi'}{\partial x'}$ ,  $\frac{\partial \varphi'}{\partial y'}$ ,  $\lambda'$ ,  $\mu'$  che compaiono nelle (4) e il problema è risoluto.

Rimangono però ancora a determinare le costanti  $h_1$ ,  $h_2$ . Perciò osserviamo che le (8') mostrano che  $h_1$ ,  $h_2$  sono i valori di  $a \frac{\partial v}{\partial x}$ ,  $a \frac{\partial v}{\partial y}$  per  $x = y = 0$ ; ne segue in virtù delle (1) che



$h_1, h_2$  saranno anche i valori di  $a \frac{\partial \varphi'}{\partial x'}$ ,  $a \frac{\partial \varphi'}{\partial y'}$  per  $x' = y' = 0$ ; ponendo quindi nella (9)  $x' = y' = 0$ , il 1° membro diventa  $cah_1$ , e nel secondo membro è facile vedere che il coefficiente di  $h_2$  diventa eguale a 0 e il coefficiente di  $h_1$  assume il valore  $4a$ ; quindi quest'equazione fornisce  $h_1$ ; in modo analogo dalla (10) si ottiene  $h_2$ .

---

*L'Accademico Segretario*

ANDREA NACCARI.







---

## CLASSI UNITE

---

Adunanza del 31 Dicembre 1899.

PRESIDENZA DEL SOCIO SENATORE PROF. GIUSEPPE CARLE  
PRESIDENTE DELL'ACCADEMIA

---

Sono presenti i Soci:

della Classe di Scienze fisiche, matematiche e naturali:  
COSSA, Vice Presidente dell'Accademia, D'OVIDIO, NACCARI, MOSSO,  
SPEZIA, CAMERANO, SEGRE, JADANZA, FOÀ, GUARESCHI, GUIDI,  
FILETI, PARONA;

della Classe di Scienze morali, storiche e filologiche:  
PEYRON, MANNO, PEZZI, FERRERO, GRAF, BRUSA, PIZZI e RENIER  
Segretario.

È letto ed approvato l'atto verbale dell'antecedente adunanza a Classi Unite, tenutasi l'11 giugno 1899.

L'Accademia designa quindi a suo rappresentante nelle feste del secondo centenario della R. Accademia delle Scienze di Berlino, che si celebreranno il 19 e 20 marzo prossimo, il suo Socio Nazionale non residente Prof. Senatore Graziadio ASCOLI.

Poscia il Socio D'OVIDIO dà lettura della seguente Relazione della 2<sup>a</sup> Giunta per il conferimento dell'XI premio Bressa per il quadriennio 1895-1898.



CHIARISSIMI COLLEGHI,

Ho l'onore di riferire alle Classi unite dell'Accademia il risultato dei lavori della seconda Giunta per l'undecimo premio (internazionale) di fondazione Bressa.

Nell'adunanza delle Classi unite tenuta il 9 aprile scorso fu già letta la relazione degli studi fatti dalla prima Giunta, in base ai quali l'adunanza scelse quelle opere e scoperte, sia presentate da concorrenti, sia proposte da soci, che apparivano meritevoli di venir prese in considerazione pel conseguimento del premio. Ecco, in ordine alfabetico, i nomi degli autori, accompagnati dall'indicazione delle opere e scoperte prese in considerazione:

**Dewar James**, professore nell'Istituto reale di Londra: *Liquid Hydrogen* ("Phil. Magazine", giugno 1898).

**Haeckel Ernst**, prof. di Zoologia nell'Università di Jena;

1) *Ueber unsere gegenwärtige Kenntniss vom Ursprung des Menschen* (Bonn, edizione del 1898),

2) *Natürliche Schöpfungs-Geschichte* (9ª edizione, 1894-98),

3) *Systematische Phylogenie* (Berlino 1898).

**Marconi Guglielmo**: *Invenzione della telegrafia senza fili* (1896).

**Nansen Fridtjof**, naturalista ed esploratore: per essere arrivato alla più alta latitudine boreale sinora raggiunta nell'esplorazione narrata col libro *Fra ghiacci e tenebre* (1897).

**v. Röntgen Wilhelm**, prof. nell'Università di Würzburg:

*Ueber eine neue Art von Strahlen* ("Sitzungsberichte der Würzburger med. phys. Gesellschaft", 1895).



Zeeman P., prof. di Fisica nell'Università di Amsterdam:

*On the influence of the Magnetism on the nature of the light emitted by a substance* ("Phil. Mag.", 1897),

*On doublets and triplets in the spectrum produced by internal magnetic forces* (ib. 1897).

Sopra uno di questi sei nomi potrà cadere la scelta definitiva che l'Accademia è chiamata a fare.

La seconda Giunta, dopo accurata disamina, si è convinta che ciascuno dei sei nominati autori si trova corredato di titoli di gran valore e bene adeguati all'importanza del premio; ed essa è sicura che il suo convincimento diverrà quello di voi tutti, sol che prestate attenzione ai brevi accenni che seguono.

DEWAR. Dopo lunghissimi tentativi proseguiti assiduamente da parecchi fisici, la liquefazione dell'idrogeno venne ottenuta dal Dewar il 10 maggio 1898.

Prima di quel giorno fu bensì annunciato più volte che l'idrogeno era stato liquefatto; ma, se pure il fenomeno era avvenuto, non si era mai avuto l'idrogeno permanentemente liquido in un vaso, in modo da poterne studiare le proprietà.

Il Dewar, che da più anni si era occupato della liquefazione dei gas e particolarmente dell'aria e dell'idrogeno, compresse in queste ultime esperienze l'idrogeno sotto 200 atmosfere e lo portò a 205° sotto zero. Così compresso e raffreddato, il gas usciva espandendosi in un vaso a doppie pareti argentate di particolare costruzione, che era circondato da uno spazio la cui temperatura si manteneva a —200°. In tali condizioni l'idrogeno cominciò a liquefarsi, e a poco a poco si raccolse allo stato liquido sul fondo del vaso. Il Dewar ne determinò il punto di ebollizione, la temperatura critica, la pressione critica e la densità. Con queste esperienze egli riescì a liquefare il gas che fino a tempi recenti aveva resistito più di ogni altro ai tentativi di liquefazione, e raggiunse temperature differenti appena di 35° dallo zero assoluto.

Il Dewar inoltre è noto per altri lavori importanti; la liquefazione dell'idrogeno da lui ottenuta si può considerare come uno dei fatti più notevoli registrati nella storia della Fisica in questi ultimi anni.



HAECKEL. Delle opere presentate da Haeckel, la prima è un interessante discorso intorno all'origine dell'uomo; la seconda è eminentemente sintetica e filosofica, ed è fondata sulle numerose ed estesissime ricerche personali dell'autore, il quale al rigore scientifico seppe associare un'ammirabile chiarezza, tanto che in breve volgere di anni essa divenne popolare nel miglior senso della parola, essendosene fatte dodici traduzioni, oltre nove edizioni tedesche; delle quali a noi si presenta l'ultima, che appare nuova per le aggiunte e modificazioni importanti introdottevi. La terza opera cerca di presentare in un quadro l'insieme dei viventi, disponendoli secondo la loro filogenia; essa ha linee grandiose ed è frutto di trent'anni di lavoro dedicati a raccogliere una serie importante di osservazioni sopra molti gruppi di viventi: basti ricordare la morfologia generale degli organismi, la monografia dei radiolari con 141 tavole, quella delle spugne calcari con 60 tavole, quella delle meduse con 72 tavole, quella dei sifonofori con 14 tavole, e i lavori sulle collezioni portate dal viaggio del Challenger con oltre 200 tavole. L'opera dell'Haeckel è certamente il tentativo più importante per costruire l'albero filogenetico dei viventi, e rimarrà come una delle più cospicue di questo scorcio di secolo nel campo biologico.

Per le esposte ragioni è chiaro che merita di esser presa in considerazione pienamente la terza opera e parzialmente la seconda, tenendo conto delle cose aggiunte nell'ultima edizione; mentre la prima, essendo soltanto una nuova edizione di un'opera anteriore al quadriennio 1895-98, non può concorrere al premio.

MARCONI. È vero che il sistema del Marconi si fonda in gran parte sull'opera altrui e specialmente del compianto Hertz; ma è pur vero che, se l'esperienze di trasmissione di segnali senza fili acquistarono un valore pratico e poterono farsi su ampia scala, ciò si deve all'aggiunta di un filo verticale fatta dal Marconi, ed all'accurato e perseverante studio da lui fatto di tutte le particolarità. Molto si disse contro l'originalità dell'invenzione del Marconi; tuttavia bisogna notare col Fleming, giudice competentissimo, che il Marconi non ha mai esitato a riconoscere che egli ha edificato su fondamenta poste da altri,



ma vi è un grande intervallo a varcare per passare dall'esperienza di laboratorio alle operazioni in grande, le quali per riuscire di pubblica utilità devono esser condotte con sicurezza e con perfetta regolarità; or questo progresso fu compiuto dal Marconi, il quale dall'esperienze di laboratorio trasse un metodo telegrafico, che anche per distanze di 50 chilometri raggiunge un grado di sicurezza non inferiore a quello degli ordinari telegrafi con filo; laonde l'opera del Marconi merita di riscuotere dagli scienziati contemporanei un giudizio più benevolo di quello ottenuto sinora, specialmente dopo le prove favorevolissime recentemente eseguite. Noi inoltre ricorderemo che il rocchetto di Ruhmkorff, anch'esso costruito connettendo apparecchi ideati da altri in modo così opportuno da ottenere effetti di grandissima intensità, si ebbe un premio di 50 mila lire dal Governo francese. Anche il sistema di Morse, la cui utilità ed importanza non vi è chi ignori, si componeva di apparecchi già conosciuti; ed altri simili esempi si potrebbero citare.

Per tali considerazioni crediamo meriti di esser segnalata l'opera di tale, che in verde età fa onore alla sua patria.

NANSEN. La maggior latitudine boreale cui uomo sia pervenuto, è quella di  $86^{\circ} 14'$ , che il Nansen raggiunse il dì 7 aprile 1895. La sagacia con cui egli preparò la spedizione e ne stabilì l'itinerario, le enormi e strane difficoltà che seppe vincere nell'eseguirlo, l'affascinante narrazione fattane dipoi nel notissimo libro "Fra ghiacci e tenebre", non occorre che siano qui particolarmente descritte, perchè appaia giustificata l'inclusione dell'insigne esploratore nel novero degli scopritori degni del premio.

RÖNTGEN. La scoperta dei raggi  $x$  è così universalmente nota, che basta a metterla in rilievo un brevissimo cenno. Venne fatta dal Röntgen sulla fine del 1895, mentre egli eseguiva delle esperienze con un tubo del Crookes. Egli si avvide che una sostanza atta a dar fluorescenza, la quale trovavasi a breve distanza, diventava fluorescente allorchè il tubo era rivestito da una scatola di legno. Di qui l'idea, che attraverso le pareti della scatola passassero delle radiazioni invisibili.

Benchè una circostanza fortuita abbia contribuito alla sco-



perta, è però da osservare che il fatto sarebbe probabilmente sfuggito a persona meno dotta o meno avveduta; che effettivamente altri prima del Röntgen ebbero a sperimentare in condizioni tali che i raggi  $x$  dovessero prodursi, e pure non se ne avvidero; che il Röntgen era già noto prima di allora per numerosi e importanti lavori; e finalmente che egli studiò le proprietà dei nuovi raggi in modo che poco rimanesse a raccogliere a quell'esercito di sperimentatori che si diede tosto ad indagini seguendo la via da lui aperta.

Quanto all'importanza della scoperta, giova notare che, oltre al valore scientifico di essa, meritano grande considerazione le applicazioni utilissime alla medicina ed alla chirurgia.

ZEEMAN. Se una sorgente di luce vien collocata in uno spazio dove si possa produrre un campo magnetico di grande intensità, e se dei raggi luminosi vanno a cadere sulla fenditura dello spettroscopio in direzione perpendicolare alle linee di forza del campo, allora, al prodursi del campo magnetico, le linee luminose dello spettro della sorgente vengono modificate in un modo speciale, che è stato scoperto appunto dallo Zeeman.

Se il campo è abbastanza intenso, ciascuna linea dello spettro si scompone in tre. Quella di mezzo ha la stessa lunghezza d'onda della primitiva, e quindi occupa lo stesso posto nello spettro. Delle due linee laterali l'una ha lunghezza d'onda un po' minore della primitiva, l'altra un po' maggiore. La differenza di lunghezza d'onda fra queste due linee, e quindi la loro distanza nello spettro, dipendono dall'intensità del campo magnetico e sono a questa proporzionali.

I fenomeni ora accennati sono i più semplici e quelli che meglio rispondono alla teoria. Ma alcune linee in un forte campo magnetico danno fenomeni più complicati. Fin dal 1862 il Faraday aveva cercato di scoprire una simile azione del magnetismo sulla luce, ma invano. Anche il Tait aveva fatto un tentativo consimile senza buon esito. Il Fiévez nel 1885 osservò un fenomeno molto simile, e forse identico a quello dello Zeeman, ma non ne proseguì nè approfondì lo studio.

Lo Zeeman ha il merito di aver posto in chiaro il fenomeno, e di averlo studiato accuratamente e riscontrato con la teoria. L'importanza della scoperta di una nuova relazione fra



il magnetismo e la luce non ha bisogno di esser dimostrata; essa trova la sua confermazione nei molti studi sperimentali e teorici cui diede origine.

Abbiamo additato sommariamente i pregi delle opere e delle scoperte che la Giunta ha dovuto esaminare. Fra così illustri uomini, autori di tante scoperte ed opere eminenti, non è per fermo agevole segnalarne uno, che possa senza dubbio stimarsi meglio degli altri degno del cospicuo premio. Grande pertanto, sebbene di fausto augurio, è la trepidazione della scelta; benchè valga a rassicurarci il pensare che il sereno ed illuminato giudizio vostro non potrà fallire allo scopo di onorare le fatiche di un benemerito. Tuttavia nella Giunta, dopo matura discussione, è prevalso il partito di designare, come formanti un primo gruppo, i nomi di

HAECKEL e RÖNTGEN

in ordine alfabetico, e di riunire in un secondo gruppo, parimente in ordine alfabetico, i nomi di

DEWAR, MARCONI, NANSEN, ZEEMAN.

*Il Segretario della Giunta*

ENRICO D'OVIDIO.

---

*Gli Accademici Segretari*

ANDREA NACCARI.

RODOLFO RENIER.

---



---

CLASSE  
DI  
SCIENZE FISICHE, MATEMATICHE E NATURALI

---

Adunanza del 31 Dicembre 1899.

PRESIDENZA DEL SOCIO SENATORE PROF. GIUSEPPE CARLE  
PRESIDENTE DELL'ACCADEMIA

---

Sono presenti i Soci: COSSA, Vice Presidente dell'Accademia, D'OVIDIO, MOSSO, SPEZIA, CAMERANO, SEGRE, JADANZA, FOÀ, GUARESCHI, GUIDI, FILETI, PARONA e NACCARI Segretario.

Il Segretario legge l'atto verbale della precedente adunanza, che viene approvato.

Fra le opere inviate in dono il Presidente fa menzione di alcune memorie del Socio corrispondente DELPINO.

Il Socio Mosso presenta una nota del Dott. Alberico BENE-  
DICENTI, e del signor Oreste POLLEDRO intitolata: *Ricerche far-  
macologiche sui composti mercurio-organici derivanti dalle amine  
aromatiche*. Sarà inserita negli *Atti*.

---



---

## LETTURE

---

### *Ricerche farmacologiche sui composti mercurio-organici derivanti dalle amine aromatiche;*

Nota I<sup>a</sup> del Dott. ALBERICO BENEDICENTI, aiuto, in collaborazione  
con ORESTE POLLEDRO, Studente.

---

Dobbiamo alla cortesia del sig. professore Mosso l'aver potuto adoperare, a scopo di studio, alcuni preparati mercurio-organici che il sig. professore Pesci di Parma gl'inviava fino dal 1894.

Parecchie esperienze sull'azione farmacologica di tali sostanze furono già fin d'allora eseguite da uno di noi. Ora abbiamo nuovamente ripreso a studiare questi composti, e in questa prima Nota riferiamo quanto riguarda l'acetato di paramercurio-difenilentetraetilmercuriodiammonio, o più semplicemente detto *dietilina*.

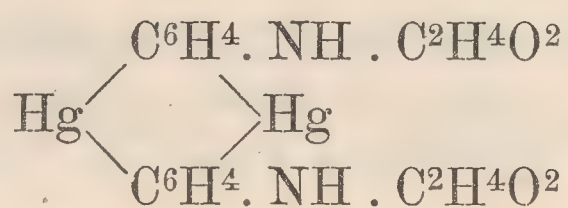
Da molti anni il prof. Pesci (1) e i suoi allievi si occupano dello studio delle combinazioni del mercurio coll'anilina e altre basi aromatiche. Le combinazioni che derivano dall'azione di sali mercurici sull'anilina sono assai numerose; parte di esse erano già note da lungo tempo e furono oggetto di studi di diversi autori. Tali combinazioni furono però sempre riputate quali prodotti della unione diretta dell'anilina coi sali di mercurio o come derivati di radicali più o meno complessi. Le ricerche del professore Pesci hanno invece dimostrato che per l'azione dei sali di mercurio sulla anilina avviene una reazione molto profonda cui prende parte il nucleo benzinico in modo che il suo idrogeno viene sostituito dal metallo, mentre altro

---

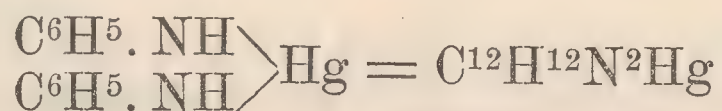
(1) L. PESCI, *Ueber die Quecksilberverbindungen organischer Basen*, "Zeitschr. f. anorgan. Chem.", Bd. XV, 1897. — In questa memoria sono riassunti diversi lavori dell'A. e dei suoi allievi pubblicati nella "Gazzetta chimica italiana".



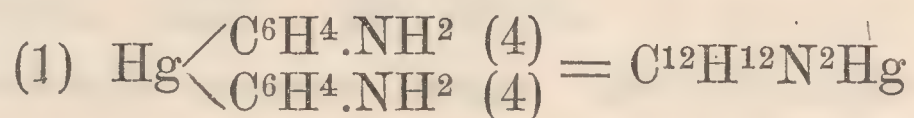
metallo può unirsi all'azoto conservando, in tal caso, una funzione simile a quella delle combinazioni mercurioammoniche. I fatti osservati hanno condotto in altre parole alle conclusioni seguenti e cioè che allorquando una base d'anilina reagisce con un sale di mercurio si forma il sale di una metallamina complessa, la quale risulta da due molecole della base più due atomi di mercurio, di cui uno è legato ai due atomi di azoto (mercurio ammoniacale) e l'altro, in posizione para, rispetto al primo, è legato al nucleo aromatico. Come esempio io cito l'acetato di paramercuriodifenilenmercuriodiammonio il quale è formato appunto da due molecole d'anilina unite a due atomi di mercurio, ammoniacale l'uno e aromatico l'altro:



In alcuni casi però dalle basi libere d'anilina e dall'ossido di mercurio giallo si possono ottenere delle combinazioni basiche del mercurio, le quali non contengono mercurio attaccato al nucleo aromatico, ma solamente mercurio ammoniacale. Tale è appunto la *mercurioanilina*:



la quale possiede proprietà basiche spiccate, essendochè il mercurio unito all'azoto aumenta in modo considerevole le proprietà positive del resto ammoniacale. Isomera a questa base è la *paramercurioanilina*;



la quale si ottiene dal trattamento della *paramercuriodifenilenmercuriodiamina* con solfidrato di soda e, a differenza del composto precedentemente ricordato, contiene solamente del mercurio aromatico.

(1) PESCI, "Gazzetta chimica italiana", (1892), 1, 373; (1893), 2, 529; (1897), 1, 567.

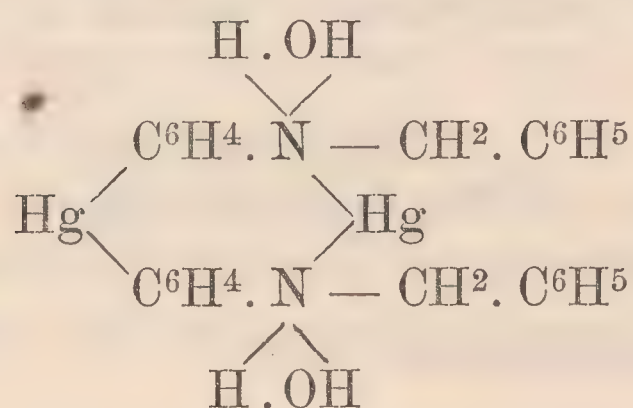


Le proprietà del mercurio unito al nucleo sono molto diverse da quelle del mercurio unito all'azoto. Il primo si svela molto difficilmente colle comuni reazioni e può essere liberato dal resto della molecola solamente coi solfuri alcalini, coll'acido cloridrico o altri mezzi energici; l'altro invece può facilmente essere riconosciuto con tutte le comuni reazioni del mercurio.

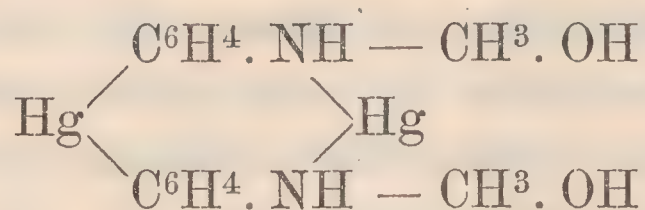
Se si adoperano basi aromatiche le quali non contengano azoto direttamente unito al nucleo benzolico, il mercurio non entra mai a far parte del nucleo stesso. Così dalla benzilamina coi sali di mercurio si ottiene il sale dell'idrossido seguente, cioè del mercuriobenzilammonio:



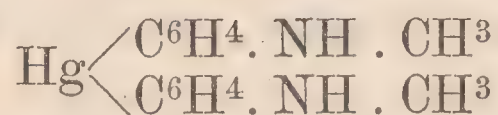
mentre dalla benzilanilina si ha l'idrato di *para-mercuriodifenilendibenzilmercuriodiammonio*:



Alle basi sopra ricordate, derivanti dalla reazione dell'anilina col mercurio, corrispondono altre basi e altri sali provenienti dalla combinazione del mercurio coi derivati dell'anilina. Così dalla metilanilina si ha l'idrato di *p-mercuriodifenilendimetilmercuriodiammonio*



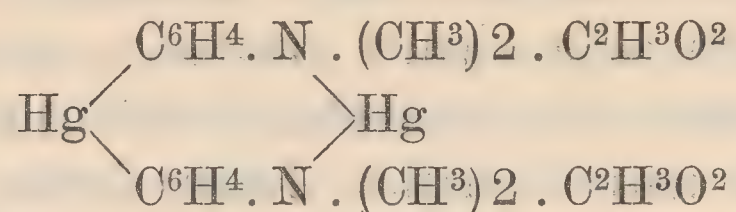
e da questo, per azione del solfito sodico la base libera *p-mercuriometilanelina* (1):



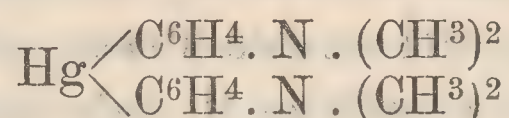
(1) PESCI, " Gazz. chim. italiana „ (1892), 2, 32; (1893), 2, 529.



Allo stesso modo dal corrispondente acetato (dimetilina):

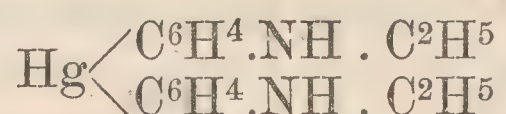


si ottiene la *paramercuriodimetilanilina* (1):

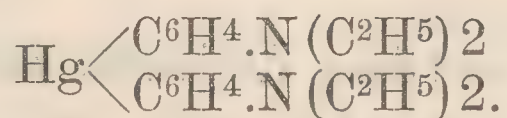


la quale è identica alla base ottenuta già da Schenk e Michaelis (2) partendo dalla bromodimetilanilina e trattandola con etere acetico in presenza d'un eccesso di amalgama di sodio.

Le combinazioni mercurio-organiche della etilanilina e della dietilanilina sono rappresentate dalle basi e dai sali corrispondenti a quelli già rammentati e così si ha la *p-mercurioetilanolina* (3):



e la *paramercuriodietilanilina* (4):



Ma le ricerche del prof. Pesci e dei suoi allievi non si sono limitate allo studio delle combinazioni del mercurio coll'anilina; parecchi altri composti vennero pure accuratamente studiati, e per limitarci ad accennare ad alcuni dei prodotti più importanti ottenuti, ricorderemo la *p-mercuriobenzilanilina*, la *p-mercurioacetanilide*; l'idrato di *mercuriochinolina*, di *mercuriopiridina*, di *mercurioapicolina*, ecc.

(1) PESCI, "Gazz. chim. italiana", (1893), 2, 521.

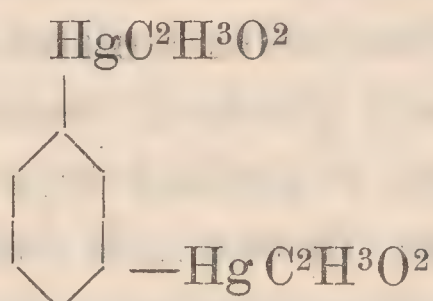
(2) SCHENK e MICHAELIS, "Annalen", 260, 7 e "Ber. deutsch. chem. Ges.", 21, 1501.

(3) RUSPAGGIARI, "Gazz. chim. ital.", (1893), 2, 544.

(4) PICCININI, "Gazz. chim. ital.", (1893), 2, 534.



Ricerche più recenti hanno ancora fatto procedere le nostre cognizioni su questo argomento ed hanno condotto alle preparazioni di basi mercurio-organiche le quali contengono più atomi di mercurio nucleari. Dall'azione dell'acetanilide sull'acetato di mercurio il professore Pesci (1) ottenne infatti un corpo con due atomi di mercurio aromatico, cui spetta probabilmente la costituzione chimica seguente:



e operando in modo analogo sul mercuriodifenile ottenne anche la sostituzione di più atomi di idrogeno del benzolo per opera del mercurio (2). Così l'acetato di dimercuriobenzolo, di trimercuriobenzolo e di tetramercuriobenzolo sono composti a due, tre e quattro atomi di mercurio nucleare.

Come si vede da quanto si è venuto esponendo, noi abbiamo una lunga serie di composti organo-mercurici, i quali si prestano assai bene per uno studio farmacologico completo e interessante.

Parecchi sono i problemi che si debbono prendere in esame in tali ricerche. Noi abbiamo composti isomeri quali la mercurioanilina e la paramercurioanilina, cioè con Hg aromatico e ammoniacale. Quale rapporto passa fra la tossicità dell'uno e dell'altro composto, cioè quale influenza esercita lo stato del mercurio ionizzabile o latente nella molecola?

Altri composti come appunto la dietilina hanno nella molecola contemporaneamente mercurio ionizzabile e latente. Come si comportano questi prodotti nell'organismo?

La tossicità dei composti mercurio-organici è proporzionale alla quantità di mercurio contenuta nella molecola o piuttosto dipende dalla natura di questo mercurio?

(1) *Einwirkung von Acetanilid auf Quecksilberacetat*, "Chem. Zeit.", 1899.

(2) *Sostituzione di più atomi di idrogeno dal benzolo col mercurio*, "Atti Acc. Lincei", 1899.



L'azione fisiologica dei composti mercurio-organici merita anche di essere presa minutamente in considerazione. Infatti è da studiare se tali composti agiscano puramente in virtù del mercurio che contengono ovvero se anche la base organica, anilina, acetanilide, ecc., colla quale il mercurio è combinato, estrinsechi in modo evidente la propria influenza sull'organismo. Sotto questo punto di vista è pure necessario l'istituire esperienze di confronto fra composti analoghi, contenenti radicali alcoolici di diversa natura nella molecola. Così può indagarsi quale rapporto passi fra il grado di tossicità dei composti metilici ed etilici, dimetilici e dietilici sopra ricordati.

Parecchie esperienze furono già fatte da altri autori su composti organici del mercurio, senza però ricercare quale rapporto potesse esistere tra la costituzione chimica del composto e la sua azione fisiologica. Tolmatscheff (1) studiò la mercurioacetamide, Liebreich la formamide mercurica, Mering (2) e Naga (3) fecero esperienze colla glicocola e la succinimide mercurica, Wolff provò la mercurioasparagina e la mercurioalanina; Edwards (4), Prümers (5) ed Hepp (6) studiarono l'azione dei derivati organici del mercurio dovuti all'unione di questo metallo coi radicali etile e metile. Quest'ultimo autore riconobbe la grande tossicità del mercurioetile e asserì che dovevasi rinunciare, in pratica, all'uso dei composti organo-mercurici.

Ricerche recenti con derivati organici del mercurio furono fatte anche da Dreser (7). Senza entrare in particolari sulle esperienze eseguite da tutti questi ricercatori, ci limitiamo a ricordare che tutti questi diversi composti organici furono adoperati per studiare l'azione farmacologica generale del mercurio indipendentemente dall'azione locale che i composti inorganici di questo metallo sogliono esercitare. Riguardo al comportamento nell'organismo dei composti organo-mercurici noi abbiamo solamente le ricerche di Hepp sul mercurioetile. Egli vide che 2-3 ore

---

(1) TOLMATSCHIEFF, "Tub. med. chem. Untersuch. ", Heft II, s. 279.

(2) MERING, "Arch. f. pharm. u. exp. Pathol. ", XIII.

(3) *Zur Frage d. elim. d. Quecksilb. mit Berucks. d. Glykokollqueck.* Inaug. Diss., 1882.

(4) EDWARDS, "St-Barthol. Hosp. Rep. ", vol. I, p. 141, e 2, pag. 211.

(5) PRÜMERS, *Das Aethylsublimat.* Inaug. Diss. Berlin, 1890.

(6) HEPP, "Arch. f. pharm. u. exp. Path. ", Bd. XXIII.

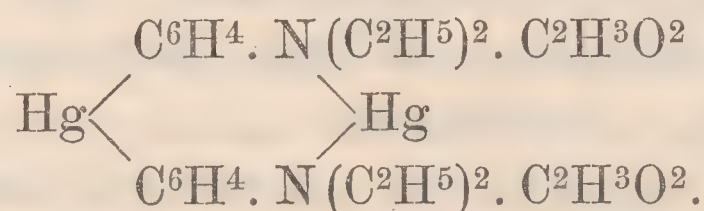
(7) DRESER, "Arch. f. pharm. u. exp. Path. ", Bd. XXXII, p. 460.



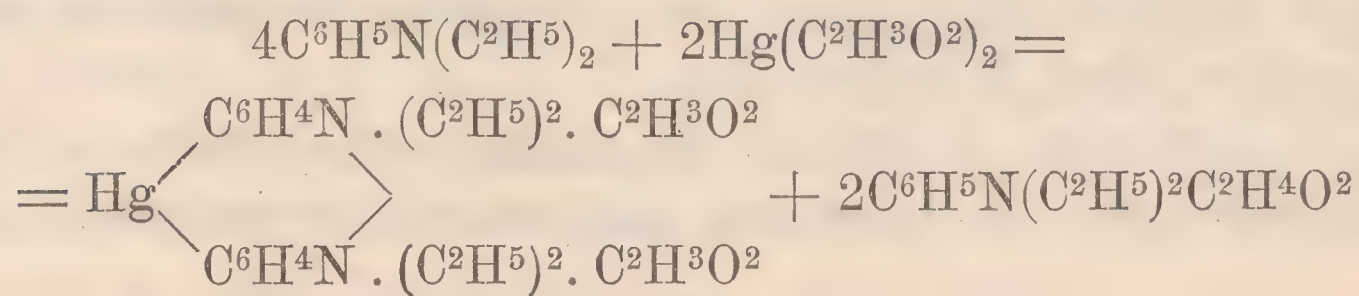
dopo l'avvelenamento acuto per questa sostanza essa si trovava indecomposta negli organi; se l'avvelenamento durava sei o sette giorni si trovava pur sempre molto mercurioetile inalterato. Dapprima nel quadro sintomatologico spicca l'azione del mercurioetile, poscia quella di questa sostanza insieme a quella del mercurio messo in libertà; infine è l'avvelenamento caratteristico per mercurio che domina la scena.

Appare adunque interessante di studiare più minutamente, dal punto di vista farmacologico, le combinazioni organiche del mercurio e più specialmente quelle di ben nota costituzione chimica, quali sono quelle ricordate più sopra. In una prossima estesa memoria riferiremo di parecchie ricerche farmacologiche comparate, fatte su queste sostanze, alcune delle quali già abbiamo studiato ed altre stiamo ora studiando. Pel momento però, ad avere una base solida di confronto, crediamo opportuno di riferire l'esperienze fatte sulla dietilina, che fu la sostanza da noi posseduta per prima e in quantità relativamente grande. Per questo prodotto, come per tutti gli altri che il sig. prof. Pesci ci è venuto offrendo in seguito, gli esprimiamo qui la nostra viva gratitudine.

La dietilina che è oggetto delle presenti ricerche è l'acetato di paramercuriodifenilentetraetilmercuriodiammonio:



Esso si ottiene dall'acetato mercurico colla dietilanilina e cristallizza in lunghi aghi setacei, scoloriti, che si hanno puri dall'alcool bollente. Questo prodotto è insolubile nell'acqua, solubile nell'etere e nell'alcool, nell'acido acetico diluito e solubilissimo nel benzolo. Fonde a 104°,4 in un liquido scolorito che si scompone con imbrunimento e svolgimento rapido di gas verso 182°. La formazione di questo acetato può interpretarsi colla equazione seguente:





La dietilina è discretamente solubile nella glicerina e nell'olio d'oliva alla temperatura del bagno maria.

### Azione sull'albumina.

Il giorno 27 ottobre si mettono nella stufa d'Arsonval due tubi da saggio contenenti 10 cm<sup>3</sup> di albumina dell'uovo ottenuta sbattendo un chiaro d'uovo e diluendolo con ugual volume di acqua distillata. In uno di questi tubi si aggiungono gr. 0,5 di dietilina, finemente polverizzata.

Il giorno seguente nulla di notevole si rileva nell'albumina normale, la quale è perfettamente limpida. L'albumina mescolata con dietilina ha assunto un aspetto opalescente come se si iniziasse la coagulazione.

30 ottobre. L'aspetto dell'albumina mescolata con dietilina si è fatto più opalescente. Si ha un vero principio di coagulazione o precipitazione. L'altra è normale.

10 novembre. L'albumina mescolata con dietilina si è quasi completamente coagulata, cosicchè si può capovolgere il tubo da saggio senza che questa fuoriesca. L'altro campione, senza dietilina e mantenuto nelle stesse condizioni, è ancora limpido e liquido e non ha alcun cattivo odore.

In un'altra esperienza abbiamo adoperato del sangue di cavallo defibrinato e freschissimo.

10 cm<sup>3</sup> sono introdotti in un tubo da saggio e mescolati con gr. 0,5 di dietilina; altri 10 cm<sup>3</sup> di sangue introdotti in altro tubo servono come controllo. Entrambi sono collocati in stufa D'Arsonval.

Al giorno seguente 3 novembre il sangue mescolato con dietilina ha assunto un colore oscuro; sbattuto a lungo non riacquista il colore caratteristico del sangue ossigenato. Si può invece ottenere questo risultato nel sangue non mescolato colla dietilina.

10 novembre. Non sono variate le condizioni. Il colore del sangue dietilinizzato è quasi nero. Nell'altro campione si inizia un leggero odore di putrefazione.

15 novembre. I due tubi da saggio sono portati ad una temperatura di 78°. Il sangue pare coaguli in entrambi, però



nel tubo ove si è mescolato al sangue la dietilina, la coagulazione è più completa; nell'altro rimane semiliquido.

20 dicembre. Il sangue normale è tuttora semiliquido. Ha odore di putrefazione. Quello mescolato con dietilina ha l'aspetto di una massa pastosa rosso-bruna perfettamente conservata, senza alcun odore di putrefazione.

Queste esperienze dimostrano che la dietilina facilita la precipitazione dell'albumina e la coagulazione del siero di sangue e confermano le osservazioni di Voit, il quale fin dal 1857 dimostrò che mescolando l'albumina e il sangue con un preparato insolubile di mercurio, e precisamente col calomelano, queste sostanze possono essere conservate lunghissimo tempo senza putrefare.

### Azione sugli enzimi.

Sono note le esperienze di Wassilieff sul calomelano. Questi in una serie di ricerche volle dimostrare che il calomelano, benchè sia un composto insolubile del mercurio, può impedire i processi della putrefazione che avvengono nell'intestino senza però alterare affatto i processi della digestione. Le esperienze posteriori di Coenen dimostrarono invece inesatto questo modo di vedere. Egli provò infatti che il calomelano non arresta completamente i processi fermentativi della ptialina e della pepsina, ma ne ostacola in modo evidente l'azione.

Ci parve pertanto interessante di eseguire alcune esperienze per constatare l'azione della dietilina sugli enzimi.

In un becker raccogliamo una rilevante quantità di saliva e la filtriamo. In due bevute collochiamo 30 cm<sup>3</sup> di saliva con 100 cm<sup>3</sup> di salda d'amido preparata con 1800 gr. d'acqua e 120 gr. di amido puro. Ad una di queste bevute aggiungiamo gr. 0,1 di dietilina e quindi la collochiamo coll'altra, in stufa a 37° per 48 ore. Dopo ciò, onde sterilizzare il contenuto, le bevute sono portate per alcuni minuti alla temperatura di 70°, il liquido viene filtrato ed al filtrato sono aggiunti 4 cm<sup>3</sup> di alcool a 98° 0/0. Si ottiene così un precipitato, il quale è dato dalla *destrina*. Dopo 24 ore il precipitato è raccolto su filtro tarato e pesato accuratamente. Il filtrato alcoolico viene raccolto in una capsula, condensato a modico calore fino a consi-



stenza sciropposa, poscia sciolto in 100 cm<sup>3</sup> di acqua distillata, decolorato con carbone animale, esaminato al polarimetro di Laurent e saggiato col liquido di Fehling.

I risultati dell'esperienza, eseguita due volte sono i seguenti, raccolti nella sottostante tabella:

	Destrina in gramm.	Zucchero in grammi	
		alla Polarizzazione	alla Riduzione
I. 100 cm <sup>3</sup> amido + 30 cm <sup>3</sup> di saliva . . . . .	2,740	4,2	1,72
II. 100 cm <sup>3</sup> amido + 30 di saliva + 0,1 di dietilina .	2,184	2,7	1,08
III. 100 cm <sup>3</sup> amido + 30 saliva	3,051	3,8	1,45
IV. 100 cm <sup>3</sup> amido + 30 saliva + 0,1 di dietilina . . . .	2,250	2,0	1,29

Queste esperienze dimostrano adunque che la dietilina non impedisce la trasformazione dell'amido in zucchero, ma la rende, a modo del calomelano, meno attiva. Lo stesso vale per la digestione peptica, come lo dimostra l'esperienza seguente:

Il giorno 29 novembre si collocano nella stufa tre bevute contenenti 5 gr. di albumina d'uovo coagulata e tagliata in piccoli frammenti, con 500 millig. di pepsina Witte e 50 cm<sup>3</sup> d'acido cloridrico all'1 ‰. In una bevuta si aggiungono 100 mg. di dietilina, nell'altra 200 milligrammi; la terza serve per l'osservazione di confronto.

Al 1° dicembre si esaminano le bevute. In quella normale l'albumina è quasi completamente digerita, all'infuori di due piccoli pezzettini; nella bevuta contenente 100 mg. di dietilina parte dell'albumina non è digerita; meno ancora avanzata è la digestione nella bevuta contenente 200 mg. del veleno.

Al 2 dicembre, cioè 48 ore dopo il principio dell'esperienza, si tolgono le bevute dalla stufa, si filtrano i liquidi su filtri tarati per conoscere il peso dell'albumina non digerita e si ripete la filtrazione più volte fino ad averli limpidissimi. Allora si neutralizzano i liquidi filtrati con carbonato sodico e si ot-



tiene un precipitato di *acidalbumina*, che è raccolto su filtro seccato e tarato. Anche qui conviene ripetere quattro o cinque volte la filtrazione per raccogliere sul filtro tutto il precipitato. Dopo ciò i filtrati sono mescolati con uguale volume di alcool a 95°, fatti bollire, filtrati a caldo. Lasciati a sè a bassa temperatura, lasciano depositare l'*emialbumosi*, che viene raccolto su filtro tarato e seccato. La soluzione alcoolica rimanente viene ridotta a consistenza sciropposa; il residuo è sciolto in acqua e precipitato con acido tannico. Il precipitato, raccolto su filtro tarato indi lavato a lungo con alcool per liberarlo dall'acido tannico in eccesso, viene seccato a 100° e pesato come peptone.

Coenen (1) per dimostrare inesatte le esperienze già ricordate di Wassilieff (2) tenne per le ricerche sul calomelano un processo uguale a questo e vide che il calomelano ostacolava pure in modo evidente l'azione della pepsina. Noi ci limitiamo a riferire nella tabella seguente i dati dell'esperienza esposta e che venne pure confermata da un'altra simile.

	Albumina non digerita	Acidalbumina mg.	Emialbumina mg.	Peptone mg.
5 gr. albumina, 500 pepsina, 50 HCl 1 % . . . . .	0	0	0,0376	0,3978
5 gr. albumina, 500 pepsina, + 100 mg. dietilina. . . .	0,5814	0,0906	0,0194	0,2624
5 gr. albumina, 500 pepsina, + 200 mg. dietilina. . . .	0,8804	0,0402	0,0164	0,2346

Quest'esperienza dimostra che l'azione della dietilina sulla pepsina è simile a quella del calomelano.

Azione sulla putrefazione.

Dopo le esperienze sopra descritte ci parve utile ricercare se la dietilina, pur permettendo entro certi limiti l'azione degli

(1) COENEN, " Maly's Jahresb. f. Thierchemie „, XVII, p. 272.  
(2) WASSILIEFF, " Zeitschr. f. phys. Chemie „, Bd. VI.



enzimi, impedisse assolutamente i processi di putrefazione che accompagnano la decomposizione delle sostanze albuminoidi. L'azione che la dietilina esercita sull'intestino ci induceva anche maggiormente a tali ricerche.

Il giorno 30 nov. viene triturata finamente la mucosa dello stomaco di un maiale e messa a macerare in 1500 cm<sup>3</sup> d'acqua. Dopo quattro ore il liquido è filtrato.

1° dic. Si introducono in due becker 750 cm<sup>3</sup> di succo gastrico così preparato, più 250 gr. di fibrina di bue fresca e accuratamente lavata. In uno dei due becker si aggiungono ancora 3 gr. di dietilina.

2 dic. La fibrina è quasi completamente digerita in entrambi i becker i quali furono lasciati alla temperatura ordinaria della stanza (19 gradi). Il liquido mescolato con dietilina ha assunto un colore grigiastro ed ha l'odore caratteristico della sostanza. Si collocano i recipienti in stufa a 37°.

3 dic. Nel becker contenente succo gastrico mescolato con dietilina il liquido ha assunto un colore grigio come di caffè-latte; nell'altro ha il colore rosso-bruno del sangue, e comincia ad emanare lieve odore di putrefazione.

4 dic. I due liquidi sono filtrati attraverso ad un pannolino. Due campioni dell'uno e dell'altro analizzati danno subito in modo evidentissimo la reazione del biureto. Le soluzioni filtrate sono neutralizzate con carbonato sodico, portate alla ebollizione e filtrate traverso a carta. Il filtrato è concentrato a piccolo volume. Quello contenente dietilina assume un colore bruno-scuro. Si aggiunge alcool ai due liquidi finchè non precipitano più, si filtrano, si evapora l'alcool e si riprende il residuo con pochissima acqua. Questo residuo dà, tanto nell'esperienza normale come in quella fatta sotto l'azione della dietilina, le seguenti reazioni in modo assai evidente:

1° Con reattivo di Millon all'ebollizione dà precipitato giallo che passa poi rapidamente al rosso intenso;

2° Con cloruro d'oro all'1 % e poco acido formico dà colorazione violetta che diviene poco alla volta più intensa;

3° Con poco acido solforico concentrato si colora fugacemente in rosso. Il liquido diluito con acqua, neutralizzato con latte di carbonato di bario, filtrato e trattato con percloruro di ferro si colora in violetto.



4° Mescolato con poco acido acetico e portato all'ebollizione prende, per aggiunta di soluzione diluitissima di nitrato sodico goccia a goccia, una bella colorazione rossa.

Tutte queste reazioni dimostrano indubbiamente la presenza di quantità notevoli di *tirosina* in entrambi i casi. La dietilina quindi non ha impedito la formazione dei prodotti normali della digestione peptica pure impedendo la putrefazione.

L'esperienza seguente è ancor più dimostrativa.

Il giorno 30 nov. si prende alla Scuola Veterinaria un pancreas di cavallo appena ucciso. Triturato finamente è messo a macerare in 1500 cm<sup>3</sup> di acqua; dopo 4 ore è filtrato.

1 dic. In due becker si collocano 600 cm<sup>3</sup> di succo pancreatico e 150 gr. di fibrina fresca di bue. In uno dei due becker viene aggiunta la dietilina in proporzione di 3 gr. Dopo sei ore quasi tutta la fibrina è disciolta; il liquido contenente dietilina ha assunto un colorito grigio; l'altro normale è rosso bruno.

2 dic. La soluzione della fibrina è completa in entrambi i recipienti. Il liquido con dietilina diviene più grigio, ma non ha alcun odore cattivo; l'altro comincia a puzzare.

3 dic. Il liquido normale emana odore ributtante di putrefazione. Una cartina d'acetato di piombo, posta in vicinanza del recipiente, annerisce subito svelando la presenza di quantità rilevante di idrogeno solforato. L'altro liquido mescolato con dietilina non ha alcun odore di putrefazione.

8 dic. L'odore di putrefazione che esala dal recipiente senza dietilina è insopportabile; l'altro liquido non accenna affatto a decomposizione.

I due liquidi vengono allora colati in due grandi palloni e quindi distillati fino a  $\frac{2}{3}$  del volume primitivo.

Il distillato così ottenuto è trattato con idrato di potassio fino a reazione fortemente alcalina e quindi ridistillato fino a metà del primitivo volume. Al nuovo distillato si aggiunge un egual volume di etere; si agita fortemente il miscuglio, si decanta l'etere e si evapora. Sul residuo si fanno le reazioni dell'*indolo*. Il residuo della seconda distillazione viene acidificato con H<sup>2</sup>SO<sup>4</sup> e ridistillato. Nelle prime porzioni di liquido che passano nel refrigerante si ricerca il *fenolo*.

Il residuo della prima distillazione si filtra; al filtrato si aggiunge dapprima acetato neutro di piombo finchè si forma un



precipitato e poscia acetato basico di piombo. Si filtra il miscuglio; nel filtrato si scaccia l'eccesso di piombo per mezzo dell'idrogeno solforato e si filtra di nuovo. Il liquido è ridotto allora a consistenza sciropposa e sul residuo si fanno le reazioni della *leucina* e della *tirosina*. Il precipitato poi, ottenuto mercè l'aggiunta dell'acetato di piombo, viene addizionato di acqua, liberato con  $H^2S$  dell'eccesso di piombo, filtrato e trattato ripetute volte con etere. Nel residuo lasciato dall'etere si ricerca l'*acido idroparacumarico*.

I risultati ottenuti da questo lungo trattamento fatto subire ai due liquidi sono i seguenti:

SOSTANZA RICERCATA	REATTIVI ADOPERATI	MISCUGLIO CON DIETILINA	MISCUGLIO SENZA DIETILINA
Leucina e Tirosina	Reattivo di Millon Reazione di Piria	Grandi quantità di cristalli	Grandi quantità di cristalli.
Indolo	Reazione del rosso-colera Reazione colla scheggia di faggio Reazione col nitroprussiato sodico	Non esiste	Si trova in quan- tità rilevanti.
Fenolo	Acqua di bromo Percloruro di ferro	Non esiste	In piccola quan- tità precipita coll'acqua di bromo.
Acido idropa- racumarico	Reattivo di Millon	Non esiste	Si trova in tracce.

L'esame della tabella sopra riportata dimostra molto evidentemente che la dietilina non impedisce i processi digestivi ma, come il calomelano arresta la putrefazione. La stessa azione è esercitata anche nell'intestino dell'animale vivente.

#### Azione sugli animali inferiori.

Per quanto riguarda l'azione della dietilina sugli animali inferiori ci siamo limitati a fare delle esperienze sui lombrici terrestri. Essendo la dietilina insolubile nell'acqua, mal si presta a ricerche sugli infusori come avremmo desiderato di fare.



Tre lombrici di terra sono collocati in soluzione fisiologica addizionata di 1 cm<sup>3</sup> di olio d'oliva; altri tre sono collocati in soluzione fisiologica addizionata di 1 cm<sup>3</sup> d'olio contenente disciolta 1 centig. di dietilina. Appena immersi nel liquido i lombrici si contorcono con movimenti vivacissimi; quelli però collocati nel liquido velenoso divengono gradatamente più tranquilli mentre gli altri continuano a muoversi. Poco alla volta e cioè dopo sei o sette ore i lombrici messi in presenza della dietilina cessano di muoversi mentre gli altri continuano a vivere per parecchie ore ancora.

È probabile che la dietilina somministrata per bocca eserciti un'azione vermifuga nell'intestino. Nelle feci dei conigli cui fu somministrata dietilina notammo sempre delle quantità, talora rilevanti, di piccoli vermi morti.

### Azione sui vertebrati.

Abbiamo studiato l'azione farmacologica generale della dietilina su parecchie specie d'animali quali rane, cavie, conigli, cani.

Molte delle esperienze furono fatte da uno di noi fino dal 1894, altre furono recentemente per controllo ripetute. Repetiamo, naturalmente, inutile di riportare i protocolli di tutte le esperienze fatte; essendo il quadro farmacologico sempre costante riferiamo solo come esempio due esperienze fatte sulla rana ed altra fatta su di un coniglio.

24 novembre 1894, ore 3. A due rane dello stesso peso iniettansi sottocutaneamente all'una 1 cm<sup>3</sup> di olio d'uliva puro, all'altra 1 cm<sup>3</sup> di olio tenente in soluzione 1 cg. di dietilina.

Ore 15,45. Le rane paiono normali, saltano vivacemente.

Ore 16,10. L'animale iniettato colla dietilina è meno vivace. Messo sul dorso si risollewa meno rapidamente della rana normale.

Ore 19. Cominciano fenomeni di paralisi nella rana avvelenata. Salta meno bene e dopo il salto rimane cogli arti estesi che ritrae lentamente.

25 novembre, ore 9. La rana iniettata con olio puro è perfettamente normale; l'altra è in paralisi quasi completa. Messa sul dorso non riesce a sollevarsi; eccitata non reagisce.

Ore 11. La rana avvelenata pare morta: grande flaccidezza musco-



lare, abolizione dei riflessi; i movimenti ioidei divenuti sempre più rari sono ora quasi scomparsi.

Ore 14. Si mette allo scoperto il cuore. Il ventricolo è in diastole e non si contrae più: rare e lente contrazioni si osservano nell'orecchietta. Gli organi addominali sono tutti iperemici, specialmente l'intestino.

#### ESPERIENZA II.

Ad una rana del peso di gr. 45 inietto sottocutaneamente 1 cm<sup>3</sup> di soluzione di dietilina al 5 %.

Ore 10,30. Iniezione. La rana subito dopo si mostra normale e non rilevasi nulla di notevole.

Ore 11. Si mostra meno vivace. Eccitata non riesce più a spiccare lunghi salti come prima. I movimenti ioidei sono diminuiti di numero e di profondità.

Ore 12. Messa sul dorso è incapace di sollevarsi prontamente. Vi riesce a stento dopo molto tempo. La sensibilità è diminuita.

Ore 14. Troviamo la rana immobile. Eccitata è incapace di reagire. Messa sul dorso vi rimane. La cute dell'addome ha assunto un colore rossicio come in tutte le altre rane. La sensibilità è diminuita.

Ore 16. Perdurano le stesse condizioni. Forte flaccidezza muscolare. Movimenti ioidei rarissimi.

Ore 19. L'animale si trova morto.

Quest'esperienza dimostra come sia lenta l'azione della dietilina e come essa agisca veramente come un veleno cumulativo che si assorbe cioè e si elimina lentamente.

#### ESPERIENZA III.

15 novembre, ore 16,30. Ad un coniglio del peso di gr. 1810 si iniettano sottocutaneamente 5 cm<sup>3</sup> di soluzione di dietilina in olio, contenenti gr. 0,5 della sostanza.

16 novembre, ore 9. Il coniglio è abbattuto, ha perduto l'appetito. Emette feci liquide, d'aspetto simile a pece, contenenti molti vermi morti.

Ore 16. Il coniglio è in cattive condizioni. La diarrea diviene profusa. Messo in terra ed eccitato rifiuta di muoversi. Tiene gli occhi socchiusi.

Ore 19. Si nota una spiccata flaccidezza muscolare. L'animale sta col capo penzoloni. Emette orine di intenso colore oscuro. Nella notte muore.

All'autopsia si rileva un forte edema sottocutaneo negli arti posteriori, cosicchè, appena incisa la pelle, fuoriesce un liquido sieroso colorato in roseo. Nulla di simile si osserva negli arti anteriori. Nel punto



ove venne praticata l'iniezione si nota arrossamento e infiltrazione. Una piccola parte della soluzione oleosa non fu riassorbita. L'intestino crasso è ripieno di sostanza liquida di colore rossastro. Esaminata allo spettroscopio e al microscopio si vede che essa è costituita in gran parte da sangue. Aperto l'intestino longitudinalmente si notano lesioni gravissime. La mucosa è rossa, intensamente iperemica e ricoperta qua e là di erosioni emorragiche. Questo reperto si riscontra più specialmente nelle ultime porzioni dell'intestino tenue e del crasso. I reni e il fegato sono ricchi di sangue. Il cuore è arrestato in diastole e contiene sangue in parte coagulato, in parte liquido e di colore nerissimo.

Il quadro sintomatologico ora descritto ricorda completamente quello che si ha negli animali avvelenati con altri preparati mercuriali. Pare adunque che sia il mercurio che domini colla sua caratteristica azione fisiologica. Questo fatto può riscontrarsi ancor meglio negli avvelenamenti cronici da dietilina. Valga come esempio l'esperienza seguente.

11 dic., ore 11. Iniezione sottocutanea ad un coniglio del peso di gr. 1650 di 1 cg. dietilina sciolta in olio d'oliva.

Ore 16. Il coniglio mangia meno avidamente del solito. Del resto nulla di anormale.

12 dic. Nuova iniezione di 1 gr. dietilina, ore 9 ant.

Ore 10. È sopravvenuta una forte diarrea. Emissione di feci liquide, di colore scuro e di orina di colore bruno.

13 dic., 8 ant. Nuova iniezione di 1 cg. dietilina. La diarrea continua. L'animale non mangia. Messo in terra si muove trascinando gli arti posteriori che sono paralitici. Le feci emesse sono liquide senza cattivo odore.

15 dic., 9 ant. Nuova iniezione di 1 cg. dietilina. Le condizioni del coniglio sono pessime. Il respiro è lento e superficiale, la temperatura bassa. L'animale giace sul fianco. La sensibilità è diminuita. Rifiuta ogni cibo.

16 dic. Le condizioni divengono ancora peggiori: iniettiamo tuttavia ancora 1 cg. di dietilina. Comprimendo l'addome otteniamo un po' di orina di colore bruno. L'animale sta cogli occhi socchiusi e ogni tanto fa qualche lento movimento spontaneo.

17 dic., ore 9 ant. L'animale pare stia per morire. Non facciamo più alcuna iniezione. Il respiro diviene sempre più superficiale. La diarrea continua; le feci sono liquide, inodore.

18 dic., ore 9 ant. L'animale è ancora vivo, ma poco dopo muore senza convulsioni nè altri fenomeni notevoli.



All'autopsia si rinviene l'intestino alquanto iperemico ma molto meno che nell'avvelenamento acuto; il fegato è di colore scuro, i reni pare presentino alcuni piccoli focolai emorragici; gli altri visceri sono normali.

Abbiamo fatto parecchie esperienze per determinare la dose tossica minima della dietilina nelle rane e negli animali a sangue caldo, ma siccome tali esperienze furono fatte di confronto colla etilina e colla dimetilina, esse saranno riferite nella prossima estesa memoria in cui daremo il risultato delle esperienze farmacologiche comparative sulle diverse mercurioaniline.

### Azione sul circolo.

Le modificazioni che la dietilina apporta, nell'avvelenamento acuto, sulla pressione sanguigna trovano riscontro nelle osservazioni fatte da Mering sull'influenza esercitata dal mercurio sugli organi della circolazione. Egli vide che dopo iniezione sottocutanea di ossido di mercurio la pressione andava talora gradatamente diminuendo, altre volte invece si manteneva costante per un certo tempo indi decadeva con rapidità.

Questo è il modo di comportarsi della pressione anche negli animali avvelenati con dietilina. La pressione infatti per un poco si mantiene costante indi decade rapidamente; anche la frequenza del polso discende poco alla volta. Valga l'esperienza seguente come esempio:

Coniglio di media grossezza: peso gr. 1700.

Pressione sanguigna media 55-57 mm. di mercurio. Polso 48-47 in 10 secondi.

Ore 9. iniezione di 1 gr. dietilina sciolta in olio d'oliva. Dopo l'iniezione si toglie la canula dall'arteria e si libera l'animale dall'apparecchio sul quale era fissato.

Ore 12. L'animale è in cattive condizioni. Si prende di nuovo la pressione la quale è variata di poco: 55-53 mm. di mercurio. Polso 45-46.

Ore 15. La pressione sanguigna è discesa a 40 mm. Il polso è di 30-32 ogni 10 secondi. L'animale ha forte diarrea.

Ore 15,30. La pressione discende ancora a 35 mm. La diarrea diviene sempre più intensa. Si sospende l'esperienza.

Sul cuore di rana isolato la dietilina produce una diminuzione dei battiti cardiaci come risulta dall'esperienza seguente:



Cuore di rana isolato bagnato con due gocce d'olio d'oliva		Cuore di rana con due gocce d'olio avvelenato.
Ore 15,40	Puls. 19 in 30''	Puls. 16 in 30''
„ 15,45	„ 15 in 30''	Contrazioni vermicolari con lunghe pause. Puls. 10 in 30''.
„ 15,50	„ 15 in 30''	Puls. 10 in 30'' molto irregolari.
„ 15,55	„ 9 in 30''	Il cuore non pulsa più, nemmeno se sia eccitato meccanicamente.
„ 16,5	„ 9 in 30''	
„ 16,20	„ 5 in 30'' molto lente.	
„ 16,30	Cessa di pulsare.	

### Azione sull'intestino.

Nelle esperienze già prima citate abbiamo fatto notare la intensa azione esercitata dalla dietilina sull'intestino. Qui ci limitiamo a far rilevare che in tutti gli animali iniettati con dietilina si ha diarrea e che le feci assumono un colore scuro come se fossero ricche di bile. Abbiamo eseguito alcune esperienze sulla putrefazione intestinale dell'animale vivente, dosando anche i gas intestinali. Queste esperienze fatte comparativamente colla dimetilina verranno riferite più tardi; per ora diremo che l'azione della dietilina è simile assai a quella del calomelano e non è escluso che possa forse come questo venire adoperata.

### Eliminazione della dietilina dall'organismo.

Che cosa accade della dietilina iniettata sottocutaneamente? È assorbita facilmente e eliminata colle orine? A risolvere questo problema noi abbiamo raccolte le orine di conigli sottoposti ad avvelenamento cronico per dietilina e le abbiamo analizzate.

Rosenbach negli animali avvelenati con mercurio trovò nelle orine albumina che, in un caso, giunse fino a 0,53 %. Noi non abbiamo mai rinvenuto albumina negli animali avvelenati con dietilina. Saikowsky rinvenne dello zucchero nell'orina di animali sottoposti all'azione del cloruro mercurico, Tolmatscheff notò che le orine riducevano il liquido di Fahling, ma non deviavano la



luce al polarimetro. Nelle nostre esperienze abbiamo pure notato questo fenomeno.

Ci interessava di vedere se iniettando dietilina sotto la cute si poteva trovare il mercurio nell'orina. Le esperienze hanno confermato questa supposizione.

Riguardo al comportamento dell'anilina nell'organismo già fece Schmiedeberg (1) delle esperienze dalle quali risulta che l'anilina passa nelle orine in piccola parte inalterata, in parte come acido fenico sotto forma di fenosolfato potassico. Trovasi quindi nelle orine aumentato il solfo etero o coniugato. Allo stesso risultato è giunto Müller (2) il quale all'aumento dei solfati aggiunse il dato che parte dell'anilina è ossidata in posizione para e passa nelle orine come paraamidofenolo. Dragendorff (3) in un caso di avvelenamento per anilina vide che l'orina aveva colorito bruno, come già Schmiedeberg aveva notato negli animali, e trattando l'orina con acido cloridrico e cloroformio o alcool amilico quindi sbattendo a lungo vide che il cloroformio assumeva poco alla volta una bella colorazione rossa. Wertheimer e Meyer (4) confermarono questo fatto.

Le orine dei conigli e cani iniettati con dietilina hanno un colorito scuro che talora è quasi nero tanto appare intenso. Ad un coniglio iniettammo per parecchi giorni di seguito della dietilina nella dose di 1 cg. per giorno. L'orina scurissima, raccolta e filtrata fu acidificata con HCl e sbattuta con volume uguale di cloroformio. Questo solvente rimase dapprima incolore, poscia lasciato a sè assunse poco per volta un bel colore roseo che divenne lentamente più intenso. L'esperienza ripetuta nuovamente, condusse allo stesso risultato.

Rimaneva a vedere se il solfo coniugato fosse aumentato nell'orina. Qui peraltro la cosa è complessa essendochè per un lato, e cioè per l'eliminazione della dietilina, il solfo etero dovrebbe essere aumentato mentre per la diminuita putrefazione intestinale dovrebbe, secondo le esperienze di Baumann, diminuire o

---

(1) SCHMIEDEBERG, " Arch. f. exp. Path. u. Pharm. ", VIII.

(2) MÜLLER, " Deutsche med. Wochens. ", 1887.

(3) DRAGENDORFF, " Chem. Centralbl. ", 1887, p. 1382.

(4) WERTHEIMER e MEYER, " Compt. rend. Soc. Biol. ", vol. 40, p. 843.



scompare affatto. Quest'ultimo modo di vedere non è però diviso da Coenen per quanto riguarda l'azione del calomelano.

Ad ogni modo abbiamo fatte su ciò parecchie esperienze dosando nell'orina il solfo totale e il solfo etero, ma poichè sono esperienze fatte di confronto cogli altri preparati organo-mercurici, ci riserviamo di riferirle nella prossima memoria.

Qui vogliamo ancora aggiungere che nell'orina degli animali iniettati con dietilina si può riconoscere la presenza del mercurio.

Fra i molti metodi usati per ricercare il mercurio nelle urine ricorderemo solamente quelli di Fürbringer, di Schneider, di Byasson, di Mayencon e Bergeret, di Ludwig, di Winternitz, di Wolf-Nega, etc.

Noi abbiamo dato la preferenza al metodo di Brugnatelli (1) e a quello di Mayer modificato da Lehmann (2).

Citiamo una esperienza fatta con quest'ultimo metodo.

In un grosso recipiente metallico sono introdotti cinque litri di una soluzione concentratissima di cloruro di calcio, bollente a 145°. In un pallone della capacità di due litri sono introdotti 300 cm<sup>3</sup> di orina emessa durante cinque giorni da un coniglio avvelenato con 1 cg. *pro die* di dietilina. All'orina si aggiungono 150 cm<sup>3</sup> di soluzione di cloruro sodico al 2 %, 10 cm<sup>3</sup> di idrato di potassio al 50 % e 15 grammi di calce viva in polvere. L'orina è distillata poi nel modo seguente.

Il pallone è chiuso da un tappo traversato da un tubo di vetro il quale è in comunicazione con un tubo ad U ripieno di lana di vetro imbevuta nel nitrato di argento e seccata a modesta temperatura.

Il pallone ed il tubo sono immersi nel bagno a cloruro di calcio e portati alla temperatura di 130°-140°. Il mercurio che fosse contenuto nell'orina distilla col vapor d'acqua e si fissa sulla lana di vetro la quale è tolta dopo due ore dal tubo ad U e seccata in stufa alla temperatura di 37°. Dopo ciò è introdotta in un tubo affilato ad una estremità e collocato in un fornello a combustione. Per le modalità colle quali il tubo è riempito con ossido di rame, asbesto, etc. rimandiamo alla me-

(1) BRUGNATELLI, " Ann. di Chim. e farmacol. ", 1889, vol. 10.

(2) LEHMANN, " Zeitsch. f. phys. Chemie ", VI Bd.



moria originale di Lehmann. Il vapore di mercurio, se ve ne è, si raccoglie nella parte fredda e affilata del tubo a combustione e la sua natura è svelata facendo passare in questa parte del tubo (separata alla fine dell'esperienza dal resto) dei vapori di iodio i quali lo trasformano in ioduro di mercurio rosso.

Operando nel modo sopra descritto si ottiene molto evidentemente dall'orina del coniglio la colorazione rossa del ioduro di mercurio.

Una esperienza fatta mescolando a 300 cm<sup>3</sup> di orina di coniglio 1 millig. di dietilina ha lasciato pure riconoscere evidentemente la presenza del mercurio sottoponendola al trattamento suddetto.

Rimane ora a vedere se il mercurio che si rinviene nelle orine sia mercurio libero o se provenga da dietilina eliminata, inalterata colle orine. Questo problema sarà più facilmente risolto dallo studio comparativo delle mercurioaniline più semplici al quale attendiamo.

Concludendo da quanto si è visto, noi possiamo asserire quanto segue:

1° L'acetato di paramercuriodifenilentetraetilmercuriodiammonio, o dietilina è una sostanza attiva e pericolosa tanto per gli animali a sangue freddo come per i mammiferi;

2° La sua azione farmacologica si esplica specialmente sullo intestino e ricorda completamente il quadro dell'avvelenamento per gli altri composti inorganici del mercurio;

3° La dietilina agisce sugli enzimi di cui rallenta alquanto l'azione senza tuttavia arrestarla; impedisce invece completamente i processi della putrefazione ed in ciò è simile del tutto al calomelano;

4° Iniettata sottocutaneamente è assorbita ed eliminata per le orine nelle quali può riconoscersi agevolmente la presenza del mercurio.

Istituto fisiologico della R. Università di Torino.

---

*L'Accademico Segretario*

ANDREA NACCARI.

---



---

## CLASSI UNITE

---

Adunanza del 7 Gennaio 1900.

PRESIDENZA DEL SOCIO SENATORE PROF. GIUSEPPE CARLE  
PRESIDENTE DELL'ACCADEMIA

---

Sono presenti i Soci:

della Classe di Scienze fisiche, matematiche e naturali:  
COSSA, Vice Presidente dell'Accademia, BIZZOZERO, Direttore  
della Classe, SALVADORI, BERRUTI, D'OVIDIO, NACCARI, MOSSO,  
CAMERANO, SEGRE, VOLTERRA, JADANZA, FOÀ, GUARESCHI, GUIDI,  
FILETI, PARONA;

della Classe di Scienze morali, storiche e filologiche:  
CLARETTA, Direttore della Classe, PEYRON, ROSSI, MANNO, PEZZI,  
FERRERO, COGNETTI DE MARTIIS, GRAF, CIPOLLA, ALLIEVO, PIZZI  
e RENIER Segretario.

È letto ed approvato l'atto verbale dell'adunanza precedente a Classi Unite, 31 dicembre 1899.

Il Presidente invita l'Accademia a votare sui singoli nomi proposti dalla 2<sup>a</sup> Giunta per il conferimento dell'XI premio Bressa. Il premio viene conferito al Prof. Ernesto HAECKEL dell'Università di Jena.

Si addiviene, in conformità dell'art. 1° del Regolamento interno per il conferimento del premio Bressa, alla nomina della



1<sup>a</sup> Giunta per l'assegnazione del XII premio, pel quadriennio 1897-1900, al quale, giusta le tavole di fondazione, sono ammessi i soli scienziati e inventori italiani, e riescono eletti: della Classe di Scienze fisiche, matematiche e naturali i Soci D'ÓVIDIO, NACCARI, COSSA e CAMERANO, e della Classe di Scienze morali, storiche e filologiche i Soci GRAF, COGNETTI DE MARTIIS, CIPOLLA e BRUSA.

Quindi l'Accademia modifica nel modo seguente il Regolamento interno per il conferimento del premio di Fondazione Gautieri.

#### ART. 1.

Nel primo mese di ciascun anno del periodo triennale portato dallo Statuto, la Classe di Scienze morali, storiche e filologiche nomina una Commissione di tre membri con l'incarico di ricercare ed esaminare le pubblicazioni da proporre per l'aggiudicazione del premio Gautieri. Conforme quanto dispone l'articolo 5 dello Statuto medesimo, nel 1° anno si elegge una Commissione per la *Filosofia*, nel 2° una Commissione per la *Storia*, nel 3° una Commissione per la *Letteratura*. Tali Commissioni saranno composte di Accademici nazionali residenti.

#### ART. 2.

Ogni Commissione è preseduta dal socio anziano di nomina, elegge, nel proprio seno, un segretario relatore, e dura in ufficio sino a che non sia stato conferito il premio per l'aggiudicazione del quale fu eletta.

#### ART. 3.

Nel secondo semestre di ciascun anno la Commissione riferirà all'Accademia, in un'adunanza a Classi Unite, intorno alla aggiudicazione del premio per la materia di sua spettanza. In una seduta successiva si procederà al conferimento del premio.

---

*Gli Accademici Segretari*

ANDREA NACCARI

RODOLFO RENIER.



---

# CLASSE

DI

SCIENZE FISICHE, MATEMATICHE E NATURALI

---

Adunanza del 14 Gennaio 1900.

PRESIDENZA DEL SOCIO PROF. ALFONSO COSSA

VICE-PRESIDENTE DELL'ACCADEMIA

---

Sono presenti i Soci: SALVADORI, D'OVIDIO, SPEZIA, CAMERANO, SEGRE, VOLTERRA, JADANZA, FOÀ, GUARESCHI, FILETI, PARONA e NACCARI Segretario.


Il Segretario legge l'atto verbale dell'adunanza precedente, che viene approvato.

Il Presidente comunica la morte del Socio corrispondente Prof. Carlo RAMMELSBERG avvenuta il 29 dicembre 1899. Il RAMMELSBERG apparteneva alla sezione di Mineralogia e Geologia ed era stato nominato corrispondente il 24 gennaio 1897. Il Presidente ne ricorda i meriti scientifici e chiede al Socio SPEZIA, che fu discepolo del defunto mineralogista, se voglia scriverne una breve commemorazione per gli *Atti*. Il Socio SPEZIA consente volentieri.

Il Socio CAMERANO presenta una sua nota intitolata: *Lo studio quantitativo degli organismi e il coefficiente somatico*. Sarà inserita negli *Atti*.



Poscia la Classe si costituisce in seduta privata e procede all'elezione di un Socio straniero. Riesce eletto il prof. Giorgio Gabriele STOKES dell'Università di Cambridge (Inghilterra), salvo la sovrana approvazione.





---

## LETTURE

---

*Lo studio quantitativo degli organismi  
ed il coefficiente somatico;*

Nota del Socio LORENZO CAMERANO.

---

“ La forme numérique ne doit pas abuser.  
Les chiffres employés dans la méthode sta-  
tistique ne sont qu'une manière de grouper  
des faits, dans le but d'estimer mieux leur  
valeur et les causes qui les ont produits. „

A. DE CANDOLLE, *Hist. des  
sciences*, p. 111 - 1873.

A chi segue l'andamento odierno delle ricerche intorno ai viventi riesce manifesta la tendenza di tentare lo studio delle leggi della variazione coi procedimenti della matematica. Una oramai lunga schiera di naturalisti, particolarmente inglesi ed americani, si occupa con grande lena, diremo coll'espressione inglese, del *quantitative study of organisms* (1). Essi sperano di giungere per tale via alla soluzione di questioni importanti relative alle leggi della variazione, alle cause della variazione, agli effetti della selezione, all'origine della specie, e conseguentemente alla definizione della specie e alla distinzione fra specie e varietà. Si cerca pure di ottenere per tale via nuovi criterii in ordine alle omologie, ai fenomeni ereditari, alle differenze sessuali, ecc.

In una parola, dice il Davenport (op. cit., pag. 39) “ by

---

(1) Una diligente bibliografia relativa a questo argomento si trova nelle opere seguenti: GEORG DUNCKER, *Die Methode der Variationsstatistik* (“ Archiv für Entwicklungsmechanik der Organismen „) di W. Roux, VIII, 1899, p. 167. — C. B. DAVENPORT, *Statistical methods*, p. 40. New York, 1899. — G. DUNCKER, *Wesen und Ergebnisse der variationsstatistischen Methode in der Zoologie* (“ Verhandl. der Deutschen Zoolog. Gesel. neunten Jahresversam. „). Leipzig, 1899, p. 209.



the use of the quantitative method biology will pass from the field of the speculative sciences to that of the exact sciences „.

Questa entusiastica affermazione del Davenport può invero ritenersi per lo meno prematura, come lo dimostrano i lavori seguenti che sono fra i più importanti:

PEARSON, *Contributions to the mathematical theory of Evolution* („ Phil. Trans. „, CLXXXV, p. 71-110 (1894)) — AMANN, *Application du calcul des probabilités à l'étude de la variation d'un type végétal* („ Bull. herb. Boissier „, IV) — THOMPSON, *On certain changes observed in the dimensions of the carapace of Carcinus maenas* („ Proc. R. Soc. London „, IX) — WELDON, *Attempt to measure the death-rate due to the selective destruction of Carcinus maenas with respect to a particular dimension* („ Pr. R. Soc. London „, LVII).

A proposito di questi ed altri consimili lavori, molto opportunamente osserva il Coutagne (1): “ Je crains que les savants anglais qui poursuivent actuellement avec tant de zèle et d'ingéniosité, ce qu'ils appellent eux-mêmes l'étude mathématique de l'évolution, ne se fassent un peu illusion sur l'efficacité de ces recherches si pénibles. Les statistiques mêmes très perfectionnées, c'est-à-dire encore plus compliquées de calculs mathématiques que ne l'était celle du Rapport de Weldon, ne donneront guère de conclusions utilisables, tellement sont nombreuses les causes de variations, dont les statistiques montrent simplement les résultantes, surtout lorsqu'il s'agit des phénomènes anthropologiques. Chaque fois que l'on en vient à la discussion des résultats donnés par le calcul, on s'aperçoit le plus souvent que le fait constaté comporte plusieurs interprétations, toutes aussi admissibles les unes que les autres, bien que parfois contradictoires „.

Lo stesso Coutagne (2), a proposito del lavoro di K. Pearson (*Contributions to the mathematical theory of Evolution*, op. cit.), dice pure giustamente: “ Les développements mathématiques de ce mémoire sont forts intéressants. Mais il y aurait bien des réserves à faire aux raisonnements par lesquels l'auteur essaye

---

(1) “ Année biologique „, 1896, pag. 272. — Confr. per la critica di questi lavori: “ Année biologique „, 1895-1896-1897.

(2) “ Année biologique „, 1895, pag. 502.



de passer des résultats positifs et incontestables fournis par l'analyse mathématique, à des énoncés de faits ou lois biologiques. Il faut simplifier les problèmes biologiques par un si grand nombre d'hypothèses plus ou moins vraisemblables lorsqu'on veut les ramener à des problèmes mathématiquement solubles! Ainsi, savons-nous seulement si la tychopsie est bien réellement la forme *normale* que présentent les synoptiques de tous les caractères chez les groupes très homogènes, c'est-à-dire chez les  *races pures* ? Qu'est-ce, même, qu'une  *race pure* ? Toutes les hypothèses sur lesquelles repose la " théorie mathématique de l'évolution „ devraient être préalablement contrôlées par l'expérience „.

A. Giard nella sua nota intitolata:  *Sur certains cas de doublement des courbes de Galton dus au parasitisme et sur le dimorphisme d'origine parasitaire „*  (" Compt. Rend. Ac. Sc. Paris „, vol. 118, 1894, pag. 870) dice: " Le calcul ne peut que rendre sous une forme différente, souvent plus saisissante, ce qu'on lui a confié, et la statistique ne dispense pas de l'étude analytique des faits enregistrés. C'est ainsi que toute considération arithmétique ou statistique est impuissante à expliquer une particularité singulière déjà signalée par plusieurs auteurs „.

Considerazioni analoghe si possono pure fare intorno al recente  *Studio comparativo tra le forme organiche naturali e le forme geometriche pure*  del prof. Schiaparelli (Milano, Hoepli, 1898) (1).

Da quanto precede dobbiamo forse conchiudere che la nuova via di ricerche particolarmente indicata dai naturalisti inglesi ed americani dev'essere senz'altro considerata come inetta a condurre a qualche utile risultamento? No certamente.

Il pensiero, diremo coll'Emery (2), che le manifestazioni diverse della natura possano essere espresse con equazioni algebriche, e che queste siano casi speciali di formole più generali, si affaccia spontaneamente a chi scorge nell'universo percettibile dei sensi, non soltanto un oggetto di meraviglia, ma un argomento di studio non inaccessibile alla nostra intelligenza.

---

(1) Confr. per la critica di questo lavoro C. EMERY " Rivista di Scienze biologiche „, Anno I, N° 4, 1899. Torino.

(2) Op. cit.



E perciò, attribuire a ciascun organismo la sua equazione specifica, alle cui variazioni corrispondano modificazioni dell'organismo stesso, è un pensiero che, nella sua arditezza, mi piace: esso tende a creare nuovi simboli, sui quali la mente possa lavorare con ragionamenti astratti, che dovrebbero poi, per non rimanere vana speculazione, essere ricondotti a concetti concreti, quindi suscettibili di controllo empirico. „

Io credo che il “ metodo matematico „ applicato allo studio dei viventi possa produrre risultati buoni a condizione che i problemi che si vogliono risolvere con esso siano posti bene e che le conclusioni siano interpretate con prudenza e con esatta cognizione dei fenomeni biologici (1).

Volendo anche ritenere che il metodo matematico non possa, da solo, condurci alla spiegazione dei fenomeni biologici, si può tuttavia ammettere che la sua introduzione nella biologia può produrre un buon effetto sull'andamento degli studi biologici stessi: si può sperare che esso induca gli studiosi a cercare di stabilire con maggiore precisione di quello che non sia stato fatto fino ad ora, i dati relativi alle cosiddette variazioni quantitative dei viventi, precisione che si osserva mancare, anche in lavori recenti, in troppo larga misura.

Lo studio quantitativo degli animali importa anzitutto la constatazione con misure precise dello sviluppo delle varie loro

---

(1) Nell'applicare il cosiddetto metodo matematico e statistico allo studio degli animali uno scoglio è da evitarsi: bisogna cioè badar bene di non cadere nella via seguita dagli antropologi nello studio del cranio dopo le opere del Broca. Contro a questa scuola è sorto oggi assai felicemente il Sergi (*Specie e varietà umane - Saggio di una sistematica antropologia*. Torino, Bòcca, 1900). “ Si è creduto, egli dice (p. 13) che aumentando misure e cifre si possa determinare la forma del cranio: e l'ultima espressione di questo metodo si ha nei lavori di V. Török, il quale ha creduto che migliaia di misure lineari e angolari possano darci le forme razionali del cranio, non pensando che i numeri sono astrazioni, e più si moltiplicano, più allontanano dalla reale percezione dell'oggetto, il quale allora fugge ad ogni determinazione concreta „ ... “ il metodo craniometrico che è una esagerazione d'un principio esatto cioè di esprimere numericamente alcuni rapporti del cranio, come spesso e in altre occasioni ho ripetuto, può servire di sussidio ad un metodo naturale, che non deve essere differente nel principio da quello introdotto nelle altre scienze biologiche per la sistematica, cioè per la botanica e per la zoologia „.



parti. Le misure delle varie parti di un individuo devono essere prese in modo che esse siano l'espressione delle risultanti delle molteplici cause di variazione che hanno agito sull'individuo. Così pure le misure che si dànno come *costanti* (1) di una specie devono essere l'espressione delle risultanti delle cause che hanno agito sull'evoluzione della specie stessa, inducendo in essa una forma determinata.

Forse si può pensare a misure caratteristiche, *costanti*, per i gruppi tassonomici più elevati, generi, famiglie, ecc., ma per ora la questione non è certamente matura.

Nel campo pratico sono da considerarsi anzitutto due punti principali:

1° Il modo di eseguire le misure per ottenere la maggior precisione possibile;

2° Dato un animale di una determinata specie, quali parti devono essere misurate e in quali direzioni.

Io non mi fermerò qui a parlare dei mezzi materiali di misura, essi sono oramai ben noti; dirò soltanto che il regolo graduato, il compasso ordinario ed il compasso di spessore, ben adoperati, ci concedono, nella massima parte dei casi, di ottenere misure dirette coll'approssimazione di almeno  $\frac{1}{4}$  di millimetro. L'uso dei nonii, dell'entomometro (EMERY, " Bull. Soc. Ent. Ital. ", XXII, 1891) o di altri istrumenti analogi potrà darci una approssimazione maggiore, la quale potrà crescere ancora se si tratta di animali sottoponibili alle misure metriche col microscopio.

Neppure mi fermerò a lungo sul secondo punto sopra indicato. Ciascun gruppo di animali che si vuol misurare deve essere studiato preventivamente per poter stabilire quali siano le direzioni per le quali si devono condurre le misure, analogamente a quanto venne fatto, ad esempio, pel corpo umano.

A questo proposito è d'uopo osservare che nei lavori speciografici, anche recenti, si nota spesso una completa mancanza di criterî direttivi sicuri intorno al modo di misurare gli animali. Spesso il descrittore si limita a dare una o due misure

---

(1) La parola costante applicata a caratteri specifici, generici o di altri gruppi tassonomici va intesa nel significato moderno della idea di specie, di genere, ecc., quindi in modo relativo e non assoluto.



per ciascuna specie, prendendole sopra individui scelti fra quelli di mole maggiore, spesso anche nelle descrizioni delle specie dello stesso genere si dànno misure di parti diverse per ciascuna di esse, in guisa che non riesce possibile utilizzare questi dati per nessun studio di comparazione.

Nello stato presente dello studio degli animali è importante, se si vuole fare lavoro utile per un ulteriore progresso della zoologia sistematica e per lo studio quantitativo degli animali:

1° Stabilire per ciascun gruppo di animali un piano uniforme di misure per tutte le specie;

2° Non limitarsi a dare le misure degli individui di mole maggiore, ma è d'uopo aggiungervi anche quelle degli altri gruppi d'individui di ciascuna specie;

3° È necessario accompagnare le misure dei varî gruppi d'individui di una specie con tutte quelle osservazioni e con tutti quei dati (sesso, stadio di sviluppo, età, condizioni di sviluppo, condizione degl'individui rispetto al periodo riproduttivo, ecc., condizioni di *habitat*, presenza o mancanza in essi di determinati parassiti, ecc.) che possono in qualche guisa condurre alla interpretazione delle misure stesse.

Tutto ciò spesso manca nei lavori speciografici e per tale ragione molti lavori faunistici non hanno oramai altro interesse che di aridi inventari.

Una serie invece di lavori faunistici, anche di località ristrette e vicine le une alle altre, fatti coi criteri fondamentali sopradetti e colle norme del moderno *metodo statistico* (Davenport, op. cit.), avrebbe importanza assai grande quale materiale utilizzabile per uno studio comparativo intorno alla variazione degli animali e conseguentemente per lo studio dei limiti specifici, delle varietà, ecc.

Lo studio delle entità, specie, varietà, ecc., deve precedere lo studio matematico della evoluzione nel senso dei lavori del Pearson, dello Schiaparelli, ecc., poichè fino a tanto che non si sia venuti a determinare bene che cosa si debba intendere per gruppo omogeneo d'individui, o, come altri dice, per gruppo d'individui di *razza pura*, non è possibile che le teorie matematiche dell'evoluzione possano essere sottoposte al controllo dell'esperienza.

Giova osservare inoltre che non solo in questo, ma in tutti



i campi di studio della biologia si fa ogni giorno più impellente la necessità di una delimitazione più esatta dei limiti dei gruppi specifici e di varietà: delimitazione che gli studi recenti dietologici hanno reso anche meno facile di prima introducendovi il *criterio biologico*.

Certamente di grande peso è l'asserzione di Cockerell ("Proc. Acad. Nat. Sc. Philadelphia „), che cioè i caratteri distintivi essenziali fra le specie sono fisiologici, mentre i caratteri morfologici non hanno valore diagnostico che in quanto coincidono coi caratteri fisiologici. Certamente un campo vastissimo è aperto al lavoro dei zoologi che non si accontentano di creare frettolosamente specie su specie con un superficiale ed incompleto studio dei caratteri morfologici.

Nei lavori speciografici, alle misure assolute delle varie parti degli animali si fanno seguire frequentemente misure comparative o rapporti fra le parti stesse. Ma anche questo grande materiale di dati numerici (anche volendolo ritenere esatto) riesce oggi pressochè inutilizzabile per la grande disparità dei criterî secondo i quali venne riunito.

Spesso nello stesso lavoro, anzi nelle specie dello stesso genere, sono considerati pei confronti e pei rapporti organi diversi fra le varie specie, per modo che i dati di una specie non si possono paragonare con quelli delle specie vicine. In secondo luogo il confronto delle dimensioni di un organo con un altro, dal quale ne dovrebbe venire qualche dato per lo studio della correlazione di sviluppo dei due organi in una specie, o fra le specie di un dato genere, viene fatto scegliendo spesso a casaccio gli organi stessi. Un autore, ad esempio, nella descrizione di una specie paragona la lunghezza del capo a quella del tronco, nella descrizione di una specie vicina paragona la lunghezza del capo a quella della tibia. Un'escrescenza cornea, ad esempio, uno sperone delle zampe posteriori vien paragonato al diametro massimo dell'occhio o della membrana timpanica.

Le misure, i paragoni di organi ed i rapporti che se ne deducono, se possono in certi casi servire per fare una diagnosi frettolosa di una specie, non possono in alcun modo servire per alcun studio ulteriore di comparazione.

Chi volesse oggi servirsi dell'enorme materiale di descrizione delle specie e delle varietà in ordine allo studio delle



leggi della variabilità rimarrebbe, nella maggior parte dei casi, disilluso per l'incompletezza grande ed anche per la superficialità di osservazione che hanno presieduto alla sua formazione. Anche in questo campo il lavoro è in gran parte da rifarsi con metodi più esatti e con maggior larghezza di vedute.

Nè si tratta di studio breve, nè agevole, poichè la correlazione, nel vero senso della parola, vuole una relazione persistente ed operante in egual misura fra due ordini di fenomeni concomitanti che, nel caso nostro, dànno come risultante il correlativo variare di due o più organi. La causa della correlazione di due o più organi non sta sempre nell'azione che un organo sviluppandosi o riducendosi esercita sugli altri; ma spesso va ricercata fuori di essi. Un lungo lavoro è da farsi per determinare nelle varie specie di animali le *correlazioni propriamente dette* fra i varî organi e le semplici *coincidenze* (*correlazione fortuita* di Pearson, op. cit.).

Lo studio quantitativo degli animali fatto coi criteri moderni può fornire il materiale adatto per le ricerche sopra menzionate.

Nello studio quantitativo di una serie d'individui appartenenti ad un gruppo determinato, noi possiamo limitarci a stabilire, colla massima precisione possibile, delle serie di misure assolute dei varî organi.

Con questi dati il variare correlativo di due o più organi potrà essere facilmente studiato senza ricorrere al sistema del Warren (*Variation in Portunus depurator*, "Pr. R. Soc. London", IX, 1896) di paragonare, ad esempio, le misure di due organi ad una terza e poi paragonare i due rapporti così ottenuti fra loro. Evidentemente i risultati numerici non cambiano, limitandoci, per maggior semplicità di calcolo, ai rapporti delle grandezze assolute degli organi fra loro.

Ma di maggior interesse è lo studiare lo sviluppo dei varî caratteri col variare della mole dell'animale, per l'età, per le condizioni speciali di vita e via scorrendo, non solo negli individui di una specie, ma negli individui delle varie specie di un genere, di una famiglia, ecc.

Per tali ricerche è d'uopo comparare fra loro individui di mole diversa nell'ambito di ciascuna specie ed anche specie di mole spesso notevolmente diversa nella cerchia dello stesso genere. Non essendo in questo caso comparabili le misure assolute,



si suol dire, ad esempio, che il carattere  $a$  negl'individui giovani di una specie è la  $\frac{1}{2}$  del carattere  $b$ , mentre negli individui adulti ne è i  $\frac{2}{3}$ , oppure che nella specie A il carattere  $a$  è eguale a  $\frac{1}{2}$  del carattere  $b$ ; mentre nella specie B lo stesso carattere  $a$  è soltanto eguale ad  $\frac{1}{3}$  del carattere  $b$ , e così di seguito.

Questo metodo molto grossolano, che è quello generalmente seguito, se può servire per una rapida e sommaria diagnosi specifica, non può servire per lo studio preciso, quantitativo degli animali.

Angelo Andres, nel suo recente ed accurato lavoro sui caratteri sessuali secondari della tinca (1), si occupò pure di questa questione.

La difficoltà, egli dice, di esprimere con cifre i rapporti di posizione e di grandezza dei varî organi e delle varie regioni del corpo, si è presentata sempre ai zoologi; e non soltanto per i pesci, sibbene per qualsiasi animale. In generale però essi non l'hanno risolta; tutt'al più si sono limitati a paragonare fra loro le distanze o le grandezze dei varî organi; a notare, per esempio, che una pinna (per attenerci sempre ai pesci) è lunga quanto il capo, che un'altra eguaglia l'altezza massima del corpo, che l'occhio sta a due terzi fra la punta del muso ed il margine opercolare, ecc.; ovvero a prendere come unità di misura un determinato organo, p. es. il diametro dell'occhio, e dire che il capo è lungo dieci diametri, che la narice ne dista uno dalla punta del muso, che l'occhio stesso ne dista due e mezzo, ecc. Procedimenti già usati, del resto, dagli artisti a proposito del corpo umano. — Ma, come è facile riconoscere, sono metodi affatto empirici che non possono dare risultati attendibili; metodi che valgono sino ad un certo grado per una specie ben nota, come è la nostra, o per confrontare grossolanamente specie diverse, ma che non servono affatto quando si tratta di determinare minute e fuggevoli differenze quali sono quelle delle variazioni individuali e sessuali. — È per queste considerazioni che io ideai il metodo dei *millesimi somatici*, che, per quanto mi consta, è nuovo, o per lo meno poco usato „.

“ Le misurazioni, continua l'Andres, vennero fatte in mil-

---

(1) “ Rendiconti R. Istituto Lombardo di lett. „. Serie II, vol. XXX, 1897.



limetri; ma ciò non bastava, perocchè in causa della inevitabile diversità di grandezza degli esemplari esaminati, le cifre ottenute per le singole distanze non erano facilmente paragonabili da una serie all'altra. E ciò non reca meraviglia se si riflette che, in questo caso le distanze misurate non rappresentano quantità concrete ed assolute, sibbene soltanto quantità astratte e relative; vale a dire semplici rapporti fra la parte ed il tutto, fra la grandezza di una singola regione o di un singolo organo e la grandezza dell'intero corpo. Così essendo, fu necessario di trasformare queste cifre concrete del sistema metrico in cifre astratte, esprimenti cotali rapporti. Per ottenere questo, adunque, in luogo di usare come unità di misura il metro con le sue frazioni, presi come unità la lunghezza del corpo dell'animale misurato, ed espressi le singole distanze come frazioni di tale unità. Io ho quindi presupposto che in ogni caso il corpo dell'animale fosse lungo 1000 parti e con millesimi indicai di conseguenza le varie distanze in esso misurate. Con una semplice equazione ( $L : 1000 = l : x$ , essendo  $L$  la lunghezza totale del corpo ed  $l$  una delle distanze parziali) fu facile, benchè assai tedioso e lungo, di ridurre tutte le serie di millimetri concreti in serie di millesimi astratti, o *millesimi somatici*, come li chiamai „.

Il metodo proposto dall'A. dà certamente buoni risultati: ma è assai lungo e faticoso, poichè per ogni misura assoluta è d'uopo calcolare l'equazione  $L : 1000 = l : x$ .

Si può, a mio avviso, rendere più rapido e semplice il metodo proposto nel modo seguente.

Dalla equazione sopradetta si ha:

$$x = \frac{1000 \times l}{L};$$

ora io posso scrivere anche  $x = \frac{1000}{L} l$ .

Il rapporto  $\frac{1000}{L}$  è una quantità costante per ogni individuo, di cui il corpo ha la lunghezza di  $L$ , che moltiplica le misure assolute delle varie parti dell'individuo stesso;  $\frac{1000}{L}$  può essere calcolato una volta per tutte.

La divisione inoltre del corpo che si prende come base es-



sendo arbitraria, si può domandare se non converrebbe scegliere un numero che avesse un numero maggiore di divisori intieri del numero 1000, poichè ciò concederebbe in molti casi una maggior precisione di calcolo, evitando di dover trascurare molte frazioni.

Il numero che meglio soddisfa a questa condizione è, come è noto, 360.

Io propongo di sostituire 360 a 1000, e così, nel caso di Andres, la lunghezza del corpo sarebbe divisa in 360 parti e le misure delle altre parti sarebbero espresse in 360 esimi della lunghezza del corpo.

Ciò stabilito, si può calcolare una volta per tutte il rapporto  $\frac{360}{L}$ , facendo successivamente  $L = 1, L = 2, L = 3$ , ecc., fino a 360, di modo che chiamando  $w$  il rapporto  $\frac{360}{L}$

$$x = \frac{360}{L} l$$

potrà scriversi  $x = w \times l$ , in cui  $w$  è il rapporto della lunghezza del corpo di un dato individuo a 360,  $l$  la lunghezza assoluta di una data parte dell'individuo stesso,  $x$  la lunghezza della parte stessa espressa in 360 esimi della lunghezza del corpo.

$w$  quindi è il coefficiente pel quale è d'uopo moltiplicare le lunghezze assolute delle varie parti di un individuo per rendere le lunghezze stesse comparabili con quelle di altri individui di dimensioni diverse calcolate nello stesso modo.

Non è d'uopo dire che  $L$  ed  $l$  potranno essere espressi colle unità di misura che si crederanno più opportune: in metri, in decimetri, in centimetri, in millimetri, in decimi di millimetri, in centesimi di millimetri, in millesimi di millimetri, ecc., come pure in millimetri quadrati, ecc., in millimetri cubici, ecc.

Nelle tavole qui unite ho calcolato il valore di  $w$  da  $\frac{1}{4}$  di uno fino a 360, procedendo per quarti successivi. Credo che ciò possa essere sufficiente nella pratica; poichè nella maggior parte dei casi  $L$  ed  $l$  potranno essere espressi in millimetri e, per lo più, la precisione delle misure dirette sino ad  $\frac{1}{4}$  di millimetro è la sola possibile.

Nei casi in cui la cosa sia possibile,  $L$  e  $l$  potranno essere espressi in decimi di millimetro e si potranno avere i valori



di  $w$  calcolati a  $\frac{1}{4}$  di decimo di millimetro. La stessa cosa si dica se noi daremo i valori di  $L$  e  $l$  in micromillimetri.

Nei casi speciali di animali a grande mole la precisione ad  $\frac{1}{4}$  di centimetro e talvolta anche ad  $\frac{1}{4}$  di decimetro, sarà la sola praticamente raggiungibile, soprattutto se si tratta di animali in carne.

È inutile evidentemente tener conto in una misura assoluta del  $\frac{1}{4}$  di millimetro se le condizioni nelle quali la misura viene fatta può far credere ad un errore possibile non inferiore ad un millimetro, ecc.

Al coefficiente  $w$  io do il nome, per brevità, di *coefficiente somatico individuale*.

Le ricerche future decideranno se sarà possibile giungere a stabilire un *coefficiente somatico specifico*, un *coefficiente somatico generico*, ecc.

Nel metodo proposto dall'Andres e nel mio sono sempre da stabilirsi per ciascun gruppo di animali i limiti precisi della lunghezza  $L$  dell'animale che s'intende divisa in 360 parti. Essa potrà essere la lunghezza totale dell'animale dall'apice del muso all'estremità posteriore del corpo: potrà essere una lunghezza minore (come, ad esempio, quella presa dall'Andres). Nello stabilire questa lunghezza sono da tenersi presenti due punti principali:

1° È d'uopo stabilire limiti misurabili colla massima precisione possibile, poichè si è con essa che dalle tabelle qui unite si ottiene il valore del *coefficiente somatico*  $w$ ;

2° È d'uopo cercare quella parte che negl'individui di una specie presentasi meno variabile. Così, ad esempio, volendo coi metodi proposti studiare le dimensioni delle varie parti di una lucertola o di una salamandra, sarà bene fare  $L =$  alla lunghezza che va dalla sinfisi della mandibola alla metà della apertura anale, lasciando fuori la coda (parte variabilissima), la quale viene poscia misurata isolatamente come un'altra parte qualsiasi dell'animale. Scelta una determinata parte per ottenere il valore  $L$ , essa dev'essere conservata per tutti gl'individui dei quali si vuole fare uno studio comparativo delle dimensioni dei loro organi.

Ecco un esempio pratico applicato ad alcune misure di 3 individui di mole diversa di *Bufo vulgaris* Laur.



Misure assolute in millimetri.

Lunghezza totale misurata dalla			
sinfisi della mandibola	<i>a</i>	<i>b</i>	<i>c</i>
all'apertura anale = (L)	m. 0,045	m. 0,060	m. 0,120
Lunghezza del capo = ( <i>l</i> )	„ 0,011	„ 0,020	„ 0,042
„ della tibia = ( <i>l'</i> )	„ 0,017	„ 0,022	„ 0,045
Diam. massimo dell'occhio = ( <i>l''</i> )	„ 0,005	„ 0,0055	„ 0,009

Lunghezza totale, ecc., come sopra, per l'individuo *a* essendo di m. 0,045, dalle tavole qui unite si deduce  $\omega = 8$ ; analogamente per l'individuo *b*,  $\omega = 6$ , e per l'individuo *c*,  $\omega = 3$ . Moltiplicando rispettivamente pei tre individui le misure *l*, *l'*, *l''* per 8, per 6 e per 3, si ottengono le misure espresse in 360 esimi somatici.

	<i>a</i>	<i>b</i>	<i>c</i>
Lunghezza del capo	88	120	126
„ della tibia	136	132	135
Diam. massimo dell'occhio	40	33	27

Coll'uso del *coefficiente somatico*, rapidamente ottenibile dalle tavole qui unite, la riduzione delle misure assolute viene ad essere resa facile e operazione non lunga. Io credo che tale modo di presentare le misure delle varie parti degli animali potrà concedere confronti sicuri delle variazioni degli individui d'una specie e delle varie specie fra loro, e potrà servire alla riunione di buoni materiali per lo studio della sistematica e per lo studio quantitativo degli animali.



Lunghezza del corpo	Coefficiente somatico	Lunghezza del corpo	Coefficiente somatico	Lunghezza del corpo	Coefficiente somatico	Lunghezza del corpo	Coefficiente somatico	Lunghezza del corpo	Coefficiente somatico
		<b>11</b>	32,727	<b>22</b>	16,363	<b>33</b>	10,909	<b>44</b>	8,181
0,25	1440	11,25	32	22,25	16,179	33,25	10,827	44,25	8,136
0,50	720	11,50	31,304	22,50	16	33,50	10,746	44,50	8,090
0,75	480	11,75	30,638	22,75	15,824	33,75	10,667	44,75	8,045
<b>1</b>	360	<b>12</b>	30	<b>23</b>	15,652	<b>34</b>	10,588	<b>45</b>	8
1,25	288	12,25	29,388	23,25	15,484	34,25	10,511	45,25	7,956
1,50	240	12,50	28,8	23,50	15,319	34,50	10,435	45,50	7,912
1,75	205,714	12,75	28,235	23,75	15,158	34,75	10,360	45,75	7,869
<b>2</b>	180	<b>13</b>	27,692	<b>24</b>	15	<b>35</b>	10,285	<b>46</b>	7,826
2,25	160	13,25	27,169	24,25	14,845	35,25	10,213	46,25	7,784
2,50	144	13,50	26,667	24,50	14,693	35,50	10,141	46,50	7,742
2,75	130,909	13,75	26,181	24,75	14,545	35,75	10,069	46,75	7,701
<b>3</b>	120	<b>14</b>	25,714	<b>25</b>	14,4	<b>36</b>	10	<b>47</b>	7,660
3,25	110,769	14,25	25,265	25,25	14,257	36,25	9,931	47,25	7,619
3,50	102,857	14,50	24,827	25,50	14,118	36,50	9,863	47,50	7,579
3,75	96	14,75	24,407	25,75	13,981	36,75	9,796	47,75	7,539
<b>4</b>	90	<b>15</b>	24	<b>26</b>	13,846	<b>37</b>	9,729	<b>48</b>	7,5
4,25	84,706	15,25	23,606	26,25	13,714	37,25	9,664	48,25	7,461
4,50	80	15,50	23,226	26,50	13,585	37,50	9,6	48,50	7,423
4,75	75,789	15,75	22,857	26,75	13,457	37,75	9,536	48,75	7,385
<b>5</b>	72	<b>16</b>	22,50	<b>27</b>	13,333	<b>38</b>	9,473	<b>49</b>	7,347
5,25	68,571	16,25	22,153	27,25	13,211	38,25	9,412	49,25	7,310
5,50	65,454	16,50	21,818	27,50	13,091	38,50	9,351	49,50	7,273
5,75	62,609	16,75	21,493	27,75	12,973	38,75	9,290	49,75	7,236
<b>6</b>	60	<b>17</b>	21,176	<b>28</b>	12,857	<b>39</b>	9,231	<b>50</b>	7,2
6,25	57,6	17,25	20,869	28,25	12,744	39,25	9,172	50,25	7,164
6,50	55,385	17,50	20,571	28,50	12,632	39,50	9,114	50,50	7,129
6,75	53,333	17,75	20,281	28,75	12,522	39,75	9,057	50,75	7,094
<b>7</b>	51,428	<b>18</b>	20	<b>29</b>	12,413	<b>40</b>	9	<b>51</b>	7,059
7,25	49,655	18,25	19,726	29,25	12,308	40,25	8,944	51,25	7,028
7,50	48	18,50	19,459	29,50	12,203	40,50	8,889	51,50	6,990
7,75	46,452	18,75	19,2	29,75	12,101	40,75	8,834	51,75	6,956
<b>8</b>	45	<b>19</b>	18,947	<b>30</b>	12	<b>41</b>	8,780	<b>52</b>	6,923
8,25	43,664	19,25	18,701	30,25	11,901	41,25	8,728	52,25	6,890
8,50	42,353	19,50	18,461	30,50	11,803	41,50	8,675	52,50	6,857
8,75	41,143	19,75	18,228	30,75	11,707	41,75	8,623	52,75	6,825
<b>9</b>	40	<b>20</b>	18	<b>31</b>	11,612	<b>42</b>	8,571	<b>53</b>	6,792
9,25	38,918	20,25	17,778	31,25	11,52	42,25	8,521	53,25	6,761
9,50	37,894	20,50	17,561	31,50	11,429	42,50	8,471	53,50	6,729
9,75	36,923	20,75	17,345	31,75	11,339	42,75	8,421	53,75	6,698
<b>10</b>	36	<b>21</b>	17,142	<b>32</b>	11,25	<b>43</b>	8,371	<b>54</b>	6,667
10,25	35,122	21,25	16,941	32,25	11,163	43,25	8,324	54,25	6,636
10,50	34,286	21,50	16,744	32,50	11,077	43,50	8,275	54,50	6,605
10,75	33,488	21,75	16,551	32,75	10,992	43,75	8,229	54,75	6,575



Lunghezza del corpo	Coefficiente somatico	Lunghezza del corpo	Coefficiente somatico	Lunghezza del corpo	Coefficiente somatico	Lunghezza del corpo	Coefficiente somatico	Lunghezza del corpo	Coefficiente somatico
<b>55</b>	6,545	<b>66</b>	5,455	<b>77</b>	4,675	<b>88</b>	4,091	<b>99</b>	3,636
55,25	6,516	66,25	5,434	77,25	4,660	88,25	4,079	99,25	3,627
55,50	6,486	66,50	5,414	77,50	4,645	88,50	4,068	99,50	3,618
55,75	6,457	66,75	5,393	77,75	4,630	88,75	4,056	99,75	3,609
<b>56</b>	6,429	<b>67</b>	5,373	<b>78</b>	4,615	<b>89</b>	4,049	<b>100</b>	3,60
56,25	6,4	67,25	5,355	78,25	4,601	89,25	4,034	100,25	3,591
56,50	6,371	67,50	5,333	78,50	4,586	89,50	4,022	100,50	3,582
56,75	6,344	67,75	5,314	78,75	4,571	89,75	4,011	100,75	3,573
<b>57</b>	6,316	<b>68</b>	5,294	<b>79</b>	4,557	<b>90</b>	4	<b>101</b>	3,564
57,25	6,288	68,25	5,275	79,25	4,543	90,25	3,989	101,25	3,555
57,50	6,261	68,50	5,255	79,50	4,528	90,50	3,978	101,50	3,546
57,75	6,234	68,75	5,236	79,75	4,514	90,75	3,967	101,75	3,538
<b>58</b>	6,207	<b>69</b>	5,217	<b>80</b>	4,5	<b>91</b>	3,956	<b>102</b>	3,529
58,25	6,180	69,25	5,198	80,25	4,486	91,25	3,945	102,25	3,520
58,50	6,154	69,50	5,180	80,50	4,472	91,50	3,934	102,50	3,512
58,75	6,128	69,75	5,161	80,75	4,458	91,75	3,920	102,75	3,503
<b>59</b>	6,102	<b>70</b>	5,143	<b>81</b>	4,444	<b>92</b>	3,913	<b>103</b>	3,495
59,25	6,076	70,25	5,125	81,25	4,431	92,25	3,902	103,25	3,486
59,50	6,050	70,50	5,106	81,50	4,417	92,50	3,892	103,50	3,478
59,75	6,025	70,75	5,088	81,75	4,404	92,75	3,881	103,75	3,469
<b>60</b>	6	<b>71</b>	5,070	<b>82</b>	4,390	<b>93</b>	3,871	<b>104</b>	3,462
60,25	5,975	71,25	5,059	82,25	4,378	93,25	3,861	104,25	3,453
60,50	5,950	71,50	5,035	82,50	4,367	93,50	3,850	104,50	3,444
60,75	5,926	71,75	5,017	82,75	4,350	93,75	3,84	104,75	3,436
<b>61</b>	5,902	<b>72</b>	5	<b>83</b>	4,337	<b>94</b>	3,830	<b>105</b>	3,429
61,25	5,878	72,25	4,983	83,25	4,324	94,25	3,819	105,25	3,420
61,50	5,854	72,50	4,966	83,50	4,311	94,50	3,810	105,50	3,412
61,75	5,830	72,75	4,948	83,75	4,298	94,75	3,804	105,75	3,404
<b>62</b>	5,806	<b>73</b>	4,932	<b>84</b>	4,286	<b>95</b>	3,789	<b>106</b>	3,396
62,25	5,783	73,25	4,915	84,25	4,274	95,25	3,779	106,25	3,388
62,50	5,76	73,50	4,898	84,50	4,260	95,50	3,770	106,50	3,380
62,75	5,737	73,75	4,881	84,75	4,248	95,75	3,760	106,75	3,372
<b>63</b>	5,730	<b>74</b>	4,857	<b>85</b>	4,235	<b>96</b>	3,75	<b>107</b>	3,364
63,25	5,692	74,25	4,848	85,25	4,223	96,25	3,740	107,25	3,356
63,50	5,669	74,50	4,832	85,50	4,211	96,50	3,731	107,50	3,348
63,75	5,647	74,75	4,829	85,75	4,198	96,75	3,721	107,75	3,341
<b>64</b>	5,625	<b>75</b>	4,8	<b>86</b>	4,186	<b>97</b>	3,711	<b>108</b>	3,333
64,25	5,603	75,25	4,784	86,25	4,170	97,25	3,702	108,25	3,325
64,50	5,581	75,50	4,768	86,50	4,162	97,50	3,692	108,50	3,317
64,75	5,560	75,75	4,752	86,75	4,150	97,75	3,683	108,75	3,310
<b>65</b>	5,538	<b>76</b>	4,737	<b>87</b>	4,138	<b>98</b>	3,673	<b>109</b>	3,303
65,25	5,517	76,25	4,721	87,25	4,126	98,25	3,664	109,25	3,295
65,50	5,496	76,50	4,706	87,50	4,114	98,50	3,655	109,50	3,287
65,75	5,475	76,75	4,691	87,75	4,103	98,75	3,645	109,75	3,280



Lunghezza del corpo	Coefficiente somatico	Lunghezza del corpo	Coefficiente somatico	Lunghezza del corpo	Coefficiente somatico	Lunghezza del corpo	Coefficiente somatico	Lunghezza del corpo	Coefficiente somatico
<b>110</b>	3,273	<b>121</b>	2,975	<b>132</b>	2,728	<b>143</b>	2,517	<b>154</b>	2,337
110,25	3,265	121,25	2,969	132,25	2,722	143,25	2,513	154,25	2,334
110,50	3,257	121,50	2,962	132,50	2,717	143,50	2,509	154,50	2,330
110,75	3,250	121,75	2,956	132,75	2,712	143,75	2,504	154,75	2,326
<b>111</b>	3,243	<b>122</b>	2,951	<b>133</b>	2,707	<b>144</b>	2,5	<b>155</b>	2,322
111,25	3,235	122,25	2,944	133,25	2,702	144,25	2,496	155,25	2,319
111,50	3,228	122,50	2,938	133,50	2,696	144,50	2,491	155,50	2,315
111,75	3,221	122,75	2,932	133,75	2,692	144,75	2,487	155,75	2,311
<b>112</b>	3,214	<b>123</b>	2,927	<b>134</b>	2,687	<b>145</b>	2,483	<b>156</b>	2,308
112,25	3,207	123,25	2,920	134,25	2,681	145,25	2,478	156,25	2,304
112,50	3,200	123,50	2,914	134,50	2,677	145,50	2,474	156,50	2,300
112,75	3,192	123,75	2,909	134,75	2,672	145,75	2,470	156,75	2,296
<b>113</b>	3,186	<b>124</b>	2,903	<b>135</b>	2,667	<b>146</b>	2,466	<b>157</b>	2,293
113,25	3,178	124,25	2,897	135,25	2,662	146,25	2,462	157,25	2,289
113,50	3,171	124,50	2,891	135,50	2,657	146,50	2,457	157,50	2,286
113,75	3,164	124,75	2,885	135,75	2,652	146,75	2,453	157,75	2,282
<b>114</b>	3,158	<b>125</b>	2,88	<b>136</b>	2,647	<b>147</b>	2,449	<b>158</b>	2,278
114,25	3,150	125,25	2,874	136,25	2,642	147,25	2,445	158,25	2,275
114,50	3,144	125,50	2,868	136,50	2,637	147,50	2,441	158,50	2,272
114,75	3,137	125,75	2,862	136,75	2,633	147,75	2,437	158,75	2,268
<b>115</b>	3,130	<b>126</b>	2,857	<b>137</b>	2,628	<b>148</b>	2,432	<b>159</b>	2,264
115,25	3,123	126,25	2,851	137,25	2,623	148,25	2,428	159,25	2,261
115,50	3,116	126,50	2,845	137,50	2,618	148,50	2,424	159,50	2,257
115,75	3,110	126,75	2,840	137,75	2,613	148,75	2,420	159,75	2,254
<b>116</b>	3,103	<b>127</b>	2,835	<b>138</b>	2,609	<b>149</b>	2,416	<b>160</b>	2,25
116,25	3,096	127,25	2,829	138,25	2,604	149,25	2,412	160,25	2,246
116,50	3,090	127,50	2,823	138,50	2,599	149,50	2,408	160,50	2,243
116,75	3,083	127,75	2,818	138,75	2,595	149,75	2,404	160,75	2,240
<b>117</b>	3,076	<b>128</b>	2,813	<b>139</b>	2,590	<b>150</b>	2,4	<b>161</b>	2,236
117,25	3,070	128,25	2,807	139,25	2,585	150,25	2,396	161,25	2,232
117,50	3,063	128,50	2,801	139,50	2,581	150,50	2,392	161,50	2,229
117,75	3,057	128,75	2,796	139,75	2,576	150,75	2,388	161,75	2,226
<b>118</b>	3,051	<b>129</b>	2,791	<b>140</b>	2,571	<b>151</b>	2,384	<b>162</b>	2,222
118,25	3,044	129,25	2,785	140,25	2,567	151,25	2,380	162,25	2,219
118,50	3,037	129,50	2,779	140,50	2,562	151,50	2,377	162,50	2,215
118,75	3,031	129,75	2,774	140,75	2,558	151,75	2,372	162,75	2,212
<b>119</b>	3,025	<b>130</b>	2,769	<b>141</b>	2,553	<b>152</b>	2,368	<b>163</b>	2,209
119,25	3,018	130,25	2,764	141,25	2,549	152,25	2,365	163,25	2,205
119,50	3,012	130,50	2,759	141,50	2,544	152,50	2,361	163,50	2,202
119,75	3,006	130,75	2,753	141,75	2,540	152,75	2,357	163,75	2,198
<b>120</b>	3	<b>131</b>	2,748	<b>142</b>	2,535	<b>153</b>	2,353	<b>164</b>	2,195
120,25	2,993	131,25	2,743	142,25	2,531	153,25	2,349	164,25	2,192
120,50	2,987	131,50	2,738	142,50	2,526	153,50	2,345	164,50	2,188
120,75	2,981	131,75	2,732	142,75	2,522	153,75	2,341	164,75	2,185



Lunghezza del corpo	Coefficiente somatico	Lunghezza del corpo	Coefficiente somatico	Lunghezza del corpo	Coefficiente somatico	Lunghezza del corpo	Coefficiente somatico	Lunghezza del corpo	Coefficiente somatico
<b>165</b>	2,182	<b>176</b>	2,045	<b>187</b>	1,925	<b>198</b>	1,818	<b>209</b>	1,722
165,25	2,179	176,25	2,043	187,25	1,923	198,25	1,816	209,25	1,720
165,50	2,175	176,50	2,039	187,50	1,920	198,50	1,813	209,50	1,718
165,75	2,172	176,75	2,037	187,75	1,917	198,75	1,811	209,75	1,716
<b>166</b>	2,169	<b>177</b>	2,034	<b>188</b>	1,915	<b>199</b>	1,809	<b>210</b>	1,714
166,25	2,165	177,25	2,031	188,25	1,912	199,25	1,807	210,25	1,712
166,50	2,162	177,50	2,028	188,50	1,910	199,50	1,805	210,50	1,710
166,75	2,159	177,75	2,025	188,75	1,907	199,75	1,802	210,75	1,708
<b>167</b>	2,156	<b>178</b>	2,022	<b>189</b>	1,905	<b>200</b>	1,8	<b>211</b>	1,706
167,25	2,152	178,25	2,020	189,25	1,902	200,25	1,798	211,25	1,704
167,50	2,149	178,50	2,017	189,50	1,900	200,50	1,796	211,50	1,702
167,75	2,146	178,75	2,014	189,75	1,897	200,75	1,793	211,75	1,700
<b>168</b>	2,143	<b>179</b>	2,011	<b>190</b>	1,895	<b>201</b>	1,791	<b>212</b>	1,698
168,25	2,140	179,25	2,008	190,25	1,892	201,25	1,789	212,25	1,696
168,50	2,136	179,50	2,006	190,50	1,890	201,50	1,787	212,50	1,694
168,75	2,133	179,75	2,003	190,75	1,887	201,75	1,784	212,75	1,692
<b>169</b>	2,130	<b>180</b>	2	<b>191</b>	1,885	<b>202</b>	1,782	<b>213</b>	1,690
169,25	2,127	180,25	1,997	191,25	1,882	202,25	1,780	213,25	1,688
169,50	2,124	180,50	1,994	191,50	1,880	202,50	1,778	213,50	1,686
169,75	2,121	180,75	1,992	191,75	1,877	202,75	1,776	213,75	1,684
<b>170</b>	2,118	<b>181</b>	1,989	<b>192</b>	1,875	<b>203</b>	1,773	<b>214</b>	1,682
170,25	2,115	181,25	1,986	192,25	1,873	203,25	1,771	214,25	1,680
170,50	2,111	181,50	1,983	192,50	1,870	203,50	1,769	214,50	1,678
170,75	2,108	181,75	1,980	192,75	1,867	203,75	1,767	214,75	1,676
<b>171</b>	2,105	<b>182</b>	1,978	<b>193</b>	1,865	<b>204</b>	1,765	<b>215</b>	1,674
171,25	2,102	182,25	1,975	193,25	1,863	204,25	1,763	215,25	1,672
171,50	2,099	182,50	1,973	193,50	1,860	204,50	1,760	215,50	1,671
171,75	2,096	182,75	1,970	193,75	1,858	204,75	1,758	215,75	1,669
<b>172</b>	2,093	<b>183</b>	1,967	<b>194</b>	1,856	<b>205</b>	1,756	<b>216</b>	1,667
172,25	2,090	183,25	1,965	194,25	1,853	205,25	1,754	216,25	1,665
172,50	2,087	183,50	1,962	194,50	1,851	205,50	1,752	216,50	1,663
172,75	2,084	183,75	1,959	194,75	1,849	205,75	1,749	216,75	1,661
<b>173</b>	2,081	<b>184</b>	1,957	<b>195</b>	1,846	<b>206</b>	1,747	<b>217</b>	1,659
173,25	2,078	184,25	1,954	195,25	1,844	206,25	1,745	217,25	1,657
173,50	2,075	184,50	1,951	195,50	1,841	206,50	1,743	217,50	1,655
173,75	2,072	184,75	1,949	195,75	1,839	206,75	1,741	217,75	1,653
<b>174</b>	2,069	<b>185</b>	1,946	<b>196</b>	1,837	<b>207</b>	1,739	<b>218</b>	1,651
174,25	2,066	185,25	1,943	196,25	1,834	207,25	1,737	218,25	1,649
174,50	2,062	185,50	1,941	196,50	1,832	207,50	1,735	218,50	1,648
174,75	2,060	185,75	1,938	196,75	1,830	207,75	1,733	218,75	1,646
<b>175</b>	2,057	<b>186</b>	1,935	<b>197</b>	1,827	<b>208</b>	1,731	<b>219</b>	1,644
175,25	2,054	186,25	1,933	197,25	1,825	208,25	1,729	219,25	1,642
175,50	2,051	186,50	1,930	197,50	1,823	208,50	1,727	219,50	1,640
175,75	2,048	186,75	1,928	197,75	1,820	208,75	1,725	219,75	1,638



Lunghezza del corpo	Coefficiente somatico	Lunghezza del corpo	Coefficiente somatico	Lunghezza del corpo	Coefficiente somatico	Lunghezza del corpo	Coefficiente somatico	Lunghezza del corpo	Coefficiente somatico
<b>220</b>	1,636	<b>231</b>	1,558	<b>242</b>	1,488	<b>253</b>	1,423	<b>264</b>	1,363
220,25	1,635	231,25	1,557	242,25	1,486	253,25	1,422	264,25	1,362
220,50	1,633	231,50	1,555	242,50	1,485	253,50	1,420	264,50	1,361
220,75	1,631	231,75	1,553	242,75	1,483	253,75	1,419	264,75	1,360
<b>221</b>	1,629	<b>232</b>	1,552	<b>243</b>	1,481	<b>254</b>	1,417	<b>265</b>	1,358
221,25	1,627	232,25	1,550	243,25	1,480	254,25	1,416	265,25	1,357
221,50	1,625	232,50	1,548	243,50	1,478	254,50	1,415	265,50	1,356
221,75	1,623	232,75	1,547	243,75	1,477	254,75	1,413	265,75	1,354
<b>222</b>	1,621	<b>233</b>	1,545	<b>244</b>	1,475	<b>255</b>	1,412	<b>266</b>	1,353
222,25	1,620	233,25	1,543	244,25	1,474	255,25	1,410	266,25	1,352
222,50	1,618	233,50	1,542	244,50	1,472	255,50	1,409	266,50	1,351
222,75	1,616	233,75	1,540	244,75	1,471	255,75	1,408	266,75	1,350
<b>223</b>	1,614	<b>234</b>	1,538	<b>245</b>	1,469	<b>256</b>	1,406	<b>267</b>	1,348
223,25	1,613	234,25	1,537	245,25	1,468	256,25	1,405	267,25	1,347
223,50	1,611	234,50	1,535	245,50	1,466	256,50	1,404	267,50	1,346
223,75	1,609	234,75	1,534	245,75	1,465	256,75	1,402	267,75	1,345
<b>224</b>	1,607	<b>235</b>	1,532	<b>246</b>	1,463	<b>257</b>	1,401	<b>268</b>	1,343
224,25	1,605	235,25	1,530	246,25	1,462	257,25	1,399	268,25	1,342
224,50	1,604	235,50	1,529	246,50	1,460	257,50	1,398	268,50	1,341
224,75	1,602	235,75	1,527	246,75	1,459	257,75	1,397	268,75	1,340
<b>225</b>	1,6	<b>236</b>	1,525	<b>247</b>	1,457	<b>258</b>	1,395	<b>269</b>	1,338
225,25	1,598	236,25	1,524	247,25	1,456	258,25	1,394	269,25	1,337
225,50	1,596	236,50	1,522	247,50	1,455	258,50	1,393	269,50	1,336
225,75	1,595	236,75	1,520	247,75	1,453	258,75	1,391	269,75	1,335
<b>226</b>	1,594	<b>237</b>	1,519	<b>248</b>	1,452	<b>259</b>	1,390	<b>270</b>	1,333
226,25	1,591	237,25	1,517	248,25	1,450	259,25	1,388	270,25	1,332
226,50	1,589	237,50	1,516	248,50	1,449	259,50	1,387	270,50	1,331
226,75	1,588	237,75	1,514	248,75	1,447	259,75	1,386	270,75	1,330
<b>227</b>	1,586	<b>238</b>	1,513	<b>249</b>	1,446	<b>260</b>	1,385	<b>271</b>	1,328
227,25	1,584	238,25	1,511	249,25	1,444	260,25	1,383	271,25	1,327
227,50	1,582	238,50	1,509	249,50	1,443	260,50	1,382	271,50	1,326
227,75	1,581	238,75	1,508	249,75	1,441	260,75	1,381	271,75	1,325
<b>228</b>	1,579	<b>239</b>	1,506	<b>250</b>	1,440	<b>261</b>	1,379	<b>272</b>	1,324
228,25	1,577	239,25	1,505	250,25	1,439	261,25	1,378	272,25	1,322
228,50	1,575	239,50	1,503	250,50	1,437	261,50	1,377	272,50	1,321
228,75	1,574	239,75	1,502	250,75	1,436	261,75	1,375	272,75	1,320
<b>229</b>	1,572	<b>240</b>	1,5	<b>251</b>	1,434	<b>262</b>	1,374	<b>273</b>	1,319
229,25	1,570	240,25	1,498	251,25	1,433	262,25	1,373	273,25	1,318
229,50	1,569	240,50	1,497	251,50	1,431	262,50	1,371	273,50	1,317
229,75	1,567	240,75	1,495	251,75	1,430	262,75	1,370	273,75	1,315
<b>230</b>	1,565	<b>241</b>	1,494	<b>252</b>	1,429	<b>263</b>	1,369	<b>274</b>	1,314
230,25	1,564	241,25	1,492	252,25	1,427	263,25	1,368	274,25	1,313
230,50	1,562	241,50	1,491	252,50	1,426	263,50	1,366	274,50	1,311
230,75	1,560	241,75	1,489	252,75	1,424	263,75	1,365	274,75	1,310



Lunghezza del corpo	Coefficiente somatico	Lunghezza del corpo	Coefficiente somatico	Lunghezza del corpo	Coefficiente somatico	Lunghezza del corpo	Coefficiente somatico	Lunghezza del corpo	Coefficiente somatico
<b>275</b>	1,309	<b>286</b>	1,259	<b>297</b>	1,212	<b>308</b>	1,1688	<b>319</b>	1,1285
275,25	1,308	286,25	1,258	297,25	1,211	308,25	1,1679	319,25	1,1276
275,50	1,307	286,50	1,257	297,50	1,210	308,50	1,1669	319,50	1,1268
275,75	1,306	286,75	1,255	297,75	1,209	308,75	1,1659	319,75	1,1259
<b>276</b>	1,304	<b>287</b>	1,254	<b>298</b>	1,208	<b>309</b>	1,1650	<b>320</b>	1,1250
276,25	1,303	287,25	1,253	298,25	1,207	309,25	1,1641	320,25	1,1241
276,50	1,302	287,50	1,252	298,50	1,206	309,50	1,1632	320,50	1,1232
276,75	1,301	287,75	1,251	298,75	1,205	309,75	1,1622	320,75	1,1224
<b>277</b>	1,300	<b>288</b>	1,25	<b>299</b>	1,204	<b>310</b>	1,1613	<b>321</b>	1,1215
277,25	1,298	288,25	1,249	299,25	1,203	310,25	1,1604	321,25	1,1206
277,50	1,297	288,50	1,248	299,50	1,202	310,50	1,1594	321,50	1,1198
277,75	1,296	288,75	1,247	299,75	1,201	310,75	1,1584	321,75	1,1189
<b>278</b>	1,295	<b>289</b>	1,246	<b>300</b>	1,2	<b>311</b>	1,1575	<b>322</b>	1,1178
278,25	1,293	289,25	1,245	300,25	1,199	311,25	1,1566	322,25	1,1171
278,50	1,292	289,50	1,244	300,50	1,198	311,50	1,1557	322,50	1,1162
278,75	1,291	289,75	1,242	300,75	1,197	311,75	1,1548	322,75	1,1154
<b>279</b>	1,290	<b>290</b>	1,241	<b>301</b>	1,196	<b>312</b>	1,1538	<b>323</b>	1,1142
279,25	1,289	290,25	1,240	301,25	1,195	312,25	1,1529	323,25	1,1137
279,50	1,288	290,50	1,239	301,50	1,194	312,50	1,1520	323,50	1,1128
279,75	1,287	290,75	1,238	301,75	1,193	312,75	1,1510	323,75	1,1119
<b>280</b>	1,286	<b>291</b>	1,237	<b>302</b>	1,192	<b>313</b>	1,1504	<b>324</b>	1,1111
280,25	1,285	291,25	1,236	302,25	1,191	313,25	1,1492	324,25	1,1103
280,50	1,283	291,50	1,235	302,50	1,190	313,50	1,1483	324,50	1,1094
280,75	1,282	291,75	1,234	302,75	1,189	313,75	1,1474	324,75	1,1085
<b>281</b>	1,281	<b>292</b>	1,233	<b>303</b>	1,188	<b>314</b>	1,1465	<b>325</b>	1,1077
281,25	1,280	292,25	1,232	303,25	1,187	314,25	1,1455	325,25	1,1068
281,50	1,279	292,50	1,231	303,50	1,186	314,50	1,1447	325,50	1,1059
281,75	1,278	292,75	1,230	303,75	1,185	314,75	1,1438	325,75	1,1051
<b>282</b>	1,277	<b>293</b>	1,229	<b>304</b>	1,184	<b>315</b>	1,1429	<b>326</b>	1,1043
282,25	1,375	293,25	1,228	304,25	1,183	315,25	1,1419	326,25	1,1034
282,50	1,274	293,50	1,227	304,50	1,182	315,50	1,1410	326,50	1,1023
282,75	1,273	293,75	1,226	304,75	1,181	315,75	1,1401	326,75	1,1018
<b>283</b>	1,272	<b>294</b>	1,224	<b>305</b>	1,180	<b>316</b>	1,1392	<b>327</b>	1,1009
283,25	1,271	294,25	1,223	305,25	1,179	316,25	1,1383	327,25	1,1000
283,50	1,270	294,50	1,222	305,50	1,178	316,50	1,1374	327,50	1,0992
283,75	1,269	294,75	1,221	305,75	1,177	316,75	1,1365	327,75	1,0984
<b>284</b>	1,268	<b>295</b>	1,220	<b>306</b>	1,176	<b>317</b>	1,1357	<b>328</b>	1,0981
284,25	1,266	295,25	1,219	306,25	1,1755	317,25	1,1348	328,25	1,0967
284,50	1,265	295,50	1,218	306,50	1,1745	317,50	1,1339	328,50	1,0959
284,75	1,264	295,75	1,217	306,75	1,1735	317,75	1,1329	328,75	1,0951
<b>285</b>	1,263	<b>296</b>	1,216	<b>307</b>	1,1725	<b>318</b>	1,1320	<b>329</b>	1,0942
285,25	1,262	296,25	1,215	307,25	1,1717	318,25	1,1312	329,25	1,0934
285,50	1,261	296,50	1,214	307,50	1,1707	318,50	1,1303	329,50	1,0925
285,75	1,260	296,75	1,213	307,75	1,1697	318,75	1,1294	329,75	1,0917



Lunghezza del corpo	Coefficiente somatico	Lunghezza del corpo	Coefficiente somatico	Lunghezza del corpo	Coefficiente somatico	Lunghezza del corpo	Coefficiente somatico	Lunghezza del corpo	Coefficiente somatico
<b>330</b>	1,0909	<b>336</b>	1,0714	<b>342</b>	1,0526	<b>348</b>	1,0345	<b>354</b>	1,0169
330,25	1,0900	336,25	1,0706	342,25	1,0518	348,25	1,0337	354,25	1,0163
330,50	1,0892	336,50	1,0698	342,50	1,0511	348,50	1,0329	354,50	1,0152
330,75	1,0884	336,75	1,0690	342,75	1,0503	348,75	1,0323	354,75	1,0148
<b>331</b>	1,0876	<b>337</b>	1,0682	<b>343</b>	1,0496	<b>349</b>	1,0315	<b>355</b>	1,0141
331,25	1,0868	337,25	1,0675	343,25	1,0485	349,25	1,0308	355,25	1,0134
331,50	1,0859	337,50	1,0666	343,50	1,0480	349,50	1,0300	355,50	1,0127
331,75	1,0851	337,75	1,0659	343,75	1,0472	349,75	1,0293	355,75	1,0119
<b>332</b>	1,0843	<b>338</b>	1,0651	<b>344</b>	1,0466	<b>350</b>	1,0286	<b>356</b>	1,0112
332,25	1,0835	338,25	1,0643	344,25	1,0458	350,25	1,0278	356,25	1,0105
332,50	1,0827	338,50	1,0635	344,50	1,0449	350,50	1,0271	356,50	1,0098
332,75	1,0818	338,75	1,0627	344,75	1,0443	350,75	1,0264	356,75	1,0091
<b>333</b>	1,0811	<b>339</b>	1,0619	<b>345</b>	1,0435	<b>351</b>	1,0256	<b>357</b>	1,0084
333,25	1,0802	339,25	1,0612	345,25	1,0427	351,25	1,0249	357,25	1,0077
333,50	1,0795	339,50	1,0604	345,50	1,0419	351,50	1,0242	357,50	1,0067
333,75	1,0786	339,75	1,0596	345,75	1,0412	351,75	1,0234	357,75	1,0063
<b>334</b>	1,0778	<b>340</b>	1,0585	<b>346</b>	1,0405	<b>352</b>	1,0227	<b>358</b>	1,0056
334,25	1,0770	340,25	1,0580	346,25	1,0397	352,25	1,0220	358,25	1,0049
334,50	1,0765	340,50	1,0573	346,50	1,0389	352,50	1,0213	358,50	1,0042
334,75	1,0754	340,75	1,0565	346,75	1,0382	352,75	1,0205	358,75	1,0035
<b>335</b>	1,0746	<b>341</b>	1,0557	<b>347</b>	1,0371	<b>353</b>	1,0198	<b>359</b>	1,0028
335,25	1,0738	341,25	1,0549	347,25	1,0367	353,25	1,0193	359,25	1,0021
335,50	1,0731	341,50	1,0542	347,50	1,0359	353,50	1,0184	359,50	1,0013
335,75	1,0722	341,75	1,0534	347,75	1,0352	353,75	1,0177	359,75	1,0007
								<b>360</b>	1

L'Accademico Segretario

ANDREA NACCARI.



---

---

CLASSE  
DI  
SCIENZE FISICHE, MATEMATICHE E NATURALI

---

Adunanza del 28 Gennaio 1900.

PRESIDENZA DEL SOCIO PROF. ALFONSO COSSA  
VICE-PRESIDENTE DELL'ACCADEMIA

---

Sono presenti i Soci: BIZZOZERO, Direttore della Classe, SALVADORI, D'OVIDIO, MOSSO, SPEZIA, CAMERANO, SEGRE, PEANO, JADANZA, GUARESCHI, GUIDI, FILETI, PARONA e NACCARI Segretario.

Il Segretario legge l'atto verbale della precedente adunanza, che viene approvato.

Il Segretario comunica una lettera d'invito al XIII Congresso della Società di Medicina da tenersi in Parigi nel prossimo agosto. I Soci BIZZOZERO e MOSSO, pregati dal Presidente accettano l'incarico di rappresentarvi l'Accademia.

Il Socio SALVADORI presenta a nome dell'autore Victor FATIO Socio corrispondente, il secondo volume dell'opera intitolata: *Faune des vertébrés de la Suisse*.

Il Segretario presenta a nome del Socio PEANO il sesto volume della *Revue de Mathématique* da lui diretta. Il Presidente ringrazia il Socio PEANO.

Il Segretario presenta un opuscolo inviato dal Socio corri-



spondente HELMERT e alcune pubblicazioni del Socio corrispondente PENZIG.

Il Socio GUIDI presenta una sua nota intitolata: *Esperienze sull'elasticità e resistenza a tensione del rame*. Sarà inserita negli *Atti*.

Il Segretario presenta a nome del Socio VOLTERRA indisposto, una seconda nota del Prof. Domenico DE FRANCESCO: *Sul moto spontaneo di un corpo rigido in uno spazio di curvatura costante*. Presenta inoltre le *Osservazioni meteorologiche fatte nel 1899 all'Osservatorio astronomico di Torino e calcolate* dal Dott. Luigi CARNERA.

Anche queste due note saranno inserite negli *Atti*.

La Classe poscia si costituisce in seduta privata e procede alla elezione di Soci corrispondenti. Vengono nominati:

nella Sezione di Chimica generale ed applicata:

Ugo SCHIFF, Prof. nell'Istituto di Studi superiori pratici e di perfezionamento in Firenze,

Enrico MOISSAN dell'Istituto di Francia,

Giovanni WISLICENUS, Prof. nell'Università di Lipsia;

nella Sezione di Mineralogia, Geologia e Paleontologia:

Torquato TARAMELLI, Professore nell'Università di Pavia,

Teodoro LIEBISCH, Professore nell'Università di Gottinga;

nella Sezione di Zoologia, Anatomia e Fisiologia comparata:

Carlo Sedgwick MINOT, Prof. nell' " Harvard Medical School „ in Boston S. U. A.,

Giorgio Alberto BOULENGER, Assistente al " British Museum of natural History „ di Londra.

---



---

## LETTURE

---

### *Esperienze sull'elasticità e resistenza a tensione del rame;*

Nota del Socio CAMILLO GUIDI.

---

Scopo della presente Nota è di riferire sopra alcune esperienze sull'elasticità e resistenza a tensione di barrette di rame ricavate da lamiera per focolai di locomotive. Le esperienze furono richieste dalle Officine Ferroviarie P.<sup>li</sup> di Torino in due epoche diverse e vennero eseguite nel Laboratorio sperimentale per i materiali da costruzione, annesso alla R. Scuola d'Applicazione per gl'Ingegneri di Torino nel gennaio '98 e nel dicembre dello stesso anno.

Le provette sono 16 in tutto, distinte in due serie: la prima risulta di 8 provette ricavate da lamiera nuove destinate a focolai di locomotive; le rimanenti 8 provette, costituenti la seconda serie, furono tolte da lamiera di focolai di locomotive già in servizio.

La Tabella I riassume tutti i risultati ottenuti; le altre tre tabelle sono riportate a titolo d'esempio, e si riferiscono alle deformazioni osservate per mezzo dello *Spiegelapparat* di *Bauschinger* (1) allo scopo di determinare le costanti di elasticità. Come risulta da queste ultime tabelle, tali deformazioni vennero valutate a partire da un certo sforzo iniziale, indispensabile per tenere saldamente in posto la provetta e l'annesso apparecchio.

Nell'unita Tavola sono raccolti i diagrammi di deformazione della prova a rottura, opportunamente ridotti da quelli originali automaticamente disegnati dalla macchina (2); cinque

---

(1) Cfr. C. GUIDI, *Notizie sul Laboratorio ecc.*, Roma, Centenari, 1895.

(2) Cfr. C. GUIDI, *Di un nuovo apparecchio autoregistratore per le prove a tensione*, "Atti della R. Acc. delle Scienze di Torino", 1898.



sono relativi alla prima serie di provette, gli altri si riferiscono alla seconda. In questi diagrammi furono anche rappresentate le leggi, secondo cui le deformazioni valutate con lo *Spiegelapparat* variano cogli sforzi, riportando tali deformazioni come ascisse nella scala 500 : 1. In questa rappresentazione si ammise che la deformazione dallo sforzo zero allo sforzo di partenza per le misurazioni con lo *Spiegelapparat*, fosse eguale a quella successiva per un uguale incremento di sforzo.

Come vedesi dalla Tabella I, oltre alla determinazione della resistenza massima, del carico di rottura, dell'allungamento  $\%$ , della contrazione  $\%$  e del lavoro di deformazione p. cm.<sup>3</sup> dedotto dal diagramma di deformazione, venne anche fatta la ricerca del carico limite di elasticità, del carico di snervamento e del modulo di elasticità normale, o coefficiente di *Young*; sebbene queste tre ultime quantità per il rame, come è noto, non sempre possano essere nettamente determinate. Ed invero una barretta di rame, la quale non sia stata preventivamente sottoposta ad alcuna sollecitazione, quando venga sperimentata a tensione non si deforma, a rigore, secondo la legge di *Hooke*, cioè gli allungamenti non crescono proporzionalmente agli sforzi, neppure per sforzi di piccola entità, ma bensì in una ragione maggiore; ciò apparisce chiaramente dalla Tabella III, nella quale si vede che le differenze prime fra gli allungamenti corrispondenti ai diversi sforzi, crescenti in progressione aritmetica, non rimangono costanti, neppure per sforzi di piccola entità, ma sono gradatamente crescenti. Lo stesso fatto si rileva dai diagrammi VII 1<sup>a</sup> ed VIII 1<sup>a</sup>, relativi alla settima ed alla ottava provetta della prima serie. Invece le barrette della seconda serie, tolte da locomotive che avevano già fatto servizio, e che per conseguenza ebbero già a sopportare sforzi, presentarono abbastanza nettamente un periodo di proporzionalità, come risulta dalla tabella IV e dai diagrammi relativi a questa seconda serie di provette. Nei diagrammi venne indicato con un circoletto il punto che più o meno approssimativamente può assumersi come limite di elasticità.

Anche il punto di snervamento (*Streckgrenze* o *Fliessgrenze*), come apparisce dai diagrammi stessi, non è per il rame esattamente determinabile, a differenza di quanto si verifica generalmente per i materiali ferrosi.



È noto inoltre come il periodo di proporzionalità resti influenzato dall'entità e dalla ripetizione degli sforzi cui viene cimentata la barretta (1). Abbiamo verificato questo fatto per le provette II e III, e più ancora per la provetta I della 1<sup>a</sup> serie. Le provette II e III vennero cimentate, prima di procedere alla misurazione degli allungamenti collo *Spiegelapparat*, al considerevole sforzo di 4<sup>t</sup>, e per esse il limite di elasticità rimase innalzato fin verso questo sforzo, pari a  $\frac{4000}{4,77} = 839 \text{ Kg/cm}^2$  per la II, ed a  $\frac{4000}{4,59} = 870 \text{ Kg/cm}^2$  per la III; valori all'incirca doppî di quelli riscontrati per le altre provette. Per la provetta I poi si fece una prima misurazione dopo 4 sollecitazioni, una seconda dopo 6, una terza dopo 26, una quarta dopo 32, ed una quinta dopo 42 sollecitazioni. Sono rimarchevoli i risultati specialmente della prima e della terza misurazione, che vennero riportati nella tabella II. Ambedue queste misurazioni dimostrano l'esistenza di un periodo di proporzionalità ben definito; ma si noti che mentre nella prima misurazione il limite di proporzionalità si trovò già innalzato a 3<sup>t</sup> di sforzo totale, pari a  $\frac{3000}{4,73} = 635 \text{ Kg/cm}^2$ , nella terza misurazione questo raggiunse lo sforzo totale di 5<sup>t</sup> pari a  $\frac{5000}{4,73} = 1057 \text{ Kg/cm}^2$ . Nel diagramma relativo a questa provetta vennero disegnate le linee corrispondenti alle due suddette misurazioni.

Questi fatti, del prodursi una legge di proporzionalità, del modificarsi della medesima e dell'elevarsi il limite di proporzionalità in seguito a ripetute sollecitazioni di sempre crescente intensità, indussero l'illustre professore e sperimentatore *Bach* ad inaugurare un nuovo metodo di condurre l'esperienza, secondo il quale lo sforzo si fa crescere per gradi, e si registrano per ciascuna entità di sforzo la deformazione totale, la deformazione elastica e la deformazione permanente soltanto dopo aver ripetuto tale sforzo tante volte finchè le dette deformazioni non subiscano più variazione (2).

Pur ritenendo indiscutibile l'importanza scientifica di tale

(1) Cfr. C. BACH, *Elasticität u. Festigkeit*, Berlin, 1898.

(2) Cfr. C. BACH, l. c.



metodo per lo studio delle proprietà elastiche di un materiale, dubito tuttavia che esso possa convenientemente introdursi nella pratica per l'accettazione dei materiali da costruzione, in primo luogo perchè non sempre, anzi raramente, questo modo di cimentare il materiale ha riscontro nelle sollecitazioni cui effettivamente esso andrà esposto nell'uso. Nella massima parte dei casi, specialmente per i materiali che vengono impiegati nelle costruzioni, l'alternativa nelle sollecitazioni, seppure ha luogo, avviene a larghi intervalli di tempo e sotto moderati sforzi; in tali casi hanno, a mio parere, maggiore interesse le proprietà elastiche, per così dire, naturali, e non quelle artificialmente prodotte con sollecitazioni frequentemente ripetute. Se ne ha una prova anche nelle esperienze di cui qui si tratta: le lamiere dei focolai che fecero già servizio, con tutto che fossero state più volte esposte a sollecitazione, in seguito alla pressione in caldaia, hanno raggiunto un limite di elasticità che è *inferiore alla metà* di quello che si può raggiungere artificialmente sperimentando col metodo di *Bach*. In secondo luogo tale metodo incontrerebbe una difficoltà d'indole pratica, e cioè che, per molti materiali, esso richiede un tempo enorme, non proporzionato allo scopo che si vuol raggiungere.

Chiuderemo questa breve Nota coll'osservare come le proprietà di resistenza delle lamiere dei focolai che fecero già servizio, non siano notevolmente diverse da quelle delle lamiere nuove.

Torino, gennaio 1900.

---





TABELLA I.

N. della provetta	LARGHEZZA e SPESSORE della provetta cm.	Sezione cm <sup>2</sup>	Carico limite di elasticità per cm <sup>2</sup> t.	Carico di snervamento per cm <sup>2</sup> t.	RESISTENZA massima		Carico totale di rottura t.	Allungamento % dopo la rottura misurato su 20 cm.	Contrazione % tcm.	Lavoro di deformazione per cm <sup>3</sup> tcm.	Modulo di elasticità t/cm <sup>2</sup>	OSSERVAZIONI
1 <sup>a</sup> Serie I II III IV V VI VII VIII	3,01 X 1,57	4,73	—	—	10,80	t.	9,20	42	59	0,86	1379	
	3,02 X 1,58	4,77	—	1,05	10,92	t.	—	41	55	—	1241	
	3,02 X 1,52	4,59	—	1,20	10,20	t.	—	42	40	—	1250	
	3,01 X 1,50	4,51	0,44	1,00	10,20	t.	—	43	47	0,86	1323	
	3,05 X 1,56	4,76	0,42	1,05	10,60	t.	—	42	47	—	1274	
	3,00 X 1,53	4,59	0,44	1,10	10,20	t.	8,20	42	53	0,82	1346	
	3,03 X 1,39	4,21	0,47	0,83	9,20	t.	7,80	47	54	0,91	1130	
	3,05 X 1,40	4,27	—	0,82	9,40	t.	—	40	51	0,78	1070	
Medie			0,44	1,01				42	51	0,85	1252	
2 <sup>a</sup> Serie I II III IV V VI VII VIII	3,06 X 1,03	3,15	0,48	0,95	6,97	t.	6,15	40	43	0,79	1312	alla laminazione
	3,08 X 1,06	3,26	0,46	0,92	7,15	t.	6,30	39	53	0,76	1190	"
	2,10 X 1,27	2,67	0,47	0,94	5,70	t.	—	41	50	0,78	1232	"
	2,12 X 1,25	2,65	0,38	0,94	5,82	t.	5,12	43	55	0,85	1220	"
	Medie		0,45	0,94				41	50	0,79	1238	
	3,08 X 1,04	3,20	0,47	0,94	6,90	t.	—	37	35	0,70	1310	I alla laminazione
	3,09 X 1,07	3,31	0,45	0,98	7,15	t.	—	36	41	0,69	1141	"
	2,10 X 1,25	2,62	0,48	0,95	5,60	t.	—	36	40	0,69	1252	"
Medie			0,48	0,96	5,80	t.	5,20	38	51	0,75	1356	"
			0,47	0,96				37	42	0,71	1265	



## TABELLA II.

Dopo 4 sollecitazioni			Dopo 26 sollecitazioni		
Carico totale	Dilatazione totale su cm. 15,00	Differenze	Carico totale	Dilatazione totale su cm. 15,00	Differenze
t.	$\frac{1}{10000}$ mm.		t.	$\frac{1}{10000}$ mm.	
0,50	0	112			
1,00	112	117	1,00	0	
1,50	229	112			260
2,00	341	117	2,00	260	
2,50	458	117			260
<u>3,00</u>	575	132	3,00	520	
3,50	707	142			267
4,00	849		4,00	787	
			<u>5,00</u>	1052	265



Provetta VII della 1ª serie.

CARICO totale	SPECCHIO ANTERIORE		SPECCHIO POSTERIORE		DILATAZIONE totale $\frac{1}{10000}$ mm.	DIFFERENZE	OSSERVAZIONI
	SCALA POSTERIORE		SCALA ANTERIORE				
	Lettura $\frac{1}{500}$ cm.	Spostamento $\frac{1}{500}$ cm.	Lettura $\frac{1}{500}$ cm.	Spostamento $\frac{1}{500}$ cm.			
t.							
0,50	20,50	0	19,50	0	0	142	Dimens. sez. trasvers. cm. $3,03 \times 1,39$ .
1,00	21,29	0,79	18,87	0,63	142	157	Distanza fra i coltelli = cm. 15,00.
1,50	22,29	1,79	18,30	1,20	299	173	Distanza delle scale dagli specchi = cm. 160.
2,00	23,32	2,82	17,60	1,90	472	209	Ingrandimento = 1000.
2,50	24,47	3,97	16,66	2,84	681	299	Sezione trasversale del saggio = cm. <sup>2</sup> 4,21.
3,00	26,20	5,70	15,40	4,10	980		Limite di elasticità (?) $\frac{2,00}{4,21} = 0,47^t/cm^2$ .
3,50							Punto di snerv. (Streckgrenze) = $\frac{3,50}{4,21} = 0,83^t/cm^2$ .
							Modulo di elastic. E = $\frac{1,50}{4,21} \frac{1500000}{472} = 1130^t/cm^2$ .

Le immagini delle scale si spostano continuamente.

Le immagini delle scale si spostano continuamente.

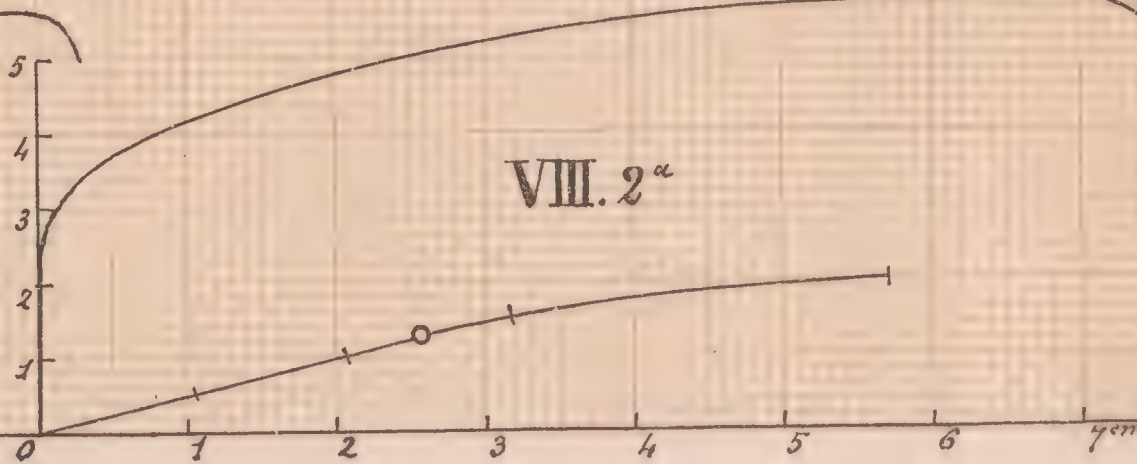
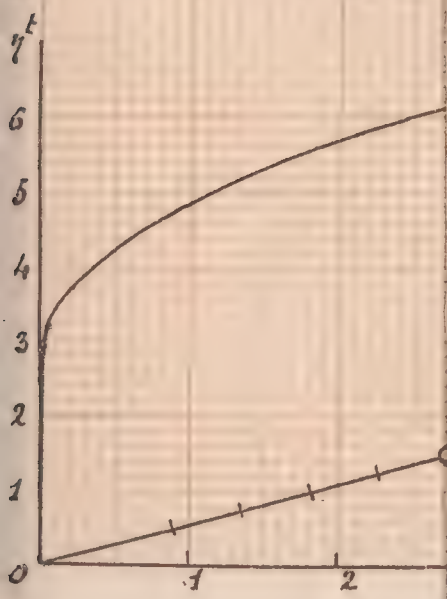
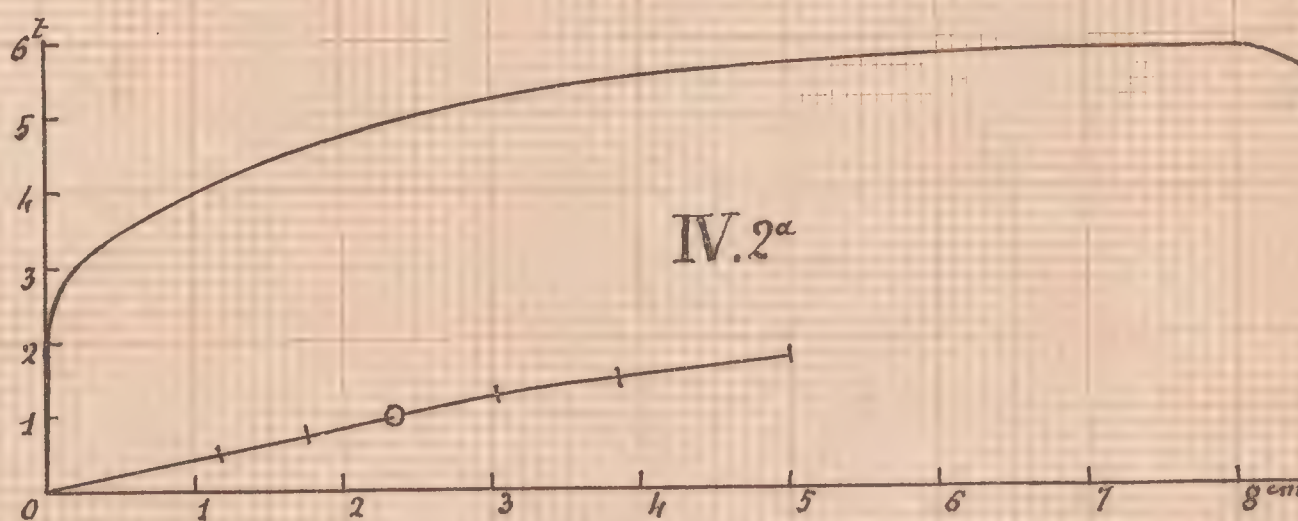
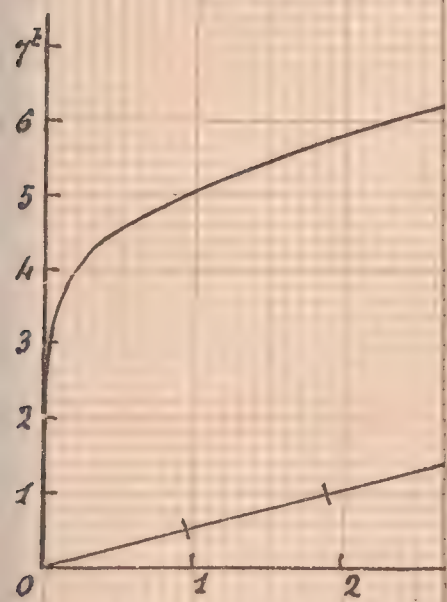
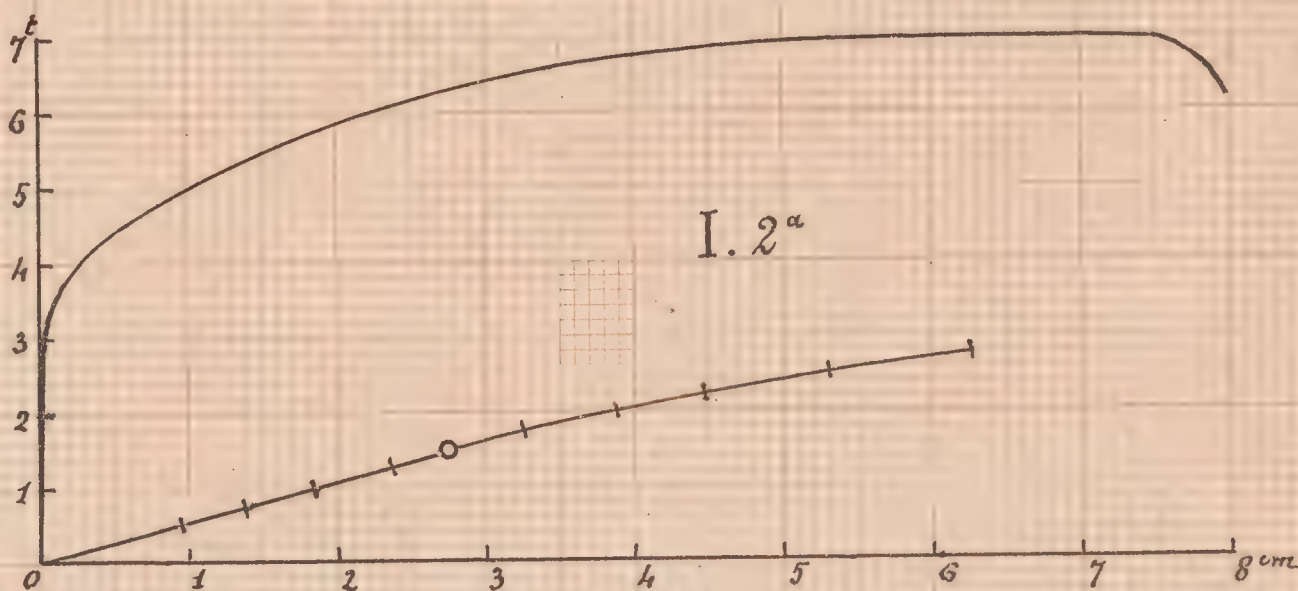
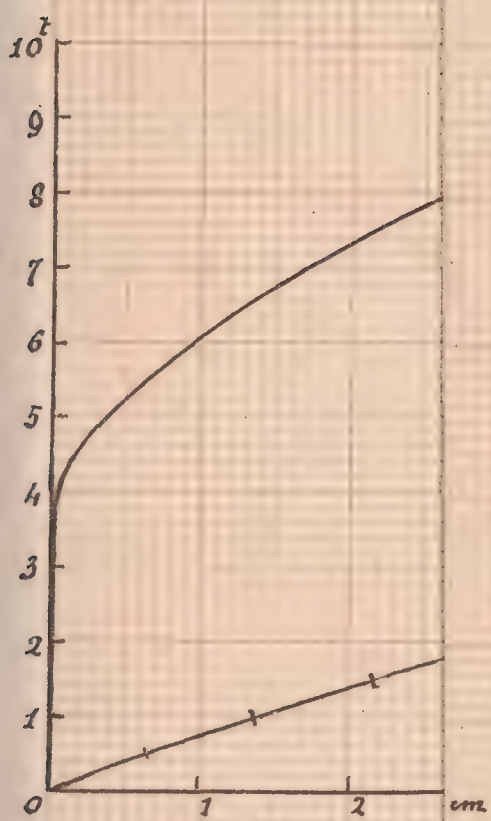
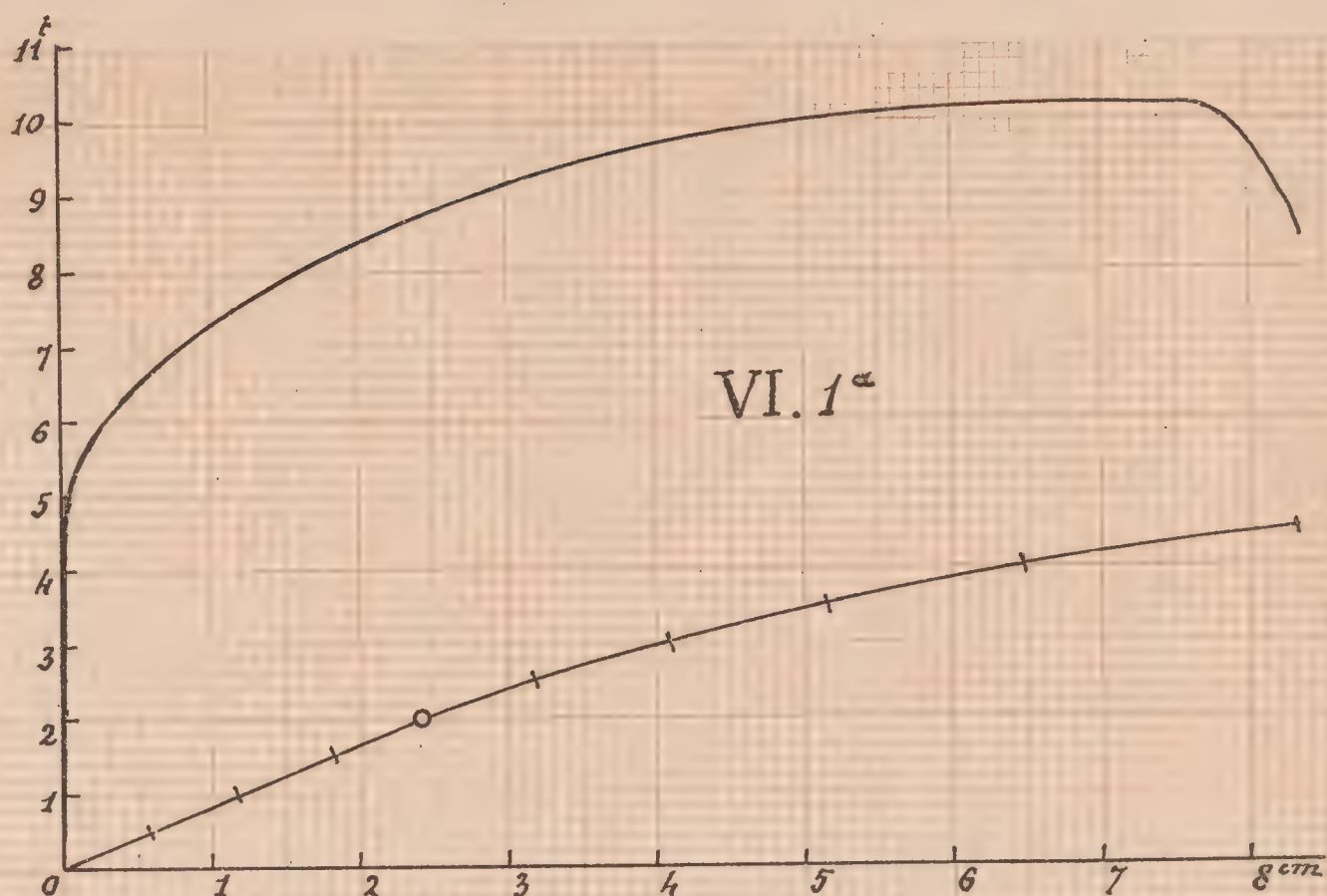
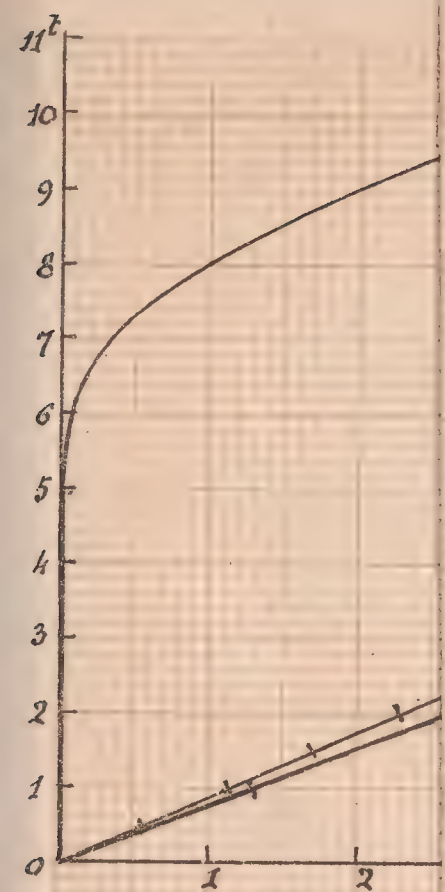


TABELLA IV.  
Provetta I della 2ª serie.

CARICO totale  t.	SPECCHIO ANTERIORE		SPECCHIO POSTERIORE		DILATAZIONE totale $\frac{1}{10000}$ mm.	DIFFERENZE	OSSERVAZIONI
	SCALA POSTERIORE		SCALA ANTERIORE				
	Lettura $\frac{1}{500}$ cm.	Spostamento $\frac{1}{500}$ cm.	Lettura $\frac{1}{500}$ cm.	Spostamento $\frac{1}{500}$ cm.			
0,50	19,50	0	20,00	0	0	92	Dimens. sez. trasvers. cm. $3,06 \times 1,03$ .
0,75	20,02	0,52	19,60	0,40	92	90	Distanza fra i coltelli = cm. 15,00.
1,00	20,44	0,94	19,12	0,88	182	90	Distanza delle scale dagli specchi = cm. 160.
1,25	20,83	1,33	18,61	1,39	272	90	Ingrandimento = 1000.
1,50	21,30	1,80	18,17	1,83	363	91	Sezione trasversale del saggio = cm. <sup>2</sup> 3,15.
1,75	21,80	2,30	17,61	2,39	469	106	Limite di elasticità $\frac{1,50}{3,15} = 0,48^t/cm^2$ .
2,00	22,31	2,81	16,94	3,06	587	118	Punto di snerv. (Streckgrenze) = $\frac{3,00}{3,15} = 0,95^t/cm^2$ .
2,25	22,82	3,32	16,20	3,80	712	125	Modulo di elastic. $E = \frac{1,00}{3,15} \frac{1500000}{363} = 1312^t/cm^2$ .
2,50	23,70	4,20	15,42	4,58	878	166	
2,75	24,79	5,29	14,63	5,37	1066	188	

Le immagini delle scale si spostano continuamente.



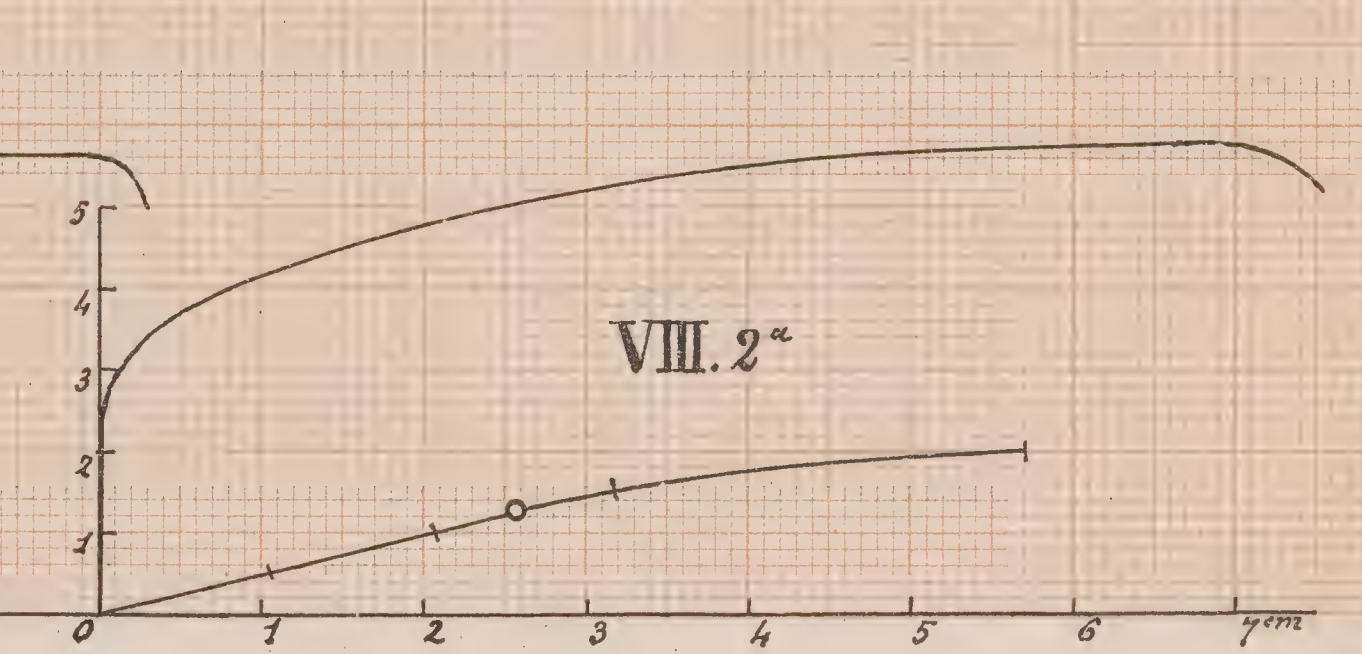
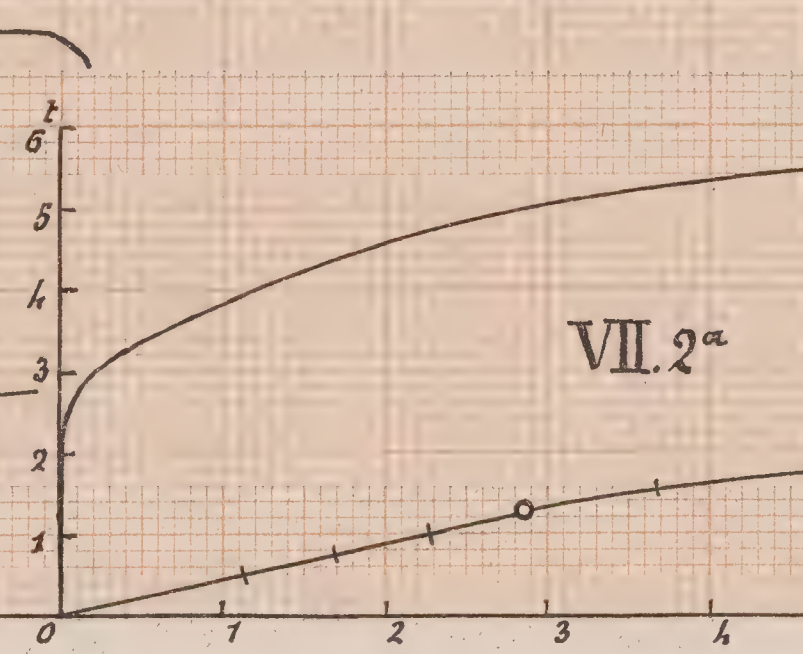
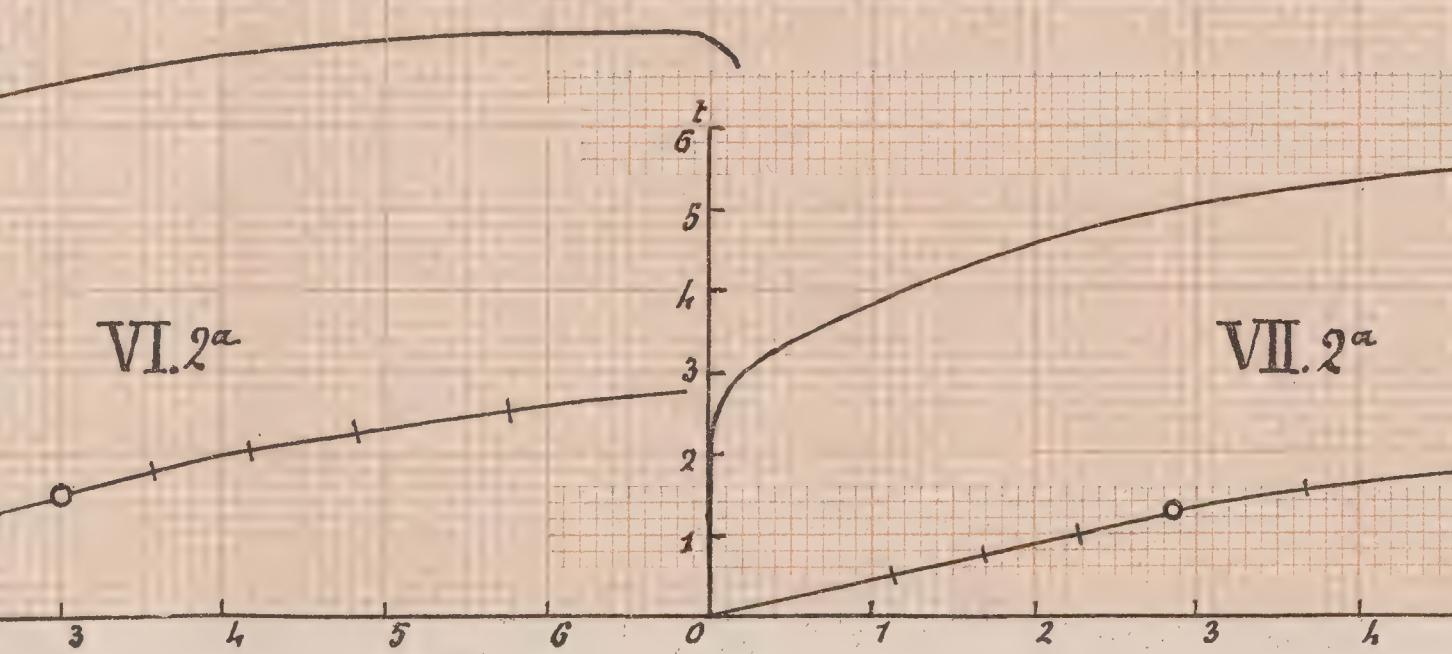
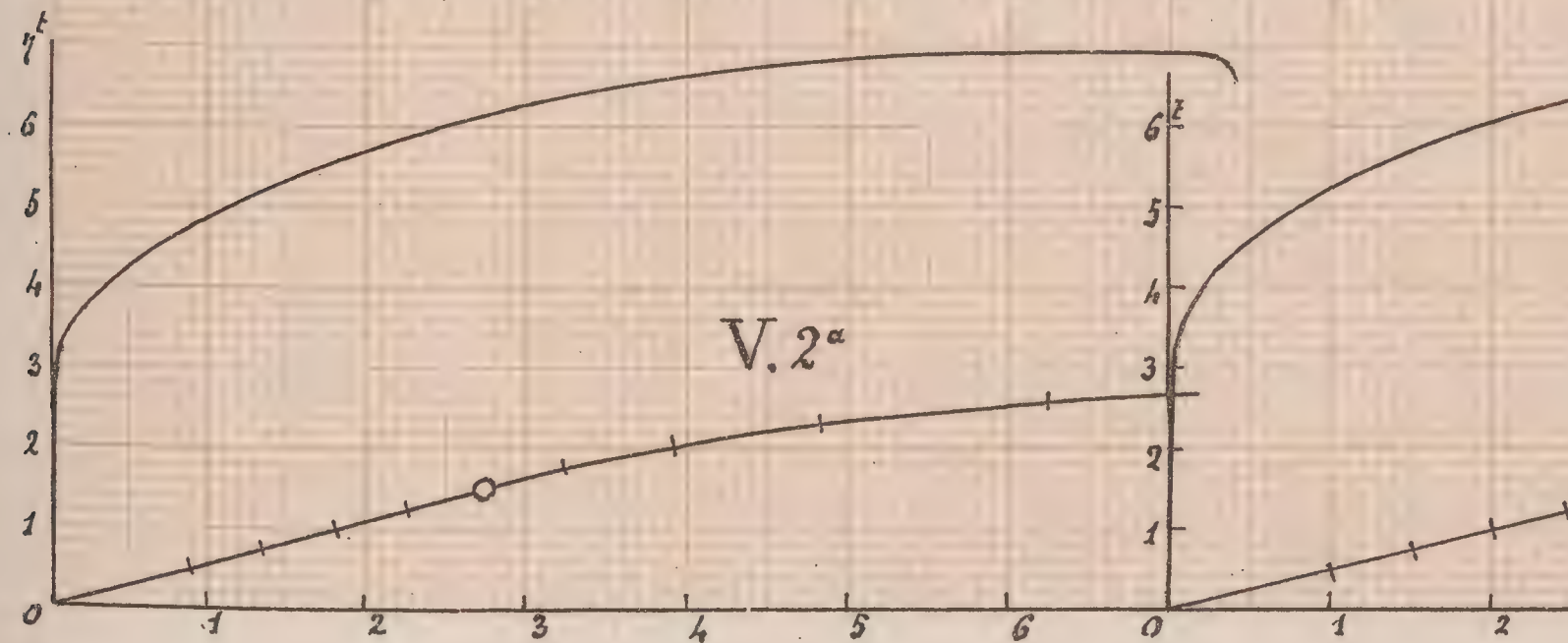
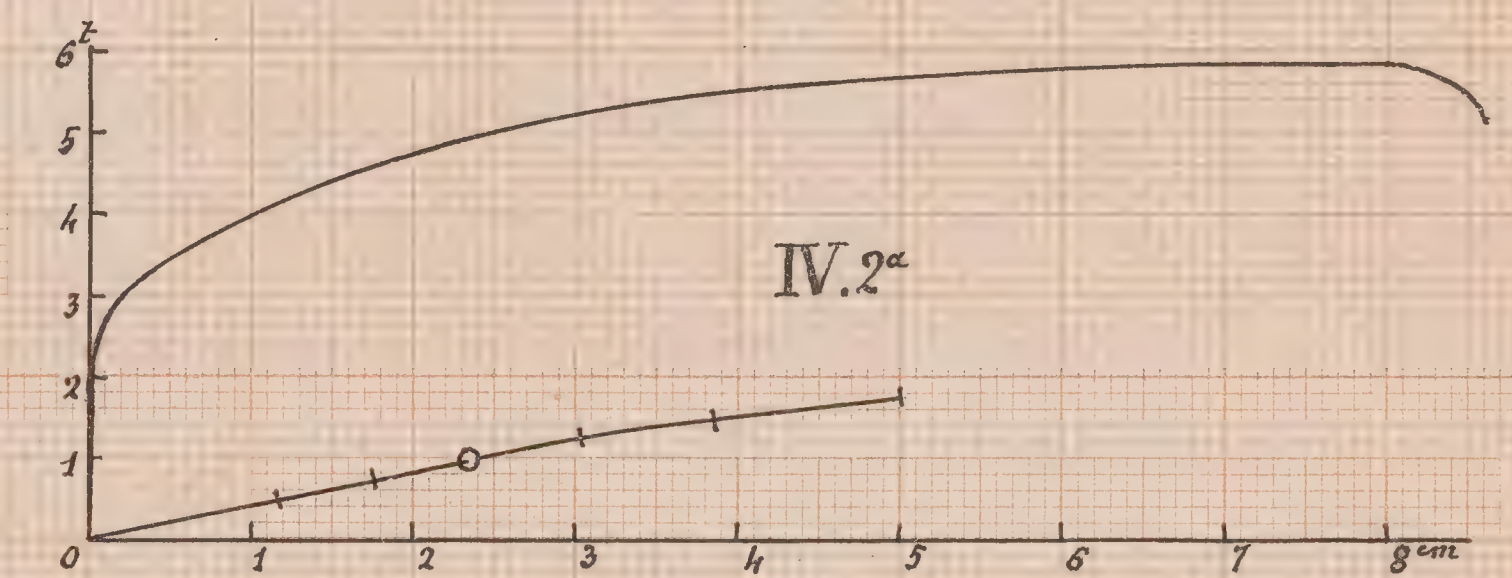
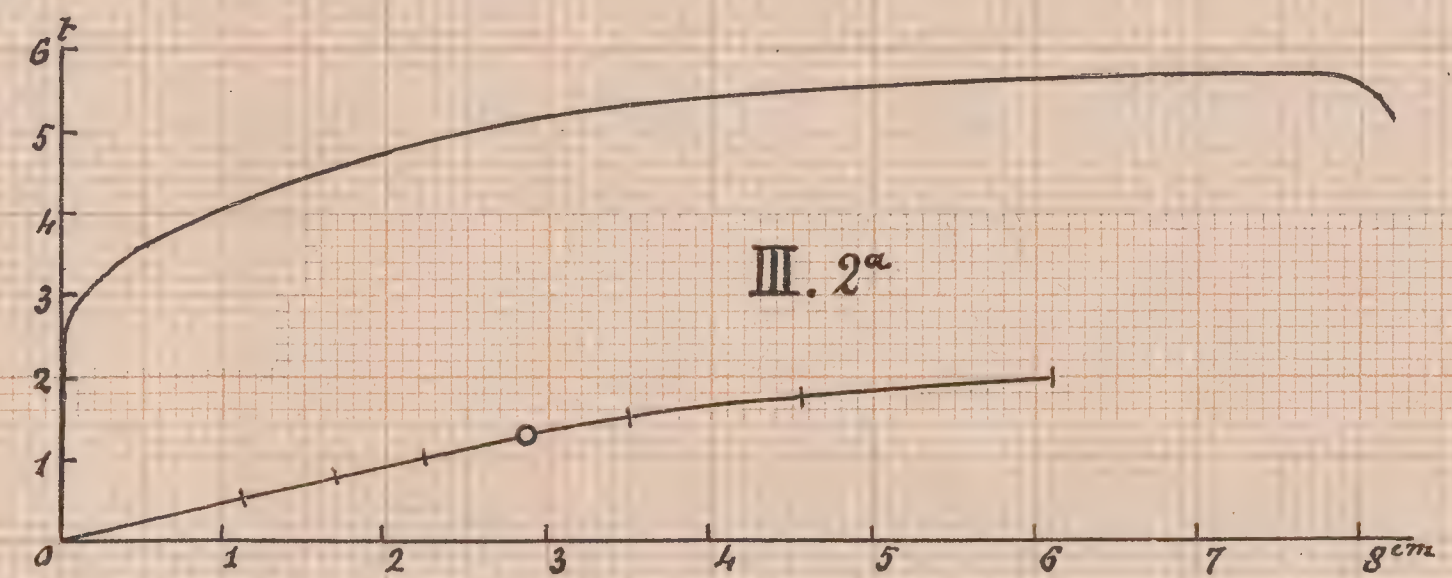
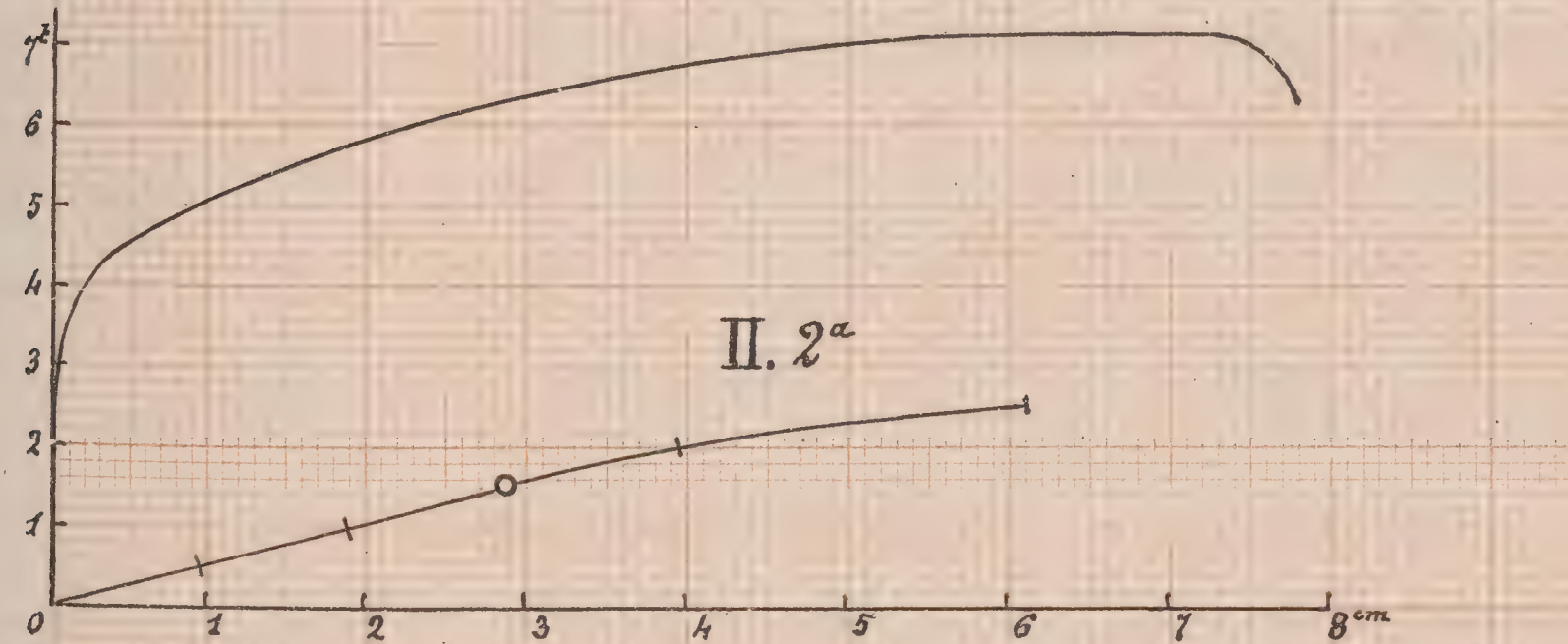
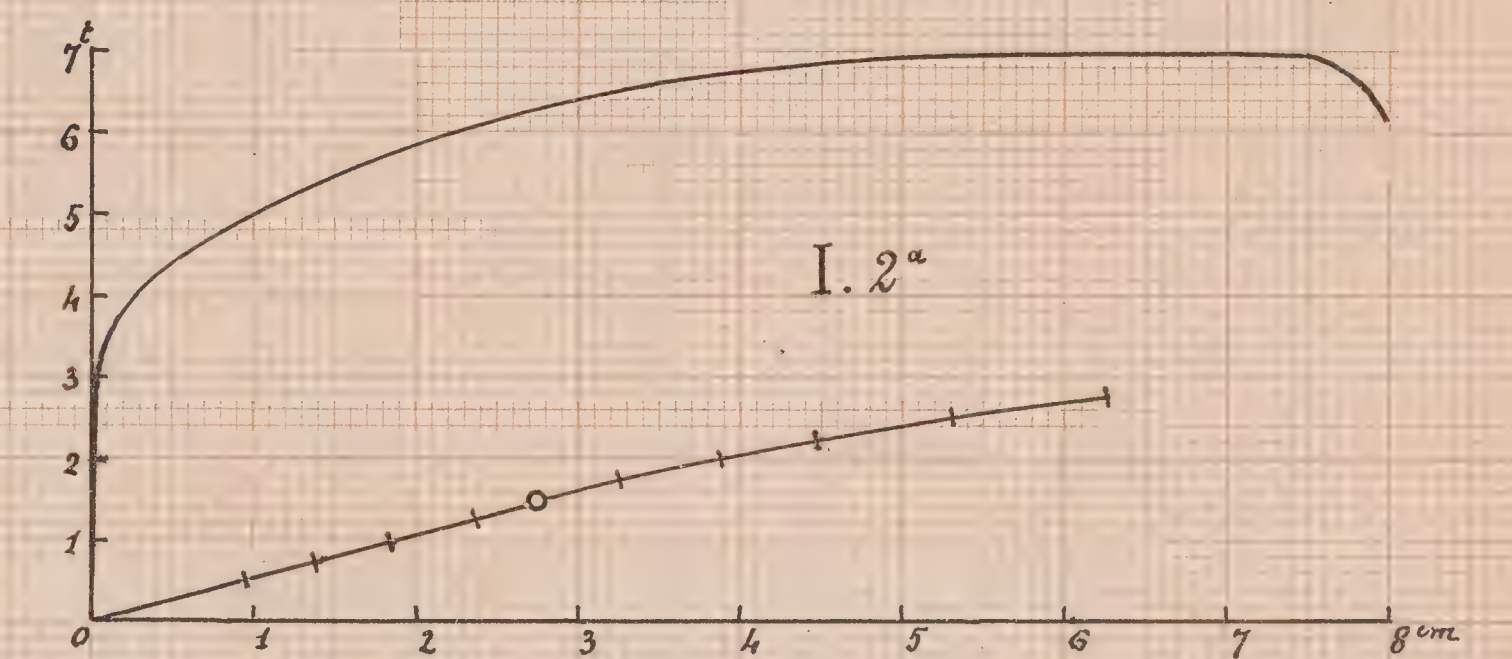
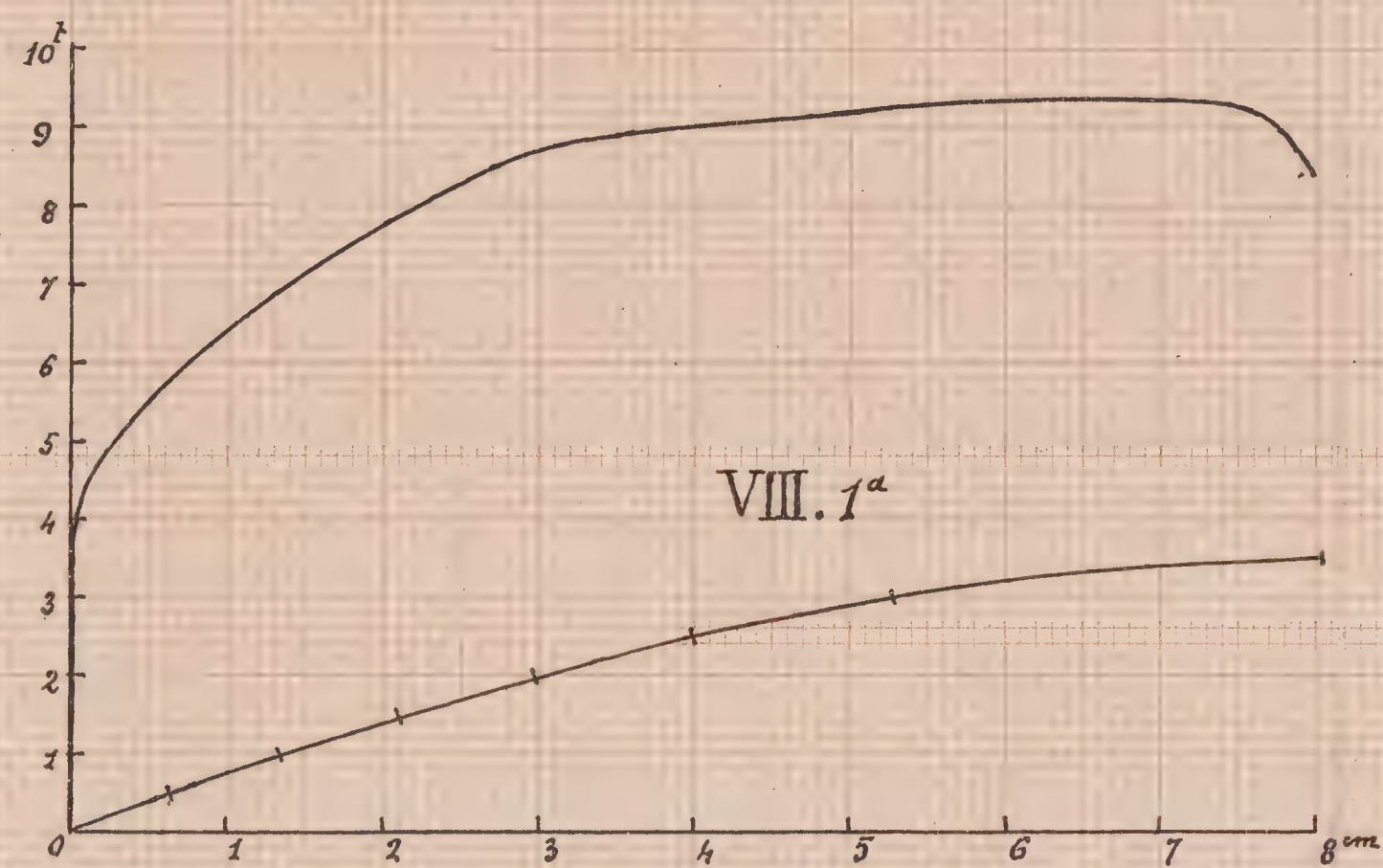
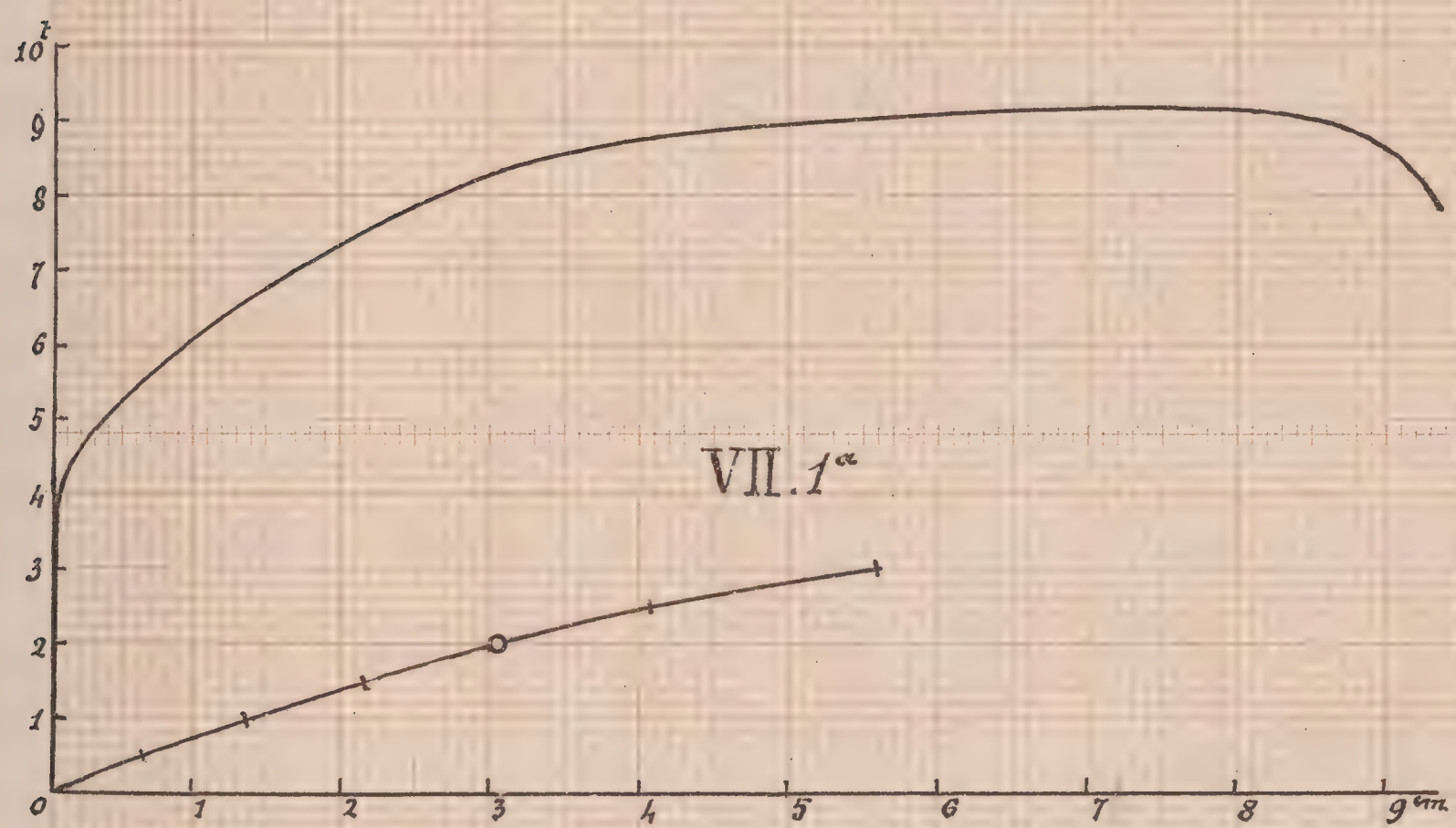
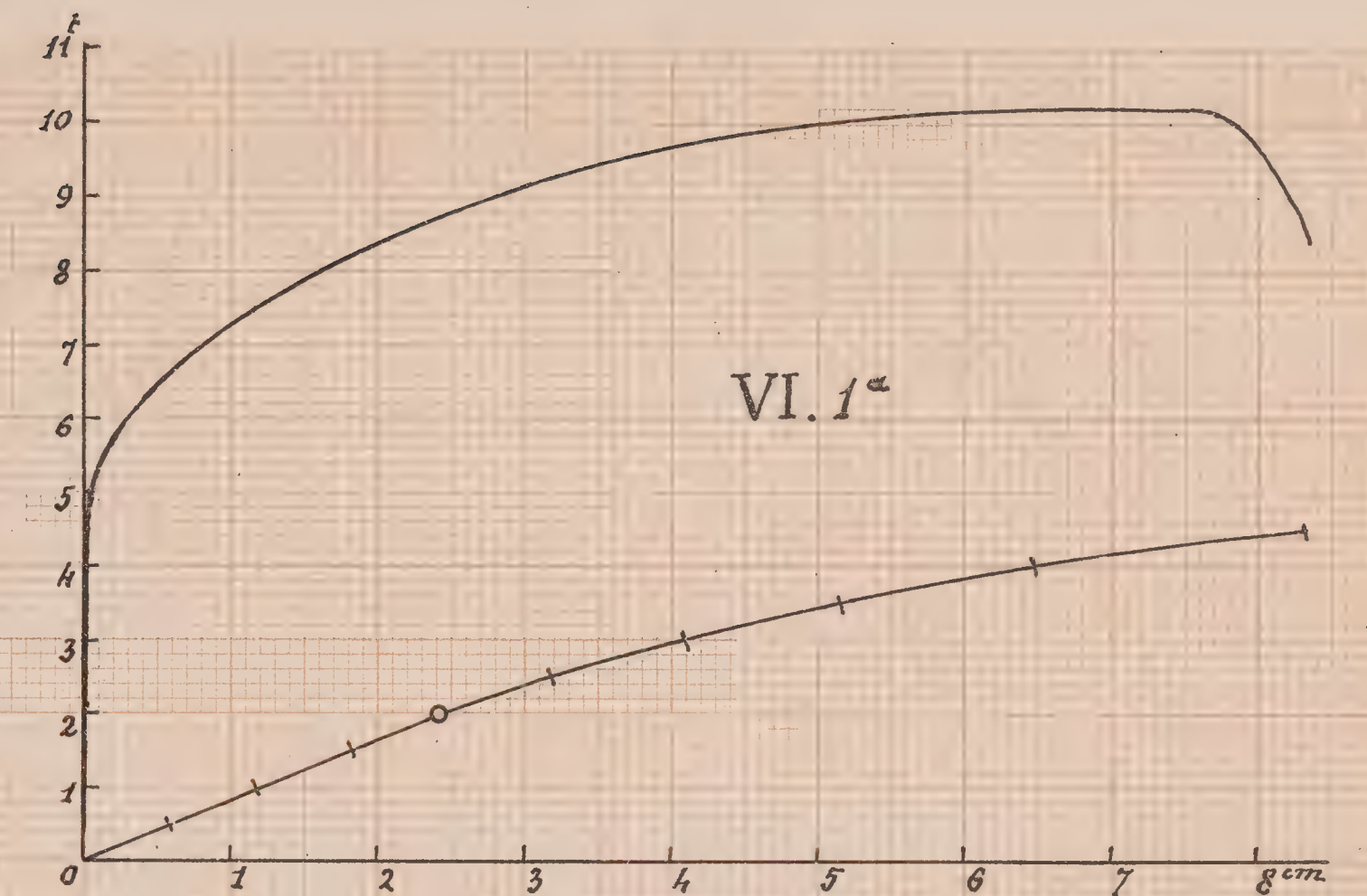
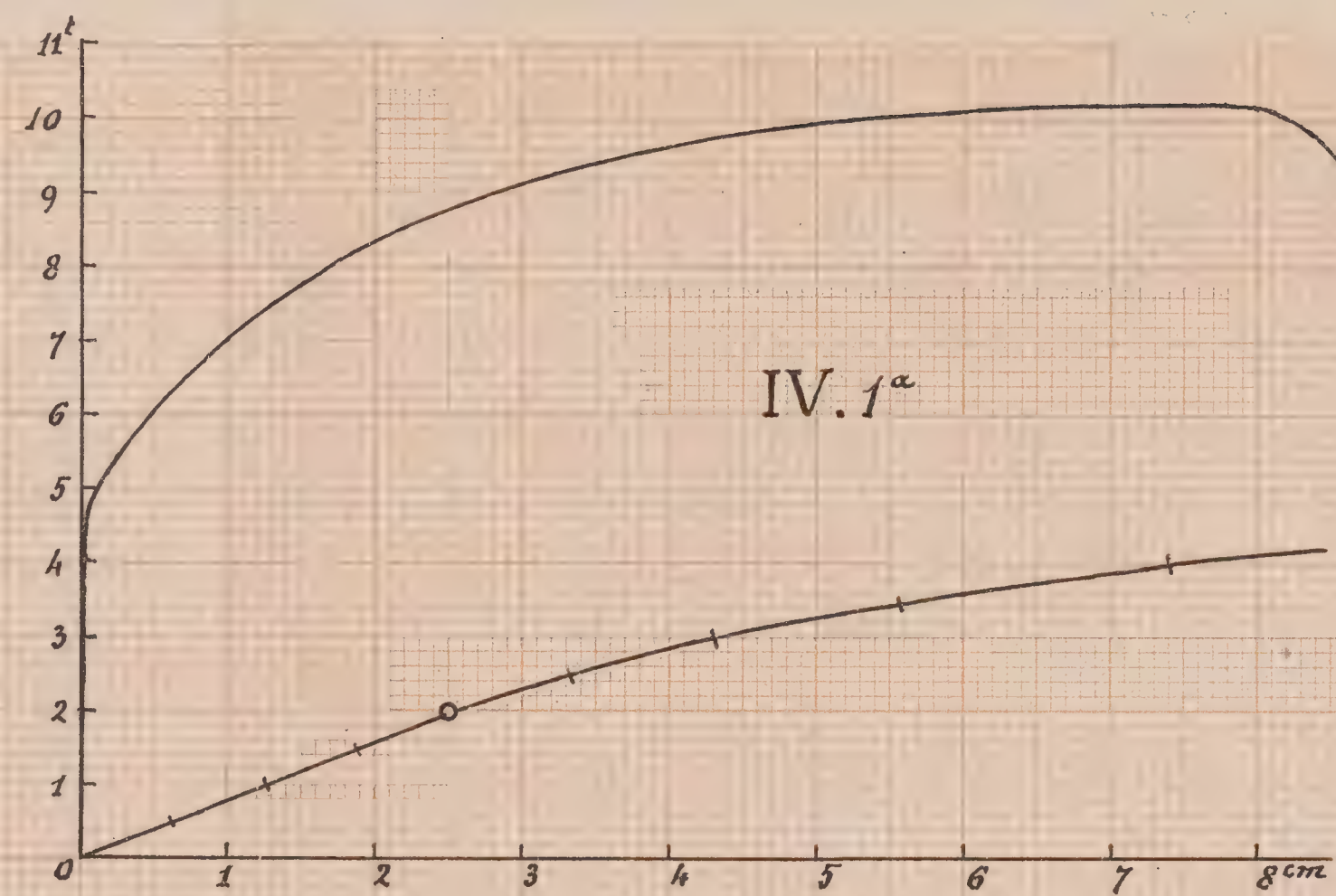
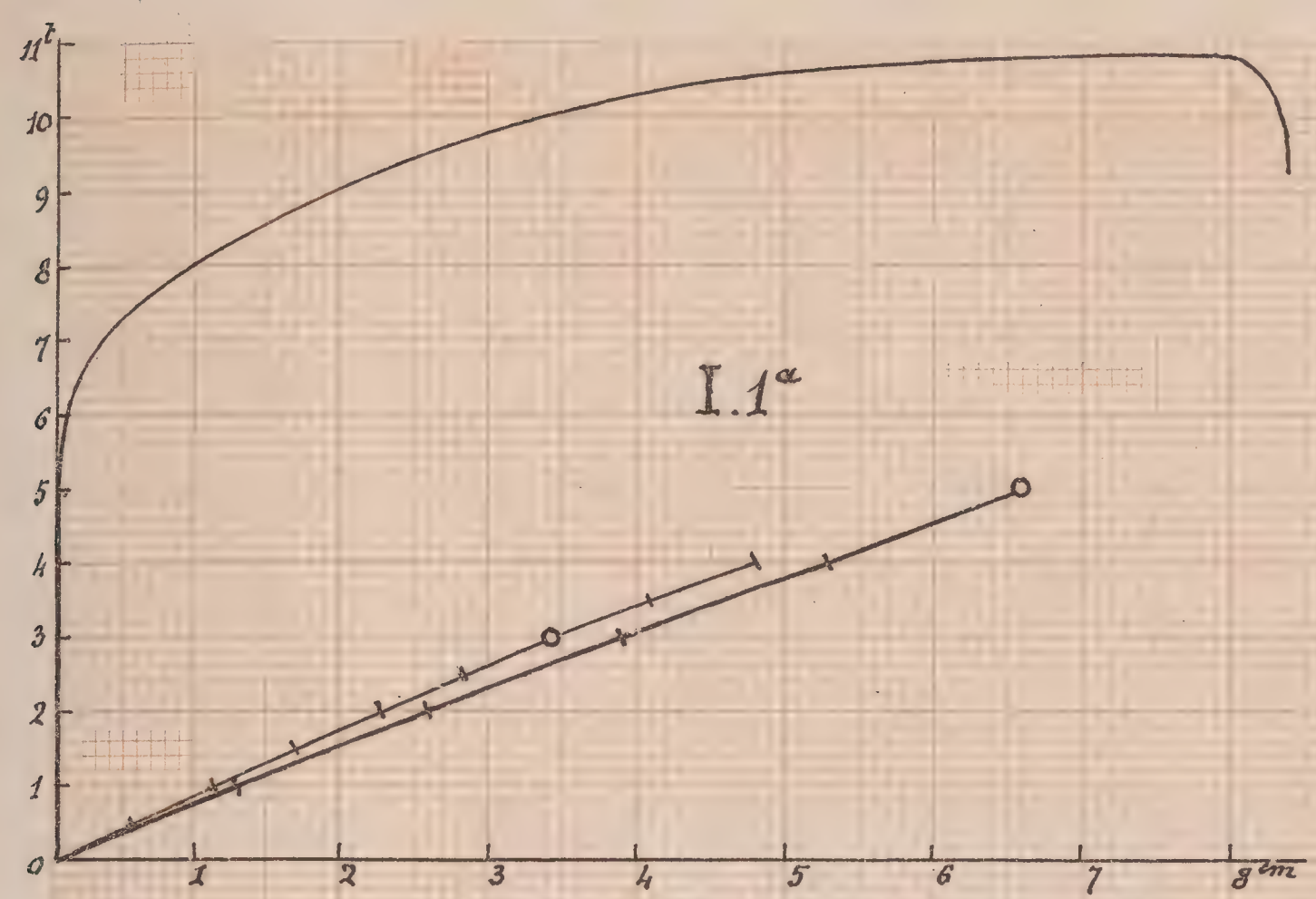


*Guidi*















*Sul moto spontaneo  
di un corpo rigido in uno spazio di curvatura costante;*

Nota II di DOMENICO DE FRANCESCO.

Nella prima Nota (\*) si è veduto come possano essere integrate le sei equazioni differenziali stabilite dal Sig. Heath (\*\*). Con tale integrazione però (\*\*\*) il problema non è risoluto che per metà; poichè conosciute le sei velocità angolari rappresentate dalle caratteristiche  $\omega$ , rimangono da conoscere i sei parametri che determinano ad ogni istante la posizione del corpo. Questa seconda parte del problema non è stata trattata dal Sig. Heath. Però per stabilire le sei equazioni differenziali, di cui ci siamo occupati nella Nota I, egli passa per 6 altre equazioni differenziali che, quando il corpo non è sollecitato da forze, si integrano immediatamente. I sei integrali che così si ottengono non sono tuttavia sufficienti alla risoluzione completa del problema, inquantochè essi non sono indipendenti tra loro, ma equivalgono a soli quattro.

Rimangono quindi due altri integrali da determinare e la loro ricerca è l'oggetto di questa Nota.

---

(\*) “ Atti della R. Accademia delle Scienze di Torino „ 1899, Vol. XXXV.

(\*\*) *On the Dynamics of a Rigid Body in Elliptic Space.* By R. S. HEATH, “ Philosophical Transactions of the Royal Society of London „, year MDCCCLXXXIV, Vol. 175, part I, p. 316.

(\*\*\*) Anche indipendentemente dal metodo indicato nella nostra prima Nota, il Prof. Volterra ha dimostrato in questi “ Atti „ (27 marzo 1898) come nel moto spontaneo di un sistema a caratteristiche indipendenti di qualunque ordine, le caratteristiche possono esprimersi mediante serie di funzioni del tempo, i cui coefficienti si ricavano mediante operazioni razionali dalle costanti note dell'equazioni differenziali, e dai valori iniziali delle caratteristiche.



La posizione del corpo è data dai coefficienti di questo determinante:

$$(1) \quad \begin{vmatrix} l_1 & l_2 & l_3 & l_4 \\ m_1 & m_2 & m_3 & m_4 \\ n_1 & n_2 & n_3 & n_4 \\ p_1 & p_2 & p_3 & p_4 \end{vmatrix}$$

con cui, date le coordinate di un punto del corpo, relative ad un tetraedro mobile col corpo stesso, si hanno quelle relative ad un tetraedro fisso. Il determinante (1) è ortogonale ed è eguale a  $+1$ .

Le equazioni che legano le caratteristiche  $w$  coi coefficienti (1) sono:

$$(2) \quad \left\{ \begin{array}{l} \omega_1 dt = l_4 dl_1 + m_4 dm_1 + n_4 dn_1 + p_4 dp_1 \\ \omega_2 dt = l_4 dl_2 + m_4 dm_2 + n_4 dn_2 + p_4 dp_2 \\ \omega_3 dt = l_4 dl_3 + m_4 dm_3 + n_4 dn_3 + p_4 dp_3 \\ \omega_4 dt = l_3 dl_2 + m_3 dm_2 + n_3 dn_2 + p_3 dp_2 \\ \omega_5 dt = l_1 dl_3 + m_1 dm_3 + n_1 dn_3 + p_1 dp_3 \\ \omega_6 dt = l_2 dl_1 + m_2 dm_1 + n_2 dn_1 + p_2 dp_1. \end{array} \right.$$

Si tratta dunque d'integrare quest'equazioni supponendo già integrate quelle che danno le  $w$  in funzione del tempo.

Gl'integrali che, come dicemmo, si deducono immediatamente da certe equazioni differenziali per cui passa il Sig. Heath, sono i seguenti; ed esprimono che le quantità di moto di tutti i punti del sistema rigido formano in ogni istante una Diname, le cui sei componenti rispetto a un tetraedro fisso sono quantità costanti.



$$(3) \left\{ \begin{array}{l} A\omega_1 a_1 + B\omega_2 a_2 + C\omega_3 a_3 + F\omega_4 a_4 + G\omega_5 a_5 + H\omega_6 a_6 = k_1, \\ A\omega_1 b_1 + B\omega_2 b_2 + C\omega_3 b_3 + F\omega_4 b_4 + G\omega_5 b_5 + H\omega_6 b_6 = k_2, \\ A\omega_1 c_1 + \dots \dots \dots + H\omega_6 c_6 = k_3, \\ A\omega_1 f_1 + \dots \dots \dots + H\omega_6 f_6 = k_4, \\ A\omega_1 g_1 + \dots \dots \dots + H\omega_6 g_6 = k_5, \\ A\omega_1 h_1 + \dots \dots \dots + H\omega_6 h_6 = k_6 (*), \end{array} \right.$$

ove le  $k$  sono sei costanti d'integrazione ed i coefficienti  $a_1, a_2, \dots$  formano un determinante ortogonale di 6° ordine ( $= +1$ ), e, gli elementi di esso sono i minori di 2° ordine del determinante (1). Tra essi elementi esistono le relazioni:

$$(4) \left\{ \begin{array}{l} a_1 = f_4, \quad a_2 = f_5, \quad a_3 = f_6, \quad a_4 = f_1, \quad a_5 = f_2, \quad a_6 = f_3 \\ b_1 = g_4, \quad b_2 = g_5, \quad b_3 = g_6, \quad b_4 = g_1, \quad b_5 = g_2, \quad b_6 = g_3, \\ c_1 = h_4, \quad c_2 = h_5, \quad c_3 = h_6, \quad c_4 = h_1, \quad c_5 = h_2, \quad c_6 = h_3. \end{array} \right.$$

I sei integrali (3) non sono indipendenti, come dicemmo, poichè da essi si ricava:

$$(5) \left\{ \begin{array}{l} A^2\omega_1^2 + B^2\omega_2^2 + C^2\omega_3^2 + F^2\omega_4^2 + G^2\omega_5^2 + H^2\omega_6^2 = k_1^2 + k_2^2 + \dots + k_6^2, \\ AF\omega_1\omega_4 + BG\omega_2\omega_5 + CH\omega_3\omega_6 = k_1k_4 + k_2k_5 + k_3k_6, \end{array} \right.$$

(\*) Il Sig. Heath (Memoria citata, p. 305) passa per questa equazione:

$$\frac{d}{dt} (a_1 q_1 + a_2 q_2 + \dots + a_6 q_6) = a_1 Q_1 + a_2 Q_2 + \dots + a_6 Q_6,$$

nella quale  $q_i = \frac{\partial T}{\partial \omega_i}$  (p. 316), essendo  $T$  la forza viva. Mettendo

$$T = \frac{1}{2} (A\omega_1^2 + \dots + H\omega_6^2),$$

e facendo

$$Q_1 = Q_2 = \dots = Q_6 = 0,$$

ed integrando, si ha la prima delle (3).



che sono indipendenti dai coefficienti  $a_1, a_2, \dots$ . Essi sono due dei quattro integrali quadratici dell'equazioni differenziali relative alle caratteristiche  $\omega$ , dei quali si è già discusso nella Nota 1<sup>a</sup>.

Per trovare i due integrali che mancano operiamo come segue:

Alla 4<sup>a</sup>, alla 5<sup>a</sup>, alla 6<sup>a</sup> delle (3) aggiungiamo rispettivamente la 1<sup>a</sup>, la 2<sup>a</sup> e la 3<sup>a</sup>, moltiplicate per  $\pm 1$ , e così, tenendo conto delle (4), otteniamo:

$$(6) \quad \left\{ \begin{array}{l} (F\omega_4 \pm A\omega_1)(a_1 \pm f_1) + (G\omega_5 \pm B\omega_2)(a_2 \pm f_2) + \\ \quad + (H\omega_6 \pm C\omega_3)(a_3 \pm f_3) = k_4 \pm k_1 \\ (F\omega_4 \pm A\omega_1)(b_1 \pm g_1) + (G\omega_5 \pm B\omega_2)(b_2 \pm g_2) + \\ \quad + (H\omega_6 \pm C\omega_3)(b_3 \pm g_3) = k_5 \pm k_2 \\ (F\omega_4 \pm A\omega_1)(c_1 \pm h_1) + (G\omega_5 \pm B\omega_2)(c_2 \pm h_2) + \\ \quad + (H\omega_6 \pm C\omega_3)(c_3 \pm h_3) = k_6 \pm k_3. \end{array} \right.$$

Se ora in luogo dei coefficienti  $a_1 \pm f_1, a_2 \pm f_2$ , ecc., noi scriviamo  $\alpha, \beta$ , ecc. e formiamo il determinante:

$$(7) \quad \begin{vmatrix} \alpha & \beta & \gamma \\ \alpha' & \beta' & \gamma' \\ \alpha'' & \beta'' & \gamma'' \end{vmatrix},$$

questo determinante è ortogonale, è  $= +1$ , ed inoltre si ha:

$$(8) \quad \begin{aligned} \gamma d\beta + \gamma' d\beta' + \gamma'' d\beta'' &= (\omega_4 \pm \omega_1) dt, \\ \alpha d\gamma + \alpha' d\gamma' + \alpha'' d\gamma'' &= (\omega_5 \pm \omega_2) dt, \\ \beta d\alpha + \beta' d\alpha' + \beta'' d\alpha'' &= (\omega_6 \pm \omega_3) dt. \end{aligned}$$

Queste proprietà si dimostrano facilmente, se si esprimono i coefficienti  $\alpha, \beta, \dots$  in funzione degli elementi del determinante (1), cioè:



$$(9) \left\{ \begin{array}{l} \alpha = (l_1 p_4 - l_4 p_1) \pm (m_1 n_4 - m_4 n_1), \quad \beta = (l_2 p_4 - l_4 p_2) \pm (m_2 n_4 - m_4 n_2), \\ \quad \quad \quad \gamma = (l_3 p_4 - l_4 p_3) \pm (m_3 n_4 - m_4 n_3), \\ \alpha' = (m_1 p_4 - m_4 p_1) \pm (n_1 l_4 - n_4 l_1), \quad \beta' = (m_2 p_4 - m_4 p_2) \pm (n_2 l_4 - n_4 l_2), \\ \quad \quad \quad \gamma' = (m_3 p_4 - m_4 p_3) \pm (n_3 l_4 - n_4 l_3), \\ \alpha'' = (n_1 p_4 - n_4 p_1) \pm (l_1 m_4 - l_4 m_1), \quad \beta'' = (n_2 p_4 - n_4 p_2) \pm (l_2 m_4 - l_4 m_2), \\ \quad \quad \quad \gamma'' = (n_3 p_4 - n_4 p_3) \pm (l_3 m_4 - l_4 m_3), \end{array} \right.$$

e si hanno presenti l'equazioni:

$$(10) \left\{ \begin{array}{l} \frac{dl_1}{dt} = l_2 \omega_6 - l_3 \omega_5 + l_4 \omega_1, \\ \frac{dl_2}{dt} = l_3 \omega_4 - l_1 \omega_6 + l_4 \omega_2, \\ \frac{dl_3}{dt} = l_1 \omega_5 - l_2 \omega_4 + l_4 \omega_3, \\ \frac{dl_4}{dt} = -l_1 \omega_1 - l_2 \omega_2 - l_3 \omega_3, \end{array} \right.$$

colle altre analoghe, che si deducono facilmente dalle (2), come si fa per le notissime equazioni di Poisson.

Supponiamo ora le (6) sdoppiate in due terne corrispondenti l'una al segno superiore, l'altra all'inferiore, ed indichiamo con  $(6)_1$  e  $(6)_2$  rispettivamente l'una e l'altra terna, e con  $\alpha_1, \beta_1, \gamma_1, \alpha'_1, \dots$ , e con  $\alpha_2, \beta_2, \gamma_2, \alpha'_2, \dots$  i coefficienti corrispondenti alle terne  $(6)_1$  e  $(6)_2$ . Questi coefficienti, come le costanti  $k$  dipendono evidentemente dalla scelta del tetraedro fisso, a cui si riferisce la posizione del corpo; ora io dico che si può scegliere il tetraedro fisso in modo che le costanti dei secondi membri delle prime due equazioni, tanto di  $(6)_1$ , quanto di  $(6)_2$ , riescano nulle, e che la costante della terza equazione

$$\text{in } (6)_1 \text{ sia } K_1 = \sqrt{(k_1 + k_4)^2 + (k_2 + k_5)^2 + (k_3 + k_6)^2},$$

$$\text{in } (6)_2 \text{ sia } K_2 = \sqrt{(k_1 - k_4)^2 + (k_2 - k_5)^2 + (k_3 - k_6)^2};$$



insomma che si abbia:

$$\begin{aligned}
 (6)_1 \quad & \begin{cases} \alpha_1(F\omega_4 + A\omega_1) + \beta_1(G\omega_5 + B\omega_2) + \gamma_1(H\omega_6 + C\omega_3) = 0, \\ \alpha'_1(F\omega_4 + A\omega_1) + \beta'_1(G\omega_5 + B\omega_2) + \gamma'_1(H\omega_6 + C\omega_3) = 0, \\ \alpha''_1(F\omega_4 + A\omega_1) + \beta''_1(G\omega_5 + B\omega_2) + \gamma''_1(H\omega_6 + C\omega_3) = K_1, \end{cases} \\
 (6)_2 \quad & \begin{cases} \alpha_2(F\omega_4 - A\omega_1) + \beta_2(G\omega_5 - B\omega_2) + \gamma_2(H\omega_6 - C\omega_3) = 0, \\ \alpha'_2(F\omega_4 - A\omega_1) + \beta'_2(G\omega_5 - B\omega_2) + \gamma'_2(H\omega_6 - C\omega_3) = 0, \\ \alpha''_2(F\omega_4 - A\omega_1) + \beta''_2(G\omega_5 - B\omega_2) + \gamma''_2(H\omega_6 - C\omega_3) = K_2. \end{cases}
 \end{aligned}$$

Basterà infatti che i secondi membri abbiano tali valori per un istante qualunque, perchè l'abbiano sempre, giacchè sono quantità costanti. Ora siccome i coefficienti  $\alpha''_1$ ,  $\beta''_1$ ,  $\gamma''_1$ ,  $\alpha''_2$ ,  $\beta''_2$ ,  $\gamma''_2$  sono funzioni di 6 parametri, noi potremo determinare questi parametri per  $t = 0$ , in modo che si abbia:

$$(11) \quad \begin{cases} \alpha''_1 = \frac{F\omega_4 + A\omega_1}{K_1}, & \beta''_1 = \frac{G\omega_5 + B\omega_2}{K_1}, & \gamma''_1 = \frac{H\omega_6 + C\omega_3}{K_1} \\ \alpha''_2 = \frac{F\omega_4 - A\omega_1}{K_2}, & \beta''_2 = \frac{G\omega_5 - B\omega_2}{K_2}, & \gamma''_2 = \frac{H\omega_6 - C\omega_3}{K_2} \end{cases}$$

ed allora, siccome per l'ortogonalità dei due determinanti si ha:

$$(12) \quad \begin{aligned} & \alpha''_1\alpha_1 + \beta''_1\beta_1 + \gamma''_1\gamma_1 = 0, \quad \alpha''_2\alpha_2 + \beta''_2\beta_2 + \gamma''_2\gamma_2 = 0, \\ & \alpha''_1\alpha'_1 + \beta''_1\beta'_1 + \gamma''_1\gamma'_1 = 0, \quad \alpha''_2\alpha'_2 + \beta''_2\beta'_2 + \gamma''_2\gamma'_2 = 0, \end{aligned}$$

così sostituendo in queste ultime equazioni i valori (11) vengono le (6)<sub>1</sub> e le (6)<sub>2</sub>, che così sono dimostrate per qualunque valore del tempo; e per conseguenza anche le (11) varranno per qualunque valore di  $t$ , giacchè si deducono dalle (6)<sub>1</sub> e dalle (6)<sub>2</sub>.

I coefficienti di (6)<sub>1</sub>, poichè formano un determinante ortogonale, sono funzioni di tre parametri, e potremo assumere per questi i parametri di Eulero  $\theta_1$ ,  $\psi_1$ ,  $\varphi_1$ . Altrettanto faremo per i coefficienti di (6)<sub>2</sub>, ed i parametri saranno  $\theta_2$ ,  $\psi_2$ ,  $\varphi_2$ .



Per quanto riguarda la prima terna abbiamo (\*):

$$(13) \quad \alpha''_1 = -\operatorname{sen}\theta_1 \operatorname{sen}\varphi_1, \quad \beta''_1 = -\operatorname{sen}\theta_1 \cos\varphi_1, \quad \gamma''_1 = \cos\theta_1,$$

$$(14) \quad \begin{cases} (\omega_4 + \omega_1)dt = \operatorname{sen}\varphi_1 \operatorname{sen}\theta_1 d\psi_1 - \cos\varphi_1 d\theta_1, \\ (\omega_5 + \omega_2)dt = \cos\varphi_1 \operatorname{sen}\theta_1 d\psi_1 + \operatorname{sen}\varphi_1 d\theta_1, \\ (\omega_6 + \omega_3)dt = d\varphi_1 - \cos\theta_1 d\psi_1. \end{cases}$$

Ora le (13) per le (11) divengono:

$$(15) \quad \begin{aligned} -\operatorname{sen}\theta_1 \operatorname{sen}\varphi_1 &= \frac{F\omega_4 + A\omega_1}{K_1}, \\ -\operatorname{sen}\theta_1 \cos\varphi_1 &= \frac{G\omega_5 + B\omega_2}{K_1}, \\ \cos\theta_1 &= \frac{H\omega_6 + C\omega_3}{K_1}, \end{aligned}$$

con cui restano determinati  $\theta_1$  e  $\varphi_1$ . Eliminando poi  $d\theta_1$  dalle (14) se ne trae:

$$\operatorname{sen}^2\theta_1 d\psi_1 = \operatorname{sen}\theta_1 \operatorname{sen}\varphi_1 (\omega_4 + \omega_1)dt + \operatorname{sen}\theta_1 \cos\varphi_1 (\omega_5 + \omega_2)dt$$

e finalmente per le (15),

$$(16) \quad \psi_1 = - \int \frac{(F\omega_4 + A\omega_1)(\omega_4 + \omega_1) + (G\omega_5 + B\omega_2)(\omega_5 + \omega_2)}{K_1^2 - (H\omega_6 + C\omega_3)^2} K_1 dt + \text{cost.}$$

Nello stesso modo si determinano  $\theta_2$ ,  $\varphi_2$  e  $\psi_2$ . L'equazione (16) e la corrispondente per  $\psi_2$  sono i due ultimi integrali del problema. Avuti i sei parametri  $\theta_1$ ,  $\varphi_1$ ,  $\psi_1$ ,  $\theta_2$ ,  $\varphi_2$ ,  $\psi_2$  si avranno i coefficienti  $\alpha_1$ ,  $\beta_1$ , ...,  $\alpha_2$ ,  $\beta_2$ , ..., e per mezzo delle (9) senza difficoltà i sedici coefficienti del determinante (1).

Delle costanti  $K_1$  e  $K_2$ , nel moto in uno spazio ellittico, una può esser nulla; non possono esser nulle entrambe, poichè in tal caso i secondi membri delle (3) sarebbero nulli, e nulle quindi tutte le  $\omega$ .

(\*) POISSON, *Traité de Mécanique*, 1833, Tome II, pag. 134.



Supponendo dunque che sia nulla una delle  $K$ , per esempio  $K_1$ , si avrà  $k_4 + k_1 = k_5 + k_2 = k_6 + k_3 = 0$ , ed allora le (6) danno:

$$F\omega_4 + A\omega_1 = G\omega_5 + B\omega_2 = H\omega_6 + C\omega_3 = 0.$$

La  $(6)_2$  resta com'è; e quindi  $\theta_2$ ,  $\varphi_2$  e  $\psi_2$  si determinano nello stesso modo, come nel caso generale.

In quanto ai parametri  $\theta_1$ ,  $\varphi_1$  e  $\psi_1$ , essi nel caso generale, come si scorge dalle (15) e (16), sono funzioni di

$$\frac{F\omega_4 + A\omega_1}{K_1}, \quad \frac{G\omega_5 + B\omega_2}{K_1}, \quad \frac{H\omega_6 + C\omega_3}{K_1}.$$

Questi rapporti per  $K_1 = 0$  prendono la forma  $\frac{0}{0}$ , ma si conosce il modo di determinarli, quando, come si suppone, si hanno le espressioni generali delle  $\omega$  in funzione del tempo. Fatta questa determinazione, le formole (15) e (16) daranno  $\theta_1$ ,  $\varphi_1$  e  $\psi_1$ .

Nello spazio iperbolico le quantità

$$p_1, p_2, p_3, l_4, m_4, n_4$$

del determinante (1) sono quantità immaginarie pure, e tali per conseguenza sono anche, per le (2),  $\omega_1$ ,  $\omega_2$ ,  $\omega_3$ , e quindi tutti i binomi delle equazioni (6), che contengono il segno  $\pm$  rappresentano quantità complesse coniugate. Le costanti  $K_1$  e  $K_2$  coniugate anch'esse, sono perciò o tutte due diverse da zero, o tutte due nulle.

Se  $K_1$  e  $K_2$  non sono nulle valgono tutte le formole precedenti; ma se  $K_1 = K_2 = 0$ , la riduzione delle (6) nelle  $(6)_1$  e  $(6)_2$  non ha luogo.

In tal caso posto primieramente:

$$(17) \quad F\omega_4 \pm A\omega_1 = \begin{Bmatrix} L \\ L' \end{Bmatrix}, \quad G\omega_5 \pm B\omega_2 = \begin{Bmatrix} M \\ M' \end{Bmatrix}, \quad H\omega_6 \pm C\omega_3 = \begin{Bmatrix} N \\ N' \end{Bmatrix},$$

le equazioni  $K_1 = 0$ ,  $K_2 = 0$ , danno:

$$L^2 + M^2 + N^2 = L'^2 + M'^2 + N'^2 = 0,$$



e la terna (6) si può scindere nelle due seguenti:

$$(6)'_1 \quad \begin{cases} \alpha_1 L + \beta_1 M + \gamma_1 N = K, \\ \alpha'_1 L + \beta'_1 M + \gamma'_1 N = Ki, \\ \alpha''_1 L + \beta''_1 M + \gamma''_1 N = 0, \end{cases}$$

$$(6)'_2 \quad \begin{cases} \alpha_2 L' + \beta_2 M' + \gamma_2 N' = K', \\ \alpha'_2 L' + \beta'_2 M' + \gamma'_2 N' = -K'i, \\ \alpha''_2 L' + \beta''_2 M' + \gamma''_2 N' = 0, \end{cases}$$

essendo  $K$  e  $K'$  due quantità costanti (immaginarie coniugate) che dipenderanno dalla posizione del tetraedro fisso. Infatti, essendo i coefficienti di  $(6)'_1$  funzioni di tre parametri, il tetraedro fisso potrà scegliersi in modo che per  $t = 0$  si verifichi:

$$\alpha''_1 L + \beta''_1 M + \gamma''_1 N = 0,$$

ed allora, se si pone per  $t = 0$

$$\alpha_1 L + \beta_1 M + \gamma_1 N = K,$$

sarà

$$\alpha'_1 L + \beta'_1 M + \gamma'_1 N = \pm Ki;$$

poichè la somma dei quadrati dei tre trinomi dev'essere nulla. Potrà poi togliersi l'ambiguità  $\pm$  cambiando, ove ne sia il caso, il segno ai coefficienti  $\alpha'_1$ ,  $\beta'_1$ ,  $\gamma'_1$ ,  $\alpha''_1$ ,  $\beta''_1$ ,  $\gamma''_1$  con che il determinante ortogonale si mantiene positivo.

Dimostrate vere le  $(6)'_1$  per  $t = 0$ , saranno vere per qualsiasi tempo, giacchè i trinomi sono quantità costanti.

Le  $(6)'_2$  saranno anche vere, dovendo i secondi membri di esse essere coniugati ai corrispondenti delle  $(6)'_1$  (\*).

(\*) Se si suppone che per  $t = 0$  i coefficienti delle  $(6)'_1$  siano rispettivamente eguali agli elementi del determinante ortogonale

$$\begin{vmatrix} \frac{L + L'}{2K_0} & \frac{M + M'}{2K_0} & \frac{N + N'}{2K_0} \\ \frac{L - L'}{2K_0 i} & \frac{M - M'}{2K_0 i} & \frac{N - N'}{2K_0 i} \\ \frac{M'N - MN'}{2K_0^2 i} & \frac{N'L - NL'}{2K_0^2 i} & \frac{L'M - LM'}{2K_0^2 i} \end{vmatrix},$$

dove  $K_0^2 = F^2 \omega_4^2 + G^2 \omega_5^2 + H^2 \omega_6^2$ , si ha  $K = K' = K_0$ .



Ciò premesso, abbiamo dalle (6)'<sub>1</sub>:

$$(18) \quad L = K(\alpha_1 + \alpha'_1 i), \quad M = K(\beta_1 + \beta'_1 i), \quad N = K(\gamma_1 + \gamma'_1 i),$$

e siccome:

$$(19) \quad \left\{ \begin{array}{l} \alpha_1 = \cos\theta_1 \sin\psi_1 \sin\varphi_1 + \cos\psi_1 \cos\varphi_1, \\ \beta_1 = \cos\theta_1 \sin\psi_1 \cos\varphi_1 - \cos\psi_1 \sin\varphi_1, \quad \gamma_1 = \sin\theta_1 \sin\psi_1, \\ \alpha'_1 = \cos\theta_1 \cos\psi_1 \sin\varphi_1 - \sin\psi_1 \cos\varphi_1, \\ \beta'_1 = \cos\theta_1 \cos\psi_1 \cos\varphi_1 + \sin\psi_1 \sin\varphi_1, \quad \gamma'_1 = \sin\theta_1 \cos\psi_1, \end{array} \right.$$

così sostituendo verrà:

$$(20) \quad \begin{aligned} L &= K(i \cos\theta_1 \sin\varphi_1 + \cos\varphi_1) e^{-\psi_1 i}, \\ M &= K(i \cos\theta_1 \cos\varphi_1 - \sin\varphi_1) e^{-\psi_1 i}, \quad N = K i \sin\theta_1 e^{-\psi_1 i}. \end{aligned}$$

Dalle due prime equazioni si ricava:

$$L + Mi = K(1 - \cos\theta_1) e^{-(\varphi_1 + \psi_1)i},$$

e quindi avendosi:

$$(21) \quad e^{\psi_1 i} = \frac{K i \sin\theta_1}{N}, \quad e^{\varphi_1 i} = \frac{N}{L + Mi} \frac{1 - \cos\theta_1}{i \sin\theta_1},$$

$\varphi_1$  e  $\psi_1$  saranno note, quando  $\theta_1$  sarà dato in funzione del tempo.

Ora dalle equazioni (20) si ha:

$$(22) \quad Lp + Mg = K[i \cos\theta_1 (p \sin\varphi_1 + q \cos\varphi_1) + (p \cos\varphi_1 - q \sin\varphi_1)] e^{-\psi_1 i},$$

e se si pone:

$$p = \omega_4 + \omega_1, \quad q = \omega_5 + \omega_2,$$

in virtù delle (14) si trova:

$$L(\omega_4 + \omega_1) + M(\omega_5 + \omega_2) = K \left[ i \cos\theta_1 \sin\theta_1 \frac{d\psi_1}{dt} - \frac{d\theta_1}{dt} \right] e^{-\psi_1 i},$$



e quindi:

$$\begin{aligned} \frac{L(\omega_4 + \omega_1) + M(\omega_5 + \omega_2)}{N^2} dt &= \frac{(i \cos \theta_1 \sin \theta_1 d\psi_1 - d\theta_1) e^{\psi_1 i}}{-K \sin^2 \theta_1} = \\ &= -\frac{1}{K} d(\cot \theta_1 e^{\psi_1 i}) = -i d\left(\frac{\cos \theta_1}{N}\right). \end{aligned}$$

Integrando si ha finalmente:

$$(23) \quad \frac{\cos \theta_1}{N} = i \int \frac{L(\omega_4 + \omega_1) + M(\omega_5 + \omega_2)}{N^2} dt + \text{cost.}$$

Avuti così  $\theta_1$ ,  $\psi_1$  e  $\varphi_1$ , i valori di  $\theta_2$ ,  $\psi_2$  e  $\varphi_2$  sono i coniugati dei primi.

La quantità sotto l'integrale (23) è eguale alla quantità variabile dell'integrale (16), cioè:

$$\frac{Lp + Mg}{L^2 + M^2} dt,$$

e si poteva infatti prevedere *a priori*, che se questa quantità espressa coi coefficienti  $\alpha_1, \beta_1, \gamma_1, \alpha_2, \dots$  è un differenziale esatto in una posizione speciale del tetraedro fisso, doveva essere anche un differenziale esatto in qualunque altra posizione di esso. Ed è questa osservazione, che ci è stata di guida, come vedesi dalla (22), all'integrale (23) (\*).

La stessa osservazione ci può guidare a trovare direttamente i coefficienti delle due terne, senza dare alcuna posizione particolare al tetraedro fisso, ed anche senza far uso dei parametri di Eulero.

Siano  $l, l', l''$  tre costanti arbitrarie,  $K^2 = l^2 + l'^2 + l''^2$  ed

$$(24) \quad \begin{cases} \alpha L + \beta M + \gamma N = l, \\ \alpha' L + \beta' M + \gamma' N = l', \\ \alpha'' L + \beta'' M + \gamma'' N = l'', \end{cases}$$

(\*) Questa osservazione mi è stata suggerita dal Prof. Siacci.



una qualunque delle terne (6). Dalle (24) ricaviamo:

$$L = l\alpha + l'\alpha' + l''\alpha'',$$

$$M = l\beta + l'\beta' + l''\beta'',$$

$$N = l\gamma + l'\gamma' + l''\gamma'',$$

$$L^2 + M^2 = K^2 - (l\gamma + l'\gamma' + l''\gamma'')^2,$$

$$Lp + Mq = l(\alpha p + \beta q) + l'(\alpha' p + \beta' q) + l''(\alpha'' p + \beta'' q),$$

e per le (8),

$$\frac{Lp + Mq}{L^2 + M^2} dt = \frac{l(\gamma' d\gamma'' - \gamma'' d\gamma') + l'(\gamma'' d\gamma - \gamma d\gamma'') + l''(\gamma d\gamma' - \gamma' d\gamma)}{K^2 - (l\gamma + l'\gamma' + l''\gamma'')^2}.$$

Il secondo membro è un differenziale esatto, e si può anche riconoscere dalle condizioni d'integrabilità, posto  $\gamma^2 + \gamma'^2 + \gamma''^2 = 1$ , o anche meglio ponendo  $\gamma = \sin\theta \sin\psi$ ,  $\gamma' = \sin\theta \cos\psi$ ,  $\gamma'' = \cos\theta$ . Del resto l'integrale è questo:

$$\frac{1}{K} \operatorname{arctg} \frac{K^2\gamma - l(l\gamma + l'\gamma' + l''\gamma'')}{K(l'\gamma'' - l''\gamma')} = \int \frac{Lp + Mq}{L^2 + M^2} dt + \text{cost.}$$

e si verifica facilmente osservando che

$$\begin{aligned} K^2(l'\gamma'' - l''\gamma')^2 + [K^2\gamma - l(l\gamma + l'\gamma' + l''\gamma'')]^2 &= \\ &= (l'^2 + l''^2)[K^2 - (l\gamma + l'\gamma' + l''\gamma'')^2]. \end{aligned}$$

Da esso, posto  $= z$  l'integrale del secondo membro, ed essendo  $c$  una costante arbitraria, si deduce:

$$\gamma = \frac{lN}{K^2} + \frac{\sqrt{l'^2 + l''^2}}{K^2} \sqrt{L^2 + M^2} \cos K(z + c).$$

Evidentemente gli altri otto coefficienti avranno espressioni simili a questa.



Noteremo da ultimo che le sei equazioni differenziali del Sig. Heath relative alle caratteristiche  $w$  si possono raggruppare in due terne della forma:

$$\frac{dL}{dt} - Mr + Nq = 0,$$

$$\frac{dM}{dt} - Np + Lr = 0,$$

$$\frac{dN}{dt} - Lq + Mp = 0,$$

che si ottengono da quelle dell'Heath aggiungendo (o sottraendo) la prima, la seconda e la terza, rispettivamente alla quarta, alla quinta e alla sesta. Tra i coefficienti  $\alpha, \beta, \gamma, \alpha', \dots$  presi tre a tre, hanno luogo equazioni della stessa forma, per es.:

$$\frac{d\alpha}{dt} - \beta r + \gamma q = 0,$$

$$\frac{d\beta}{dt} - \gamma p + \alpha r = 0,$$

$$\frac{d\gamma}{dt} - \alpha q + \beta p = 0.$$

Napoli, gennaio 1900.

---

*L'Accademico Segretario*

ANDREA NACCARI.









---

# CLASSE

DI

SCIENZE FISICHE, MATEMATICHE E NATURALI

---

Adunanza dell'11 Febbraio 1900.

PRESIDENZA DEL SOCIO SENATORE PROF. GIUSEPPE CARLE

PRESIDENTE DELL'ACCADEMIA

---

Sono presenti i Soci: BIZZOZERO, Direttore della Classe, D'OVIDIO, SPEZIA, CAMERANO, SEGRE, VOLTERRA, JADANZA, FOÀ, GUARESCHI, GUIDI, PARONA e NACCARI Segretario.

Il Segretario legge l'atto verbale della precedente adunanza, che viene approvato.

Il Segretario dà comunicazione della lettera, con cui il prof. HAECKEL ringraziò l'Accademia per il premio Bressa che gli venne aggiudicato.

Vengono presentati dal Segretario degli opuscoli inviati in dono dai Soci corrispondenti PENZIG e ROSENBUSCH.

Vengono poi presentati ed accolti per l'inserzione negli *Atti* i seguenti scritti:

1° *Intorno ad alcuni recenti lavori italiani sulla costituzione fisica dell'atmosfera fondati sulle osservazioni di James Glaisher*, nota dell'Ing. Ottavio ZANOTTI BIANCO, presentata dal Socio JADANZA,

2° *Un problema di geometria numerativa sulle varietà algebriche luoghi  $\infty'$  spazi*, nota del Dr. Alberto TANTURRI, presentata dal Socio SEGRE,



3° *Sopra le corrispondenze  $(p, p)$  esistenti sulle curve di genere  $p$  a moduli generali*, nota del Dr. Gaetano SCORZA, presentata dal Socio SEGRE,

4° *Sulle equazioni delle vibrazioni dei corpi elastici in coordinate curvilinee*, nota del prof. Orazio TEDONE, presentata dal Socio VOLTERRA,

5° *Intorno alle derivate normali della funzione potenziale di superficie*, nota del prof. Giuseppe LAURICELLA, presentata dal Socio VOLTERRA,

6° *Un teorema di reciprocità sulle funzioni di Green d'ordine qualunque*, nota del Dr. Tommaso BOGGIO, presentata dal Socio VOLTERRA.

Sono stati trasmessi alla Presidenza due scritti che verranno affidati all'esame di apposite Commissioni.

Il primo intitolato: *La scienza cosmologica di Dante*, è opera del prof. Pietro GAMBÈRA.

L'altro è del marchese Antonio DE GREGORIO, ed è uno *Studio del Diospyros cydonites* De Greg.

La Classe quindi si costituisce in seduta privata e procede alla votazione per l'elezione di un Socio corrispondente nella Sezione di Fisica generale e sperimentale. Riesce eletto il signor Samuele Pierpont LANGLEY Segretario della " Smithsonian Institution „ di Washington.



## LETTURE

---

*Intorno ad alcuni recenti lavori italiani sulla costituzione fisica dell'atmosfera, fondati sulle osservazioni di James Glaisher - Contribuzione alla storia della meteorologia.*

Nota di OTTAVIO ZANOTTI BIANCO.

---

### I.

Il meteorologo inglese James Glaisher compiva, negli anni 1862-63-64-65-66, una serie di ascensioni areostatiche, in una delle quali, assieme all'areonauta Coxwell, toccò l'altezza di 9000 metri; oltre la quale si spinse di poco il tedesco Berson arrivando, nel giorno 4 dicembre 1894, all'altitudine di 9150 metri. Esse costituiscono la serie di ascensioni più estesa, e forse la migliore di quante se ne posseggano oggidì, specialmente dal lato scientifico. Dalle osservazioni istituite durante quelle memorabili ascensioni risulta che la temperatura dell'atmosfera non decresce uniformemente coll'altezza, ma che il suo decrescimento si rallenta a misura che noi c'innalziamo sul livello del mare, ovvero, ciò che torna lo stesso, che per fare abbassare il termometro di un grado, occorre una differenza d'altezza progressivamente maggiore, a misura che si sale più in alto (\*).

I risultati delle osservazioni di James Glaisher hanno dato luogo ad importanti studi sulla costituzione fisica dell'atmosfera. Scopo della presente nota è il rendere conto di alcuni di essi dovuti a scienziati italiani: in ciò fare seguiremo naturalmente l'ordine cronologico.

In esso ci si presenta per primo il conte Paolo Ballada

---

(\*) *An Account of Meteorological and Physical Observations in ... balloon Ascents made at the request of the Committee by JAMES GLAISHER* ("Reports of the British Association for the Advancement of Science", for 1862, 1863, 1864, 1865, 1866).



di Saint-Robert (\*). Egli parte dalla seguente tabella di Glaisher, che riassume i risultati delle osservazioni istituite durante le otto ascensioni del 1862. Noi riproduciamo qui questa tabella perchè servì di base non solo agli studî di Saint-Robert, ma anche a quelli del colonnello Francesco Siacci, matematico esimio, dei quali dovremo discorrere a lungo in seguito (V. Tabella I).

In una sua prima memoria, Saint-Robert rappresentò i risultati delle prime otto ascensioni di Glaisher, delle sole quali egli si servì, colla formola

$$x = a(t_0 - t) - b(t_0^2 - t^2),$$

in cui  $t_0$  e  $t$  sono le temperature assolute alle estremità dell'altezza  $x$ ,  $a$  e  $b$  due costanti diverse per il cielo coperto e per il cielo chiaro in parte, e che egli determinò approssimativamente con un diagramma rappresentante le osservazioni di Glaisher. Per tener conto di future esperienze egli scrisse poi quella legge di decrescimento della temperatura così:

$$x = a(t_0 - t) - b(t_0^2 - t^2) + c(t_0^3 - t^3) + \text{etc.},$$

e di questa si valse per dedurre una formola barometrica.

Nel 1864 Glaisher pubblicò, nei Rendiconti delle adunanze della Società Britannica per l'avanzamento delle scienze, una nuova tabella contenente i risultati medi generali delle sue osservazioni istituite negli anni 1862, 63, 64, durante le ventidue ascensioni areostatiche da lui compiute in quel lasso di tempo. Questa tabella si riferisce al cielo coperto ed al cielo sereno: è curioso che di essa non si trovi menzione nè nei lavori di Saint-Robert, da lui medesimo raccolti nel 1874, nè nel Libro

---

(\*) Conte PAOLO BALLADA DI SAINT-ROBERT, nato a Verzuolo (Piemonte) nel 1815, morto a Torino il 21 novembre 1888. Le sue memorie sulla livellazione barometrica, rifrazione atmosferica e costituzione fisica dell'atmosfera, sono contenute nel "Philosophical Magazine", vol. 27, Londra 1864; in "Les Mondes, Revue hebdomadaire par M. l'Abbé Moigno", tom. 6, Paris 1864; negli "Atti dell'Accademia delle Scienze di Torino", vol. II, dicembre 1866, vol. III, novembre 1867, e nelle "Memorie dell'Accademia delle Scienze di Torino", serie II, tomo XXV. Questi lavori si trovano pure raccolti in un volume, che è il terzo dei *Mémoires Scientifiques* del Saint-Robert stesso. Torino, Bona, 1874.



TABELLA I, che Siacci chiama **Tabella Glaisher.**

Altezza calcolata colla formola di Laplace $x$	CIELO CHIARO IN PARTE		CIELO COPERTO	
	Perdita di temperatura $t_0 - t$	Umidità relativa dell'aria	Perdita di temperatura $t_0 - t$	Umidità relativa dell'aria
piedi (*)	gradi Fahr. (*)	centesimi	gradi Fahr.	centesimi
0	0	63	0	77
1000	7,2	68	4,5	77
2000	12,5	77	8,7	77
3000	17,1	76	12,8	80
4000	20,5	76	16,5	80
5000	23,2	69	19,6	83
6000	26,0	68		
7000	28,8	64		
8000	31,5	58		
9000	34,1	52		
10000	36,7	52		
11000	39,3	48		
12000	41,9	48		
13000	44,4	43		
14000	46,6	58		
15000	48,7	53		
16000	50,8	45		
17000	52,7	33		
18000	54,5	21		
19000	56,3	36		
20000	57,8	33		
21000	59,1	32		
22000	61,4	21		
23000	62,4	16		
24000	63,7			
25000	64,8			
26000	65,8			
27000	66,8			
28000	67,7			
29000	68,5			
30000	70,0			

(\*) Un piede inglese equivale a m. 0,3048. Un grado Fahr. equivale a  $\frac{5}{9}$  di grado centigrado.



di Grassi sulla livellazione barometrica, stampato nel 1876, nè nei recentissimi lavori di Siacci. Questa tabella del 1864 è completa per la perdita di temperatura fino a 30000 piedi inglesi (metri 9144) e per l'umidità relativa fino a 23000 piedi (m. 7010). Essa rivela un andamento molto più lento di quello che appare nella prima tabella, tanto nella perdita di temperatura quanto nell'umidità relativa.

È evidente che i risultati di Saint-Robert e Siacci sarebbero stati assai diversi, se essi si fossero serviti della tabella del 1864, tanto più completa di quella da essi impiegata, essendo il risultato di ben quindici ascensioni, anzi che di sette solamente quale è quella del 1862. La tabella 1864 di Glaisher fu riprodotta (con qualche leggiera inesattezza) da Enrico Hartl, in una recensione dei lavori di Saint-Robert pubblicata nella *Zeitschrift der Oesterreichischen Gesellschaft für Meteorologie*, XII. Band, 1877.

A proposito della tabella I (1862) da noi riprodotta, Siacci scrive quanto segue (\*):

“ In questa tabella mancano le temperature e le pressioni alle varie altezze, ossia mancano la temperatura e la pressione iniziali, colle quali le temperature e le pressioni successive si ricostituiscono facilmente. Noi adotteremo la pressione iniziale di 30 pollici inglesi, e la temperatura iniziale di 526°,2 Fahrenheit, assunte dal Saint-Robert.

“ La pressione di 30 pollici corrisponde quasi esattamente alla pressione normale di 0,76 m., e la temperatura di 526°,2 è stata stabilita molto probabilmente dal Saint-Robert in questo modo. Siccome nella massima ascensione la minima temperatura osservata da Glaisher fu di — 5° Fahr. aggiungendo a questa la massima perdita notata nella tabella, cioè 70°, si ha per temperatura iniziale 65° Fahr. La temperatura del ghiaccio fondente è 32 Fahr. e quindi la temperatura iniziale è di 33° superiore

---

(\*) *Sulla costituzione atmosferica quale risulta dalle osservazioni aereostatiche di James Glaisher e sopra una nuova formola barometrica* (“ Atti della R. Accademia delle Scienze fisiche e matematiche di Napoli „, Serie II, Vol. VIII, N° 11). Di questa importante memoria fu fatta un'ampia recensione nel fascicolo pel febbraio 1898 della “ *Meteorologische Zeitschrift* „, e nella “ *Rivista di Topografia e Catasto* „ (Torino), Vol. X.



a quella del ghiaccio fondente. Aggiungendo a  $33^{\circ}$  la temperatura assoluta del ghiaccio fondente cioè  $493^{\circ},2$ , risulta per temperatura assoluta iniziale  $526^{\circ},2$  „.

Dopo la tabella di Glaisher, Saint-Robert scrive quanto segue.

“ Afin d'éviter un cercle vicieux, on doit écarter les hauteurs calculées par la formule de Laplace, laquelle est fondée sur une loi du décroissement de la chaleur en contradiction avec les observations de M. Glaisher, et il faut trouver la pression qui correspond à chaque température et à chaque état d'humidité. A cet effet, il faut faire l'opération inverse de celle qu'a employée M. Glaisher pour calculer les hauteurs. L'altitude  $z$  étant connue, la pression qui y correspond est donnée par la formule

$$\log \frac{p}{p_0} = - \frac{z}{60159 \left( 1 + \frac{\theta + \theta' - 64}{900} \right)} \quad (1)$$

où  $\theta$  et  $\theta'$  désignent les températures du thermomètre Fahrenheit.

“ En opérant de la sorte, nous avons obtenu le tableau suivant, qui présente les températures, les pressions et les densités rapportées aux éléments analogues au niveau de la mer, pris pour unité de chaque espèce (V. Tabella II).

“ Pour calculer la première et la deuxième colonne, on a supposé qu'au niveau de la mer on eût

$$t_0 = 526^{\circ},2, p_0 = 30 \text{ pouces.}$$

La troisième colonne a été calculée au moyen des tables de M. Regnault de la force élastique de la vapeur. La quatrième a été calculée au moyen de l'équation

$$\frac{\rho}{\rho_0} = \frac{t_0}{t} \left( \frac{p - m\omega}{p_0 - m\omega_0} \right), \quad (*) \quad (2)$$

$1 - m$  étant le rapport de la densité de la vapeur à la densité

---

(\*)  $p$  e  $p_0$  sono le pressioni dell'aria,  $t_0$  e  $t$  ( $\theta'$  e  $\theta$  Fahr.) corrispondenti alla densità  $\rho_0$  e  $\rho$ .



TABELLA II, che Siacci chiama:

Tabella Glaisher-

CIELO CHIARO IN PARTE					
Temperatura	Pressione	Pressione del vapore	Densità dell'aria	Altezza calcolata colle quadrature	
				Senza riguardo alla variazione della gravità	Con riguardo alla variazione della gravità
$\frac{t}{t_0}$	$\frac{p}{p_0}$	pollici	$\frac{\rho}{\rho_0}$	piedi $x$	piedi $z$
1,0000	1,0000	0,39	1,0000	0	0
0,9863	0,9648	0,33	0,9788	1002	1002
0,9763	0,9305	0,30	0,9540	2001	2001
0,9675	0,8971	0,25	0,9286	3000	3000
0,9610	0,8648	0,22	0,9013	3994	3995
0,9559	0,8335	0,18	0,8738	4987	4988
0,9506	0,8032	0,16	0,8469	5978	5980
0,9453	0,7737	0,14	0,8206	6974	6976
0,9401	0,7453	0,11	0,7951	7964	7967
0,9352	0,7177	0,09	0,7700	8957	8961
0,9303	0,6911	0,08	0,7454	9945	9950
0,9253	0,6652	0,07	0,7215	10939	10945
0,9204	0,6402	0,06	0,6982	11931	11938
0,9156	0,6161	0,05	0,6754	12919	12927
0,9114	0,5928	0,06	0,6527	13907	13916
0,9074	0,5703	0,05	0,6309	14894	14905
0,9035	0,5486	0,04	0,6096	15879	15891
0,8997	0,5277	0,03	0,5890	16861	16875
0,8964	0,5076	0,015	0,5688	17839	17854
0,8930	0,4879	0,02	0,5487	18832	18849
0,8902	0,4694	0,02	0,5296	19798	19817
0,8877	0,4515	0,02	0,5108	20767	20788
0,8833	0,4338	0,01	0,4934	21760	21783
0,8814	0,4172	0,008	0,4756	22725	22750
0,8789	0,4011		0,4586	23696	23723
0,8769	0,3857		0,4420	24659	24688
0,8750	0,3709		0,4260	25619	25650
0,8731	0,3566		0,4105	26582	26616
0,8713	0,3429		0,3954	27539	27575
0,8698	0,3297		0,3809	28497	28536
0,8670	0,3167		0,3671	29476	29518







de l'air à la même température et à la même pression (selon Gay-Lussac  $m = \frac{3}{8}$ ); et la cinquième au moyen de l'équation

$$x = h \int_p^{p_0} \frac{\rho_0}{\rho} d\left(\frac{p}{p_0}\right). \quad (3)$$

La sixième donne la valeur de  $r_0 - r$  ou de l'altitude lorsqu'on n'a pas égard à la variation de la gravité „.

È curioso che l'intestazione della sesta colonna è “ En ayant égard à la variation de la pesanteur „, e contiene dati calcolati appunto in quella condizione, e come fece vedere Siacci secondo la formola

$$z = \frac{x}{1 - \frac{x}{R}} \quad (R = 20888780 \text{ piedi}).$$

Saint-Robert continua così:

“ La hauteur d'une atmosphère homogène, à la température de la glace fondante, sous la pression de 30 pouces de mercure, a été supposée de 26254 pieds; de sorte qu'à la température absolue  $t_0$ , sous la pression  $p_0$ , et avec un mélange de vapeur à la pression  $w_0$ , la hauteur sera

$$h = 26254 \frac{t_0 p_0}{493,2 (p_0 - m w_0)} \text{ „ }.$$

Per il cielo sereno in parte risulta dai dati  $h = 28148$ ; per il cielo coperto  $h = 28180$ . Con questi valori di  $h$  furono calcolate la colonna quinta e sesta della tabella II.

Saint-Robert deduce dalla tavola II che *in complesso (en somme)* le densità crescono quasi uniformemente al crescere dell'altezza. Per rappresentarle egli propone la formola

$$\frac{\rho}{\rho_0} = 1 - ax, \quad (A)$$

nella quale  $x$  è l'altezza ed  $a = 0,00002266$  un coefficiente determinato col metodo dei minimi quadrati.

Saint-Robert pensava che agli scopi che egli si prefiggeva,



della livellazione barometrica cioè e della rifrazione terrestre, la legge della semplice proporzionalità adottata anche da Laplace nella determinazione della rifrazione terrestre bastava, essendo essa sensibilmente esatta dal livello del mare fino all'altezza di 30000 piedi. Egli ben vide le conseguenze fisicamente impossibili della sua legge e così si espresse al riguardo:

“ Il s'ensuit que l'équilibre de la couche extrême ne saurait exister. Mais nous ne devons pas perdre de vue que, pour notre but de déterminer des hauteurs et des réfractions, il suffit que la loi adoptée représente la constitution de l'atmosphère dans la première enveloppe d'air près de la surface terrestre; et qu'il est inutile considérer les couches plus élevées qui n'ont aucune action sensible sur les quantités qu'il s'agit de déterminer „.

Con ciò resta bene assodato che il Saint-Robert ben conosceva le conseguenze cui conduceva la sua legge, accennate poi anche dal colonnello Siacci.

Il nostro autore dimostra poi che anche la formola di Laplace, estesa fino al limite dell'atmosfera, conduce a conclusioni tanto errate quanto la sua.

In quell'occasione avvertendo, come l'equilibrio dell'atmosfera esiga che la densità dell'aria vada diminuendo dal basso all'alto, dimostra che onde ciò si verifichi è necessario che il decrescimento della temperatura sia più lento di  $1^\circ$  ogni  $29^m,172$  d'innalzamento.

La legge che regola l'andamento della temperatura nell'ipotesi della variazione della densità data dalla formola risulta al Saint-Robert la seguente:

$$\frac{t}{t_0} = \frac{2h - 2x + ax^2}{2h(1 - ax)}. \quad (B)$$

Evidentemente questa formola diviene infinita per  $x = \frac{1}{a}$  cioè a 44131 piedi d'altezza pari a 13451 metri.

Dalla formola (B) e nei limiti ad essa assegnati dal suo autore si deduce che l'altezza della quale occorre innalzarsi affinchè la temperatura si abbassi di un grado cresce a misura che l'elevazione sul mare aumenta, come deve verificarsi conformemente alle osservazioni di Glaisher.



Per  $x = \frac{1}{a}$ , come notò il Saint-Robert, la densità è nulla, mentre la pressione è 0,2161 il che è fisicamente impossibile, cioè, come egli ripete, la sua formola non vale oltre i limiti assegnati da lui stesso.

## II.

Il Saint-Robert, dopo aver studiato come vedemmo la costituzione fisica dell'atmosfera, viene ad occuparsi della rifrazione atmosferica. Egli dopo aver osservato con Biot che la rifrazione dipende essenzialmente dalla costituzione degli strati bassi dell'atmosfera, e per nulla da quella del resto dell'atmosfera e dopo aver svolte alcune considerazioni al riguardo così scrive:

“ La conséquence à tirer de tout ce raisonnement, c'est que, quant à la réfraction astronomique, il suffit de connaître la constitution d'une enveloppe d'air d'une épaisseur comparativement petite. Les observations de M. Glaisher nous fournissent cette connaissance jusqu'à 30000 pieds, ce qui est bien suffisant pour notre but. Quant aux réfractions terrestres, on n'a jamais à observer des objets terrestres au delà des couches aériennes que M. Glaisher a explorées. Donc nous possédons des données suffisantes pour calculer les deux réfractions „.

Il nostro autore poi adottando l'opinione di Laplace, confermata sperimentalmente da Biot ed Arago, che l'effetto dell'umidità dell'aria sulla rifrazione è assai poco sensibile, conchiude che quanto al potere rifrangente dell'aria, si può sostituire l'aria secca all'aria umida alla medesima temperatura e pressione.

Su questo principio egli calcola una tavola dei decrescimenti della densità dell'aria, ritenuta secca, a varie altezze, da sostituirsi, quando si tratti degli effetti ottici dell'aria, a quella data prima. Da questa egli deduce, col metodo dei minimi quadrati un rapporto di decrescimento

$$a = 0,00002276,$$

invece di quello  $a = 0,00002266$  trovato prima. Questi valori sono riferiti al piede inglese come unità di lunghezza, se invece per questa si addotta il metro, si ha per l'aria umida

$$a = 0,00007435,$$



come trovò il colonnello Hartl (\*). Nel calcolare una sua tavola ipsometrica speditiva, Saint-Robert ha posto  $a = 0,00008$ , quando l'unità di lunghezza adoperata sia il metro. Nello studiare poi l'ipotesi sulla rifrazione adottata in geodesia, che cioè la rifrazione è proporzionale all'angolo formato al centro della terra dalle verticali dei due luoghi che si considerano, Saint-Robert ne dedusse  $a = 0,00002275$ , riferito a piedi inglesi.

Il colonnello Hartl in una sua recensione dei lavori di Saint-Robert, nel 1877, ebbe a dimostrare che la legge di questi sul decrescimento della densità non si adatta troppo alle osservazioni di Glaisher. Ma giova notare che a questo proposito Saint-Robert stesso scriveva quanto segue:

“ En jetant les yeux sur la table III (quella delle densità), on voit que la loi de décroissement uniforme s'approche beaucoup de la loi réelle de décroissement. A la vérité, la diminution de densité est plus lente, à mesure qu'on monte; mais la loi de décroissement uniforme est sensiblement exacte depuis le niveau de la mer jusqu'à la hauteur de 30000 pieds; tandis que l'hypothèse de Bessel diffère encore plus de l'observation directe „.

Il conte Paolo di Saint-Robert applica poi la sua legge di densità alla formola barometrica ed alla rifrazione atmosferica: ma di ciò non è nostra intenzione il discorrere qui.

La legge di densità di Saint-Robert con  $a = 0,00008$  fu adottata dal prof. Guido Grassi, attualmente professore di elettrotecnica nel R. Museo Industriale Italiano in Torino, nel suo saggio *Sulla misura delle altezze mediante il barometro* (Milano, Hoepli, 1876). In questo pregevole libro si hanno alcune note sull'equilibrio, temperatura e costituzione fisica dell'aria. Quest'ultima è studiata teoricamente dal punto di vista della teoria cinetica dei gas, con riguardo alla determinazione dell'altezza dell'atmosfera.

È bene rammentare qui il nome del genovese Balliani che nel 1630, intravedeva pel primo il peso dell'aria, e ne scriveva

---

(\*) *Siacci's Formeln zur Darstellung der Resultate der Ballonfahrten Glaisher's* (“ Meteorologische Zeitschrift „, 1898, p. 47).



a Galileo preparando e compiendo quasi quella famosa esperienza, per la quale levossi in tanto grido Torricelli (\*).

Avendo accennato a speculazioni sull'altezza dell'atmosfera, è bene non dimenticare quelle dell'illustre Giovanni Schiaparelli. Questo insigne astronomo, dai fenomeni delle stelle cadenti è condotto ad ammettere che il limite superiore della nostra atmosfera si trovi oltre i 200 chilometri sul livello del mare. Opinione che egli trova confermata dalle ricerche di Liais, e dalle determinazioni istituite in America dell'altezza delle aurore boreali (\*\*).

### III.

Nella sua memoria già citata, Siacci, come si disse, parte dalle osservazioni di Glaisher, che egli riporta nella tabella originale di Glaisher medesimo, ed in quella modificata di Saint-Robert. Questa tabella fu ridotta ad essere espressa in gradi centesimali ed in misure metriche dal colonnello Hartl, nella recensione della memoria di Siacci già menzionata; ma soltanto *per il cielo coperto in parte*.

Siacci espone il contenuto e lo scopo della sua memoria, per quanto riguarda la costituzione fisica dell'atmosfera nei paragrafi seguenti, che costituiscono come l'introduzione alla parte seconda del lavoro che stiamo esaminando, oltre la quale noi non ci spingeremo, giacchè non intendiamo qui occuparci di formole di ipsometria barometrica.

“ In questa memoria noi diamo due formole che legano le temperature e le tensioni del vapore, colle altitudini e colle pressioni, e che riproducono con grande esattezza le osservazioni di Glaisher. La principale è, naturalmente, quella delle temperature. Se si definisce *velocità di raffreddamento* il decremento di temperatura diviso per il corrispondente incremento dell'altezza, e si definisce *accelerazione di raffreddamento* il decremento

---

(\*) ZANOTTI BIANCO OTTAVIO, *Sulla livellazione barometrica*, 1874. — GOVI GILBERTO, *Intorno al primo scopritore della pressione atmosferica*, “ Atti dell'Accademia delle Scienze di Torino „, Vol. II, p. 562.

(\*\*) SCHIAPARELLI, *Entwurf einer Astronomischen Theorie der Sternschnuppen*. Stettin 1871.



di cotesta velocità diviso anche per il corrispondente incremento dell'altezza, la legge che deriva dalle osservazioni di Glaisher può enunciarsi così: *l'accelerazione di raffreddamento è uguale a 11 volte il quadrato della velocità, diviso per la temperatura assoluta*. Cotesto numero 11 probabilmente è proprio delle verticali di Glaisher, ma credo che se si generalizza dicendo, che l'accelerazione di raffreddamento è proporzionale al quadrato della velocità diviso per la temperatura assoluta, la legge possa applicarsi ad ogni verticale; ed il coefficiente di proporzionalità sarà positivo, se, come dalle osservazioni di Glaisher, la temperatura decresce meno rapidamente che non crescano le altezze.

“ La formola del vapore corrisponde al seguente enunciato: *la tensione del vapore a qualunque altezza è proporzionale alla potenza  $4 + \frac{1}{3}$  della pressione dell'aria*, enunciato che combina perfettamente colle osservazioni di Glaisher.

“ Quando si possederanno molte serie d'osservazioni comparabili, per accuratezza d'osservatori e per eccellenza d'istrumenti, alla serie di Glaisher, solo allora si potrà asserire se tali leggi valgano o no per tutte le verticali. Probabilmente non le leggi, ossia le formole, ma i soli numeri 11 e  $4 + \frac{1}{3}$  (che diremo in seguito *esponenti di raffreddamento e di umidità*) subiranno, secondo le diverse verticali, qualche cambiamento „.

Nel § 2: *Formole fondamentali*, il problema è così posto.

“ Le formole fondamentali sono:

$$(1) \quad \rho = \frac{p - mw}{ct}, \quad (II) \quad dp = -g\rho dr,$$

ove  $\rho$  è la densità dell'aria,  $t$  la temperatura assoluta,  $p$  la pressione atmosferica,  $w$  la tensione del vapore,  $m = \frac{3}{8}$ ,  $g$  la gravità,  $r$  la distanza del punto considerato dal centro della terra, e  $c$  è un coefficiente costante che, dinotando  $\tau$  la temperatura assoluta del ghiaccio fondente, è dato, secondo le più recenti determinazioni, in misure metriche da

$$(1) \quad c\tau = \frac{(0,76)(13595,8)}{1,293052} G = (7991,02) \times (9,80604) (*).$$

(\*) Nel coefficiente di  $G$  i numeri 13595,8 ed 1,293052 sono i pesi specifici del mercurio e dell'aria a 0° sotto la pressione di 0,76 m. — (*Tables météorologiques*, Paris 1890, p. 37 A).



In essa  $G$  è la gravità a  $45^\circ$  di latitudine ed al livello del mare. Sia  $R = 6366786 \text{ m}$  il raggio terrestre alla latitudine di  $45^\circ$ .  $g_0$  e  $g$ , le gravità sulla verticale della latitudine  $\lambda$  ed alle distanze  $r_0$  ed  $r$  dal centro della terra pongo

$$\frac{r_0}{r} (r - r_0) = x, \quad r - r_0 = z \text{ „}$$

A questo riguardo Siacci scrive: “ Notiamo che la vera altitudine è  $z$  se la stazione inferiore è al livello del mare, ed è  $z + a$  se  $a$  è l'altitudine della stazione inferiore;  $x$  è alquanto minore di  $z$ , ma ne differisce ben poco, se  $z$  non è molto grande. A scanso d'equivoci noi riserviamo la parola *altitudine* esclusivamente ad  $a + z$ ; e designamo la  $x$  colla parola *altezza* „.

Con queste notazioni si ottiene facilmente

$$dp = - g_0 \rho dx.$$

Al § 3. *Nuove formole. Formola della temperatura.* Siacci così incomincia: “ Per determinare la costituzione atmosferica le formole (I) e (II) non sono sufficienti; occorrono, come si disse, due altre formole che esprimano la legge della temperatura e la legge della pressione del vapore. Noi proponiamo le seguenti:

$$(III) \quad \frac{d^2 t}{dx^2} = \frac{n}{t} \left( \frac{dt}{dx} \right)^2, \quad (IV) \quad \frac{\omega}{p^{\mu+1}} = \text{cost.},$$

le quali con  $n = 11$ , e  $\mu + 1 = 4 + \frac{1}{3}$  corrispondono agli enunciati dati in principio (\*), e verificano, come vedremo, le osservazioni di Glaisher „.

Giova avvertire che Siacci *propone* le sue due equazioni, e fa vedere che con esse si soddisfa alle osservazioni di Glaisher, ma non espone i criteri e le ragioni che lo indussero a tale

---

(\*) Infatti, per definizione, la velocità e l'accelerazione di raffreddamento sono date da:  $-\frac{dt}{dx}$  e  $\frac{d^2 t}{dx^2}$ .

Notiamo anche che la (III) equivale a questa:

$$\frac{d^2 t}{\left(d \frac{1}{r}\right)^2} = \frac{n}{t} \left( \frac{dt}{d \frac{1}{r}} \right)^2.$$



proposta. Qui crediamo pregio dell'opera il trascrivere parte dell'introduzione del lavoro di Siacci.

“ Se si considera l'atmosfera come un fluido in equilibrio, la pressione, la temperatura, l'umidità e la densità dell'aria lungo una verticale qualunque sono funzioni dell'altitudine. Le quattro prime quantità sono legate da un'equazione ben nota, ed è pur nota l'equazione differenziale dell'equilibrio. A determinare pertanto la costituzione atmosferica, anche limitata ad una data verticale, occorrono due altre equazioni.

“ Mutando la verticale varieranno in generale anche queste due equazioni suppletive, ma è assai probabile, se non certo, che la loro forma non muti, come non muta per esempio la forma dell'equazione del moto dei pianeti, passando da un pianeta all'altro, sebbene varino le costanti arbitrarie. Nel caso di una verticale atmosferica, le costanti arbitrarie dipenderanno dalle condizioni fisiche della superficie terrestre al piede della verticale stessa, onde immaginando differenziate quante volte occorre le due equazioni suppletive per una data verticale, esse perderanno le costanti arbitrarie, e varranno allora per qualunque altra verticale. Tali equazioni differenziali, insieme alle due note, accennate in principio, rappresenteranno la costituzione generale dell'atmosfera.

“ Ma per giungere a tale risultato occorrono osservazioni molte e soprattutto accurate, su molte verticali, alle più grandi altezze possibili, mentre le osservazioni che possediamo sono ancora ben lontane dalla quantità e specialmente dalla qualità necessaria. Possono tuttavia avviare alla formazione delle suddette equazioni differenziali le osservazioni fatte da Glaisher in otto ascensioni areostatiche, in una delle quali raggiunse l'altezza di circa 29000 piedi (circa 9000 metri) „.

Dall'equazione (III) con due integrazioni successive si ricava

$$t = t_0 \left\{ 1 + \frac{n-1}{k} \left( \frac{g_0}{ct_0} \right) \left( \frac{t_0}{\tau} \right) x^n \right\}^{-\frac{1}{n-1}} = \frac{526,2}{(1 + 0,00011x)^{\frac{1}{10}}}.$$

In questa  $c$  è la stessa costante dell'equazione (I). “ La quantità  $k$  è una costante, il cui valore può variare da luogo a luogo, e può anche variare da un'epoca all'altra per le stesse



cause che fanno variare da un'epoca all'altra la temperatura, la pressione e l'umidità in un medesimo luogo „. In altre parole  $k$  è una funzione, variabile col tempo, colla latitudine, e forse coll'altezza, ma che si ammette costante, nell'ignoranza in cui si è della sua legge di variazione.

Per riprodurre le osservazioni di Glaisher, Siacci pone  $k = 6,6$ . Egli poi da una tabella nella quale sono registrati i valori di  $t_0 - t$ , perdite di temperatura, ottenute colla sua formola, con quella da noi già data di Saint-Robert, e con quella di Laplace  $t = \sqrt{t_0^2 - \alpha x}$ ; in questa  $\alpha$  è una costante, della quale Laplace non ha dato il valore, perchè si elimina nella sua formola barometrica. Siacci determinò  $\alpha$  colla condizione che verifichi la temperatura iniziale  $t_0 = 526,2$  e la temperatura  $t = 526,2 - 70$  che compete ad  $x = 29476$ , che è il massimo valore di  $x$  nella tabella Glaisher-Saint-Robert. Così egli ottenne  $t = \sqrt{t_0^2 - 2,3016 x}$ . È chiaro che  $\alpha$  è anche essa variabile a seconda della serie d'osservazioni che si addotta per determinarla. La tabella dello Siacci fu da lui riprodotta con tre diagrammi in una tavola che accompagna la sua memoria, assieme ad un'altra sulla quale stanno disegnate dei diagrammi relativi alla densità dell'aria, ed alla tensione del vapore. Circa la sua formola per la temperatura, Siacci scrive quanto segue: “ L'accordo della formola proposta colle osservazioni è quasi perfetto al disopra di 5000 piedi: i segni delle differenze si alternano più volte, o la differenza massima è di  $1^{\circ},2 \left( \frac{2}{3} \right)$  di grado centesimale ) a 28497 piedi (8686 m.). Al disotto di 5000 piedi, dove la temperatura è perturbata dalle circostanze locali, le differenze sono alquanto più forti, ma sono di segno contrario, pel cielo in parte chiaro e pel cielo coperto.

La formola di Siacci espressa in gradi centigradi ed in metri è

$$t = \frac{292,33}{\{ 1 + 0,0003615x \}^{1/10}}.$$

Per la tensione del vapore Siacci si serve della formola

$$\omega = \omega_0 \left( \frac{p}{p_0} \right)^{4 + \frac{1}{3}}.$$



E con essa calcola una tabella nella quale sono notate le pressioni  $w$  in pollici, provenienti da questa formola in confronto di quelle osservate, e notate nella tabella Glaisher-Saint-Robert, ed in confronto di quelle provenienti da altre formole „.

Queste altre formole sono quelle di Saint-Robert e Ruhlmann.

Secondo Siacci la formola di Saint-Robert sarebbe  $w = \frac{p}{75}$ .

Saint-Robert non la diede esplicitamente, ma al luogo citato da Siacci scrive (\*):

“ Lorsque le degré d'humidité aux deux stations n'est pas connu, on peut employer la formule très simple

$$x = A \frac{H_0 - H}{\frac{H_0}{t_0} + \frac{H}{t}},$$

en augmentant quelque peu la constante  $A$  pour y comprendre la correction due à l'effet de l'humidité. Un accroissement de  $\frac{1}{200}$  correspond à une force élastique de la vapeur aux deux stations de  $\frac{1}{75}$  des pressions atmosphériques respectives „.  $H_0$  ed  $H$  sono le due altezze del barometro ridotte alla temperatura del ghiaccio fondente, nelle due stazioni.

Le differenze che risultano tra le osservazioni e la formola di Siacci non ammontano che a 3 centesimi di pollice all'altezza di 5002 piedi col cielo coperto; col cielo in parte chiaro la differenza massima è di 2 centesimi di pollice: differenze ben piccole, un centesimo di pollice essendo eguale ad un quarto di millimetro. Siacci fa ancora notare che quantunque la sua formola discordi da quella ben nota di Hann per altitudini piuttosto considerevoli, essa fornisce risultati quasi esattamente coincidenti con quelli dati dalla formola di Hann, quando si ponga  $\mu + 1 = 3$ , cioè prendendo la tensione del vapore proporzionale al cubo della pressione atmosferica.

Per la relazione tra la pressione e la temperatura, Siacci dà la formola

$$\log \frac{p_0 + m'w_0}{p + m'w} = \frac{k}{nM} \left\{ \left( \frac{\tau}{t} \right)^n - \left( \frac{\tau}{t_0} \right)^n \right\},$$

(\*) *Mémoires scientifiques*, vol. III, p. 195.



in cui

$$M = \frac{1}{\log e} = 2.302585; m' = \frac{m}{\mu} = \frac{9}{80} = 0,1125,$$

$$p_0 = 30 \text{ pollici}, \omega_0 = 0,39, \tau = 493,2, n = 11, k = 6,6 \text{ e } \frac{ct_0}{g_0} = 28011,$$

in cui  $g_0$  è la gravità ad una latitudine  $\lambda$ , ed all'altezza  $r_0$  — R sulla superficie terrestre ed è  $g_0 = G(1 - 0,0026 \cos 2\lambda) \left(\frac{R}{r_0}\right)^2$  ed  $R = 6366786 \text{ m} = 20888780 \text{ piedi}$  è il raggio della Terra a  $45^\circ$  di latitudine.

Per la densità poi la formola di Siacci è la seguente, coi dati numerici già trascritti:

$$\frac{\rho}{\rho_0} = \frac{t_0}{t} 10^{-L} \left\{ 1,00634 - (0,00634) 10^{-\frac{10L}{3}} \right\}$$

nella quale

$$L = 0,1278 \left\{ \left(\frac{t_0}{t}\right)^{11} - 1 \right\} \text{ e } \frac{t_0}{t} = (1 + 0,00011x)^{\frac{1}{10}}.$$

Nelle quali le temperature sono assolute in gradi Fahrenheit e le lunghezze in piedi. Il signor Hartl le ha ridotte ad essere espresse in metri e gradi centesimali così:

$$\frac{t_0}{t} = (1 + 0,0003614x)^{\frac{1}{10}}, L = 0,1229 \left\{ \left(\frac{t_0}{t}\right)^{11} - 1 \right\}$$

$$\frac{\rho}{\rho_0} = \frac{t_0}{t} \cdot 10^{-L} \left\{ 1,00634 - 0,00634 \cdot 10^{-\frac{10}{3}L} \right\}.$$

È facile il vedere come diviene complicata la legge della variazione della densità in funzione dell'altezza solamente. Una tabella e dei diagrammi attestano che la nuova formola fornisce delle densità che camminano assai bene d'accordo con quelle osservate.

Il resto della memoria di Siacci è dedicato a stabilire una formola d'ipsometria barometrica, in base alla costituzione fisica dell'atmosfera, da lui proposta; ma dell'ipsometria già lo dicemmo non è nostro intendimento l'occuparci ora.



Siccome anche recentemente fu detto delle ascensioni di James Glaisher, come avvenute fra il 1850 ed il 1870 così giova avvertire che il *Catalogue of Scientific Papers Compiled by the Royal Society of London*, e che col supplemento stampato nel 1894 giunge fino al 1883, non ha cenno di scritti di Glaisher se non di quelli relativi ad ascensioni eseguite tra il 1862 ed il 1866, le relazioni delle quali sono stampate nei *Reports of the Meetings of the British Association for the Advancement of Science* per i detti anni. Mendelejeff che ha dedotto dalle osservazioni di James Glaisher una legge di decrescimento della temperatura coll'altezza, così scrive (\*):

“ On ne peut donc pas déduire une moyenne générale des différences obtenues dans les ascensions qui ont été exécutées dans des conditions très variables de température au niveau du sol; or, plus la température des couches d'air qui rasent le sol est élevée, plus la diversité des températures correspondantes à la même élévation au dessus de la terre est considérable. D'ailleurs les plus grandes hauteurs auxquelles M. Glaisher est parvenu dans ses nombreuses ascensions diffèrent beaucoup entre elles, et la moyenne des différences obtenues lors de ces ascensions sera, pour les couches inférieures, le véritable résumé de toutes les observations, tandis que pour les régions élevées cette moyenne ne pourra se rapporter qu'à quelques-unes des données expérimentales, ce qui fait qu'elle ne différera que davantage de sa valeur réelle.

“ Il est donc impossible de se baser sur les moyennes obtenues par M. Glaisher. Elles ont le mérite d'être d'excellentes données démonstratives, mais n'ont point celui d'offrir un résumé numérique des faits observés „.

La legge di Mendelejeff che lega la temperatura alla pressione è la seguente

$$t = a + bp \quad \text{in cui} \quad a = -36^{\circ}\text{C} \quad \text{e} \quad b = (t_0 + 36^{\circ}) \frac{1}{p_0},$$

$t_0$  e  $p_0$  essendo la temperatura e la pressione presso terra. Osservazioni posteriori fanno ritenere che il valore assoluto di  $a$

---

(\*) *De la température des couches supérieures de l'atmosphère* (“ Archives des Sciences physiques et naturelles „ Genève, 1876, p. 233).



sia d'assai maggiore di quello assegnatogli da Mendelejeff. A proposito della formola di Mendelejeff, ne piace qui riportare l'opinione di un esimio meteorologo italiano, il dottor Luigi De Marchi (\*). “ È molto dubbio però se la formola di Mendelejeff, determinata colle osservazioni degli strati più bassi, sia estensibile anche alle più alte regioni dell'atmosfera. E non si sa comprendere come al limite dell'atmosfera possa essere  $p=0$  per una temperatura così elevata al di sopra dello zero assoluto. Sarebbe necessario perciò supporre che i componenti dell'aria a quell'altezza cessassero di obbedire alla legge di Boyle e Gay Lussac; ma le esperienze di Pictet e Cailletet sulla liquefazione dell'ossigeno e dell'azoto dimostrarono che una tale eccezione non può per essi verificarsi che a temperature molto inferiori. D'altra parte si dimostra colla termodinamica che se la legge di Boyle-Gay Lussac potesse applicarsi fino al limite dell'atmosfera (ove sarebbe  $p=0$  e  $T=0$ ), questa non potrebbe avere un'altezza superiore ai 30 chilometri, mentre le osservazioni sulle stelle cadenti farebbero riconoscere densità sensibili dell'aria ad oltre 150 chilometri d'altezza. È quindi più naturale il supporre che la temperatura dell'aria invece di essere costante a partire da una certa altezza, vada continuamente, per quanto lentamente, diminuendo, e raggiunga valori molto inferiori a quello (temperatura critica) che permette la sua liquefazione, sicchè nonostante la piccola pressione, l'azoto (al quale soltanto si riduce forse l'aria a quell'altezza per la legge di Dalton) possa comportarsi come un vapore, liquefarsi o solidificarsi. Nessuna apparenza contrasta a questa ipotesi, perchè anche il vapore acqueo può solidificarsi nell'aria mantenendosi trasparente. Ammettendo tale possibilità Ritter calcolò che l'atmosfera potrebbe raggiungere 350 chilometri „.

Il Prof. Paolo Pizzetti ha adottato l'ipotesi di Mendelejeff sulla distribuzione verticale della temperatura nell'aria per calcolare la refrazione astronomica (\*\*). In essa calcola alcuni valori del numero di metri di dislivello corrispondente a un grado centigrado di diminuzione di temperatura

---

(\*) *Meteorologia Generale*. Milano, Hoepli, 1888, pp. 82-3.

(\*\*) “ Atti della R. Accad. delle Scienze di Torino „, vol. XXXIII, 1898.



per $t_0 = -10^\circ$	. . . . .	307 metri
0°	. . . . .	222 „
10°	. . . . .	174 „
20°	. . . . .	150 „
30°	. . . . .	134 „

Siacci nella memoria esaminata sopra, trovò dalle osservazioni di Glaisher che l'innalzamento necessario per passare dalla temperatura di  $0^\circ\text{C}$  a quella di  $-1^\circ$  è  $193^{\text{m}},24$ .

Il Prof. Pizzotti avverte poi, come, calcolando le derivate della pressione e della temperatura rispetto all'altezza, per un valore qualunque di essa sia facile dimostrare che la pressione e la temperatura decrescono continuamente coll'altezza e che le velocità di decremento della pressione e della temperatura vanno diminuendo coll'altezza.

Il dottor Luigi De Marchi, già menzionato, nel suo lavoro "*Le cause dell'êra glaciale* „, premiato dal R. Istituto Lombardo di Scienze e Lettere, ebbe occasione di occuparsi della distribuzione verticale della temperatura. Egli giunse alla formola seguente

$$t = -c + (t_s + c) \frac{n}{m + n}$$

nella quale  $-C = t_c + \frac{S + V}{mr\mu}$ , ed  $m, n, r, \mu, S, V$  quantità relative allo stato fisico termico dell'atmosfera che qui non occorre definire.

De Marchi osserva che la sua formola *presenta un'analogia sorprendente con quella di Mendelejeff*, di guisa che questa si può considerare come espressione dell'equilibrio radiante del calore nell'atmosfera, quando si ammettono le seguenti tre condizioni:

1<sup>a</sup> che la temperatura media  $T$  presso terra differisca poco dalla temperatura media  $t_s$  del suolo;

2<sup>a</sup> che sia 
$$t_c + \frac{S + V}{mr\mu} = -42^\circ;$$

3<sup>a</sup> che le frazioni  $(1 - n)$ ,  $(1 - m)$  di calore radiante, che sono assorbite dagli strati d'aria inferiore e superiore all'elemento considerato, si ritengano proporzionali alle rispettive



masse degli strati stessi, e che queste masse si ritengano misurate dai rispettivi pesi, che sono proporzionali alle pressioni  $p$  (per lo strato superiore) e  $p_0 - p$  (per lo strato inferiore); che sia precisamente

$$(1 - m) = \frac{p}{p_0} \quad 1 - n = \frac{p_0 - p}{p_0}$$

donde

$$m + n = 1; \quad \frac{n}{m + n} = \frac{p}{p_0}.$$

Passeremmo oltre i limiti assegnati al presente scritto, se volessimo tenere dietro alla trattazione dell'argomento svolta dal dottor De Marchi: ci limitiamo perciò a trascrivere una parte della relazione, colla quale i signori Celoria, Taramelli, Schiaparelli (relatore), proposero all'Istituto Lombardo di conferire il premio Cagnola, al lavoro del dottore Luigi De Marchi.

“ Per esempio la formula esprime le variazioni della temperatura secondo l'altezza, presenta un'analogia grande con quelle stabilite da Mendelejeff e Oppolzer, sopra basi strettamente empiriche e dà delle medesime un'interpretazione teoretica plausibile, surrogando in quelle formule all'elemento pressione (Mendelejeff) o all'elemento densità (Oppolzer), l'elemento *trasparenza degli strati atmosferici*, di cui l'influsso sull'andamento verticale della temperatura è assai più sicuramente ammissibile. Non è possibile entrare qui nei particolari di questa trattazione teoretica delle temperature atmosferiche, malgrado il sommo interesse che presenta al lettore: dobbiamo limitarci ad esprimere la speranza che all'autore sia dato di continuare i suoi studi in questa materia, e di condurla anche per quanto concerne la forma e il metodo di esposizione, a quel grado di chiarezza e di perfezione, che farà di essa uno dei capitoli più importanti nei futuri trattati di meteorologia teorica „.

Ne piace qui menzionare ancora il lavoro del prelodato sig. dottore De Marchi intitolato: *Le formole di Mendelejef e di Herschel e le recenti misure di temperatura nelle alte regioni dell'atmosfera*, “ Rendiconti dell'Istituto Lombardo „, 1897, nel quale è discusso il valore della formula di Mendelejef rispetto ai nuovi dati sperimentali.



Valgano questi disadorni e troppo incompleti appunti bibliografici (e delle involontarie ommissioni chiediamo venia), qui raccolti, ad attestare che l'Italia ha dato non piccolo contributo allo studio della costituzione fisica dell'atmosfera, in base alle osservazioni di James Glaisher, che oggi ancora forniscono a quello il materiale migliore, più completo e più esteso.

*Un problema di geometria numerativa  
sulle varietà algebriche luogo di  $\infty^1$  spazi.*

Nota del Dr ALBERTO TANTURRI.

Nella memoria: *Una applicazione della geometria enumerativa alle curve algebriche* (v. " Rendic. Palermo „, t. III, 1889, pag. 33) il sig. Castelnuovo dimostra che gli  $S_{q-1}$  di  $S_q$  (spazi lineari a  $q-1$  dimensioni, od *iperpiani* di uno spazio lineare a  $q$  dimensioni) i quali contengono  $q$  generatrici di una rigata algebrica  $\Gamma_p^m$  (di ordine  $m$  e di genere  $p$ ), appartenente ad esso spazio  $S_q$ , sono:

$$\sum_h (-1)^h \binom{m-q+1-2h}{q-2h} \binom{p}{h} = \quad (1)$$

$$= \binom{m-q+1}{q} - \binom{m-q-1}{q-2} \binom{p}{1} + \binom{m-q-3}{q-4} \binom{p}{2} - \dots,$$

ove la somma algebrica si estende sino ad un termine nullo.

Per dualità in  $S_q$ , alla  $\Gamma_p^m$  corrisponde una varietà algebrica (a  $q-1$  dimensioni, o *forma*; o, come anche si dice, *ipersuperficie*) luogo di  $\infty^1 S_{q-2}$ , ancora di ordine  $m$  e di genere  $p$ : e la (1) dà pure il numero dei punti  $q$ -pli (\*) (multipli secondo

(\*) In particolare, per  $q=3$ , si considera una rigata  $\Gamma_p^m$  di  $S_3$  e la forma che gli corrisponde per dualità, forma che è una rigata analoga. La espressione  $\binom{m-2}{3} - \binom{m-4}{1}p$  dà tanto il numero dei piani che contengono tre generatrici di essa, quanto quello dei suoi punti tripli. Prima del sig. Castelnuovo (a quanto sembra) nessuno studiò neppure questo caso particolare: dipoi, il numero dei punti tripli di una rigata di  $S_3$  fu dato dal WIMAN (ved. *Ueber die Doppelcurve auf den geradlinigen Flächen*, " Acta Math. „, XIX, 1895, pag. 65).



$q$ , ossia tali che per ognuno di essi passino  $q$   $S_{q-2}$  generatori) di essa forma. È quindi palese la importanza del risultato del sig. Castelnuovo: chi però volesse ulteriormente convincersi potrebbe guardare le applicazioni della (1) fatte dal prof. Segre nella memoria: *Recherches générales sur les courbes et les surfaces réglées algébriques* (v. " Math. Annalen ", 34, 1889, pagg. 14 e 21).

In vista di essa importanza, mi propongo un quesito più generale, cercando *quanti sono gli iperpiani che contengono il massimo numero di  $S_k$  generatori di una varietà algebrica (a  $k+1$  dimensioni) luogo di  $\infty^1 S_k$* . Il risultato finale (v. la formola del num. 11) può certamente condurre, per le varietà luogo di  $\infty^1 S_k$ , a teoremi analoghi a quelli già citati del prof. Segre (\*).

1. — Una varietà algebrica, luogo di  $\infty^1 S_k$  ( $k > 0$ ), la quale sia di ordine  $m$  e di genere  $p$ , si indica con  $\Gamma_p^m [k+1]$ .

Data, in  $S_n$ , una  $\Gamma_p^m [k+1]$ , il passare per qualcuno dei suoi  $S_k$  generatori è, per un  $S_{n-1}$ , condizione multipla secondo  $k$ . Esiste dunque, in generale, se  $\frac{n}{k}$  è intero, un numero finito di iperpiani contenenti  $\frac{n}{k} S_k$  generatori.

Orbene, noi porremo  $\frac{n}{k} = q$  (intero,  $\geq 1$ ); ed, escluso il caso di  $q=1$ , che non dà evidentemente luogo a ricerca (\*\*), enuncieremo il problema di cui vogliamo occuparci così:

---

(\*) Il Prof. Segre ha osservato che le costruzioni da lui adoperate per ottenere quelle curve (*direttrici*) di una rigata algebrica, le quali incontrano ogni generatrice in un sol punto, si possono estendere senza difficoltà alle varietà a  $k+1$  dimensioni ( $M_{k+1}$ ), luogo di  $\infty^1 S_k$ . Al posto di quelle curve si posson considerare, su una tale  $M_{k+1}$ , per esempio, le  $M_k$  che son luogo di  $\infty^1 S_{k-1}$  giacenti, ad uno ad uno, sugli  $\infty^1 S_k$  di quella. (Il caso  $k=2$  sarà, come mi avverte lo stesso Prof. Segre, diffusamente trattato in una memoria del sig. C. Pagliano da pubblicarsi negli " Annali di Matematica "). Però per la determinazione dell'*indice* spettante al sistema di tutte quelle  $M_k$  che hanno un dato ordine (cioè del numero di quelle  $M_k$  che passano per un conveniente gruppo di  $S_{k-1}$  giacenti sulla  $M_{k+1}$ ) occorre risolvere per una  $M_{k+1}$  di un ordine particolare la questione che qui è trattata in generale (ved. il 2° caso particolare. al num. 12 di questa nota). Da ciò appunto è nato il presente lavoro.

(\*\*) Sul significato che conviene attribuire al problema per  $q=1$ , vedasi la fine del num. 9.



“ *Dati i numeri interi  $k$  e  $q$  ( $k > 0$ ,  $q > 1$ ), quanti  $S_{kq-1}$  contengono  $q$   $S_k$  generatori di una  $\Gamma_p^m[k+1]$  in  $S_{kq}$ ? „.*

Per dualità in  $S_{kq}$ , si ha che tanti sono pure i punti  $q$ -pli di una  $\Gamma_p^m[kq-k]$ .

Noi indicheremo il numero in ricerca con  $\Phi_p^m(k, q)$ : così la (1) dà  $\Phi_p^m(1, q)$ .

2. — Per quanto sarà detto in seguito, conviene notare come, a principio della memoria già citata dei “ Rendiconti di Palermo „, il sig. Castelnuovo giunge a notevoli risultati sul numero degli spazi plurisecanti di una curva algebrica, facendo uso delle considerazioni seguenti:

a) si suppone che il numero (si intende, finito) degli spazi plurisecanti di una data curva algebrica, dipenda (per quel che riguarda i caratteri della curva) solo dall'ordine e dal genere di essa;

b) un sistema *connesso*, costituito da  $t$  curve

di ordini  $m_1, m_2, \dots, m_t$

e di generi  $p_1, p_2, \dots, p_t$

può riguardarsi come una curva d'ordine:

$$m_1 + m_2 + \dots + m_t$$

e di genere:

$$p_1 + p_2 + \dots + p_t - (t - 1) + i,$$

$i$  essendo il numero delle intersezioni (semplici) delle curve parziali (\*).

Ad es., per calcolare il numero (finito) degli spazi plurisecanti di una data curva d'ordine  $m$  e di genere  $p$ , può sostituirsi ad essa:

$b_1$ ) una curva d'ordine  $m - 1$  e di genere  $p$ , con una unisecante;

$b_2$ ) una curva d'ordine  $m - l$  e di genere  $p - 1$ , con un sistema di  $l$  rette:

$$1, 2, 3, \dots, l,$$

---

(\*) Ved. NOETHER, *Ueber die reductiblen algebraischen Curven*, “ Acta Math. „, VIII, 1886, pag. 182.



la cui posizione generica si limita solo col fatto che, ognuna, a partire dalla seconda inclusa, si appoggia solo alla retta precedente; la prima e l'ultima retta soltanto essendo appoggiate alla curva;

c) eseguito (per il computo del numero degli spazi plurisecanti) uno spezzamento della curva data, conforme è detto in b), nel numero da calcolarsi non vanno compresi quegli spazi che passano per punti comuni alle linee d'ordine minore sostituite alla data.

Delle stesse considerazioni precedenti si fa uso, allorchè, per calcolare il numero degli spazi plurisecanti di una curva algebrica, si sostituisce:

b') ad una curva razionale d'ordine  $m$  un sistema di  $m$  rette consecutive, vale a dire in ordine determinato (o contrassegnate coi numeri  $1, 2, \dots, m$ ), e la cui posizione generica si limita solo col fatto che, a partire dalla seconda, inclusa, ognuna si appoggia solo alla precedente;

b'') ad una curva ellittica d'ordine  $m$ , il sistema stesso nel quale però prima ed  $m^{\text{ma}}$  retta abbiano un punto a comune (\*).

3. — Ciò premesso, il sig. Castelnuovo giunge alla (1) facendo uso, per le rigate, di ipotesi analoghe alle a) e c) e di una proposizione analoga alla b). Così, ad una  $\Gamma_p^m [2]$  (rigata di ordine  $m$  e di genere  $p$ ) sostituisce:

$\beta_1$ ) una  $\Gamma_p^{m-1} [2]$  ed un fascio di raggi, avente con essa un elemento a comune. E si trova allora la formola di riduzione:

$$\Phi_p^m(1, q) = \Phi_p^{m-1}(1, q) + \Phi_p^{m-2}(1, q - 1), \quad (2)$$

l'ultimo termine ottenendosi mediante proiezione dal centro del fascio su un iperpiano;

$\beta_2$ ) una  $\Gamma_{p-1}^{m-2} [2]$ , con due fasci di raggi, aventi tra loro un elemento a comune, ed ognuno un elemento a comune con la rigata  $\Gamma_{p-1}^{m-2} [2]$ . E si trova allora l'altra formola di riduzione:

$$\Phi_p^m(1, q) = \Phi_{p-1}^{m-2}(1, q) + 2 \Phi_{p-1}^{m-3}(1, q - 1). \quad (3)$$

---

(\*) Di questi spezzamenti mi sono valso, con profitto, in un lavoro, che vedrà prossimamente la luce negli "Annali di Matematica".



Per  $q = 2$ , si ha:

$\Phi_p^m(1, 2) =$  numero delle tangenti doppie di un inviluppo piano di classe  $m$  e di genere  $p$ ,

$$= \binom{m-1}{2} - p; \quad (4)$$

espressione questa che soddisfa alla (2) ed alla (3), purchè si ritenga  $\Phi_p^m(1, 1) = m$  (v. al num. 9) (\*).

Per procedere innanzi, in analogia a quanto è detto in  $b'$ ) ed in  $b''$ ) (v. num. precedente), riterremo che:

$\beta'$ ) è per noi una  $\Gamma_0^m[k+1]$  un sistema di  $m$  fasci di  $S_k$ , consecutivi tra loro: vale a dire fasci in ordine determinato e tali che la loro posizione generica sia limitata solo dall'avere ognuno di essi (a partire dal secondo, incluso) un elemento ( $S_k$ ) a comune col precedente. In seguito, per brevità, diremo che i sostegni:

$$a_1, a_2, \dots, a_m,$$

di essi fasci (soddisfacenti alla condizione che  $a_i$  giace sempre in un  $S_k$  con  $a_{i-1}$  ( $i = 2, 3, \dots, m$ )) formano un sistema semplice.

$\beta''$ ) è per noi una  $\Gamma_1^m[k+1]$  lo stesso sistema precedente, solo che, inoltre, primo ed ultimo fascio hanno un elemento a comune.

4. — Nel caso di una varietà razionale, noi consideriamo dunque gli  $m$   $S_{k-1}$ :

$$a_1, a_2, a_3, a_4, a_5, \dots, a_{m-2}, a_{m-1}, a_m;$$

---

(\*) Se si fa una tale convenzione, bastano le (2) e (3) per scrivere la (1), purchè si ammetta che  $\Phi_0^{2(q-1)}(1, q) = 0$ , o che  $\Phi_0^{2(q-1)+1}(1, q) = 1$ .

Basta anzi la sola (3) (senza nemmeno far la convenzione sopra accennata) se, — come fa il sig. Castelnuovo, — si suppone già calcolato  $\Phi_0^m(1, q)$ .

Crediamo opportuno aggiungere che, con le sole (8), (11), (12), di questo nostro lavoro, si può risolvere il problema generale, purchè si dimostri direttamente che

$$\Phi_0^{(k+1)(q-1)}(k, q) = 0 \quad \text{o che} \quad \Phi_0^{(k+1)(q-1)+1}(k, q) = 1.$$

Che se poi si suppone nota la formola risolutiva per le varietà razionali (vale a dire la formola (5)) basta la sola (12) per giungere alla formola generale.



i quali, poichè  $a_i$  giace sempre in un  $S_k$  con  $a_{i-1}$  ( $i = 2, \dots, m$ ), danno luogo agli  $m - 1$   $S_{k-2}$  (\*):

$$a_1 a_2, a_2 a_3, a_3 a_4, a_4 a_5, \dots, a_{m-2} a_{m-1}, a_{m-1} a_m.$$

E poichè, ad es., gli  $S_{k-2}$   $a_1 a_2, a_2 a_3$  stanno nello  $S_{k-1}$   $a_2$  (e sono generici) si avrà lo  $S_{k-3}$   $a_1 a_2 a_3$ ; e, con esso gli altri  $m - 3$   $S_{k-3}$ :

$$a_2 a_3 a_4, a_3 a_4 a_5, \dots, a_{m-2} a_{m-1} a_m.$$

In modo analogo si vede che compaiono gli  $m - 3$   $S_{k-4}$ :

$$a_1 a_2 a_3 a_4, \dots, a_{m-3} a_{m-2} a_{m-1} a_m;$$

e così via. Si giungerà sino agli  $m - k + 1$   $S_0$  (punti):

$$a_1 a_2 a_3 \dots a_k, a_2 a_3 a_4 \dots a_{k+1}, \dots, a_{m-k+1} a_{m-k+2} \dots a_m.$$

Facciamo ora la osservazione seguente.

Un iperpiano generico contiene un elemento di un fascio solo quando passa per l'asse di questo: e contiene tutto il fascio se ne contiene due elementi. Fatta dunque la ipotesi (analogà alla c) del num. 2) che *non contano gl'iperpiani contenenti  $S_k$  comuni a due fasci*, per vedere quanti  $S_{kq-1}$  di  $S_{kq}$  contengono  $q$  degli  $S_k$  generatori, basterà vedere quante volte accade che un iperpiano contiene  $q$  dei sostegni dei fasci in cui noi abbiamo spezzata la varietà (\*\*). Ma, se uno dei nostri iperpiani contiene  $a_i$  esso non deve contenere nessuno dei  $k$  (eventuali) sostegni *che seguono*  $a_i$  (e, per conseguenza, nessuno dei  $k$  eventuali sostegni *che precedono*  $a_i$ ). Difatti, se contenesse (con  $a_i$ ) soltanto il più lontano  $a_{i+k}$  (supposto esistente), conterrebbe un punto di  $a_{i+1}$  (il punto cioè  $a_{i+1} a_{i+2} \dots a_{i+k}$ ), oltre allo  $S_{k-2} a_i a_{i+1}$ : esso non andrebbe dunque contato, perchè, contenendo (con  $a_i$ ) tutto  $a_{i+1}$ , conterrebbe lo  $S_k$  comune ai due fasci  $a_i$  ed  $a_{i+1}$  (\*\*\*)).

(\*) Scrivendo l'uno dopo l'altro i simboli di più spazi, intendiamo qui rappresentare lo spazio loro intersezione.

(\*\*) Gl'iperpiani per due (o più) elementi di uno stesso fascio non contano, perchè (contenendo tutto il fascio) contengono lo  $S_k$  comune ad esso ed all'*adiacente* (ed un fascio *adiacente* ad uno dato vi è sempre).

(\*\*\*) I  $k + 1$   $S_{k-1}$   $a_1, a_2, a_3, \dots, a_k, a_{k+1}$ , costituenti un *sistema semplice* individuano un  $S_{2k-1}$ . Dati dunque, in  $S_{2k-1}$ , due *generici*  $S_{k-1}$  ( $a_1$  ed  $a_{k+1}$ ),



Da ciò segue immediatamente:

$\Phi_0^m(k, q)$  = numero delle combinazioni di classe  $q$  (o con  $q$  elementi) dei primi  $m$  numeri naturali, fatte in guisa che, in ognuna di esse, la presenza di un numero porti l'esclusione degli eventuali  $k$  numeri che lo seguono e degli eventuali  $k$  numeri che lo precedono.

L'ordine di successione di essi  $m$  numeri è l'*ordinario* soltanto: così  $m$  ed 1 *non* sono consecutivi, nè, per  $k > 1$ , è da considerarsi 2 come uno dei  $k$  successivi ad  $m$ , ecc.

5. — Per le varietà ellittiche valgono considerazioni analoghe. E si giunge a questo risultato:

$\Phi_1^m(k, q)$  = numero delle combinazioni, come sopra; solo che l'ordine di successione di essi  $m$  numeri è il *ciclico*: così  $m$  ed 1 sono consecutivi, e, per  $k > 1$ , è da considerarsi 2 come uno dei  $k$  successivi ad  $m$ , ecc. (\*).

*non* si può con meno di  $k-1$   $S_{k-1}$  intermedi formare con quelli un sistema semplice. Con  $k-1$   $S_{k-1}$  intermedi si può in infiniti modi: ed occorrerà, in seguito, saper risolvere esso problema. *Dati*, cioè, in  $S_{k-1}$ , due  $S_{k-1}$  ( $a_1$  ed  $a_{k+1}$ ), occorre costruire  $k-1$   $S_{k-1}$   $a_2, a_3, \dots, a_k$ , tali che il sistema

$$(a_1, a_2, a_3, \dots, a_{k-1}, a_k, a_{k+1})$$

risulti semplice. Daremo un metodo per questa costruzione.

Intanto, per  $k=1$ , problema non v'è. Per  $k=2$  (lo spazio ambiente è allora un  $S_3$ ) è subito costruita una retta  $a_2$  appoggiata a due date  $a_1$  ed  $a_3$ . Sia ora  $k > 2$ . Procedendo per *induzione completa*, conduciamo un iperpiano per  $a_1$  ed un altro per  $a_{k+1}$ : si avrà come intersezione un  $S_{2(k-1)-1}$ , sul quale  $a_1$  ed  $a_{k+1}$  avranno come tracce due  $S_{k-2}$ ,  $b_1$  e  $b_k$ . Costruiamo  $b_2, b_3, \dots, b_{k-1}$  in modo che il sistema  $(b_1, b_2, \dots, b_k)$  risulti semplice, il che si suppone di saper fare.

Sarà semplice il sistema  $(a_1, a_2 = \text{spazio congiungente } b_1 \text{ con } b_2, a_3 = \text{spazio congiungente } b_2 \text{ con } b_3, \dots, a_k = \text{spazio congiungente } b_{k-1} \text{ con } b_k, a_{k+1})$ , perchè ognuno degli  $S_{k-1}$   $a_1, a_2, \dots, a_{k+1}$ , — a partire dal 2° incluso, — ha un  $S_{k-2}$  a comune col precedente, e quindi giace con esso in un  $S_k$ .

(\*) Nel mio scritto, di cui è parola all'ultima nota del num. 2, si considera il numero  $V_0^m(k+2)$  delle combinazioni di classe  $k+2$  dei primi  $m$  numeri naturali, fatte in guisa che in ogni combinazione non entrino mai due numeri consecutivi,  $m$  ed 1 essendo pensati come non consecutivi; ed il numero  $V_1^m(k+2)$  delle combinazioni stesse,  $m$  ed 1 essendo pensati come consecutivi.

E si dimostra che gli  $S_k(k+2)$ -secanti di una curva d'ordine  $m$  in  $S_{2(k+1)}$  sono appunto



6. — In questo numero e nel successivo, parlando di  $\Phi_0^m(k, q)$  e di  $\Phi_1^m(k, q)$  ci riferiremo per l'appunto al significato aritmetico stabilito nei num. precedenti.

Per calcolare  $\Phi_0^m(k, q)$ , occupiamo i quadretti successivi di una orizzontale di un foglio quadrettato con i numeri  $1, 2, \dots, m$ ; indi rappresentiamo ciascuna delle nostre combinazioni con  $q$  tratti di una orizzontale posti nelle verticali intestate con gli elementi di essa.

Due tratti *consecutivi* in una qualunque di esse combinazioni (i quali, essendo  $k > 0$ , non stanno mai in due verticali intestate con numeri consecutivi) sono separati da  $k + h$  ( $h \geq 0$ ) quadretti in bianco: orbene, noi terremo fisso il primo elemento di ogni combinazione, e sposteremo gli altri a sinistra in modo che due tratti *consecutivi* già separati da  $k + h$  quadretti in bianco lo siano, a spostamento compiuto, solo da  $h$ . Basteranno allora  $m - k(q - 1)$  verticali per rappresentare tutte le nostre combinazioni,  $q - 1$  essendo gl'*intervalli*, e portando ognuno di essi una riduzione di  $k$  unità.

E poichè il quadro primitivo conteneva *tutte* le combinazioni sopra definite, il nuovo (quello, cioè, ottenuto dopo gli spostamenti) conterrà *tutte* le *ordinarie* combinazioni di classe  $q$  dei primi  $m - k(q - 1)$  numeri naturali: ed, evidentemente, ognuna di esse comparirà una volta sola.

È dunque:

$$\Phi_0^m(k, q) = \binom{m - k(q - 1)}{q}. \quad (5)$$

---

$V_0^m(k + 2)$ , se la curva è razionale

$V_1^m(k + 2)$ , „ ellittica (ved. num. 10 di quella mia nota).

Confrontiamo ora le definizioni di  $V_0^m(k + 2)$  e di  $V_1^m(k + 2)$  rispettivamente con quelle (aritmetiche) di  $\Phi_0^m(k, q)$ ,  $\Phi_1^m(k, q)$ .

È, evidentemente,

$$V_0^m(k + 2) = \Phi_0^m(1, k + 2)$$

$$V_1^m(k + 2) = \Phi_1^m(1, k + 2).$$

Quindi il fatto segnalato dal sig. Castelnuovo (ved. la memoria citata in principio) che gli  $S_{k+1}$  contenenti  $k + 2$  raggi di una  $\Gamma_p^m[2]$  in  $S_{k+2}$  sono tanti quanti gli  $S_k(k + 2)$ -secanti di una curva d'ordine  $m$  e di genere  $p$  in  $S_{2(k+1)}$  (fatto che sarebbe utile saper dimostrare direttamente) trova, almeno per  $p = 0$  e per  $p = 1$ , una *ragione di essere aritmetica*.



Tanti sono gli  $S_{kq-1}$  di  $S_{kq}$  i quali contengono  $q$   $S_k$  generatori di una varietà razionale, d'ordine  $m$ , luogo di  $\infty^1 S_k$ .

7. — Veniamo ora a calcolare  $\Phi_1^m(k, q)$ . Si osservi che, delle combinazioni così indicate,  $\Phi_0^{m-2k-1}(k, q-1)$  cominciano con 1, come si vede astraendo gli elementi:

$$1; 2, 3, \dots, k+1; m-k+1, m-k+2, \dots, m \text{ (*)}.$$

Altrettante cominciano con 2, con 3, ..., con  $k+1$ , come si vede analogamente. Ad es., riguardo alle combinazioni iniziate con  $k+1$ , bisogna astrarre gli elementi:

$$k+1; k+2, k+3, \dots, 2k+1; 1, 2, \dots, k.$$

Analogo fatto non può più dirsi per  $k+2$ , nè per  $k+3, \dots$ ; perchè, ad es., per  $k+2$ , bisognerebbe astrarre:

$$k+2; k+3, k+4, \dots, 2k+2; 2, 3, \dots, k+1,$$

e, delle (nostre) combinazioni ottenute astraendo questi elementi, alcune conterrebbero 1, e sarebbero quindi già state computate.

Si osservi però che le combinazioni iniziate con  $k+2$ , o con numeri successivi, sono tutte e sole le  $\Phi_0^{m-k-1}(k, q)$  combinazioni (*ad intervalli*, secondo la nostra definizione) dei numeri:

$$k+2, k+3, \dots, m-1, m.$$

Onde è:

$$\Phi_1^m(k, q) = (k+1) \Phi_0^{m-2k-1}(k, q-1) + \Phi_0^{m-k-1}(k, q) \quad (6)$$

(v. num. 10, in fondo).

Ne segue che:

$$\Phi_1^m(k, q) = \frac{m}{q} \binom{m-kq-1}{q-1}. \quad (7)$$

(\*) La presenza del numero 1 in una di esse combinazioni porta non solo l'esclusione dei  $k$  numeri  $2, 3, \dots, k+1$ , ma anche quella degli altri  $k$   $m, m-1, \dots, m-k+1$ , per quanto si è detto al num. 5. Astraendo, con essi numeri, anche il numero 1, restano  $m-2k-1$  elementi, da combinarsi, in modo ben noto, a  $q-1$  a  $q-1$ .



Tanti sono gli  $S_{kq-1}$  di  $S_{kq}$  i quali contengono  $q$   $S_k$  generatori di una varietà ellittica, d'ordine  $m$ , luogo di  $\infty^1 S_k$ .

8. — La via tenuta nei precedenti num.<sup>i</sup> (da 4 a 7), per giungere alle notevoli formole (5) e (7) si raccomanda certamente per la sua semplicità. D'altra parte, ammessi i principî su cui si basa la ricerca, più volte menzionata, del sig. Castelnuovo, il metodo nostro non può dar luogo a dubbio di sorta.

Procederemo ora alla ricerca di formole di riduzione, le quali, mentre serviranno a convalidare i precedenti risultati, ne daranno mezzo (il che importa assai di più) di risolvere il nostro problema per varietà di genere qualunque.

Le formole di riduzione che noi daremo sono due: una relativa all'ordine (la (8) del num. 9; e, per  $q = 2$ , la (11) dello stesso num. 9), l'altra relativa al genere (la (12) del num. 10).

9. — Spezzando una  $\Gamma_p^m[k+1]$  in una  $\Gamma_p^{m-1}[k+1]$  ed in un fascio di  $S_k$  avente un elemento a comune con essa (l'asse del fascio è dunque un  $S_{k-1}$  appartenente ad un  $S_k$  generatore della  $\Gamma_p^{m-1}[k+1]$ ), gli  $S_{kq-1}$  di  $S_{kq}$  i quali contengono  $q$   $S_k$  generatori della  $\Gamma_p^m[k+1]$  così spezzata, o ne contengono  $q$  della  $\Gamma_p^{m-1}[k+1]$ , o  $q-1$  di questa ed uno del fascio.

Quindi:

$\Phi_p^m(k, q) = \Phi_p^{m-1}(k, q) +$  numero  $L$  degli iperpiani di  $S_{kq}$  i quali contengono  $q-1$   $S_k$  generatori di una  $\Gamma_p^{m-1}[k+1]$  e passano per un  $S_{k-1}$  di un  $S_k$  generatore generico. Se si proietta da esso  $S_{k-1}$  (sopra un  $S_{k(q-1)}$ ) si trova che  $L$  vale il numero degli  $S_{k(q-1)-1}$  contenenti  $q-1$   $S_k$  generatori di una  $\Gamma_p^{m-k-1}[k+1]$  (\*) in  $S_{k(q-1)}$ . Onde è

$$\Phi_p^m(k, q) = \Phi_p^{m-1}(k, q) + \Phi_p^{m-k-1}(k, q-1). \quad (8)$$

Questa formola fa riscontro alla (2) del num. 3.

Osserviamo però, che, per  $q = 2$ , il ragionamento precedente non è più valido (\*\*): e, d'altra parte, non avrebbe signi-

(\*) Lo  $S_{k-1}$  centro di proiezione è individuabile con  $k$  punti dello  $S_k$  generatore su cui giace; onde la proiezione da esso produce, nell'ordine, una riduzione di  $k$  unità.

(\*\*) Si otterrebbe difatti, a proiezione compiuta, una varietà luogo di  $\infty^1 S_k$ , in  $S_k$ .



ficato la espressione  $\Phi_p^{m-k-1}(k, 1)$ . Procediamo dunque alla ricerca diretta del numero degli  $S_{2k-1}$  di  $S_{2k}$  i quali contengono due  $S_k$  generatori di una  $\Gamma_p^m[k+1]$ .

Spezzando questa varietà come sopra, si ottiene:

$$\Phi_p^m(k, 2) = \Phi_p^{m-1}(k, 2) + L' \quad (9)$$

ove  $L'$  indica il numero degli  $S_{2k-1}$ , di  $S_{2k}$ , passanti per un generico  $S_{k-1}$  di un  $S_k$  generatore (di una  $\Gamma_p^{m-1}[k+1]$ ) e contenenti inoltre un  $S_k$  generatore sempre della stessa varietà. Ora, lo  $S_{k-1}$  dato ed un  $S_k$  generatore individuano un  $S_{2k-1}$  solo se hanno un punto a comune:  $L'$  è dunque il numero degli  $S_k$  generatori che incontrano lo  $S_{k-1}$  già scelto; o, che è lo stesso, è l'ordine della linea luogo delle tracce, sullo  $S_k$  generatore che si considera, dei rimanenti  $S_k$  generatori (\*). Ne segue che la ricerca di  $L'$  è ricondotta all'altra: "è data una  $\Gamma_p^{m-1}[k+1]$  in  $S_{2k}$ . Quale è l'ordine ( $L'$ ) della linea luogo delle tracce degli  $S_k$  generatori su un  $S_k$  generatore generico? „.

Per risolvere questo problema, sechiamo la  $\Gamma_p^{m-1}[k+1]$  con un generico  $S_{2k-1}$ . Si otterrà una  $\Gamma_p^{m-1}[k]$ , sulla quale un  $S_{k-1}$  generatore generico sarà incontrato da altri  $L'$   $S_{k-1}$  generatori. Ora questo numero  $L'$  vale  $m-3$ , per  $k=2$ ; e ciò qualunque sia  $p$ . Ammesso quindi che  $L'$  sia indipendente da  $p$ ; e, ponendo, nella (9),  $p=0$ , avremo: (v. formola (5))

$$\binom{m-k}{2} = \binom{m-k-1}{2} + L',$$

donde  $L' = m - k - 1$ . Oppure, ponendo, nella stessa (9),  $p=1$ , avremo: (v. formola (7))

$$\frac{m}{2} \binom{m-2k-1}{1} = \frac{m-1}{2} \binom{m-2k-2}{1} + L',$$

donde ancora  $L' = m - k - 1$  (\*\*).

(\*) Questa linea è pure traccia, sul generico  $S_k$  generatore, della superficie doppia (luogo delle mutue intersezioni degli  $S_k$  generatori) della  $\Gamma_p^{m-1}[k+1]$ .

(\*\*) Non è però necessario ammettere l'indipendenza di  $L'$  da  $p$  per trovare il valore di esso  $L'$ . Si può infatti dimostrare direttamente che:



La (9) si scrive dunque definitivamente così:

$$\Phi_p^m(k, 2) = \Phi_p^{m-1}(k, 2) + m - k - 1 \quad (10),$$

formola ottenibile immediatamente dalla (8), se si conviene di porre:

$$\Phi_p^m(k, 1) = m \quad (11)$$

10. — Veniamo ora alla formola di riduzione per il genere. Siano  $\Sigma_1$  e  $\Sigma_2$  due  $S_k$  generatori generici di una  $\Gamma_{p-1}^{m-k-1}[k+1]$ , ed assumasi, sul primo, un  $S_{k-1} a_1$ ; e, sul secondo, un  $S_{k-1} a_{k+1}$ . Nello  $S_{2k-1} \{a_1, a_{k+1}\}$  (\*) si costruiscano gli  $S_{k-1} a_2, a_3, \dots, a_k$ , tali che il sistema:

$$(a_1, a_2, a_3, \dots, a_k, a_{k+1})$$

risulti *semplice* (v. nota 3<sup>a</sup>, al num. 4). Indi si assumano  $a_1, a_2, a_3, \dots, a_k, a_{k+1}$ , come assi di fasci di  $S_k$ , in modo che:

$$\begin{array}{llll} \text{al fascio } a_1 & \text{appartengano gli } S_k, & \Sigma_1 & \text{ed } \{a_1, a_2\}, \\ \text{„ } a_2 & \text{„} & \{a_2, a_1\} & \text{„ } \{a_2, a_3\}, \\ \text{„ } a_3 & \text{„} & \{a_3, a_2\} & \text{„ } \{a_3, a_4\}, \\ \dots & \dots & \dots & \dots \end{array}$$

In  $S_{2k+1}$ , un  $S_k$  generatore di una  $\Gamma^m[k+1]$  è incontrato da  $m-k-1$   $S_k$  generatori. Ciò fu dimostrato direttamente (dal Prof. Segre) così:

Un iperpiano condotto per uno spazio generatore  $A_k$  seca ulteriormente la  $\Gamma^m[k+1]$  secondo una  $\Gamma^{m-1}[k]$ : ed ogni  $S_k$  generatore della varietà data contiene un  $S_{k-1}$  generatore della  $\Gamma^{m-1}[k]$ . Noi diremo  $\alpha_{k-1}$  quello degli  $S_{k-1}$  (generatori della varietà sezione) che sta in  $A_k$ . Dopo ciò il numero richiesto vale quello degli  $S_{k-1}$  generatori di una  $\Gamma^{m-1}[k]$  (di  $S_{2k}$ ) i quali si appoggiano ad uno spazio  $A_k$  condotto per un  $S_{k-1}$  generatore  $\alpha_{k-1}$ . E se da un punto generico di  $A_k$  si proietta su un  $S_{2k-1}$ , si trova che il numero richiesto vale quello degli  $S_{k-1}$  generatori di una  $\Gamma^{m-1}[k]$ , in  $S_{2k-1}$ , appoggiati ad uno generico di essi (quello che è proiezione di  $\alpha_{k-1}$ ). Il numero richiesto non cambia dunque scemando simultaneamente di 1  $m$  e  $k$ . Dettolo quindi  $[m, k]$ , sarà

$$[m, k] = [m-1, k-1] = \dots = [m-k+1, 1] = (m-k+1) - 2 = m-k-1.$$

(\*) Leggasi: che congiunge  $a_1$  con  $a_{k+1}$ .



al fascio  $a_k$  appartengano gli  $S_k \{a_k, a_{k-1}\}$  ed  $\{a_k, a_{k+1}\}$ ,  
 „  $a_{k+1}$  „  $\{a_{k+1}, a_k\}$  e  $\Sigma_2$  ;

il che si può, evidentemente.

Dopo ciò, gl'iperpiani contenenti  $q$   $S_k$  generatori della  $\Gamma_p^m[k+1]$  costituita dalla  $\Gamma_{p-1}^{m-k-1}[k+1]$  data e dai sopradetti fasci:

$\alpha$ ) o contengono  $q$   $S_k$  della  $\Gamma_{p-1}^{m-k-1}[k+1]$  primitiva,

$\alpha_1$ ) o  $q-1$  di essa ed uno del fascio  $a_1$

$\alpha_2$ ) „ „ „  $a_2$

.....

$\alpha_k$ ) o  $q-1$  di essa varietà  $\Gamma_{p-1}^{m-k-1}[k+1]$  ed uno del fascio  $a_k$ ,

$\alpha_{k+1}$ ) „ „ „  $a_{k+1}$ .

Quanto agli iperpiani che contengono due  $S_k$ , uno di un fascio ed uno di un altro, è subito visto che non contano, perchè, anche se contenessero solo i due sostegni estremi,  $a_1$  ed  $a_{k+1}$ , passerebbero per un  $S_k$  comune a due dei fasci (\*) (v. c) al numero 2).

Ora:

$\alpha$ ) gl'iperpiani contenenti  $q$   $S_k$  generatori della  $\Gamma_{p-1}^{m-k-1}[k+1]$  sono  $\Phi_{p-1}^{m-k-1}(k, q)$ .

$\alpha_1, \alpha_{k+1}$ ) quelli contenenti  $q-1$   $S_k$  generatori della  $\Gamma_{p-1}^{m-k-1}[k+1]$  ed uno del fascio  $a_1$  (o del fascio  $a_{k+1}$ ) sono  $\Phi_{p-1}^{m-2k-1}(k, q-1)$  (\*\*), come si vede proiettando da  $a_1$  (o da  $a_{k+1}$ ), su un generico  $S_{k(q-1)}$ .

$\alpha_2, \alpha_3, \dots, \alpha_k$ ) quelli contenenti  $q-1$   $S_k$  generatori della  $\Gamma_{p-1}^{m-k-1}[k+1]$  e passanti per  $a_i$  ( $i=2, 3, \dots, k$ ) si possono contare facilmente, se si proietta da  $a_i$  su un generico  $S_{k(q-1)}$ . Poichè  $a_i$  ha a comune con  $a_1$  lo  $S_{k-i}$  (\*\*\*)  $a_1 a_2 a_3 \dots a_i$  (ossia intersezione degli  $S_{k-1} a_1, a_2, a_3, \dots, a_i$ ), e con  $a_{k+1}$  lo  $S_{i-2} a_i a_{i+1} a_{i+2} \dots a_{k+1}$ , si avrà come varietà proiezione una  $\Gamma_{p-1}^{m-2k-1}[k+1]$

(\*) Un iperpiano per  $a_1$  ed  $a_{k+1}$  contiene, ad es.,  $a_{k+1}$  ed il punto  $a_1, a_2, a_3, \dots, a_k$ . Esso contiene dunque un punto di  $a_k$ , oltre allo  $S_{k-2} a_k a_{k+1}$ : contiene dunque tutto  $a_k$ , e quindi lo  $S_k \{a_k, a_{k+1}\}$ .

(\*\*) Per aver ragione del numero  $m-2k-1$  ved. la nota 1<sup>a</sup> del num. 9.

(\*\*\*) Trattasi proprio di un  $S_{k-i}$ , come risulta subito dal num. 4.



(v. nota 1<sup>a</sup> al num. 9). Tutti i numeri richiesti valgono dunque (come è subito visto)  $\Phi_{p-1}^{m-2k-1}(k, q-1)$ .

E si ha finalmente la:

$$(12) \quad \Phi_p^m(k, q) = \Phi_{p-1}^{m-k-1}(k, q) + (k+1)\Phi_{p-1}^{m-2k-1}(k, q-1) (*).$$

Per  $p=1$ , essa coincide con la (6) (v. num. 7), che fu ottenuta per via aritmetica.

11. — La (5) e la (12) dànno la formola finale:

$$\Phi_p^m(k, q) = \sum_0^q k^i \binom{m-k(q-1+p)-i}{q-i} \binom{p}{i}.$$

Per dimostrarla, basta assicurarsi che, per  $p=0$ , si ritrova la (5) (il che è subito visto); e che la (12) è soddisfatta. Questa seconda condizione si verifica effettivamente, avendosi:

$$\begin{aligned} & \sum_0^q k^i \binom{m-k-1-k(q-1+p-1)-i}{q-i} \binom{p-1}{i} + \\ & + (k+1) \sum_0^{q-1} k^i \binom{m-2k-1-k(q-1-1+p-1)-i}{q-i-1} \binom{p-1}{i} = \\ & = \sum_0^q k^i \binom{m-k(q-1+p)-i-1}{q-i} \binom{p-1}{i} + \sum_0^{q-1} k^i \binom{m-k(q-1+p)-i-1}{q-i-1} \binom{p-1}{i} + \\ & + \sum_1^q k^i \binom{m-k(q-1+p)-i}{q-i} \binom{p-1}{i-1} = \binom{m-k(q-1+p)-1}{q} + \\ & + \binom{m-k(q-1+p)-1}{q-1} + \sum_1^{q-1} k^i \left\{ \binom{m-k(q-1+p)-i-1}{q-i} \binom{p-1}{i} + \right. \\ & + \left. \binom{m-k(q-1+p)-i-1}{q-i-1} \binom{p-1}{i} + \binom{m-k(q-1+p)-i}{q-i} \binom{p-1}{i-1} \right\} + \\ & + k^q \binom{p-1}{q} + k^q \binom{p-1}{q-1} = \binom{m-k(q-1+p)}{q} + \\ & + \sum_1^{q-1} k^i \binom{m-k(q-1+p)-i}{q-i} \binom{p}{i} + k^q \binom{p}{q} = \sum_0^q k^i \binom{m-k(q-1+p)-i}{q-i} \binom{p}{i}. \end{aligned}$$

(\*) Si giungerebbe alla stessa (12) spezzando una data  $\Gamma_p^m[k+1]$  in una  $\Gamma_{p-1}^{m-k-1}[k+1]$  ed in  $k+1$  fasci di  $S_k$  aventi i sostegni su uno stesso  $S_k$  generatore della stessa  $\Gamma_{p-1}^{m-k-1}[k+1]$ . Questo metodo più semplice è però *illusorio*, perchè non dà ragione della presenza di  $k+1$  piuttosto che di un altro qualunque numero  $h$ ; ragione che è invece fornita (in sostanza) dalla nota 3<sup>a</sup> del num. 4. — In altri termini, ammessa quella maniera di ragionamento, dovrebbero, accanto alla (12), aversi altre formole del tipo

$$\Phi_p^m(k, q) = \Phi_{p-1}^{m-h}(k, q) + h\Phi_{p-1}^{m-2h}(k, q-1), \text{ il che non è.}$$



12. — Accenniamo ora a due notevoli casi particolari.

1° CASO PARTICOLARE.

Il numero degli  $S_3$  di  $S_4$  i quali contengono due piani di una varietà d'ordine  $m$  e di genere  $p$ , luogo di  $\infty^1 S_2$  (o, che è lo stesso, il numero dei punti doppi di una rigata d'ordine  $m$  e di genere  $p$ , in  $S_4$ ) vale  $\binom{m-2}{2} - 3p$ .

Questo risultato fu già ottenuto dal prof. Segre; e, poi, indipendentemente, anche da me. E di esso aggiungo una notevole verifica, dovuta allo stesso prof. Segre, la quale può anche riguardarsi come una dimostrazione, se si pone mente al principio della conservazione del numero.

Si considerino, in  $S_4$ , due curve piane,  $\gamma$  e  $\gamma'$ , di genere  $p$ , in corrispondenza biunivoca: diremo rispettivamente  $\pi$  e  $\pi'$  i loro piani (generici),  $\theta$  il punto  $\pi\pi'$ ,  $v$  e  $v'$  gli ordini delle due curve. La rigata delle congiungenti i punti omologhi è di genere  $p$  e di ordine  $m = v + v'$  (come può vedersi, ad es., pensando che un generico iperpiano  $\Sigma$  per  $\pi$  la seca secondo  $\gamma$  e secondo le  $v'$  generatrici che vanno dai  $v'$  punti  $\Sigma\gamma'$  agli omologhi su  $\gamma$ ).

Suoi punti doppi sono:

$$i \binom{v}{2} - p \text{ punti doppi di } \gamma$$

$$” \binom{v'}{2} - p \quad ” \quad \gamma'$$

$$” z \quad \text{punti comuni a due generatrici.}$$

Per ottenere  $z$ , pensiamo che gli  $\infty^1 S_3$  per  $\pi$  secano sulla rigata quel che si chiama una *serie lineare*  $g_v^1$ , di dimensione 1 e di ordine  $v$  (\*); e, del pari, gli  $\infty^1 S_3$  per  $\pi'$  una analoga serie  $g_{v'}^1$ . E due generatrici incidono solo quando (giacciono in un piano  $\sigma$ , necessariamente per  $\theta$ ; ossia solo quando) formano una coppia comune alle due serie lineari sopra accennate (\*\*).

(\*) Ved. SEGRE: *Introduzione alla geometria sopra un ente algebrico semplicemente infinito* (“ Annali di Mat. ”, serie II, tomo 22, num. 12).

(\*\*) Per chiarezza aggiungiamo che i gruppi delle due serie contenenti essa coppia comune sono secati rispettivamente con gli  $S_3 \{\pi\sigma\}$  e  $\{\pi'\sigma\}$ .



Quindi  $z = (v - 1)(v' - 1) - p$  (\*); ed i punti doppi della nostra rigata sono dunque:

$$\binom{v}{2} - p + \binom{v'}{2} - p + (v - 1)(v' - 1) - p = \binom{m-2}{2} - 3p$$

(essendo  $m = v + v'$ ).

## 2° CASO PARTICOLARE.

Per  $m = k(q - 1 + p) + q$  si ha:

$$\Phi_p^{k(q-1+p)+q}(k, q) = \sum_0^q k^i \binom{p}{i} = 1 + k \binom{p}{1} + k^2 \binom{p}{2} + \dots + k^q \binom{p}{q}.$$

Il prof. Segre fu indotto a scrivere (per il primo) questa formola (che dà appunto l'indice relativo ad un sistema di  $M_k$  giacenti su una  $\Gamma[k + 1]$ , nel senso accennato in nota, alla fine della prefazione) da quella già nota per il caso delle rigate (\*\*), e dalle espressioni di  $\Phi_p^m(k, 2)$  e di  $\Phi_p^m(k, 3)$  (\*\*\*), che io gli comunicai. E la formola del prof. Segre mi fu poi di aiuto a scrivere la formola finale (del num. 11).

(\*) Cfr. il num. 35 della memoria sopra citata del Prof. Segre.

(\*\*) Ved. la memoria dei "Math. Annalen", (34), citata nella introduzione di questo mio scritto.

(\*\*\*) Le mie espressioni di  $\Phi_p^m(k, 2)$  e di  $\Phi_p^m(k, 3)$  sono le seguenti:

$$\Phi_p^m(k, 2) = \binom{m-k}{2} - \binom{k+1}{2} p$$

$$\Phi_p^m(k, 3) = \binom{m-2k}{3} - \left\{ \binom{k+1}{2} m - \binom{2k+2}{3} \right\} p.$$

Come si vede, esse non hanno *aspetto* tale da far presagire la formola del Prof. Segre.

Analoga ad esse due è l'altra

$$\Phi_p^m(k, 4) = \binom{m-3k}{4} - \frac{1}{6} \binom{k+1}{2} \{ 3m^2 - 11 \binom{2k+1}{1} m + 9 \binom{3k+2}{2} \} \binom{p}{1} + \binom{k+1}{2}^2 \binom{p}{2}$$



*Sopra le corrispondenze  $(p, p)$   
esistenti sulle curve di genere  $p$  a moduli generali;*

Nota di GAETANO SCORZA.

È ben nota la teoria delle corrispondenze (algebriche)  $(1, 1)$  esistenti sopra le curve ellittiche (\*) (ossia di genere  $p = 1$ ) a modulo generale, ed è anche nota l'estensione che di tale teoria è stata fatta dal prof. Castelnuovo alle curve di genere  $p$  e a moduli generali, considerando le corrispondenze univoche tra i gruppi di  $p$  punti delle curve medesime (\*\*). Ma una tale estensione può eseguirsi anche in un altro senso, proponendosi cioè la ricerca delle corrispondenze algebriche  $(p, p)$  esistenti sopra le curve di genere  $p$  e a moduli generali.

Si incontrano così alcuni risultati, i quali, per quanto dedotti assai facilmente, pure non sono del tutto privi di interesse.

### § I.

1° Fra due punti  $x$  ed  $y$  di una curva algebrica  $C$  (o della corrispondente superficie Riemanniana  $R$ ) di genere  $p$  e a moduli generali sia stabilita una corrispondenza (algebrica) tale

---

(\*) Cfr. per una trattazione completa dell'argomento la Nota del prof. SEGRE: *Le corrispondenze univoche nelle curve ellittiche* ("Atti della R. Accad. delle Scienze di Torino", vol. XXIV, 1889), nella quale sono anche contemplati i casi delle curve singolari. A proposito di questa e della denominazione adoperata nel testo di curve a moduli generali avvertiamo che esse hanno un significato preciso; quello stabilito nel § 2 della Nota del sig. Hurwitz: *Ueber algebraische Correspondenzen und das verallgemeinerte Correspondenzprincip* ("Berichte sächs. Ges. d. W.", 1886; e "Math. Ann.", Bd. 28).

(\*\*) CASTELNUOVO: *Le corrispondenze univoche tra gruppi di  $p$  punti sopra una curva di genere  $p$*  ("Rendiconti del R. Istit. Lombardo", serie II, vol. XXX, 1892).



che ad ogni posizione del punto  $x$  corrispondano  $\beta$  posizioni del punto  $y, y', y'' \dots y^{(\beta)}$ , in generale diverse fra loro e diverse dal punto  $x$ , e ad ogni posizione del punto  $y$  corrispondano  $\alpha$  posizioni del punto  $x, x' \dots x^{(\alpha)}$ , diverse in generale fra loro e da  $y$ .

Allora se si indicano con  $u_1(x), u_2(x) \dots u_p(x)$  i valori nel posto  $x$  dei  $p$  integrali normali di 1<sup>a</sup> specie della superficie Riemanniana  $R$ , per un noto ragionamento del sig. Hurwitz (\*), si ha:

$$(1) \quad \sum_{i=1}^{i=\beta} u_k(y^{(i)}) + \gamma u_k(x) \equiv \pi_k \quad (k = 1 \dots p)$$

essendo  $\gamma$  un numero intero (positivo o negativo) e  $\pi_k$  una costante indipendente (come  $\gamma$ ) dal punto  $x$  (\*\*).

Il numero  $\gamma$  si dice *valenza* della corrispondenza.

Se  $\gamma$  è positivo, le (1) esprimono, per il teorema d'Abel, che gli  $\infty^1$  gruppi di  $p + \gamma$  punti di  $C$  costituiti da un punto qualunque  $x$  contato  $\gamma$  volte e dai  $\beta$  punti  $y$  corrispondenti appartengono a una medesima serie lineare, e, come ha mostrato il prof. Segre (\*\*), basta questa osservazione per dedurre geometricamente in tal caso che il numero delle coincidenze è dato da  $\alpha + \beta + 2p\gamma$ .

Se invece  $\gamma$  è negativo, indichiamone con  $\gamma'$  il valore assoluto e diciamo  $y_1' \dots y_{\gamma'}^{(\beta)}$  i punti corrispondenti alla posizione  $x_1$  del punto  $x$ : le formule (1) assumeranno l'aspetto:

$$(2) \quad \sum_{i=1}^{i=\beta} u_k(y^{(i)}) \equiv \gamma' u_k(x) + \pi_k \quad (k = 1 \dots p)$$

---

(\*) Loc. cit.

(\*\*) Insieme alle (1) vanno tenute presenti le formule perfettamente analoghe che legano ogni punto  $y$  ai punti  $x$  corrispondenti. Si ha:

$$\sum_{i=1}^{i=\alpha} u_k(x^{(i)}) + \gamma u_k(y) \equiv \rho_k \quad (k = 1 \dots p)$$

$\rho_k$  essendo una nuova costante indipendente da  $y$ .

(\*\*\*) SEGRE: *Introduzione alla geometria sopra un ente algebrico semplicemente infinito* (" Ann. di Mat. ", serie 2<sup>a</sup>, vol. 22).



e insieme ad esse si avranno le altre:

$$(3) \quad \sum_{i=1}^{i=\beta} u_k(y_1^{(i)}) \equiv \gamma' u_k(x_1) + \pi_k \quad (k=1 \dots p).$$

Allora sarà:

$$(4) \quad \sum_{i=1}^{i=\beta} u_k(y^{(i)}) + \gamma' u_k(x_1) \equiv \sum_{i=1}^{i=\beta} u_k(y_1^{(i)}) + \gamma' u_k(x) \quad (k=1 \dots p)$$

e quindi, per il teorema di Abel:

*In ogni corrispondenza a valenza negativa  $-\gamma'$  esistente sopra una curva algebrica qualsiasi (\*), due punti qualunque  $x$  ed  $x_1$  della curva contati ciascuno  $\gamma'$  volte e presi, il punto  $x$  insieme ai punti corrispondenti ad  $x_1$ , e il punto  $x_1$  insieme ai punti corrispondenti ad  $x$ , costituiscono due gruppi di punti equivalenti o corresiduali.*

Reciprocamente è chiaro che:

*Se in una corrispondenza esistente sopra una curva algebrica due punti qualunque  $x$  ed  $x_1$  della curva contati ciascuno  $\gamma'$  volte e presi, il punto  $x$  insieme ai punti corrispondenti a  $x_1$  e il punto  $x_1$  insieme ai punti corrispondenti ad  $x$  costituiscono due gruppi di punti corresiduali, la corrispondenza è a valenza negativa  $-\gamma'$ .*

Infatti dalle (2) e (4) combinate insieme risultano le (3).

2° Ciò posto, consideriamo una corrispondenza  $(p, p)$  esistente sopra la curva  $C$  e supponiamo dapprima che essa sia a valenza positiva.

Detta  $\gamma$  la valenza, i gruppi di  $p + \gamma$  punti costituiti dai punti di  $C$ , contati  $\gamma$  volte ciascuno, insieme ai loro  $p$  punti corrispondenti apparterranno a una serie lineare  $g_{p+\gamma}$  (con un punto  $\gamma$ -plo in ogni punto di  $C$  e quindi) di dimensione  $r \geq \gamma$ , e se supponiamo che tali gruppi non siano speciali sarà  $r = \gamma$  ( $\gamma > 0$ ) e  $g_{p+\gamma}$  sarà una serie completa.

Allora i punti  $y$  corrispondenti a un dato punto  $x$  di  $C$  si otterranno costruendo il gruppo di  $g_{p+\gamma}$  che ha in  $x$  un punto  $\gamma$ -plo e considerando come punti  $y$  i rimanenti  $p$  punti del

---

(\*) A moduli generali, o non.



gruppo; e i punti  $x$  corrispondenti a un dato punto  $y$  saranno tanti quanti sono i gruppi della  $g_{p+\gamma}$  che contengono  $y$  ed hanno (altrove) un punto  $\gamma$ -plo. Ma questi gruppi sono notoriamente (\*)  $p\gamma^2$ , quindi la corrispondenza fra  $x$  e  $y$  è una  $(p, p)$  solo quando  $\gamma = 1$ .

Segue da tutto ciò che:

*Una classe di  $\infty^p$  corrispondenze  $(p, p)$  a valenza positiva si ottiene considerando le  $\infty^p$   $g_{p+1}^1$  complete non speciali esistenti sopra la curva  $C$ . Ognuna di esse dà luogo a una corrispondenza simmetrica  $(p, p)$  di valenza 1, quando si facciano corrispondere a ogni punto  $x$  di  $C$  i  $p$  punti che insieme ad esso danno un gruppo della serie  $g_{p+1}^1$  considerata; e queste corrispondenze sono le sole corrispondenze  $(p, p)$  esistenti sopra  $C$  per le quali si verifichi che ogni punto della curva contato un numero di volte eguale alla valenza dia insieme ai suoi  $p$  punti corrispondenti un gruppo non speciale.*

## § II.

3° Per brevità di discorso diciamo *speciale* una corrispondenza  $(p, p)$  di valenza positiva  $\gamma$ , per la quale accada che ogni (\*\*) punto di  $C$  contato  $\gamma$  volte insieme ai suoi  $p$  punti corrispondenti dia un gruppo speciale (per modo che sia  $\gamma \leq p-2$ ): allora perchè si possano dire determinate tutte le corrispondenze  $(p, p)$  di valenza positiva esistenti sopra  $C$  occorrerà, grazie al teorema precedente, determinare ancora le sole corrispondenze speciali.

Fra queste si presenteranno naturalmente le corrispondenze  $(p, p)$  che nascono dalle  $g_{p+1}^1$  speciali (incomplete), come le non speciali dalle  $g_{p+1}^1$  non speciali (complete), ma, al contrario del caso precedente, esse non esauriranno tutte le possibili corrispondenze speciali.

Caratterizzare tutte le corrispondenze speciali è un problema che in generale non pare facilmente risolubile: qui trattiamo soltanto alcuni casi particolari i quali varranno a metterne in luce tutto l'interesse.

(\*) SEGRE: *Introduzione*, ecc., n° 42.

(\*\*) Si osservi che se questo accade per un punto di  $C$  allora accade per ogni altro.



4° Poichè per  $p=1$  e  $p=2$  non esistono evidentemente corrispondenze speciali, incominciamo dal considerare il caso  $p=3$ , e, per fissar le idee, supponiamo (come è sempre possibile applicando una conveniente trasformazione birazionale) che la curva  $C$  sia una quartica piana (generale).

Una corrispondenza  $(3, 3)$  speciale esistente sopra la quartica  $C$  avrà la valenza  $\gamma$  minore di 2 e quindi nulla o uguale ad 1.

Se la valenza fosse zero le terne di punti  $y$  corrispondenti ai vari punti  $x$  di  $C$  costituirebbero una  $g_3^1$  i gruppi della quale sarebbero riferiti biunivocamente ai punti della curva  $C$ , dunque resta possibile la sola ipotesi  $\gamma=1$ .

Se  $\gamma=1$  le rette contenenti le quaterne di punti costituite dai punti  $x$  di  $C$  insieme ai tre punti corrispondenti formeranno un inviluppo della 4<sup>a</sup> classe (\*) (in corrispondenza biunivoca *prospettiva* colla quartica  $C$ ) che potrà essere semplice o composto.

Se si spezza in un fascio contato 4 volte la corrispondenza  $(3, 3)$  nasce nel modo noto da una  $g_4^1$  speciale (incompleta), dunque casi nuovi (se possibili) non potranno aversi che dal supporre quell'inviluppo di 4<sup>a</sup> classe spezzato in uno di 2<sup>a</sup> classe contato due volte, oppure irriducibile. Ma entrambi questi casi sono impossibili perchè nel primo la quartica sarebbe iperellittica, e nel secondo la corrispondenza biunivoca *prospettiva* esistente tra la quartica e l'inviluppo sarebbe contenuta in una reciprocità (non degenera) del piano (\*\*), per cui solo i punti di una certa conica stanno nei raggi corrispondenti, dunque:

*Sopra le curve di genere 3 a moduli generali non esistono corrispondenze speciali oltre le  $\infty^2$  date dalla  $g_4^1$  speciali.*

5° Se  $p=4$  si vede come prima che non possono esistere sulla curva  $C$  corrispondenze  $(4, 4)$  di valenza nulla, dunque bisognerà discutere soltanto i casi  $\gamma=1$ ,  $\gamma=2$ .

Pel caso  $\gamma=1$  cominciamo dall'osservare che le quintuple date dai punti  $x$  di  $C$  insieme ai quattro punti corrispondenti apparterranno a una  $g_5^2$  (completa) della curva, dunque, rappresentando, mediante questa  $g_5^2$ , la curva  $C$  sopra una quintica

(\*) Cfr. SEGRE: *Introduzione*, ecc., n° 46.

(\*\*) Cfr. SEGRE: *Introduzione*, ecc., n° 57.



piana, che diremo ancora  $C$ , con due punti doppii  $M$  ed  $N$ , potremo supporre che quelle quintuple di punti siano quintuple di punti allineati, ed avremo che le rette contenenti tali quintuple costituiranno un inviluppo  $\Gamma$  di 5<sup>a</sup> classe in corrispondenza biunivoca prospettiva con la curva  $C$ .

Se  $\Gamma$  si spezza in un fascio contato 5 volte, la  $(4,4)$  considerata nasce da una  $g_5^1$  speciale, dunque, per fare un caso nuovo, supponiamo che  $\Gamma$  sia irriducibile, cioè sia un vero e proprio inviluppo di 5<sup>a</sup> classe con due tangenti doppie  $m$  ed  $n$ .

La corrispondenza biunivoca che intercede fra  $C$  e  $\Gamma$  muterà i gruppi della  $g_5^2$  segnata sopra  $C$  dalle rette del piano (che diremo  $\pi$ ) nei gruppi di una  $g_5^2$  segnata sopra  $\Gamma$  da un tessuto di coniche tangenti ad  $m$ ,  $n$  e a una terza tangente  $p$  di  $\Gamma$ ; e muterà i gruppi della  $g_5^2$  di  $\Gamma$  costituiti dai gruppi di tangenti passanti pei varii punti del piano nei gruppi di una  $g_5^2$  segnata sopra  $C$  da una rete di coniche passanti per  $M$ ,  $N$  e un terzo punto  $P$  di  $C$ : dunque è contenuta in una trasformazione quadratica  $\Sigma$  del piano punteggiato  $\pi$  nel piano rigato avente il medesimo sostegno.

Ora in una trasformazione quadratica generale di un piano punteggiato in un piano rigato ad esso sovrapposto solo i punti di una cubica (\*) si trovano nei raggi corrispondenti dunque per quella trasformazione  $\Sigma$  ogni punto di  $\pi$  si muta in un raggio passante per esso.

Allora *data* la curva  $C$  si dovrà procedere nel modo seguente per costruire un inviluppo  $\Gamma$  di 5<sup>a</sup> classe in corrispondenza biunivoca prospettiva con la curva  $C$ . Si incomincerà dal considerare la rete delle coniche passanti per  $M$ ,  $N$ ,  $P$ ,  $P$  essendo un punto arbitrario di  $C$ , e si stabilirà una corrispondenza proiettiva tra queste coniche e i punti (considerati come centri di fasci di raggi) del piano rigato  $\pi$  in modo che la corrispondenza quadratica che ne risulta fra le rette del piano rigato  $\pi$  e i punti del piano punteggiato sovrapposto faccia corrispondere ad ogni raggio un punto su di esso, e poi trasformando  $C$  mediante

---

(\*) Questa osservazione serve come punto di partenza al sig. Th. TUCH nella sua nota: *Eine Cremona'sche Punkt-Gerade Werwandschaft zweiter Ordnung* u. s. w. (Jena, 1890) per una trattazione delle proprietà dei 24 triangoli inscritti e circoscritti a una cubica generale.



questa corrispondenza quadratica si otterrà *appunto* un inviluppo della 5<sup>a</sup> classe che potrà assumersi come inviluppo  $\Gamma$ . Fissato il triangolo MNP vi sono (\*)  $\infty^1$  corrispondenze quadratiche di quella natura, dunque, tenendo conto delle considerazioni precedenti e ricordando che ogni curva di genere 4 contiene  $\infty^1 g_3^2$  (complete) speciali si ha che:

*Ogni curva di genere 4 contiene  $\infty^3$  corrispondenze speciali di valenza 1 diverse dalle  $\infty^3$  che si ottengono considerando le serie  $g_3^1$  esistenti sulla curva. Quest'ultime sono simmetriche, quelle altre no.*

6° Le nuove corrispondenze speciali (4,4) di valenza 1 che così si ottengono sopra una qualunque curva algebrica di genere 4 si organizzano in  $\infty^1$  sistemi di  $\infty^2$  corrispondenze ciascuno, ogni sistema essendo coordinato a una  $g_3^2$  speciale (completa) della curva.

Noi vogliamo considerare più davvicino le proprietà delle  $\infty^2$  corrispondenze del sistema coordinato a una certa  $g_3^2$  della curva, rappresentando come prima la curva sopra una quintica piana C con due punti doppii M ed N e la  $g_3^2$  mediante la serie tagliata sulla quintica dalle rette del suo piano  $\pi$ .

Avremo che una di quelle  $\infty^2$  corrispondenza si otterrà trasformando prima quadraticamente (in modo opportuno) la curva C in un inviluppo della 5<sup>a</sup> classe  $\Gamma$  riferito ad esso biunivocamente e prospettivamente, e poi chiamando corrispondenti due punti  $x$  ed  $y$  di C quando  $y$  si trova sulla tangente di  $\Gamma$  corrispondente al punto  $x$  e uscente da  $x$ .

---

(\*) Assumiamo il triangolo MNP come triangolo fondamentale in una determinazione parametrica dei punti e delle rette del piano mediante coordinate omogenee. Dicendo  $x_1 x_2 x_3$  le coordinate di punti e  $\xi_1 \xi_2 \xi_3$  quella di retta, le  $\infty^1$  corrispondenze in questione sono tutte e sole quelle date dalle formule:

$$\xi_1 = \lambda x_2 x_3$$

$$\xi_2 = \mu x_3 x_1$$

$$\xi_3 = -(\lambda + \mu) x_1 x_2$$

al variare del parametro  $\frac{\lambda}{\mu}$ .



Il triangolo fondamentale, nel piano punteggiato, sarà formato dai punti M ed N e da un certo terzo punto P di C (\*), e il trilatero fondamentale sul piano rigato sarà dato dalle tre rette

$$m = NP \quad n = PM \quad p = MN$$

M ed  $m$ , N ed  $n$ , P e  $p$  essendo gli elementi omologhi.

Allora la curva C si trasformerà in un inviluppo  $\Gamma$  della 5<sup>a</sup> classe con due tangenti doppie nelle rette  $m$  ed  $n$ , e con una tangente semplice nella retta  $p$ , e nella corrispondenza biunivoca prospettiva intercedente fra C e  $\Gamma$ ,  $p$  sarà la retta corrispondente all'ulterior punto di intersezione della retta MN colla quintica C,  $m$  ed  $n$  corrisponderanno rispettivamente alle coppie di punti secondo cui esse tagliano la curva C fuori dei punti M, N, P e le rette corrispondenti a uno dei due punti doppii, per es. M, saranno le due ulteriori tangenti di  $\Gamma$  passanti per M, oltre  $n$  e  $p$ . Ciò significa, riportandosi alla corrispondenza (4,4) individuata da  $\Gamma$  sopra C, che in essa al punto ove  $p$  taglia C fuori di M ed N corrispondono i quattro punti della curva che cadono nei due punti doppii, al punto doppio M (o N) considerato come appartenente ad uno dei due rami della curva passanti per esso corrisponde (insieme ad altri tre) il punto stesso considerato come appartenente all'altro, e che le coppie di punti secondo cui PM e PN tagliano ulteriormente la curva C sono coppie involutorie della corrispondenza. Queste due coppie insieme a quelle date dai punti doppii esauriscono le coppie involutorie della corrispondenza.

Abbiamo adunque:

*Per le  $\infty^2$  corrispondenze (4,4) coordinate a una medesima serie lineare  $g_5^2$  della curva C, al punto che costituisce il resto*

---

(\*) Il punto P può caratterizzarsi facilmente rispetto alla corrispondenza (4, 4) considerata. Le quintuple date dai punti  $x$  di C insieme ai quattro punti  $y$  corrispondenti appartengono a una medesima serie  $g_5^2$  tagliata sopra C dalle rette del piano, e che quindi ha per resto rispetto alla serie canonica il punto ove C è tagliata ulteriormente dalla retta MN: invece le quintuple date dai punti  $y$  di C insieme ai quattro punti  $x$  corrispondenti appartengono a una serie  $g_5^2$ , il cui resto rispetto alla serie canonica è proprio il detto punto P.



di  $g_3^2$  rispetto alla serie canonica corrispondono sempre i quattro punti che insieme ad esso completano due gruppi delle due  $g_3^1$  appartenenti alla curva, e questi quattro punti si dividono relativamente alle due  $g_3^1$  in due coppie di punti che in esse si corrispondono sempre involutoriamente. Ognuna delle  $\infty^2$  corrispondenze dette contiene altre due coppie involutorie le quali insieme a un determinato punto (\*) della curva dànno due terne delle due  $g_3^1$  (\*\*).

7° Adesso, per esaurire la discussione nel caso  $p=4$ , supponiamo che sulla curva  $C$  (sempre di genere 4) esista una corrispondenza  $\Sigma (4,4)$  di valenza  $\gamma=2$ , e supponiamo che la curva  $C$  sia una sestica gobba di genere 4 dello spazio ordinario. Si osserverà subito che  $\Sigma$  è necessariamente una corrispondenza simmetrica. Infatti se ciò non fosse, la corrispondenza, che si otterrebbe ripetendola due volte di seguito sarebbe una  $(16,16)$  di valenza  $-4$  (\*\*\*) e quindi sarebbe priva di coincidenze, mentre essa ha almeno le 24 coincidenze della  $(4,4)$  (\*\*\*\*).

Ora il piano che tocca  $C$  in un suo punto qualunque e contiene gli altri quattro punti ad esso corrispondenti per  $\Sigma$  genera al variare di  $x$  una vera e propria sviluppabile di sesta

(\*) Vedi nota precedente.

(\*\*) Il lettore osserverà che queste ed altre proprietà possono dedursi subito ammettendo l'esistenza delle corrispondenze in questione senza servirsi della loro effettiva costruzione e osserverà pure come questo enunciato diventa intuitivo quando si assuma a rappresentante della curva  $C$  (vedi testo n° seg.) la sestica di genere 4 dello spazio ordinario.

(\*\*\*) Si verifica subito partendo dalle formule fondamentali (1) del sig. Hurwitz che il prodotto di una corrispondenza  $(\alpha, \beta)$  di valenza  $\gamma$  e di una corrispondenza  $(\alpha', \beta')$  di valenza  $\gamma'$  è una  $(\alpha\alpha', \beta\beta')$  di valenza  $-\gamma\gamma'$ .

(\*\*\*\*) Veramente il ragionamento del testo prova soltanto che detti  $y' \dots y^{IV}$  i quattro punti  $y$  corrispondenti per  $\Sigma$  a un punto  $x$ , uno dei quattro punti  $y$  corrispondenti a qualcuno dei punti  $y' \dots y^{IV}$ , considerato come punto  $x$ , coincide con  $x$ : ma questa è una obbiezione che si toglie senza alcuna difficoltà.

Infatti se ciò accadesse e la corrispondenza  $(4, 4)$  non fosse simmetrica, essa si spezzerebbe in due corrispondenze: una sarebbe una  $(\alpha, \alpha)$  simmetrica e l'altra una  $(4-\alpha, 4-\alpha)$  non simmetrica, e, non potendo essere  $\alpha=1$  ed  $\alpha=3$  perchè  $p>1$  e la curva  $C$  è a moduli generali, sarebbe  $\alpha=2$ . Esisterebbe quindi sopra  $C$  una  $(2, 2)$  non simmetrica a valenza positiva (altrimenti il numero delle sue coincidenze sarebbe negativo). Ora ciò è impossibile per le cose dette qui e nel testo, dunque, ecc.



classe  $\Gamma$  (\*) in corrispondenza biunivoca prospettiva con  $C$ , e questa corrispondenza è contenuta in una reciprocità dello spazio, dunque per l'osservazione precedente  $\Gamma$  corrisponde a  $C$  in un sistema nullo o nella polarità rispetto alla (*sola*) quadrica contenente  $C$  (\*\*).

Un piano di  $\Gamma$  *tocca* la curva  $C$  nel punto corrispondente, e però se  $\Gamma$  corrispondesse a  $C$  in un sistema nullo le tangenti di  $C$  apparterrebbero a un complesso lineare. Ma ciò è impossibile, perchè allora le tre tangenti di  $C$  situate in uno dei suoi piani tritangenti passerebbero per un medesimo punto e toccherebbero la conica (non degenera) secondo cui quel piano taglia la quadrica passante per  $C$ , dunque  $\Gamma$  non può essere altra cosa che la sviluppabile di 6<sup>a</sup> classe polare reciproca di  $C$  rispetto alla quadrica che la contiene.

Ne segue il teorema:

*Sopra ogni curva algebrica di genere 4 a moduli generali esiste una sola corrispondenza (4,4) di valenza 2 (speciale). Essa è simmetrica e si ottiene facendo corrispondere a ogni punto della curva quei quattro che insieme ad esso completano due gruppi delle due  $g_3^1$  esistenti sulla curva (\*\*\*)*.

---

(\*) Infatti per un ragionamento precedente (n° 2) le sestuple date dai punti di  $C$  contati due volte ciascuno insieme ai quattro punti loro corrispondenti per  $\Sigma$  non possono essere contenute in una  $g_6^2$ .

(\*\*) È ben noto che una curva speciale normale d'ordine  $2p-2$  e genere  $p$  di  $S_{p-1}$  è contenuta in  $\frac{1}{2}(p-2)(p-3)$  quadriche linearmente indipendenti. Cfr. ad es. NÖTHER: *Ueber die invariante Darstellung algebraischer Functionen* ("Math. Ann.", Bd. 17).

(\*\*\*) Pel caso  $p=5$  non siamo riusciti a dare una discussione completa come pel caso  $p=4$ . Possiamo però far osservare che sopra una curva  $C$  di genere 5 a moduli generali non esistono corrispondenze speciali di valenza 0, 2 o 3. Pel caso della valenza nulla si applica la solita considerazione del testo dopo aver osservato che sopra  $C$  una serie completa (speciale) d'ordine 5 ha la dimensione 1. Quanto a quelle di valenza 2 o 3 si dimostra dapprima che esse sono necessariamente simmetriche, poi, rappresentando la curva  $C$  rispettivamente sopra una curva  $C^7$  (speciale, normale) del 7° ordine dello spazio ordinario, o sopra una curva  $C^8$  (speciale, normale) dell'8° ordine dell' $S_4$ , si osserva come la nostra asserzione si riduca all'altra: che le tangenti di  $C^7$  non possono appartenere a un complesso lineare e che gli iperpiani tangenti a una delle  $\infty^2$  quadriche passanti per  $C^8$  nei punti di  $C^8$  non possono aver tutti contatto tripunto con  $C^8$ .

Che le tangenti di  $C^7$  non possono appartenere a un complesso lineare



## § III.

8° Passiamo adesso a considerare le corrispondenze  $(p, p)$  di valenza negativa, e quindi uguale a  $-1$ , esistenti sopra la curva  $C$  di genere  $p$  e a moduli generali. Vedremo che, al contrario di quanto accade per le corrispondenze a valenza positiva, qui si riesce a caratterizzarle completamente e a costruirle tutte nel caso di  $p$  qualunque in una maniera geometrica semplice.

Infatti sia  $\Sigma$  una tal corrispondenza. Se  $x$  ed  $x_1$  sono due punti di  $C$  e  $y' \dots y^{(p)}, y'_1 \dots y_1^{(p)}$  i gruppi di punti ad essi corrispondenti per  $\Sigma$ , i due gruppi  $(x_1 y' \dots y^{(p)})$  ed  $(xy'_1 \dots y_1^{(p)})$  sono corresiduali, ossia appartengono a una medesima serie lineare d'ordine  $p + 1$ .

Ora dico che qualunque sia il punto  $x$  il gruppo dei  $p$  punti corrispondenti  $y' \dots, y^{(p)}$  non può essere speciale.

---

si dimostra subito. Infatti se ciò non fosse la classe della sviluppabile bitangente a  $C^7$  sarebbe (contrariamente a quanto risulta dalle note formule di Cayley) uguale all'ordine della linea nodale della rigata (sviluppabile) costituita dalle sue tangenti, perchè ogni piano bitangente di  $C^7$  passante per un punto  $x$  dello spazio darebbe col punto d'intersezione delle due tangenti di  $C^7$  in esso contenute un punto della linea nodale situato nel piano polare di  $x$  rispetto al sistema nullo individuato dal complesso in questione, e, dualmente, ogni punto della linea nodale situato in un piano  $\xi$  dello spazio darebbe un piano bitangente di  $C^7$  passante pel polo di  $\xi$ .

Quanto alla proprietà accennata di  $C^8$  essa può dimostrarsi nel modo che ora diremo, indicatoci gentilmente dal prof. Segre.

Se gli iperpiani tangenti nei punti di  $C^8$  a una  $M_3^2$ , passante per  $C_8$ , avessero tutti contatto tripunto colla curva, le tangenti di  $C^8$  apparterrebbero alla  $M_3^2$ , e allora, proiettando stereograficamente la  $M_3^2$  da un suo punto  $O$  sopra un  $S_3$ , la  $C^8$  si proietterebbe in una  $\gamma^8$  dello spazio ordinario le cui tangenti sarebbero tutte appoggiate a una conica  $\lambda$  avente otto punti comuni con  $\gamma^8$ . Quindi  $\lambda$  sarebbe linea 12-pla per la rigata di 24° grado costituita dalle tangenti di  $\gamma^8$ . Ora  $\gamma^8$  è situata sopra una superficie cubica passante per  $\lambda$  (proiezione della superficie del 4° ordine comune alle  $M_3^2$  passanti per  $C^8$  e per  $O$ ) e la residua intersezione di questa superficie e di quella rigata, oltre  $\gamma^8$  e  $\lambda$ , è tutta composta di rette, dunque quella superficie (che è affatto generale) conterrebbe  $3 \cdot 24 - 2 \cdot 8 - 2 \cdot 12 = 32$  rette: ciò che è assurdo.



Infatti supponiamo che ciò non sia, e indichiamo con  $g_p^r$  la serie speciale completa cui appartiene il gruppo  $y' \dots y^{(p)}$ . Se  $x_1$  è un punto generico della curva  $C$ , la serie  $g_{p+1}^r$ , ottenuta aggiungendo  $x_1$  ai gruppi di  $g_p^r$ , è ancora completa (\*) e quindi il gruppo costituito da  $x$  e dai punti  $y'_1 \dots y_1^{(p)}$  corrispondenti a  $x_1$  dovrà appartenere a quella  $g_{p+1}^r$ , e dei  $p$  punti  $y'_1 \dots y_1^{(p)}$  uno dovrà coincidere con  $x_1$ . Ora ciò è assurdo, se, come supponiamo i  $p$  punti corrispondenti per  $\Sigma$  a un punto generico di  $C$  sono diversi dal punto medesimo.

Da questo ragionamento segue che la serie lineare completa d'ordine  $p+1$  cui appartengono i gruppi  $(x_1 y' \dots y^{(p)})$  ed  $(xy'_1 \dots y_1^{(p)})$  ha la dimensione uguale all'unità, e che quindi la corrispondenza  $\Sigma$  è pienamente individuata quando sia assegnato il gruppo (non speciale) di  $p$  punti corrispondenti a un punto qualunque  $x$ .

9° Ciò posto è facile dimostrare che esiste sempre una corrispondenza  $\Sigma$ , della specie considerata nel n° precedente, che faccia corrispondere a un punto qualunque  $x$  di  $C$  un gruppo qualunque (non speciale) di  $p$  punti  $y' \dots y^{(p)}$ .

Infatti sia  $x_1$  un punto di  $C$  diverso da  $x$  e facciamo corrispondere ad  $x_1$  quel gruppo di  $p$  punti  $y'_1 \dots y_1^{(p)}$  che insieme a  $x$  dà un gruppo corresiduale al gruppo  $(x_1 y' \dots y^{(p)})$ . La corrispondenza  $\Sigma$ , che così si ottiene, fa corrispondere al punto  $x$  i punti  $y' \dots y^{(p)}$ , è a valenza  $-1$ , ed è priva di coincidenze, perchè se il punto  $x_2$ , per es., coincidesse con uno dei suoi  $p$  punti corrispondenti, per es., con  $y'_2$ , dall'essere corresiduali i due gruppi  $(xx_2 y''_2 \dots y_2^{(p)})$  e  $(x_2 y' \dots y^{(p)})$  si ricaverebbe la corresidualità dei gruppi  $(y' \dots y^{(p)})$  e  $(xy''_2 \dots y_2^{(p)})$  e il gruppo  $(y' \dots y^{(p)})$  sarebbe speciale. Conseguentemente la corrispondenza  $\Sigma$  è una  $(p,p)$  di valenza  $-1$  e si ha il teorema:

*Le corrispondenze  $(p,p)$  di valenza (negativa e quindi)  $-1$ , o anche, le corrispondenze  $(p,p)$  prive di coincidenze esistenti sopra una curva di genere  $p$  a moduli generali sono  $\infty^p$ : e una qualunque di esse è pienamente individuata quando sia assegnato*

---

(\*) Per il teorema di riduzione dovuto al sig. Noether. Cfr. BERTINI: *La geometria delle serie lineari sopra una curva piana secondo il metodo algebrico* ("Ann. di Mat.", serie II<sup>a</sup>, vol. 22).



(in modo arbitrario) il gruppo (non speciale) dei  $p$  punti corrispondenti a un punto qualunque della curva.

10° Per brevità diciamo  $\Sigma$  una corrispondenza  $(p, p)$  a valenza  $-1$ , e cerchiamo quante di queste corrispondenze  $\Sigma$  sono simmetriche.

Sia  $\Sigma'$  una tale corrispondenza simmetrica e siano  $y' \dots y^{(p)}$  i punti corrispondenti per essa al punto  $x$ : se diciamo  $z'_i \dots z_i^{(p)}$  i punti corrispondenti a  $y^{(i)}$ , uno dei punti  $z'_i \dots z_i^{(p)}$  dovrà coincidere con  $x$ .

Se poniamo  $x = z'_i$  si avranno delle formule del tipo:

$$(5) \quad \sum_{j=1}^{j=p} u_k(y^{(j)}) \equiv u_k(x) + \pi_k \quad (k = 1 \dots p)$$

$$(6) \quad u_k(x) + \sum_{j=2}^{j=p} u_k(z_i^{(j)}) \equiv u_k(y^{(j)}) + \pi_k \quad (k = 1 \dots p)$$

e quindi, sommando, sarà:

$$(7) \quad \sum_{j=2}^{j=p} [u_k(y^{(j)}) + u_k(z_i^{(j)})] = 2\pi_k \quad (k = 1 \dots p),$$

ossia, i gruppi di  $2p - 2$  punti costituiti dai punti corrispondenti per  $\Sigma'$  a un punto qualunque  $x$  e a uno qualunque dei suoi punti corrispondenti  $y^{(i)}$ , eccettuati  $x$  ed  $y^{(i)}$ , appartengono a una medesima serie lineare d'ordine  $2p - 2$ ,  $g_{2p-2}$ .

I  $p - 1$  gruppi di  $g_{2p-2}$  passanti per  $y'$ , ad es., e costituiti dai  $p$  punti corrispondenti ad  $x$  tranne  $y^{(i)}$  ( $i \neq 1$ ) e dai  $p$  punti corrispondenti ad  $y^{(i)}$  tranne  $x$  sono linearmente indipendenti, perchè  $p - 2$  qualunque di essi hanno comune un punto che non fa parte del rimanente, quindi individuano una serie lineare  $\infty^{p-2}$  contenuta in  $g_{2p-2}$  e avente un punto fisso nel punto  $y'$ . Ora  $y'$  è un punto generico di  $C$ , quindi la dimensione della serie  $g_{2p-2}$  è  $p - 1$  (non potendo essere maggiore di  $p - 1$ ) ed essa è proprio la serie canonica di  $C$ .

Ora consideriamo insieme ai punti  $y' \dots y^{(p)}$  corrispondenti a  $x$  i punti  $y'_1 \dots y_1^{(p)}$  corrispondenti a un altro punto qualunque  $x_1$ : sarà:



$$(8) \quad \sum_{i=1}^{i=p} u_k(y^{(i)}) \equiv u_k(x) + \pi_k \quad (k = 1 \dots p)$$

$$(9) \quad \sum_{i=1}^{i=p} u_k(y_1^{(i)}) \equiv u_k(x_1) + \pi_k \quad (k = 1 \dots p)$$

e quindi:

$$(10) \quad \sum_{i=1}^{i=p} [u_k(y^{(i)}) + u_k(y_1^{(i)})] \equiv u_k(x) + u_k(x_1) + 2\pi_k : (k = 1 \dots p):$$

ma se si considera un gruppo qualunque della serie canonica la somma dei valori dell'integrale  $u_k$  nei suoi punti è congrua a  $2\pi_k$ , dunque:

*Due punti qualunque di C insieme a un gruppo qualunque della serie canonica dànno un gruppo di  $2p$  punti corresiduale a quello costituito dai punti ad essi corrispondenti per  $\Sigma'$ .*

In particolare:

*Un punto di C contato due volte insieme a un gruppo qualunque della serie canonica dà un gruppo di  $2p$  punti corresiduale a quello costituito dai suoi punti corrispondenti contato ciascuno due volte.*

Ora un punto  $x$  di C, contato due volte, insieme a un gruppo qualunque della serie canonica individua una serie completa  $g_{2p}^p$  con  $2^{2p}$  gruppi (\*) costituiti da  $p$  punti doppii, e di questi  $2^{2p}$  gruppi,  $2^{p-1} (2^p - 1)$  (\*) sono costituiti dal punto  $x$  contato due volte insieme ai punti di un gruppo della serie canonica dato da  $p - 1$  punti doppii, dunque il gruppo di  $p$  punti corrispondenti a  $x$  per una corrispondenza simmetrica  $\Sigma'$  (se esiste) è uno dei rimanenti:

$$2^{2p} - 2^{p-1} (2^p - 1)$$

gruppi di  $p$  punti doppii di quella  $g_{2p}^p$ .

11° Ebbene sia  $y' \dots y^{(p)}$  uno di questi gruppi (certo non speciale) e consideriamo la corrispondenza  $\Sigma' (p, p)$  e a va-

---

(\*) Cfr. ad es. CLEBSCH: *Ueber die Anwendung der Abel'schen Functionen in der Geometrie* ("Crelle's Journal", Bd. 63).



lenza  $-1$  (determinata), che fa corrispondere ad  $x$  i punti  $y' \dots y^{(p)}$ . Per essa varranno formule del tipo:

$$(11) \quad \sum_{i=1}^{i=p} u_k(y^{(i)}) \equiv u_k(x) + \pi_k \quad (k = 1 \dots p)$$

e, per ipotesi, la costante  $\pi_k$  sarà determinata da ciò che il suo doppio  $2\pi_k$  deve essere una quantità congrua alla somma dei valori dell'integrale  $u_k$  nei punti di un gruppo qualunque della serie canonica: quindi se  $y'_1 \dots y_1^{(p)}$  sono i punti corrispondenti per  $\Sigma'$  a un altro punto qualunque  $x_1$  di  $C$ , il gruppo  $y'_1 \dots y_1^{(p)}$  avrà con  $x_1$  la stessa relazione che il gruppo  $y' \dots y^{(p)}$  ha col punto  $x$ .

Inoltre supponiamo che quando  $x$  prende la posizione del punto  $y'$  i suoi punti corrispondenti siano  $z' \dots z^{(p)}$ : insieme alle (11) sarà:

$$(12) \quad \sum_{i=1}^{i=p} u_k(z^{(i)}) \equiv u_k(y') + \pi_k \quad (k = 1 \dots p)$$

e quindi:

$$u_k(y'') + \dots + u_k(y'^{(p)}) + u_k(z') + \dots + u_k(z^{(p)}) \equiv u_k(x) + 2\pi_k.$$

Ciò significa, pel teorema d'Abel, che il gruppo  $y'' \dots y'^{(p)} z' \dots z^{(p)}$  è corresiduale a tutti i gruppi costituiti dal punto  $x$  insieme ai punti di un gruppo qualunque della serie canonica: ma questi gruppi dànno evidentemente una  $g_{2p-1}^{p-1}$  completa, dunque dei punti  $y'' \dots y'^{(p)} z' \dots z^{(p)}$  uno certamente coincide con  $x$ . Un tal punto non può essere uno dei punti  $y^{(i)}$ , dunque sarà uno dei punti  $z^{(i)}$  e la corrispondenza  $\Sigma'$  sarà una corrispondenza simmetrica. Abbiamo con ciò il teorema:

*Le corrispondenze  $(p, p)$  prive di coincidenze e simmetriche esistenti sopra una curva di genere  $p$  e a moduli generali sono in numero di  $2^{2p} - 2^{p-1}(2^p - 1)$  e si ottengono tutte nel modo detto sopra.*

12° Se nell'enunciato precedente si fa  $p = 1$ , si ottiene il teorema ben noto che sopra una curva ellittica a modulo generale esistono solo tre involuzioni prive di coincidenze; se



invece si fa  $p = 3$ , si trova che sopra una curva di genere 3 a moduli generali esistono soltanto 36 corrispondenze (3,3) simmetriche e prive di coincidenze.

Ora in una mia breve nota inserita nei *Mathematische Annalen* (\*) ho dimostrato che ogni quartica piana generale può pensarsi come covariante  $S$  di altre 36, e sopra il covariante  $S$  di una quartica si ha subito una corrispondenza simmetrica (3,3) priva di coincidenze quando si considerino come corrispondenti due punti avuti per conica polare mista una retta doppia, dunque ricordando che la quartica piana è appunto di genere 3, possiamo dire che:

*Le 36 corrispondenze (3,3) simmetriche e prive di coincidenze determinate sopra una quartica piana dalle altre 36 di cui essa è covariante  $S$  sono le sole corrispondenze di quella natura esistente su di essa.*

Nella detta nota, per stabilire la proprietà citata, si parte dalla considerazione dei sistemi di cubiche seitangenti alla quartica piana e si mostra una stretta relazione fra le 36 quartiche di cui la data è covariante  $S$  e i suoi 36 sistemi di cubiche seitangenti di 2<sup>a</sup> specie (cioè tali che mai i sei punti di contatto di una qualunque di esse giacciono sopra una conica): ora il lettore può verificare che tale processo presenta delle analogie con quello che qui si adopera pel caso generale di  $p$  qualunque, e che i teoremi che là si danno sui triangoli polohessiani si deducono facilmente da quelli stabiliti qui al n° 10 e da considerazioni analoghe.

13° Un altro teorema sui triangoli polohessiani che segue subito da quello generale del n° 1 sulle corrispondenze a valenza negativa è il seguente:

*Detti  $x$  ed  $x_1$  due punti del covariante  $S$  di una quartica e  $yzt$ ,  $y_1z_1t_1$  i loro rispettivi triangoli polohessiani, le due quaterne di punti  $xy_1z_1t_1$  e  $x_1yzt$  possono assumersi come punti-base di due fasci di coniche proiettivi generanti il covariante medesimo.*

Esso permette di costruire una quartica  $Q$  quando si sappia che due suoi punti  $x$  od  $x_1$  devono avere per triangoli polohes-

---

(\*) SCORZA: *Un nuovo teorema sopra le quartiche piane generali* (" Math. Ann. ", Bd. 52).



siani rispetto a un'altra quartica (non data), di cui  $Q$  deve essere covariante  $S$ , i due triangoli  $yzt$ ,  $y_1z_1t_1$  (inscritti in una medesima conica) e che inoltre essa deve passare per un nono punto  $u_1$  (non situato sulla retta  $xx_1$ ).

Infatti, per uno di quei teoremi a cui poco fa si alludeva, la quartica  $Q$  deve passare pei punti  $u_2$ ,  $u_3$  ove la conica circoscritta ai triangoli  $yzt$ ,  $y_1z_1t_1$  taglia la retta  $xx_1$ , e allora per quel che or ora abbiamo affermato la quartica  $Q$  è generata dai fasci di coniche aventi per punti-base i punti  $xy_1z_1t_1$  e  $x_1yzt$  e riferiti proiettivamente, così che alle coniche del primo fascio passanti per  $u_1$ ,  $u_2$ ,  $u_3$  corrispondano rispettivamente le coniche del secondo fascio passanti pei medesimi punti.

14° Infine osserviamo che, se si rappresenta la curva  $C$  di genere  $p$  sopra la curva speciale normale d'ordine  $2p - 2$  dello spazio  $S_{p-1}$ , si ottengono su questa  $2^{2p} - 2^{p-1} (2^p - 1)$  corrispondenze fra i punti della curva e dei  $p$ -goni storti inscritti in essa perfettamente analoghe alle 36 corrispondenze fra i punti di una quartica e i loro triangoli polohessiani rispetto alle quartiche di cui quella data è covariante  $S$ .

Ma su ciò crediamo inutile insistere più oltre.

---



*Sulle equazioni delle vibrazioni dei corpi elastici  
in coordinate curvilinee.*

Nota del Prof. ORAZIO TEDONE.

1. — Riferiamo lo spazio ad un sistema di coordinate curvilinee, ortogonali, qualunque  $(q_1, q_2, q_3)$  e sia

$$(1) \quad ds^2 = Q_1^2 dq_1^2 + Q_2^2 dq_2^2 + Q_3^2 dq_3^2$$

il quadrato dell'elemento lineare. Se indichiamo, allora, con  $\kappa_1, \kappa_2, \kappa_3$  le componenti dello spostamento di un punto di un corpo elastico omogeneo ed isotropo, poniamo:

$$(2) \quad \left\{ \begin{aligned} \theta &= \frac{1}{\nabla} \left( \frac{\partial Q_2 Q_3 \kappa_1}{\partial q_1} + \frac{\partial Q_3 Q_1 \kappa_2}{\partial q_2} + \frac{\partial Q_1 Q_2 \kappa_3}{\partial q_3} \right), & \nabla &= Q_1 Q_2 Q_3 \\ \hat{\omega} &= \frac{1}{2Q_2 Q_3} \left( \frac{\partial Q_3 \kappa_3}{\partial q_2} - \frac{\partial Q_2 \kappa_2}{\partial q_3} \right), & \chi &= \frac{1}{2Q_3 Q_1} \left( \frac{\partial Q_1 \kappa_1}{\partial q_3} - \frac{\partial Q_3 \kappa_3}{\partial q_1} \right), \\ & & \rho &= \frac{1}{2Q_1 Q_2} \left( \frac{\partial Q_2 \kappa_2}{\partial q_1} - \frac{\partial Q_1 \kappa_1}{\partial q_2} \right), \end{aligned} \right.$$

ed indichiamo con  $F_1, F_2, F_3$  le componenti della forza applicata a ciascuna particella del corpo elastico, le equazioni indefinite delle vibrazioni di questo corpo, al tempo  $t$ , si potranno porre sotto la forma seguente:

$$(3) \quad \left\{ \begin{aligned} \frac{\partial^2 \kappa_1}{\partial t^2} - \frac{b^2}{Q_1} \frac{\partial \theta}{\partial q_1} - \frac{2a^2}{Q_2 Q_3} \left( \frac{\partial Q_2 \chi}{\partial q_3} - \frac{\partial Q_3 \rho}{\partial q_2} \right) - F_1 &= 0 \\ \frac{\partial^2 \kappa_2}{\partial t^2} - \frac{b^2}{Q_2} \frac{\partial \theta}{\partial q_2} - \frac{2a^2}{Q_3 Q_1} \left( \frac{\partial Q_3 \rho}{\partial q_1} - \frac{\partial Q_1 \hat{\omega}}{\partial q_3} \right) - F_2 &= 0 \\ \frac{\partial^2 \kappa_3}{\partial t^2} - \frac{b^2}{Q_3} \frac{\partial \theta}{\partial q_3} - \frac{2a^2}{Q_1 Q_2} \left( \frac{\partial Q_1 \hat{\omega}}{\partial q_2} - \frac{\partial Q_2 \chi}{\partial q_1} \right) - F_3 &= 0 \end{aligned} \right.$$

nelle quali  $a^2$  e  $b^2$  rappresentano, notoriamente, i quadrati delle velocità delle onde trasversali e longitudinali.



2. — In questa nota mi propongo di costruire, per  $\kappa_1, \kappa_2, \kappa_3$  delle espressioni analitiche, in funzione di  $q_1, q_2, q_3$  e  $t$ , analoghe a quelle date nella mia memoria: *Sulle vibrazioni dei corpi solidi, omogenei ed isotropi* (\*), per le componenti dello spostamento di un punto di un corpo elastico secondo tre assi cartesiani ortogonali e con metodo perfettamente analogo.

Consideriamo perciò lo spazio *euclideo* a quattro dimensioni di cui il quadrato dell'elemento lineare sia

$$dt^2 + Q_1^2 dq_1^2 + Q_2^2 dq_2^2 + Q_3^2 dq_3^2.$$

In questo spazio un punto è individuato da un sistema di valori delle coordinate  $t, q_1, q_2, q_3$  ed ogni varietà a tre dimensioni  $t = \text{cost}$ , immersa in esso, può essere identificata con lo spazio ordinario. Sia ora  $S_4$  una porzione finita, qualunque di questo spazio a quattro dimensioni, limitata dalla varietà  $\Sigma$  a tre dimensioni, chiamiamo  $n$  la direzione della normale a  $\Sigma$  diretta verso l'interno di  $S_4$ , e poniamo:

$$(4) \quad \begin{cases} U_1 = \frac{\partial \kappa_1}{\partial t} \cos(nt) - b^2 \theta \cos(nq_1) - 2a^2 (\chi \cos(nq_3) - \rho \cos(nq_2)) \\ U_2 = \frac{\partial \kappa_2}{\partial t} \cos(nt) - b^2 \theta \cos(nq_2) - 2a^2 (\rho \cos(nq_1) - \hat{w} \cos(nq_3)) \\ U_3 = \frac{\partial \kappa_3}{\partial t} \cos(nt) - b^2 \theta \cos(nq_3) - 2a^2 (\hat{w} \cos(nq_2) - \chi \cos(nq_1)). \end{cases}$$

Se  $\kappa_1, \kappa_2, \kappa_3; \kappa'_1, \kappa'_2, \kappa'_3$  sono due sistemi di funzioni regolari in  $S_4$ , le quali, interpretate come componenti di spostamenti, corrispondano ai due sistemi di forze  $F_1, F_2, F_3; F'_1, F'_2, F'_3$  che sieno, esse pure, funzioni regolari in  $S_4$  e, se supponiamo che  $\Sigma$  soddisfi alle solite condizioni generali rispetto all'iperpiano tangente, col solito processo di integrazioni per parti, si stabilisce agevolmente la formola fondamentale seguente:

$$(5) \quad \begin{cases} \int_{S_4} (F_1 \kappa'_1 + F_2 \kappa'_2 + F_3 \kappa'_3) dS_4 - \int_{S_4} (F'_1 \kappa_1 + F'_2 \kappa_2 + F'_3 \kappa_3) dS_4 \\ = \int_{\Sigma} (U'_1 \kappa_1 + U'_2 \kappa_2 + U'_3 \kappa_3) d\Sigma - \int_{\Sigma} (U_1 \kappa'_1 + U_2 \kappa'_2 + U_3 \kappa'_3) d\Sigma. \end{cases}$$

---

(\*) " Mem. della R. Accad. delle Scienze di Torino „, anno 1896-97.



3. — Si vede, intanto, subito, che si soddisfa alle equazioni (3) ponendo:

$$(6) \quad \kappa_1 = \frac{1}{Q_1} \frac{\partial \varphi}{\partial q_1}, \quad \kappa_2 = \frac{1}{Q_2} \frac{\partial \varphi}{\partial q_2}, \quad \kappa_3 = \frac{1}{Q_3} \frac{\partial \varphi}{\partial q_3}$$

purchè sia:

$$\frac{\partial^2 \varphi}{\partial t^2} - b^2 \Delta^2 \varphi = 0, \quad F_1 = F_2 = F_3 = 0$$

dove, come al solito:

$$\Delta^2 \varphi = \frac{1}{\nabla} \left[ \frac{\partial}{\partial q_1} \left( \frac{Q_2 Q_3}{Q_1} \frac{\partial \varphi}{\partial q_1} \right) + \frac{\partial}{\partial q_2} \left( \frac{Q_3 Q_1}{Q_2} \frac{\partial \varphi}{\partial q_2} \right) + \frac{\partial}{\partial q_3} \left( \frac{Q_1 Q_2}{Q_3} \frac{\partial \varphi}{\partial q_3} \right) \right].$$

Possiamo quindi porre

$$\varphi = \frac{b^2(t' - t)^2}{r} + r$$

dove  $r$  indica la distanza fra il punto fisso  $(t', q'_1, q'_2, q'_3)$  ed il punto variabile  $(t, q_1, q_2, q_3)$ . Chiamiamo  $\kappa'_1, \kappa'_2, \kappa'_3$  questo sistema di integrali particolari delle equazioni (3) e distinguiamo, in generale, con un apice le quantità costruite con  $\kappa'_1, \kappa'_2, \kappa'_3$  dalle analoghe costruite con  $\kappa_1, \kappa_2, \kappa_3$ . Si avrà allora:

$$(7) \quad \kappa'_1 = \left[ 1 - \frac{b^2(t' - t)^2}{r^2} \right] \frac{1}{Q_1} \frac{\partial r}{\partial q_1}, \quad \kappa'_2 = \left[ 1 - \frac{b^2(t' - t)^2}{r^2} \right] \frac{1}{Q_2} \frac{\partial r}{\partial q_2},$$

$$\kappa'_3 = \left[ 1 - \frac{b^2(t' - t)^2}{r^2} \right] \frac{1}{Q_3} \frac{\partial r}{\partial q_3};$$

$$\theta' = \frac{2}{r}, \quad \dot{\omega}' = \chi' = \rho' = 0;$$

$$(8) \quad \left\{ \begin{aligned} U'_1 &= \frac{2b^2(t' - t)}{r^2} \frac{1}{Q_1} \frac{\partial r}{\partial q_1} \cos(nt) - \frac{2b^2}{r} \cos(nq_1) \\ U'_2 &= \frac{2b^2(t' - t)}{r^2} \frac{1}{Q_2} \frac{\partial r}{\partial q_2} \cos(nt) - \frac{2b^2}{r} \cos(nq_2) \\ U'_3 &= \frac{2b^2(t' - t)}{r^2} \frac{1}{Q_3} \frac{\partial r}{\partial q_3} \cos(nt) - \frac{2b^2}{r} \cos(nq_3) \end{aligned} \right.$$



Facciamo poi coincidere i valori  $\kappa'_1, \kappa'_2, \kappa'_3$  che compaiono nella formola fondamentale (5) con i valori (7) e, nella stessa formola, scegliamo  $S_4$  come nella memoria citata, per la determinazione di  $\theta$ , in modo, cioè, che sia limitato fra la varietà conica di rotazione  $B$  avente il vertice nel punto fisso  $(t', q'_1, q'_2, q'_3)$ , l'asse di rotazione  $\alpha$  parallelo all'asse  $t$  e di equazione  $b(t' - t) - r = 0$ , ed una porzione di una varietà qualunque, a tre dimensioni  $\Sigma$ . Come allora, chiameremo  $S_{4,b}$  l' $S_4$  così determinato e con  $\Sigma_b$  la porzione di  $\Sigma$  che le appartiene come contorno. Per semplicità, supporremo che in tutti i punti di  $S_{4,b}$  sia  $t' > t$ . Poichè  $\kappa'_1, \kappa'_2, \kappa'_3$  diventano infinite in  $S_{4,b}$ , per poter applicare la (5) al nostro caso, escluderemo, dapprima, da  $S_{4,b}$  quella sua porzione che è compresa nella varietà cilindrica di rotazione intorno alla stessa retta  $\alpha$ , di equazione  $r = \epsilon$ , dove  $\epsilon$  è una costante piccola ad arbitrio, e che chiameremo la varietà  $C$ . Le parti che allora rimangono di  $S_{4,b}$  e di  $\Sigma_b$  le chiameremo  $S'_{4,b}$  e  $\Sigma'_b$ , mentre chiameremo  $\Sigma_b''$  e  $\Sigma_b'''$  le parti di  $B$  e di  $C$  che insieme a  $\Sigma'_b$  formano il contorno completo di  $S'_{4,b}$ . Scegliendo ora la direzione positiva della normale al contorno di  $S'_{4,b}$ , com'è stato già detto, si avrà nei punti di  $\Sigma_b''$ :

$$(9) \quad \begin{cases} \cos(nt) = -\frac{b}{\sqrt{1+b^2}}, & \cos(nq_1) = -\frac{1}{Q_1} \frac{\partial r}{\partial q_1} \frac{1}{\sqrt{1+b^2}}, \\ \cos(nq_2) = -\frac{1}{Q_2} \frac{\partial r}{\partial q_2} \frac{1}{\sqrt{1+b^2}}, & \cos(nq_3) = -\frac{1}{Q_3} \frac{\partial r}{\partial q_3} \frac{1}{\sqrt{1+b^2}}, \end{cases}$$

mentre nei punti di  $C$  si avrà:

$$(10) \quad \begin{cases} \cos(nt) = 0, \\ \cos(nq_1) = \frac{1}{Q_1} \frac{\partial r}{\partial q_1}, \quad \cos(nq_2) = \frac{1}{Q_2} \frac{\partial r}{\partial q_2}, \quad \cos(nq_3) = \frac{1}{Q_3} \frac{\partial r}{\partial q_3}. \end{cases}$$

Di qui discende subito che nei punti  $\Sigma_b''$  è:

$$(11) \quad \begin{cases} \kappa'_1 = \kappa'_2 = \kappa'_3 = 0 \\ U'_1 = -\frac{2}{Q_1} \frac{\partial r}{\partial q_1} \frac{b^2}{r \sqrt{1+b^2}} \left[ \frac{b(t' - t)}{r} - 1 \right] = 0, \quad U'_2 = U'_3 = 0, \end{cases}$$

mentre nei punti di  $C$  è:



$$(12) \quad \left\{ \begin{aligned} \kappa'_1 &= \left[ 1 - \frac{b^2(t'-t)^2}{\epsilon^2} \right] \frac{1}{Q_1} \frac{\partial r}{\partial q_1}, \\ \kappa'_2 &= \left[ 1 - \frac{b^2(t'-t)^2}{\epsilon^2} \right] \frac{1}{Q_2} \frac{\partial r}{\partial q_2}, \quad \kappa'_3 = \left[ 1 - \frac{b^2(t'-t)^2}{\epsilon^2} \right] \frac{1}{Q_3} \frac{\partial r}{\partial q_3} \end{aligned} \right.$$

$$(13) \quad U'_1 = -\frac{2b^2}{\epsilon} \frac{1}{Q_1} \frac{\partial r}{\partial q_1}, \quad U'_2 = -\frac{2b^2}{\epsilon} \frac{1}{Q_2} \frac{\partial r}{\partial q_2}, \quad U'_3 = -\frac{2b^2}{\epsilon} \frac{1}{Q_3} \frac{\partial r}{\partial q_3}$$

$$(14) \quad \left\{ \begin{aligned} U_1 &= -b^2 \frac{\theta}{Q_1} \frac{\partial r}{\partial q_1} - 2a^2 \left( \frac{\chi}{Q_3} \frac{\partial r}{\partial q_3} - \frac{\rho}{Q_2} \frac{\partial r}{\partial q_2} \right) \\ U_2 &= -b^2 \frac{\theta}{Q_2} \frac{\partial r}{\partial q_2} - 2a^2 \left( \frac{\rho}{Q_1} \frac{\partial r}{\partial q_1} - \frac{\omega}{Q_3} \frac{\partial r}{\partial q_3} \right) \\ U_3 &= -b^2 \frac{\theta}{Q_3} \frac{\partial r}{\partial q_3} - 2a^2 \left( \frac{\omega}{Q_2} \frac{\partial r}{\partial q_2} - \frac{\chi}{Q_1} \frac{\partial r}{\partial q_1} \right). \end{aligned} \right.$$

Nella formola (5), e nelle ipotesi fatte in questo numero, gli integrali estesi a  $\Sigma_b''$  svaniscono identicamente. Nella formola rimanente facciamo poi tendere  $\epsilon$  a zero. Chiamando  $t_0$  il valore di  $t$  che corrisponde al punto d'incontro dell'asse  $\alpha$  con la varietà  $\Sigma$ , si trova subito

$$\begin{aligned} & \lim_{\epsilon=0} \int_{\Sigma_b'''} (U'_1 \kappa_1 + U'_2 \kappa_2 + U'_3 \kappa_3) d\Sigma_b''' \\ &= -2b^2 \int_{t_0}^{t'} dt \lim_{\epsilon=0} \epsilon \int_{\omega} d\omega \left( \frac{\kappa_1}{Q_1} \frac{\partial r}{\partial q_1} + \frac{\kappa_2}{Q_2} \frac{\partial r}{\partial q_2} + \frac{\kappa_3}{Q_3} \frac{\partial r}{\partial q_3} \right) = 0, \\ & \lim_{\epsilon=0} \int_{\Sigma_b'''} (U_1 \kappa'_1 + U_2 \kappa'_2 + U_3 \kappa'_3) d\Sigma_b''' = 4\pi b^4 \int_{t_0}^{t'} (t'-t)^2 \theta(t, q'_i) dt \end{aligned}$$

per cui abbiamo la formola

$$\begin{aligned} (15) \quad & 4\pi b^4 \int_{t_0}^{t'} (t'-t)^2 \theta(t, q'_i) dt \\ &= \int_{S_{4,b}} \left[ \frac{b^2(t'-t)^2}{r^2} - 1 \right] \left( \frac{F_1}{Q_1} \frac{\partial r}{\partial q_1} + \frac{F_2}{Q_2} \frac{\partial r}{\partial q_2} + \frac{F_3}{Q_3} \frac{\partial r}{\partial q_3} \right) dS_{4,b} \\ &+ \int_{\Sigma_b} \left[ \frac{b^2(t'-t)^2}{r^2} - 1 \right] \left( \frac{U_1}{Q_1} \frac{\partial r}{\partial q_1} + \frac{U_2}{Q_2} \frac{\partial r}{\partial q_2} + \frac{U_3}{Q_3} \frac{\partial r}{\partial q_3} \right) d\Sigma_b \\ &+ 2b^2 \int_{\Sigma_b} \frac{t'-t}{r^2} \cos(nt) \left( \frac{\kappa_1}{Q_1} \frac{\partial r}{\partial q_1} + \frac{\kappa_2}{Q_2} \frac{\partial r}{\partial q_2} + \frac{\kappa_3}{Q_3} \frac{\partial r}{\partial q_3} \right) d\Sigma_b \\ &- 2b^2 \int_{\Sigma_b} [\kappa_1 \cos(nq_1) + \kappa_2 \cos(nq_2) + \kappa_3 \cos(nq_3)] \frac{d\Sigma_b}{r}. \end{aligned}$$



4. — Sia ora  $(x, y, z)$  un sistema di coordinate cartesiane ortogonali a cui possiamo sempre riferire lo spazio ordinario, in modo che

$$Q_1^2 dq_1^2 + Q_2^2 dq_2^2 + Q_3^2 dq_3^2 = dx^2 + dy^2 + dz^2.$$

Allora un altro sistema di integrali particolari delle equazioni (3) si avrà ponendo:

$$(16) \quad \kappa_1 = \frac{1}{Q_2 Q_3} \frac{d(\psi x)}{d(q_2 q_3)}, \quad \kappa_2 = \frac{1}{Q_3 Q_1} \frac{d(\psi x)}{d(q_3 q_1)}, \quad \kappa_3 = \frac{1}{Q_1 Q_2} \frac{d(\psi x)}{d(q_1 q_2)} (*)$$

dove

$$\frac{d(\psi x)}{d(q_2 q_3)} = \frac{\partial \psi}{\partial q_2} \frac{\partial x}{\partial q_3} - \frac{\partial \psi}{\partial q_3} \frac{\partial x}{\partial q_2}, \dots$$

nella ipotesi che sia:

$$\frac{\partial^2 \psi}{\partial t^2} - a^2 \Delta^2 \psi = 0, \quad F_1 = F_2 = F_3 = 0.$$

(\*) Della verità di quanto asseriamo potremmo convincerci facilmente osservando che le espressioni (16) di  $\kappa_1, \kappa_2, \kappa_3$  si possono ottenere esprimendo il secondo gruppo degli integrali particolari (6) della memoria acc. nelle coordinate  $q_1, q_2, q_3$  e poi, interpretate queste espressioni come componenti di un segmento secondo gli assi  $x, y, z$ , prendendo le componenti, di questo stesso segmento, secondo le direzioni  $q_1, q_2, q_3$ . Qui vogliamo far vedere come la stessa cosa si possa dimostrare direttamente il che non ci sembra del tutto inutile. Perciò osserviamo che quando le  $\kappa$  sono date dalle formole (16) è:

$$\theta = 0; \quad 2\omega = \frac{1}{Q_2 Q_3} \left[ \frac{\partial}{\partial q_2} \left( \frac{Q_3}{Q_1 Q_2} \frac{d(\psi x)}{d(q_1 q_2)} \right) - \frac{\partial}{\partial q_3} \left( \frac{Q_2}{Q_3 Q_1} \frac{d(\psi x)}{d(q_3 q_1)} \right) \right], \quad 2\chi = \dots, \quad 2\rho = \dots$$

quindi:

$$a) \quad 2 \left( \frac{\partial Q_2 \chi}{\partial q_3} - \frac{\partial Q_3 \rho}{\partial q_2} \right) = \frac{\partial}{\partial q_3} \left\{ \frac{Q_2}{Q_3 Q_1} \left[ \frac{\partial}{\partial q_3} \left( \frac{Q_1}{Q_2 Q_3} \frac{d(\psi x)}{d(q_2 q_3)} \right) - \frac{\partial}{\partial q_1} \left( \frac{Q_3}{Q_1 Q_2} \frac{d(\psi x)}{d(q_1 q_2)} \right) \right] \right\} \\ - \frac{\partial}{\partial q_2} \left\{ \frac{Q_3}{Q_1 Q_2} \left[ \frac{\partial}{\partial q_1} \left( \frac{Q_2}{Q_3 Q_1} \frac{d(\psi x)}{d(q_3 q_1)} \right) - \frac{\partial}{\partial q_2} \left( \frac{Q_1}{Q_2 Q_3} \frac{d(\psi x)}{d(q_2 q_3)} \right) \right] \right\}.$$

Osserviamo poi che la seconda parte di questa espressione si ottiene dalla prima permutando gli indici 2 e 3 e cambiando il segno, possiamo



Per  $\psi$  possiamo prendere quindi la funzione

$$\frac{a^2(t' - t)^2}{r} + r$$

dove  $r$  ha lo stesso significato di prima. I valori di  $\kappa_1, \kappa_2, \kappa_3$

quindi limitarci a trasformare la prima parte. Questa si può subito porre sotto la forma

$$\begin{aligned} b) \quad & \frac{\partial \psi}{\partial q_2} \frac{\partial}{\partial q_3} \left[ \frac{1}{\nabla} \frac{\partial}{\partial q_3} \left( \frac{Q_1 Q_2}{Q_3} \frac{\partial x}{\partial q_3} \right) \right] + \frac{\partial^2 \psi}{\partial q_2 \partial q_3} \frac{1}{\nabla} \frac{\partial}{\partial q_3} \left( \frac{Q_1 Q_2}{Q_3} \frac{\partial x}{\partial q_3} \right) \\ & + \frac{\partial}{\partial q_3} \left[ \frac{Q_2^2}{Q_3^2} \frac{\partial x}{\partial q_3} \frac{\partial}{\partial q_3} \left( \frac{1}{Q_2^2} \frac{\partial \psi}{\partial q_2} \right) \right] \\ & - \frac{\partial x}{\partial q_2} \frac{\partial}{\partial q_3} \left[ \frac{1}{\nabla} \frac{\partial}{\partial q_3} \left( \frac{Q_1 Q_2}{Q_3} \frac{\partial \psi}{\partial q_3} \right) \right] - \frac{\partial^2 x}{\partial q_2 \partial q_3} \frac{1}{\nabla} \frac{\partial}{\partial q_3} \left( \frac{Q_1 Q_2}{Q_3} \frac{\partial \psi}{\partial q_3} \right) \\ & - \frac{\partial}{\partial q_3} \left[ \frac{Q_2^2}{Q_3^2} \frac{\partial \psi}{\partial q_3} \frac{\partial}{\partial q_3} \left( \frac{1}{Q_2^2} \frac{\partial x}{\partial q_2} \right) \right] \\ & - \frac{\partial x}{\partial q_2} \frac{\partial}{\partial q_3} \left[ \frac{1}{\nabla} \frac{\partial}{\partial q_1} \left( \frac{Q_2 Q_3}{Q_1} \frac{\partial \psi}{\partial q_1} \right) \right] - \frac{\partial^2 x}{\partial q_2 \partial q_3} \frac{1}{\nabla} \frac{\partial}{\partial q_1} \left( \frac{Q_2 Q_3}{Q_1} \frac{\partial \psi}{\partial q_1} \right) \\ & - \frac{\partial}{\partial q_3} \left[ \frac{Q_2^2}{Q_1^2} \frac{\partial \psi}{\partial q_1} \frac{\partial}{\partial q_1} \left( \frac{1}{Q_2^2} \frac{\partial x}{\partial q_2} \right) \right] \\ & + \frac{\partial \psi}{\partial q_2} \frac{\partial}{\partial q_3} \left[ \frac{1}{\nabla} \frac{\partial}{\partial q_1} \left( \frac{Q_2 Q_3}{Q_1} \frac{\partial x}{\partial q_1} \right) \right] + \frac{\partial^2 \psi}{\partial q_2 \partial q_3} \frac{1}{\nabla} \frac{\partial}{\partial q_1} \left( \frac{Q_2 Q_3}{Q_1} \frac{\partial x}{\partial q_1} \right) \\ & + \frac{\partial}{\partial q_3} \left[ \frac{Q_2^2}{Q_1^2} \frac{\partial x}{\partial q_1} \frac{\partial}{\partial q_1} \left( \frac{1}{Q_2^2} \frac{\partial \psi}{\partial q_2} \right) \right]. \end{aligned}$$

Osserviamo ora che i termini della prima colonna di questa espressione fanno parte dello sviluppo di  $\frac{\partial \psi}{\partial q_2} \frac{\partial}{\partial q_3} (\Delta^2 x) - \frac{\partial x}{\partial q_3} \frac{\partial}{\partial q_3} (\Delta^2 \psi)$ . Aggiungendo e sottraendo contemporaneamente, nella  $b)$  gli altri termini che sono necessari per completare l'ultima espressione scritta ed osservando anche che nella  $b)$  possiamo trascurare ogni termine od ogni gruppo di termini, il quale resti inalterato permutando gli indici 2 e 3 poichè si distruggerebbe con il termine, od il gruppo di termini, corrispondenti dello sviluppo della seconda parte di  $a)$ , resta per la espressione  $b)$  l'altra:

$$\begin{aligned} c) \quad & \frac{\partial \psi}{\partial q_2} \frac{\partial}{\partial q_3} (\Delta^2 x) - \frac{\partial x}{\partial q_2} \frac{\partial}{\partial q_3} (\Delta^2 \psi) + \frac{1}{Q_1^2} \frac{\partial^2 \psi}{\partial q_1 \partial q_2} \left( \frac{\partial^2 x}{\partial q_1 \partial q_3} - \frac{2}{Q_1} \frac{\partial Q_1}{\partial q_3} \frac{\partial x}{\partial q_1} \right) \\ & - \frac{1}{Q_1^2} \frac{\partial^2 \psi}{\partial q_1 \partial q_3} \left( \frac{\partial^2 x}{\partial q_1 \partial q_2} - \frac{2}{Q_2} \frac{\partial Q_2}{\partial q_1} \frac{\partial x}{\partial q_2} \right) \end{aligned}$$



costruiti, per mezzo delle (16), con questa funzione speciale, li indicheremo con  $\kappa_1''$ ,  $\kappa_2''$ ,  $\kappa_3''$ , e così distingueremo con un doppio

$$\begin{aligned}
& + 2 \frac{\partial^2 \psi}{\partial q_2 \partial q_3} \left[ \frac{1}{Q_3^2} \frac{\partial^2 x}{\partial q_3^2} - \frac{1}{Q_3^2} \left( \frac{1}{Q_3} \frac{\partial Q_3}{\partial q_3} + \frac{1}{Q_2} \frac{\partial Q_2}{\partial q_3} \right) \frac{\partial x}{\partial q_3} - \frac{1}{Q_1^2 Q_2} \frac{\partial Q_2}{\partial q_1} \frac{\partial x}{\partial q_1} \right] \\
& - \frac{2}{Q_3^2} \frac{\partial^2 \psi}{\partial q_2^2} \frac{\partial Q_2}{\partial q_3} \frac{\partial x}{\partial q_2} - \frac{2}{Q_3^2} \frac{\partial^2 \psi}{\partial q_2^2} \left( \frac{\partial^2 x}{\partial q_2 \partial q_3} - \frac{2}{Q_2} \frac{\partial Q_2}{\partial q_3} \frac{\partial x}{\partial q_2} \right) \\
& + \frac{2}{Q_1^2} \frac{\partial \psi}{\partial q_1} \left[ \frac{1}{Q_1} \frac{\partial Q_1}{\partial q_3} \frac{\partial^2 x}{\partial q_1 \partial q_2} + \frac{1}{Q_2} \frac{\partial Q_2}{\partial q_1} \frac{\partial^2 x}{\partial q_2 \partial q_3} + \frac{1}{Q_2} \frac{\partial^2 Q_2}{\partial q_1 \partial q_3} \frac{\partial x}{\partial q_2} \right. \\
& \quad \left. - \frac{1}{Q_2} \frac{\partial Q_2}{\partial q_1} \left( \frac{1}{Q_1} \frac{\partial Q_1}{\partial q_3} + \frac{1}{Q_2} \frac{\partial Q_2}{\partial q_3} \right) \frac{\partial x}{\partial q_2} \right] \\
& + 2 \frac{\partial \psi}{\partial q_2} \left[ \frac{1}{Q_3^2} \frac{\partial Q_2}{\partial q_3} \frac{\partial^2 x}{\partial q_2} - \frac{1}{Q_3^2 Q_2} \frac{\partial Q_2}{\partial q_3} \frac{\partial^2 x}{\partial q_2^2} + \frac{1}{Q_1^2 Q_2} \frac{\partial Q_2}{\partial q_1} \frac{\partial^2 x}{\partial q_1 \partial q_3} \right. \\
& - \frac{1}{Q_2 Q_3} \frac{\partial}{\partial q_3} \left( \frac{1}{Q_3} \frac{\partial Q_2}{\partial q_3} \right) \frac{\partial x}{\partial q_3} - \frac{1}{Q_1^2 Q_2} \frac{\partial^2 Q_2}{\partial q_1 \partial q_3} \frac{\partial x}{\partial q_1} + \frac{1}{Q_2 Q_3^2} \frac{\partial Q_2}{\partial q_3} \left( \frac{1}{Q_3} \frac{\partial Q_3}{\partial q_3} + \frac{1}{Q_2} \frac{\partial Q_2}{\partial q_3} \right) \frac{\partial x}{\partial q_3} \\
& \quad \left. + \frac{1}{Q_1^2 Q_2} \frac{\partial Q_2}{\partial q_1} \left( \frac{1}{Q_1} \frac{\partial Q_1}{\partial q_3} + \frac{1}{Q_2} \frac{\partial Q_2}{\partial q_3} \right) \frac{\partial x}{\partial q_1} \right] \\
& + \frac{2}{Q_3^2} \frac{\partial \psi}{\partial q_3} \left[ \left( \frac{1}{Q_3} \frac{\partial Q_3}{\partial q_3} + \frac{1}{Q_2} \frac{\partial Q_2}{\partial q_3} \right) \frac{\partial^2 x}{\partial q_2 \partial q_3} + \frac{Q_3}{Q_2} \frac{\partial}{\partial q_3} \left( \frac{1}{Q_3} \frac{\partial Q_2}{\partial q_3} \right) \frac{\partial x}{\partial q_2} \right. \\
& \quad \left. - \frac{1}{Q_2 Q_3^2} \frac{\partial Q_2}{\partial q_3} \left( \frac{1}{Q_2} \frac{\partial Q_2}{\partial q_3} + \frac{1}{Q_3} \frac{\partial Q_3}{\partial q_3} \right) \frac{\partial x}{\partial q_2} \right].
\end{aligned}$$

In questa espressione scambiamo gli indici 2 e 3 ed il risultato col segno cambiato aggiungiamolo alla stessa c). Tenendo presenti le relazioni:

$$\Delta^2 x = 0$$

$$\frac{\partial^2 Q_1}{\partial q_2 \partial q_3} = \frac{1}{Q_2} \frac{\partial Q_1}{\partial q_2} \frac{\partial Q_2}{\partial q_3} + \frac{1}{Q_3} \frac{\partial Q_1}{\partial q_3} \frac{\partial Q_2}{\partial q_2}, \quad \frac{\partial}{\partial q_2} \left( \frac{1}{Q_2} \frac{\partial Q_3}{\partial q_2} \right) + \frac{\partial}{\partial q_3} \left( \frac{1}{Q_3} \frac{\partial Q_2}{\partial q_3} \right) + \frac{1}{Q_1^2} \frac{\partial Q_2}{\partial q_1} \frac{\partial Q_3}{\partial q_1} = 0$$

$$\frac{\partial^2 x}{\partial q_2 \partial q_3} = \frac{1}{Q_2} \frac{\partial Q_2}{\partial q_3} \frac{\partial x}{\partial q_2} + \frac{1}{Q_3} \frac{\partial Q_3}{\partial q_2} \frac{\partial x}{\partial q_3}, \quad \frac{\partial^2 x}{\partial q_1^2} = \frac{1}{Q_1} \frac{\partial Q_1}{\partial q_1} \frac{\partial x}{\partial q_1} - \frac{Q_1}{Q_2^2} \frac{\partial Q_1}{\partial q_2} \frac{\partial x}{\partial q_2} - \frac{Q_1}{Q_3^2} \frac{\partial Q_1}{\partial q_3} \frac{\partial x}{\partial q_3}$$

e le altre relazioni che si deducono da queste permutando circolarmente gli indici 1, 2, 3, si trova subito che svaniscono i coefficienti di tutte le derivate di  $\psi$  e resta

$$2 \left( \frac{\partial Q_2 \chi}{\partial q_3} - \frac{\partial Q_3 \rho}{\partial q_2} \right) = \frac{\partial x}{\partial q_3} \frac{\partial}{\partial q_2} (\Delta^2 \psi) - \frac{\partial x}{\partial q_2} \frac{\partial}{\partial q_3} (\Delta^2 \psi),$$

donde si ricava facilmente la dimostrazione del nostro asserto.







finite e possiamo applicare la (5). Tenendo conto ora che nei punti di  $\Sigma_a''$ :

$$(19) \left\{ \begin{array}{l} \cos(nt) = -\frac{a}{\sqrt{1+a^2}}, \quad \cos(nq_1) = -\frac{1}{Q_1} \frac{\partial r}{\partial q_1} \frac{1}{\sqrt{1+a^2}}, \\ \cos(nq_2) = -\frac{1}{Q_2} \frac{\partial r}{\partial q_2} \frac{1}{\sqrt{1+a^2}}, \quad \cos(nq_3) = -\frac{1}{Q_3} \frac{\partial r}{\partial q_3} \frac{1}{\sqrt{1+a^2}}, \end{array} \right.$$

si trova subito che nei punti di  $\Sigma_a''$  è:

$$(20) \left\{ \begin{array}{l} \kappa_1'' = \kappa_2'' = \kappa_3'' = 0 \\ U_1'' = -\frac{2a^3}{Q_2 Q_3} \frac{d(rx)}{d(q_2 q_3)} \frac{1}{\sqrt{1+a^2}} \frac{t'-t}{r^2} \left[ 1 - \frac{a(t'-t)}{r} \right] = 0, \quad U_2'' = U_3'' = 0 \end{array} \right.$$

giacchè

$$\frac{d(rx)}{d(q_1 q_2)} \frac{\partial r}{\partial q_3} \frac{\partial r}{\partial q_1} + \frac{d(rx)}{d(q_3 q_1)} \frac{\partial r}{\partial q_2} \frac{\partial r}{\partial q_1} = -\left( \frac{\partial r}{\partial q_1} \right)^2 \frac{d(rx)}{d(q_2 q_3)}.$$

Così, tenendo conto che nei punti di C valgono le (10) si trova che negli stessi punti è:

$$(21) \left\{ \begin{array}{l} \kappa_1'' = \frac{1}{Q_2 Q_3} \frac{d(rx)}{d(q_2 q_3)} \left[ 1 - \frac{a^2(t'-t)^2}{\epsilon^2} \right], \\ \kappa_2'' = \frac{1}{Q_3 Q_1} \frac{d(rx)}{d(q_3 q_1)} \left[ 1 - \frac{a^2(t'-t)^2}{\epsilon^2} \right], \quad \kappa_3'' = \frac{1}{Q_1 Q_2} \frac{d(rx)}{d(q_1 q_2)} \left[ 1 - \frac{a^2(t'-t)^2}{\epsilon^2} \right], \end{array} \right.$$

$$(22) \quad U_1'' = -\frac{a^2}{Q_2 Q_3} \left[ \left( \frac{1}{Q_3^2} \frac{d\left(\frac{\partial r}{\partial q_3} x\right)}{d(q_2 q_3)} - \frac{1}{Q_1^2} \frac{d\left(\frac{\partial r}{\partial q_1} x\right)}{d(q_1 q_2)} \right) \frac{\partial r}{\partial q_3} \right. \\ \left. - \left( \frac{1}{Q_1^2} \frac{d\left(\frac{\partial r}{\partial q_1} x\right)}{d(q_3 q_1)} - \frac{1}{Q_2^2} \frac{d\left(\frac{\partial r}{\partial q_2} x\right)}{d(q_2 q_3)} \right) \frac{\partial r}{\partial q_2} \right] \left[ 1 - \frac{a^2(t'-t)^2}{\epsilon^2} \right] \\ - \frac{a^2}{Q_2 Q_3} \left[ \left( \frac{1}{Q_3^2} \frac{d\left(r \frac{\partial x}{\partial q_3}\right)}{d(q_2 q_3)} - \frac{1}{Q_1^2} \frac{d\left(r \frac{\partial x}{\partial q_1}\right)}{d(q_1 q_2)} \right) \frac{\partial r}{\partial q_3} \right. \\ \left. - \left( \frac{1}{Q_1^2} \frac{d\left(r \frac{\partial x}{\partial q_1}\right)}{d(q_3 q_1)} - \frac{1}{Q_2^2} \frac{d\left(r \frac{\partial x}{\partial q_2}\right)}{d(q_2 q_3)} \right) \frac{\partial r}{\partial q_2} \right] \left[ 1 - \frac{a^2(t'-t)^2}{\epsilon^2} \right]$$



$$\begin{aligned}
& - \frac{a^2}{Q_1} \left\{ \frac{1}{Q_3^2} \frac{\partial r}{\partial q_3} \left[ \frac{d(rx)}{d(q_2 q_3)} \frac{\partial}{\partial q_3} \left( \frac{Q_1}{Q_2 Q_3} \right) - \frac{d(rx)}{d(q_1 q_2)} \frac{\partial}{\partial q_1} \left( \frac{Q_3}{Q_2 Q_1} \right) \right] \right. \\
& - \frac{1}{Q_2^2} \frac{\partial r}{\partial q_2} \left[ \frac{d(rx)}{d(q_3 q_1)} \frac{\partial}{\partial q_1} \left( \frac{Q_2}{Q_3 Q_1} \right) - \frac{d(rx)}{d(q_2 q_2)} \frac{\partial}{\partial q_2} \left( \frac{Q_1}{Q_2 Q_3} \right) \right] \left. \right\} \left[ 1 - \frac{a^2(t' - t)^2}{\epsilon^2} \right] \\
& - \frac{2a^4}{Q_2 Q_3} \frac{d(rx)}{d(q_2 q_3)} \frac{(t' - t)^2}{\epsilon^3} \\
& \dots \dots \dots
\end{aligned}$$

Il primo gruppo di termini di  $U_1''$  si può poi trasformare, opportunamente, come segue, quando si tenga conto della relazione:

$$\frac{1}{Q_1^2} \left( \frac{\partial r}{\partial q_1} \right)^2 + \frac{1}{Q_2^2} \left( \frac{\partial r}{\partial q_2} \right)^2 + \frac{1}{Q_3^2} \left( \frac{\partial r}{\partial q_3} \right)^2 = 1.$$

Si ha intanto

$$\begin{aligned}
& \left( \frac{1}{Q_3^2} \frac{d \left( \frac{\partial r}{\partial q_3} x \right)}{d(q_2 q_3)} - \frac{1}{Q_1^2} \frac{d \left( \frac{\partial r}{\partial q_1} x \right)}{d(q_1 q_2)} \right) \frac{\partial r}{\partial q_3} - \left( \frac{1}{Q_1^2} \frac{d \left( \frac{\partial r}{\partial q_1} x \right)}{d(q_3 q_1)} - \frac{1}{Q_2^2} \frac{d \left( \frac{\partial r}{\partial q_2} x \right)}{d(q_2 q_3)} \right) \frac{\partial r}{\partial q_2} \\
& = \frac{1}{Q_1^2} \frac{\partial x}{\partial q_1} \left( \frac{\partial^2 r}{\partial q_1 \partial q_2} \frac{\partial r}{\partial q_3} - \frac{\partial^2 r}{\partial q_1 \partial q_3} \frac{\partial r}{\partial q_2} \right) \\
& - \frac{\partial x}{\partial q_2} \left( \frac{1}{Q_1^2} \frac{\partial^2 r}{\partial q_1^2} \frac{\partial r}{\partial q_3} + \frac{1}{Q_2^2} \frac{\partial^2 r}{\partial q_2 \partial q_3} \frac{\partial r}{\partial q_2} + \frac{1}{Q_3^2} \frac{\partial^2 r}{\partial q_2^2} \frac{\partial r}{\partial q_3} \right) \\
& + \frac{\partial x}{\partial q_3} \left( \frac{1}{Q_1^2} \frac{\partial^2 r}{\partial q_1^2} \frac{\partial r}{\partial q_2} + \frac{1}{Q_2^2} \frac{\partial^2 r}{\partial q_2^2} \frac{\partial r}{\partial q_2} + \frac{1}{Q_3^2} \frac{\partial^2 r}{\partial q_2 \partial q_3} \frac{\partial r}{\partial q_3} \right) \\
& = \frac{1}{Q_1^2} \left[ \frac{\partial x}{\partial q_1} \frac{d \left( \frac{\partial r}{\partial q_1} r \right)}{d(q_2 q_3)} + \frac{\partial x}{\partial q_2} \frac{d \left( \frac{\partial r}{\partial q_1} r \right)}{d(q_3 q_1)} + \frac{\partial x}{\partial q_3} \frac{d \left( \frac{\partial r}{\partial q_1} r \right)}{d(q_1 q_2)} \right] \\
& - \frac{\partial x}{\partial q_2} \left[ \frac{1}{Q_1^3} \frac{\partial Q_1}{\partial q_3} \left( \frac{\partial r}{\partial q_1} \right)^2 + \frac{1}{Q_2^3} \frac{\partial Q_2}{\partial q_3} \left( \frac{\partial r}{\partial q_2} \right)^2 + \frac{1}{Q_3^3} \frac{\partial Q_3}{\partial q_3} \left( \frac{\partial r}{\partial q_3} \right)^2 \right] \\
& + \frac{\partial x}{\partial q_3} \left[ \frac{1}{Q_1^3} \frac{\partial Q_1}{\partial q_2} \left( \frac{\partial r}{\partial q_1} \right)^2 + \frac{1}{Q_2^3} \frac{\partial Q_2}{\partial q_2} \left( \frac{\partial r}{\partial q_2} \right)^2 + \frac{1}{Q_3^3} \frac{\partial Q_3}{\partial q_2} \left( \frac{\partial r}{\partial q_3} \right)^2 \right].
\end{aligned}$$

Inoltre:

$$\frac{d \left( \frac{\partial r}{\partial q_1} r \right)}{d(q_2 q_3)} = \frac{d \left( \sum \frac{\partial r}{\partial x} \frac{\partial x}{\partial q_1}, r \right)}{d(q_2 q_3)} = \sum \frac{\partial r}{\partial x} \frac{d \left( \frac{\partial x}{\partial q_1} r \right)}{d(q_2 q_3)} + \sum \frac{\partial x}{\partial q_1} \frac{d \left( \frac{\partial r}{\partial x} r \right)}{d(q_2 q_3)}$$



dove la sommatoria va estesa alle lettere  $x, y, z$ ;

$$\begin{aligned} \frac{d\left(\frac{\partial r}{\partial x} r\right)}{d(q_2 q_3)} &= \frac{d\left(\frac{\partial r}{\partial x} r\right)}{d(xy)} \frac{d(xy)}{d(q_2 q_3)} + \frac{d\left(\frac{\partial r}{\partial x} r\right)}{d(yz)} \frac{d(yz)}{d(q_3 q_1)} + \frac{d\left(\frac{\partial r}{\partial x} r\right)}{d(zx)} \frac{d(zx)}{d(q_2 q_3)} \\ &= \frac{1}{r} \left[ \frac{d(xy)}{d(q_2 q_1)} \frac{\partial r}{\partial y} - \frac{d(zx)}{d(q_2 q_3)} \frac{\partial r}{\partial z} \right] \end{aligned}$$

per essere:

$$\frac{d\left(\frac{\partial r}{\partial x} r\right)}{d(xy)} = \frac{\partial^2 r}{\partial x^2} \frac{\partial r}{\partial y} - \frac{\partial^2 r}{\partial x \partial y} \frac{\partial r}{\partial x} = \frac{1}{r} \frac{\partial r}{\partial y}, \quad \frac{d\left(\frac{\partial r}{\partial x} r\right)}{d(yz)} = 0, \quad \frac{d\left(\frac{\partial r}{\partial x} r\right)}{d(zx)} = -\frac{1}{r} \frac{\partial r}{\partial z}.$$

Quindi

$$\begin{aligned} &\frac{\partial x}{\partial q_1} \frac{d\left(\frac{\partial r}{\partial q_1} r\right)}{d(q_2 q_3)} + \frac{\partial x}{\partial q_2} \frac{d\left(\frac{\partial r}{\partial q_1} r\right)}{d(q_3 q_1)} + \frac{\partial x}{\partial q_3} \frac{d\left(\frac{\partial r}{\partial q_1} r\right)}{d(q_1 q_2)} \\ &= \frac{\partial r}{\partial x} \frac{d\left(x \frac{\partial x}{\partial q_1} r\right)}{d(q_1 q_2 q_3)} + \frac{\partial r}{\partial y} \frac{d\left(x \frac{\partial y}{\partial q_1} r\right)}{d(q_1 q_2 q_3)} + \frac{\partial r}{\partial z} \frac{d\left(x \frac{\partial z}{\partial q_1} r\right)}{d(q_1 q_2 q_3)} + \frac{\nabla}{r} \left( \frac{\partial y}{\partial q_1} \frac{\partial r}{\partial z} - \frac{\partial z}{\partial q_1} \frac{\partial r}{\partial y} \right) \\ &= \sum_i^3 \frac{1}{Q_i^2} \frac{\partial r}{\partial q_i} \left[ \frac{\partial x}{\partial q_i} \frac{d\left(x \frac{\partial x}{\partial q_1} r\right)}{d(q_1 q_2 q_3)} + \frac{\partial y}{\partial q_i} \frac{d\left(x \frac{\partial y}{\partial q_1} r\right)}{d(q_1 q_2 q_3)} + \frac{\partial z}{\partial q_i} \frac{d\left(x \frac{\partial z}{\partial q_1} r\right)}{d(q_1 q_2 q_3)} \right] + \frac{Q_1^2}{r} \frac{d(rx)}{d(q_2 q_3)} \end{aligned}$$

e finalmente:

$$\begin{aligned} &-\frac{a^2}{Q_2 Q_3} \left[ \left( \frac{1}{Q_3^2} \frac{d\left(\frac{\partial r}{\partial q_3} x\right)}{d(q_2 q_3)} - \frac{1}{Q_1^2} \frac{d\left(\frac{\partial r}{\partial q_1} x\right)}{d(q_1 q_2)} \right) \frac{\partial r}{\partial q_3} \right. \\ &\quad \left. - \left( \frac{1}{Q_1^2} \frac{d\left(\frac{\partial r}{\partial q_1} x\right)}{d(q_3 q_1)} - \frac{1}{Q_2^2} \frac{d\left(\frac{\partial r}{\partial q_2} x\right)}{d(q_2 q_3)} \right) \frac{\partial r}{\partial q_2} \right] \left[ 1 - \frac{a^2(t'-t)^2}{\epsilon^2} \right] \\ &= \frac{a^2}{Q_2 Q_3} \left\{ \frac{\partial x}{\partial q_2} \left[ \frac{1}{Q_1^3} \frac{\partial Q_1}{\partial q_3} \left( \frac{\partial r}{\partial q_1} \right)^2 + \frac{1}{Q_2^3} \frac{\partial Q_2}{\partial q_3} \left( \frac{\partial r}{\partial q_2} \right)^2 + \frac{1}{Q_3^3} \frac{\partial Q_3}{\partial q_3} \left( \frac{\partial r}{\partial q_3} \right)^2 \right] \right. \\ &\quad \left. - \frac{\partial x}{\partial q_3} \left[ \frac{1}{Q_1^3} \frac{\partial Q_1}{\partial q_2} \left( \frac{\partial r}{\partial q_1} \right)^2 + \frac{1}{Q_2^3} \frac{\partial Q_2}{\partial q_2} \left( \frac{\partial r}{\partial q_2} \right)^2 + \frac{1}{Q_3^3} \frac{\partial Q_3}{\partial q_2} \left( \frac{\partial r}{\partial q_3} \right)^2 \right] \right\} \left[ 1 - \frac{a^2(t'-t)^2}{\epsilon^2} \right] \end{aligned}$$



$$\begin{aligned}
& - \frac{a^2}{Q_1 \nabla} \sum_i^3 \frac{1}{Q_i^2} \frac{\partial r}{\partial q_i} \left[ \frac{\partial x}{\partial q_i} \frac{d \left( x \frac{\partial x}{\partial q_1} r \right)}{d(q_1 q_2 q_3)} + \frac{\partial y}{\partial q_i} \frac{d \left( x \frac{\partial y}{\partial q_1} r \right)}{d(q_1 q_2 q_3)} \right. \\
& \quad \left. + \frac{\partial z}{\partial q_i} \frac{d \left( x \frac{\partial z}{\partial q_1} r \right)}{d(q_1 q_2 q_3)} \right] \left[ 1 - \frac{a^2(t' - t)^2}{\epsilon^2} \right] \\
& - \frac{a^2}{Q_2 Q_3} \frac{1}{\epsilon} \frac{d(r x)}{d(q_2 q_3)} \left[ 1 - \frac{a^2(t' - t)^2}{\epsilon^2} \right].
\end{aligned}$$

Notiamo, in ultimo, che i valori di  $U_1, U_2, U_3$  su  $C$  sono sempre dati dalle (14).

Possiamo ora calcolare facilmente quello che diventa la formola (5) quando  $\epsilon$  tende a zero. Intanto in virtù delle (20) gli integrali estesi a  $\Sigma_a''$  si annullano identicamente, mentre è:

$$\begin{aligned}
(23) \quad & \lim_{\epsilon=0} \int_{\Sigma_a'''} (U_1 \kappa_1'' + U_2 \kappa_2'' + U_3 \kappa_3'') d\Sigma_a''' \\
& = \frac{16\pi}{3} a^4 \int_{t_0}^{t'} (t' - t)^2 dt \left[ \frac{1}{(Q_1)} \left( \frac{\partial x}{\partial q_1} \right) \hat{\omega}(t, q'_i) + \frac{1}{(Q_2)} \left( \frac{\partial x}{\partial q_2} \right) \chi(t, q'_i) \right. \\
& \quad \left. + \frac{1}{(Q_3)} \left( \frac{\partial x}{\partial q_3} \right) \rho(t, q'_i) \right]
\end{aligned}$$

e le quantità del secondo membro sotto l'integrale, messe fra parentesi, vanno prese per  $q_i = q'_i$ . Si ha pure egualmente:

$$\begin{aligned}
& a^2 \lim_{\epsilon=0} \int_{\Sigma_a'''} \left\{ \frac{\partial x}{\partial q_2} \left[ \frac{1}{Q_1^3} \frac{\partial Q_1}{\partial q_3} \left( \frac{\partial r}{\partial q_1} \right)^2 + \frac{1}{Q_2^3} \frac{\partial Q_2}{\partial q_3} \left( \frac{\partial r}{\partial q_2} \right)^2 + \frac{1}{Q_3^3} \frac{\partial Q_3}{\partial q_3} \left( \frac{\partial r}{\partial q_3} \right)^2 \right] \right. \\
& \quad \left. - \frac{\partial x}{\partial q_3} \left[ \frac{1}{Q_1^3} \frac{\partial Q_1}{\partial q_2} \left( \frac{\partial r}{\partial q_1} \right)^2 + \frac{1}{Q_2^3} \frac{\partial Q_2}{\partial q_2} \left( \frac{\partial r}{\partial q_2} \right)^2 + \frac{1}{Q_3^3} \frac{\partial Q_3}{\partial q_2} \left( \frac{\partial r}{\partial q_3} \right)^2 \right] \right\} \left[ 1 - \frac{a^2(t' - t)^2}{\epsilon^2} \right] \frac{\kappa_1}{Q_2 Q_3} d\Sigma_a''' \\
& = - \frac{4\pi a^4}{3} \int_{t_0}^{t'} (t' - t)^2 dt \left\{ \left( \frac{\partial x}{\partial q_2} \right) \left[ \frac{1}{(Q_1)} \left( \frac{\partial Q_1}{\partial q_3} \right) + \frac{1}{(Q_2)} \left( \frac{\partial Q_2}{\partial q_3} \right) + \frac{1}{(Q_3)} \left( \frac{\partial Q_3}{\partial q_3} \right) \right] \right. \\
& \quad \left. - \left( \frac{\partial x}{\partial q_3} \right) \left[ \frac{1}{(Q_1)} \left( \frac{\partial Q_1}{\partial q_2} \right) + \frac{1}{(Q_2)} \left( \frac{\partial Q_2}{\partial q_2} \right) + \frac{1}{(Q_3)} \left( \frac{\partial Q_3}{\partial q_3} \right) \right] \right\} \frac{\kappa_1(t, q'_i)}{(Q_2)(Q_3)} ; \\
& - a^2 \lim_{\epsilon=0} \int_{\Sigma_a'''} \sum_i^3 \frac{1}{Q_i^2} \frac{\partial r}{\partial q_i} \left[ \frac{\partial x}{\partial q_i} \frac{d \left( x \frac{\partial x}{\partial q_1} r \right)}{d(q_1 q_2 q_3)} + \frac{\partial y}{\partial q_i} \frac{d \left( x \frac{\partial y}{\partial q_1} r \right)}{d(q_1 q_2 q_3)} \right. \\
& \quad \left. + \frac{\partial z}{\partial q_i} \frac{d \left( x \frac{\partial z}{\partial q_1} r \right)}{d(q_1 q_2 q_3)} \right] \left[ 1 - \frac{a^2(t' - t)^2}{\epsilon^2} \right] \frac{\kappa_1}{Q_1 \nabla} d\Sigma_a'''
\end{aligned}$$



$$\begin{aligned}
&= \frac{4\pi a^4}{3} \int_{t_0}^{t'} (t' - t)^2 dt \left[ - \frac{d \left( xy \frac{\partial y}{\partial q_1} \right)}{d(xyz)} + \frac{d \left( x \frac{\partial z}{\partial q_1} z \right)}{d(xyz)} \right] \frac{\kappa_1(t, q'_i)}{(Q_1)} \\
&= \frac{8\pi a^4}{3} \int_{t_0}^{t'} (t' - t)^2 dt \left[ \left( \frac{\partial Q_1}{\partial q_3} \right) \left( \frac{\partial x}{\partial q_2} \right) - \left( \frac{\partial Q_1}{\partial q_2} \right) \left( \frac{\partial x}{\partial q_3} \right) \right] \frac{\kappa_1(t, q'_i)}{(\nabla)}; \\
&\quad - a^2 \lim_{\epsilon=0} \int_{\Sigma_a'''} \frac{d(rx)}{d(q_2 q_3)} \left[ 1 - \frac{a^2(t' - t)^2}{\epsilon^2} \right] \frac{\kappa_1}{\epsilon Q_2 Q_3} d\Sigma_a''' \\
&= \frac{4\pi a^4}{3} \int_{t_0}^{t'} \frac{(t' - t)^2 dt}{(\nabla)} \left[ \left( \frac{\partial x}{\partial q_3} \right) \frac{\partial(Q_1) \kappa_1(t, q'_i)}{\partial q'_2} - \left( \frac{\partial x}{\partial q_2} \right) \frac{\partial(Q_1) \kappa_1(t, q'_i)}{\partial q'_3} \right] (*); \\
&\quad - a^2 \lim_{\epsilon=0} \int_{\Sigma_a'''} \left[ \left( \frac{1}{Q_3^2} \frac{d \left( r \frac{\partial x}{\partial q_3} \right)}{d(q_2 q_3)} - \frac{1}{Q_1^2} \frac{d \left( r \frac{\partial x}{\partial q_1} \right)}{d(q_1 q_2)} \right) \frac{\partial r}{\partial q_3} \right. \\
&\quad \left. - \left( \frac{1}{Q_1^2} \frac{d \left( r \frac{\partial x}{\partial q_1} \right)}{d(q_3 q_1)} - \frac{1}{Q_2^2} \frac{d \left( r \frac{\partial x}{\partial q_2} \right)}{d(q_2 q_3)} \right) \frac{\partial r}{\partial q_2} \right] \left[ 1 - \frac{a^2(t' - t)^2}{\epsilon^2} \right] \frac{\kappa_1}{Q_2 Q_3} d\Sigma_a''' = 0; \\
&\quad - a^2 \lim_{\epsilon=0} \int_{\Sigma_a'''} \left\{ \frac{1}{Q_3^2} \frac{\partial r}{\partial q_3} \left[ \frac{d(rx)}{d(q_2 q_3)} \frac{\partial}{\partial q_3} \left( \frac{Q_1}{Q_2 Q_3} \right) - \frac{d(rx)}{d(q_1 q_2)} \frac{\partial}{\partial q_1} \left( \frac{Q_3}{Q_2 Q_1} \right) \right] \right. \\
&\quad \left. - \frac{1}{Q_2^2} \frac{\partial r}{\partial q_2} \left[ \frac{d(rx)}{d(q_3 q_1)} \frac{\partial}{\partial q_1} \left( \frac{Q_2}{Q_3 Q_1} \right) - \frac{d(rx)}{d(q_2 q_3)} \frac{\partial}{\partial q_2} \left( \frac{Q_1}{Q_2 Q_3} \right) \right] \right\} \left[ 1 - \frac{a^2(t' - t)^2}{\epsilon^2} \right] \frac{\kappa_1}{Q_1} d\Sigma_a''' \\
&= - \frac{4\pi a^4}{3} \int_{t_0}^{t'} (t' - t)^2 dt \left[ \left( \frac{\partial x}{\partial q_2} \right) \frac{\partial}{\partial q_3} \left( \frac{(Q_1)}{(Q_2)(Q_3)} \right) - \left( \frac{\partial x}{\partial q_3} \right) \frac{\partial}{\partial q_2} \left( \frac{(Q_1)}{(Q_2)(Q_3)} \right) \right] \frac{\kappa_1(t, q'_i)}{(Q_1)};
\end{aligned}$$

(\*) Per rendersi conto esatto di questo passaggio al limite è necessario tener presente che se  $\sigma$  è la superficie ed  $S$  il volume di una sfera ordinaria di raggio  $\epsilon$  e di centro  $(q'_1 q'_2 q'_3)$  è

$$\begin{aligned}
&\lim_{\epsilon=0} \int_{\sigma} \varphi \frac{\partial r}{\partial q_i} \frac{d\sigma}{\epsilon^3} = \lim_{\epsilon=0} \frac{1}{\epsilon^3} \int_{\sigma} Q_i \nabla \varphi \cos(r q_i) \frac{d\sigma}{\nabla} \\
&= \lim_{\epsilon=0} \frac{1}{\epsilon^3} \int_S \frac{\partial}{\partial q_i} (\nabla \varphi) \frac{dS}{\nabla} = \frac{4\pi}{3} \left[ \frac{1}{\nabla} \frac{\partial}{\partial q_i} (\nabla \varphi) \right]_{q_i=q'_i}.
\end{aligned}$$



$$\begin{aligned}
& -2a^4 \lim_{\varepsilon=0} \int_{\Sigma_a'''} \frac{d(rx)}{d(q_2 q_3)} \frac{(t'-t)^2}{\varepsilon^3} \frac{\kappa_1}{Q_2 Q_3} d\Sigma_a''' \\
& = -\frac{8\pi a^4}{3} \int_{t_0}^{t'} \frac{(t'-t)^2 dt}{(\nabla)} \left[ \left( \frac{\partial x}{\partial q_3} \right) \frac{\partial(Q_1) \kappa_1(t, q'_i)}{\partial q'_2} - \left( \frac{\partial x}{\partial q_2} \right) \frac{\partial(Q_1) \kappa_1(t, q'_i)}{\partial q'_3} \right].
\end{aligned}$$

Tenendo presenti tutti i risultati che si deducono dai precedenti con lo scambio degli indici 1, 2, 3 e sommandoli insieme si trova:

$$\begin{aligned}
(24) \quad & \lim_{\varepsilon=0} \int_{\Sigma_a'''} (U_1'' \kappa_1 + U_2'' \kappa_2 + U_3'' \kappa_3) d\Sigma_a''' \\
& = -\frac{8\pi a^4}{3} \int_{t_0}^{t'} (t'-t)^2 dt \left[ \frac{1}{(Q_1)} \left( \frac{\partial x}{\partial q_1} \right) \hat{\omega}(t, q'_i) + \frac{1}{(Q_2)} \left( \frac{\partial x}{\partial q_2} \right) \chi(t, q'_i) + \frac{1}{(Q_3)} \left( \frac{\partial x}{\partial q_3} \right) \rho(t, q'_i) \right].
\end{aligned}$$

Dalla (5) abbiamo dunque, per  $\varepsilon = 0$ :

$$\begin{aligned}
(25) \quad & 8\pi a^4 \int_{t_0}^{t'} (t'-t)^2 dt \left[ \frac{1}{(Q_1)} \left( \frac{\partial x}{\partial q_1} \right) \hat{\omega}(t, q'_i) + \frac{1}{(Q_2)} \left( \frac{\partial x}{\partial q_2} \right) \chi(t, q'_i) + \frac{1}{(Q_3)} \left( \frac{\partial x}{\partial q_3} \right) \rho(t, q'_i) \right] \\
& = \int_{S_{4,a}} \left[ \frac{a^2(t'-t)^2}{r^2} - 1 \right] \sum_1 Q_i F_i \frac{d(rx)}{d(q_{i+1} q_{i+2})} \frac{dS_{4,a}}{\nabla} \\
& \quad + \int_{\Sigma_a} \left[ \frac{a^2(t'-t)^2}{r^2} - 1 \right] \sum_1^3 Q_i U_i \frac{d(rx)}{d(q_{i+1} q_{i+2})} \frac{d\Sigma_a}{\nabla} \\
& \quad + 2a^2 \int_{\Sigma_a} \frac{t'-t}{r^2} \cos(nt) \sum_1^3 Q_i \kappa_i \frac{d(rx)}{d(q_{i+1} q_{i+2})} \frac{d\Sigma_a}{\nabla} \\
& \quad - a^2 \lim_{\varepsilon=0} \int_{\Sigma_a'} \sum_i^3 \kappa_i \left\{ \frac{\cos(nq_{i-2})}{Q_{i+2} Q_i} \left[ \frac{\partial}{\partial q_{i+2}} \left( \frac{Q_i}{Q_{i+1} Q_{i+2}} \frac{d(rx)}{d(q_{i+1} q_{i+2})} \left( 1 - \frac{a^2(t'-t)^2}{r^2} \right) \right) \right] \right. \\
& \quad \left. - \frac{\partial}{\partial q_i} \left( \frac{Q_{i+2}}{Q_{i+1} Q_i} \frac{d(rx)}{d(q_i q_{i+1})} \left( 1 - \frac{a^2(t'-t)^2}{r^2} \right) \right) \right] \\
& \quad - \frac{\cos(nq_{i+1})}{Q_i Q_{i+1}} \left[ \frac{\partial}{\partial q_i} \left( \frac{Q_{i+1}}{Q_{i+2} Q_i} \frac{d(rx)}{d(q_{i+2} q_i)} \left( 1 - \frac{a^2(t'-t)^2}{r^2} \right) \right) \right. \\
& \quad \left. \left. - \frac{\partial}{\partial q_{i+1}} \left( \frac{Q_i}{Q_{i+2} Q_{i+1}} \frac{d(rx)}{d(q_{i+1} q_{i+2})} \left( 1 - \frac{a^2(t'-t)^2}{r^2} \right) \right) \right] \right\} d\Sigma'_a
\end{aligned}$$

nella cui formola gli indici  $i$  sono i resti rispetto al modulo 3.



5. — Vogliamo adesso trasformare l'ultimo integrale della formola (25) in modo che in essa vi compaiano soltanto integrali proprii. Perciò osserviamo che, indicando con  $x', y', z'$  i valori di  $x y z$  corrispondenti a  $q'_1 q'_2 q'_3$ , si avrà

$$\frac{Q_i}{Q_{i+1} Q_{i+2}} \frac{d(rx)}{d(q_{i+1} q_{i+2})} = - \frac{\partial r}{\partial y} \frac{\partial z}{\partial q_i} + \frac{\partial r}{\partial z} \frac{\partial y}{\partial q_i} = \frac{\partial r}{\partial y'} \frac{\partial z}{\partial q_i} - \frac{\partial r}{\partial z'} \frac{\partial y}{\partial q_i};$$

$$\begin{aligned} & \kappa_i \frac{\cos(nq_{i+2})}{Q_{i+2} Q_i} \frac{\partial}{\partial q_{i+2}} \left( \frac{Q_i}{Q_{i+1} Q_{i+2}} \frac{d(rx)}{d(q_{i+1} q_{i+2})} \left( 1 - \frac{a^2(t'-t)^2}{r^2} \right) \right) \\ &= \frac{\partial}{\partial y'} \left[ \kappa_i \frac{\cos(nq_{i+2})}{Q_{i+2} Q_i} \frac{\partial}{\partial q_{i+2}} \left( \frac{\partial z}{\partial q_i} \left( r + \frac{a^2(t'-t)^2}{r} \right) \right) \right] \\ &- \frac{\partial}{\partial z'} \left[ \kappa_i \frac{\cos(nq_{i+2})}{Q_{i+2} Q_i} \frac{\partial}{\partial q_{i+2}} \left( \frac{\partial y}{\partial q_i} \left( r + \frac{a^2(t'-t)^2}{r} \right) \right) \right]; \end{aligned}$$

$$\begin{aligned} & \int_{\Sigma'_a} \kappa_i \frac{\cos(nq_{i+2})}{Q_{i+2} Q_i} \frac{\partial}{\partial q_{i+2}} \left( \frac{Q_i}{Q_{i+1} Q_{i+2}} \frac{d(rx)}{d(q_{i+1} q_{i+2})} \left( 1 - \frac{a^2(t'-t)^2}{r^2} \right) \right) d\Sigma'_a \\ &= \frac{\partial}{\partial y'} \int_{\Sigma'_a} \kappa_i \frac{\cos(nq_{i+2})}{Q_{i+2} Q_i} \frac{\partial}{\partial q_{i+2}} \left[ \frac{\partial z}{\partial q_i} \left( r + \frac{a^2(t'-t)^2}{r} \right) \right] d\Sigma'_a \\ &- \frac{\partial}{\partial z'} \int_{\Sigma'_a} \kappa_i \frac{\cos(nq_{i+2})}{Q_{i+2} Q_i} \frac{\partial}{\partial q_{i+2}} \left[ \frac{\partial y}{\partial q_i} \left( r + \frac{a^2(t'-t)^2}{r} \right) \right] d\Sigma'_a; \\ & \frac{\partial}{\partial y'} \int_{\Sigma'_a} \kappa_i \frac{\cos(nq_{i+2})}{Q_{i+2} Q_i} \frac{\partial}{\partial q_{i+2}} \left[ \frac{\partial z}{\partial q_i} \left( r + \frac{a^2(t'-t)^2}{r} \right) \right] d\Sigma'_a \\ &= \frac{\partial}{\partial y'} \int_{\Sigma_a} \kappa_i \frac{\cos(nq_{i+2})}{Q_{i+2} Q_i} \frac{\partial}{\partial q_{i+2}} \left[ \frac{\partial z}{\partial q_i} \left( r + \frac{a^2(t'-t)^2}{r} \right) \right] d\Sigma_a \\ &- \frac{\partial}{\partial y'} \int_S \kappa_i \frac{\cos(nq_{i+2})}{Q_{i+2} Q_i} \frac{\partial}{\partial q_{i+2}} \left[ \frac{\partial z}{\partial q_i} \left( r + \frac{a^2(t'-t)^2}{r} \right) \right] \frac{dS}{\cos(nt)} \end{aligned}$$

dove  $S$  è lo spazio limitato dalla sfera ordinaria di raggio  $\epsilon$  comune alla varietà  $C$ , ed all'iperpiano  $t = t_0$ . Chiamando  $\sigma$  poi la superficie di questa sfera, si ha pure:

$$\lim_{\epsilon=0} \frac{\partial}{\partial y'} \int_S \frac{\kappa_i \cos(nq_{i+2})}{Q_{i+2} Q_i} \frac{\partial}{\partial q_{i+2}} \left[ \frac{\partial z}{\partial q_i} \left( r + \frac{a^2(t'-t)^2}{r} \right) \right] \frac{dS}{\cos(nt)}$$



$$\begin{aligned}
&= a^2 \lim_{\varepsilon=0} \frac{\partial}{\partial y'} \int_{\sigma} \frac{\kappa_i \cos(nq_{i+2})}{Q_i Q_{i+2} \cos(nt)} \frac{\partial z}{\partial q_i} \frac{(t'-t)^2}{r} \frac{\partial r}{\partial q_{i+2}} d\sigma \\
&= -a^2 \lim_{\varepsilon=0} \int_{\sigma} \frac{\kappa_i \cos(nq_{i+2})}{Q_i Q_{i+2} \cos(nt)} \frac{\partial z}{\partial q_i} (t'-t)^2 \frac{\partial}{\partial y} \left( \frac{1}{r} \frac{\partial r}{\partial q_{i+2}} \right) d\sigma \\
&= \frac{4\pi a^2}{3} (t'-t_0)^2 \frac{\kappa_{i,0} \cos(n_0 q_{i+2})}{(Q_i)(Q_{i+2}) \cos(n_0 t)} \left( \frac{\partial z}{\partial q_i} \right) \left( \frac{\partial y}{\partial q_{i+2}} \right)
\end{aligned}$$

dove in questa formola  $\kappa_{i,0}$  indica il valore di  $\kappa_i$  nel punto  $(t_0, q'_i)$ , ed  $n_0$  la normale a  $\Sigma_a$  nello stesso punto.

Tenendo presenti questi risultati e tutti quelli analoghi si potrà subito porre la (25) sotto la forma:

$$\begin{aligned}
(26) \quad & 8\pi a^4 \int_{t_0}^{t'} (t'-t)^2 dt \left[ \frac{1}{(Q_1)} \left( \frac{\partial x}{\partial q_1} \right) \hat{w}(t, q'_i) + \frac{1}{(Q_2)} \left( \frac{\partial x}{\partial q_2} \right) \chi(t, q'_i) \right. \\
& \quad \left. + \frac{1}{(Q_3)} \left( \frac{\partial x}{\partial q_3} \right) \rho(t, q'_i) \right] \\
&= \frac{8\pi a^4}{3} \frac{(t'-t_0)^2}{\cos(n_0 t)} \sum_1^3 \frac{1}{(Q_i)} \left( \frac{\partial x}{\partial q_i} \right) [\kappa_{i+2,0} \cos(n_0 q_{i+1}) - \kappa_{i+1,0} \cos(n_0 q_{i+2})] \\
& \quad + \int_{S_{i,a}} \left[ \frac{a^2(t'-t)^2}{r^2} - 1 \right] \sum_1^3 Q_i F_i \frac{d(rx)}{d(q_{i+1} q_{i+2})} \frac{dS_{i,a}}{\nabla} \\
& \quad + \int_{\Sigma_a} \left[ \frac{a^2(t'-t)^2}{r^2} - 1 \right] \sum_1^3 Q_i U_i \frac{d(rx)}{d(q_{i+1} q_{i+2})} \frac{d\Sigma_a}{\nabla} \\
& \quad + 2a^2 \int_{\Sigma_a} \frac{t'-t}{r^2} \cos(nt) \sum_1^3 Q_i \kappa_i \frac{d(rx)}{d(q_{i+1} q_{i+2})} \frac{d\Sigma_a}{\nabla} \\
& \quad + a^2 \frac{\partial}{\partial y'} \int_{\Sigma_a} \left[ \frac{a^2(t'-t)^2}{r^2} - 1 \right] \sum_1^3 \kappa_i \left[ \frac{\cos(nq_{i+2})}{Q_i Q_{i+2}} \frac{d(rz)}{d(q_{i+2} q_i)} \right. \\
& \quad \quad \left. - \frac{\cos(nq_{i+1})}{Q_i Q_{i+1}} \frac{d(rz)}{d(q_i q_{i+1})} \right] d\Sigma_a \\
& \quad - a^2 \frac{\partial}{\partial z'} \int_{\Sigma_a} \left[ \frac{a^2(t'-t)^2}{r^2} - 1 \right] \sum_1^3 \kappa_i \left[ \frac{\cos(nq_{i+2})}{Q_i Q_{i+2}} \frac{d(ry)}{d(q_{i+2} q_i)} \right. \\
& \quad \quad \left. - \frac{\cos(nq_{i+1})}{Q_i Q_{i+1}} \frac{d(ry)}{d(q_i q_{i+1})} \right] d\Sigma_a.
\end{aligned}$$



In modo perfettamente analogo possiamo ricavare altre due formole che si deducono dalla precedente scambiando ciclicamente le lettere  $x, y, z$ . Se poi moltiplichiamo la (26) per  $\frac{1}{(Q_1)} \left( \frac{\partial x}{\partial q_1} \right)$  e le analoghe in  $y$  e  $z$ , rispettivamente per  $\frac{1}{(Q_1)} \left( \frac{\partial y}{\partial q_1} \right)$ ,  $\frac{1}{(Q_1)} \left( \frac{\partial z}{\partial q_1} \right)$  e sommiamo i risultati, troviamo subito

$$\begin{aligned}
 (27) \quad & 8\pi a^4 \int_{t_0}^{t'} (t' - t)^2 \hat{\omega}(t, q'_i) dt \\
 &= \frac{8\pi a^4}{3} \frac{(t' - t_0)^2}{\cos(n_0 t)} (\kappa_{3,0} \cos(n_0 q_2) - \kappa_{2,0} \cos(n_0 q_3)) \\
 &+ \int_{S_{i,a}} \left[ \frac{a^2(t' - t)^2}{r^2} - 1 \right] \sum_1^3 F_i \left( \frac{\cos(q'_i q_{i+2})}{Q_{i+1}} \frac{\partial r}{\partial q_{i+1}} - \frac{\cos(q'_i q_{i+1})}{Q_{i+2}} \frac{\partial r}{\partial q_{i+2}} \right) dS_{i,a} \\
 &+ \int_{\Sigma_a} \left[ \frac{a^2(t' - t)^2}{r^2} - 1 \right] \sum_1^3 U_i \left( \frac{\cos(q'_i q_{i+2})}{Q_{i+1}} \frac{\partial r}{\partial q_{i+1}} - \frac{\cos(q'_i q_{i+1})}{Q_{i+2}} \frac{\partial r}{\partial q_{i+2}} \right) d\Sigma_a \\
 &+ 2a^2 \int_{\Sigma_a} \frac{t' - t}{r^2} \cos(nt) \sum_1^3 \kappa_i \left( \frac{\cos(q'_i q_{i+2})}{Q_{i+2}} \frac{\partial r}{\partial q_{i+2}} - \frac{\cos(q'_i q_{i+1})}{Q_{i+2}} \frac{\partial r}{\partial q_{i+2}} \right) d\Sigma_a \\
 &+ \frac{a^2}{(Q_2)(Q_3)} \frac{\partial}{\partial q'_2} \int_{\Sigma_a} (Q_2) \left[ \frac{a^2(t' - t)^2}{r^2} - 1 \right] \sum_1^3 \kappa_i \left[ \cos(nq_{i+2}) \left( \frac{\cos(q'_3 q_i)}{Q_{i+2}} \frac{\partial r}{\partial q_{i+2}} \right. \right. \\
 &\left. \left. - \frac{\cos(q'_3 q_{i+2})}{Q_i} \frac{\partial r}{\partial q_i} \right) - \cos(nq_{i+1}) \left( \frac{\cos(q'_3 q_{i+1})}{Q_i} \frac{\partial r}{\partial q_i} - \frac{\cos(q'_3 q_i)}{Q_{i+1}} \frac{\partial r}{\partial q_{i+1}} \right) \right] d\Sigma_a \\
 &- \frac{a^2}{(Q_2)(Q_3)} \frac{\partial}{\partial q'_3} \int_{\Sigma_a} (Q_2) \left[ \frac{a^2(t' - t)^2}{r^2} - 1 \right] \sum_1^3 \kappa_i \left[ \cos(nq_{i+2}) \left( \frac{\cos(q'_2 q_i)}{Q_{i+2}} \frac{\partial r}{\partial q_{i+2}} \right. \right. \\
 &\left. \left. - \frac{\cos(q'_2 q_{i+2})}{Q_i} \frac{\partial r}{\partial q_i} \right) - \cos(nq_{i+1}) \left( \frac{\cos(q'_2 q_{i+1})}{Q_i} \frac{\partial r}{\partial q_i} - \frac{\cos(q'_2 q_i)}{Q_{i+1}} \frac{\partial r}{\partial q_{i+1}} \right) \right] d\Sigma_a
 \end{aligned}$$

nella cui formola con  $\cos(q'_i q_{i+2})$  indichiamo l'espressione

$$\frac{1}{(Q_i) Q_{i+2}} \left[ \left( \frac{\partial x}{\partial q_i} \right) \frac{\partial x}{\partial q_{i+2}} + \left( \frac{\partial y}{\partial q_i} \right) \frac{\partial y}{\partial q_{i+2}} + \left( \frac{\partial z}{\partial q_i} \right) \frac{\partial z}{\partial q_{i+2}} \right].$$

6. — Derivando tre volte le formole (15) e (27) rapporto a  $t'$  troviamo subito i valori di  $\theta$  e  $\hat{\omega}$  nel punto  $(t', q'_i)$  espressi



in funzione dei valori che acquistano nei punti di  $\Sigma_a$ :  $\theta, \hat{\omega}, \chi, \rho$  e le componenti dello spostamento:  $\kappa_1, \kappa_2, \kappa_3$ , e dei valori che  $F_1, F_2, F_3$  acquistano in tutti i punti di  $S_{4,a}$ .

Le espressioni di  $\chi$  e di  $\rho$  si deducono da quelle di  $\hat{\omega}$  con le solite permutazioni circolari degli indici 1, 2, 3.

Se deriviamo invece le (15) e (27) una sola volta rispetto a  $t'$ , troviamo:

$$(28) \quad 4\pi b^2 \int_{t_0}^{t'} (t' - t) \theta(t, q'_i) dt = \int_{S_{4,b}} \frac{t' - t}{r} \left( \frac{F_1}{Q_1} \frac{\partial r}{\partial q_1} + \frac{F_2}{Q_2} \frac{\partial r}{\partial q_2} + \frac{F_3}{Q_3} \frac{\partial r}{\partial q_3} \right) dS_{4,b} \\ + \int_{\Sigma_b} \frac{t' - t}{r^2} \left( \frac{U_1}{Q_1} \frac{\partial r}{\partial q_1} + \frac{U_2}{Q_2} \frac{\partial r}{\partial q_2} + \frac{U_3}{Q_3} \frac{\partial r}{\partial q_3} \right) d\Sigma_b \\ + \frac{\partial}{\partial t'} \int_{\Sigma_b} \frac{t' - t}{r^2} \cos(nt) \left( \frac{x_1}{Q_1} \frac{\partial r}{\partial q_1} + \frac{x_2}{Q_2} \frac{\partial r}{\partial q_2} + \frac{x_3}{Q_3} \frac{\partial r}{\partial q_3} \right) d\Sigma_b \\ - \frac{\partial}{\partial t'} \int_{\Sigma_b} [\kappa_1 \cos(nq_1) + \kappa_2 \cos(nq_2) + \kappa_3 \cos(nq_3)] \frac{d\Sigma_b}{r}.$$

$$(29) \quad 8\pi a^2 \int_{t_0}^{t'} (t' - t) \hat{\omega}(t, q'_i) dt = \frac{8\pi a^2}{3} \frac{t' - t_0}{\cos(n_0 t)} (\kappa_{3,0} \cos(n_0 q_2) - \kappa_{2,0} \cos(n_0 q_3)) \\ + \int_{S_{4,a}} \frac{t' - t}{r^2} \sum_1^3 F_i \left( \frac{\cos(q'_i q_{i+2})}{Q_{i+2}} \frac{\partial r}{\partial q_{i+2}} - \frac{\cos(q'_i q_{i+1})}{Q_{i+2}} \frac{\partial r}{\partial q_{i+2}} \right) dS_{4,a} \\ + \int_{\Sigma_a} \frac{t' - t}{r^2} \sum_1^3 U_i \left( \frac{\cos(q'_i q_{i+2})}{Q_{i+1}} \frac{\partial r}{\partial q_{i+1}} - \frac{\cos(q'_i q_{i+1})}{Q_{i+2}} \frac{\partial r}{\partial q_{i+2}} \right) d\Sigma_a \\ + \frac{\partial}{\partial t'} \int_{\Sigma_a} \frac{t' - t}{r^2} \cos(nt) \sum_1^3 \kappa_i \left( \frac{\cos(q'_i q_{i+2})}{Q_{i+1}} \frac{\partial r}{\partial q_{i+2}} - \frac{\cos(q'_i q_{i+1})}{Q_{i+2}} \frac{\partial r}{\partial q_{i+2}} \right) d\Sigma_a \\ + \frac{a^2}{(Q_2)(Q_3)} \frac{\partial}{\partial q'_2} \int_{\Sigma_a} \frac{(Q_3)(t' - t)}{r^2} \sum_1^3 \kappa_i \left[ \cos(nq_{i+2}) \left( \frac{\cos(q'_3 q_i)}{Q_{i+2}} \frac{\partial r}{\partial q_{i+2}} - \frac{\cos(q'_3 q_{i+2})}{Q_i} \frac{\partial r}{\partial q_i} \right) \right. \\ \left. - \cos(nq_{i+1}) \left( \frac{\cos(q'_3 q_{i+1})}{Q_i} \frac{\partial r}{\partial q_i} - \frac{\cos(q'_3 q_i)}{Q_{i+1}} \frac{\partial r}{\partial q_{i+1}} \right) \right] d\Sigma_a \\ - \frac{a^2}{(Q_2)(Q_3)} \frac{\partial}{\partial q'_3} \int_{\Sigma_a} \frac{(Q_2)(t' - t)}{r^2} \sum_1^3 \kappa_i \left[ \cos(nq_{i+2}) \left( \frac{\cos(q'_2 q_i)}{Q_{i+2}} \frac{\partial r}{\partial q_{i+3}} - \frac{\cos(q'_2 q_{i+2})}{Q_i} \frac{\partial r}{\partial q_i} \right) \right. \\ \left. - \cos(nq_{i+1}) \left( \frac{\cos(q'_2 q_{i+2})}{Q_i} \frac{\partial r}{\partial q_i} - \frac{\cos(q'_2 q_i)}{Q_{i+1}} \frac{\partial r}{\partial q_{i+1}} \right) \right] d\Sigma_a.$$



Da queste formole possiamo subito ricavare le espressioni di

$$b^2 \int_{t_0}^{t'} (t' - t) \theta(t, q'_i) dt, \quad 2a^2 \int_{t_0}^{t'} (t' - t) \hat{\omega}(t, q'_i) dt$$

che indicheremo con T e P. Analogamente poi chiameremo Q ed R le espressioni che stanno a  $\chi$  e  $\rho$  come P sta a  $\hat{\omega}$ . Da queste espressioni, per ricavare i valori degli spostamenti  $\kappa_1, \kappa_2, \kappa_3$ , come abbiamo fatto in tutti i casi analoghi, cominceremo ad osservare che

$$\begin{aligned} & \frac{1}{(Q_1)} \frac{\partial T}{\partial q'_1} + \frac{1}{(Q_2)(Q_3)} \left( \frac{\partial(Q_2)Q}{\partial q'_2} - \frac{\partial(Q_3)R}{\partial q'_2} \right) \\ &= \int_{t_0}^{t'} (t' - t) dt \left[ \frac{b^2}{(Q_1)} \frac{\partial \theta(t, q'_i)}{\partial q'_1} + \frac{2a^2}{(Q_2)(Q_3)} \left( \frac{\partial(Q_2)\chi(t, q'_i)}{\partial q'_3} - \frac{\partial(Q_3)\rho(t, q'_i)}{\partial q'_2} \right) \right] \\ &+ \frac{t' - t_0}{\cos(n_0 t)} [b^2 \theta_0 \cos(n_0 q_1) + 2a^2 (\chi_0 \cos(n_0 q_3) - \rho_0 \cos(n_0 q_2))] \\ &= \int_{t_0}^{t'} (t' - t) \left[ \frac{\partial^2 \kappa_1(t, q'_i)}{\partial t^2} - F_1 \right] dt \\ &+ \frac{t' - t_0}{\cos(n_0 t)} [b^2 \theta_0 \cos(n_0 q_1) + 2a^2 (\chi_0 \cos(n_0 q_3) - \rho_0 \cos(n_0 q_2))] \end{aligned}$$

da cui essendo

$$\int_{t_0}^{t'} (t' - t) \frac{\partial^2 \kappa_1(t, q'_i)}{\partial t^2} dt = \kappa_1(t', q'_i) - \kappa_{1,0} - (t' - t_0) \left( \frac{\partial \kappa_1}{\partial t} \right)_0$$

si ha subito:

$$\begin{aligned} (30) \quad & \kappa_1(t', q'_i) = \kappa_{1,0} \\ & + \frac{t' - t_0}{\cos(n_0 t)} \left[ \left( \frac{\partial \kappa_1}{\partial t} \right)_0 \cos(n_0 t) - b^2 \theta_0 \cos(n_0 q_1) - 2a^2 (\chi_0 \cos(n_0 q_3) - \rho_0 \cos(n_0 q_2)) \right] \\ & + \frac{1}{(Q_1)} \frac{\partial T}{\partial q'_1} + \frac{1}{(Q_2)(Q_3)} \left( \frac{\partial(Q_2)Q}{\partial q'_3} - \frac{\partial(Q_3)R}{\partial q'_2} \right) + \int_{t_0}^{t'} (t' - t) F_1 dt \end{aligned}$$

e formole analoghe valgono per  $\kappa_2$  e  $\kappa_3$ .

Le formole che abbiamo ottenuto, che devono ritenersi come le trasformate in coordinate generali delle corrispondenti date nella memoria citata, sono di una grandissima generalità e



di una grande simmetria per cui ho creduto utile notarle. S'intende poi facilmente che si può costruire una serie di formole della stessa generalità e corrispondenti a quelle che abbiamo date nella memoria citata più volte. È anche chiaro che formole della stessa generalità si possono trovare per gli spazii lineari ad  $n$  dimensioni.

---

*Intorno alle derivate normali  
della funzione potenziale di superficie.*

Nota del Prof. GIUSEPPE LAURICELLA.

---

Il prof. MORERA in una Nota (\*), che porta lo stesso titolo della presente, calcola i due limiti delle derivate normali di una funzione potenziale di superficie, quando col punto potenziato si va ad un punto della superficie, muovendosi sulla normale in questo punto dalle due parti della superficie stessa, ammettendo che la densità soddisfi ad una condizione, per cui *non è sufficiente la continuità*.

Una semplice estensione della prima parte dei calcoli del prof. MORERA, riduce questo studio a quello analogo dei limiti della funzione potenziale di doppio strato, per il quale studio, come è noto, *basta la continuità della densità nel punto che si considera*.

Ho creduto opportuno di esporre in un primo articolo della presente Nota uno studio sulla funzione potenziale di doppio strato, fatto secondo il metodo del Poincaré nel suo recente libro: *Théorie du Potentiel Newtonien* (\*\*); e di esporre in un secondo articolo il mio risultato. In tal modo resta completamente esposto l'intero seguito di considerazioni che conducono ad ammettere come sola condizione la continuità della densità nel teorema fondamentale delle funzioni potenziali di superficie.

---

(\*) " Rendiconti dell'Istituto Lombardo „, serie II, vol. XX (1887).

(\*\*) §§ 100...103.



In una breve Appendice alla presente Nota, come complemento allo studio in essa fatto della funzione potenziale di doppio strato, tratto delle derivate normali di detta funzione potenziale. Servendomi appunto del risultato ottenuto sulle derivate normali della funzione potenziale di superficie, dimostro l'esistenza e l'uguaglianza dei limiti verso cui tendono le derivate normali della funzione potenziale di doppio strato, quando il punto potenziato si avvicina ad un punto della superficie dalle due parti di essa, *ammessa ancora qui la sola continuità della densità del doppio strato.*

Questo teorema, per quanto è a mia conoscenza, viene dimostrato ordinariamente con considerazioni poco rigorose od ammettendo per la densità delle condizioni per cui la sola continuità non basta.

Sarebbe superfluo richiamare qui l'importanza dei precedenti teoremi nel campo della Fisica-matematica e dell'Analisi. Per altro credo utile di far rilevare che il noto *metodo di Neumann* dà l'espressione della soluzione (che io chiamerò *di Neumann*) del *problema di Dirichlet*, mediante una funzione potenziale di doppio strato a densità continua nel caso di un campo finito; mediante la somma di una funzione potenziale di doppio strato a densità continua e di una funzione potenziale di superficie a densità continua nel caso di un campo indefinito (\*); quindi abbiamo in ogni caso: *le derivate normali della soluzione di Neumann, che sono certamente finite e continue finchè il punto che si considera non è sulla superficie limite, si mantengono tali anche quando questo punto si avvicina indefinitamente ai punti della superficie stessa.*

## ART. I.

1. — Indichiamo con  $\sigma$  l'insieme di una o più superficie aperte o chiuse; e questo insieme sia tale che qualunque retta dello spazio tagli tutte le superficie in un numero finito di punti, e tutt'al più abbia alcuni tratti finiti e in numero finito a comune con esse; e sia tale ancora che ammetta in ogni punto delle superficie un piano tangente determinato e variabile con

---

(\*) POINCARÉ, loc. cit., §§ 147, 149.



continuità al variare con continuità del punto di contatto, fatta eccezione al più di un numero finito di punti isolati o di linee isolate. Circa a questi punti, nei quali non esiste il piano tangente, supporremo che siano punti conici, supporremo cioè che ognuno di essi sia il vertice di un cono tangente inviluppo delle posizioni limiti del piano tangente, quando col punto di contatto si tende verso il punto stesso lungo tutte le possibili linee. Circa alle linee escluse poi supporremo che siano tali che in ogni loro punto esistano due piani tangenti alla superficie, limiti delle posizioni del piano tangente a  $\sigma$ , quando col punto di contatto si tende al punto stesso muovendosi sulla superficie dalle due parti di essa linea.

Si indichi con  $n$  la normale a  $\sigma$  e si fissi la direzione positiva di  $n$  in ogni punto in modo che, prendendo due punti di  $\sigma$  appartenenti alla stessa superficie e facendo muovere questi due punti fino a farli coincidere, vengano a coincidere allora anche le direzioni positive delle normali.

Diremo faccia positiva di  $\sigma$  quella corrispondente alla direzione positiva della normale nel punto, faccia negativa l'altra. Similmente nei punti di  $\sigma$  ove si ha un piano tangente, diremo faccia positiva di questo piano quella corrispondente alla direzione positiva della normale nel punto, faccia negativa l'altra. Nei punti conici diremo faccia positiva del cono tangente la faccia corrispondente alla faccia positiva dei piani tangenti inviluppo, faccia negativa l'altra. Nei punti delle linee singolari diremo faccia positiva del diedro dei due piani tangenti, la faccia corrispondente alla faccia positiva di ognuno dei due piani tangenti, faccia negativa l'altra.

Finalmente si indichino con  $r$  i raggi vettori che partono da un punto  $P$  qualsiasi dello spazio; e si chiamino punti di entrata i punti in cui  $r$  incontra  $\sigma$  passando dalla faccia negativa di  $\sigma$  alla positiva, punti di uscita quelli in cui  $r$  incontra  $\sigma$  passando dalla faccia positiva alla negativa.

2. — Ciò premesso, si consideri l'integrale:

$$\int_{\sigma} \frac{\partial}{\partial n} \frac{1}{r} d\sigma = - \int_{\sigma} \frac{\cos(rn)}{r^2} d\sigma,$$



ove  $(rn)$  è l'angolo che la direzione positiva di  $r$  fa con la direzione positiva di  $n$ .

Ovunque si trovi il punto  $P$ , si costruisca la sfera di raggio 1 col centro in  $P$ . Preso un elemento qualsiasi  $d\omega$  della superficie  $\omega$  di questa sfera, si considerino gli elementi  $d\sigma_1, d\sigma_2, \dots, d\sigma_p$ , aventi per contorno le intersezioni di  $\sigma$  col cono che proietta da  $P$  il contorno di  $d\omega$ : preso poi un punto  $P'$  nell'interno di  $d\omega$ , si indichino con  $r_1, r_2, \dots, r_p$  i raggi vettori corrispondenti ai punti in cui la semiretta  $PP'$  incontra gli elementi  $d\sigma_1, d\sigma_2, \dots, d\sigma_p$ . Allora si ha ovviamente, per gli elementi  $d\sigma_i$  che sono discosti dal punto  $P$ ,

$$d\omega = \pm \frac{\cos(rin)}{r_i^2} d\sigma_i;$$

ed il segno  $+$  varrà per gli elementi  $d\sigma_i$  nei quali si ha  $\cos(rin) > 0$ , ossia per gli elementi  $d\sigma_i$  che volgono la loro faccia negativa a  $P$ ; il segno  $-$  per gli elementi  $d\sigma_i$  nei quali si ha  $\cos(rin) < 0$ , ossia per gli elementi  $d\sigma_i$  che volgono la loro faccia positiva a  $P$ ; dove si ha  $\cos(rin) = 0$ , si ha ancora  $\frac{\cos(rin)}{r_i^2} d\sigma_i = 0$ , ed ivi l'elemento  $d\sigma_i$  non volge a  $P$  nè la faccia negativa, nè la positiva. Supposto che tutti gli elementi  $d\sigma_i$  siano discosti dal punto  $P$ , si indichi con  $p'$  il numero di quelli che volgono la faccia positiva a  $P$ , con  $p''$  il numero di quelli che volgono a  $P$  la faccia negativa; allora si potrà scrivere:

$$\sum_1^p - \frac{\cos(rin)}{r_i^2} d\sigma_i = (p' - p'') d\omega;$$

e quindi, supposto che il punto  $P$  non sia su  $\sigma$ ,

$$(1) \quad \int_{\sigma} \frac{\partial}{\partial n} \frac{1}{r} d\sigma = - \int_{\sigma} \frac{\cos(rn)}{r^2} d\sigma = \int_{\omega} (p' - p'') d\omega (*).$$

---

(\*) I punti conici e le linee singolari corrispondono nell'integrale a punti e a linee di discontinuità della funzione da integrare, che, essendo in numero finito, non hanno alcuna influenza sull'integrale.



I numeri  $p', p''$ , e quindi anche l'espressione  $p' - p''$ , dipendono dai punti della superficie  $\omega$ . È evidente poi che  $p'$  rappresenta il numero dei punti di uscita in cui la semiretta  $PP'$  incontra  $\sigma$ ,  $p''$  il numero dei punti di entrata.

Supposto ora il punto  $P$  su  $\sigma$ , si isoli questo punto con una piccola porzione di superficie  $\sigma'$  di  $\sigma$ , in maniera che  $\sigma'$  contenga  $P$  nel suo interno. In questo modo il punto  $P$  non è sull'insieme  $\sigma - \sigma'$ ; e quindi, indicando con  $p'_1, p''_1$  i numeri  $p', p''$  relativi a  $\sigma - \sigma'$ , si può scrivere come sopra:

$$\int_{\sigma - \sigma'} \frac{\partial \frac{1}{r}}{\partial n} d\sigma = \int_{\omega} (p'_1 - p''_1) d\omega.$$

Nei punti di  $\omega$ , che non corrispondono a punti di  $\sigma'$ , la differenza  $p'_1 - p''_1$  coincide con l'altra  $p' - p''$  relativa all'insieme  $\sigma$ . Inoltre, impiccolendo  $\sigma'$ , varierà la differenza  $p'_1 - p''_1$  nei punti di  $\omega$  corrispondenti ai punti di  $\sigma'$ , in modo che ogni volta che un punto di  $\omega$  non fa più parte della regione corrispondente ai punti di  $\sigma'$ , il numero  $p'_1 - p''_1$  diventa  $p' - p''$ ; e poichè il numero  $p' - p''$  relativo a  $\sigma$  è finito per qualunque vettore che parte da  $P$ , facendo impiccolire indefinitamente  $\sigma'$  con una legge qualsiasi, si avrà:

$$\lim_{\sigma' \rightarrow 0} \int_{\sigma - \sigma'} \frac{\partial \frac{1}{r}}{\partial n} d\sigma = \lim_{\sigma' \rightarrow 0} \int_{\omega} (p'_1 - p''_1) d\omega = \int_{\omega} (p' - p'') d\omega = \int_{\sigma} \frac{\partial \frac{1}{r}}{\partial n} d\sigma.$$

Adunque la formola (1) vale ovunque sia il punto  $P$ .

**3.** — Ora supponiamo che l'insieme  $\sigma$  consti di una o più superficie chiuse esterne l'una all'altra e che il punto  $P$  sia nell'interno dello spazio finito racchiuso da una di queste superficie. Presa per direzione positiva di  $n$  quella che penetra nell'interno dello spazio finito racchiuso da ciascuna delle superficie componenti  $\sigma$ , avremo che ogni vettore spiccantesi da  $P$  incontra  $\sigma$  necessariamente in un punto di uscita e in altri punti in numero pari e successivamente di entrata e di uscita; di modo che in questo caso si avrà in ogni punto di  $\omega$ :

$$p' - p'' = 1;$$



e quindi dalla (1):

$$(2) \quad \int_{\sigma} \frac{\partial \frac{1}{r}}{\partial n} d\sigma = \int_{\omega} d\omega = 4\pi.$$

Supponiamo che il punto  $P$  sia esterno a tutte le superficie formanti  $\sigma$ . In questo caso il vettore  $r$ , corrispondente ad un punto qualsiasi di  $\omega$ , o non incontra  $\sigma$  o l'incontra in un numero pari di punti successivamente di entrata e di uscita; per cui si avrà in ogni punto di  $\omega$ :

$$p' - p'' = 0;$$

e quindi:

$$(3) \quad \int_{\sigma} \frac{\partial \frac{1}{r}}{\partial n} d\sigma = 0.$$

Supponiamo che il punto  $P$  sia su  $\sigma$  e che in questo punto vi sia un piano tangente determinato. In questo caso la superficie  $\omega$  viene divisa dal piano tangente in  $P$  in due parti uguali  $\omega', \omega''$ : una parte  $\omega'$  corrisponderà alla faccia positiva del piano tangente, l'altra  $\omega''$  corrisponderà alla faccia negativa. Ogni vettore corrispondente ad un punto qualsiasi di  $\omega'$  incontra la superficie necessariamente in un punto di uscita e in altri punti successivamente di entrata e di uscita in numero pari: in altri termini si può dire che il punto  $P$  si comporta rispetto ad  $\omega'$  come se fosse punto interno a  $\sigma$ ; sicchè per ogni punto di  $\omega'$  si avrà:

$$p' - p'' = 1.$$

Ogni vettore corrispondente ad un punto qualsiasi di  $\omega''$  o non incontra  $\sigma$  o l'incontra in un numero pari di punti successivamente di entrata e di uscita: si può dire cioè che il punto  $P$  si comporta rispetto ad  $\omega''$  come se fosse punto esterno a  $\sigma$ ; di modo che in ogni punto di  $\omega''$  si avrà:

$$p' - p'' = 0.$$



In conclusione avremo:

$$(4) \quad \int_{\sigma} \frac{\partial \frac{1}{r}}{\partial n} d\sigma = \int_{\omega'} d\omega = 2\pi.$$

Supponiamo ancora che il punto  $P$  di  $\sigma$  sia un punto conico. In questo caso la superficie  $\omega$  viene divisa in due parti  $\omega', \omega''$  dal cono tangente in  $P$  alla superficie. Una parte  $\omega'$  corrisponderà alla faccia positiva del cono tangente e l'altra  $\omega''$  alla faccia negativa; ed anche qui è chiaro che  $P$  si comporta rispetto ad  $\omega'$  come se fosse punto interno a  $\sigma$ , rispetto ad  $\omega''$  come se fosse punto esterno; di modo che si avrà:

$$\begin{aligned} p' - p'' &= 1 \text{ nei punti di } \omega', \\ p' - p'' &= 0 \quad \quad \quad \text{,,} \quad \quad \quad \omega''; \end{aligned}$$

e quindi:

$$(4') \quad \int_{\sigma} \frac{\partial \frac{1}{r}}{\partial n} d\sigma = \int_{\omega'} d\omega = \omega'.$$

Supponiamo finalmente che il punto  $P$  di  $\omega$  sia uno dei punti delle linee singolari. In questo caso il diedro dei due piani tangenti a  $\sigma$  nel punto  $P$  divide la superficie  $\omega$  in due fusi  $\omega', \omega''$ . Il fuso  $\omega'$  corrisponderà alla faccia positiva del diedro, il fuso  $\omega''$  alla faccia negativa; ed avremo ancora qui che  $P$  si comporta rispetto ad  $\omega'$  come se fosse punto interno a  $\sigma$ , rispetto ad  $\omega''$  come se fosse punto esterno; per cui sarà:

$$\begin{aligned} p' - p'' &= 1 \text{ nei punti di } \omega', \\ p' - p'' &= 0 \quad \quad \quad \text{,,} \quad \quad \quad \omega''; \end{aligned}$$

e quindi:

$$(4'') \quad \int_{\sigma} \frac{\partial \frac{1}{r}}{\partial n} d\sigma = \int_{\omega'} d\omega = \omega' (*).$$

---

(\*) In questo indirizzo sarebbe facile fare lo studio dell'integrale  $\int_{\sigma} \frac{\partial \frac{1}{r}}{\partial n} d\sigma$  nel caso in cui  $\sigma$  avesse dei punti all'infinito, ferma restando la sua proprietà di essere incontrata un numero finito di volte da una qualsiasi retta dello spazio, ed anche nel caso in cui due o più superficie dell'insieme  $\sigma$  fossero interne l'una all'altra.



4. — Ritornando ora al caso generale considerato nel § 2 ed indicando con  $\left| \frac{\partial \frac{1}{r}}{\partial n} \right|$  il valore assoluto di  $\frac{\partial \frac{1}{r}}{\partial n}$ , avremo dalla (1):

$$(5) \quad \int_{\sigma} \left| \frac{\partial \frac{1}{r}}{\partial n} \right| d\sigma = \int_{\omega} (p' + p'') d\omega;$$

e poichè per ipotesi qualunque retta dello spazio incontra  $\sigma$  in un numero finito di punti, esisterà il massimo  $p_1$  dei numeri corrispondenti a tutte le rette dello spazio, e si avrà:

$$p' + p'' \leq p_1.$$

In questo modo risulterà dalla (5):

$$(5') \quad \int_{\sigma} \left| \frac{\partial \frac{1}{r}}{\partial n} \right| d\sigma \leq p_1 \int_{\omega} d\omega = 4\pi p_1.$$

5. — Passiamo a studiare l'integrale (*funzione potenziale di un doppio strato*):

$$\int_{\sigma} h \frac{\partial \frac{1}{r}}{\partial n} d\sigma,$$

ove  $\sigma$  è l'insieme di superficie considerato al § 2 ed  $h$  una funzione atta all'integrazione in tutto il campo  $\sigma$ .

Si consideri un punto  $P_0$  di  $\sigma$  e si supponga che in  $P_0$  la funzione  $h$  sia finita e continua. Indicato con  $h_0$  il valore di  $h$  nel punto  $P_0$  e data una quantità positiva e piccola ad arbitrio, si può isolare il punto  $P_0$  con una porzione  $\sigma'$  di superficie dell'insieme  $\sigma$  contenente il punto  $P_0$  nel suo interno e talmente piccola che si abbia in tutto  $\sigma'$ :

$$|h - h_0| < \epsilon.$$

Allora, chiamando anche qui  $p_1$  il massimo del numero dei punti in cui una retta qualsiasi dello spazio incontra  $\sigma$ , avremo:

$$\left| \int_{\sigma'} (h - h_0) \frac{\partial \frac{1}{r}}{\partial n} d\sigma \right| = \int_{\sigma'} |h - h_0| \cdot \left| \frac{\partial \frac{1}{r}}{\partial n} \right| d\sigma < 4\pi p_1 \epsilon.$$



Ora si ha ovviamente:

$$(6) \quad \int_{\sigma} h \frac{\partial \frac{1}{r}}{\partial n} d\sigma = h_0 \int_{\sigma} \frac{\partial \frac{1}{r}}{\partial n} d\sigma + \int_{\sigma} (h - h_0) \frac{\partial \frac{1}{r}}{\partial n} d\sigma =$$

$$= h_0 \int_{\sigma} \frac{\partial \frac{1}{r}}{\partial n} d\sigma + \int_{\sigma - \sigma'} (h - h_0) \frac{\partial \frac{1}{r}}{\partial n} d\sigma + \int_{\sigma'} (h - h_0) \frac{\partial \frac{1}{r}}{\partial n} d\sigma.$$

Inoltre, indicando con  $P$  un punto discosto da  $\sigma$  convenientemente vicino a  $P_0$  e situato dall'una o dall'altra parte di  $\sigma$ , e chiamando  $r_0$  i raggi vettori che partono da  $P_0$ , si può scrivere:

$$\left| \int_{\sigma - \sigma'} (h - h_0) \frac{\partial \frac{1}{r}}{\partial n} d\sigma - \int_{\sigma - \sigma'} (h - h_0) \frac{\partial \frac{1}{r_0}}{\partial n} d\sigma \right| < \epsilon; \quad \left| \int_{\sigma'} (h - h_0) \frac{\partial \frac{1}{r_0}}{\partial n} d\sigma \right| < 4\pi p_1 \epsilon;$$

e quindi:

$$\left| \int_{\sigma} (h - h_0) \frac{\partial \frac{1}{r}}{\partial n} d\sigma - \int_{\sigma} (h - h_0) \frac{\partial \frac{1}{r_0}}{\partial n} d\sigma \right| < \epsilon + 4\pi p_1 \epsilon + 4\pi p_1 \epsilon = \epsilon(1 + 8\pi p_1).$$

Di qui risulta:

$$(7) \quad \lim_{PP_0=0} \int_{\sigma} (h - h_0) \frac{\partial \frac{1}{r}}{\partial n} d\sigma = \int_{\sigma} (h - h_0) \frac{\partial \frac{1}{r_0}}{\partial n} d\sigma.$$

Indichiamo con  $P_1, P_2$  due punti discosti da  $\sigma$ , vicinissimi al punto  $P_0$  e situati il primo dalla parte della faccia positiva di  $\sigma$ , il secondo dalla parte della faccia negativa. Nel caso poi in cui una o più superficie dell'insieme  $\sigma$  siano aperte, chiudiamole con un sistema  $\sigma_1$  di superficie in modo che  $P_1$  risulti interno ad una sola delle superficie dell'insieme  $\sigma + \sigma_1$  e  $P_2$  esterno a tutte. Allora avremo dalle (2), (3), (4), (4'), (4''):

$$\int_{\sigma} \frac{\partial \frac{1}{r}}{\partial n} d\sigma + \int_{\sigma_1} \frac{\partial \frac{1}{r}}{\partial n} d\sigma = \int_{\sigma + \sigma_1} \frac{\partial \frac{1}{r}}{\partial n} d\sigma = \begin{cases} 4\pi \text{ nel punto } P_1 \\ 2\pi \text{ oppure } \omega' \text{ nel punto } P_0 \\ 0 \text{ nel punto } P_2, \end{cases}$$



$$\lim_{P_1 P_0=0} \int_{\sigma_1} \frac{\partial \frac{1}{r}}{\partial n} d\sigma = \int_{\sigma_1} \frac{\partial \frac{1}{r_0}}{\partial n} d\sigma, \quad \lim_{P_2 P_0=0} \int_{\sigma_1} \frac{\partial \frac{1}{r}}{\partial n} d\sigma = \int_{\sigma_1} \frac{\partial \frac{1}{r_0}}{\partial n} d\sigma;$$

e per conseguenza:

$$\int_{\sigma} \frac{\partial \frac{1}{r_0}}{\partial n} d\sigma = 2\pi - \int_{\sigma_1} \frac{\partial \frac{1}{r_0}}{\partial n} d\sigma, \text{ oppure } = \omega' - \int_{\sigma_1} \frac{\partial \frac{1}{r_0}}{\partial n} d\sigma;$$

$$\lim_{P_1 P_0=0} \int_{\sigma} \frac{\partial \frac{1}{r}}{\partial n} d\sigma = 4\pi - \int_{\sigma_1} \frac{\partial \frac{1}{r_0}}{\partial n} d\sigma = 2\pi + \int_{\sigma} \frac{\partial \frac{1}{r_0}}{\partial n} d\sigma,$$

$$\text{oppure } = 4\pi - \omega' + \int_{\sigma} \frac{\partial \frac{1}{r_0}}{\partial n} d\sigma;$$

$$\lim_{P_2 P_0=0} \int_{\sigma} \frac{\partial \frac{1}{r}}{\partial n} d\sigma = - \int_{\sigma_1} \frac{\partial \frac{1}{r_0}}{\partial n} d\sigma = -2\pi + \int_{\sigma} \frac{\partial \frac{1}{r_0}}{\partial n} d\sigma,$$

$$\text{oppure } = -\omega' + \int_{\sigma} \frac{\partial \frac{1}{r_0}}{\partial n} d\sigma.$$

Queste, insieme alle (6), (7), ci dànno:

$$\lim_{P_1 P_0=0} \int_{\sigma} h \frac{\partial \frac{1}{r}}{\partial n} d\sigma = h_0 \left( 2\pi + \int_{\sigma} \frac{\partial \frac{1}{r_0}}{\partial n} d\sigma \right) + \int_{\sigma} (h - h_0) \frac{\partial \frac{1}{r_0}}{\partial n} d\sigma,$$

$$\text{oppure } = h_0 \left( 4\pi - \omega' + \int_{\sigma} \frac{\partial \frac{1}{r_0}}{\partial n} d\sigma \right) + \int_{\sigma} (h - h_0) \frac{\partial \frac{1}{r_0}}{\partial n} d\sigma;$$

$$\lim_{P_2 P_0=0} \int_{\sigma} h \frac{\partial \frac{1}{r}}{\partial n} d\sigma = h_0 \left( -2\pi + \int_{\sigma} \frac{\partial \frac{1}{r_0}}{\partial n} d\sigma \right) + \int_{\sigma} (h - h_0) \frac{\partial \frac{1}{r_0}}{\partial n} d\sigma,$$

$$\text{oppure } = h_0 \left( -\omega' + \int_{\sigma} \frac{\partial \frac{1}{r_0}}{\partial n} d\sigma \right) + \int_{\sigma} (h - h_0) \frac{\partial \frac{1}{r_0}}{\partial n} d\sigma.$$



## ART. II.

1. — Sia  $P_0$  un punto di una superficie  $\sigma$  (o di un insieme di superficie), la quale abbia in ogni punto di un intorno, anche comunque piccolo, di  $P_0$  un piano tangente determinato e la curvatura continua; e sia  $h$  una funzione dei punti di  $\sigma$  atta all'integrazione su  $\sigma$  e finita e continua nel punto  $P_0$ . Indichiamo con  $n_0$  la normale a  $\sigma$  in  $P_0$ ; con  $n$  la normale in un altro punto  $M$  qualsiasi di  $\sigma$ , tale che coincida anche in direzione con  $n_0$ , quando il punto  $M$  va a coincidere con  $P_0$ ; e denotiamo con  $r_0, r$  i vettori che partono dal punto  $P_0$  e da un punto  $P$  qualsiasi preso su  $n_0$  da una parte o dall'altra di  $\sigma$ , e che vanno in  $M$ .

Si ha:

$$\begin{aligned}
 (1) \quad \int_{\sigma} h \frac{\partial \frac{1}{r}}{\partial n_0} d\sigma &= - \int_{\sigma} h \frac{\partial \frac{1}{r}}{\partial n} d\sigma + \int_{\sigma} h \left( \frac{\partial \frac{1}{r}}{\partial n_0} + \frac{\partial \frac{1}{r}}{\partial n} \right) d\sigma, \\
 \int_{\sigma} h \left( \frac{\partial \frac{1}{r}}{\partial n_0} + \frac{\partial \frac{1}{r}}{\partial n} \right) d\sigma &= \int_{\sigma} h \frac{\cos(rn_0) - \cos(rn)}{r^2} d\sigma \\
 &= \int_{\sigma} h \frac{\cos(rn_0) - \cos(rn)}{r_0} \left( \frac{r_0}{r} \right)^2 \frac{d\sigma}{r_0}.
 \end{aligned}$$

Poichè in  $P_0$  la superficie  $\sigma$  ha il piano tangente determinato e la curvatura continua, si avrà in ogni punto di  $\sigma$  (Cfr. la Nota del prof. MORERA):

$$\left| \frac{\cos(rn_0) - \cos(rn)}{r_0} \right| < A$$

con  $A$  quantità finita. Indicata poi con  $u$  la proiezione dei segmenti  $r_0, r$  sul piano tangente a  $\sigma$  nel punto  $P_0$ , si avrà:

$$\frac{r_0}{r} \leq \frac{r_0}{u} = \frac{1}{\sin(r_0 n_0)},$$

e si potrà staccare da  $\sigma$  una piccola porzione  $\sigma'$  di superficie,



racchiudente il punto  $P_0$  nel suo interno, tale che si abbia in ogni suo punto:

$$\text{sen}(r_0 n_0) > \tau$$

con  $\tau$  costante positiva e minore dell'unità.

Dalla continuità della funzione  $h$  nel punto  $P_0$ , dove ha anche un valore finito, risulta che si può staccare da  $\sigma$  una piccola porzione  $\sigma''$  di superficie, racchiudente il punto  $P_0$  nel suo interno e tale che sia in ogni suo punto:

$$|h| < B$$

con  $B$  quantità finita.

Finalmente, data una quantità  $\epsilon$  piccola ad arbitrio, possiamo staccare da  $\sigma$  una piccola porzione  $\sigma'''$  di superficie, racchiudente il punto  $P_0$  nel suo interno e tale che si abbia nello stesso tempo:

$$A \cdot B \cdot \int_{\sigma'''} \frac{d\sigma}{r_0} < \frac{\epsilon}{3}, \quad \frac{A \cdot B}{\tau} \int_{\sigma'''} \frac{d\sigma}{r_0} < \frac{\epsilon}{3}.$$

Considerata allora la parte  $\sigma_0$  di  $\sigma$ , comune alle tre porzioni  $\sigma'$ ,  $\sigma''$ ,  $\sigma'''$ , avremo certamente:

$$(2) \quad \left| \int_{\sigma_0} h \frac{\cos(r_0 n_0) - \cos(r_0 n)}{r_0^2} d\sigma \right| < \frac{\epsilon}{3}, \quad \left| \int_{\sigma_0} h \frac{\cos(r n_0) - \cos(r n)}{r^2} d\sigma \right| < \frac{\epsilon}{3}.$$

La regione  $\sigma_0$  contiene il punto  $P_0$  nel suo interno; e perciò l'espressione:

$$\int_{\sigma - \sigma_0} h \frac{\cos(r n_0) - \cos(r n)}{r^2} d\sigma$$

è una funzione finita e continua del punto  $P$  e si mantiene tale anche quando questo punto, muovendosi su  $n_0$ , va a coincidere con  $P_0$ ; di maniera che per  $P$  abbastanza vicino a  $P_0$  si può scrivere:

$$\left| \int_{\sigma - \sigma_0} h \frac{\cos(r n_0) - \cos(r n)}{r^2} d\sigma - \int_{\sigma - \sigma_0} h \frac{\cos(r_0 n_0) - \cos(r_0 n)}{r_0^2} d\sigma \right| < \frac{\epsilon}{3}.$$



Questa, insieme alle (2), ci dà in conclusione per  $P$  abbastanza vicino a  $P_0$ :

$$\left| \int_{\sigma} h \frac{\cos(rn_0) - \cos(rn)}{r^2} d\sigma - \int_{\sigma} h \frac{\cos(r_0n_0) - \cos(r_0n)}{r_0^2} d\sigma \right| < \epsilon.$$

Di qui segue che l'espressione:

$$(3) \quad \int_{\sigma} h \frac{\cos(rn_0) - \cos(rn)}{r^2} d\sigma,$$

la quale è finita e continua finchè il punto da cui partono i raggi vettori  $r$  (punto potenziato) non va su  $\sigma$ , si mantiene tale anche quando questo punto, muovendosi su  $n_0$ , attraversa  $\sigma$  nel punto  $P_0$ .

Per mostrare che la continuità si mantiene anche attraversando la superficie  $\sigma$  nel punto  $P_0$  in una direzione qualsiasi, si osservi anzitutto che, la dimostrata continuità in  $P_0$  dell'espressione (3) nella direzione  $n_0$ , è dovuta al fatto che in  $P_0$  la superficie  $\sigma$  ha un piano tangente determinato e la curvatura continua, e ancora all'avere potuto isolare il punto  $P_0$  con una regione  $\sigma''$  in cui la  $h$  fosse sempre finita. Ora, per ipotesi, la superficie  $\sigma$  soddisfa in tutto un intorno  $\sigma'_0$  di  $P_0$  alle medesime condizioni geometriche poste nel punto  $P_0$ ; inoltre, dall'essere la funzione  $h$  finita e continua nel punto  $P_0$ , risulta che si può considerare un intorno  $\sigma''_0$  di  $P_0$ , anche comunque piccolo, tale che in un intorno convenientemente piccolo di ogni suo punto la funzione  $h$  sia sempre finita; quindi avremo che nell'intorno  $\sigma_1$  di  $P_0$ , comune a  $\sigma'_0, \sigma''_0$ , l'espressione (3) è continua anche quando, invece di riferirsi al punto  $P_0$ , ci si riferisca ad un altro punto qualsiasi di  $\sigma_1$  e ci si muova, s'intende, sulla normale in questo punto.

Allora, data una quantità  $\epsilon$  piccola ad arbitrio, esisterà per ogni punto  $Q_0$  di  $\sigma_1$  un segmento  $\eta$  tale che, preso  $Q$  sulla normale a  $\sigma$  sul punto  $Q_0$ , da una parte o dall'altra di  $\sigma$ , in modo che sia  $QQ_0 < \eta$ , la differenza dei valori dell'espressione (3) nei punti  $QQ_0$  sia in valore assoluto sempre inferiore ad  $\epsilon$ ; e così, con un ragionamento analogo a quello che suole farsi per dimostrare la continuità uniforme delle funzioni continue, sarà facile



dimostrare l'esistenza di un segmento  $\eta'$  diverso da zero che si può prendere come segmento  $\eta$  per tutti i punti di  $\sigma_1$ .

Ciò posto, si considerino le due superficie  $\sigma_2, \sigma'_2$  luogo dei punti la cui minima distanza, dai punti di  $\sigma$  e dalle due bande di essa, sia uguale ad  $\eta'$ . L'espressione (3) è una funzione finita e continua dei punti di  $\sigma_2$  e dei punti di  $\sigma'_2$ ; per cui esisterà un segmento  $\eta''$ , comunque piccolo ma diverso da zero, tale che la differenza dei valori che l'espressione (3) prende in un punto  $Q_1$  qualsiasi di  $\sigma_2$  (o di  $\sigma'_2$ ) e in un altro qualsiasi dei punti della porzione di  $\sigma_2$  (o di  $\sigma'_2$ ), racchiusa entro la sfera che ha il centro in  $Q_1$  e il raggio uguale ad  $\eta''$ , si mantiene in valore assoluto inferiore ad  $\epsilon$ .

Si considerino allora il punto  $P$  intersezione di  $n_0$  con  $\sigma_2$  (o con  $\sigma'_2$ ); la porzione  $\sigma''_2$  di  $\sigma_2$  (o di  $\sigma'_2$ ) racchiusa dalla sferetta di centro  $P$  e di raggio  $\eta''$  e comune alla porzione  $\sigma'_1$  di  $\sigma_2$  (o di  $\sigma'_2$ ) che corrisponde alla regione  $\sigma_1$  di  $\sigma$ ; e il cilindretto  $S_1$  che ha per generatrici le normali a  $\sigma$  condotte dal contorno di  $\sigma''_2$  e limitato da  $\sigma$  e da  $\sigma_2$  (o da  $\sigma'_2$ ). È chiaro che si ha:

$$\left| \int_{\sigma} h \frac{\cos(rn_0) - \cos(rn)}{r^2} d\sigma - \int_{\sigma} \frac{\cos(r_0n_0) - \cos(r_0n)}{r_0^2} d\sigma \right| < 4\epsilon,$$

dove il primo integrale si riferisce ad un punto qualsiasi del cilindretto  $S_1$  ed il secondo al punto  $P_0$ .

Questa formola dimostra appunto la continuità dell'espressione (3), quando il punto potenziato attraversa la superficie  $\sigma$  nel punto  $P_0$  muovendosi in un modo qualsiasi. Avremo adunque, indicando con  $P_1$  e  $P_2$  due punti situati dalle due parti di  $\sigma$ ,

$$(4) \left\{ \begin{aligned} \lim_{P_1 P_0 = 0} \int_{\sigma} h \frac{\cos(rn_0) - \cos(rn)}{r^2} d\sigma &= \lim_{P_2 P_0 = 0} \int_{\sigma} h \frac{\cos(rn_0) - \cos(rn)}{r^2} d\sigma = \\ &= \int_{\sigma} h \frac{\cos(r_0n_0) - \cos(r_0n)}{r_0^2} d\sigma. \end{aligned} \right.$$

Consideriamo ora l'integrale:

$$\int_{\sigma} h \frac{\partial \frac{1}{r}}{\partial n} d\sigma,$$



e supponiamo che il punto  $P_1$  stia dalla parte corrispondente alla direzione positiva della  $n$ . L'esistenza del piano tangente a  $\sigma$  in  $P_0$  e la continuità in  $P_0$  della funzione  $h$  bastano (\*) per dimostrare le formole sui potenziali di doppio strato:

$$\lim_{P_1 P_0=0} \int_{\sigma} h \frac{\partial \frac{1}{r}}{\partial n} d\sigma = h_0(2\pi + \Omega) + \int_{\sigma} (h - h_0) \frac{\partial \frac{1}{r_0}}{\partial n} d\sigma,$$

$$\lim_{P_2 P_0=0} \int_{\sigma} h \frac{\partial \frac{1}{r}}{\partial n} d\sigma = h_0(-2\pi + \Omega) + \int_{\sigma} (h - h_0) \frac{\partial \frac{1}{r_0}}{\partial n} d\sigma,$$

ove si è posto :

$$\Omega = \int_{\sigma} \frac{\partial \frac{1}{r_0}}{\partial n} d\sigma.$$

Avremo dunque dalla (1) e dalla (4):

$$\begin{aligned} \lim_{P_1 P_0=0} \int_{\sigma} h \frac{\partial \frac{1}{r}}{\partial n_0} d\sigma &= -h_0(2\pi + \Omega) - \int_{\sigma} (h - h_0) \frac{\partial \frac{1}{r_0}}{\partial n} d\sigma + \\ &+ \int_{\sigma} h \frac{\cos(r_0 n_0) - \cos(r_0 n)}{r_0^2} d\sigma, \end{aligned}$$

$$\begin{aligned} \lim_{P_2 P_0=0} \int_{\sigma} h \frac{\partial \frac{1}{r}}{\partial n_0} d\sigma &= h_0(2\pi - \Omega) - \int_{\sigma} (h - h_0) \frac{\partial \frac{1}{r_0}}{\partial n} d\sigma + \\ &+ \int_{\sigma} h \frac{\cos(r_0 n_0) - \cos(r_0 n)}{r_0^2} d\sigma. \end{aligned}$$

## APPENDICE

1. — Consideriamo l'integrale (funzione potenziale di doppio strato):

$$(1) \quad \int_{\sigma} h \frac{\partial \frac{1}{r}}{\partial n} d\sigma,$$

---

(\*) Cfr. l'Art. I.



dove  $h$  è una funzione finita e continua dei punti di ciascuna delle superficie chiuse od aperte dell'insieme  $\sigma$ ;  $r$  il vettore che, partendo da un punto  $P$  qualsiasi dello spazio, va ai punti di  $\sigma$ ;  $n$  la normale variabile nei punti di  $\sigma$ , di cui sia fissata la direzione positiva.

Indichiamo con  $P_0$  un punto ordinario di  $\sigma$ , un punto tale cioè che in ogni punto di un intorno comunque piccolo di esso esiste un piano tangente determinato e la curvatura è finita; con  $n_0$  la normale a  $\sigma$  in questo punto; e con  $P_1, P_2$  due punti variabili vicinissimi a  $P_0$ , discosti da  $\sigma$  e situati il primo dalla parte di  $\sigma$  che guarda la direzione positiva di  $n_0$ , il secondo dall'altra parte.

Nel caso che una o più delle superficie, che compongono l'insieme  $\sigma$ , siano aperte, rendiamole chiuse con un insieme  $\sigma'$  di superficie tali che le superficie dell'insieme  $\sigma + \sigma'$ , che allora vengono ad essere tutte chiuse, risultino esterne l'una all'altra, e tali ancora che il punto  $P_1$  risulti interno ad una di queste superficie chiuse, il punto  $P_2$  esterno a tutte.

2. — Ciò premesso, si consideri una funzione  $u$  dei punti dello spazio finito  $S$ , racchiuso da ciascuna delle superficie dell'insieme  $\sigma + \sigma'$ , finita e continua insieme alle derivate dei due primi ordini, i punti di  $\sigma + \sigma'$  al più esclusi per le derivate seconde, e tale che nei punti di  $\sigma$  coincida con la funzione  $h$ .

Questo è possibile in infiniti modi; e, come è noto, si ha nel punto  $P_1$ :

$$u = -\frac{1}{4\pi} \int_S \frac{\Delta^2 u}{r} dS + \frac{1}{4\pi} \int_{\sigma + \sigma'} \left( u \frac{\partial \frac{1}{r}}{\partial n} - \frac{\partial u}{\partial n} \frac{1}{r} \right) d\sigma,$$

nel punto  $P_2$ :

$$0 = -\frac{1}{4\pi} \int_S \frac{\Delta^2 u}{r} dS + \frac{1}{4\pi} \int_{\sigma + \sigma'} \left( u \frac{\partial \frac{1}{r}}{\partial n} - \frac{\partial u}{\partial n} \frac{1}{r} \right) d\sigma;$$

e quindi nel punto  $P_1$ :

$$(2) \quad \int_{\sigma} h \frac{\partial \frac{1}{r}}{\partial n} d\sigma = 4\pi u + \int_S \frac{\Delta^2 u}{r} dS + \int_{\sigma + \sigma'} \frac{\partial u}{\partial n} \frac{1}{r} d\sigma - \int_{\sigma'} u \frac{\partial \frac{1}{r}}{\partial n} d\sigma',$$



nel punto  $P_2$ :

$$(3) \quad \int_{\sigma} h \frac{\partial \frac{1}{r}}{\partial n} d\sigma = \int_S \frac{\Delta^2 u}{r} dS + \int_{\sigma+\sigma'} \frac{\partial u}{\partial n} \frac{1}{r} d\sigma - \int_{\sigma'} u \frac{\partial \frac{1}{r}}{\partial n} d\sigma'.$$

3. — Indichiamo con  $n_1$  la normale a  $\sigma$  che passa per  $P_1$ , con  $n_2$  quella che passa per  $P_2$ , e deriviamo nelle direzioni positive di queste normali. Risulta dalle (2), (3):

$$(4) \quad \frac{\partial}{\partial n_1} \int_{\sigma} h \frac{\partial \frac{1}{r}}{\partial n} d\sigma = 4\pi \frac{\partial u}{\partial n_1} + \int_S \Delta^2 u \frac{\partial \frac{1}{r}}{\partial n_1} dS + \\ + \int_{\sigma+\sigma'} \frac{\partial u}{\partial n} \frac{\partial \frac{1}{r}}{\partial n_1} d\sigma - \int_{\sigma'} u \frac{\partial^2 \frac{1}{r}}{\partial n_1 \partial n} d\sigma',$$

$$(5) \quad \frac{\partial}{\partial n_2} \int_{\sigma} h \frac{\partial \frac{1}{r}}{\partial n} d\sigma = \int_S \Delta^2 u \frac{\partial \frac{1}{r}}{\partial n_2} dS + \\ + \int_{\sigma+\sigma'} \frac{\partial u}{\partial n} \frac{\partial \frac{1}{r}}{\partial n_2} d\sigma - \int_{\sigma'} u \frac{\partial^2 \frac{1}{r}}{\partial n_2 \partial n} d\sigma'.$$

Ora si ha, indicando con  $r_0$  i vettori che partono dal punto  $P_0$ ,

$$\lim_{P_1 P_0=0} \int_S \Delta^2 u \frac{\partial \frac{1}{r}}{\partial n_1} dS = \lim_{P_2 P_0=0} \int_S \Delta^2 u \frac{\partial \frac{1}{r}}{\partial n_2} dS = \int_S \Delta^2 u \frac{\partial \frac{1}{r_0}}{\partial n_0} dS,$$

$$\lim_{P_1 P_0=0} \int_{\sigma'} u \frac{\partial^2 \frac{1}{r}}{\partial n_1 \partial n} d\sigma' = \lim_{P_2 P_0=0} \int_{\sigma'} u \frac{\partial^2 \frac{1}{r}}{\partial n_2 \partial n} d\sigma' = \int_{\sigma'} u \frac{\partial^2 \frac{1}{r_0}}{\partial n_0 \partial n} d\sigma';$$

e, posto:

$$\lim_{P_1 P_0=0} \frac{\partial u}{\partial n_1} = \frac{\partial u}{\partial n_0}$$

ed avuto riguardo alla continuità di  $\frac{\partial u}{\partial n}$  nei punti di  $\sigma$ , si ha ancora (\*):

---

(\*) Cfr. l'Art. II.



$$\lim_{P_1 P_0=0} \int_{\sigma+\sigma'} \frac{\partial u}{\partial n} \frac{\partial \frac{1}{r}}{\partial n_1} d\sigma = \int_{\sigma+\sigma'} \frac{\partial u}{\partial n} \left( \frac{\partial \frac{1}{r_0}}{\partial n_0} + \frac{\partial \frac{1}{r_0}}{\partial n} \right) d\sigma - \int_{\sigma+\sigma'} \left( \frac{\partial u}{\partial n} - \frac{\partial u}{\partial n_0} \right) \frac{\partial \frac{1}{r_0}}{\partial n} d\sigma -$$

$$- 4\pi \frac{\partial u}{\partial n_0},$$

$$\lim_{P_2 P_0=0} \int_{\sigma+\sigma'} \frac{\partial u}{\partial n} \frac{\partial \frac{1}{r}}{\partial n_2} d\sigma = \int_{\sigma+\sigma'} \frac{\partial u}{\partial n} \left( \frac{\partial \frac{1}{r_0}}{\partial n_0} + \frac{\partial \frac{1}{r_0}}{\partial n} \right) d\sigma - \int_{\sigma+\sigma'} \left( \frac{\partial u}{\partial n} - \frac{\partial u}{\partial n_0} \right) \frac{\partial \frac{1}{r_0}}{\partial n} d\sigma.$$

Facendo uso di queste formole, le (4), (5) ci dànno:

$$(4') \quad \lim_{P_2 P_0=0} \frac{\partial}{\partial n_1} \int_{\sigma} h \frac{\partial \frac{1}{r}}{\partial n} d\sigma = \int_S \Delta^2 u \frac{\partial \frac{1}{r_0}}{\partial n_0} dS + \int_{\sigma+\sigma'} \frac{\partial u}{\partial n} \left( \frac{\partial \frac{1}{r_0}}{\partial n_0} + \frac{\partial \frac{1}{r_0}}{\partial n} \right) d\sigma -$$

$$- \int_{\sigma+\sigma'} \left( \frac{\partial u}{\partial n} - \frac{\partial u}{\partial n_0} \right) \frac{\partial \frac{1}{r_0}}{\partial n} d\sigma - \int_{\sigma'} u \frac{\partial^2 \frac{1}{r_0}}{\partial n_0 \partial n} d\sigma',$$

$$(5') \quad \lim_{P_2 P_0=0} \frac{\partial}{\partial n_2} \int_{\sigma} h \frac{\partial \frac{1}{r}}{\partial n} d\sigma = \int_S \Delta^2 u \frac{\partial \frac{1}{r_0}}{\partial n_0} dS + \int_{\sigma+\sigma'} \frac{\partial u}{\partial n} \left( \frac{\partial \frac{1}{r_0}}{\partial n_0} + \frac{\partial \frac{1}{r_0}}{\partial n} \right) d\sigma -$$

$$- \int_{\sigma+\sigma'} \left( \frac{\partial u}{\partial n} - \frac{\partial u}{\partial n_0} \right) \frac{\partial \frac{1}{r_0}}{\partial n} d\sigma - \int_{\sigma'} u \frac{\partial^2 \frac{1}{r_0}}{\partial n_0 \partial n} d\sigma'.$$

Adunque le derivate normali dell'integrale (1) hanno un limite determinato e finito, quando col punto  $P$ , discosto da  $\sigma$ , ci si avvicina indefinitamente al punto  $P_0$  di  $\sigma$  in una direzione qualsiasi; e i limiti che si trovano avvicinandosi dalle due parti di  $\sigma$  sono uguali.



*Un teorema di reciprocità sulle funzioni di Green  
d'ordine qualunque.*

Nota del Dott. TOMMASO BOGGIO.

1. — Nella teoria delle funzioni armoniche si dimostra che se si sa determinare la funzione di Green per il campo  $S$  limitato da una superficie chiusa  $\sigma$ , e avente per polo un punto qualunque di  $S$ , si saprà pure risolvere il problema di Dirichlet per il campo  $S$ ; e viceversa.

Del pari è noto dalla teoria delle funzioni bi-armoniche che se si sa determinare la funzione  $G$ , bi-armonica in  $S$ , che su  $\sigma$  vale  $r$  e la cui derivata normale vale  $\frac{\partial r}{\partial n}$  (ove  $r$  è la distanza di un punto fisso arbitrario di  $S$  ad un punto mobile), si saprà pure risolvere il problema di costruire la funzione bi-armonica in  $S$  e che su  $\sigma$  assume colla sua derivata normale valori dati comunque; e viceversa.

Questa funzione  $G$  è stata chiamata dal Venske <sup>(1)</sup> la *seconda funzione di Green*. Essa è stata determinata dal prof. Lauricella nel caso del campo piano indefinito limitato da una retta <sup>(2)</sup>, e nel caso di un campo circolare <sup>(3)</sup>. È poi anche stata determinata dal prof. D'Arcais per il campo piano limitato da due circonferenze concentriche <sup>(4)</sup>.

---

<sup>(1)</sup> VENSKE, *Zur Integration der Gleichung  $\Delta\Delta u = 0$ , ecc.* (" Nachrichten di Gottinga „, a. 1891).

<sup>(2)</sup> LAURICELLA, *Sull'equazione delle vibrazioni delle placche elastiche incastrate* (" Memorie della R. Accademia delle Scienze di Torino „, Serie II, tomo XLVI, a. 1896).

<sup>(3)</sup> LAURICELLA, *Integrazione dell'equazione  $\Delta^2(\Delta^2 u) = 0$  in un campo di forma circolare* (" Atti della R. Accad. delle Scienze di Torino „, Vol. XXXI, a. 1896).

<sup>(4)</sup> D'ARCAIS, *La seconda funzione di Green pel campo piano limitato da due circonferenze concentriche* (" Atti del R. Istituto Veneto di scienze, lettere ed arti „, Serie VII, tomo IX, a. 1898).



Analogamente, si può dimostrare che se si sa determinare la funzione  $G$ ,  $m$ -armonica in  $S$ , e che inoltre su  $\sigma$  soddisfa alle condizioni:

$$(1) \quad \frac{\partial^i G}{\partial n^i} = \frac{\partial^i r^{2m-3}}{\partial n^i}, \quad (i = 0, 1, 2, \dots, m-1),$$

ove  $n$  indica la normale interna ed  $r$  è la distanza del punto fisso (o polo)  $P' (x', y', z')$  di  $S$  al punto mobile  $P (x, y, z)$ , si saprà pure risolvere il problema di costruire la funzione  $m$ -armonica in  $S$  e che sul contorno  $\sigma$  assume colle sue derivate normali successive degli ordini  $1, 2, \dots, m-1$ , valori assegnati ad arbitrio; e reciprocamente.

Questa funzione  $G$  la chiameremo *funzione di Green d'ordine  $m$  e di 1<sup>a</sup> specie*.

Per la funzione di Green relativa alle funzioni armoniche Riemann ha dimostrato <sup>(1)</sup> un teorema di reciprocità che era già stato enunciato da Green. Un'altra dimostrazione del medesimo teorema è dovuta a Neumann <sup>(2)</sup>.

In questa Nota stabilirò il teorema analogo per la funzione di Green d'ordine  $m$  e di 1<sup>a</sup> specie.

## 2. — Converrà perciò trasformare le condizioni (1).

Osserviamo che se una funzione  $U$  è nulla, colla sua derivata normale, sul contorno  $\sigma$ , che supponiamo regolare, e se inoltre su  $\sigma$  è verificata una delle due condizioni:

$$\frac{\partial^2 U}{\partial n^2} = 0, \quad \Delta^2 U = 0,$$

allora sarà verificata anche l'altra.

La cosa si vede facilmente passando dalle coordinate  $x, y, z$  ad un nuovo sistema di coordinate curvilinee  $\lambda_1, \lambda_2, \lambda_3$ , in modo che nelle vicinanze di un punto  $A$  di  $\sigma$ , la superficie  $\lambda_3 = 0$  coincida con  $\sigma$ , e le linee  $\lambda_1 = \text{cost.}$ ,  $\lambda_2 = \text{cost.}$  coincidano, nelle vici-

<sup>(1)</sup> RIEMANN, *Schwere, Elektrizität und Magnetismus*, bearbeitet von Karl Hattendorff.

<sup>(2)</sup> NEUMANN, *Ueber die Integration der partiellen Differentialgleichung*  
 $\frac{\partial^2 \Phi}{\partial x^2} + \frac{\partial^2 \Phi}{\partial y^2} = 0$  ("Crelle's Journal", vol. 59, anno 1861).



nanze di  $\sigma$ , colle normali a  $\sigma$ . In tal caso  $\frac{\partial^2 U}{\partial n^2}$ , e  $\Delta^2 U$  differiscono per un fattore e quindi si annullano insieme.

Ne segue senz'altro che se due funzioni  $U$ ,  $V$  assumono su  $\sigma$ , colle loro derivate normali prime, gli stessi valori, e se inoltre su  $\sigma$  è verificata una delle due condizioni:

$$\frac{\partial^2 U}{\partial n^2} = \frac{\partial^2 V}{\partial n^2}, \quad \Delta^2 U = \Delta^2 V,$$

sarà di conseguenza verificata anche l'altra.

In generale, si può dimostrare che se due funzioni  $U$ ,  $V$  assumono su  $\sigma$  colle loro derivate normali successive degli ordini  $1, 2, \dots, s$ , gli stessi valori, saranno pure soddisfatte, al contorno, le equazioni seguenti, se  $s$  è dispari,

$$\left\{ \begin{array}{l} \Delta^{2i} U = \Delta^{2i} V \\ \frac{\partial \Delta^{2i} U}{\partial n} = \frac{\partial \Delta^{2i} V}{\partial n} \end{array} \right. \quad \left( i = 1, 2, \dots, \frac{s-1}{2} \right),$$

ovvero queste altre, se  $s$  è pari,

$$\left\{ \begin{array}{l} \Delta^{2i} U = \Delta^{2i} V \\ \frac{\partial \Delta^{2i} U}{\partial n} = \frac{\partial \Delta^{2i} V}{\partial n} \\ \Delta^s U = \Delta^s V \end{array} \right. \quad \left( i = 1, 2, \dots, \frac{s-2}{2} \right);$$

e viceversa.

Così si vede che, al contorno, in luogo della  $\frac{\partial^2}{\partial n^2}$  si può introdurre il  $\Delta^2$ , e viceversa; la  $\frac{\partial^3}{\partial n^3}$  si può sostituire colla  $\frac{\partial \Delta^2}{\partial n}$ , e viceversa; invece della  $\frac{\partial^4}{\partial n^4}$  si può porre il  $\Delta^2 \Delta^2$  che abbreviamo in  $\Delta^4$ , e viceversa; la  $\frac{\partial^5}{\partial n^5}$  si può sostituire colla  $\frac{\partial \Delta^4}{\partial n}$ , e così via.

Se ne conclude che alle condizioni (1) potremo sostituire le seguenti, se  $m$  è pari,

$$(1') \left\{ \begin{array}{l} \Delta^{2i-2} G = \Delta^{2i-2} r^{2m-3} \\ \frac{\partial \Delta^{2i-2} G}{\partial n} = \frac{\partial \Delta^{2i-2} r^{2m-3}}{\partial n} \end{array} \right. \quad \left( i = 1, 2, \dots, \frac{m}{2} \right),$$



oppure le seguenti, se  $m$  è dispari,

$$(1'') \left\{ \begin{array}{l} \Delta^{2i-2} G = \Delta^{2i-2} r^{2m-3} \\ \frac{\partial \Delta^{2i-2} G}{\partial n} = \frac{\partial \Delta^{2i-2} r^{2m-3}}{\partial n} \\ \Delta^{m-1} G = \Delta^{m-1} r^{2m-3}, \end{array} \right. \quad \left( i = 1, 2, \dots, \frac{m-1}{2} \right),$$

e la funzione  $G$ ,  $m$ -armonica in  $S$ , che su  $\sigma$  soddisfa a queste condizioni è perciò la medesima di quella che è stata definita prima mediante le (1).

**3.** — Tale funzione  $G$  dipende dalle coordinate  $x, y, z$  di  $P$  e dalle coordinate  $x', y', z'$  del polo  $P'$  e la si può rappresentare con  $G(x, y, z; x', y', z')$  od anche, più semplicemente, con  $G(P, P')$ .

In ciò che segue, supporremo anzitutto per fissare le idee,  $m$  pari ed il volume  $S$  finito.

Consideriamo due punti  $P_0(x_0, y_0, z_0)$ ,  $P_1(x_1, y_1, z_1)$  di  $S$ ; siano  $G(P_0, P_1)$  il valore in  $P_0$  della funzione di Green d'ordine  $m$  e di 1<sup>a</sup> specie avente per polo  $P_1$ , ed  $G(P_1, P_0)$  il valore in  $P_1$  della funzione di Green d'ordine  $m$  e di 1<sup>a</sup> specie il cui polo è  $P_0$ ; dico che si ha l'identità:

$$G(P_0, P_1) = G(P_1, P_0);$$

cioè:

*La funzione  $G$  è simmetrica rispetto alle due terne di variabili che vi compariscono.*

Sia  $P(x, y, z)$  un terzo punto di  $S$ ; poniamo:

$$\left\{ \begin{array}{l} G_0(P) = G(P, P_0) \\ G_1(P) = G(P, P_1); \end{array} \right.$$

è chiaro che basterà mostrare che:

$$G_0(P_1) = G_1(P_0).$$

La dimostrazione è fondata sulle due formole seguenti <sup>(1)</sup>:

<sup>(1)</sup> Queste formole, insieme con altre proprietà, dimostrerò in una Nota susseguente.



$$(2) \quad \int_S (U \Delta^{2m} V - V \Delta^{2m} U) dS + \\ + \sum_{i=1}^{i=m} \int_{\sigma} \left( \Delta^{2i-2} U \frac{\partial \Delta^{2m-2i} V}{\partial n} - \Delta^{2m-2i} V \frac{\partial \Delta^{2i-2} U}{\partial n} \right) d\sigma = 0,$$

$$(3) \quad k U(M) = \sum_{i=1}^{i=\frac{m}{2}} \int_{\sigma} \left[ \Delta^{2i-2} U \left( \frac{\partial \Delta^{2m-2i} r^{2m-3}}{\partial n} - \frac{\partial \Delta^{2m-2i} G}{\partial n} \right) - \right. \\ \left. - (\Delta^{2m-2i} r^{2m-3} - \Delta^{2m-2i} G) \frac{\partial \Delta^{2i-2} U}{\partial n} \right] d\sigma - \int_S r^{2m-3} \Delta^{2m} U dS,$$

ove, per brevità, si è posto  $k = 4\pi(2m-2)!$ , ed  $r$  indica la distanza del punto  $M$  di  $S$  ad un punto variabile  $(x, y, z)$ ,  $U, V$  sono funzioni regolari in  $S$ ,  $G$  è la funzione di Green d'ordine  $m$  e di 1<sup>a</sup> specie che ha per polo il punto  $M$ , ed  $U(M)$  indica il valore della funzione  $U$  nel punto  $M$ .

Ciò posto siano  $r_0, r_1$  le distanze di  $P_0, P_1$  da  $P$ ; la (3) porge:

$$\left\{ \begin{aligned} k G_0(P_1) &= \sum_{i=1}^{i=\frac{m}{2}} \int_{\sigma} \left[ \Delta^{2i-2} G_0 \left( \frac{\partial \Delta^{2m-2i} r_1^{2m-3}}{\partial n} - \frac{\partial \Delta^{2m-2i} G_1}{\partial n} \right) - \right. \\ &\quad \left. - (\Delta^{2m-2i} r_1^{2m-3} - \Delta^{2m-2i} G_1) \frac{\partial \Delta^{2i-2} G_0}{\partial n} \right] d\sigma, \\ k G_1(P_0) &= \sum_{i=1}^{i=\frac{m}{2}} \int_{\sigma} \left[ \Delta^{2i-2} G_1 \left( \frac{\partial \Delta^{2m-2i} r_0^{2m-3}}{\partial n} - \frac{\partial \Delta^{2m-2i} G_0}{\partial n} \right) - \right. \\ &\quad \left. - (\Delta^{2m-2i} r_0^{2m-3} - \Delta^{2m-2i} G_0) \frac{\partial \Delta^{2i-2} G_1}{\partial n} \right] d\sigma; \end{aligned} \right.$$

sottraendo membro a membro si deduce:

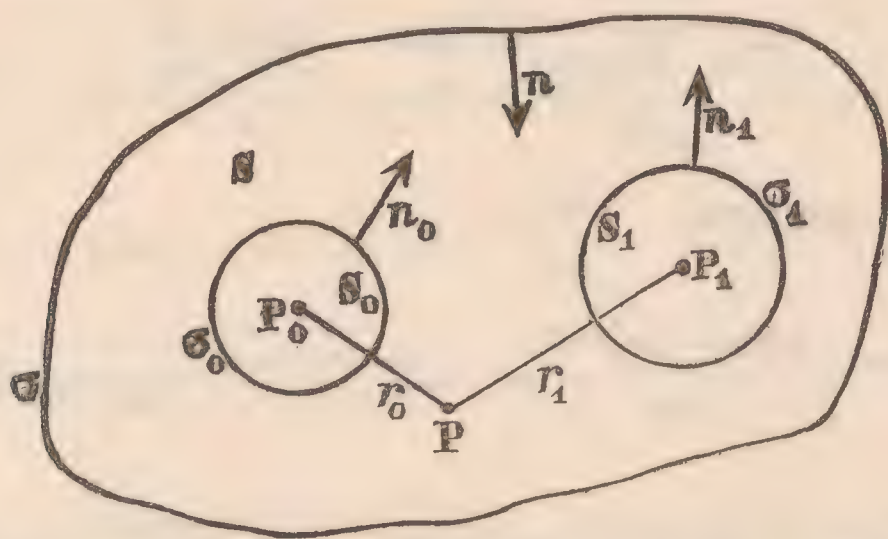
$$k[G_1(P_0) - G_0(P_1)] = \\ = \sum_{i=1}^{i=m} \int_{\sigma} \left( \Delta^{2i-2} G_0 \frac{\partial \Delta^{2m-2i} G_1}{\partial n} - \Delta^{2m-2i} G_1 \frac{\partial \Delta^{2i-2} G_0}{\partial n} \right) d\sigma - \\ - \sum_{i=1}^{i=\frac{m}{2}} \int_{\sigma} \left( \Delta^{2i-2} G_0 \frac{\partial \Delta^{2m-2i} r_1^{2m-3}}{\partial n} - \Delta^{2m-2i} r_1^{2m-3} \frac{\partial \Delta^{2i-2} G_0}{\partial n} \right) d\sigma + \\ + \sum_{i=1}^{i=\frac{m}{2}} \int_{\sigma} \left( \Delta^{2i-2} G_1 \frac{\partial \Delta^{2m-2i} r_0^{2m-3}}{\partial n} - \Delta^{2m-2i} r_0^{2m-3} \frac{\partial \Delta^{2i-2} G_1}{\partial n} \right) d\sigma.$$



La prima  $\Sigma$  del 2° membro è nulla in virtù della (2); ricordando le (1') si può ancora scrivere:

$$(4) \quad k[G_1(P_0) - G_0(P_1)] = \\ = \sum_{i=1}^{i=m} \int_{\sigma} \left( \Delta^{2i-2} r_1^{2m-3} \frac{\partial \Delta^{2m-2i} r_0^{2m-3}}{\partial n} - \Delta^{2m-2i} r_0^{2m-3} \frac{\partial \Delta^{2i-2} r_1^{2m-3}}{\partial n} \right) d\sigma.$$

4. — Calcoliamo ora il 2° membro; perciò descriviamo due sfere  $S_0, S_1$ , rispettivamente di centri  $P_0, P_1$ , di contorni  $\sigma_0, \sigma_1$  e di raggi  $R_0, R_1$  che si suppongono piccoli in modo che le due sfere siano esterne l'una all'altra, ed ambedue in  $S$ .



La formola (2) applicata alle funzioni  $r_0^{2m-3}, r_1^{2m-3}$  che sono  $m$ -armoniche nello spazio  $S - S_0 - S_1$ , il quale ha per contorno  $\sigma + \sigma_0 + \sigma_1$ , dà:

$$\sum_{i=1}^{i=m} \int_{\sigma + \sigma_0 + \sigma_1} \left( \Delta^{2i-2} r_1^{2m-3} \frac{\partial \Delta^{2m-2i} r_0^{2m-3}}{\partial n} - \Delta^{2m-2i} r_0^{2m-3} \frac{\partial \Delta^{2i-2} r_1^{2m-3}}{\partial n} \right) d\sigma = 0,$$

od ancora:

$$(5) \quad \sum_{i=1}^{i=m} \int_{\sigma} \left( \Delta^{2i-2} r_1^{2m-3} \frac{\partial \Delta^{2m-2i} r_0^{2m-3}}{\partial n} - \Delta^{2m-2i} r_0^{2m-3} \frac{\partial \Delta^{2i-2} r_1^{2m-3}}{\partial n} \right) d\sigma + \\ + \sum_{i=1}^{i=m} \int_{\sigma_0} \left( \Delta^{2i-2} r_1^{2m-3} \frac{\partial \Delta^{2m-2i} r_0^{2m-3}}{\partial n_0} - \Delta^{2m-2i} r_0^{2m-3} \frac{\partial \Delta^{2i-2} r_1^{2m-3}}{\partial n_0} \right) d\sigma_0 + \\ + \sum_{i=1}^{i=m} \int_{\sigma_1} \left( \Delta^{2i-2} r_1^{2m-3} \frac{\partial \Delta^{2m-2i} r_0^{2m-3}}{\partial n_1} - \Delta^{2m-2i} r_0^{2m-3} \frac{\partial \Delta^{2i-2} r_1^{2m-3}}{\partial n_1} \right) d\sigma_1 = 0,$$

ove  $n_0, n_1$  sono le normali esterne a  $\sigma_0, \sigma_1$ .



Occupiamoci anzitutto della seconda  $\Sigma$ ; si ha evidentemente:

$$\begin{aligned} & \sum_{i=1}^{i=m} \int_{\sigma_0} \left( \Delta^{2i-2} r_1^{2m-3} \frac{\partial \Delta^{2m-2i} r_0^{2m-3}}{\partial n_0} - \Delta^{2m-2i} r_0^{2m-3} \frac{\partial \Delta^{2i-2} r_1^{2m-3}}{\partial n_0} \right) d\sigma_0 = \\ & = \int_{\sigma_0} \left( r_1^{2m-3} \frac{\partial \Delta^{2m-2} r_0^{2m-3}}{\partial n_0} - \Delta^{2m-2} r_0^{2m-3} \frac{\partial r_1^{2m-3}}{\partial n_0} \right) d\sigma_0 + \\ & + \sum_{i=2}^{i=m} \int_{\sigma_0} \left( \Delta^{2i-2} r_1^{2m-3} \frac{\partial \Delta^{2m-2i} r_0^{2m-3}}{\partial n_0} - \Delta^{2m-2i} r_0^{2m-3} \frac{\partial \Delta^{2i-2} r_1^{2m-3}}{\partial n_0} \right) d\sigma_0; \end{aligned}$$

ma

$$\Delta^{2m-2} r_0^{2m-3} = (2m-2)! \cdot \frac{1}{r_0},$$

perciò si avrà ancora:

$$\begin{aligned} & \int_{\sigma_0} \left( r_1^{2m-3} \frac{\partial \Delta^{2m-2} r_0^{2m-3}}{\partial n_0} - \Delta^{2m-2} r_0^{2m-3} \frac{\partial r_1^{2m-3}}{\partial n_0} \right) d\sigma_0 = \\ & = (2m-2)! \int_{\sigma_0} \left( r_1^{2m-3} \frac{\partial \frac{1}{r_0}}{\partial n_0} - \frac{1}{r_0} \frac{\partial r_1^{2m-3}}{\partial n_0} \right) d\sigma_0 = \\ & = (2m-2)! \int_{\sigma_0} \left( -r_1^{2m-3} \frac{1}{R_0^2} - \frac{1}{R_0} \frac{\partial r_1^{2m-3}}{\partial n_0} \right) R_0^2 \sin \theta d\theta d\varphi. \end{aligned}$$

Poniamo ora:

$$r_1^{2m-3} = \overline{P_0 P_1}^{2m-3} + r_1'^{2m-3};$$

è facile ottenere:

$$\begin{aligned} & \int_{\sigma_0} \left( r_1^{2m-3} \frac{\partial \Delta^{2m-2} r_0^{2m-3}}{\partial n_0} - \Delta^{2m-2} r_0^{2m-3} \frac{\partial r_1^{2m-3}}{\partial n_0} \right) d\sigma_0 = \\ & = (2m-2)! \int_{\sigma_0} \left[ -(\overline{P_0 P_1}^{2m-3} + r_1'^{2m-3}) - R_0 \frac{\partial r_1^{2m-3}}{\partial n_0} \right] \sin \theta d\theta d\varphi = \\ & = -k \overline{P_0 P_1}^{2m-3} - (2m-2)! \int_{\sigma_0} \left( r_1'^{2m-3} + R_0 \frac{\partial r_1^{2m-3}}{\partial n_0} \right) \sin \theta d\theta d\varphi. \end{aligned}$$

Analogamente la terza  $\Sigma$  della (5) porge:



$$\begin{aligned}
& \sum_{i=1}^{i=m} \int_{\sigma_1} \left( \Delta^{2i-2} r_1^{2m-3} \frac{\partial \Delta^{2m-2i} r_0^{2m-3}}{\partial n_1} - \Delta^{2m-2i} r_0^{2m-3} \frac{\partial \Delta^{2i-2} r_1^{2m-3}}{\partial n_1} \right) d\sigma_1 = \\
& = \sum_{i=1}^{i=m-1} \int_{\sigma_1} \left( \Delta^{2i-2} r_1^{2m-3} \frac{\partial \Delta^{2m-2i} r_0^{2m-3}}{\partial n_1} - \Delta^{2m-2i} r_0^{2m-3} \frac{\partial \Delta^{2i-2} r_1^{2m-3}}{\partial n_1} \right) d\sigma_1 + \\
& \quad + \int_{\sigma_1} \left( \Delta^{2m-2} r_1^{2m-3} \frac{\partial r_0^{2m-3}}{\partial n_1} - r_0^{2m-3} \frac{\partial \Delta^{2m-2} r_1^{2m-3}}{\partial n_1} \right) d\sigma_1;
\end{aligned}$$

e ponendo:

$$r_0^{2m-3} = \overline{P_0 P_1}^{2m-3} + r_0'^{2m-3},$$

si ricava:

$$\begin{aligned}
& \int_{\sigma_1} \left( \Delta^{2m-2} r_1^{2m-3} \frac{\partial r_0^{2m-3}}{\partial n_1} - r_0^{2m-3} \frac{\partial \Delta^{2m-2} r_1^{2m-3}}{\partial n_1} \right) d\sigma_1 = \\
& = k \overline{P_0 P_1}^{2m-3} + (2m-2)! \int_{\sigma_1} \left( R_1 \frac{\partial r_0^{2m-3}}{\partial n_1} + r_0'^{2m-3} \right) \sin \theta' d\theta' d\varphi'.
\end{aligned}$$

Sostituendo nella (5) si ottiene:

$$\begin{aligned}
& \sum_{i=1}^{i=m} \int_{\sigma} \left( \Delta^{2i-2} r_1^{2m-3} \frac{\partial \Delta^{2m-2i} r_0^{2m-3}}{\partial n} - \Delta^{2m-2i} r_0^{2m-3} \frac{\partial \Delta^{2i-2} r_1^{2m-3}}{\partial n} \right) d\sigma + \\
& + \sum_{i=2}^{i=m} \int_{\sigma_0} \left( \Delta^{2i-2} r_1^{2m-3} \frac{\partial \Delta^{2m-2i} r_0^{2m-3}}{\partial n_0} - \Delta^{2m-2i} r_0^{2m-3} \frac{\partial \Delta^{2i-2} r_1^{2m-3}}{\partial n_0} \right) d\sigma_0 + \\
& + \sum_{i=1}^{i=m-1} \int_{\sigma_1} \left( \Delta^{2i-2} r_1^{2m-3} \frac{\partial \Delta^{2m-2i} r_0^{2m-3}}{\partial n_1} - \Delta^{2m-2i} r_0^{2m-3} \frac{\partial \Delta^{2i-2} r_1^{2m-3}}{\partial n_1} \right) d\sigma_1 - \\
& - (2m-2)! \int_{\sigma_0} \left( r_1'^{2m-3} + R_0 \frac{\partial r_1^{2m-3}}{\partial n_0} \right) \sin \theta d\theta d\varphi + \\
& + (2m-2)! \int_{\sigma_1} \left( R_1 \frac{\partial r_0^{2m-3}}{\partial n_1} + r_0'^{2m-3} \right) \sin \theta' d\theta' d\varphi' = 0.
\end{aligned}$$

Questa formola vale comunque siano piccoli i raggi  $R_0, R_1$ ; facciamoli tendere a 0, e osserviamo che in tal caso la seconda e la terza  $\Sigma$  del 1° membro della formola precedente tendono a 0, e che pure tenderanno a 0 gli integrali:

$$\int_{\sigma_0} \left( r_1'^{2m-3} + R_0 \frac{\partial r_1^{2m-3}}{\partial n_0} \right) \sin \theta d\theta d\varphi, \quad \int_{\sigma_1} \left( R_1 \frac{\partial r_0^{2m-3}}{\partial n_1} + r_0'^{2m-3} \right) \sin \theta' d\theta' d\varphi',$$



e allora si avrà:

$$(4') \sum_{i=1}^{i=m} \int_{\sigma} \left( \Delta^{2i-2} r_1^{2m-3} \frac{\partial \Delta^{2m-2i} r_0^{2m-3}}{\partial n} - \Delta^{2m-2i} r_0^{2m-3} \frac{\partial \Delta^{2i-2} r_1^{2m-3}}{\partial n} \right) d\sigma = 0.$$

La (4) porge in conseguenza:

$$G_1(P_0) = G_0(P_1),$$

come volevasi dimostrare.

5. — Finora si suppose  $m$  pari; supponiamo ora  $m$  dispari.

Invece delle (1'), al contorno, dovranno essere soddisfatte le (1''); la (2) sussiste inalterata; in luogo della (3) si ha ora la seguente:

$$\begin{aligned} kU(M) = & \sum_{i=1}^{i=\frac{m-1}{2}} \int_{\sigma} \left[ \Delta^{2i-2} U \left( \frac{\partial \Delta^{2m-2i} r^{2m-3}}{\partial n} - \frac{\partial \Delta^{2m-2i} G}{\partial n} \right) - \right. \\ & \left. - (\Delta^{2m-2i} r^{2m-3} - \Delta^{2m-2i} G) \frac{\partial \Delta^{2i-2} U}{\partial n} \right] d\sigma + \\ & + \int_{\sigma} \Delta^{m-1} U \left( \frac{\partial \Delta^{m-1} r^{2m-3}}{\partial n} - \frac{\partial \Delta^{m-1} G}{\partial n} \right) d\sigma - \int_S r^{2m-3} \Delta^{2m} U dS. \end{aligned}$$

Ragionando quindi come nel caso precedente si giunge alla (4), la quale perciò non subisce mutamenti di sorta. Ne segue che la (4') è ancora valida, e la (4) porge quindi:

$$G_1(P_0) = G_0(P_1);$$

vale a dire il teorema di reciprocità sussiste anche in questo caso; perciò vale qualunque sia l'ordine della funzione di Green che si considera.

6. — Al contorno, invece delle (1') si possono porre altre condizioni per la funzione  $G$ , ad es. invece dell'equazione:

$$\frac{\partial \Delta^{m-2} G}{\partial n} = \frac{\partial \Delta^{m-2} r^{2m-3}}{\partial n}$$



che si ottiene ponendo nella seconda delle (1')  $i=\frac{m}{2}$ , si può porre l'equazione:

$$\Delta^m G = \Delta^m r^{2m-3}$$

oppure l'altra:

$$\frac{\partial \Delta^m G}{\partial n} = \frac{\partial \Delta^m r^{2m-3}}{\partial n},$$

ecc. e così nascono nuove funzioni che diremo *funzioni di Green d'ordine m e di 2ª specie, di 3ª specie, ecc...*

Siano  $s_2, s_3, \dots, s_{m-1}, s_m$  dei numeri positivi (dei quali il primo soltanto può esser 0) e minori di  $m$ , disposti per ordine di grandezza crescente e tali inoltre che tre consecutivi non siano mai eguali. Consideriamo poi le quantità:

$$r^{2m-3}, \frac{\partial \Delta^{2s_2} r^{2m-3}}{\partial n}, \Delta^{2s_3} r^{2m-3}, \dots, \frac{\partial \Delta^{2s_{m-1}} r^{2m-3}}{\partial n}, \Delta^{2s_m} r^{2m-3};$$

in esse compaiono derivate della funzione  $r^{2m-3}$  rispettivamente degli ordini  $0, 2s_2 + 1, 2s_3, \dots, 2s_{m-1} + 1, 2s_m$ ; supporremo ancora che questi numeri siano tali che la somma di due qualunque di essi non sia mai uguale a  $2m - 1$ .

Se ora si considera la funzione di Green d'ordine  $m$  che su  $\sigma$  soddisfa alle condizioni:

$$G = r^{2m-3}$$
$$\frac{\partial \Delta^{2s_2} G}{\partial n} = \frac{\partial \Delta^{2s_2} r^{2m-3}}{\partial n}$$
$$\Delta^{2s_3} G = \Delta^{2s_3} r^{2m-3}$$
$$\dots$$
$$\dots$$
$$\dots$$
$$\frac{\partial \Delta^{2s_{m-1}} G}{\partial n} = \frac{\partial \Delta^{2s_{m-1}} r^{2m-3}}{\partial n}$$
$$\Delta^{2s_m} G = \Delta^{2s_m} r^{2m-3},$$

}

si può dimostrare che anche per essa sussiste il teorema di reciprocità; cioè questa funzione  $G$  è simmetrica rispetto alle coordinate del polo e alle coordinate del punto mobile.



7. — Il teorema dimostrato nei n. 3, 4 nel caso di funzioni di 3 variabili, si può estendere a funzioni di un numero qualunque  $n$  di variabili.

Bisogna però distinguere due casi:

1° Il numero  $n$  è dispari; oppure il numero  $n$  è pari, ma però l'ordine  $m$  della funzione poli-armonica è minore di  $\frac{n}{2}$ , cioè  $2m < n$ .

2° Il numero  $n$  è pari ed inoltre  $2m \geq n$ .

La distanza  $r$  del polo  $P'(x'_1, x'_2, \dots, x'_n)$  al punto mobile  $P(x_1, x_2, \dots, x_n)$  è in ogni caso data da

$$r = \sqrt{(x_1 - x'_1)^2 + \dots + (x_n - x'_n)^2}.$$

Ciò posto è facile vedere che nel 1° caso la funzione  $\frac{1}{r^{n-2}}$  è armonica; ne segue che la funzione  $r^{2m-2} \frac{1}{r^{2n-2}}$  cioè  $r^{2m-n}$  è  $m$ -armonica; per conseguenza invece delle (1') si dovranno porre le seguenti:

$$\begin{cases} \Delta^{2i-2} G = \Delta^{2i-2} r^{2m-n} & \left( i = 1, 2, \dots, \frac{m}{2} \right), \\ \frac{\partial \Delta^{2i-2} G}{\partial n} = \frac{\partial \Delta^{2i-2} r^{2m-n}}{\partial n}, \end{cases}$$

e analogamente per le (1'').

La (2) non muta forma; alla (3) si dovrà sostituire la seguente, se  $m$  è pari,

$$\begin{aligned} kU(M) = & \sum_{i=1}^{\frac{m}{2}} \int_{\sigma} \left[ \Delta^{2i-2} U \left( \frac{\partial \Delta^{2m-2i} r^{2m-n}}{\partial n} - \frac{\partial \Delta^{2m-2i} G}{\partial n} \right) - \right. \\ & \left. - (\Delta^{2m-2i} r^{2m-n} - \Delta^{2m-2i} G) \frac{\partial \Delta^{2i-2} U}{\partial n} \right] d\sigma - \int_S r^{2m-n} \Delta^{2m} U dS, \end{aligned}$$

ove  $k$  è un coefficiente numerico.

Ragionando come nel n. 3 si ottiene, invece della (4), la seguente:

$$\begin{aligned} & k [G_1(P_0) - G_0(P_1)] = \\ & = \sum_{i=1}^{\frac{m}{2}} \int_{\sigma} \left( \Delta^{2i-2} r_1^{2m-n} \frac{\partial \Delta^{2m-2i} r_0^{2m-n}}{\partial n} - \Delta^{2m-2i} r_0^{2m-n} \frac{\partial \Delta^{2i-2} r_1^{2m-n}}{\partial n} \right) d\sigma. \end{aligned}$$



Calcolando il 2° membro con un procedimento analogo a quello seguito nel n. 4 si trova che vale 0; onde  $G_1(P_0) = G_0(P_1)$ .

Nel 2° caso invece è facile verificare che la funzione  $r^{2m-n} \log r$  è  $m$ -armonica, perciò alle (1') si dovranno sostituire le seguenti:

$$\left\{ \begin{array}{l} \Delta^{2i-2} G = \Delta^{2i-2} r^{2m-n} \log r \\ \frac{\partial \Delta^{2i-2} G}{\partial n} = \frac{\partial \Delta^{2i-2} r^{2m-n} \log r}{\partial n} \end{array} \right. \quad \left( i = 1, 2, \dots, \frac{m}{2} \right),$$

e analogamente per le (1'').

Anche in questo caso la (2) non cambia di forma, invece della (3) si dovrà applicare la seguente, supposto  $m$  pari,

$$kU(M) = \sum_{i=1}^{\frac{m}{2}} \int_{\sigma} \left[ \Delta^{2i-2} U \left( \frac{\partial \Delta^{2m-2i} r^{2m-n} \log r}{\partial n} - \frac{\partial \Delta^{2m-2i} G}{\partial n} \right) - \right. \\ \left. - (\Delta^{2m-2i} r^{2m-n} \log r - \Delta^{2m-2i} G) \frac{\partial \Delta^{2i-2} U}{\partial n} \right] d\sigma - \int_S r^{2m-n} \log r \Delta^{2m} U dS,$$

in cui  $k$  è un coefficiente numerico.

Da queste formole si ottiene poi la seguente, analoga alla (3),

$$k[G_1(P_0) - G_0(P_1)] = \\ = \sum_{i=1}^{\frac{m}{2}} \int_{\sigma} \left( \Delta^{2i-2} r_1^{2m-n} \log r_1 \frac{\partial \Delta^{2m-2i} r_0^{2m-n} \log r_0}{\partial n} - \right. \\ \left. - \Delta^{2m-2i} r_0^{2m-n} \log r_0 \frac{\partial \Delta^{2i-2} r_1^{2m-n} \log r_1}{\partial n} \right) d\sigma,$$

dalla quale si deduce poi  $G_1(P_0) = G_0(P_1)$ .

Questi risultati valgono anche se  $m$  è dispari.

Si conclude perciò che il teorema di reciprocità sussiste per funzioni di quante si vogliano variabili.

*L'Accademico Segretario*

ANDREA NACCARI.







---

---

# CLASSE

DI

SCIENZE FISICHE, MATEMATICHE E NATURALI

---

**Adunanza del 25 Febbraio 1900.**

PRESIDENZA DEL SOCIO PROF. ALFONSO COSSA

VICE-PRESIDENTE DELL'ACCADEMIA

---

Sono presenti i Soci: BERRUTI, D'OVIDIO, MOSSO, CAMERANO, SEGRE, JADANZA, GUARESCHI, GUIDI, FILETI, PARONA e NACCARI Segretario.

Il Segretario legge l'atto verbale della precedente adunanza che viene approvato.

Il Presidente annunzia la morte del Socio nazionale Eugenio BELTRAMI, rammenta l'alto valore scientifico, la varia dottrina, le rare virtù dell'estinto, lasciando al Socio D'OVIDIO l'ufficio di tesserne con maggiori particolari l'elogio. Comunica che il Presidente dell'Accademia si fece rappresentare ai funerali e inviò condoglianze alla vedova.

Annunzia ancora con parole di vivo rimpianto la morte del Socio Gaudenzio CLARETTA, Direttore della Classe di scienze morali, storiche e filologiche avvenuta in Roma il 17 corrente.

Il Segretario comunica le lettere inviate dai professori SCHIFF, TARAMELLI, MOISSAN e BOULENGER, che ringraziano per la loro nomina a Soci corrispondenti.

Il Socio D'OVIDIO legge la commemorazione del Senatore BELTRAMI. Sarà inserita negli *Atti*.



Il Socio PARONA presenta per i volumi delle *Memorie* un suo scritto intitolato: *Sopra alcune Rudiste senoniane dell' Appennino meridionale*. Se ne approva la stampa con votazione segreta.

Vengono poscia accolti per la inserzione negli *Atti* gli scritti seguenti:

1° *Effemeridi del sole e della luna per l'orizzonte di Torino e per l'anno 1901*, calcolate dall'Ing. Luigi GABBA, presentate dal Socio JADANZA,

2° *Un parassita intranucleare nei reni del topo delle chiviche*, nota del Dott. Ermanno GIGLIO-Tos, presentata dal Socio CAMERANO,

3° *Sur un théorème de M<sup>r</sup> Volterra sur l'inversion des intégrales définies*, nota del sig. Erick HOLMGREN dell'Università di Upsala, inviata per la presentazione dal Socio VOLTERRA,

4° *Ricerche sperimentali sul coefficiente magnetometrico*, nota del prof. Ciro CHISTONI, presentata dal Socio NACCARI.

---



## LETTURE

---

### EUGENIO BELTRAMI

Commemorazione letta dal Socio ENRICO D'OVIDIO.

---

EUGENIO BELTRAMI, illustre socio nazionale non residente della nostra Accademia, professore di Fisica matematica e Meccanica superiore nell'Università romana, della quale era fulgido decoro, si è spento a 64 anni (1), dopo essersi assoggettato ad un'operazione chirurgica, che lasciava concepire le migliori speranze di aver vinto l'insidioso male che da alcuni anni a riprese lo travagliava. È duro rassegnarsi all'idea, che tanta luce d'ingegno, una così piena armonia di facoltà sposata a somma bontà e nobiltà di animo, non siano più che un ricordo, tanto più affliggente quanto più glorioso. Legato a lui da reverente amicizia trentenne, da profonda ammirazione per la sua cultura inesauribile e per le sue splendide ricerche in quasi tutti i rami della Matematica, memore delle prove che da lui mi ebbi di incoraggiante benevolenza, io mi sento doppiamente colpito; ma il mio si confonde col rimpianto dell'universale; poichè non vi era chi non estimasse altamente il BELTRAMI per i suoi lavori scientifici, chi non lo amasse per la sua spontanea cortesia, chi non lo trovasse ognora pronto a far del bene. Perciò la sua casa ospitale era desiderato ritrovo degli uomini di scienza; perciò le Università italiane si disputavano l'eminente professore, e Bologna (1862), Pisa, di nuovo Bologna, Roma, Pavia, e poi di nuovo Roma lo accolsero successivamente fra i loro insegnanti; e dappertutto risuonava la fama delle sue lezioni, incomparabili per dottrina, perspicuità ed eleganza da grande artista. Ed artista egli era nell'anima, e tale si palesava, facesse della Matematica o della Musica, o con sorridente arguzia, illuminata

---

(1) Nato in Cremona il 16 novembre 1835, morto in Roma il 18 febbraio 1900.



da singolare giovanilità di aspetto, conversasse. La sua era verace tempra d'ingegno italiano, limpido e profondo, versatile e concreto al tempo stesso. A lui pensando la mente ricorre ai nostri uomini maggiori, e in lui riconosce un degno continuatore di Lagrange.

Non mi si chieda che io entri in una, sia pur superficiale, disamina delle dotte pubblicazioni del BELTRAMI; le quali sommano a più che cento, dal 1862 in poi, e versano specialmente sulla Geometria analitica ed infinitesimale, sulla Meccanica razionale e sulla Fisica matematica: la strettezza del tempo e il turbamento dell'animo non mi consentono tanto, senza contare che di molte sarei incompetente a giudicare, e che del resto oggi non potrei neppure dar l'elenco esatto di tutte. Caratteri comuni a tutte erano la geniale originalità, la maturità e completezza, la forma elegantissima e l'accuratezza bibliografica, il veramente maestrevole uso dell'Analisi matematica; nulla di frammentario, di torbido, di effimero in tanta copia e varietà di scritture. Ricorderò soltanto di volo le seguenti:

*Ricerche di analisi applicata alla geometria; Risoluzione del problema di riportare i punti di una superficie sopra un piano in modo che le linee geodetiche vengano rappresentate da linee rette; Sulle superficie d'area minima; Delle variabili complesse sopra una superficie qualunque; Sulla teorica dei parametri differenziali; Saggio d'interpretazione della geometria non-euclidea; Teoria fondamentale degli spazî di curvatura costante; Sulle cubiche gobbe; Sulla equazione pentaedrale delle superficie di 3° ordine; Sui principî fondamentali dell'idrodinamica razionale; Formules fondamentales de cinématique dans les espaces de courbure constante; Sulla teoria matematica dei solenoidi elettrodinamici; Sulla teoria del potenziale (varî lavori); Sulle funzioni cilindriche; Sull'equazioni generali dell'elasticità; Sull'interpretazione delle formole di Maxwell; Un precursore italiano di Legendre e Lobatschewski; Sul principio di Huyghens; Sull'estensione del principio di d'Alembert all'elettrodinamica; Considerazioni sulla teoria matematica del magnetismo; Sulle funzioni complesse; ecc.*

Il BELTRAMI si volse ad uno studio più profondo delle matematiche dopo che, compiuto il corso liceale a Cremona e seguito per tre anni l'universitario a Pavia, aveva dovuto procu-



rarsi un impiego ed era già entrato nell'Amministrazione delle strade ferrate; in pochi anni, con molti egregi lavori, egli conquistò grande rinomanza in Italia e fuori, cosicchè di buon'ora i principali sodalizi scientifici italiani e poscia le Accademie di Gottinga, Berlino, Parigi, Bruxelles, Monaco lo ascrissero tra i loro soci. Visse tutto per la scienza, schivando i pubblici uffici, salvo quello di membro del Consiglio superiore della pubblica istruzione, e fu mestieri fargli dolce violenza per indurlo, or son due anni, ad accettare la presidenza dei Lincei, che egli ha tenuto con esemplare diligenza e correttezza, sì da rialzare le sorti dell'Accademia. Nel giugno 1898 egli lesse alla presenza dei nostri Sovrani, che assai lo pregiavano, una magnifica commemorazione del compianto suo predecessore Brioschi, e il Re, nella seduta solenne dello scorso giugno, volle personalmente consegnargli il diploma che lo innalzava alla dignità senatoriale, cui da molti anni lo designava la generale estimazione. Chi avrebbe allora potuto prevedere che così presto sarebbe sopravvenuto quel che per lui non può dirsi " il dì della lode „, imperocchè questa lo accompagnò durante tutta la sua vita operosa e virtuosa? Egli non aveva nemici, non perchè gli facesse difetto la fermezza del carattere, ma perchè recava in tutte le sue manifestazioni una grande ed equanime serenità. La sua dipartita sarà appresa con forte rammarico dai dotti d'ogni nazione, ed io mi figuro come se ne dolga il venerando Hermitte, che nutriva per lui singolare affetto. Poichè del BELTRAMI si può a buon dritto ripetere quel ch'egli stesso bellamente scrisse in morte del Clebsch:

“ Ma purtroppo il rammentare ora i beneficii arrecati alla scienza da un uomo di simil tempra non giova affatto a lenire il dolore della sua fine immatura. Quando noi studiamo le opere dei nobili ingegni che illustrano l'età nostra, l'ammirazione ed il rispetto che proviamo davanti ad esse fanno tacere in noi ogni altro sentimento. Ma quando essi scompaiono repentinamente dalla scena del mondo; quando i loro scritti, nei quali sentivamo quasi vibrare il loro pensiero e la loro voce, diventano per noi una splendida ma purtroppo muta memoria, noi ci accorgiamo d'aver ricambiato coll'affetto più puro del cuore quei tesori di sapere, ch'essi spargevano con tanta profusione intorno a sè. E se, di più, la fama o la personale esperienza



ci rappresentava quegli uomini come tipi di candore o di modestia, noi piangiamo la loro perdita come quella d'un padre o d'un fratello carissimo „.

Negli annali della scienza vivrà imperituro il nome di EUGENIO BELTRAMI. Onore a lui, che ha così nobilmente compiuta la sua giornata, ah! troppo breve, non già per la propria fama, ma per l'incremento degli alti studi; troppo breve per noi, che eravamo orgogliosi di averlo collega ed amico; per la sua diletta madre, che gli sopravvive; per l'egregia sua consorte, che lo circondava della più tenera devozione. Possano le loro anime desolate trovare un sollievo nella universale partecipazione al loro dolore, nelle onoranze che dappertutto vengono tributate al loro caro, e delle quali la Facoltà romana ha già preso l'iniziativa.

#### NOTA

Rispetto ai classici lavori sugli spazii di curvatura costante e sull'interpretazione della Geometria non-euclidea, stimo opportuno ed utile per chi si accinga a tessere una pensata commemorazione dell'illustre estinto, riprodurre ciò ch'egli me ne scriveva il 25 dicembre 1872, in una di quelle sue lettere così cordiali ed istruttive:

“ Le dilucidazioni che a lei possono occorrere, circa il punto  
 “ indicatomi della mia *Memoria* sugli spazii di curvatura costante,  
 “ sono tutte contenute in un'altra *Memoria* molto anteriore (del  
 “ 65 o 66) intitolata: *Risoluzione del problema*, ecc., citata nella  
 “ Nota 1<sup>a</sup> al *Saggio* sulla Geometria non-euclidea, stampato nel  
 “ Giornale di Napoli. Mi sia lecito il dire che questa quistione  
 “ è precisamente quella nella quale, se non sono in inganno, io  
 “ ho introdotto un elemento veramente nuovo nella ricerca ana-  
 “ litica circa la natura degli spazii; e ciò è tanto vero, che gli  
 “ è appunto per questa via che io sono entrato, senza volerlo  
 “ e quasi senza saperlo, nelle dottrine di Lobatschewski, Rie-  
 “ mann, ecc., nelle quali io sono poi andato a cercare delle ve-  
 “ rificazioni, e che, alla loro volta, mi hanno suggerito altre



“ ricerche secondarie, a cui, altrimenti, non avrei pensato. In  
 “ una parola, ecco il principio che io credo enunciato e dimo-  
 “ strato da me per la prima volta: *La Geometria generale*, cioè  
 “ senza il postulato d'Euclide, è, *analiticamente*, *la Geometria*  
 “ *degli spazii in cui le linee geodetiche sono rappresentate da equa-*  
 “ *zioni lineari*. S'intende bene che io parlo dei soli spazii do-  
 “ tati di elemento lineare *quadratico*. Riemann ha lasciato in-  
 “ travedere la possibilità d'altri spazii; ma è probabilissimo che  
 “ la considerazione di questi sarà per molto tempo infinitamente  
 “ più inutile, se così si può dire, di quelli della Geometria non-  
 “ euclidea.

“ Le dirò anche, e questo potrà giovare al di lei scopo,  
 “ l'ordine cronologico dei miei studi in argomento. Dapprima  
 “ un'osservazione, buttata là da Lagrange in una delle sue *Me-*  
 “ *morie* sulle carte geografiche, mi ha condotto a cercare se ci  
 “ fossero superficie rappresentabili sopra un piano, per guisa  
 “ che le loro linee geodetiche fossero rappresentate da linee  
 “ rette; il che è quanto dire, superficie rappresentabili con coor-  
 “ dinate curvilinee  $u$  e  $v$ , per guisa che le loro linee geodetiche  
 “ fossero rappresentate da un'equazione lineare in  $u$  e  $v$ . Nella  
 “ citata *Memoria* del 66 ho trovato che tali superficie dovevano  
 “ avere necessariamente la curvatura costante (positiva, nega-  
 “ tiva o nulla). Più tardi, nel *Saggio*, ho mostrato, *partendo da*  
 “ *questo fatto*, che nell'ipotesi della curvatura *negativa* la Geo-  
 “ metria di queste superficie è identica a quella di Gauss e di  
 “ Lobatschewsky. In seguito, volendo estendere queste conside-  
 “ razioni allo spazio, e sgomentandomi (a torto) delle difficoltà  
 “ che presentava la risoluzione, nel caso di 3 dimensioni, del  
 “ problema già da me risoluto nel 65, tentai di costruire la so-  
 “ luzione *a priori*, cioè per induzione, e fortunatamente ci riuscii,  
 “ osservando che in luogo della equazione (1) del *Saggio* si può  
 “ scrivere:

$$“ \quad ds^2 = R^2 \frac{du^2 + dv^2 + dw^2}{w^2}, \quad a^2 = u^2 + v^2 + w^2,$$

“ formole che, aggiungendo una dimensione, suggeriscono di  
 “ porre:

$$“ \quad ds^3 = R^2 \frac{dt^2 + du^2 + dv^2 + dw^2}{w^2}, \quad a^2 = t^2 + u^2 + v^2 + w^2.$$



“ Verificai dunque che *due* equazioni *lineari* fra le tre variabili  
 “  $t, u, v$  definiscono una linea geodetica, cioè rendono  $\delta \int ds = 0$ .  
 “ Ma appena conseguito questo risultato, che io sviluppai in  
 “ modo prolisso e coll'aiuto di variabili ausiliarie (specie di coor-  
 “ dinate polari non-euclidee), cominciai a sospettare che il teo-  
 “ rema fosse vero per  $n$  qualunque, e verificando questa con-  
 “ gettura giunsi alla dimostrazione che forma il principio della  
 “ *Memoria* sugli spazii di curvatura costante. — Più tardi, quando  
 “ imparai a conoscere la teoria di Cayley, mi accorsi che il suo  
 “ *assoluto* era precisamente quel luogo *limite* che io otteneva  
 “ dall'equazione  $w = 0$  ossia  $x = 0$ , e compresi che l'identità  
 “ dei risultati era dovuta a questa circostanza, che nella Geo-  
 “ metria proiettiva (analitica) si ammette già per dato che le  
 “ equazioni lineari rappresentino linee di minima distanza, co-  
 “ sicchè questa Geometria studia, inconsapevolmente, gli spazii  
 “ di curvatura costante. Io ho avuto il torto di non pubblicare  
 “ questa osservazione, che fu poi fatta dal Klein e corredata  
 “ da lui di molti sviluppi, a molti dei quali io non avevo punto  
 “ pensato. In questo modo il mio *principio della linearità* è stato  
 “ naturalmente dimenticato, ed è stato sostituito da quello della  
 “ *proiettività* che gli equivale completamente. — Dicevo che a  
 “ torto io aveva temuto di non poter seguire, per  $n > 2$ , il pro-  
 “ cesso tenuto per le superficie: infatti recentemente lo Schläfli  
 “ ha svolto, sostanzialmente, questo processo per  $n$  qualunque  
 “ negli *Annali di matematica*, ed ha così dimostrato (e genera-  
 “ lizzato omograficamente) il punto di partenza della *Memoria* in  
 “ quistione „.

---



## EFFEMERIDI

del Sole e della Luna per l'orizzonte di Torino e per l'anno 1901

calcolate dall'Ingegnere LUIGI GABBA

Assistente all'Osservatorio Astronomico della R. Università

### AVVERTENZA.

Le presenti effemeridi furono calcolate con dati della *Connaissance des temps* di Parigi e del *Nautical Almanac* di Greenwich, seguendo le norme contenute nelle *Istruzioni e tavole numeriche per la compilazione del calendario* del Dott. Michele Rajna (Milano, Hoepli, 1887); ed usando le tavole ausiliarie contenute nelle *Effemeridi del Sole e della Luna per l'orizzonte di Torino e per l'anno 1889* del Prof. Francesco Porro (Torino, Loescher, 1888).

Le ore, i minuti ed i secondi sono espressi in tempo medio civile del meridiano di 15° all'Est di Greenwich; cioè in *tempo medio civile dell'Europa centrale*.

### Posizione geografica dell'Osservatorio.

Latitudine boreale . . . . .	45° 4' 7".9		
Longitudine da Greenwich . . . . .	7° 41' 48".2	Est	= 0 <sup>h</sup> 30 <sup>m</sup> 47 <sup>s</sup> .21 E
" da Roma (Coll. Romano) . . . . .	4° 47' 5".3	Ovest	= 0 19 8.35 W
" dal meridiano dell'Eu- ropa centrale . . . . .	7° 18' 11".8	"	= 0 29 12.79 W
Altitudine sul livello del mare (al pozzetto del barometro)	276 <sup>m</sup> .4.		

## PRINCIPALI ARTICOLI DEL CALENDARIO

PER L'ANNO COMUNE 1901.

### Relazioni cronologiche.

L'anno 1901 del calendario Gregoriano, stabilito nell'ottobre 1582, comincia martedì 1° Gennaio e corrisponde all'anno:

6614 del periodo Giuliano;

2677 delle olimpiadi (od al I anno della 670<sup>a</sup> olimpiade), il quale comincia però nel Luglio 1901; essendo assunta l'era delle olimpiadi verso l'1 di Luglio dell'anno 3938 del periodo Giuliano; ossia 775,5 anni prima di G. C.;



2654 della fondazione di Roma (secondo Varrone), che comincia il 21 Aprile 1901;  
1901 del calendario russo (Giuliano), il quale comincia il 14 Gennaio del calendario Gregoriano;  
5661 dell'era israelitica, il quale comincia il 24 Settembre 1900 e termina il 13 Settembre 1901;  
1318 dell'era maomettana (Egira); il quale comincia il 1 Maggio 1900 e termina il 19 Aprile 1901.

*Computo Ecclesiastico.*

Numero d'Oro . . . . .	2
Epatta . . . . .	X
Ciclo Solare . . . . .	6
Lettera Domenicale . . . . .	F
Indizione Romana . . . . .	14
Lettera del Martirologio . . . . .	k

*Quattro Tempora.*

Di primavera . . . . .	27 Febbraio, 1 e 2 Marzo
D'estate . . . . .	29, 31 Maggio e 1 Giugno
D'autunno . . . . .	18, 20 e 21 Settembre
D'inverno . . . . .	18, 20 e 21 Dicembre

*Feste Mobili.*

Settuagesima . . . . .	3 Febbraio
Le Ceneri . . . . .	20 Febbraio
Pasqua di Risurrezione . . . . .	7 Aprile
Rogazioni . . . . .	13, 14 e 15 Maggio
Ascensione . . . . .	16 Maggio
Pentecoste . . . . .	26 Maggio
SS. Trinità . . . . .	2 Giugno
Corpus Domini . . . . .	6 Giugno
1ª Domenica dell'Avvento . . . . .	1 Dicembre

*Principio delle Quattro Stagioni.*

Primavera . . . . .	21 Marzo	ore 8, min. 24
Estate . . . . .	22 Giugno	„ 4 „ 28
Autunno . . . . .	23 Settembre	„ 19 „ 9
Inverno . . . . .	22 Dicembre	„ 13 „ 36.

---



# ECLISSI

Nell'anno 1901 hanno luogo quattro Eclissi; due di Luna e due di Sole.

## I. *Eclisse di LUNA dalla penombra il 3 Maggio 1901 parzialmente visibile a Torino.*

Primo contatto colla penombra . . . . .	17 <sup>h</sup> 6 <sup>m</sup>
Istante medio . . . . .	19 31
Ultimo contatto colla penombra . . . . .	21 55

Il 3 Maggio a Torino la Luna nasce a 19<sup>h</sup> 37<sup>m</sup>.

## II. *Eclisse totale di SOLE il 17 Maggio 1901 invisibile a Torino.*

Questa eclisse sarà visibile nella parte sud-est dell’Africa, nelle Indie, nelle isole all’est dell’India, nella Polinesia, nell’Australia e nell’Oceano Indiano.

## III. *Eclisse parziale di LUNA, il 27 Ottobre 1901 parzialmente visibile a Torino.*

Primo contatto colla penombra . . . . .	14 <sup>h</sup> 5 <sup>m</sup>
” ” con l’ombra o principio dell’eclisse	15 25
Istante medio . . . . .	16 15
Ultimo contatto con l’ombra o fine dell’eclisse . .	17 9
” ” con la penombra . . . . .	18 26

Grandezza dell’eclisse 0,227 del diametro lunare.

Il 27 Ottobre a Torino la Luna nasce a 17<sup>h</sup> 21<sup>m</sup>.



IV. *Eclisse anulare di SOLE, il 10 Novembre 1901*  
*parzialmente visibile a Torino.*

Principio . . . . . 5<sup>h</sup> 43<sup>m</sup> 54<sup>s</sup>

Fase massima . . . . . 6 56 33

Fine . . . . . 8 3 42

Grandezza della fase massima 0,796 del diametro solare.

Il 10 Novembre a Torino il Sole nasce a 7<sup>h</sup> 22<sup>m</sup>.

Questa eclisse è visibile nel nord dell'Africa, ad eccezione del territorio occidentale; in Europa ad eccezione della Norvegia, dell'Inghilterra, della punta nord-ovest della Francia e della metà occidentale della Spagna; in Asia ad eccezione del nord-ovest e nell'Oceano Indiano.



Gennaio 1901.

GIORNO			TEMPO MEDIO DELL'EUROPA CENTRALE									Età della Luna				
dell'Anno	del Mese	della Settimana	II SOLE				La LUNA									
			nasce	passa al meridiano		tramonta	nasce	passa al meridiano		tramonta						
				h	m			s	h		m		h	m	h	m
1	1	M	8	10	12	32	46,25	16	56	13	59	21	39,1	4	16	11
2	2	M		10		33	14,54		57	14	51	22	37,5	5	24	12
3	3	G		10		33	42,47		58	15	49	23	35,3	6	26	13
4	4	V		9		34	10,02		59	16	51			7	19	14
5	5	S		9		34	37,15	17	0	17	58	0	31,3	8	4	15
6	6	D		9		35	3,87		1	19	5	1	24,3	8	41	16
7	7	L		9		35	30,13		2	20	10	2	14,1	9	13	17
8	8	M		9		35	55,92		3	21	14	3	0,7	9	40	18
9	9	M		9		36	21,21		4	22	16	3	45,1	10	6	19
10	10	G		8		36	45,98		6	23	17	4	27,7	10	30	20
11	11	V		8		37	10,19		7			5	9,7	10	54	21
12	12	S		7		37	33,84		8	0	17	5	51,8	11	20	22
13	13	D		7		37	56,89		9	1	17	6	34,9	11	45	23
14	14	L		6		38	19,34	10		2	17	7	19,6	12	16	24
15	15	M		6		38	41,15	12		3	17	8	6,6	12	51	25
16	16	M		5		39	2,31	13		4	17	8	56,0	13	34	26
17	17	G		5		39	22,80	14		5	13	9	47,8	14	23	27
18	18	V		4		39	42,58	16		6	5	10	41,2	15	19	28
19	19	S		3		40	1,67	17		6	51	11	35,5	16	24	29
20	20	D		3		40	20,03	18		7	32	12	29,7	17	33	30
21	21	L		2		40	37,63	20		8	9	13	23,3	18	46	1
22	22	M		1		40	54,47	21		8	42	14	15,7	19	59	2
23	23	M		0		41	10,53	22		9	12	15	7,3	21	13	3
24	24	G	7	59		41	25,79	24		9	41	15	58,7	22	28	4
25	25	V		58		41	40,25	25	10	11		16	50,4	23	42	5
26	26	S		57		41	53,88	27	10	43		17	43,3			6
27	27	D		57		42	6,69	28	11	18		18	37,6	0	55	7
28	28	L		56		42	18,66	29	12	0		19	33,4	2	6	8
29	29	M		54		42	29,80	31	12	46		20	30,1	3	14	9
30	30	M		53		42	40,11	32	13	40		21	26,7	4	17	10
31	31	G		52		42	49,58	34	14	40		22	22,1	5	11	11

Fasi della Luna.

5 Luna piena „ 1<sup>h</sup> 14<sup>m</sup>  
12 Ultimo quarto „ 21<sup>h</sup> 38<sup>m</sup>  
20 Luna nuova „ 15<sup>h</sup> 36<sup>m</sup>  
27 Primo quarto „ 10<sup>h</sup> 52<sup>m</sup>

Il giorno nel mese cresce di 0<sup>h</sup> 56<sup>m</sup>

12 La Luna è in Apogeo alle 12<sup>h</sup>  
24 Id. Perigeo „ 13<sup>h</sup>

Il Sole entra nel segno *Acquario*  
il giorno 20 alle ore 18 min. 17.



Febbraio 1901.

GIORNO			TEMPO MEDIO DELL'EUROPA CENTRALE							Età della Luna	
dell'Anno	del Mese	della Settimana	II SOLE			La LUNA					
			nasce	passa al meridiano		tramonta	nasce	passa al meridiano			tramonta
				h	m			s	h		
32	1	V	7 51	12 42	58,21	17 35	15 43	23 15,2	5 59	12	
33	2	S	50	43	6,02	37	16 49	—	6 39	13	
34	3	D	49	43	13,00	38	17 54	0 5,7	7 13	14	
35	4	L	47	43	19,15	39	18 58	0 53,3	7 42	15	
36	5	M	46	43	24,49	41	20 2	1 38,7	8 9	16	
37	6	M	45	43	29,03	42	21 3	2 22,2	8 33	17	
38	7	G	44	43	32,77	44	22 4	3 4,6	8 57	18	
39	8	V	42	43	35,72	45	23 4	3 47,0	9 22	19	
40	9	S	41	43	37,88	47	—	4 29,7	9 49	20	
41	10	D	39	43	39,27	48	0 4	5 13,4	10 16	21	
42	11	L	38	43	39,89	49	1 3	5 59,0	10 49	22	
43	12	M	37	43	39,76	51	2 2	6 46,6	11 38	23	
44	13	M	35	43	38,88	52	2 59	7 36,2	12 13	24	
45	14	G	33	43	37,26	54	3 52	8 28,0	13 5	25	
46	15	V	32	43	34,93	55	4 41	9 21,1	14 5	26	
47	16	S	30	43	31,86	57	5 24	10 14,9	15 11	27	
48	17	D	29	43	28,10	58	6 4	11 8,9	16 22	28	
49	18	L	27	43	23,63	59	6 38	12 2,7	17 36	29	
50	19	M	26	43	18,47	18 1	7 11	12 55,9	18 52	1	
51	20	M	24	43	12,63	2	7 42	13 49,1	20 8	2	
52	21	G	22	43	6,12	4	8 12	14 42,5	21 25	3	
53	22	V	21	42	58,95	5	8 45	15 36,9	22 41	4	
54	23	S	19	42	51,12	7	9 20	16 32,4	23 55	5	
55	24	D	17	42	42,67	8	10 0	17 28,9	—	6	
56	25	L	15	42	33,59	10	10 46	18 26,0	1 6	7	
57	26	M	14	42	23,90	11	11 37	19 22,6	2 11	8	
58	27	M	12	42	13,63	12	12 35	20 17,9	3 7	9	
59	28	G	10	42	2,78	14	13 37	21 10,9	3 57	10	

Fasi della Luna.

3 Luna piena alle 16<sup>h</sup> 30<sup>m</sup>

11 Ultimo quarto „ 19<sup>h</sup> 12<sup>m</sup>

19 Luna nuova „ 3<sup>h</sup> 45<sup>m</sup>

25 Primo quarto „ 19<sup>h</sup> 38<sup>m</sup>

Il giorno nel mese cresce di 1<sup>h</sup> 22<sup>m</sup>

9 La Luna è in Apogeo alle 8<sup>h</sup>

21 Id. Perigeo „ 4<sup>h</sup>

Il Sole entra nel segno Pesci il

giorno 19 alle ore 8 min. 45.



Marzo 1901.

GIORNO			TEMPO MEDIO DELL'EUROPA CENTRALE									Età della Luna
dell'Anno	del Mese	della Settimana	II SOLE			La LUNA						
			nasce	passa al meridiano		tramonta	nasce	passa al meridiano		tramonta		
				h	m			s	h		m	
60	1	V	7	9	12 41	51,38	18 15	14 40	22 1,3	4 38	11	
61	2	S		7	41	39,45	17	15 44	22 49,1	5 14	12	
62	3	D		5	41	27,01	18	16 48	23 34,6	5 44	13	
63	4	L		3	41	14,09	19	17 51	—	6 11	14	
64	5	M		1	41	0,71	21	18 52	0 18,5	6 36	15	
65	6	M		0	40	46,88	22	19 53	1 1,2	7 1	16	
66	7	G	6	58	40	32,63	23	20 53	1 43,6	7 26	17	
67	8	V		56	40	17,99	24	21 53	2 26,1	7 51	18	
68	9	S		54	40	2,97	26	22 53	3 9,5	8 19	19	
69	10	D		52	39	47,59	27	23 51	3 54,2	8 51	20	
70	11	L		51	39	31,89	28	—	4 40,5	9 26	21	
71	12	M		49	39	15,88	30	0 48	5 28,7	10 7	22	
72	13	M		47	38	59,57	31	1 41	6 18,4	10 56	23	
73	14	G		45	38	43,00	32	2 30	7 9,5	11 50	24	
74	15	V		43	38	26,18	34	3 16	8 1,6	12 51	25	
75	16	S		41	38	9,15	35	3 56	8 54,1	13 58	26	
76	17	D		39	37	51,90	36	4 32	9 46,9	15 9	27	
77	18	L		37	37	34,46	38	5 5	10 39,8	16 24	28	
78	19	M		36	37	16,86	39	5 37	11 33,1	17 40	29	
79	20	M		34	36	59,10	40	6 8	12 27,1	18 58	30	
80	21	G		32	36	41,19	41	6 41	13 22,6	20 16	1	
81	22	V		30	36	23,17	43	7 17	14 19,6	21 34	2	
82	23	S		29	36	5,03	44	7 56	15 17,9	22 50	3	
83	24	D		26	35	46,80	45	8 41	16 17,0	23 59	4	
84	25	L		24	35	28,50	46	9 32	17 15,9	—	5	
85	26	M		22	35	10,13	48	10 29	18 12,9	1 1	6	
86	27	M		21	34	51,73	49	11 31	19 7,4	1 53	7	
87	28	G		19	34	33,31	50	12 34	19 58,8	2 38	8	
88	29	V		17	34	14,90	52	13 38	20 47,2	3 15	9	
89	30	S		15	33	56,51	53	14 41	21 35,0	3 47	10	
90	31	D		13	33	38,17	54	15 43	22 16,9	4 15	11	

Fasi della Luna.

5 Luna piena           alle 9<sup>h</sup> 4<sup>m</sup>  
13 Ultimo quarto   „ 14<sup>h</sup> 6<sup>m</sup>  
20 Luna nuova       „ 13<sup>h</sup> 53<sup>m</sup>  
27 Primo quarto     „ 5<sup>h</sup> 39<sup>m</sup>

Il giorno nel mese cresce di 1<sup>h</sup> 37<sup>m</sup>

9 La Luna è in Apogeo alle 0<sup>h</sup>  
21 Id.           Perigeo „ 11<sup>h</sup>

Il Sole entra nel segno *Ariete* il  
giorno 21 alle ore 8 min. 24.



Aprile 1901.

GIORNO			TEMPO MEDIO DELL'EUROPA CENTRALE								Età della Luna
dell'Anno	del Mese	della Settimana	II SOLE			La LUNA					
			nasce	passa al meridiano		tramonta	nasce	passa al meridiano		tramonta	
				h	m			s	h		
91	1	L	6	11	12 33 19,89	18 55	16 45	22 59,5	4 41	12	
92	2	M		9	33 1,71	57	17 45	23 41,7	5 5	13	
93	3	M		7	32 43,63	58	18 45	—	5 30	14	
94	4	G		6	32 25,69	59	19 45	0 24,0	5 55	15	
95	5	V		4	32 7,92	19 0	20 45	1 7,1	6 23	16	
96	6	S		2	31 50,31	2	21 43	1 51,4	6 53	17	
97	7	D		0	31 32,91	3	22 40	2 37,2	7 27	18	
98	8	L	5	58	31 15,73	4	23 34	3 24,6	8 6	19	
99	9	M		56	30 58,79	6	—	4 13,2	8 51	20	
100	10	M		55	30 42,11	7	0 34	5 3,1	9 43	21	
101	11	G		53	30 25,71	8	1 10	5 53,6	10 40	22	
102	12	V		51	30 9,61	9	1 51	6 44,4	11 43	23	
103	13	S		49	29 53,83	11	2 27	7 35,3	12 50	24	
104	14	D		47	29 38,38	12	3 1	8 26,3	14 0	25	
105	15	L		46	29 23,28	13	3 33	9 17,8	15 13	26	
106	16	M		44	29 8,54	14	4 4	10 10,3	16 28	27	
107	17	M		42	28 54,17	16	4 35	11 4,4	17 46	28	
108	18	G		41	28 40,18	17	5 9	12 0,7	19 5	29	
109	19	V		39	28 26,60	18	5 47	12 59,3	20 23	1	
110	20	S		37	28 13,41	19	6 30	13 59,9	21 38	2	
111	21	D		35	28 0,63	21	7 20	15 3,1	22 46	3	
112	22	L		34	27 48,27	22	8 17	16 1,3	23 44	4	
113	23	M		32	27 36,33	23	9 19	16 59,0	—	5	
114	24	M		31	27 24,84	24	10 24	17 53,1	0 33	6	
115	25	G		29	27 13,79	26	11 29	18 43,7	1 14	7	
116	26	V		27	27 3,20	27	12 34	19 32,8	1 49	8	
117	27	S		26	26 53,08	28	13 36	20 15,6	2 18	9	
118	28	D		24	26 43,45	29	14 38	20 58,5	2 45	10	
119	29	L		23	26 34,31	30	15 38	21 40,6	3 9	11	
120	30	M		21	26 25,67	32	16 38	22 22,7	3 34	12	

*Fasi della Luna.*

4 Luna piena     alle 2<sup>h</sup> 20<sup>m</sup>

12 Ultimo quarto     „     4<sup>h</sup> 57<sup>m</sup>

18 Luna nuova     „     22<sup>h</sup> 37<sup>m</sup>

25 Primo quarto     „     17<sup>h</sup> 15<sup>m</sup>

Il giorno nel mese cresce di 1<sup>h</sup> 30<sup>m</sup>

5 La Luna è in Apogeo alle 8<sup>h</sup>

18     Id.     Perigeo     „     22<sup>h</sup>

Il Sole entra nel segno *Toro* il giorno 20 alle ore 18 min. 14.



Maggio 1901.

GIORNO			TEMPO MÈDIO DELL'EUROPA CENTRALE								Età della Luna				
dell'Anno	del Mese	della Settimana	II SOLE			La LUNA									
			nasce	passa al meridiano		tramonta	nasce	passa al meridiano		tramonta					
			h	m	h	m	s	h	m	h	m	h	m		
121	1	M	5	20	12	26	17,55	19	33	17	38	23	5,4	3 59	13
122	2	G		18		26	9,96		34	18	38	23	50,2	4 26	14
123	3	V		17		26	2,90		35	19	37			4 55	15
124	4	S		15		25	56,39		37	20	35	0	34,6	5 28	16
125	5	D		14		25	50,43		38	21	30	1	21,7	6 5	17
126	6	L		12		25	45,04		39	22	21	2	10,2	6 49	18
127	7	M		11		25	40,22		40	23	8	2	59,8	7 38	19
128	8	M		10		25	35,97		42	23	50	3	49,9	8 34	20
129	9	G		9		25	32,32		43			4	40,1	9 35	21
130	10	V		7		25	29,26		44	0	27	5	29,9	10 39	22
131	11	S		6		25	26,79		45	1	1	6	19,5	11 46	23
132	12	D		5		25	24,90		46	1	32	7	9,0	12 55	24
133	13	L		3		25	23,63		48	2	2	7	59,1	14 7	25
134	14	M		2		25	22,94		49	2	31	8	50,5	15 21	26
135	15	M		1		25	22,85		50	3	3	9	44,0	16 37	27
136	16	G		0		25	23,33		51	3	39	10	40,3	17 54	28
137	17	V	4	59		25	24,40		52	4	18	11	39,4	19 11	29
138	18	S		58		25	26,04		53	5	5	12	40,8	20 23	30
139	19	D		57		25	28,23		54	5	59	13	42,7	21 28	1
140	20	L		56		25	30,97		55	7	0	14	43,6	22 22	2
141	21	M		55		25	34,24		56	8	6	15	41,1	23 18	3
142	22	M		54		25	38,04		58	9	14	16	34,9	23 47	4
143	23	G		53		25	42,35		59	10	21	17	25,0		5
144	24	V		52		25	47,17	20	0	11	25	18	11,6	0 19	6
145	25	S		51		25	52,48		1	12	29	18	55,9	0 47	7
146	26	D		51		25	58,27		2	13	30	19	38,6	1 13	8
147	27	L		50		26	4,54		3	14	30	20	20,8	1 38	9
148	28	M		49		26	11,27		3	15	30	21	3,3	2 3	10
149	29	M		49		26	18,45		4	16	29	21	46,6	2 29	11
150	30	G		48		26	26,07		5	17	29	22	31,4	2 57	12
151	31	V		47		26	34,12		6	18	27	23	18,1	3 28	13

Fasi della Luna.

3 Luna piena      alle 19<sup>h</sup> 19<sup>m</sup>  
11 Ultimo quarto    „    15<sup>h</sup> 38<sup>m</sup>  
18 Luna nuova      „    6<sup>h</sup> 38<sup>m</sup>  
25 Primo quarto    „    6<sup>h</sup> 40<sup>m</sup>

Il giorno nel mese cresce di 1<sup>h</sup> 8<sup>m</sup>

2 La Luna è in Apogeo alle 9<sup>h</sup>  
17      Id.      Perigeo    „    8<sup>h</sup>  
29      Id.      Apogeo    „    18<sup>h</sup>

Il Sole entra nel segno *Gemelli* il  
giorno 21 ad ore 18 min. 5.



Giugno 1901.

GIORNO			TEMPO MEDIO DELL'EUROPA CENTRALE								Età della Luna					
dell'Anno	del Mese	della Settimana	II SOLE				La LUNA									
			nasce	passa al meridiano		tramonta	nasce	passa al meridiano		tramonta						
				h	m			s	h			m	h	m		
152	1	S	4	47	12	26	42,59	20	7	19	24	—	4	5	14	
153	2	D		46		26	51,48		8	20	17	0	6,3	4	46	15
154	3	L		46		27	0,75		9	21	7	0	56,1	5	34	16
155	4	M		45		27	10,39		9	21	51	1	46,6	6	29	17
156	5	M		45		27	20,41		10	22	30	2	37,3	7	28	18
157	6	G		44		27	30,77		11	23	4	3	27,5	8	31	19
158	7	V		44		27	41,48		11	23	36	4	16,9	9	37	20
159	8	S		44		27	52,49		12	—	—	5	6,0	10	45	21
160	9	D		43		28	3,81		13	0	4	5	54,7	11	54	22
161	10	L		43		28	15,43		13	0	33	6	44,1	13	5	23
162	11	M		43		28	27,29		14	1	3	7	34,9	14	18	24
163	12	M		43		28	39,41		14	1	35	8	28,0	15	32	25
164	13	G		43		28	51,72		15	2	11	9	24,0	16	47	26
165	14	V		43		29	4,24		15	2	54	10	22,7	18	0	27
166	15	S		43		29	16,93		16	3	43	11	23,6	19	8	28
167	16	D		43		29	29,73		16	4	40	12	24,8	20	8	29
168	17	L		43		29	42,65		17	5	44	13	24,6	20	59	1
169	18	M		43		29	55,65		17	6	52	14	21,3	21	42	2
170	19	M		43		30	8,70		17	8	1	15	14,3	22	17	3
171	20	G		43		30	21,77		18	9	8	16	3,7	22	48	4
172	21	V		43		30	34,83		18	10	15	16	50,0	23	16	5
173	22	S		44		30	47,87		18	11	18	17	34,3	23	41	6
174	23	D		44		31	0,85		18	12	20	18	17,2	—	—	7
175	24	L		44		31	13,76		18	13	20	18	59,8	0	7	8
176	25	M		44		31	26,56		18	14	19	19	42,9	0	32	9
177	26	M		45		31	39,23		18	15	19	20	27,1	0	59	10
178	27	G		45		31	51,76		18	16	18	21	13,0	1	30	11
179	28	V		46		32	4,13		18	17	15	22	0,7	2	3	12
180	29	S		46		32	16,30		18	18	11	22	50,1	2	43	13
181	30	D		47		32	28,28		18	19	2	23	40,8	3	28	14

*Fasi della Luna.*

2 Luna piena    alle 10<sup>h</sup> 53<sup>m</sup>

9 Ultimo quarto    „    23<sup>h</sup> 0<sup>m</sup>

16 Luna nuova    „    14<sup>h</sup> 33<sup>m</sup>

23 Primo quarto    „    21<sup>h</sup> 59<sup>m</sup>

Il giorno nel mese cresce di 0<sup>h</sup> 12<sup>m</sup>

14 La Luna è in Perigeo alle 0<sup>h</sup>

26    Id.    Apogeo    „    10<sup>h</sup>

Il Sole entra nel segno *Cancro* il  
giorno 22 ad ore 4 min. 28.



Luglio 1901.

GIORNO			TEMPO MEDIO DELL'EUROPA CENTRALE									Età della Luna				
dell'Anno	del Mese	della Settimana	II SOLE			La LUNA										
			nasce	passa al meridiano		tramonta	nasce	passa al meridiano		tramonta						
				h	m			s	h		m		h	m		
182	1	L	4	47	12	32	40,02	20	18	19	48	—	4	21	15	
183	2	M		48		32	51,52		18	20	30	0	32,1	5	19	16
184	3	M		48		33	2,75		17	21	6	1	23,3	6	22	17
185	4	G		49		33	13,72		17	21	39	2	13,9	7	29	18
186	5	V		50		33	24,39		17	22	9	3	3,7	8	37	19
187	6	S		50		33	34,74		16	22	38	3	52,9	9	46	20
188	7	D		51		33	44,77		16	23	7	4	42,0	10	56	21
189	8	L		52		33	54,45		16	23	38	5	31,9	12	7	22
190	9	M		52		34	3,76		15	—	—	6	23,2	13	20	23
191	10	M		53		34	12,71		15	0	12	7	16,5	14	32	24
192	11	G		54		34	21,26		14	0	50	8	12,5	15	44	25
193	12	V		55		34	29,39		13	1	35	9	10,6	16	52	26
194	13	S		56		34	37,09		13	2	27	10	10,2	17	55	27
195	14	D		57		34	44,33		12	3	27	11	9,5	18	48	28
196	15	L		58		34	51,10		11	4	32	12	7,1	19	34	29
197	16	M		59		34	57,38		11	5	41	13	1,9	20	14	1
198	17	M		59		35	3,15		10	6	49	13	53,2	20	47	2
199	18	G	5	0		35	8,39		9	7	56	14	41,6	21	16	3
200	19	V		1		35	13,10		8	9	1	15	27,4	21	44	4
201	20	S		2		35	17,25		7	10	5	16	11,6	22	9	5
202	21	D		3		35	20,83		6	11	8	16	54,9	22	35	6
203	22	L		4		35	23,84		5	12	8	17	38,1	23	1	7
204	23	M		5		35	26,26		4	13	7	18	21,9	23	31	8
205	24	M		6		35	28,10		3	14	7	19	6,9	—	—	9
206	25	G		8		35	29,33		2	15	4	19	53,7	0	3	10
207	26	V		9		35	29,96		1	16	1	20	42,1	0	39	11
208	27	S		10		35	29,97		0	16	53	21	32,2	1	22	12
209	28	D		11		35	29,40	19	59	17	42	22	23,3	2	11	13
210	29	L		12		35	28,20		58	18	25	23	15,0	3	7	14
211	30	M		13		35	26,40		57	19	4	—	—	4	9	15
212	31	M		14		35	23,98		55	19	40	0	6,6	5	15	16

Fasi della Luna.

2 Luna piena alle 0<sup>h</sup> 18<sup>m</sup>  
9 Ultimo quarto „ 4<sup>h</sup> 20<sup>m</sup>  
15 Luna nuova „ 23<sup>h</sup> 11<sup>m</sup>  
23 Primo quarto „ 14<sup>h</sup> 58<sup>m</sup>  
31 Luna piena „ 11<sup>h</sup> 34<sup>m</sup>

Il giorno nel mese diminuisce di 0<sup>h</sup> 50<sup>m</sup>.

12 La Luna è in Perigeo alle 1<sup>h</sup>  
24 Id. Apogeo „ 4<sup>h</sup>

Il Sole entra nel segno Leone il giorno 23 alle ore 15 min. 24.



Agosto 1901.

GIORNO			TEMPO MEDIO DELL'EUROPA CENTRALE							Età della Luna	
dell'Anno	del Mese	della Settimana	II SOLE			La LUNA					
			nasce	passa al meridiano		tramonta	nasce	passa al meridiano			tramonta
				h	m			s	h		
213	1	G	5	15	12 35 20,96	19 54	20 11	0 57,7	6 23	17	
214	2	V		16	35 17,33	53	20 42	1 48,3	7 34	18	
215	3	S		17	35 13,12	52	21 12	2 38,6	8 45	19	
216	4	D		18	35 8,32	50	21 42	3 29,1	9 57	20	
217	5	L		20	35 2,93	49	22 15	4 20,6	11 10	21	
218	6	M		21	34 56,95	48	22 52	5 13,4	12 22	22	
219	7	M		22	34 50,41	46	23 34	6 8,1	13 34	23	
220	8	G		23	34 43,29	45	—	7 4,7	14 42	24	
221	9	V		25	34 35,61	43	0 22	8 2,5	15 45	25	
222	10	S		26	34 27,37	42	1 18	9 0,5	16 41	26	
223	11	D		27	34 18,56	40	2 19	9 57,3	17 30	27	
224	12	L		28	34 9,21	39	3 25	10 52,1	18 11	28	
225	13	M		29	33 59,29	37	4 33	11 44,1	18 46	29	
226	14	M		31	33 38,83	36	5 39	12 33,4	19 17	1	
227	15	G		32	33 37,82	34	6 46	13 20,2	19 45	2	
228	16	V		33	33 26,28	32	7 50	14 5,3	20 11	3	
229	17	S		34	33 14,21	31	8 52	14 49,3	20 37	4	
230	18	D		35	33 1,62	29	9 55	15 32,8	21 3	5	
231	19	L		37	32 48,50	28	10 54	16 16,6	21 32	6	
232	20	M		38	32 34,87	26	11 54	17 1,1	22 3	7	
233	21	M		39	32 20,75	24	12 52	17 46,9	22 37	8	
234	22	G		40	32 6,15	22	13 49	18 34,2	23 18	9	
235	23	V		41	31 51,07	21	14 43	19 22,7	—	10	
236	24	S		43	31 35,54	19	15 33	20 12,9	0 3	11	
237	25	D		44	31 19,57	17	16 18	21 3,9	1 13	12	
238	26	L		45	31 3,16	16	16 59	21 55,3	1 54	13	
239	27	M		46	30 46,33	14	17 36	22 46,7	2 57	14	
240	28	M		47	30 29,12	12	18 10	23 38,1	4 4	15	
241	29	G		49	30 11,54	10	18 42	—	5 15	16	
242	30	V		50	29 53,60	8	19 13	0 29,6	6 27	17	
243	31	S		51	29 35,31	6	19 44	1 21,4	7 41	18	

Fasi della Luna.

7 Ultimo quarto alle 9<sup>h</sup> 2<sup>m</sup>  
14 Luna nuova „ 9<sup>h</sup> 28<sup>m</sup>  
22 Primo quarto „ 8<sup>h</sup> 52<sup>m</sup>  
29 Luna piena „ 21<sup>h</sup> 21<sup>m</sup>

Il giorno nel mese diminuisce di 1<sup>h</sup> 26<sup>m</sup>.

6 La Luna è in Perigeo alle 9<sup>h</sup>  
20 Id. Apogeo „ 23<sup>h</sup>

Il Sole entra nel segno Vergine il giorno 23 alle ore 22 min. 7.



Settembre 1901.

GIORNO			TEMPO MEDIO DELL'EUROPA CENTRALE								Età della Luna
dell'Anno	del Mese	della Settimana	II SOLE			La LUNA					
			nasce	passa al meridiano		tramonta	nasce	passa al meridiano		tramonta	
			h m	h m	s	h m	h m	h m	h m		
244	1	D	5 52	12 29	9,66	19 5	20 17	2 14,0	8 55	19	
245	2	L	53	28	57,83	3	20 54	3 7,8	10 10	20	
246	3	M	55	28	38,67	1	21 34	4 3,3	11 24	21	
247	4	M	56	28	19,26	18 59	22 21	5 0,3	12 33	22	
248	5	G	57	27	59,61	57	23 15	5 58,1	13 39	23	
249	6	V	58	27	39,75	55	—	6 55,8	14 37	24	
250	7	S	59	27	19,69	54	0 13	7 52,4	15 27	25	
251	8	D	6 1	26	59,44	52	1 17	8 46,9	16 9	26	
252	9	L	2	26	39,04	50	2 23	9 38,8	16 46	27	
253	10	M	3	26	18,49	48	3 28	10 28,1	17 18	28	
254	11	M	4	25	57,80	46	4 34	11 15,1	17 47	29	
255	12	G	5	25	36,99	44	5 38	12 0,3	18 13	30	
256	13	V	6	25	16,08	42	6 40	12 44,6	18 40	1	
257	14	S	8	24	55,08	40	7 42	13 28,2	19 6	2	
258	15	D	9	24	34,01	39	8 43	14 12,0	19 34	3	
259	16	L	10	24	12,89	37	9 43	14 56,2	20 4	4	
260	17	M	11	23	51,74	35	10 42	15 41,5	20 37	5	
261	18	M	12	23	30,56	33	11 38	16 27,9	21 14	6	
262	19	G	14	23	9,38	31	12 32	17 15,6	21 57	7	
263	20	V	15	22	48,23	29	13 23	18 4,2	22 46	8	
264	21	S	16	22	27,12	27	14 9	18 53,7	23 40	9	
265	22	D	17	22	6,06	25	14 52	19 43,8	—	10	
266	23	L	19	21	45,08	23	15 30	20 34,1	0 40	11	
267	24	M	20	21	24,20	21	16 5	21 24,8	1 44	12	
268	25	M	21	21	3,43	19	16 38	22 15,8	2 52	13	
269	26	G	22	20	42,82	18	17 10	23 7,6	4 2	14	
270	27	V	23	20	22,37	16	17 41	—	5 6	15	
271	28	S	25	20	2,11	14	18 14	0 0,5	6 32	16	
272	29	D	26	19	42,08	12	18 50	0 55,2	7 49	17	
273	30	L	27	19	22,28	10	19 30	1 51,8	9 5	18	

Fasi della Luna.

5 Ultimo quarto alle 14<sup>h</sup> 27<sup>m</sup>

12 Luna nuova „ 22<sup>h</sup> 19<sup>m</sup>

21 Primo quarto „ 2<sup>h</sup> 33<sup>m</sup>

28 Luna piena „ 6<sup>h</sup> 36<sup>m</sup>

Il giorno nel mese diminuisce di 1<sup>h</sup> 32<sup>m</sup>.

1 La Luna è in Perigeo alle 21<sup>h</sup>

17 Id. Apogeo „ 18<sup>h</sup>

29 Id. Perigeo „ 19<sup>h</sup>

Il Sole entra nel segno *Libra* il giorno 23 alle ore 19 min. 9.



Ottobre 1901.

GIORNO			TEMPO MEDIO DELL'EUROPA CENTRALE								Età della Luna
dell'Anno	del Mese	della Settimana	II SOLE			La LUNA					
			nasce	passa al meridiano	tramonta	nasce	passa al meridiano	tramonta			
			h m	h m s	h m	h m	h m	h m			
274	1	M	6 28	12 19 2,75	18 8	20 17	2 50,2	10 19	19		
275	2	M	30	18 43,53	6	21 9	3 49,8	11 29	20		
276	3	G	31	18 24,62	4	22 8	4 49,4	12 30	21		
277	4	V	32	18 6,04	2	23 11	5 47,6	13 24	22		
278	5	S	33	17 47,83	1	—	6 43,2	14 9	23		
279	6	D	35	17 30,00	17 59	0 16	7 36,0	14 47	24		
280	7	L	36	17 12,56	57	1 21	8 25,7	15 20	25		
281	8	M	37	16 55,54	55	2 26	9 12,8	15 50	26		
282	9	M	38	16 38,96	53	3 30	9 57,9	16 17	27		
283	10	G	40	16 22,82	52	4 32	10 42,0	16 43	28		
284	11	V	41	16 7,15	50	5 34	11 25,4	17 9	29		
285	12	S	42	15 51,96	48	6 34	12 8,8	17 37	30		
286	13	D	44	15 37,27	46	7 34	12 52,7	18 6	1		
287	14	L	45	15 23,10	44	8 33	13 37,7	18 38	2		
288	15	M	46	15 9,45	43	9 30	14 23,7	19 13	3		
289	16	M	47	14 56,33	41	10 25	15 10,8	19 54	4		
290	17	G	49	14 43,78	39	11 17	15 58,8	20 40	5		
291	18	V	50	14 31,81	38	12 4	16 47,3	21 31	6		
292	19	S	52	14 20,42	36	12 47	17 36,0	22 28	7		
293	20	D	53	14 9,63	34	13 26	18 24,9	23 29	8		
294	21	L	54	13 59,47	32	14 1	19 13,7	—	9		
295	22	M	56	13 49,94	31	14 33	20 2,9	0 33	10		
296	23	M	57	13 41,05	29	15 5	20 52,9	1 40	11		
297	24	G	58	13 32,84	27	15 36	21 44,2	2 50	12		
298	25	V	7 0	13 25,30	26	16 8	22 37,4	4 3	13		
299	26	S	1	13 18,48	24	16 42	23 33,3	5 19	14		
300	27	D	2	13 12,36	23	17 21	—	6 36	15		
301	28	L	4	13 6,99	21	18 6	0 31,0	7 53	16		
302	29	M	5	13 2,36	20	18 57	1 32,9	9 8	17		
303	30	M	7	12 58,51	18	19 56	2 34,9	10 16	18		
304	31	G	8	12 55,46	17	20 59	3 36,2	11 15	19		

*Fasi della Luna.*

4 Ultimo quarto alle 21<sup>h</sup> 52<sup>m</sup>

12 Luna nuova " 14<sup>h</sup> 11<sup>m</sup>

20 Primo quarto " 18<sup>h</sup> 58<sup>m</sup>

27 Luna piena " 16<sup>h</sup> 6<sup>m</sup>

Il giorno nel mese diminuisce di 1<sup>h</sup> 34<sup>m</sup>.

15 La Luna è in Apogeo alle 8<sup>h</sup>

28 Id. Perigeo " 4<sup>h</sup>

Il Sole entra nel segno *Scorpione* il giorno 24 alle ore 3 min. 46.



Novembre 1901.

GIORNO			TEMPO MEDIO DELL'EUROPA CENTRALE									Età della Luna				
dell'Anno	del Mese	della Settimana	II SOLE				La LUNA									
			nasce	passa al meridiano		tramonta	nasce	passa al meridiano		tramonta						
				h	m			s	h		m		h	m		
305	1	V	7	9	12	12	53,20	17	16	22	6	4	35,1	12	5	20
306	2	S		11	12		51,75	14		23	13	5	30,6	12	47	21
307	3	D		12	12		51,13	13		—		6	22,3	13	23	22
308	4	L		13	12		51,35	11		0	18	7	10,8	13	53	23
309	5	M		15	12		52,40	10		1	22	7	56,7	14	21	24
310	6	M		16	12		54,29	9		2	25	8	40,9	14	47	25
311	7	G		18	12		57,03	7		3	27	9	24,1	15	14	26
312	8	V		19	13		0,62	6		4	27	10	7,2	15	40	27
313	9	S		20	13		5,08	5		5	26	10	50,7	16	8	28
314	10	D		22	13		10,37	4		6	26	11	35,1	16	39	29
315	11	L		23	13		16,52	3		7	23	12	20,8	17	14	1
316	12	M		25	13		23,52	1		8	20	13	7,6	17	53	2
317	13	M		26	13		31,36	0		9	13	13	55,4	18	37	3
318	14	G		27	13		40,04	16	59	10	2	14	43,8	19	27	4
319	15	V		29	13		49,57	58		10	46	15	32,2	20	22	5
320	16	S		30	13		59,93	57		11	25	16	20,5	21	20	6
321	17	D		31	14		11,11	56		12	1	17	8,3	22	22	7
322	18	L		33	14		23,11	56		12	33	17	56,0	23	26	8
323	19	M		34	14		35,94	55		13	4	18	43,8	—	—	9
324	20	M		35	14		49,56	54		13	34	19	32,4	0	32	10
325	21	G		37	15		3,97	53		14	3	20	22,7	1	41	11
326	22	V		38	15		19,17	52		14	35	21	15,4	2	53	12
327	23	S		39	15		35,15	52		15	11	22	11,3	4	7	13
328	24	D		41	15		51,90	51		15	52	23	10,5	5	23	14
329	25	L		42	16		9,43	50		16	39	—	—	6	39	15
330	26	M		43	16		27,70	50		17	36	0	12,6	7	51	16
331	27	M		44	16		46,72	49		18	38	1	15,8	8	57	17
332	28	G		46	17		6,47	49		19	46	2	18,0	9	54	18
333	29	V		47	17		26,95	48		20	56	3	17,5	10	41	19
334	30	S		48	17		48,14	48		22	5	4	13,1	11	21	20

Fasi della Luna.

3 Ultimo quarto alle 8<sup>h</sup> 24<sup>m</sup>

11 Luna nuova „ 8<sup>h</sup> 34<sup>m</sup>

19 Primo quarto „ 9<sup>h</sup> 23<sup>m</sup>

26 Luna piena „ 2<sup>h</sup> 18<sup>m</sup>

Il giorno nel mese diminuisce di 1<sup>h</sup> 9<sup>m</sup>.

11 La Luna è in Apogeo alle 13<sup>h</sup>

25 Id. Perigeo „ 17<sup>h</sup>

Il Sole entra nel segno *Sagittario* il giorno 23 ad ore 0 min. 41.



Dicembre 1901.

GIORNO			TEMPO MEDIO DELL'EUROPA CENTRALE							Età della Luna						
dell'Anno	del Mese	della Settimana	II SOLE			La LUNA										
			nasce	passa al meridiano		tramonta	nasce	passa al meridiano			tramonta					
				h	m			s	h			m	h	m		
335	1	D	7	49	12	18	10,02	16	47	23	11	5	4,6	11	54	21
336	2	L		50		18	32,58		47	—	—	5	52,9	12	24	22
337	3	M		51		18	55,80		47	0	16	6	38,4	12	51	23
338	4	M		52		19	19,64		46	1	18	7	22,4	13	18	24
339	5	G		53		19	44,09		46	2	20	8	5,6	13	44	25
340	6	V		55		20	9,12		46	3	19	8	48,9	14	11	26
341	7	S		56		20	34,70		46	4	19	9	32,8	14	41	27
342	8	D		57		21	0,79		46	5	17	10	17,9	15	15	28
343	9	L		58		21	27,38		46	6	13	11	4,4	15	52	29
344	10	M		59		21	54,43		46	7	8	11	52,1	16	35	30
345	11	M		59		22	21,90		46	7	59	12	40,6	17	23	1
346	12	G	8	0		22	49,77		46	8	45	13	31,5	18	16	2
347	13	V		1		23	18,00		46	9	27	14	18,2	19	14	3
348	14	S		2		23	46,55		46	10	3	15	6,3	20	15	4
349	15	D		3		24	15,39		46	10	36	15	53,8	21	17	5
350	16	L		3		24	44,49		46	11	8	16	40,9	22	23	6
351	17	M		4		25	13,80		47	11	37	17	28,1	23	29	7
352	18	M		5		25	43,30		47	12	5	18	16,0	—	—	8
353	19	G		5		26	12,93		47	12	35	19	5,6	0	37	9
354	20	V		6		26	42,69		48	13	7	19	57,8	1	47	10
355	21	S		6		27	12,52		48	13	44	20	53,1	2	59	11
356	22	D		7		27	42,40		49	14	26	21	51,8	4	13	12
357	23	L		7		28	12,30		49	15	16	22	53,2	5	25	13
358	24	M		8		28	42,18		50	16	15	23	55,8	6	34	14
359	25	M		8		29	12,02		50	17	20	—	—	7	36	15
360	26	G		9		29	41,79		51	18	30	0	57,4	8	29	16
361	27	V		9		30	11,46		51	19	42	1	56,4	9	14	17
362	28	S		9		30	41,00		52	20	52	2	51,7	9	52	18
363	29	D		9		31	10,38		53	22	0	3	43,1	10	24	19
364	30	L		9		31	39,58		54	23	6	4	31,5	10	53	20
365	31	M		9		32	8,55		55	—	—	5	17,3	11	21	21

Fasi della Luna.

2 Ultimo quarto „ 22<sup>h</sup> 50<sup>m</sup>

11 Luna nuova „ 3<sup>h</sup> 53<sup>m</sup>

18 Primo quarto „ 21<sup>h</sup> 35<sup>m</sup>

25 Luna piena alle 13<sup>h</sup> 16<sup>m</sup>

Il giorno nel mese diminuisce di 0<sup>h</sup> 14<sup>m</sup>.

8 La Luna è in Apogeo alle 15<sup>h</sup>

24 Id. Perigeo „ 4<sup>h</sup>

Il Sole entra nel segno *Capricorno* il giorno 22 alle ore 13 min. 36.



*Un parassita intranucleare nei reni del topo delle chiaviche.*

Nota del Dott. ERMANNO GIGLIO-TOS,

Assistente al R. Museo di Anatomia comparata in Torino.

(Con una tavola).

Nel volume I dell' " *Année Biologique* „ per l'anno 1895 (1) il Dr. A. LABBÉ, ben noto per i suoi studi sugli Sporozoi, dopo di aver dato una breve recensione di un lavoro del DANGEARD su di un parassita del nucleo delle Amebe che egli chiama *Nucleophaga* (2), aggiunge la seguente nota: " L'auteur (DANGEARD) " semble du reste ne pas connaître un autre parasite du noyau, " décrit par STEINHAUS sous le nom de *Karyophagus Salamandrae*, " dans les noyaux des cellules intestinales de la Salamandre " (*Acystis parasitica* Labbé). Les autres parasites signalés dans " les noyaux, par exemple, le *Micrococcidium karyolyticum* de " DRÜNER des noyaux spermatiques de la Salamandre, le *Ka-* " *ryophagus hominis* des cirrhoses n'ont qu'une existence problé- " matique. Il ne semble pas y avoir des parasites nucléaires " vrais: l'*Acystis parasitica* se retrouve aussi bien dans le corps " cellulaire que dans le noyau: les *Drepanidium*, parasites des " globules du sang et de leucocytes de la Grenouille, sont " parfois karyophages; mais ce ne sont pas là des parasites " spécifiquement nucléaires. Le cas de M. DANGEARD, s'il est " vérifié, et s'il est constaté que le *Nucleophaga* ne vit que " dans le noyau, serait le premier cas d'un parasite absolument " *karyophage* „ (p. 20).

Ora, dall'epoca in cui scriveva il LABBÉ a venir fino ad oggi non mi risulta che sieno stati descritti altri parassiti nucleari.

(1) L'*Année Biologique*, " Comptes rendus annuels des travaux de Biologie générale „ publié sous la direction de YVES DELAGE, Paris, 1897.

(2) DANGEARD P. A., *Mémoires sur les parasites du noyau et du protoplasma*, " Le Botaniste „ (IV) XVI. 1896, pp. 199-249.



Mi pare adunque che possa presentare un certo interesse per i Biologi il caso che qui pubblico, sia perchè il parassita mi sembra esclusivamente nucleare, sia poi ancora perchè per la struttura è ben distinto da tutti gli altri parassiti nucleari finora descritti.

Trovai questo parassita nei nuclei delle cellule renali di un surmulotto (*Mus decumanus* Pall.), che proveniva dalle cantine di questa città.

Avendo fatto di un pezzo dei reni di questo topo alcune sezioni per sperimentare un metodo di colorazione, fui colpito, all'osservazione microscopica, dalla presenza in moltissimi nuclei di un corpicciuolo, intensamente colorato come la cromatina, e che, a debole ingrandimento, si sarebbe facilmente scambiato per un vero nucleolo.

Usai allora un ingrandimento maggiore, ricorrendo all'obiettivo apocromatico Zeiss, 1.5<sup>mm</sup>, apert. 1.30, ocul. 4 e riconobbi subito che quei corpicciuoli intranucleari non erano nucleoli, ma corpi estranei al nucleo e rinchiusi in esso, e quindi, stante la loro organizzazione che ora descriverò, veri organismi viventi nel nucleo e perciò da ritenersi quali suoi parassiti.

Esaminai di questi reni così infetti 39 sezioni e in tutte ritrovai numerosissimi i parassiti. Dico numerosissimi, perchè in ogni sezione se ne possono contare certamente assai più di un centinaio, e si noti che ogni sezione non si estende a tutto il rene ma solamente ad una piccola parte di esso. Di fatto le sezioni hanno press'a poco la figura di un triangolo equilatero di soli 3 mm. di lato.

Sarebbe stato certamente assai interessante l'osservare se il surmulotto che conteneva nei suoi reni una sì prodigiosa quantità di parassiti intranucleari presentava qualche accentuato disturbo fisiologico. Naturalmente, non potendo prevedere, quando il topo era ancora in vita, una simile invasione di parassiti non ho fatto in proposito alcuna ricerca od osservazione. Ma posso però dire che, fino al momento in cui lo uccisi, esso stava bene o per lo meno non dava segno manifesto di malessere, il che certamente mi avrebbe colpito.

Perciò, senza volere asserire che la presenza del parassita fosse proprio senza effetto di sorta sulle funzioni fisiologiche del topo, possiamo però ritenere che il disturbo che gli recava non



era tale da perturbarle vivamente. Del resto è a tutti noto, che i surmolotti (*Mus decumanus*, Pall.), detti anche topi delle chiacchie, e per i luoghi che abitano, e specialmente poi per le svariate sostanze che divorano, quasi sempre sono affetti da molti e diversi parassiti così che è, direi quasi, impossibile trovare un solo individuo che non alberghi, o nei visceri, o nelle cellule del suo corpo, almeno un parassita. Ciò non ostante nella massima parte dei casi essi non danno segni evidenti di malessere se non quando l'infezione parassitaria diventa veramente eccessiva.

Nel surmulotto in discorso, la presenza del parassita era localizzata quasi esclusivamente alla parte corticale del rene. Le sezioni esaminate comprendono un tratto di parte corticale ed un piccolo tratto di parte midollare, quindi ho potuto facilmente constatare questa limitazione. Invano ho cercato i parassiti nella zona midollare.

Ma nella stessa zona corticale non tutte le sorta di cellule contengono parassiti. Anche qui è facile scorgere una spiccata predilezione del parassita per talune di esse, il che è molto probabilmente in relazione con la natura speciale della cellula ospite da una parte e con le sostanze necessarie alla vita del parassita dall'altra.

Di fatto, nè nei nuclei delle cellule della capsula del BOWMAN, nè in quelli delle cellule dei glomeruli di MALPIGHI, nè tanto meno in quelli delle cellule connettive dello stroma ho mai potuto rinvenire un solo parassita. Solamente i nuclei delle vere cellule epiteliali renali ne erano infetti ed in prevalenza senza dubbio, se non esclusivamente, quelli dei canalicoli contorti.

Naturalmente io non nego che con un esame assai più lungo e minuto sia forse possibile trovare infetta anche qualcuna delle altre cellule, e quindi la esclusione fatta non deve essere intesa in senso rigorosamente assoluto. Essa esprime semplicemente l'impressione che si ritrae da un'osservazione generale delle sezioni.

Il parassita è sempre chiuso dentro al nucleo, senza che questo presenti alcuna lesione o soluzione di continuità che possa essere interpretata come traccia della penetrazione avvenuta. Non ho mai trovato nel corpo cellulare, al di fuori del nucleo, un corpicciuolo qualsiasi che potesse essere ritenuto uguale al



parassita, quindi si può veramente dire che esso è, finora almeno, da considerarsi come un vero parassita specifico del nucleo.

Il corpo del parassita è costituito di due parti: l'una interna che può essere considerata come il *nucleo*, l'altra esterna che rappresenta il protoplasma formando intorno al nucleo un alone, e che chiamerò perciò l'*alone protoplasmatico*.

La forma del suo corpo è alquanto variabile, da quella circolare a mo' quasi di disco, che si può ritenere prevalente e normale, quando il parassita è in riposo (fig. 1, 3, 5, 6, 12, 14, 16, 18) fino ad una forma alquanto irregolare ed allungata (fig. 2, 4, 8, 10, 11, 17) oppure semplicemente ovoidale od ellittica (fig. 7, 9, 13).

Io non ho visto il parassita vivente e quindi non posso asserire con sicurezza che avesse movimenti ameboidi, ma una simile supposizione mi pare fortemente avvalorata appunto da queste diverse forme presentate dal suo corpo. Non viene difatto spontanea quest'interpretazione: che le forme presentate dai parassiti nelle fig. 4, 8, 10, 11, 17 sieno deformazioni di una forma primitiva circolare dovute a formazione di lobi poco accentuati simili appunto a quelli che talune specie di amebe emettono nei loro caratteristici movimenti?

L'alone protoplasmatico, anche ai più forti ingrandimenti, mi si presentò sempre di una perfetta omogeneità, formato di una sostanza trasparente, uniforme, tinta leggermente in gialliccio. Non mi fu possibile assolutamente scorgere alcun accenno ad una struttura granulare.

Il nucleo occupa sempre la parte interna e generalmente centrale del corpo del parassita. Anch'esso è perfettamente omogeneo e tinto uniformemente in rosso intenso dalla fucsina fenica usata per la colorazione. La stessa tinta è pure presentata dai granuli di cromatina dei nuclei delle cellule, ed è precisamente basandomi sopra questa identità di comportamento nella colorazione che credo di poter ritenere la massa centrale del parassita, come un qualche cosa di analogo ad un vero nucleo.

Generalmente esiste un rapporto costante tra la grandezza del parassita e la grandezza del nucleo. Si osservino le fig. 4-18 e si potrà facilmente constatare questo rapporto costante. Quanto più il corpo del parassita è voluminoso, tanto più è proporzionalmente voluminoso anche il nucleo. Solo in rari casi, come



quelli rappresentati nelle fig. 1-3, il nucleo è assai piccolo rispetto al corpo del parassita discretamente grande.

Ma ciò che è ben più strano in questo nucleo si è che la sua forma è quasi costantemente modellata su quella dell'alone protoplasmatico, cosicchè ad ogni cambiamento di contorno di quest'ultimo corrisponde un analogo cambiamento nel contorno del nucleo. Si direbbe insomma che, sebbene l'alone protoplasmatico ed il nucleo sieno due masse, certamente distinte fra loro per natura chimica, formino tuttavia un tutto unico, non godendo di quella certa indipendenza morfologica che in generale si osserva tra il nucleo ed il protoplasma delle comuni cellule.

Come dissi, quasi sempre il nucleo è una massa omogenea dove non è possibile distinguere granuli di sorta; tuttavia qualche rara volta esso si presenta a forma di cerchio, qual'è rappresentata nella fig. 5. Mi è parso però che tale aspetto fosse dovuto a questo fatto: che la parte centrale sia stata decolorata, rimanendo localizzata la tinta alla regione periferica (1).

---

(1) Qui mi si potrebbe obiettare che l'omogeneità del nucleo è forse apparente e dovuta unicamente all'imperfezione della colorazione. Ciò potrebbe anche essere, ma faccio notare che il metodo di colorazione da me usato è di una elettività straordinaria per la cromatina, così che dubito molto che, se il nucleo avesse realmente una struttura granulare come quella dei comuni nuclei, questa non mi si sarebbe svelata.

Il metodo usato per la preparazione di questi pezzi di rene è il seguente:

Fissazione per 3 ore nel liquido di *Hermann*.

Lavatura all'acqua per un'ora e mezzo.

Indurimento agli alcool e inclusione in paraffina come al solito.

Colorazione delle sezioni per 5' con fucsina fenica (a).

Decolorazione per 5' con soluzione satura in alcool assoluto di *Gol-dorange*.

Lavatura con alcool assoluto.

Passaggio all'olio di garofani e chiusura con balsamo del Canada.

---

(a) La soluzione di fucsina fenica è una modificazione di quella di Ziehl e si prepara nel seguente modo:

Soluzione satura in alcool assoluto di fucsina cmc. 10

Soluzione acido fenico 5% „ 490

Si ottiene così un mezzo litro di sostanza colorante molto diluita che si filtra due o tre volte fino a perfetta limpidezza che si conserva indefinitamente e migliora col tempo e che è di una potenza colorante straordinaria.



Anche le dimensioni del parassita sono molto variabili. Esse vanno da 2  $\mu$  fino a 9  $\mu$ ; questi ultimi si possono dire veri giganti rispetto agli altri. Più comuni sono quelli di dimensioni comprese fra questi due estremi limiti. Del resto uno sguardo alla figura della tavola unita a questo lavoro, dove le figure sono tutte eseguite alla stessa scala, con ingrandimento di 2000 diametri, darà, meglio che una lunga descrizione, una esatta idea delle dimensioni della forma e della struttura di questo curioso parassita.

Quanto al numero dei parassiti contenuti in ogni nucleo anch'esso varia notevolmente. Frequenti sono i nuclei in cui il parassita è uno solo (fig. 1-8; 10-13; 16-17); frequenti pure quegli altri in cui i parassiti sono due o tre (fig. 9 e 15); non rari i casi in cui quattro, cinque e persino sei individui siano rinchiusi in uno stesso nucleo (fig. 14 e 18).

Ciò non ostante, esclusi quei nuclei in cui vi è un solo parassita ma eccessivamente voluminoso, oppure più parassiti vi stanno rinchiusi, tutti gli altri nuclei infetti non mostrano segni evidenti di degenerazione o anche di semplice alterazione. Come si può vedere dalle stesse figure 1-7, 10, 12, 13, i nuclei hanno le dimensioni e la struttura normale: ma quegli altri (fig. 8, 9, 11, 14, 16-18), che contengono un solo parassita gigante o più parassiti, sono divenuti più grandi, vescicolosi (fig. 9, 11, 16, 17) ed il reticolo cromatinico mostra segni evidenti di una incipiente alterazione.

Come avviene la riproduzione di questo semplice organismo? È quanto precisamente ho tentato di riconoscere senza essere tuttavia riuscito nell'intento.

Non ho mai trovato un solo caso di vera sporulazione, come mi sarei aspettato per una certa analogia che esso ha coi parassiti intracellulari, e sono propenso a ritenere che la riproduzione avvenga per una semplicissima scissione. Ho notato di fatto in parecchi individui un evidente strozzamento del nucleo accompagnato da un corrispondente strozzamento dell'alone protoplasmatico (fig. 7, 13, 15). Non oserei però asserire recisamente che queste forme debbano ritenersi in istato di scissione.

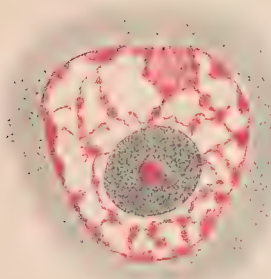
Rimane ora a vedere in quale gruppo dei protozoi debba essere classificato questo parassita: ma l'imperfetta conoscenza del suo ciclo vitale e del suo vero modo di riproduzione ci mette



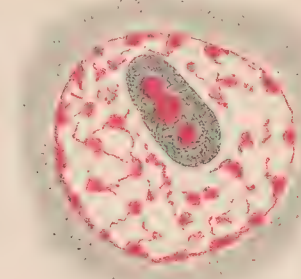




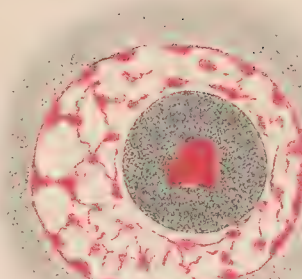
1



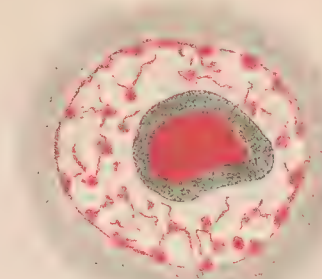
2



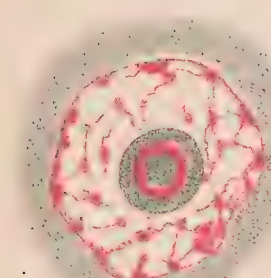
3



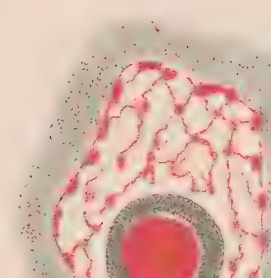
4



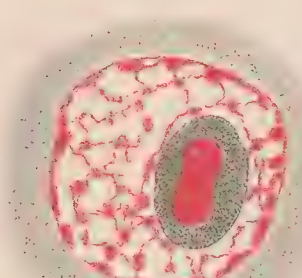
5



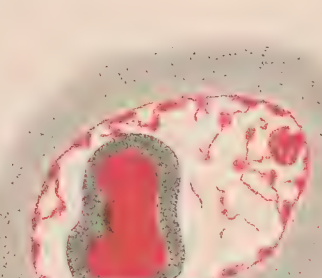
6



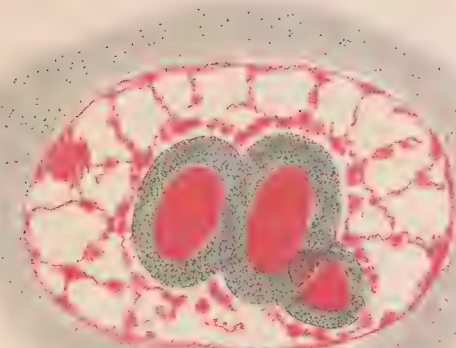
7



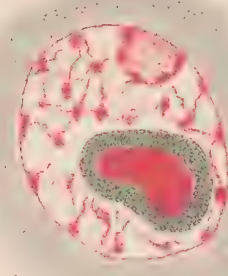
8



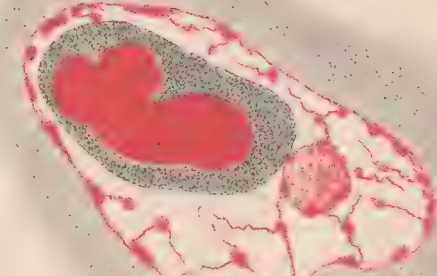
9



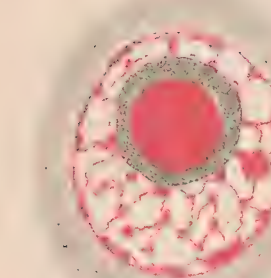
10



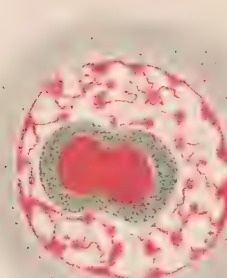
11



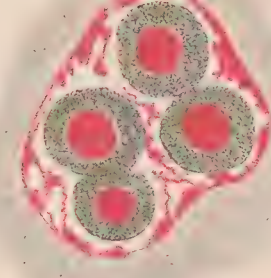
12



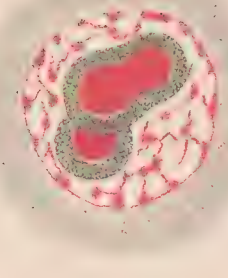
13



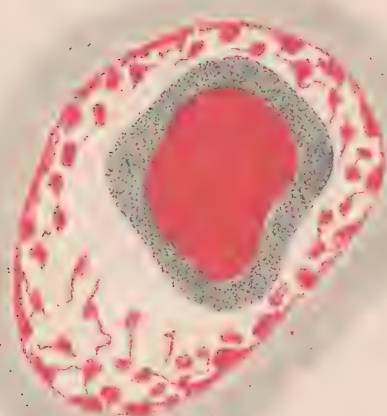
14



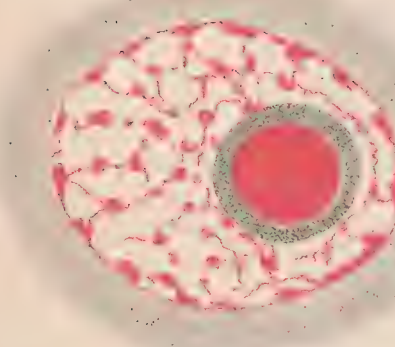
15



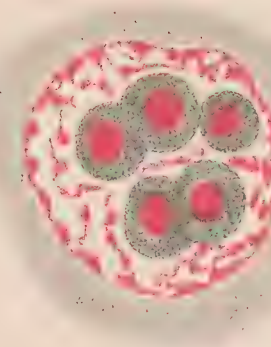
17



16



18





pur troppo nell'impossibilità di giudicare giustamente della sua posizione sistematica.

Certamente esso non ha nulla di comune nè col *Karyophagus Salamandrae* descritto da STEINHAUS (1), nè col *Micrococcidium caryolyticum* descritto da DRÜNER (2), nè con nessun altro coccidio, da me conosciuto, parassita intracellulare. Neppure mi pare che abbia veramente una qualche somiglianza con *Nucleophaga* del DANGEARD.

Creando quindi per questo parassita il nuovo genere *Karyamoeba* propongo di distinguerlo per ora colla denominazione di *Karyamoeba renis* n. sp.

Ricerche e studi ulteriori potranno poi dire se questo nome possa essere con ragione conservato.

---

### SPIEGAZIONE DELLE FIGURE

Tutte le figure sono disegnate alla stessa scala; ingrand. 2000. Obiettivo apochr. Zeiss. 1,5 mm., apert. 1,30, ocul. 4. Tubo evaginato 165 mm. Camera lucida Abbe (nuovo modello).

Fig. 1-18. Nuclei delle cellule epiteliali renali di Surmulotto (*Mus decumanus* Pall.) contenenti uno o più individui di *Karyamoeba renis*.

---

(1) STEINHAUS J., *Karyophagus Salamandrae*. Eine in den Darmepithelzellkernen parasitisch lebende Coccidie, in "Virchow's Arch. f. pathol. Anat.", Bd. 115, 1889, pp. 176-185, taf. V.

(2) DRÜNER L., *Beiträge zur Kenntniss der Kern-und Zellendegeneration und ihrer Ursache*, in "Jenaische Zeitschr. f. Naturwiss.", Bd. 28, 1894, pp. 294-327, taf. XX-XXI.

---



*Sur un théorème de M. Volterra  
sur l'inversion des intégrales définies.*

(Extrait d'une lettre adressée à M. Volterra par ERIK HOLMGREN).

Dans Votre mémoire: *Sulla inversione degli integrali definiti*, nota IV, "Atti della R. Acc. delle Scienze di Torino", vol. 31 (1896), Vous avez démontré le résultat suivant:

Considérons l'équation fonctionnelle

$$(A) \quad f(y) = \int_0^y \varphi(x) H(x, y) dx, \quad 0 < y < a,$$

où

$$f(y) = y^{n+1} f_1(y),$$

$$H(x, y) = \sum_0^n a_i x^i y^{n-i} + H'(x, y),$$

$$H'(x, y) = \sum_0^{n+1} x^i y^{(n+1)-i} L_i(x, y),$$

les  $a_i$  étant des constantes.

Si les fonctions  $f_1(y)$  et  $L_i(x, y)$  et leurs dérivées premières par rapport à  $y$  sont finies et continues, quand  $y$  est situé entre 0 et  $a$ , et si  $H(y, y)$  ne s'annule dans cet intervalle qu'au point  $y=0$ , il existe une et une seule fonction  $\varphi$  finie et continue, qui satisfait, à (A), quand toutes les racines  $\lambda_1, \lambda_2, \dots, \lambda_n$  de l'équation du degré  $n$

$$(B) \quad \frac{a_0}{\lambda-1} + \frac{a_1}{\lambda-2} + \dots + \frac{a_n}{\lambda-n-1} = 0$$

sont finies et distinctes et ont leurs parties réelles positives.

Si l'une ou plusieurs des racines de cette équation ont



leurs parties réelles négatives, et s'il existe une solution de (A), il en existe une infinité.

Permettez-moi de Vous présenter quelques remarques se rattachant au dernier point de ce théorème.

Tout d'abord je fais observer que par une application immédiate de Votre méthode p. 431-437 on peut démontrer le théorème suivant:

*L'équation fonctionnelle:*

$$f(y) = \int_0^y \varphi(x) H(x, y) dx$$

*a les mêmes solutions continues que l'équation*

$$\psi(z) = \int_0^z \varphi(y) G(y, z) dy,$$

où

$$\psi(z) = \sum_1^r \overline{K}_s z^{-\lambda_s+n-r+1} \int_0^z y^{\lambda_s-n-1} f'(y) dy,$$

$$G(y, z) = \sum_0^{n-r} A_i y^i z^{(n-r)-i} + G'(y, z),$$

$\lambda_1, \lambda_2, \dots, \lambda_r$  étant les racines de l'équation (B) qui ont leurs parties réelles positives,

$$\overline{K}_s = \frac{(\lambda_s - n)(\lambda_s - n + 1) \dots (\lambda_s - n + r - 2)}{(\lambda_s - \lambda_1)(\lambda_s - \lambda_2) \dots (\lambda_s - \lambda_r)},$$

$$A_i = (n - i) a_i \sum_1^r \frac{\overline{K}_s}{\lambda_s - i - 1},$$

$$G'(y, z) = \frac{H'(y, z)}{z^r} - \sum_1^r \overline{K}_s (\lambda_s - n - 1) z^{-\lambda_s+n-r+1} \int_y^z x^{\lambda_s-n-2} H'(y, x) dx.$$

*L'équation algébrique*

$$\frac{A_0}{\mu - 1} + \frac{A_1}{\mu - 2} + \dots + \frac{A_{n-r}}{\mu - (n - r) + 1} = 0$$



a les racines  $\lambda_{r+1}, \lambda_{r+2}, \dots, \lambda_n$ , c.à.d. les racines de (B) qui ont leurs parties réelles négatives (\*).

Nous pouvons donc, dans ce qui va suivre, supposer que dans l'équation (B) qui correspond à (A) toutes les racines ont leurs parties réelles négatives. La fonction  $H'(x, y)$  obtenue par la réduction du théorème, n'a pas la forme de l'énoncé de la page 3. Mais pour le suivant, il suffit qu'il soit continué ainsi que  $\frac{\partial H'(x, y)}{\partial y}$  quand  $0 \leq y < a$ , et qu'il satisfasse aux conditions

$$H'(x, y) = y^{n+1} \bar{H}'(x, y), \quad \frac{\partial H'(x, y)}{\partial y} = y^n \bar{H}''(x, y),$$

où  $\bar{H}'(x, y)$  et  $\bar{H}''(x, y)$  sont continues, quand  $y \geq x$ , conditions auxquelles satisfait la fonction  $H'(x, y)$ , si elle est obtenue par la réduction du théorème.

Supposons qu'il existe une solution continue  $\varphi$  de (A). Nous verrons donc, en procédant d'une manière analogue à la Vôtre, que  $\varphi$  satisfait à l'équation (\*\*).

(\*) L'énoncé sur les racines de l'équation algébrique peut s'établir de la manière suivante. Le membre gauche de cette équation peut s'écrire

$$\sum_{s=1}^r \bar{K}_s \left\{ (n - \mu + 1) \sum_{i=0}^{n-r} \frac{a_i}{(\mu - i - 1)(\lambda_s - i - 1)} + \sum_{i=0}^{n-r} \frac{a_i}{\lambda_s - i - 1} \right\}.$$

Si  $\mu$  est une des racines de l'équation (B), qui n'est pas  $\lambda_s$ , nous aurons

$$\sum_{i=0}^{n-r} \frac{a_i}{(\mu - i - 1)(\lambda_s - i - 1)} = - \sum_{i=n-r+1}^n \frac{a_i}{(\mu - i - 1)(\lambda_s - i - 1)},$$

et par suite, si  $\mu$  est une des racines  $\lambda_{r+1}, \lambda_{r+2}, \dots, \lambda_n$ , nous pourrions donner à notre membre gauche la forme

$$- (n - \mu - 1) \sum_{i=n-r+1}^n \frac{a_i}{\mu - i - 1} \sum_{s=1}^r \frac{\bar{K}_s}{\lambda_s - i - 1} - \sum_{i=n-r+1}^n \sum_{s=1}^r \frac{\bar{K}_s}{\lambda_s - i - 1},$$

qui se réduit à zéro, parce que  $\sum_{s=1}^r \frac{\bar{K}_s}{\lambda_s - q} = 0$  ( $q = n - r + 2, \dots, n$ ).

(\*\*) Les désignations sont les mêmes que dans Votre mémoire.



$$\begin{aligned} \sum_1^n K_s z^{-\lambda_s+1} \int_{z_0}^z y^{\lambda_s-n-1} f'(y) dy &= \int_{z_0}^z \varphi(y) \left\{ \sum_0^n a_i + \frac{H'(y, z)}{z^n} - \right. \\ &\quad \left. - \sum_1^n K'_s z^{-\lambda_s+1} \int_y^z x^{\lambda_s-n-2} H'(y, x) dx \right\} dy + \\ &\quad + \sum_1^n z^{-\lambda_s+1} \int_0^{z_0} \varphi(y) \left\{ \int_{z_0}^z x^{\lambda_s-n-1} H_2(y, x) dx \right\} dy, \end{aligned}$$

où nous supposons que  $z \leq z_0 < a$ .

Mais

$$\begin{aligned} &\int_0^{z_0} \varphi(y) \left\{ \int_{z_0}^z x^{\lambda_s-n-1} H_2(y, x) dx \right\} dy = \\ &= \int_0^{z_0} \varphi(y) \left\{ \sum_0^n (n-i) a_i y^i \left( \frac{z^{\lambda_s-i-1}}{\lambda_s-i-1} - \frac{z_0^{\lambda_s-i-1}}{\lambda_s-i-1} \right) + \int_{z_0}^z x^{\lambda_s-n-1} \frac{\partial H'(y, x)}{\partial x} dx \right\} dy, \end{aligned}$$

et par suite, en appliquant les formules (5) p. 433 de Votre mémoire,

$$\begin{aligned} \sum_1^n K_s z^{-\lambda_s+1} \int_0^{z_0} \varphi(y) \left\{ \int_{z_0}^z x^{\lambda_s-n-1} H_2(y, x) dx \right\} dy &= \int_0^{z_0} \sum_0^n a_i \varphi(y) dy - \\ &- \sum_1^n K_s \left( \frac{z}{z_0} \right)^{-\lambda_s+1} \int_0^{z_0} \varphi(y) \sum_0^n \frac{n-i}{\lambda_s-i-1} a_i \left( \frac{y}{z_0} \right)^i dy + \\ &+ \int_0^{z_0} \varphi(y) \left\{ \sum_1^n K_s z^{-\lambda_s+1} \int_{z_0}^z x^{\lambda_s-n-1} \frac{\partial H'(y, x)}{\partial x} dx \right\} dy. \end{aligned}$$

La fonction  $\varphi$  satisfait donc à l'équation fonctionnelle

$$\begin{aligned} (1) \quad \sum_1^n K_s z^{-\lambda_s+1} \int_{z_0}^z y^{\lambda_s-n-1} f'(y) dy &= \int_{z_0}^z \varphi(y) \left\{ \sum_0^n a_i + \frac{H'(y, z)}{z^n} - \right. \\ &- \sum_1^n K'_s z^{-\lambda_s+1} \int_y^z x^{\lambda_s-n-2} H'(y, x) dx \left. \right\} dy + \int_0^{z_0} \sum_0^n a_i \varphi(y) dy - \\ &- \sum_1^n K_s \left( \frac{z}{z_0} \right)^{-\lambda_s+1} \int_0^{z_0} \varphi(y) \sum_0^n \frac{n-i}{\lambda_s-i-1} a_i \left( \frac{y}{z_0} \right)^i dy + \\ &+ \int_0^{z_0} \varphi(y) \left\{ \sum_1^n K_s z^{-\lambda_s+1} \int_{z_0}^z x^{\lambda_s-n-1} \frac{\partial H'(y, x)}{\partial x} dx \right\} dy. \end{aligned}$$



Envisageons maintenant l'équation fonctionnelle

$$(C) \quad \sum_1^n K_s z^{-\lambda_s+1} \int_{z_0}^z y^{\lambda_s-n-1} f'(y) dy = \int_{z_0}^z \varphi(y) \left\{ \sum_0^n a_i + \frac{H'(y, z)}{z^n} - \right. \\ \left. - \sum_1^n K'_s z^{-\lambda_s+1} \int_y^z x^{\lambda_s-n-2} H'(y, x) dx \right\} dy + \int_0^{z_0} \varphi(y) \left\{ \sum_0^n a_i + \right. \\ \left. + \sum_1^n K_s z^{-\lambda_s+1} \int_{z_0}^z x^{\lambda_s-n-1} \frac{\partial H'(y, x)}{\partial x} dx \right\} dy + \sum_1^n \alpha_s z^{-\lambda_s+1},$$

où  $\alpha_1, \alpha_2, \dots, \alpha_n$  sont des constantes arbitraires.

Elle peut facilement s'écrire sous la forme

$$(C') \quad \sum_1^n K_s z^{-\lambda_s+1} \int_{z_0}^z y^{\lambda_s-n-1} f'(y) dy = \int_0^z \varphi(y) \left\{ \sum_0^n a_i + \right. \\ \left. + \sum_1^n K_s z^{-\lambda_s+1} \int_{z_0}^z x^{\lambda_s-n-1} \frac{\partial H'(y, x)}{\partial x} dx \right\} dy + \\ + \int_{z_0}^z \varphi(y) \left\{ \sum_1^n K_s \left( \frac{z}{y} \right)^{-\lambda_s+1} \frac{H'(y, y)}{y^n} + \right. \\ \left. + \sum_1^n K_s z^{-\lambda_s+1} \int_y^{z_0} x^{\lambda_s-n-1} \frac{\partial H'(y, x)}{\partial x} dx \right\} dy + \sum_1^n \alpha_s z^{-\lambda_s+1}.$$

Nous allons établir que les équations (1) et (C') ont les mêmes solutions continues. On voit immédiatement que chacune solution de l'équation (1) est aussi une solution de (C') (pour un système déterminé des constantes  $\alpha_1, \alpha_2, \dots, \alpha_n$ ). Pour démontrer la proposition inverse, supposons que  $\varphi$  soit une solution continue de (C'). Différentions (C') par rapport à  $z$ ; multiplions les deux membres de l'équation ainsi obtenue par  $z^i$  et intégrons entre les limites 0 et  $z_0$ , et nous aurons par l'application de quelques intégrations par parties

$$-i \int_0^{z_0} z^{i-1} \left\{ \sum_1^n K_s z^{-\lambda_s+1} \int_{z_0}^z y^{\lambda_s-n-1} f'(y) dy \right\} dz = \int_0^{z_0} \sum_0^n a_i z^i \varphi(z) dz - \\ -i \int_0^{z_0} z^{i-1} \left\{ \int_0^z \varphi(y) \left( \sum_1^n K_s z^{-\lambda_s+1} \int_{z_0}^z x^{\lambda_s-n-1} \frac{\partial H'(y, x)}{\partial x} dx \right) dy \right\} dz -$$



$$\begin{aligned}
& -i \int_0^{z_0} z^{i-1} \left\{ \int_{z_0}^z \varphi(y) \left( \sum_1^n K_s \left( \frac{z}{y} \right)^{-\lambda_s+1} \frac{H'(y, y)}{y^n} + \right. \right. \\
& \left. \left. + \sum_1^n K_s z^{-\lambda_s+1} \int_y^{z_0} x^{\lambda_s-n-1} \frac{\partial H'(y, x)}{\partial x} dx \right) dy \right\} dz + \sum_1^n \alpha_s (\lambda_s - 1) \frac{z_0^{-\lambda_s+i+1}}{\lambda_s - i - 1} \\
& (i = 1, 2, \dots, (n-1)).
\end{aligned}$$

Le membre gauche de cette égalité et la troisième intégrale du membre droit sont égaux à zéro, la deuxième et la quatrième intégrale sont égales et de signes contraires. Cela résulte de la formule de Dirichlet et des formules (5) p. 433 de Votre mémoire. Donc nous aurons

$$\begin{aligned}
(2) \quad & - \sum_0^n \alpha_j \int_0^{z_0} \left( \frac{x}{z_0} \right)^i \varphi(x) dx = \sum_1^n \alpha_s (\lambda_s - 1) \frac{z_0^{-\lambda_s+1}}{\lambda_s - i - 1} \\
& (i = 0, 1, 2, \dots, (n-1)).
\end{aligned}$$

De ce système nous tirons

$$\begin{aligned}
& - \sum_0^n \alpha_j K_l z_0^{\lambda_l-1} \int_0^{z_0} \varphi(x) \sum_0^n \frac{(n-i) \alpha_i}{\lambda_l - i - 1} \left( \frac{x}{z_0} \right)^i dx = \\
& = K_l \sum_1^n \alpha_s (\lambda_s - 1) z_0^{\lambda_l-\lambda_s} \sum_0^n \frac{(n-i) \alpha_i}{(\lambda_s - i - 1) (\lambda_l - i - 1)},
\end{aligned}$$

où parce que

$$\sum_0^n \frac{(n-i) \alpha_i}{(\lambda_s - i - 1) (\lambda_l - i - 1)} = - (\lambda_s - n - 1) \sum_0^n \frac{\alpha_i}{(\lambda_s - i - 1) (\lambda_l - i - 1)} = 0,$$

quand  $s \neq l$

$$= \sum_0^n \alpha_i \frac{(\lambda_l - \lambda_1) (\lambda_l - \lambda_2) \dots (\lambda_l - \lambda_n)}{(\lambda_l - 1) (\lambda_l - 2) \dots (\lambda_l - n)},$$

quand  $s = l$ ,

$$\alpha_l = - K_l z_0^{\lambda_l-1} \int_0^{z_0} \varphi(x) \sum_0^n \frac{(n-i) \alpha_i}{\lambda_l - i - 1} \left( \frac{x}{z_0} \right)^i dx.$$

La comparaison des deux formules (1) et (C') fait voir que  $\varphi$  satisfait à (1).

La question de déterminer les solutions continues de (A) est donc identique à la même question pour l'équation (C'), car



les équations (1) et (A) ont les mêmes solutions (cela résulte d'une démonstration analogue à celle des p. 435-437 de Votre mémoire).

Nous avons donc démontré le théorème suivant:

*L'équation fonctionnelle*

$$f(y) = \int_0^y \varphi(x) H(x, y) dx, \quad 0 < y < a,$$

dont l'équation algébrique correspondante (B) a toutes les racines fournies des parties réelles négatives, et l'équation

$$(C') \quad F(z) = \int_0^z \varphi(y) G_1(y, z, z_0) dy + \int_{z_0}^z \varphi(y) G_2(y, z, z_0) dy, \quad 0 < z < z_0,$$

où

$$F(z) = \sum_1^n K_s z^{-\lambda_s+1} \int_{z_0}^z f'(y) y^{\lambda_s-n-1} dy - \sum_{s=1}^n \alpha_s z^{-\lambda_s+1},$$

$$G_1(y, z, z_0) = \sum_0^n a_i + \sum_1^n K_s z^{-\lambda_s+1} \int_{z_0}^z x^{\lambda_s-n-1} \frac{\partial H'(y, x)}{\partial x} dx,$$

$$G_2(y, z, z_0) = \sum_1^n K_s \left( \frac{z}{y} \right)^{-\lambda_s+1} \frac{H'(y, y)}{y^n} + \sum_1^n K_s z^{-\lambda_s+1} \int_y^{z_0} x^{\lambda_s-n-1} \frac{\partial H'(y, x)}{\partial x} dx,$$

$\alpha_1, \alpha_2, \dots, \alpha_n$  étant des paramètres arbitraires et  $G_1(y, z, z_0)$ ,  $G_2(y, z, z_0)$ ,  $\frac{\partial G_1(y, z, z_0)}{\partial z}$ ,  $\frac{\partial G_2(y, z, z_0)}{\partial z}$  des fonctions continues, quand  $0 \leq y \leq z$ , ont les mêmes solutions.

Étudions donc l'équation (C').

En différentiant (C') nous trouvons une équation qui a les mêmes solutions que (C'). Elle est de la forme

$$(3) \quad \varphi(z) = \frac{F'(z)}{h(z)} z^n - \int_0^z \frac{\frac{\partial G_1(y, z, z_0)}{\partial z}}{h(z)} z^n \varphi(y) dy - \int_{z_0}^z \frac{\frac{\partial G_2(y, z, z_0)}{\partial z}}{h(z)} z^n \varphi(y) dy.$$

Cette équation a une seule solution continue. L'existence de cette solution se démontre par une application de la méthode



des approximations successives (\*). Les approximations successives convergent, quand  $0 \leq z \leq z_0$ ,  $z_0$  étant si petit que

$$\int_0^z \left| \frac{\frac{\partial G_1(y, z, z_0)}{\partial z}}{h(z)} z^n \right| dy + \int_z^{z_0} \left| \frac{\frac{\partial G_2(y, z, z_0)}{\partial z}}{h(z)} z^n \right| dy < \Delta < 1.$$

Nous verrons immédiatement qu'il n'existe que cette intégrale. Car supposons qu'il en existe une autre  $\varphi_1(z)$ , nous aurons donc

$$\begin{aligned} \varphi(z) - \varphi_1(z) = & - \int_0^z \frac{\frac{\partial G_1}{\partial z}}{h(z)} z^n (\varphi(y) - \varphi_1(y)) dy - \\ & - \int_{z_0}^z \frac{\frac{\partial G_2}{\partial z}}{h(z)} z^n (\varphi(y) - \varphi_1(y)) dy. \end{aligned}$$

Désignons par  $\mu$  le maximum de  $|\varphi(z) - \varphi_1(z)|$ , quand  $0 \leq z \leq z_0$ .

La formule précédente entraîne la contradiction  $\mu < \Delta \mu$ . Nous aurons donc  $\varphi_1(z) = \varphi(z)$ .

Nous pouvons maintenant donner la forme de la solution générale de (A).

Posons que dans (C')  $\alpha_1 = \alpha_2 = \dots = \alpha_n = 0$ . La solution réelle (\*\*)  $\Phi(z)$  de l'équation ainsi obtenue est une solution de (A). Supposons que dans (C')  $f(y) = 0$ ,  $\alpha_1 = \alpha_2 = \dots = \alpha_{s-1} = \alpha_{s+1} = \dots = \alpha_n = 0$  et  $\alpha_s = 1$ . La solution correspondante  $\Phi_s(z)$  est une solution de l'équation

$$(D) \quad \int_0^y \varphi(x) H(x, y) dx = 0.$$

Les fonctions  $\Phi_s(z)$  ( $s = 1, 2, \dots, n$ ) sont linéairement indépendantes. Car la supposition

$$C_1 \Phi_1(z) + C_2 \Phi_2(z) + \dots + C_n \Phi_n(z) = 0$$

entraîne

$$\begin{aligned} C_1 \int_0^{z_0} x^i \Phi_1(x) dx + C_2 \int_0^{z_0} x^i \Phi_2(x) dx + \dots + C_n \int_0^{z_0} x^i \Phi_n(x) dx = 0 \\ (i = 0, 1, 2, \dots, (n-1)). \end{aligned}$$

(\*) Cf. LE ROUX, "Annales de l'École normale", 1895.

(\*\*) Les fonctions  $F(z)$ ,  $G_1(y, z, z_0)$ ,  $G_2(y, z, z_0)$  sont des fonctions réelles.



Mais en appliquant la formule (2) et le fait que

$$\begin{vmatrix} \frac{1}{\lambda_1 - 1} & \frac{1}{\lambda_2 - 1} & \cdots & \frac{1}{\lambda_n - 1} \\ \frac{1}{\lambda_1 - 2} & \frac{1}{\lambda_2 - 2} & \cdots & \frac{1}{\lambda_n - 2} \\ \cdot & \cdot & \cdot & \cdot \\ \frac{1}{\lambda_1 - n} & \frac{1}{\lambda_2 - n} & \cdots & \frac{1}{\lambda_n - n} \end{vmatrix} \neq 0,$$

on trouve que le déterminant du système est différent de zéro, c.à.d. que la relation supposée est impossible. On voit aussi que la solution générale de (D) est une fonction linéaire et homogène de  $\Phi_1(z)$ ,  $\Phi_2(z)$ , ...,  $\Phi_n(z)$ . Comme les fonctions  $\Phi$ , correspondantes à deux racines conjuguées de (B), sont elles-mêmes conjuguées, nous trouvons que la solution générale de (D) est de la forme

$$C_1 \bar{\Phi}_1(z) + C_2 \bar{\Phi}_2(z) + \dots + C_n \bar{\Phi}_n(z),$$

les fonctions  $\bar{\Phi}$  étant réelles et linéairement indépendantes.

En retournant au cas général et combinant ces résultats avec le premier théorème (\*), nous trouvons:

*L'équation fonctionnelle*

$$f(y) = \int_0^y \varphi(x) H(x, y) dx,$$

*dont l'équation correspondante*

$$\frac{a_0}{\lambda - 1} + \frac{a_1}{\lambda - 2} + \dots + \frac{a_n}{\lambda - n - 1} = 0$$

*a r racines, dont les parties réelles sont positives (les autres ont leurs parties réelles négatives) a la solution générale de la forme*

$$\Phi(z) + C_1 \Phi_1(z) + C_2 \Phi_2(z) + \dots + C_r \Phi_r(z)$$

*les  $\Phi$  étant des fonctions réelles connues.*

---

(\*) Les fonctions  $\psi(z)$  et  $G(y, z)$  qui figurent dans ce théorème sont des fonctions réelles.



Il est facile de voir que Votre résultat que (D) a une solution de la forme  $y^{-\lambda}\theta(y)$ , où  $\theta(y)$  est la solution de l'équation

$$1 = \frac{h(y)}{y^n} \theta(y) + \int_0^y \theta(x) \frac{\partial Q(x,y)}{\partial y} \left(\frac{x}{y}\right)^{-\lambda} dx,$$

$$Q(x,y) = \sum_0^n a_i + \frac{H'(x,y)}{y^n} - \sum_1^n K'_s y^{\lambda_s+1} \int_x^y H'(x,\xi) \xi^{\lambda_s-n-2} d\xi$$

et  $\lambda$  est une des racines de (B) dont la partie réelle est la plus petite, peut se déduire comme une conséquence immédiate de nos théorèmes.

A la fin, je veux faire une remarque sur la question de l'inversion dans le cas où

$$H(x,y) = a_0 y + a_1 x + H'(x,y),$$

mais  $a_0 + a_1 = 0$ , cas que Vous avez mentionné dans Votre nota III des "Atti di Torino" (\*).

Supposons

$$H'(x,y) = \alpha y^2 + \beta xy + \gamma x^2 + H''(x,y), \quad \alpha + \beta + \gamma \neq 0,$$

où

$$H''(x,y) = \sum_0^3 x_i y^{3-i} L_i(x,y),$$

les  $L_i(x,y)$  étant continues ainsi que les dérivées premières par rapport à  $y$  (et bien entendu  $f(y) = y^3 f_1(y)$ ).

J'ai trouvé que, si  $\frac{\alpha_0}{\alpha+\beta+\gamma} > 0$ , il n'existe qu'une seule intégrale, mais que, si  $\frac{\alpha_0}{\alpha+\beta+\gamma} < 0$ , il en existe une infinité (dépendante d'une constante arbitraire).

Supposé que  $\frac{\alpha_0}{\alpha+\beta+\gamma} > 0$ , on démontre facilement que (A) a les mêmes solutions que l'équation

$$(3) \quad \psi(y) = \int_0^z \varphi(y) G(y,z) dy,$$

$$\psi(y) = z^{-\nu-2} e^{\frac{\mu}{z}} \int_0^z y^{\nu} e^{-\frac{\mu}{y}} f'(y) dy$$

---

(\*) *Sulla inversione degli integrali definiti*, nota III, "Atti della R. Accademia delle Scienze di Torino", t. 31 (1896).



$$G(y, z) = (\alpha + \beta + \gamma) - \beta z^{-\nu-2} e^{\frac{\mu}{z}} \int_y^z (x-y) x^\nu e^{-\frac{\mu}{x}} dx + \\ + z^{-\nu-2} e^{\frac{\mu}{z}} y^\nu e^{-\frac{\mu}{y}} H''(y, y) + z^{-\nu-2} e^{\frac{\mu}{z}} \int_y^z H''_2(y, x) x^\nu e^{-\frac{\mu}{x}} dx,$$

où  $\mu = \frac{\alpha_0}{\alpha + \beta + \gamma}$ ,  $\nu = \frac{2\alpha + \beta}{\alpha + \beta + \gamma} - 2$  et  $G(y, z)$  est continue, quand  $y \leq z$ ,  $\frac{\partial G(y, z)}{\partial z}$ , quand  $0 \leq y \leq z$ , et  $\int_0^z \frac{\partial G(y, z)}{\partial z} dz$  tend vers zéro,  $z$  tendant vers zéro. De la même manière que dans le cas général, on démontre que l'équation (3) a une seule solution.

On peut traiter le cas où  $\frac{\alpha_0}{\alpha + \beta + \gamma} < 0$ , d'une manière tout analogue en se servant de l'idée employée dans le cas général (\*).

(\*) Nous faisons observer qu'on a besoin, dans les calculs des formules

$$\lim_{y \rightarrow +0} y^{-\nu} e^{\frac{\mu}{y}} \int_0^y y^{\nu-2} e^{-\frac{\mu}{y}} dy = \frac{1}{\mu}, \text{ si } \mu > 0,$$

$$\lim_{y \rightarrow +0} y^{-\nu} e^{\frac{\mu}{y}} \int_{y_0}^y y^{\nu-2} e^{-\frac{\mu}{y}} dy = \frac{1}{\mu}, \text{ quand } \mu < 0.$$



## *Ricerche sperimentali sul coefficiente magnetometrico.*

Nota di CIRO CHISTONI.

In altra occasione ho esposto un metodo di calcolo abbreviato per ottenere da una serie di osservazioni il valore del *coefficiente magnetometrico* (\*), metodo, che come avvertii, si approssima assai a quello che è da parecchio tempo in uso nell'Osservatorio di Greenwich.

Ricorderò che se si fanno misure di deviazione col magnetometro unifilare dei seni (munito di asta metrica, disposta in senso perpendicolare al meridiano magnetico), collocando il magnete deviatore a due distanze  $R_1$  ed  $R_2$  dal magnetino sospeso e si ottengono le deviazioni  $\varphi_1$  e  $\varphi_2$ , mentre la temperatura dell'asta metrica e del magnete deviatore è rispettivamente  $\tau_1$  e  $\tau_2$ ; e se si pone

$$\frac{2(1 - \alpha\tau_1)(1 - hH\sin\varphi_1)}{R_1^3(1 + 3\beta\tau_1)\sin\varphi_1} = A_1, \quad \frac{2(1 - \alpha\tau_2)(1 - hH\sin\varphi_2)}{R_2^3(1 + 3\beta\tau_2)\sin\varphi_2} = A_2$$

nelle quali  $\alpha$  è il coefficiente termico del magnete deviatore;  $h$  il suo coefficiente di induzione;  $H$  il valore della componente orizzontale della forza magnetica terrestre e  $\beta$  il coefficiente di dilatazione lineare dell'asta metrica, si ottiene il valore  $p$  del *coefficiente magnetometrico* mediante la

$$p = \frac{\left(\frac{A_1}{A_2} - 1\right) R_1^2(1 + 2\beta\tau_1)}{\frac{R_1^2(1 + \beta\tau_1)}{R_2^2(1 + \beta\tau_2)} - \frac{A_1}{A_2}} \quad (1)$$

Debbo anche ricordare che nella formola esprime il rapporto fra la componente orizzontale del magnetismo terrestre e

---

(\*) *Sul calcolo del coefficiente magnetometrico, ecc.*, "Atti della R. Accad. delle Scienze di Torino", vol. XXIV (27 gennaio 1889).



il momento magnetico della sbarra deviatrice, dei *fattori di Lamont*, basta tenere conto soltanto del primo (che è poi il *coefficiente magnetometrico*) quando il magnetino sospeso ha una lunghezza uguale a 0,47 circa di quella del magnete deviatore.

Dalla (1), che è formola esatta, ho mostrato come si possa dedurre l'espressione approssimata

$$\log p = \log \text{Costante} + \log \{ (\log \sin \varphi_1 - \log \sin \varphi_2) + \log \text{costante} \} \quad (2)$$

nella quale

$$\text{Costante} = - \frac{R_1^2}{\left( \frac{R_1^2}{R^2} - 1 \right) \log e}$$

$$\log \text{costante} = (\log 1 + a(\tau_1 - \tau_2)) +$$

$$+ \log (1 + hH(\sin \varphi_1 - \sin \varphi_2)) + \log \frac{R_1^3}{R_2^3}$$

ed aggiungeva che volendo schivare di calcolare il  $\log \text{costante}$  per ogni singola esperienza si poteva in quest'ultima espressione introdurre la media dei valori di  $(\tau_1 - \tau_2)$  e di  $(\sin \varphi_1 - \sin \varphi_2)$  ottenuti in una intera serie di osservazioni e calcolare così una sola volta il  $\log \text{costante}$ .

A questo modo di procedere per ottenere il *coefficiente magnetometrico*, il Prof. Luigi Palazzo (\*) fece, con forma corretta, ed in modo affatto obiettivo e ragionato delle critiche, concludendo che per avere la voluta precisione in  $p$ , quando non si voglia fare uso della (1) occorre calcolarlo colla formola, pure approssimata, ma sempre più prossima al vero

$$p = - \frac{R_1^2 (1 + 2\beta\tau_1) (\log A_2 - \log A_1)}{(\log A_2 - \log A_1) + \left( \frac{R_1^2}{R_2^2} - 1 \right) \log e} \quad (3)$$

che si deduce facilmente dalla (1), quando si scriva

$$\frac{A_1}{A_2} = 1 + \log_{\text{nat}} \frac{A_1}{A_2} + \frac{1}{1.2} \log_{\text{nat}}^2 \frac{A_1}{A_2} + \frac{1}{1.2.3} \log_{\text{nat}}^3 \frac{A_1}{A_2} + \dots$$

---

(\*) *Misure assolute degli Elementi del magnetismo terrestre eseguite in Italia negli anni 1888 e 1889* ("Annali dell'Ufficio centrale meteorologico e geodinamico italiano", serie II, vol. XVI, parte I, pag. 57).



e si ritenga

$$2 \frac{R_1^2}{R_2^2} \beta (\tau_1 - \tau_2) = 0$$

come ho dimostrato nel precitato mio lavoro.

La critica del Palazzo mi invogliò a verificare sperimentalmente il limite di precisione che si può ottenere in  $p$ , calcolandolo colla (2) in confronto di quello che si ottiene facendo il calcolo direttamente colla (1).

Nell'autunno del 1897 avendo avuto occasione di passare un paio di mesi a Corleto presso Modena ed avendo avuto modo di stabilire una tenda in libera campagna (\*), ho creduto opportuno di fare, fra le altre, alcune serie di esperienze non solo per lo scopo suddetto, ma anche per verificare, se il coefficiente  $p$  per lo stesso apparecchio e cogli stessi magneti, non variasse praticamente al variare delle distanze  $R_1$  ed  $R_2$  ed in conseguenza al variare dei valori di  $\varphi$ . Uno studio di tal genere, per quanto sappia, non venne mai intrapreso da alcuno.

Per le esperienze mi servì il magnetometro che ho altra volta descritto (\*\*). In quella descrizione è detto come si ponga il magnete deviatore sull'asta metrica.

L'asta metrica è di ottone privo di sostanze magnetiche, ha forma di parallelepipedo retto a base rettangola, della quale le dimensioni sono  $2 \times 0,6$  centimetri; è lunga un metro ed è stata diligentemente lavorata dal meccanico Giacomozzi dell'Istituto fisico della R. Università di Modena.

Porta le divisioni sopra una sola faccia, ha il tratto *zero* a metà della distanza fra i centri dei due fori che servono per applicare l'asta al magnetometro, e dall'una e dall'altra parte dello zero porta le due serie di divisioni:

23 cent.	30 cent.	39 cent.
26 cent.	34 cent.	44 cent.

---

(\*) Si intende che tutti i sostegni della tenda eran privi di sostanze magnetiche.

(\*\*) CHISTONI, *Magnetometro unifilare dei seni* (" Mem. della R. Accad. di Modena „, serie II, vol. IX, pag. 125 ed " Annali dell'Ufficio centrale meteorologico e Geodinamico „, vol. XIV, parte I).



L'una serie è distinta dall'altra per la lunghezza dei tratti e per la collocazione dei numeri corrispondenti. Come si vede la distanza di un tratto dallo *zero* in ognuna delle due serie è uguale alla distanza del tratto precedente moltiplicata per 1,3 circa. È questa, come si sa, una delle migliori condizioni per potere collocare il magnete deviatore sul metro così che i valori delle deviazioni si prestino bene per il calcolo di  $p$ . Le divisioni sull'asta vennero tracciate da me stesso servendomi del bullino unito ad uno dei microscopii del comparatore Perreux dell'Istituto fisico della R. Università di Modena e riferendomi ai tratti di un metro campione. Le due parti dell'asta metrica a partire dallo *zero* sono controsegnate colle due lettere D ed S.

Lo studio accurato dell'asta metrica è una delle condizioni principali per l'uso del magnetometro e tale studio l'ho eseguito servendomi del comparatore Perreux e di un metro stato verificato dal R. Ufficio metrico centrale di Roma.

È noto che l'approssimazione richiesta nella conoscenza della distanza  $R$  fra il centro del magnete deviatore ed il centro del magnetino sospeso è data dalla relazione differenziale

$$dR = \pm \frac{2}{3} R \frac{dH}{H}$$

e che nelle misure assolute (che si fanno in libera campagna) della componente orizzontale  $H$  della forza magnetica terrestre non può pretendersi di avere in  $H$  precisione maggiore della

$$\frac{dH}{H} = \pm 0,0004$$

di modo che posto nell'espressione di  $dR$ ,  $R = 23$ , si ricava che la massima precisione richiesta in  $R$  è di  $\pm 0,06$  di millimetro. Di ogni tratto, tanto sulla faccia D che sulla faccia S dell'asta metrica ho misurato prima la distanza dallo *zero*; e poi ho misurato la distanza di un tratto della parte D dal tratto omonimo della parte S.

Evidentemente, se l'operazione è ben riuscita quest'ultima distanza deve corrispondere alla somma delle distanze dei due tratti dallo *zero*. Di ogni lunghezza si fecero almeno sei misure



ed i risultati finali (che sono ridotti alla temperatura di 0°) stanno riuniti nel seguente specchio:

Centimetri		Centimetri
0 — 23 S = 23,00032		0 — 23 D = 23,00053
0 — 26 S = 25,99750		0 — 26 D = 26,00165
0 — 30 S = 29,99984		0 — 30 D = 30,00098
0 — 34 S = 33,99907		0 — 34 D = 34,00134
0 — 39 S = 38,99910		0 — 39 D = 39,00100
0 — 44 S = 44,00149		0 — 44 D = 44,00185
	Somma dei due valori precedenti	Differenza in millimetri
23 S — 23 D = 46,00086	46,00085	0,0001
26 S — 26 D = 51,99967	51,99915	52
30 S — 30 D = 60,00043	60,00082	39
34 S — 34 D = 68,00004	68,00041	37
39 S — 39 D = 78,00014	78,00010	04
44 S — 44 D = 88,00353	88,00334	19

I risultati mostrano che la precisione richiesta è stata raggiunta completamente; e perciò si può ritenere che a 0° di temperatura i valori delle distanze dallo *zero* del nonio della forcella del magnete fisso del magnetometro, dall'asse di sospensione del magnete mobile, quando lo zero corrisponde ad uno dei tratti sopraccennati, siano:

alla divisione segnata 23 = 23,00043 centimetri				
"	"	"	30 = 30,00031	"
"	"	"	39 = 39,00006	"
"	"	"	26 = 25,99970	"
"	"	"	34 = 34,00011	"
"	"	"	44 = 44,00172	"

Per l'argomento che ci occupa è poi interessante avere con tutta precisione il valore degli angoli di deviazione; e perciò devesi avere speciale riguardo alla influenza della eccentricità



del magnetino sospeso; alla influenza della torsione del filo di sospensione; ed a tutte quelle cause di errore che ho accennate in un'altra pubblicazione (\*). Posso assicurare che nel magnetometro da me usato tutte le correzioni dipendenti dalle sopracennate cause di errore, erano assai inferiori del limite di precisione richiesto.

Le sbarre magnetiche usate in queste esperienze sono state tre, tutte tubulari, a collimatore; ed una, col diametro esterno di circa un centimetro (che servì sempre da magnete deviatore) segnata col numero 1503 è lunga 10 centimetri, pesa 23,0038 grammi, ha il volume di c. c. 3,6016 e nel 1897 possedeva un'intensità di magnetizzazione rappresentata da 330 in unità assolute.

Per questa sbarra è  $h = 0,0055204$  ed il valore di  $a$  è rappresentato dalla formola

$$a = 0,000495 + 0,00000147 (t - 20^\circ)$$

essendo  $t$  espresso in gradi centigradi.

Le altre due sbarre servono da magnetini di deviazione; sono lunghe rispettivamente 4,7 e 5 centimetri e portano i numeri 8902 e 505.

Dalla espressione di  $a$  per il magnete 1503 risulta evidente che come momento magnetico tipo di questa sbarra venne assunto quello che essa possiede a  $20^\circ$  centigradi; e perciò le due espressioni di  $A_1$  e di  $A_2$  vanno così modificate:

$$A_1 = \frac{2 \{ 1 - a(\tau_1 - 20^\circ) \} (1 - hH \sin \varphi_1)}{R_1^3 (1 + 3\beta\tau_1) \sin \varphi_1}$$

$$A_2 = \frac{2 \{ 1 - a(\tau_2 - 29^\circ) \} (1 - hH \sin \varphi_2)}{R_2^3 (1 + 3\beta\tau_2) \sin \varphi_2}.$$

Non è qui il caso che esponga le ragioni per le quali, come temperatura di riferimento preferisco ora la  $20^\circ$ , mentre prima, come fanno quasi tutti, sceglieva la  $0^\circ$ ; le ragioni della conve-

---

(\*) CHISTONI, *Sulla misura delle deviazioni col magnetometro dei seni, ecc.*, "Annali dell'Ufficio Meteorologico e Geodinamico", vol. X, parte IV (1888), pag. 285).



nienza di adottare  $20^{\circ}$  come temperatura di riferimento si trovano esposte in altro lavoro (\*).

Il calcolo dei valori di  $p$  venne fatto direttamente per mezzo della formola (1), dopo avere separatamente calcolati i valori di  $A_1$  e di  $A_2$ , ammettendo

$$H = 0,22066.$$

Come si vedrà le differenze fra i singoli valori di  $p$  in ogni serie di osservazioni, sono piuttosto rilevanti, ma dopo quanto ho esposto nel lavoro sul *Calcolo del coefficiente magnetometrico*, etc. ciò non deve meravigliare.

Ed ora riferirò i risultati ottenuti nelle varie serie di misure.

La prima serie di esperienze (che durò dal 26 agosto al 29 agosto 1897) si fece usando del magnete 8902 come magnetino delle deviazioni e ponendo il centro del magnete deviatore (1503) alle due rispettive distanze (a  $0^{\circ}$  di temperatura)

$$R_1 = 25,99970 \quad R_2 = 34,00011.$$

Si ottenne:

$\varphi_1$	$\tau_1$	$\varphi_2$	$\tau_2$	$p$
38°. 51',8	25,90	16°. 2',3	26,48	26,15
38. 47,4	27,52	16. 0,5	28,12	26,54
38. 43,7	28,20	15. 59,7	28,35	25,98
38. 45,6	28,87	16. 0,9	28,87	25,25
38. 43,0	30,45	16. 0,5	30,70	24,13
38. 44,8	28,32	15. 59,9	28,40	23,91
38. 45,0	27,38	16. 1,8	26,70	23,92
38. 42,7	29,08	15. 59,1	29,15	26,59
38. 40,8	30,22	15. 58,7	30,35	26,01
38. 42,9	29,60	15. 59,4	29,38	26,38
38. 45,1	27,87	16. 0,1	26,95	27,14

ed in media  $p = 25,636$ .

(\*) CHISTONI e DE VECCHI, *Contributo allo studio dei magneti permanenti*, memoria II, " Mem. della R. Accad. di Scienze, Lettere ed Arti di Modena ", serie III, vol. II, pag. 125-272.



La seconda serie si eseguì nello stesso intervallo di tempo e colle stesse sbarre magnetiche, ma collocando il centro del magnete deviatore alle distanze

$R_1 = 34,00011 \qquad R_2 = 44,00172$

$\varphi_1$	$\tau_1$	$\varphi_2$	$\tau_2$	$p$
16°. 2',3	26,48	7°.15',8	26,28	24,55
16. 0,5	28,12	7. 14,5	29,10	26,11
15. 59,7	28,35	7. 14,6	28,10	25,03
16. 0,9	28,87	7. 14,6	29,62	27,10
16. 0,5	30,70	7. 14,4	31,02	27,88
15. 59,9	28,40	7. 14,7	29,15	23,38
16. 1,8	26,70	7. 15,0	27,02	27,73
15. 59,1	29,15	7. 14,5	28,92	23,74
15. 58,7	30,35	7. 14,6	30,05	22,04
15. 59,4	29,38	7. 14,8	29,15	22,75

ed in media  $p = 25,031$ .

La terza serie di esperienze, si eseguì nei giorni 29 e 30 agosto 1897 e si usarono le stesse sbarre magnetiche, ponendo il centro del magnete deviatore alle distanze

$R_1 = 30,00031 \qquad R_2 = 39,00006$ .

Si ottenne:

$\varphi_1$	$\tau_1$	$\varphi_2$	$\tau_2$	$p$
23°.47',9	29,02	10°.28',3	28,65	23,90
23. 45,9	28,42	10. 27,4	27,97	24,22
23. 46,9	29,00	10. 28,1	28,37	23,50
23. 50,1	28,32	10. 28,0	28,07	28,06
23. 49,2	27,72	10. 28,0	27,52	26,75
23. 46,3	28,30	10. 28,1	28,02	22,24
23. 46,2	29,68	10. 27,7	29,92	24,02
23. 49,5	30,08	10. 27,9	30,02	27,32
23. 47,5	29,22	10. 27,7	29,60	24,58
23. 49,0	29,15	10. 27,9	29,10	26,57

Valore medio di  $p = 25,116$ .



Nella quarta serie di misure, il magnete deviatore era sempre il 1503, ed il magnetino delle deviazioni invece era il 505. Le esperienze vennero fatte dal 9 settembre al 20 settembre 1897.

Il centro del magnete deviatore si pose alle distanze

$$R_1 = 25,99970 \quad R_2 = 34,00011.$$

Si ottenne:

$\varphi_1$	$\tau_1$	$\varphi_2$	$\tau_2$	$p$
38°.44',6	24,25	16°. 1',0	24,42	24,32
38. 50,4	23,10	16. 3,4	23,12	23,85
38. 46,7	26,00	16. 0,8	26,02	26,07
38. 41,5	26,12	16. 1,6	26,25	21,26
38. 46,7	23,12	16. 1,5	22,95	24,93
38. 53,4	21,58	16. 2,7	21,95	26,58
38. 54,6	16,52	16. 5,7	16,92	22,12
38. 56,8	18,07	16. 5,0	18,10	25,04
38. 54,7	18,68	16. 3,7	18,75	25,99
38. 53,3	18,50	16. 3,5	18,92	25,13

Media dei valori di  $p = 24,529$ .

La quinta serie di esperienze si fece ancora coi due magneti 1503 e 505, nello stesso intervallo di tempo, durante il quale si eseguì la quarta serie e ponendo il magnete deviatore alle due rispettive distanze

$$R_1 = 34,00011 \quad R_2 = 44,00172.$$



$\varphi_1$	$\tau_1$	$\varphi_2$	$\tau_2$	$p$
16°. 1',0	24,42	7°.15',3	24,62	23,44
16. 3,4	23,12	7. 15,6	23,00	29,08
16. 0,8	26,02	7. 14,8	26,00	26,52
16. 1,6	26,25	7. 15,1	25,97	27,36
16. 1,5	22,95	7. 16,0	22,70	20,96
16. 2,7	21,95	7. 15,8	21,90	25,59
16. 5,7	16,92	7. 17,2	17,00	24,84
16. 5,0	18,10	7. 16,8	17,60	26,31
16. 3,7	18,75	7. 16,8	19,07	21,26
16. 3,5	18,92	7. 16,6	19,20	22,00

Valore medio di  $p = 24,736$ .

La sesta serie si fece colle stesse due sbarre 1503 e 505 il 22 ed il 23 settembre. Il centro del magnete deviatore si pose alle distanze

$$R_1 = 30,00031 \quad R_2 = 39,00006.$$

$\varphi_1$	$\tau_1$	$\varphi_2$	$\tau_2$	$p$
23°.51',1	19,95	10°.30',4	20,55	21,48
23. 51,2	21,65	10. 28,6	21,80	28,14
23. 52,3	22,10	10. 29,9	22,20	25,08
23. 50,0	22,55	10. 29,6	22,50	22,80
23. 55,0	21,75	10. 30,5	21,68	27,23
23. 52,5	19,40	10. 30,4	19,60	23,45
23. 53,0	21,12	10. 30,2	21,20	25,06
23. 50,3	24,17	10. 30,1	23,52	22,27
23. 51,7	23,12	10. 29,9	23,23	24,17
23. 52,5	22,97	10. 29,5	23,00	26,95

Valore medio di  $p = 24,663$ .



Riassumendo adunque, e limitandoci a tenere calcolo solo della seconda cifra decimale, abbiamo ottenuto:

Colle sbarre 1503 (deviatrice) ed 8902 (deviata) alle distanze

25,99970	e	34,00011	$p = 25,64$
34,00011	e	44,00172	$p = 25,03$
30,00031	e	39,00006	$p = 25,12$
ed in media quindi			$p = 25,26.$

Colle sbarre 1503 (deviatrice) e 505 (deviata) alle distanze

25,99970	e	34,00011	$p = 24,53$
34,00011	e	44,00172	$p = 24,74$
30,00031	e	39,00006	$p = 24,66$
ed in media quindi			$p = 24,64$

La precisione richiesta in  $p$  per le misure della componente orizzontale del magnetismo terrestre è data dalla relazione

$$dp = \pm 2R^2 \frac{dH}{H} = \pm 0,0008 R^2$$

e nel caso nostro la precisione richiesta sarebbe;

per $R = 25,99970$	$dp = \pm 0,54$
„ $R = 30,00031$	$dp = \pm 0,72$
„ $R = 34,00011$	$dp = \pm 0,92$
„ $R = 39,00006$	$dp = \pm 1,22$
„ $R = 44,00172$	$dp = \pm 1,55.$

Possiamo perciò concludere che ognuno dei valori medi di  $p$  trovati per ogni singola serie di osservazione, corrisponde alla precisione richiesta; e che in generale dieci misure di deviazione fatte a due determinate distanze  $R$ , sono sufficienti per dare in media il valore di  $p$  colla voluta approssimazione. Dai risultati ottenuti, poi consegue, che il valore di  $p$ , nel magnetometro unifilare dei seni, pure essendo una funzione dipendente dalla distribuzione del magnetismo nelle due sbarre delle quali



si fa uso, è però costante per due date sbarre (purchè abbiano le lunghezze relative assegnate sopra), e praticamente indipendente anche dall'angolo  $\varphi$  di deviazione, come appunto ritiene il Mascart (\*) ed indipendente da  $R$ . Nessuno fin qui, per quanto sappia, aveva sperimentalmente provato giusto questo modo di vedere del Mascart.

E però, quando per un dato magnetometro e per due date sbarre magnetiche si sarà determinato con precisione il valore di  $p$ , questo potrà adottarsi per il calcolo di  $H$ , a qualunque distanza si ponga il magnete deviatore dal magnete sospeso. Tale conseguenza, che a prima giunta, può parere di poco momento, è invece importantissima per la pratica, poichè l'osservatore è reso affatto indipendente nello scegliere quelle distanze  $R$  che meglio gli convengono per ricavare i valori di  $p$ , e di scegliere poi a suo piacimento quelle distanze  $R$  che meglio convengono per la determinazione di  $H$ .

Non credo sia il caso di ripetere ciò che ebbi a dire nel mio precedente lavoro (\*\*) per mostrare quanto importi fare uso di sbarre deviatrici, che possano offrire valori rilevanti di  $\varphi$  e quanto sia pratico, date che siano le due sbarre, di collocare il centro della sbarra deviatrice a distanze  $R$  dal magnete sospeso, tali da potere avere valori considerevoli di  $\varphi$ .

Una discussione teorica di queste asserzioni, o ripeten-dola come la pubblicai in quell'occasione, o formulandola in maniera diversa, sarebbe, a mio vedere, fuori di proposito in questo lavoro di indole affatto sperimentale; ma devo però ripetere quanto ebbi ad affermare undici anni or sono, che cioè la determinazione esatta del *coefficiente magnetometrico* è operazione assai delicata, e mi piace vedere che di questo parere sia pure il Prof. Mascart (\*\*\*).

Venendo ora alla questione fattami dal chiar. Prof. Palazzo, che debbo veramente ringraziare, perchè la sua critica mi decise a mettere mano a questo lavoro, dirò che la differenza che può avvenire fra i valori di  $p$  calcolati colla formola esatta (1)

(\*) *Sur la détermination du champ magnétique terrestre*, "Annales du Bureau Central météorologique de France", a. 1890; Mémoires, pag. 113 B.

(\*\*) *Sul calcolo del coefficiente magnetometrico, ecc.*

(\*\*\*) Loc. cit., pag. 116.



e quelli che si ottengono colla (2), dipende quasi esclusivamente dal trascurare il termine dipendente da  $h$ , quando questo termine abbia valore considerevole.

Scegliamo, ad esempio, la prima serie di misure e calcoliamo coi dati surriferiti i valori di  $p$  colla formola esatta, ma introducendo in essa la media dei valori di  $\tau_1$  e di  $\tau_2$  invece di calcolare  $(1 - a\tau)$  caso per caso; poi deduciamo i valori di  $p$  colla formola (2) calcolando però caso per caso il valore di  $(1 - a(\tau_1 - \tau_2))$ .

Indichiamo con  $p$  il valore del coefficiente magnetometrico dedotto colla formola esatta, quale è stato precedentemente riportato, con  $p_1$  lo stesso valore dedotto colla formola ridotta introducendo la media dei valori di  $\tau_1$  e  $\tau_2$  ed infine con  $p_2$  lo stesso valore ottenuto colla formola (2).

Ecco i risultati:

$p$	$p_1$	$p_2$	$p - p_1$	$p - p_2$
26,15	26,68	25,35	— 0,53	+ 0,80
26,54	27,08	25,70	— 0,54	+ 0,84
25,98	26,15	25,22	— 0,17	+ 0,76
25,25	25,26	24,48	— 0,01	+ 0,77
24,13	24,33	23,41	— 0,20	+ 0,72
23,91	26,50	25,60	— 2,59	— 1,69
23,92	23,30	23,20	+ 0,62	+ 0,72
26,59	26,59	25,69	$\pm$ 0,00	+ 0,90
26,01	26,10	25,18	— 0,09	+ 0,83
26,38	26,19	25,54	+ 0,19	+ 0,84
27,14	26,34	26,26	+ 0,80	+ 0,88
Media	25,64	25,87	— 0,23	+ 0,58

Ritenendo esatto il valore medio di  $p$ , risulta che qualora si adottassero per il calcolo di  $H$  i valori medi di  $p_1$  o di  $p_2$  in luogo di quello di  $p$ , si sarebbe rispettivamente nel caso di raggiungere la precisione

$\frac{dH}{H} = \pm 0,0002$

$\frac{dH}{H} = 0,0006$

per  $R = 23$  cent.

$\frac{dH}{H} = \pm 0,0001$

$\frac{dH}{H} = 0,0003$

per  $R = 30$  cent.



L'introdurre quindi la media di  $\tau_1$  e di  $\tau_2$  nella formola esatta, o ciò che vale lo stesso, l'introdurre nella formola approssimata (2) la media di  $(\tau_1 - \tau_2)$  non può portare in  $p$  sensibile differenza. A prova di ciò citerò anche questi altri risultati medi ottenuti colle altre cinque serie di osservazioni:

		Media di $p$	Media di $p_1$	Differenza
Sbarre 1503 e 8902	II Serie	25,03	25,14	— 0,11
	III „	25,12	25,05	+ 0,07
	IV „	24,53	24,53	$\pm$ 0,00
Sbarre 1503 e 505	V „	24,74	24,72	+ 0,02
	VI „	24,66	24,23	+ 0,43

Ma torniamo alla prima serie e calcoliamo il *coefficiente magnetometrico* colla formola approssimata (2), ammettendo senz'altro che  $\tau_1 = \tau_2$ , ossia che  $\alpha(\tau_1 - \tau_2) = 0$ ; poi ripetiamo il calcolo ritenendo pure  $hH$  ( $\sin \varphi_1 - \sin \varphi_2$ ) = 0. Indichiamo rispettivamente con  $p_3$  e  $p_4$  i risultati; avremo:

$p$	$p_2$	$p_3$	$p_4$	$p - p_2$	$p - p_3$	$p - p_4$
26,15	25,35	25,83	25,11	+ 0,80	+ 0,32	+ 1,04
26,54	25,70	26,20	25,49	+ 0,84	+ 0,34	+ 1,05
25,98	25,22	25,34	24,63	+ 0,76	+ 0,64	+ 1,35
25,25	24,48	24,48	23,76	+ 0,77	+ 0,77	+ 1,49
24,13	23,41	23,62	22,90	+ 0,72	+ 0,51	+ 1,23
23,91	25,60	25,68	24,96	— 1,69	— 1,77	— 1,05
23,92	23,20	22,64	21,93	+ 0,72	+ 1,28	+ 1,99
26,59	25,69	25,75	25,04	+ 0,90	+ 0,84	+ 1,55
26,01	25,18	25,30	24,59	+ 0,83	+ 0,71	+ 1,42
26,38	25,54	25,38	24,66	+ 0,84	+ 1,00	+ 1,72
27,14	26,26	25,52	24,82	+ 0,88	+ 1,62	+ 2,32
Media						
25,64	25,06	25,06	24,35	+ 0,58	+ 0,58	+ 1,29

Da questo risultato si riconosce la nessuna influenza apprezzabile del termine  $\alpha(\tau_1 - \tau_2)$ , mentre è sentita quella del termine  $hH(\sin \varphi_1 - \sin \varphi_2)$ .



Trascurando quest'ultimo termine, si ha tale errore in  $p$  per il quale l'approssimazione relativa che si potrebbe raggiungere in  $H$  sarebbe

$$\text{per } R = 23 \text{ cent.} \quad \frac{dH}{H} = \pm 0,0012$$

$$\text{per } R = 30 \quad , \quad \frac{dH}{H} = \pm 0,0007$$

approssimazione piuttosto grossolana.

Per ciò che riguarda la questione posta dal Prof. Palazzo, debbo concludere, che per avere  $p$  con precisione, a tutte le altre sarà preferibile per il calcolo la formola completa (1); che qualora poi si voglia fare uso di una formola di approssimazione, la formola ridotta (2), quale la consigliai undici anni fa, si presta benissimo, purchè si stia assai guardinghi a non trascurare il termine dipendente da  $h$ , se non in quei casi nei quali si possa evidentemente trascurare.

---

*L'Accademico Segretario*

ANDREA NACCARI.







---

CLASSE  
DI  
SCIENZE FISICHE, MATEMATICHE E NATURALI

---

Adunanza dell'11 Marzo 1900.

PRESIDENZA DEL SOCIO PROF. ALFONSO COSSA  
VICE-PRESIDENTE DELL'ACCADEMIA

---

Sono presenti i Soci: BIZZOZERO, Direttore della Classe, D'OVIDIO, MOSSO, SPEZIA, CAMERANO, SEGRE, VOLTERRA, JADANZA, FOÀ, GUARESCHI, GUIDI, FILETI, PARONA e NACCARI Segretario.

Il Segretario legge l'atto verbale della seduta precedente che viene approvato.

Il Presidente dà notizia che il Ministro della Pubblica Istruzione ha inviato all'Accademia il decreto, con cui viene approvata la nomina del prof. Giorgio Gabriele STOKES a Socio straniero.

Comunica inoltre la lettera di ringraziamento del professore STOKES, quella inviata dal prof. WISLICENUS che fu nominato Socio corrispondente e i ringraziamenti fatti dalla vedova del compianto Socio BELTRAMI per le condoglianze inviate a nome dell'Accademia.

Il Socio CAMERANO presenta in omaggio all'Accademia, a nome dell'autore, un'opera del prof. Giuseppe SERGI, intitolata: *Specie e varietà umane: Saggio di una sistematica antropologia* e la loda.

Vengono inoltre presentate le memorie stampate:

*Sur l'entrecroisement des pyramides chez les marsupiaux et les monotrèmes* del Socio straniero VON KOELLIKER;



*Osservazioni astronomiche e fisiche sulla topografia e costituzione fisica del pianeta Marte, ecc.*, del Socio nazionale non residente prof. G. V. SCHIAPARELLI.

Il Socio JADANZA, al quale insieme col Socio D'OVIDIO erano stati dati in esame due brevi scritti del prof. Pietro GAMBÈRA che trattano della *Scienza cosmologica di Dante* e del *Mistico viaggio dantesco*, propone anche a nome del Socio D'OVIDIO che quei due scritti sieno inseriti negli *Atti*. La Classe approva.

Il Socio Mosso presenta una memoria del dott. Pasquale SFAMENI, intitolata: *Gli organi nervosi terminali del Ruffini e i corpuscoli del Pacini studiati nelle piante e nei polpastrelli del cane, del gatto e della scimmia*. Sarà esaminata dai Soci Mosso, BIZZOZERO e FOÀ.

Il Socio VOLTERRA presenta un'Appendice alla nota del prof. LAURICELLA presentata anteriormente col titolo: *Intorno alle derivate normali della funzione potenziale di superficie*.

---



---

## LETTURE

---

### *Due nuove note dantesche*

del Prof. PIETRO GAMBÈRA.

(Con una tavola).

---

#### I.

#### *Sulla scienza cosmologica di Dante.*

L'aiuola che ci fa tanto feroci,  
Volgendom'io con gli eterni Gemelli,  
Tutta m'apparve da' colli alle foci.  
(*Parad.*, XXII, 151-153).

Dall'ora ch'io avea guardato prima  
I' vidi mosso me per tutto l'arco  
Che fa dal mezzo al fine il primo clima;  
Sì ch'io vedea di là da Gade il varco  
Folle d'Ulisse, e di qua presso il lito  
Nel qual si fece Europa dolce carico.  
E più mi fora scoperto il sito  
Di questa aiuola; ma 'l Sol procedea  
Sotto i miei piedi un segno e più partito.  
(*Parad.*, XXVII, 79-87).

In questi versi è racchiusa una questione cosmologica assai complessa, finora non risolta. Ruscirono pressochè vani anche i tentativi degli astronomi Antonelli e Della Valle, perchè non tennero conto della cronografia del mistico viaggio dantesco, la quale è un dato necessario a interpretare parecchie questioni astronomiche del poema.

Si tratta di spiegare come Dante, quando trovavasi nei Gemelli, preceduto dal sole di un segno zodiacale e più, sia riuscito a vedere, volgendo due sole volte lo sguardo alla terra, tutte le regioni allora conosciute.

Rileviamo anzitutto che il poeta era stato trasportato coi Gemelli, dalla rotazione della sfera stellata, sino al meridiano di Cadice, quando, guardando per la seconda volta il nostro globo,



vide di là, a ponente, l'Oceano follemente valicato da Ulisse e di qua, a levante, il Mediterraneo e l'antico Continente sino al lido dell'antica Fenicia (Siria), dove la donzella Europa fu rapita da Giove e dove finisce il Mediterraneo. Dante avrebbe potuto vedere regioni situate anche più verso oriente, ma esse non erano più illuminate dal sole.

Adunque il sole tramontava a Gerusalemme (il cui meridiano passa appunto al lido più orientale del Mediterraneo), e sorgeva per conseguenza all'opposta isola del Purgatorio. Ma il poeta, dalla sommità del monte di quell'isola, era salito al cielo il giorno prima, quando colà si levava il sole; e per conseguenza aveva già impiegato un giorno (24 ore) nel suo viaggio celeste, allorchè rivolse lo sguardo alla terra, prima di lasciare i Gemelli e salire al nono cielo (*Primo Mobile* sotto l'Empireo).

Si rileva inoltre dal poema (*Inf.*, I, 2, 21; XXI, 112-114; *Purg.*, XXXII, 2; *Parad.*, IX, 40), che Dante cominciò il viaggio la sera del Giovedì Santo dell'anno 1300, il qual giorno cadde il 7 aprile (*Nota* II). Il sole, adunque, aveva già percorsi  $17^\circ$  del segno dell'Ariete (1); cioè, si trovava quasi in mezzo a questa costellazione, come è detto nel poema (*Inf.*, I, 38-40; *Purg.*, VIII, 133-131). E però esso allora era lontano  $13^\circ + 30^\circ + 15^\circ$  ossia  $58^\circ$  dal mezzo del segno dei Gemelli, i quali seguono l'Ariete dopo il Toro.

È noto che il Poeta, per uscire dalla *selva oscura*, percorrere l'Inferno, e salire dal centro della terra al monte del Purgatorio sino al Paradiso terrestre, impiegò *sette giorni*, comprese le 18 ore di fermata, dopo le quali salì al cielo. Ma ho già dimostrato che era trascorso *un altro giorno*, quando egli, prima di lasciare i Gemelli, guardò di nuovo la terra. Adunque aveva compiuti *otto giorni precisi* (192 ore) di viaggio quando salì al nono cielo, supposto che si fosse *ritrovato* per la selva mentre tramontava il sole a Gerusalemme.

---

(1) Ai tempi di Dante non era ancora stato riformato il calendario giuliano, e quindi l'equinozio accadeva parecchi giorni prima del 21 marzo; ma si continuava a supporre che accadesse in quel giorno e che allora il sole entrasse nel segno dell'Ariete. Il poeta seguiva quel calendario, che era quello della Chiesa, pur non ignorando la differenza tra l'anno giuliano e l'anno tropico, per l'effetto che questa differenza produceva di anticipare la data dell'equinozio primaverile (*Parad.*, XXVII, 142-143).



Durante questi otto giorni, il sole si era avvicinato di  $8^\circ$  ai Gemelli; e però, quando Dante da questa costellazione (*dal bel nido di Leda*) guardò per la seconda volta la terra, il sole lo precedeva di  $58^\circ - 8^\circ$  ossia di  $50^\circ$  dello zodiaco ed era nel  $25^{\text{mo}}$  grado dell'Ariete. Ma questi  $50^\circ$  zodiacali corrispondono a  $50^\circ$  di longitudine contati sull'equatore, come si può verificare sulla sfera armillare. Adunque il poeta, quando si trovava nei Gemelli e sopra il meridiano di Cadice, distava  $50^\circ$  di longitudine dal sole e quindi  $40^\circ$  (cioè  $90^\circ - 50^\circ$ ) dal meridiano di Gerusalemme, dove il sole già tramontava, e però era distante  $90^\circ$  da tale meridiano (fig. 1<sup>a</sup>).

Adunque la longitudine assegnata da Dante al mare Mediterraneo, fra Cadice e il meridiano di Gerusalemme, ossia fra Cadice e il lido della Fenicia, risulta di  $40^\circ$ , cioè quasi eguale a quella che è data dalle carte geografiche moderne.

I comentatori però affermano che dal canto nono del *Paradiso* si dedurrebbe che il Poeta assegnò al Mediterraneo  $90^\circ$  e non già  $40^\circ$  di longitudine. Ma *la maggior valle in che l'acqua si spanda, tra discordanti liti*, non finisce col Mediterraneo: essa è il vastissimo bacino che comprende anche il Mar Nero, l'Azov, il Caspio ed i laghi di Aral e Balkash, e che occupa appunto circa  $90^\circ$  di longitudine a levante di Cadice. Del resto sarebbe una vera ingenuità il credere che, ai tempi di Dante (contemporaneo di Marco Polo), si potesse attribuire al Mediterraneo, il quale era il mare più navigato, una longitudine più che doppia di quella che ha realmente.

La principal cagione dell'errore gravissimo, attribuito a Dante dai comentatori, fu l'erronea supposizione che egli avesse stimato Gerusalemme essere al centro del Continente allora conosciuto, e questo occupare quasi tutto l'emisfero terrestre, avente per vertice Gerusalemme. Ma si è detto, e si scorge dalla fig. 1<sup>a</sup>, che Dante assegnò a tale emisfero (in gran parte boreale) ben  $50^\circ$  di longitudine a ponente di Cadice. Il poeta, nominando Siviglia, Cadice e Marocco, ed il Gange, intese evidentemente d'indicare, ma non di fissare, i confini occidentale ed orientale dell'emisfero avente per vertice Gerusalemme.

Continuando ora a discutere la questione proposta da Dante, osservo che egli, trovandosi in mezzo al segno dei Gemelli, era quasi sopra il tropico del Cancro, e quindi aveva di sotto il



confine boreale della zona torrida, cioè del *primo clima* del mezzo emisfero boreale della terra, limitato a ponente dal meridiano di Cadice. Ma si è detto avanti che egli era giunto coi Gemelli a questo meridiano, quando guardò per la seconda volta il nostro globo. Trovavasi adunque ad immensa altezza sopra il lembo occidentale del deserto di Sahara; e potè quindi vedere  $90^\circ$  dell'Oceano (*il varco folle d'Ulisse*), ed anche il continente antico sino al lido della Fenicia, dove allora tramontava il sole. Veramente egli avrebbe potuto vedere  $90^\circ$  di terra verso levante, ma questa oltre i  $40^\circ$  (oltre il lido della Fenicia) era oscura, cioè non più colpita dai raggi solari (fig. 1<sup>a</sup>).

Si rileva dalla seconda terzina, riportata in capo a questa *Nota*, che il Poeta quando, nello stesso giorno, guardò per la prima volta la terra, si trovava di  $90^\circ$  ad oriente di Cadice, ossia di  $50^\circ$  ad oriente del meridiano di Gerusalemme, se si ammette con Dante che da Cadice a Gerusalemme corrano  $40^\circ$  di longitudine.

Ma, siccome egli era nei Gemelli, doveva ancora essere preceduto di  $50^\circ$  zodiacali, ossia dei corrispondenti  $50^\circ$  di longitudine, dal sole, il quale per conseguenza faceva mezzogiorno a Gerusalemme (fig. 2<sup>a</sup>). Perciò potè vedere verso levante  $90^\circ - 50^\circ$  ossia  $40^\circ$  di superficie terrestre ancora illuminati: cioè, vedere sino alla costa più orientale dell'Asia, la quale costa è appunto distante quasi  $90^\circ$  dal meridiano di Gerusalemme. E potè vedere  $90^\circ$  verso ponente, cioè fino al meridiano di Cadice, come si rileva dalla fig. 2<sup>a</sup>.

Dante nei Gemelli si trovava, come si è già detto, quasi sopra il tropico del Cancro e di  $50^\circ$  ad oriente di Gerusalemme, quando guardò per la prima volta la terra. Quindi allora doveva stare quasi di sopra a Calcutta; e potè vedere tutto il Continente allora conosciuto, meno la piccola parte dell'Africa e dell'Europa, situata a ponente del meridiano di Cadice ed occultata al suo sguardo.

Osservo finalmente che il giorno in cui il poeta guardò dai Gemelli due volte la terra, la prima volta quando era mezzodì a Gerusalemme e poi quando vi tramontava il sole, questo era già declinato di parecchi gradi a nord rispetto all'equatore. Egli vide, adunque, anche la regione polare artica e potè vedere sin oltre il Capo di Buona Speranza, che è il luogo più australe



dell'antico Continente, sebbene si trovi a meno di 35° di latitudine.

La parte del Continente antico, che egli vide ambedue le volte, è quella compresa fra i meridiani di Cadice e Gerusalemme (fig. 1<sup>a</sup> e 2<sup>a</sup>).

Pertanto risulta che Dante seppe indicare con poche parole le due posizioni dalle quali, avvolgendosi *con gli eterni Gemelli* preceduto dal sole di 50° zodiacali, poteva riuscire a vedere, *dai colli alle foci*, la prima volta quasi tutto e poi anche il resto dell'antico Continente ed *il varco folle d'Ulisse* sopra l'Oceano.

Risulta inoltre come egli abbia giustamente stimato che tutto il Continente antico (Europa, Asia ed Affrica) fosse compreso nell'emisfero che ha per vertice Gerusalemme (*Inf.* XXXIV, 112-124) e che tale emisfero comprendesse anche buona parte dell'Oceano.

## II.

### *Principio e durata del mistico viaggio dantesco.*

Dalle dichiarazioni di Dante (*Inf.*, I, 2, 21; XXI, 112-114; *Purg.*, XXXII, 2; *Parad.*, IX, 40) si rileva, come si è già detto nella *Nota* precedente, che egli partì dalla *selva oscura* la sera del Giovedì santo dell'anno 1300, il qual giorno cadde il 7 aprile; giacchè è fuor di dubbio che la Domenica di Pasqua avvenne il 10 aprile, come dimostrò il Giambullari, come si deduce mediante la regola di Gausse e come risulta da documenti inopugnabili.

La domenica del 10 aprile 1300 (Pasqua) era proprio la prima dopo il plenilunio susseguente all'equinozio, conformemente alle disposizioni del Concilio di Nicéa. Infatti, secondo i calcoli dell'Antonelli, del Capocci e dell'Angelitti, quel plenilunio, cadde, rispetto al meridiano di Roma, verso le ore 4 antimeridiane del 5 aprile (martedì della settimana santa). E Dante col verso: *E già ier notte* (Giovedì santo) *fu la luna tonda* (*Inf.*, XX, 127), intese appunto di significare che essa fu del tutto piena prima del Giovedì santo, perchè altrimenti in quel verso avrebbe usato l'imperfetto *era* invece del passato remoto *già fu*. Anzi, egli dicendo poi che la luna, quattro giorni dopo il Giovedì santo,



era *quasi a mezzanotte tarda* (*Purg.*, XVIII, 76), cioè che era sorta quasi a mezzanotte, volle proprio indicare che essa fu totalmente piena la mattina del martedì santo (5 aprile), perchè la luna sorge appunto verso mezzanotte, quasi sette giorni dopo il plenilunio.

Adunque il nostro Poeta ben sapeva che il plenilunio che determinava la Pasqua del 1300, cadde il martedì santo (5 aprile), il che però non esclude che la luna, nella notte del giovedì santo (7 aprile), potesse ancora apparire sensibilmente tonda. Così veniva confermata approssimativamente la regola inesatta che usava la Chiesa per determinare il plenilunio.

Perciò non sussiste la contraddizione che i comentatori rilevano, seguendo il Giambullari, il quale per altro suppose giustificabile misticamente il preteso errore dantesco. E risulta erroneo il tentativo fatto da parecchi chiosatori, che riferiscono il viaggio del Poeta all'anno 1301 invece che al 1300 (1).

---

(1) L'astronomo F. Angelitti, direttore dell'Osservatorio di Palermo, provocò in questi ultimi anni una vivace polemica col sostenere che il viaggio dantesco ebbe principio il 25 marzo 1301, che era il sabato precedente alla settimana di passione, perchè in quell'anno la Pasqua cadde il 2 aprile. Egli calcolò che allora la luna era piena, che Venere era mattutina e che queste ed altre circostanze astronomiche, accennate nel poema, non poterono verificarsi il 7 aprile 1300. Aggiunge, seguendo il Blanc, che il 25 marzo è l'anniversario, in anni giuliani, della morte di Cristo secondo una opinione assai diffusa nel medio evo, pur riconoscendo che per tale anniversario era anche indicato l'8 aprile, che nel 1300 cadde appunto in venerdì.

Io non ripeterò le gravi ragioni storiche e morali rilevate dai valorosi contraddittori alla data sostenuta dal valente astronomo. Mi limito ad osservare quanto segue:

1° Se Dante avesse incominciato il viaggio la sera del 25 marzo 1301, nel qual giorno la luna, divenuta piena, sorse poco dopo il tramonto del sole, egli non avrebbe potuto dire che, dopo quattro giorni, essa era *quasi a mezzanotte tarda*, cioè che si era levata quasi a mezzanotte. Invece sarebbe sorta verso le ore 10 pomeridiane e non avrebbe potuto occupare le altre posizioni cronologiche indicate dal poema. Il poeta fece coincidere il principio del suo viaggio col plenilunio ecclesiastico del 7 aprile 1300; ma poi tenne debitamente conto del plenilunio astronomico (5 aprile) nell'indicare le posizioni della luna.

2° Dai calcoli dell'Angelitti risulta che Dante, il mattino del 10 aprile 1300, non avrebbe potuto vedere Venere, la quale non era più mattutina. Ma da tali calcoli risulta anche che Venere allora nemmeno era visibile di sera. Perciò il poeta ben poteva osare di supporla ancora mat-



Si deve rigettare anche l'opinione del Boccaccio, ora generalmente invalsa, che Dante abbia incominciato il viaggio, non il 7 aprile, ma il 25 marzo del 1300.

Infatti, la luna che era piena (aveva quasi 15 giorni) il 5 aprile, dovea avere meno di quattro giorni il 25 marzo; e doveva quindi tramontare, sotto forma di falce sottile, poco dopo il sole. Così, durante la notte del 25 marzo, essa non potè illuminare la *selva oscura*, nella quale il Poeta dichiara invece che si trovò quando la luna si mostrava ancora sensibilmente tonda. Questa doveva sorgere verso le ore 8  $\frac{1}{2}$  di sera e illuminare la selva sino a giorno.

Vero è che il Giubileo del 1300 ebbe principio il 25 dicembre 1299 (Natale); e che Casella dice dell'Angelo che lo aveva sbarcato all'isola del Purgatorio (II, 98-99):

Veramente da tre mesi egli ha tolto  
Chi ha voluto entrar con tutta pace.

tutina. Del resto, secondo il giudizio dell'Accademia della Crusca, *lo bel pianeta che ad amar conforta* — e che *faceva tutto rider l'oriente* — *velando i Pesci, ch'erano in sua scorta* (*Purg.*, I, 19-21), non era Venere, ma bensì il Sole. Il quale infatti era prossimo a sorgere coll'Ariete e doveva quindi velare con la sua luce la già sorta costellazione dei Pesci.

3° Riguardo alla leggenda medioevale che il 25 marzo fosse l'anniversario della morte di Cristo, è da notarsi che Dante non ne tenne conto. Invero, se egli avesse incominciato il viaggio nel 25 marzo 1301, come sostiene l'Angelitti, avrebbe fatto ricorrere la morte di Gesù nel giorno della partenza invece che nel giorno dopo. Evidentemente il poeta sacro non pensò mai di opporsi alla Chiesa, la quale doveva nel 1301 commemorare la morte di Gesù Cristo poco dopo il 25 marzo, e non il 26 (domenica precedente la Pasqua), ma il 31 (venerdì santo).

4° L'Angelitti nel determinare le posizioni che avevano il sole ed alcuni pianeti, il 7 aprile 1300 ed il 25 marzo 1301, rispetto ai segni zodiacali, non tenne conto che col calendario giuliano si continuava a fissare al 21 marzo l'entrata del sole nel segno dell'Ariete; e che quindi gli attuali segni dello zodiaco non coincidono totalmente con quelli di allora. Tenuto conto di ciò, risulta che, il 7 aprile 1300, il sole si trovava nel *diciassettesimo grado* dell'Ariete ossia quasi in mezzo al *letto del Montone*, come già dissi. E risulta invece che, il 25 marzo 1301, il sole era appena nel *quinto grado* del segno di quella costellazione, e però non poteva dirsi coricato nel letto del Montone.

Conchiudo che niuna seria obbiezione scientifica rimane contro la data, 7 aprile 1300, del viaggio dantesco. Anzi solo questa data, fra quelle possibili, sodisfa alle esigenze del poema e specialmente alla principale; cioè che il viaggio abbia avuto principio in un giovedì di passione, due giorni e più dopo il reale plenilunio.



Ma la frase *da tre mesi* non significa *da tre mesi precisi*. Infatti i tre mesi erano già passati anche quando Dante incontrò Casella, pur volendosi supporre che egli avesse incominciato il viaggio la sera del 25 marzo, anzichè in quella del 7 aprile, la qual cosa, come si è detto, è smentita altresì dalle esigenze astronomiche del divino poema.

Si noti finalmente che, non il 25 marzo, ma bensì il 7 aprile (cioè, 17 giorni dopo che il sole era entrato nel segno che, prima della riforma del calendario giuliano, era attribuito all'Ariete) poteva dirsi che il sole fosse coricato *nel letto del Montone* (*Purg.*, VIII, 134-135) ossia fra *quelle stelle — ch'eran con lui, quando l'Amor divino — mosse da prima quelle cose belle* (*Inf.*, I, 38-39).

Determiniamo ora la durata del viaggio dantesco.

*Sera di Giovedì santo (7 aprile).*

Il Poeta, passata la notte vagando per la selva oscura (*Inf.*, I, 21), ne uscì al mattino.

*Sera di Venerdì santo (8 aprile).*

Guidato da Virgilio entrò nell'Inferno (II, 43).

*Sera di Sabato santo (9 aprile).*

I due Poeti raggiunsero il fondo dell'Inferno mentre risorgeva la notte (XXXIV, 68) alla soprastante Gerusalemme, ossia mentre risorgeva il sole all'antipoda isola del Purgatorio. Quindi essi, oltrepassato il vicino centro della terra, si sono trovati immediatamente *da sera a mane* (XXXIV, 105).

*Sera di Pasqua (10 aprile)*

*Mattino all'isola del Purgatorio.*

Dante e Virgilio saliti dal centro alla superficie terrestre, nell'isola del Purgatorio, dove era ancora notte (*Inf.*, ultimo verso), all'alba si sono recati presso il mare:

L'alba vinceva l'ora mattutina.

(*Purg.*, I, 115).



*Sera del lunedì pasquale (11 aprile)*

*Mattino all'isola del Purgatorio.*

Dante, *vinto dal sonno*, si addormentò nell' Antipurgatorio mentre sorgeva l'aurora solare. *Nell'alba* fu tolto da Lucia e trasportato, *come il dì fu chiaro*, presso la porta del Purgatorio. Si è svegliato quando il sole *era alto già più di due ore* (v. la mia *Nota* intitolata: *L'aurora descritta nel canto nono del Purgatorio*, recentemente pubblicata dalla R. Accademia delle Scienze di Torino).

---

*Sera del martedì pasquale (12 aprile)*

*Mattino al Purgatorio.*

Il Poeta si svegliò al sorgere del sole per avviarsi alla quinta cornice:

Su mi levai, e tutti eran già pieni  
Dell'alto dí i giron del sacro monte,  
Ed andavam col sol nuovo alle reni.

(XIX, 38-40).

Allora la luna era quasi arrivata al meridiano del monte del Purgatorio, perchè era colà sorta *quasi a mezzanotte* (XVIII, 76). Infatti, siccome essa fu piena il 5 aprile, come già ho detto, doveva il 12 aprile, cioè sette giorni dopo, essere ridotta quasi all'ultimo quarto (a mezzo disco apparente), e dovea quindi procedere il sole di 90° circa.

---

*Sera del mercoledì pasquale (13 aprile)*

*Mattino al Paradiso terrestre.*

Sognò Lia e si svegliò all'alba:

E già per gli spendori antelucani  
Le tenebre fuggían da tutti i lati  
E il sonno mio con esse; ond'io leva' mi.

(XXVII, 109, 112-114).

---



*Sera del giovedì pasquale (14 aprile)**Mattino al Paradiso terrestre.*

Salì al cielo con Beatrice dalla spianata del monte del Purgatorio (dal Paradiso terrestre) mentre sorgeva il sole (*Par.*, I, 43).

La luna doveva fra due ore circa giungere al meridiano del monte del Purgatorio, perchè il 12 aprile, al sorgere del sole, si trovava presso tale meridiano. Adunque Dante e Beatrice arrivarono ad essere *congiunti con la prima stella* (*Parad.*, II, 30), ossia con la luna, dopo circa due ore di salita, in parte impiegate in discussioni scientifiche. La loro velocità potè ben dirsi dal Poeta fulminea, giacchè si può facilmente calcolare che essa fu di 50 chilometri per minuto secondo, ossia cento volte maggiore di quella di una palla di cannone (1).

Pertanto l'indugio di 18 ore, fatto da Dante e Beatrice prima di salire alla luna, era necessario. Essi dovevano attendere che la luna arrivasse in posizione tale da poter essere raggiunta vicina, quanto più era possibile, al loro zenit. Se avessero fatta l'ascensione nel meriggio del giorno precedente, subito dopo che Dante tornò dal fiume Ennoé, come ha creduto il Benassuti, non avrebbero potuto giungere alla luna, perchè essa allora era colà quasi al tramonto.

*Sera del venerdì pasquale (15 aprile).**Mattino all'isola del Purgatorio.*

Il Poeta salì dai Gemelli al nono cielo mentre il sole tramontava a Gerusalemme ossia sorgeva all'antipoda isola del Purgatorio, come è dimostrato nella *Nota* precedente.

---

(1) Ho dovuto così modificare parte della mia Nota intitolata: *La salita di Dante dall'Eden alla luna*, perchè errai con tutti i comentatori supponendo che il nostro poeta avesse creduto che il plenilunio astronomico, precedente alla Pasqua del 1300, coincidesse col plenilunio ecclesiastico (7 aprile), il che, ripeto, è smentito dalle posizioni da lui assegnate poi alla luna. Del resto, anche il lungo discorso di Beatrice, il quale occupa quasi due canti del poema, prova che la salita non potè essere compiuta in brevissimo tempo.



Pertanto risulta che Dante, per uscire dalla *selva oscura* e visitare l'Inferno, il Purgatorio, il Paradiso terrestre ed i primi otto cieli, impiegò otto giorni (192 ore), supposto che egli si fosse *ritrovato* per la selva, mentre tramontava il sole a Gerusalemme.

Dante non dice quanto tempo abbia impiegato per salire dalla sfera stellata (dai Gemelli) al nono cielo e quante ore sia poi rimasto nella contemplazione dell'Empireo. Ma, tenuto conto delle sue idee simboliche circa il Sole, si può congetturare che la meravigliosa visione abbia avuto fine dopo altre 12 ore, mentre risorgeva il sole a Gerusalemme e l'alba a Roma e Firenze. E però tutto il viaggio durò *otto giorni e mezzo* ossia 204 ore.

---

*L'Accademico Segretario*

ANDREA NACCARI.







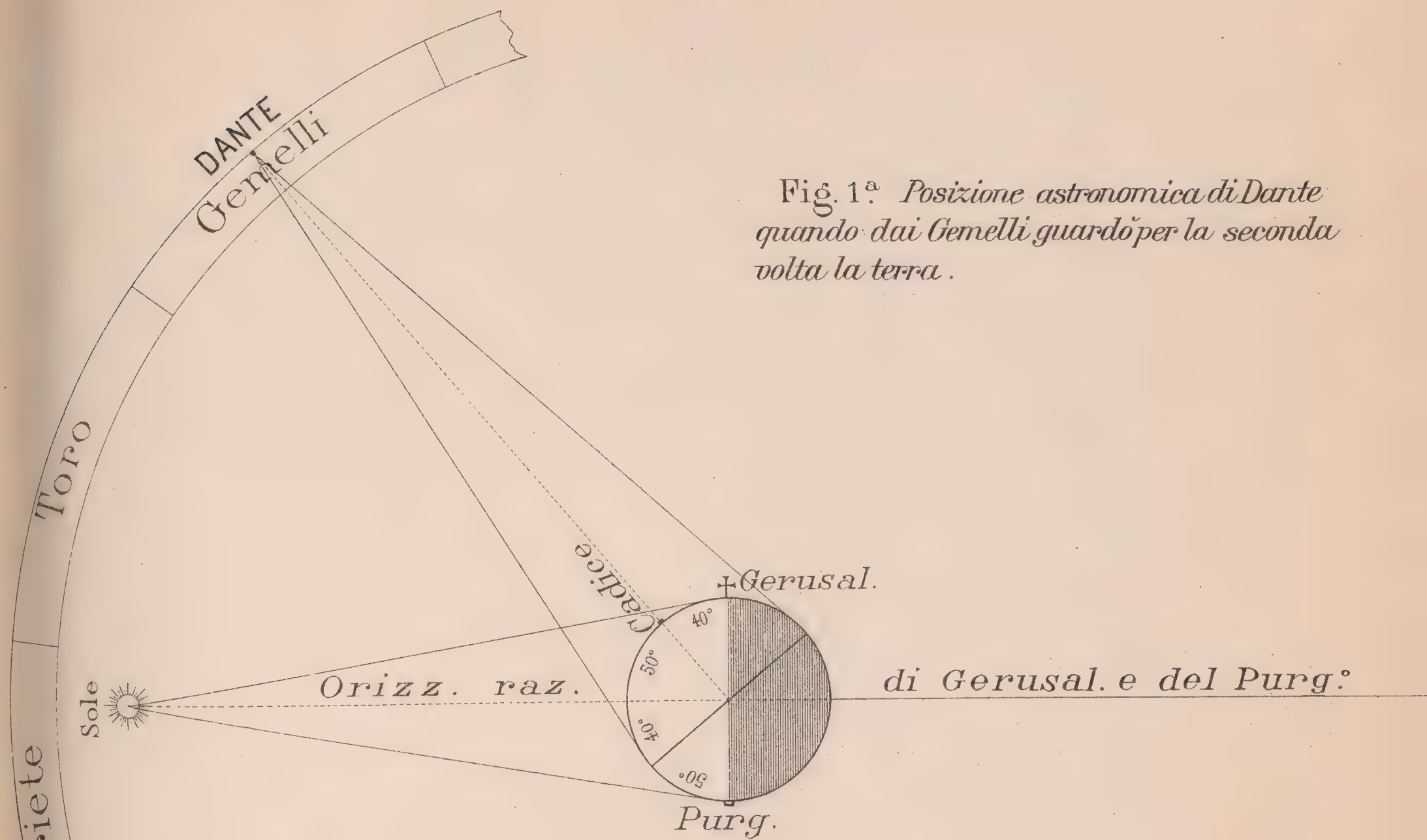
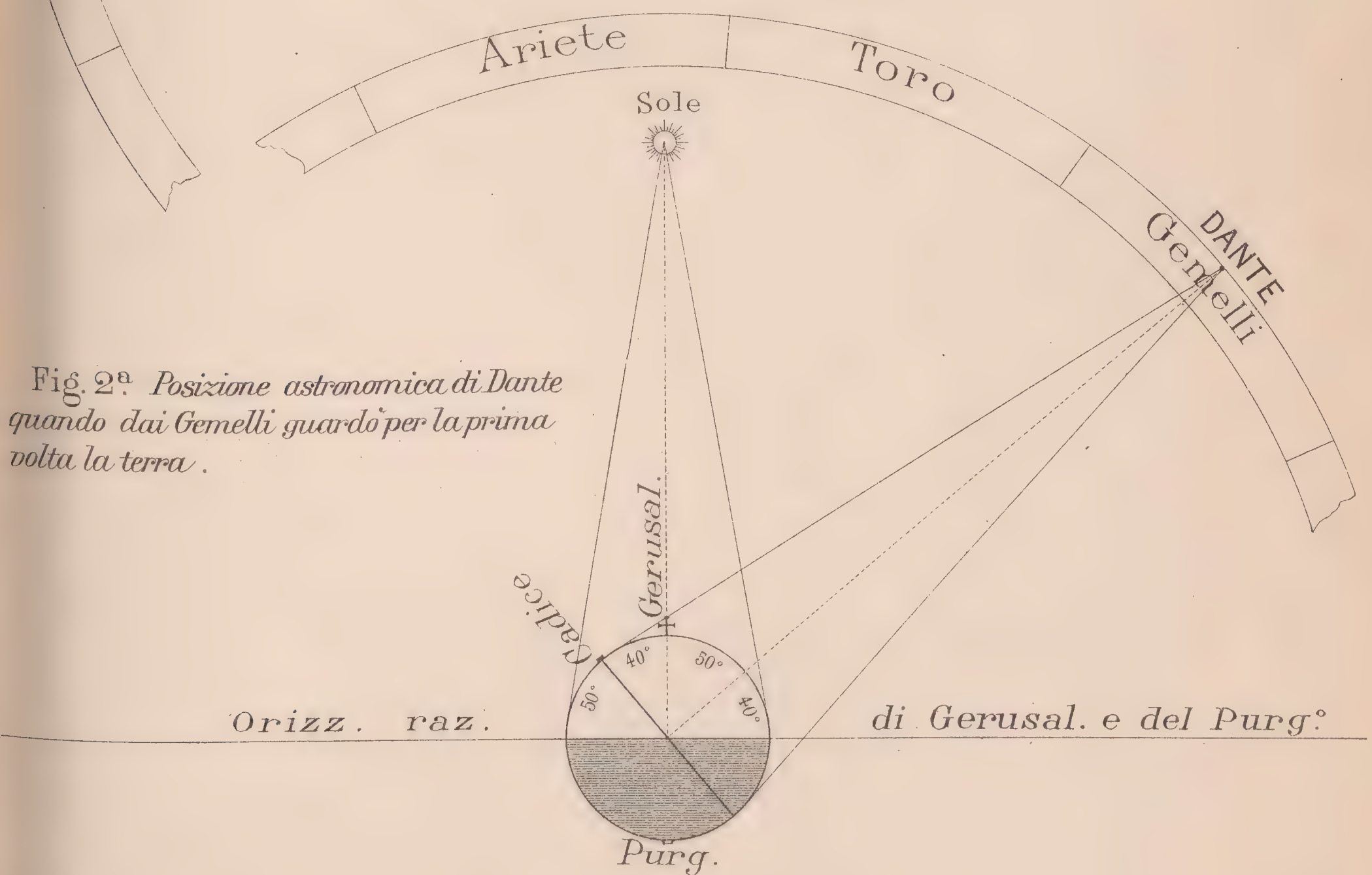


Fig. 2ª Posizione astronomica di Dante quando dai Gemelli guardò per la prima volta la terra.









---

---

CLASSE  
DI  
SCIENZE FISICHE, MATEMATICHE E NATURALI

---

Adunanza del 25 Marzo 1900.

PRESIDENZA DEL SOCIO GIACINTO BERRUTI

---

Sono presenti i Soci: SALVADORI, D'OVIDIO, MOSSO, CAMERANO, SEGRE, VOLTERRA, JADANZA, FOÀ, GUARESCHI, GUIDI e NACCARI Segretario.

Il Segretario legge l'atto verbale della precedente adunanza, che viene approvato.

Si dà comunicazione della lettera, con cui il prof. Teodoro LIEBISCH ringrazia per la sua nomina a corrispondente.

Vengono accolti per la inserzione negli *Atti* gli scritti seguenti:

*Una nuova trimetilpiridina*, nota del Socio GUARESCHI,

*Lo studio quantitativo degli organismi e gli indici di variabilità, di variazione, di frequenza, di deviazione e di isolamento*, nota del Socio CAMERANO.

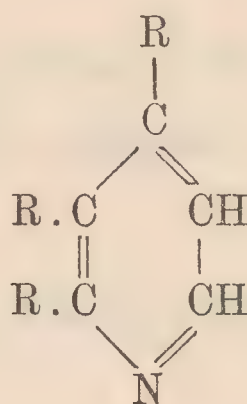


## LETTURE

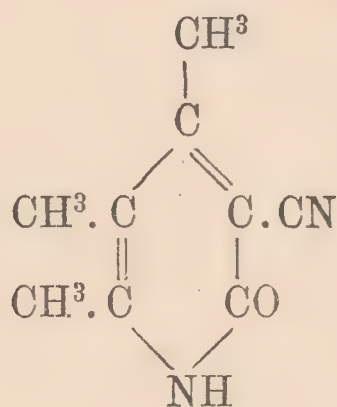
### *Una nuova trimetilpiridina.*

Nota del Socio ICILIO GUARESCHI.

Delle sei trimetilpiridine  $C^5H^2(CH^3)^3N$  teoricamente ammissibili se ne conoscono solamente due e sono: la *trimetilpiridina simmetrica* 1.3.5 (1) e la *trimetilpiridina* 2.3.5 di Ahrens (2). Non si conoscono derivati piridinici trialchilici contigui:



In alcuni miei precedenti lavori ho fatto osservare che i composti cianpiridinici che si ottengono dall'etere cianacetico si possono, per distillazione con polvere di zinco, trasformare in basi piridiniche. Dal cianmetilpiridone si forma l' $\alpha\gamma$ -dimetilpiridina e dal  $\beta$ cianlepidone ottenni la lepidina o  $\beta$ metilchinolina, ecc. Avendo l'anno passato preparato alcuni derivati cianpiridinici dal metilacetilchetone e specialmente il  $\beta$ cian $\gamma\beta'\alpha'$ trimetilpiridone o  $\beta$ cian $\gamma\beta'\alpha'$ trimetil $\alpha$ ossipiridina, fusibile a 305°-306°:

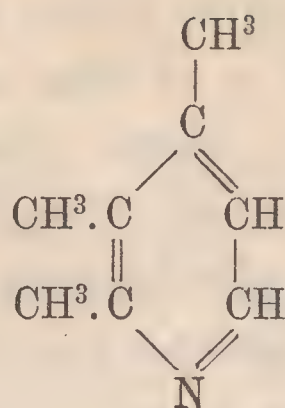


(1) HANTZSCH, "Ann.", 215, p. 33.

(2) AHRENS, "Ber.", XXVIII, p. 796 e XXIX, p. 2998.



ho pensato che da questo si potrebbe ottenere la *trimetilpiridina contigua* 3. 4. 5 cioè:



di cui anzi ho fatto un brevissimo cenno nell'ultimo mio lavoro (1). Questa base isomera delle due sovraccennate è forse identica con qualcuna delle basi  $\text{C}^8\text{H}^{11}\text{N}$  a costituzione ignota e che vanno sotto il nome di *collidine*.

Si conoscono invece i sei acidi piridinetricarbonici  $\text{C}^5\text{H}^2(\text{COOH})^3\text{N}$  corrispondenti alle sei trimetilpiridine teoricamente ammissibili ed io per ossidazione della mia trimetilpiridina contigua ho ottenuto l'acido  $\alpha$ piridinetricarbonico o *acido acarbocincomeronico di Weidel*.

Il ciantrimetilpiridone, fusibile a  $305^\circ$ - $306^\circ$ , fu mescolato con 18 a 20 volte il suo peso di polvere di zinco e per porzioni di 5 a 8 gr. per volta fu distillato entro canna di vetro, scaldata al rosso scuro e in lenta corrente di gas idrogeno.

Si ebbe così un distillato liquido, fluorescente, con un poco di materia solida. Tra i gas sviluppatisi abbondava l'acido cianidrico.

Il distillato fu acidulato con acido solforico diluito, che produce sviluppo di molto acido carbonico e di acido cianidrico, ed estratto varie volte con etere; alcalinizzato con potassa concentrata fu di nuovo esaurito con etere il quale, disseccato con potassa solida, fu distillato. Si ebbe così un residuo oleoso, alcalino, di odore piridinico acuto. Questo fu sottoposto a distillazione frazionata, e fornì principalmente una porzione che bolliva da  $180^\circ$ - $195^\circ$ , che fu di nuovo frazionata, raccogliendo ciò che passava  $185^\circ$ - $187^\circ$ .

Distillò in ultimo una piccola porzione che bolliva verso  $260^\circ$  e che cristallizzava in aghetti bianchi (A).

(1) *Ossipiridine dai  $\beta$  dicheioni*, "Atti R. Acc. di Torino", 1898, p. 24.



La trimetilpiridina 3. 4. 5 è un liquido incolore che all'aria ingiallisce, più leggiera dell'acqua, del p. sp. = 0.9127 a 15°, di odore acuto piridinico. Bolle 185°-188°. È abbastanza solubile anche nell'acqua fredda e la sua soluzione acquosa satura intorbida per riscaldamento, basta tenere il tubo di assaggio fra le mani per vedere il liquido limpido farsi lattiginoso e ritornare limpidissimo dopo raffreddamento. È solubile facilmente in alcool ed in etere. Ha reazione alcalina e manda fumi in presenza di acido cloridrico. La soluzione acquosa della base versata nella soluzione di *solfo di rame* dà un precipitato azzurro insolubile in un'eccesso di base; nella soluzione di *cloruro ferrico* dà precipitato rosso-mattone.

La trimetilpiridina forma dei sali ben cristallizzati; la sua soluzione cloridrica dà precipitato cristallino, giallo, col cloruro platinico; col cloruro d'oro dà abbondante precipitato giallo cristallino; col cloruro mercurico non precipita; precipita con tutti gli altri reattivi degli alcaloidi.

Il *cloridrato* cristallizza in aghi bianchi o in lamelle rettangolari, incolore, solubilissime nell'acqua; è deliquescente.

*Cloroplatinato*  $(C^8H^{11}N)^2 \cdot H^2PtCl^6$ . Si ottiene aggiungendo alla soluzione acquosa concentrata del cloridrato una soluzione pure molto concentrata di acido cloroplatinico. Si ha così un bel precipitato cristallino che per ricristallizzazione dall'acqua si ha in prismi corti, di colore giallo ranciato, insolubili o pochissimo solubili, nella miscela alcolico-eterea. Questo cloroplatinato secco all'aria è *anidro*; fonde a 211°-212° e diede i risultati seguenti alle analisi, che furono eseguite sul sale di varie preparazioni.

I. Gr. 1778, di cloroplatinato secco a 100°-110°, fornirono 0.0532 di Pt.

II. Gr. 0.2600, di sostanza secca a 110°, fornirono 0.0799 di Pt.

III. Gr. 0.3124 fornirono 0.0933 di Pt.

IV. Gr. 0.2896, di sostanza secca a 100°, diedero 11 cm<sup>3</sup> di N a 14° e 740 mm.

Da cui:

	I	II	III	IV
Pt =	29.92	29.96	29.86	—
N =	—	—	—	4.31



Per la formola  $(C^8H^{11}N)^2H^2PtCl^6$  si calcola:

$$Pt = 29.85$$

$$N = 4.28.$$

*Cloroaurato.* Si ottiene precipitando una soluzione concentrata della base, acida per acido cloridrico, con una soluzione mediocrementemente concentrata di acido cloroaurico. Il precipitato si ricristallizza dall'acqua calda. È anidro.

Gr. 0.1795 di sale secco nel vuoto sull'acido solforico fornirono 0.0770 di Au.

Da cui:

	trovato	calcolato per $(C^8H^{11}N)HAuCl^4$ (1)
Au %	42.89	42.75

Questo cloroaurato cristallizza in aghi lunghi, gialli, solubili nell'acqua bollente, pochissimo nella fredda, solubile nella miscela d'alcol ed etere. Scaldato con acqua fonde; secco fonde verso 100°.

Il *picrato*, dal cloridrato neutro coll'acido picrico, si ha in bei cristalli gialli riuniti a stella o a foglia di felci.

Il *solfocianoplatinato*, precipitato dal cloridrato col solfocianoplatinato di potassio, si ha in piccoli cristalli di color giallo vivo che hanno l'aspetto di quelli del picrato.

*Ossidazione della trimetilpiridina contigua 3. 4. 5.* Circa 1.7 gr. di base furono scaldati a b. m. con 12 grammi di  $KMnO^4$  in 600 cm<sup>3</sup> di acqua. Dopo alcune ore scompare l'odore piridinico; con poco alcol scolorato affatto il liquido, filtro. Il liquido filtrato ha reazione alcalina; lo acidulo lievemente con acido nitrico poi lo concentro. Separato un poco di nitrato potassico cristallizzato, tratto il liquido con nitrato baritico il quale dà un abbon-

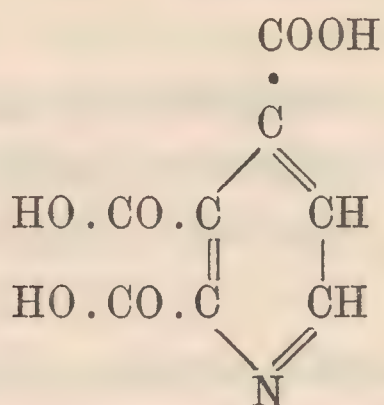
---

(1) Hantzsch ("Ann.", 215, p. 36) nell'analisi del cloroaurato di collidina fusibile a 112°-113° trova  $Au = 39.79$  e dice che per  $C^8H^{11}N.HAuCl^4$  si calcola 40.00 % di Au. Mentre in realtà si calcola 42.75 % ammettendo  $Au = 197.2$ . Anche col peso atomico 196.2 ammesso prima d'ora si calcolerebbe 42.65 %. Come spiegare queste differenze? La base di Hantzsch non era pura?



dante precipitato bianco. Questo precipitato fu ben lavato con acqua. È insolubile in acido nitrico diluito ed anche nell'acido cloridrico diluito; somiglia al solfato baritico. Scaldato sviluppa odore di piridina. Il sale così ottenuto e che non si può far ricristallizzare contiene pare  $8\text{H}^2\text{O}$ , di cui  $6\text{H}^2\text{O}$  perde a  $100^\circ$ - $105^\circ$  e le altre  $2\text{H}^2\text{O}$  a  $230^\circ$ . Il sale disseccato completamente a  $230^\circ$  fornì 49.56 % di *bario*, corrispondente a  $[\text{C}^5\text{H}^2(\text{COO})^3\text{N}]^2\text{Ba}^3$  pel quale si calcola:  $\text{Ba} = 49.69\%$ .

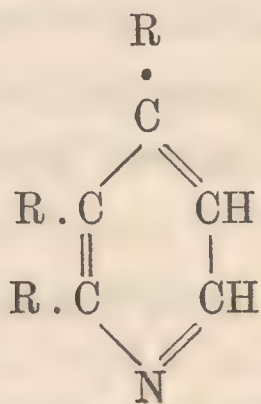
Questo sale baritico, che ha i caratteri del sale di bario dell'acido  $\alpha$ carbocincomeronico, fu trattato con acqua ed acido solforico diluito, in quantità esattamente calcolata. Il filtrato, concentrato, fornì una piccola quantità di un acido cristallizzato che disseccato a  $120^\circ$  fondeva verso  $250^\circ$  e che molto probabilmente, anzi direi senza dubbio, era l'*acido  $\alpha$ carbocincomeronico* di Weidel:



Io penso che partendo dai  $\beta$ dichetoni sostituiti:



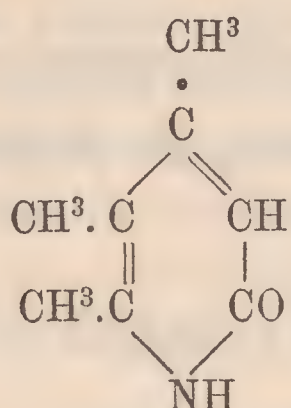
essendo  $\text{R} = \text{CH}^3$ ,  $\text{C}^2\text{H}^5$ ,  $\text{C}^6\text{H}^5$  ecc. si potranno, in generale, ottenere le basi piridiniche trisostituite della forma:



La sostanza (A) separata dalla trimetilpiridina grezza e che bolliva verso  $260^\circ$ - $270^\circ$ , non l'ho potuta ottenere in quan-

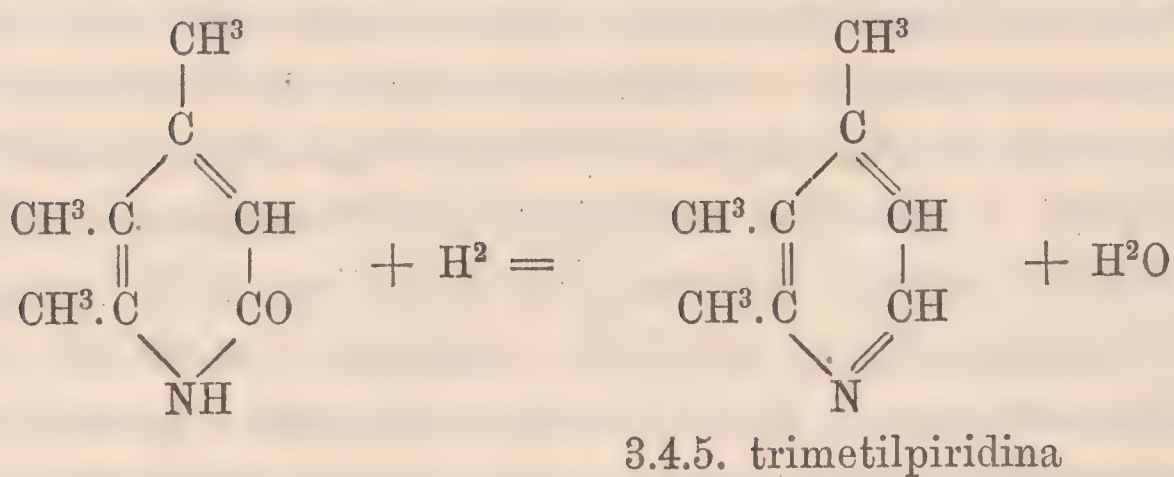
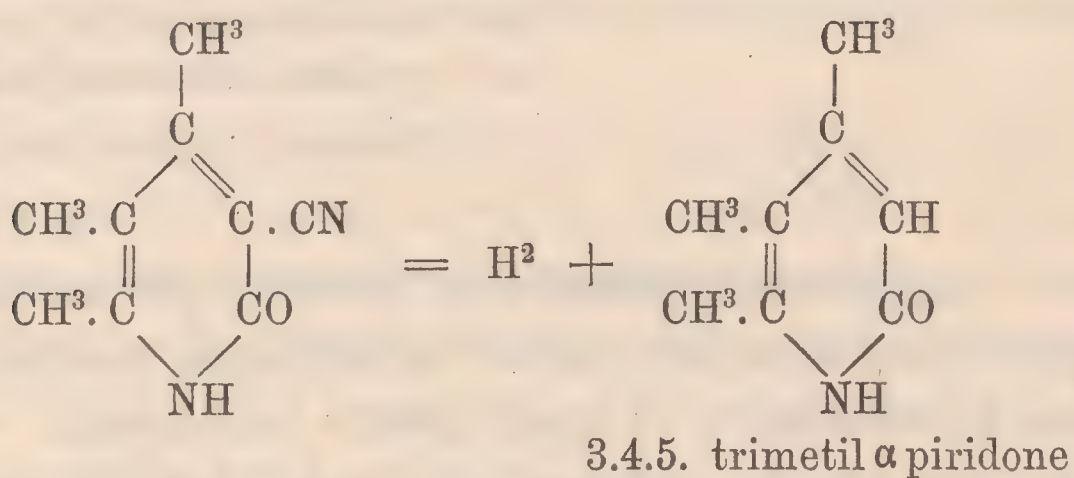


tità da poterla studiare; fonde verso 50°. Però, sia per le proprietà, sia per alcune analisi che ho potuto fare ritengo come assai probabile che questa sostanza sia il *trimetilpiridone* o *3.4.5 trimetilaossipiridina*:



la cui formazione è spiegata anche dalla grande quantità di acido cianidrico che si produce durante la riduzione con polvere di zinco.

Sarebbe il prodotto intermedio della riduzione la quale avrebbe luogo nel modo seguente:



Riduzioni simili saranno studiate sui corrispondenti derivati N-alchilici.

Torino, R. Università 24 marzo 1900.



*Lo studio quantitativo degli organismi e gli indici di variabilità, di variazione, di frequenza, di deviazione e di isolamento.*

Nota del Socio LORENZO CAMERANO.

On peut juger du degré de perfection auquel une science est parvenue, par la facilité plus ou moins grande avec laquelle elle se laisse aborder par le calcul....

Les sciences font des progrès d'autant plus rapides, que les connaissances acquises sont plus exactes et qu'on est parvenu à les exprimer d'une manière plus précise.

QUETELET, *Théorie des probabilités*.

Non è oggi, come ognuno ben intende, più mestieri spender parole per dimostrare il giusto valore delle due sopra riferite asserzioni del Quetelet. È oggi invece necessario ricercare se la biologia sia giunta nei varî suoi rami ad uno stadio di sviluppo tale da concedere che ad essa si possa applicare con frutto il calcolo matematico. I lavori più recenti, indubbiamente molto accurati, della scuola inglese ed americana che tentano la spiegazione delle leggi della variabilità e dell'evoluzione delle forme organiche col calcolo matematico, come già ebbi occasione di dire in una precedente nota (1), mostrano quanto sia lunga la strada da percorrersi dalle ricerche biologiche prima che i loro dati sottoposti al calcolo matematico possano condurre a risultati soddisfacenti in ordine alla spiegazione di leggi generali.

La ragione di questo fatto sta nella seconda delle asserzioni sopra riferite del Quetelet. Molte conoscenze relative ai feno-

---

(1) *Lo studio quantitativo degli organismi ed il coefficiente somatico*, "Atti della R. Accad. delle Scienze di Torino", vol. XXXV, 1900.



meni biologici non sono oggi, poichè spesso non è ancora possibile fare altrimenti, espresse in maniera sufficientemente precisa da potersi sottoporre al calcolo matematico.

La nuova scuola inglese ed americana che si occupa dello studio quantitativo degli animali, non ha, a mio avviso, tenuto conto, in vari casi, in maniera sufficientemente rigorosa, della questione fondamentale: della corrispondenza più stretta possibile, cioè, del dato numerico che sottopone al calcolo colla natura del fenomeno biologico di cui il dato stesso dovrebbe essere l'espressione quantitativa. I dati numerici, in altre parole, vengono spesso preparati in modo da essere l'espressione di un troppo grande numero di cause operanti, e di cui risultante è il fenomeno che appunto viene espresso con unico dato numerico. Questa è una delle ragioni (unitamente alle altre di indole più generale che io già ebbi occasione di accennare nella mia nota precedente sopra citata) dell'utile scarsissimo e talvolta nullo che ricerche laboriosissime della scuola stessa hanno fino ad ora recato in ordine alla conoscenza delle leggi generali della variazione degli organismi.

Io mi occuperò qui dello studio quantitativo degli animali per ciò che riguarda principalmente la variabilità dei caratteri individuali nei loro rapporti coi caratteri specifici.

In tal genere di ricerche sono cose di capitale importanza: la riunione dei dati dell'osservazione, la classificazione e la riduzione in quantità fra loro comparabili.

Il metodo statistico è il solo che possa condurre a qualche risultato utile a condizione tuttavia che le modalità sue siano convenientemente applicate secondo la natura dei fenomeni che i dati raccolti colla osservazione sono chiamati a chiarire.

Se non è d'uopo dire che anzitutto è da stabilir bene quali sono le modalità dei fenomeni che si vogliono mettere in evidenza, è tuttavia opportuno ricordare sempre che i dati, che l'osservazione diretta ci fornisce intorno ai viventi, sono, nella maggior parte dei casi, l'espressione della risultante di cause molteplici, e spesso assai diverse, che hanno agito sul vivente stesso.

Le espressioni numeriche, o come oggi si dice, quantitative dei dati di osservazione che si vogliono sottoporre al calcolo matematico, devono essere preventivamente studiate con critica



adeguata per evitare il pericolo che i risultati del calcolo, matematicamente irreprensibili, non esprimano nulla di preciso in ordine alle leggi biologiche.

Nello studio di una serie qualsiasi di dati di osservazione anatomici o fisiologici, nel più ampio senso di queste due parole, è necessario tener conto di due fatti generali:

1° dei valori diversi dei dati stessi nella serie che si studia;

2° della frequenza colla quale i dati di valore diverso si trovano ripetuti nella serie stessa.

Nel metodo più usato delle medie aritmetiche questi due fatti vengono espressi con un valore risultante unico. Ciò vien seguito pure dagli autori recenti che si occupano dello studio quantitativo degli animali. Il Davenport (1) che ha riunito in un utilissimo libro i metodi statistici in rapporto collo studio della variazione biologica, propone il seguente metodo per la determinazione delle medie.

1° Si dispongono le *varianti* (così vengono denominate le grandezze diverse di un dato in una serie di osservazioni) in *classi* per ordine progressivo di grandezza incominciando dalla minore.

2° Si determina la *frequenza* di ciascuna classe, vale a dire il numero delle varianti di egual valore che entra in ciascuna classe.

Sia  $V$  la variante,  $F$  la frequenza, avremo ad esempio:

Classi	1	2	3	4	.....	$n$
Varianti	$V$	$V + 1$	$V + 4$	$V + 8$	.....	$V + n'$
Frequenze	$F + 3$	$F + 1$	$F + 2$	$F + 3$	.....	$F + n''$

3° Si ottiene la media  $M$  dalla formola seguente

$$M = \frac{V \times (F + 3) + (V + 1) \times (F + 1) + (V + 4) \times (F + 2) + (V + 8) \times (F + 3) \dots (V + n') \times (F + n'')}{(F + 3) + (F + 1) + (F + 2) + (F + 3) + \dots (F + n'')}$$

o più brevemente

$$M = \frac{\sum (v f)}{N}$$

---

(1) *Statistical Methods with special reference to biological variation*, New York, 1899.



in cui  $v$  è la grandezza di ogni classe,  $f$  la frequenza,  $N$  il numero totale delle varianti,  $\Sigma$  la somma dei prodotti delle classi per la rispettiva frequenza.

Si vede da quanto precede che il valore di  $M$  dipende dal numero delle classi, vale a dire dal numero dei valori diversi che un dato in una serie di osservazioni ha presentato, e dal numero delle frequenze dei valori eguali nelle classi.

Questo modo di calcolare la media non mi pare raccomandabile nel caso nostro poichè vengono ad essere conglobate nella stessa espressione numerica le risultanti di due fenomeni diversi.

Se si prende, ad esempio, a considerare le misure di un organo in una serie determinata di individui, si troverà, poniamo il caso, quattro valori diversi:  $a, a + n, a + n', a + n''$  e questa diversità di valori potrà dipendere dalle cause molto complesse della variabilità dell'organo stesso. La frequenza delle quattro classi di valori sarà determinata da un altro ordine di cause che hanno agito sugli individui stessi in modo da far prevalere in essi certe dimensioni dell'organo; se nell'esempio citato si ha:

$$\begin{array}{cccc} a & a + n & a + n' & a + n'' \\ f + 2 & f + 10 & f + 3 & f + 1 \end{array}$$

si potrà conchiudere che il valore  $a + n$  dell'organo in questione prevale per importanza, nella serie di individui studiati, di gran lunga sugli altri.

La causa di tale prevalenza è, ripeto, diversa da quella che ha agito sull'organo inducendo in lui quel grado di variabilità che si fa a noi manifesto coi quattro valori sopraindicati. Aggiungerò ancora, e la cosa non ha bisogno di dimostrazione, che uno stesso valore  $M$  può essere ottenuto con molteplici combinazioni dei valori delle classi e delle frequenze rispettive (1).

(1) Siano ad esempio:	Classi	10	20		
	Frequenza	1	1		avremo $M = 15$
Siano invece:	Classi	10	15	20	
	Frequenza	1	2	1	avremo $M = 15$
„	Classi	8	10	12	30
	Frequenza	1	1	1	1
					avremo $M = 15$
„	Classi	10	15	20	30
	Frequenza	4	1	1	1
					avremo $M = 15$

e così via discorrendo.



È questo uno dei casi più semplici in cui il calcolo ci dà un valore aritmeticamente esatto: ma dal punto di vista biologico poco utile, perchè sotto la sua rigida precisione nasconde fenomeni con andamento molto diverso.

Calcolata la media di una serie di varianti, è importante calcolare l'*indice di variabilità* delle varianti stesse.

Sono stati proposti vari metodi per calcolare l'indice di variabilità. Io ricorderò qui quello proposto dal Davenport (op. cit.) colla formola seguente:

$$\sigma = \sqrt{\frac{\sum (x^2 f)}{n}}$$

in cui:  $x^2$  = al quadrato della deviazione del valore di ciascuna classe dalla media,  $f$  = alla frequenza di ciascuna classe,  $n$  = al numero totale delle varianti,  $\Sigma$  indica la somma dei prodotti dei quadrati della deviazione di ciascuna classe dalla media per la frequenza delle classi stesse.

Anche questo modo di calcolare ci dà un valore  $\sigma$  il quale include in sè il fenomeno della variabilità del dato studiato e la frequenza delle variazioni che esso presenta, e perciò si presta alle stesse osservazioni già fatte a proposito del calcolo della media.

La *deviazione media* (DM) viene dal Davenport calcolata colla formola seguente:

$$DM = \frac{\sum (d f)}{n}$$

in cui:  $d$  è la deviazione della classe dalla media,  $f$  è la frequenza della classe,  $\Sigma$  indica la somma dei prodotti delle deviazioni delle classi per la frequenza rispettiva e  $n$  è il numero totale delle varianti.

Brewster (1) calcola la deviazione media separando i dati numerici delle classi in due gruppi: uno contenente i valori su-

---

(1) *A measure of variability, and the relation of individual variations to specific differences*, "Proceedings of the American Academy of Arts and Sciences", vol. XXXII, 1897.



periori alla media e l'altro i valori inferiori e prendendo la metà della differenza delle medie di ciascun gruppo.

Per rendere poi comparabili gli indici di variabilità e i valori della deviazione media di differenti serie di osservazioni si dividono per le medie rispettive  $\frac{\sigma}{M}$   $\frac{DM}{M}$ . Questi rapporti vengono indicati colla denominazione di coefficienti di variabilità (C V).

Anche il Duncker (1) procede con un analogo metodo generale.

Il metodo sopra indicato, matematicamente irreprensibile, conduce ad ottenere valori che sintetizzano, se così possiamo esprimerci in una cifra sola, troppe cause che operano sulla variazione di un carattere e pur riuscendo comparabili fra di loro e pur concedendoci il paragone fra loro degli effetti finali delle cause di variazione in serie diverse di organismi non riescono, a mio avviso, utili allo studio analitico delle cause stesse.

Ora si è appunto questo studio analitico che è necessario fare nello stato presente della scienza applicando ad esso i metodi statistici al fine di preparare i materiali che tuttora mancano per lo studio di comparazione.

In questo campo è pel momento prematuro qualunque tentativo di sintesi fatto con procedimento matematico o con altro qualsiasi.

*Pare a me che il metodo statistico da applicarsi allo studio della variabilità degli animali debba essere tale da corrispondere alla maggior analisi possibile delle cause di variazione e da concedere la deduzione di dati numerici che, per quanto è possibile, corrispondano in modo preciso all'azione delle cause stesse.*

Io propongo per lo studio della *variazione biologica*, per servirmi dell'espressione della scuola inglese ed americana, il procedimento seguente che per maggior brevità espongo applicandolo ad un caso concreto.

Considero la lunghezza del capo in 21 individui ♀ di *Bufo vulgaris* Laur. del Giappone.

1° I valori assoluti delle misure, in millimetri, riduco in

---

(1) *Die Methode der variationsstatistik*, " Archiv für Entwicklungsmechanik der organismen ", vol. VIII, 1899.



valori espressi in 360<sup>esimi</sup> della lunghezza del corpo col mezzo del coefficiente somatico  $w$  (1).

(1) CAMERANO, Op. cit.

I valori che così si ottengono hanno il vantaggio di presentare più facile e più precisa alla mente nostra la valutazione delle differenze di sviluppo del carattere al quale si riferiscono e di essere senz'altro fra loro comparabili. Essi possono essere intieri, frazionari o misti. Il tener conto o meno delle frazioni dipende dal grado di precisione col quale si vuol procedere nel calcolo ed anche dal grado di precisione raggiunto nelle misure assolute. Questo a sua volta dipenderà, in gran parte, dalla natura dell'organo che si misura e dai mezzi di misura adoperati. Nel caso del carattere preso ora in esame, anche facendo la media di più misure assolute nello stesso individuo, l'errore oscillerà nell'ambito di 1 millimetro circa. Colla riduzione mediante il coefficiente somatico, l'errore viene moltiplicato ed ingrandito secondo la grandezza del coefficiente stesso, la quale dipende dalla lunghezza assoluta del corpo dell'individuo misurato. Non è conveniente quindi trascurare senz'altro le quantità frazionarie dei valori espressi in 360esimi. D'altra parte i numeri intieri accorciano notevolmente i calcoli; si può perciò procedere nel modo seguente:

I valori in 360esimi della lunghezza del capo nei 21 individui sopra detti, sono i seguenti:

110,4	110,88	102,25	105,00	96,30	102,08	97,03
93,00	108,50	97,60	99,65	97,60	105,48	95,70
97,92	101,16	105,26	112,98	82,24	120,00	114,00

La loro somma è eguale a 2155,03.

Si possono arrotondare trascurando le quantità frazionarie inferiori a 0,50, facendo  $= 1$  le quantità superiori a 0,50 od  $= a 0,50$ . Avremo:

110	111	102	105	96	102	97	93	109	98	100
98	105	96	98	101	105	113	82	120	114.	

La loro somma è eguale a 2155.

Ora  $2155,03 - 2155 = 0,03$ .

La quantità 0,03 è trascurabile.

Se si reputa conveniente di tener conto anche delle quantità frazionarie è necessario allora procedere alla costituzione delle Classi col metodo indicato dal Davenport (op. cit.). Riferisco l'esempio citato dal Davenport stesso. Date le varianti:

3,2	3,8	4,1	4,3	4,3	4,5	4,7	4,9	5,0	5,1	5,2	5,2	5,3
5,3	5,4	5,6	5,7	5,8	5,8	5,9	6,0	6,0	6,2	6,4	6,7	7,3

Si dispongono in classi nel modo seguente:



2° Si dispongono i valori in classi disponendole in ordine ascendente di grandezza a cominciare dalla minore e si determina per ciascuna classe la frequenza.

Classi	82	93	96	97	98	100	101	102	105	109	110	111	113	114	120
Frequenza	1	1	2	1	3	1	1	2	3	1	1	1	1	1	1

Nel caso nostro la differenza fra due classi consecutive è eguale ad 1 (vale a dire  $\frac{1}{360}$  della lunghezza totale del corpo).

3° Si considerano anzitutto i valori delle classi senza tener conto della frequenza loro.

I valori delle classi disposti nel modo sopradetto si possono ritenere corrispondere a termini di una progressione aritmetica nella quale il 1° termine è = a 82, l'ultimo termine è = a 120 e la ragione è = 1.

Nella serie di individui presa in esame, i valori 82 e 120 segnano gli estremi della variazione del carattere studiato: essi delimitano ciò che potrebbe dirsi il *campo di variabilità* della lunghezza del capo negli individui stessi. Nel caso nostro, avendo ritenuto la differenza fra le classi consecutive = 1, sono possibili, comprendendo i valori estremi, 39 valori diversi delle classi stesse (1).

Il numero dei valori diversi possibili nel campo di variabilità può ritenersi l'*indice di variabilità* del carattere studiato nella serie di individui presa in esame.

Classi	{	3,0 a 3,4	3,5 a 3,9	4,0 a 4,4	4,5 a 4,9	5,0 a 5,4
Media	{	3,2	3,7	4,2	4,7	5,2
Frequenza		1	1	3	3	7
Classi	{	5,5 a 5,9	6,0 a 6,4	6,5 a 6,9	7,0 a 7,4	
Media	{	5,7	6,2	6,7	7,2	
Frequenza		5	3	1	1	

Pei calcoli ulteriori si tiene conto del valore medio delle singole classi.

(1) Le classi intermedie mancanti nella serie di quelle osservate sono, non è d'uopo dirlo, possibili e una serie più numerosa di individui, pur conservando gli stessi valori estremi, potrebbe presentarle. Un'altra serie di individui può presentare termini estremi del valore del carattere in discorso, più o meno differenti fra loro di quelli della serie qui considerata; ma seguendo i procedimenti qui proposti, i dati quantitativi risultanti dallo studio del carattere stesso nelle diverse serie sono fra loro comparabili.



4° Considero ora il numero delle classi effettivamente osservate nella serie degli individui studiata: esso è di 15. Ciò vuol dire che dei valori possibili, compresi gli estremi, del carattere osservati nei 21 individui presi in esame, se ne trovano solo 15. Il rapporto  $\frac{15}{39} = 0,3846$  può essere considerato come *indice di variazione* della lunghezza del capo nella serie di 21 individui esaminata.

Credo utile distinguere l'*indice di variabilità* dall'*indice di variazione*. Il primo mostra l'estensione del campo di variazione possibile del carattere in una serie, o in altre parole il numero dei suoi valori diversi possibili; il secondo indica la maggiore o minore abbondanza di valori diversi realmente osservabile nella stessa serie di individui che si studia.

L'indice di variazione si ottiene adunque dividendo il numero delle classi osservate nella serie pel numero delle classi possibili; ossia pel numero dei termini della progressione aritmetica istituita fra i valori estremi osservati.

L'indice di variazione sarà eguale ad 1 se tutte le classi possibili si osservano nella serie degli individui che si esamina; 1 è quindi il valore massimo dell'indice di variazione per una data serie.

Data una sola classe di valori in una serie di individui, l'indice di variabilità è  $= 1$  e l'indice di variazione è pure  $= 1$  si avrà  $\frac{1}{1} = 1$ .

Date due classi consecutive, ad esempio 1 e 2, l'indice di variabilità è  $= 2$  e l'indice di variazione eguale ad 1 poichè si avrà  $\frac{2}{2} = 1$ .

Date  $x$  classi osservate ed  $x'$  classi possibili se  $x = x'$  l'indice di variazione è  $= 1$ .

Risulta da queste considerazioni che ad indicare il modo di variazione di un carattere in una serie di individui, è d'uopo considerare sempre i due indici, quello di variabilità e quello di variazione.

Nel caso sopracitato abbiamo, indicando con  $A$  l'indice di variabilità, e con  $a$  l'indice di variazione, la formola seguente:

$$A \ 39 \mid a \ 0,3846$$



nella quale i due valori corrispondono a due modalità del fenomeno di variazione di un carattere in una serie determinata di individui.

5° Media. La media aritmetica dei valori osservati ottenuta cioè dividendo la somma dei valori stessi pel numero degli individui, come è oggi usata da molti per indicare *senz'altro* il valore medio quantitativo di un carattere, non dà risultati soddisfacenti per ciò che riguarda i fenomeni in questione, oltre che per le ragioni precedentemente già dette, anche pel fatto che spesso i valori, che si sommano, sono molto diversi fra loro e il numero degli individui è spesso troppo disegualmente distribuito rispetto ai diversi valori (1). Io propongo il procedimento seguente:

Considerata la progressione aritmetica i di cui termini estremi sono 82 e 120 e di cui la ragione è 1 e che ci rappresenta la serie possibile dei valori della lunghezza del capo nella serie degli individui studiati, si fa la media dei valori di tutti i termini della progressione. La somma dei termini della progressione è data dalla nota formola  $S = \frac{a+l}{2} \times n$  in cui  $a$  è il primo termine,  $l$  l'ultimo termine,  $n$  il numero dei termini. La media sarà:

$$M = \frac{\frac{a+l}{2} \times n}{n} \quad \text{Nel caso nostro } M = 101.$$

101 è il valore intorno al quale oscillano, per dir così, tutti gli altri valori possibili del carattere studiato entro ai limiti dei valori estremi del carattere stesso in una serie determinata di individui, indipendentemente dal numero dei valori intermedii realmente osservati nella serie stessa.

6° Il valore medio così determinato, come ho detto

---

(1) Non è d'uopo insistere su di ciò. Una media aritmetica ad esempio di  $10 + 30 + 40 + 50 + 80$  ci dà 42, valore troppo lontano da 10 e da 80. Qualcuno usa eliminare dalla media i valori troppo diversi; ma così operando il valore della media per lo studio quantitativo dei caratteri viene ad essere meno utile ancora. Neppure è da raccomandarsi al caso nostro il metodo di fare le medie di gruppi di valori meno diversi fra loro e poi una media delle medie così ottenute.



precedentemente, *da solo*, non serve; esso ha importanza per la determinazione dell'indice di *frequenza* delle classi.

I valori che indicano la *frequenza* hanno, a mio avviso, importanza solo a condizione che essi servano ad indicare *la localizzazione della frequenza in gruppi di classi determinate o in una classe determinata*.

Propongo il procedimento seguente:

Essendo  $M = 101$ , si dividono le classi realmente osservate colle rispettive frequenze in 3 gruppi secondo che i valori che le rappresentano sono eguali, superiori od inferiori alla media.

Classi inferiori alla media	82	93	96	97	98	100			
Frequenza	1	1	2	1	3	1			
Classi eguali alla media	101								
Frequenza	1								
Classi superiori alla media	102	105	109	110	111	113	114	120	
Frequenza	2	3	1	1	1	1	1	1	

Si calcola il numero delle varianti di ciascun gruppo.

Varianti  $9 < M$

„  $1 = M$

„  $11 > M.$

Essendo 21 il numero totale delle varianti della serie studiata, potremo stabilire i rapporti seguenti:

$$\frac{9}{21} = 0,4285 \quad \frac{1}{21} = 0,0476 \quad \frac{11}{21} = 0,5238.$$

I numeri 0,4285 0,0476 0,5238 possono ritenersi come *indici di frequenza* delle classi i di cui valori sono inferiori, eguali o superiori alla media.

In ogni caso, se si vuole determinare l'indice di frequenza di un dato gruppo di classi o di una classe determinata qualsiasi, si fa il rapporto della somma delle varianti delle classi stesse, o della classe, e il numero totale delle varianti della serie.



Può essere utile determinare i valori limiti che comprendono la maggior frequenza di varianti. Nel caso nostro la maggior frequenza è compresa fra i valori 95 e 106.

7° Anche la determinazione quantitativa della deviazione delle classi dalla media, a mio avviso, ha importanza solo in quanto si riferisce ad un gruppo determinato di classi o ad una data classe. In ogni caso la determinazione della deviazione delle classi deve essere fatta separatamente, almeno pei valori inferiori e per quelli superiori alla media.

Propongo il procedimento seguente:

Divise le classi in due gruppi, comprendenti rispettivamente i valori inferiori e superiori alla media.

(1)  $C < M$       82    93    96    97    100

(2)  $C > M$     102   105   109   110   111   113   114   120

Si fa rispettivamente la somma delle deviazioni dalla media di tutte le classi possibili da 82 a 101 e da 101 a 120: avremo pel primo gruppo  $-200$  e pel secondo  $+200$ .

Si fanno poscia le somme delle deviazioni delle classi realmente osservate nei due gruppi le quali sono rispettivamente (1)  $-40$  e (2)  $+76$ .

I rapporti  $\frac{-40}{-200}$  e  $\frac{+76}{+200}$  ci danno 0,2 e 0,33

i quali valori sono gli indici di deviazione per le due serie di classi una inferiore, l'altra superiore alla media.

L'indice di deviazione di una classe determinata si ottiene con un procedimento analogo. Per la classe 96, ad esempio, avremo  $D = \frac{-5}{-200} = 0,025$ .

Volendo tener conto anche della frequenza delle varianti, si moltiplicano gli indici di deviazione per gli indici di frequenza:

$$(D < M) \times (F < M) = 0,2 \times 0,4285 = 0,0857 = d f$$

$$(D_1 > M) \times (F_1 > M) = 0,33 \times 0,5238 = 0,1728 = d_1 f_1.$$

8° Può essere importante, in molti casi, determinare per una data classe o per un gruppo di classi, l'indice di isolamento nella serie delle classi stesse.



Si voglia, ad esempio, determinare l'indice di isolamento della classe 82 rispetto alla susseguente classe 93.

Nella progressione aritmetica (82 a 120) alla quale appartengono le due classi, si hanno 39 termini possibili o classi; fra la classe 82 e la classe 93 intercedono 10 classi possibili, il rapporto  $\frac{10}{39}$  ci darà 0,2564 che è l'indice di isolamento della classe 82 dalla classe 93.

Trattandosi, non di una classe estrema, ma di una classe intermedia della serie, è d'uopo determinare due indici di isolamento fra le due classi vicine.

Volendo calcolare l'isolamento della classe 105, bisognerà calcolare l'indice di isolamento di 105 da 102 e di 105 da 109. Avremo  $\frac{2}{39} = 0,0512$  e  $\frac{3}{39} = 0,0769$ .

Volendo tener conto anche della frequenza della classe, si moltiplica il suo indice di frequenza  $F$  per gli indici di isolamento.

L'indice di frequenza della classe 105 è 0,1428, avremo:

$$I \ 0,0512 \times F \ 0,1428 = 0,0073 = if$$

$$I_1 \ 0,0769 \times F \ 0,1428 = 0,0109 = i_1 f_1.$$

Il carattere della lunghezza del capo nei 21 individui ♀ di *Bufo vulgaris* del Giappone studiato col procedimento precedente, ci ha una serie di valori indici della sua variazione quantitativa che si possono riunire nella *sinossi quantitativa* (S Q) seguente (1):

SQ = (R=1)	Ce = 82    120  A = 39	C = 15  V = 21  a = 0,3846
	M = 101	F < M = 0,4285
	Lmf = 95    106	F <sub>1</sub> = M = 0,0476
		F <sub>2</sub> > M = 0,5238
	C, 82, I = 0,2564 C, 82, if = 0,0122	D < M = 0,2    df < M = 0,0857 D <sub>1</sub> > M = 0,33    d <sub>1</sub> f <sub>1</sub> > M = 0,1728







individui, sono comparabili coi valori analoghi studiati in un'altra serie in cui la ragione della progressione aritmetica iniziale, ossia la differenza fra i valori di due classi consecutive, sia eguale ad 1.

Aumentando il valore di  $R$  della progressione iniziale diminuisce il grado di precisione colla quale si studia la variazione quantitativa del carattere. Nelle ricerche che si riferiscono alle variazioni dei caratteri biologici, è conveniente procedere a misure dirette sufficientemente esatte da non dover aumentare oltre ad 1 il valore di  $R$ .

Le cose precedenti si possono riassumere nel modo seguente: Volendo esprimere le modalità principali della variazione quantitativa di un carattere in una serie di individui si determina:

1° *L'indice di variabilità* che è dato dal numero dei termini che entrano nel *campo di variazione* (esprimibile sotto forma di una progressione aritmetica colla ragione eguale ad 1, istituita fra i due valori estremi osservati del carattere).

2° *L'indice di variazione* che si ottiene dal rapporto fra il numero dei termini della progressione rappresentati da valori del carattere effettivamente osservati nella serie degli individui ed il numero totale dei termini del campo di variazione.

3° *Gli indici di frequenza* dei valori inferiori, eguali e superiori alla media. Si determina la media dei valori costituenti l'intero campo di variazione e rispetto ad essa si dividono i valori realmente osservati in tre gruppi; si sommano le frequenze dei valori di ciascun gruppo e si fanno i rapporti delle somme rispettive col numero totale degli individui della serie.

4° *Gli indici di deviazione* dalla media. Si ottengono: dividendo il campo di variazione in due parti: 1° dal valore minore al valore medio; 2° dal valore medio al valore maggiore, si fa la somma in ciascuna parte delle deviazioni di tutti i valori possibili (vale a dire dei termini delle due progressioni che si vengono così a costituire) dalla media dell'intero campo di variazione: si fanno quindi le somme delle deviazioni dei valori effettivamente osservati e appartenenti alle due sopradette porzioni del campo di variazione, dalla media dell'intero campo di variazione; per ultimo, si fanno rispettivamente i rapporti fra le due somme. Volendo tener conto anche della frequenza, si moltiplicano rispettivamente gli indici così ottenuti per gli in-



dici di frequenza ottenuti nel modo sopradetto. Con analogo procedimento, si determinano gli indici di deviazione di un valore qualsiasi della serie.

5° L'*indice di isolamento* di un valore della serie si ottiene calcolando il numero dei valori possibili che intercedono fra lui e il valore (se si tratta dei valori estremi) o i valori (se si tratta di valore intermedio) realmente osservati più vicini e poscia dividendo il numero stesso pel numero totale dei valori (o classi) del campo di variabilità. Volendo tener conto anche della frequenza del valore, si moltiplica l'indice di isolamento così ottenuto (o gli indici se si tratta di un valore intermedio) per l'indice di frequenza del valore stesso.

Il metodo sopra esposto concede non solo di tener conto dei risultamenti dello studio di qualunque serie di individui, anche poco numerosa, e quindi di utilizzare il lavoro di molti osservatori per uno scopo unico, ma concede anche la preparazione di dati quantitativi che possono essere materiale per ulteriori studi e comparazioni, in ordine alla conoscenza delle leggi che regolano il variare degli animali.

Una serie *sufficientemente* numerosa di dati preparati nel modo sopradetto potrà essere espressa graficamente sotto forma di curve colle regole note e queste potranno essere sottoposte al calcolo matematico e alle ricerche istituite dal Pearson nelle sue contribuzioni allo studio matematico dell'evoluzione (1) e seguite da altri (2).

Giova ripetere tuttavia che questo genere di ricerche non potrà dare buoni frutti che allorquando con una analisi molto più minuta di quella che non si possa fare ora, non si sia riusciti a scindere il fenomeno enormemente complesso della variazione organica in un numero sufficientemente grande di fenomeni secondari i quali concedano uno studio adeguato delle molteplici cause che li producono.

Nello stato presente delle ricerche intorno ai viventi, è

---

(1) " Philosophical Trans. „, vol. CLXXXV, CLXXXVI, CLXXXVII, CXCI, " Proceed. Roy. Soc. „, LX, LXII.

(2) Per le indicazioni bibliografiche in proposito cfr. DUNCKER e DAVENPORT, Op. cit.



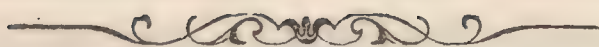
importante, come già sopra ho detto, dare la massima cura a preparare dati quantitativi atti ad uno studio di comparazione molto più preciso di quello che non si possa fare ora con quelli che vennero riuniti per lo passato e che concedano in avvenire determinazioni sicure del variare degli organismi col succedersi degli anni. Se è lecito un paragone, si può dire che, è oggi necessario fissare con dati numerici comparabili lo stato presente della variabilità dei caratteri degli organismi, come l'astronomia fissa la posizione degli astri in un dato momento, affinchè le determinazioni che verranno fatte in tempi da noi più o meno lontani, conducano a valutare in modo preciso lo spazio percorso dai caratteri stessi, nella loro variazione.

Il metodo di studio da me proposto per le variazioni quantitative dei caratteri degli animali tende ad indirizzare le ricerche per questa via e in ogni caso fornisce un mezzo per esprimere in modo più preciso di quello che non si sia fatto, in generale, fino ad ora, le variazioni quantitative dei caratteri di una serie di individui per modo che essi siano veramente paragonabili con quelli di un'altra serie qualsiasi. È lecito sperare che da un numero sufficientemente grande di ricerche condotte con tale metodo, si possa giungere ad una determinazione migliore dell'entità specifica: entità che è *la base necessaria di qualunque ricerca intorno ai fenomeni biologici.*

---

*L'Accademico Segretario*

ANDREA NACCARI.





---

# CLASSE

DI

SCIENZE FISICHE, MATEMATICHE E NATURALI

---

Adunanza dell'8 Aprile 1900.

PRESIDENZA DEL SOCIO PROF. ALFONSO COSSA

VICE-PRESIDENTE DELL'ACCADEMIA

---

Sono presenti i Soci: BIZZOZERO, Direttore della Classe, BERRUTI, D'OVIDIO, MOSSO, SPEZIA, CAMERANO, FOÀ, JADANZA, GUARESCHI, GUIDI, e PARONA.

In assenza del Socio Segretario NACCARI, il Presidente incarica il Socio CAMERANO di fungere da Segretario.

Il Segretario legge l'atto verbale della precedente adunanza, che viene approvato.

Il Presidente partecipa la morte del Socio straniero Giuseppe Luigi BERTRAND e comunica alla Classe che furono già inviate le condoglianze alla famiglia dell'illustre matematico.

Il Presidente presenta a nome del Socio corrispondente Prof. PIROTTA un opuscolo intitolato: *Osservazioni e ricerche sul Cynomorium coccineum L.*, ed a nome del Socio corrispondente Prof. RIGHI due opuscoli col titolo: *Volta e la pila* (Milano, 1900); *Sul fenomeno di Zeeman* (Bologna, 1900).

Il Vicepresidente COSSA rende conto alla Classe del mandato ricevuto dall'Accademia di rappresentarla nella solennità



del secondo centenario della fondazione dell'Accademia delle Scienze di Berlino. Il Socio BIZZOZERO ringrazia a nome di tutta la Classe il Vicepresidente.

Il Socio FOÀ a nome anche dei Soci BIZZOZERO e MOSO, legge la relazione intorno alla memoria del dott. Pasquale SFAMENI intitolata: *Gli organi nervosi terminali del Ruffini ed i corpuscoli del Pacini studiati nelle piante e nei polpastrelli del cane, del gatto e della scimmia*. La relazione favorevole all'accoglimento della memoria e alla sua stampa nei volumi accademici è approvata all'unanimità e verrà stampata negli *Atti*. All'unanimità si approva pure con votazione segreta la stampa della detta memoria.

Vengono presentate per l'inserzione negli *Atti* le note seguenti:

1° Cesare AIMONETTI, *Determinazione di gravità relativa ad Aosta, Gran S. Bernardo, Courmayeur e Piccolo S. Bernardo*, presentata dal Socio JADANZA;

2° Luigi SABBATANI, *Sull'ossidazione dell'acido citrico e dei citrati col permanganato di potassio e col ferro*, presentata dal Socio GUARESCHI.

Per ultimo il Presidente presenta a nome del Socio VOLTERRA, assente, per l'inserzione nei volumi delle *Memorie*, uno scritto del dott. Ermenegildo DANIELE, intitolato: *Sulle deformazioni infinitesime delle superficie flessibili ed estendibili*.

Vengono incaricati di riferire intorno a questa memoria i Soci VOLTERRA e SEGRE.





---

## LETTURE

---

*Determinazioni di gravità relativa ad Aosta,  
Gran S. Bernardo, Courmayeur e Piccolo S. Bernardo.*

Nota del Dott. CESARE AIMONETTI.

---

Nell'anno 1898 (\*), il sig. Hansky, astronomo aggiunto all'Osservatorio di Meudon, per incarico del sig. Janssen, eseguì alcune determinazioni di gravità relativa a Chamounix, ai Gr. Mulets, e sulla vetta del Monte Bianco.

Allo scopo di portare un modesto contributo allo studio della gravità terrestre nelle vicinanze del grande colosso alpino, ho eseguito nell'estate dell'anno 1899 quattro determinazioni di gravità relativa ad Aosta, Gr. S. Bernardo, Courmayeur e Piccolo S. Bernardo.

In questa nota sono registrati i risultati delle osservazioni fatte, ed i valori della gravità osservata nelle singole stazioni: spero di potere fra poco pubblicare anche le rispettive riduzioni al livello del mare, che non ho potuto completare, mancandomi ancora alcuni dati relativi alle regioni circostanti le singole stazioni.

Le osservazioni furono fatte coll'apparato pendolare Sterneck di proprietà del Gabinetto di Geodesia della R. Università di Torino, munito dei quattro pendoli N. 41, 42, 45, 46 (\*\*).

Le altezze barometriche furono lette sul barometro aneroido Troughton e Simms, N. 820, di cui determinai la correzione confrontandolo col barometro normale dell'Osservatorio astronomico

---

(\*) Cfr. " Comptes rendus des séances de l'Académie „, 2° sem. 1898.

(\*\*) Per la descrizione dell'apparato, ed il metodo d'osservazione, cfr. le mie note: *Determinazione relativa della gravità terrestre a Torino*, " Atti della R. Acc. delle scienze di Torino „, vol. XXXII, 1897 e *Determinazione della gravità relativa nel Piemonte*, " Atti della R. Acc. delle Sc. di Torino „, vol. XXXIV, 1899.



a Torino, e coi barometri normali degli Osservatori meteorologici del Gran S. Bernardo e del Piccolo S. Bernardo. Il cronometro adoperato è stato il cronometro Frodsham a tempo siderale n. 3576, a contatto elettrico. Il suo andamento è stato determinato ad Aosta e Courmayeur, mediante osservazioni di passaggi di stelle orarie nel verticale della polare, eseguite nelle sere precedenti e seguenti il giorno delle osservazioni pendolari. Al Gran S. Bernardo non mi è stato possibile, a causa del tempo, sempre nebbioso verso sera, fare osservazioni di stelle: determinai l'andamento del cronometro mediante le altezze del sole nel primo verticale. Mi servii per queste osservazioni di un teodolite Troughton e Simms avente l'approssimazione di 10'' ed il cannocchiale di 31 cm. di distanza focale. Il reticolo è formato da un filo orizzontale e cinque verticali, dei quali misurai le distanze equatoriali osservando il passaggio di una serie di stelle boreali. Nella stazione del Piccolo S. Bernardo, essendo impedito dall'incostanza del tempo di fare le osservazioni, ottenni di poter comunicare telegraficamente coll'Osservatorio astronomico di Torino, e quindi dedurre l'andamento del cronometro confrontandolo direttamente col pendolo normale dell'Osservatorio.

Nella seguente tavola sono registrati i dati relativi alle singole stazioni ed ai luoghi di osservazione, che ebbi sempre cura di scegliere appartati e poco esposti a variazioni di temperatura.

STAZIONE	LUOGO DI OSSERVAZIONE	POSIZIONE GEOGRAFICA	ALTEZZA SUL M.
Aosta	Locale sotterraneo nell'edificio della Scuola Normale femminile . . .	$\varphi = 45^{\circ}44'15''$ $\theta = - 5\ 07\ 55$	570 <sup>m</sup>
Gran S. Bernardo	Piccolo edificio appartato, dipendente dall'Ospizio	$\varphi = 45\ 52\ 10$ $\theta = - 5\ 16\ 50$	2450
Courmayeur	Cantina privata . . .	$\varphi = 45\ 47\ 25$ $\theta = - 5\ 28\ 45$	1220
Piccolo S. Bernardo	Sotterraneo dell'Ospizio, sottostante a locali destinati a magazzino .	$\varphi = 45\ 40\ 30$ $\theta = - 5\ 34\ 35$	2150



I risultati delle osservazioni sono registrati nelle seguenti tavole.

*Durate di oscillazione, in tempo siderale, dei quattro pendoli, ridotte a 0°, al vuoto ed all'ampiezza infinitesima.*

STAZIONI	PENDOLI			
	N. 41	N. 42	N. 45	N. 46
AOSTA (Media di 3 serie)	0.5080634	0.5077292	0.5080801	0.5083774
GR. S. BERNARDO (Media di 2 serie)	0.5081601	0.5078261	0.5081756	0.5084696
COURMAYEUR (Media di 2 serie)	0.5081095	0.5077706	0.5081203	0.5084163
PICC. S. BERNARDO (Media di 2 serie)	0.5081522	0.5078107	0.5081627	0.5084589
TORINO (Media di 2 serie)	0.5080290	0.5076909	0.5080399	0.5083374

Assumendo per Torino il valore delle gravità:

$g_t = 9.80570$

si deducono i seguenti valori di  $g_t - g_i$ , per le singole stazioni:

STAZIONI	VALORI DI $g_t - g_i$				MEDIE
	Pend. 41	Pend. 42	Pend. 45	Pend. 46	
AOSTA	+ 0.001328	0.001479	0.001552	0.001543	0.00148
G. S. BERNARDO	5059	5220	5236	5098	515
COURMAYEUR	3107	3078	3103	3043	308
PICC. S. BERN.	4754	4626	4739	4686	470



Da questi valori di  $g_t - g_i$ , si deducono i seguenti valori della gravità terrestre nel luogo di osservazione:

Aosta	$g = 9^m.80422$
Gr. S. Bernardo	$g = 9 .80055$
Courmayeur	$g = 9 .80262$
Piccolo S. Bernardo	$g = 9 .80100.$

Torino, Gabinetto di Geodesia della R. Università.  
Aprile 1900.

---

*Sulla ossidazione dell'acido citrico e dei citrati  
col permanganato di potassio o col ferro.*

Nota del Prof. LUIGI SABBATANI.

---

Da alcuni anni attendo a ricerche chimiche e biologiche sull'acido citrico e derivati suoi, ed ho fatte così varie osservazioni sull'ossidazione dell'acido libero e dei citrati di sodio, le quali non avrei certo pubblicate per ora e da sole, se a ciò non fossi indotto da una recente nota del DENIGÈS, nella quale, senza saperlo, viene a confermare pienamente una mia osservazione, che pubblicai nel dicembre del 1898.

I.

Ossidazione col permanganato di potassio.

È noto che, ossidando col permanganato le materie organiche, si ottengono prodotti diversissimi a seconda delle condizioni sperimentali; questo pure avviene per l'acido citrico, e quando si faccia variare la quantità di permanganato, la temperatura, la reazione del mezzo in cui si opera l'ossidazione, o si aggiunga il reattivo rapidamente o lentamente, si arriva a risultati diversi.



a) *Riguardo alla temperatura* il Denigès ha annunciato ora (1) che per ossidazione a freddo dell'acido citrico col permanganato di potassio si ottiene dell'acido acetondicarbonico, ed io alla fine del 1898, studiando la reazione Stahre, aveva dimostrato questo in modo sicuro, e concludeva: “ *Così rimane dimostrato che per ossidazione dell'acido citrico in soluzione acquosa col permanganato di potassio si forma dell'acido acetondicarbonico* „ (2).

Ma l'acido acetondicarbonico in soluzione acquosa prontamente si decompone in acetone ed anidride carbonica, non resiste poi affatto alle temperature alte e però ai più è sfuggito il prodotto che primamente si forma in questa ossidazione, ed hanno trovato soltanto l'acetone, che è il prodotto finale della reazione.

Nell'ultima edizione del Beilstein (3) trovasi ancora detto che l'acido citrico in soluzione acida dà col permanganato di potassio dell'acetone, così s'è detto fino ad ora da tutti, così Stahre (4) erroneamente interpretava la reazione da lui proposta per il riconoscimento dell'acido citrico, e però il Denigès, non avendo forse conoscenza delle mie note, ha pubblicata l'osservazione, credendo di dir cosa nuova.

Quando si ossida cautamente col permanganato l'acido citrico libero, sciolto in acqua distillata, da solo od in presenza di acidi minerali, sempre in un primo momento si ottiene dell'acido acetondicarbonico, il quale si riduce poi interamente ad acetone più o meno presto a seconda della temperatura alla

(1) DENIGÈS G., *Sur l'oxydation manganique des acides citriques et maliques*, “ *Compt. rend.* „, T. 130, n. 1, p. 32 (2 Janvier 1900).

(2) BERGESIO B. e SABBATANI L., *Formazione di pentabromoacetone dall'acido acetondicarbonico*, “ *Giornale della R. Accademia di medicina di Torino* „, vol. IV, anno LXI, fasc. 12; Comunicazione fatta nella seduta del 9 dicembre 1898; “ *Annali di Farmacoterapia e Chimica* „, vol. XXVIII, fasc. 12, p. 529 (dicembre 1898). — BERGESIO B. u. SABBATANI L., *Bildung von Pentabromaceton aus Acetondicarbonsäure*, “ *Chem. Central-Blatt* „, 1899, Bd. I, S. 596. Un sunto di questo lavoro è comparso anche nella “ *Chem.-Zeitung* „ del 1899. — SABBATANI L., *Ricerche farmacologiche e chimiche sugli acidi acetondicarbonico e citrico*, “ *Atti della R. Acc. delle scienze di Torino* „, vol. XXXIV, adunanza del 1° gennaio 1899.

(3) BEILSTEIN, *Handbuch der organischen Chemie*, Bd. I, S. 836.

(4) STAHR L., *Nordisk Farmaceutisk Tidskrift*, 2, 141.



quale si opera: presso all'ebollizione l'acido citrico dà subito acetone e ciò è noto fin dalle ricerche di Péan de S. Gilles (1).

b) *Riguardo allo stato* in cui trovasi l'acido citrico si osserva che mentre libero od in presenza di acidi minerali dà sempre derivati chetonici (acido acetondicarbonico prima, acetone poi), come sale neutro per ossidazione col permanganato di potassio dà dell'acido ossalico. I sali acidi (mono e bisodico) danno contemporaneamente acetone ed acido ossalico, come se si trattasse di una miscela di acido libero e citrato neutro.

c) *Riguardo poi al modo* con cui si aggiunge il permanganato, ho osservato che, aggiungendolo a gocce in soluzione acquosa bollente, in modo da raccogliere con refrigerante i prodotti volatili mano mano che si formano, si raggiunge il massimo rendimento di acetone.

d) *Riguardo alla quantità* di permanganato, ho osservato che, se è eccessiva, si ha una distruzione completa dell'acido citrico libero o salificato ad  $H^2O$  e  $CO^2$ ; ma per aggiunta moderata di permanganato la quantità di acetone od acido ossalico che si forma è entro certi limiti proporzionale alla quantità di permanganato usata.

Riporto qui alcune esperienze che dimostrano precisamente queste cose.

Sciolgo l'acido od il citrato in gr. 200 d'acqua e faccio bollire in pallone con refrigerante per raccogliere i prodotti volatili: mentre bolle, introduco adagio adagio, goccia a goccia una soluzione satura di permanganato di potassio. Quando il permanganato non viene più ridotto, nel distillato doso l'acetone trasformandolo in iodoformio.

I da gr. 0,1915 di acido citrico ottenni gr. 0,2571 di iodoformio.

II da gr. 0,2412 di citrato monosodico ottenni gr. 0,3129 di iodoformio.

III da gr. 0,4004 di citrato bisodico ottenni gr. 0,3907 di iodoformio.

IV da gr. 0,3786 di citrato trisodico ottenni gr. 0,0332 di iodoformio.

---

(1) PÉAN DE SAINT-GILLES, *Oxydation de l'acide citrique au moyen du permanganate de potasse*, "Comptes rendus", T. 47, p. 554.



Da cui acetone % ottenuto:

I dall'acido citrico	19,73
II dal citrato monosodico	19,5
III dal citrato bisodico	14,4
IV dal citrato trisodico	1,2.

Poichè in soluzione acida due molecole di permanganato cedono cinque atomi d'ossigene, si può ammettere che sette molecole di acido citrico nella prima esperienza ora riferita reagiscano con due molecole di permanganato, formando due molecole di citrato neutro col potassio ed il manganese, e liberando cinque atomi d'ossigene: questi reagirebbero poi colle restanti cinque molecole di acido citrico dando cinque molecole d'acetone.

In base a questa ipotesi si calcola che 100 parti di acido citrico cristallizzato ( $C^6H^8O^7 + H^2O$ ) dovrebbero dare parti 19,72 di acetone e sperimentalmente abbiamo ottenuto 19,73.

Mentre, operando come sopra si disse, dall'acido citrico, dal citrato mono e bisodico si ottiene sempre acetone in grande quantità, dal citrato neutro invece (trisodico) se ne ottengono solo delle tracce come impurità: in quest'ultimo caso si formano dei carbonati e dell'ossalato.

Sciolto il citrato trisodico in acqua, si addiziona con una quantità determinata di permanganato potassico purissimo e quindi si tiene a bagnomaria bollente per 10-15 minuti. Dopo ciò si filtra, e lavato fino ad esaurimento il precipitato rimasto sul filtro, si svapora il filtrato e le acque di lavaggio riunite, si secca il residuo a 105-110° fino a peso costante, ed in una porzione di esso si cerca l'acido citrico, l'acido ossalico, gli acidi organici volatili: in un'altra porzione si dosa l'acido ossalico. Nelle diverse prove fatte si vide che:

1° rimaneva sempre un po' di acido citrico indecomposto, e la quantità di esso diventava sempre più piccola mano mano che si usava una maggiore proporzione di permanganato

2° non si formava mai acido acetico od altri acidi volatili;

3° si produceva una forte quantità di carbonati;

4° si formava acido ossalico fino ad un certo limite in ragione della quantità di permanganato impiegata.



Riporto qui tre esperienze fatte con gr. 10 di citrato trisodico per ciascuna. Nella prima si ossidò il citrato con permanganato in ragione di una molecola di quello per mezzo di questo; nella seconda si usarono a molecole uguali il citrato ed il permanganato; nella terza si adoperò una molecola di citrato per 4 molecole di permanganato.

I residui secchi delle tre esperienze furono di gr. 9,6 nella prima, gr. 10,0 nella seconda, gr. 10,8 nella terza: dosando l'acido ossalico in questi tre residui come ossalato di calcio e pesando dopo calcinazione dell'ossalato come CaO si ebbe:

I	da	gr. 1,0636	di sostanza	gr. 0,0232	di CaO
II	„	1,4092	„	„ 0,0596	„
III	„	1,4698	„	„ 0,2017	„

per cui da gr. 10 di citrato trisodico si ebbe:

I	con	$\frac{1}{2}$	mol. di permanganato	gr. 0,335	di acido ossalico
II	„	1	„	„ 0,679	„
III	„	4	„	„ 2,381	„

In quest'ultima esperienza il citrato trisodico diede il 23,8 % di acido ossalico, mentre, calcolando che una molecola di citrato trisodico con conveniente quantità di permanganato possa dare una molecola di acido ossalico, si dovrebbe avere il 25,2 %.

## II.

### Ossidazione operata dal ferro.

Bizio (1) aveva osservato che le soluzioni di acido ossalico lentamente si ossidano all'aria dando dell'anidride carbonica, De Vries (2) aggiungeva che molti acidi organici, fra cui anche il citrico, esposti alla luce del sole in soluzione acquosa in parte si *distruggono* per un processo di ossidazione con sviluppo di

(1) BIZIO G., "Zeitschr. für analyt. Chem.", (1870), 9, 392.

(2) DE VRIES HUGO, *Sur la décomposition des acides organiques sous l'influence de la lumière solaire*, "Recueil des travaux chimiques des Pays-Bas", 3, 365.



$\text{CO}^2$ , e che, se l'aria non ha libero accesso, la soluzione conserva il suo titolo. Osservava poi che la luce bleu è molto attiva, non la rossa, e che per aggiunta di piccolissime quantità di ferro l'ossidazione dell'acido viene grandemente aumentata.

Avendo io preparato il citrato di ferro di Kämmerer (1),  $\text{C}^6\text{H}^6\text{O}^7\text{Fe} + \text{H}^2\text{O}$ , che è alterabilissimo e poco solubile nell'acqua, mi accorsi che a contatto dell'aria svolge facilmente dell'acetone; ho ripetute allora le esperienze di De Vries ed ho potuto constatare in modo sicurissimo che anche in queste condizioni l'acido citrico dà come prodotto d'ossidazione dell'acetone.

Quando per la preparazione del citrato ferroso bimetallico di Kämmerer si aggiunge limatura di ferro ad una soluzione di acido citrico al 2-5 % e si scalda in un pallone a collo un po' lungo, il ferro viene rapidamente intaccato e si ha abbondante svolgimento d'idrogeno; presto il liquido intorbida, poi lascia depositare una polvere cristallina incolore, che aumenta fino a dare al liquido aspetto di poltiglia densa. Finchè lo svolgimento d'idrogeno è abbondante il liquido rimane incolore; ma quando verso la fine si rallenta, e più ancora per raffreddamento, ad operazione finita, il liquido prontamente assume colorazione verde; se si ha cura di impedire l'accesso dell'aria allora si conserva incolore. Se si ripete la preparazione in pallone munito di refrigerante per raccogliere i prodotti volatili che possono essere trascinati dalla corrente d'idrogeno e dal vapor d'acqua, si ha che durante l'operazione non passa affatto acetone; ma se si fa entrare aria nel pallone, subito compare acetone nel distillato.

In un matraccio con refrigerante a distillare pongo gr. 2,10 di acido citrico cristallizzato e gr. 0,56 di limatura di ferro con  $\text{cm}^3$  120 di acqua, poi scaldo fino a soluzione completa del ferro: il distillato non contiene acetone. Filtro il liquido rimasto nel pallone e lo lascio all'aria per alcune ore, aggiungendo acqua in ragione di quella distillata: diventa verde e, distillato una seconda volta, nelle prime porzioni si può nettamente dimostrare la presenza di acetone. Alternando così le distillazioni e l'espo-

---

(1) KAEMMERER H., *Beiträge zur Kenntniss der Citronsäure*, "Ann. der Chem. u. Pharm.", Bd. 170 (1873), 176.



sizione all'aria si ebbe sempre formazione di acetone dopo che il liquido era venuto a contatto dell'aria.

In ordine poi alle esperienze del De Vries riporto qui la seguente osservazione.

Sciolgo separatamente in due palloni molto grandi gr. 1 di acido citrico cristallizzato in 1000 cm<sup>3</sup> d'acqua distillata, e ad uno aggiungo cinque gocce della soluzione di cloruro ferrico del reagentario, per cui tutto il liquido assume colorazione gialla. Distillando immediatamente cm<sup>3</sup> 100 di ambo le soluzioni, nelle prime porzioni dei due distillati non si trovò affatto acetone: però il giorno dopo, distillando ancora 100 cm<sup>3</sup> di ambo le soluzioni, nel distillato della normale non si trovò affatto acetone, mentre in quello proveniente dalla soluzione contenente ferro si potè dimostrare evidente la presenza d'acetone.

Dopo 7 giorni, stando sempre le soluzioni alla luce diffusa, da 200 cm<sup>3</sup> della seconda soluzione si ottenne acetone, che, dosato come iodoformio, diede gr. 0,0494 di CHI<sup>3</sup>, corrispondenti a gr. 0,0072 di acetone, per cui più di  $\frac{1}{7}$  dell'acido citrico si era decomposto dando acetone, nell'altra soluzione di controllo a questo momento non era ancora dimostrabile la presenza di acetone.

Questi fenomeni di ossidazione, operati da minime quantità di ferro, sono molto interessanti, come osserva il De Vries, per i processi d'ossidazione che avvengono nelle piante e negli animali.

Qui il ferro non prende una parte fissa nella reazione; ma opera come trasportatore d'ossigene per una reazione a ciclo od oscillatoria che dir si voglia. Un tempo l'azione del ferro si sarebbe detta in questo caso *catalitica*, ora invece sarebbe forse scusabile l'espressione *fermentativa*. Il ferro non dà una ossidazione bruta, totale della molecola, come credeva De Vries; ma ossida l'acido citrico solo ad acetone.

Cagliari, Laboratorio di Materia Medica della R. Università.

Aprile 1900.

---



---

Relazione sulla Memoria presentata dal Dott. Pasquale

SFAMENI: *Intorno agli organi nervosi terminali del Ruffini, e ai corpuscoli del Pacini studiati nelle piante e nei polpastrelli del cane, del gatto e della scimmia.*

---

Premessa una sommaria descrizione delle differenti forme di corpuscoli di Ruffini che si trovano nei polpastrelli del cane, del gatto e della scimmia, l'A. passa ad una più particolareggiata descrizione dell'intima struttura di tali corpuscoli, la quale non differisce di molto da quella descritta dal Ruffini stesso per l'uomo. I capillari sanguigni seguono il decorso del troncolino nervoso, formando con numerose anastomosi una rete più o meno ampia, la quale da ogni parte circonda la fibra nervosa. Pare che i capillari sanguigni non penetrino mai nell'interno dell'organo nervoso terminale. Il tessuto di sostegno di essi è formato da scarse fibre elastiche, e da abbondante tessuto di connettivo lasso. La guaina di Henle della fibra nervosa entra a far parte del tessuto di sostegno, perchè essa si espande alla superficie del fuso di sostegno dell'organo stesso, il quale viene così ad essere fornito da un involucro. Nella compagine del tessuto di sostegno si trova annidato un reticolo formato dal cilindrasse della fibra nervosa, la quale ha perduto prima di entrare nell'organo terminale la guaina di Henle e quella midollare. L'A. studia accuratamente la sostanza granulosa che costituisce la parte fondamentale dell'organo di Ruffini; in essa si trovano dei nuclei che sarebbero i veri elementi terminali dell'organo nervoso, destinati a ricevere le impressioni del mondo esterno e a trasmetterli al cilindrasse. I corpuscoli di Ruffini che si trovano fra le zolle adipose del tessuto sottocutaneo sarebbero organi deputati al senso della pressione.



I corpuscoli di Pacini si trovano scarsissimi nei polpastrelli delle dita del cane; in maggior copia in quelli del gatto, e numerosissimi nei polpastrelli e nelle piante della scimmia e dell'uomo. L'A., in un esemplare di corpuscoli di Pacini, ha trovato ch'essi erano innervati da rami della stessa fibra nervosa, che per altri rami va ad organi nervosi terminali di Ruffini. Presentano nel cane e nel gatto la solita struttura dei corpuscoli di Pacini, e sono più complessi nella scimmia e nell'uomo. Per questo l'A. crede che essi abbiano una funzione più delicata di quella dei corpuscoli di Ruffini, che si trovano in ugual numero, ed ugualmente costituiti in tutti questi animali.

Il lavoro è fatto con serietà di metodo e conduce a risultati importanti, perciò la Commissione propone all'Accademia la stampa della memoria.

G. BIZZOZERO.

A. MOSO.

P. FOÀ, *relatore*.





### Adunanza del 29 Aprile 1900.

PRESIDENZA DEL SOCIO SENATORE PROF. GIUSEPPE CARLE  
PRESIDENTE DELL'ACCADEMIA

---

Il Segretario legge l'atto verbale della precedente adunanza, che viene approvato.

Sono presenti i Soci: COSSA, Vice Presidente dell'Accademia, BIZZOZERO, Direttore della Classe, D'OVIDIO, SPEZIA, CAMERANO, SEGRE, VOLTERRA, JADANZA, FOÀ, GUARESCHI, GUIDI, FILETI, PARONA e NACCARI Segretario.

Il Presidente, che nella precedente seduta non potè presiedere la Classe, ringrazia il Socio COSSA per aver egregiamente compiuto l'incarico di rappresentare l'Accademia alle feste del Centenario dell'Accademia di Berlino e aver dato relazione dell'opera sua nella precedente seduta.

Egli comunica che il sig. Alessandro GIORCELLI erede del Senatore VIGLIANI, ha donato all'Accademia gli atti relativi all'arbitrato Anglo-Portoghese, cui prese parte il Vigliani stesso. Questi documenti saranno custoditi dall'Accademia insieme con quelli dell'Alabama lasciati dal conte Sclopis. Furono inviati ringraziamenti al donatore ed anche ai professori CORSI e BRUSA che s'adoperarono perchè il dono avvenisse.



Il Socio D'OVIDIO a proposito della morte del Socio straniero Giuseppe Luigi BERTRAND, annunciata nella precedente seduta, commemora l'illustre defunto colle seguenti parole:

La nostra Accademia ha ricevuto l'annuncio della morte di Luigi Francesco Giuseppe BERTRAND, suo socio nazionale (1).

Chi nei *Comptes rendus* dell'Accademia delle Scienze di Parigi legga i molti affettuosi discorsi pronunziati sul feretro del BERTRAND (2), rileva la intensa ed unanime simpatia che egli aveva saputo destare intorno a sè fin dall'adolescenza, con la precoce svegliatezza dell'ingegno, con l'indole aperta e benevola; e si persuade che i dotti francesi deplorano sinceramente la perdita, non soltanto dell'illustre matematico, dell'elegante ed arguto scrittore, ma eziandio del cittadino egregio, dell'uomo di cuore; che non soltanto Hermite, Appell, Picard, legati a lui di parentela, ma tutti indistintamente i membri dell'Istituto di Francia, sentono di aver perduto un collega di cui altamente si onoravano ed un nobile amico.

E veramente il rimpianto per la morte del BERTRAND esorbita dai confini della Francia; esso si estende nelle altre nazioni civili, e segnatamente in Italia, dove il nome del BERTRAND era notissimo e le sue opere erano tenute in gran pregio. Tra noi chiunque, se pur non abbia avuto occasione di studiare le Memorie originali del BERTRAND, ha conosciuto e ricorda con rispetto i suoi trattati di Aritmetica, di Algebra, di Calcolo differenziale e integrale; i quali, per la eleganza del dettato, per la felice scelta degli esercizi, per la serietà del metodo, non appena pubblicati, subito emergevano dalla folla dei libri di testo, ed oggi ancora sfidano gli anni, grazie alle loro solide e insieme brillanti doti.

Oltre i suddetti trattati, il BERTRAND altri più speciali ne pubblicò sulla Termodinamica, sul Calcolo delle probabilità, sull'Elettricità, e corredò di dotte note la Meccanica analitica di Lagrange.

---

(1) Nato a Parigi nel 1822, morto a Parigi il 3 aprile 1900.

(2) 9 aprile 1900. I discorsi sono di Jules Lemaître, Maurice Levy, Berthelot, Gaston Paris, A. Cornu, Duclaux, George Perrot.



Le principali ricerche matematiche del BERTRAND si riferiscono all'Analisi, alla Geometria infinitesimale, alla Meccanica razionale ed alla Fisica matematica. Vanno segnalate per la loro importanza quelle sulle proprietà degli integrali dei problemi di Dinamica, sulla similitudine in Meccanica, su varî punti della teoria delle superficie e delle curve sghembe, sulle equazioni differenziali. Esse attestano la straordinaria versatilità e la originalità del suo felice ingegno, ed una vasta e soda cultura.

Le prestanti attitudini di scrittore e la profonda erudizione onde il BERTRAND era dotato, rifulgono nel suo volume su Pascal e in parecchi altri lavori critici e biografici su Cauchy, Viète, D'Alembert, Copernico, Tycho-Brahe, Keplero, Eulero, Fresnel, Plücker, ecc., nonchè nel suo *Rapport sur les progrès de l'Analyse mathématique en France*, scritto per mandato avuto dal Governo nel 1867, in occasione della Esposizione universale di Parigi, contemporaneamente ad analogo lavoro affidato allo Chasles per la Geometria. Codesti lavori procacciarono al loro autore ampia fama, anche fuori della cerchia dei matematici, e lo designarono all'ambito ufficio di Segretario perpetuo dell'Accademia delle Scienze, già illustrato da Fontenelle e Arago.

È dunque giusto che alle voci di rimpianto e di lode innalzate in riva alla Senna facciano eco le nostre dalle rive del Po, e dicano ai dotti francesi che il loro lutto è anche nostro.

Il Presidente annunzia la morte del Socio corrispondente Prof. Alfonso MILNE EDWARDS: dopo di che il Socio CAMERANO pronuncia le seguenti parole commemorative:

Non vi è dubbio alcuno che certe idee, certe tendenze, certi sentimenti si trasmettono da padre in figlio; ma non vi è dubbio pure che sulla vita dell'uomo ha azione precipua l'ambiente nel quale essa si inizia e si prosegue. Alfonso MILNE EDWARDS, di cui la scienza piange la morte recentissima avvenuta in seguito a fiero assalto di *influenza*, fu figlio di Enrico Milne Edwards, il grande naturalista francese, e fino dai primi anni della sua vita intellettuale fece parte della grande famiglia scientifica del vecchio Giardino del Re.

Alfonso MILNE EDWARDS seppe, come nessun altro meglio di lui, trarre profitto e delle naturali tendenze della sua mente



e degli illuminati e continuati insegnamenti paterni e dei dotti insigni che lo circondavano.

La vita di Alfonso MILNE EDWARDS fu quella di un lavoratore attivissimo ed instancabile; ma di un lavoratore fortunato poichè la sorte gli risparmiò la lotta affannosa per giungere ad affermare la propria individualità e gli concesse di godere della stima e dell'ammirazione che il mondo scientifico meritamente tributava ai suoi lavori.

Nato a Parigi nel 1825, Alfonso MILNE EDWARDS veniva nell'anno 1876 nominato professore ed amministratore al Museo di Storia Naturale di quella città e nel 1877 era eletto membro dell'Accademia delle Scienze di Francia succedendo al Gervais. Nell'anno seguente otteneva la carica di Direttore del laboratorio di zoologia, anatomia e fisiologia nella Scuola pratica degli alti studi e poco più tardi l'Associazione scientifica francese lo voleva suo presidente.

Coprì in seguito, fino alla sua morte, le cariche di Direttore del Museo di Storia Naturale e di Vice-presidente dell'Accademia delle Scienze di Francia.

Il Governo francese gli concesse le maggiori onorificenze: i Corpi scientifici di tutto il mondo andarono a gara ad annoverarlo fra i loro soci: l'Accademia nostra già da vari anni l'aveva iscritto fra i suoi membri corrispondenti.

Alfonso MILNE EDWARDS meritò tutti questi onori per l'opera sua come amministratore e, si può giustamente dire, come rinnovatore delle meravigliose collezioni del grande Museo francese; per l'impulso dato alle esplorazioni scientifiche in lontane e poco note plaghe terrestri ed in special modo per la lunga serie dei suoi importanti lavori anatomici, zoologici e paleontologici.

Non è possibile in un breve cenno biografico render conto dell'opera scientifica che il MILNE EDWARDS ha compiuto in quasi cinquant'anni di non interrotte ricerche intorno agli animali. Io mi limiterò a ricordare qui i lavori più importanti, come ad esempio: quello sui crostacei fossili, quello, oramai classico, sugli uccelli fossili di Francia, quello sugli uccelli e sui mammiferi di Madagascar, quello sulla fauna delle regioni australi e in particolar modo poi le pubblicazioni intorno alle spedizioni del "*Travailleur* „ e del "*Talisman* „ navi armate dal Governo



francese per lo studio della fauna marina. Le ricerche del MILNE EDWARDS portarono un contributo grandissimo alla conoscenza dei meravigliosi fenomeni della vita abissale.

Tutti coloro che ebbero rapporti personali con Alfonso MILNE EDWARDS ne ricordano il carattere piacevole, i modi benevoli e cortesi, l'elevato sentire e la rettitudine dell'animo. Tutti i giornali francesi che in questi giorni annunziarono la morte dell'eminente naturalista rispecchiano questi sentimenti ed unanimi, a buon diritto, affermano che la sua morte sarà vivamente sentita da tutto il mondo scientifico.

Il Segretario presenta la storia dell'Accademia di Berlino, opera in quattro volumi pubblicata nell'occasione del secondo centenario dalla fondazione, inviata in dono dall'Accademia medesima. Presenta inoltre un opuscolo del Socio corrispondente Carlo KLEIN.

Il Segretario comunica la lettera di ringraziamento inviata dal prof. LANGLEY per la sua nomina a Socio corrispondente e un invito dell'Istituto imperiale austriaco di Geologia a prendere parte alle feste del 9 giugno p. v. nella ricorrenza del cinquantesimo anniversario della fondazione di quell'Istituto.

Il Socio VOLTERRA anche a nome del Socio SEGRE legge la relazione sulla memoria del Dott. Ermenegildo DANIELE intitolata: *Sulle deformazioni infinitesime delle superficie flessibili ed estendibili*. La relazione è favorevole alla lettura della memoria. Essa viene approvata. Si approva pure l'inserzione della memoria nei volumi accademici.

Vengono poi accolti per l'inserzione negli *Atti* gli scritti seguenti:

1° *Esperienze sulla elasticità e resistenza di conglomerati di cementi semplici ed armati*, nota del Socio GUIDI,

2° *La pirite di Valgioje*, nota del Dott. Giovanni BOERIS, presentata dal Socio SPEZIA,

3° *Rotazioni elettrostatiche dei dielettrici liquidi*, nota dell'Ing. Alessandro ARTOM, presentata dal Socio NACCARI.





---

## LETTURE

---

### *Prove sui materiali da costruzione.*

Nota VI del Socio CAMILLO GUIDI.

---

### *Esperienze sull'Elasticità e Resistenza di conglomerati di cemento semplici ed armati.*

Nota I.

Le molteplici ed importanti applicazioni che trovano i conglomerati di cemento, e specialmente i cosiddetti *cementi armati*, nelle costruzioni di diverso genere, tengono vivo nelle persone che si occupano della scienza del costruire, non meno che in quelle dedite alla parte pratica, il desiderio che si accresca sempre più il corredo di risultati sperimentali sull'elasticità e resistenza di questi materiali. E tanto più si sente tale desiderio nel nostro Paese, dove mancano notizie di questo genere per i materiali da noi impiegati, mentre all'Esterò si son già ottenuti preziosi risultati a questo riguardo. Tale fu il motivo che mi indusse ad intraprendere nel mio laboratorio esperienze in proposito.

Riservandomi, in un prossimo scritto, di riferire sopra una serie più numerosa e svariata di prove, richieste dal Municipio di Torino, ora in corso di esecuzione, mi limito per adesso a riportare in questa breve Nota i risultati di alcune prove istituite sopra saggi gentilmente favoritimi dal sig. ing. G. A. Porcheddu, agente generale per l'esercizio dei brevetti *Hennebique* per l'Italia Settentrionale.

Le prove si distinguono, come segue:

- 1° Prove di aderenza del conglomerato al ferro;
- 2° Prove di elasticità e resistenza di conglomerati semplici ed armati alla pressione;
- 3° Prove di elasticità e resistenza di conglomerati semplici alla tensione;
- 4° Prove di elasticità e resistenza di conglomerati semplici ed armati alla flessione.



Le proporzioni dei materiali componenti il conglomerato sono costantemente quelle adottate nelle costruzioni *Hennebique*, e cioè Kg. 300 di cemento per m<sup>3</sup> 0,400 di sabbia e m<sup>3</sup> 0,850 di ghiaia, ossia, in volume; cemento : sabbia : ghiaia = 1 : 1,7 : 3,7.

Il cemento è quello a lenta presa, o Portland, di 2<sup>a</sup> qualità della *Società Anonima Calce e Cementi di Casale*. Le resistenze unitarie di tale cemento a tensione ed a pressione, sebbene vadano soggette naturalmente a variazioni, possono tuttavia, secondo numerose esperienze da noi eseguite, essere valutate in cifra tonda come segue:

			Cemento puro	Cemento e sabbia 1:3 in peso
			Kg/cm <sup>2</sup>	Kg/cm <sup>2</sup>
Resistenza traz., dopo 28 giorni, di provette a 8				
fabbricate a mano			40	20
Id.	Id.	„ a macchina	—	30
Resist. schiacc., dopo 28 giorni, di cubi di 7 <sup>cm</sup> lato				
fabbricati a mano			400	150
Id.	Id.	„ a macchina	—	200

La sabbia è del fiume Po, la ghiaia del torrente Dora.  
Il peso del m<sup>3</sup> di tale conglomerato all'epoca delle esperienze era di t. 2,3. Queste ebbero luogo per tutti i saggi circa 4 mesi dopo la loro fabbricazione.

Riguardo alle dimensioni dei saggi stabili, come massima generale, che esse fossero considerevoli, affinchè i risultati sperimentali potessero con più diritto applicarsi alle costruzioni della pratica; volli inoltre che la loro fabbricazione fosse eseguita senza alcuna cura speciale, ma uniformandosi completamente alle norme pratiche seguite in tali costruzioni.

I saggi erano più numerosi di quanto risulti da questa relazione, ma sfortunatamente da alcuni di essi, per ragioni diverse, non poteronsi ottenere risultati attendibili.

Mi è caro esprimere qui la mia gratitudine oltre che al predetto ing. G. A. Porcheddu, anche al mio assistente ingegnere dott. M. Panetti per la intelligente sua assistenza sia durante la preparazione dei saggi, sia durante le esperienze da me eseguite.



### Prove di aderenza.

Queste prove vennero istituite sopra prismi retti di conglomerato, a base quadrata, portanti lungo il loro asse geometrico il ferro, di cui si cercava l'aderenza. Un'estremità del detto ferro sporgeva da una delle basi del prisma, e contro essa si esercitava uno sforzo di compressione, esattamente diretto secondo l'asse geometrico del ferro; l'altra base del prisma appoggiava in modo da lasciar libera l'uscita del ferro. Lo sforzo produttore lo scorrimento, diviso per la superficie di contatto fra il ferro ed il conglomerato, misurava l'*aderenza* cercata.

La tabella I contiene i risultati ottenuti; da essa si rileva quanto tale aderenza sia variabile; nelle esperienze di cui qui si tratta, essa ha oscillato da un minimo di  $9 \text{ Kg/cm}^2$  ad un massimo di  $33 \text{ Kg/cm}^2$ ; nè apparisce chiaramente quale influenza abbia in tale variazione la forma del ferro. Dal che si può dedurre che nelle costruzioni pratiche, a causa delle possibili imperfezioni del conglomerato, sia per ciò che riguarda l'impasto, come per la sua pigiatura attorno al ferro, è già molto contare su di un'aderenza di circa  $10 \text{ Kg/cm}^2$ . Tale aderenza cresce naturalmente colla maggior ricchezza in cemento del conglomerato; gli stessi ferri immersi entro prismi di cemento puro hanno sviluppato un'aderenza di 41, 50, 54 e perfino  $56 \text{ Kg/cm}^2$ .

---

### Prove alla pressione.

I saggi cimentati a questa prova erano parallelepipedi retti aventi un'altezza di cm. 20 ed una base di cm.  $14 \times 14$  alcuni, ed altri di cm.  $10 \times 10$ : taluni erano semplici, altri armati di quattro tondini di ferro di  $15^{\text{mm}}$  di diametro disposti agli angoli, ad una distanza di cm. 1,5 dalle faccie laterali, e collegati nel piano trasversale equidistante dalle basi, da quattro piastrine di ferro piatto (*moietta*) di sezione mm.  $20 \times 2$ .

Per alcuni saggi armati l'armatura non arrivava perfettamente fino alle basi del prisma, ma ne rimaneva discosta di cm. 1,5, di guisa che la compressione esercitata contro le basi del saggio veniva trasmessa dal conglomerato ai tondini di ferro.



Per altri saggi invece i tondini avevano esattamente la stessa lunghezza del prisma, per modo che la pressione veniva esercitata direttamente e sul conglomerato e sui tondini dell'armatura.

Per alcuni saggi la *presa* ebbe luogo all'asciutto, per altri all'umido.

La Tabella II contiene i risultati delle esperienze sull'elasticità, istituite per mezzo dello *Spiegelapparat di Bauschinger*, e sulla resistenza alla pressione di sei dei prismi di sezione minore. La Tabella III contiene i risultati della prova a pressione di due dei prismi armati di sezione maggiore.

Le deformazioni elastiche, come del resto apparisce chiaramente dalla Tabella II, vennero valutate a partire da un certo sforzo iniziale indispensabile per tenere saldamente in posto il saggio e l'annesso apparecchio. Esse vennero registrate dopo aver sottoposto il saggio a tre o tutt'al più quattro ripetute sollecitazioni a sforzo moderato. Per pressioni moderate, quali non conviene sorpassare nelle costruzioni pratiche, risulta dalla Tabella II che i conglomerati semplici od armati possono riguardarsi come elastici.

Per i prismi armati chiamiamo *sezione apparente*, e la indichiamo con  $F_a$ , la sezione trasversale del prisma dedotta dalle sue dimensioni esterne, come se esso fosse costituito di un materiale omogeneo; chiamiamo invece *sezione ridotta in cemento*, e la indichiamo con  $F_c$  una sezione esclusivamente in conglomerato, equipollente, per la resistenza, a quella reale mista. Ritenendo che il rapporto fra il modulo di elasticità del ferro e quello del conglomerato sia in media eguale a 10, si deduce, come è noto, la  $F_c$  dalla  $F_a$  aumentando quest'ultima di dieci volte l'area della sezione complessiva dei ferri dell'armatura (\*). In relazione a tali indicazioni adottiamo anche le altre:  $E_a$ ,  $E_c$ ,  $K_a''$ ,  $K_c''$  corrispondenti al modulo di elasticità normale, ed alla resistenza

---

(\*) Veramente nella ipotesi suddetta basterebbe aumentare la sezione apparente di nove volte la sezione complessiva dei ferri; ma, sia perchè la percentuale del ferro rispetto al conglomerato nell'armatura *Hennebique* è sempre piccola, sia anche per l'incertezza del valore del rapporto suddetto, non è da annettere grande importanza alla differenza che ne risulta, ed è nell'uso pratico di ritenere come valor medio di tale coefficiente di ampliamento il numero 10.



massima unitaria alla pressione del prisma apparente, ovvero di quello ridotto in cemento.

Finalmente indichiamo con  $\sigma_f''$  la pressione unitaria massima sopportata dal ferro dell'armatura; essa, come è noto, viene data dalla  $\sigma_f'' = \frac{E_f}{E_c} K_c''$ , se  $E_f$  è il modulo di elasticità normale del ferro.

Nella Tabella II abbiamo calcolato il  $\sigma_f''$  per i diversi prismi armati, ritenendo  $E_f : E_c = 10$ ; si noti però che, in realtà, nulla può dirsi di sicuro sul valore di tale rapporto *nell'istante che precede la rottura*, quindi i valori di  $\sigma_f''$  vanno considerati soltanto come grossolanamente approssimati.

Dall'esame della Tabella II si deduce, come del resto era da attendersi, che il modulo di elasticità e la resistenza allo schiacciamento crescono se la presa completa del conglomerato avviene all'umido, piuttosto che all'asciutto. Dalla stessa tabella si desume che il modulo di elasticità  $E_c$  del conglomerato non è sostanzialmente diverso nei prismi semplici od in quelli armati, esso si aggira intorno al valore di  $200 \text{ t/cm}^2$  che, come è noto, viene ammesso dalla pratica. Invece la resistenza unitaria  $K_c''$  del conglomerato allo schiacciamento aumenta notevolmente nei prismi armati, il che è una conferma sperimentale dell'influenza benefica esercitata dall'armatura. In questa felice combinazione, i due materiali componenti si aiutano a vicenda: il conglomerato avvolgente i ferri impedisce ai medesimi d'inflettersi come solidi caricati di punta; l'armatura agendo, in virtù dei collegamenti trasversali, come una fasciatura, contrasta validamente le dilatazioni trasversali del prisma compresso.

I valori che più attendibilmente rappresentano la vera resistenza del conglomerato armato alla compressione, debitamente costruito, e stagionato all'umido, sono quelli forniti dal saggio VI della Tabella II e dal saggio II della Tabella III, cioè in media circa  $250 \text{ Kg/cm}^2$ ; è quindi giustificato anche da queste esperienze l'adottare come *carico di sicurezza*  $k''$ , cioè come pressione unitaria massima ammissibile nella sollecitazione a *pressione semplice*, circa  $30 \text{ Kg/cm}^2$  facendo  $k'' : K''$  un po' maggiore di  $\frac{1}{10}$  (valore adottato per le murature ordinarie) in vista della presenza del ferro. Si noti peraltro che la più piccola imperfezione d'esecuzione e condizioni accidentali sfavorevoli alla presa completa del conglomerato possono abbassare notevolmente il  $K''$ .



### Prove alla tensione.

Queste prove vennero eseguite su saggi aventi, per un certo tratto centrale, forma prismatica di sezione quadrata di cm. 10 di lato; le loro estremità, foggiate a coda di rondine, venivano prese con opportune morse metalliche. Le resistenze unitarie offerte da sei di tali saggi furono rispettivamente di  $\text{Kg}/\text{cm}^2$  8; 10; 12; 12; 14; 17,6; dell'ultimo saggio determinai anche le deformazioni elastiche, e calcolai quindi il modulo di elasticità. I risultati sono riportati nella Tabella IV, dalla quale si desume che per sforzi moderati il conglomerato, sollecitato a tensione, si comporta come elastico, ed il modulo di elasticità è dello stesso ordine di grandezza di quello relativo alla sollecitazione a pressione.

---

### Prove alla flessione.

I saggi sottoposti a questa prova avevano forma di travi prismatiche di sezione rettangolare di cm.  $10 \times 20$ , lunghe cm. 105, alcune senza, altre con armatura; per tutte indistintamente *la presa ebbe luogo all'asciutto*. Tutte vennero cimentate a flessione, disponendole di costa, cioè per modo che il piano di sollecitazione intersecasse le diverse sezioni trasversali della trave secondo la mediana maggiore. Riportiamo qui appresso i risultati ottenuti su alcune di esse.

#### I. — Trave di beton senza armatura:

La trave è appoggiata contro gli spigoli di due prismi, posti alla distanza  $L = \text{cm. } 100$ , e vien sollecitata, in corrispondenza della sezione di mezzo, da una forza concentrata  $P$  gradatamente crescente.

Fino al valore  $P = 0^t,60$ , per ogni incremento di  $t. 0,20$  si ha un incremento di freccia d'incurvamento della trave di mm. 0,04, dal che si deduce che la trave si comporta come elastica.



Ponendo, al solito:

$I$  = momento d'inerzia della sezione trasversale della trave, rispetto all'asse neutro,

$\rho$  = raggio d'inerzia della sezione trasversale della trave, rispetto all'asse neutro,

$f$  = freccia d'incurvamento misurata,

$\chi$  = coefficiente numerico dipendente dalla forma della sezione trasversale della trave,

si calcola il modulo di elasticità  $E$  colla

$$E = \frac{PL^3}{48If} \left[ 1 + 30\chi \left( \frac{\rho}{L} \right)^2 \right],$$

ovvero, ricordando che per la sezione rettangolare  $\chi = \frac{6}{5}$ ,  
 $\rho^2 = \frac{1}{12} h^2$ , se  $h$  è l'altezza della sezione,

$$(1) \quad E = \frac{PL^3}{48If} \left[ 1 + 3 \left( \frac{h}{L} \right)^2 \right],$$

ossia, nel nostro caso:

$$E = \frac{0,20 \times 100^3}{48 \cdot \frac{1}{12} 10 \cdot 20^3 \cdot 0,004} \left[ 1 + 3 \left( \frac{20}{100} \right)^2 \right] = 156[1 + 0,12] = 175 \text{ t/cm}^2.$$

Per  $P = 0^t,75$  avviene la rottura nella parte tesa della sezione di mezzo; se pertanto si esige che nelle costruzioni della pratica le sollecitazioni massime ammissibili non oltrepassino  $\frac{1}{10}$  di quelle che producono la rottura, il momento massimo cui potrebbe cimentarsi con tutta sicurezza una simile trave sarebbe  $M = \frac{1}{10} \cdot \frac{1}{4} 750 \times 100 = \text{Kgcm. } 1875$ , e però il carico di sicurezza  $k'$  alla tensione da adottarsi per il beton, indicando con  $W$  il modulo di resistenza della sezione trasversale della trave, risulterebbe, secondo tale esperienza:

$$k' = \frac{M}{W} = \frac{1875}{\frac{1}{6} 10 \cdot 20^2} = 2,8 \text{ kg/cm}^2.$$



II. — *Trave di beton armata da un solo tondino di mm. 11 di diametro, situato nel piano di sollecitazione e distante, col suo asse, cm. 2 dalla faccia tesa.*

Sezione trasversale ridotta in cemento:

$$F_c = 10 \times 20 + 10 \times 0,95 = \text{cm}^2 \text{ 210.}$$

Momento statico della sezione suddetta rispetto al lembo teso:

$$\mathcal{M} = \frac{1}{2} 10 \times 20^2 + 10 \times 0,95 \times 2 = \text{cm}^3 \text{ 2019.}$$

Distanza del lembo suddetto dal baricentro:

$$y' = \frac{\mathcal{M}}{F} = \frac{2019}{210} = \text{cm. 9,6.}$$

Momento d'inerzia rispetto all'asse neutro:

$$I = \frac{1}{3} 10 \times 20^3 + 10 \times 0,95 \times 2^2 - 210 \times 9,6^2 = \text{cm}^4 \text{ 7351.}$$

a) La trave viene cimentata da due carichi eguali  $= \frac{1}{2} P$  (componenti dello sforzo  $P$  esercitato dalla macchina) distanti cm. 100, applicati contro la facciata armata, ed appoggia contro gli spigoli di due prismi, distanti fra loro cm.  $80 = L$ , e distanti perciò ciascuno cm.  $10 = a$  dalla sezione di carico più vicina. Nel tratto centrale  $L$ , fra gli appoggi, la curva elastica è notoriamente circolare, e la freccia d'incurvamento viene espressa dalla

$$(2) \quad f = \frac{PaL^2}{16EI}.$$

Misurando le frecce a partire da uno sforzo ( $P$ ) iniziale di 0,50 e procedendo di mezza in mezza tonnellata si sono ottenuti i seguenti risultati:

$P = t.$	0,50;	1,00;	1,50;	2,00;	2,50;	3,00;	3,50;	4,00
$f = \text{mm}/_{100}$	0	2,5	5,0	11,0	18,5	29,5	42,5	60,5
Differenze	2,5	2,5	6,0	7,5	9,0	13,0	18,0.	



Il modulo di elasticità, per sforzi moderati, ha, secondo la (2), il valore:

$$E_c = \frac{0,50 \times 10 \times 80^2}{16 \times 7351 \times 0,0025} = 109 \text{ t/cm}^2,$$

che supera appena  $\frac{1}{20} E_f$ . Ripreso pertanto il calcolo supponendo  $E_f : E_c = 20$ , si ottiene  $E_c = 105 \text{ t/cm}^2$ , valore che differisce dal precedente di una quantità praticamente trascurabile.

b) Le condizioni di posa e di sollecitazione sono le stesse della trave I.

Le frecce d'incurvamento raggiunsero i valori seguenti:

$P=t.$	0,50 ;	1,00 ;	1,50
$f=\text{mm}/100$	0 ;	13 ;	33
Differenze	13	20.	

Il modulo di elasticità, per sforzi moderati, calcolato secondo la (1) (ammettendo in via di approssimazione che anche per la sezione armata sia  $\chi = \frac{6}{5}$ ) ha il valore:

$$E = \frac{0,50 \times 100^3}{48 \cdot 7351 \cdot 0,013} \left[ 1 + 3 \left( \frac{20}{100} \right)^2 \right] = 109 (1 + 0,12) = 122 \text{ t/cm}^2.$$

Allo sforzo di  $t. 1,75$  avviene la rottura.

Le costruzioni in beton armato, anche dopo avvenuta la rottura, resistono ancora generalmente ad una notevole sollecitazione. Questo è certamente un pregio rilevante di tal genere di costruzioni rispetto alle costruzioni in muratura ordinaria, ma non autorizza ad eccedere oltre misura nello stabilire il carico massimo ammissibile, cioè il carico di sicurezza, tanto più che tali costruzioni richiedono, nell'esecuzione, una cura tutt'affatto speciale, non paragonabile a quella richiesta da una muratura ordinaria, e non sempre rispettata nella pratica corrente. Riteniamo quindi che il carico di sicurezza possa tutt'al più essere preso  $\frac{1}{8}$  del carico di rottura. Per una trave simile a quella di cui qui si tratta dovrebbero pertanto riguardare come momento flettente massimo ammissibile

$$M = \frac{1}{8} \cdot \frac{1}{4} 1750 \cdot 100 = 5469 \text{ Kgcm.}$$



e quindi il carico di sicurezza da adottare per il beton alla tensione ed alla pressione risulterebbero rispettivamente:

$$k' = \frac{5469 \cdot 9,6}{7351} = \sim 7 \text{ kg/cm}^2$$

$$k'' = \frac{5469 \cdot 10,4}{7351} = \sim 8 \text{ „}$$

III. — *Trave di beton, armata di due tondini di mm. 11 di diametro situati agli angoli tesi, distanti ciascuno, col suo asse geometrico, cm. 2 sì dalla faccia tesa che dalla faccia laterale più vicina.*

$$F_c = 10 \cdot 20 + 2 \cdot 10 \cdot 0,95 = \text{cm}^2 \text{ 219}$$

$$\mathcal{M} = \frac{1}{2} 10 \cdot 20^2 + 2 \cdot 10 \cdot 0,95 \cdot 2 = \text{cm}^3 \text{ 2038}$$

$$y' = \frac{2038}{219} = \text{cm. 9,3}$$

$$I = \frac{1}{3} 10 \cdot 20^3 + 2 \cdot 10 \cdot 0,95 \cdot 2^2 - 219 \cdot 9,3^2 = \text{cm}^4 \text{ 7800.}$$

La trave è appoggiata contro gli spigoli di due prismi, posti alla distanza  $L = \text{cm. 100}$ , e viene sollecitata, in corrispondenza della sezione di mezzo da una forza concentrata  $P$ , gradatamente crescente.

Misurando le frecce a partire da uno sforzo ( $P$ ) iniziale di 0,50 e procedendo di mezza in mezza tonnellata si sono ottenuti i seguenti risultati:

$P = t.$	0,50;	1,00;	1,50;	2,00;	2,50;	3,00
$f = \text{mm}/_{100}$	0	8	16	34	55	76
Differenze	8	8	18	21	21.	

Il modulo di elasticità, per sforzi moderati, calcolato secondo la (1) ha quindi il valore:

$$E = \frac{0,50 \cdot 100^3}{48 \cdot 7800 \cdot 0,008} (1 + 0,12) = 187 \text{ t/cm}^2.$$



Allo sforzo di  $t. 3,46$  avviene la rottura. Per una trave simile a quella di cui qui si tratta, dovrebbe pertanto riguardare come momento flettente massimo ammissibile.

$$M = \frac{1}{8} \cdot \frac{1}{4} \cdot 3460 \cdot 100 = 10812 \text{ Kgcm},$$

e quindi

$$k' = \frac{10812 \times 9,3}{7800} = \sim 13 \text{ Kg/cm}^2, \quad k'' = \frac{10812 \cdot 10,7}{7800} = \sim 15 \text{ Kg/cm}^2.$$

IV. — *Trave di beton armata simmetricamente di due tondini di mm. 11 di diametro, situati nel piano di sollecitazione, uno nella parte tesa, l'altro nella parte compressa, distanti ciascuno, col suo asse geometrico, cm. 2 dalla faccia più vicina della trave.*

Cimentata a flessione nelle stesse condizioni di posa e di carico del saggio precedente, la trave si è rotta sotto un carico  $P = t. 1,95$  e quindi, poichè per una simile trave:

$$I = \frac{1}{12} 10 \cdot 20^3 + 2 \cdot 10 \cdot 0,95 \cdot 8^2 = \text{cm}^4 7883,$$

risulta:

$$k' = k'' = \frac{1}{8} \frac{\frac{1}{4} 1950 \cdot 100 \cdot 10}{7883} = \sim 8 \text{ Kg/cm}^2.$$

V. — *Trave di beton armata simmetricamente con quattro tondini di mm. 11 di diametro, situati presso i quattro spigoli longitudinali della trave. Distanza dell'asse geometrico di ciascuno di essi dalle due faccie vicine = cm. 2.*

$$I = \frac{1}{12} 10 \cdot 20^3 + 4 \cdot 10 \cdot 0,95 \cdot 8^2 = \text{cm}^4 9099.$$

La trave, cimentata come le due precedenti, si è rotta sotto il carico  $P = 2',84$ , talchè risulta:

$$k' = k'' = \frac{1}{8} \frac{\frac{1}{4} 2840 \cdot 100 \cdot 10}{9099} = \sim 10 \text{ Kg/cm}^2.$$

Come vedesi la resistenza massima offerta da questa trave ad armatura simmetrica è inferiore di circa il 18 % di quella



offerta dalla corrispondente trave ad armatura semplice. Questa anomalia trova in parte una spiegazione nel fatto che in una trave di dimensioni così limitate l'aggiunta di altri ferri nella parte compressa è causa di discontinuità nel beton e di meno accurato costipamento del medesimo durante la fabbricazione; inconvenienti che possono riuscire di un'importanza maggiore del limitato vantaggio offerto dalla resistenza del ferro alla compressione.

VI. — *Trave con armatura del tipo Hennebique* (due tondini di mm. 11 di diametro, situati nel piano di sollecitazione, uno dritto e distante, col suo asse geometrico, cm. 2 dalla faccia tesa, l'altro parallelo al primo, distante cm. 2 da esso nel tratto centrale della trave e rialzato verso le estremità della medesima; i due tondini sono collegati alla zona compressa della trave mediante le caratteristiche staffe *Hennebique*).

Cimentata a flessione nelle stesse condizioni di posa e di carico della trave precedente (\*), allo sforzo  $P = 3^t,20$  si sono prodotte varie lesioni nella zona tesa; tuttavia la trave così lesionata sostiene ancora un carico  $P = 2^t,70$ . La sollecitazione massima a cui ha resistito questa trave è dunque inferiore del 7,5 % a quella sopportata dalla trave III. Ciò può essere spiegato sia dal fatto che il secondo tondino di ferro di questa trave, essendo più distante del primo dalla faccia tesa, risulta meno efficace, come pure per la discontinuità e forse per un imperfetto costipamento del conglomerato, inconvenienti causati dall'armatura più complessa, e maggiormente avvertibili in una trave di dimensioni così limitate.

VII. — Questa trave è la ripetizione della precedente, coll'aggiunta però di un tondino dritto situato nel piano di sollecitazione, distante, col suo asse geometrico, cm. 2 dalla faccia

---

(\*) Veramente la piegatura del secondo tondino, che nella pratica corrente trova la sua ragione nella condizione di posa, che è quella di un semincastro, qui non sarebbe giustificata, comportandosi la trave come semplicemente appoggiata; tuttavia essa non è dannosa, tenuto conto della legge di variazione del momento flettente nella trave sperimentata.



compressa e collegato alla zona tesa mediante altre staffe intercalate colle prime.

La trave, cimentata nelle stesse condizioni di posa e di carico della trave precedente, si è rotta, con lesione della parte tesa in prossimità della sezione centrale, sotto lo sforzo  $P=2^t,10$ ; cioè ha offerto una resistenza massima inferiore del 39 % a quella della trave III, il che va spiegato colle stesse ragioni addotte per la trave precedente, le quali in questo caso hanno maggior valore.

Anche da questi pochi risultati sperimentali, che vedremo però confermati, in massima, da altri più numerosi, che formeranno oggetto di altra comunicazione, risulta, come era da aspettarsi, il vantaggio arrecato dall'armatura metallica nella zona della trave che in seguito alla sollecitazione a flessione risulta tesa; la resistenza può esserne quadruplicata (Trave III). Non emerge invece il vantaggio che teoricamente dovrebbe portare l'aggiunta di un'armatura anche nella zona della trave che risulta compressa, come pure l'aggiunta delle staffe di collegamento, del che si è dato precedentemente una qualche spiegazione. Vuol essere notato come in tutte queste esperienze a flessione non verificaronsi lesioni nella zona tesa della trave se non per sforzi di poco inferiori a quelli producenti la definitiva rottura della trave. Quando, come nelle nostre prove, è applicata alla trave un flessimetro molto sensibile, la produzione delle più piccole lesioni nella zona tesa della trave è avvertita da un notevole incremento nella freccia, dipendente dal fatto che il regime di equilibrio molecolare resta bruscamente alterato, lo sforzo nel ferro che deve lavorare a tensione, cresce istantaneamente di una quantità rilevante, e produce perciò un notevole allungamento del medesimo, che si risolve in un aumento della freccia. A questo punto della prova, quando la tensione unitaria nel ferro è molto elevata (generalmente supera  $2^t/\text{cm}^2$ ) si produce nel medesimo un tale allungamento da derivarne nella trave un progressivo allargamento delle lesioni, e quindi una progressiva diminuzione della parte di beton, che, nelle sezioni lesionate, dovrebbe ancora resistere a pressione; e perciò la graduale rottura della trave. È però pregio rilevante di questi sistemi armati, come è stato già precedentemente notato, che la



rottura non ha il carattere di uno sfasciamento con separazione di parti, essa è invece graduale, e la trave rotta può ancora sopportare permanentemente un notevole carico,

Sulla resistenza di queste travi ha certamente influito in senso negativo l'essere avvenuta all'asciutto la *presa* del conglomerato, tuttavia tale nociva influenza è minore di quanto potrebbe sembrare a prima vista, come si vedrà in una prossima pubblicazione. Supposto che il *carico di sicurezza* o *carico ammissibile* si prenda, come è stato già detto precedentemente, eguale ad  $\frac{1}{8}$  del carico di rottura, il carico di sicurezza per il conglomerato in travi armate dovrebbe, secondo tali esperienze, oscillare fra 8 e 15  $\text{Kg/cm}^2$ . Naturalmente nelle costruzioni della pratica debitamente eseguite, quando la stagionatura completa avvenga all'umido, e più ancora per la solidarietà delle diverse parti, la quale ne favorisce evidentemente la resistenza, tali limiti possono essere alquanto innalzati.

Torino, 29 aprile 1900.



TABELLA I.  
Prove di aderenza del conglomerato Hennebique al ferro.

No d'ordine	DIMENSIONI del prisma di conglomerato cm.		FORMA DEL FERRO immerso nel conglomerato	RESISTENZA totale allo scorrimento Kg.	ADERENZA del conglomerato al ferro Kg/cm²	OSSERVAZIONI
	base	altezza				
1	14 × 14	8,0	Tondo: diam. = cm.	800	18	Situato in un piano mediano del prisma Situato in un piano diagonale del prisma " " " " " " " " " " " " " " " "
2	"	9,0	"	1300	19	
3	"	9,5	"	960	9	
4	"	9,5	"	1640	14	
5	"	9,5	"	2020	15	
6	"	9,0	Quadro: lato = cm.	1380	20	
7	"	9,2	"	3220	30	
8	"	9,0	"	2200	15	
9	"	10,0	Piatto: cm.	3120	33	
10	"	9,0	"	1120	12	
11	"	9,2	"	1000	9	
12	"	8,5	"	2000	14	
13	"	10,0	"	2140	14	
14	"	9,0	"	1340	11	
15	"	9,5	"	2880	22	
16	"	9,2	"	2700	25	



Prove sull'elasticità e resistenza alla pressione di prismi di conglomerato Hennebique  
semplici ed armati.

No d'ordine	INDICAZIONE dei saggi	CARICO totale t.	ACCORCIAMENTI misurati sulle mediane longitudinali di due facce laterali opposte		ACCORCIAMENTO medio $\frac{1}{10000}$ mm.	Differenze	OSSERVAZIONI
			sinistra $\frac{1}{5000}$ mm.	destra $\frac{1}{5000}$ mm.			
I.	Prisma di conglomerato semplice delle dimen- sioni cm. $10 \times 10 \times 20$ . La presa ebbe luogo al- l'asciutto.	0,50	0	0	0	31	Lunghezza su cui vennero misurate le deforma- zioni $= l = \text{cm. } 15,20$ . Sezione trasversale del saggio $= F = \text{cm}^2 \text{ } 100$ . Modulo di elasticità $E$ $E = \frac{1,50}{100} \frac{1520000}{105} = 218 \frac{\text{t}}{\text{cm}^2}$ . Resistenza massima $K''$ $K'' = \frac{11800}{100} = 118 \frac{\text{Kg}}{\text{cm}^2}$ .
		1,00	19	12	31	37	
		1,50	40	28	68	37	
		2,00	63	42	105	45	
		2,50	90	60	150	50	
		3,00	120	80	200		
		11,80	Schiacciamento istantaneo				
II.	Id. Id. La presa ebbe luogo al- l'umido.	0,50	0	0	0	31	$l = \text{cm. } 15,20$ . $F = \text{cm}^2 \text{ } 100$ . $E = \frac{1,50}{100} \frac{1520000}{94} = 243 \frac{\text{t}}{\text{cm}^2}$ . $K'' = \frac{13600}{100} = 136 \frac{\text{Kg}}{\text{cm}^2}$ .
		1,00	18	13	31	30	
		1,50	33	28	61	33	
		2,00	52	42	94	45	
		0,50	1	2	3		
		2,50	78	61	139	47	
		3,00	103	83	186	47	
		3,50	131	102	233	53	
		4,00	160	126	286		
		13,60	Schiacciamento istantaneo				



Segue TABELLA II.

INDICAZIONE dei saggi	CARICO totale t.	ACCORCIAMENTI misurati sulle mediane longitudinali di due faccie laterali opposte			ACCORCIAMENTO medio $\frac{1}{10000}$ mm.	Differenze	OSSERVAZIONI
		sinistra $\frac{1}{5000}$ mm.	destra $\frac{1}{5000}$ mm.				
III.  Prisma di conglomerato a base quadrata, armato con quattro tondini. Dimensioni del prisma cm. $10 \times 10 \times 20$ . Diametro tondini mm. 15. L'armatura rimane discosta cm. 1,5 dalle basi del prisma. La presa ebbe luogo all'asciutto.	1	0	0		0	43	$l = \text{cm. } 15,20$ . Sezione apparente del prisma $= F_a = \text{cm}^2 100$ . Sezione ridotta in cemento $= F_c = 100 + 4 \times 10 \times 1,77 = \text{cm}^2 171$ .
	2	28	15		43	45	$E_a = \frac{3}{100} \frac{1520000}{134} = 340 \text{ }^t/\text{cm}^2$ .
	3	55	33		88	46	$E_c = E_a \frac{100}{171} = 199 \text{ }^t/\text{cm}^2$ .
	4	79	55		134	64	$K_a'' = \frac{28000}{100} = 280 \text{ Kg}/\text{cm}^2$ .
	1	1	2		3	70	$K_c'' = \frac{28000}{171} = 164 \text{ Kg}/\text{cm}^2$ .
	5	110	88		198		$\sigma_f'' = 10. K_c'' = 1640 \text{ Kg}/\text{cm}^2$ .
	6	141	127		268		
IV.  Id. Id. La presa ebbe luogo all'umido.	28	Schiacciamento istantaneo					
	1	0	0		0	37	$l = \text{cm. } 15,20$ . $F_a = \text{cm}^2 100, F_c = \text{cm}^2 171$ .
	2	20	17		37	37	$E_a = \frac{3}{100} \frac{1520000}{113} = 404 \text{ }^t/\text{cm}^2$ .
	3	40	34		74	39	$E_c = E_a \frac{100}{171} = 236 \text{ }^t/\text{cm}^2$ .
	4	58	55		113	48	$K_a'' = \frac{31200}{100} = 312 \text{ Kg}/\text{cm}^2$ .
	1	0	0		0	50	$K_c'' = \frac{31200}{171} = 182 \text{ Kg}/\text{cm}^2$ .
	5	79	82		161		$\sigma_f'' = 10 K_c'' = 1820 \text{ Kg}/\text{cm}^2$ .
	6	100	111		211		
	31,20	Schiacciamento istantaneo					



No d'ordine	INDICAZIONE dei saggi	CARICO totale t.	ACCORCIAMENTI misurati sulle mediane longitudinali di due faccie laterali opposte		ACCORCIAMENTO medio $\frac{1}{10000}$ mm.	Differenze	OSSERVAZIONI
			sinistra $\frac{1}{5000}$ mm.	destra $\frac{1}{5000}$ mm.			
V.	Prisma di conglomerato a base quadrata armato con quattro tondini. Dimensioni del prisma cm. $10 \times 10 \times 20$ . Diametro tondini mm. 15. L'armatura ha esattamente la stessa lunghezza del prisma. La presa ebbe luogo al- l'asciutto.	1	0	0	0	46	$l = \text{cm. } 15,40.$ $F_a = \text{cm}^2 100, F_c = \text{cm}^2 171.$
		2	23	23	46	50	$E_a = \frac{3}{100} \frac{1540000}{146} = 316 \text{ }^t/\text{cm}^2.$
		3	54	42	96	50	$E_c = E_a \frac{100}{171} = 185 \text{ }^t/\text{cm}^2.$
		4	83	63	146	94	$K_a'' = \frac{35200}{100} = 352 \text{ Kg}/\text{cm}^2.$
		1	0	0	0		
		5	130	100	230	97	$K_c'' = \frac{35200}{171} = 206 \text{ Kg}/\text{cm}^2.$
		6	180	147	327		$\sigma_f'' = 10 K_c'' = 2060 \text{ Kg}/\text{cm}^2.$
		35,20	Schiacciamento istantaneo				Il prisma schiacciato sopporta ancora permanen- temente un carico totale di <b>30<sup>t</sup></b> .
VI.	Id. Id. La presa ebbe luogo al- l'umido.	1	0	0	0	42	$l = \text{cm. } 15,50.$ $F_a = \text{cm}^2 100, F_c = \text{cm}^2 171.$
		2	20	22	42	46	$E_a = \frac{3}{100} \frac{1550000}{132} = 352 \text{ }^t/\text{cm}^2.$
		3	40	48	88	44	$E_c = E_a \frac{100}{171} = 206 \text{ }^t/\text{cm}^2.$
		4	61	71	132	68	$K_a'' = \frac{39300}{100} = 393 \text{ Kg}/\text{cm}^2.$
		1	0	2	2		
		5	87	103	190	69	$K_c'' = \frac{39300}{171} = 230 \text{ Kg}/\text{cm}^2.$
		6	118	141	259		$\sigma_f'' = 10 K_c'' = 2300 \text{ Kg}/\text{cm}^2.$
		39,30	Schiacciamento istantaneo				Il prisma schiacciato sopporta ancora permanen- temente un carico totale di <b>33<sup>t</sup></b> .



TABELLA III.  
Prove alla pressione di prismi di conglomerato Hennebique  
armati con quattro tondini di mm. 15 di diametro  
(l'armatura ha esattamente la stessa lunghezza dei prismi).

No d'ordine	DIMENSIONI del prisma cm.	SEZIONE apparente = $F_a$ cm <sup>2</sup>	SEZIONE ridotta in cemento = $F_c$ cm <sup>2</sup>	CARICO totale di schiacciamento = $N$ t.	$\frac{N}{F_a} = K_a''$ Kg/cm <sup>2</sup>	$\frac{N}{F_c} = K_c''$ Kg/cm <sup>2</sup>	$\sigma_f'' = 10 K_c''$ Kg/cm <sup>2</sup>	OSSERVAZIONI
I.	14,0 × 14,1 × 19,8	197	268	43,70	222	163	1630	La presa ebbe luogo all'asciutto. Dopo la rottura il prisma sop- porta ancora permanentemente un carico totale di 36 <sup>t</sup> .
II.	14,1 × 14,3 × 19,8	202	273	73,50	364	269	2690	La presa ebbe luogo all'umido. Rottura istantanea. — Il prisma rotto sopporta ancora perma- nentemente una pressione totale di 39 <sup>t</sup> ,50.



TABELLA IV.

Prova sull'elasticità e resistenza a tensione  
di un prisma di conglomerato senza armatura.

DIMENSIONI della sezione trasversale del prisma  cm.	CARICO  totale  t.	ALLUNGAMENTI misurati sulle mediane longitudinali di due faccie laterali opposte		ALLUNGAMENTO  medio  $\frac{1}{10000}$ mm.	DIFFERENZE	OSSERVAZIONI
		$\frac{\text{sinistra}}{1} \frac{\text{mm.}}{5000}$	$\frac{\text{destra}}{1} \frac{\text{mm.}}{5000}$			
10 × 10	0,20	0	0	0	19	Lunghezza su cui vennero misurati gli allungamenti = $l = \text{cm. } 20,2$ .  $F = \text{cm}^2 \text{ } 100$ .  $E = \frac{0,60}{100} \frac{2020000}{56} = 216 \frac{\text{t}}{\text{cm}^2}$ .  $K' = \frac{1760}{100} = 17,6 \frac{\text{Kg}}{\text{cm}^2}$ .
	0,40	9	10	19	19	
	0,60	19	19	38	18	
	0,80	26	30	56		
	0,20	2	6	8		
	1,76	Rottura secondo una sezione trasversale retta, del tratto centrale del saggio.				



*Pirite di Valgioie.*

Nota di GIOVANNI BOERIS.

(Con una tavola).

Il territorio di Valgioie, piccolo comune del circondario di Susa, si estende, quasi del tutto, sul versante meridionale della catena che divide la valle della Dora Riparia da quella del Sangone.

Nella parte alta di questo comune, e precisamente poco sopra i casali Tortorello, si estrae un calcare di color giallastro, in cui si vedono frequenti vene di cristallini di calcite in forma, per solito, di scalenoedri, e, meno spesso, di romboedri in ogni caso a facce imperfettissime.

Entro a tale calcare ho notato altresì dei rari cristalli di pirite limonitizzata, assai male conformati, e, per lo stato delle loro facce, punto atti ad essere misurati.

Anche nelle vicinanze della borgata Molino, nella parte bassa quindi di Valgioie, si rinvenne della pietra da calce somigliantissima a quella pocanzi accennata, e qui pure si attivarono delle cave ora abbandonate.

In una di queste, che ebbi occasione di visitare nell'estate scorso, raccolsi un masso di calcare, da cui spuntavano alcuni cristalli di pirite.

Attirarono questi la mia attenzione per il considerevole numero delle loro facce, e, ridotto in seguito il masso in frammenti, parecchi altri ne vennero fuori, per la massima parte di esigue dimensioni, e parzialmente trasformati in limonite.

Stavano in prevalenza addensati in certi punti dove la roccia, la cui struttura appariva minutamente granulare, presentava dei noduli di calcite spatica con qualche cristallo, affatto raro, di quarzo e una patina ocracea, prodotto di alterazione della pirite.

La maggior parte dei cristalli estratti si presta bene a



misure, e se avviene alcuni con facce assai irregolarmente sviluppate, molti sono gli egregiamente conformati.

Per il discreto numero di forme che su di essi compaiono, alcune delle quali sono da annoverarsi tra le meno frequentemente incontrate nella pirite, e per l'ampio sviluppo che in diversi di essi prendono le facce del rombododecaedro, fatto non nuovo, ma finora non molte volte osservato, meritano un cenno descrittivo.

Le forme che ho potuto determinare con sicurezza sono:

$$\begin{aligned} &\{100\} \{110\} \{920\} \{210\} \{320\} \{430\} \{650\} \\ &\{230\} \{111\} \{221\} \{211\} \{433\} \{421\} \end{aligned}$$

Ecco in breve quanto può dirsi circa il modo di presentarsi e la frequenza di ognuna di esse.

$\{100\}$  Le facce di questa forma costantemente presente, nei cristalli piccoli sono, in generale, poco estese e mostrano la solita striatura; ne vidi per altro alcune poche discretamente larghe e perfettamente piane. Sono invece predominanti nei rari cristalli alquanto grossi, ma a facce scadenti, che mi fu dato d'incontrare.

$\{110\}$  È frequentissima, anzi sono una eccezione rara i cristalli che non la presentano. In certi, assai ben conformati, è largamente predominante. Le sue facce si mostrano spessissimo più o meno profondamente striate secondo gli spigoli del cubo: ne osservai però anche delle molto piane e splendentissime.

$\{920\}$  Due facce di questo raro pentagonododecaedro, nitidissime, ma poco estese, osservai sul cristallo rappresentato a modello dalla fig. 5, poste l'una da una parte e l'altra dall'altra di un piano di simmetria. Diedero ambedue una immagine alquanto diffusa. Altre tre facce di questo simbolo, una delle quali grandissima, ma con una immagine poco bella, stanno sul cristallo ritratto dalla fig. 2, il solo, fra gli studiati, che presenti una così interessante combinazione.

$\{210\}$  Si nota in tutti i cristalli. Sebbene le sue facce siano talvolta assai ampie, non lo sono mai tanto che essa costituisca



la base della combinazione. Sono poi, in molti casi, rigate parallelamente agli spigoli del cubo.

{320} Fu trovato su tre cristalli con facce di vario sviluppo, nette e brillanti.

{430} È una forma frequente: talora ha facce di considerevole ampiezza e sufficientemente splendenti.

{650} Anche questa si trova sovente, con facce il più delle volte larghe, ma alquanto convesse. Non mancano però esempi di facce di tale pentagonododecaedro ben piane e di grande nitore, e allora sono piuttosto ristrette.

{230} Di questa forma mi occorre di vedere due sole facce, sopra lo stesso cristallo, piccole, ruvide e con immagini scadenti.

{111} Su quasi tutti i cristalli si incontrano facce dell'ottaedro, talora abbastanza estese, ma non mai così da determinarne l'abito. Sono generalmente piane e lucenti.

{221} Non manca quasi mai e compare con facce per solito nette e notevolmente estese, le quali riflettono bene la luce. Qualche cristallo però ha delle facce di questa forma striate parallelamente alla loro intersezione con quelle di {111}.

{211} Questa è pure una forma che si trova in quasi tutti i cristalli. Ha facce ampie, per lo più, quanto quelle di {221} e distinte per splendore. Le poche volte che le facce di {211} si trovarono striate nel modo che si è detto, anche quelle di {221} ad esse associate erano pure contraddistinte da una identica striatura, parallela cioè allo spigolo che fanno colle facce dell'ottaedro.

{433} Rinvenni poche facce di questo simbolo, ed in cristalli diversi, il più delle volte assai imperfette e ristrette di molto. Ne vidi però una notevolmente ampia e abbastanza brillante. Il simbolo {433} si ricava dalle zone [211:111] [221:212].

{421} Di rado compaiono sui nostri cristalli delle facce di questo comune diacisdodecaedro e sono, in ogni caso, affatto subordinate.

Nella seguente tabella riassumo i risultati delle mie misure.



Angoli	Limiti delle osservazioni	Media	Calcolato	N°
(110) : (100)	44° 45' — 45° 15'	44° 56'	45° 0'	20
(920) : (100)	12 24 — 12 50	12 41	12 32	5
(920) : (101)		46 15	46 21	1
(920) : (102)		64 15	64 7	1
(210) : (100)	26 25 — 26 44	26 36	26 34	20
(210) : (110)	18 10 — 18 40	18 31	18 26	10
(210) : (101)		50 46	50 46	1
(320) : (100)	33 40 — 33 47	33 43	33 41	3
(320) : (111)		36 46	36 49	1
(320) : (221)		22 20	22 24	1
(320) : (021)		60 22	60 15	1
(430) : (100)	36 44 — 36 50	36 47	36 52	5
(430) : (210)	9 50 — 10 26	10 14	10 18	3
(650) : (100)	39 31 — 39 55	39 45	39 48	5
(650) : (111)		35 35	35 36	1
(650) : (221)		20 18	20 8	1
(650) : (121)		33 18	33 15	1
(650) : (110)		5 4	5 12	1
(650) : (210)	13 12 — 13 28	13 21	13 14	4
(111) : (100)		54 42	54 44	1



Angoli	Limiti delle osservazioni	Media	Calcolato	N°
(111) : (110)	35° 0' — 35° 27'	35° 17'	35° 16'	10
(111) : (210)	39 15 — 39 25	39 20	39 14	3
(221) : (111)	15 32 — 15 50	15 43	15 48	14
(221) : (100)	48 11 — 48 16	48 13	48 11	3
(221) : (021)	41 35 — 41 45	41 40	41 49	2
(221) : (110)	19 10 — 19 38	19 22	19 28	3
(221) : (122)	27 13 — 27 17	27 15	27 16	2
(211) : (100)	35 0 — 35 27	35 15	35 16	10
(211) : (001)		65 40	65 54	1
(211) : (111)	19 15 — 19 38	19 26	19 28	20
(211) : (210)	24 0 — 24 15	24 7	24 6	4
(211) : (221)	17 23 — 17 52	17 39	17 43	8
(211) : (110)		29 50	30 0	1
(433) : (111)		8 18	8 3	1
(433) : (211)		11 10	11 25	1
(433) : (221)	13 37 — 13 41	13 39	13 38	2
(421) : (100)	29 13 — 29 15	29 14	29 12	2
(421) : (221)		18 55	18 59	1
(421) : (211)	11 27 — 11 31	11 29	11 30	2
(421) : (210)		12 38	12 36	1



Ho trovato poi, sopra uno solo dei miei cristalli, nella zona  $[100 : 010]$ , una faccettina abbastanza netta, che dava una immagine unica, per l'esiguità della superficie riflettente alquanto diffusa, la quale è probabilmente del pentagonododecaedro  $\{720\}$ , già noto per la pirite.

Tale faccia è inclinata di  $15^\circ 35'$  sulla adiacente di  $\{100\}$ . Il valore teorico per lo spigolo  $(720) : (100)$  è  $15^\circ 57'$ . Ma poichè è unica, do la detta forma solo come dubbia.

Sul medesimo cristallo si vede anche una faccia  $\{hhl\}$  ampia, piana, assai rilucente, la quale, per quanto si ricava dall'angolo che essa fa colla vicina di  $\{111\}$ , molto estesa, splendentissima e contornata da tre belle facce di  $\{211\}$ , sarebbe del triacisottaedro  $\{553\}$  non per anco osservato nella pirite.

Ecco il valore di tale angolo e di alcuni altri misurati per controllo:

	Misurato	Calcolato
$(553) : (111)$	$12^\circ 13'$	$12^\circ 16'$
$(553) : (100)$	49 25	49 23
$(553) : (211)$	16 49	16 55

Quantunque si abbia sufficiente accordo tra osservazione e calcolo, trattandosi di una forma nuova, vista con una sola faccia, non ne riporto il simbolo altro che come dubbio.

E con ogni riserva do pure i simboli  $\{554\}$   $\{775\}$   $\{1077\}$   $\{855\}$  che spetterebbero ad altrettante forme nuove per la pirite di ognuna delle quali si avrebbe una faccia sopra uno stesso cristallo, anzi nel medesimo ottante. Questo è pertanto degno di una qualche attenzione, e la figura 6 lo rappresenta al naturale.

I valori degli spigoli che, nel detto ottante, le facce di  $\{221\}$  e  $\{211\}$  fanno con quella di  $\{111\}$  sono tutti molto prossimi ai teorici, tolto  $(221) : (111) = 16^\circ 15'$ . Supera quindi questo il calcolato di  $23'$ ; ma la faccia  $(221)$  è parecchio difettosa. Trascu- rando adunque questo valore, gli altri attesterebbero che le facce da cui sono dati, non sono punto spostate.

Le facce dubbie in discorso vennero misurate su parecchie altre vicine. Trascriverò i valori trovati per ognuna, mettendoli di fronte ai richiesti dalla teoria, quando per esse si adottino i simboli riportati più sopra, dicendo pure in breve del loro aspetto, contrassegnandole col simbolo che hanno sulla figura.



(545) Appare come una faccettina triangolare, nettamente delimitata, assai splendente. L'immagine, che dà, è alquanto slargata.

	Misurato	Calcolato
(545) : (111)	5° 53'	5° 46'
(545) : (212)	9 55	10 2
(545) : (122)	19 26	19 19
(545) : (032)	41 22	41 19
(545) : (334)	6 51	7 10

(577) È ampia, brillantissima e riflette una immagine unica e netta. Sta esattamente nelle zone [211 : 111], [032 : 545]. Ciò malgrado, e quantunque le misure siano state eseguite tra facce che davano immagini ben definite, i valori ottenuti, ad eccezione di due, vanno poco d'accordo coi calcolati.

	Misurato	Calcolato
(577) : (111)	8° 57'	8° 28'
(577) : (121)	16 48	16 51
(577) : (122)	6 52	7 20
(577) : (334)	8 15	8 15
(577) : (545)	12 57	12 24
(577) : (032)	28 23	28 55

(10 7 7) È pure assai larga ed abbastanza piana: la sua immagine però è alquanto meno bella di quella offerta dalla faccia precedente

	Misurato	Calcolato
(10 7 7) : (111)	10° 1'	10° 1'
(10 7 7) : (221)	13 46	13 46
(10 7 7) : (110)	31 15	31 19

(855) Meno estesa delle due anzidette e, come esse, nella zona [211 : 111], fornisce una immagine non del tutto perfetta. Le misure si accordano discretamente col calcolo.



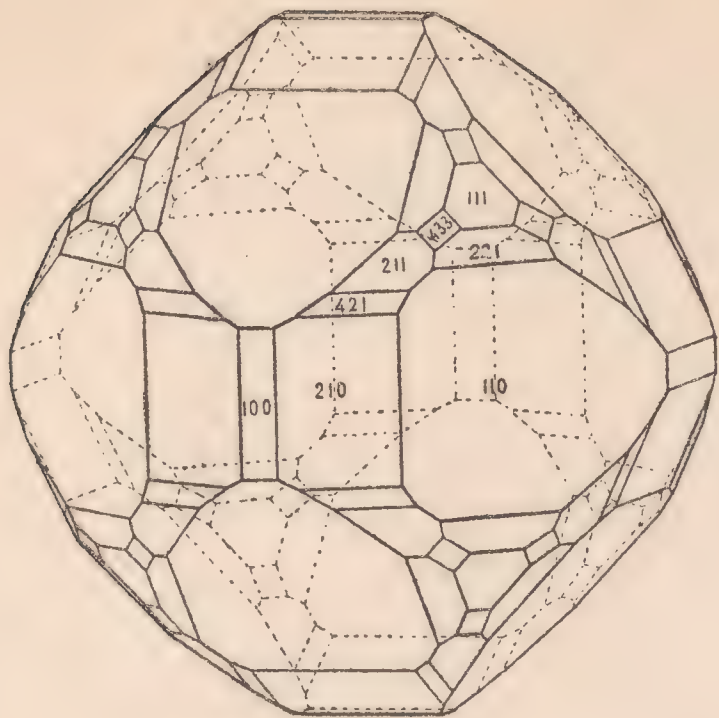


Fig. 1.

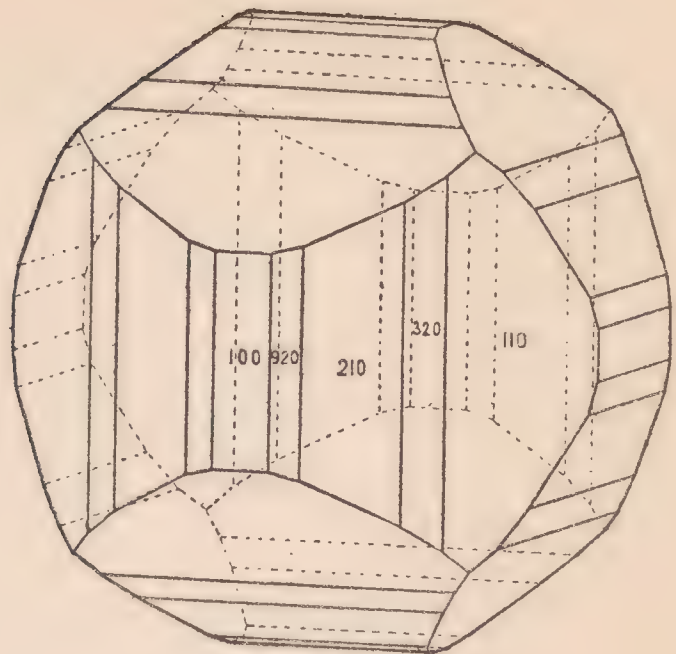


Fig. 2.

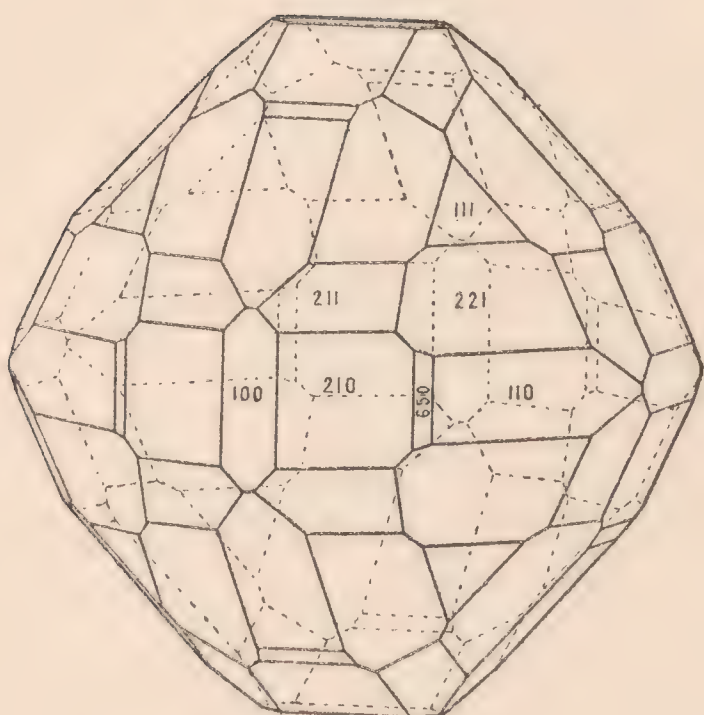


Fig. 3.

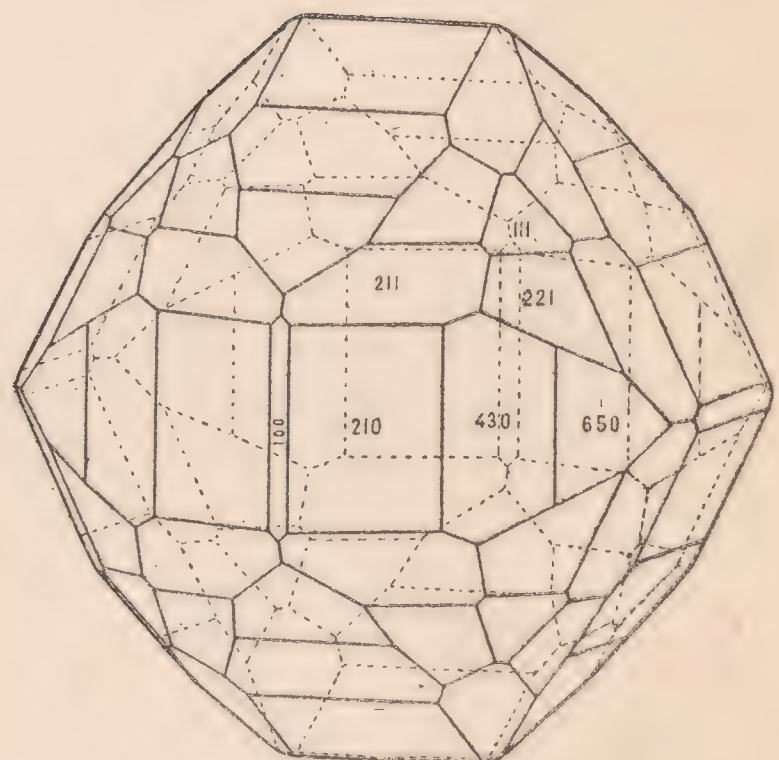


Fig. 4.

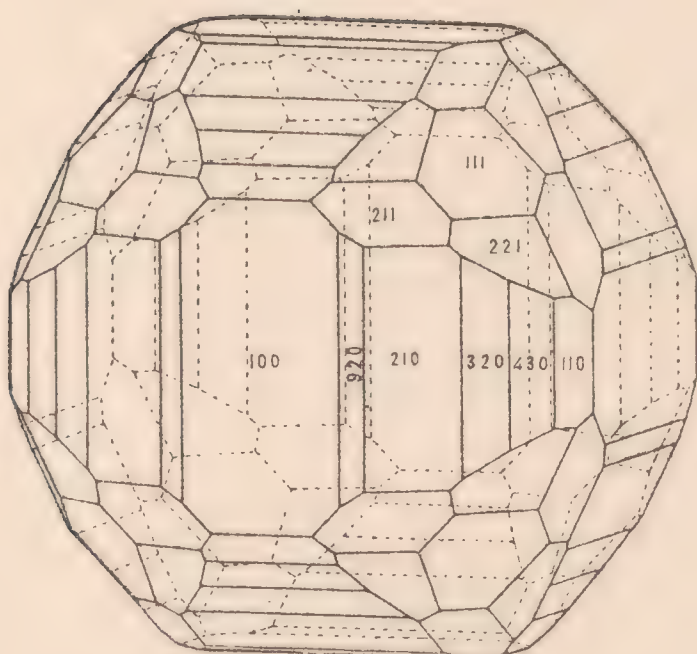


Fig. 5.

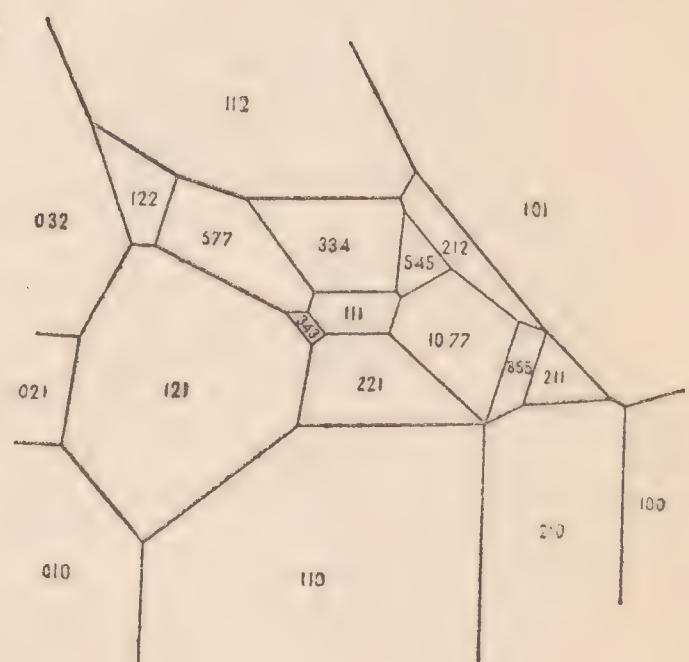


Fig. 6.







	Misurato	Calcolato
(855) : (111)	12° 58'	13° 16'
(855) : (221)	14 27	14 35
(855) : (110)	30 28	30 35
(855) : (211)	6 27	6 12
(855) : (10 7 7)	2 57	3 15

Aggiungerò infine che, sempre sullo stesso cristallo presentante le ora descritte facce, ma in un altro ottante, si nota l'alternato comparire di una faccia {210} con una di un altro pentagonododecaedro, che sarebbe nuovo per il minerale ed esprimibile col simbolo {510}.

	Misurato	Calcolato
(510) : (100)	11° 38'	11° 18'
(510) : (210)	14 43	15 16
(510) : (111)	47 12	47 18

Codesta faccia dà un riflesso unico e ben distinto, ma poichè essa pure è unica, l'annovero fra quelle il cui simbolo rimane dubbio.

Milano, Museo Civico. Aprile 1900.



---

*Rotazioni elettrostatiche dei dielettrici liquidi.*

Nota dell'Ing. ALESSANDRO ARTOM.

(Con una tavola).

---

Le rotazioni di cilindri dielettrici solidi, posti nei campi elettrici rotanti, ottenute nelle esperienze di Arnò (1), dimostrarono l'esistenza di un ritardo con cui la polarizzazione del dielettrico segue la rotazione del campo stesso.

È oggetto di questo studio il rendere note alcune esperienze le quali provano che anche per i dielettrici liquidi posti in un campo elettrico rotante sussistono proprietà perfettamente analoghe a quelle verificate per i dielettrici solidi: l'ordine di grandezza dei fenomeni sarebbe solo diversa.

Per osservare l'azione del campo rotante sopra i dielettrici liquidi feci costruire, dopo una lunga serie di tentativi, dei piccoli cilindri cavi di stagnola, e ne avvolsi la superficie esterna con una reticella di rame a maglie tenuissime, avendo cura che la reticella si elevasse di qualche millimetro sul bordo superiore del recipiente di stagnola.

Quando sospendevo nell'aria il secchiello, dopo averlo immerso e riempito di isolante, osservavo che la reticella tratteneva un velo liquido distribuito abbastanza uniformemente.

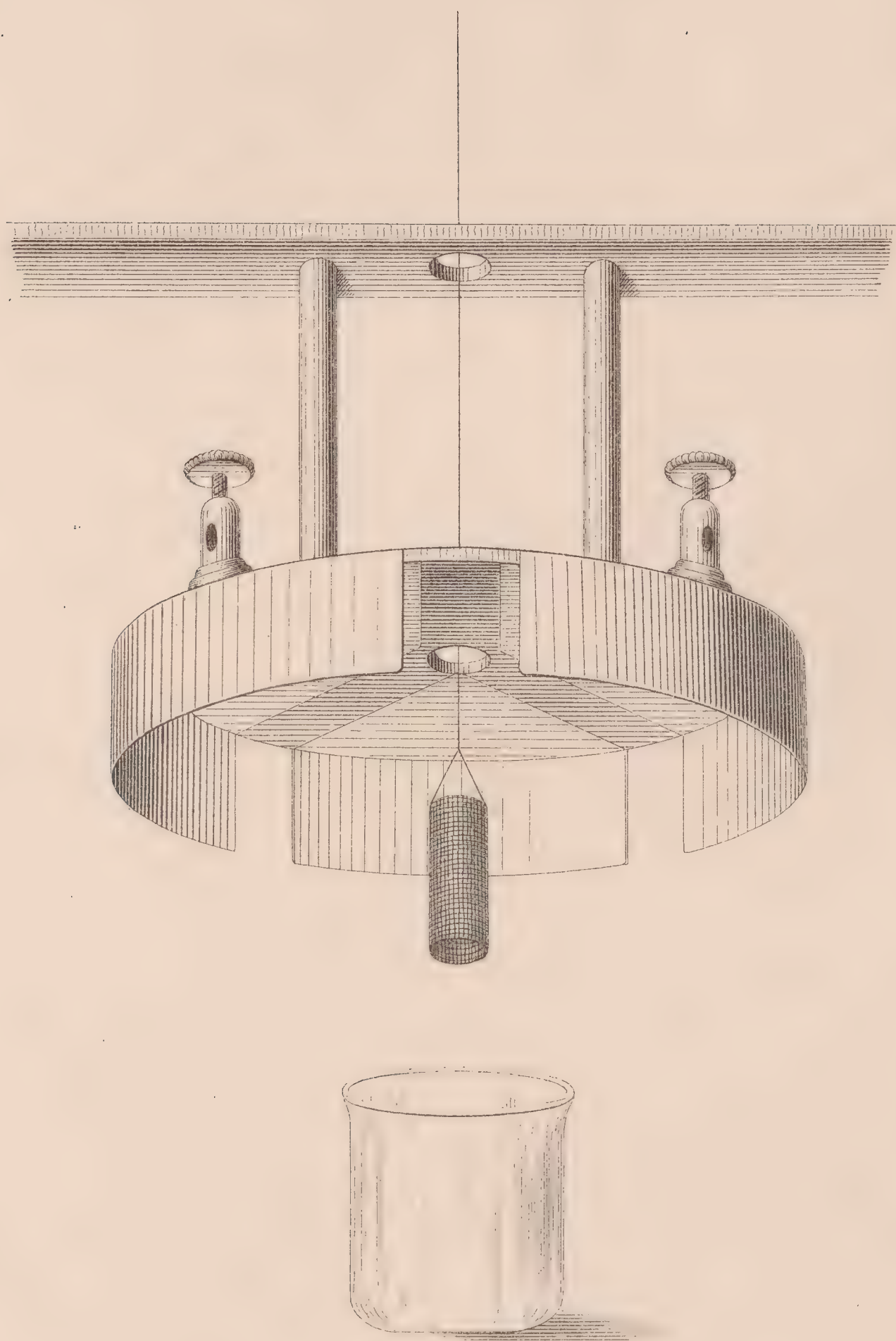
Il volume occupato dal dielettrico e sopra il quale doveva esercitarsi l'azione del campo veniva qui ad assumere la forma di un cilindro a parete sottile limitato nella parte superiore dalla superficie libera del liquido contenuto nel recipiente.

Le dimensioni medie dei secchielli erano di un centimetro di diametro base per due di altezza.

---

(1) " Atti della R. Accademia dei Lincei „, 16 ottobre 1892.











Nelle prime esperienze utilizzai la disposizione del campo trifase a settori piani, come venne adoperata dall'Arnò per la rotazione dei dischi dielettrici, affacciando i settori alla superficie liquida superiore del cilindretto. In esperienze successive mi sono servito della disposizione a settori cilindrici e finalmente ho riunito i settori piani coi cilindrici, come mostra la figura qui annessa.

In un primo esperimento ho sospeso nel campo per mezzo di una bava di seta il piccolo cilindro cavo: finchè il secchiello era vuoto, essendo costituito da materia conduttrice, il campo esercitava su esso solamente qualche attrazione seguita da deboli oscillazioni.

Ma allorquando io riempivo il secchiello con dielettrico liquido, e lo sospendevo nel campo, il mobile incominciava a rotare con velocità rapidamente crescente.

Invertito il senso del campo, la rotazione veniva anch'essa ad invertirsi.

L'esperienza fu lungamente ripetuta sostituendo, glicerina, olio di lino crudo, olio di vaselina, petrolio, essenza di trementina, olio di ricino, benzolo, ecc.

Il fenomeno pure rendendosi manifesto, le velocità di rotazione osservate furono notevolmente diverse, a parità di peso dei dielettrici adoperati.

Osservai che ripetendo le esperienze sopra lo stesso liquido, in condizioni identiche, le velocità di rotazione andavano aumentando da un'esperienza alla successiva come se le azioni precedentemente subite avessero modificato lo stato del dielettrico così da renderlo più sensibile all'azione del campo. Il che si accorderebbe colle idee manifestate dal Boltzmann (1) per spiegare le esperienze di Quincke (2).

La tabella seguente raccoglie i nomi dei pochi dielettrici liquidi finora sperimentati disposti in ordine decrescente dall'olio di lino e glicerina, in cui il fenomeno fu marcatamente avvertito, all'olio di ricino per cui le velocità di rotazione erano assai piccole.

---

(1) " Wiedemann Annalen „, LX.

(2) " Wiedemann Annalen „, LIX.



*Peso del secchiello vuoto gr. 1,190.*

N°	DIELETTRICO	Peso contenuto nel secchiello grammi	DENSITÀ
1	Olio lino crudo . . . . .	0,843	0,929
2	Glicerina . . . . .	1,383	1,263
3	Olio vaselina . . . . .	0,896	0,930
4	Petrolio . . . . .	0,774	0,8467
5	Benzolo . . . . .	0,8106	0,899
6	Trementina . . . . .	0,856	0,884
7	Olio ricino . . . . .	0,9803	0,967

Le rotazioni vennero osservate quando le differenze di potenziale stavano dai 10.000 ai 12.000 volt: è però probabile che più opportune proporzioni del campo permettano di osservare il fenomeno anche a potenziali assai minori. Il campo aveva la frequenza di 42.

Il risultato di queste esperienze era fino ad un certo punto prevedibile: misure di dissipazione di energia nel petrolio col variare della frequenza del campo erano state eseguite dal prof. H. F. Weber (1).

Lo Steinmetz (2) discutendo i risultati ottenuti da Northrup e Pierce (3) nelle esperienze sulle distanze esplosive in certi olii, attribuiva il fatto che il rapporto fra le distanze esplosive negli olii isolanti e nell'aria dipende dalla natura della sorgente di energia adoperata, alla probabile presenza della isteresi elettrostatica che, date le condizioni delle esperienze, doveva venire a comparire in larga misura in quei dielettrici.

(1) LOMBARDI, *Sulle misure di energia dissipata nei dielettrici*, 1896.

(2) "Electrical World", 20 novembre 1897.

(3) "Electrical World", 6 novembre 1897.



Le rotazioni da me ora osservate e che non erano ancora state poste in evidenza completano le analogie di comportamento fra i dielettrici solidi e liquidi.

Anche qui abbiamo un ritardo di tempo tra l'istante dell'applicazione della forza elettrica e l'istante in cui la polarizzazione ha raggiunto il suo corrispondente valore.

Questo ritardo sarebbe causa del fenomeno da Steinmetz denominato di *isteresi viscosa* che varia come il quadrato della frequenza e della intensità del campo.

Il riconoscere poi se anche pei dielettrici liquidi si abbia a considerare un'*isteresi statica* indipendente dalla frequenza e governata dalle stesse leggi dell'*isteresi magnetica*; se avvengano anche per essi, come osservò il Northrup (1) delle variazioni nel potere induttore specifico, quando sono sottoposti a campi ciclicamente variabili, potrà formare oggetto di ulteriori indagini.

Gli esperimenti di cui qui si è fatto cenno, offrono modo di eseguire ricerche quantitative in condizioni talvolta migliori di quel che non si possano sempre realizzare pei dielettrici solidi; così per qualche isolante liquido potrà farsi assegnamento sopra una buona omogeneità di composizione.

In questo ordine di idee mi propongo di continuare le mie ricerche.

Io debbo intanto attestare la più viva gratitudine al comm. Pirelli che mi concesse l'uso del suo laboratorio ed all'ingegnere Emanuele Jona, i cui consigli hanno coadiuvato efficacemente l'opera mia.

Torino, aprile 1900.

---

(1) " Philosophical Magazine ", gennaio 1895.



Relazione sulla Memoria del Dott. ERMENEGILDO DANIELE:  
*Sulle deformazioni infinitesime delle superficie flessibili  
ed estendibili.*

Il DANIELE prende le mosse da alcuni risultati trovati dal prof. Picciati nel suo lavoro: *Sull'equilibrio e sul moto infinitesimo delle superficie flessibili ed estendibili*, e, al pari del detto Autore, considerando ciascun elemento di una superficie flessibile ed estendibile che subisce una deformazione infinitesima, distingue il moto rigido dell'elemento dalla sua pura deformazione. In particolare trova le espressioni delle componenti della rotazione dell'elemento ed i tre coefficienti che caratterizzano la pura deformazione.

Il DANIELE spinge però molto più innanzi lo studio cinematico della pura deformazione delle superficie flessibili ed estendibili di quanto non abbia fatto il Picciati, il quale mirava solo ad ottenere gli elementi sufficienti per lo studio delle vibrazioni delle lamine liquide. Il § 2° della Memoria del DANIELE racchiude difatti una trattazione completa ed elegante della pura deformazione. Egli stabilisce varii risultati interessanti, e li confronta colle note proprietà della pura deformazione delle particelle fluide, mostrandone le analogie e le differenze.

I §§ 3° e 4° contengono la parte più importante delle ricerche del DANIELE. Egli comincia dall'osservare che le tre componenti della rotazione di ogni elemento e i tre coefficienti della pura deformazione, debbono essere legati da tre relazioni e le determina, e trova poi che quando queste sei quantità verificano le dette condizioni la deformazione della superficie resta individuata, purchè si conosca lo spostamento di un suo punto qualunque. In seguito l'Autore mostra che se si vuol passare dai tre coefficienti della pura deformazione alle tre componenti della rotazione basta la integrazione di una sola equazione del 2° ordine, la quale diviene la nota equazione ca-



ratteristica di Weingarten, tutte le volte che si suppongono nulli i coefficienti della pura deformazione, ossia se si ammette che la superficie sia flessibile ed inestendibile. Finalmente nel § 4° l'Autore ritrova la precedente equazione del 2° ordine giovandosi di un metodo analogo a quello col quale il Weingarten pervenne direttamente alla equazione caratteristica, e mostra che, una volta integrata questa equazione, possono ottenersi con sole quadrature le componenti degli spostamenti dei punti della superficie.

Il § 5° della Memoria contiene delle interessanti applicazioni dei risultati precedenti.

Infine collo studio elegante di quella deformazione che il DANIELE chiama *pura estensione* egli termina la sua Memoria.

La quale, per la estensione della equazione caratteristica di Weingarten alle superficie estendibili, e per la eleganza e novità dei varii risultati, merita di esser presa in seria considerazione; onde la vostra commissione ne propone la lettura alla Classe e la inserzione fra le Memorie accademiche.

C. SEGRE.

V. VOLTERRA, *relatore*.

---

*L'Accademico Segretario*

ANDREA NACCARI.







---

---

CLASSE  
DI  
SCIENZE FISICHE, MATEMATICHE E NATURALI

---

Adunanza del 13 Maggio 1900.

PRESIDENZA DEL SOCIO PROF. ALFONSO COSSA  
VICE-PRESIDENTE DELL'ACCADEMIA

---

Sono presenti i Soci: BERRUTI, SPEZIA, CAMERANO, SEGRE, VOLTERRA, JADANZA, GUARESCHI e NACCARI Segretario.

Il Segretario legge l'atto verbale della precedente adunanza che viene approvato.

Il Segretario comunica una lettera dell'Accademia delle Scienze di Berlino che ringrazia per la parte presa dalla nostra Accademia alle feste del secondo centenario della sua fondazione e annunzia l'invio d'una pubblicazione che conterrà la descrizione di quelle feste.

Il Segretario presenta tre opuscoli del Socio straniero Ernesto HAECKEL, la biografia di Sophus LIE scritta dal Socio corrispondente NOETHER e una memoria del Socio corrispondente FIORINI.

Il Socio SPEZIA presenta una nota intitolata: *Contribuzioni di geologia chimica. Solubilità del quarzo nel silicato sodico*. Sarà inserita negli *Atti*.



---

## LETTURE

---

*Contribuzioni di geologia chimica.*

*Solubilità del quarzo nelle soluzioni di silicato sodico.*

Nota del Socio GIORGIO SPEZIA.

(Con una tavola).

---

La grande diffusione del quarzo in geodi ed in grandiose litoclasti, la corrosione che sovente si osserva nei cristalli e successiva rigenerazione e le pseudomorfosi, dimostrano come il quarzo sia anche depositato da soluzioni ricchissime di silice e che in pari tempo debba essere per speciali condizioni facilmente solubile.

Tale minerale fu estesamente studiato nei suoi caratteri morfologici e fisici, ma non camminarono di pari passo gli studi e le osservazioni su quelle proprietà, le quali possono servire a formulare probabili ipotesi sul ciclo d'evoluzione minerale della silice e la formazione del quarzo.

A chi studia i minerali non soltanto nel laboratorio esaminando cristalli staccati, ma li osserva in natura e nella loro giacitura, molti problemi si presentano, alla cui risoluzione anche ipotetica manca la base di osservazioni e di esperienze.

La chimica insegna che il sodio ed il potassio, indicati dalla mineralogia come i più diffusi fra i metalli alcalini, costituiscono i composti facilmente solubili più ricchi di silice. In pari tempo si può ammettere, che acque ricche di silicati alcalini circolino per le rocce; perchè anche ritenuto come causa iniziale l'azione di acque ricche di carbonati alcalini sulla silice idrata ovvero sul quarzo, è evidente che si costituiranno silicati alcalini, che rimarranno in determinate condizioni sciolti nelle acque.

Considerando poi la variabile composizione di cui sono suscettibili i silicati alcalini, mi parve oggetto di studio importante per la geologia chimica lo sperimentare se vi fossero solu-



zioni di essi, le quali potessero agire sul quarzo, massime che sulla solubilità di detto minerale si trovano tuttora, in trattati anche recenti di chimica, nozioni non perfettamente esatte.

Infatti, in qualcuno si può leggere che il biossido di silicio è insolubile nell'acqua ed in tutti gli acidi ad eccezione del fluoridrico e che nella potassa e nella soda calde è solubile soltanto il biossido di silicio artificiale ma non il cristallizzato; in altri che il quarzo non è attaccato da alcun solvente ad eccezione dell'acido fluoridrico.

Forse la ragione prima di tali affermazioni starà nel fatto che la solubilità a caldo di un corpo è intesa nei trattati di chimica relativa ad una temperatura non superiore ai 100°, dando valore in generale soltanto agli effetti visibili o ponderabili avuti in poche ore per tale limite di temperatura; ossia si trascura l'impiego di una più alta temperatura e di un tempo maggiore di durata dell'esperienza, cioè l'aumento dei fattori di maggiore intensità di reazione e di maggiore accumulazione di effetti.

Io presi ad esaminare l'azione delle soluzioni di silicato sodico sul quarzo, perchè da una serie di esperienze relative ad un lavoro sulla struttura ad intreccio del quarzo nelle rocce, mi persuasi che a temperature superiori ai 100° le acque contenenti anche piccola quantità di silicato sodico debbano avere una azione energica sul materiale quarzoso.

Le presenti esperienze sulla solubilità del quarzo nel silicato sodico in soluzione acquosa, furono parimenti eseguite su lastre e prismetti di quarzo, come quelle che io già pubblicai (1), in cui il solvente era l'acqua sola. Per lo scopo delle mie esperienze ritengo tale metodo di risultato più esatto che non quello di far uso del quarzo ridotto in polvere; massime che la maggiore velocità di soluzione che si ha collo stato polverulento si può sempre compensare colla maggior durata dell'esperienza.

Nelle presenti ricerche sulla solubilità ad alta temperatura furono, come in altre congeneri da me eseguite, adoperati recipienti d'argento posti in altri d'acciaio con chiusura ermetica.

Una prima esperienza ebbe per fine di sapere quale concentrazione di soluzione fosse necessaria per ottenere effetti ben evidenti e di assicurarmi se, come supponevo, il quarzo presen-

---

(1) " Atti della R. Acc. delle Scienze di Torino „, vol. XXXIII, pag. 289.



tassee due direzioni di solubilità diversa, anche rispetto all'azione solvente del silicato sodico.

Con tale sale cristallizzato preparai una soluzione, la quale da un'analisi risultava composta su 100 parti in peso di 1,45 di  $\text{Na}_2\text{O}$  e 1,37 di  $\text{SiO}_2$  ossia si può ritenere che contenesse 2,82 % del silicato  $\text{Na}_2\text{SiO}_3$ .

Quindi approntai due lastre rettangolari di quarzo; una tagliata parallelamente all'asse di simmetria aveva il peso di gr. 0,8320 con un'area parallela all'asse di 298 mmq. e normale all'asse di 42 mmq.; l'altra lastra tagliata normalmente all'asse aveva il peso di gr. 0,8332 con un'area normale all'asse di 281 mmq. e parallela di 60.

Entrambe le lastre furono poste nello stesso recipiente d'argento, immerse nello strato superiore del liquido costituito dalla suindicata soluzione e mantenute per 24 ore alla temperatura da  $290^\circ$  a  $310^\circ$ . Finita l'esperienza e ripesate le lastre trovai, che quella parallela all'asse aveva perduto gr. 0,2012 di peso e l'altra normale di gr. 0,2714.

Ambedue poi avevano profonde figure di corrosione.

Da questa esperienza risulta la differenza di solubilità fra le due direzioni e più di tutto importante appare l'energica azione del solvente sul quarzo. E se si volesse esprimere tale grande solubilità del quarzo in profondità media di erosione, confrontando l'area complessiva delle due lastre colla somma delle loro perdite in peso, si avrebbe che, nelle indicate condizioni di temperatura, tempo e concentrazione di soluzione, la profondità di erosione nella superficie di quarzo esposta all'azione del solvente, sarebbe stata di millimetri 0,26 in 24 ore!

Nel recipiente d'argento sia in fondo sia sulle pareti, vi era un deposito di grumi biancastri di silice in parte isotropi ed in parte con granuli anisotropi.

Considerata la grande azione del solvente ne preparai una soluzione più diluita, la quale conteneva su 100 parti in peso 0,83 del silicato  $\text{Na}_2\text{SiO}_3$ .

Con detta soluzione feci una prima esperienza, direi qualitativa, con un cristallo di quarzo di Carrara limpido e rotto da un capo, ma dall'altro completo e colle faccie dei romboedri perfettamente lisce; soltanto sulle faccie del prisma erano appena visibili colla lente le tracce delle consuete strie.



Tale cristallo fu mantenuto nella suindicata soluzione alla temperatura da  $290^{\circ}$  a  $310^{\circ}$  per 24 ore; dopo l'esperienza si presentava corrosa e coll'aspetto rappresentato dalla fig. 1 coll'ingrandimento di 4 diametri. In detto cristallo, ed in altro pure di Carrara sottoposto ad eguale trattamento, comparvero per la corrosione le faccie dell'emiprisma  $10\bar{1}$  come già ottenne Molengraaff (1) con soluzioni di carbonato alcalino.

Una seconda esperienza con la stessa soluzione fu eseguita sopra una lastrina di quarzo, la quale aveva il peso di gr. 1,6218 ed era tagliata colle faccie maggiori parallele all'asse di simmetria; perciò presentava una superficie di minima solubilità di 495 millimetri quadrati ed una superficie di massima solubilità di  $72^{\text{mmq.}}$ , normale cioè all'asse.

S'intende che la lastra nel recipiente d'argento era, con un sostegno dello stesso metallo, tenuta nello strato superiore del liquido, onde evitare una possibile saturazione di questo intorno ad essa.

Tale lastra mantenuta per 38 ore alla temperatura da  $290^{\circ}$  a  $310^{\circ}$  perdette in peso gr. 0,0346 e sulle faccie si produssero belle figure di corrosione. Nel recipiente d'argento sulle pareti inferiori vi era traccia di deposito siliceo. Siccome il recipiente conteneva 46 gr. di soluzione, la composizione di questa dovette per la quantità di quarzo disciolta diventare su 100 p. di 0,48 di  $\text{SiO}_2$  e di 0,42 di  $\text{Na}_2\text{O}$ , ossia si era formato un silicato acido stabile e solubile soltanto ad alta temperatura e dal quale diminuendo questa si separava silice.

Sono esperienze che debbono essere di breve durata, per evitare che saturandosi anche gli strati superiori del liquido, ove sta la lastra di quarzo, non si depositi nuovo quarzo anche su di essa col diminuire della temperatura, impedendo per tale fatto di conoscere la vera perdita in peso.

Una prova poi, che a più bassa temperatura, di quella tenuta nelle dette esperienze, si possa in tempo relativamente breve osservare un effetto ponderabile del solvente, l'ebbi con una lastra di quarzo del peso di gr. 0,8476, avente un'area preponderante di minima solubilità. Tale lastra tenuta per

---

(1) "Zeit. f. Kry. Groth.", vol. XIV, p. 173.



7 giorni alla temperatura da  $145^{\circ}$  a  $160^{\circ}$  in una soluzione contenente 0,43 % di  $\text{Na}^2\text{SiO}^3$  perdettero 4 milligrammi in peso.

Per un tentativo di ricerca sul limite del potere solvente della soluzione, corrispondente alla proporzione in essa fra  $\text{SiO}^2$  e  $\text{Na}^2\text{O}$  ed alla temperatura, feci la prova seguente: composi una soluzione molto ricca in silice saturando a caldo una parte di quella che avevo preparata per le precedenti esperienze, con silice gelatinosa ed aggiungendo silice finchè la soluzione non fosse più limpida. Tale soluzione filtrata con doppio filtro rimaneva opalescente per silice non combinata, e analizzata conteneva su 100 parti in peso 0,65 di  $\text{SiO}^2$  e 0,27 di  $\text{Na}^2\text{O}$ .

Con detta soluzione sperimentai una lastra di quarzo del peso di gr. 2,7286 facendo durare l'azione per 5 giorni alla temperatura di  $290^{\circ}$ - $310^{\circ}$ . Dopo l'esperienza pesata la lastra, questa aveva aumentato in peso di gr. 0,0093, e su certi spigoli al microscopio si presentava un deposito di nuovo quarzo. La soluzione poi era divenuta limpida e si erano formate delle esilissime patine silicee e quarzose.

Infine con una soluzione che aveva su 100 parti 0,53 di  $\text{SiO}^2$  e 0,34 di  $\text{Na}^2\text{O}$  pure leggermente opalescente e nella quale avevo posta la stessa lastra che nella precedente esperienza aveva aumentato di peso, il quale era quindi di 2,7379, trovai che alla stessa temperatura di  $290^{\circ}$  e  $310^{\circ}$  in 40 ore la lastra aveva perduto soltanto 4 milligrammi del peso.

Da questa seconda esperienza, nella quale vi fu ancora traccia di azione sul quarzo, si potrebbe arguire, che una soluzione di poco più ricca in silice di quella adoperata, come p. es.: una soluzione del silicato  $\text{Na}^2\text{Si}^2\text{O}^5$  non agirebbe più sul quarzo alla temperatura da  $290^{\circ}$  a  $310^{\circ}$ , salvo ad avere ancora azione a più alta temperatura.

Del resto lo stabilire quale sia la costituzione chimica di un silicato sodico corrispondente alla temperatura nella quale diviene più ricco in silice per la sua azione sul quarzo e determinare la temperatura nella quale tale silicato rimane solubile nell'acqua non sono facili ricerche; sia per la graduale solubilità dovuta all'aumento di temperatura, sia al graduale deposito, che avviene ovunque nell'apparecchio, della silice, col diminuire della temperatura.

Ad ogni modo le poche esperienze eseguite dimostrano come



una soluzione del silicato sodico  $\text{Na}^2\text{SiO}^3$  possa ancora sciogliere molto quarzo a seconda delle temperature; e si può asserire che coll'aumento della temperatura si formerebbero nella soluzione dei silicati sodici più acidi, ritornando essi col diminuire della temperatura ad essere più basici con separazione sia di quarzo sia di silice idrata a seconda della temperatura.

Tale risultato concorda con altre esperienze da me fatte, che cioè trattando con acqua il silicato sodico vetroso contenente il 71. % di  $\text{SiO}^2$ , con temperature superiori a  $250^\circ$  ed in pochi giorni ottenni masse quarzose se la quantità di silicato era grande rispetto all'acqua e cristalli isolati di quarzo se la soluzione rimaneva più diluita.

A proposito del silicato sodico vetroso ricco in silice posso aggiungere, che esso servirebbe bene per le esperienze che qualcuno volesse fare sulla rigenerazione dei cristalli di quarzo.

Essendo poi sempre all'ordine del giorno in chimica ed in geologia l'argomento, se la pressione abbia nella solubilità una grande influenza, la quale sarebbe secondo alcuni anche maggiore di quella della temperatura, io credetti opportuno di eseguire altre esperienze in proposito, per riconoscere se il comportamento del quarzo rispetto alle soluzioni di silicato sodico fosse eguale a quello che io trovai rispetto all'acqua (1) cioè: che la pressione non ha influenza alcuna sulla solubilità del quarzo.

Le esperienze sugli effetti della pressione nella solubilità in generale non raggiunsero grandi pressioni e pel quarzo la massima impiegata fu quella delle mie esperienze e che era di 1850 atmosfere.

Mentre per le esperienze a secco, ossia senza la presenza di liquidi, come quelle fatte da Spring e da altri si potè andare sino al massimo di resistenza degli apparecchi.

L'esperimento sulla solubilità, massime se deve durare a lungo, trova di consueto, per pressioni superiori a 2000 atmosfere, una difficoltà sia nell'ottenere una chiusura tale del recipiente, che non si perda il liquido coll'andar del tempo, sia nella spesa per avere una buona pompa di compressione.

---

(1) " Atti della R. Acc. delle Scienze di Torino „, vol. XXXI, pag. 246.



Perciò io adottai ora un sistema col quale si può sperimentare la solubilità anche con la pressione di 6000 atmosfere mantenuta per molti giorni.

Basandomi sul fatto che una sostanza plastica trasmette la pressione in modo uniforme, in tutte le direzioni, talchè un vano contenente un liquido inchiuso in detta sostanza non muta di forma per la pressione, ma rimanendo perfettamente simile di forma diminuisce soltanto un poco di volume, per l'elasticità della sostanza e del liquido, ideai di fare uso di recipienti di paraffina, i quali venissero compressi entro un cilindro d'acciaio da uno stampo.

La fig. 2 rappresenta in grandezza naturale la sezione di uno degli apparecchi e spero, che la seguente descrizione sarà sufficiente per coloro i quali hanno quelle nozioni di meccanica, che unite all'attitudine manuale tecnica, servono a procurarsi un apparecchio e condurre bene un'esperienza. A è il recipiente d'acciaio forato e tenuto chiuso da un capo da un grosso tappo a vite che deve chiudere ermeticamente, B lo stampo di acciaio temperato, CC due dischi d'acciaio fra i quali sta un disco di stagno D che per la pressione completa la chiusura, E un recipiente di sottile lamina di stagno che va a contatto esatto con la parete del foro. Detto recipiente viene per l'esperienza riempito con paraffina fusa F e quando questa è raffreddata vi si scava un vano cilindrico; in tale vano si pone la soluzione H e vi si immerge il prisma di quarzo Q sostenuto da un filo di platino unito ad un coperchio di paraffina, il quale viene saldato ai bordi del vano fondendo la paraffina con uno spillone riscaldato; quindi si cola altra paraffina fusa in modo da completare il riempimento del recipiente di lamina di stagno.

Dopo tale preparazione si introduce il recipiente capovolto nell'apparecchio, come indica la figura, si pongono i dischi di acciaio con quello di stagno e lo stampo; poi il tutto si porta sotto l'azione di un torchio.

Trascorso il tempo fissato per l'esperimento, si toglie il grosso tappo a vite G ed adoperando la pressione dello stesso torchio si spinge fuori dell'apparecchio, coll'aiuto se occorre di uno stampo più lungo, il recipiente a paraffina, nel quale si esamina il risultato dell'esperienza.

Una precauzione da usare è quella di evitare che nel vano,



dove havvi il liquido, vi sia dell'aria; perchè questa comprimendosi lascierebbe diminuire lo spazio del vano ed il prisma di quarzo potrebbe andare in contatto della parete di paraffina.

Il torchio che io feci costruire consta di una ruota a manubri che per mezzo di un ingranaggio fa girare una vite perpetua i cui giri imboccano nei denti di una ruota, la quale dà movimento alla vite di pressione, che a sua volta agisce sullo stampo con l'intermediario di un pezzo cilindrico a movimento fisso rettilineo onde non comunicare allo stampo, in causa della pressione, il movimento rotatorio della vite. Facendo girare la ruota a manubri ossia motrice si comprime lo stampo e poi sospendendo pesi ad una cordicella in fili di ferro che avvolge la circonferenza della ruota motrice, la pressione rimane continua e corrispondente al peso, meno naturalmente la perdita per gli attriti.

Essendo poi in tali congegni l'attrito grandissimo e difficile a calcolarsi, io procurai di conoscere l'effetto utile del torchio in modo diretto.

Perciò feci tagliare da una stessa sbarra di ghisa una serie di piccoli cilindri torniti di vario diametro, ed alcuni di essi furono dati al Professore Guidi, cui sono molto grato per la sua cortesia, il quale determinò la loro resistenza alla rottura nel suo laboratorio di costruzioni nella Scuola d'applicazione degli Ingegneri al Valentino.

In seguito io cercai il peso necessario da porre alla ruota motrice del torchio per produrre la rottura di altri eguali cilindri di ghisa; in tal modo ebbi l'effetto utile del torchio e potei stabilire con molta approssimazione la pressione che dovevo avere a seconda del peso. Con 120 kilog. avevo la pressione di 30 tonnellate, sufficiente per le esperienze con gli apparecchi a paraffina, sebbene questi richiedano un diametro dello stampo maggiore di quello che fu da altri usato per esperienze a secco.

L'impiego della paraffina serve soltanto per le esperienze a temperatura ordinaria e nelle quali il liquido che si adopera non agisca sulla paraffina; per temperatura maggiore potrebbe servire qualche metallo; inoltre l'uso di detta sostanza è anche utile per sperimentare sugli effetti di alta pressione uniforme ed in ogni senso sopra un minerale. Io già feci alcune prove sul



quarzo e sulla calcite, ed in altro scritto dirò come le mie esperienze concordano assai bene con quelle eseguite dal Pfaff sul calcare, per dimostrare molto azzardata l'ipotesi di Heim (1) che una roccia sottoposta a pressione uniforme in tutti i sensi diventi plastica.

Per l'esperienza di paragone fra l'effetto della pressione e quello della temperatura nell'azione solvente del silicato sodico, io preparai due prismi di quarzo a base rettangolare il più possibilmente di eguali dimensioni ed aventi entrambi le due facce maggiori normali all'asse di simmetria del cristallo e le quattro minori parallele ad esso; in tali condizioni i due prismi lavorati con la stessa fina smerigliatura presentavano all'azione solvente un'area complessiva di eguale solubilità.

Uno dei prismi del peso di gr. 0,8742 fu, nel modo indicato per le altre esperienze, mantenuto per 24 ore da 290° a 310°, nella stessa soluzione di silicato sodico contenente su 100 parti 0,42 di  $\text{Na}_2\text{O}$  e 0,41 di  $\text{SiO}_2$  e la perdita in peso fu di gr. 0,0588; inoltre si formarono belle figure di corrosione e la fig. 3 rappresenta quelle sopra una superficie del prisma parallela all'asse di simmetria del quarzo.

L'altro prisma del peso di gr. 0,8768 fu posto nell'apparato a paraffina del diametro esterno di 38 millimetri e sottoposto al torchio, pel qual diametro e col peso alla ruota motrice di 120 kg. la pressione era di 2600 atmosfere. L'esperienza, s'intende, fu fatta con eguale soluzione di silicato sodico, la durata fu di 5 giorni e la temperatura del recipiente in acciaio oscillò dai 18° ai 20°. Dopo l'esperienza il prisma fu pesato ed il peso era rimasto perfettamente inalterato, la solubilità fu quindi assolutamente nulla.

Allora ripetei l'esperienza collo stesso prisma ponendolo in un altro apparato a paraffina del diametro di 25 millimetri ed è quello rappresentato in grandezza naturale dalla figura 1 già descritta. Per detto diametro e col peso di 120 kg. la pressione era di 6000 atmosfere. La durata dell'esperienza fu di 8 giorni nel qual tempo la temperatura del recipiente d'acciaio oscillò da 18° a 20°.

---

(1) " Untersuchungen über den Mechanismus der Gebirgsbildung ", vol. II, pag. 84.



Anche in questa seconda esperienza il prisma di quarzo mantenne esattamente il suo peso, e la fig. 4 rappresenta il suo aspetto identico al primitivo ossia colla superficie finamente smerigliata; mentre la fig. 3 già accennata indica come fu trasformata nel suo aspetto la superficie della faccia di eguale orientazione nel prisma sottoposto all'azione dell'alta temperatura. L'ingrandimento di entrambe le figure è di 8 diametri.

Per la scrupolosità, che deve avere uno sperimentatore nel procurare di evitare errori e per prevenire qualche obbiezione, debbo fare un'osservazione a riguardo di una differenza di condizioni, nelle quali furono condotte l'esperienza con alta temperatura e le due eseguite sotto pressione.

I prismi di quarzo potevano come dissi ritenersi eguali e la soluzione identica, ma vi era una differenza fra il volume del prisma e quello della soluzione.

Nell'esperienza a caldo il prisma di quarzo aveva un volume di 330,7 millimetri cubi ed il recipiente d'argento, che per questa esperienza era più piccolo di quelli adoperati nelle altre, conteneva 22 centimetri cubi di soluzione.

Invece nelle esperienze sotto pressione il prisma aveva il volume quasi eguale dell'altra cioè 329,8<sup>mmc</sup>, ma diversa era la quantità di soluzione; perchè l'apparecchio grande di paraffina conteneva soltanto 11 centimetri cubi e quel piccolo 6.

Io ritengo tuttavia che detta differenza fra il volume del prisma e la quantità di soluzione non possa influire menomamente sul risultato dell'esperienza essendo stata la solubilità nulla.

D'altronde se vi fosse stata una perdita di peso nel prisma di quarzo in causa della solubilità, tale perdita doveva essere proporzionale al liquido impiegato, ossia se fu di 58 milligrammi nell'esperienza ad alta temperatura doveva essere di 29 mill. nell'apparecchio grande di paraffina e di 15,7 in quel piccolo, considerando la minore quantità di solvente. Inoltre supponendo che la quantità di quarzo disciolta a caldo in 24 ore non avesse prodotta la saturazione, la perdita in peso nelle esperienze ad alta pressione doveva essere maggiore, essendo stata per esse maggiore la durata dell'esperimento.

Piuttosto un'altra obbiezione potrebbero presentare coloro pei quali la pressione è un fattore più energico della temperatura nella solubilità. È un'obbiezione alla quale spetterebbe un altro nome, ma che tuttavia conviene prevenire.



Essi potrebbero osservare che nelle mie esperienze ad alta pressione la solubilità vi fu, ma le molecole silicee non ebbero tempo di diffondersi ed allontanarsi per così dire dall'attrazione delle forze cristallogeniche e che diminuita la pressione ritornarono al loro posto non dando luogo quindi a perdita di peso nel prisma di quarzo. Rispondo che anche supposto che 8 giorni di tempo non fossero sufficienti per la diffusione, è evidente che se le molecole erano rese libere, esse dovevano disporsi secondo le leggi cristallogeniche e risanare sulle faccie del prisma le asperità e gl'incavi prodotti dalla smerigliatura. Ora il microscopio nulla rivelava di tutto ciò e da questo risulta anche il vantaggio dell'uso delle lastre o prismi in questo genere di esperienze invece della polvere.

Perciò dalle mie esperienze di confronto e da quella eseguita a più bassa temperatura, risulta che il quarzo, solubile nelle soluzioni diluite di  $\text{Na}^2\text{SiO}^3$  già alla temperatura da  $145^\circ$  a  $160^\circ$ , rimane, nelle stesse soluzioni alla pressione di 6000 atmosfere, temperatura da  $18^\circ$  a  $20^\circ$  ed in 8 giorni di tempo, *perfettamente insolubile* come trovai che lo era nell'acqua pura alla temperatura di  $25^\circ$  con pressione di 1750 atmosfere per 5 mesi.

Io riaffermo tale insolubilità per togliere ogni diversa interpretazione data alle mie esperienze. Per es. Brauns (1) nel suo pregevole libro, accennando in una postilla alle mie ricerche in confronto di quelle eseguite da Pfaff (2) sull'influenza della pressione nella solubilità del quarzo nell'acqua a temperatura ordinaria, asserisce che io avrei trovato una solubilità minore di quelle indicate da Pfaff. No, io scrissi che nelle condizioni sopraindicate di temperatura, di pressione e di tempo il quarzo era perfettamente insolubile, mentre il Pfaff, con un metodo di esperienza che io dimostrai suscettibile d'errori, aveva trovato che il quarzo alla pressione di 260 atmosfere, temperatura di  $18^\circ$  ed in soli 4 giorni si scioglieva in ragione di una parte su 4700 parti d'acqua.

Io ritengo che i risultati delle esperienze debbano essere indicati esattamente, tanto più quando sono affatto diversi, per invogliare altri a ripeterle a vantaggio della scienza.

---

(1) " Chemische mineralogie „. Leipzig 1896, pag. 90.

(2) " Allgemeine Geologie als exacte Wissenschaft „, 1873, pag. 311.



Fig. 1.



Fig. 3.

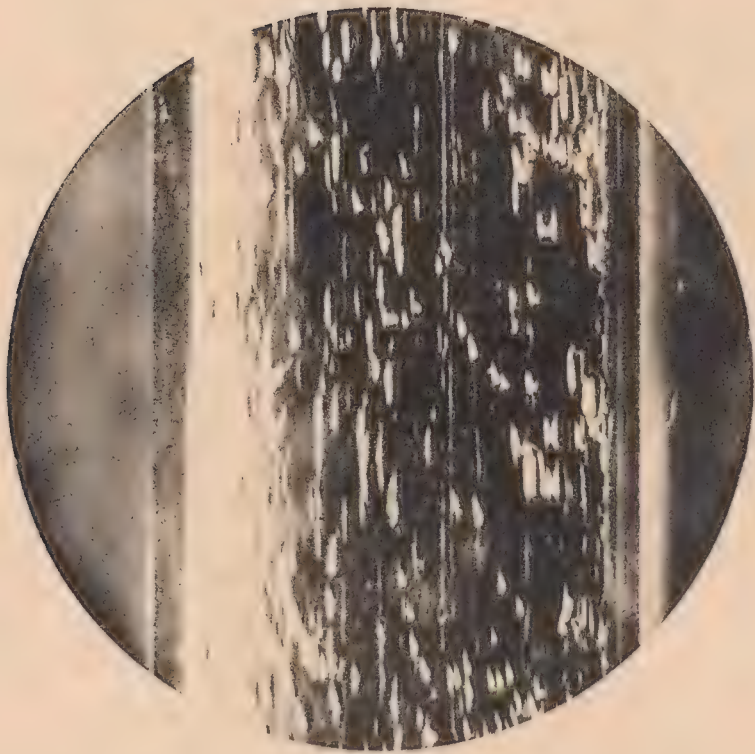


Fig. 4.

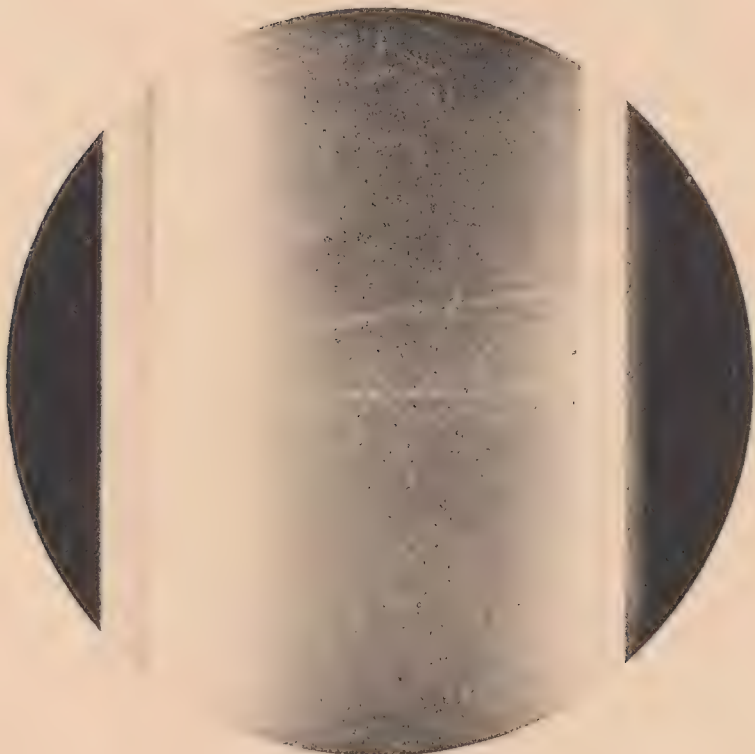
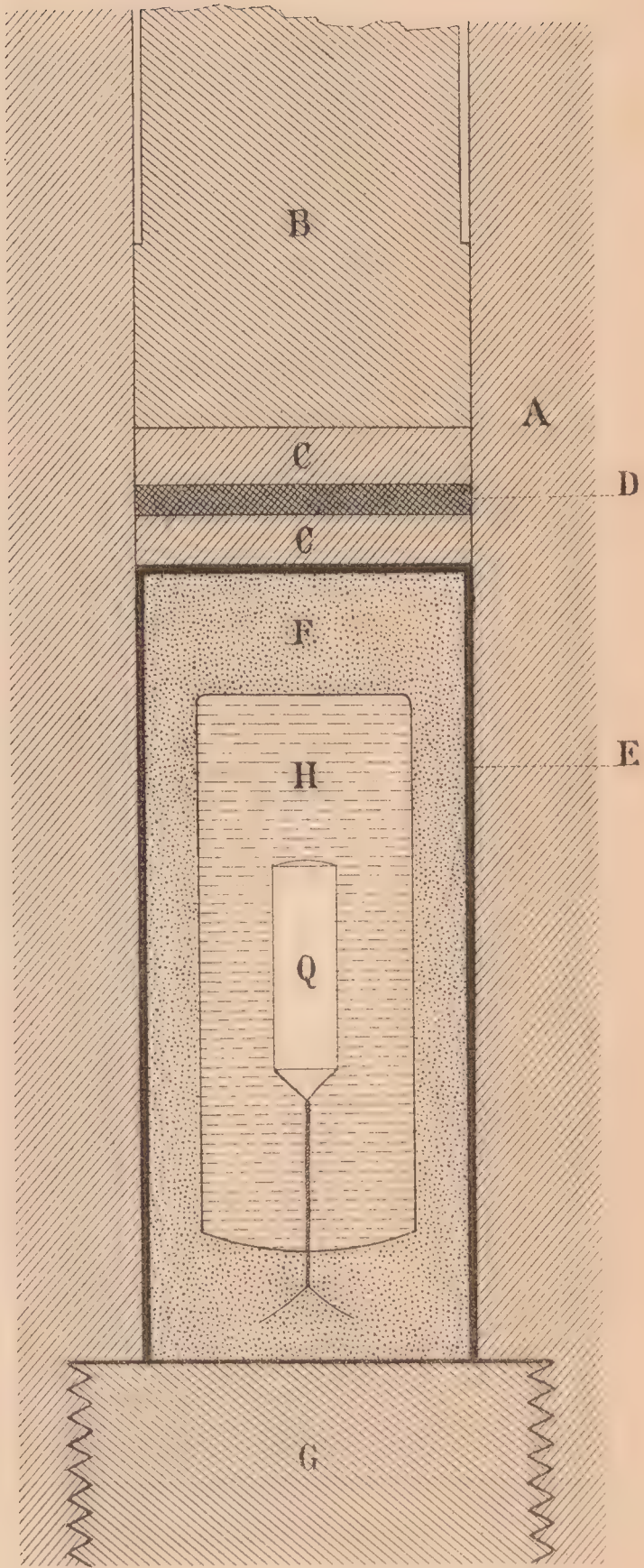
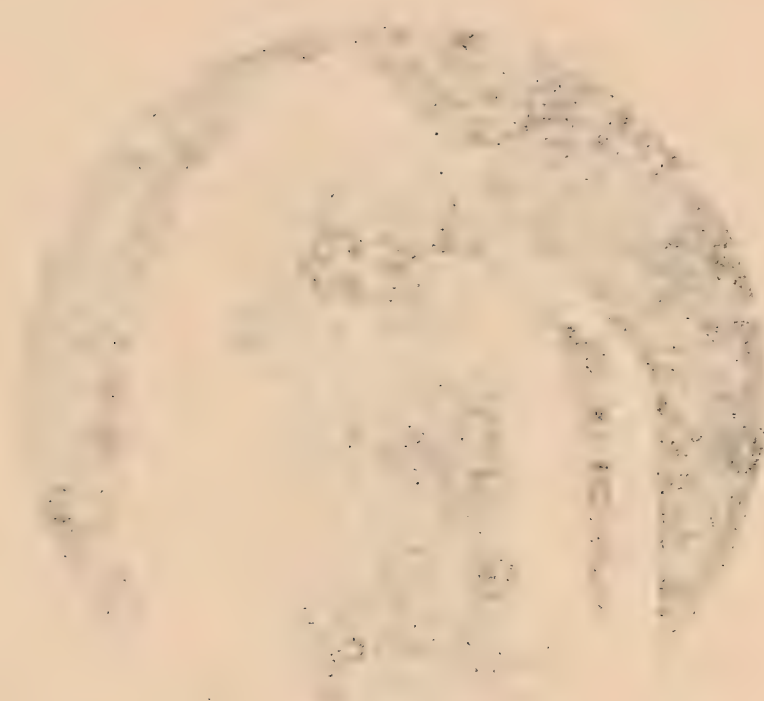


Fig. 2.









Da queste poche ricerche riesce evidente il fatto, non privo d'interesse per la geologia, che il silicato sodico  $\text{Na}^2\text{SiO}^3$ , anche in soluzioni diluite, rimane ancora ad alta temperatura un solvente energico per il quarzo, costituendo silicati più acidi che restano in soluzione per l'alta temperatura e perciò le soluzioni di silicato sodico e per analogia anche di silicato potassico prodotto in qualsiasi modo, costituiscono un potente veicolo della silice alla profondità nella quale domina la temperatura necessaria per la solubilità del quarzo in esse.

Se, p. es., una soluzione di silicato sodico  $\text{Na}^2\text{SiO}^3$  scorresse, supponendo che non incontrasse cause di decomposizione per reazioni chimiche, con moto ascensionale in una litoclasti attraversante rocce molto quarzifere ed alla profondità corrispondente alla temperatura di  $300^\circ$ , tale soluzione scioglierebbe quarzo allargando la litoclasti e poi lo depositerebbe più in alto per la diminuzione di temperatura che succede avvicinandosi alla superficie terrestre.

Ed è poi evidente che tale deposito sarebbe causato dalla diminuzione di temperatura e non già dalla diminuzione di pressione, avendo questa nessuna influenza sulla solubilità del quarzo nell'indicato solvente.

Quindi dalle mie indagini sperimentali è anche resa insostenibile, almeno pei filoni di quarzo, l'ipotesi di Sterry Hunt (1): che il riempimento dei filoni, prodotto dalle acque minerali, sia dovuto *principalmente* alla riduzione del potere solvente causata dalla diminuzione di pressione, che subiscono le acque avvicinandosi alla superficie terrestre.

---

(1) " Chemical and geological essays ", pag. 204.



---

### Adunanza del 27 Maggio 1900.

PRESIDENZA DEL SOCIO SENATORE PROF. GIULIO BIZZOZERO  
DIRETTORE DELLA CLASSE

---

Sono presenti i Soci: BERRUTI, D'OVIDIO, MOSO, CAMERANO, SEGRE, JADANZA, FOÀ, GUARESCHI, GUIDI, FILETI, PARONA e NACCARI Segretario.

Il Segretario legge l'atto verbale della seduta precedente che viene approvato.

Il Socio PARONA presenta a nome del traduttore dott. Francesco VIRGILIO un opuscolo del professore E. REYER, intitolato: *Esperimenti di Geologia e di Geografia*.

Il Segretario presenta due opuscoli del Socio corrispondente Rodolfo Armando PHILIPPI: 1° *Las Tortugas chilenas*; 2° *Sobre las Serpientes de Chile*.

Il Socio SEGRE presenta due note, l'una è del Dr. Gaetano SCORZA ed ha per titolo: *Sulle curve canoniche di uno spazio lineare qualunque e sopra certi loro covarianti quartici*; l'altra del signor Francesco SEVERI ed ha per titolo: *Ricerche numerative sulle coniche secanti delle curve gobbe*.

Saranno inserite negli Atti.

---



## LETTURE

*Sopra le curve canoniche di uno spazio lineare qualunque  
e sopra certi loro covarianti quartici.*

Nota di GAETANO SCORZA.

In una nota precedente (\*), pubblicata in questi Atti, abbiamo dimostrato che sopra l'ente algebrico semplicemente infinito di genere  $p$  a moduli generali esistono solo  $2^{p-1}(2^p + 1)$  corrispondenze simmetriche  $(p, p)$  prive di coincidenze. E nel caso particolare  $p = 3$  abbiamo fatto osservare che, rappresentato l'ente algebrico sopra una quartica piana, le 36 corrispondenze  $(3, 3)$  simmetriche e prive di coincidenze situate sull'ente si ottengono subito considerando le 36 quartiche di cui quella data è covariante  $S$  (\*\*). Ora è importante stabilire che un qualche cosa d'analogo vale anche pel caso di  $p (> 3)$  qualunque, quando si rappresenti l'ente di genere  $p$  sopra una curva (*canonica*) di genere  $p$  e ordine  $2p - 2$  di  $S_{p-1}$ .

Così insieme a una nuova proprietà delle curve canoniche si ottiene anche una definizione proiettiva assai semplice delle corrispondenze in questione (\*\*\*).

---

(\*) SCORZA, *Sopra le corrispondenze  $(p, p)$  esistenti sulle curve di genere  $p$  a moduli generali*, " Atti della R. Acc. delle Scienze di Torino „, vol. XXXV, 1900. Indicheremo questa Nota colla lettera N. tutte le volte che ci occorrerà citarla.

(\*\*) SCORZA, *Un nuovo teorema sopra le quartiche piane generali*, " Math. Ann. „, Bd. 52.

(\*\*\*) Un'altra caratterizzazione di queste corrispondenze si ha rappresentando l'ente algebrico di genere  $p$  sopra una curva piana e considerando certi sistemi di curve (aggiunte) di contatto (cfr. per  $p = 3$ : PASCAL, *Sulla teoria delle funzioni  $\sigma$  abeliane pari a tre argomenti*, " Ann. di Mat. „, serie II, t. XVII), e noi vi abbiamo già alluso nella N. al n° 12; ma crediamo inutile insistervi e perchè immediata e perchè assai meno notevole, sembra, di quella contenuta nelle pagine seguenti.



1° Consideriamo una delle  $2^{p-1}(2^p + 1)$  corrispondenze simmetriche  $(p, p)$  prive di coincidenze esistenti sopra una curva d'ordine  $2p - 2$  e genere  $p$ ,  $C_p^{2p-2}$ , dello spazio  $S_{p-1}$ , a  $p - 1$  dimensioni, e, per chiarezza, indichiamola con  $\Sigma$ . Poi diciamo *relativo* a un punto  $x$  di  $C_p^{2p-2}$  il  $p$ -gono storto che ha per vertici i  $p$  punti  $y', y'' \dots y^{(p)}$  corrispondenti a  $x$  per  $\Sigma$ .

Si ha subito:

*Se un punto  $y'$  di  $C_p^{2p-2}$  è un vertice del  $p$ -gono relativo al punto  $x$ ,  $x$  è un vertice del  $p$ -gono relativo ad  $y'$ , e le faccie opposte ad  $y'$  e  $x$  in questi due  $p$ -goni coincidono (\*).*

Infatti la corrispondenza  $\Sigma$  è simmetrica e i  $2p - 2$  punti, che si ottengono dai corrispondenti di  $x$  e  $y'$ , escludendo questi punti medesimi formano un gruppo della serie canonica (\*\*), che è tagliata su  $C_p^{2p-2}$  dagli iperpiani di  $S_{p-1}$ .

Ne segue che se per un punto di  $C_p^{2p-2}$  passa una faccia del  $p$ -gono relativo a un punto  $x$ , o  $x$  o il vertice opposto nel  $p$ -gono a quella faccia è vertice del  $p$ -gono relativo al punto considerato, e quindi:

*Il sistema  $\infty^1$  di iperpiani,  $\Gamma$ , costituito dalle faccie dei  $p$ -goni relativi ai punti di  $C_p^{2p-2}$  è della classe  $p(p - 1)$ .*

2° Il genere di  $\Gamma$  si trova subito senza alcuna difficoltà.

Osserviamo perciò che tra i punti di  $C_p^{2p-2}$  e gli iperpiani di  $\Gamma$  è stabilita una corrispondenza  $(2, p)$ , se si dicono omologhi un punto di  $C_p^{2p-2}$  e un iperpiano di  $\Gamma$  quando questo è una delle faccie del  $p$ -gono relativo a quello. Sopra  $\Gamma$  non si hanno elementi di diramazione perchè  $\Sigma$  è priva di coincidenze; invece il numero dei punti di diramazione di  $C_p^{2p-2}$  è dato dal numero dei punti uniti della corrispondenza che si ottiene sopra  $C_p^{2p-2}$  dicendo omologhi due punti che siano vertici di un medesimo  $p$ -gono della  $\infty^1$ . Ora questa corrispondenza è una  $[p(p - 1), p(p - 1)]$  simmetrica di valenza  $p - 1$  (\*\*\*), dunque possiede

(\*) Si osservi che i  $p$  punti corrispondenti a  $x$  per  $\Sigma$  non formano mai un gruppo speciale (N., n° 8), quindi il  $p$ -gono relativo ad  $x$  ha sempre  $p$  faccie ben determinate.

(\*\*) N., n° 10.

(\*\*\*) In generale, dimostriamo che:

*Fra due punti  $y'$  e  $y''$  di una curva algebrica corrispondenti a un punto  $x$  in una corrispondenza  $(\alpha, \beta)$  di valenza  $\gamma$ , esistente sulla curva, passa una corrispondenza simmetrica  $[\alpha(\beta - 1), \alpha(\beta - 1)]$  di valenza  $\alpha - \gamma^2$ .*



$4p(p-1)$  punti uniti, e tale è il numero dei punti di diramazione della  $(2, p)$  esistenti su  $C_p^{2p-2}$ . Ne segue, applicando una ben nota formula di Zeuthen (\*), che:

Il sistema  $\Gamma$  è del genere  $\frac{3p(p-1)}{2} + 1$  (\*\*).

3° Siano  $x$  ed  $x_1$  due punti qualunque di  $C_p^{2p-2}$  e siano  $y', y'' \dots y^{(p)}$ ;  $y_1', y_1'', \dots y_1^{(p)}$  i vertici dei  $p$ -goni ad essi relativi. Sappiamo (\*\*\*) che i punti  $x$  ed  $x_1$  insieme a un gruppo qualunque della serie canonica costituiscono un gruppo corresiduale al gruppo dei punti  $y', y'' \dots y^{(p)}$ ,  $y_1', y_1 \dots y_1^{(p)}$ , dunque, rammentando che la serie doppia della serie canonica è completa ed è tagliata su  $C_p^{2p-2}$  dalle quadriche di  $S_{p-1}$  (\*\*\*\*), si ha che un iperpiano qualunque per la retta  $xx_1$  taglia  $C_p^{2p-2}$  in altri  $2p-4$

Infatti diciamo  $x_1, x_2 \dots x_\alpha$  gli  $\alpha$  punti  $x$  corrispondenti ad  $y'$ , e  $y', y_1'' \dots y_i^{(\beta)}$  i  $\beta$  punti corrispondenti ad  $x_i$  ( $i=1, 2 \dots \alpha$ ), nella corrispondenza  $(\alpha, \beta)$ .

Detto  $p$  il genere della curva,  $u_1, u_2 \dots u_p$  i  $p$  integrali normali di 1ª specie esistenti su di essa, e indicate con  $\pi_k$  e  $\rho_k$  ( $k=1 \dots p$ ) delle costanti opportune si ha (HURWITZ, *Ueber algebraische Correspondenzen und das verallgemeinerte Correspondenzprincip* " Math. Ann. ", Bd. 28):

$$u_k(y') + u_k(y_1'') + \dots + u_k(y_i^{(\beta)}) + \gamma u_k(x_i) \equiv \pi_k \quad (k=1 \dots p; i=1 \dots \alpha)$$

$$u_k(x_1) + u_k(x_2) + \dots + u_k(x_\alpha) + \gamma u_k(y') \equiv \rho_k \quad (k=1 \dots p);$$

quindi:

$$\sum_{i=1}^{i=\alpha} [u_k(y_1'') + \dots + u_k(y_i^{(\beta)})] + (\alpha - \gamma^2) u_k(y') \equiv \alpha \pi_k - \gamma \rho_k \quad (k=1 \dots p).$$

Ora  $y_1'' \dots y_i^{(\beta)}$  ( $i=1 \dots \alpha$ ) sono appunto gli omologhi di  $y'$  nella detta corrispondenza  $[\alpha(\beta-1), \alpha(\beta-1)]$ , dunque ecc.

(\*) ZEUTHEN, *Nouvelle démonstration des théorèmes sur des séries de points correspondants sur deux courbes*, " Math. Ann. ", Bd. 3.

(\*\*) In particolare per  $p=3$  si ha che il cosiddetto contravariante  $\psi$  di una quartica piana è di classe 6 e genere 10: quindi si scrivono subito le sue caratteristiche plückeriane. — Cfr. CIANI, *Sopra due curve invariantive della quartica piana*, " Ann. di Mat. ", t. XX, 1892.

(\*\*\*) N., n° 10.

(\*\*\*\*) CASTELNUOVO, *Sui multipli di una serie lineare di gruppi di punti appartenente ad una curva algebrica*, " Rendiconti del Circ. matem. di Palermo ", 1893.



punti che insieme ai punti  $y' \dots y^{(p)} y_1' \dots y_1^{(p)}$  costituiscono la completa intersezione di  $C_p^{2p-2}$  con una quadrica. La serie tagliata su  $C_p^{2p-2}$  dagli iperpiani per la retta  $xx_1$  è una  $g_{2p-4}^{p-3}$ , quindi per i  $2p$  punti  $y' \dots y^{(p)}, y_1' \dots y_1^{(p)}$  passano  $p-2$  quadriche linearmente indipendenti fra loro e dalle  $\frac{1}{2}(p-2)(p-3)$  quadriche linearmente indipendenti, che, come è noto, passano per  $C_p^{2p-2}$ .

Si conclude che per i  $2p$  punti  $y' \dots y^{(p)}, y_1' \dots y_1^{(p)}$  passano  $\infty^{\frac{p(p-3)}{2}}$  quadriche e che quindi ogni quadrica passante per  $2p-1$  qualunque di essi passa anche pel rimanente.

Possiamo enunciare questo fatto dicendo che (\*):

*I due p-goni relativi a due punti  $x$  ed  $x_1$  di  $C_p^{2p-2}$  sono autoreciproci per una medesima quadrica.*

4° Ciò posto tagliamo  $C_p^{2p-2}$  con un iperpiano qualunque e consideriamo i  $p$ -goni relativi ai  $2p-2$  punti di intersezione: le loro faccie formano una  $2p(p-1)$ -pla di iperpiani di  $\Gamma$ , che possiamo riguardare come corrispondente a quell'iperpiano; quindi la totalità  $\infty^{p-1}$ ,  $\gamma_{2p(p-1)}^{p-1}$ , delle  $2p(p-1)$ -ple di iperpiani di  $\Gamma$ , che così si ottiene al variare dell'iperpiano secante  $C_p^{2p-2}$ , è una totalità razionale. Come tale appartiene (\*\*) ad una serie lineare  $g_{2p(p-1)}^r$  di  $\Gamma$  di dimensione  $r > p-1$  (\*\*\*) .

Le  $\infty^1$   $2p(p-1)$ -ple di iperpiani di  $\Gamma$  corrispondenti agli iperpiani passanti per un  $S_{p-3}$  costituiscono nella varietà lineare  $g_{2p(p-1)}^r$  una varietà quadratica, poichè un iperpiano di  $\Gamma$  fa parte delle due  $2p(p-1)$ -ple corrispondenti agli iperpiani passanti per l' $S_{p-3}$  e per i due punti di  $C_p^{2p-2}$  aventi una faccia del relativo  $p$ -gono nel considerato iperpiano di  $\Gamma$ : dunque una qualunque delle  $\infty^r$  varietà  $\infty^{p-2}$  tagliate su  $\gamma_{2p(p-1)}^{p-1}$  dalle varietà lineari  $g_{2p(p-1)}^{r-1}$  di  $g_{2p(p-1)}^r$  è rappresentata, nella rappresentazione di  $\gamma_{2p(p-1)}^{p-1}$  sugli iperpiani di  $S_{p-1}$ , dagli  $\infty^{p-2}$  iperpiani di  $S_{p-1}$  tangenti a una quadrica-inviluppo. Le  $\infty^r$  quadriche-inviluppo

(\*) CASTELNUOVO, *Su certi gruppi associati di punti*, "Rendic. del Circ. mat. di Palermo", 1889.

(\*\*) Con la parola *appartenere* intendiamo significare, secondo l'uso, che la totalità  $\gamma_{2p(p-1)}^{p-1}$  è contenuta nella serie lineare  $g_{2p(p-1)}^r$  e non in una serie lineare di dimensione inferiore.

(\*\*\*) ENRIQUES, *Un'osservazione relativa alla rappresentazione parametrica delle curve algebriche*, "Rendic. del Circ. mat. di Palermo", 1896.



che così si ottengono formano naturalmente un sistema lineare e si ha  $r \leq \frac{(p-1)(p+2)}{2}$ , perchè tutte le quadriche-inviluppo di  $S_{p-1}$  sono appunto  $\infty^{\frac{(p-1)(p+2)}{2}}$ .

Or si consideri la  $2p(p-1)$ -pla di iperpiani corrispondente a un iperpiano di  $\Gamma$ . Essa si spezza in due  $p(p-1)$ -ple di iperpiani passanti rispettivamente pei due punti di  $C_p^{2p-2}$  che hanno nel considerato iperpiano di  $\Gamma$  una faccia dei relativi  $p$ -goni: dunque (ricordando che gli iperpiani di  $S_{p-1}$  passanti per due punti fissi costituiscono una quadrica-inviluppo  $p-2$  volte specializzata) la serie lineare  $g_{2p(p-1)}^r$  ha  $\infty^1$  gruppi comuni colla serie lineare  $g_{2p(p-1)}$  d'ordine  $2p(p-1)$  determinata su  $\Gamma$  da tutte le quadriche-inviluppo di  $S_{p-1}$ .

Ma le coppie di punti di  $C_p^{2p-2}$  omologhi nella corrispondenza  $\Sigma$ , considerate come quadriche-inviluppo di  $S_{p-1}$   $p-2$  volte specializzate, danno una  $\infty^1$  di quadriche appartenente al sistema totale  $\infty^{\frac{(p-1)(p+2)}{2}}$  delle quadriche-inviluppo di  $S_{p-1}$ , poichè altrimenti esisterebbe almeno una quadrica-luogo rispetto a cui sarebbero coniugate tutte quelle coppie (\*), e i punti corrispondenti per  $\Sigma$  a un punto di  $C_p^{2p-2}$  sarebbero situati almeno in un iperpiano, quindi possiamo concludere che  $g_{2p(p-1)}^r$  è proprio della dimensione  $r = \frac{(p-1)(p+2)}{2}$  e coincide colla serie lineare determinata su  $\Gamma$  da tutte le quadriche-inviluppo di  $S_{p-1}$ .

Abbiamo pertanto il teorema:

*I  $2p-2$   $p$ -goni relativi ai punti di  $C_p^{2p-2}$  situati in un iperpiano sono circoscritti a una medesima quadrica di  $S_{p-1}$  (\*\*).*

5° Pel teorema ora dimostrato agli  $\infty^{p-1}$  iperpiani di  $S_{p-1}$  vengono coordinate le quadriche-inviluppo di un sistema  $\infty^{p-1} \Lambda$  appartenente al sistema lineare  $\infty^{\frac{(p-1)(p+2)}{2}}$  di tutte le

(\*) Come è noto, in  $S_{p-1}$  ad ogni sistema lineare  $\infty^s$  di quadriche-inviluppo è associato un sistema lineare  $\infty^{\frac{(p-1)(p-2)}{2}-s-1}$  di quadriche-luogo così che ogni quadrica del primo sistema è coniugata ad ogni quadrica del secondo.

(\*\*) Pel caso  $p=3$  cfr. CIANI, *Sopra la corrispondenza polare fra coniche-inviluppo e coniche-luogo stabilita da una quartica piana*, " Rendic. della R. Accad. dei Lincei ", 1895.



quadriche-inviluppo, e la corrispondenza fra gli iperpiani di  $S_{p-1}$  e le quadriche-inviluppo di  $\Lambda$  (al pari di quella fra gli iperpiani di  $S_{p-1}$  e le  $2p(p-1)$ -ple di iperpiani di  $\Gamma$  considerate) è tale, che alle  $\infty^{p-2}$  quadriche di  $\Lambda$  contenute in un sistema lineare  $\infty^{\frac{(p-1)(p+2)}{2}-1}$  corrispondono gli  $\infty^{p-2}$  iperpiani di  $S_{p-1}$  tangenti a una quadrica.

Dunque il grado di  $\Lambda$  è  $2^{p-1}$  e quella corrispondenza, considerati gli iperpiani di  $S_{p-1}$  come quadriche-luogo  $p-1$  volte specializzate, è contenuta in una corrispondenza reciproca fra il sistema lineare di tutte le quadriche-luogo di  $S_{p-1}$  e il sistema di tutte le quadriche-inviluppo dello spazio medesimo (\*).

In tale reciprocità una quadrica-luogo spezzata in un iperpiano  $\xi$  di  $\Gamma$  contato due volte e la quadrica-inviluppo spezzata nella relativa coppia di punti  $x, y'$  di  $C_p^{2p-2}$  si corrispondono in doppio modo. Infatti una quadrica-luogo, spezzata in un iperpiano qualunque passante per  $x$  o per  $y'$ , contato due volte, e quindi coniugata alla quadrica-inviluppo spezzata nella coppia di punti  $x, y'$ , ha per corrispondente una quadrica-inviluppo tangente all'iperpiano  $\xi$ , ossia coniugata alla quadrica-luogo spezzata nell'iperpiano  $\xi$  contato due volte. Ora il sistema lineare  $\infty^{\frac{(p-1)(p+2)}{2}-1}$  di quadriche-luogo coniugate a quella inviluppo spezzata nella coppia di punti  $x, y'$  è determinato dalle due  $\infty^{p-2}$

---

(\*) Per vedere questo, e il seguito, con tutta chiarezza giova riferire proiettivamente le quadriche-inviluppo e le quadriche luogo di  $S_{p-1}$  ai punti e agli iperpiani di un  $S_{\frac{(p-1)(p+2)}{2}}$ , così che un punto e un iperpiano di  $S_{\frac{(p-1)(p+2)}{2}}$  si appartengano quando le relative quadriche di  $S_{p-1}$  sono coniugate. Allora il sistema  $\Lambda$  vien rappresentato da una  $F_{p-1}^{2^{p-1}}$  di  $S_{\frac{(p-1)(p+2)}{2}}$  razionale normale (che per  $p=3$  coincide colla notissima *superficie di Veronese*) e il sistema degli iperpiani di  $S_{p-1}$ , considerati come quadriche-luogo  $p-1$  volte specializzate, viene rappresentato da una  $\Phi_{p-1}^{2^{p-1}}$  di iperpiani di  $S_{\frac{(p-1)(p+2)}{2}}$ , pure razionale normale. Le due varietà  $F_{p-1}^{2^{p-1}}$  e  $\Phi_{p-1}^{2^{p-1}}$  saranno riferite biunivocamente così che alle sezioni iperpiane della prima corrisponderanno nella seconda le varietà di iperpiani passanti pei varii punti di  $S_{\frac{(p-1)(p+1)}{2}}$ , quindi si corrisponderanno in una reciprocità.



(non lineari) di quadriche-luogo spezzate negli iperpiani delle due stelle  $x, y'$  contati ciascuno due volte, dunque può affermarsi, che in quella reciprocità ogni quadrica-luogo coniugata alla quadrica-inviluppo spezzata nella coppia di punti  $x, y'$  ha per quadrica-inviluppo corrispondente una quadrica coniugata a quella spezzata nell'iperpiano  $\Sigma$  contato due volte; ossia, può affermarsi che quelle due quadriche si corrispondono in doppio modo. Ora la varietà  $\infty^1$  di quadriche-inviluppo costituite dalle coppie di punti omologhi di  $\Sigma$  appartiene al sistema di tutte le quadriche-inviluppo di  $S_{p-1}$ , dunque la reciprocità è involutoria, e, non potendo essere un sistema nullo, è una polarità.

Abbiamo pertanto il teorema:

*La corrispondenza, che passa tra gli iperpiani di  $S_{p-1}$  e le quadriche-inviluppo inscritte nei  $p$ -goni relativi alle  $2p - 2$  intersezioni degli iperpiani medesimi con la curva  $C_p^{2p-2}$ , è contenuta in una corrispondenza polare reciproca fra le quadriche-luogo e le quadriche-inviluppo di  $S_{p-1}$ .*

6° Dimostriamo che questa corrispondenza polare reciproca  $S$  è semplicemente una corrispondenza polare stabilita fra le quadriche-inviluppo e le quadriche-luogo di  $S_{p-1}$  da una certa forma quartica  $M_{p-2}^4$  dello spazio medesimo.

Se  $y'_1, y''_1 \dots y_1^{(p)}$  è il  $p$ -gono relativo a un punto  $x_1$  di  $C_p^{2p-2}$ , nella corrispondenza  $S$  alle quadriche-inviluppo spezzate nelle coppie di punti  $x_1 y_1^{(i)}$  ( $i=1 \dots p$ ) corrispondono rispettivamente le quadriche-luogo spezzate negli iperpiani congiungenti i punti  $y'_1 \dots y_1^{(i-1)} y_1^{(i+1)} \dots y_1^{(p)}$  contati ciascuno due volte: dunque alla  $\infty^{p-2}$  lineare delle quadriche-inviluppo spezzate nel punto fisso  $x_1$  e in un punto variabile nell' $S_{p-1}$  corrisponde in  $S$  la  $\infty^{p-1}$  (lineare) delle quadriche-luogo aventi un  $p$ -edro polare nel  $p$ -edro  $y'_1 y_1'' \dots y_1^{(p)}$ .

La corrispondenza (omografica) che intercede fra queste due  $\infty^{p-1}$  lineari può interpretarsi come una omografia fra i punti dell' $S_{p-1}$  e le quadriche-luogo aventi  $y'_1 \dots y_1^{(p)}$  come  $p$ -edro polare, e allora, considerando una determinata (\*) forma cubica

---

(\*) In una determinazione parametrica dei punti di  $S_{p-1}$  mediante coordinate,  $y_1 = y_2 \dots y_p$ , prendiamo  $y'_1 \dots y_1^{(p)}$  come vertici della piramide fondamentale (ciò che è permesso, per una osservazione precedente circa l'indi-



delle  $\infty^{p-1}$  che hanno in  $y'_1 \dots y_1^{(p)}$  un  $p$ -edro polare, quella corrispondenza potrà caratterizzarsi dicendo che per essa alla quadrica-inviluppo, spezzata nel punto  $x_1$  e in un punto variabile  $x$  di  $S_{p-1}$ , corrisponde la quadrica-luogo polare di  $x$  rispetto a quella forma cubica.

In questo modo ad ogni punto  $x_1$  di  $C_p^{2p-2}$  vien collegata una forma cubica  $M_{p-2}^{(1)}$ , ed è chiaro che se ad  $x_1$  è collegata la forma cubica  $M_{p-2}^{(1)}$  e al punto  $x_2$  la forma cubica  $M_{p-2}^{(2)}$ , la quadrica polare di  $x_1$  rispetto ad  $M_{p-2}^{(2)}$  è anche la quadrica polare di  $x_2$  rispetto ad  $M_{p-2}^{(1)}$ . Infatti ambedue queste quadriche coincidono coll'unica che ha per  $p$ -edri polari i  $p$ -edri  $y'_1 y_1'' \dots y_1^{(p)}$  e  $y'_2 y_2'' \dots y_2^{(p)}$  relativi ad  $x_1$  e  $x_2$  rispettivamente.

Allora, presi  $p$  punti indipendenti di  $C_p^{2p-2}$   $x_1 \dots x_p$  e le relative forme cubiche  $M_{p-2}^{(1)} \dots M_{p-2}^{(p)}$ , consideriamo quella *determinata* forma quartica  $M_{p-2}^4$  di  $S_{p-1}$  rispetto a cui  $M_{p-2}^{(i)}$  è appunto la prima polare del punto  $x_i$  ( $i = 1 \dots p$ ), e consideriamo inoltre la corrispondenza polare  $S'$  da essa stabilita fra le quadriche-inviluppo e le quadriche-luogo di  $S_{p-1}$ . Tanto per  $S$  quanto per  $S'$ , a tutte le quadriche-inviluppo spezzate nel punto fisso  $x_i$  ( $i = 1 \dots p$ ) e in un punto variabile dell' $S_{p-1}$  corrisponde la medesima quadrica-luogo: ora questi  $p$  sistemi lineari  $\infty^{p-1}$  di quadriche-inviluppo appartengono al sistema totale delle quadriche-inviluppo di  $S_{p-1}$  dunque  $S$  ed  $S'$  coincidono e la nostra asserzione è pienamente giustificata.

Possiamo dire pertanto:

*Esiste una forma quartica  $M_{p-2}^4$  di  $S_{p-1}$  tale che rispetto ad*

---

pendenza dei punti  $y'_1 \dots y_1^{(p)}$ ): allora il sistema lineare  $\infty^{p-1}$  di quadriche-luogo in discorso è rappresentato dall'equazione:

$$(1) \quad \lambda_1 y_1^2 + \dots + \lambda_p y_p^2 = 0,$$

e nell'omografia considerata, fra le quadriche del detto sistema e i punti di  $S_{p-1}$ , alla quadrica rappresentata dalla equazione (1) corrisponde un punto di coordinate  $a_1 \lambda_1, \dots, a_p \lambda_p, a_1 \dots a_p$  essendo delle costanti opportune.

Allora la forma cubica:

$$(2) \quad \frac{1}{a_1} y_1^3 + \dots + \frac{1}{a_p} y_p^3 = 0$$

è appunto quella di cui si parla nel testo.



essa ogni coppia di punti di  $C_p^{2p-2}$  corrispondenti per  $\Sigma$  ha per quadrica polare mista un iperpiano doppio: oppure, tale che rispetto ad essa ogni punto di  $C_p^{2p-2}$  ha per prima polare una forma cubica con un  $p$ -edro polare nel  $p$ -gono relativo.

7° Il teorema precedente coordina ad ogni  $C_p^{2p-2}$  di  $S_{p-1}$   $2^{p-1}(2^p + 1)$  forme quartiche (particolari, se  $p > 3$ , come subito si vede con un computo di costanti): quindi si presenta spontanea la questione di trovare le relazioni che legano queste forme fra di loro. Ma tale questione, certo assai attraente, pare assai difficile a risolvere (\*).

Torino, 22 maggio 1900.

---

(\*) Recentemente essa è stata affrontata dal sig. Ciani per  $p = 3$  in un caso particolare notevole. Le sue ricerche già annunziate nella Nota: *Un teorema sopra la quartica di Klein* (" Rendic. del R. Ist. Lombardo di scienze e lettere „, serie II, vol. XXXIII, 1900), usciranno prossimamente alla luce.

---



*Ricerche sulle coniche secanti delle curve gobbe.*

Nota di FRANCESCO SEVERI.

Lo scopo di queste ricerche è la determinazione di numeri relativi alle coniche plurisecanti delle curve algebriche sghembe. Dalle formole che sono contenute in questa Nota, altre ne discendono (com'è precisato al n° 10), che servono a risolvere un gran numero di problemi inerenti alle coniche secanti delle curve gobbe. In particolare al n° 9 è dato il numero delle coniche ottosecanti e al n° 10 l'ordine della superficie delle coniche 7-secanti di una data curva. Il metodo che seguiremo per compiere queste ricerche, è ispirato, nel concetto geometrico, al metodo tenuto dal CAYLEY per determinazioni di numeri relativi alle secanti multiple di una curva sghemba (\*). Le difficoltà algebriche, che si presentano non lievi nella risoluzione di equazioni funzionali complicate, quali sono quelle che noi incontreremo, sono vinte con l'aiuto di un teorema generale relativo ad una classe di equazioni funzionali, teorema che ho dimostrato nella mia Dissertazione di laurea (\*\*). Da questo metodo si distaccano peraltro, le ricerche contenute nei n° 2, 3, 4, e se fin dalle prime determinazioni non abbiamo usato il metodo funzionale, è stato solo per stabilire un fatto geometrico, che già era ammesso relativamente agli spazi secanti di una curva (ved. le citazioni alla fine del n° 2), e che può essere utile per qualche altra ricerca. Lo strumento funzionale, nel modo da noi usato, può servire per lo studio delle proprietà

---

(\*) Cfr. CAYLEY, *On skew surfaces, otherwise scrolls* (" Philosophical Transactions „, t. 153, pag. 413, 1863; oppure: " Collected Mathematical Papers „, t. 5, pag. 168).

(\*\*) Essa Dissertazione sarà presentata fra pochi giorni alla Facoltà di Scienze dell'Università di Torino.



numerative delle varietà di coniche plurisecanti di curve iperspaziali, e delle varietà di coniche che hanno dati contatti con una o più curve.

È utile in questo genere di ricerche il calcolo coi simboli di condizioni, giacchè rende più sistematica e assai più concisa la trattazione. Per esso rimandiamo al libro dello SCHUBERT (\*), dal quale abbiamo tratto la maggior parte delle notazioni.

1. — Denoteremo con  $\mu$  la condizione (semplice) perchè una conica abbia il suo piano passante per un punto dato, e con  $\nu$  la condizione (semplice) affinchè una conica si appoggi ad una retta data.

Nel seguito, per i nostri calcoli, si dovrà tener presente che tutti i prodotti simbolici che contengono  $\mu$  ad esponente maggiore od uguale a 4 son nulli, la qual cosa è del resto evidente. Avremo occasione di considerare anche la condizione affinchè una conica passi per un punto dato: la denoteremo con  $P$ . Essa esprimesi in funzione di  $\mu$ ,  $\nu$ , così:

$$P = \mu\nu - 2\mu^2 (**).$$

La condizione (di dimensione  $k \leq 8$ ) affinchè una conica sia  $k$ -secante di una  $C_r^n$  (così rappresentiamo una curva d'ordine  $n$  e rango  $r$ ), la denoteremo col simbolo  $\alpha_k(n, r)$  e ammetteremo che non dipenda da altri caratteri della curva, all'infuori dell'ordine e del rango.

2. — Esprimiamo anzitutto la condizione  $\alpha_2(2, 2)$  in funzione di  $\mu$  e  $\nu$ . In una congruenza di coniche consideriamo quelle che si appoggiano ad una conica  $\Gamma$ , le quali sono  $\infty^1$ . Ognuna di esse taglia il piano di  $\Gamma$ , all'infuori del punto d'appoggio su  $\Gamma$ , in un punto  $q$ , e  $\Gamma$  taglia il piano di essa conica, all'infuori del punto d'appoggio nominato, in un punto  $p$ . — Abbiamo così  $\infty^1$  coppie  $pq$ , se intendiamo che due punti  $pq$  formino una coppia, quando sono ottenuti nel modo detto da una stessa conica della congruenza, secante di  $\Gamma$ . Il numero delle coincidenze

(\*) *Kalkül der abzählenden Geometrie*. Leipzig, 1879.

(\*\*) SCHUBERT, loc. cit., pag. 95.



che si presentano in questa  $\infty^1$  di coppie di punti, è evidentemente uguale a  $2\alpha_2(2,2)$ . — Dicendo  $\epsilon$  la condizione di coincidenza,  $p$  la condizione perchè una coppia  $pq$  della  $\infty^1$  abbia il suo punto  $p$  su un dato piano,  $q$  la condizione affinchè una coppia  $pq$  abbia il suo punto  $q$  su un dato piano,  $g$  la condizione affinchè la retta  $g$  congiungente due punti d'una coppia si appoggi ad una data retta, si ha:

$$\epsilon = p + q - g (*).$$

Attualmente  $p = 2(2\mu\nu - P) = 2\mu\nu + 4\mu^2$ ,  $q = 2\nu^2 - 2P$ ,  $g = 2\mu\nu$ , onde:

$$\alpha_2(2,2) = \nu^2 + 2\mu^2 - P. \quad (1)$$

L'esame della (1) ci dice che se la conica  $\Gamma$  degenera in una coppia di rette, fra le coniche della congruenza bisecanti di questa coppia di rette dobbiamo riguardare come limiti di coniche bisecanti di  $\Gamma$  prima della degenerazione, solo quelle coniche che si appoggiano complessivamente in due punti *distinti* alla coppia di rette. Si presenta allora naturalmente l'idea che questo fatto permanga anche quando si tratti, anzichè di una conica  $\Gamma$ , di una curva qualsiasi. E noi appunto, dopo aver giustificato la cosa in un caso tangibile, ammetteremo che *finchè si tratta di determinazioni di numeri relativi a coniche secanti di curve del nostro spazio, ad una curva d'ordine  $n$  e rango  $r$ , si possa sostituire (purchè, beninteso, il numero che si cerca rimanga finito) un insieme di  $n$  rette con  $\frac{1}{2}r$  intersezioni semplici, e che le coniche di un dato sistema che sono  $k$ -secanti di essa curva prima della degenerazione, si ottengano soltanto corrispondentemente alle coniche del sistema che secano in  $k$  punti distinti complessivamente, le rette dell'insieme (\*\*).* Diremo, per bre-

(\*) SCHUBERT, loc. cit., pag. 44.

(\*\*) Daremo di questa ipotesi una *giustificazione*, a cui però non attribuiamo il valore di una dimostrazione.

È noto come una curva piana d'ordine  $n$  possa degenerare in un insieme di  $n$  rette del suo piano. Ciò posto proiettiamo una curva sghemba  $C^n_r$  da un centro determinato sopra un piano, e sia  $C'$  la curva proiezione. Se  $C'$  degenera con continuità in un insieme di  $n$  rette, la curva  $C$  corri-



vità, *punti dell'insieme* i punti comuni alle rette in cui si spezza una  $C_r^n$ , e *piani dell'insieme* i piani comuni alle rette medesime.

*Avvertiamo subito* (e, del resto, apparirà dal seguito) *che non ci sarebbe affatto necessario fare questa ipotesi*; dopo avere stabilito in maniera rigorosa la (1), noi possederemmo gli elementi sufficienti per procedere alle ricerche col solo metodo funzionale. La ipotesi fatta ci servirà solo per abbreviare i primi calcoli. Essa è identica nella sostanza a quella di cui si serve il Dott. TANTURRI per determinazioni di numeri relativi a spazi plurisecanti di una curva algebrica (\*). E, col Dott. Tanturri, chiameremo *spezzamento totale* la degenerazione di una curva di ordine  $n$  e rango  $r$ , in un insieme connesso di  $n$  rette con  $\frac{1}{2}r$  punti in comune. Di *spezzamenti parziali* il sig. CASTELNUOVO aveva fatto uso nello stesso argomento degli spazi plurisecanti (\*\*).

spondentemente si deformerà, e al limite sarà essa pure degenerata in  $n$  rette. Ora, se la degenerazione ha avuto luogo in maniera generica, le  $\binom{n}{2} - \frac{1}{2}r$  corde di  $C$  che passavano per il centro di proiezione prima dello spezzamento, saranno sempre corde della curva degenerata, e quindi fra gli  $\binom{n}{2}$  punti che hanno in comune le  $n$  rette in cui la  $C'$  è spezzata, ve ne sono  $\binom{n}{2} - \frac{1}{2}r$  che non sono proiezioni di punti comuni alle rette in cui ha degenerato la  $C$ . Gli altri  $\frac{1}{2}r$  punti comuni alle rette che costituiscono la degenerazione di  $C'$ , saranno dunque proiezioni di  $\frac{1}{2}r$  punti comuni alle rette in cui la  $C$  è spezzata. Onde la curva  $C$  ha degenerato in un insieme connesso di  $n$  rette con  $\frac{1}{2}r$  punti a comune. Se è possibile che una curva  $C_r^n$  degeneri in  $n$  rette con  $\frac{1}{2}r$  punti a comune, è chiaro che p. e. le coniche di una congruenza appoggiate alla curva degenerata in due punti distinti sono limiti di coniche bisecanti della curva prima della degenerazione. Se una conica della congruenza passa per uno dei punti comuni alle rette in cui si è spezzata  $C_r^n$ , essa è limite di due coniche della congruenza, ognuna delle quali passa per uno dei punti della  $C$ , che durante la degenerazione tendono al punto doppio: ossia ognuna delle coniche per un tal punto è limite di due coniche monosecanti  $C$ , e non di una conica bisecante.

(\*) Cfr. TANTURRI, *Ricerche sugli spazi plurisecanti di una curva algebrica* ("Annali di Matematica", (3), t. IV, 1900).

(\*\*) Cfr. CASTELNUOVO, *Un'applicazione di geometria enumerativa alle curve algebriche* ("Rendiconti del Circolo Mat. di Palermo", t. III, 1889).



3. — Per esprimere  $\alpha_2(n, r)$  in funzione di  $\mu, v$ , si spezzi totalmente la  $C_r^n$ . Il numero delle coniche di una congruenza che soddisfano alla condizione  $\alpha_2(n, r)$  si scinde:

a) Nel numero delle coniche della congruenza appoggiate a due rette dell'insieme in due punti distinti. Questo numero, in virtù del principio della conservazione del numero, è dato dalla differenza fra il numero  $\binom{n}{2} v^2$  delle coniche della congruenza che si appoggiano alle coppie di rette che si possono formare con  $n$  rette date genericamente nello spazio, e il numero  $\frac{1}{2} rP$  delle coniche della congruenza passanti per i punti dell'insieme.

b) Nel numero  $n\mu^2$  delle coniche della congruenza che bisecano ognuna delle rette dell'insieme. Quindi:

$$(2) \quad \alpha_2(n, r) = \binom{n}{2} v^2 + n\mu^2 - \frac{1}{2} rP = \binom{n}{2} v^2 + n\mu^2 - \frac{1}{2} r\mu v + r\mu^2.$$

4. — Esprimiamo ora in funzione di  $\mu, v$ , la condizione  $\alpha_3(n, r)$ . Dopo lo spezzamento totale di  $C_r^n$  il numero delle coniche di un complesso, che soddisfano alla condizione  $\alpha_3(n, r)$ , si scinde:

a) Nel numero delle coniche del complesso appoggiate alle terne di rette dell'insieme, in 3 punti distinti. Questo numero è dato dalla differenza fra il numero  $\binom{n}{3} v^3$  delle coniche del complesso appoggiate alle terne di rette che si possono formare con  $n$  rette date genericamente nello spazio, e il numero  $\frac{1}{2} r(n-2)Pv$  di quelle coniche del complesso che passano per ogni punto dell'insieme e si appoggiano ancora ad una retta dell'insieme, non per quel punto.

b) Nel numero delle coniche del complesso che bisecano una retta dell'insieme e si appoggiano ad un'altra, in punti distinti. E questo numero è dato dalla differenza fra il numero  $n(n-1)\mu^2 v$  delle coniche del complesso che soddisfarebbero alle condizioni suddette se le  $n$  rette dell'insieme fossero in posizione generica, meno il numero  $rP\mu$  di quelle coniche del complesso che passano per un punto dell'insieme e si appoggiano ancora ad una delle due rette per quello. Dunque:



$$\alpha_3(n, r) = \binom{n}{3} v^3 - \frac{1}{2} r(n-2) P v + n(n-1) \mu^2 v - r P \mu$$

ossia:

$$(3) \quad \alpha_3(n, r) = \binom{n}{3} v^3 + \mu^2 v \{n(n-1) + r(n-3)\} + 2r\mu^3 - \frac{1}{2} r(n-2) \mu v^2.$$

5. — Per esprimere la condizione  $\alpha_4(n, r)$  in funzione dei simboli  $\mu, v$ , non può più servire lo spezzamento totale; giacchè spezzando totalmente la  $C_r^n$ , fra le coniche di un sistema  $\infty^4$  che quadrisecano  $C$  dopo lo spezzamento, compariscono le coniche del sistema che giacciono sui piani dell'insieme, e di tali coniche ve ne sono infinite (\*). Da questo momento quindi sarà necessario adottare un altro metodo affine di esprimere, in funzione di  $\mu, v$ , le condizioni perchè una conica sia  $k$ -secante ( $k \geq 4$ ) di  $C_r^n$ . E noi useremo del metodo funzionale nella maniera seguente:

Se aggreghiamo alla nostra  $C_r^n$  una  $C_{r'}^{n'}$ , la condizione  $\alpha_4(n+n', r+r')$  perchè una conica sia quadrisecante della curva complessiva  $C_{r+r'}^{n+n'}$ , è uguale alla *somma* (simbolica) delle condizioni affinchè una conica sia quadrisecante di  $C_r^n$ , o quadrisecante di  $C_{r'}^{n'}$ , o bisecante di  $C_r^n$  e di  $C_{r'}^{n'}$ , o trisecante di  $C_r^n$  e monosecante di  $C_{r'}^{n'}$ , o trisecante di  $C_{r'}^{n'}$  e monosecante di  $C_r^n$ . Quindi abbiamo l'uguaglianza simbolica:

$$(4) \quad \alpha_4(n+n', r+r') = \alpha_4(n, r) + \alpha_4(n', r') + \alpha_3(n, r)n'v + \\ + \alpha_2(n, r)\alpha_2(n', r') + vn\alpha_3(n', r').$$

Questa equazione fra simboli di condizione diviene un'uguaglianza fra numeri, quando si imponga alle coniche di un sistema  $\infty^4$ , di soddisfare alle condizioni che compariscono in essa. È in questo senso che la (4) può riguardarsi come un'equazione funzionale, in cui la  $\alpha_4(n, r)$  compare quale funzione incognita. — Per risolvere questa equazione funzionale profitteremo del teorema che, come ho accennato nella introduzione a questa Nota, ho dimostrato nella mia Dissertazione di laurea.

---

(\*) La stessa osservazione vale rispetto alle coniche  $k$ -secanti ( $k \geq 4$ ) di  $C_r^n$ . In un piano dell'insieme dopo lo spezzamento di  $C$ , giacciono  $\infty^{k-3}$  coniche di un sistema  $\infty^k$ ; e se fra queste  $\infty^{k-3}$  coniche consideriamo quelle che passano per i punti in cui  $k-4$  rette dell'insieme non su quel piano, lo incontrano, abbiamo una  $\infty^1$  di coniche che sono  $k$ -secanti di  $C$ .



Il teorema a cui alludiamo si enuncia nel modo seguente:

“ Se esiste una funzione che soddisfi ad un'equazione funzionale del tipo:

$$\varphi(x_1 + x'_1, \dots, x_n + x'_n) = \varphi(x_1, \dots, x_n) + \varphi(x'_1, \dots, x'_n) + f(x_1, \dots, x_n; x'_1, \dots, x'_n),$$

ove  $f$  è il simbolo d'una funzione data e gli argomenti  $x_1, \dots, x_n, x'_1, \dots, x'_n$ , variano nel campo dei numeri interi e positivi (lo zero incluso), essa è della forma:

$$\begin{aligned} \varphi(x_1, \dots, x_n) = & \sum_1^n c_i x_i + \sum_1^n \sum_1^{x_k-1} f(0, \dots, 0, 1_k, \dots, 0; 0, \dots, 0, x_k - i, 0, \dots, 0) + \\ & + \sum_2^n f(0, \dots, 0, x_i, x_{i+1}, \dots, x_n; 0, \dots, 0, x_{i-1}, 0, \dots, 0), \end{aligned}$$

ove le  $c$  sono costanti arbitrarie e col simbolo  $1_k$  si vuole esprimere che è stato fatto  $x_k = 1$  „ (\*).

Profittando di questa proposizione, la (4) porge:

$$\begin{aligned} \alpha_4(n, r) = & cn + c_1 r + \alpha_3(1, 0) \nu \sum_1^{n-1} (n - i) + \alpha_2(1, 0) \sum_1^{n-1} \alpha_2(n - i, 0) + \\ & + \nu \sum_1^{n-1} \alpha_3(n - i, 0) + \alpha_2(0, 1) \sum_1^{r-1} \alpha_2(0, r - i) + n \nu \alpha_3(0, r) + \alpha_2(0, r) \alpha_2(n, 0), \end{aligned}$$

ove  $c$  e  $c_1$  sono indipendenti da  $n$  e da  $r$ . Tenendo presenti le formole (2), (3), dopo le sostituzioni e le riduzioni si ottiene:

$$\begin{aligned} \alpha_4(n, r) = & \binom{n}{4} \nu^4 + \mu \nu^3 \left\{ nr - \frac{1}{2} r \binom{n}{2} \right\} + \mu^2 \nu^2 \left\{ 3 \binom{n}{3} + r \binom{n}{2} - \right. \\ & \left. - 3rn + \frac{1}{4} \binom{r}{2} \right\} + \mu^3 \nu \left\{ \frac{3}{2} rn - \binom{r}{2} \right\} + cn + c_1 r. \end{aligned}$$

Si osservi che

$$\alpha_4(1, 0) = c = 0 \quad \text{e} \quad \alpha_4(3, 4) = 4c_1 - \frac{39}{2} \mu^2 \nu^2 + 12\mu^3 \nu + 6\mu \nu^3 = 0,$$

onde:

$$c_1 = \frac{39}{8} \mu^2 \nu^2 - 3\mu^3 \nu - \frac{3}{2} \mu \nu^3.$$

---

(\*) Le condizioni per l'esistenza d'una funzione soddisfacente ad una equazione funzionale del tipo considerato, sono relative alla natura della funzione  $f$ , ma non ci è necessario tener conto di esse condizioni, perchè *a priori* si può affermare l'esistenza di una funzione che soddisfi le equazioni che noi consideriamo, a causa della loro interpretazione geometrica.



Quindi sostituendo:

$$(5) \alpha_4(n, r) = \binom{n}{4} v^4 + \mu v^3 \left\{ nr - \frac{1}{2} r \binom{n}{2} - \frac{3}{2} r \right\} + \mu^2 v^2 \left\{ 3 \binom{n}{3} + r \binom{n}{2} - 3rn + \frac{1}{4} \binom{r}{2} + \frac{39}{8} r \right\} + \mu^3 v \left\{ \frac{3}{2} rn - \binom{r}{2} - 3r \right\}.$$

6. — Vogliamo ora esprimere in funzione dei simboli  $\mu, v$ , la condizione  $\alpha_5(n, r)$ . Aggregando, come prima, alla  $C_r^n$  una  $C_{r'}^{n'}$  e considerando la condizione  $\alpha_5(n + n', r + r')$ , perchè una conica sia 5-secante della curva complessiva  $C_{r+r'}^{n+n'}$ , si ha che:

$$\alpha_5(n + n', r + r') = \alpha_5(n, r) + \alpha_5(n', r') + n' v \alpha_4(n, r) + \alpha_2(n', r') \alpha_3(n, r) + \alpha_3(n', r') \alpha_2(n, r) + n v \alpha_4(n', r'),$$

dalla quale, applicando il teorema enunciato al n° precedente, si trae:

$$\begin{aligned} \alpha_5(n, r) = & cn + c_1 r + v \alpha_4(1, 0) \sum_1^{n-1} (n - i) + \alpha_3(1, 0) \sum_1^{n-1} \alpha_2(n - i, 0) + \\ & + \alpha_2(1, 0) \sum_1^{n-1} \alpha_3(n - i, 0) + v \sum_1^{n-1} \alpha_4(n - i, 0) + \\ & + \alpha_3(0, 1) \sum_1^{r-1} \alpha_2(0, r - i) + \alpha_2(0, 1) \sum_1^{r-1} \alpha_3(0, r - i) + n v \alpha_4(0, r) + \\ & + \alpha_3(0, r) \alpha_2(n, 0) + \alpha_2(0, r) \alpha_3(n, 0). \end{aligned}$$

Tenendo presenti le formole (2), (3), (5), dopo le sostituzioni e riduzioni si ottiene:

$$\begin{aligned} \alpha_5(n, r) = & cn + c_1 r + \binom{n}{5} v^5 + \mu v^4 \left\{ r \binom{n}{2} - \frac{1}{2} r \binom{n}{3} - \frac{3}{2} rn \right\} + \\ & + \mu^2 v^3 \left\{ 4 \binom{n}{4} - \binom{r}{2} - 3r \binom{n}{2} + r \binom{n}{3} + \frac{1}{4} n \binom{r}{2} + \frac{39}{8} rn \right\} + \\ & + \mu^3 v^2 \left\{ 5 \binom{r}{2} + r \binom{n}{2} - n \binom{r}{2} - 2rn \right\}. \end{aligned}$$



Evidentemente si ha:

$$\alpha_5(3, 4) = 0 = 3c + 4c_1 + 25\mu^2\nu^3 - 8\mu\nu^4$$

$$\alpha_5(4, 6) = 0 = 4c + 6c_1 + 37\mu^2\nu^3 - 12\mu\nu^4 + 3\mu^3\nu^2,$$

dalle quali si trae:

$$c = 6\mu^3\nu^2 - \mu^2\nu^3, \quad c_1 = 2\mu\nu^4 - \frac{9}{2}\mu^3\nu^2 - \frac{11}{2}\mu^2\nu^3.$$

Quindi:

$$(6) \quad \alpha_5(n, r) = \binom{n}{5} \nu^5 + \mu\nu^4 \left\{ r \binom{n}{2} - \frac{1}{2} r \binom{n}{3} - \frac{3}{2} rn + 2r \right\} + \\ + \mu^2\nu^3 \left\{ 4 \binom{n}{4} - \binom{r}{2} - 3r \binom{n}{2} + r \binom{n}{3} + \frac{1}{4} n \binom{r}{2} + \frac{39}{8} rn - \right. \\ \left. - n - \frac{11}{2} r \right\} + \mu^3\nu^2 \left\{ 5 \binom{r}{2} + r \binom{n}{2} - n \binom{r}{2} - 2rn + 6n - \frac{9}{2} r \right\} (*).$$

7. — La condizione  $\alpha_6(n, r)$  soddisfa all'equazione funzionale:

$$\alpha_6(n + n', r + r') = \alpha_6(n, r) + \alpha_6(n', r') + n'\nu\alpha_5(n, r) + \\ + \alpha_2(n', r')\alpha_4(n, r) + \alpha_3(n', r')\alpha_3(n, r) + \alpha_4(n', r')\alpha_2(n, r) + n\nu\alpha_5(n', r'),$$

(\*) Per la verifica dei calcoli algebrici si osservi che è, come deve essere,  $\alpha_5(4, 8) = 0$ . Inoltre  $\alpha_5(5, 8)\nu^3 = 54$ , la quale ci dice che: *Vi sono 54 coniche cinquesecanti di una quintica razionale appoggiate a 3 rette generiche dello spazio*, proposizione che trovasi nella Memoria del Prof. BERTINI: *Sulle curve gobbe razionali del 5° ordine* ("Collectanea Mathematica", 1881, pag. 321). — La (6) moltiplicata simbolicamente per  $\mu^2\nu$  dà l'ordine della superficie delle coniche bisecanti di una data retta e 5-secanti di una  $C_r^n$ . Precisamente quest'ordine è espresso da:

$$\alpha_5(n, r) \mu^2\nu = 8 \binom{n}{5} - \frac{1}{2} r \binom{n-2}{3},$$

o, introducendo il genere  $p$  della  $C_r^n$ , da:

$$\alpha_5(n, 2(n + p - 1)) \mu^2\nu = 8 \binom{n}{5} - (n + p - 1) \binom{n-2}{3}.$$

Per  $n = 5$  si ritrova la proposizione enunciata dal sig. CASTELNUOVO al n° 10 della Memoria: *Alcune proprietà fondamentali dei sistemi lineari di curve tracciate sopra una superficie algebrica* ("Ann. di Matem.", (2), XXV, 1897).



dalla quale si trae:

$$\begin{aligned}\alpha_6(n, r) = & cn + c_1 r + v \alpha_5(1, 0) \sum_1^{n-1} (n - i) + \alpha_4(1, 0) \sum_1^{n-1} \alpha_2(n - i, 0) + \\ & + \alpha_3(1, 0) \sum_1^{n-1} \alpha_3(n - i, 0) + \alpha_2(1, 0) \sum_1^{n-1} \alpha_4(n - i, 0) + v \sum_1^{n-1} \alpha_5(n - i, 0) + \\ & + \alpha_4(0, 1) \sum_1^{r-1} \alpha_2(0, r - i) + \alpha_3(0, 1) \sum_1^{r-1} \alpha_3(0, r - i) + \alpha_2(0, 1) \sum_1^{r-1} \alpha_4(0, r - i) + \\ & + n v \alpha_5(0, r) + \alpha_4(0, r) \alpha_2(n, 0) + \alpha_3(0, r) \alpha_3(n, 0) + \alpha_2(0, r) \alpha_4(n, 0).\end{aligned}$$

Tenendo presenti le formole (2), (3), (5), (6), dopo le sostituzioni e i calcoli algebrici, si ottiene:

$$\begin{aligned}\alpha_6(n, r) = & cn + c_1 r + \\ & + \binom{n}{6} v^6 + \mu v^5 \left\{ r \binom{n}{3} - \frac{1}{2} r \binom{n}{4} - \frac{3}{2} r \binom{n}{2} + 2rn \right\} + \\ & + \mu^2 v^4 \left\{ 5 \binom{n}{5} - 2 \binom{n}{2} + \frac{5}{2} \binom{r}{2} + r \binom{n}{4} - 3r \binom{n}{3} + \frac{1}{4} \binom{n}{2} \binom{r}{2} + \right. \\ & \quad \left. + \frac{39}{8} r \binom{n}{2} - n \binom{r}{2} - \frac{11}{2} rn \right\} + \\ & + \mu^3 v^3 \left\{ 12 \binom{n}{2} - \frac{111}{8} \binom{r}{2} - \frac{1}{8} \binom{r}{3} + \frac{1}{2} r \binom{n}{3} - r \binom{n}{2} - \right. \\ & \quad \left. - \binom{n}{2} \binom{r}{2} - 6nr + 5n \binom{r}{2} \right\}.\end{aligned}$$

Per determinare  $c$  e  $c_1$ , si osservi che:

$$\alpha_6(3, 4) = 0 = 3c + 4c_1 + 10\mu v^5 - 24\mu^2 v^4 - \frac{231}{4} \mu^3 v^3$$

$$\alpha_6(4, 6) = 0 = 4c + 6c_1 + 15\mu v^5 - \frac{69}{2} \mu^2 v^4 - \frac{773}{8} \mu^3 v^3,$$

donde:

$$c = 3\mu^2 v^4 - 20\mu^3 v^3, \quad c_1 = \frac{15}{4} \mu^2 v^4 + \frac{471}{16} \mu^3 v^3 - \frac{5}{2} \mu v^5.$$



Quindi:

$$\begin{aligned}
 (7) \quad \alpha_6(n, r) = & \binom{n}{6} v^6 + \mu v^5 \left\{ r \binom{n}{3} - \frac{1}{2} r \binom{n}{4} - \frac{3}{2} r \binom{n}{2} + \right. \\
 & + 2rn - \frac{5}{2} r \left. \right\} + \mu^2 v^4 \left\{ 5 \binom{n}{5} - 2 \binom{n}{2} + \frac{5}{2} \binom{r}{2} + r \binom{n}{4} - 3r \binom{n}{3} + \right. \\
 & + \frac{1}{4} \binom{n}{2} \binom{r}{2} + \frac{39}{8} r \binom{n}{2} - n \binom{r}{2} - \frac{11}{2} rn + 3n + \frac{15}{4} r \left. \right\} + \\
 & + \mu^3 v^3 \left\{ 12 \binom{n}{2} - \frac{111}{8} \binom{r}{2} - \frac{1}{8} \binom{r}{3} + \frac{1}{2} r \binom{n}{3} - r \binom{n}{2} - \right. \\
 & \left. - \binom{n}{2} \binom{r}{2} - 6nr + 5n \binom{r}{2} - 20n + \frac{471}{16} r \right\} (*).
 \end{aligned}$$

8. — La condizione  $\alpha_7(n, r)$  soddisfa all'equazione funzionale:

$$\begin{aligned}
 \alpha_7(n + n', r + r') = & \alpha_7(n, r) + \alpha_7(n', r') + n' v \alpha_6(n, r) + \alpha_5(n, r) \alpha_2(n', r') + \\
 & + \alpha_4(n, r) \alpha_3(n', r') + \alpha_3(n, r) \alpha_4(n', r') + \alpha_2(n, r) \alpha_5(n', r') + n v \alpha_6(n', r'),
 \end{aligned}$$

dalla quale si trae:

$$\begin{aligned}
 \alpha_7(n, r) = & cn + c_1 r + v \alpha_6(1, 0) \sum_1^{n-1} (n - i) + \alpha_5(1, 0) \sum_1^{n-1} \alpha_2(n - i, 0) + \\
 & + \alpha_4(1, 0) \sum_1^{n-1} \alpha_3(n - i, 0) + \alpha_3(1, 0) \sum_1^{n-1} \alpha_4(n - i, 0) + \alpha_2(1, 0) \sum_1^{n-1} \alpha_5(n - i, 0) + \\
 & + v \sum_1^{n-1} \alpha_6(n - i, 0) + \alpha_5(0, 1) \sum_1^{r-1} \alpha_2(0, r - i) + \alpha_4(0, 1) \sum_1^{r-1} \alpha_3(0, r - i) + \\
 & + \alpha_3(0, 1) \sum_1^{r-1} \alpha_4(0, r - i) + \alpha_2(0, 1) \sum_1^{r-1} \alpha_5(0, r - i) + n v \alpha_6(0, r) + \\
 & + \alpha_5(0, r) \alpha_2(n, 0) + \alpha_4(0, r) \alpha_3(n, 0) + \alpha_3(0, r) \alpha_4(n, 0) + \alpha_2(0, r) \alpha_5(n, 0).
 \end{aligned}$$

Tenendo presenti le (2), (3), (5), (6), (7), dopo eseguite le sostituzioni e i calcoli si ha:

---

(\*) Per la verifica dei calcoli algebrici si osservi che è:

$$\alpha_6(4, 8) = \alpha_6(5, 8) = \alpha_6(5, 10) = \alpha_6(5, 12) = 0.$$



$$\begin{aligned} \alpha_7(n, r) = & \binom{n}{7} v^7 + \mu v^6 \left\{ r \binom{n}{4} - \frac{1}{2} r \binom{n}{5} - \frac{3}{2} r \binom{n}{3} + 2r \binom{n}{2} - \right. \\ & - \frac{5}{2} nr \left. \right\} + \mu^2 v^5 \left\{ 6 \binom{n}{6} - 3 \binom{n}{3} + 6 \binom{n}{2} - 5 \binom{r}{2} + r \binom{n}{5} - \right. \\ & - 3r \binom{n}{4} + \frac{1}{4} \binom{n}{3} \binom{r}{2} + \frac{39}{8} r \binom{n}{3} - \binom{n}{2} \binom{r}{2} - \frac{11}{2} r \binom{n}{2} + \\ & + \frac{5}{2} n \binom{r}{2} + \frac{15}{4} rn \left. \right\} + \mu^3 v^4 \left\{ 18 \binom{n}{3} - 40 \binom{n}{2} + \frac{113}{4} \binom{r}{2} + \right. \\ & + \frac{3}{4} \binom{r}{3} + \frac{511}{16} rn - \binom{n}{3} \binom{r}{2} - \frac{15}{2} r \binom{n}{2} + 5 \binom{n}{2} \binom{r}{2} - \\ & - \frac{111}{8} n \binom{r}{2} - \frac{1}{8} n \binom{r}{3} \left. \right\} + cn + c_1 r. \end{aligned}$$

D'altronde:

$$\alpha_7(3, 4) = 0 = 3c + 4c_1 - 12\mu v^6 + 12\mu^2 v^5 + \frac{393}{2} \mu^3 v^4$$

$$\alpha_7(4, 6) = 0 = 4c + 6c_1 - 18\mu v^6 + 15\mu^2 v^5 + \frac{1259}{4} \mu^3 v^4,$$

da cui:

$$c = 40\mu^3 v^4 - 6\mu^2 v^5, \quad c_1 = 3\mu v^6 + \frac{3}{2} \mu^2 v^5 - \frac{633}{8} \mu^3 v^4.$$

E quindi:

$$\begin{aligned} (8) \quad \alpha_7(n, r) = & \binom{n}{7} v^7 + \mu v^6 \left\{ r \binom{n}{4} - \frac{1}{2} r \binom{n}{5} - \frac{3}{2} r \binom{n}{3} + 2r \binom{n}{2} - \right. \\ & - \frac{5}{2} rn + 3r \left. \right\} + \mu^2 v^5 \left\{ 6 \binom{n}{6} - 3 \binom{n}{3} + 6 \binom{n}{2} - 5 \binom{r}{2} + r \binom{n}{5} - \right. \\ & - 3r \binom{n}{4} + \frac{1}{4} \binom{n}{3} \binom{r}{2} + \frac{39}{8} r \binom{n}{3} - \binom{n}{2} \binom{r}{2} - \frac{11}{2} r \binom{n}{2} + \\ & + \frac{5}{2} n \binom{r}{2} + \frac{15}{4} rn - 6n + \frac{3}{2} r \left. \right\} + \mu^3 v^4 \left\{ 18 \binom{n}{3} - 40 \binom{n}{2} + \right. \\ & + \frac{113}{4} \binom{r}{2} + \frac{3}{4} \binom{r}{3} + \frac{511}{16} rn - \binom{n}{3} \binom{r}{2} - \frac{15}{2} r \binom{n}{2} + \\ & + 5 \binom{n}{2} \binom{r}{2} - \frac{111}{8} n \binom{r}{2} - \frac{1}{8} n \binom{r}{3} + 40n - \frac{633}{8} r \left. \right\} (*). \end{aligned}$$

(\*) Per la verifica dei calcoli si osservi che è:

$$\alpha_7(4, 8) = \alpha_7(5, 8) = \alpha_7(5, 10) = \alpha_7(5, 12) = \alpha_7(6, 10) = \alpha_7(6, 12) = \alpha_7(6, 14) = 0.$$



9. — Calcoliamoci infine il numero delle coniche ottosecanti di una  $C_r^n$ . Esso soddisfa all'equazione funzionale:

$$\begin{aligned} \alpha_8(n+n', r+r') = & \alpha_8(n, r) + \alpha_8(n', r') + n'v\alpha_7(n, r) + \alpha_6(n, r)\alpha_2(n', r') + \\ & + \alpha_5(n, r)\alpha_3(n', r') + \alpha_4(n, r)\alpha_4(n', r') + \alpha_3(n, r)\alpha_5(n', r') + \\ & + \alpha_2(n, r)\alpha_6(n', r') + nv\alpha_7(n', r'), \end{aligned}$$

donde si trae:

$$\begin{aligned} \alpha_8(n, r) = & cn + c_1r + v\alpha_7(1, 0) \sum_1^{n-1} (n-i) + \alpha_6(1, 0) \sum_1^{n-1} \alpha_2(n-i, 0) + \\ & + \alpha_5(1, 0) \sum_1^{n-1} \alpha_3(n-i, 0) + \alpha_4(1, 0) \sum_1^{n-1} \alpha_4(n-i, 0) + \alpha_3(1, 0) \sum_1^{n-1} \alpha_5(n-i, 0) + \\ & + \alpha_2(1, 0) \sum_1^{n-1} \alpha_6(n-i, 0) + v \sum_1^{n-1} \alpha_7(n-i, 0) + \alpha_6(0, 1) \sum_1^{r-1} \alpha_2(0, r-i) + \\ & + \alpha_5(0, 1) \sum_1^{r-1} \alpha_3(0, r-i) + \alpha_4(0, 1) \sum_1^{r-1} \alpha_4(0, r-i) + \alpha_3(0, 1) \sum_1^{r-1} \alpha_5(0, r-i) + \\ & + \alpha_2(0, 1) \sum_1^{r-1} \alpha_6(0, r-i) + nv\alpha_7(0, r) + \alpha_6(0, r)\alpha_2(n, 0) + \alpha_5(0, r)\alpha_3(n, 0) + \\ & + \alpha_4(0, r)\alpha_4(n, 0) + \alpha_3(0, r)\alpha_5(n, 0) + \alpha_2(0, r)\alpha_6(n, 0). \end{aligned}$$

Eseguendo i calcoli, con l'aiuto delle formole (2), (3), (5), (6), (7), (8), si ha:

$$\begin{aligned} \alpha_8(n, r) = & cn + c_1r + \binom{n}{8} v^8 + \mu v^7 \left\{ r \binom{n}{5} - \frac{1}{2} r \binom{n}{6} - \frac{3}{2} r \binom{n}{4} + \right. \\ & + 2r \binom{n}{3} - \frac{5}{2} r \binom{n}{2} + 3rn \left. \right\} + \mu^2 v^6 \left\{ 7 \binom{n}{7} - 4 \binom{n}{4} + 9 \binom{n}{3} - \right. \\ & - 12 \binom{n}{2} + \frac{35}{4} \binom{r}{2} + r \binom{n}{6} - 3r \binom{n}{5} + \frac{39}{8} r \binom{n}{4} + \frac{1}{4} \binom{r}{2} \binom{n}{4} - \\ & - \binom{r}{2} \binom{n}{3} - \frac{11}{2} r \binom{n}{3} + \frac{5}{2} \binom{n}{2} \binom{r}{2} + \frac{15}{4} r \binom{n}{2} - 5n \binom{r}{2} + \frac{3}{2} rn \left. \right\} + \\ & + \mu^3 v^5 \left\{ 24 \binom{n}{4} - 60 \binom{n}{3} + 80 \binom{n}{2} - \frac{371}{8} \binom{r}{2} - \frac{21}{8} \binom{r}{3} - \right. \\ & - \frac{1}{2} r \binom{n}{5} + \frac{551}{16} r \binom{n}{2} - \frac{673}{8} rn + r \binom{n}{4} - \binom{r}{2} \binom{n}{4} - 9r \binom{n}{3} + \\ & + 5 \binom{r}{2} \binom{n}{3} - \frac{111}{8} \binom{r}{2} \binom{n}{2} - \frac{1}{8} \binom{r}{3} \binom{n}{2} + \frac{113}{4} n \binom{r}{2} + \frac{3}{4} n \binom{r}{3} \left. \right\}. \end{aligned}$$



Dalle equazioni:

$$\alpha_8(3,4) = 0 = 3c + 4c_1 + 14\mu\nu^7 + \frac{31}{2}\mu^2\nu^6 - \frac{1779}{4}\mu^3\nu^5$$

$$\alpha_8(4,6) = 0 = 4c + 6c_1 + 21\mu\nu^7 + \frac{113}{4}\mu^2\nu^6 - \frac{5577}{8}\mu^3\nu^5$$

si trae:

$$c = 10\mu^2\nu^6 - 60\mu^3\nu^5, \quad c_1 = \frac{2499}{16}\mu^3\nu^5 - \frac{91}{8}\mu^2\nu^6 - \frac{7}{2}\mu\nu^7,$$

e quindi:

$$\begin{aligned} \alpha_8(n,r) = & \binom{n}{8}\nu^8 + \mu\nu^7 \left\{ r \binom{n}{5} - \frac{1}{2}r \binom{n}{6} - \frac{3}{2}r \binom{n}{4} + 2r \binom{n}{3} - \right. \\ & - \frac{5}{2}r \binom{n}{2} + 3rn - \frac{7}{2}r \left. \right\} + \mu^2\nu^6 \left\{ 7 \binom{n}{7} - 4 \binom{n}{4} + 9 \binom{n}{3} - 12 \binom{n}{2} + \right. \\ & + \frac{35}{4} \binom{r}{2} + r \binom{n}{6} - 3r \binom{n}{5} + \frac{39}{8}r \binom{n}{4} + \frac{1}{4} \binom{r}{2} \binom{n}{4} - \\ & - \binom{r}{2} \binom{n}{3} - \frac{11}{2}r \binom{n}{3} + \frac{5}{2} \binom{n}{2} \binom{r}{2} + \frac{15}{4}r \binom{n}{2} - 5n \binom{r}{2} + \\ & + \frac{3}{2}rn + 10n - \frac{91}{8}r \left. \right\} + \mu^3\nu^5 \left\{ 24 \binom{n}{4} - 60 \binom{n}{3} + 80 \binom{n}{2} - \right. \\ & - \frac{371}{8} \binom{r}{2} - \frac{21}{8} \binom{r}{3} - \frac{1}{2}r \binom{n}{5} + \frac{551}{16}r \binom{n}{2} - \frac{673}{8}rn + r \binom{n}{4} - \\ & - \binom{r}{2} \binom{n}{4} - 9r \binom{n}{3} + 5 \binom{r}{2} \binom{n}{3} - \frac{111}{8} \binom{r}{2} \binom{n}{2} - \frac{1}{8} \binom{r}{3} \binom{n}{2} + \\ & + \frac{113}{4}n \binom{r}{2} + \frac{3}{4}n \binom{r}{3} - 60n + \frac{2499}{16}r \left. \right\}. \end{aligned}$$

Ora i numeri di coniche che soddisfano alle condizioni  $\nu^8$ ,  $\mu\nu^7$ ,  $\mu^3\nu^5$ ,  $\mu^2\nu^6$  son noti: e precisamente si ha:

$$\nu^8 = 92, \quad \mu\nu^7 = 34, \quad \mu^2\nu^6 = 8, \quad \mu^3\nu^5 = 1 \quad (*).$$

---

(\*) Cfr. SCHUBERT, loc. cit., pag. 95. — Cfr. anche LÜROTH, *Ueber die Anzahl der Kegelschnitte, welche acht Geraden im Raume schneiden* (Crelle, 68, 1868).



Sostituendo nella formola ottenuta questi valori numerici, dopo facili riduzioni si ottiene:

$$(9) \quad \alpha_8(n, r) = 92 \binom{n}{8} + 56 \binom{n}{7} - 8 \binom{n}{4} + 12 \binom{n}{3} - 16 \binom{n}{2} - 9r \binom{n}{6} + \\ + \frac{19}{2} r \binom{n}{5} - 11r \binom{n}{4} + 15r \binom{n}{3} - \frac{329}{16} r \binom{n}{2} + \frac{239}{8} rn - \frac{861}{16} r + \\ + \binom{r}{2} \binom{n}{4} - 3 \binom{r}{2} \binom{n}{3} + \frac{49}{8} \binom{r}{2} \binom{n}{2} - \frac{47}{4} \binom{r}{2} n + \frac{189}{8} \binom{r}{2} - \\ - \frac{1}{8} \binom{r}{3} \binom{n}{2} + \frac{3}{4} \binom{r}{3} n - \frac{21}{8} \binom{r}{3} + 20n \quad (*).$$

**10.** — Le formole (2), (3), (5), (6), (7), (8), (9), servono a calcolare il numero delle coniche che soddisfano ad ogni condizione composta con le condizioni elementari  $\mu, \nu, P$ , con un numero conveniente di condizioni  $\alpha$ , e con la condizione  $\rho$  perchè una conica tocchi un dato piano (\*\*).

Così la (8) moltiplicata per  $\nu$  dà l'ordine della superficie delle coniche 7-secanti di una  $C_r^n$ , e tenendo presenti i valori numerici di  $\nu^8, \mu\nu^7, \mu^2\nu^6, \mu^3\nu^5$ , dopo facili riduzioni, si trova per quest'ordine l'espressione:

$$\alpha_7(n, r)\nu = 92 \binom{n}{7} + 48 \binom{n}{6} - 6 \binom{n}{3} + 8 \binom{n}{2} - 8n - 9r \binom{n}{5} + \\ + 10r \binom{n}{4} - 12r \binom{n}{3} + \frac{33}{2} r \binom{n}{2} - \frac{369}{16} rn + \frac{279}{8} r + \\ + \binom{r}{2} \binom{n}{3} - 3 \binom{r}{2} \binom{n}{2} + \frac{49}{8} \binom{r}{2} n - \frac{47}{4} \binom{r}{2} - \frac{1}{8} n \binom{r}{3} + \frac{3}{4} \binom{r}{3}.$$

La (8) medesima moltiplicata per  $\mu$  dà la classe della sviluppabile dei piani che tagliano una  $C_r^n$  in 7 punti di conica. Il prodotto

(\*) Per il controllo dei calcoli si osservi che:

$$\alpha_8(4, 8) = \alpha_8(5, 8) = \alpha_8(5, 10) = \alpha_8(5, 12) = \alpha_8(6, 10) = \alpha_8(6, 12) = \alpha_8(6, 14) = \\ = \alpha_8(7, 12) = \alpha_8(7, 14) = \alpha_8(7, 16) = 0.$$

(\*\*) Se si considera una condizione composta, in cui entri la condizione  $\rho$ , per eseguire i calcoli, occorreranno i numeri  $\mu^\alpha \nu^\beta \rho^{8-\alpha-\beta}$ . Essi trovansi calcolati (per es.) nel libro dello Schubert a pag. 95.



$\alpha_k(n, r) \alpha_i(n', r')$  ( $k + i = 8$ ) dà il numero delle coniche  $k$ -secanti di una  $C_r^n$  che sono  $i$ -secanti di una  $C_{r'}^{n'}$ . Se volessimo la molteplicità di un dato punto per la superficie luogo delle coniche passanti per esso e soddisfacenti ad una data condizione  $z$  di dimensione 5 (essendo questa condizione composta mediante alcune delle condizioni noverate), basterebbe sottrarre dal numero  $zP_v$ , che denota l'ordine di essa superficie, il numero  $zP_\mu$  che esprime quante sono le coniche soddisfacenti la condizione  $z$ , passanti per il dato punto e incontranti ulteriormente una retta per quello. Ecc.

Per applicare il metodo che abbiamo seguito allo studio delle proprietà numerative delle varietà di coniche secanti di una curva di un iperspazio, occorrerà adoperare i numeri analoghi a quelli da noi usati nel n° precedente.

Essi trovansi calcolati nella Memoria di SCHUBERT: *Allgemeine Anzahlfunctionen für Kegelschnitte, Flächen und Räume zweiten Grades in n Dimensionen* ("Mathematische Annalen", Bd. 45, 1894).

Torino, maggio 1900.

---

*L'Accademico Segretario*

ANDREA NACCARI.







---

---

CLASSE  
DI  
SCIENZE FISICHE, MATEMATICHE E NATURALI

---

Adunanza del 17 Giugno 1900.

PRESIDENZA DEL SOCIO PROF. ALFONSO COSSA

VICE-PRESIDENTE DELL'ACCADEMIA

---

Sono presenti i Soci: BERRUTI, D'OVIDIO, MOSSO, SPEZIA, CAMERANO, SEGRE, JADANZA, FOÀ, GUARÈSCHI, GUIDI, FILETI e NACCARI Segretario.

Il Segretario legge l'atto verbale della seduta precedente, che viene approvato.

Il Presidente si rallegra, anche a nome della Classe, col Socio SPEZIA per il premio Reale meritamente da lui ottenuto in questi giorni dall'Accademia dei Lincei, per i suoi lavori di geologia sperimentale. Il Socio BERRUTI si associa al Presidente e il Socio SPEZIA ringrazia.

Il Segretario dà comunicazione di una lettera inviata dalla Presidenza del Congresso di Fisica che si terrà in Parigi nell'agosto, al Socio VOLTERRA che fu dalla Classe incaricato di rappresentarla in quel Congresso. La lettera è accompagnata dall'elenco dei temi che si tratteranno nel Congresso medesimo e la Classe è invitata a mandare intorno a quei temi le osservazioni e raccomandazioni che credesse opportune.



Il Segretario presenta un volume inviato in omaggio all'Accademia dal Dr. Francesco VIRGILIO e intitolato: *Geomorfogenia della Provincia di Bari*.

Il Socio CAMERANO presenta una sua memoria intitolata: *Ricerche intorno alla variazione del Bufo vulgaris Laur.*, e ne espone l'argomento. L'inserzione della memoria nei volumi accademici viene approvata con votazione segreta.

---

*L'Accademico Segretario*

ANDREA NACCARI.



---

## CLASSI UNITE

---

Adunanza del 24 Giugno 1900.

PRESIDENZA DEL SOCIO SENATORE PROF. GIUSEPPE CARLE  
PRESIDENTE DELL'ACCADEMIA

---

Sono presenti i Soci:

della Classe di Scienze fisiche, matematiche e naturali:  
COSSA, Vice Presidente dell'Accademia, SALVADORI, D'OVIDIO,  
NACCARI, CAMERANO, SEGRE, JADANZA, GUIDI, FILETI e PARONA;

della Classe di Scienze morali, storiche e filologiche:  
PEYRON, Direttore della Classe, ROSSI, MANNO, BOLLATI DI SAINT-  
PIERRE, FERRERO, GRAF, CIPOLLA, BRUSA e RENIER Segretario. —  
Il Socio PIZZI scusa la propria assenza.

È letto ed approvato l'atto verbale dell'adunanza a Classi Unite, del 7 gennaio 1900.

Il Socio Tesoriere D'OVIDIO, invitato dal Presidente, procede all'esposizione finanziaria per il passato esercizio dell'anno 1899, e presenta il bilancio preventivo dell'anno in corso. L'Accademia approva tanto il conto consuntivo, quanto il bilancio preventivo.

Approva pure i resoconti delle gestioni delle eredità BRESSA, GAUTIERI e VALLAURI; scarica il tesoriere da ogni contabilità passata e gli dà carico per l'esercizio in corso dell'anno corrente 1900.

---

*Gli Accademici Segretari*

ANDREA NACCARI

RODOLFO RENIER.



# INDICE

## DEL VOLUME XXXV

ELENCO degli Accademici residenti, Nazionali non residenti, Stranieri  
e Corrispondenti al 19 Novembre 1899 . . . . . Pag. III

ELEZIONI di Soci della Classe di scienze fisiche matematiche e naturali „ 200,  
222, 246.

INVITO del Comitato internazionale per un Congresso di Fisica da  
tenersi in Parigi nel 1900 . . . . . „ 2

INVITO della R. Accademia delle scienze di Berlino a prendere parte  
alla festa del 2° centenario della sua fondazione . . . „ 99

INVITO della Società di Biologia di Parigi a prendere parte alla so-  
lennità del cinquantesimo anniversario della sua fondazione „ 99

INVITO al XIII Congresso della Società di Medicina di Parigi . „ 221

### PREMIO BRESSA:

Relazione della 2<sup>a</sup> Giunta per il conferimento dell'XI premio  
Bressa, per il quadriennio 1895-98 . . . . . „ 168  
Conferimento dell'XI premio Bressa . . . . . „ 197  
Nomina della 1<sup>a</sup> Giunta per il XII premio Bressa, quadriennio  
1897-900 . . . . . „ 197

### PREMII DI FONDAZIONE GAUTIERI:

Modificazioni al Regolamento interno per il conferimento del  
premio . . . . . „ 198

SUNTI degli Atti verbali delle Adunanze della Classe di Scienze fisiche,  
matematiche e naturali . . . . . „ 1,  
85, 99, 174, 199, 221, 245, 353, 411, 425, 449, 463, 503, 516, 543.

SUNTI degli Atti verbali delle Classi Unite . . . . . 167, 197, 545

PUBBLICAZIONI ricevute dalla R. Accademia delle Scienze di Torino  
durante l'Anno accademico 1899-1900 . . . . . XXXIII

AIMONETTI (Cesare) — Determinazioni di gravità relativa ad Aosta,  
Gran S. Bernardo, Courmayeur e Piccolo S. Bernardo . . „ 451

ALMANSI (Emilio) — Sulla torsione dei cilindri cavi a spessore pic-  
colissimo . . . . . „ 39



ARTOM (Alessandro) — Rotazioni elettrostatiche dei dielettrici liquidi	Pag. 496
ASCOLI (Graziadio) — Incaricato di rappresentare l'Accademia alle feste del 2° centenario dalla fondazione della R. Accademia delle Scienze di Berlino . . . . .	„ 167
BELTRAMI (Eugenio) — V. COSSA (Alfonso). — V. D'OVIDIO (Enrico).	
BENEDICENTI (Alberico) e POLLEDRO (Oreste) — Ricerche farmacologiche sui composti mercurio-organici derivanti dalle amine aromatiche . . . . .	„ 175
BERTRAND (Giuseppe Luigi) — Vedi COSSA (Alfonso). — V. D'OVIDIO (Enrico).	
BIZZOZERO (Giulio) — V. FOÀ (Pio), BIZZOZERO (Giulio) e MOSO (Angelo).	
BOERIS (Giovanni) — Pirite di Valgioie . . . . .	„ 488
BOGGIO (Tommaso) — Sull'equilibrio delle membrane elastiche piane	„ 145
— Un teorema di reciprocità sulle funzioni di Green d'ordine qualunque . . . . .	„ 340
BOULENGER (Giorgio Alberto) — Eletto Socio corrispondente . . . . .	„ 222
BUNSEN (Roberto Guglielmo) — V. COSSA (Alfonso).	
CAMERANO (Lorenzo) — Lo studio quantitativo degli organismi ed il coefficiente somatico . . . . .	„ 201
— Lo studio quantitativo degli organismi e gli indici di variabilità, di variazione, di frequenza, di deviazione e di isolamento	„ 432
— Alfonso MILNE EDWARDS. Commemorazione . . . . .	„ 465
— Presenta per l'inserzione nei volumi delle <i>Memorie</i> uno scritto, intitolato: <i>Ricerche intorno alla variazione del Bufo vulgaris</i> Laur. . . . .	„ 544
CAPEDER (Giuseppe) — Contribuzione allo studio degli Entomotracci dei terreni pliocenici del Piemonte e della Liguria . . . . .	„ 60
CARLE (Giuseppe) — Ringrazia a nome dell'Accademia il Socio COSSA per il compiuto incarico di rappresentanza alle feste del 2° centenario della R. Accademia delle scienze di Berlino . . . . .	„ 463
— Comunica che il sig. Alessandro GIORCELLI fece dono all'Accademia degli Atti relativi all'arbitrato Anglo-Portoghese pronunciato dal Senatore VIGLIANI . . . . .	„ 463
— Annunzia la morte del Socio corrispondente Alfonso MILNE EDWARDS . . . . .	„ 465
CHISTONI (Ciro) — Ricerche sperimentali sul coefficiente magnetometrico . . . . .	„ 395
COSSA (Alfonso) — Annunzia la morte del Socio straniero Roberto Guglielmo BUNSEN e ricorda brevemente i meriti scientifici del medesimo . . . . .	„ 1
— Carlo FRIEDEL. Commemorazione . . . . .	„ 4
— Comunica l'invito della R. Accademia delle scienze di Berlino a prendere parte alla festa del 2° centenario della sua fondazione . . . . .	„ 99



COSSA (Alfonso) — Comunica l'invito della Società di Biologia di Parigi a prendere parte alla solennità del cinquantesimo anniversario della sua fondazione . . . . .	Pag. 99
— Presenta l'opera del Dr. Filippo DE FILIPPI: <i>Spedizione di S. A. R. il Principe Luigi Amedeo di Savoia duca degli Abruzzi al Monte S. Elia (Alaska 1897)</i> , dono di S. A. R. . . . .	100
— Annunzia la morte del Socio corrispondente Carlo Federigo RAMMELSBERG . . . . .	199
— Annunzia la morte del Socio nazionale non residente Eugenio BELTRAMI . . . . .	353
— Annunzia la morte del Socio nazionale residente Gaudenzio CLARETTA . . . . .	353
— Annunzia la morte del Socio straniero Giuseppe Luigi BERTRAND „	449
— Riferisce sulle feste celebrate dalla R. Accademia delle scienze di Berlino dove recossi come rappresentante dell'Accademia „	449
— Porge a nome della Classe al Socio G. SPEZIA i rallegramenti per l'ottenuto premio Reale conferitogli dalla R. Accademia dei Lincei . . . . .	543
DANIELE (Ermenegildo) — V. VOLTERRA (Vito).	
— V. VOLTERRA (Vito) e SEGRE (Corrado).	
DE FRANCESCO (Domenico) — Sul moto spontaneo di un corpo rigido in uno spazio di curvatura costante . . . . .	34
— Sul moto spontaneo di un corpo rigido in uno spazio di curvatura costante. Nota II . . . . .	231
D'OVIDIO (Enrico) — Relazione della 2 <sup>a</sup> Giunta per il conferimento dell'XI premio Bressa, per il quadriennio 1895-98 . . . . .	168
— Eugenio BELTRAMI. Commemorazione . . . . .	355
— Giuseppe Luigi BERTRAND. Commemorazione . . . . .	464
— Espone la situazione finanziaria dell'Accademia per l'esercizio dell'anno scorso 1899 e presenta il bilancio preventivo per 1900, nonchè le gestioni dei premi Bressa, Gautieri e Vallauri „	545
— V. JADANZA (Nicodemo) e D'OVIDIO (Enrico).	
EDWARDS (Alfonse-Milne) — V. CARLE (Giuseppe).	
— V. CAMERANO (Lorenzo).	
FoÀ (Pio), Bizzozzero (Giulio) e Mosso (Angelo) — Relazione sulla Memoria presentata dal Dott. Pasquale SFAMENI: <i>Intorno agli organi nervosi terminali del Ruffini, e ai corpuscoli del Pacini studiati nelle piante e nei polpastrelli del cane, del gatto e della scimmia</i> . . . . .	461
FRIEDEL (Alfonso) — V. COSSA (Alfonso).	
GABBA (Luigi) — Effemeridi del Sole e della Luna per l'orizzonte di Torino e per l'anno 1901 . . . . .	361
GAMBÈRA (Pietro) — Due nuove note dantesche . . . . .	413
— V. JADANZA (Nicodemo) e D'OVIDIO (Enrico).	
GIGLIO-TOS (Ermanno) — Un parassita intranucleare nei reni del topo delle chiaviche . . . . .	377



GIUDICE (Francesco) — Sulla metrica degli spazii a curvatura costante	Pag. 119
GUARESCHI (Icilio) — Una nuova trimetilpiridina. . . . .	426
GUIDI (Camillo) — Di un nuovo flessimetro e sue applicazioni . . . . .	101
— Esperienze sull'elasticità e resistenza a tensione del rame . . . . .	223
— Prove sui materiali da costruzione. Nota VI . . . . .	468
HAECKEL (Ernesto) — Gli è conferito l'XI premio Bressa . . . . .	197
— Ringrazia . . . . .	245
HOLMGREN (Erik) — Sur un théorème de M. Volterra sur l'inversion des intégrales définies . . . . .	384
JADANZA (Nicodemo) e D'OVIDIO (Enrico) — Riferiscono verbalmente sopra due note dantesche del Prof. Pietro GAMBÈRA e ne pro- pongono l'inserzione negli <i>Atti</i> . . . . .	412
LANGLEY (Samuel Pierpont) — Eletto Socio corrispondente . . . . .	246
LAURICELLA (Giuseppe) — Intorno alle derivate normali della fun- zione potenziale di superficie . . . . .	322, 412
LERCH (Matteo) — Nouvelle formule pour la différentiation d'une certaine classe de séries trigonométriques . . . . .	54
LEVI (Beppo) — Sulla trasformazione dell'intorno di un punto per una corrispondenza birazionale fra due spazii . . . . .	20
LIEBISCH (Teodoro) — Eletto Socio corrispondente . . . . .	222
MINOT (Carlo Sedgwick) — Eletto Socio corrispondente . . . . .	222
MOISSAN (Enrico) — Eletto Socio corrispondente . . . . .	222
Mosso (Angelo) — Presenta per l'inserzione nei volumi delle <i>Memorie</i> accademiche uno scritto del Dott. Pasquale SFAMENI, intitolato: <i>Gli organi nervosi terminali del Ruffini e i corpuscoli del Pacini</i> <i>studiati nelle piante e nei polpastrelli del cane, del gatto e della</i> <i>scimmia</i> . . . . .	412
— V. FOÀ (Pio), BIZZOZERO (Giulio) e Mosso (Angelo).	
NACCARI (Andrea) — Comunica l'invito del Comitato internazionale per un Congresso di Fisica da tenersi in Parigi nel 1900 . . . . .	2
— Presenta una Memoria: <i>Sulle anomalie termiche dei climi di Torino,</i> <i>Milano e Venezia</i> , da inserirsi nei volumi delle <i>Memorie acca-</i> <i>demiche</i> . . . . .	3
— Comunica l'invito al XIII Congresso della Società di Medicina di Parigi . . . . .	221
— Comunica la lettera colla quale la R. Accademia delle scienze di Berlino ringrazia per la parte presa alle feste del 2° cen- tenario della sua fondazione . . . . .	503
— Comunica la lettera inviata dalla Presidenza del Congresso di Fisica che si terrà in Parigi, diretta al Socio V. VOLTERRA che invita la Classe a mandare osservazioni circa ai temi che si tratteranno . . . . .	543
PARONA (Carlo Fabrizio) — Presenta per l'inserzione nei volumi delle <i>Memorie accademiche</i> un suo scritto intitolato: <i>Sopra alcune</i> <i>Rudiste senoniane dell'Appennino meridionale</i> . . . . .	354
PIOLTI (Giuseppe) — Sopra una macina romana in leucotefrite tro- vata nei dintorni di Rivoli (Piemonte) . . . . .	86



POLLEDRO (Oreste) — V. BENEDICENTI (Alberico) e POLLEDRO (Oreste).	
RAMMELSBERG (Carlo Federico) — V. COSSA (Alfonso).	
ROSATI (Carlo) — Sulle superficie di Veronese e di Steiner . . . . .	Pag. 12
SABBATANI (Luigi) — Sulla ossidazione dell'acido citrico e dei citrati col permanganato di potassio o col ferro . . . . .	„ 454
SACCO (Federico) — Sull'età di alcuni terreni terziarii dell'Appennino „	74
SCHIFT (Ugo) — Eletto Socio corrispondente . . . . .	222
SCORZA (Gaetano) — Sopra le corrispondenze $(p, p)$ esistenti sulle curve di genere $p$ a moduli generali . . . . .	„ 285
— Sopra le curve canoniche di uno spazio lineare qualunque e sopra certi loro covarianti quartici . . . . .	„ 517
SEGRE (Corrado) — Presenta due opere del Prof. PASCAL: <i>Repertorio di matematiche superiori</i> e la traduzione tedesca del <i>Calcolo delle variazioni</i> facendone rilevare l'importanza . . . . .	1
— V. VOLTERRA (Vito) e SEGRE (Corrado).	
SEVERI (Francesco) — Ricerche sulle coniche secanti delle curve gobbe „	526
SFAMENI (Pasquale) — Speciali terminazioni nervose trovate nei pic- coli rami dinervi periferici . . . . .	„ 90
— V. MOSO (Angelo).	
— V. FOÀ (Pio), BIZZOZERO (Giulio) e MOSO (Angelo).	
SPEZIA (Giorgio) — Contribuzioni di geologia chimica. Solubilità del quarzo nelle soluzioni di silicato sodico . . . . .	„ 504
— V. COSSA (Alfonso).	
STOKES (Giorgio Gabriele) — Eletto Socio straniero . . . . .	200
TANTURRI (Alberto) — Un problema di geometria numerativa sulle varietà algebriche luogo di $\infty^1$ spazi . . . . .	„ 269
TARAMELLI (Torquato) — Eletto Socio corrispondente . . . . .	222
TEDONE (Orazio) — Sulle equazioni delle vibrazioni dei corpi elastici in coordinate curvilinee . . . . .	„ 302
VOLTERRA (Vito) — Sugli integrali lineari dei moti spontanei a ca- ratteristiche indipendenti . . . . .	„ 112
— Errata-corrigé alla nota: <i>Sopra una classe di equazioni dinamiche</i> „	118
— Presenta per l'inserzione nei volumi delle <i>Memorie</i> uno scritto del Dr. Ermenegildo DANIELE intitolato: <i>Sulle deformazioni infinitesime delle superficie flessibili ed estendibili</i> . . . . .	„ 450
— e SEGRE (Corrado) — Relazione sulla Memoria del Dott. Erme- negildo DANIELE: <i>Sulle deformazioni infinitesime delle superficie flessibili ed estendibili</i> . . . . .	„ 500
— V. NACCARI (Andrea).	
WISLICENUS (Giovanni) — Eletto Socio corrispondente . . . . .	222
ZANOTTI-BIANCO (Ottavio) — Intorno ad alcuni recenti lavori italiani sulla costituzione fisica dell'atmosfera, fondati sulle osserva- zioni di James Glaisher. — Contribuzione alla storia della me- teorologia . . . . .	„ 247
INDICE . . . . .	„ 546



# ATTI

DELLA

R. ACCADEMIA DELLE SCIENZE

DI TORINO

PUBBLICATI

DAGLI ACCADEMICI SEGRETARI DELLE DUE CLASSI

---

VOL. XXXV, DISP. I<sup>a</sup>, 1899-900

---

Classe di Scienze Fisiche, Matematiche e Naturali.

TORINO

CARLO CLAUSEN

Libraio della R. Accademia delle Scienze

1900





DISTRIBUZIONE DELLE SEDUTE  
DELLA  
R. ACCADEMIA DELLE SCIENZE  
DI TORINO  
nell'anno 1899-900  
divise per Classi

Classe di Scienze  
fisiche, matematiche  
e naturali

1899	-	19	Novembre
»	-	3	Dicembre
»	-	17	»
»	-	31	»
1900	-	14	Gennaio
»	-	28	»
»	-	11	Febbraio
»	-	25	»
»	-	11	Marzo
»	-	25	»
»	-	8	Aprile
»	-	29	»
»	-	13	Maggio
»	-	27	»
»	-	17	Giugno

Classe di Scienze  
moralì, storiche  
e filologiche

1899	-	26	Novembre
»	-	10	Dicembre
»	-	24	»
1900	-	7	Gennaio
»	-	21	»
»	-	4	Febbraio
»	-	18	»
»	-	4	Marzo
»	-	18	»
»	-	1	Aprile
»	-	22	»
»	-	6	Maggio
»	-	20	»
»	-	10	Giugno
»	-	24	»







## SOMMARIO

---

ELENCO degli Accademici residenti, Nazionali non residenti, Stranieri e Corrispondenti . . . . .	Pag. III
PUBBLICAZIONI ricevute dalla R. Accad. delle Scienze di Torino . . . . .	„ XXXIII

### Classe di Scienze Fisiche, Matematiche e Naturali.

ADUNANZA del 19 Novembre 1899 . . . . .	Pag. 1
COSSA — Commemorazione del Socio corrispondente Carlo FRIEDEL „	4
ROSATI — Sulle superficie di Veronese e di Steiner . . . . .	12
LEVI — Sulla trasformazione dell'intorno di un punto per una cor- rispondenza birazionale fra due spazi . . . . .	20
DE FRANCESCO — Sul moto spontaneo d'un corpo rigido in uno spazio di curvatura costante . . . . .	34
ALMANSI — Sulla torsione dei cilindri cavi a spessore piccolissimo „	39
LERCH — Nouvelle formule pour la différentiation d'une certaine classe de séries trigonométriques . . . . .	54
CAPEDE — Contribuzione allo studio degli entomostraci pliocenici del Piemonte e della Liguria . . . . .	60
SACCO — Sull'età di alcuni terreni terziarii dell'Appennino . . . . .	74





# ATTI

DELLA

R. ACCADEMIA DELLE SCIENZE

DI TORINO

PUBBLICATI

DAGLI ACCADEMICI SEGRETARI DELLE DUE CLASSI

---

VOL. XXXV, DISP. 2<sup>a</sup>, 1899-900

---

Classe di Scienze Fisiche, Matematiche e Naturali.

TORINO

CARLO CLAUSEN

Libraio della R. Accademia delle Scienze

1900













## SOMMARIO

---

### Classe di Scienze Fisiche, Matematiche e Naturali.

ADUNANZA del 3 Dicembre 1899 . . . . .	Pag.	85
PIOLTI — Una macina romana in leucotefrite trovata nei dintorni di Rivoli . . . . .	"	86
SEFAMENI — Speciali terminazioni nervose trovate nei piccoli rami di nervi periferici . . . . .	"	90





# ATTI

DELLA

R. ACCADEMIA DELLE SCIENZE

DI TORINO

PUBBLICATI

DAGLI ACCADEMICI SEGRETARI DELLE DUE CLASSI

---

VOL. XXXV, DISP. **3<sup>a</sup>, 1899-900**

---

Classe di Scienze Fisiche, Matematiche e Naturali.

TORINO

CARLO CLAUSEN

Libraio della R. Accademia delle Scienze

1900













## SOMMARIO

---

### Classe di Scienze Fisiche, Matematiche e Naturali.

ADUNANZA del 17 Dicembre 1899. . . . .	<i>Pag.</i>	99
GUIDI — Di un nuovo flessimetro e sue applicazioni . . . . .	„	101
VOLTERRA — Sugli integrali lineari dei moti spontanei a caratteri- stiche indipendenti . . . . .	„	112
GIUDICE — Sulla metrica degli spazii a curvatura costante . . . . .	„	119
BOGGIO — Sull'equilibrio delle membrane elastiche piane . . . . .	„	145





# ATTI

DELLA

R. ACCADEMIA DELLE SCIENZE

DI TORINO

PUBBLICATI

DAGLI ACCADEMICI SEGRETARI DELLE DUE CLASSI

---

VOL. XXXV, DISP. **4<sup>a</sup>, 1899-900**

---

Classe di Scienze Fisiche, Matematiche e Naturali.

TORINO

CARLO CLAUSEN

Libraio della R. Accademia delle Scienze

1900













## SOMMARIO

---

### Classi Unite.

ADUNANZA del 31 Dicembre 1899 . . . . . *Pag.* 167

### Classe di Scienze Fisiche, Matematiche e Naturali.

ADUNANZA del 31 Dicembre 1899 . . . . . *Pag.* 174

BENEDICENTI e POLLEDRO — Ricerche farmacologiche sui composti  
mercurio-organici derivanti dalle amine aromatiche . . . „ 175

### Classi unite.

ADUNANZA del 7 Gennaio 1900 . . . . . *Pag.* 197





# ATTI

DELLA

R. ACCADEMIA DELLE SCIENZE

DI TORINO

PUBBLICATI

DAGLI ACCADEMICI SEGRETARI DELLE DUE CLASSI

---

VOL. XXXV, DISP. **5<sup>a</sup>, 1899-900**

---

Classe di Scienze Fisiche, Matematiche e Naturali.

TORINO

CARLO CLAUSEN

Libraio della R. Accademia delle Scienze

1900













## SOMMARIO

---

### Classe di Scienze Fisiche, Matematiche e Naturali.

ADUNANZA del 14 Gennaio 1900 . . . . .	Pag. 199
CAMERANO — Lo studio quantitativo degli organismi ed il coefficiente somatico . . . . .	201





# ATTI

DELLA

R. ACCADEMIA DELLE SCIENZE

DI TORINO

PUBBLICATI

DAGLI ACCADEMICI SEGRETARI DELLE DUE CLASSI

---

VOL. XXXV, DISP. **6<sup>a</sup>, 1899-900**

---

Classe di Scienze Fisiche, Matematiche e Naturali.

TORINO

CARLO CLAUSEN

Libraio della R. Accademia delle Scienze

1900













## SOMMARIO

---

### Classe di Scienze Fisiche, Matematiche e Naturali.

ADUNANZA del 28 Gennaio 1900 . . . . .	Pag. 221
GUIDI — Esperienze sull'elasticità e resistenza a tensione del rame „	223
DE FRANCESCO — Sul moto spontaneo di un corpo rigido in uno spazio di curvatura costante . . . . . „	231





# ATTI

DELLA

R. ACCADEMIA DELLE SCIENZE

DI TORINO

PUBBLICATI

DAGLI ACCADEMICI SEGRETARI DELLE DUE CLASSI

---

VOL. XXXV, DISP. 7<sup>a</sup>, 1899-900

---

Classe di Scienze Fisiche, Matematiche e Naturali.

TORINO

CARLO CLAUSEN

Libraio della R. Accademia delle Scienze

1900











## SOMMARIO

### Classe di Scienze Fisiche, Matematiche e Naturali.

ADUNANZA dell'11 Febbraio 1900 . . . . .	Pag. 245
ZANOTTI BIANCO — Intorno ad alcuni recenti lavori italiani sulla costituzione fisica dell'atmosfera, fondati sulle osservazioni di James Glaisher. — Contribuzione alla storia della meteorologia . . .	247
TANTURRI — Un problema di geometria numerativa sulle varietà algebriche luogo di $\infty^1$ spazi . . . . .	269
SCORZA — Sopra le corrispondenze $(p, p)$ esistenti sulle curve di genere $p$ a moduli generali . . . . .	285
TEDONE — Sulle equazioni delle vibrazioni dei corpi elastici in coordinate curvilinee . . . . .	302
LAURICELLA — Intorno alle derivate normali della funzione potenziale di superficie . . . . .	322
BOGGIO — Un teorema di reciprocità sulle funzioni di Green d'ordine qualunque . . . . .	340





ATTI

DELLA

R. ACCADEMIA DELLE SCIENZE

DI TORINO

PUBBLICATI

DAGLI ACCADEMICI SEGRETARI DELLE DUE CLASSI

---

VOL. XXXV, DISP. 8<sup>a</sup>, 1899-900

---

Classe di Scienze Fisiche, Matematiche e Naturali.

TORINO

CARLO CLAUSEN

Libraio della R. Accademia delle Scienze

1900











## SOMMARIO

---

### Classe di Scienze Fisiche, Matematiche e Naturali.

ADUNANZA del 25 Febbraio 1900 . . . . .	Pag. 353
D'OVIDIO — Commemorazione del Socio nazionale non residente Eugenio BELTRAMI . . . . .	„ 355
GABBA — Effemeridi del Sole e della Luna per l'orizzonte di Torino e per l'anno 1901 . . . . .	„ 361
GIGLIO-TOS — Un parassita intranucleare nei reni del topo delle chia- viche . . . . .	„ 377
HOLMGREN — Sur un théorème de M. Volterra sur l'inversion des in- tégrales définies . . . . .	„ 384
CHISTONI — Ricerche sperimentali sul coefficiente magnetometrico „	395





ATTI

DELLA

R. ACCADEMIA DELLE SCIENZE

DI TORINO

PUBBLICATI

DAGLI ACCADEMICI SEGRETARI DELLE DUE CLASSI

---

VOL. XXXV, DISP. **9<sup>a</sup>, 1899-900**

---

Classe di Scienze Fisiche, Matematiche e Naturali.

TORINO

CARLO CLAUSEN

Libraio della R. Accademia delle Scienze

1900











## SOMMARIO

---

Classe di Scienze Fisiche, Matematiche e Naturali.

ADUNANZA dell'11 Marzo 1900 . . . . . *Pag.* 411

GAMBÈRA — Due nuove note dantesche . . . . . 413





# ATTI

DELLA

R. ACCADEMIA DELLE SCIENZE

DI TORINO

PUBBLICATI

DAGLI ACCADEMICI SEGRETARI DELLE DUE CLASSI

---

VOL. XXXV, DISP. 10<sup>a</sup>, 1899-900

---

Classe di Scienze Fisiche, Matematiche e Naturali.

TORINO

CARLO CLAUSEN

Libraio della R. Accademia delle Scienze

1900











## SOMMARIO

---

### Classe di Scienze Fisiche, Matematiche e Naturali.

ADUNANZA del 25 Marzo 1900 . . . . .	Pag. 425
GUARESCHI — Una nuova trimetilpiridina . . . . .	„ 426
CAMERANO — Lo studio quantitativo degli organismi e gli indici di variabilità, di variazione, di frequenza, di deviazione e di iso- lamento . . . . .	„ 432





# ATTI

DELLA

R. ACCADEMIA DELLE SCIENZE

DI TORINO

PUBBLICATI

DAGLI ACCADEMICI SEGRETARI DELLE DUE CLASSI

---

VOL. XXXV, DISP. 11<sup>a</sup> E 12<sup>a</sup>, 1899-900

---

Classe di Scienze Fisiche, Matematiche e Naturali.

TORINO

CARLO CLAUSEN

Libraio della R. Accademia delle Scienze

1900











## SOMMARIO

---

### Classe di Scienze Fisiche, Matematiche e Naturali.

ADUNANZA dell'8 Aprile 1900 . . . . .	Pag. 449
AIMONETTI — Determinazioni di gravità relativa ad Aosta, Gran S. Bernardo, Courmayeur e Piccolo S. Bernardo . . . . .	„ 451
SABBATANI — Sulla ossidazione dell'acido citrico e dei citrati col permanganato di potassio o col ferro . . . . .	„ 454
FoA — Relazione sulla Memoria del Dott. Pasquale SFAMENI: “Intorno agli organi nervosi terminali del Ruffini e ai corpuscoli del Pacini, studiati nelle piante e nei polpastrelli del cane, del gatto e della scimmia „ . . . . .	„ 461
ADUNANZA del 29 Aprile 1900 . . . . .	Pag. 463
GUIDI — Prove sui materiali da costruzione. Nota VI . . . . .	„ 468
BOERIS — Pirite di Valgioie . . . . .	„ 488
ARTOM — Rotazioni elettrostatiche dei dielettrici liquidi . . . . .	„ 496
VOLTERRA — Relazione sulla Memoria del Dott. Ermegildo DANIELE: “Sulle deformazioni infinitesime delle superficie flessibili ed estendibili „ . . . . .	„ 500





# ATTI

DELLA

R. ACCADEMIA DELLE SCIENZE

DI TORINO

PUBBLICATI

DAGLI ACCADEMICI SEGRETARI DELLE DUE CLASSI

---

VOL. XXXV, DISP. **13<sup>a</sup>** E **14<sup>a</sup>**, **1899-900**

---

Classe di Scienze Fisiche, Matematiche e Naturali.

TORINO

CARLO CLAUSEN

Libraio della R. Accademia delle Scienze

1900











## SOMMARIO

---

### Classe di Scienze Fisiche, Matematiche e Naturali.

ADUNANZA del 13 Maggio 1900 . . . . .	Pag. 503
SPEZIA — Contribuzioni di geologia chimica. Solubilità del quarzo nelle soluzioni di silicato sodico . . . . .	„ 504
ADUNANZA del 27 Maggio 1900 . . . . .	Pag. 516
SCORZA — Sopra le curve canoniche di uno spazio lineare qualunque e sopra certi loro covarianti quartici . . . . .	„ 517
SEVERI — Ricerche sulle coniche secanti delle curve gobbe . . . . .	„ 526





# ATTI

DELLA

R. ACCADEMIA DELLE SCIENZE

DI TORINO

PUBBLICATI

DAGLI ACCADEMICI SEGRETARI DELLE DUE CLASSI

---

VOL. XXXV, DISP. **15<sup>a</sup>, 1899-900**

---

Classe di Scienze Fisiche, Matematiche e Naturali.

TORINO

CARLO CLAUSEN

Libraio della R. Accademia delle Scienze

1900











## SOMMARIO

---

### Classe di Scienze Fisiche, Matematiche e Naturali.

ADUNANZA del 17 Giugno 1900 . . . . . *Pag.* 543

### Classi unite.

ADUNANZA del 24 Giugno 1900 . . . . . *Pag.* 545

INDICE . . . . . „ 546























SMITHSONIAN INSTITUTION LIBRARIES



3 9088 01309 6045